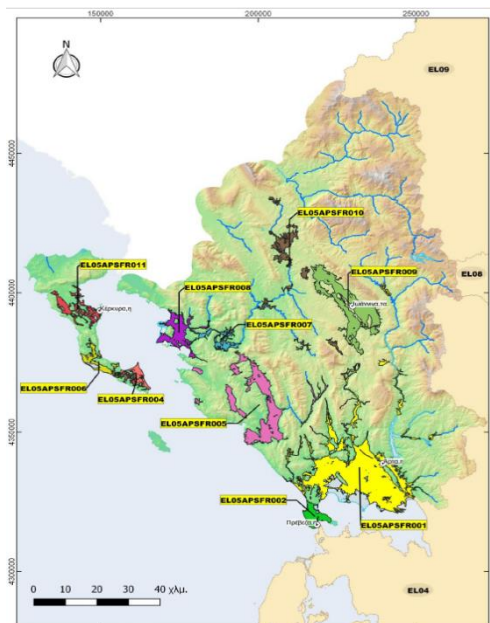




ΕΛΛΗΝΙΚΗ ΔΗΜΟΚΡΑΤΙΑ



**ΓΕΝΙΚΗ ΓΡΑΜΜΑΤΕΙΑ ΦΥΣΙΚΟΥ ΠΕΡΙΒΑΛΛΟΝΤΟΣ  
ΚΑΙ ΥΔΑΤΩΝ  
ΓΕΝΙΚΗ ΔΙΕΥΘΥΝΣΗ ΥΔΑΤΩΝ**



**1<sup>η</sup> ΑΝΑΘΕΩΡΗΣΗ  
ΣΧΕΔΙΟΥ ΔΙΑΧΕΙΡΙΣΗΣ ΚΙΝΔΥΝΩΝ ΠΛΗΜΜΥΡΑΣ  
των Λεκανών Απορροής Ποταμών του  
Υδατικού Διαμερίσματος Ηπείρου (EL05)**

**Στάδιο 1 – Παραδοτέο 4**

**ΠΛΗΜΜΥΡΙΚΑ ΥΔΡΟΓΡΑΦΗΜΑΤΑ**

**Παράρτημα Π5.8:  
Υδρολογική Ανάλυση λεκάνης ποταμού Λούρου**



Ευρωπαϊκή Ένωση  
Ταμείο Συνοχής



Με τη συγχρηματοδότηση της Ελλάδας και της Ευρωπαϊκής Ένωσης

## Περιεχόμενα

<b><u>1 ΜΟΝΤΕΛΟ ΥΔΡΟΛΟΓΙΚΗΣ ΠΡΟΣΟΜΟΙΩΣΗΣ ΛΕΚΑΝΗΣ ΑΠΟΡΡΟΗΣ</u></b>	<b>4</b>
<b><u>2 ΔΕΔΟΜΕΝΑ ΕΙΣΟΔΟΥ ΚΑΙ ΑΠΟΤΕΛΕΣΜΑΤΑ ΥΔΡΟΛΟΓΙΚΟΥ ΣΕΝΑΡΙΟΥ T=50</u></b>	<b>9</b>
2.1 ΑΠΟΤΕΛΕΣΜΑΤΑ, ΥΕΤΟΓΡΑΦΗΜΑΤΑ ΚΑΙ ΥΔΡΟΓΡΑΦΗΜΑΤΑ ΣΧΕΔΙΑΣΜΟΥ ΥΠΟΛΕΚΑΝΩΝ	10
2.2 ΔΕΔΟΜΕΝΑ ΚΑΙ ΥΔΡΟΓΡΑΦΗΜΑΤΑ ΣΧΕΔΙΑΣΜΟΥ ΚΛΑΔΩΝ ΥΔΡΟΓΡΑΦΙΚΟΥ ΔΙΚΤΥΟΥ	44
2.3 ΔΕΔΟΜΕΝΑ ΚΑΙ ΥΔΡΟΓΡΑΦΗΜΑΤΑ ΣΧΕΔΙΑΣΜΟΥ ΚΟΜΒΩΝ ΥΔΡΟΓΡΑΦΙΚΟΥ ΔΙΚΤΥΟΥ	64
<b><u>3 ΔΕΔΟΜΕΝΑ ΕΙΣΟΔΟΥ ΚΑΙ ΑΠΟΤΕΛΕΣΜΑΤΑ ΥΔΡΟΛΟΓΙΚΟΥ ΣΕΝΑΡΙΟΥ T=50L</u></b>	<b>85</b>
3.1 ΑΠΟΤΕΛΕΣΜΑΤΑ, ΥΕΤΟΓΡΑΦΗΜΑΤΑ ΚΑΙ ΥΔΡΟΓΡΑΦΗΜΑΤΑ ΣΧΕΔΙΑΣΜΟΥ ΥΠΟΛΕΚΑΝΩΝ	86
3.2 ΔΕΔΟΜΕΝΑ ΚΑΙ ΥΔΡΟΓΡΑΦΗΜΑΤΑ ΣΧΕΔΙΑΣΜΟΥ ΚΛΑΔΩΝ ΥΔΡΟΓΡΑΦΙΚΟΥ ΔΙΚΤΥΟΥ	120
3.3 ΔΕΔΟΜΕΝΑ ΚΑΙ ΥΔΡΟΓΡΑΦΗΜΑΤΑ ΣΧΕΔΙΑΣΜΟΥ ΚΟΜΒΩΝ ΥΔΡΟΓΡΑΦΙΚΟΥ ΔΙΚΤΥΟΥ	140
<b><u>4 ΔΕΔΟΜΕΝΑ ΕΙΣΟΔΟΥ ΚΑΙ ΑΠΟΤΕΛΕΣΜΑΤΑ ΥΔΡΟΛΟΓΙΚΟΥ ΣΕΝΑΡΙΟΥ T=50U</u></b>	<b>161</b>
4.1 ΑΠΟΤΕΛΕΣΜΑΤΑ, ΥΕΤΟΓΡΑΦΗΜΑΤΑ ΚΑΙ ΥΔΡΟΓΡΑΦΗΜΑΤΑ ΣΧΕΔΙΑΣΜΟΥ ΥΠΟΛΕΚΑΝΩΝ	162
4.2 ΔΕΔΟΜΕΝΑ ΚΑΙ ΥΔΡΟΓΡΑΦΗΜΑΤΑ ΣΧΕΔΙΑΣΜΟΥ ΚΛΑΔΩΝ ΥΔΡΟΓΡΑΦΙΚΟΥ ΔΙΚΤΥΟΥ	196
4.3 ΔΕΔΟΜΕΝΑ ΚΑΙ ΥΔΡΟΓΡΑΦΗΜΑΤΑ ΣΧΕΔΙΑΣΜΟΥ ΚΟΜΒΩΝ ΥΔΡΟΓΡΑΦΙΚΟΥ ΔΙΚΤΥΟΥ	216
<b><u>5 ΔΕΔΟΜΕΝΑ ΕΙΣΟΔΟΥ ΚΑΙ ΑΠΟΤΕΛΕΣΜΑΤΑ ΥΔΡΟΛΟΓΙΚΟΥ ΣΕΝΑΡΙΟΥ T=100</u></b>	<b>237</b>
5.1 ΑΠΟΤΕΛΕΣΜΑΤΑ, ΥΕΤΟΓΡΑΦΗΜΑΤΑ ΚΑΙ ΥΔΡΟΓΡΑΦΗΜΑΤΑ ΣΧΕΔΙΑΣΜΟΥ ΥΠΟΛΕΚΑΝΩΝ	238
5.2 ΔΕΔΟΜΕΝΑ ΚΑΙ ΥΔΡΟΓΡΑΦΗΜΑΤΑ ΣΧΕΔΙΑΣΜΟΥ ΚΛΑΔΩΝ ΥΔΡΟΓΡΑΦΙΚΟΥ ΔΙΚΤΥΟΥ	272
5.3 ΔΕΔΟΜΕΝΑ ΚΑΙ ΥΔΡΟΓΡΑΦΗΜΑΤΑ ΣΧΕΔΙΑΣΜΟΥ ΚΟΜΒΩΝ ΥΔΡΟΓΡΑΦΙΚΟΥ ΔΙΚΤΥΟΥ	292
<b><u>6 ΔΕΔΟΜΕΝΑ ΕΙΣΟΔΟΥ ΚΑΙ ΑΠΟΤΕΛΕΣΜΑΤΑ ΥΔΡΟΛΟΓΙΚΟΥ ΣΕΝΑΡΙΟΥ T=100L</u></b>	<b>313</b>
6.1 ΑΠΟΤΕΛΕΣΜΑΤΑ, ΥΕΤΟΓΡΑΦΗΜΑΤΑ ΚΑΙ ΥΔΡΟΓΡΑΦΗΜΑΤΑ ΣΧΕΔΙΑΣΜΟΥ ΥΠΟΛΕΚΑΝΩΝ	314
6.2 ΔΕΔΟΜΕΝΑ ΚΑΙ ΥΔΡΟΓΡΑΦΗΜΑΤΑ ΣΧΕΔΙΑΣΜΟΥ ΚΛΑΔΩΝ ΥΔΡΟΓΡΑΦΙΚΟΥ ΔΙΚΤΥΟΥ	348
6.3 ΔΕΔΟΜΕΝΑ ΚΑΙ ΥΔΡΟΓΡΑΦΗΜΑΤΑ ΣΧΕΔΙΑΣΜΟΥ ΚΟΜΒΩΝ ΥΔΡΟΓΡΑΦΙΚΟΥ ΔΙΚΤΥΟΥ	368
<b><u>7 ΔΕΔΟΜΕΝΑ ΕΙΣΟΔΟΥ ΚΑΙ ΑΠΟΤΕΛΕΣΜΑΤΑ ΥΔΡΟΛΟΓΙΚΟΥ ΣΕΝΑΡΙΟΥ T=100U</u></b>	<b>389</b>
7.1 ΑΠΟΤΕΛΕΣΜΑΤΑ, ΥΕΤΟΓΡΑΦΗΜΑΤΑ ΚΑΙ ΥΔΡΟΓΡΑΦΗΜΑΤΑ ΣΧΕΔΙΑΣΜΟΥ ΥΠΟΛΕΚΑΝΩΝ	390
7.2 ΔΕΔΟΜΕΝΑ ΚΑΙ ΥΔΡΟΓΡΑΦΗΜΑΤΑ ΣΧΕΔΙΑΣΜΟΥ ΚΛΑΔΩΝ ΥΔΡΟΓΡΑΦΙΚΟΥ ΔΙΚΤΥΟΥ	424
7.3 ΔΕΔΟΜΕΝΑ ΚΑΙ ΥΔΡΟΓΡΑΦΗΜΑΤΑ ΣΧΕΔΙΑΣΜΟΥ ΚΟΜΒΩΝ ΥΔΡΟΓΡΑΦΙΚΟΥ ΔΙΚΤΥΟΥ	444
<b><u>8 ΔΕΔΟΜΕΝΑ ΕΙΣΟΔΟΥ ΚΑΙ ΑΠΟΤΕΛΕΣΜΑΤΑ ΥΔΡΟΛΟΓΙΚΟΥ ΣΕΝΑΡΙΟΥ T=1000</u></b>	<b>465</b>
8.1 ΑΠΟΤΕΛΕΣΜΑΤΑ, ΥΕΤΟΓΡΑΦΗΜΑΤΑ ΚΑΙ ΥΔΡΟΓΡΑΦΗΜΑΤΑ ΣΧΕΔΙΑΣΜΟΥ ΥΠΟΛΕΚΑΝΩΝ	466
8.2 ΔΕΔΟΜΕΝΑ ΚΑΙ ΥΔΡΟΓΡΑΦΗΜΑΤΑ ΣΧΕΔΙΑΣΜΟΥ ΚΛΑΔΩΝ ΥΔΡΟΓΡΑΦΙΚΟΥ ΔΙΚΤΥΟΥ	500
8.3 ΔΕΔΟΜΕΝΑ ΚΑΙ ΥΔΡΟΓΡΑΦΗΜΑΤΑ ΣΧΕΔΙΑΣΜΟΥ ΚΟΜΒΩΝ ΥΔΡΟΓΡΑΦΙΚΟΥ ΔΙΚΤΥΟΥ	520

## **9 ΔΕΔΟΜΕΝΑ ΕΙΣΟΔΟΥ ΚΑΙ ΑΠΟΤΕΛΕΣΜΑΤΑ ΥΔΡΟΛΟΓΙΚΟΥ ΣΕΝΑΡΙΟΥ T=1000L541**

<b>9.1</b>	<b>ΑΠΟΤΕΛΕΣΜΑΤΑ, ΥΕΤΟΓΡΑΦΗΜΑΤΑ ΚΑΙ ΥΔΡΟΓΡΑΦΗΜΑΤΑ ΣΧΕΔΙΑΣΜΟΥ ΥΠΟΛΕΚΑΝΩΝ</b>	<b>542</b>
<b>9.2</b>	<b>ΔΕΔΟΜΕΝΑ ΚΑΙ ΥΔΡΟΓΡΑΦΗΜΑΤΑ ΣΧΕΔΙΑΣΜΟΥ ΚΛΑΔΩΝ ΥΔΡΟΓΡΑΦΙΚΟΥ ΔΙΚΤΥΟΥ</b>	<b>576</b>
<b>9.3</b>	<b>ΔΕΔΟΜΕΝΑ ΚΑΙ ΥΔΡΟΓΡΑΦΗΜΑΤΑ ΣΧΕΔΙΑΣΜΟΥ ΚΟΜΒΩΝ ΥΔΡΟΓΡΑΦΙΚΟΥ ΔΙΚΤΥΟΥ</b>	<b>596</b>

## **10 ΔΕΔΟΜΕΝΑ ΕΙΣΟΔΟΥ ΚΑΙ ΑΠΟΤΕΛΕΣΜΑΤΑ ΥΔΡΟΛΟΓΙΚΟΥ ΣΕΝΑΡΙΟΥ T=1000U617**

<b>10.1</b>	<b>ΑΠΟΤΕΛΕΣΜΑΤΑ, ΥΕΤΟΓΡΑΦΗΜΑΤΑ ΚΑΙ ΥΔΡΟΓΡΑΦΗΜΑΤΑ ΣΧΕΔΙΑΣΜΟΥ ΥΠΟΛΕΚΑΝΩΝ</b>	<b>618</b>
<b>10.2</b>	<b>ΔΕΔΟΜΕΝΑ ΚΑΙ ΥΔΡΟΓΡΑΦΗΜΑΤΑ ΣΧΕΔΙΑΣΜΟΥ ΚΛΑΔΩΝ ΥΔΡΟΓΡΑΦΙΚΟΥ ΔΙΚΤΥΟΥ</b>	<b>652</b>
<b>10.3</b>	<b>ΔΕΔΟΜΕΝΑ ΚΑΙ ΥΔΡΟΓΡΑΦΗΜΑΤΑ ΣΧΕΔΙΑΣΜΟΥ ΚΟΜΒΩΝ ΥΔΡΟΓΡΑΦΙΚΟΥ ΔΙΚΤΥΟΥ</b>	<b>672</b>

# 1 Μοντέλο Υδρολογικής Προσομοίωσης Λεκάνης Απορροής

Το μοντέλο υδρολογικής προσομοίωσης της λεκάνης απορροής του ποταμού Λούρου περιλαμβάνει 33 υπολεκάνες, 21 κόμβους και 20 κλάδους του υδρογραφικού δικτύου. Στον κόμβο J21 βρίσκεται το ομώνυμο φράγμα, ανάντη του οποίου αναπτύσσεται μικρός ταμιευτήρας, που λόγω της πλήρωσής του με φερτά λειτουργεί, στην πράξη, ως μικρό υδροηλεκτρικό έργο (χωρίς αναρρύθμιση). Η λεκάνη απορροής ανάντη του φράγματος έχει έκταση 319 km<sup>2</sup>. Το κατάντη τμήμα του ποταμού, μετά τον κόμβο J7, είναι διευθετημένο και προστατεύεται από αναχώματα. Μάλιστα, το αριστερό ανάχωμα ορίζει έναν τεχνητό υδροκρίτη, που εμποδίζει την εισροή νερού από το ανατολικό τμήμα της λεκάνης. Το τμήμα αυτό, που εκτείνεται μεταξύ του κάτω ρου των ποταμών Άραχθου και Λούρου (πεδιάδα Άρτας), προσομοιώνεται ως κλειστό υδρολογικό σύστημα (λεκάνη EL0513FR00011).

Η σχηματοποίηση του υδρολογικού συστήματος απεικονίζεται στον χάρτη στην Εικόνα 5-2.

Για την προσομοίωση της διόδευσης από τον υπερχειλιστή του ταμιευτήρα Λούρου, γίνεται η παραδοχή ότι κατά την έναρξη όλων των επεισοδίων βροχής, ο ταμιευτήρας είναι σε πλήρη πλήρωση (στάθμη υπερχειλίστη, +96.0 m), ενώ καθ' όλη τη διάρκεια της προσομοίωσης πραγματοποιείται εκροή μόνο διαμέσου του υπερχειλίστη (η διάρκεια την πλημμύρας είναι τέτοια που η υπόθεση λειτουργίας των στροβίλων στην πλήρη παροχετευτικότητά τους οδηγεί σε άδεια του ταμιευτήρα). Λαμβάνεται ελεύθερος υπερχειλιστής, ενεργού πλάτους  $b = 73.5$  m και συντελεστή απωλειών  $c = 2.00$ . Τέλος, εφαρμόζεται η σχέση στάθμης-αποθέματος του ταμιευτήρα, το γράφημα της οποίας δίνεται στην Εικόνα 5-11.

Τα χαρακτηριστικά μεγέθη της συνολικής λεκάνης είναι:

- Έκταση  $A = 818.5$  km<sup>2</sup>
- Μέσο υψόμετρο  $z_m = 215.0$  m
- Υψόμετρο κόμβου εξόδου  $z_k = 0.0$  m
- Μέγιστο μήκος ροής  $L_{\max} = 56.7$  km
- Χρόνος συγκέντρωσης  $t_c = 17.0$  h

Για την υδρολογική προσομοίωση επιλέγεται διάρκεια βροχής  $D = 48$  h και χρονικό βήμα  $\Delta t = 15$  min.

Για την παραπάνω έκταση και διάρκεια προκύπτει συντελεστής επιφανειακής αναγωγής  $\varphi = 0.912$ .

Σημειώνεται, ακόμη, ότι ως μέσο υψόμετρο, το οποίο χρησιμοποιείται για την εκτίμηση του χρόνου συγκέντρωσης της λεκάνης, λαμβάνεται η διάμεσος τιμή και όχι ο μέσος όρος των υψομέτρων, δεδομένου ότι σε μεγάλο μέρος της λεκάνης αναπτύσσονται εξαιρετικά μικρές κλίσεις.

Τα χαρακτηριστικά γεωμετρικά μεγέθη των κλάδων και υπολεκανών του υδρογραφικού δικτύου δίνονται στους Πίνακες 5-17 και 5-18, αντίστοιχα, ενώ τα συγκεντρωτικά αποτελέσματα της συνολικής λεκάνης απορροής δίνονται στον Πίνακα 5-19. Στο Παράρτημα Π8 δίνονται τα πλήρη δεδομένα εισόδου και εξόδου του μοντέλου προσομοίωσης για όλες τις συνιστώσες του δικτύου (υπολεκάνες, κόμβοι, κλάδοι), και τα αντίστοιχα γραφήματα.

**Πίνακας** Error! No text of specified style in document.-1 Χαρακτηριστικά μεγέθη κλάδων υδρογραφικού δικτύου (υδατορεύματα)

Κωδικός	Ονομασία	Ανάντη	Κατάντη	Μήκος (km)	Μέση κλίση
R21	Λούρος	J2	J1	3.138	0.0005
R32	Λούρος	J3	J2	4.844	0.0005
R43	Λούρος	J4	J3	3.595	0.0001
54	Λούρος	J5	J4	1.195	0.0044
R65	Λούρος	J6	J5	8.499	0.0003
R76	Λούρος	J7	J6	5.041	0.0006
R87	Λούρος	J8	J7	5.571	0.0020
R218	Λούρος	J21	J8	9.241	0.0014
R921	Λούρος	J9	J21	9.241	0.0028
R109	Λούρος	J10	J9	11.275	0.0031
R1110	Λούρος	J11	J10	1.127	0.0074
R1211	Λούρος	J12	J11	16.009	0.0082

Κωδικός	Ονομασία	Ανάντη	Κατάντη	Μήκος (km)	Μέση κλίση
R1312		J13	J12	2.367	0.0160
R147		J14	J7	11.597	0.0107
R155		J15	J5	4.841	0.0015
R1615		J16	J15	4.027	0.0042
R1715		J17	J15	21.806	0.0041
R184		J18	J4	3.968	0.0041
R193		J19	J3	1.851	0.0039
R2019		J20	J19	4.256	0.0019

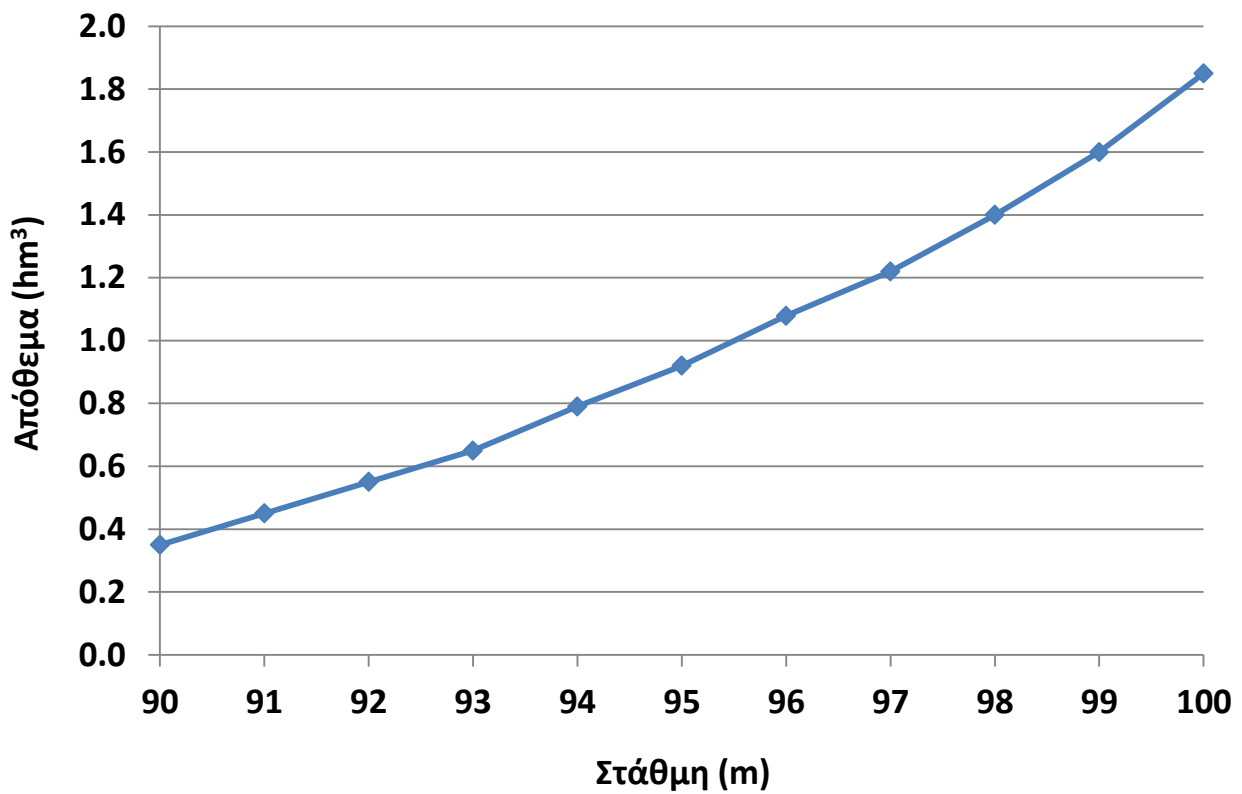
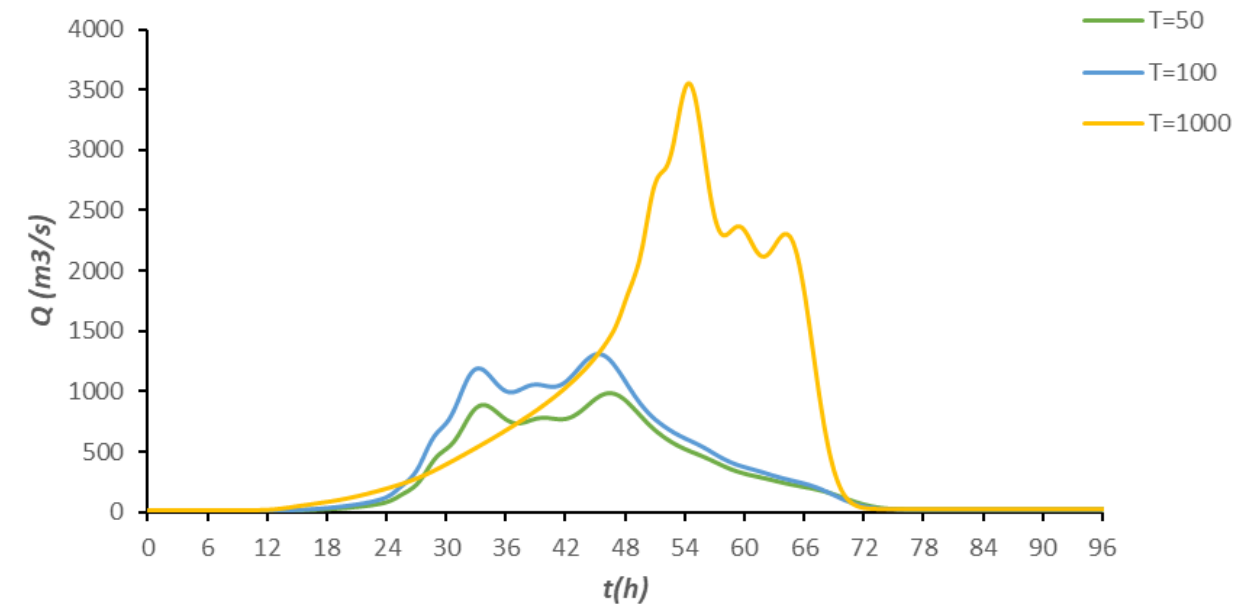
**Πίνακας Error! No text of specified style in document.-2 Χαρακτηριστικά μεγέθη υπολεκανών**

Κωδικός	Λεκάνη απορροής	Κλάδος	Κόμβος εξόδου	Έκταση (km <sup>2</sup> )	Μέσο υψόμετρο (m)	Υψόμετρο εξόδου (m)	Μέγιστο μήκος ροής (km)
EL0513FR005001	EL0513FR00005	R21	J1	9.833	35.5	0.0	6.742
EL0513FR005002	EL0513FR00005	R32	J2	6.786	9.5	1.7	6.663
EL0513FR005003	EL0513FR00005	R193	J3	2.795	11.7	0.0	3.728
EL0513FR005004	EL0513FR00005	R43	J3	17.162	69.7	0.0	6.960
EL0513FR005005	EL0513FR00005	R54	J4	3.126	10.4	4.6	2.992
EL0513FR005006	EL0513FR00005	R65	J5	19.600	88.5	9.8	6.506
EL0513FR005007	EL0513FR00005	R76	J6	4.198	27.9	12.5	3.750
EL0513FR005008	EL0513FR00005	R87	J7	11.228	48.7	4.1	7.023
EL0513FR005009	EL0513FR00005	R218	J8	19.123	182.2	16.8	10.098
EL0513FR005010	EL0513FR00005	R109	J9	36.473	279.4	115.2	15.750
EL0513FR005011	EL0513FR00005	R1110	J10	4.016	439.8	152.8	6.215
EL0513FR005012	EL0513FR00005	R1211	J11	74.491	617.5	161.0	21.793
EL0513FR005013	EL0513FR00005	R1312	J12	8.719	493.4	286.4	6.665
EL0513FR005014	EL0513FR00005		J13	17.213	876.0	331.3	10.259
EL0513FR005015	EL0513FR00005		J13	56.912	834.4	332.5	16.659
EL0513FR005016	EL0513FR00005		J12	70.549	772.1	287.3	17.169
EL0513FR005017	EL0513FR00005		J11	33.261	1035.0	164.9	13.742
EL0513FR005018	EL0513FR00005		J11	14.021	756.7	162.1	9.670
EL0513FR005019	EL0513FR00005	R1715	J15	105.270	257.8	14.2	24.146
EL0513FR005020	EL0513FR00005		J14	49.324	683.5	140.4	15.684
EL0513FR005021	EL0513FR00005		J19	21.129	168.6	1.9	11.580
EL0513FR005022	EL0513FR00005		J20	8.225	54.7	19.5	4.586
EL0513FR005023	EL0513FR00005	R2019	J19	11.054	39.4	1.2	9.041
EL0513FR005024	EL0513FR00005	R184	J4	5.881	43.1	1.5	5.398
EL0513FR005025	EL0513FR00005	R147	J7	50.606	109.6	4.1	13.310
EL0513FR005026	EL0513FR00005		J18	20.262	215.4	21.8	9.006
EL0513FR005027	EL0513FR00005		J18	40.562	348.1	21.6	16.845
EL0513FR005028	EL0513FR00005		J17	26.175	534.0	102.3	9.071
EL0513FR005029	EL0513FR00005		J9	21.975	590.5	120.1	12.806
EL0513FR005030	EL0513FR00005	R155	J5	13.434	170.1	0.2	6.172
EL0513FR005031	EL0513FR00005	R1615	J15	13.120	206.5	17.1	7.618
EL0513FR005032	EL0513FR00005		J16	17.352	514.1	32.4	11.761
EL0513FR005033	EL0513FR00005	R921	J21	4.625	238.0	88.5	3.872

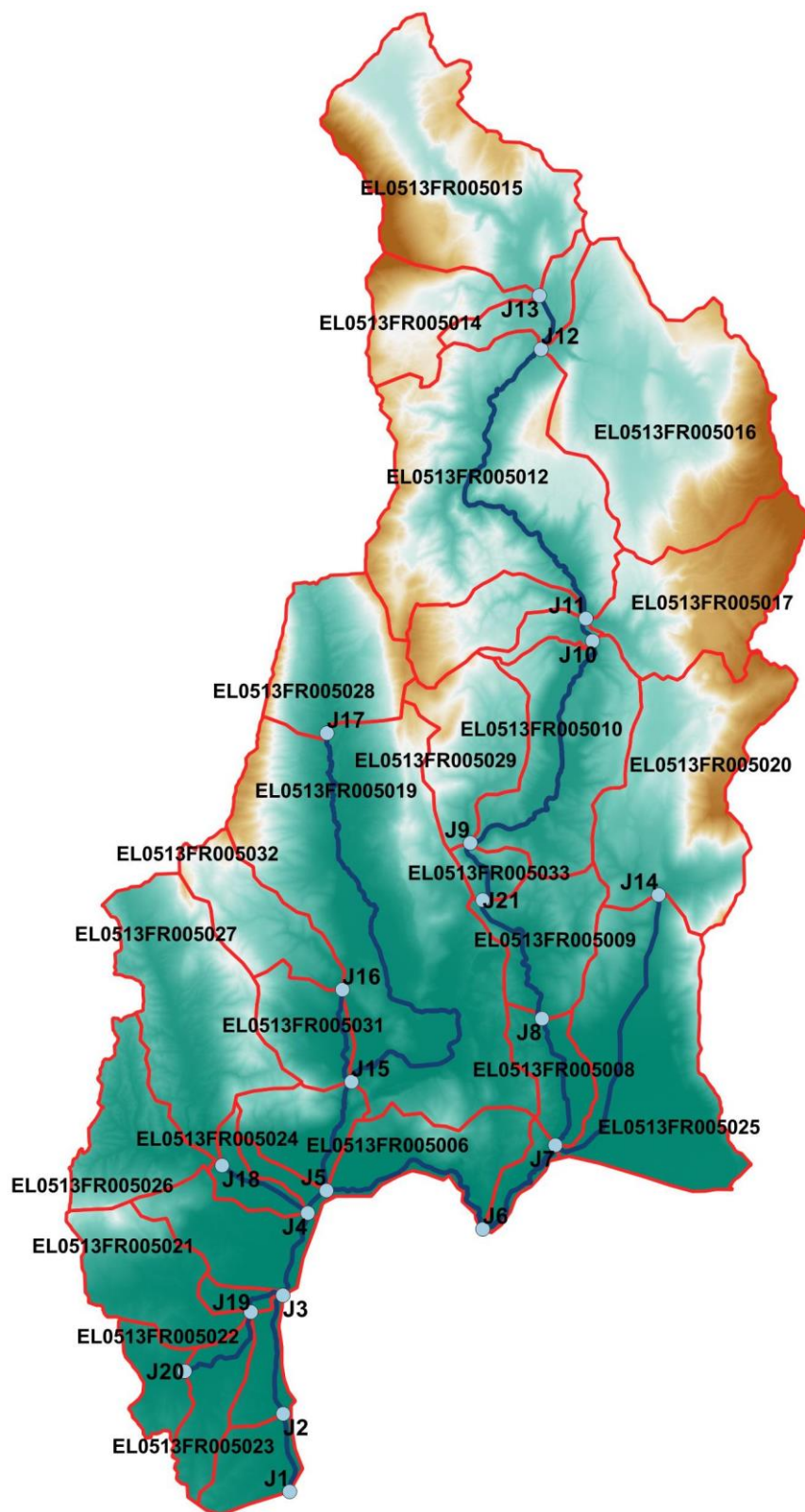
**Πίνακας Error! No text of specified style in document.-3 Συγκεντρωτικά αποτελέσματα υδρολογικής προσομοίωσης περιοχής μελέτης**

<b>Χαρακτηριστικά μεγέθη λεκάνης απορροής Λούρου</b>			
Έκταση (km <sup>2</sup> )	818.45	Υψόμετρο εξόδου (m)	0.0
Αδιαπέρατη επιφάνεια (%)	0.00	Χρόνος συγκέντρωσης (h)	17.01
Μέγιστο μήκος ροής (km)	56.70	Διάρκεια βροχόπτωσης σχεδιασμού (h)	48.00
Μέσο υψόμετρο (m)	215.0	Χρονικό βήμα (h)	0.25
<b>Συγκεντρωτικά αποτελέσματα υδρολογικής προσομοίωσης λεκάνης</b>			
	Ευμενείς συνθήκες	Μέσες συνθήκες	Δυσμενείς συνθήκες
	<b>Ολικό ύψος επιφανειακής βροχής (mm)</b>		
T = 50	230.1	230.1	230.1
T = 100	269.4	269.4	269.4
T = 1000	441.6	441.6	441.6
	<b>Ολικό ύψος πλημμυρικής απορροής (mm)</b>		
T = 50	45.0	108.0	161.5
T = 100	65.3	139.7	198.4
T = 1000	176.8	290.5	364.6
	<b>Συντελεστής απορροής</b>		
T = 50	0.196	0.469	0.702
T = 100	0.242	0.519	0.737
T = 1000	0.400	0.658	0.826
	<b>Πλημμυρική παροχή αιχμής (m<sup>3</sup>/s)</b>		
T = 50	351.1	966	1443.6
T = 100	535.3	1287.3	1809
T = 1000	2508.2	3524.6	3964.4
	<b>Πλημμυρικός όγκος (hm<sup>3</sup>)</b>		
T = 50	36.842	88.401	132.148
T = 100	53.448	114.363	162.430
T = 1000	144.703	237.794	298.455
	<b>Συνολική παροχή αιχμής (m<sup>3</sup>/s)</b>		
T = 50	367.5	982.3	1460.0
T = 100	553.3	1305.3	1827.0
T = 1000	2532.8	3549.2	3988.9
	<b>Συνολικός όγκος υδρογραφήματος (hm<sup>3</sup>)</b>		
T = 50	57.664	109.258	153.036
T = 100	76.381	137.338	185.439
T = 1000	176.103	269.259	329.961

Υδρογραφήματα σχεδιασμού στον κόμβο εξόδου(μέσες συνθήκες)



**Εικόνα** Error! No text of specified style in document.-1 Σχέση στάθμης-αποθέματος ταμιευτήρα Λούρου (στέψη υπερχειλιστή +96.0 m)



**Εικόνα 5-2** Χάρτης περιοχής μελέτης, όπου απεικονίζεται η σχηματοποίηση των κόμβων και κλάδων του υδρογραφικού δικτύου και των υπολεκανών



## **2    Δεδομένα εισόδου και αποτελέσματα υδρολογικού σεναρίου T=50**

## **2.1 Αποτελέσματα, υετογραφήματα και υδρογραφήματα σχεδιασμού υπολεκανών**

Υπολεκάνη: EL0513FR5001

Έκταση (KM2) : 9.83

Κατάνη : J1

Μέθοδος Απωλειών: SCS

Ποσοστό αδιαπέρατης επιφάνειας	0
Αριθμός Καμπύλης Απορροής-CN	82.1
Αρχικές Απώλειες	11.08

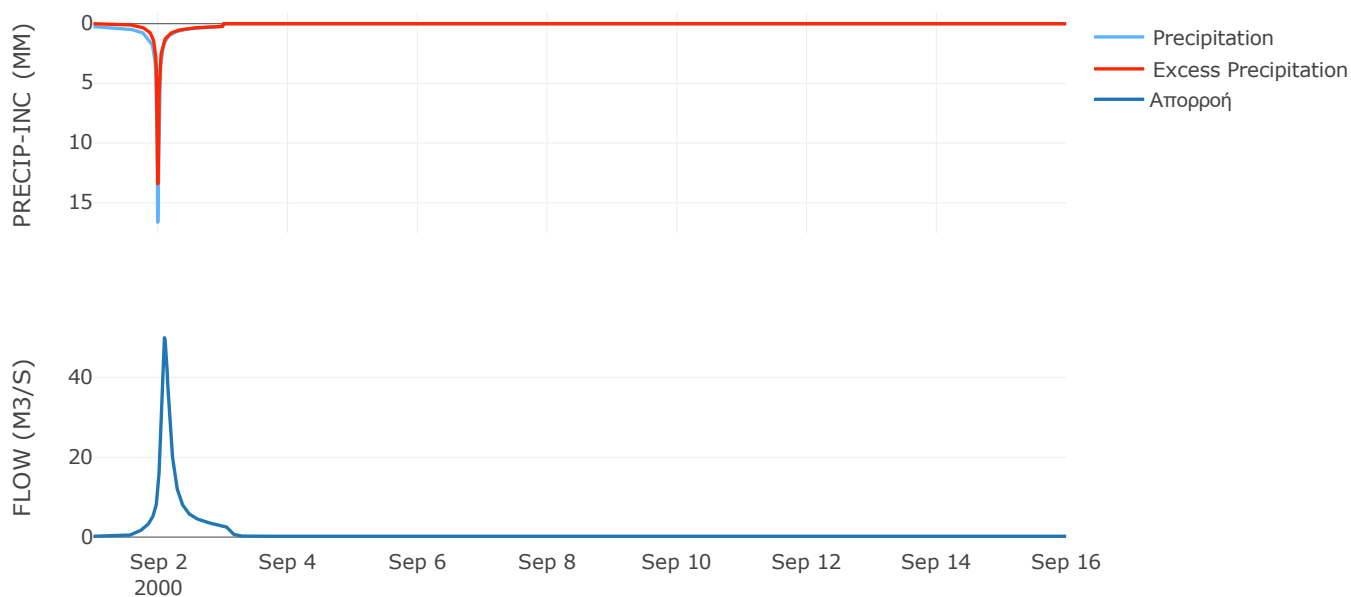
Μέθοδος  
Μετασχηματισμού: SCS

Χρόνος Υστέρησης	128.22
------------------	--------

Αποτελέσματα:  
EL0513FR5001

Παροχή αιχμής (M3/S)	49.89
Χρονική στιγμή αιχμής	02Sep2000, 02:15
Όγκος (MM)	145.61
Όγκος βροχόπτωσης (M3)	1.69E6
Όγκος απωλειών (M3)	5.14E5
Ενεργός Όγκος (M3)	1.18E6
Όγκος άμεσης απορροής (M3)	1.18E6
Όγκος βασικής απορροής (M3)	2.55E5

Βροχόπτωση και Απορροή



Υπολεκάνη: EL0513FR5002

Έκταση (KM2) : 6.79

Κατάντη : J2

Μέθοδος Απωλειών: SCS

Ποσοστό αδιαπέρατης επιφάνειας	0
Αριθμός Καμπύλης Απορροής-CN	84.05
Αρχικές Απώλειες	9.64

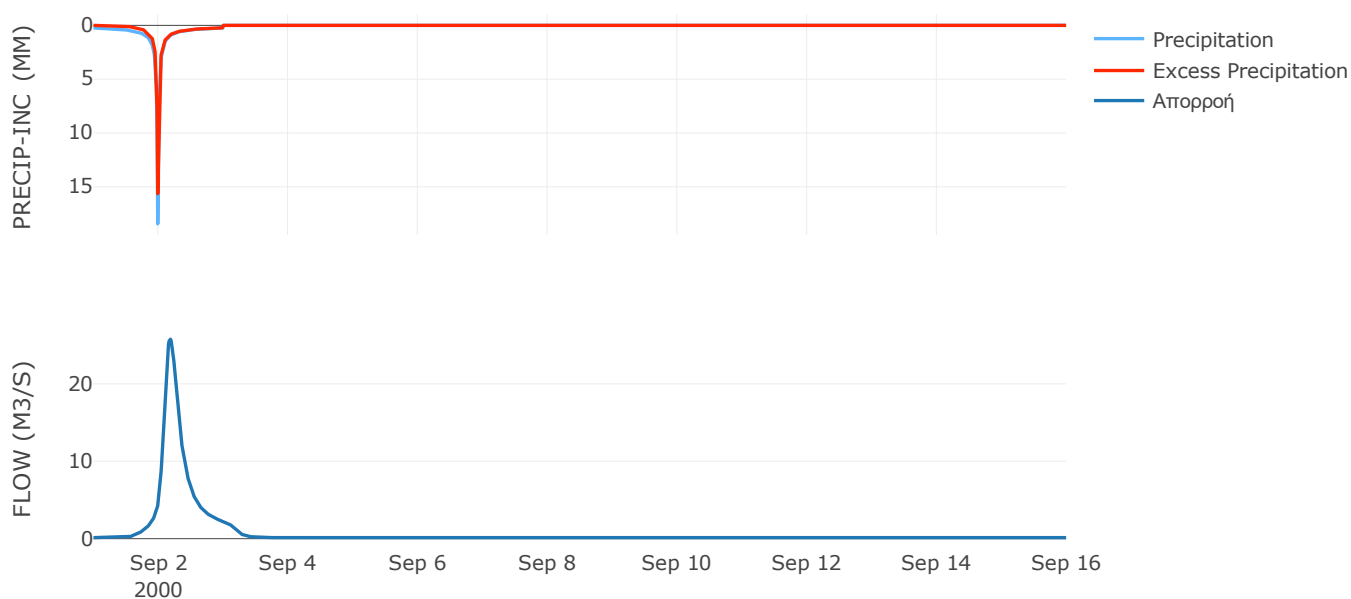
Μέθοδος  
Μετασχηματισμού: SCS

Χρόνος Υστέρησης	246.94
------------------	--------

Αποτελέσματα:  
EL0513FR5002

Παροχή αιχμής (M3/S)	25.78
Χρονική στιγμή αιχμής	02Sep2000, 04:15
Όγκος (MM)	158.3
Όγκος βροχόπτωσης (M3)	1.22E6
Όγκος απωλειών (M3)	3.2E5
Ενεργός Όγκος (M3)	8.98E5
Όγκος άμεσης απορροής (M3)	8.98E5
Όγκος βασικής απορροής (M3)	1.76E5

Βροχόπτωση και Απορροή



Υπολεκάνη: EL0513FR5003

Έκταση (KM2) : 2.79

Κατάντη : J3

Μέθοδος Απωλειών: SCS

Ποσοστό αδιαπέρατης επιφάνειας	0
Αριθμός Καμπύλης Απορροής-CN	81.42
Αρχικές Απώλειες	11.59

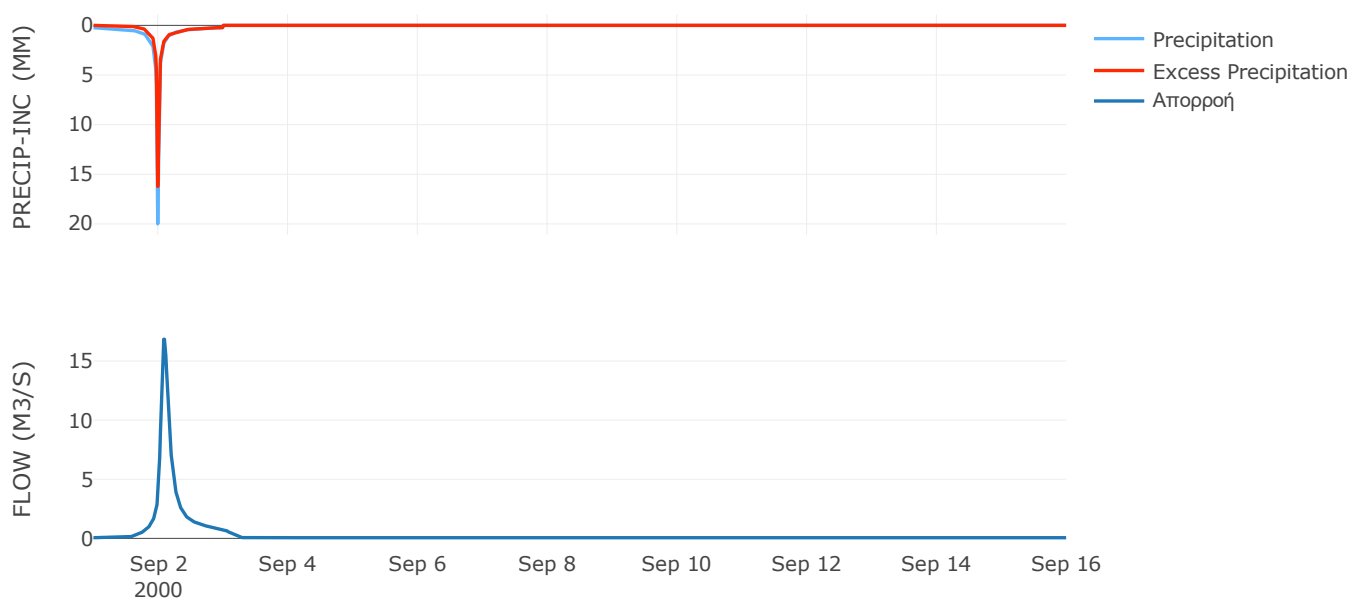
Μέθοδος  
Μετασχηματισμού: SCS

Χρόνος Υστέρησης	121.14
------------------	--------

Αποτελέσματα:  
EL0513FR5003

Παροχή αιχμής (M3/S)	16.85
Χρονική στιγμή αιχμής	02Sep2000, 02:00
Όγκος (MM)	155.63
Όγκος βροχόπτωσης (M3)	5.16E5
Όγκος απωλειών (M3)	1.54E5
Ενεργός Όγκος (M3)	3.63E5
Όγκος άμεσης απορροής (M3)	3.63E5
Όγκος βασικής απορροής (M3)	72445.1

Βροχόπτωση και Απορροή



Υπολεκάνη: EL0513FR5004

Έκταση (KM2) : 17.16

Κατάντη : J3

Μέθοδος Απωλειών: SCS

Ποσοστό αδιαπέρατης επιφάνειας	0
Αριθμός Καμπύλης Απορροής-CN	71.98
Αρχικές Απώλειες	19.77

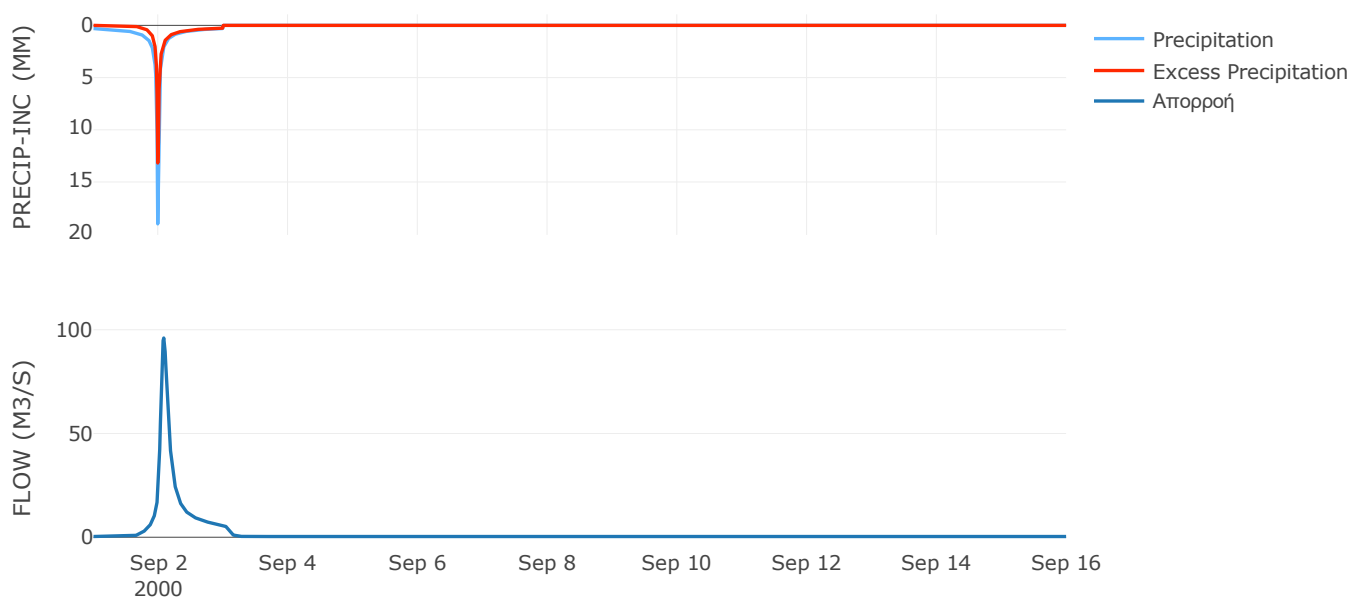
Μέθοδος  
Μετασχηματισμού: SCS

Χρόνος Υστέρησης	109.29
------------------	--------

Αποτελέσματα:  
EL0513FR5004

Παροχή αιχμής (M3/S)	96.03
Χρονική στιγμή αιχμής	02Sep2000, 02:00
Όγκος (MM)	149.87
Όγκος βροχόπτωσης (M3)	3.58E6
Όγκος απωλειών (M3)	1.45E6
Ενεργός Όγκος (M3)	2.13E6
Όγκος άμεσης απορροής (M3)	2.13E6
Όγκος βασικής απορροής (M3)	4.45E5

Βροχόπτωση και Απορροή



Υπολεκάνη: EL0513FR5005

Έκταση (KM2) : 3.13

Κατάντη : J4

Μέθοδος Απωλειών: SCS

Ποσοστό αδιαπέρατης επιφάνειας	0
Αριθμός Καμπύλης Απορροής-CN	80.19
Αρχικές Απώλειες	12.55

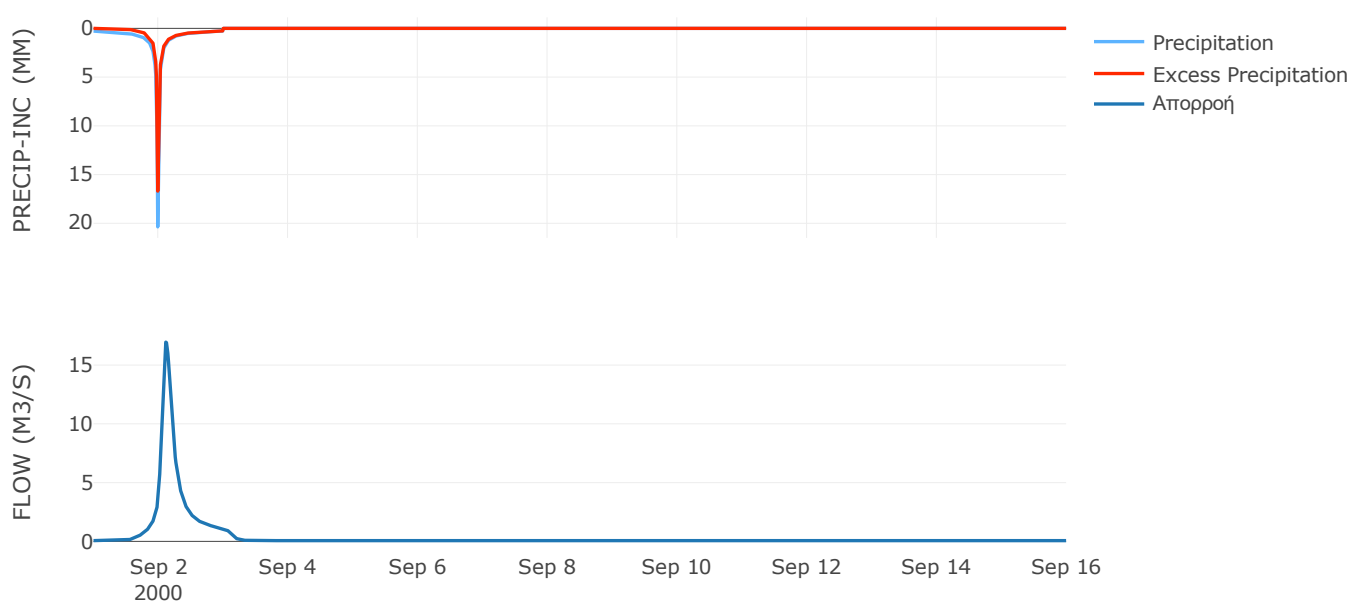
Μέθοδος  
Μετασχηματισμού: SCS

Χρόνος Υστέρησης	161.56
------------------	--------

Αποτελέσματα:  
EL0513FR5005

Παροχή αιχμής (M3/S)	16.95
Χρονική στιγμή αιχμής	02Sep2000, 02:45
Όγκος (MM)	171.72
Όγκος βροχόπτωσης (M3)	6.43E5
Όγκος απωλειών (M3)	1.87E5
Ενεργός Όγκος (M3)	4.56E5
Όγκος άμεσης απορροής (M3)	4.56E5
Όγκος βασικής απορροής (M3)	81033.7

Βροχόπτωση και Απορροή



Υπολεκάνη: EL0513FR5006

Έκταση (KM2) : 19.6

Κατάντη : J5

Μέθοδος Απωλειών: SCS

Ποσοστό αδιαπέρατης επιφάνειας	0
Αριθμός Καμπύλης Απορροής-CN	68.23
Αρχικές Απώλειες	23.66

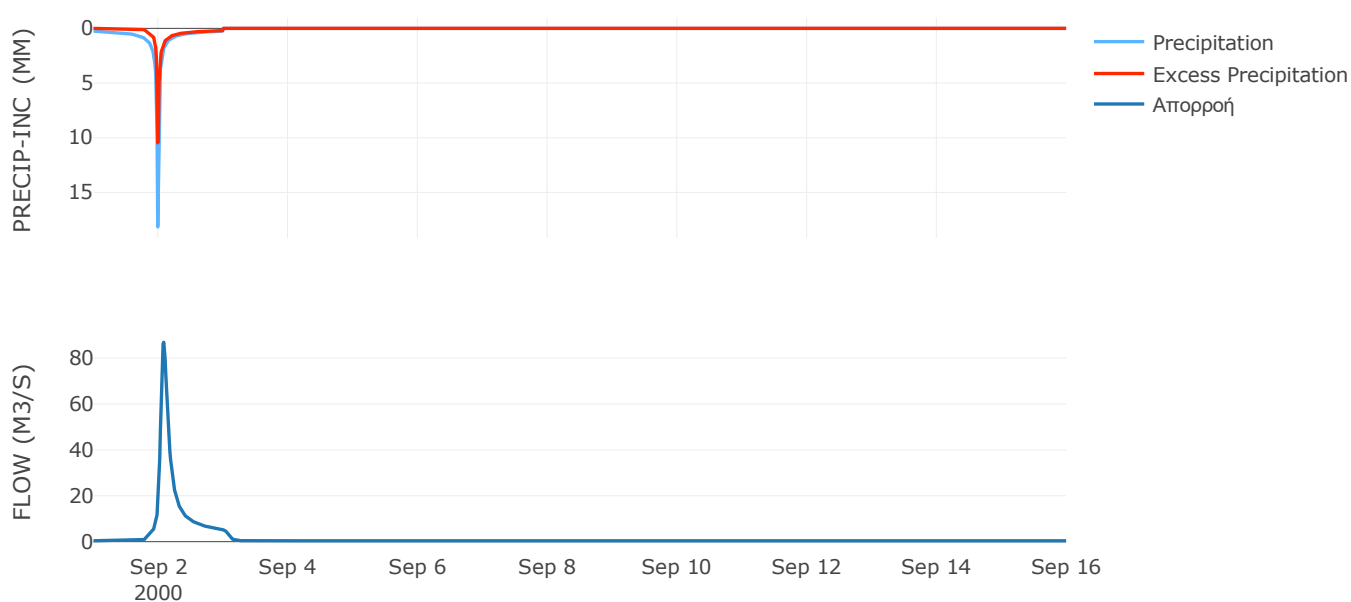
Μέθοδος  
Μετασχηματισμού: SCS

Χρόνος Υστέρησης	104.41
------------------	--------

Αποτελέσματα:  
EL0513FR5006

Παροχή αιχμής (M3/S)	86.85
Χρονική στιγμή αιχμής	02Sep2000, 02:00
Όγκος (MM)	117.8
Όγκος βροχόπτωσης (M3)	3.6E6
Όγκος απωλειών (M3)	1.8E6
Ενεργός Όγκος (M3)	1.8E6
Όγκος άμεσης απορροής (M3)	1.8E6
Όγκος βασικής απορροής (M3)	5.08E5

Βροχόπτωση και Απορροή





Υπολεκάνη: EL0513FR5007

Έκταση (KM2) : 4.2

Κατάντη : J6

Μέθοδος Απωλειών: SCS

Ποσοστό αδιαπέρατης επιφάνειας	0
Αριθμός Καμπύλης Απορροής-CN	79.07
Αρχικές Απώλειες	13.45

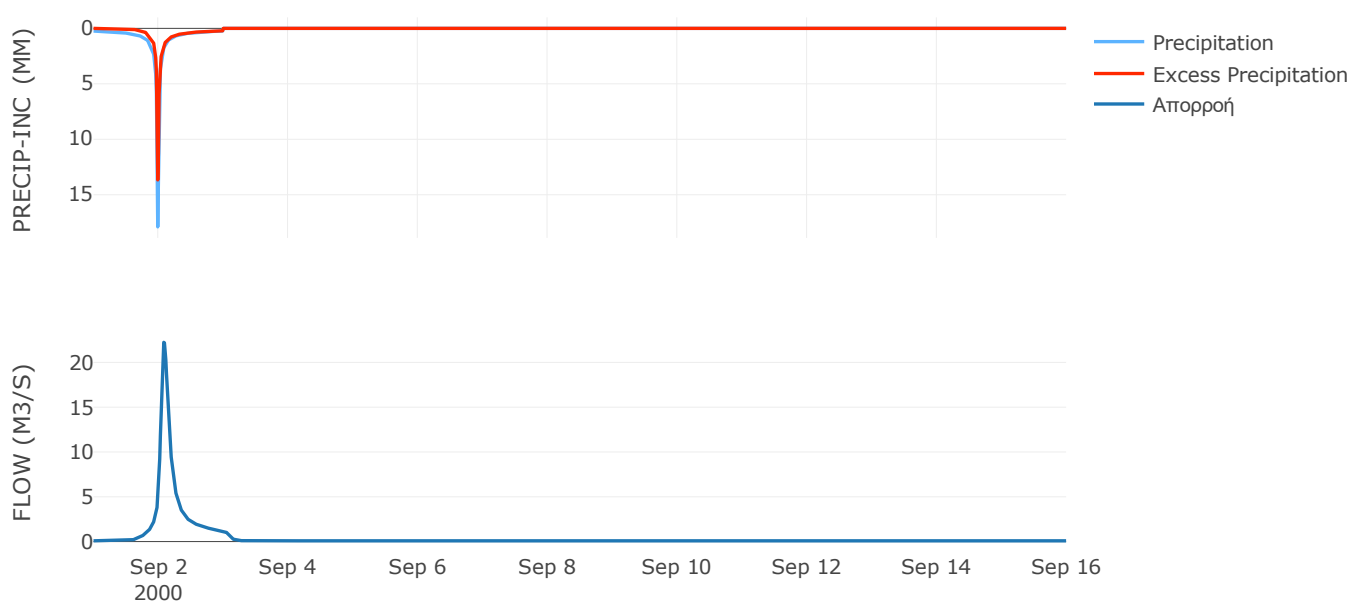
Μέθοδος  
Μετασχηματισμού: SCS

Χρόνος Υστέρησης	118.79
------------------	--------

Αποτελέσματα:  
EL0513FR5007

Παροχή αιχμής (M3/S)	22.25
Χρονική στιγμή αιχμής	02Sep2000, 02:00
Όγκος (MM)	142.72
Όγκος βροχόπτωσης (M3)	7.47E5
Όγκος απωλειών (M3)	2.57E5
Ενεργός Όγκος (M3)	4.9E5
Όγκος άμεσης απορροής (M3)	4.9E5
Όγκος βασικής απορροής (M3)	1.09E5

Βροχόπτωση και Απορροή



Υπολεκάνη: EL0513FR5008

Έκταση (KM2) : 11.23

Κατάντη : J7

Μέθοδος Απωλειών: SCS

Ποσοστό αδιαπέρατης επιφάνειας	0
Αριθμός Καμπύλης Απορροής-CN	78.2
Αρχικές Απώλειες	14.16

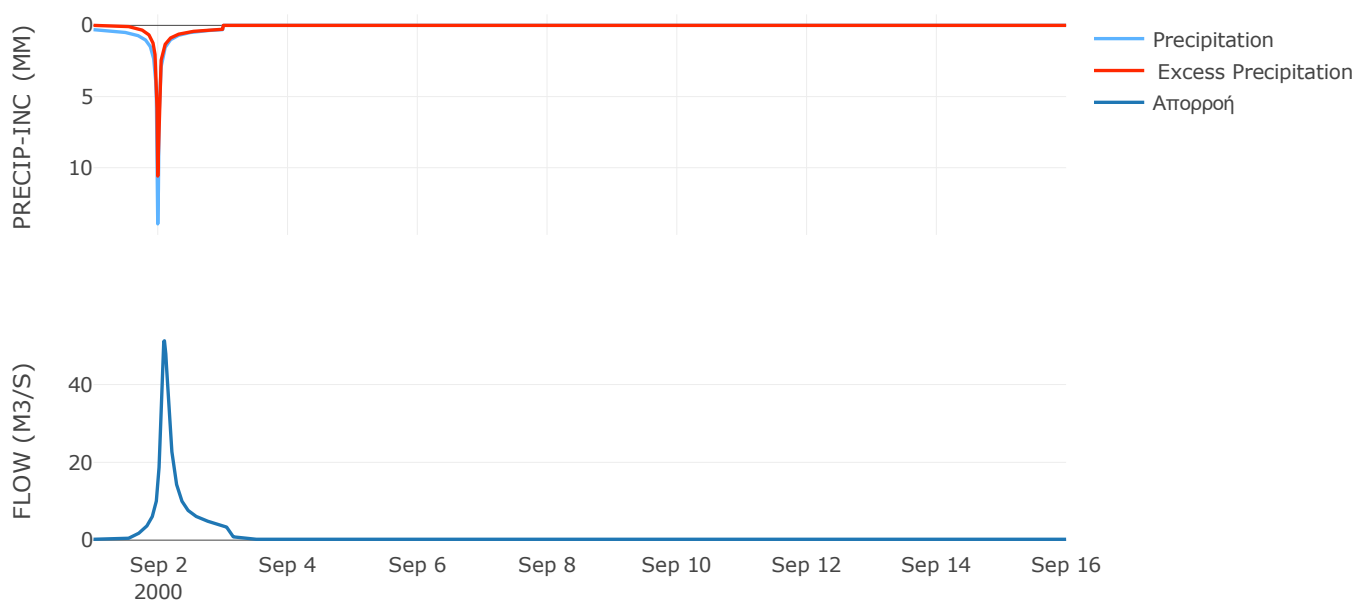
Μέθοδος  
Μετασχηματισμού: SCS

Χρόνος Υστέρησης	120.86
------------------	--------

Αποτελέσματα:  
EL0513FR5008

Παροχή αιχμής (M3/S)	51.25
Χρονική στιγμή αιχμής	02Sep2000, 02:15
Όγκος (MM)	144.5
Όγκος βροχόπτωσης (M3)	2.05E6
Όγκος απωλειών (M3)	7.19E5
Ενεργός Όγκος (M3)	1.33E6
Όγκος άμεσης απορροής (M3)	1.33E6
Όγκος βασικής απορροής (M3)	2.91E5

Βροχόπτωση και Απορροή



Υπολεκάνη: EL0513FR5009

Έκταση (KM2) : 19.12

Κατάντη : J8

Μέθοδος Απωλειών: SCS

Ποσοστό αδιαπέρατης επιφάνειας	0
Αριθμός Καμπύλης Απορροής-CN	62.63
Αρχικές Απώλειες	30.3

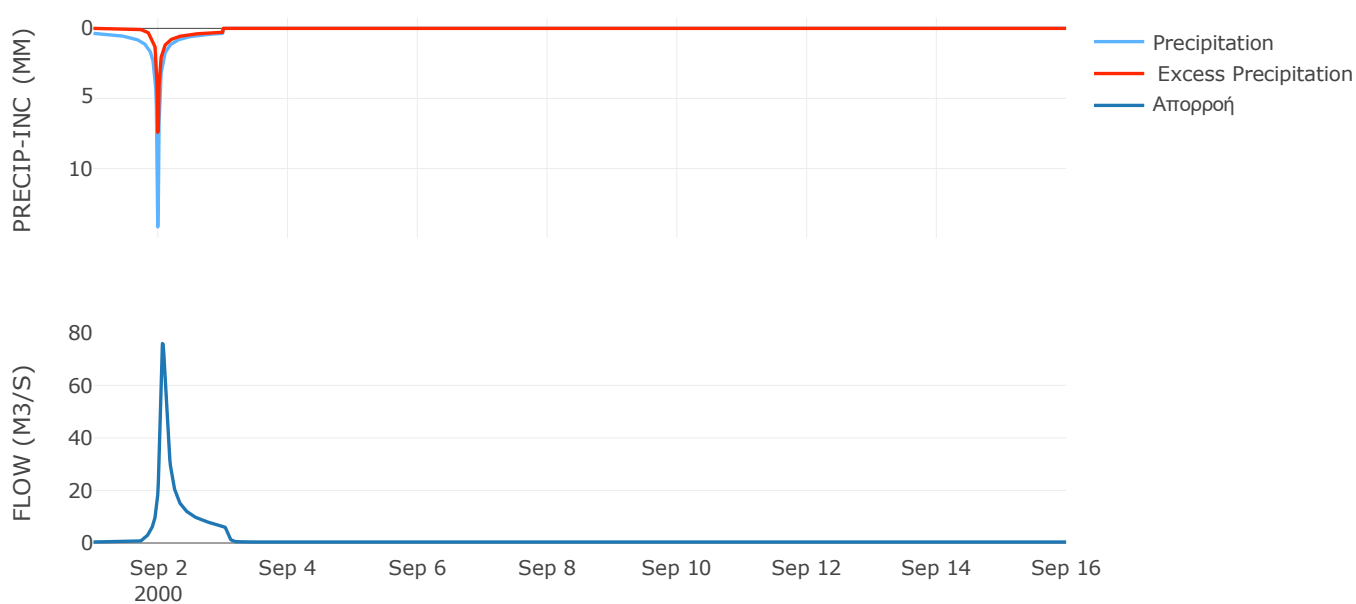
Μέθοδος  
Μετασχηματισμού: SCS

Χρόνος Υστέρησης	85.65
------------------	-------

Αποτελέσματα:  
EL0513FR5009

Παροχή αιχμής (M3/S)	75.97
Χρονική στιγμή αιχμής	02Sep2000, 01:30
Όγκος (MM)	118.65
Όγκος βροχόπτωσης (M3)	3.9E6
Όγκος απωλειών (M3)	2.13E6
Ενεργός Όγκος (M3)	1.77E6
Όγκος άμεσης απορροής (M3)	1.77E6
Όγκος βασικής απορροής (M3)	4.96E5

Βροχόπτωση και Απορροή



Υπολεκάνη: EL0513FR5010

Έκταση (KM2) : 36.47

Κατάντη : J9

Μέθοδος Απωλειών: SCS

Ποσοστό αδιαπέρατης επιφάνειας	0
Αριθμός Καμπύλης Απορροής-CN	63.73
Αρχικές Απώλειες	28.92

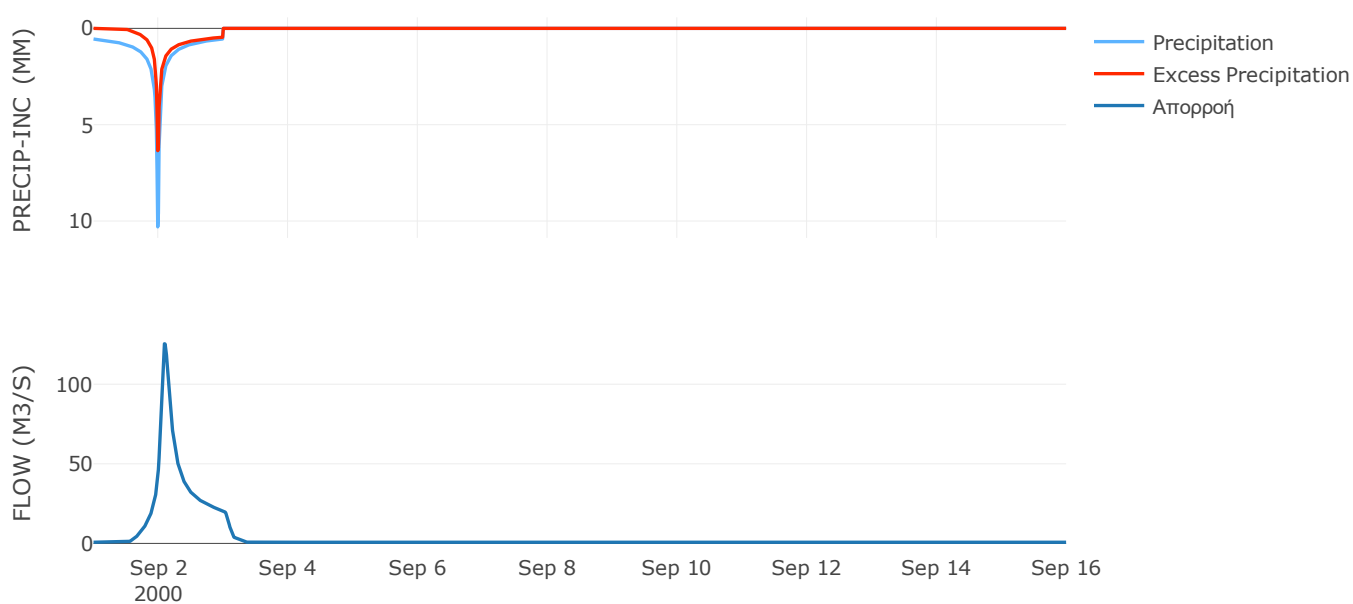
Μέθοδος  
Μετασχηματισμού: SCS

Χρόνος Υστέρησης	126.01
------------------	--------

Αποτελέσματα:  
EL0513FR5010

Παροχή αιχμής (M3/S)	125.41
Χρονική στιγμή αιχμής	02Sep2000, 02:15
Όγκος (MM)	152.25
Όγκος βροχόπτωσης (M3)	8.8E6
Όγκος απωλειών (M3)	4.19E6
Ενεργός Όγκος (M3)	4.61E6
Όγκος άμεσης απορροής (M3)	4.61E6
Όγκος βασικής απορροής (M3)	9.45E5

Βροχόπτωση και Απορροή



Υπολεκάνη: EL0513FR5011

Έκταση (KM2) : 4.02

Κατάντη : J10

Μέθοδος Απωλειών: SCS

Ποσοστό αδιαπέρατης επιφάνειας	0
Αριθμός Καμπύλης Απορροής-CN	50.39
Αρχικές Απώλειες	50.02

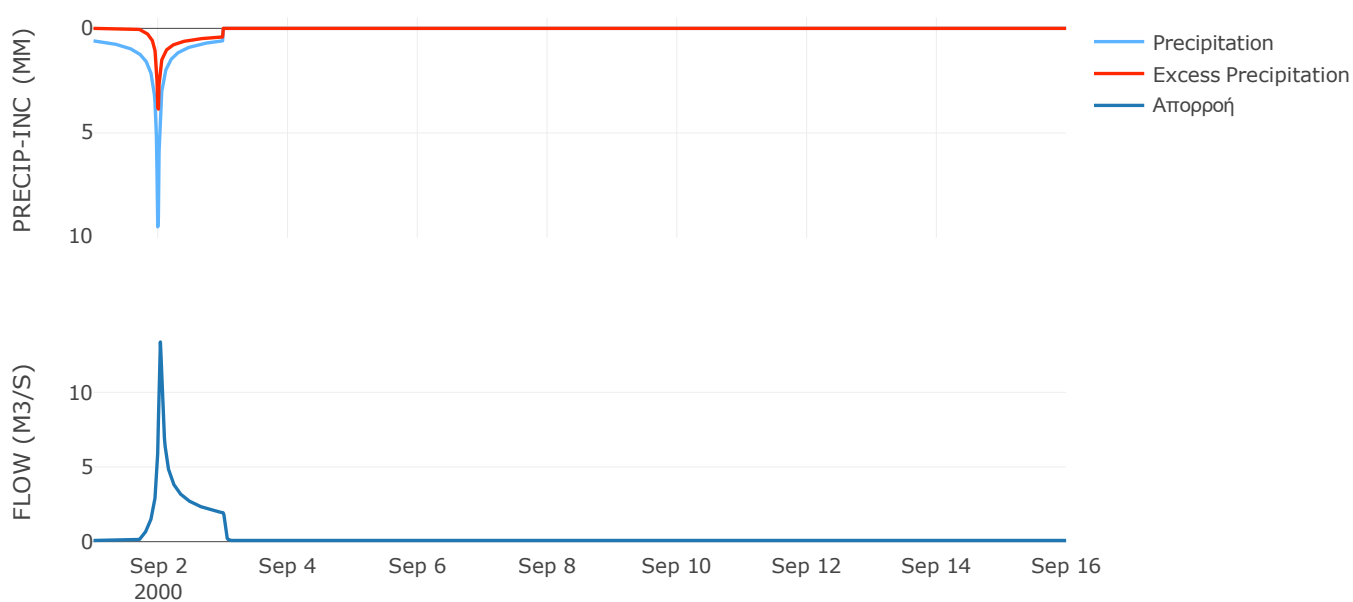
Μέθοδος  
Μετασχηματισμού: SCS

Χρόνος Υστέρησης	34.59
------------------	-------

Αποτελέσματα:  
EL0513FR5011

Παροχή αιχμής (M3/S)	13.37
Χρονική στιγμή αιχμής	02Sep2000, 00:45
Όγκος (MM)	113.36
Όγκος βροχόπτωσης (M3)	9.96E5
Όγκος απωλειών (M3)	6.45E5
Ενεργός Όγκος (M3)	3.51E5
Όγκος άμεσης απορροής (M3)	3.51E5
Όγκος βασικής απορροής (M3)	1.04E5

Βροχόπτωση και Απορροή



Υπολεκάνη: EL0513FR5012

Έκταση (KM2) : 74.49

Κατάνη : J11

Μέθοδος Απωλειών: SCS

Ποσοστό αδιαπέρατης επιφάνειας	0
Αριθμός Καμπύλης Απορροής-CN	52.82
Αρχικές Απώλειες	45.38

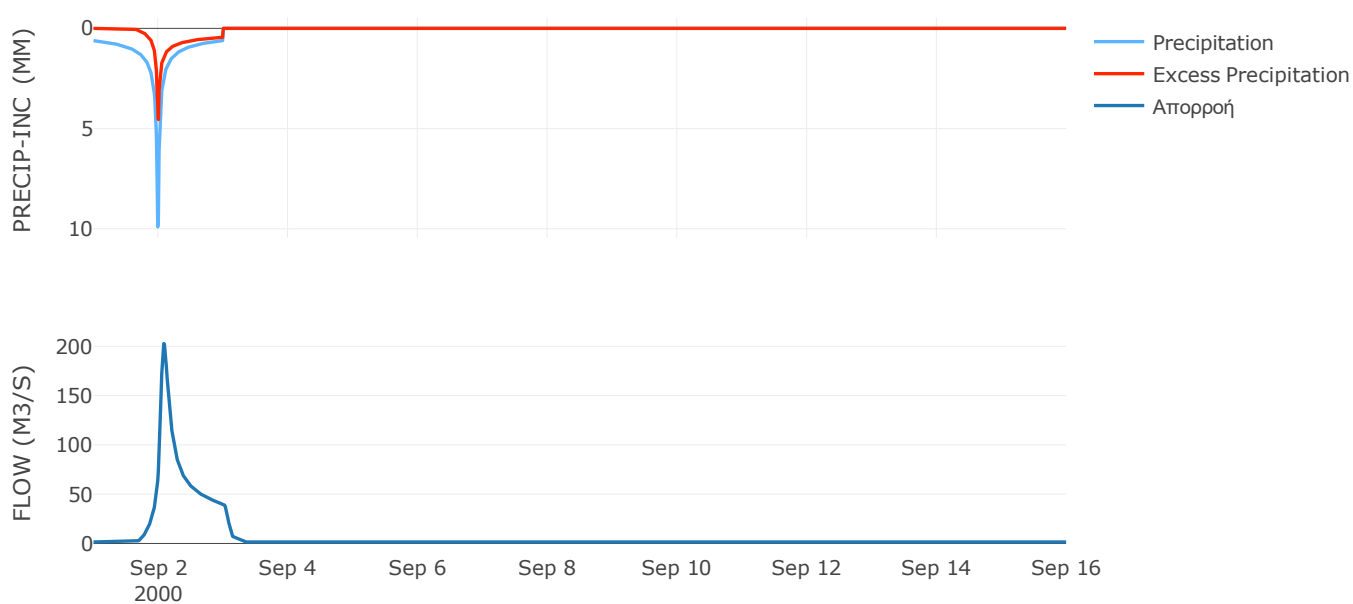
Μέθοδος  
Μετασχηματισμού: SCS

Χρόνος Υστέρησης	106.39
------------------	--------

Αποτελέσματα:  
EL0513FR5012

Παροχή αιχμής (M3/S)	202.84
Χρονική στιγμή αιχμής	02Sep2000, 02:00
Όγκος (MM)	126.72
Όγκος βροχόπτωσης (M3)	1.9E7
Όγκος απωλειών (M3)	1.15E7
Ενεργός Όγκος (M3)	7.51E6
Όγκος άμεσης απορροής (M3)	7.51E6
Όγκος βασικής απορροής (M3)	1.93E6

Βροχόπτωση και Απορροή



Υπολεκάνη: EL0513FR5013

Έκταση (KM2) : 8.72

Κατάντη : J12

Μέθοδος Απωλειών: SCS

Ποσοστό αδιαπέρατης επιφάνειας	0
Αριθμός Καμπύλης Απορροής-CN	60.29
Αρχικές Απώλειες	33.45

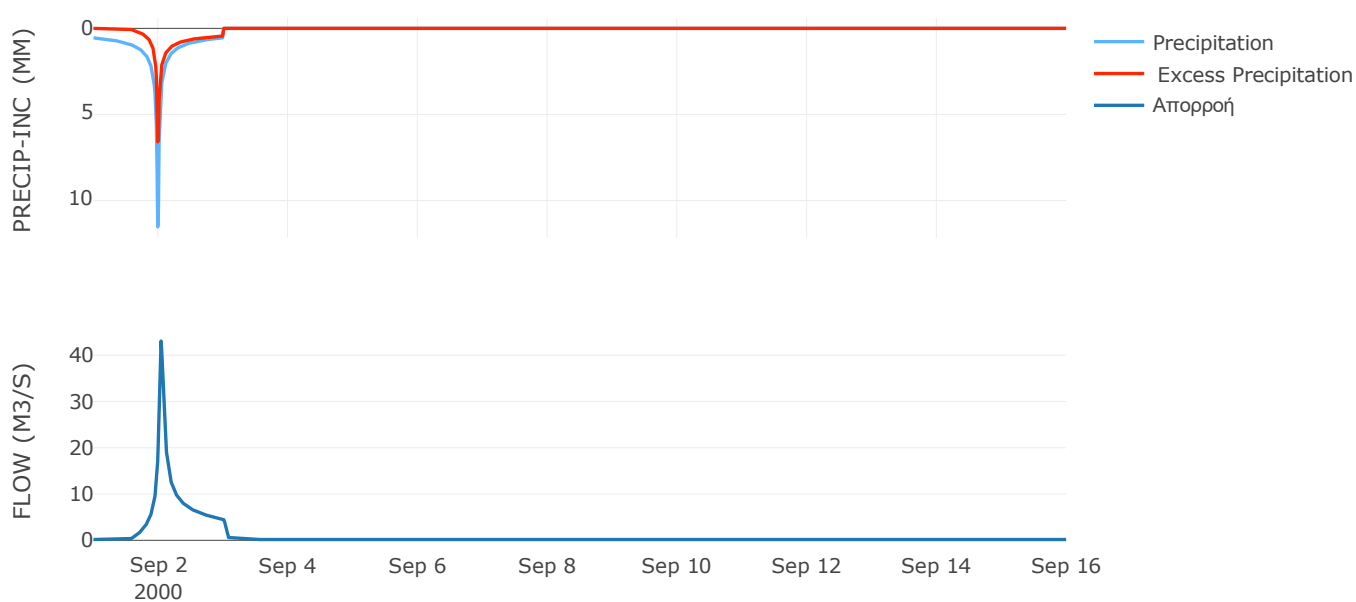
Μέθοδος  
Μετασχηματισμού: SCS

Χρόνος Υστέρησης	51.28
------------------	-------

Αποτελέσματα:  
EL0513FR5013

Παροχή αιχμής (M3/S)	43.08
Χρονική στιγμή αιχμής	02Sep2000, 01:00
Όγκος (MM)	148.03
Όγκος βροχόπτωσης (M3)	2.18E6
Όγκος απωλειών (M3)	1.11E6
Ενεργός Όγκος (M3)	1.06E6
Όγκος άμεσης απορροής (M3)	1.06E6
Όγκος βασικής απορροής (M3)	2.26E5

Βροχόπτωση και Απορροή



Υπολεκάνη: EL0513FR5014

Έκταση (KM2) : 17.21

Κατάντη : J13

Μέθοδος Απωλειών: SCS

Ποσοστό αδιαπέρατης επιφάνειας	0
Αριθμός Καμπύλης Απορροής-CN	54.7
Αρχικές Απώλειες	42.06

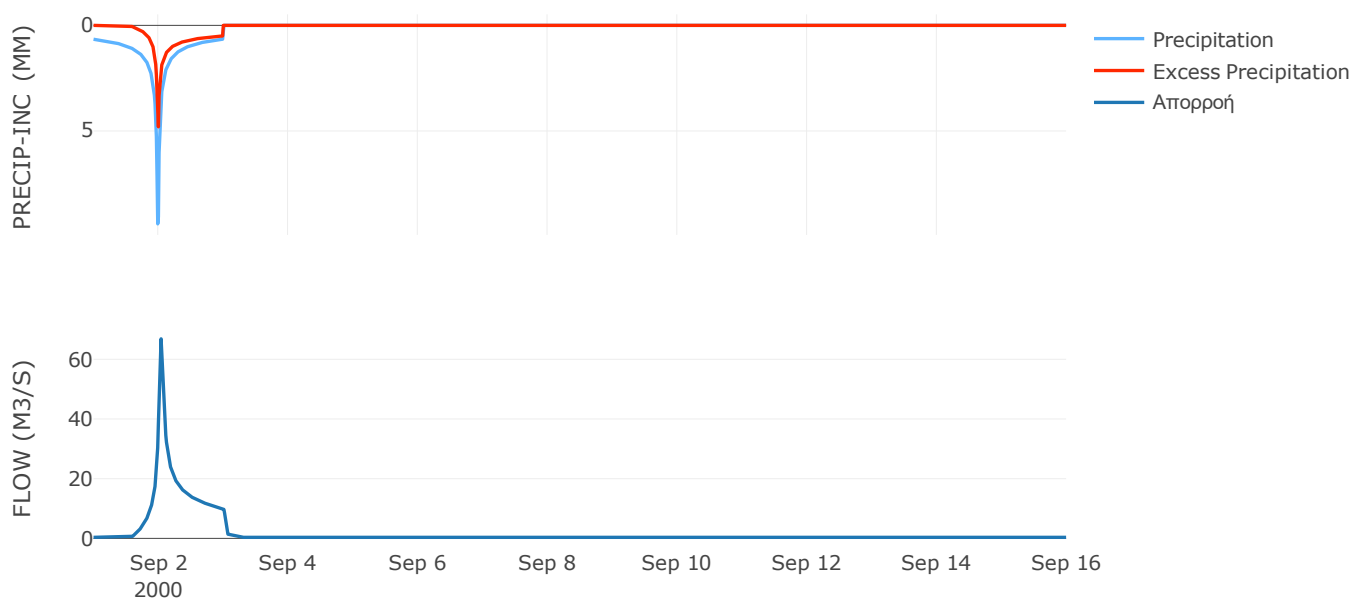
Μέθοδος  
Μετασχηματισμού: SCS

Χρόνος Υστέρησης	46.35
------------------	-------

Αποτελέσματα:  
EL0513FR5014

Παροχή αιχμής (M3/S)	66.86
Χρονική στιγμή αιχμής	02Sep2000, 01:00
Όγκος (MM)	139.73
Όγκος βροχόπτωσης (M3)	4.54E6
Όγκος απωλειών (M3)	2.58E6
Ενεργός Όγκος (M3)	1.96E6
Όγκος άμεσης απορροής (M3)	1.96E6
Όγκος βασικής απορροής (M3)	4.46E5

Βροχόπτωση και Απορροή





Υπολεκάνη: EL0513FR5015

Έκταση (KM2) : 56.91

Κατάντη : J13

Μέθοδος Απωλειών: SCS

Ποσοστό αδιαπέρατης επιφάνειας	0
Αριθμός Καμπύλης Απορροής-CN	56.45
Αρχικές Απώλειες	39.2

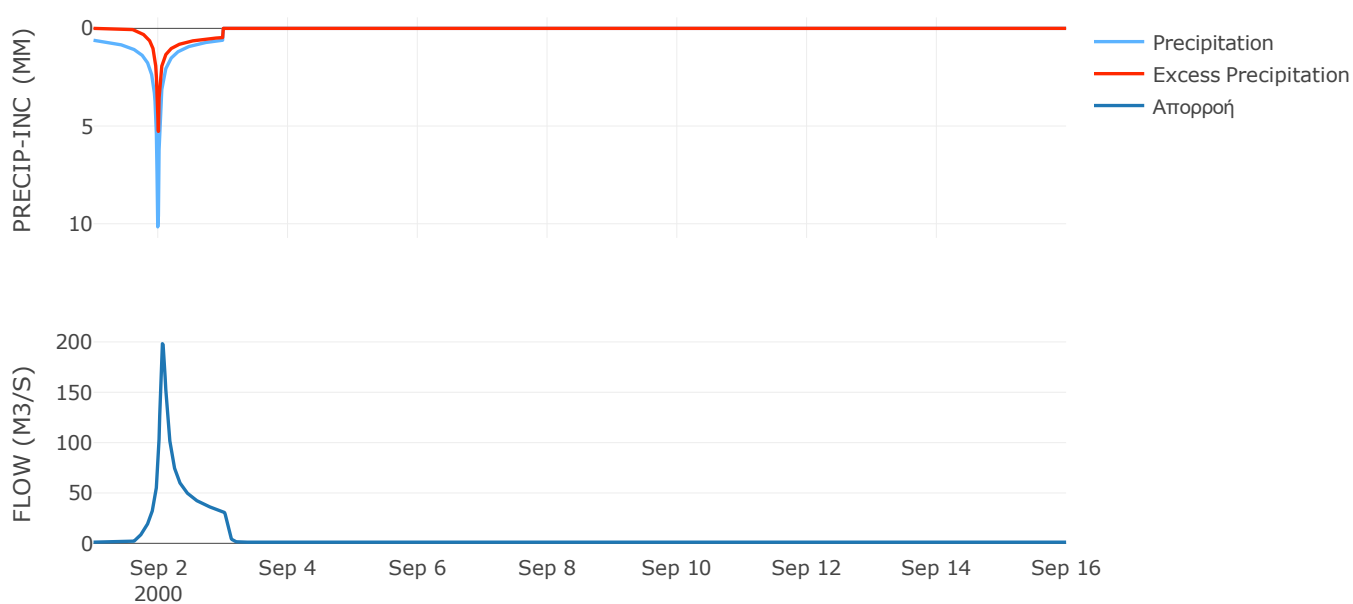
Μέθοδος  
Μετασχηματισμού: SCS

Χρόνος Υστέρησης	83.28
------------------	-------

Αποτελέσματα:  
EL0513FR5015

Παροχή αιχμής (M3/S)	198.25
Χρονική στιγμή αιχμής	02Sep2000, 01:30
Όγκος (MM)	140.19
Όγκος βροχόπτωσης (M3)	1.46E7
Όγκος απωλειών (M3)	8.1E6
Ενεργός Όγκος (M3)	6.5E6
Όγκος άμεσης απορροής (M3)	6.5E6
Όγκος βασικής απορροής (M3)	1.48E6

Βροχόπτωση και Απορροή



Υπολεκάνη: EL0513FR5016

Έκταση (KM2) : 70.55

Κατάντη : J12

Μέθοδος Απωλειών: SCS

Ποσοστό αδιαπέρατης επιφάνειας	0
Αριθμός Καμπύλης Απορροής-CN	53.81
Αρχικές Απώλειες	43.6

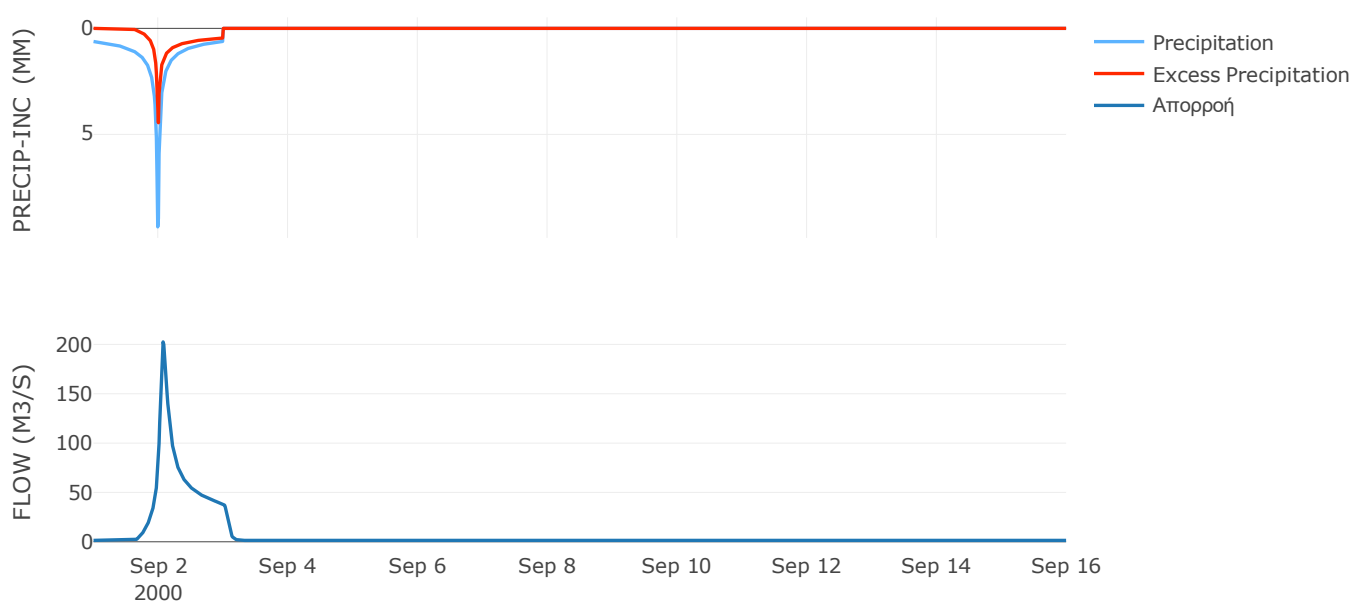
Μέθοδος  
Μετασχηματισμού: SCS

Χρόνος Υστέρησης	91.12
------------------	-------

Αποτελέσματα:  
EL0513FR5016

Παροχή αιχμής (M3/S)	202.58
Χρονική στιγμή αιχμής	02Sep2000, 01:45
Όγκος (MM)	128.34
Όγκος βροχόπτωσης (M3)	1.78E7
Όγκος απωλειών (M3)	1.06E7
Ενεργός Όγκος (M3)	7.23E6
Όγκος άμεσης απορροής (M3)	7.23E6
Όγκος βασικής απορροής (M3)	1.83E6

Βροχόπτωση και Απορροή



Υπολεκάνη: EL0513FR5017

Έκταση (KM2) : 33.26

Κατάνη : J11

Μέθοδος Απωλειών: SCS

Ποσοστό αδιαπέρατης επιφάνειας	0
Αριθμός Καμπύλης Απορροής-CN	50.72
Αρχικές Απώλειες	49.35

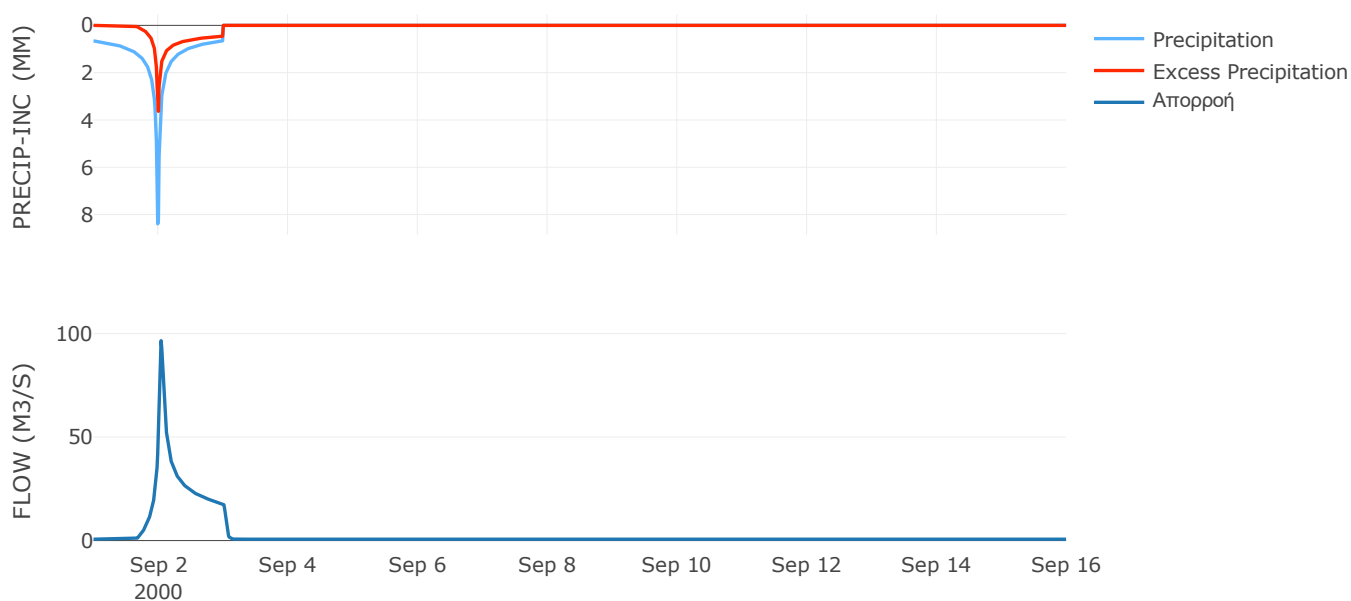
Μέθοδος  
Μετασχηματισμού: SCS

Χρόνος Υστέρησης	50.03
------------------	-------

Αποτελέσματα:  
EL0513FR5017

Παροχή αιχμής (M3/S)	96.55
Χρονική στιγμή αιχμής	02Sep2000, 01:00
Όγκος (MM)	118.93
Όγκος βροχόπτωσης (M3)	8.46E6
Όγκος απωλειών (M3)	5.37E6
Ενεργός Όγκος (M3)	3.09E6
Όγκος άμεσης απορροής (M3)	3.09E6
Όγκος βασικής απορροής (M3)	8.62E5

Βροχόπτωση και Απορροή



Υπολεκάνη: EL0513FR5018

Έκταση (KM2) : 14.02

Κατάνη : J11

Μέθοδος Απωλειών: SCS

Ποσοστό αδιαπέρατης επιφάνειας	0
Αριθμός Καμπύλης Απορροής-CN	56.09
Αρχικές Απώλειες	39.77

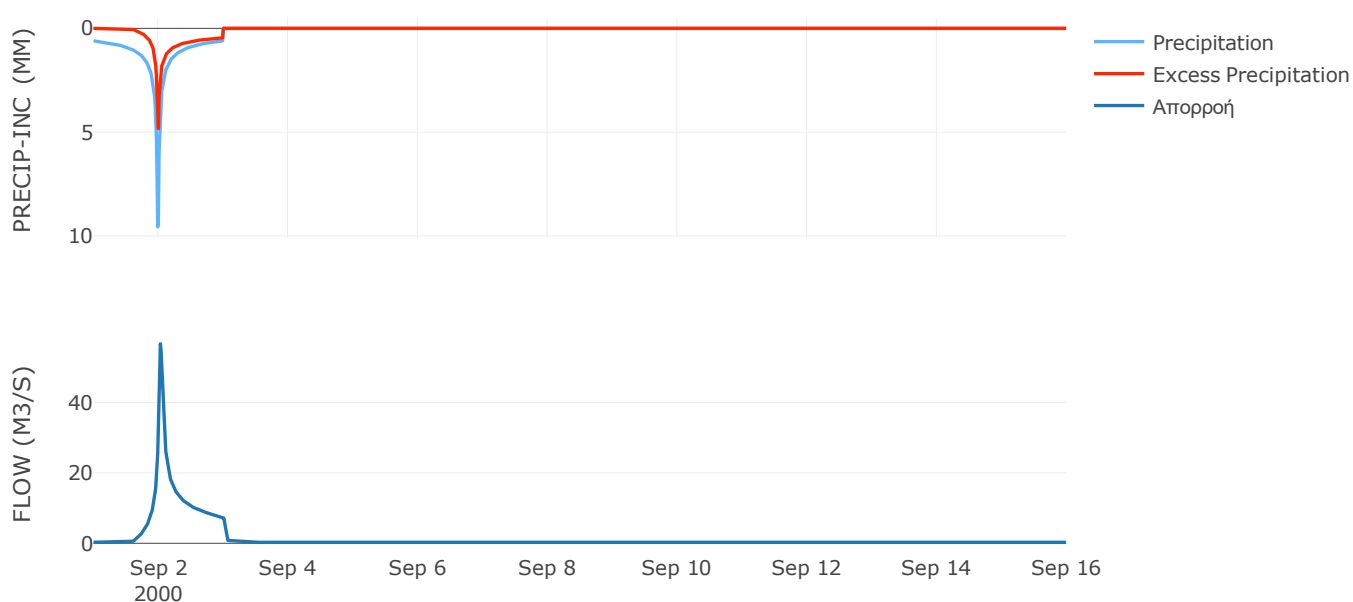
Μέθοδος  
Μετασχηματισμού: SCS

Χρόνος Υστέρησης	40.88
------------------	-------

Αποτελέσματα:  
EL0513FR5018

Παροχή αιχμής (M3/S)	56.68
Χρονική στιγμή αιχμής	02Sep2000, 00:45
Όγκος (MM)	133.48
Όγκος βροχόπτωσης (M3)	3.5E6
Όγκος απωλειών (M3)	1.99E6
Ενεργός Όγκος (M3)	1.51E6
Όγκος άμεσης απορροής (M3)	1.51E6
Όγκος βασικής απορροής (M3)	3.63E5

Βροχόπτωση και Απορροή



Υπολεκάνη: EL0513FR5019

Έκταση (KM2) : 105.27

Κατάνη : J15

Μέθοδος Απωλειών: SCS

Ποσοστό αδιαπέρατης επιφάνειας	0
Αριθμός Καμπύλης Απορροής-CN	60.45
Αρχικές Απώλειες	33.24

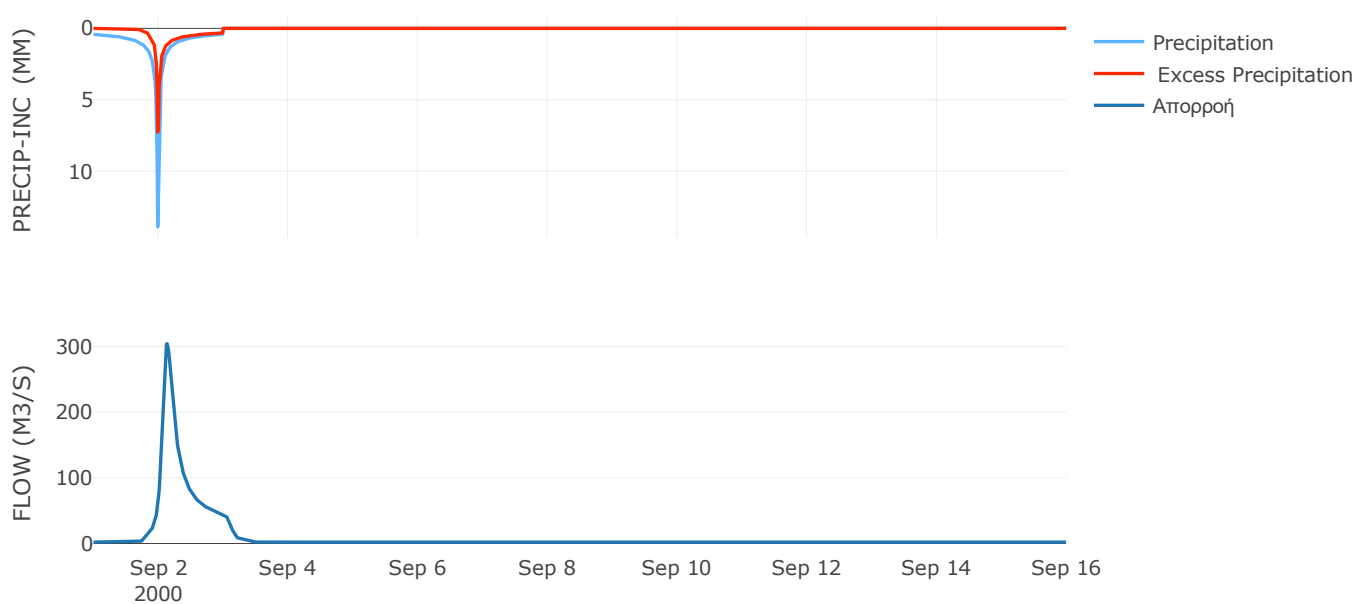
Μέθοδος  
Μετασχηματισμού: SCS

Χρόνος Υστέρησης	167.11
------------------	--------

Αποτελέσματα:  
EL0513FR5019

Παροχή αιχμής (M3/S)	304.44
Χρονική στιγμή αιχμής	02Sep2000, 03:15
Όγκος (MM)	126.72
Όγκος βροχόπτωσης (M3)	2.34E7
Όγκος απωλειών (M3)	1.28E7
Ενεργός Όγκος (M3)	1.06E7
Όγκος άμεσης απορροής (M3)	1.06E7
Όγκος βασικής απορροής (M3)	2.73E6

Βροχόπτωση και Απορροή



Υπολεκάνη: EL0513FR5020

Έκταση (KM2) : 49.32

Κατάντη : J14

Μέθοδος Απωλειών: SCS

Ποσοστό αδιαπέρατης επιφάνειας	0
Αριθμός Καμπύλης Απορροής-CN	54.53
Αρχικές Απώλειες	42.36

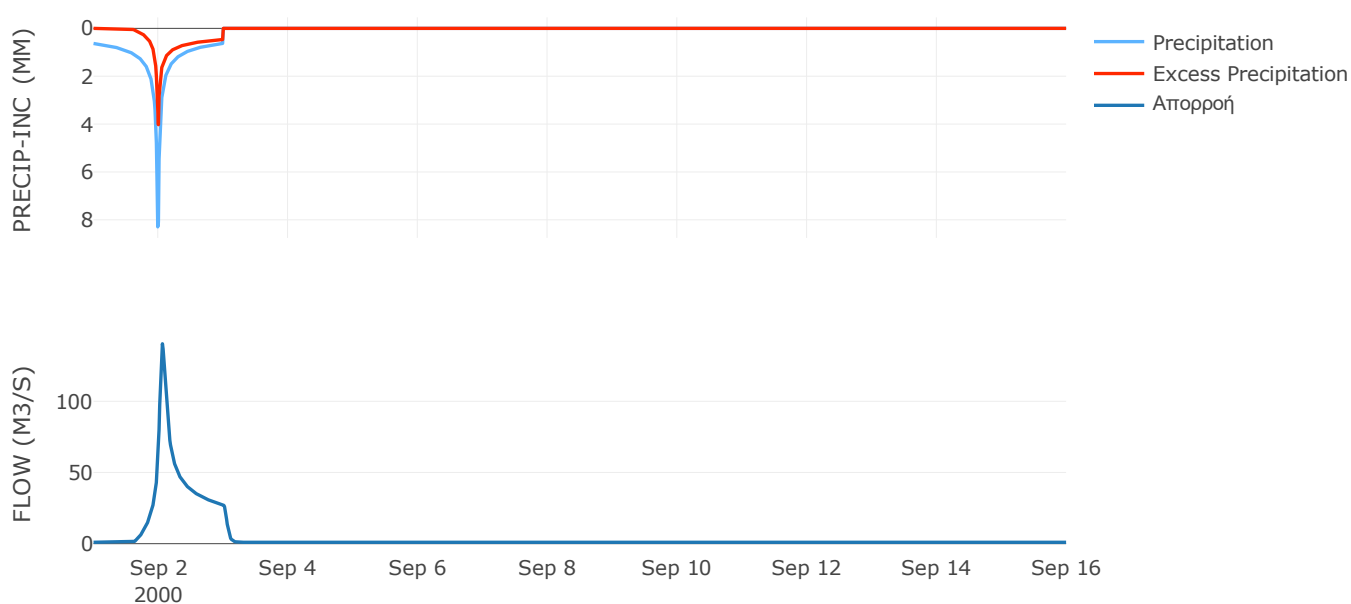
Μέθοδος  
Μετασχηματισμού: SCS

Χρόνος Υστέρησης	74.79
------------------	-------

Αποτελέσματα:  
EL0513FR5020

Παροχή αιχμής (M3/S)	140.41
Χρονική στιγμή αιχμής	02Sep2000, 01:30
Όγκος (MM)	126.5
Όγκος βροχόπτωσης (M3)	1.22E7
Όγκος απωλειών (M3)	7.22E6
Ενεργός Όγκος (M3)	4.96E6
Όγκος άμεσης απορροής (M3)	4.96E6
Όγκος βασικής απορροής (M3)	1.28E6

Βροχόπτωση και Απορροή



Υπολεκάνη: EL0513FR5021

Έκταση (KM2) : 21.13

Κατάντη : J19

Μέθοδος Απωλειών: SCS

Ποσοστό αδιαπέρατης επιφάνειας	0
Αριθμός Καμπύλης Απορροής-CN	70.79
Αρχικές Απώλειες	20.96

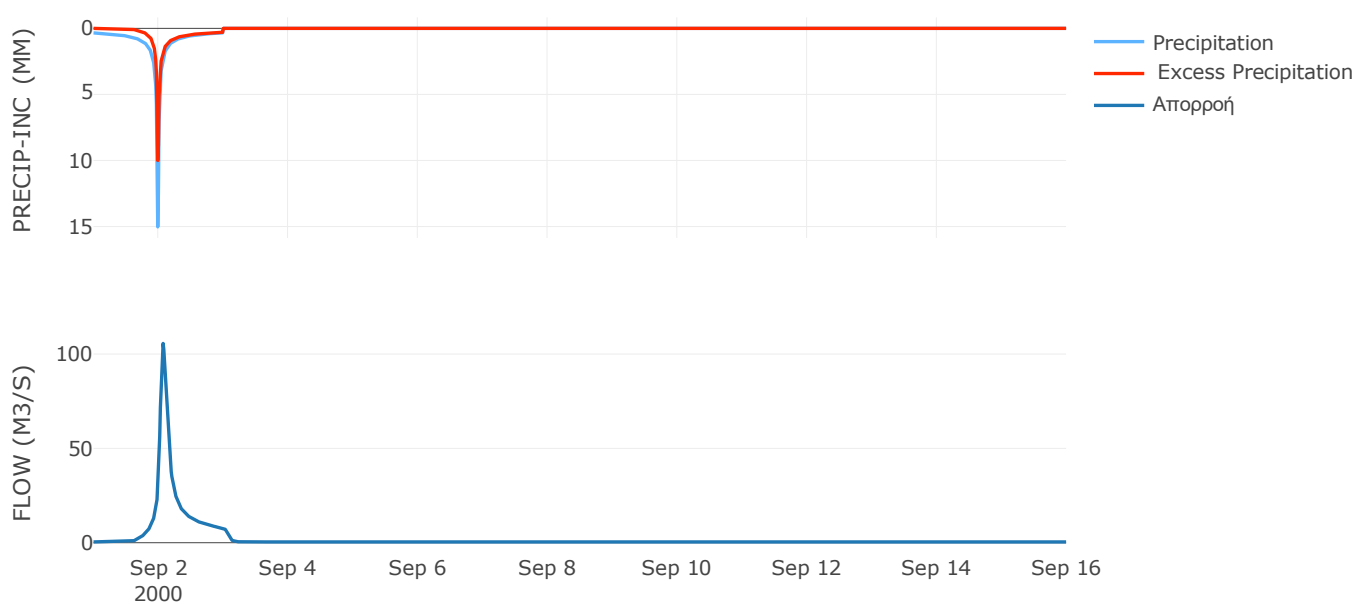
Μέθοδος  
Μετασχηματισμού: SCS

Χρόνος Υστέρησης	93.45
------------------	-------

Αποτελέσματα:  
EL0513FR5021

Παροχή αιχμής (M3/S)	105.63
Χρονική στιγμή αιχμής	02Sep2000, 01:45
Όγκος (MM)	141.29
Όγκος βροχόπτωσης (M3)	4.29E6
Όγκος απωλειών (M3)	1.85E6
Ενεργός Όγκος (M3)	2.44E6
Όγκος άμεσης απορροής (M3)	2.44E6
Όγκος βασικής απορροής (M3)	5.48E5

Βροχόπτωση και Απορροή



Υπολεκάνη: EL0513FR5022

Έκταση (KM2) : 8.23

Κατάντη : J20

Μέθοδος Απωλειών: SCS

Ποσοστό αδιαπέρατης επιφάνειας	0
Αριθμός Καμπύλης Απορροής-CN	80.99
Αρχικές Απώλειες	11.93

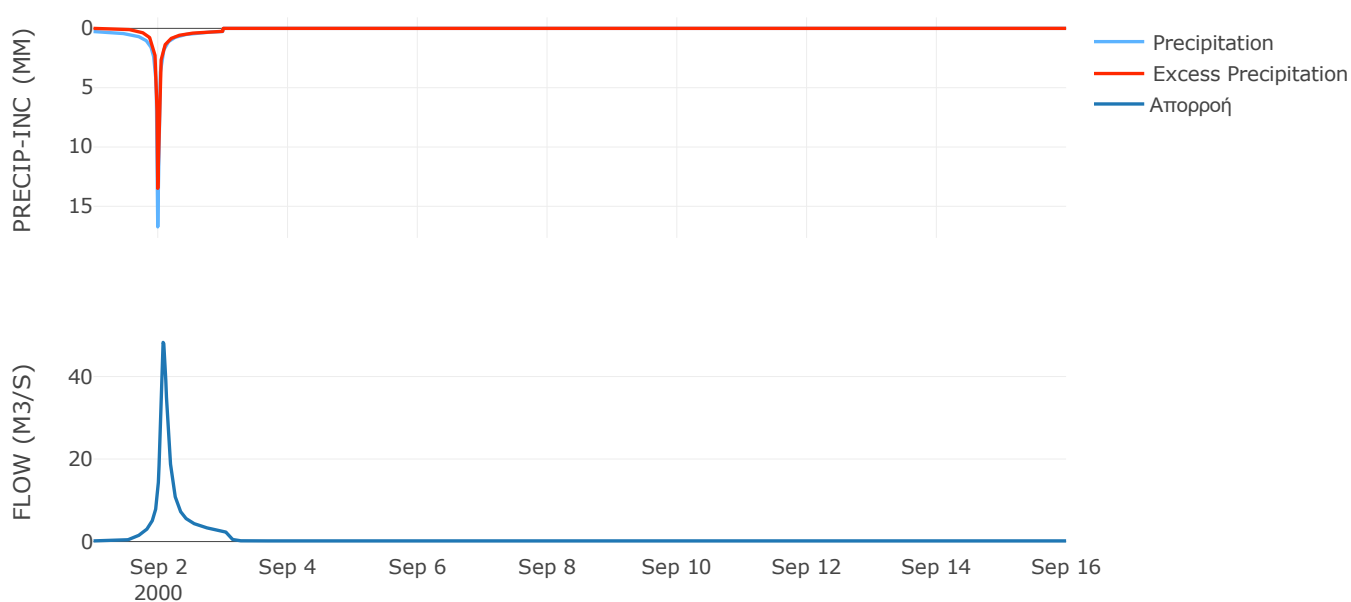
Μέθοδος  
Μετασχηματισμού: SCS

Χρόνος Υστέρησης	104.36
------------------	--------

Αποτελέσματα:  
EL0513FR5022

Παροχή αιχμής (M3/S)	48.27
Χρονική στιγμή αιχμής	02Sep2000, 01:45
Όγκος (MM)	153.73
Όγκος βροχόπτωσης (M3)	1.51E6
Όγκος απωλειών (M3)	4.62E5
Ενεργός Όγκος (M3)	1.05E6
Όγκος άμεσης απορροής (M3)	1.05E6
Όγκος βασικής απορροής (M3)	2.13E5

Βροχόπτωση και Απορροή





Υπολεκάνη: EL0513FR5023

Έκταση (KM2) : 11.05

Κατάντη : J19

Μέθοδος Απωλειών: SCS

Ποσοστό αδιαπέρατης επιφάνειας	0
Αριθμός Καμπύλης Απορροής-CN	80.45
Αρχικές Απώλειες	12.35

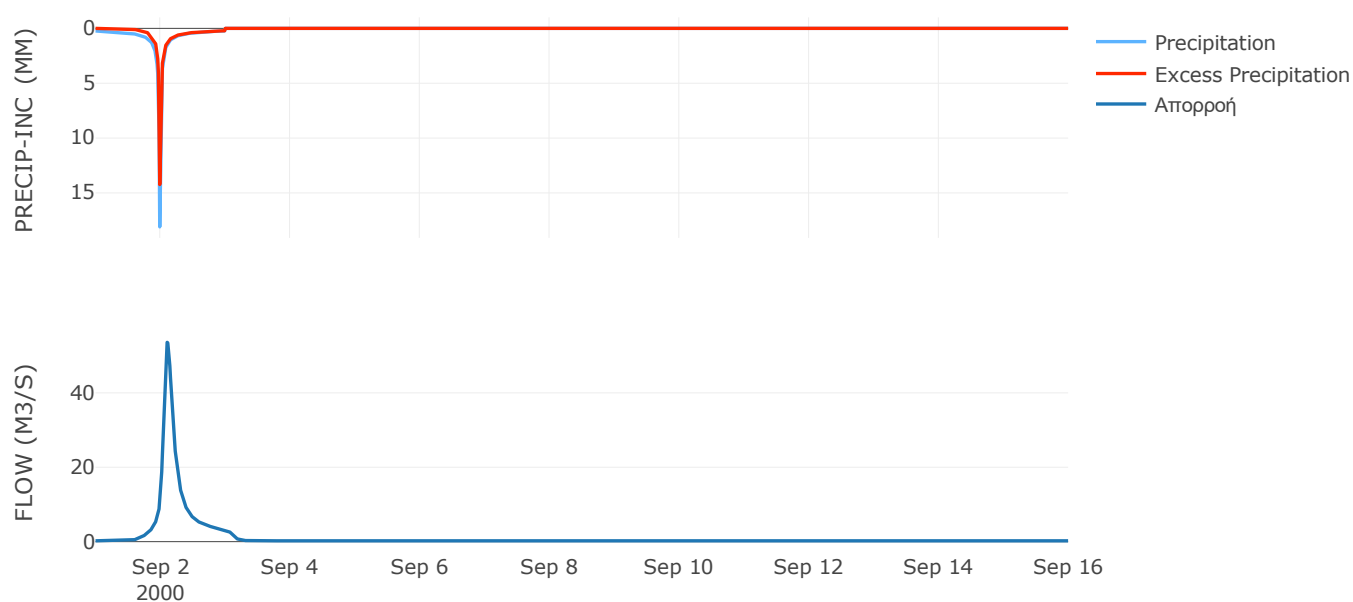
Μέθοδος  
Μετασχηματισμού: SCS

Χρόνος Υστέρησης	146.55
------------------	--------

Αποτελέσματα:  
EL0513FR5023

Παροχή αιχμής (M3/S)	53.58
Χρονική στιγμή αιχμής	02Sep2000, 02:30
Όγκος (MM)	146.43
Όγκος βροχόπτωσης (M3)	1.97E6
Όγκος απωλειών (M3)	6.33E5
Ενεργός Όγκος (M3)	1.33E6
Όγκος άμεσης απορροής (M3)	1.33E6
Όγκος βασικής απορροής (M3)	2.87E5

Βροχόπτωση και Απορροή



Υπολεκάνη: EL0513FR5024

Έκταση (KM2) : 5.88

Κατάντη : J4

Μέθοδος Απωλειών: SCS

Ποσοστό αδιαπέρατης επιφάνειας	0
Αριθμός Καμπύλης Απορροής-CN	74.34
Αρχικές Απώλειες	17.54

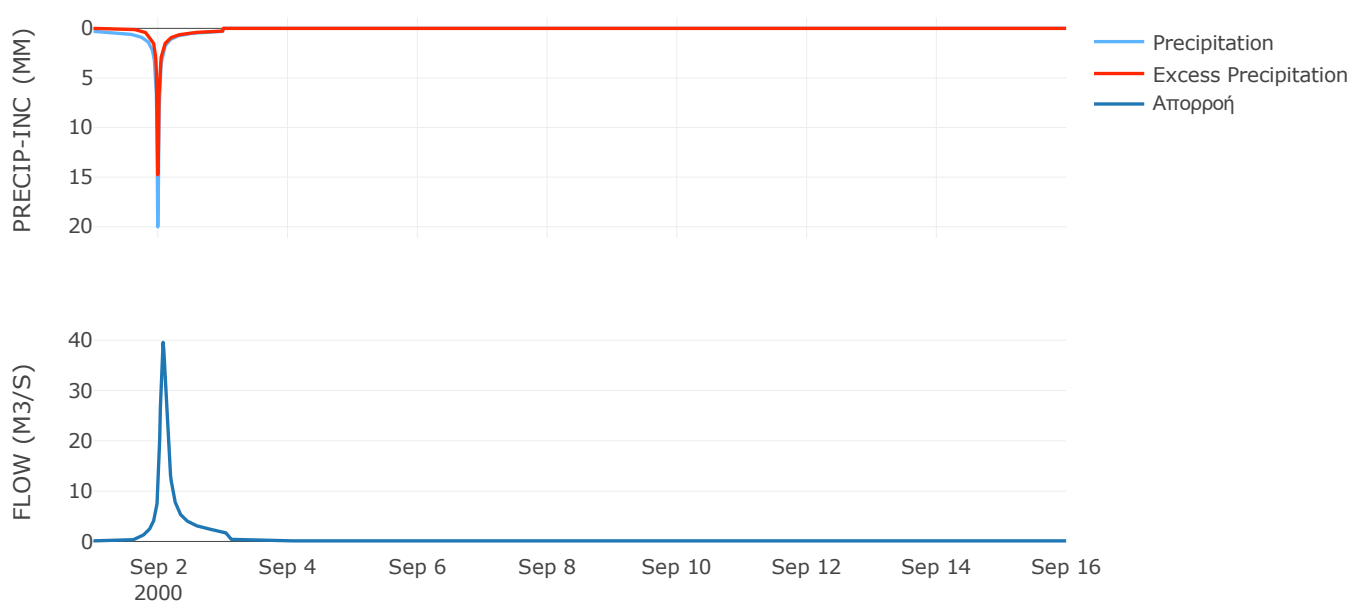
Μέθοδος  
Μετασχηματισμού: SCS

Χρόνος Υστέρησης	93.3
------------------	------

Αποτελέσματα:  
EL0513FR5024

Παροχή αιχμής (M3/S)	39.57
Χρονική στιγμή αιχμής	02Sep2000, 01:45
Όγκος (MM)	160.43
Όγκος βροχόπτωσης (M3)	1.25E6
Όγκος απωλειών (M3)	4.59E5
Ενεργός Όγκος (M3)	7.91E5
Όγκος άμεσης απορροής (M3)	7.91E5
Όγκος βασικής απορροής (M3)	1.52E5

Βροχόπτωση και Απορροή



Υπολεκάνη: EL0513FR5025

Έκταση (KM2) : 50.61

Κατάντη : J7

Μέθοδος Απωλειών: SCS

Ποσοστό αδιαπέρατης επιφάνειας	0
Αριθμός Καμπύλης Απορροής-CN	70.86
Αρχικές Απώλειες	20.89

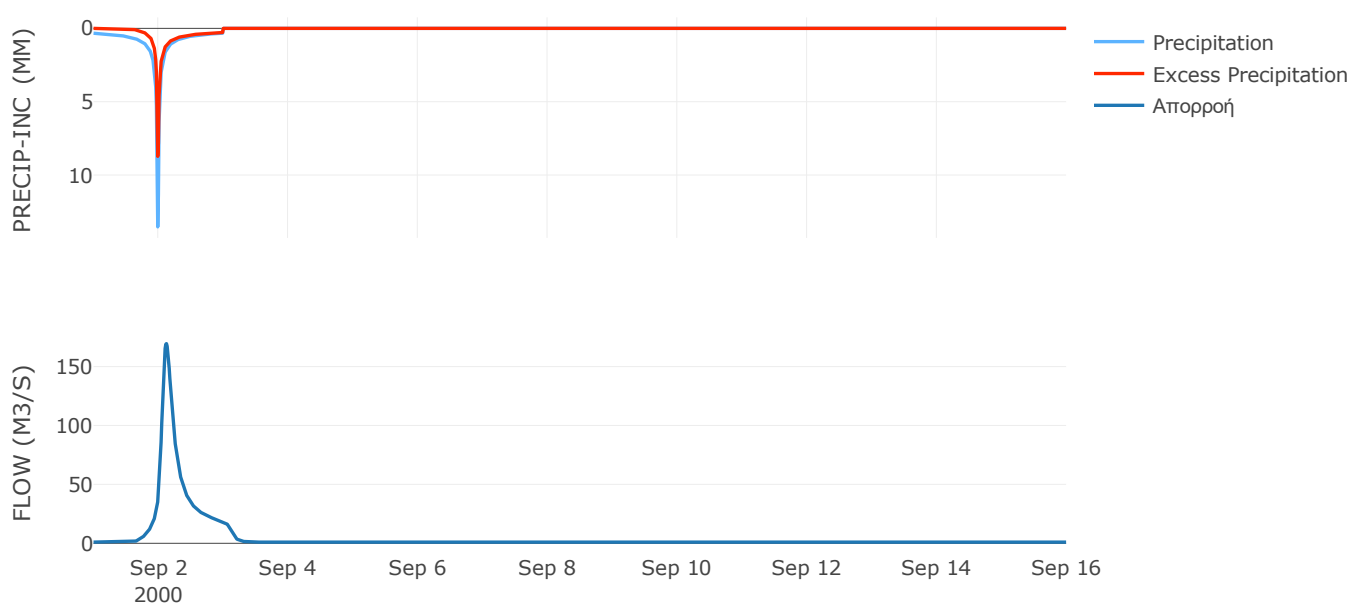
Μέθοδος  
Μετασχηματισμού: SCS

Χρόνος Υστέρησης	158.98
------------------	--------

Αποτελέσματα:  
EL0513FR5025

Παροχή αιχμής (M3/S)	169.49
Χρονική στιγμή αιχμής	02Sep2000, 03:00
Όγκος (MM)	130.96
Όγκος βροχόπτωσης (M3)	9.65E6
Όγκος απωλειών (M3)	4.33E6
Ενεργός Όγκος (M3)	5.32E6
Όγκος άμεσης απορροής (M3)	5.32E6
Όγκος βασικής απορροής (M3)	1.31E6

Βροχόπτωση και Απορροή



Υπολεκάνη: EL0513FR5026

Έκταση (KM2) : 20.26

Κατάντη : J18

Μέθοδος Απωλειών: SCS

Ποσοστό αδιαπέρατης επιφάνειας	0
Αριθμός Καμπύλης Απορροής-CN	77.13
Αρχικές Απώλειες	15.07

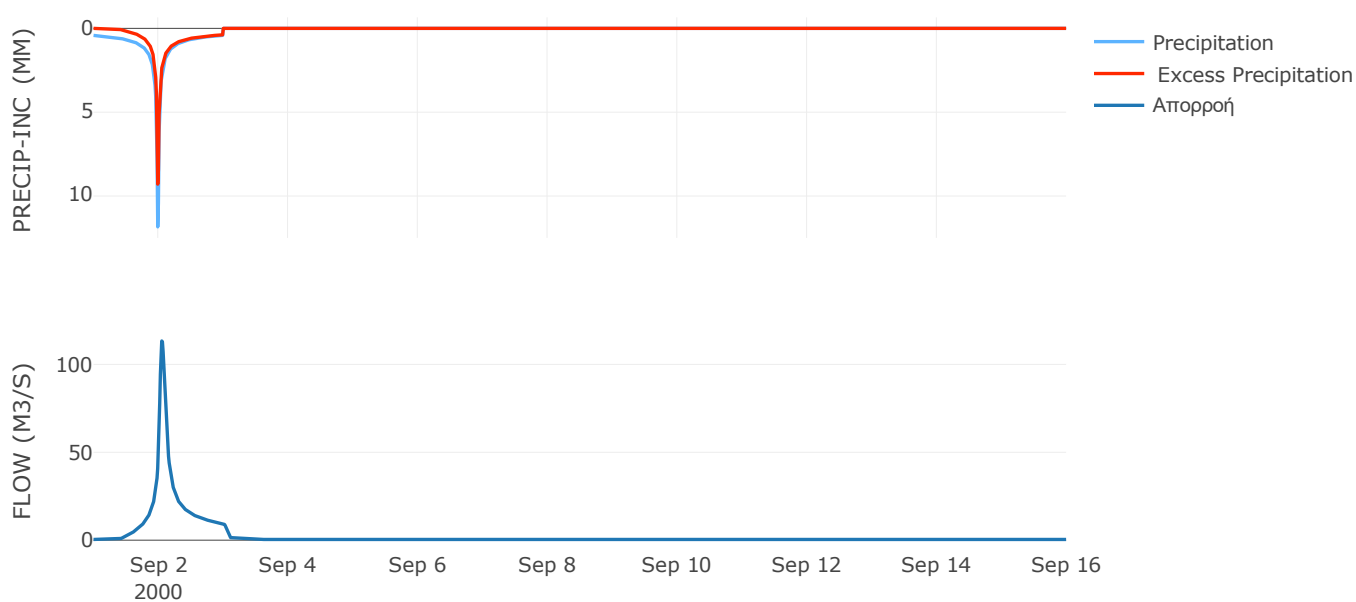
Μέθοδος  
Μετασχηματισμού: SCS

Χρόνος Υστέρησης	76.46
------------------	-------

Αποτελέσματα:  
EL0513FR5026

Παροχή αιχμής (M3/S)	113.36
Χρονική στιγμή αιχμής	02Sep2000, 01:15
Όγκος (MM)	167.11
Όγκος βροχόπτωσης (M3)	4.27E6
Όγκος απωλειών (M3)	1.41E6
Ενεργός Όγκος (M3)	2.86E6
Όγκος άμεσης απορροής (M3)	2.86E6
Όγκος βασικής απορροής (M3)	5.25E5

Βροχόπτωση και Απορροή



Υπολεκάνη: EL0513FR5027

Έκταση (KM2) : 40.56

Κατάντη : J18

Μέθοδος Απωλειών: SCS

Ποσοστό αδιαπέρατης επιφάνειας	0
Αριθμός Καμπύλης Απορροής-CN	67.85
Αρχικές Απώλειες	24.07

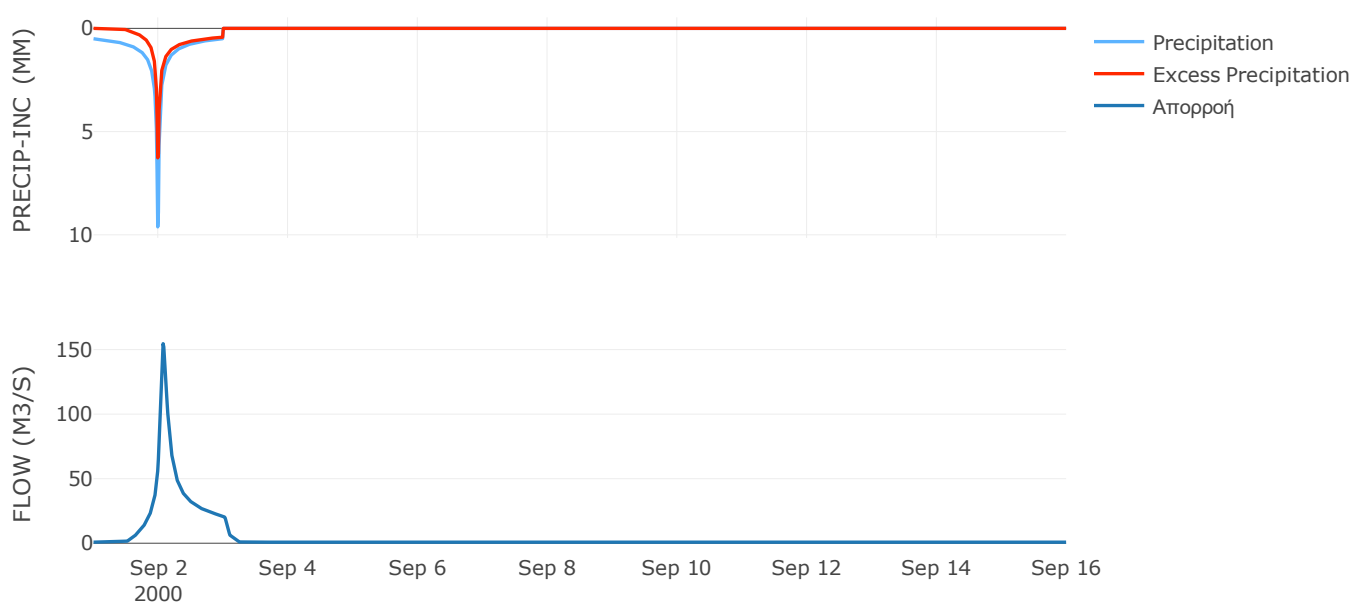
Μέθοδος  
Μετασχηματισμού: SCS

Χρόνος Υστέρησης	94.81
------------------	-------

Αποτελέσματα:  
EL0513FR5027

Παροχή αιχμής (M3/S)	154.57
Χρονική στιγμή αιχμής	02Sep2000, 01:45
Όγκος (MM)	148.22
Όγκος βροχόπτωσης (M3)	8.97E6
Όγκος απωλειών (M3)	4.01E6
Ενεργός Όγκος (M3)	4.96E6
Όγκος άμεσης απορροής (M3)	4.96E6
Όγκος βασικής απορροής (M3)	1.05E6

Βροχόπτωση και Απορροή



Υπολεκάνη: EL0513FR5028

Έκταση (KM2) : 26.17

Κατάνη : J17

Μέθοδος Απωλειών: SCS

Ποσοστό αδιαπέρατης επιφάνειας	0
Αριθμός Καμπύλης Απορροής-CN	67.76
Αρχικές Απώλειες	24.17

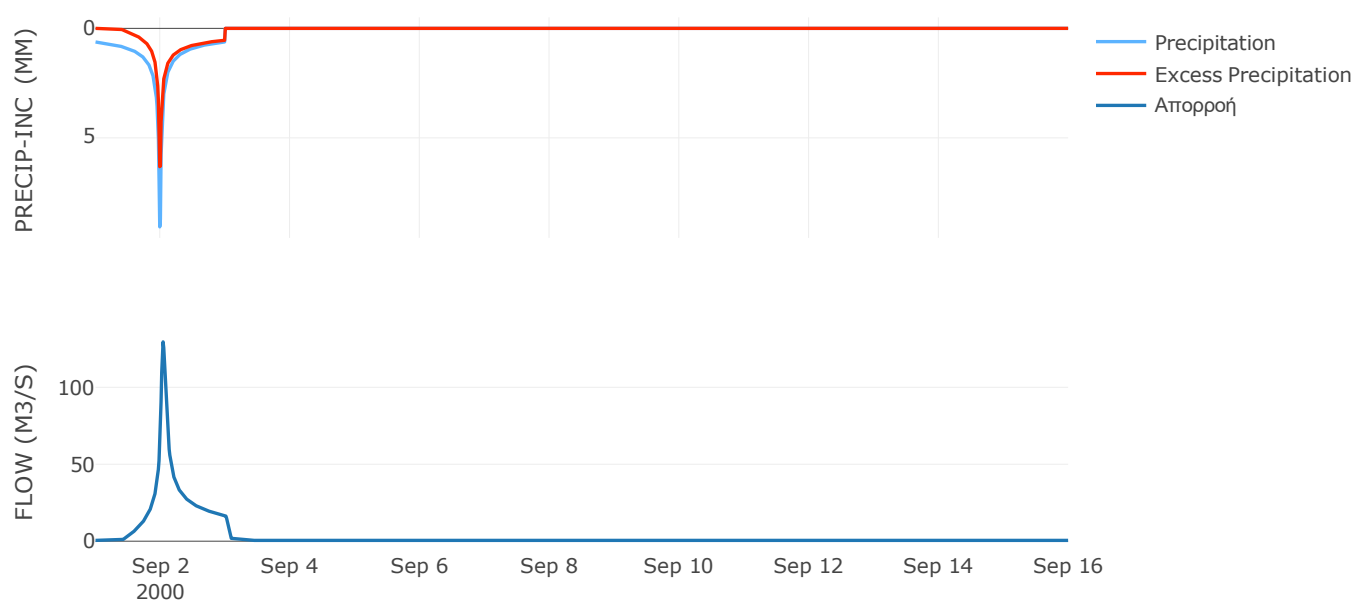
Μέθοδος  
Μετασχηματισμού: SCS

Χρόνος Υστέρησης	55.41
------------------	-------

Αποτελέσματα:  
EL0513FR5028

Παροχή αιχμής (M3/S)	129.51
Χρονική στιγμή αιχμής	02Sep2000, 01:00
Όγκος (MM)	173.89
Όγκος βροχόπτωσης (M3)	6.57E6
Όγκος απωλειών (M3)	2.7E6
Ενεργός Όγκος (M3)	3.87E6
Όγκος άμεσης απορροής (M3)	3.87E6
Όγκος βασικής απορροής (M3)	6.78E5

Βροχόπτωση και Απορροή



Υπολεκάνη: EL0513FR5029

Έκταση (KM2) : 21.97

Κατάντη : J9

Μέθοδος Απωλειών: SCS

Ποσοστό αδιαπέρατης επιφάνειας	0
Αριθμός Καμπύλης Απορροής-CN	43.07
Αρχικές Απώλειες	67.16

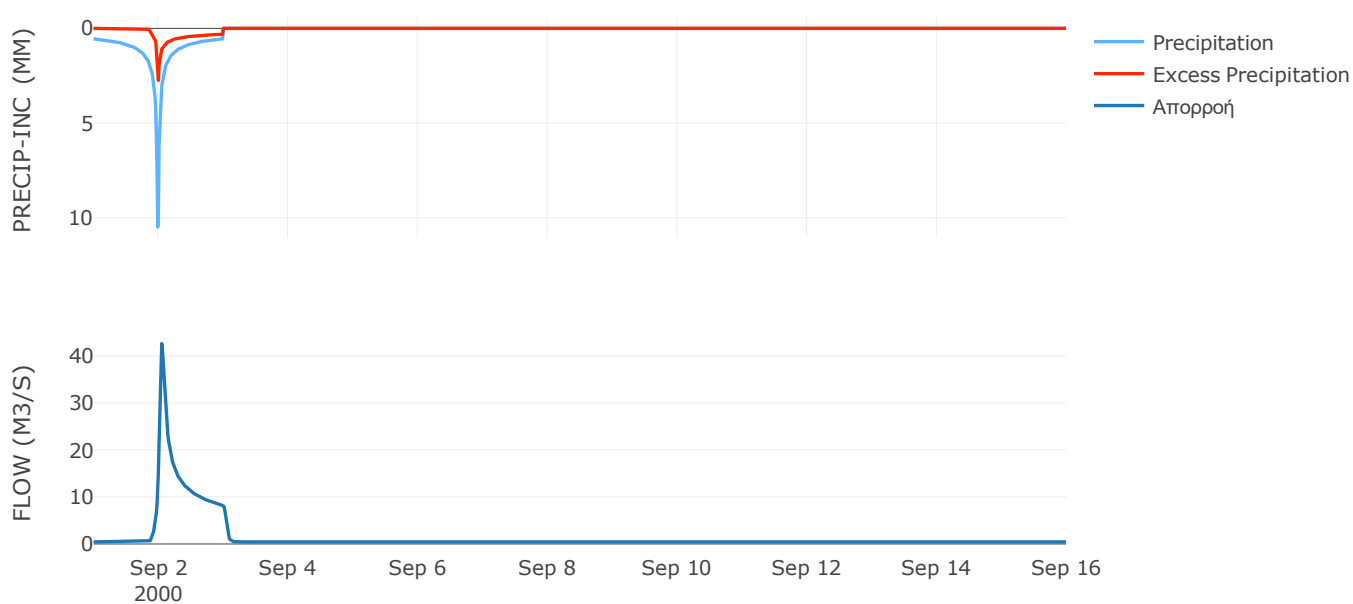
Μέθοδος  
Μετασχηματισμού: SCS

Χρόνος Υστέρησης	59.13
------------------	-------

Αποτελέσματα:  
EL0513FR5029

Παροχή αιχμής (M3/S)	42.6
Χρονική στιγμή αιχμής	02Sep2000, 01:15
Όγκος (MM)	85.45
Όγκος βροχόπτωσης (M3)	5.3E6
Όγκος απωλειών (M3)	4E6
Ενεργός Όγκος (M3)	1.31E6
Όγκος άμεσης απορροής (M3)	1.31E6
Όγκος βασικής απορροής (M3)	5.7E5

Βροχόπτωση και Απορροή



Υπολεκάνη: EL0513FR5030

Έκταση (KM2) : 13.43

Κατάντη : J5

Μέθοδος Απωλειών: SCS

Ποσοστό αδιαπέρατης επιφάνειας	0
Αριθμός Καμπύλης Απορροής-CN	64.48
Αρχικές Απώλειες	27.99

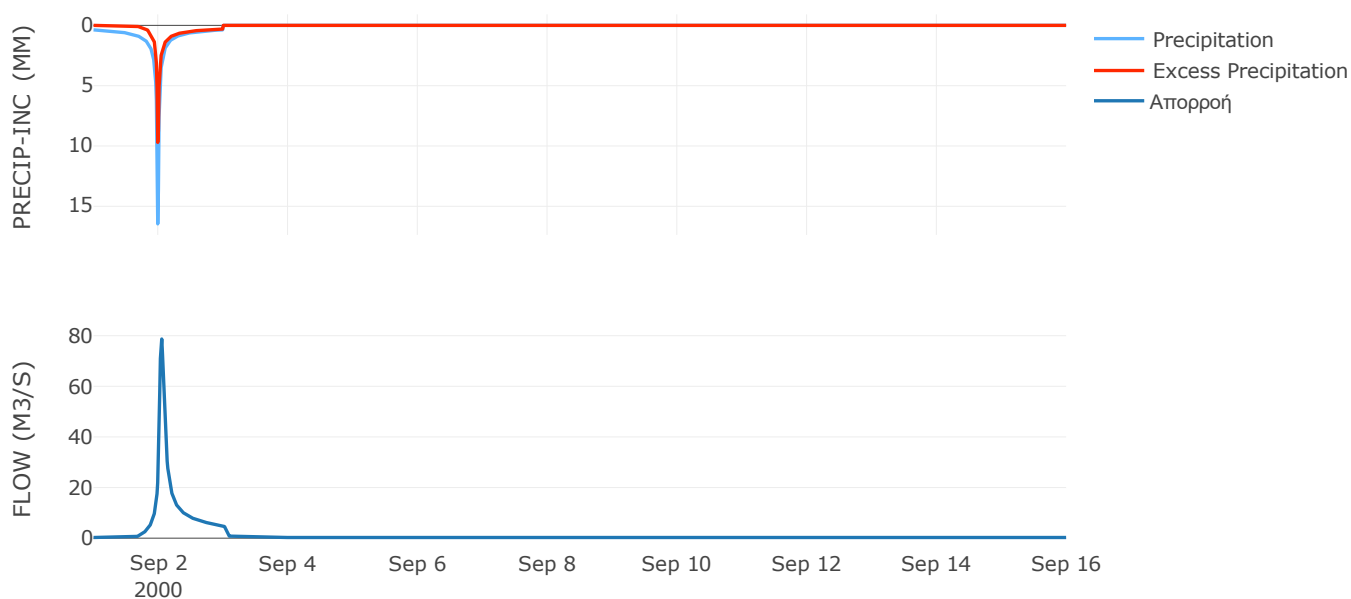
Μέθοδος  
Μετασχηματισμού: SCS

Χρόνος Υστέρησης	61.99
------------------	-------

Αποτελέσματα:  
EL0513FR5030

Παροχή αιχμής (M3/S)	78.7
Χρονική στιγμή αιχμής	02Sep2000, 01:15
Όγκος (MM)	138.29
Όγκος βροχόπτωσης (M3)	2.98E6
Όγκος απωλειών (M3)	1.47E6
Ενεργός Όγκος (M3)	1.51E6
Όγκος άμεσης απορροής (M3)	1.51E6
Όγκος βασικής απορροής (M3)	3.48E5

Βροχόπτωση και Απορροή





Υπολεκάνη: EL0513FR5031

Έκταση (KM2) : 13.12

Κατάνη : J15

Μέθοδος Απωλειών: SCS

Ποσοστό αδιαπέρατης επιφάνειας	0
Αριθμός Καμπύλης Απορροής-CN	64.25
Αρχικές Απώλειες	28.27

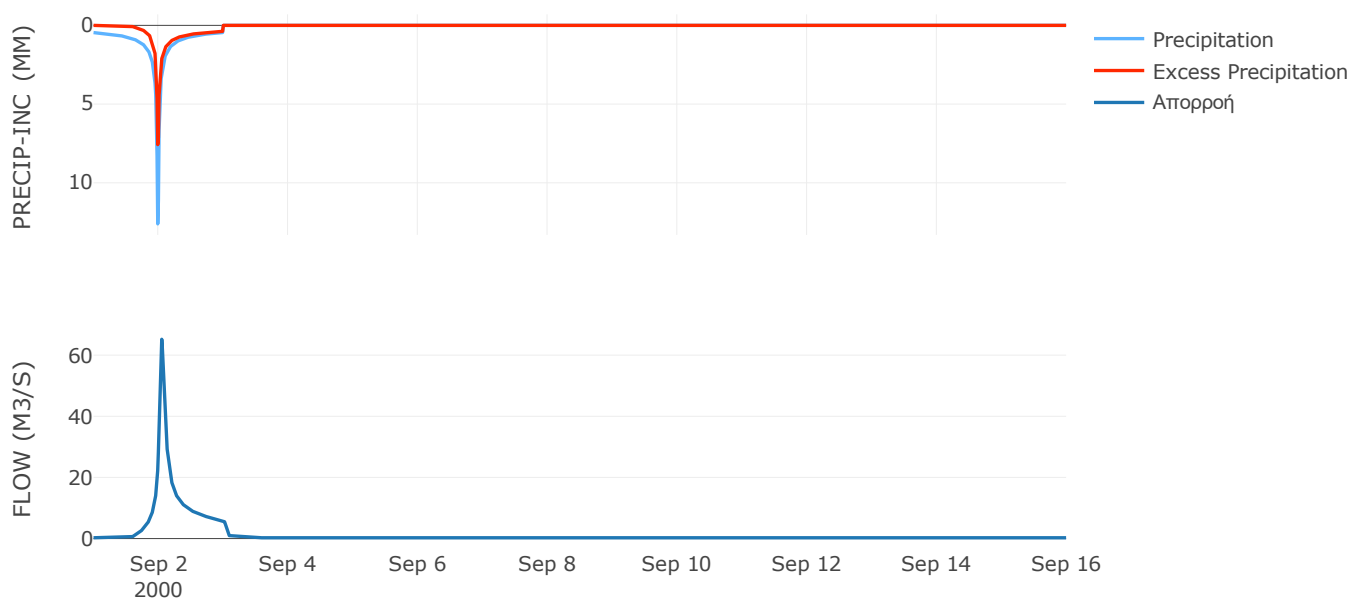
Μέθοδος  
Μετασχηματισμού: SCS

Χρόνος Υστέρησης	63.56
------------------	-------

Αποτελέσματα:  
EL0513FR5031

Παροχή αιχμής (M3/S)	65.2
Χρονική στιγμή αιχμής	02Sep2000, 01:15
Όγκος (MM)	143.02
Όγκος βροχόπτωσης (M3)	2.99E6
Όγκος απωλειών (M3)	1.46E6
Ενεργός Όγκος (M3)	1.54E6
Όγκος άμεσης απορροής (M3)	1.54E6
Όγκος βασικής απορροής (M3)	3.4E5

Βροχόπτωση και Απορροή



Υπολεκάνη: EL0513FR5032

Έκταση (KM2) : 17.35

Κατάντη : J16

Μέθοδος Απωλειών: SCS

Ποσοστό αδιαπέρατης επιφάνειας	0
Αριθμός Καμπύλης Απορροής-CN	50.6
Αρχικές Απώλειες	49.59

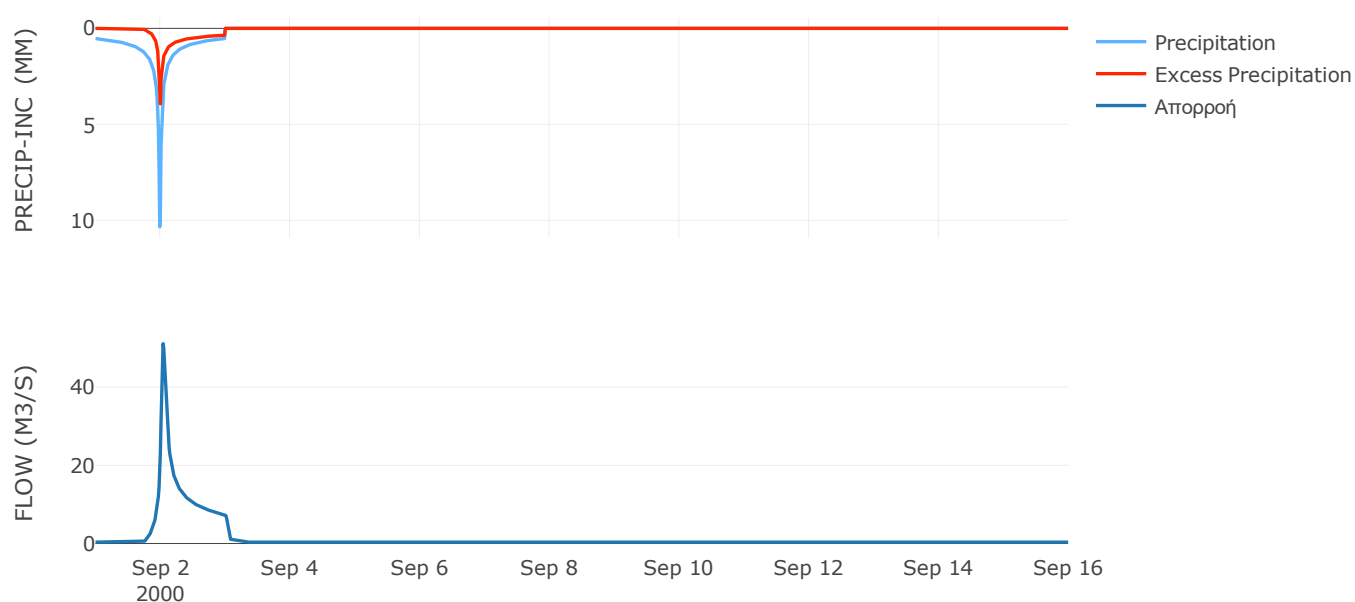
Μέθοδος  
Μετασχηματισμού: SCS

Χρόνος Υστέρησης	52.76
------------------	-------

Αποτελέσματα:  
EL0513FR5032

Παροχή αιχμής (M3/S)	51.1
Χρονική στιγμή αιχμής	02Sep2000, 01:00
Όγκος (MM)	105.47
Όγκος βροχόπτωσης (M3)	4.08E6
Όγκος απωλειών (M3)	2.7E6
Ενεργός Όγκος (M3)	1.38E6
Όγκος άμεσης απορροής (M3)	1.38E6
Όγκος βασικής απορροής (M3)	4.5E5

Βροχόπτωση και Απορροή



Υπολεκάνη: EL0513FR5033

Έκταση (KM2) : 4.63

Κατάνη : J21 Res1

Μέθοδος Απωλειών: SCS

Ποσοστό αδιαπέρατης επιφάνειας	0
Αριθμός Καμπύλης Απορροής-CN	48.83
Αρχικές Απώλειες	53.24

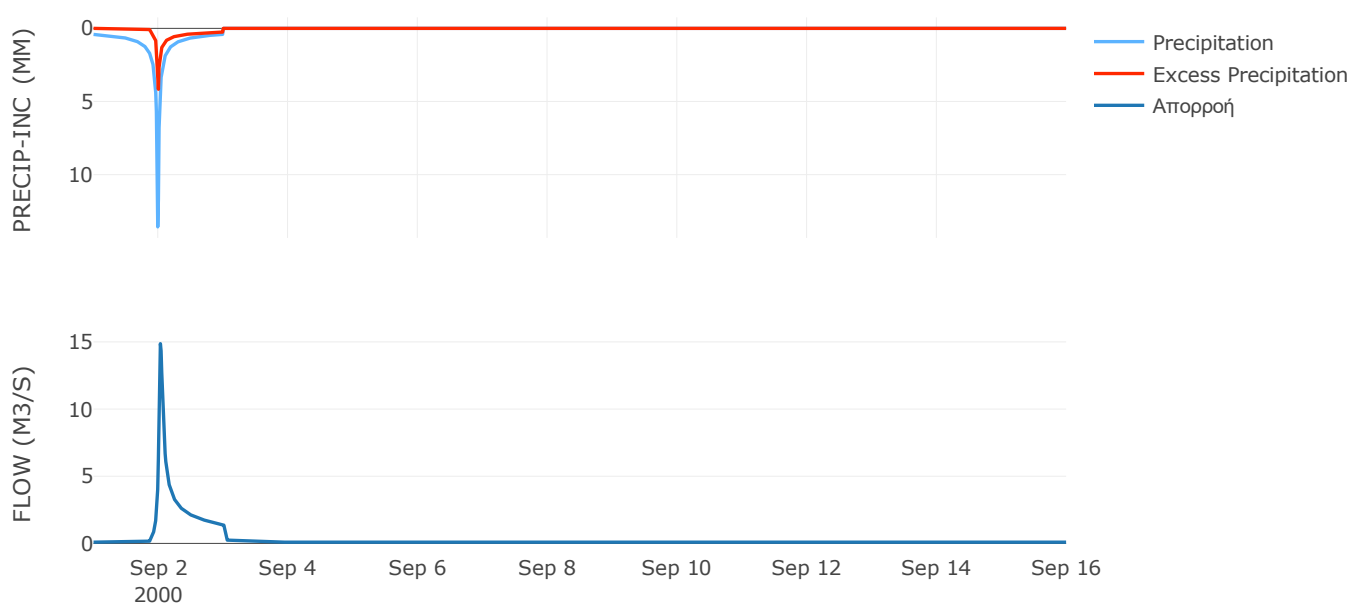
Μέθοδος  
Μετασχηματισμού: SCS

Χρόνος Υστέρησης	39.78
------------------	-------

Αποτελέσματα:  
EL0513FR5033

Παροχή αιχμής (M3/S)	14.87
Χρονική στιγμή αιχμής	02Sep2000, 00:45
Όγκος (MM)	89.69
Όγκος βροχόπτωσης (M3)	1.01E6
Όγκος απωλειών (M3)	7.19E5
Ενεργός Όγκος (M3)	2.95E5
Όγκος άμεσης απορροής (M3)	2.95E5
Όγκος βασικής απορροής (M3)	1.2E5

Βροχόπτωση και Απορροή



## 2.2 Δεδομένα και υδρογραφήματα σχεδιασμού Κλάδων υδρογραφικού δικτύου

Κλάδος: R21

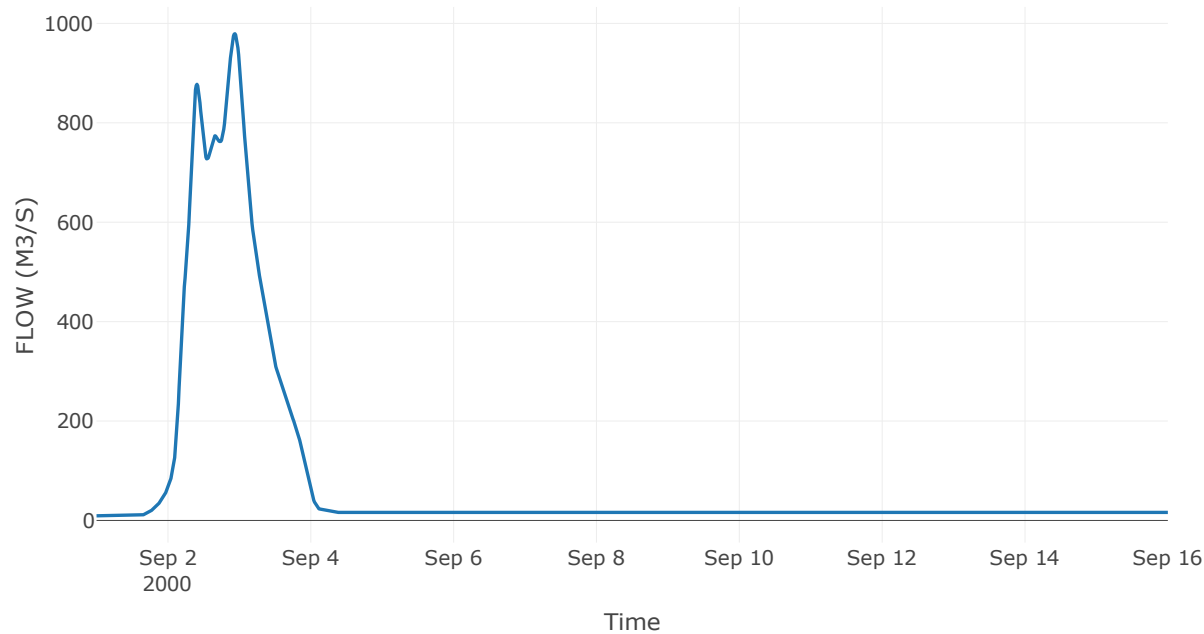
Κατάντη : J1

Μέθοδος Διόδευσης	Muskingum
Αρχική Μεταβλητή	Combined Inflow
Χρόνος Ροής K	1.21
Συντελεστής βάρους x	0.2
Πλήθος Υποκλάδων	5

Αποτελέσματα: R21

Παροχή Αιχμής(M3/S)	979.24
Χρονική στιγμή αιχμής	02Sep2000, 22:30
Όγκος(MM)	133.34
Παροχή Αιχμής Εισόδου (M3/S)	983.96
Όγκος Εισροής(M3)	1.08E8

Απορροή



Κλάδος: R32

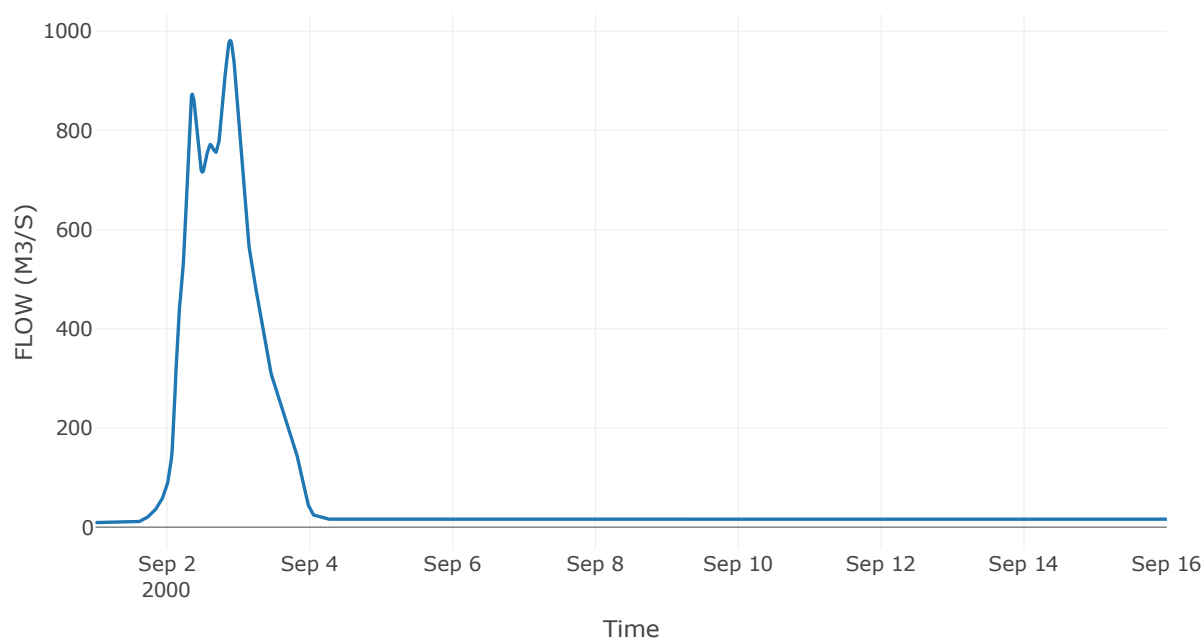
Κατάντη : J2

Μέθοδος Διόδευσης	Muskingum
Αρχική Μεταβλητή	Combined Inflow
Χρόνος Ροής K	1.87
Συντελεστής βάρους x	0.2
Πλήθος Υποκλάδων	7

Αποτελέσματα: R32

Παροχή Αιχμής(M3/S)	981.38
Χρονική στιγμή αιχμής	02Sep2000, 21:15
Όγκος(MM)	133.17
Παροχή Αιχμής Εισόδου (M3/S)	989.4
Όγκος Εισροής(M3)	1.07E8

Απορροή



Κλάδος: R43

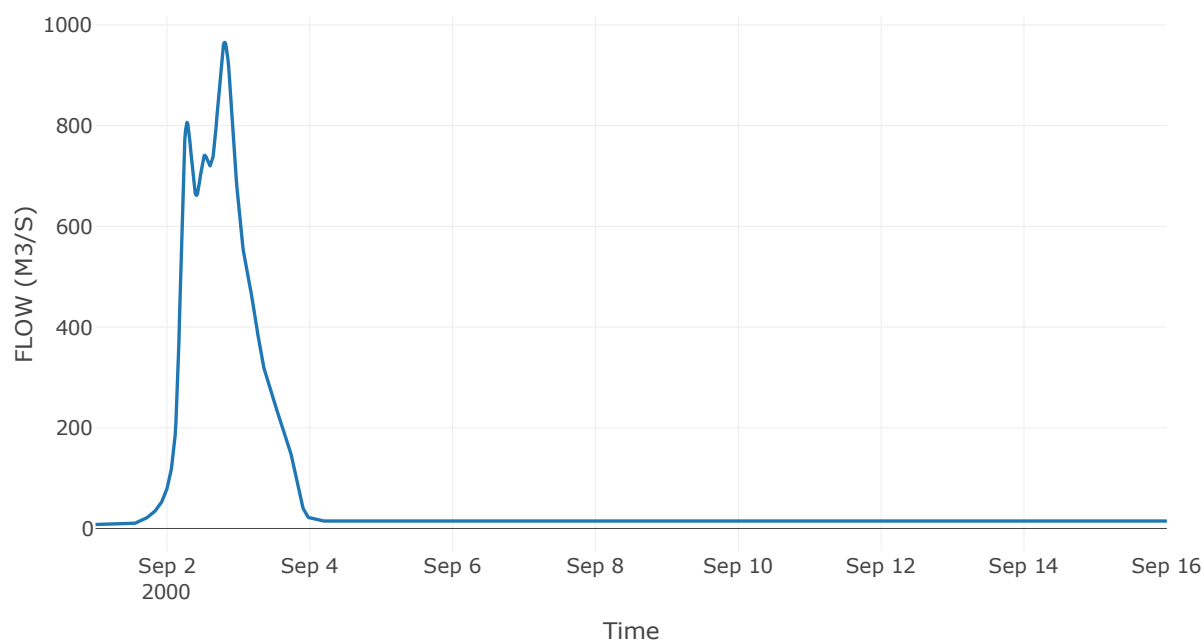
Κατάντη : J3

Μέθοδος Διόδευσης	Muskingum
Αρχική Μεταβλητή	Combined Inflow
Χρόνος Ροής K	3.58
Συντελεστής βάρους x	0.2
Πλήθος Υποκλάδων	14

Αποτελέσματα: R43

Παροχή Αιχμής(M3/S)	965.22
Χρονική στιγμή αιχμής	02Sep2000, 19:30
Όγκος(MM)	132.1
Παροχή Αιχμής Εισόδου (M3/S)	982.37
Όγκος Εισροής(M3)	9.8E7

Απορροή



Κλάδος: R54

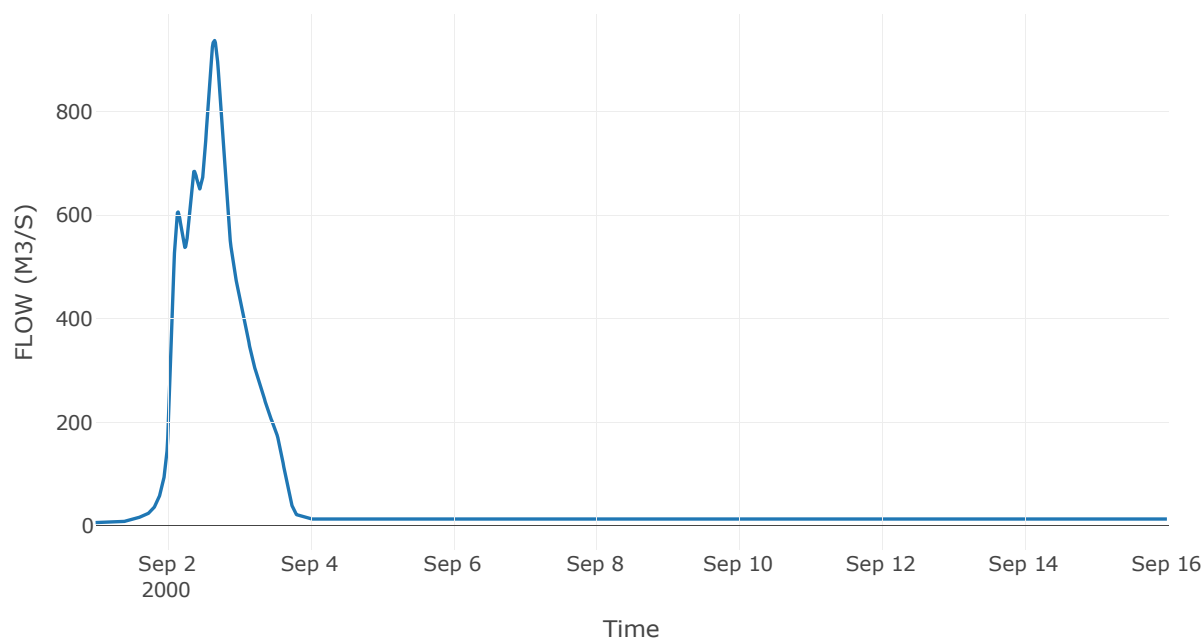
Κατάντη : J4

Μέθοδος Διόδευσης	Muskingum
Αρχική Μεταβλητή	Combined Inflow
Χρόνος Ροής K	0.16
Συντελεστής βάρους x	0.2
Πλήθος Υποκλάδων	1

Αποτελέσματα: R54

Παροχή Αιχμής(M3/S)	937.31
Χρονική στιγμή αιχμής	02Sep2000, 15:45
Όγκος(MM)	129.77
Παροχή Αιχμής Εισόδου (M3/S)	938.32
Όγκος Εισροής(M3)	8.72E7

Απορροή



Κλάδος: R65

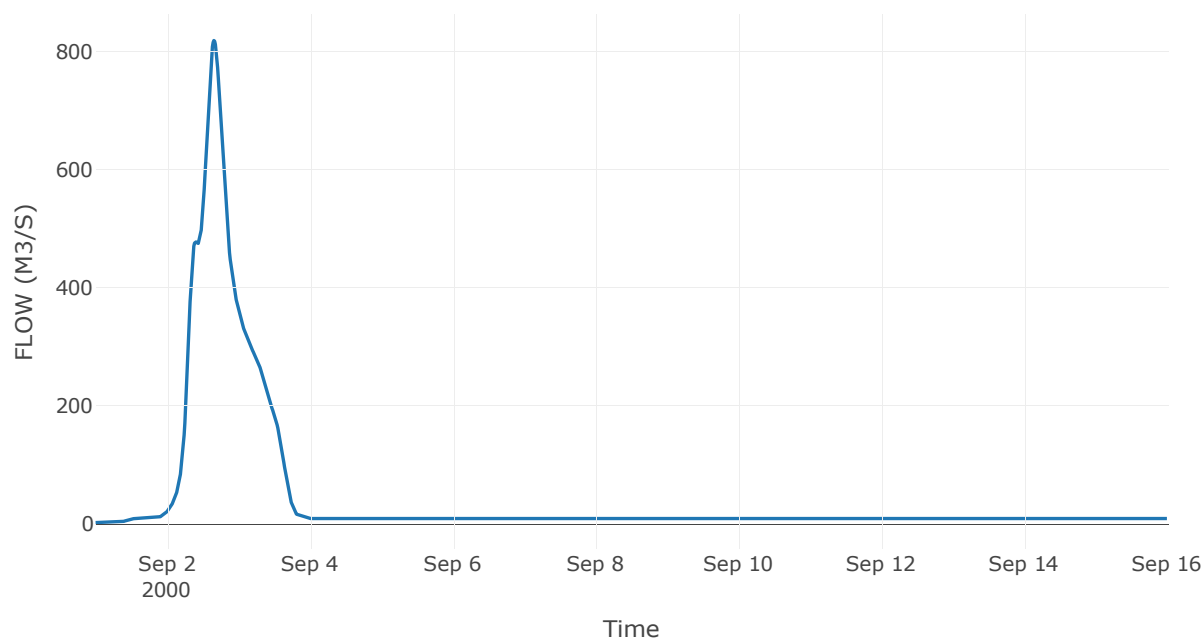
Κατάντη : J5

Μέθοδος Διόδευσης	Muskingum
Αρχική Μεταβλητή	Combined Inflow
Χρόνος Ροής K	4.31
Συντελεστής βάρους x	0.2
Πλήθος Υποκλάδων	17

Αποτελέσματα: R65

Παροχή Αιχμής(M3/S)	818.73
Χρονική στιγμή αιχμής	02Sep2000, 15:45
Όγκος(MM)	128.8
Παροχή Αιχμής Εισόδου (M3/S)	843.98
Όγκος Εισροής(M3)	6.15E7

Απορροή





Κλάδος: R76

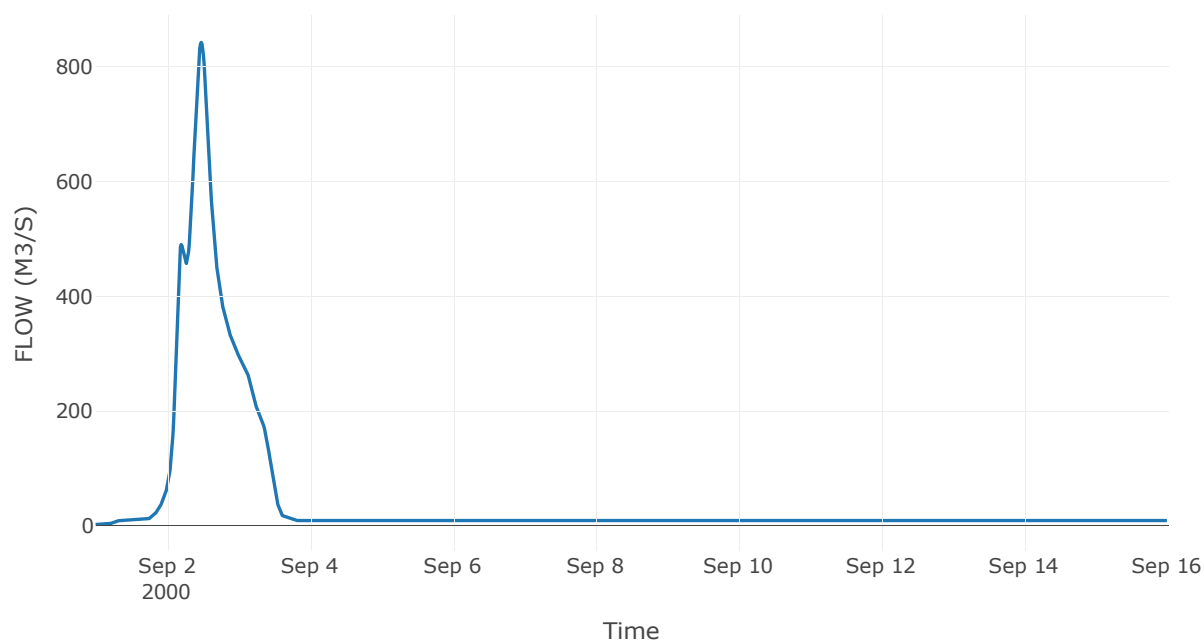
Κατάντη : J6

Μέθοδος Διόδευσης	Muskingum
Αρχική Μεταβλητή	Combined Inflow
Χρόνος Ροής K	1.79
Συντελεστής βάρους x	0.2
Πλήθος Υποκλάδων	7

Αποτελέσματα: R76

Παροχή Αιχμής(M3/S)	841.62
Χρονική στιγμή αιχμής	02Sep2000, 11:30
Όγκος(MM)	128.9
Παροχή Αιχμής Εισόδου (M3/S)	853.81
Όγκος Εισροής(M3)	6.1E7

Απορροή



Κλάδος: R87

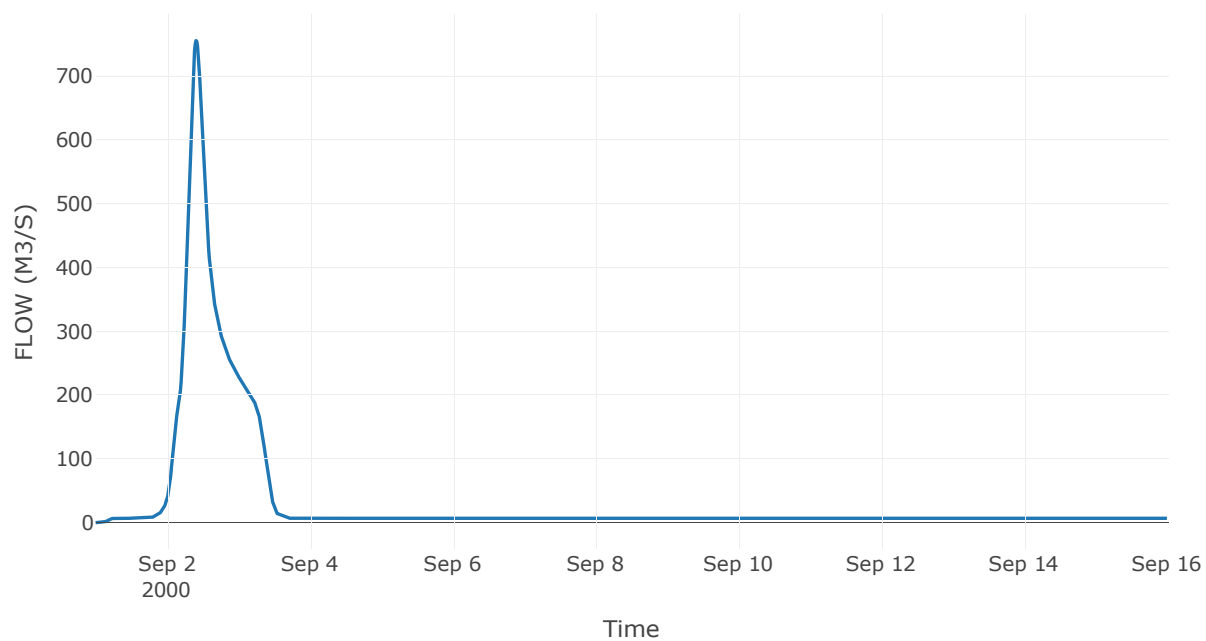
Κατάντη : J7

Μέθοδος Διόδευσης	Muskingum
Αρχική Μεταβλητή	Combined Inflow
Χρόνος Ροής K	1.13
Συντελεστής βάρους x	0.2
Πλήθος Υποκλάδων	5

Αποτελέσματα: R87

Παροχή Αιχμής(M3/S)	755.71
Χρονική στιγμή αιχμής	02Sep2000, 09:45
Όγκος(MM)	128.58
Παροχή Αιχμής Εισόδου (M3/S)	763.48
Όγκος Εισροής(M3)	4.65E7

Απορροή



Κλάδος: R218

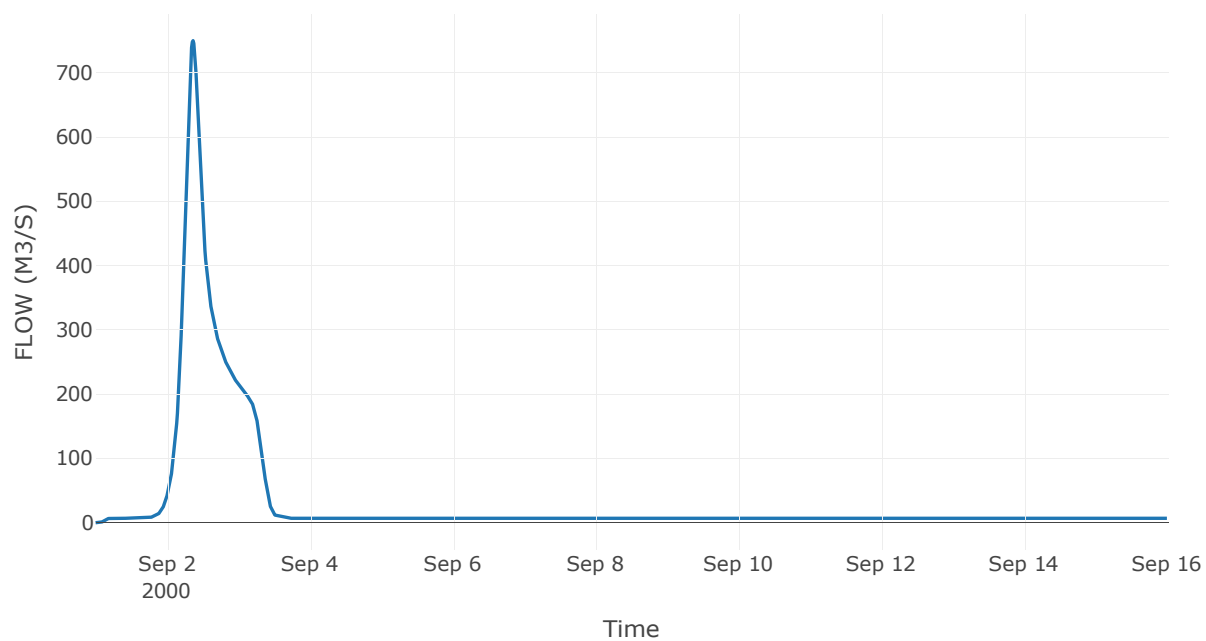
Κατάντη : J8

Μέθοδος Διόδευσης	Muskingum
Αρχική Μεταβλητή	Combined Inflow
Χρόνος Ροής K	2.22
Συντελεστής βάρους x	0.2
Πλήθος Υποκλάδων	9

Αποτελέσματα: R218

Παροχή Αιχμής(M3/S)	749.51
Χρονική στιγμή αιχμής	02Sep2000, 08:45
Όγκος(MM)	129.21
Παροχή Αιχμής Εισόδου (M3/S)	767.58
Όγκος Εισροής(M3)	4.43E7

Απορροή



Κλάδος: R921

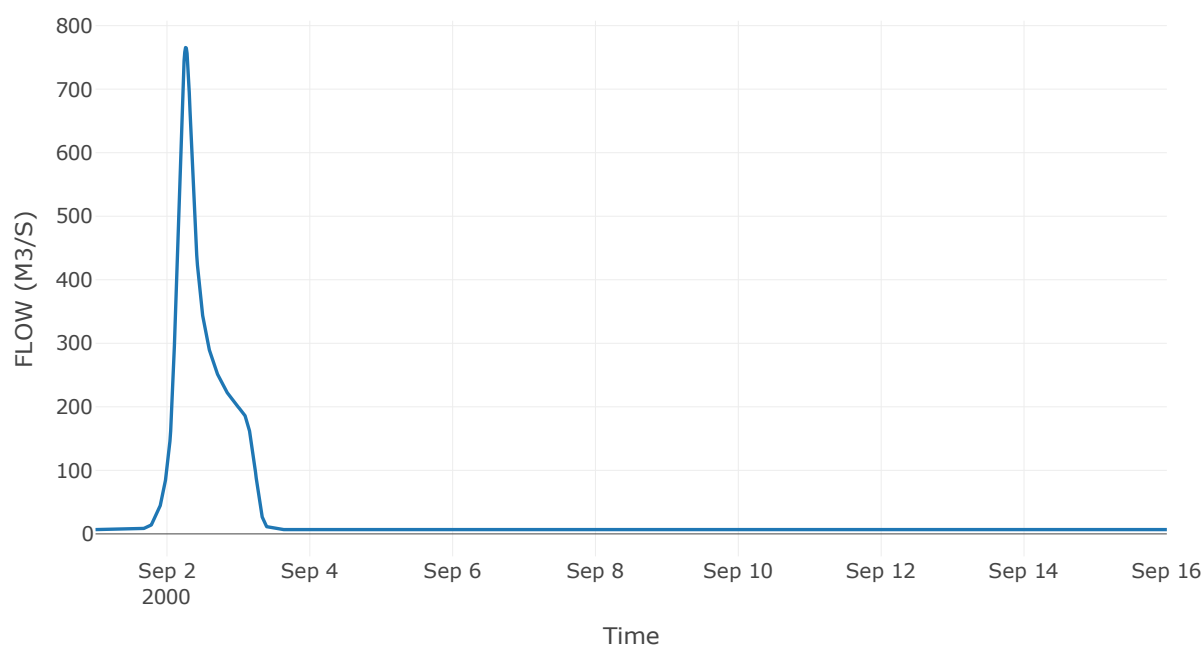
Κατάντη : J21 Res1

Μέθοδος Διόδευσης	Muskingum
Αρχική Μεταβλητή	Combined Inflow
Χρόνος Ροής K	1.57
Συντελεστής βάρους x	0.2
Πλήθος Υποκλάδων	6

Αποτελέσματα: R921

Παροχή Αιχμής(M3/S)	765.55
Χρονική στιγμή αιχμής	02Sep2000, 06:15
Όγκος(MM)	129.97
Παροχή Αιχμής Εισόδου (M3/S)	782.7
Όγκος Εισροής(M3)	4.39E7

Απορροή



Κλάδος: R109

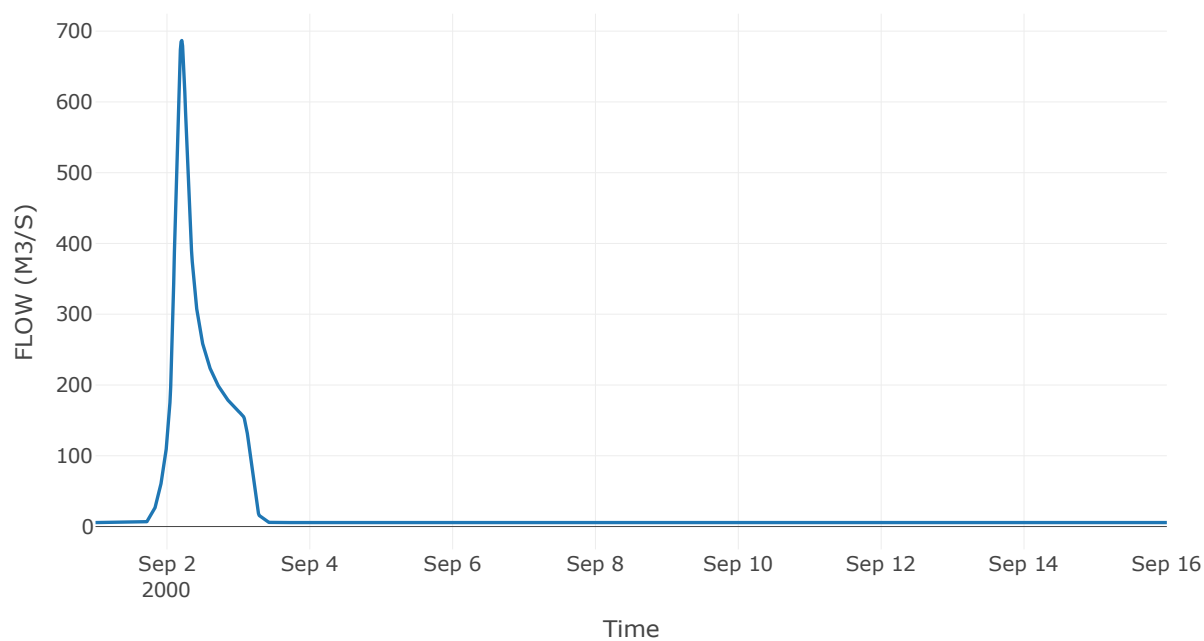
Κατάντη : J9

Μέθοδος Διόδευσης	Muskingum
Αρχική Μεταβλητή	Combined Inflow
Χρόνος Ροής K	1.83
Συντελεστής βάρους x	0.2
Πλήθος Υποκλάδων	7

Αποτελέσματα: R109

Παροχή Αιχμής(M3/S)	686.81
Χρονική στιγμή αιχμής	02Sep2000, 05:00
Όγκος(MM)	130.56
Παροχή Αιχμής Εισόδου (M3/S)	712.03
Όγκος Εισροής(M3)	3.65E7

Απορροή



Κλάδος: R1110

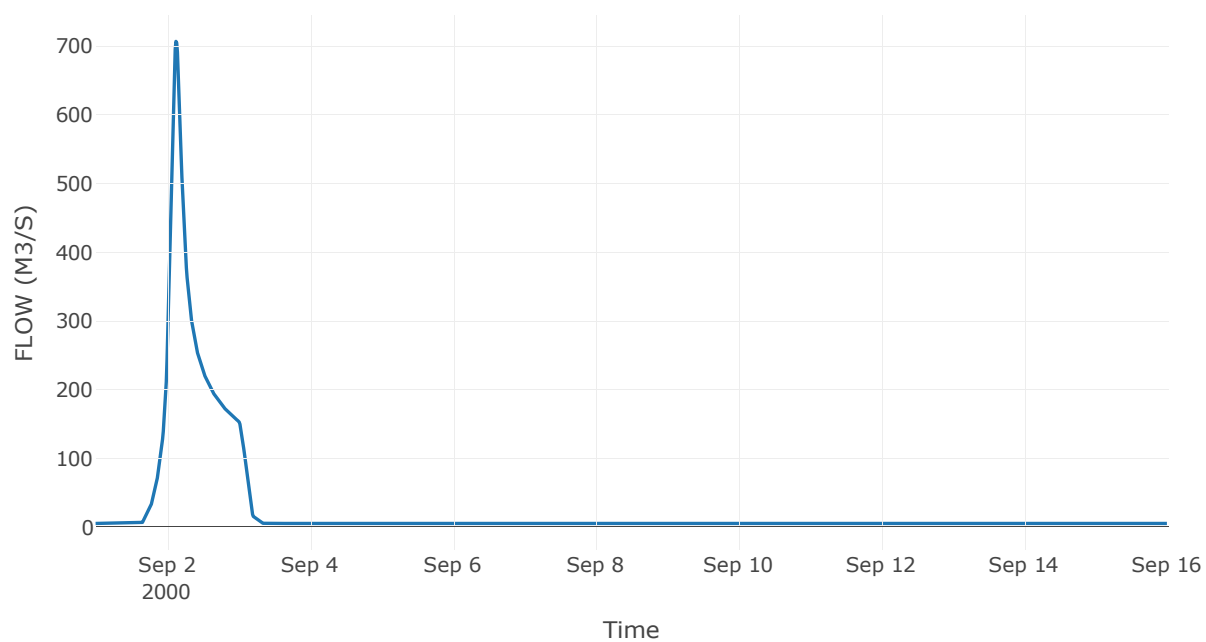
Κατάντη : J10

Μέθοδος Διόδευσης	Χρόνος Υστέρησης
Αρχική Μεταβλητή	Combined Inflow
Χρόνος Υστέρησης	7.05

Αποτελέσματα: R1110

Παροχή Αιχμής(M3/S)	706.43
Χρονική στιγμή αιχμής	02Sep2000, 03:00
Όγκος(MM)	130.81
Παροχή Αιχμής Εισόδου (M3/S)	708.59
Όγκος Εισροής(M3)	3.6E7

Απορροή



Κλάδος: R1211

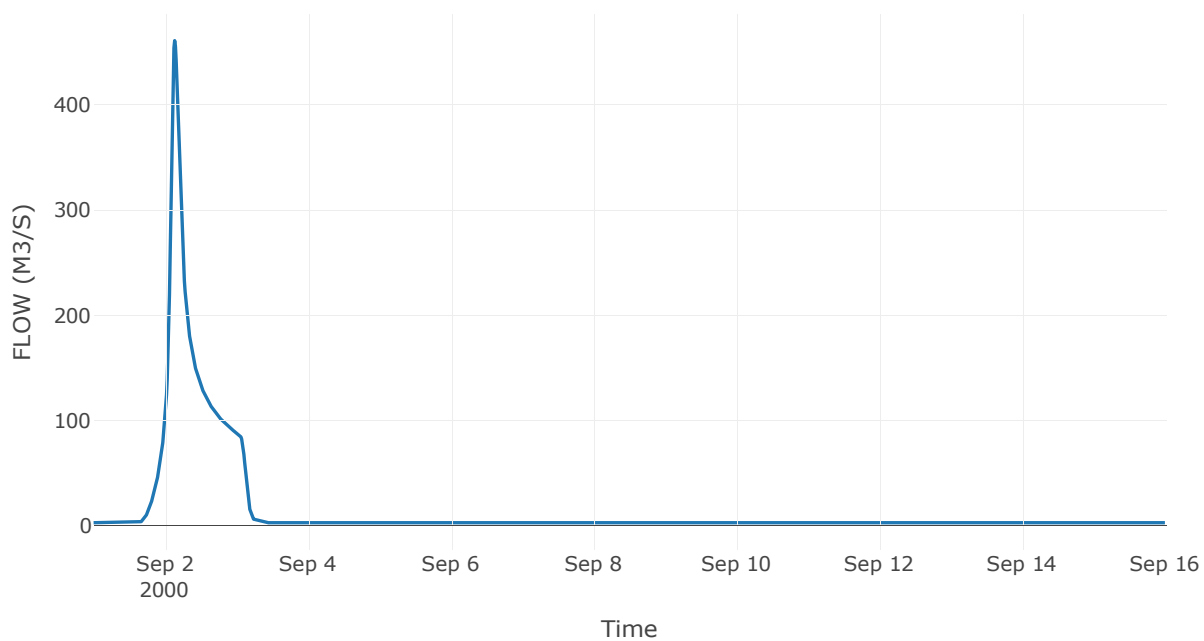
Κατάντη : J11

Μέθοδος Διόδευσης	Muskingum
Αρχική Μεταβλητή	Combined Inflow
Χρόνος Ροής Κ	1.59
Συντελεστής βάρους x	0.2
Πλήθος Υποκλάδων	6

Αποτελέσματα: R1211

Παροχή Αιχμής(M3/S)	461.07
Χρονική στιγμή αιχμής	02Sep2000, 03:15
Όγκος(MM)	135.13
Παροχή Αιχμής Εισόδου (M3/S)	489.53
Όγκος Εισροής(M3)	2.07E7

Απορροή



Κλάδος: R1312

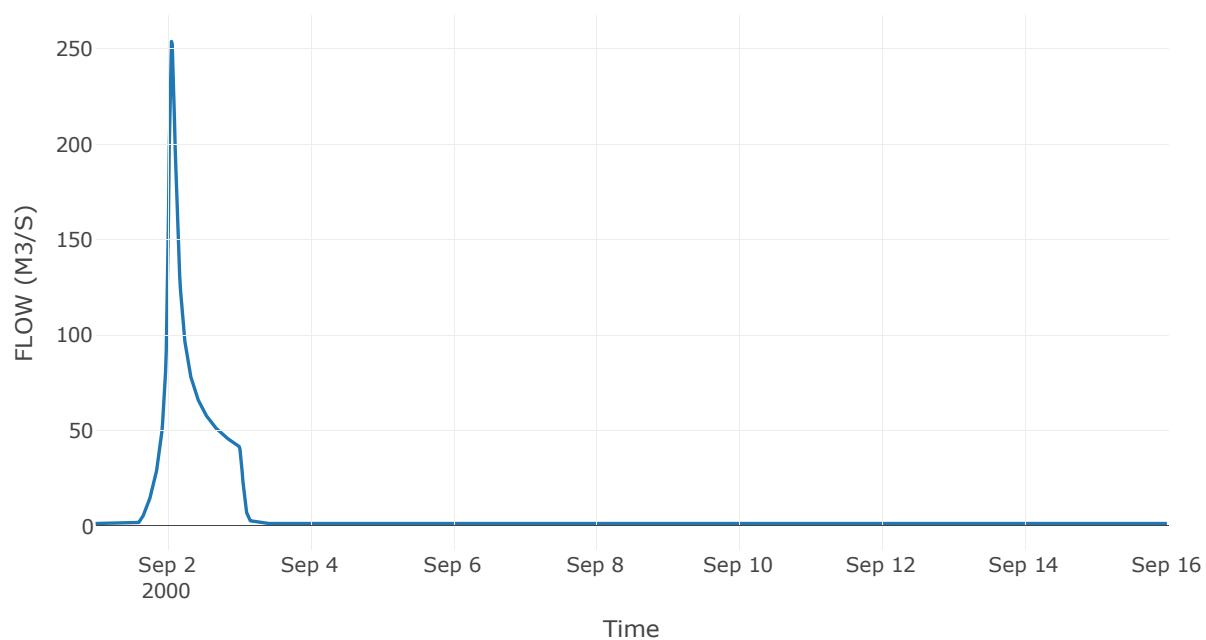
Κατάντη : J12

Μέθοδος Διόδευσης	Χρόνος Υστέρησης
Αρχική Μεταβλητή	Combined Inflow
Χρόνος Υστέρησης	10.06

Αποτελέσματα: R1312

Παροχή Αιχμής(M3/S)	253.95
Χρονική στιγμή αιχμής	02Sep2000, 01:30
Όγκος(MM)	140.08
Παροχή Αιχμής Εισόδου (M3/S)	254.35
Όγκος Εισροής(M3)	1.04E7

Απορροή





Κλάδος: R147

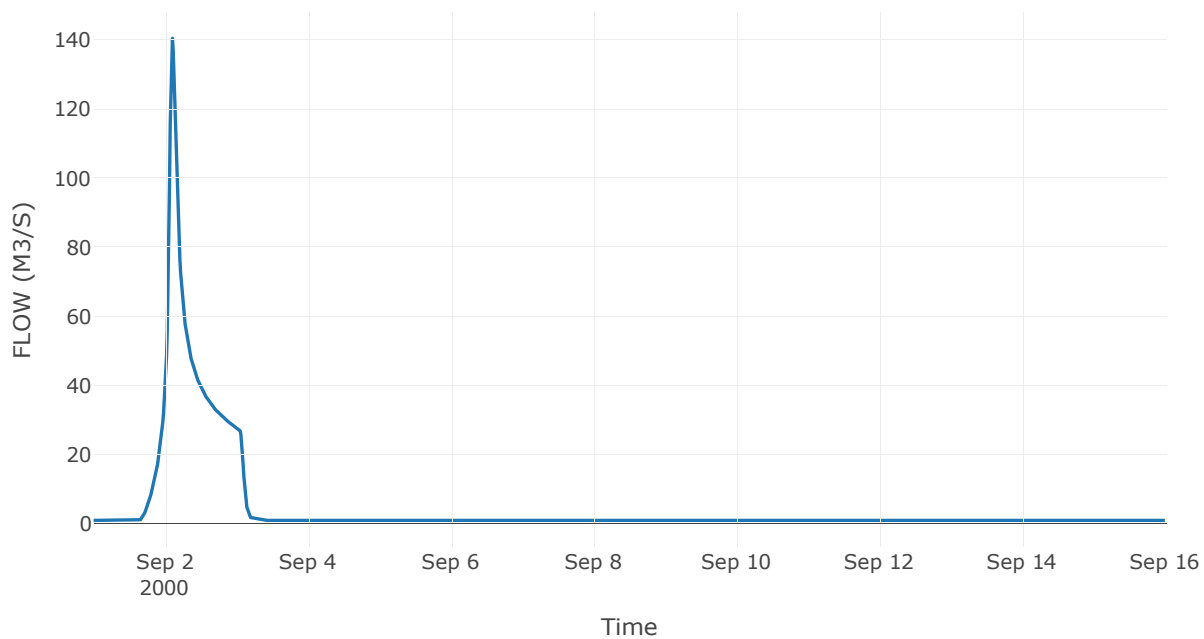
Κατάντη : J7

Μέθοδος Διόδευσης	Χρόνος Υστέρησης
Αρχική Μεταβλητή	Combined Inflow
Χρόνος Υστέρησης	60.19

Αποτελέσματα: R147

Παροχή Αιχμής(M3/S)	140.41
Χρονική στιγμή αιχμής	02Sep2000, 02:30
Όγκος(MM)	126.5
Παροχή Αιχμής Εισόδου (M3/S)	140.41
Όγκος Εισροής(M3)	6.24E6

Απορροή



Κλάδος: R155

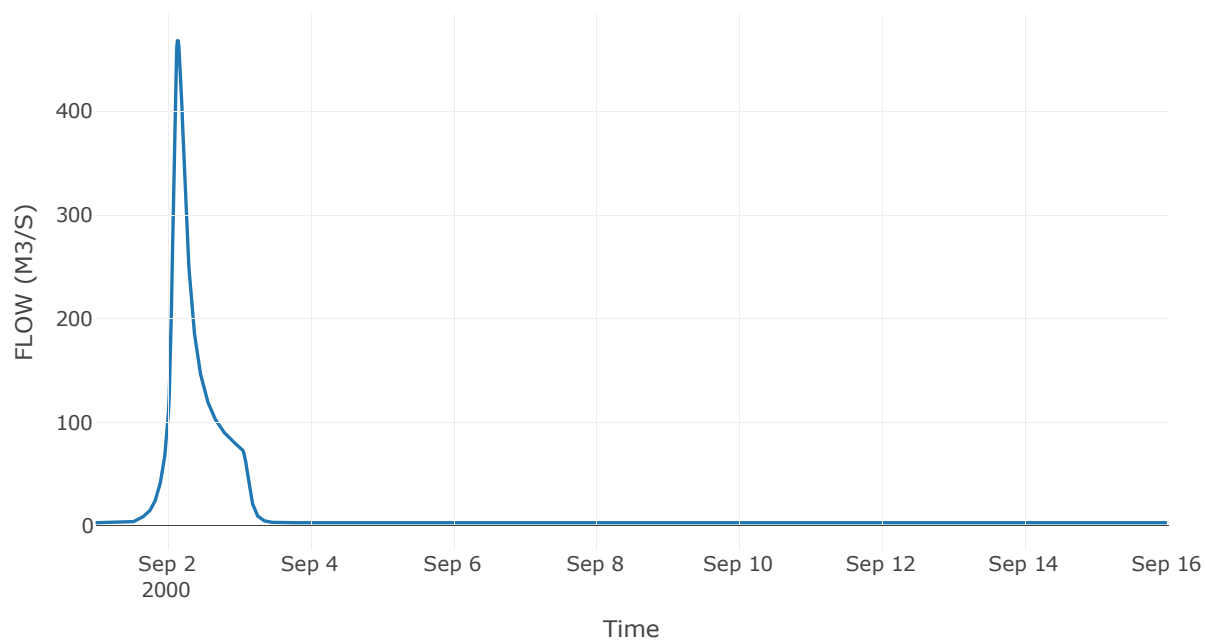
Κατάντη : J5

Μέθοδος Διόδευσης	Muskingum
Αρχική Μεταβλητή	Combined Inflow
Χρόνος Ροής K	1.13
Συντελεστής βάρους x	0.2
Πλήθος Υποκλάδων	5

Αποτελέσματα: R155

Παροχή Αιχμής(M3/S)	468.26
Χρονική στιγμή αιχμής	02Sep2000, 03:30
Όγκος(MM)	133.39
Παροχή Αιχμής Εισόδου (M3/S)	477.72
Όγκος Εισροής(M3)	2.16E7

Απορροή



Κλάδος: R1615

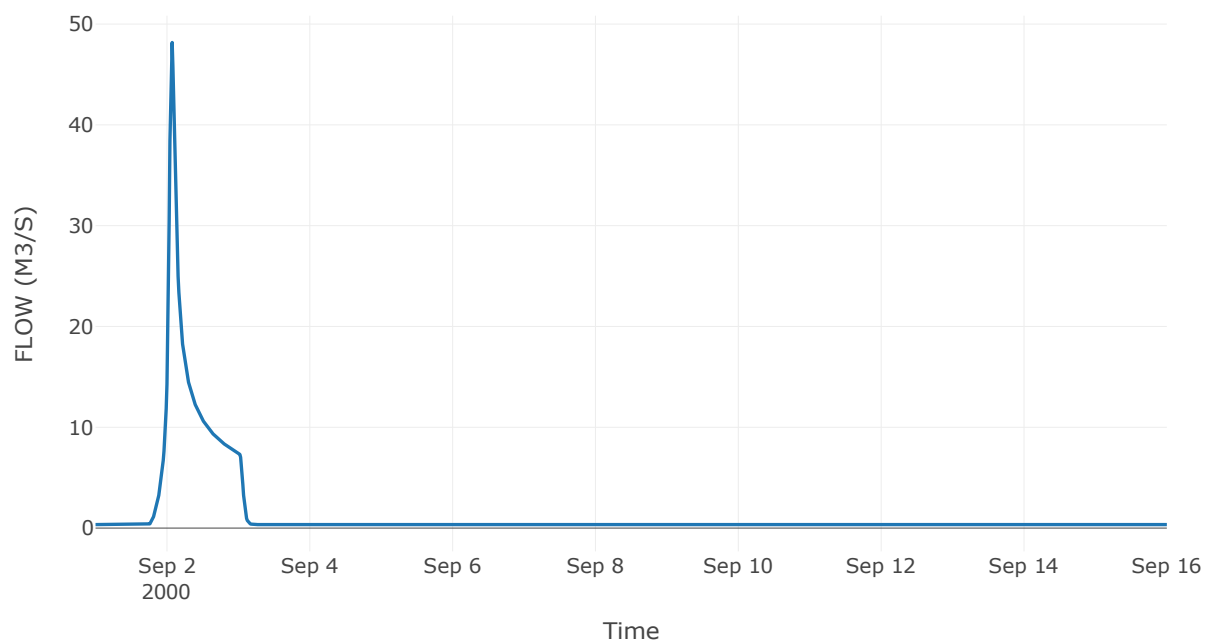
Κατάντη : J15

Μέθοδος Διόδευσης	Muskingum
Αρχική Μεταβλητή	Combined Inflow
Χρόνος Ροής K	0.55
Συντελεστής βάρους x	0.2
Πλήθος Υποκλάδων	2

Αποτελέσματα: R1615

Παροχή Αιχμής(M3/S)	48.17
Χρονική στιγμή αιχμής	02Sep2000, 01:45
Όγκος(MM)	105.47
Παροχή Αιχμής Εισόδου (M3/S)	51.1
Όγκος Εισροής(M3)	1.83E6

Απορροή



Κλάδος: R1715

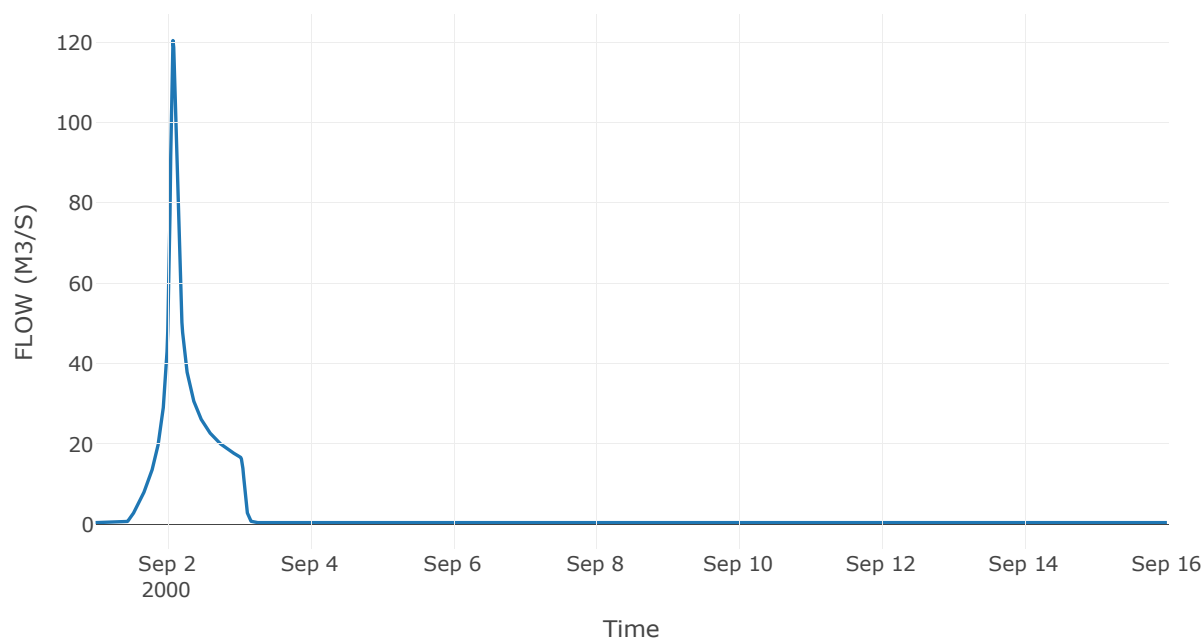
Κατάντη : J15

Μέθοδος Διόδευσης	Muskingum
Αρχική Μεταβλητή	Combined Inflow
Χρόνος Ροής K	1
Συντελεστής βάρους x	0.2
Πλήθος Υποκλάδων	4

Αποτελέσματα: R1715

Παροχή Αιχμής(M3/S)	120.42
Χρονική στιγμή αιχμής	02Sep2000, 02:00
Όγκος(MM)	173.89
Παροχή Αιχμής Εισόδου (M3/S)	129.51
Όγκος Εισροής(M3)	4.55E6

Απορροή



Κλάδος: R184

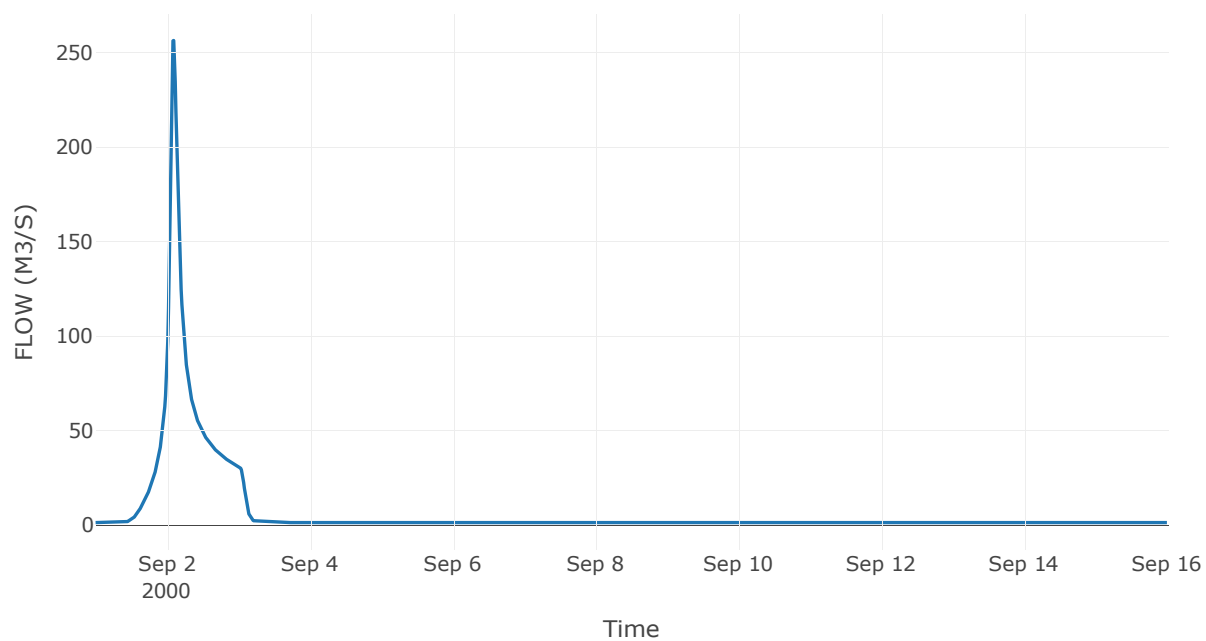
Κατάντη : J4

Μέθοδος Διόδευσης	Muskingum
Αρχική Μεταβλητή	Combined Inflow
Χρόνος Ροής K	0.55
Συντελεστής βάρους x	0.2
Πλήθος Υποκλάδων	2

Αποτελέσματα: R184

Παροχή Αιχμής(M3/S)	256.42
Χρονική στιγμή αιχμής	02Sep2000, 02:15
Όγκος(MM)	154.51
Παροχή Αιχμής Εισόδου (M3/S)	264.91
Όγκος Εισροής(M3)	9.4E6

Απορροή



Κλάδος: R193

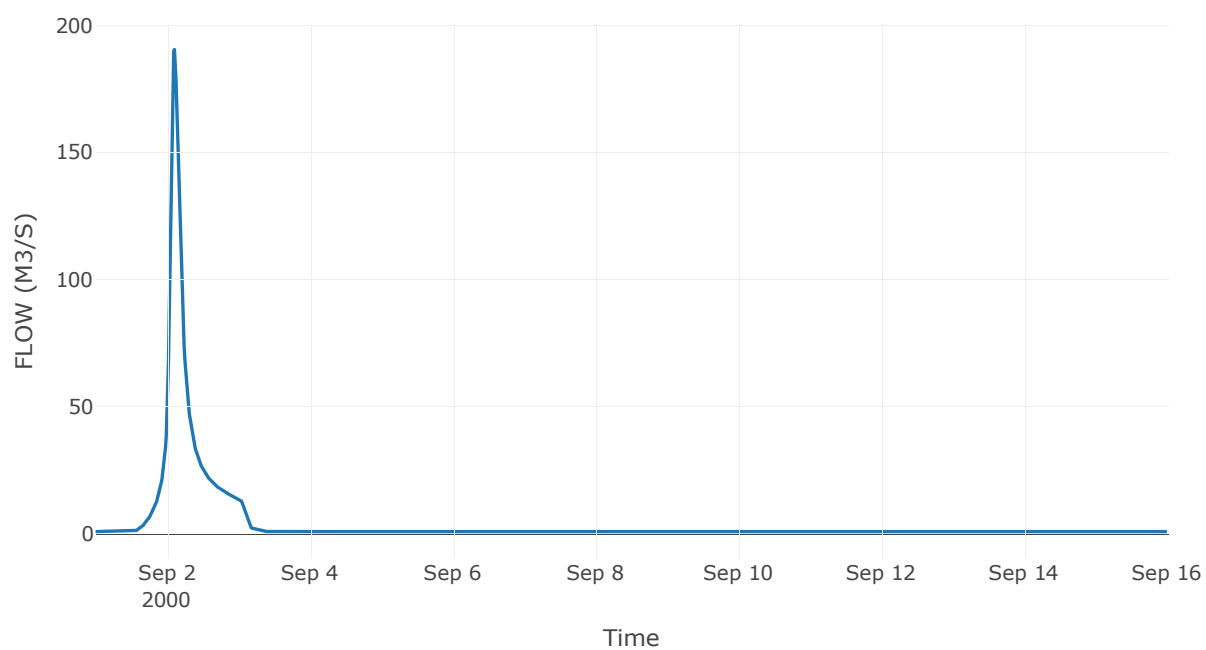
Κατάντη : J3

Μέθοδος Διόδευσης	Muskingum
Αρχική Μεταβλητή	Combined Inflow
Χρόνος Ροής K	0.27
Συντελεστής βάρους x	0.2
Πλήθος Υποκλάδων	1

Αποτελέσματα: R193

Παροχή Αιχμής(M3/S)	190.48
Χρονική στιγμή αιχμής	02Sep2000, 02:30
Όγκος(MM)	145.23
Παροχή Αιχμής Εισόδου (M3/S)	192.17
Όγκος Εισροής(M3)	5.87E6

Απορροή



Κλάδος: R2019

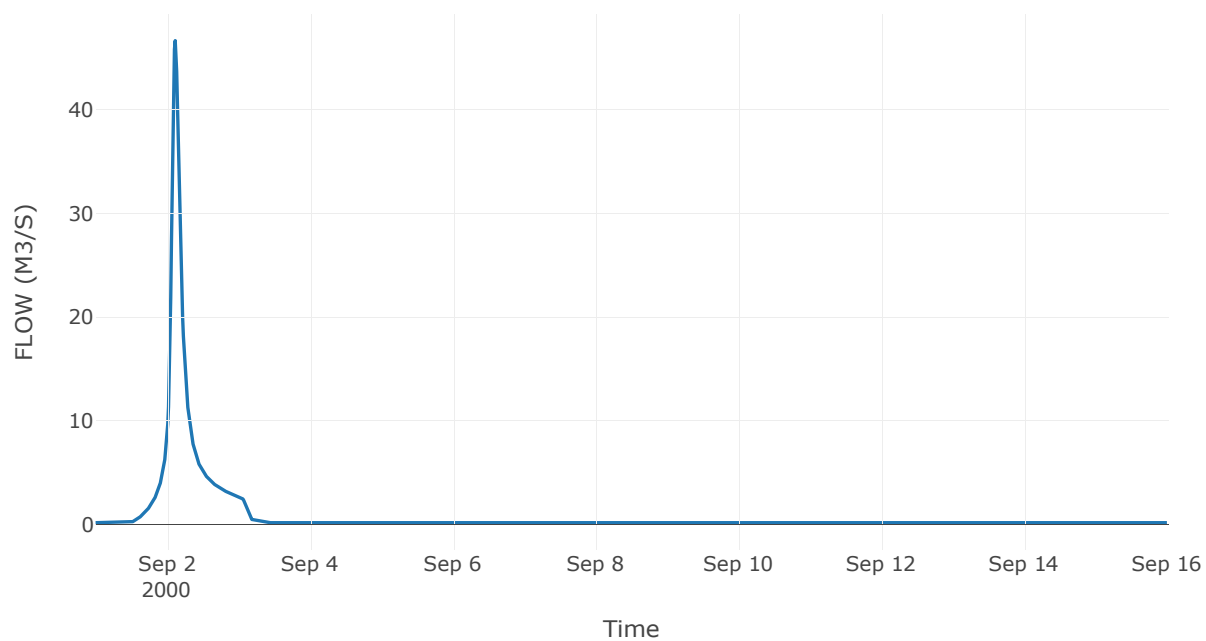
Κατάντη : J19

Μέθοδος Διόδευσης	Muskingum
Αρχική Μεταβλητή	Combined Inflow
Χρόνος Ροής K	0.88
Συντελεστής βάρους x	0.2
Πλήθος Υποκλάδων	4

Αποτελέσματα: R2019

Παροχή Αιχμής(M3/S)	46.69
Χρονική στιγμή αιχμής	02Sep2000, 02:45
Όγκος(MM)	153.73
Παροχή Αιχμής Εισόδου (M3/S)	48.27
Όγκος Εισροής(M3)	1.26E6

Απορροή



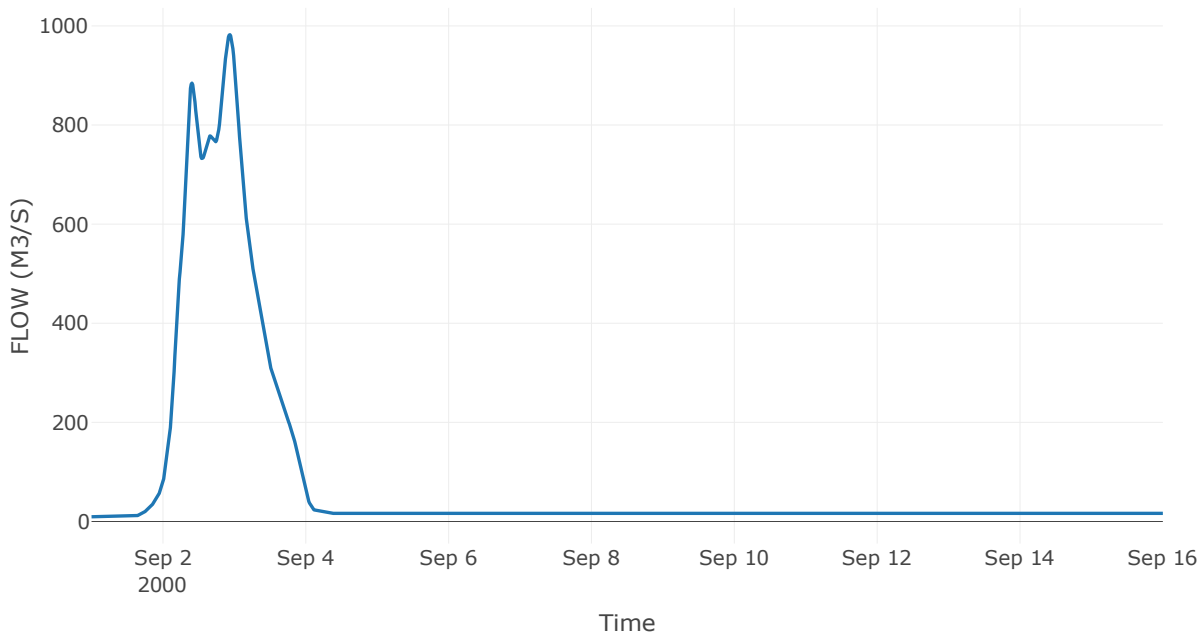
## 2.3 Δεδομένα και υδρογραφήματα σχεδιασμού Κόμβων υδρογραφικού δικτύου

Κόμβος εξόδου: J1

Αποτέλεσμα  
τα: J1

Παροχή αιχμής (M3/S)	982.27
Χρονική στιγμή αιχμής	02Sep2000, 22:30
Όγκος (MM)	133.49

Απορροή





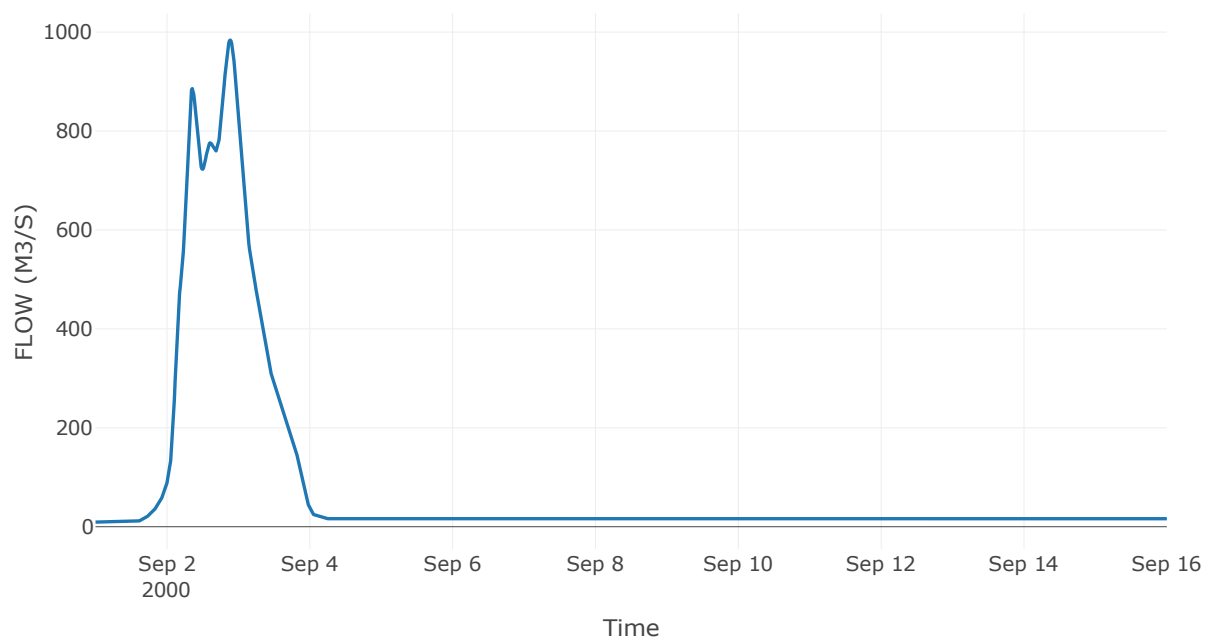
Κόμβος: J2

Κατάντη : R21

Αποτελέσματα: J2

Παροχή Αιχμής(M3/S)	983.96
Χρονική στιγμή αιχμής	02Sep2000, 21:15
Όγκος(MM)	133.38

Απορροή



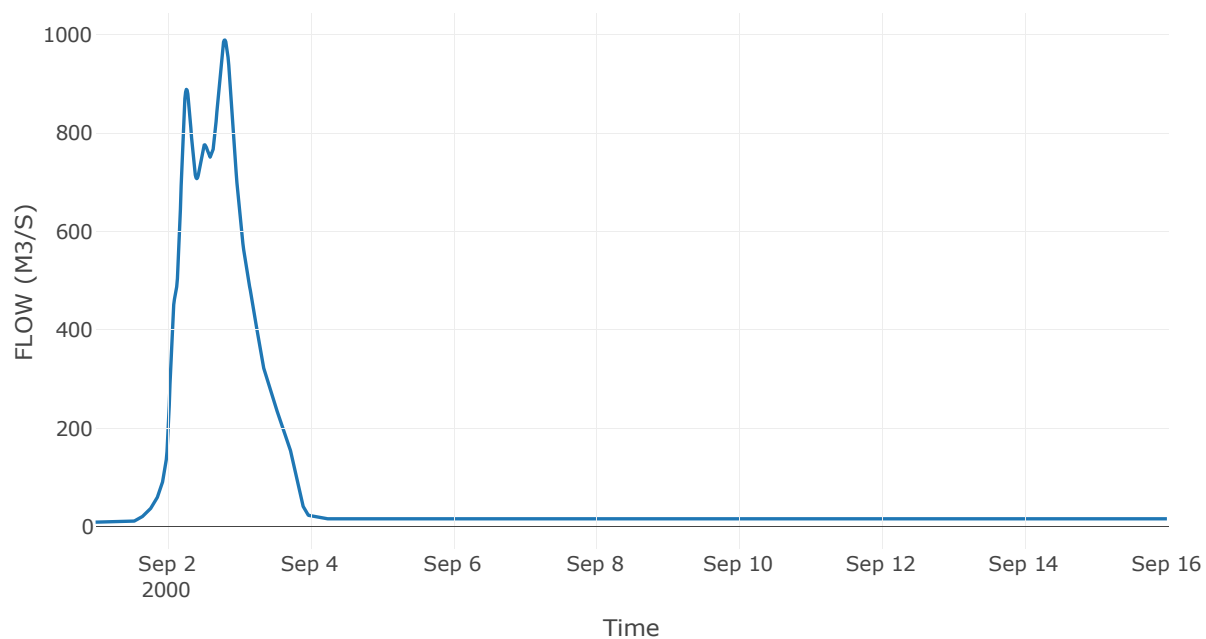
Κόμβος: J3

Κατάντη : R32

Αποτελέσματα: J3

Παροχή Αιχμής(M3/S)	989.4
Χρονική στιγμή αιχμής	02Sep2000, 19:30
Όγκος(MM)	133.22

Απορροή



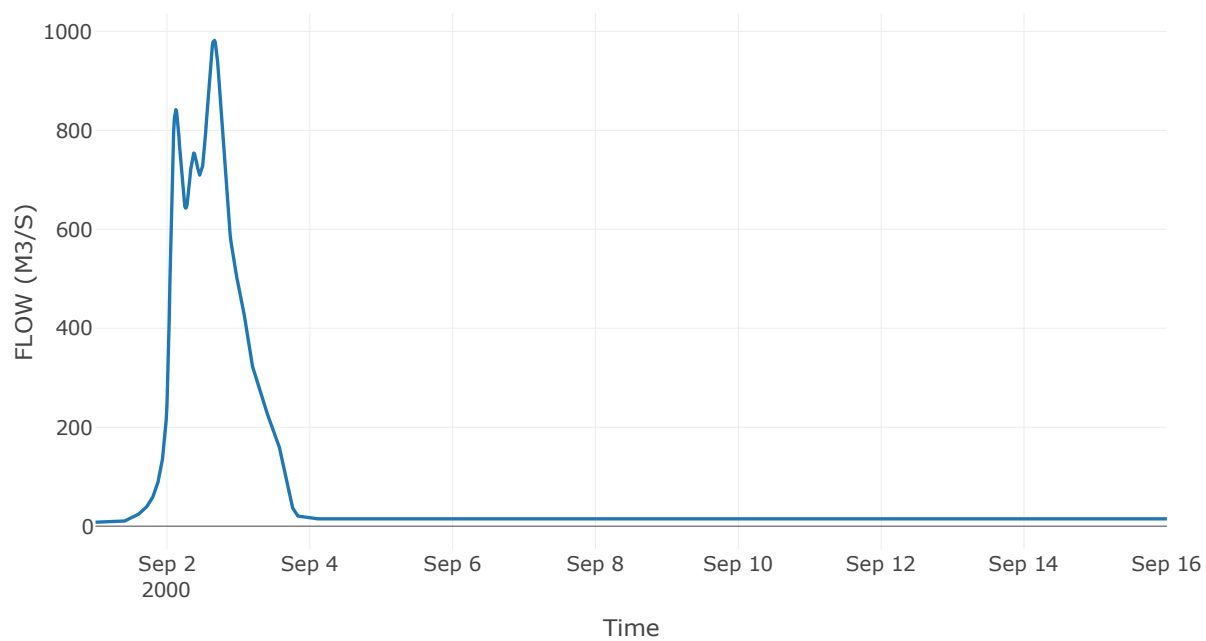
Κόμβος: J4

Κατάντη : R43

Αποτελέσματα: J4

Παροχή Αιχμής(M3/S)	982.37
Χρονική στιγμή αιχμής	02Sep2000, 15:45
Όγκος(MM)	132.22

Απορροή



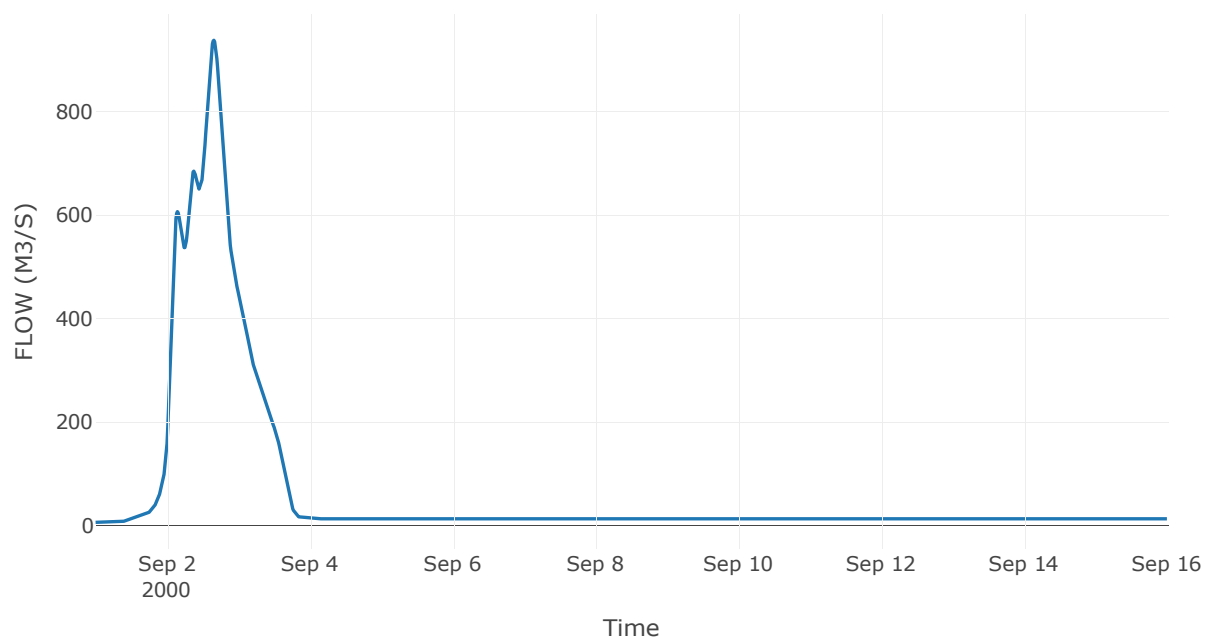
Κόμβος: J5

Κατάντη : R54

Αποτελέσματα: J5

Παροχή Αιχμής(M3/S)	938.32
Χρονική στιγμή αιχμής	02Sep2000, 15:45
Όγκος(MM)	129.77

Απορροή



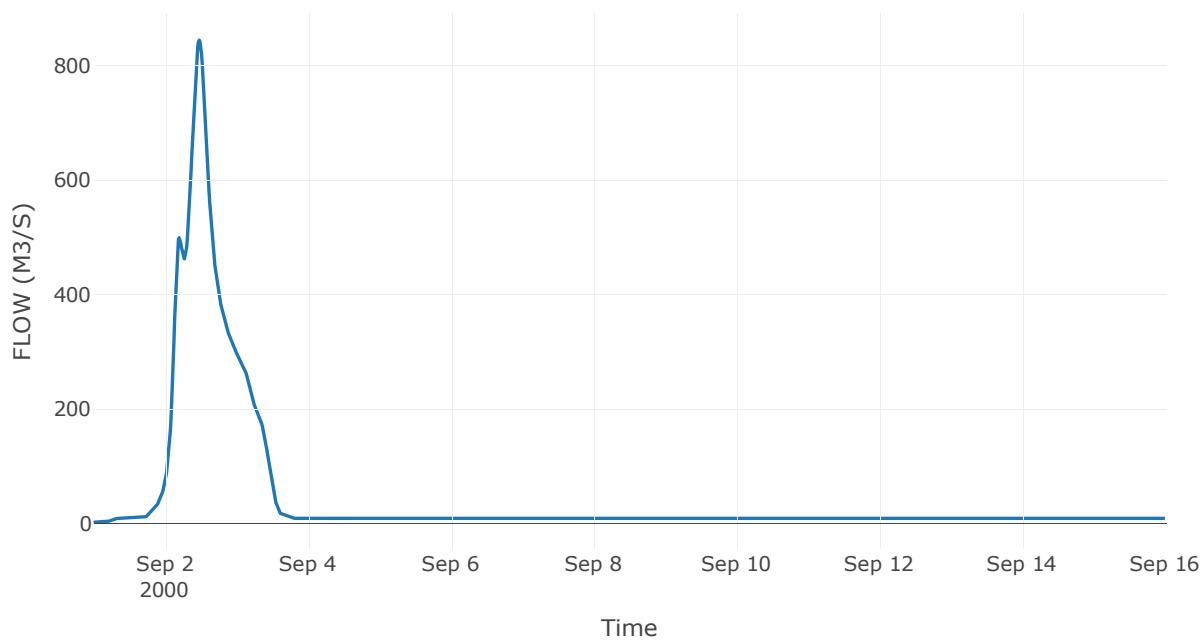
Κόμβος: J6

Κατάντη : R65

Αποτελέσματα: J6

Παροχή Αιχμής(M3/S)	843.98
Χρονική στιγμή αιχμής	02Sep2000, 11:30
Όγκος(MM)	129.02

Απορροή



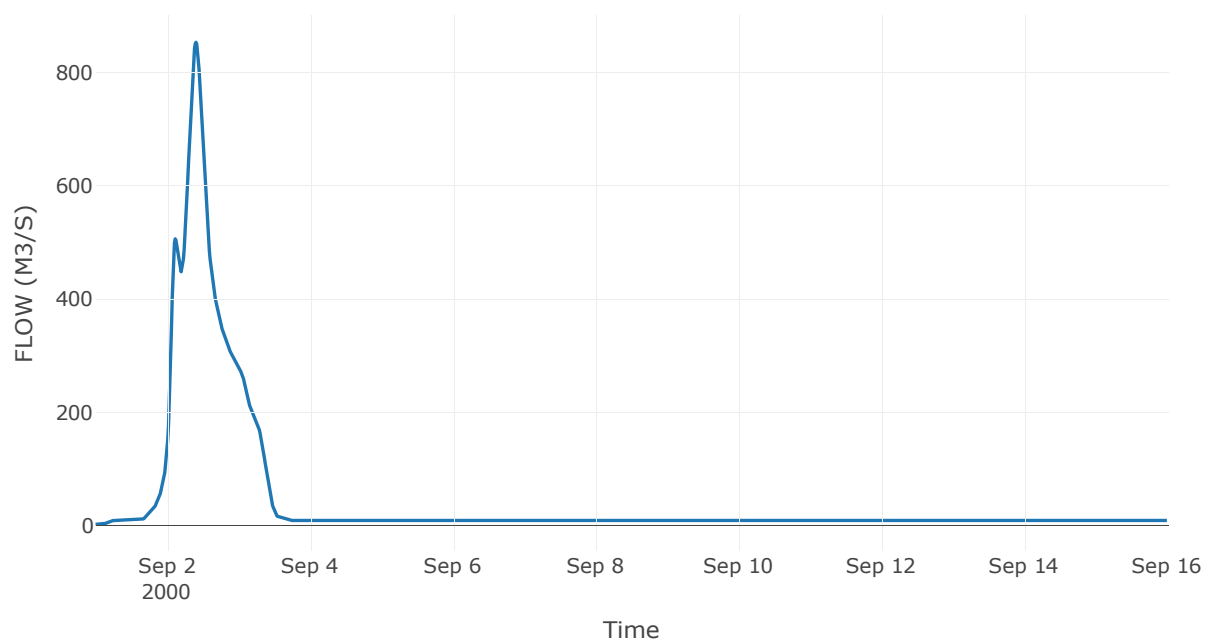
Κόμβος: J7

Κατάντη : R76

Αποτελέσματα: J7

Παροχή Αιχμής(M3/S)	853.81
Χρονική στιγμή αιχμής	02Sep2000, 09:45
Όγκος(MM)	128.99

Απορροή



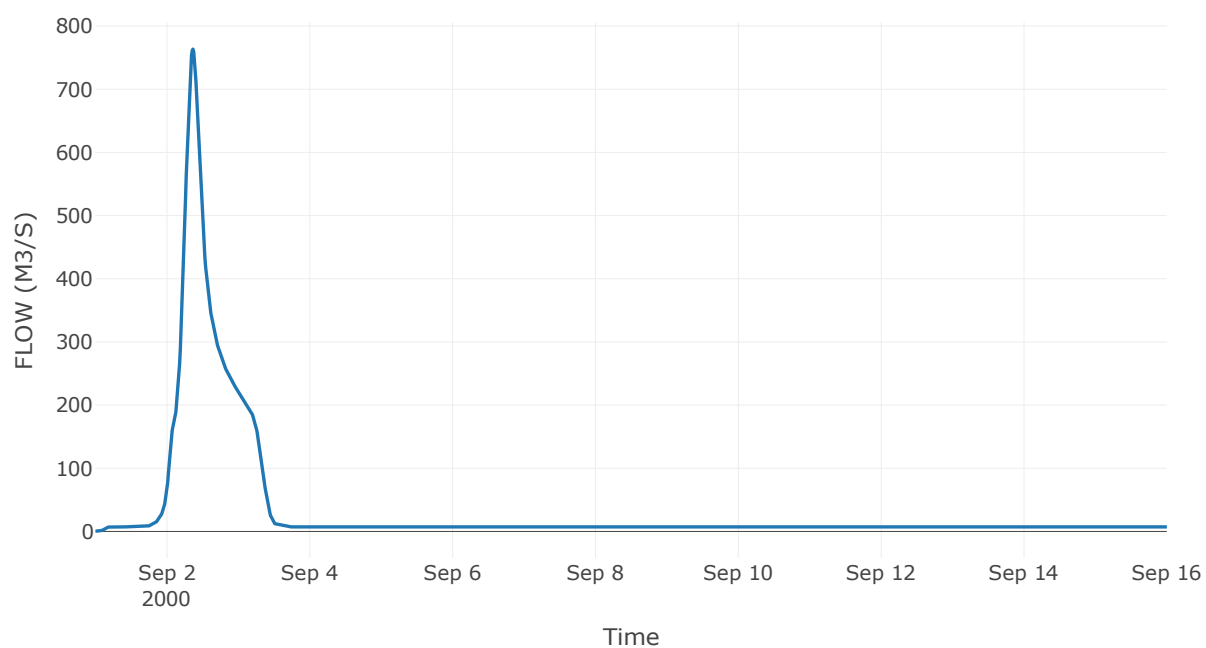
Κόμβος: J8

Κατάντη : R87

Αποτελέσματα: J8

Παροχή Αιχμής(M3/S)	763.48
Χρονική στιγμή αιχμής	02Sep2000, 08:45
Όγκος(MM)	128.65

Απορροή



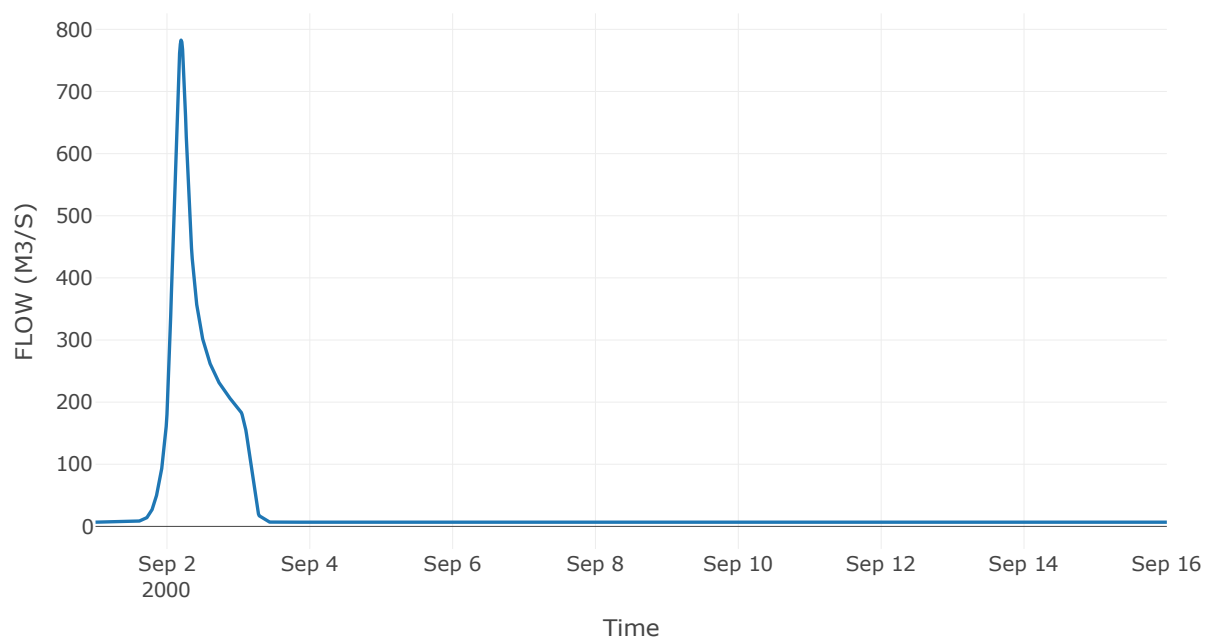
Κόμβος: J9

Κατάντη : R921

Αποτελέσματα: J9

Παροχή Αιχμής(M3/S)	782.7
Χρονική στιγμή αιχμής	02Sep2000, 04:45
Όγκος(MM)	129.97

Απορροή





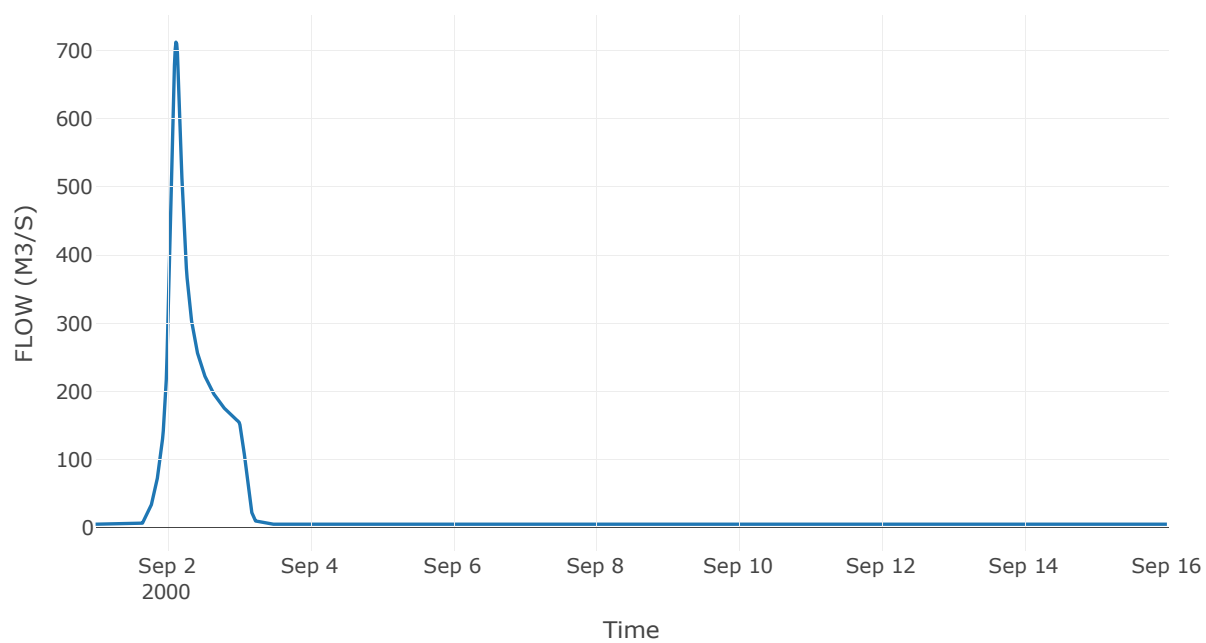
Κόμβος: J10

Κατάντη : R109

Αποτελέσματα: J10

Παροχή Αιχμής(M3/S)	712.03
Χρονική στιγμή αιχμής	02Sep2000, 03:00
Όγκος(MM)	130.56

Απορροή



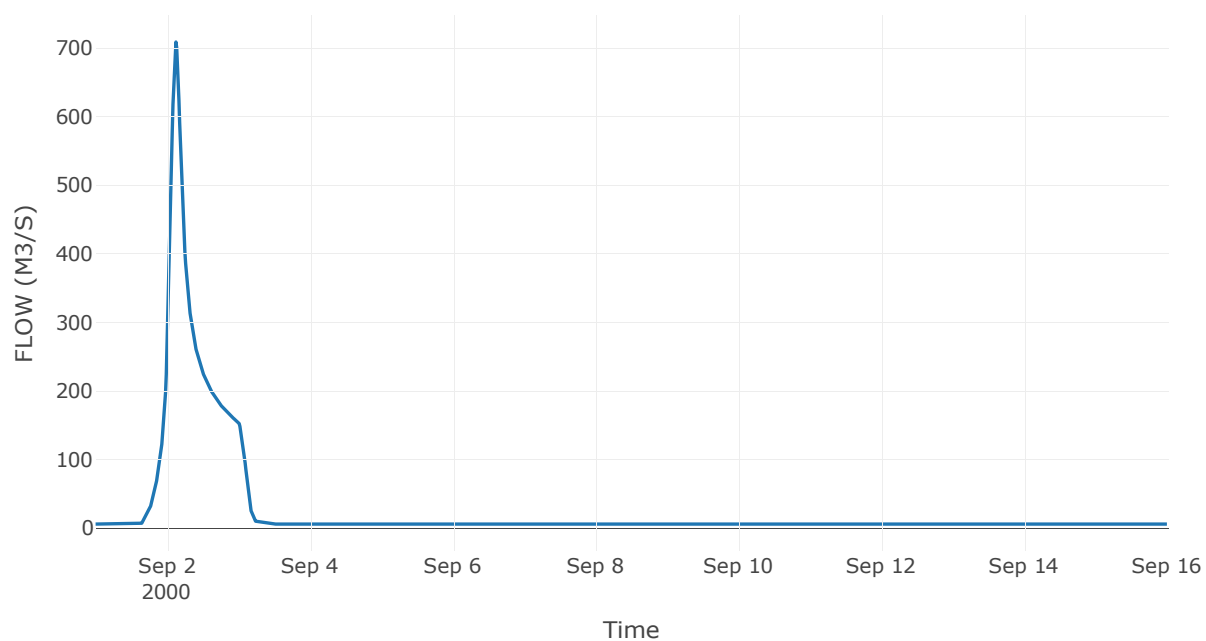
Κόμβος: J11

Κατάντη : R1110

Αποτελέσματα: J11

Παροχή Αιχμής(M3/S)	708.59
Χρονική στιγμή αιχμής	02Sep2000, 03:00
Όγκος(MM)	130.81

Απορροή



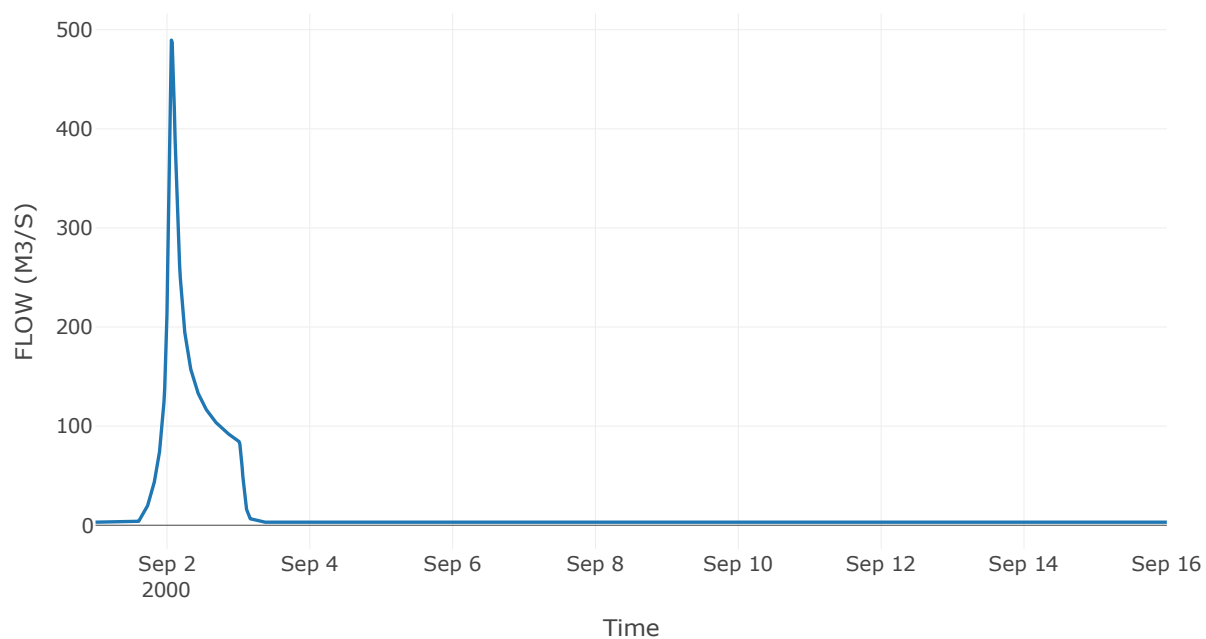
Κόμβος: J12

Κατάντη : R1211

Αποτελέσματα: J12

Παροχή Αιχμής(M3/S)	489.53
Χρονική στιγμή αιχμής	02Sep2000, 01:30
Όγκος(MM)	135.13

Απορροή



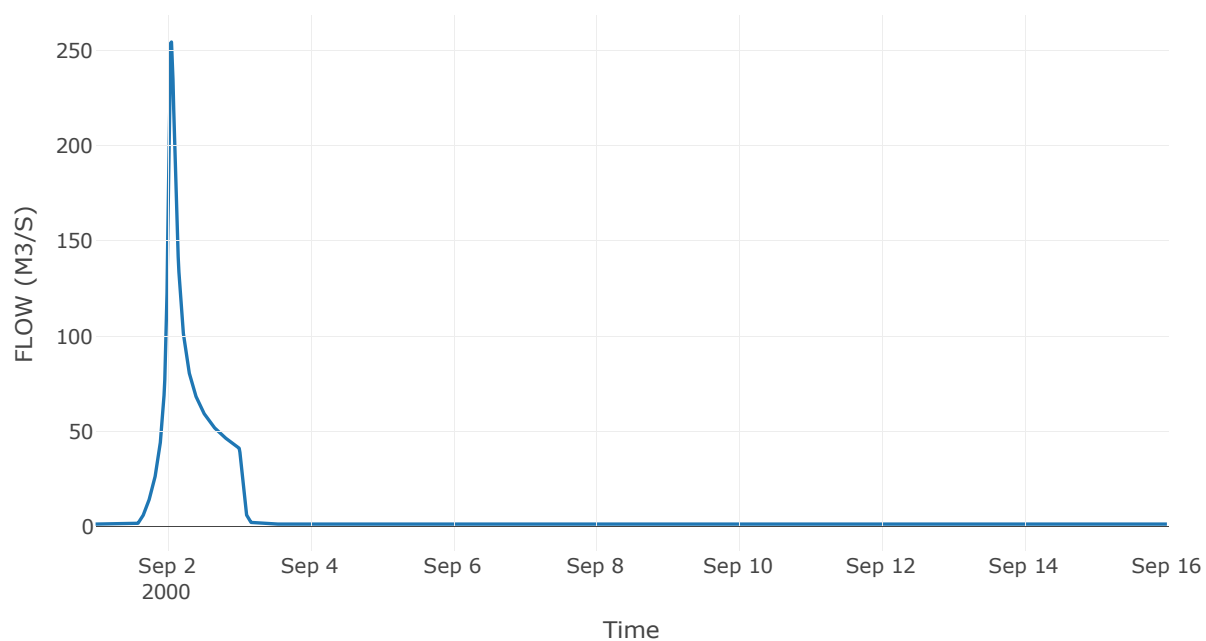
Κόμβος: J13

Κατάντη : R1312

Αποτελέσματα: J13

Παροχή Αιχμής(M3/S)	254.35
Χρονική στιγμή αιχμής	02Sep2000, 01:30
Όγκος(MM)	140.08

Απορροή



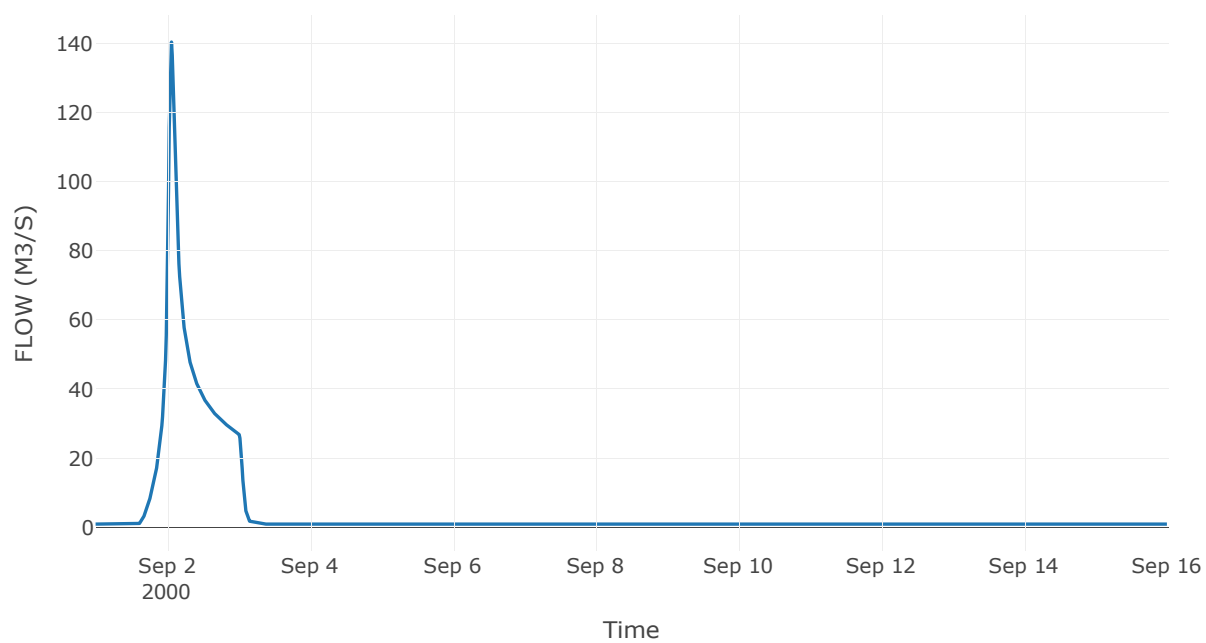
Κόμβος: J14

Κατάντη : R147

Αποτελέσματα: J14

Παροχή Αιχμής(M3/S)	140.41
Χρονική στιγμή αιχμής	02Sep2000, 01:30
Όγκος(MM)	126.5

Απορροή



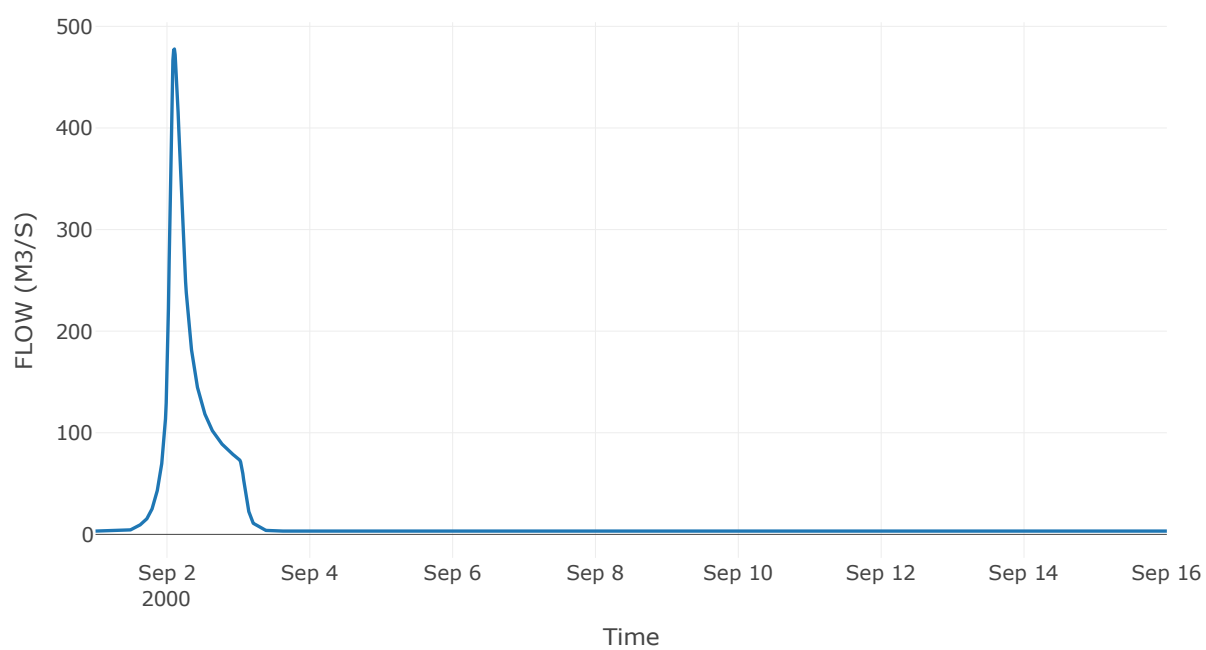
Κόμβος: J15

Κατάντη : R155

Αποτελέσματα: J15

Παροχή Αιχμής(M3/S)	477.72
Χρονική στιγμή αιχμής	02Sep2000, 02:30
Όγκος(MM)	133.39

Απορροή



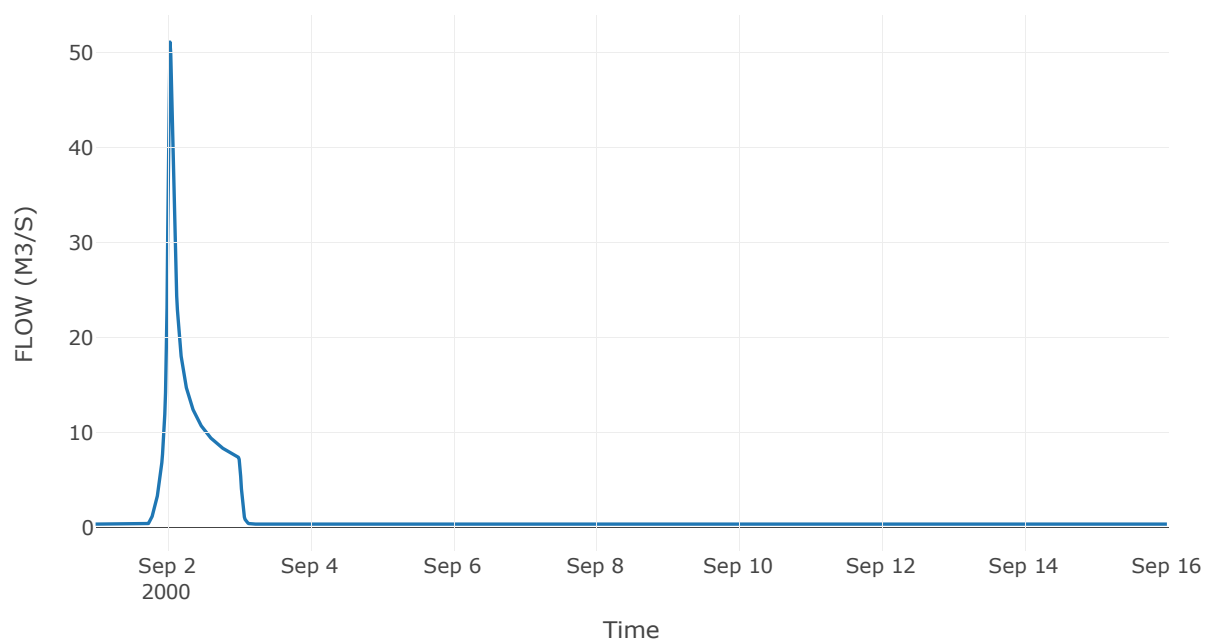
Κόμβος: J16

Κατάντη : R1615

Αποτελέσματα: J16

Παροχή Αιχμής(M3/S)	51.1
Χρονική στιγμή αιχμής	02Sep2000, 01:00
Όγκος(MM)	105.47

Απορροή



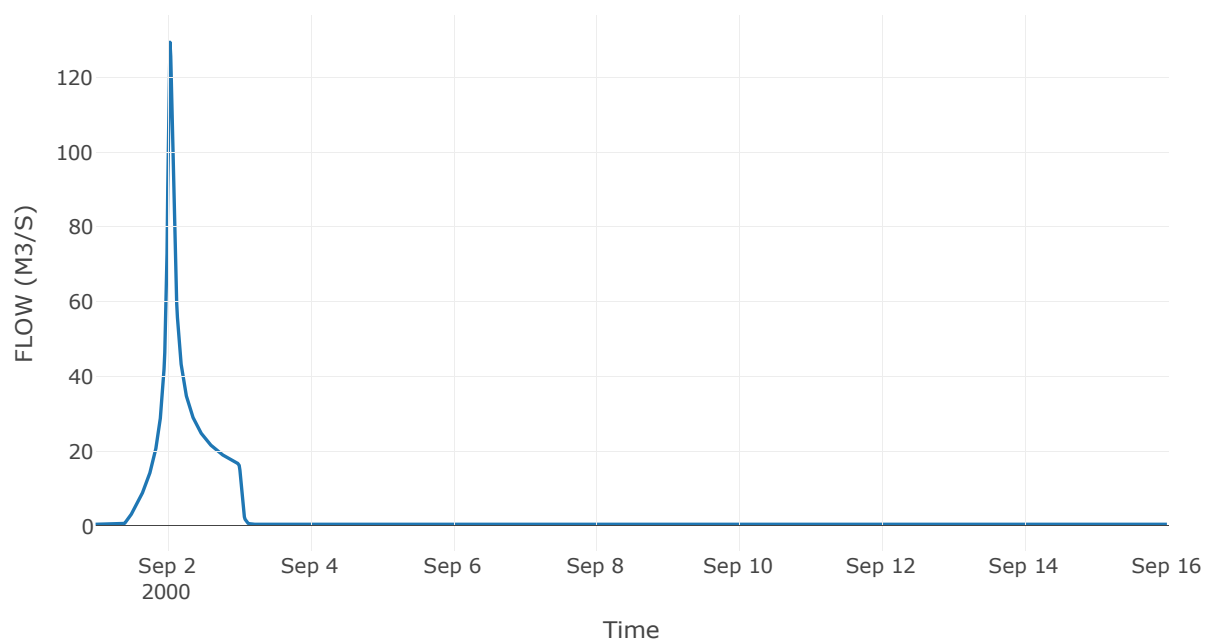
Κόμβος: J17

Κατάντη : R1715

Αποτελέσματα: J17

Παροχή Αιχμής(M3/S)	129.51
Χρονική στιγμή αιχμής	02Sep2000, 01:00
Όγκος(MM)	173.89

Απορροή





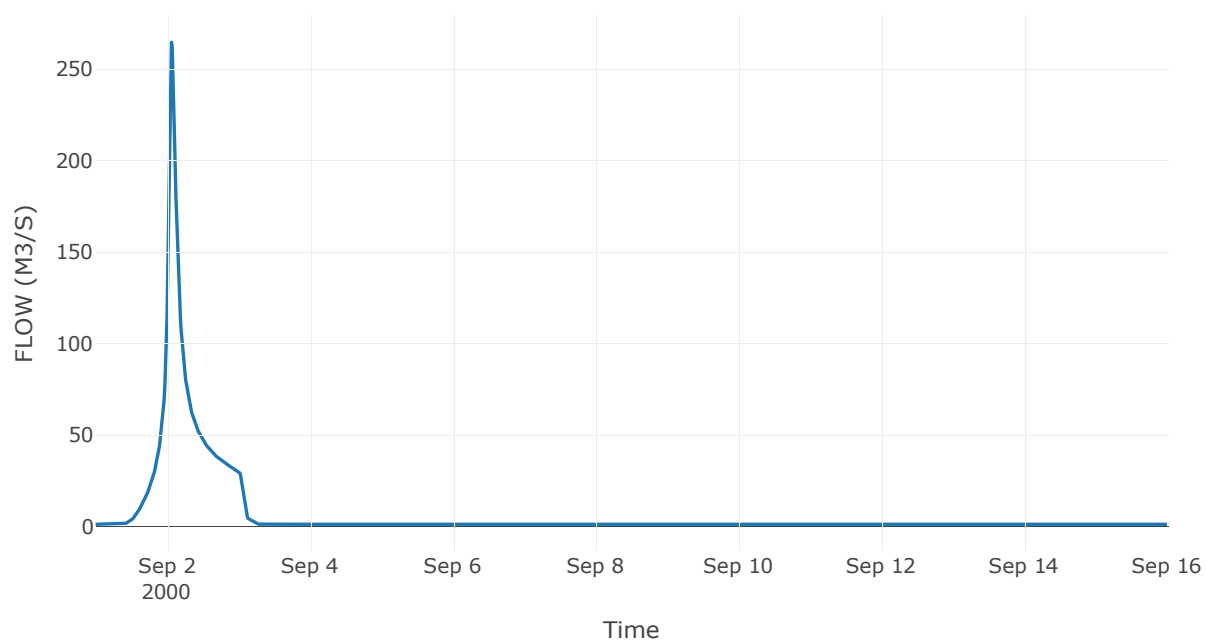
Κόμβος: J18

Κατάντη : R184

Αποτελέσματα: J18

Παροχή Αιχμής(M3/S)	264.91
Χρονική στιγμή αιχμής	02Sep2000, 01:30
Όγκος(MM)	154.51

Απορροή



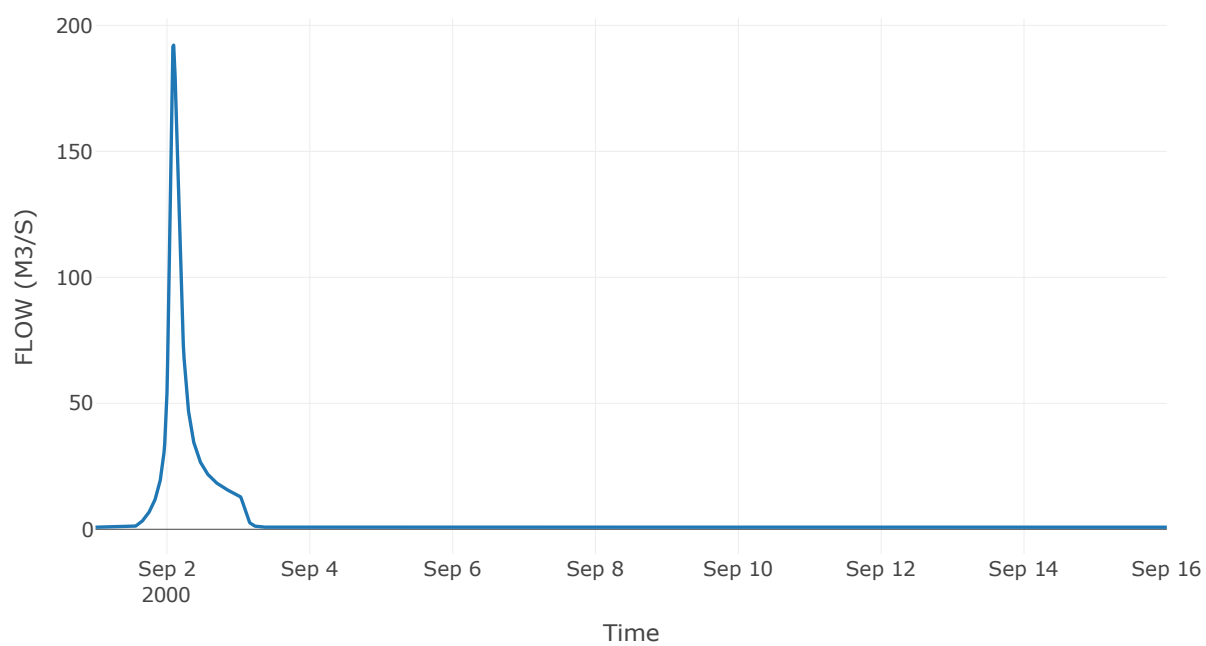
Κόμβος: J19

Κατάντη : R193

Αποτελέσματα: J19

Παροχή Αιχμής(M3/S)	192.17
Χρονική στιγμή αιχμής	02Sep2000, 02:15
Όγκος(MM)	145.23

Απορροή



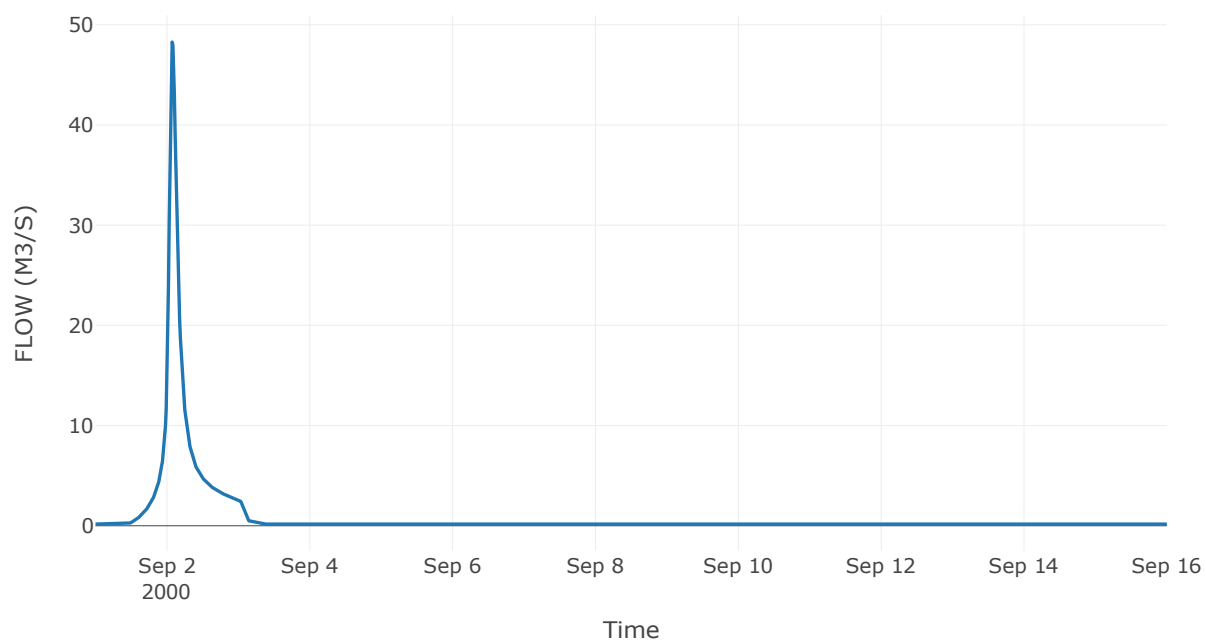
Κόμβος: J20

Κατάντη : R2019

Αποτελέσματα: J20

Παροχή Αιχμής(M3/S)	48.27
Χρονική στιγμή αιχμής	02Sep2000, 01:45
Όγκος(MM)	153.73

Απορροή



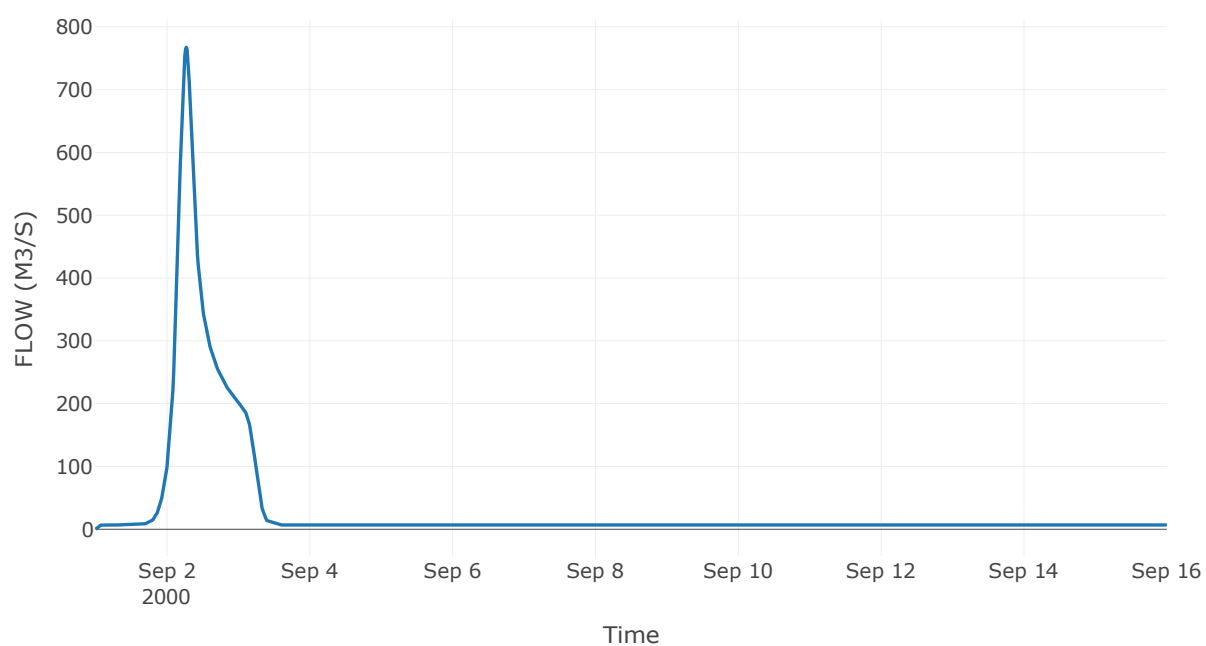
Ταμιευτήρας: J21\_RES1

Κατάντη : R218

Αποτελέσματα: J21\_RES1

Παροχή Αιχμής(M3/S)	767.58
Χρονική στιγμή αιχμής	02Sep2000, 06:30
Όγκος(MM)	129.37
Παροχή Αιχμής Εισόδου (M3/S)	768.73
Χρονική Στιγμή Αιχμής της Εισροής	02Sep2000, 06:15
Όγκος Εισροής (M3)	4.43E7
Μέγιστη Αποθηκευτικότητα(M3)	1.6E6
Μέγιστη Στάθμη (M)	99.01
Όγκος Απορροής(M3)	4.43E7

Απορροή



### **3 Δεδομένα εισόδου και αποτελέσματα υδρολογικού σεναρίου T=50L**

### **3.1 Αποτελέσματα, υετογραφήματα και υδρογραφήματα σχεδιασμού υπολεκανών**

Υπολεκάνη: EL0513FR5001

Έκταση (KM2) : 9.83

Κατάνη : J1

Μέθοδος Απωλειών: SCS

Ποσοστό αδιαπέρατης επιφάνειας	0
Αριθμός Καμπύλης Απορροής-CN	65.83
Αρχικές Απώλειες	26.37

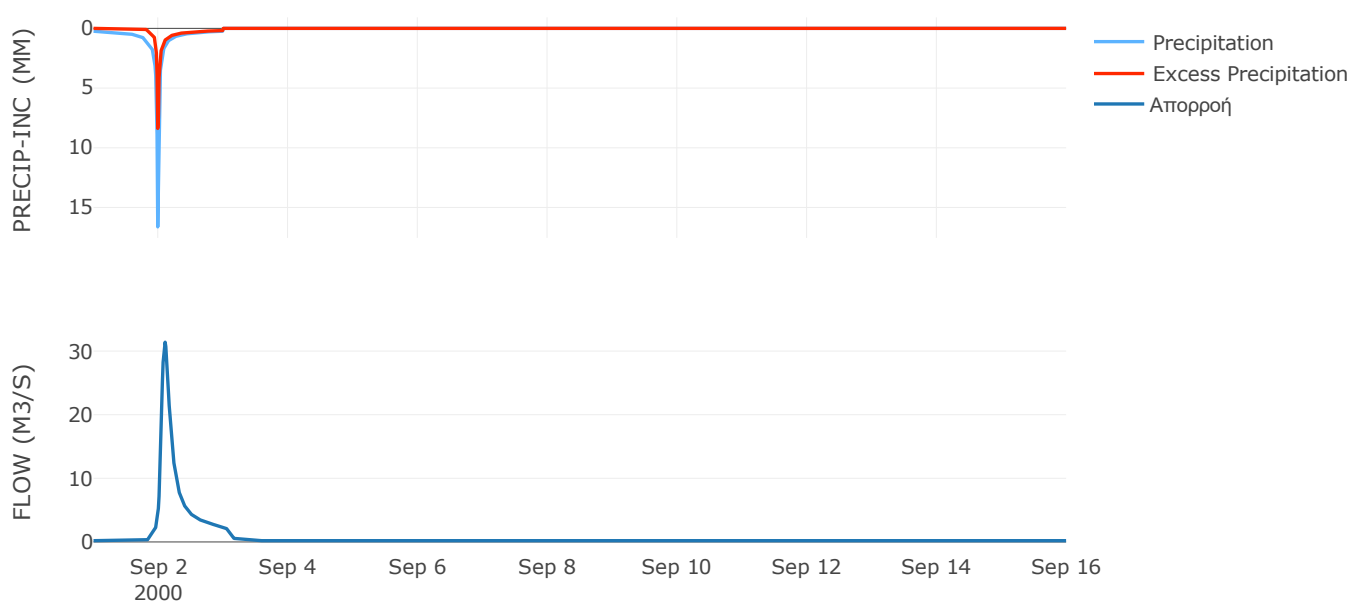
Μέθοδος  
Μετασχηματισμού: SCS

Χρόνος Υστέρησης	128.22
------------------	--------

Αποτελέσματα:  
EL0513FR5001

Παροχή αιχμής (M3/S)	31.4
Χρονική στιγμή αιχμής	02Sep2000, 02:30
Όγκος (MM)	102.32
Όγκος βροχόπτωσης (M3)	1.69E6
Όγκος απωλειών (M3)	9.4E5
Ενεργός Όγκος (M3)	7.51E5
Όγκος άμεσης απορροής (M3)	7.51E5
Όγκος βασικής απορροής (M3)	2.55E5

Βροχόπτωση και Απορροή



Υπολεκάνη: EL0513FR5002

Έκταση (KM2) : 6.79

Κατάντη : J2

Μέθοδος Απωλειών: SCS

Ποσοστό αδιαπέρατης επιφάνειας	0
Αριθμός Καμπύλης Απορροής-CN	68.88
Αρχικές Απώλειες	22.95

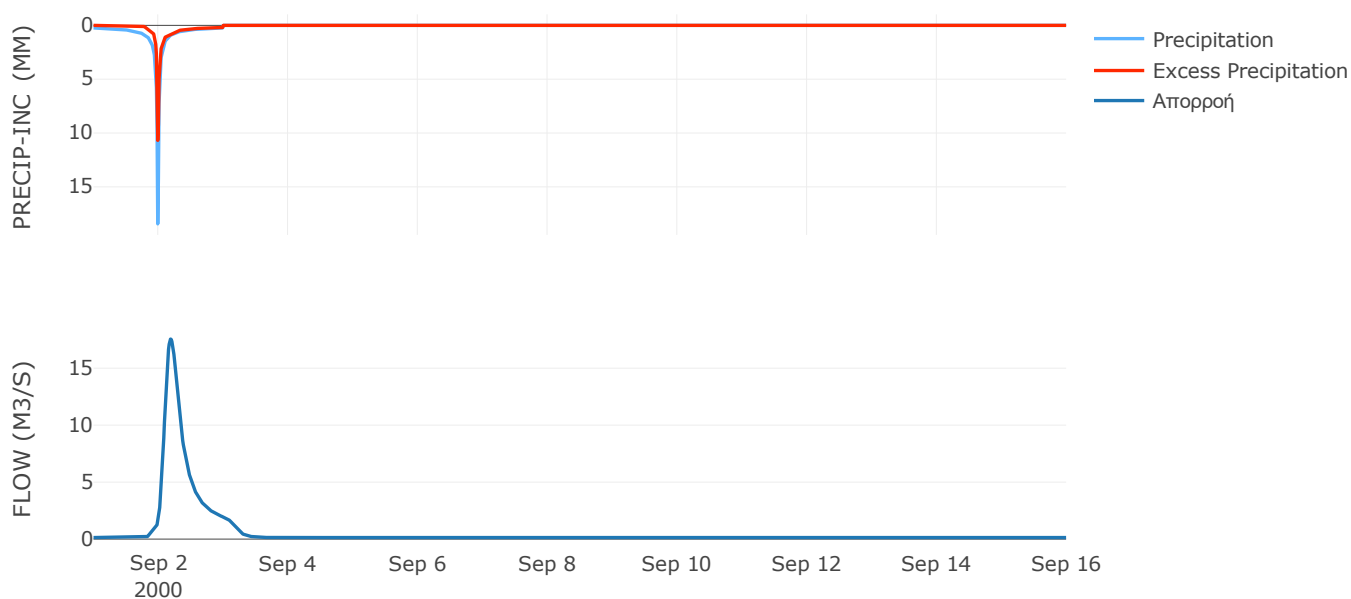
Μέθοδος  
Μετασχηματισμού: SCS

Χρόνος Υστέρησης	246.94
------------------	--------

Αποτελέσματα:  
EL0513FR5002

Παροχή αιχμής (M3/S)	17.56
Χρονική στιγμή αιχμής	02Sep2000, 04:30
Όγκος (MM)	116.31
Όγκος βροχόπτωσης (M3)	1.22E6
Όγκος απωλειών (M3)	6.05E5
Ενεργός Όγκος (M3)	6.13E5
Όγκος άμεσης απορροής (M3)	6.13E5
Όγκος βασικής απορροής (M3)	1.76E5

Βροχόπτωση και Απορροή





Υπολεκάνη: EL0513FR5003

Έκταση (KM2) : 2.79

Κατάνη : J3

Μέθοδος Απωλειών: SCS

Ποσοστό αδιαπέρατης επιφάνειας	0
Αριθμός Καμπύλης Απορροής-CN	64.79
Αρχικές Απώλειες	27.61

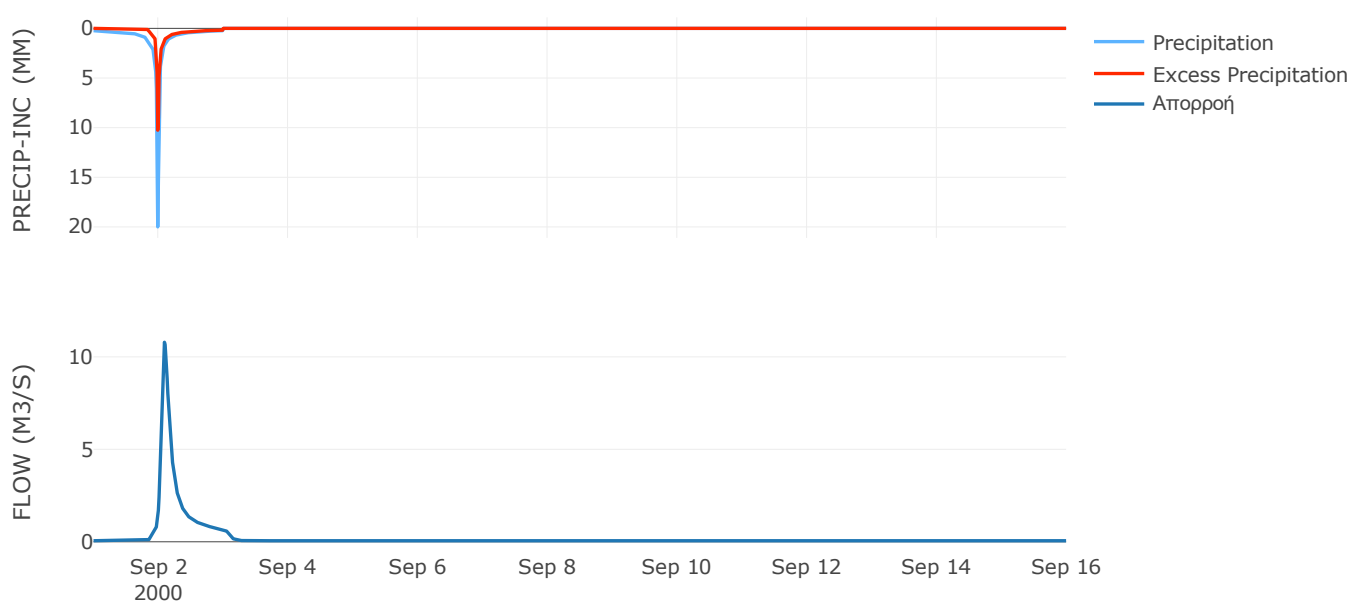
Μέθοδος  
Μετασχηματισμού: SCS

Χρόνος Υστέρησης	121.14
------------------	--------

Αποτελέσματα:  
EL0513FR5003

Παροχή αιχμής (M3/S)	10.79
Χρονική στιγμή αιχμής	02Sep2000, 02:15
Όγκος (MM)	109.57
Όγκος βροχόπτωσης (M3)	5.16E5
Όγκος απωλειών (M3)	2.83E5
Ενεργός Όγκος (M3)	2.34E5
Όγκος άμεσης απορροής (M3)	2.34E5
Όγκος βασικής απορροής (M3)	72445.1

Βροχόπτωση και Απορροή



Υπολεκάνη: EL0513FR5004

Έκταση (KM2) : 17.16

Κατάνη : J3

Μέθοδος Απωλειών: SCS

Ποσοστό αδιαπέρατης επιφάνειας	0
Αριθμός Καμπύλης Απορροής-CN	51.9
Αρχικές Απώλειες	47.08

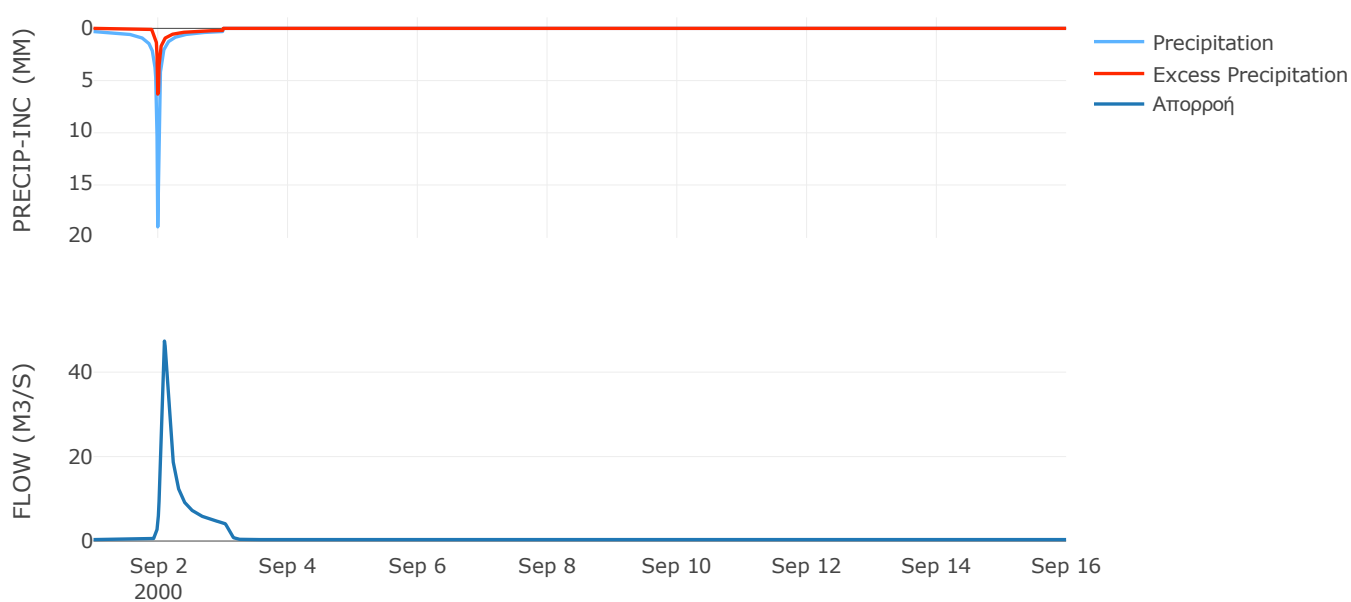
Μέθοδος  
Μετασχηματισμού: SCS

Χρόνος Υστέρησης	109.29
------------------	--------

Αποτελέσματα:  
EL0513FR5004

Παροχή αιχμής (M3/S)	47.36
Χρονική στιγμή αιχμής	02Sep2000, 02:15
Όγκος (MM)	91.66
Όγκος βροχόπτωσης (M3)	3.58E6
Όγκος απωλειών (M3)	2.45E6
Ενεργός Όγκος (M3)	1.13E6
Όγκος άμεσης απορροής (M3)	1.13E6
Όγκος βασικής απορροής (M3)	4.45E5

Βροχόπτωση και Απορροή



Υπολεκάνη: EL0513FR5005

Έκταση (KM2) : 3.13

Κατάντη : J4

Μέθοδος Απωλειών: SCS

Ποσοστό αδιαπέρατης επιφάνειας	0
Αριθμός Καμπύλης Απορροής-CN	62.96
Αρχικές Απώλειες	29.88

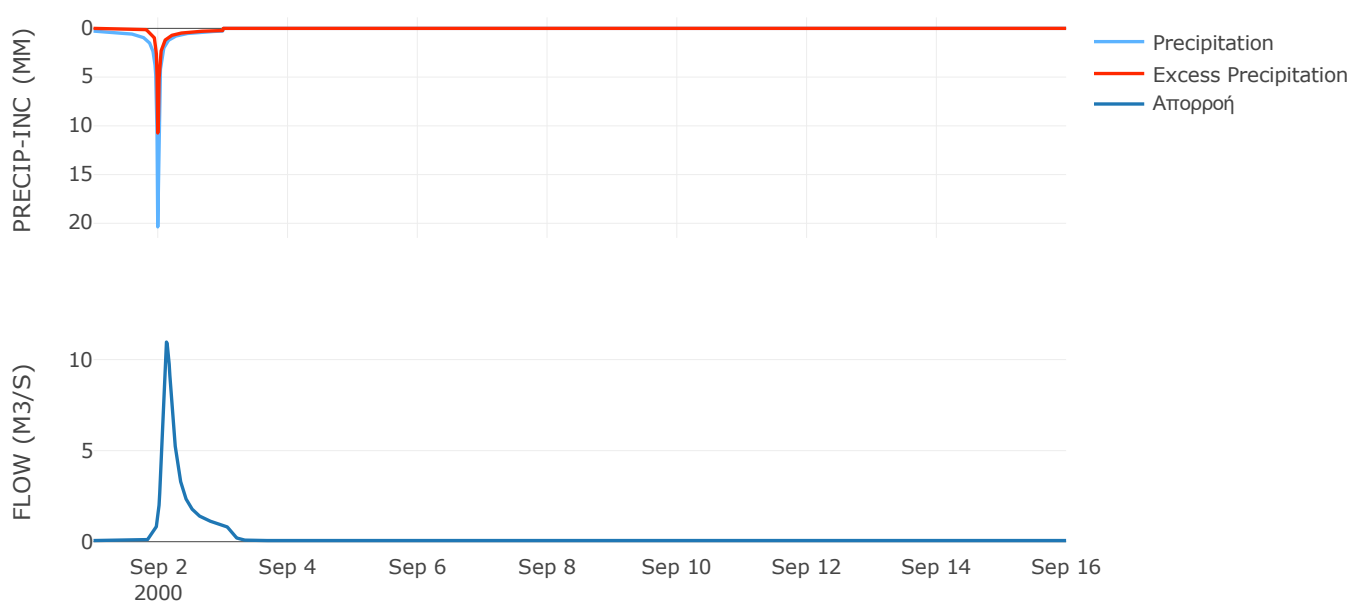
Μέθοδος  
Μετασχηματισμού: SCS

Χρόνος Υστέρησης	161.56
------------------	--------

Αποτελέσματα:  
EL0513FR5005

Παροχή αιχμής (M3/S)	10.96
Χρονική στιγμή αιχμής	02Sep2000, 03:00
Όγκος (MM)	120.98
Όγκος βροχόπτωσης (M3)	6.43E5
Όγκος απωλειών (M3)	3.46E5
Ενεργός Όγκος (M3)	2.97E5
Όγκος άμεσης απορροής (M3)	2.97E5
Όγκος βασικής απορροής (M3)	81033.7

Βροχόπτωση και Απορροή



Υπολεκάνη: EL0513FR5006

Έκταση (KM2) : 19.6

Κατάντη : J5

Μέθοδος Απωλειών: SCS

Ποσοστό αδιαπέρατης επιφάνειας	0
Αριθμός Καμπύλης Απορροής-CN	47.42
Αρχικές Απώλειες	56.32

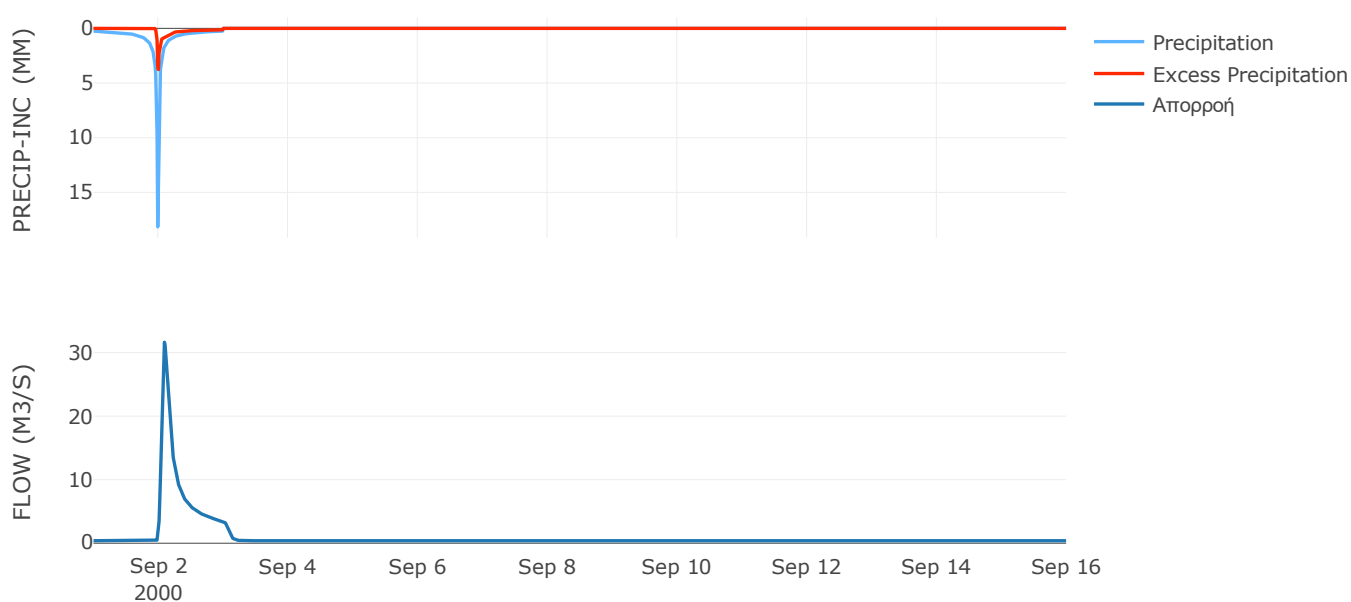
Μέθοδος  
Μετασχηματισμού: SCS

Χρόνος Υστέρησης	104.41
------------------	--------

Αποτελέσματα:  
EL0513FR5006

Παροχή αιχμής (M3/S)	31.63
Χρονική στιγμή αιχμής	02Sep2000, 02:15
Όγκος (MM)	65.49
Όγκος βροχόπτωσης (M3)	3.6E6
Όγκος απωλειών (M3)	2.82E6
Ενεργός Όγκος (M3)	7.76E5
Όγκος άμεσης απορροής (M3)	7.76E5
Όγκος βασικής απορροής (M3)	5.08E5

Βροχόπτωση και Απορροή



Υπολεκάνη: EL0513FR5007

Έκταση (KM2) : 4.2

Κατάντη : J6

Μέθοδος Απωλειών: SCS

Ποσοστό αδιαπέρατης επιφάνειας	0
Αριθμός Καμπύλης Απορροής-CN	61.34
Αρχικές Απώλειες	32.01

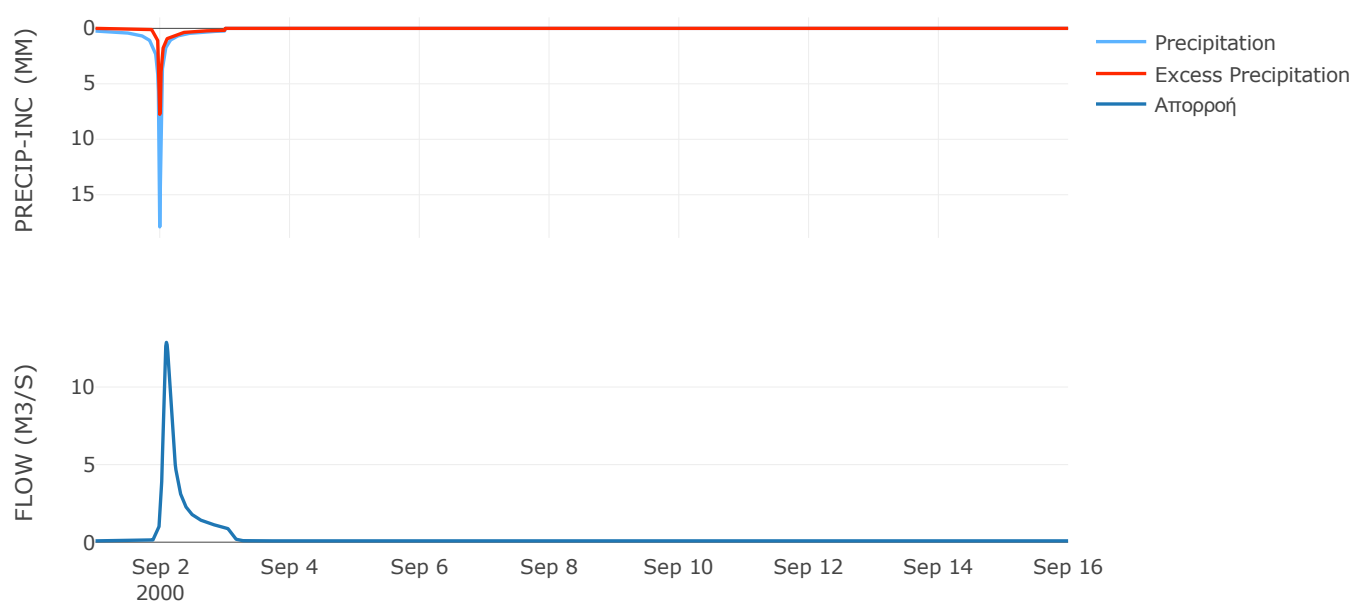
Μέθοδος  
Μετασχηματισμού: SCS

Χρόνος Υστέρησης	118.79
------------------	--------

Αποτελέσματα:  
EL0513FR5007

Παροχή αιχμής (M3/S)	12.88
Χρονική στιγμή αιχμής	02Sep2000, 02:15
Όγκος (MM)	95.54
Όγκος βροχόπτωσης (M3)	7.47E5
Όγκος απωλειών (M3)	4.55E5
Ενεργός Όγκος (M3)	2.92E5
Όγκος άμεσης απορροής (M3)	2.92E5
Όγκος βασικής απορροής (M3)	1.09E5

Βροχόπτωση και Απορροή



Υπολεκάνη: EL0513FR5008

Έκταση (KM2) : 11.23

Κατάντη : J7

Μέθοδος Απωλειών: SCS

Ποσοστό αδιαπέρατης επιφάνειας	0
Αριθμός Καμπύλης Απορροής-CN	60.11
Αρχικές Απώλειες	33.71

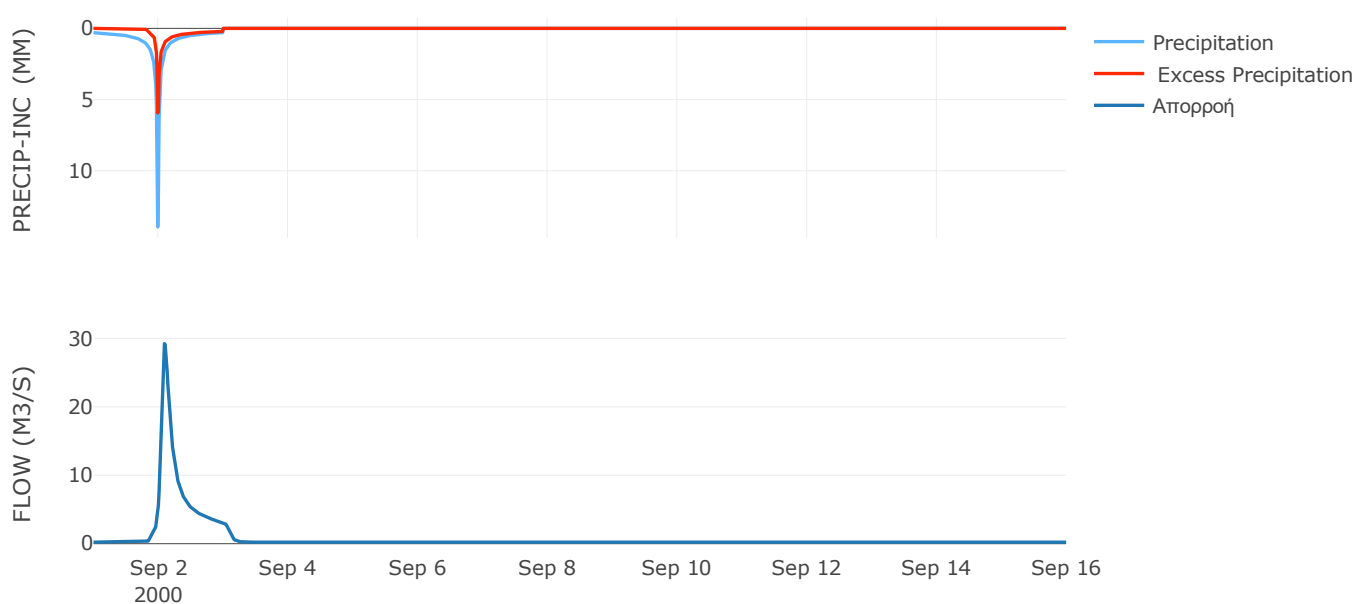
Μέθοδος  
Μετασχηματισμού: SCS

Χρόνος Υστέρησης	120.86
------------------	--------

Αποτελέσματα:  
EL0513FR5008

Παροχή αιχμής (M3/S)	29.23
Χρονική στιγμή αιχμής	02Sep2000, 02:15
Όγκος (MM)	95.74
Όγκος βροχόπτωσης (M3)	2.05E6
Όγκος απωλειών (M3)	1.27E6
Ενεργός Όγκος (M3)	7.84E5
Όγκος άμεσης απορροής (M3)	7.84E5
Όγκος βασικής απορροής (M3)	2.91E5

Βροχόπτωση και Απορροή



Υπολεκάνη: EL0513FR5009

Έκταση (KM2) : 19.12

Κατάντη : J8

Μέθοδος Απωλειών: SCS

Ποσοστό αδιαπέρατης επιφάνειας	0
Αριθμός Καμπύλης Απορροής-CN	41.32
Αρχικές Απώλειες	72.16

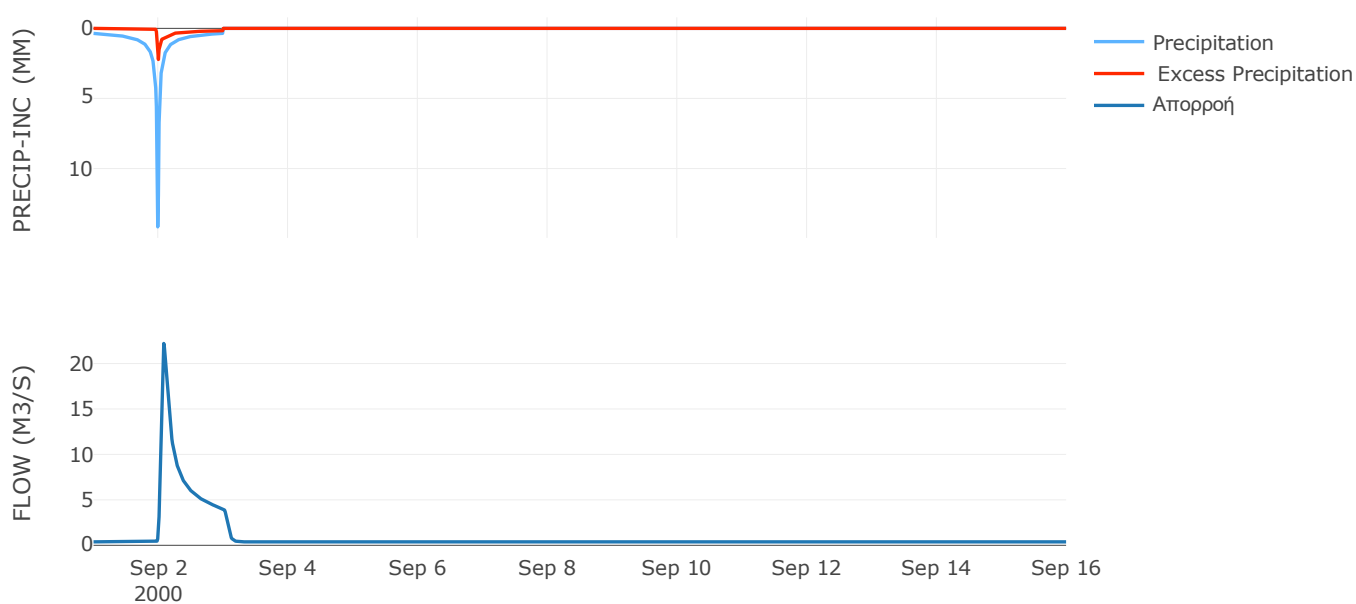
Μέθοδος  
Μετασχηματισμού: SCS

Χρόνος Υστέρησης	85.65
------------------	-------

Αποτελέσματα:  
EL0513FR5009

Παροχή αιχμής (M3/S)	22.2
Χρονική στιγμή αιχμής	02Sep2000, 02:00
Όγκος (MM)	61.18
Όγκος βροχόπτωσης (M3)	3.9E6
Όγκος απωλειών (M3)	3.23E6
Ενεργός Όγκος (M3)	6.74E5
Όγκος άμεσης απορροής (M3)	6.74E5
Όγκος βασικής απορροής (M3)	4.96E5

Βροχόπτωση και Απορροή



Υπολεκάνη: EL0513FR5010

Έκταση (KM2) : 36.47

Κατάνη : J9

Μέθοδος Απωλειών: SCS

Ποσοστό αδιαπέρατης επιφάνειας	0
Αριθμός Καμπύλης Απορροής-CN	42.46
Αρχικές Απώλειες	68.85

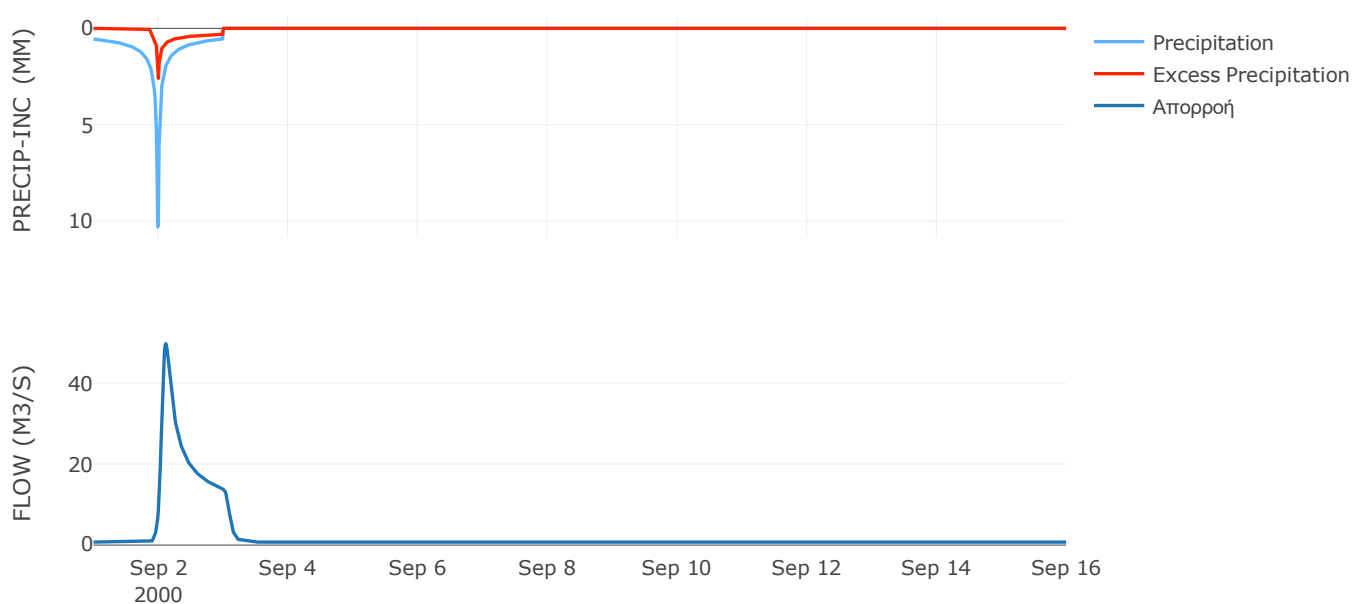
Μέθοδος  
Μετασχηματισμού: SCS

Χρόνος Υστέρησης	126.01
------------------	--------

Αποτελέσματα:  
EL0513FR5010

Παροχή αιχμής (M3/S)	49.79
Χρονική στιγμή αιχμής	02Sep2000, 02:45
Όγκος (MM)	83.45
Όγκος βροχόπτωσης (M3)	8.8E6
Όγκος απωλειών (M3)	6.7E6
Ενεργός Όγκος (M3)	2.1E6
Όγκος άμεσης απορροής (M3)	2.1E6
Όγκος βασικής απορροής (M3)	9.45E5

Βροχόπτωση και Απορροή





Υπολεκάνη: EL0513FR5011

Έκταση (KM2) : 4.02

Κατάντη : J10

Μέθοδος Απωλειών: SCS

Ποσοστό αδιαπέρατης επιφάνειας	0
Αριθμός Καμπύλης Απορροής-CN	30
Αρχικές Απώλειες	118.53

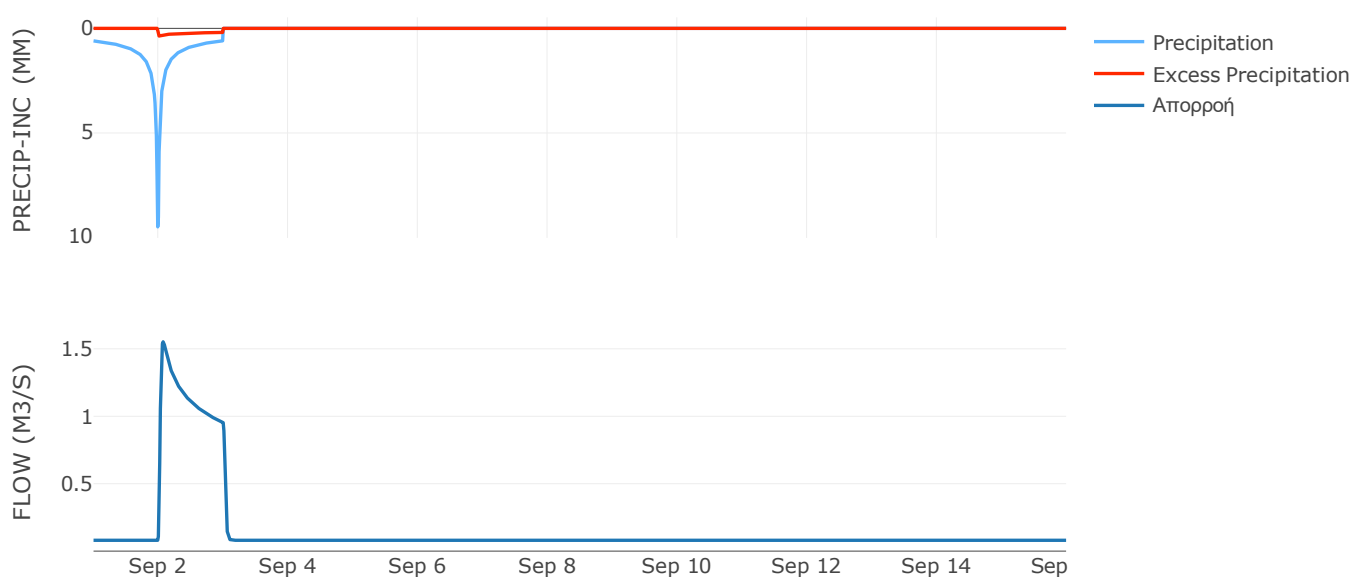
Μέθοδος  
Μετασχηματισμού: SCS

Χρόνος Υστέρησης	34.59
------------------	-------

Αποτελέσματα:  
EL0513FR5011

Παροχή αιχμής (M3/S)	1.55
Χρονική στιγμή αιχμής	02Sep2000, 01:45
Όγκος (MM)	49.11
Όγκος βροχόπτωσης (M3)	9.96E5
Όγκος απωλειών (M3)	9.03E5
Ενεργός Όγκος (M3)	93132.58
Όγκος άμεσης απορροής (M3)	93132.58
Όγκος βασικής απορροής (M3)	1.04E5

Βροχόπτωση και Απορροή



Υπολεκάνη: EL0513FR5012

Έκταση (KM2) : 74.49

Κατάνη : J11

Μέθοδος Απωλειών: SCS

Ποσοστό αδιαπέρατης επιφάνειας	0
Αριθμός Καμπύλης Απορροής-CN	31.98
Αρχικές Απώλειες	108.06

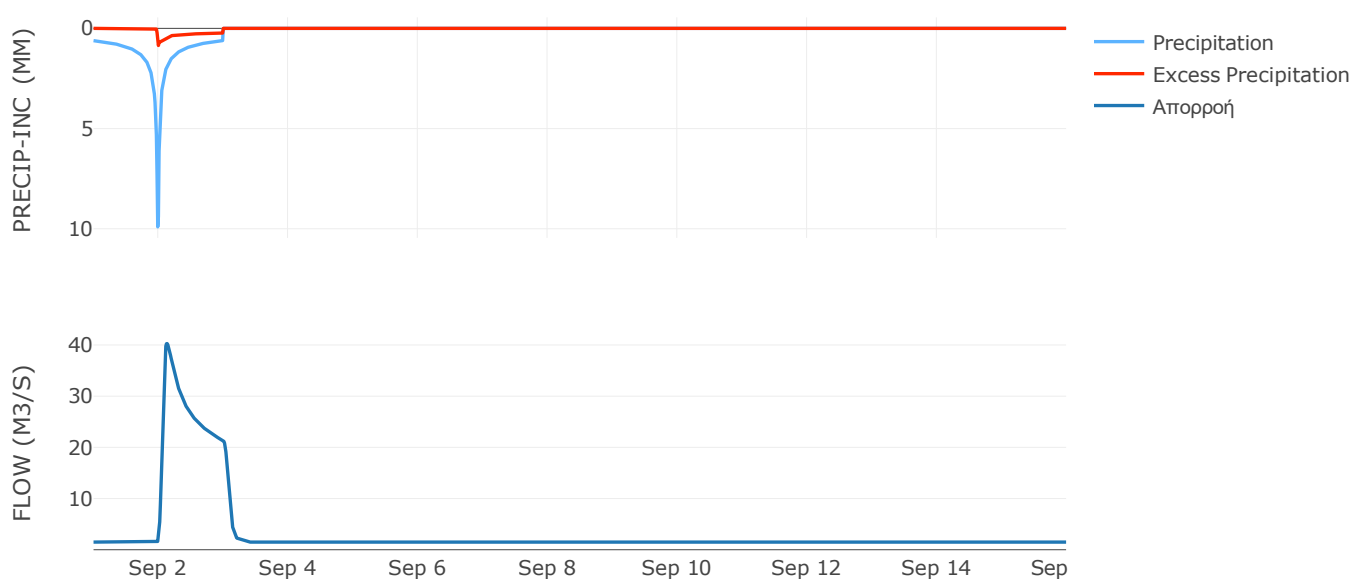
Μέθοδος  
Μετασχηματισμού: SCS

Χρόνος Υστέρησης	106.39
------------------	--------

Αποτελέσματα:  
EL0513FR5012

Παροχή αιχμής (M3/S)	40.27
Χρονική στιγμή αιχμής	02Sep2000, 03:15
Όγκος (MM)	57.42
Όγκος βροχόπτωσης (M3)	1.9E7
Όγκος απωλειών (M3)	1.67E7
Ενεργός Όγκος (M3)	2.35E6
Όγκος άμεσης απορροής (M3)	2.35E6
Όγκος βασικής απορροής (M3)	1.93E6

Βροχόπτωση και Απορροή



Υπολεκάνη: EL0513FR5013

Έκταση (KM2) : 8.72

Κατάντη : J12

Μέθοδος Απωλειών: SCS

Ποσοστό αδιαπέρατης επιφάνειας	0
Αριθμός Καμπύλης Απορροής-CN	38.94
Αρχικές Απώλειες	79.65

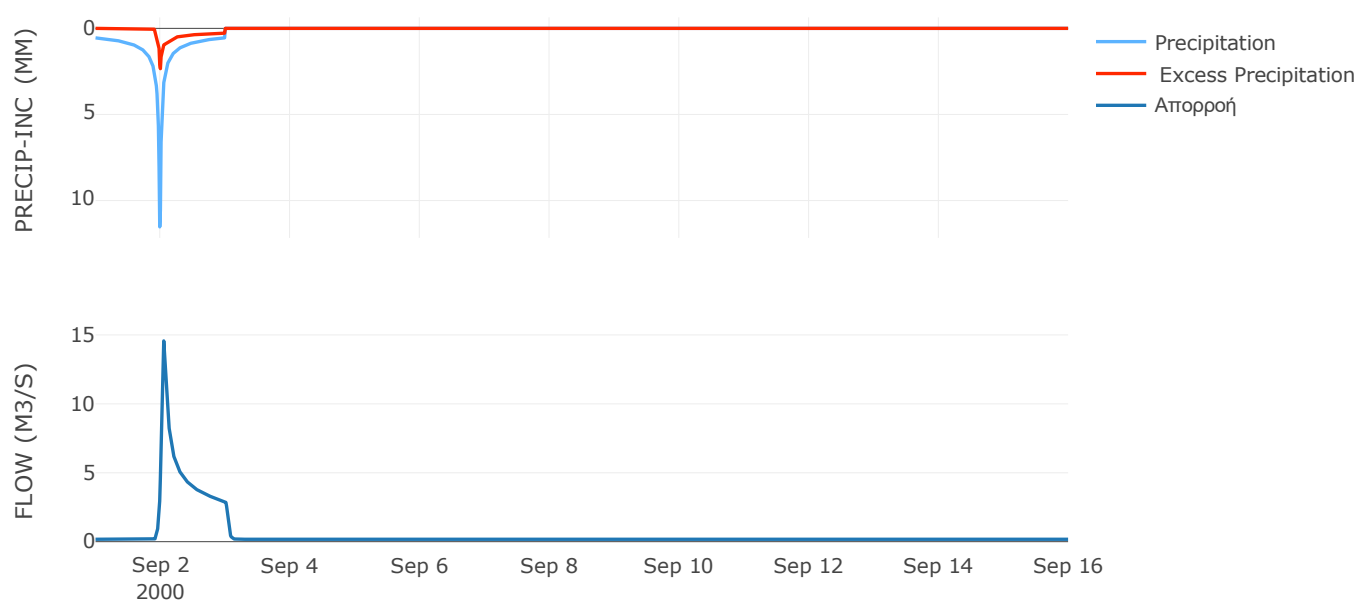
Μέθοδος  
Μετασχηματισμού: SCS

Χρόνος Υστέρησης	51.28
------------------	-------

Αποτελέσματα:  
EL0513FR5013

Παροχή αιχμής (M3/S)	14.57
Χρονική στιγμή αιχμής	02Sep2000, 01:15
Όγκος (MM)	76.91
Όγκος βροχόπτωσης (M3)	2.18E6
Όγκος απωλειών (M3)	1.73E6
Ενεργός Όγκος (M3)	4.45E5
Όγκος άμεσης απορροής (M3)	4.45E5
Όγκος βασικής απορροής (M3)	2.26E5

Βροχόπτωση και Απορροή



Υπολεκάνη: EL0513FR5014

Έκταση (KM2) : 17.21

Κατάντη : J13

Μέθοδος Απωλειών: SCS

Ποσοστό αδιαπέρατης επιφάνειας	0
Αριθμός Καμπύλης Απορροής-CN	33.65
Αρχικές Απώλειες	100.15

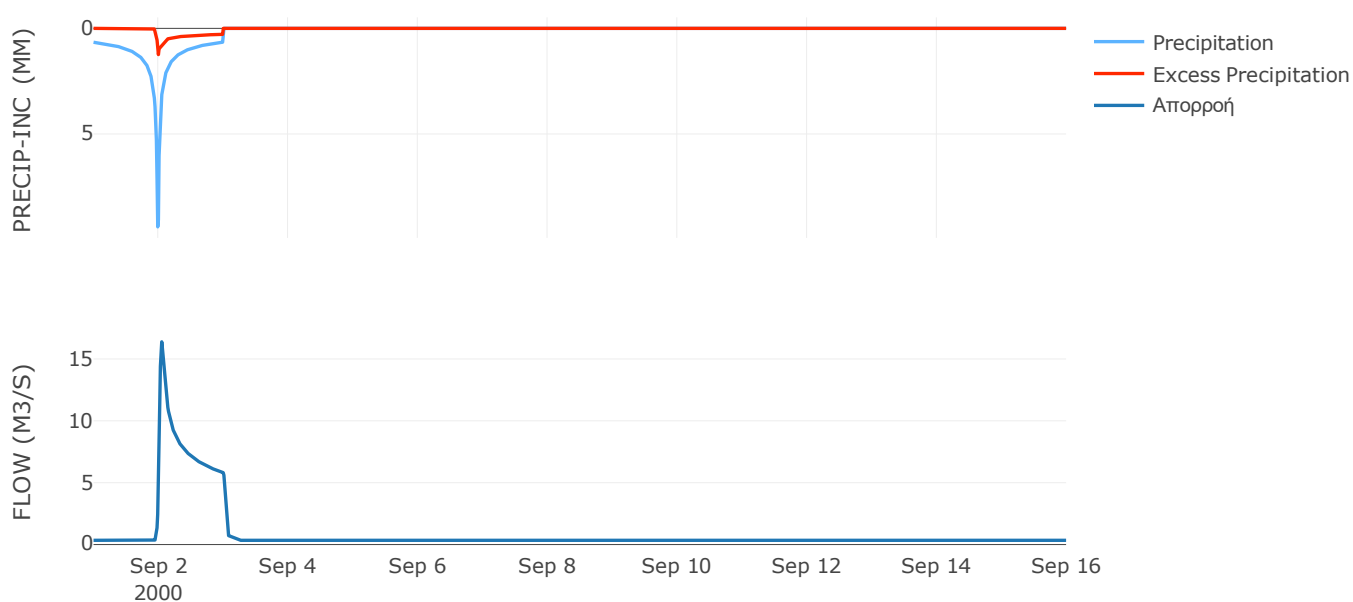
Μέθοδος  
Μετασχηματισμού: SCS

Χρόνος Υστέρησης	46.35
------------------	-------

Αποτελέσματα:  
EL0513FR5014

Παροχή αιχμής (M3/S)	16.39
Χρονική στιγμή αιχμής	02Sep2000, 01:15
Όγκος (MM)	66.24
Όγκος βροχόπτωσης (M3)	4.54E6
Όγκος απωλειών (M3)	3.85E6
Ενεργός Όγκος (M3)	6.94E5
Όγκος άμεσης απορροής (M3)	6.94E5
Όγκος βασικής απορροής (M3)	4.46E5

Βροχόπτωση και Απορροή



Υπολεκάνη: EL0513FR5015

Έκταση (KM2) : 56.91

Κατάντη : J13

Μέθοδος Απωλειών: SCS

Ποσοστό αδιαπέρατης επιφάνειας	0
Αριθμός Καμπύλης Απορροής-CN	35.24
Αρχικές Απώλειες	93.33

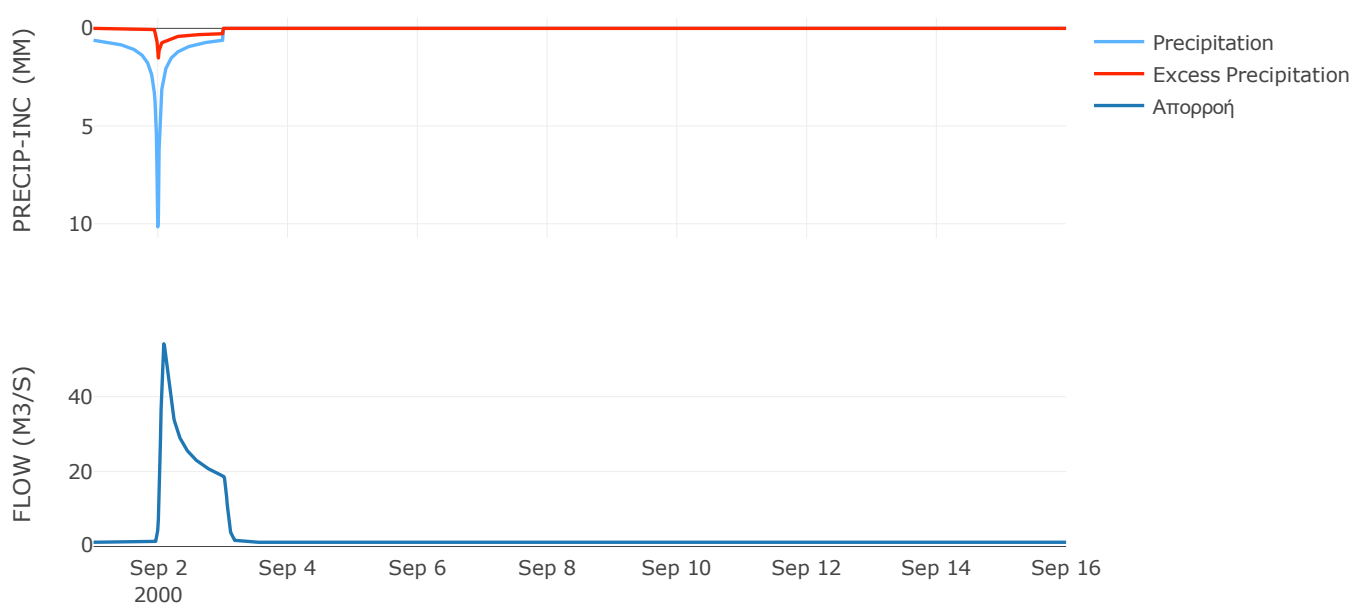
Μέθοδος  
Μετασχηματισμού: SCS

Χρόνος Υστέρησης	83.28
------------------	-------

Αποτελέσματα:  
EL0513FR5015

Παροχή αιχμής (M3/S)	54.14
Χρονική στιγμή αιχμής	02Sep2000, 02:00
Όγκος (MM)	68.2
Όγκος βροχόπτωσης (M3)	1.46E7
Όγκος απωλειών (M3)	1.22E7
Ενεργός Όγκος (M3)	2.41E6
Όγκος άμεσης απορροής (M3)	2.41E6
Όγκος βασικής απορροής (M3)	1.48E6

Βροχόπτωση και Απορροή



Υπολεκάνη: EL0513FR5016

Έκταση (KM2) : 70.55

Κατάντη : J12

Μέθοδος Απωλειών: SCS

Ποσοστό αδιαπέρατης επιφάνειας	0
Αριθμός Καμπύλης Απορροής-CN	32.86
Αρχικές Απώλειες	103.8

Μέθοδος  
Μετασχηματισμού: SCS

Χρόνος Υστέρησης	91.12
------------------	-------

Αποτελέσματα:  
EL0513FR5016

Παροχή αιχμής (M3/S)	42.41
Χρονική στιγμή αιχμής	02Sep2000, 02:30
Όγκος (MM)	59.13
Όγκος βροχόπτωσης (M3)	1.78E7
Όγκος απωλειών (M3)	1.55E7
Ενεργός Όγκος (M3)	2.34E6
Όγκος άμεσης απορροής (M3)	2.34E6
Όγκος βασικής απορροής (M3)	1.83E6

Βροχόπτωση και Απορροή



Υπολεκάνη: EL0513FR5017

Έκταση (KM2) : 33.26

Κατάνη : J11

Μέθοδος Απωλειών: SCS

Ποσοστό αδιαπέρατης επιφάνειας	0
Αριθμός Καμπύλης Απορροής-CN	30.18
Αρχικές Απώλειες	117.51

Μέθοδος  
Μετασχηματισμού: SCS

Χρόνος Υστέρησης	50.03
------------------	-------

Αποτελέσματα:  
EL0513FR5017

Παροχή αιχμής (M3/S)	13.28
Χρονική στιγμή αιχμής	02Sep2000, 02:15
Όγκος (MM)	51.77
Όγκος βροχόπτωσης (M3)	8.46E6
Όγκος απωλειών (M3)	7.6E6
Ενεργός Όγκος (M3)	8.6E5
Όγκος άμεσης απορροής (M3)	8.6E5
Όγκος βασικής απορροής (M3)	8.62E5

Βροχόπτωση και Απορροή



Υπολεκάνη: EL0513FR5018

Έκταση (KM2) : 14.02

Κατάνη : J11

Μέθοδος Απωλειών: SCS

Ποσοστό αδιαπέρατης επιφάνειας	0
Αριθμός Καμπύλης Απορροής-CN	34.91
Αρχικές Απώλειες	94.7

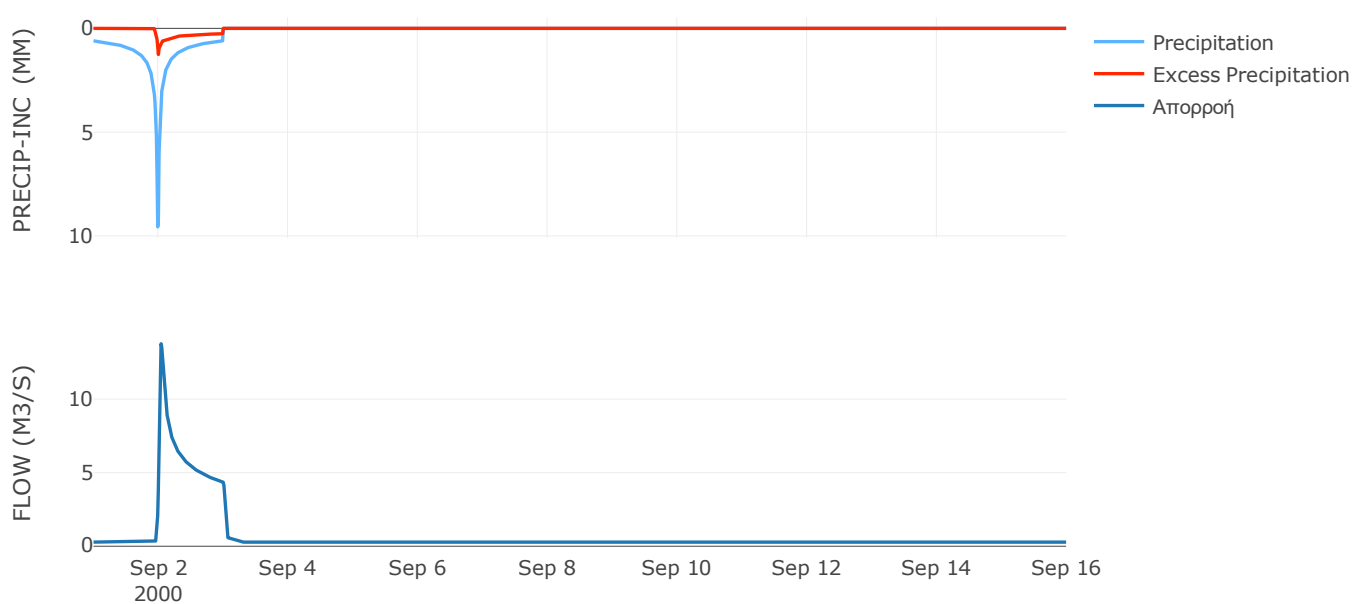
Μέθοδος  
Μετασχηματισμού: SCS

Χρόνος Υστέρησης	40.88
------------------	-------

Αποτελέσματα:  
EL0513FR5018

Παροχή αιχμής (M3/S)	13.76
Χρονική στιγμή αιχμής	02Sep2000, 01:00
Όγκος (MM)	64.01
Όγκος βροχόπτωσης (M3)	3.5E6
Όγκος απωλειών (M3)	2.96E6
Ενεργός Όγκος (M3)	5.34E5
Όγκος άμεσης απορροής (M3)	5.34E5
Όγκος βασικής απορροής (M3)	3.63E5

Βροχόπτωση και Απορροή





Υπολεκάνη: EL0513FR5019

Έκταση (KM2) : 105.27

Κατάνη : J15

Μέθοδος Απωλειών: SCS

Ποσοστό αδιαπέρατης επιφάνειας	0
Αριθμός Καμπύλης Απορροής-CN	39.1
Αρχικές Απώλειες	79.14

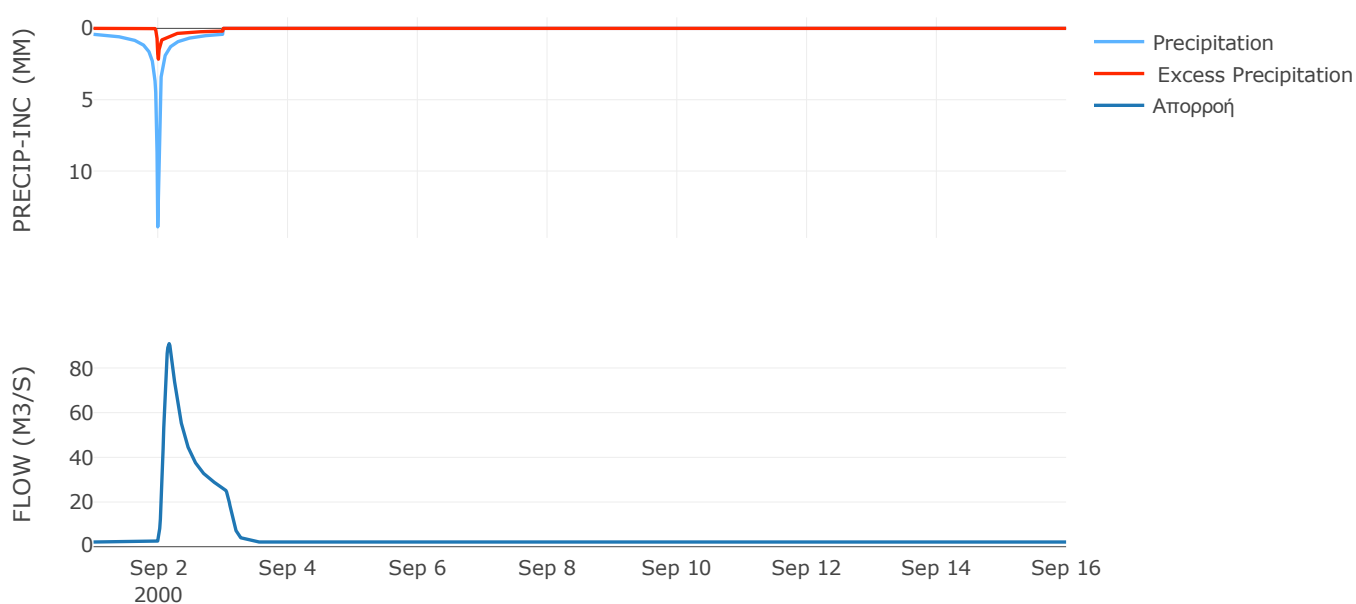
Μέθοδος  
Μετασχηματισμού: SCS

Χρόνος Υστέρησης	167.11
------------------	--------

Αποτελέσματα:  
EL0513FR5019

Παροχή αιχμής (M3/S)	90.9
Χρονική στιγμή αιχμής	02Sep2000, 04:00
Όγκος (MM)	64.06
Όγκος βροχόπτωσης (M3)	2.34E7
Όγκος απωλειών (M3)	1.94E7
Ενεργός Όγκος (M3)	4.02E6
Όγκος άμεσης απορροής (M3)	4.02E6
Όγκος βασικής απορροής (M3)	2.73E6

Βροχόπτωση και Απορροή



Υπολεκάνη: EL0513FR5020

Έκταση (KM2) : 49.32

Κατάντη : J14

Μέθοδος Απωλειών: SCS

Ποσοστό αδιαπέρατης επιφάνειας	0
Αριθμός Καμπύλης Απορροής-CN	33.5
Αρχικές Απώλειες	100.86

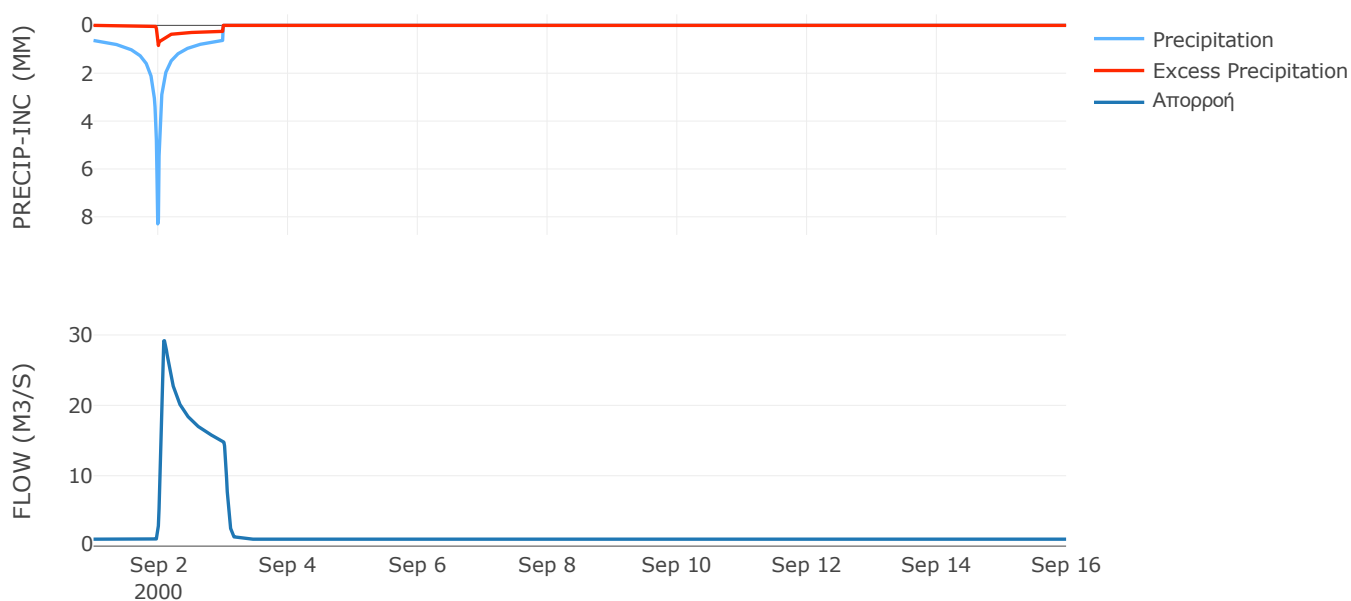
Μέθοδος  
Μετασχηματισμού: SCS

Χρόνος Υστέρησης	74.79
------------------	-------

Αποτελέσματα:  
EL0513FR5020

Παροχή αιχμής (M3/S)	29.19
Χρονική στιγμή αιχμής	02Sep2000, 02:15
Όγκος (MM)	58.76
Όγκος βροχόπτωσης (M3)	1.22E7
Όγκος απωλειών (M3)	1.06E7
Ενεργός Όγκος (M3)	1.62E6
Όγκος άμεσης απορροής (M3)	1.62E6
Όγκος βασικής απορροής (M3)	1.28E6

Βροχόπτωση και Απορροή



Υπολεκάνη: EL0513FR5021

Έκταση (KM2) : 21.13

Κατάντη : J19

Μέθοδος Απωλειών: SCS

Ποσοστό αδιαπέρατης επιφάνειας	0
Αριθμός Καμπύλης Απορροής-CN	50.44
Αρχικές Απώλειες	49.91

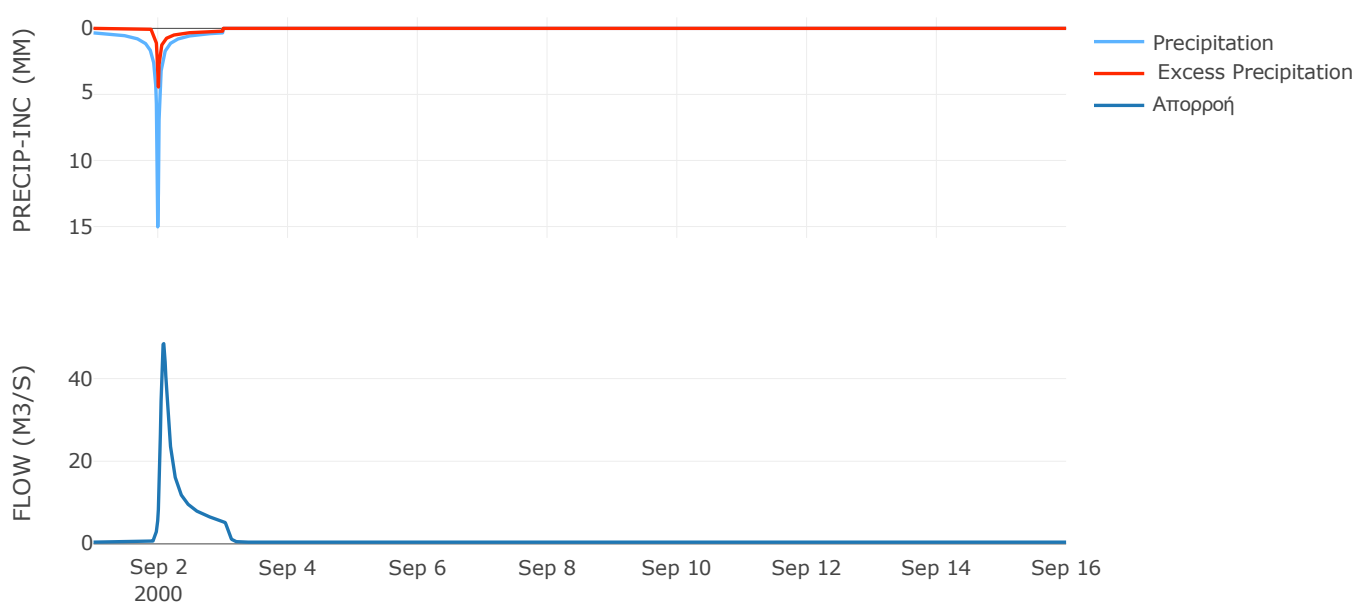
Μέθοδος  
Μετασχηματισμού: SCS

Χρόνος Υστέρησης	93.45
------------------	-------

Αποτελέσματα:  
EL0513FR5021

Παροχή αιχμής (M3/S)	48.46
Χρονική στιγμή αιχμής	02Sep2000, 02:00
Όγκος (MM)	84.02
Όγκος βροχόπτωσης (M3)	4.29E6
Όγκος απωλειών (M3)	3.06E6
Ενεργός Όγκος (M3)	1.23E6
Όγκος άμεσης απορροής (M3)	1.23E6
Όγκος βασικής απορροής (M3)	5.48E5

Βροχόπτωση και Απορροή



Υπολεκάνη: EL0513FR5022

Έκταση (KM2) : 8.23

Κατάντη : J20

Μέθοδος Απωλειών: SCS

Ποσοστό αδιαπέρατης επιφάνειας	0
Αριθμός Καμπύλης Απορροής-CN	64.15
Αρχικές Απώλειες	28.39

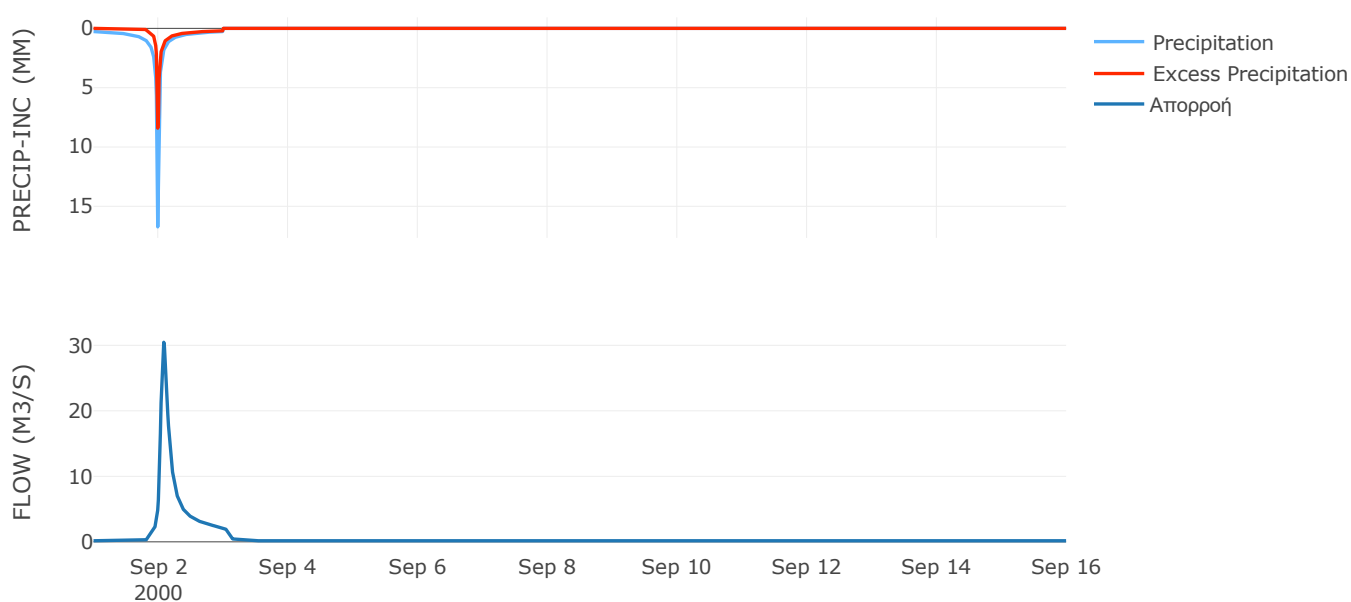
Μέθοδος  
Μετασχηματισμού: SCS

Χρόνος Υστέρησης	104.36
------------------	--------

Αποτελέσματα:  
EL0513FR5022

Παροχή αιχμής (M3/S)	30.47
Χρονική στιγμή αιχμής	02Sep2000, 02:00
Όγκος (MM)	107.3
Όγκος βροχόπτωσης (M3)	1.51E6
Όγκος απωλειών (M3)	8.44E5
Ενεργός Όγκος (M3)	6.69E5
Όγκος άμεσης απορροής (M3)	6.69E5
Όγκος βασικής απορροής (M3)	2.13E5

Βροχόπτωση και Απορροή



Υπολεκάνη: EL0513FR5023

Έκταση (KM2) : 11.05

Κατάντη : J19

Μέθοδος Απωλειών: SCS

Ποσοστό αδιαπέρατης επιφάνειας	0
Αριθμός Καμπύλης Απορροής-CN	63.35
Αρχικές Απώλειες	29.39

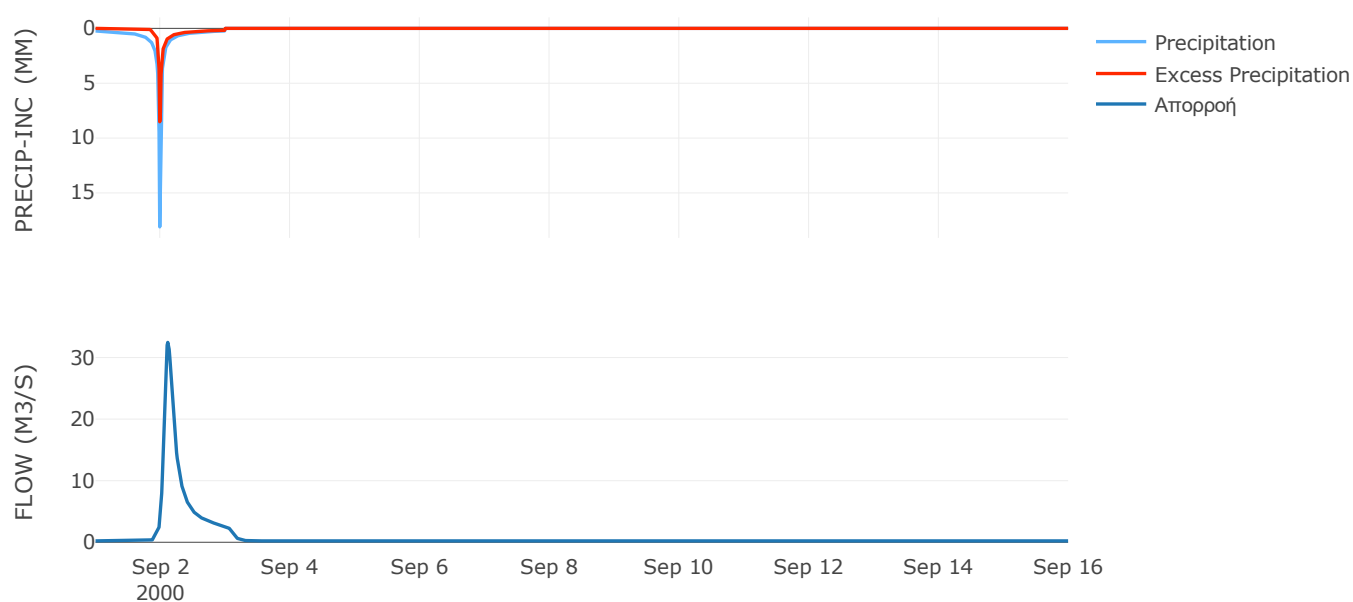
Μέθοδος  
Μετασχηματισμού: SCS

Χρόνος Υστέρησης	146.55
------------------	--------

Αποτελέσματα:  
EL0513FR5023

Παροχή αιχμής (M3/S)	32.46
Χρονική στιγμή αιχμής	02Sep2000, 02:45
Όγκος (MM)	100.49
Όγκος βροχόπτωσης (M3)	1.97E6
Όγκος απωλειών (M3)	1.14E6
Ενεργός Όγκος (M3)	8.24E5
Όγκος άμεσης απορροής (M3)	8.24E5
Όγκος βασικής απορροής (M3)	2.87E5

Βροχόπτωση και Απορροή



Υπολεκάνη: EL0513FR5024

Έκταση (KM2) : 5.88

Κατάντη : J4

Μέθοδος Απωλειών: SCS

Ποσοστό αδιαπέρατης επιφάνειας	0
Αριθμός Καμπύλης Απορροής-CN	54.88
Αρχικές Απώλειες	41.76

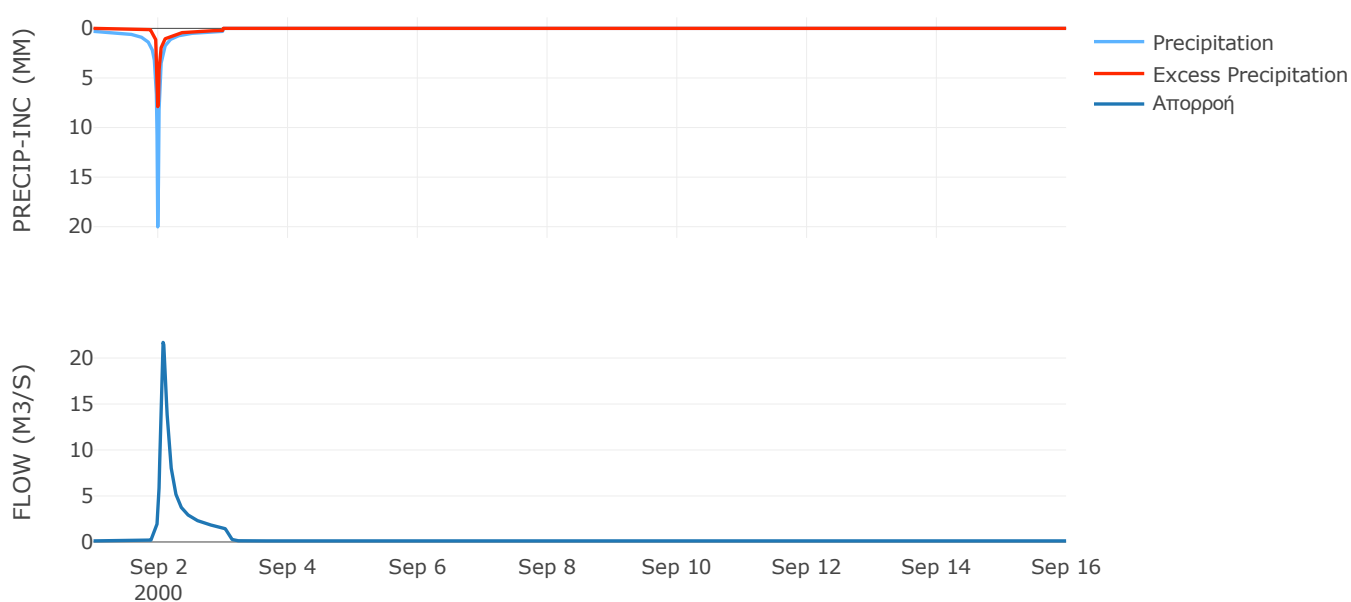
Μέθοδος  
Μετασχηματισμού: SCS

Χρόνος Υστέρησης	93.3
------------------	------

Αποτελέσματα:  
EL0513FR5024

Παροχή αιχμής (M3/S)	21.7
Χρονική στιγμή αιχμής	02Sep2000, 01:45
Όγκος (MM)	102.76
Όγκος βροχόπτωσης (M3)	1.25E6
Όγκος απωλειών (M3)	7.98E5
Ενεργός Όγκος (M3)	4.52E5
Όγκος άμεσης απορροής (M3)	4.52E5
Όγκος βασικής απορροής (M3)	1.52E5

Βροχόπτωση και Απορροή



Υπολεκάνη: EL0513FR5025

Έκταση (KM2) : 50.61

Κατάντη : J7

Μέθοδος Απωλειών: SCS

Ποσοστό αδιαπέρατης επιφάνειας	0
Αριθμός Καμπύλης Απορροής-CN	50.52
Αρχικές Απώλειες	49.75

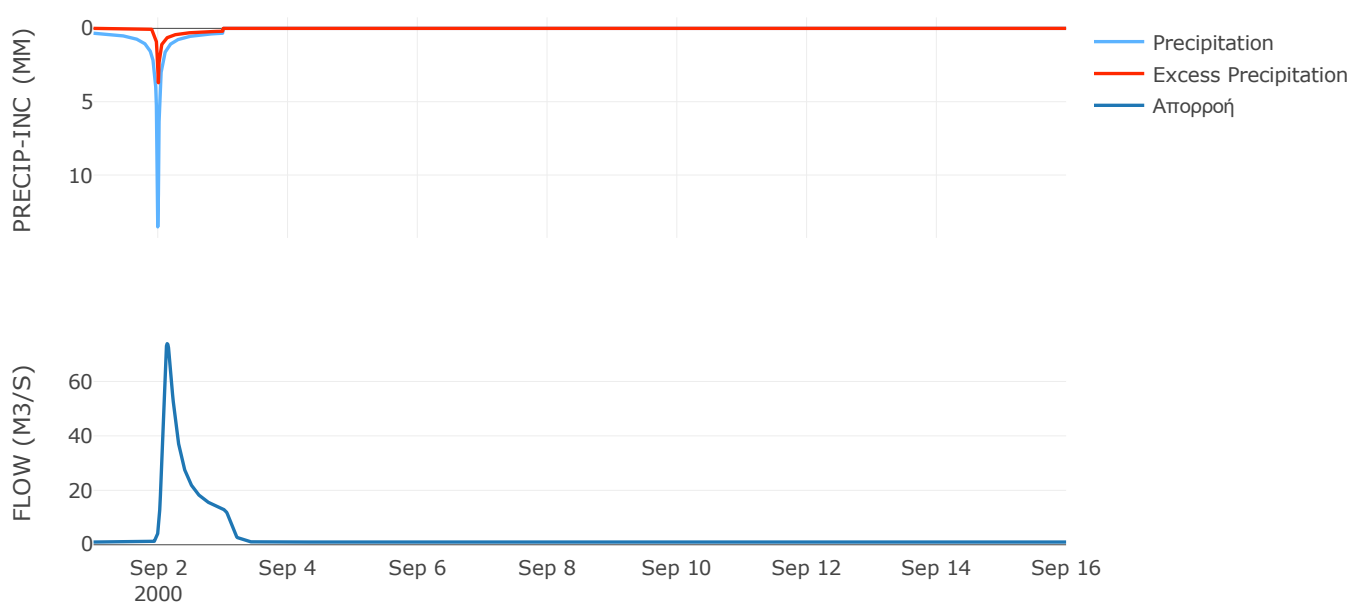
Μέθοδος  
Μετασχηματισμού: SCS

Χρόνος Υστέρησης	158.98
------------------	--------

Αποτελέσματα:  
EL0513FR5025

Παροχή αιχμής (M3/S)	73.89
Χρονική στιγμή αιχμής	02Sep2000, 03:15
Όγκος (MM)	76.84
Όγκος βροχόπτωσης (M3)	9.65E6
Όγκος απωλειών (M3)	7.07E6
Ενεργός Όγκος (M3)	2.58E6
Όγκος άμεσης απορροής (M3)	2.58E6
Όγκος βασικής απορροής (M3)	1.31E6

Βροχόπτωση και Απορροή



Υπολεκάνη: EL0513FR5026

Έκταση (KM2) : 20.26

Κατάντη : J18

Μέθοδος Απωλειών: SCS

Ποσοστό αδιαπέρατης επιφάνειας	0
Αριθμός Καμπύλης Απορροής-CN	58.61
Αρχικές Απώλειες	35.87

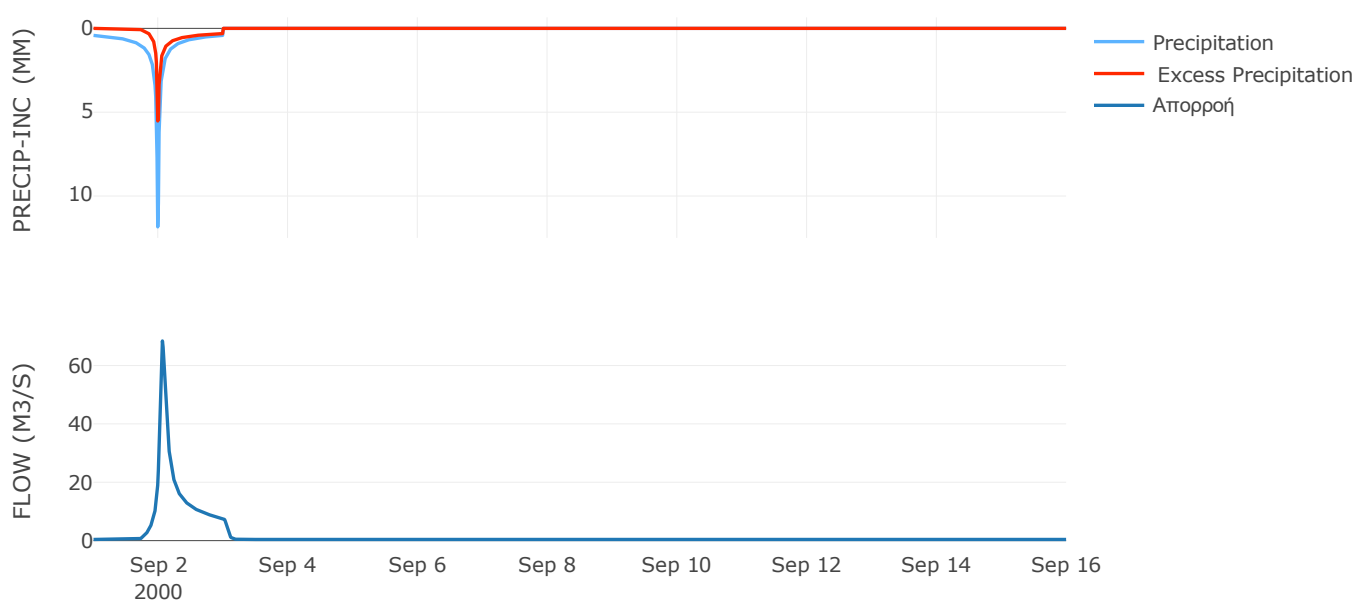
Μέθοδος  
Μετασχηματισμού: SCS

Χρόνος Υστέρησης	76.46
------------------	-------

Αποτελέσματα:  
EL0513FR5026

Παροχή αιχμής (M3/S)	68.41
Χρονική στιγμή αιχμής	02Sep2000, 01:30
Όγκος (MM)	112.17
Όγκος βροχόπτωσης (M3)	4.27E6
Όγκος απωλειών (M3)	2.52E6
Ενεργός Όγκος (M3)	1.75E6
Όγκος άμεσης απορροής (M3)	1.75E6
Όγκος βασικής απορροής (M3)	5.25E5

Βροχόπτωση και Απορροή





Υπολεκάνη: EL0513FR5027

Έκταση (KM2) : 40.56

Κατάντη : J18

Μέθοδος Απωλειών: SCS

Ποσοστό αδιαπέρατης επιφάνειας	0
Αριθμός Καμπύλης Απορροής-CN	46.99
Αρχικές Απώλειες	57.3

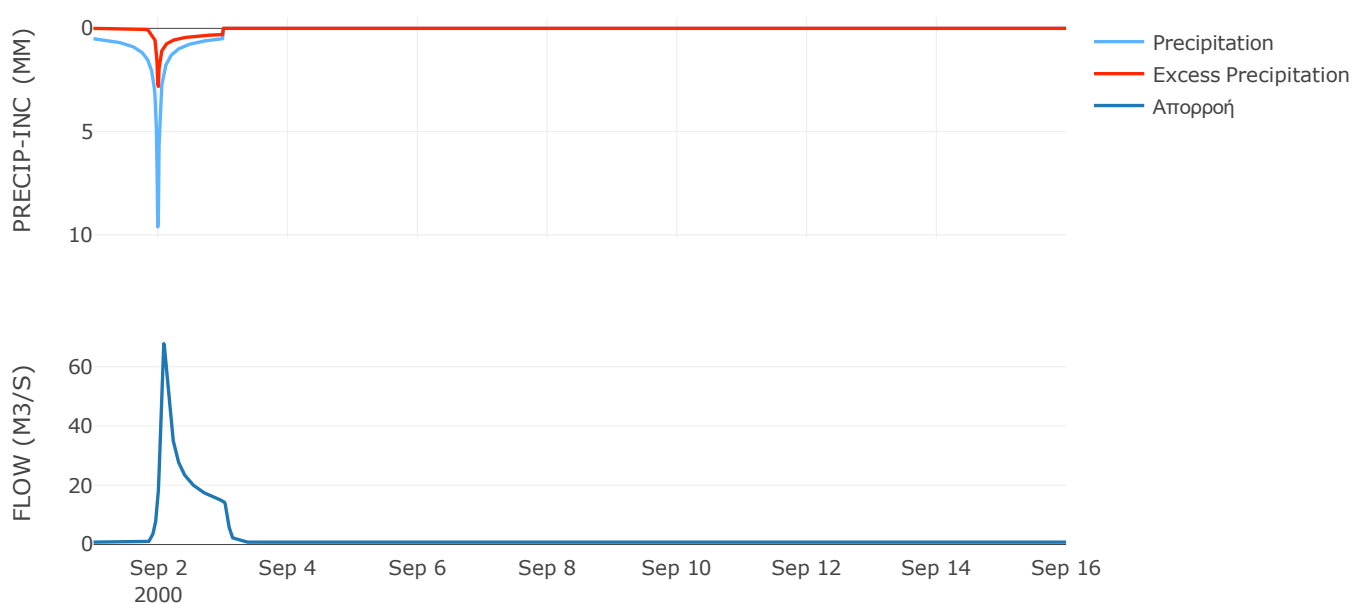
Μέθοδος  
Μετασχηματισμού: SCS

Χρόνος Υστέρησης	94.81
------------------	-------

Αποτελέσματα:  
EL0513FR5027

Παροχή αιχμής (M3/S)	67.81
Χρονική στιγμή αιχμής	02Sep2000, 02:00
Όγκος (MM)	85.48
Όγκος βροχόπτωσης (M3)	8.97E6
Όγκος απωλειών (M3)	6.55E6
Ενεργός Όγκος (M3)	2.42E6
Όγκος άμεσης απορροής (M3)	2.42E6
Όγκος βασικής απορροής (M3)	1.05E6

Βροχόπτωση και Απορροή



Υπολεκάνη: EL0513FR5028

Έκταση (KM2) : 26.17

Κατάνη : J17

Μέθοδος Απωλειών: SCS

Ποσοστό αδιαπέρατης επιφάνειας	0
Αριθμός Καμπύλης Απορροής-CN	46.89
Αρχικές Απώλειες	57.55

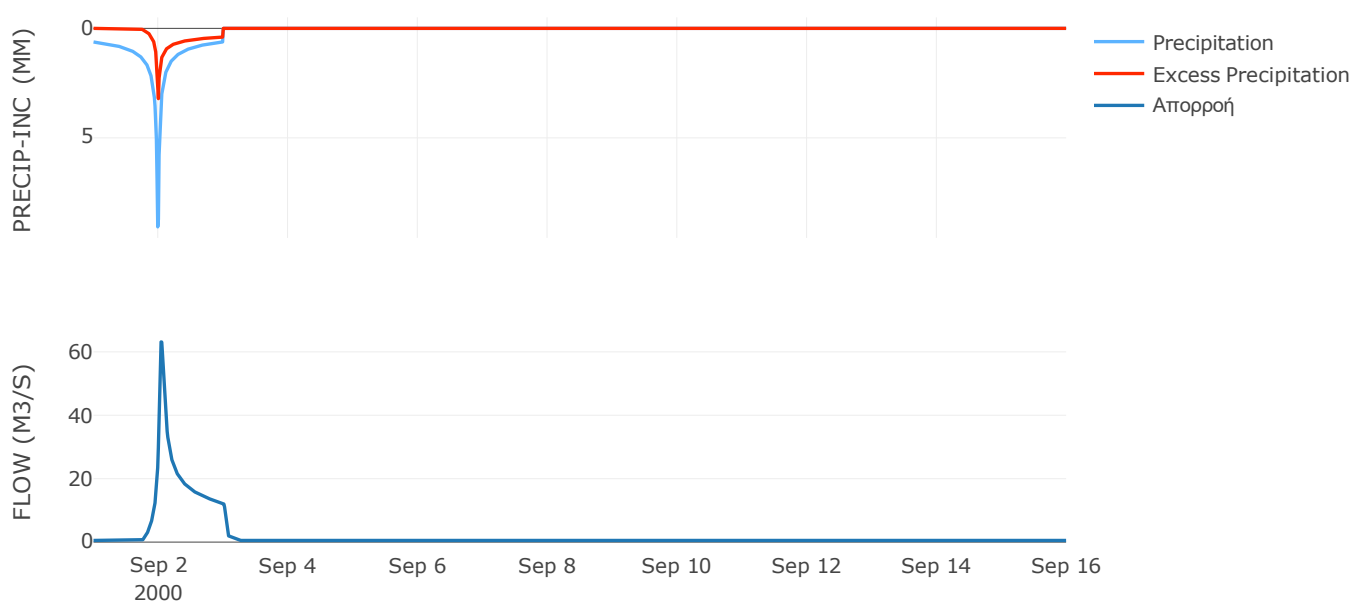
Μέθοδος  
Μετασχηματισμού: SCS

Χρόνος Υστέρησης	55.41
------------------	-------

Αποτελέσματα:  
EL0513FR5028

Παροχή αιχμής (M3/S)	63.12
Χρονική στιγμή αιχμής	02Sep2000, 01:00
Όγκος (MM)	103.68
Όγκος βροχόπτωσης (M3)	6.57E6
Όγκος απωλειών (M3)	4.53E6
Ενεργός Όγκος (M3)	2.04E6
Όγκος άμεσης απορροής (M3)	2.04E6
Όγκος βασικής απορροής (M3)	6.78E5

Βροχόπτωση και Απορροή



Υπολεκάνη: EL0513FR5029

Έκταση (KM2) : 21.97

Κατάντη : J9

Μέθοδος Απωλειών: SCS

Ποσοστό αδιαπέρατης επιφάνειας	0
Αριθμός Καμπύλης Απορροής-CN	24.11
Αρχικές Απώλειες	159.9

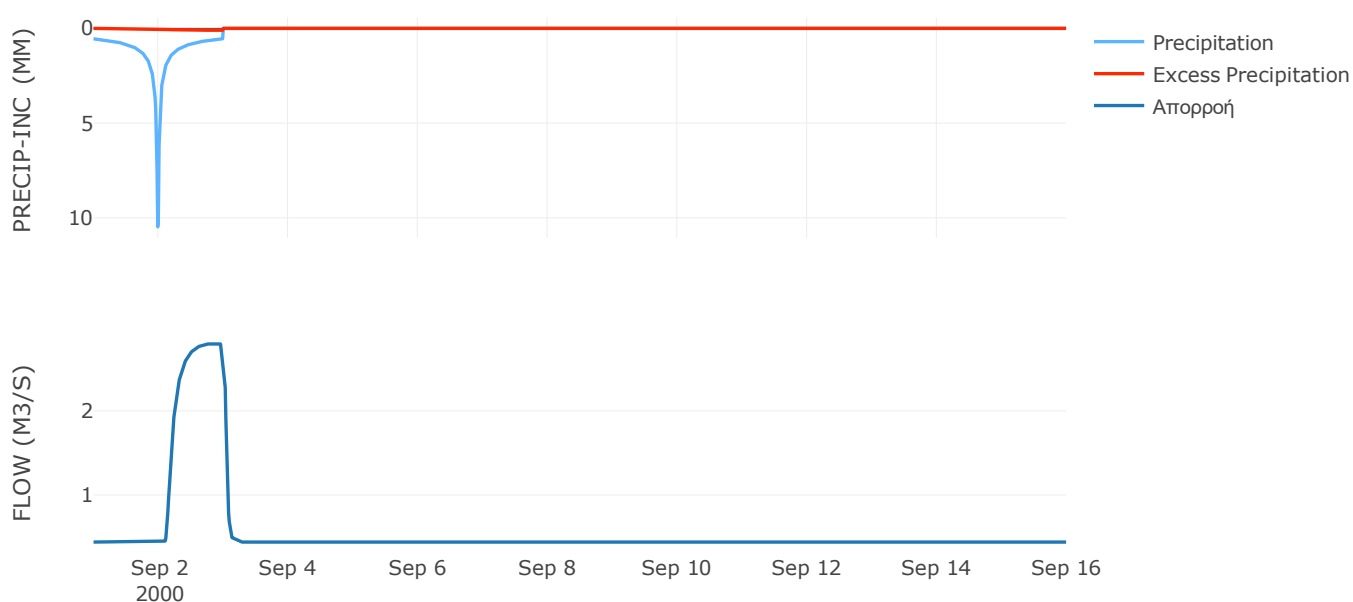
Μέθοδος  
Μετασχηματισμού: SCS

Χρόνος Υστέρησης	59.13
------------------	-------

Αποτελέσματα:  
EL0513FR5029

Παροχή αιχμής (M3/S)	2.8
Χρονική στιγμή αιχμής	02Sep2000, 20:30
Όγκος (MM)	33.46
Όγκος βροχόπτωσης (M3)	5.3E6
Όγκος απωλειών (M3)	5.14E6
Ενεργός Όγκος (M3)	1.66E5
Όγκος άμεσης απορροής (M3)	1.66E5
Όγκος βασικής απορροής (M3)	5.7E5

Βροχόπτωση και Απορροή



Υπολεκάνη: EL0513FR5030

Έκταση (KM2) : 13.43

Κατάνη : J5

Μέθοδος Απωλειών: SCS

Ποσοστό αδιαπέρατης επιφάνειας	0
Αριθμός Καμπύλης Απορροής-CN	43.26
Αρχικές Απώλειες	66.63

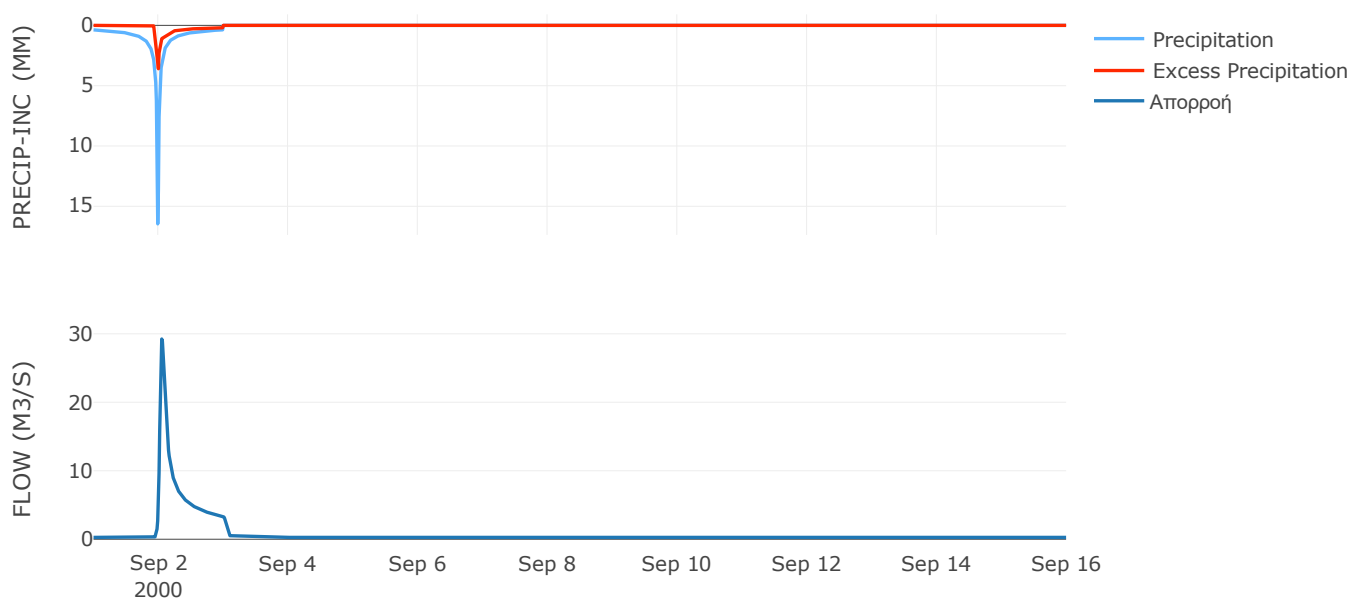
Μέθοδος  
Μετασχηματισμού: SCS

Χρόνος Υστέρησης	61.99
------------------	-------

Αποτελέσματα:  
EL0513FR5030

Παροχή αιχμής (M3/S)	29.24
Χρονική στιγμή αιχμής	02Sep2000, 01:15
Όγκος (MM)	75.11
Όγκος βροχόπτωσης (M3)	2.98E6
Όγκος απωλειών (M3)	2.32E6
Ενεργός Όγκος (M3)	6.61E5
Όγκος άμεσης απορροής (M3)	6.61E5
Όγκος βασικής απορροής (M3)	3.48E5

Βροχόπτωση και Απορροή



Υπολεκάνη: EL0513FR5031

Έκταση (KM2) : 13.12

Κατάνη : J15

Μέθοδος Απωλειών: SCS

Ποσοστό αδιαπέρατης επιφάνειας	0
Αριθμός Καμπύλης Απορροής-CN	43.01
Αρχικές Απώλειες	67.3

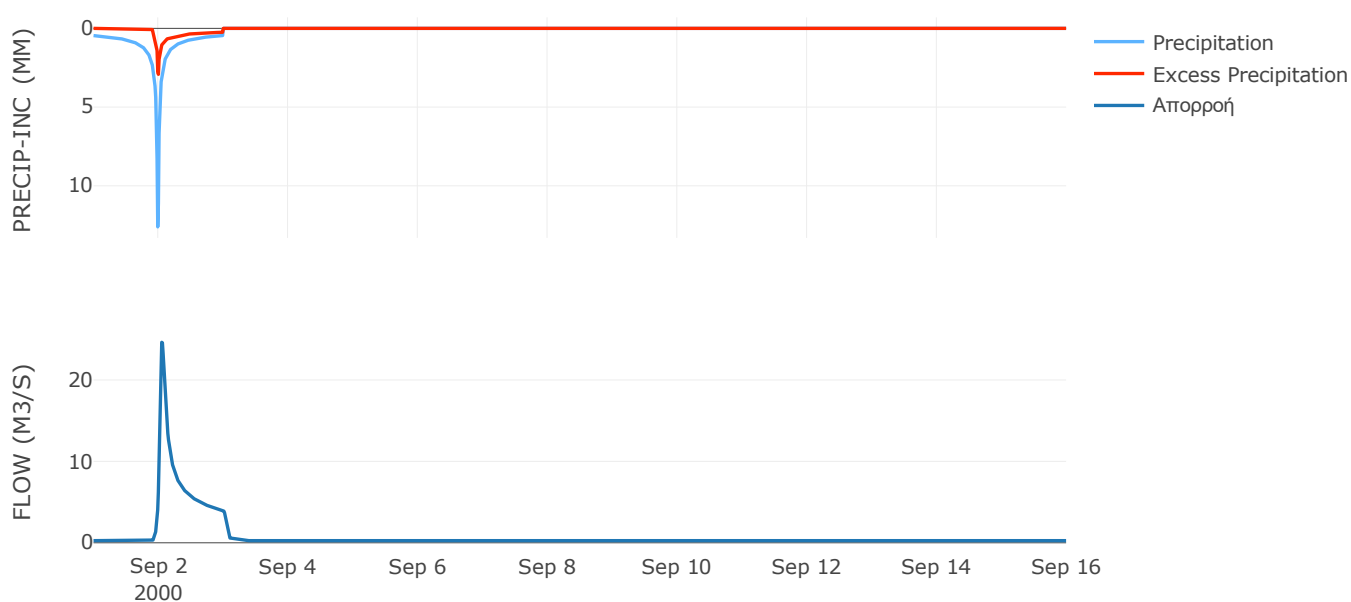
Μέθοδος  
Μετασχηματισμού: SCS

Χρόνος Υστέρησης	63.56
------------------	-------

Αποτελέσματα:  
EL0513FR5031

Παροχή αιχμής (M3/S)	24.63
Χρονική στιγμή αιχμής	02Sep2000, 01:15
Όγκος (MM)	77.94
Όγκος βροχόπτωσης (M3)	2.99E6
Όγκος απωλειών (M3)	2.31E6
Ενεργός Όγκος (M3)	6.83E5
Όγκος άμεσης απορροής (M3)	6.83E5
Όγκος βασικής απορροής (M3)	3.4E5

Βροχόπτωση και Απορροή



Υπολεκάνη: EL0513FR5032

Έκταση (KM2) : 17.35

Κατάντη : J16

Μέθοδος Απωλειών: SCS

Ποσοστό αδιαπέρατης επιφάνειας	0
Αριθμός Καμπύλης Απορροής-CN	30.08
Αρχικές Απώλειες	118.06

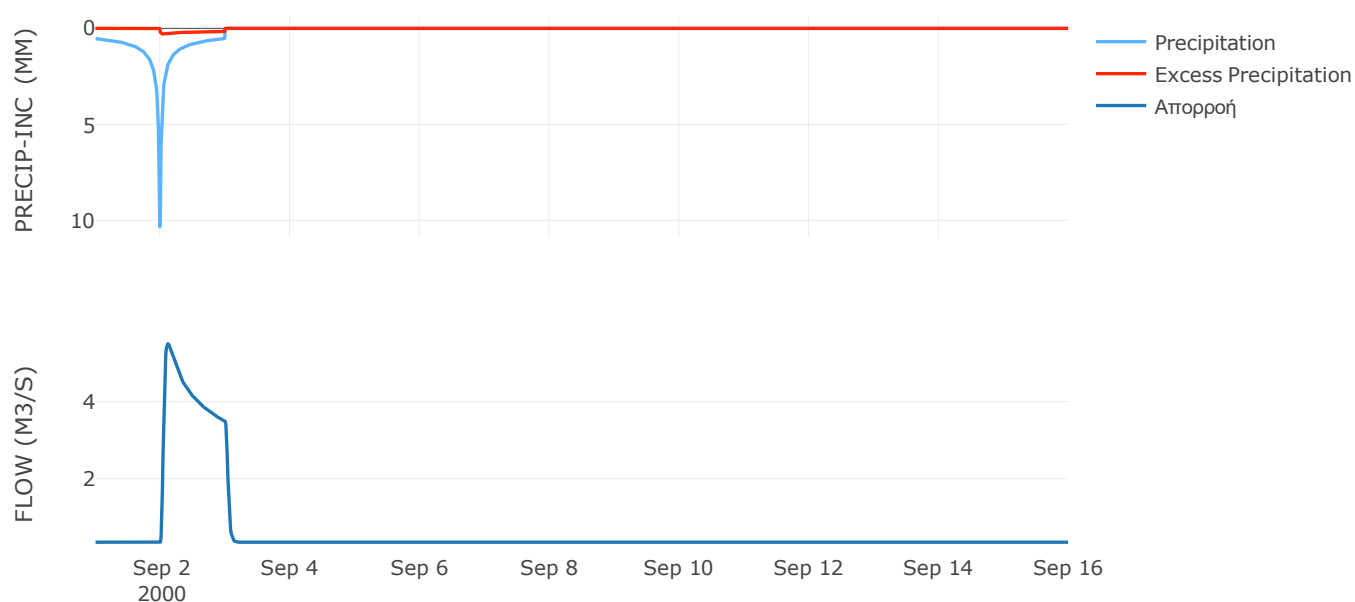
Μέθοδος  
Μετασχηματισμού: SCS

Χρόνος Υστέρησης	52.76
------------------	-------

Αποτελέσματα:  
EL0513FR5032

Παροχή αιχμής (M3/S)	5.5
Χρονική στιγμή αιχμής	02Sep2000, 02:45
Όγκος (MM)	45.35
Όγκος βροχόπτωσης (M3)	4.08E6
Όγκος απωλειών (M3)	3.75E6
Ενεργός Όγκος (M3)	3.37E5
Όγκος άμεσης απορροής (M3)	3.37E5
Όγκος βασικής απορροής (M3)	4.5E5

Βροχόπτωση και Απορροή



Υπολεκάνη: EL0513FR5033

Έκταση (KM2) : 4.63

Κατάνη : J21 Res1

Μέθοδος Απωλειών: SCS

Ποσοστό αδιαπέρατης επιφάνειας	0
Αριθμός Καμπύλης Απορροής-CN	30
Αρχικές Απώλειες	118.53

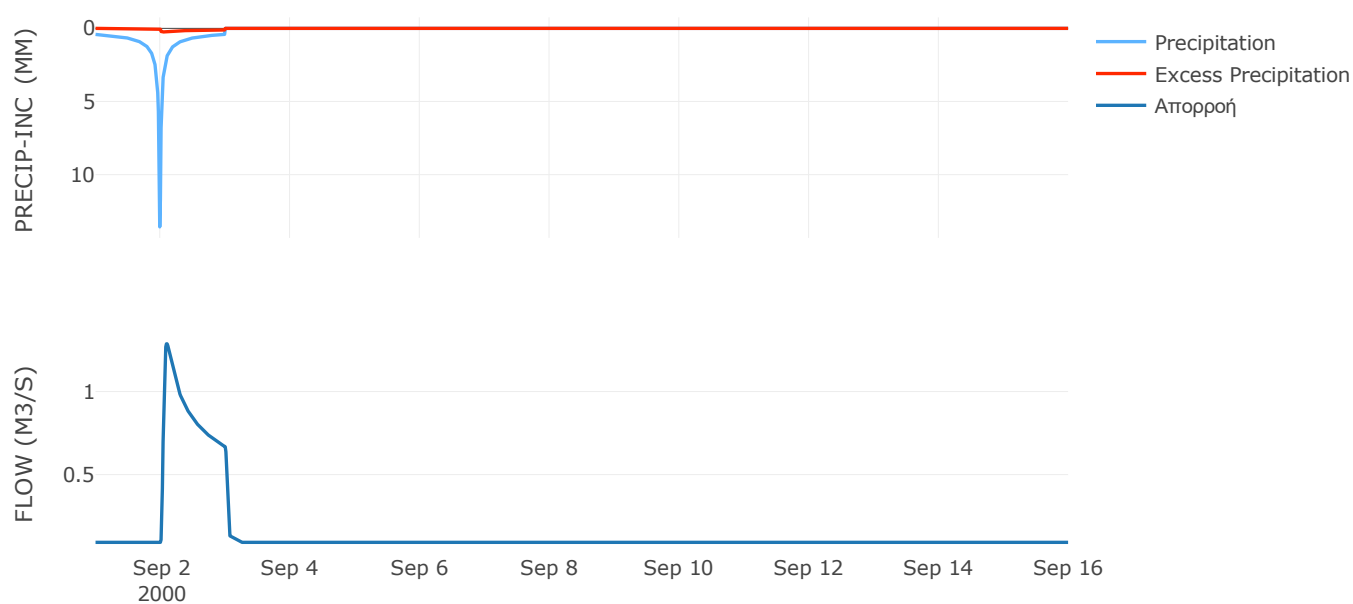
Μέθοδος  
Μετασχηματισμού: SCS

Χρόνος Υστέρησης	39.78
------------------	-------

Αποτελέσματα:  
EL0513FR5033

Παροχή αιχμής (M3/S)	1.29
Χρονική στιγμή αιχμής	02Sep2000, 02:15
Όγκος (MM)	40.55
Όγκος βροχόπτωσης (M3)	1.01E6
Όγκος απωλειών (M3)	9.46E5
Ενεργός Όγκος (M3)	67673.31
Όγκος άμεσης απορροής (M3)	67673.31
Όγκος βασικής απορροής (M3)	1.2E5

Βροχόπτωση και Απορροή



## 3.2 Δεδομένα και υδρογραφήματα σχεδιασμού Κλάδων υδρογραφικού δικτύου

Κλάδος: R21

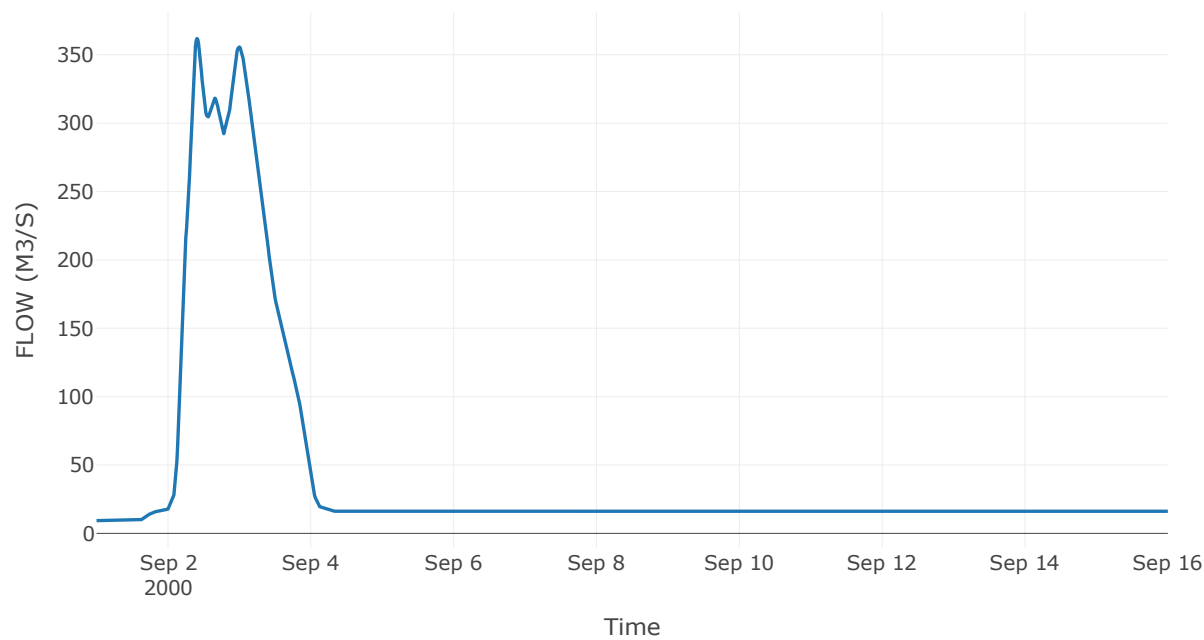
Κατάντη : J1

Μέθοδος Διόδευσης	Muskingum
Αρχική Μεταβλητή	Combined Inflow
Χρόνος Ροής K	1.21
Συντελεστής βάρους x	0.2
Πλήθος Υποκλάδων	5

Αποτελέσματα: R21

Παροχή Αιχμής(M3/S)	361.88
Χρονική στιγμή αιχμής	02Sep2000, 09:45
Όγκος(MM)	70.06
Παροχή Αιχμής Εισόδου (M3/S)	365.07
Όγκος Εισροής(M3)	5.67E7

Απορροή





Κλάδος: R32

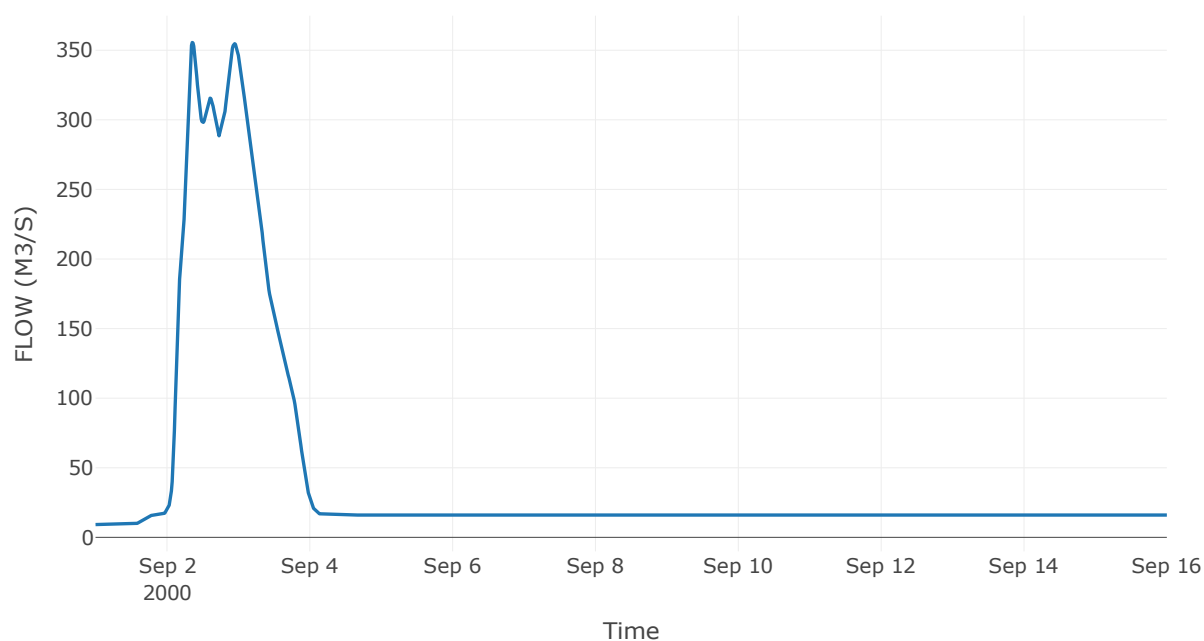
Κατάντη : J2

Μέθοδος Διόδευσης	Muskingum
Αρχική Μεταβλητή	Combined Inflow
Χρόνος Ροής K	1.87
Συντελεστής βάρους x	0.2
Πλήθος Υποκλάδων	7

Αποτελέσματα: R32

Παροχή Αιχμής(M3/S)	355.58
Χρονική στιγμή αιχμής	02Sep2000, 08:30
Όγκος(MM)	69.71
Παροχή Αιχμής Εισόδου (M3/S)	361.5
Όγκος Εισροής(M3)	5.59E7

Απορροή



Κλάδος: R43

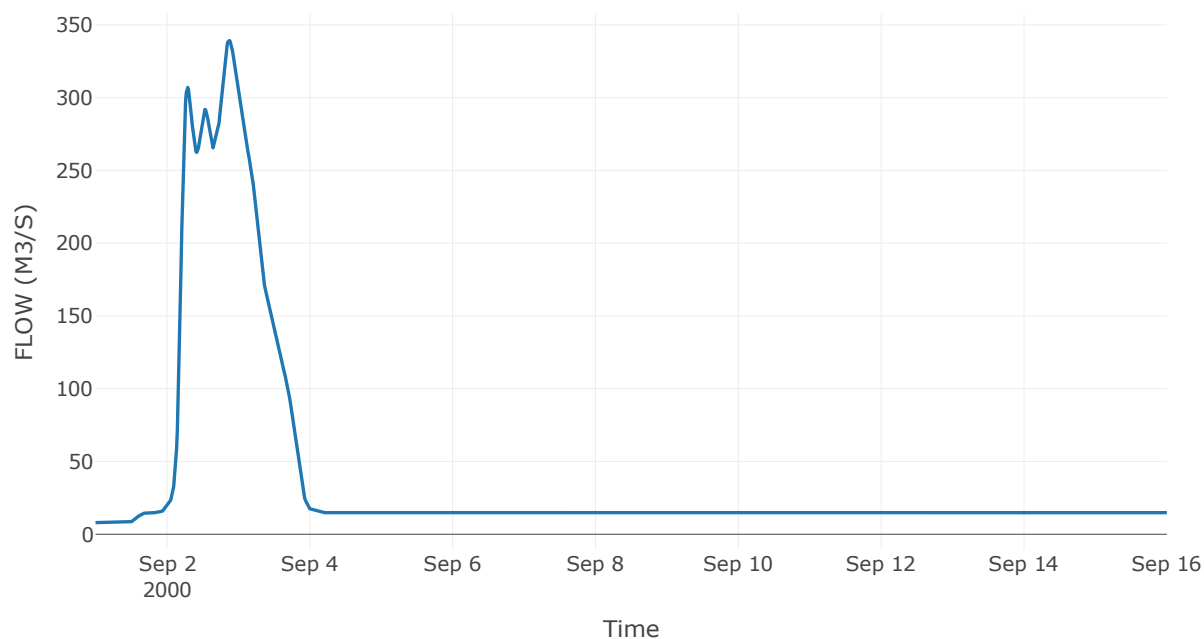
Κατάντη : J3

Μέθοδος Διόδευσης	Muskingum
Αρχική Μεταβλητή	Combined Inflow
Χρόνος Ροής K	3.58
Συντελεστής βάρους x	0.2
Πλήθος Υποκλάδων	14

Αποτελέσματα: R43

Παροχή Αιχμής(M3/S)	339.19
Χρονική στιγμή αιχμής	02Sep2000, 21:00
Όγκος(MM)	67.83
Παροχή Αιχμής Εισόδου (M3/S)	343.15
Όγκος Εισροής(M3)	5.04E7

Απορροή



Κλάδος: R54

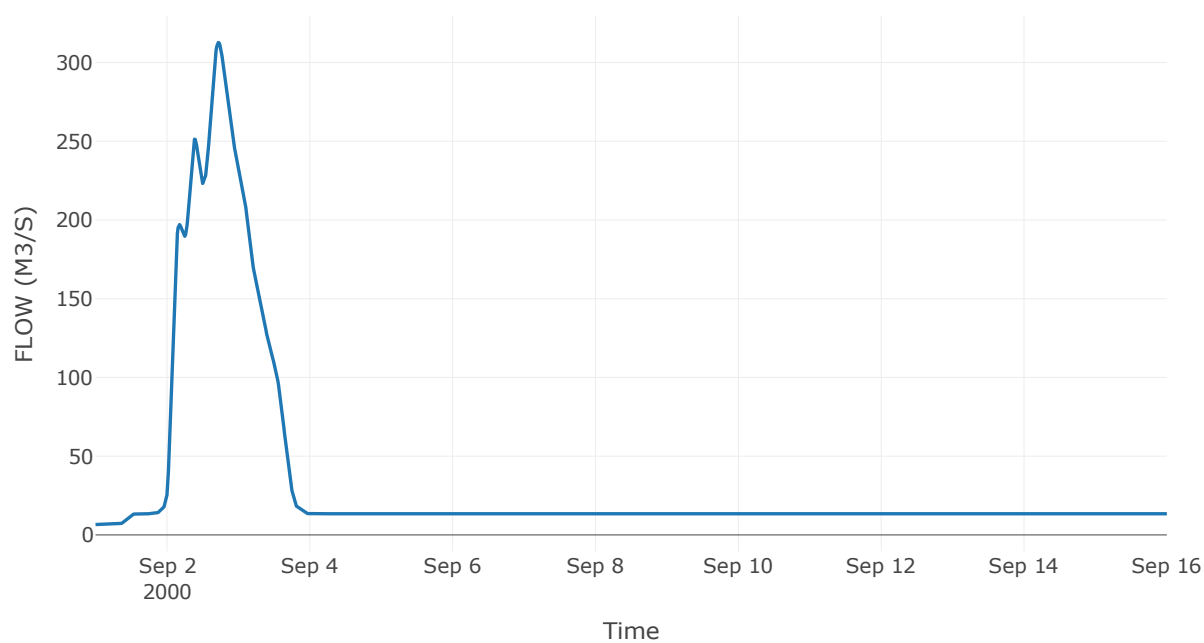
Κατάντη : J4

Μέθοδος Διόδευσης	Muskingum
Αρχική Μεταβλητή	Combined Inflow
Χρόνος Ροής K	0.16
Συντελεστής βάρους x	0.2
Πλήθος Υποκλάδων	1

Αποτελέσματα: R54

Παροχή Αιχμής(M3/S)	312.72
Χρονική στιγμή αιχμής	02Sep2000, 17:15
Όγκος(MM)	65
Παροχή Αιχμής Εισόδου (M3/S)	312.81
Όγκος Εισροής(M3)	4.37E7

Απορροή



Κλάδος: R65

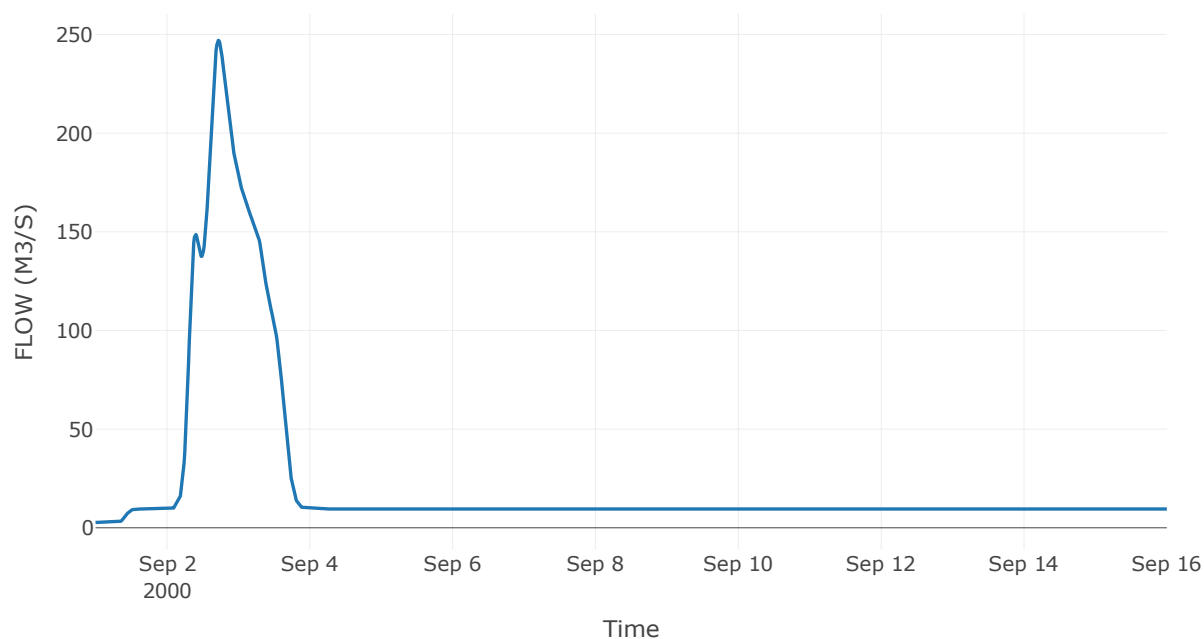
Κατάντη : J5

Μέθοδος Διόδευσης	Muskingum
Αρχική Μεταβλητή	Combined Inflow
Χρόνος Ροής K	4.31
Συντελεστής βάρους x	0.2
Πλήθος Υποκλάδων	17

Αποτελέσματα: R65

Παροχή Αιχμής(M3/S)	247
Χρονική στιγμή αιχμής	02Sep2000, 17:15
Όγκος(MM)	63.15
Παροχή Αιχμής Εισόδου (M3/S)	252.3
Όγκος Εισροής(M3)	3.02E7

Απορροή



Κλάδος: R76

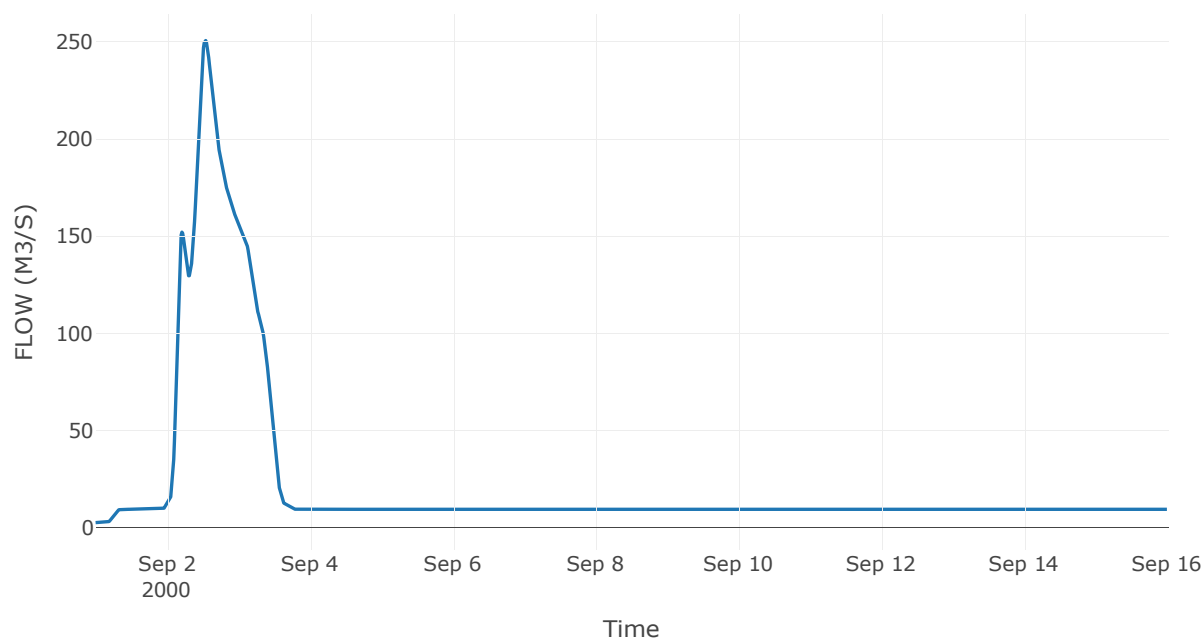
Κατάντη : J6

Μέθοδος Διόδευσης	Muskingum
Αρχική Μεταβλητή	Combined Inflow
Χρόνος Ροής K	1.79
Συντελεστής βάρους x	0.2
Πλήθος Υποκλάδων	7

Αποτελέσματα: R76

Παροχή Αιχμής(M3/S)	250.69
Χρονική στιγμή αιχμής	02Sep2000, 13:00
Όγκος(MM)	63.09
Παροχή Αιχμής Εισόδου (M3/S)	253.51
Όγκος Εισροής(M3)	2.99E7

Απορροή



Κλάδος: R87

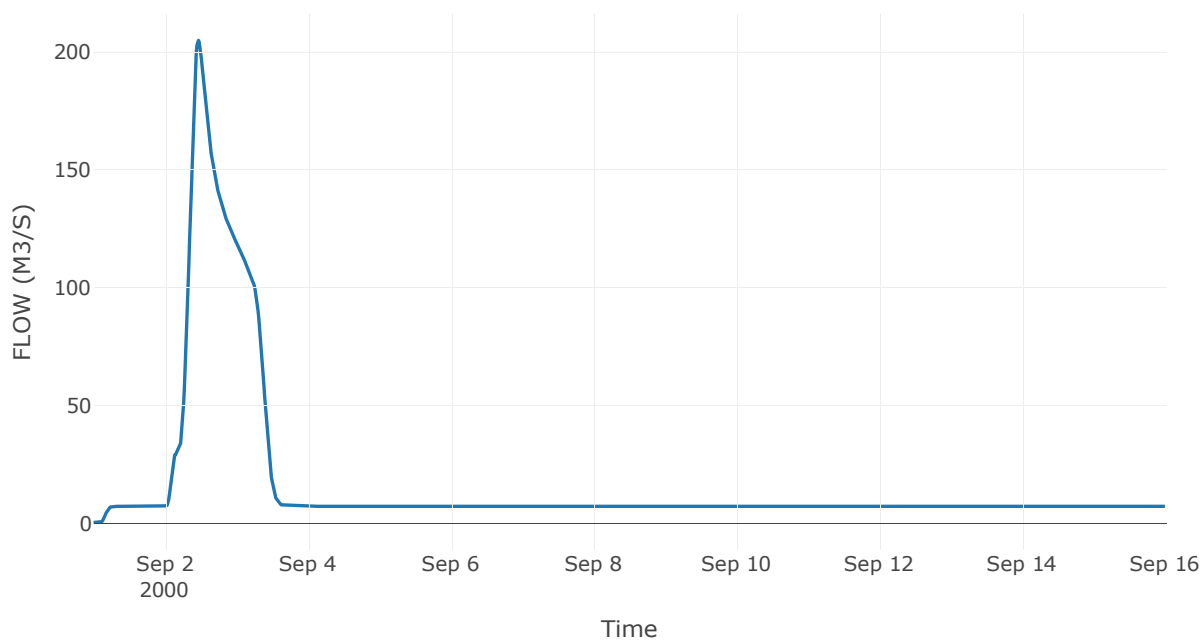
Κατάντη : J7

Μέθοδος Διόδευσης	Muskingum
Αρχική Μεταβλητή	Combined Inflow
Χρόνος Ροής K	1.13
Συντελεστής βάρους x	0.2
Πλήθος Υποκλάδων	5

Αποτελέσματα: R87

Παροχή Αιχμής(M3/S)	204.93
Χρονική στιγμή αιχμής	02Sep2000, 11:15
Όγκος(MM)	60.86
Παροχή Αιχμής Εισόδου (M3/S)	206.53
Όγκος Εισροής(M3)	2.2E7

Απορροή



Κλάδος: R218

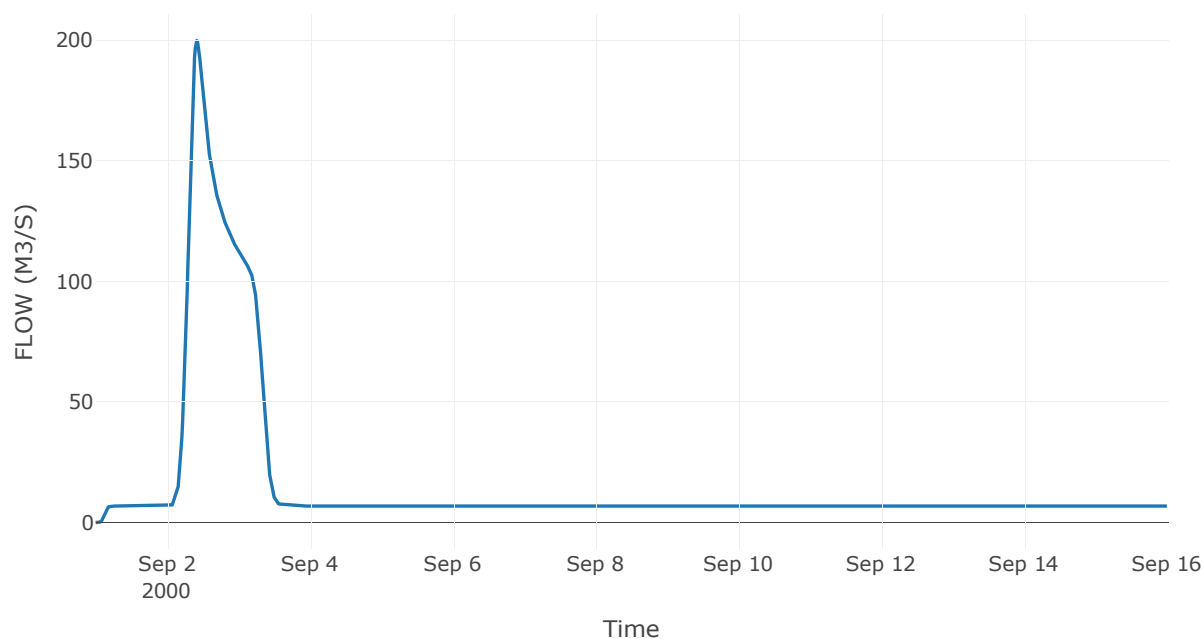
Κατάντη : J8

Μέθοδος Διόδευσης	Muskingum
Αρχική Μεταβλητή	Combined Inflow
Χρόνος Ροής K	2.22
Συντελεστής βάρους x	0.2
Πλήθος Υποκλάδων	9

Αποτελέσματα: R218

Παροχή Αιχμής(M3/S)	199.77
Χρονική στιγμή αιχμής	02Sep2000, 10:00
Όγκος(MM)	60.92
Παροχή Αιχμής Εισόδου (M3/S)	203.56
Όγκος Εισροής(M3)	2.09E7

Απορροή



Κλάδος: R921

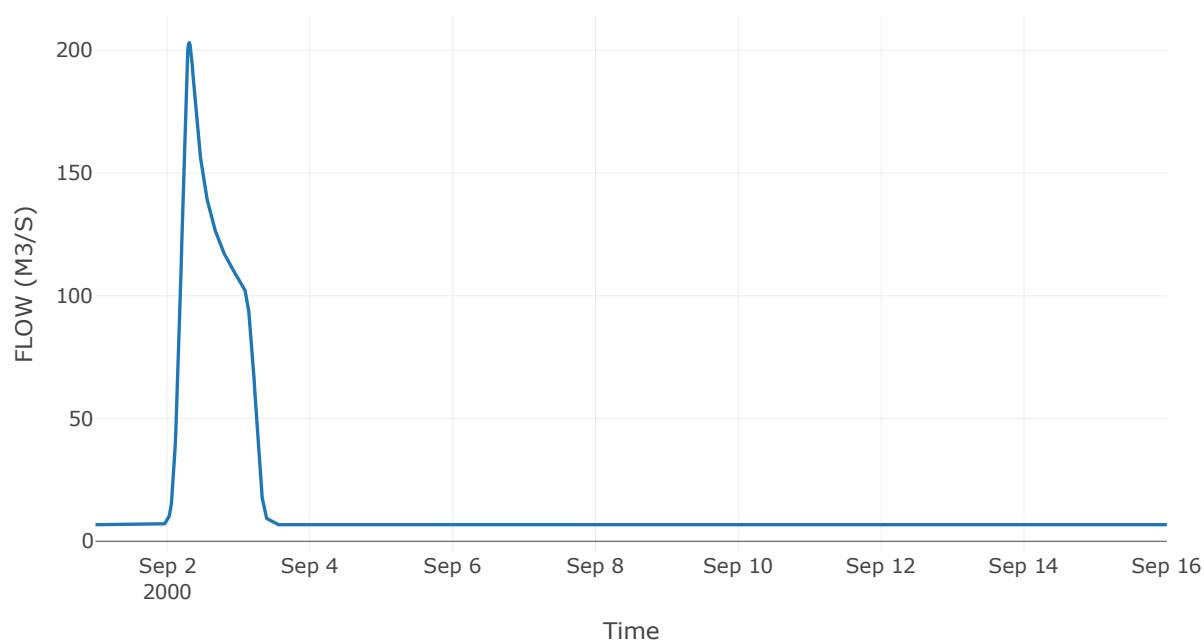
Κατάντη : J21 Res1

Μέθοδος Διόδευσης	Muskingum
Αρχική Μεταβλητή	Combined Inflow
Χρόνος Ροής K	1.57
Συντελεστής βάρους x	0.2
Πλήθος Υποκλάδων	6

Αποτελέσματα: R921

Παροχή Αιχμής(M3/S)	203.16
Χρονική στιγμή αιχμής	02Sep2000, 07:30
Όγκος(MM)	61.42
Παροχή Αιχμής Εισόδου (M3/S)	206.66
Όγκος Εισροής(M3)	2.07E7

Απορροή





Κλάδος: R109

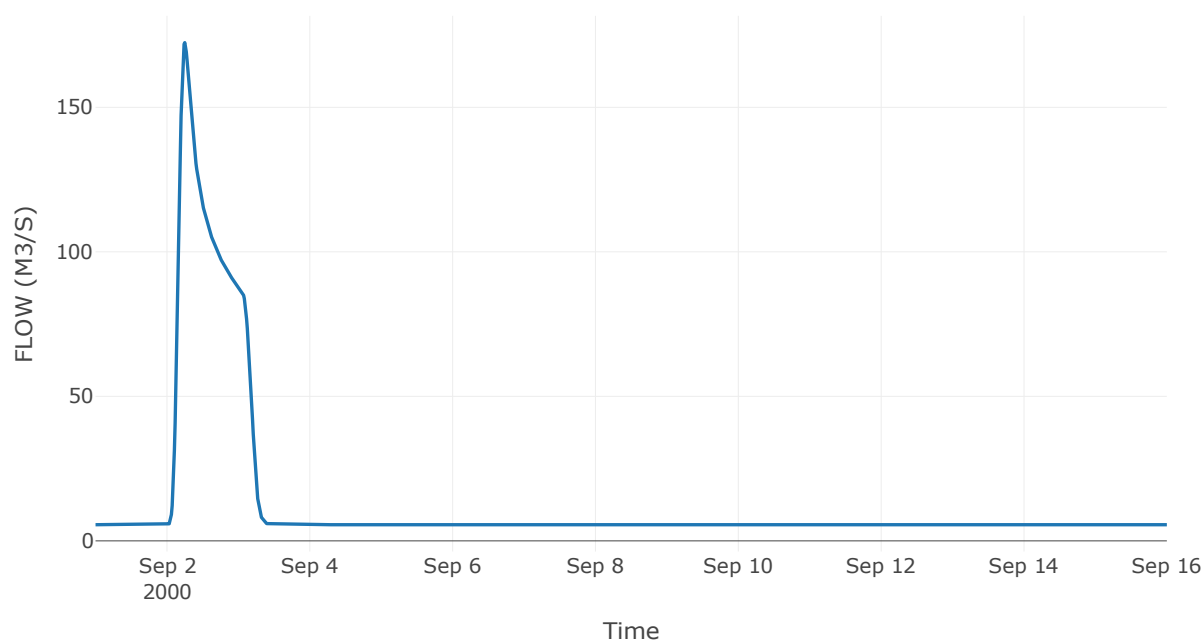
Κατάντη : J9

Μέθοδος Διόδευσης	Muskingum
Αρχική Μεταβλητή	Combined Inflow
Χρόνος Ροής K	1.83
Συντελεστής βάρους x	0.2
Πλήθος Υποκλάδων	7

Αποτελέσματα: R109

Παροχή Αιχμής(M3/S)	172.39
Χρονική στιγμή αιχμής	02Sep2000, 06:00
Όγκος(MM)	60.74
Παροχή Αιχμής Εισόδου (M3/S)	177.01
Όγκος Εισροής(M3)	1.7E7

Απορροή



Κλάδος: R1110

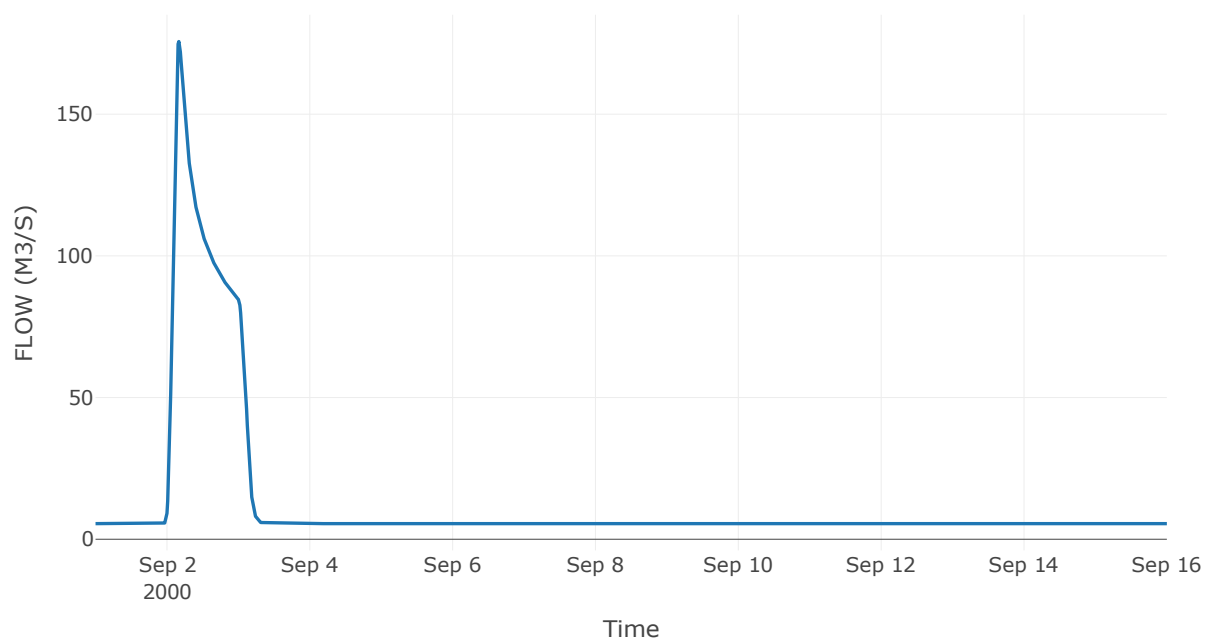
Κατάντη : J10

Μέθοδος Διόδευσης	Χρόνος Υστέρησης
Αρχική Μεταβλητή	Combined Inflow
Χρόνος Υστέρησης	7.05

Αποτελέσματα: R1110

Παροχή Αιχμής(M3/S)	175.63
Χρονική στιγμή αιχμής	02Sep2000, 04:00
Όγκος(MM)	60.91
Παροχή Αιχμής Εισόδου (M3/S)	175.76
Όγκος Εισροής(M3)	1.68E7

Απορροή



Κλάδος: R1211

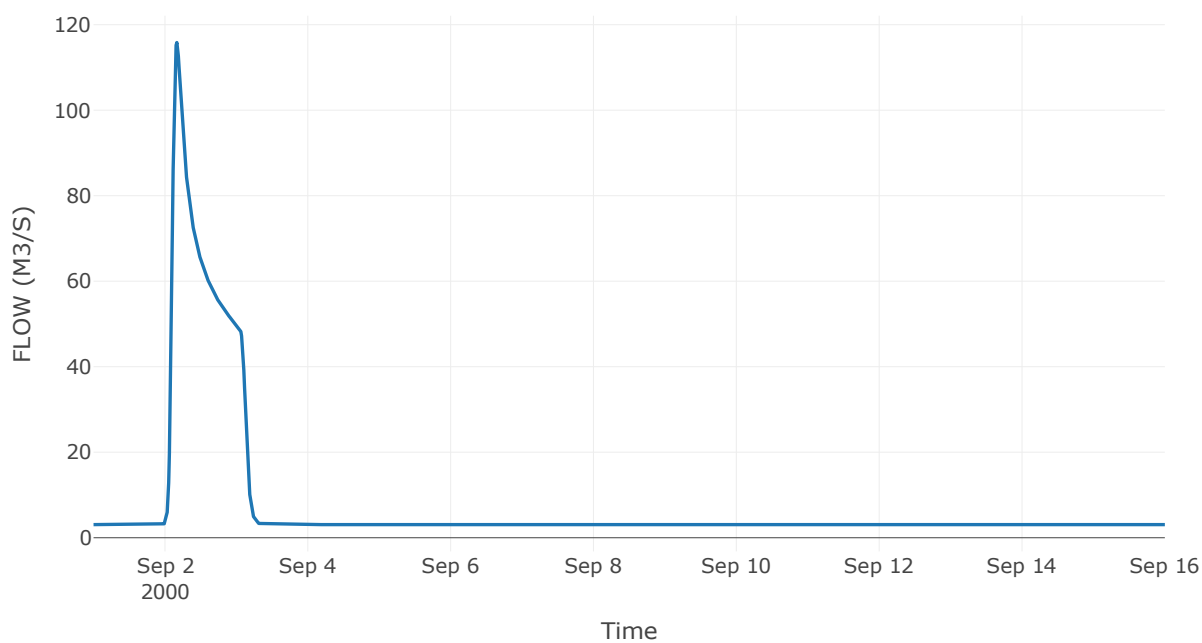
Κατάντη : J11

Μέθοδος Διόδευσης	Muskingum
Αρχική Μεταβλητή	Combined Inflow
Χρόνος Ροής K	1.59
Συντελεστής βάρους x	0.2
Πλήθος Υποκλάδων	6

Αποτελέσματα: R1211

Παροχή Αιχμής(M3/S)	115.83
Χρονική στιγμή αιχμής	02Sep2000, 04:00
Όγκος(MM)	64.31
Παροχή Αιχμής Εισόδου (M3/S)	120.63
Όγκος Εισροής(M3)	9.86E6

Απορροή



Κλάδος: R1312

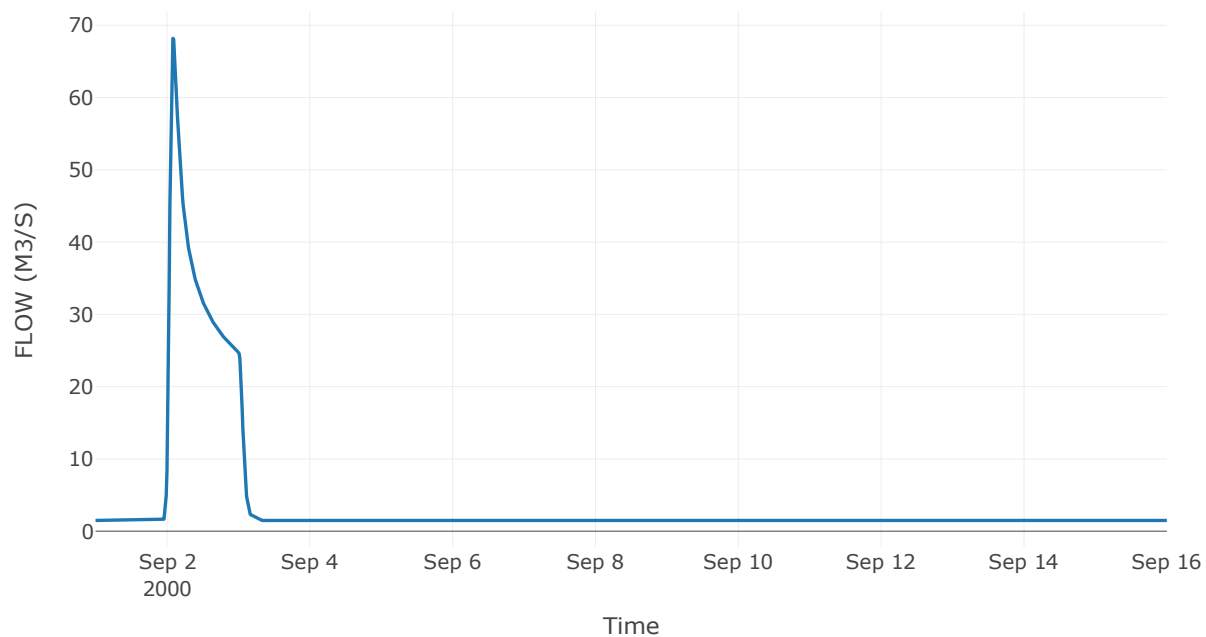
Κατάντη : J12

Μέθοδος Διόδευσης	Χρόνος Υστέρησης
Αρχική Μεταβλητή	Combined Inflow
Χρόνος Υστέρησης	10.06

Αποτελέσματα: R1312

Παροχή Αιχμής(M3/S)	68.18
Χρονική στιγμή αιχμής	02Sep2000, 02:00
Όγκος(MM)	67.75
Παροχή Αιχμής Εισόδου (M3/S)	68.47
Όγκος Εισροής(M3)	5.02E6

Απορροή



Κλάδος: R147

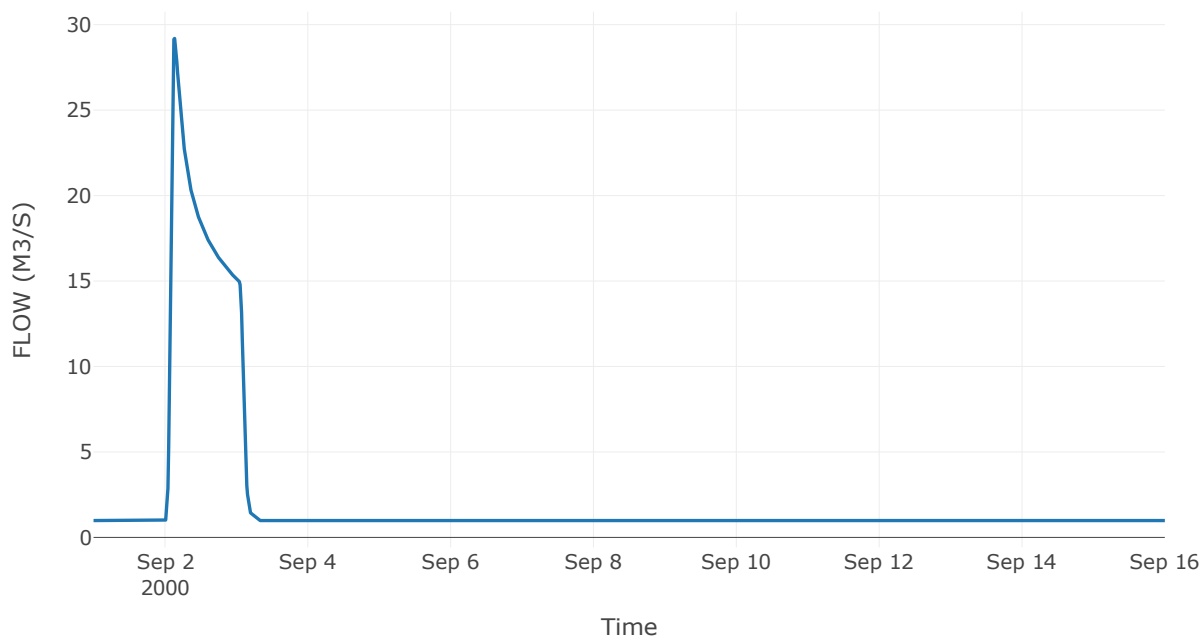
Κατάντη : J7

Μέθοδος Διόδευσης	Χρόνος Υστέρησης
Αρχική Μεταβλητή	Combined Inflow
Χρόνος Υστέρησης	60.19

Αποτελέσματα: R147

Παροχή Αιχμής(M3/S)	29.19
Χρονική στιγμή αιχμής	02Sep2000, 03:15
Όγκος(MM)	58.76
Παροχή Αιχμής Εισόδου (M3/S)	29.19
Όγκος Εισροής(M3)	2.9E6

Απορροή



Κλάδος: R155

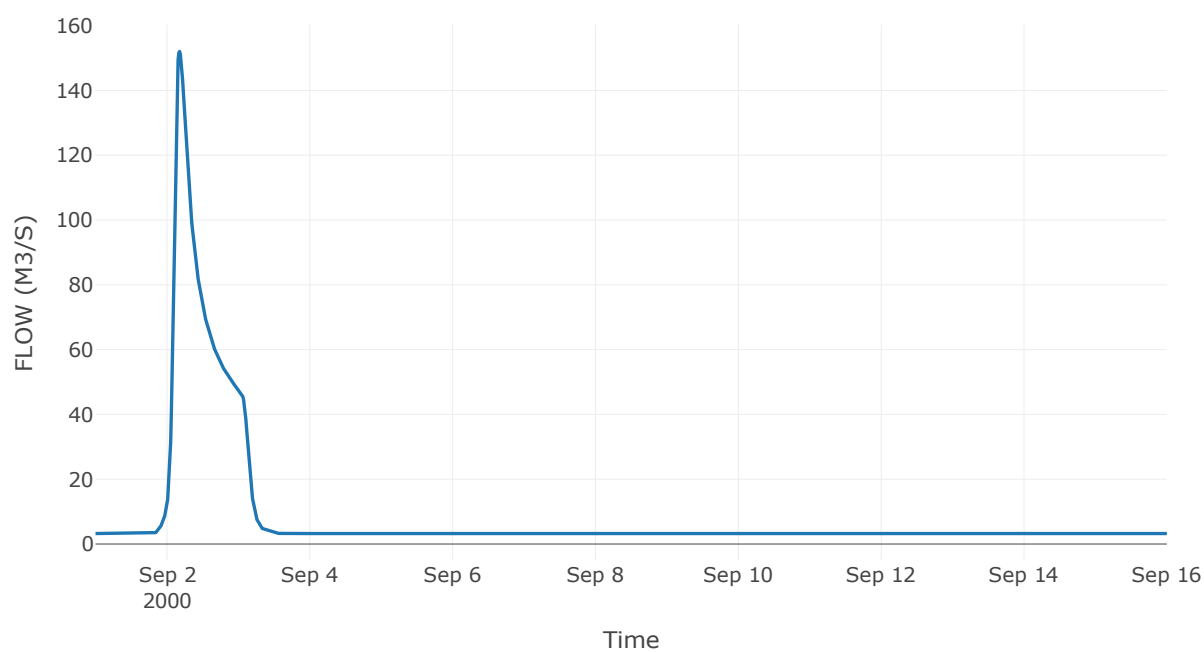
Κατάντη : J5

Μέθοδος Διόδευσης	Muskingum
Αρχική Μεταβλητή	Combined Inflow
Χρόνος Ροής K	1.13
Συντελεστής βάρους x	0.2
Πλήθος Υποκλάδων	5

Αποτελέσματα: R155

Παροχή Αιχμής(M3/S)	152.04
Χρονική στιγμή αιχμής	02Sep2000, 04:15
Όγκος(MM)	69.59
Παροχή Αιχμής Εισόδου (M3/S)	153.83
Όγκος Εισροής(M3)	1.13E7

Απορροή



Κλάδος: R1615

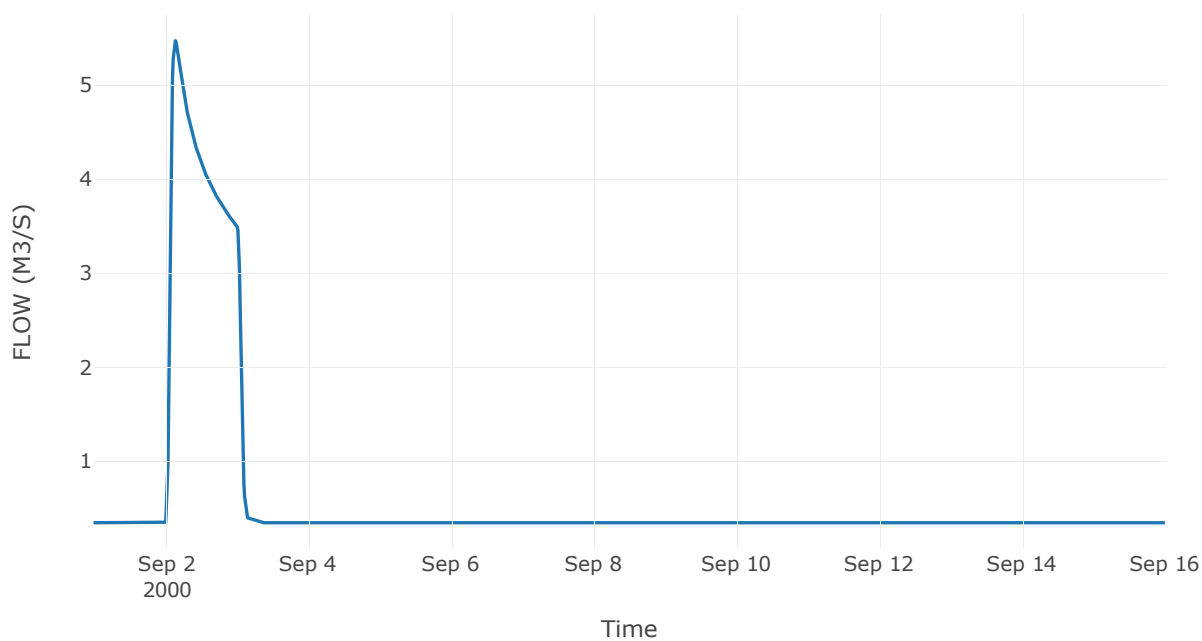
Κατάντη : J15

Μέθοδος Διόδευσης	Muskingum
Αρχική Μεταβλητή	Combined Inflow
Χρόνος Ροής K	0.55
Συντελεστής βάρους x	0.2
Πλήθος Υποκλάδων	2

Αποτελέσματα: R1615

Παροχή Αιχμής(M3/S)	5.47
Χρονική στιγμή αιχμής	02Sep2000, 03:30
Όγκος(MM)	45.35
Παροχή Αιχμής Εισόδου (M3/S)	5.5
Όγκος Εισροής(M3)	7.87E5

Απορροή



Κλάδος: R1715

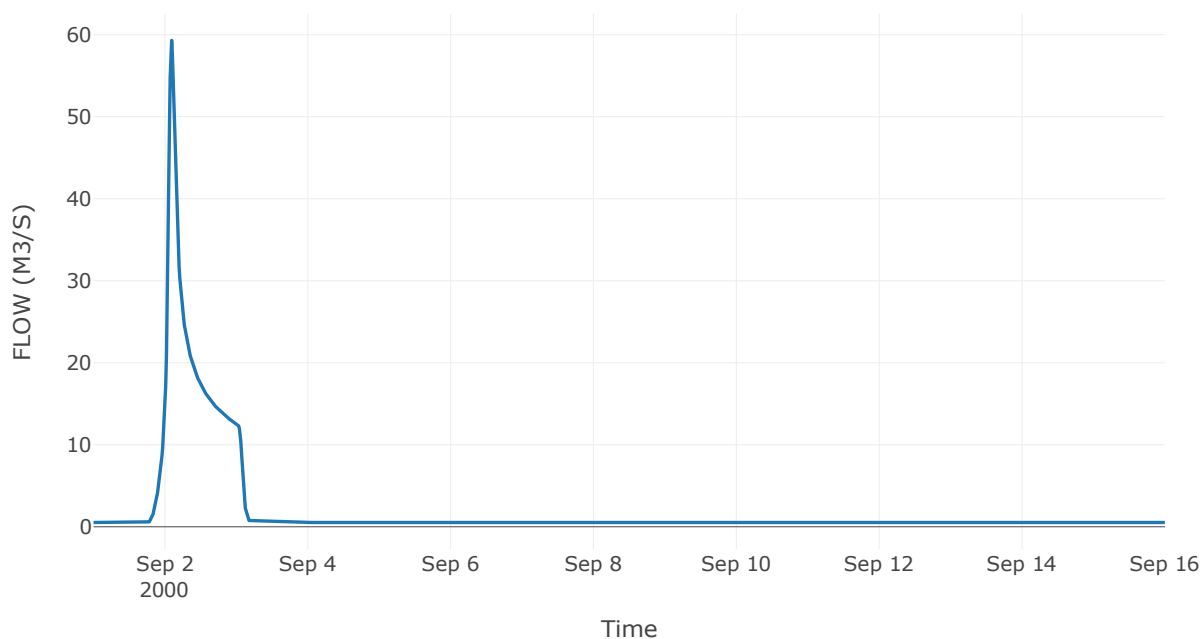
Κατάντη : J15

Μέθοδος Διόδευσης	Muskingum
Αρχική Μεταβλητή	Combined Inflow
Χρόνος Ροής K	1
Συντελεστής βάρους x	0.2
Πλήθος Υποκλάδων	4

Αποτελέσματα: R1715

Παροχή Αιχμής(M3/S)	59.31
Χρονική στιγμή αιχμής	02Sep2000, 02:15
Όγκος(MM)	103.68
Παροχή Αιχμής Εισόδου (M3/S)	63.12
Όγκος Εισροής(M3)	2.71E6

Απορροή





Κλάδος: R184

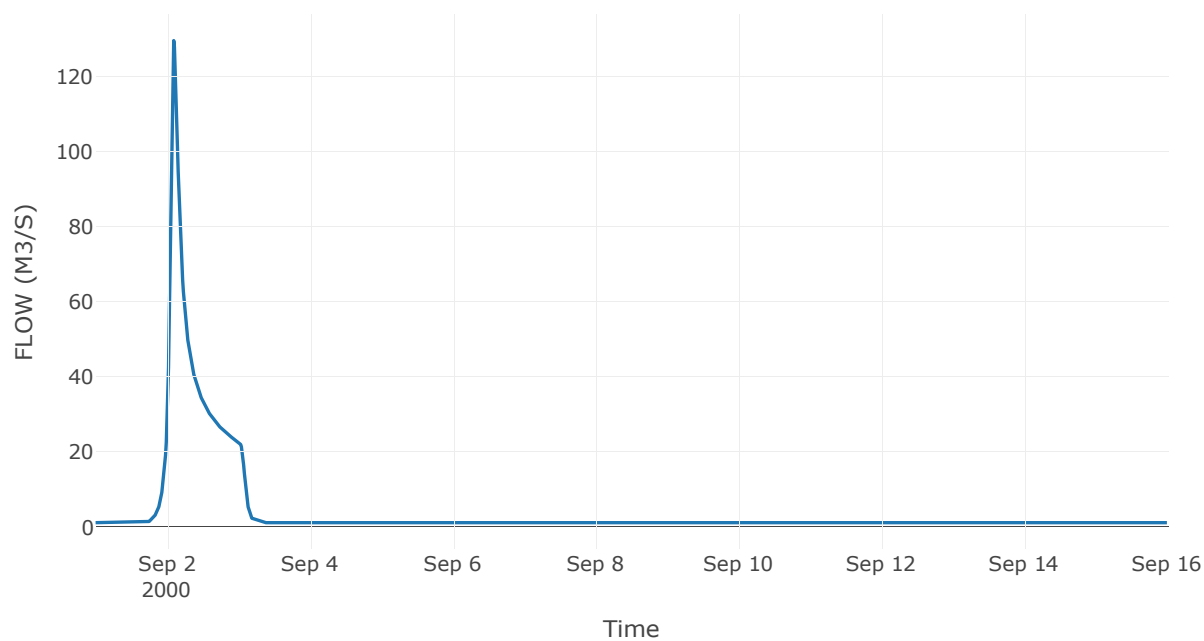
Κατάντη : J4

Μέθοδος Διόδευσης	Muskingum
Αρχική Μεταβλητή	Combined Inflow
Χρόνος Ροής K	0.55
Συντελεστής βάρους x	0.2
Πλήθος Υποκλάδων	2

Αποτελέσματα: R184

Παροχή Αιχμής(M3/S)	129.65
Χρονική στιγμή αιχμής	02Sep2000, 02:15
Όγκος(MM)	94.37
Παροχή Αιχμής Εισόδου (M3/S)	133.18
Όγκος Εισροής(M3)	5.74E6

Απορροή



Κλάδος: R193

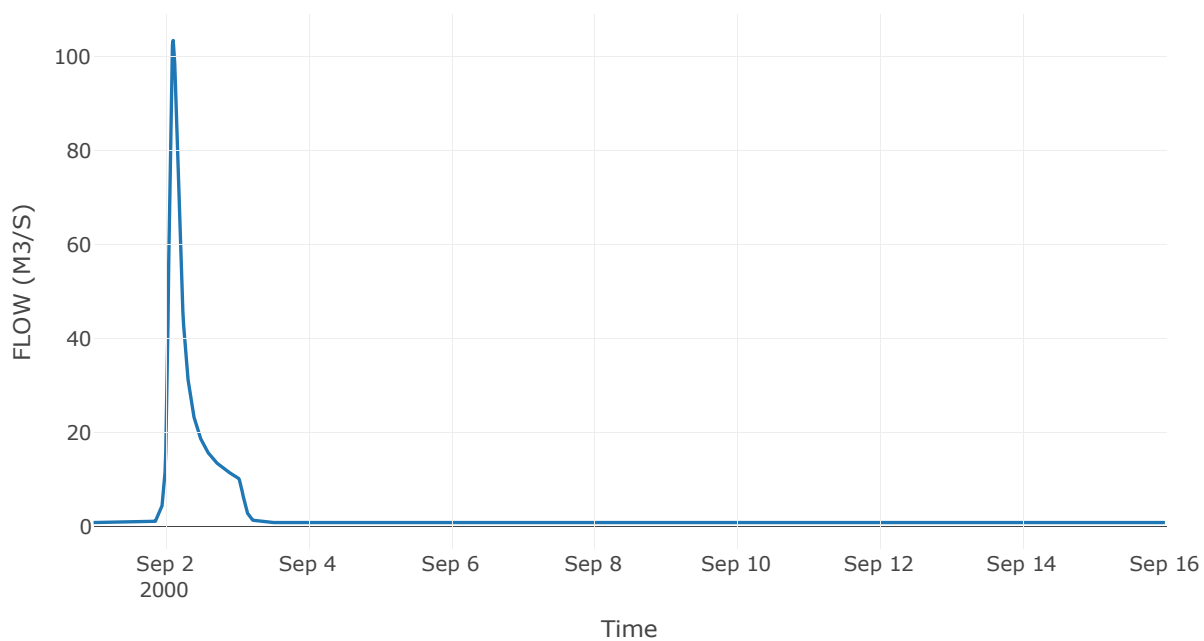
Κατάντη : J3

Μέθοδος Διόδευσης	Muskingum
Αρχική Μεταβλητή	Combined Inflow
Χρόνος Ροής K	0.27
Συντελεστής βάρους x	0.2
Πλήθος Υποκλάδων	1

Αποτελέσματα: R193

Παροχή Αιχμής(M3/S)	103.4
Χρονική στιγμή αιχμής	02Sep2000, 02:45
Όγκος(MM)	93.27
Παροχή Αιχμής Εισόδου (M3/S)	104.27
Όγκος Εισροής(M3)	3.77E6

Απορροή



Κλάδος: R2019

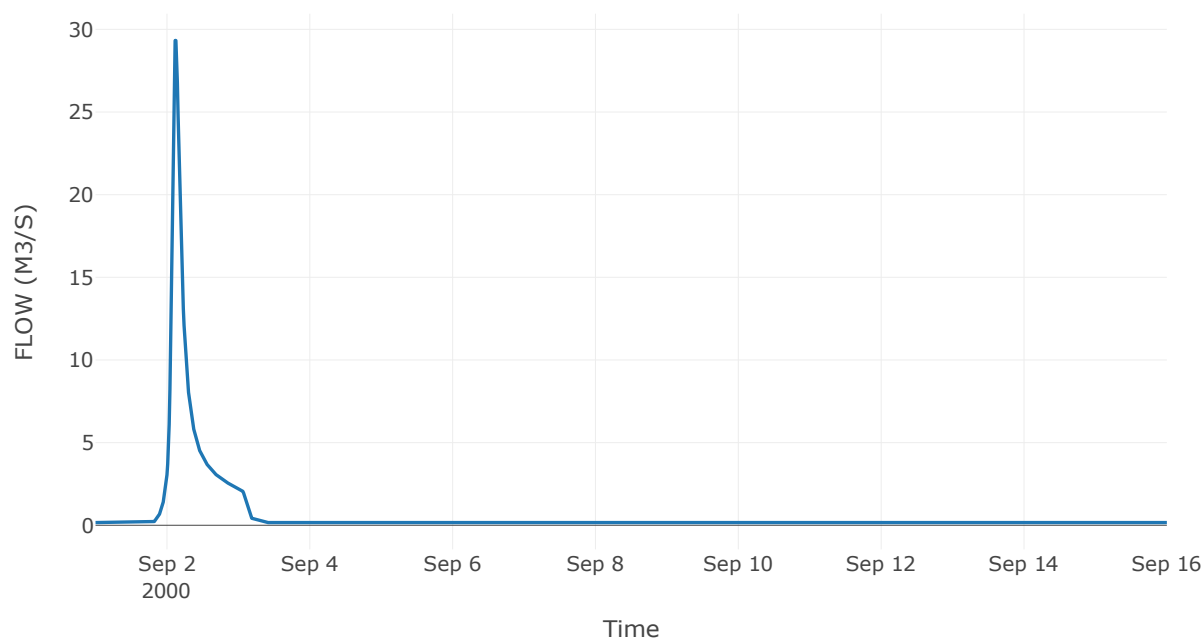
Κατάντη : J19

Μέθοδος Διόδευσης	Muskingum
Αρχική Μεταβλητή	Combined Inflow
Χρόνος Ροής K	0.88
Συντελεστής βάρους x	0.2
Πλήθος Υποκλάδων	4

Αποτελέσματα: R2019

Παροχή Αιχμής(M3/S)	29.33
Χρονική στιγμή αιχμής	02Sep2000, 02:45
Όγκος(MM)	107.3
Παροχή Αιχμής Εισόδου (M3/S)	30.47
Όγκος Εισροής(M3)	8.83E5

Απορροή



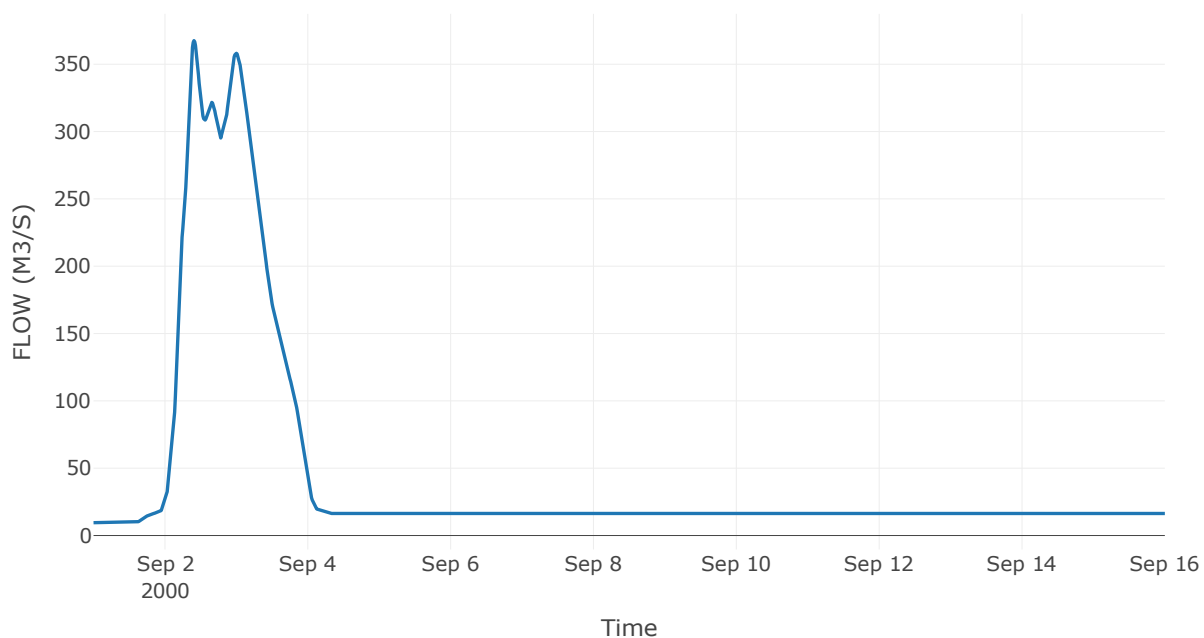
### 3.3 Δεδομένα και υδρογραφήματα σχεδιασμού Κόμβων υδρογραφικού δικτύου

Κόμβος εξόδου: J1

Αποτέλεσμα  
τα: J1

Παροχή αιχμής (M3/S)	367.54
Χρονική στιγμή αιχμής	02Sep2000, 09:45
Όγκος (MM)	70.45

Απορροή



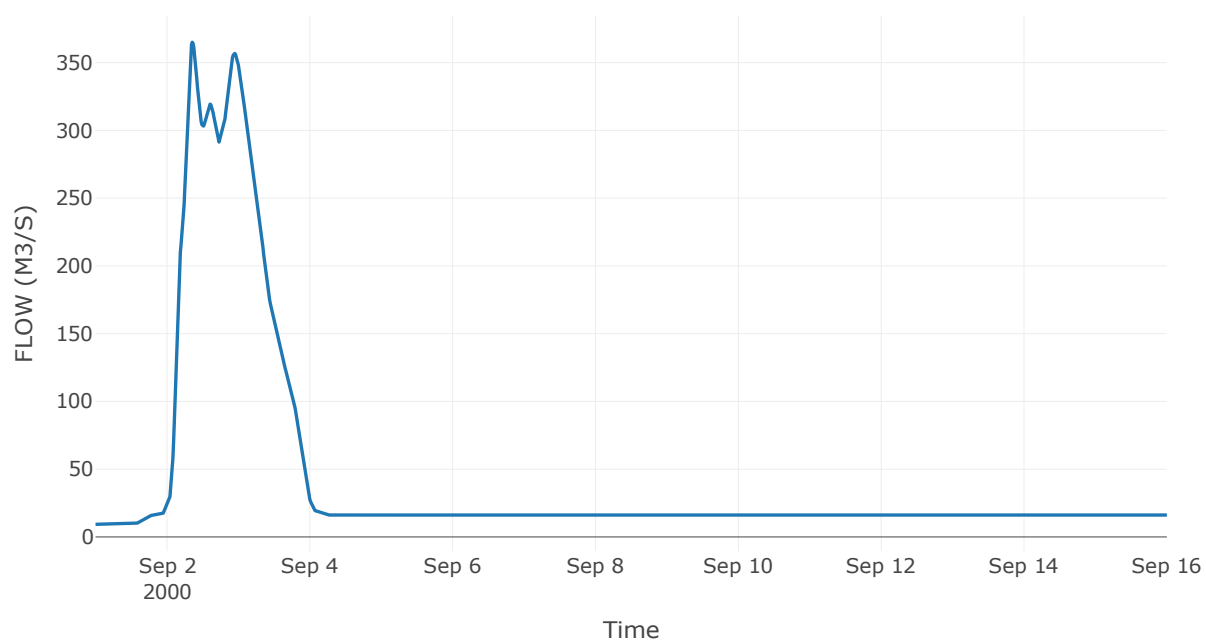
Κόμβος: J2

Κατάντη : R21

Αποτελέσματα: J2

Παροχή Αιχμής(M3/S)	365.07
Χρονική στιγμή αιχμής	02Sep2000, 08:30
Όγκος(MM)	70.1

Απορροή



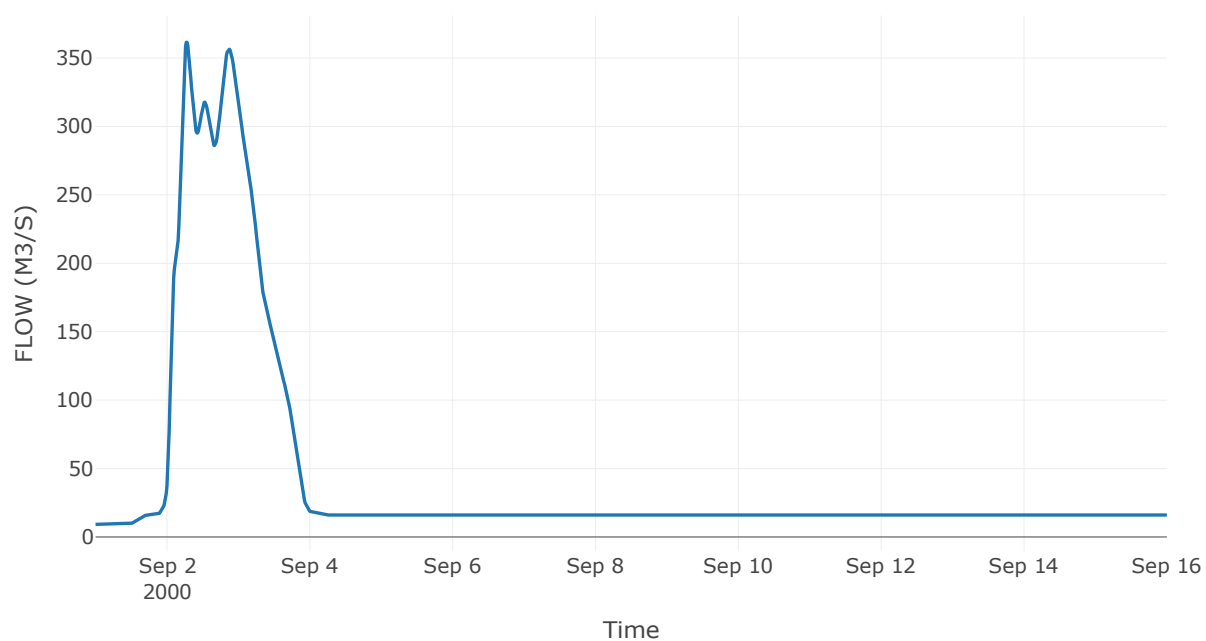
Κόμβος: J3

Κατάντη : R32

Αποτελέσματα: J3

Παροχή Αιχμής(M3/S)	361.5
Χρονική στιγμή αιχμής	02Sep2000, 06:45
Όγκος(MM)	69.77

Απορροή



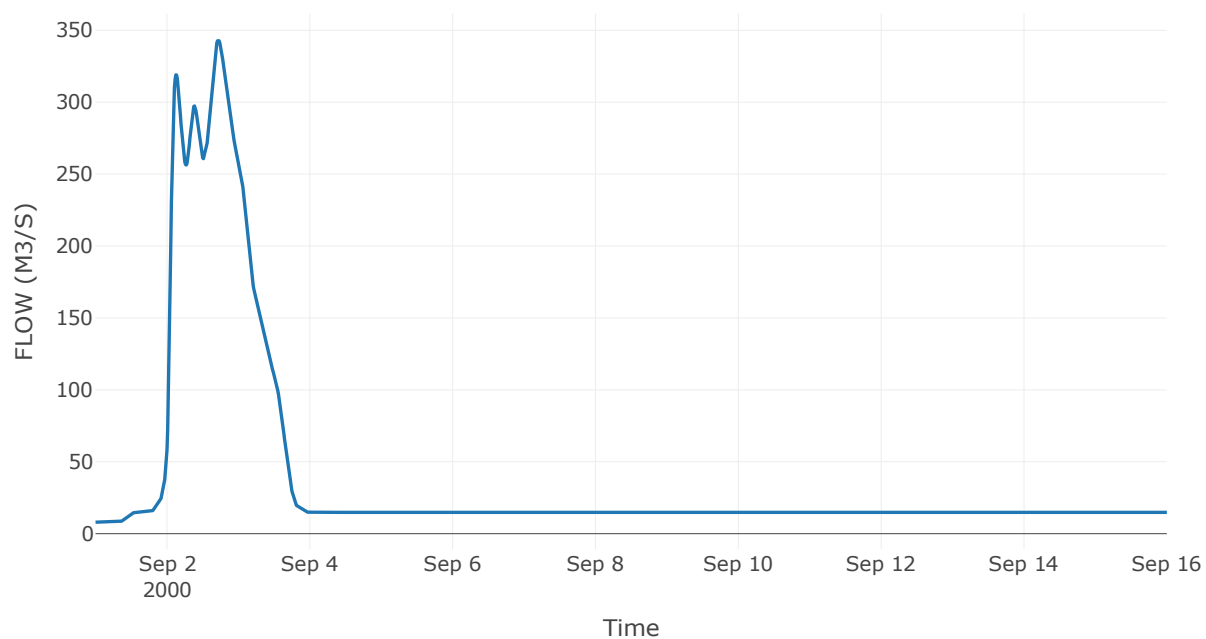
Κόμβος: J4

Κατάντη : R43

Αποτελέσματα: J4

Παροχή Αιχμής(M3/S)	343.15
Χρονική στιγμή αιχμής	02Sep2000, 17:15
Όγκος(MM)	67.95

Απορροή



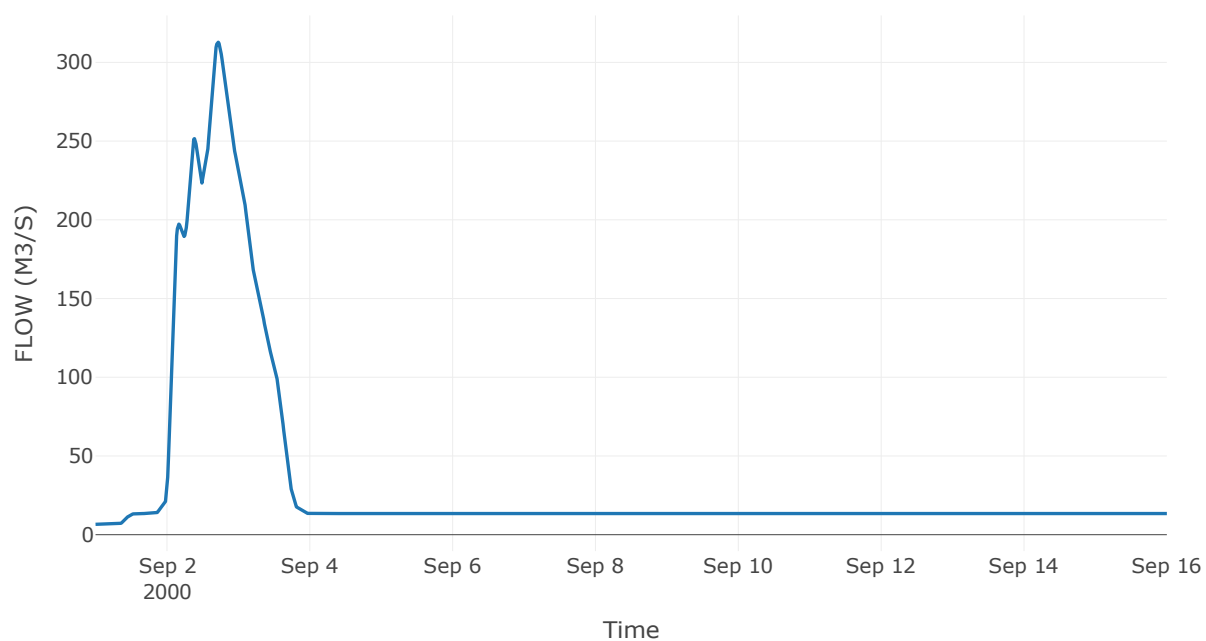
Κόμβος: J5

Κατάντη : R54

Αποτελέσματα: J5

Παροχή Αιχμής(M3/S)	312.81
Χρονική στιγμή αιχμής	02Sep2000, 17:15
Όγκος(MM)	65.01

Απορροή





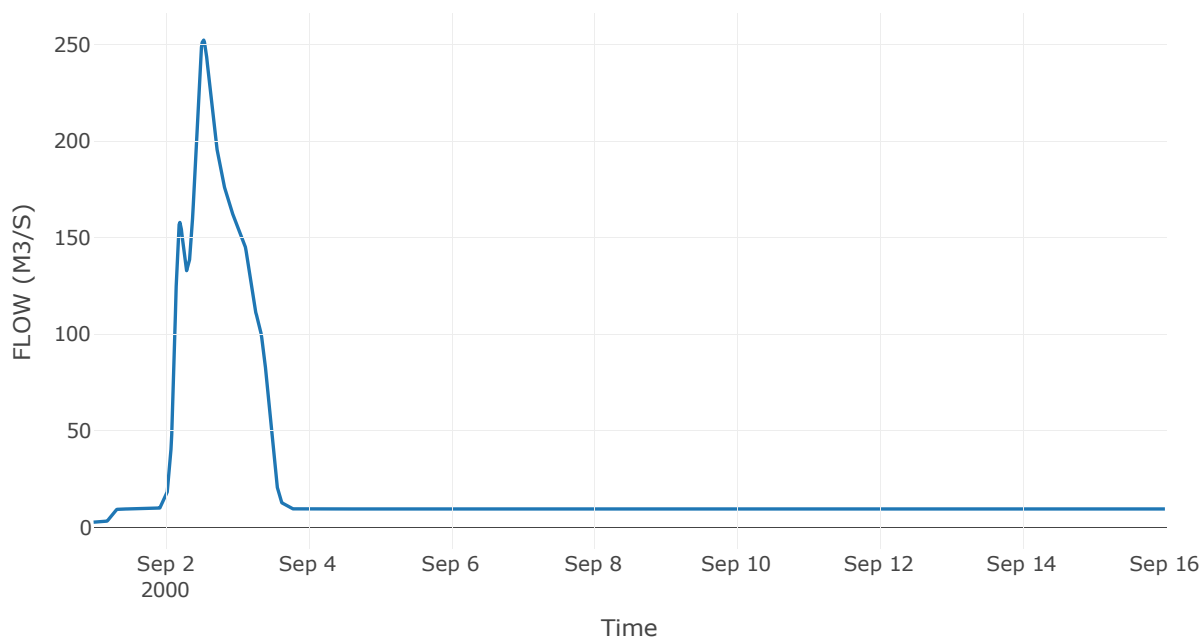
Κόμβος: J6

Κατάντη : R65

Αποτελέσματα: J6

Παροχή Αιχμής(M3/S)	252.3
Χρονική στιγμή αιχμής	02Sep2000, 13:00
Όγκος(MM)	63.37

Απορροή



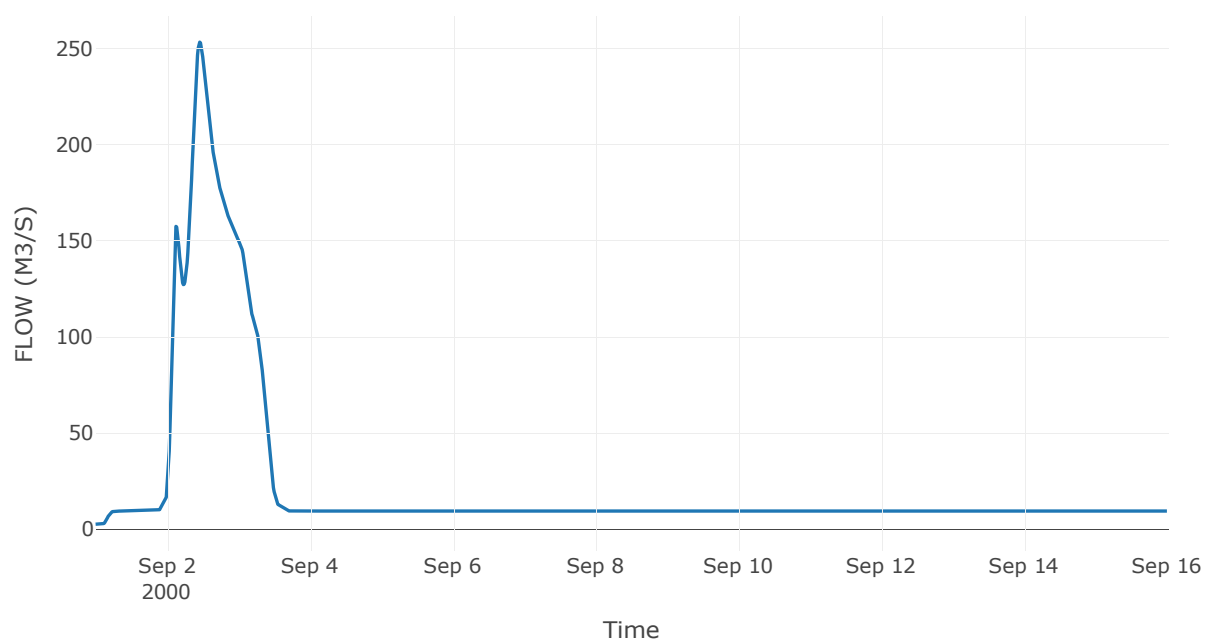
Κόμβος: J7

Κατάντη : R76

Αποτελέσματα: J7

Παροχή Αιχμής(M3/S)	253.51
Χρονική στιγμή αιχμής	02Sep2000, 11:00
Όγκος(MM)	63.18

Απορροή



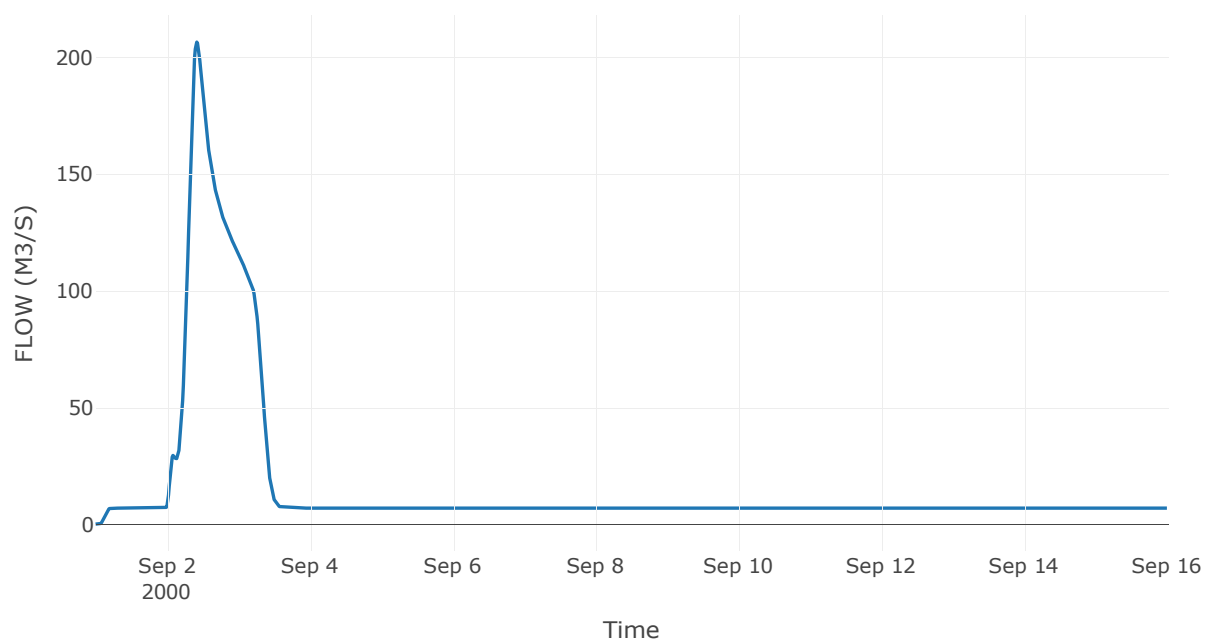
Κόμβος: J8

Κατάντη : R87

Αποτελέσματα: J8

Παροχή Αιχμής(M3/S)	206.53
Χρονική στιγμή αιχμής	02Sep2000, 10:00
Όγκος(MM)	60.94

Απορροή



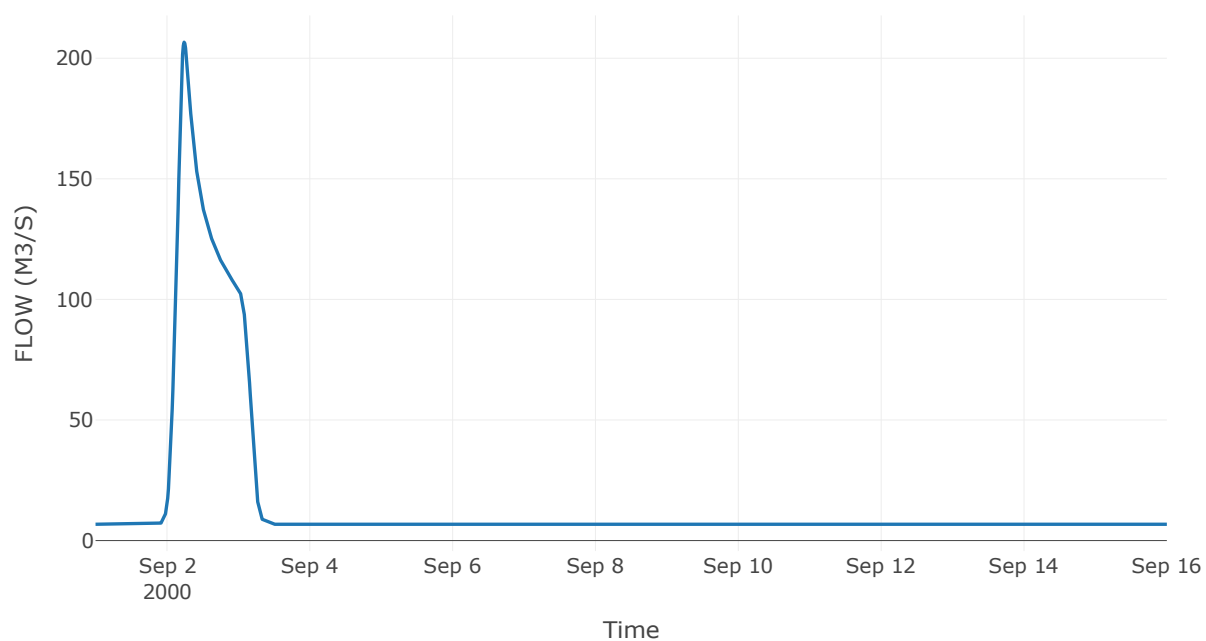
Κόμβος: J9

Κατάντη : R921

Αποτελέσματα: J9

Παροχή Αιχμής(M3/S)	206.66
Χρονική στιγμή αιχμής	02Sep2000, 05:45
Όγκος(MM)	61.42

Απορροή



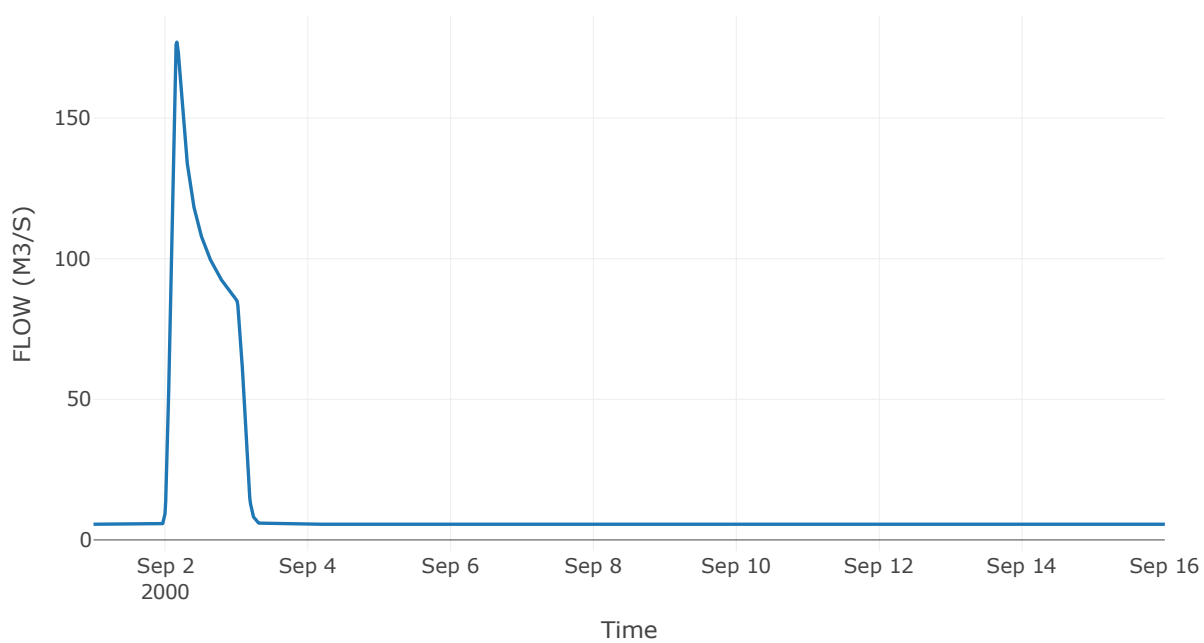
Κόμβος: J10

Κατάντη : R109

Αποτελέσματα: J10

Παροχή Αιχμής(M3/S)	177.01
Χρονική στιγμή αιχμής	02Sep2000, 04:00
Όγκος(MM)	60.74

Απορροή



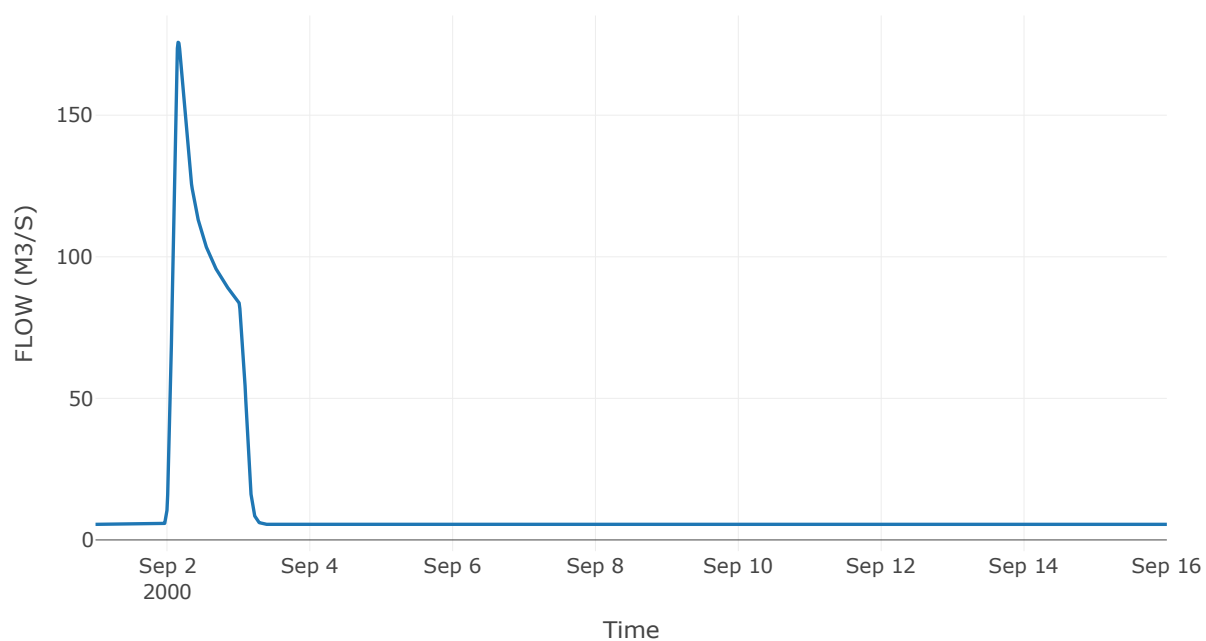
Κόμβος: J11

Κατάντη : R1110

Αποτελέσματα: J11

Παροχή Αιχμής(M3/S)	175.76
Χρονική στιγμή αιχμής	02Sep2000, 03:45
Όγκος(MM)	60.91

Απορροή



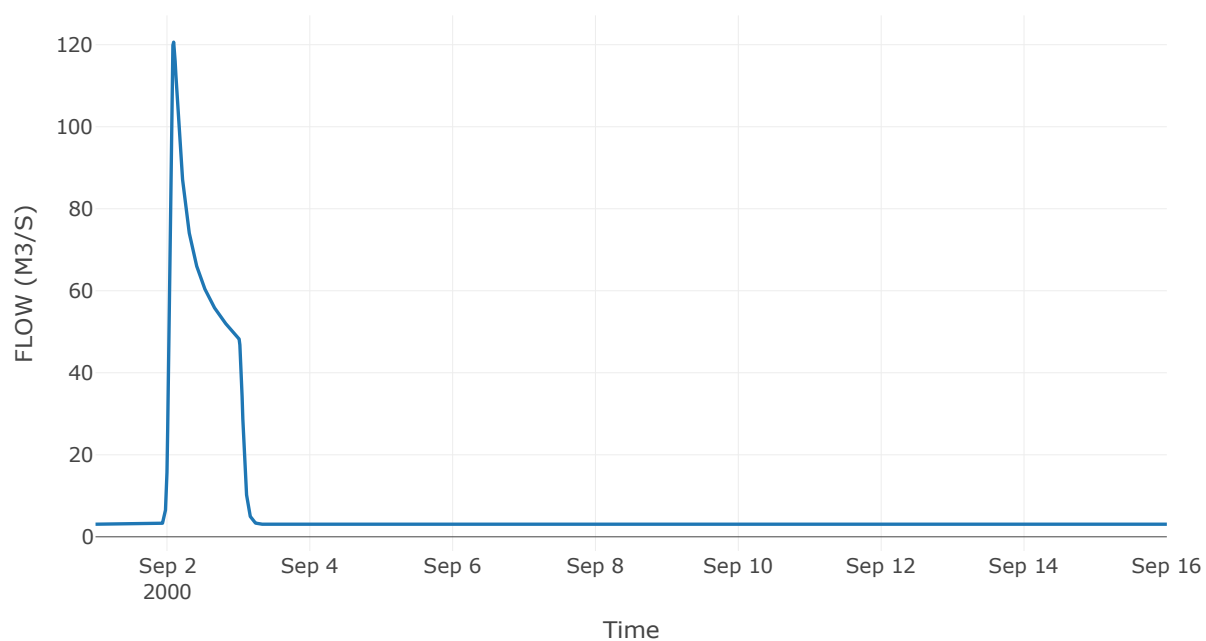
Κόμβος: J12

Κατάντη : R1211

Αποτελέσματα: J12

Παροχή Αιχμής(M3/S)	120.63
Χρονική στιγμή αιχμής	02Sep2000, 02:15
Όγκος(MM)	64.31

Απορροή



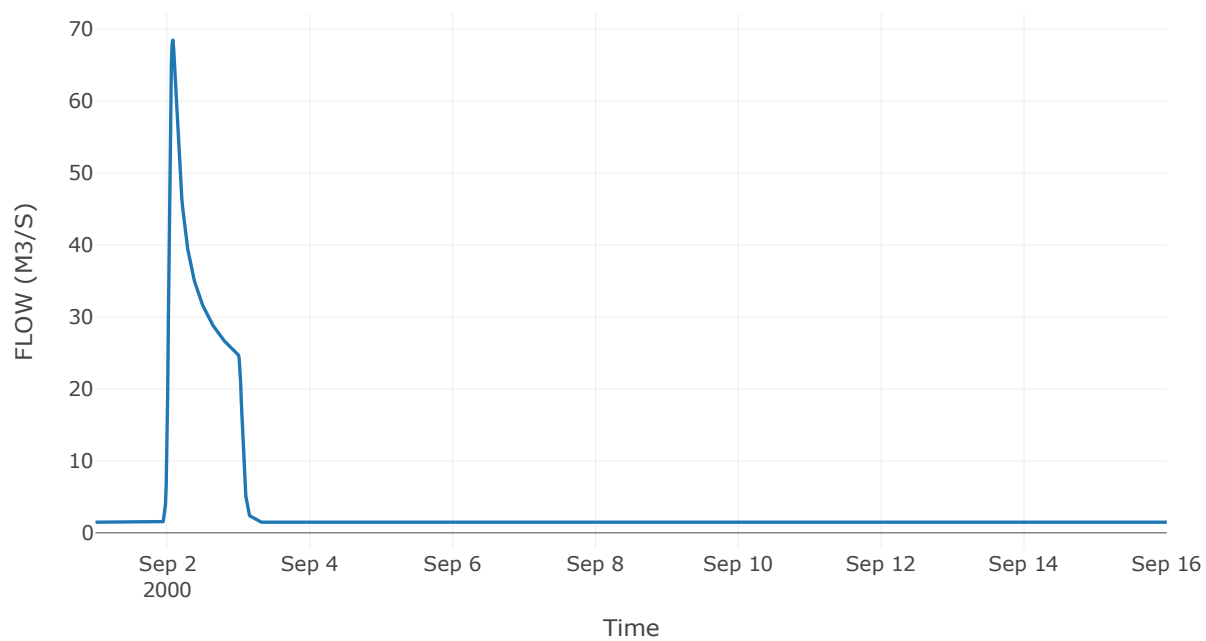
Κόμβος: J13

Κατάντη : R1312

Αποτελέσματα: J13

Παροχή Αιχμής(M3/S)	68.47
Χρονική στιγμή αιχμής	02Sep2000, 02:00
Όγκος(MM)	67.75

Απορροή





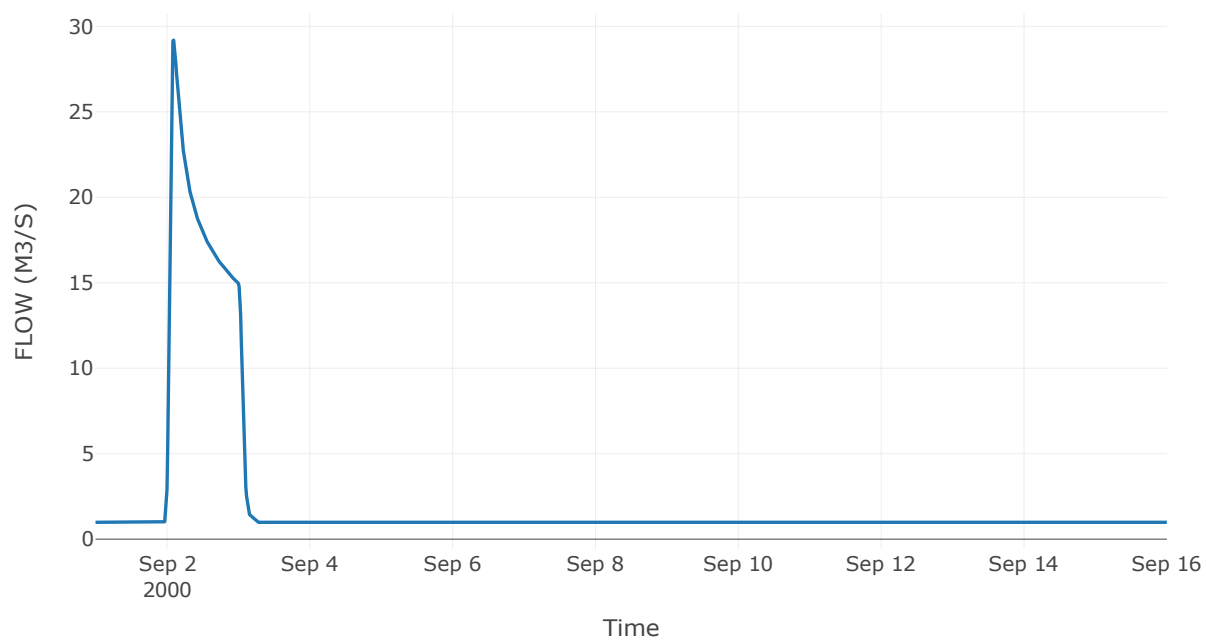
Κόμβος: J14

Κατάντη : R147

Αποτελέσματα: J14

Παροχή Αιχμής(M3/S)	29.19
Χρονική στιγμή αιχμής	02Sep2000, 02:15
Όγκος(MM)	58.76

Απορροή



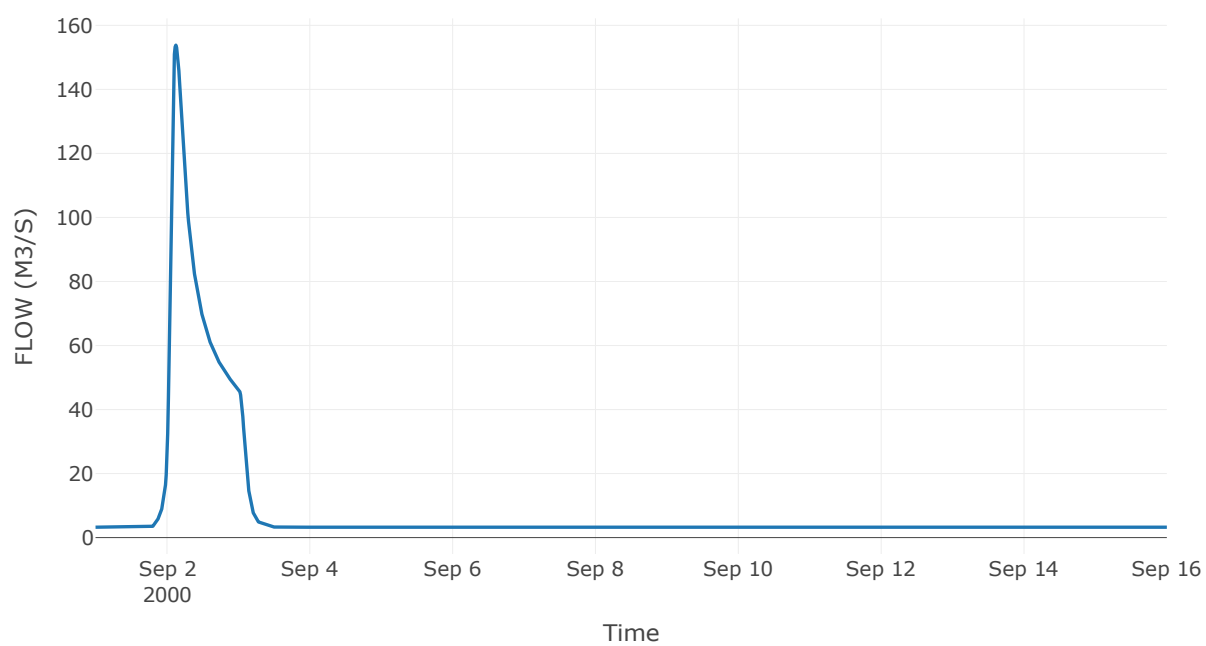
Κόμβος: J15

Κατάντη : R155

Αποτελέσματα: J15

Παροχή Αιχμής(M3/S)	153.83
Χρονική στιγμή αιχμής	02Sep2000, 03:00
Όγκος(MM)	69.59

Απορροή



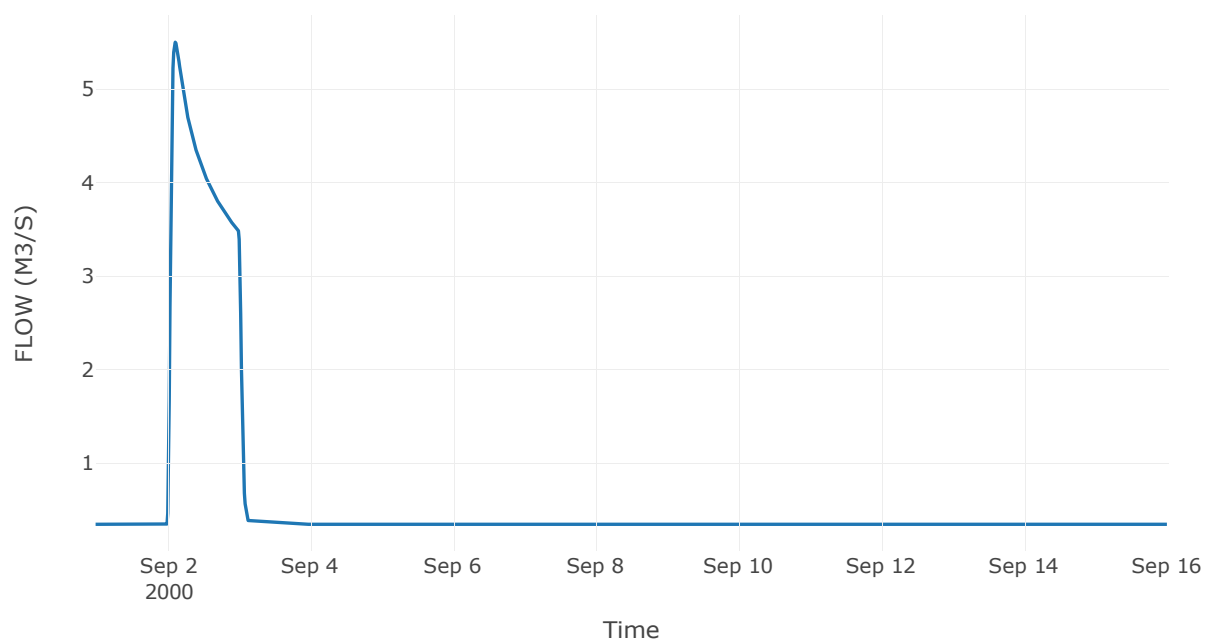
Κόμβος: J16

Κατάντη : R1615

Αποτελέσματα: J16

Παροχή Αιχμής(M3/S)	5.5
Χρονική στιγμή αιχμής	02Sep2000, 02:45
Όγκος(MM)	45.35

Απορροή



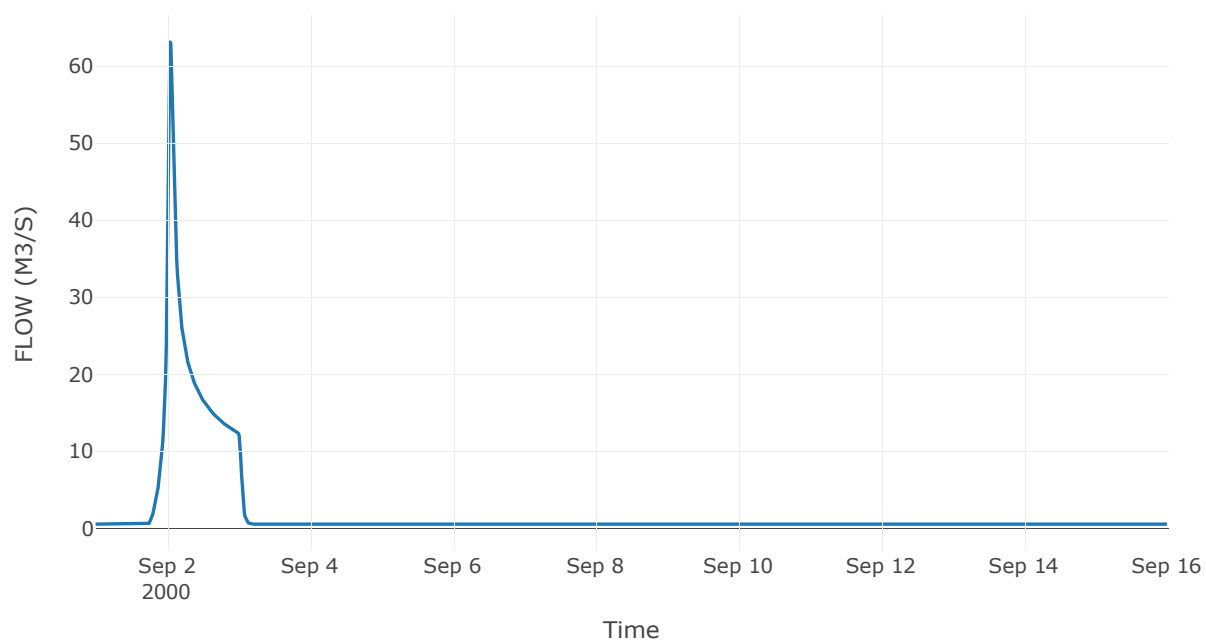
Κόμβος: J17

Κατάντη : R1715

Αποτελέσματα: J17

Παροχή Αιχμής(M3/S)	63.12
Χρονική στιγμή αιχμής	02Sep2000, 01:00
Όγκος(MM)	103.68

Απορροή



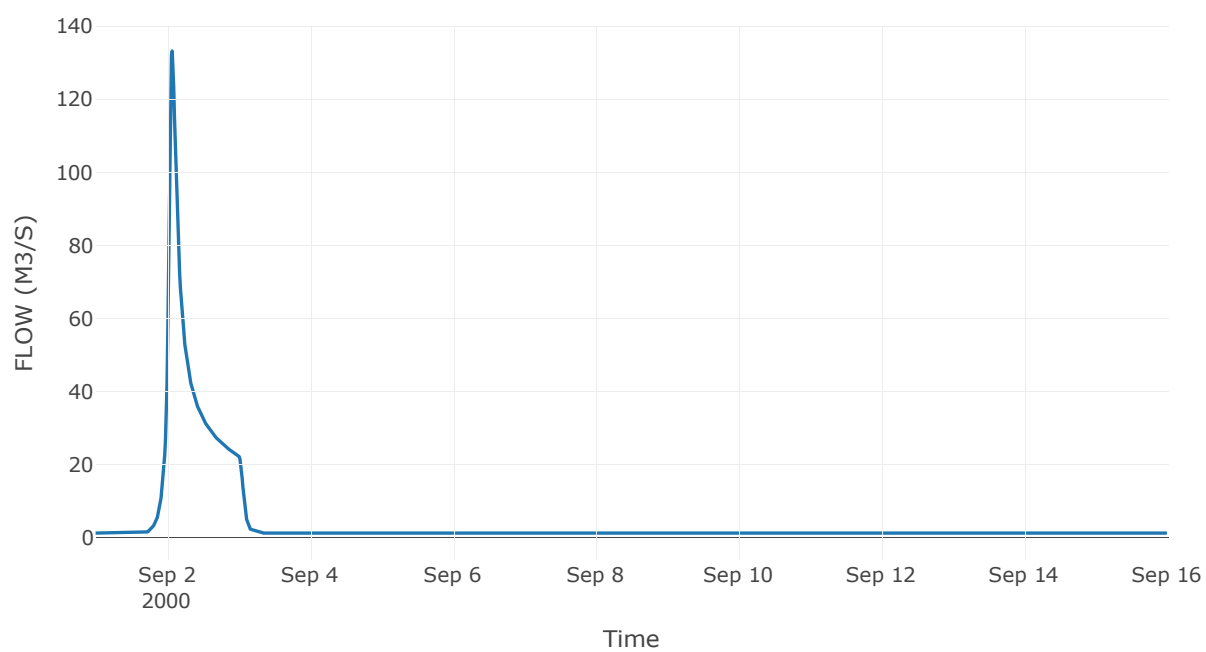
Κόμβος: J18

Κατάντη : R184

Αποτελέσματα: J18

Παροχή Αιχμής(M3/S)	133.18
Χρονική στιγμή αιχμής	02Sep2000, 01:45
Όγκος(MM)	94.37

Απορροή



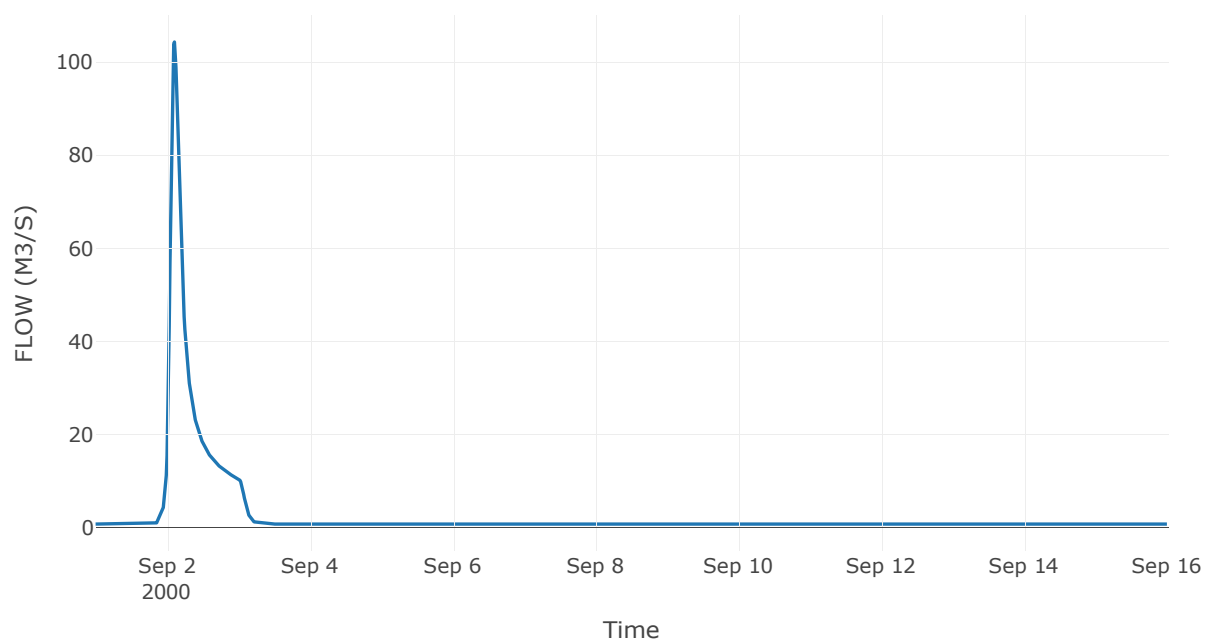
Κόμβος: J19

Κατάντη : R193

Αποτελέσματα: J19

Παροχή Αιχμής(M3/S)	104.27
Χρονική στιγμή αιχμής	02Sep2000, 02:30
Όγκος(MM)	93.27

Απορροή



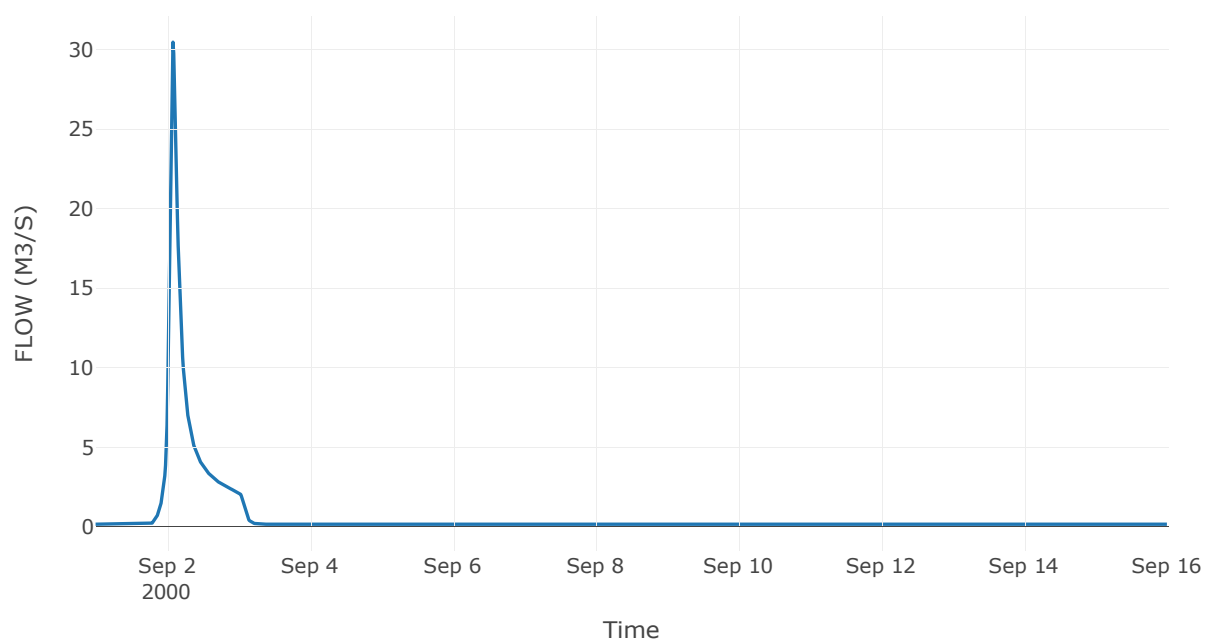
Κόμβος: J20

Κατάντη : R2019

Αποτελέσματα: J20

Παροχή Αιχμής(M3/S)	30.47
Χρονική στιγμή αιχμής	02Sep2000, 02:00
Όγκος(MM)	107.3

Απορροή



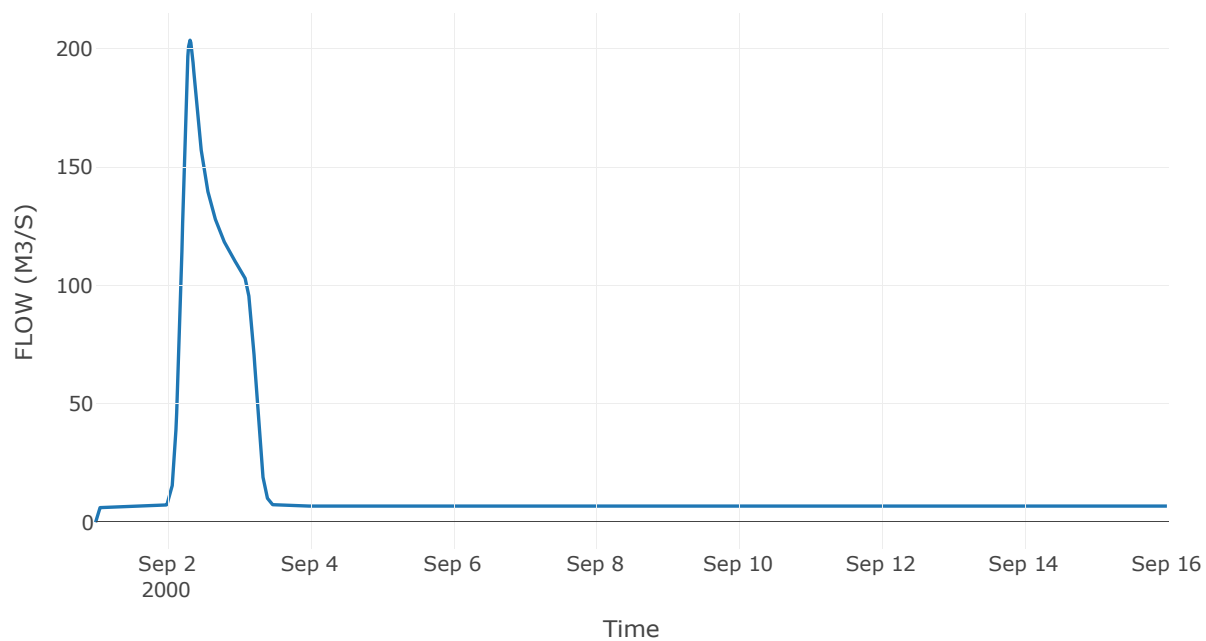
Ταμιευτήρας: J21\_RES1

Κατάντη : R218

Αποτελέσματα: J21\_RES1

Παροχή Αιχμής(M3/S)	203.56
Χρονική στιγμή αιχμής	02Sep2000, 07:45
Όγκος(MM)	61.08
Παροχή Αιχμής Εισόδου (M3/S)	204.13
Χρονική Στιγμή Αιχμής της Εισροής	02Sep2000, 07:30
Όγκος Εισροής (M3)	2.09E7
Μέγιστη Αποθηκευτικότητα(M3)	1.26E6
Μέγιστη Στάθμη (M)	97.24
Όγκος Απορροής(M3)	2.09E7

Απορροή





## 4 Δεδομένα εισόδου και αποτελέσματα υδρολογικού σεναρίου T=50U

## 4.1 Αποτελέσματα, υετογραφήματα και υδρογραφήματα σχεδιασμού υπολεκανών

Υπολεκάνη: EL0513FR5001

Έκταση (KM2) : 9.83

Κατάνη : J1

Μέθοδος Απωλειών: SCS

Ποσοστό αδιαπέρατης επιφάνειας	0
Αριθμός Καμπύλης Απορροής-CN	91.34
Αρχικές Απώλειες	4.82

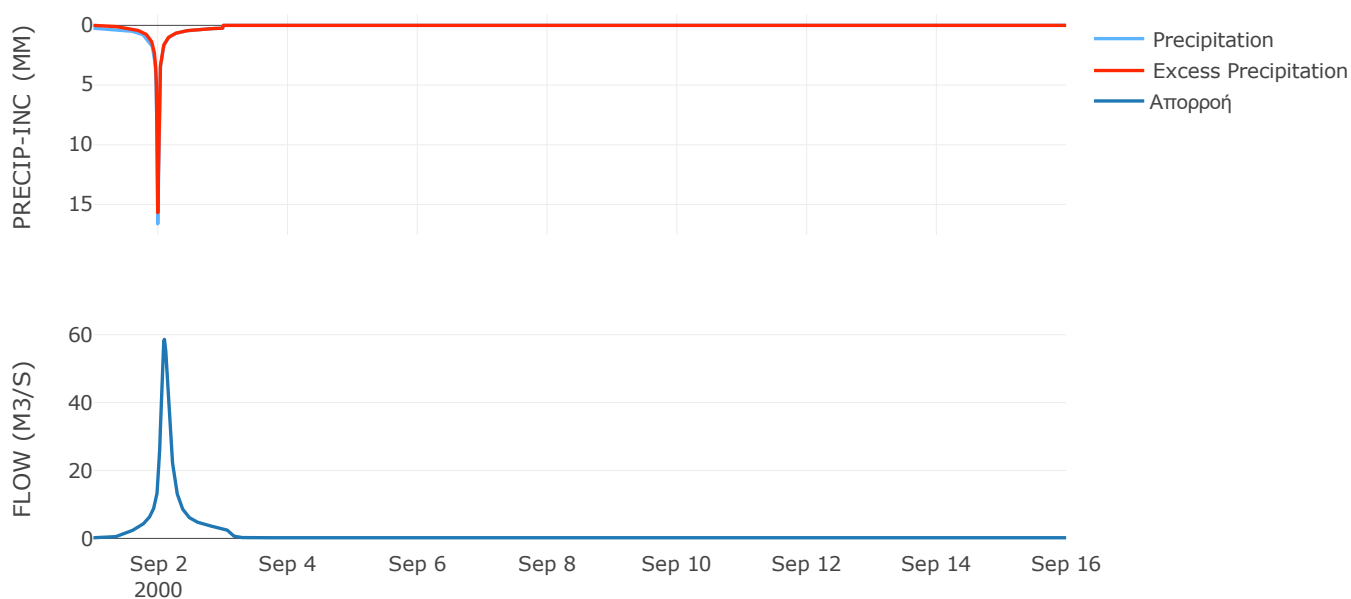
Μέθοδος  
Μετασχηματισμού: SCS

Χρόνος Υστέρησης	128.22
------------------	--------

Αποτελέσματα:  
EL0513FR5001

Παροχή αιχμής (M3/S)	58.62
Χρονική στιγμή αιχμής	02Sep2000, 02:15
Όγκος (MM)	172.02
Όγκος βροχόπτωσης (M3)	1.69E6
Όγκος απωλειών (M3)	2.54E5
Ενεργός Όγκος (M3)	1.44E6
Όγκος άμεσης απορροής (M3)	1.44E6
Όγκος βασικής απορροής (M3)	2.55E5

Βροχόπτωση και Απορροή



Υπολεκάνη: EL0513FR5002

Έκταση (KM2) : 6.79

Κατάνη : J2

Μέθοδος Απωλειών: SCS

Ποσοστό αδιαπέρατης επιφάνειας	0
Αριθμός Καμπύλης Απορροής-CN	92.38
Αρχικές Απώλειες	4.19

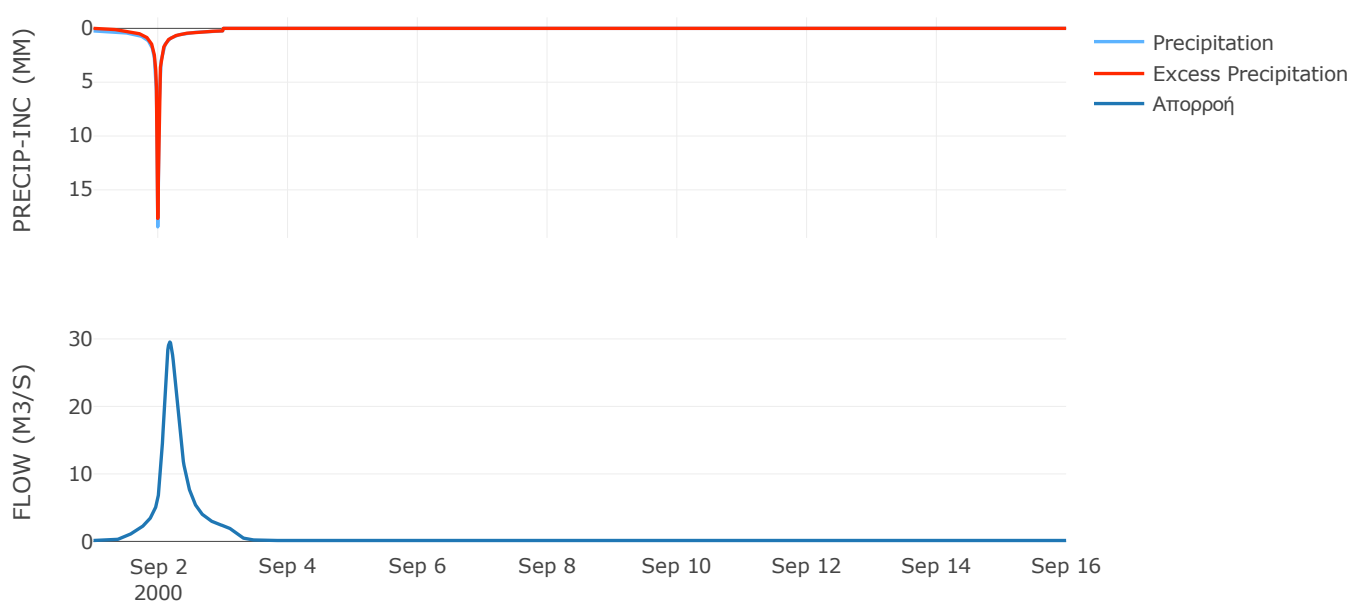
Μέθοδος  
Μετασχηματισμού: SCS

Χρόνος Υστέρησης	246.94
------------------	--------

Αποτελέσματα:  
EL0513FR5002

Παροχή αιχμής (M3/S)	29.54
Χρονική στιγμή αιχμής	02Sep2000, 04:15
Όγκος (MM)	182.58
Όγκος βροχόπτωσης (M3)	1.22E6
Όγκος απωλειών (M3)	1.55E5
Ενεργός Όγκος (M3)	1.06E6
Όγκος άμεσης απορροής (M3)	1.06E6
Όγκος βασικής απορροής (M3)	1.76E5

Βροχόπτωση και Απορροή



Υπολεκάνη: EL0513FR5003

Έκταση (KM2) : 2.79

Κατάντη : J3

Μέθοδος Απωλειών: SCS

Ποσοστό αδιαπέρατης επιφάνειας	0
Αριθμός Καμπύλης Απορροής-CN	90.97
Αρχικές Απώλειες	5.04

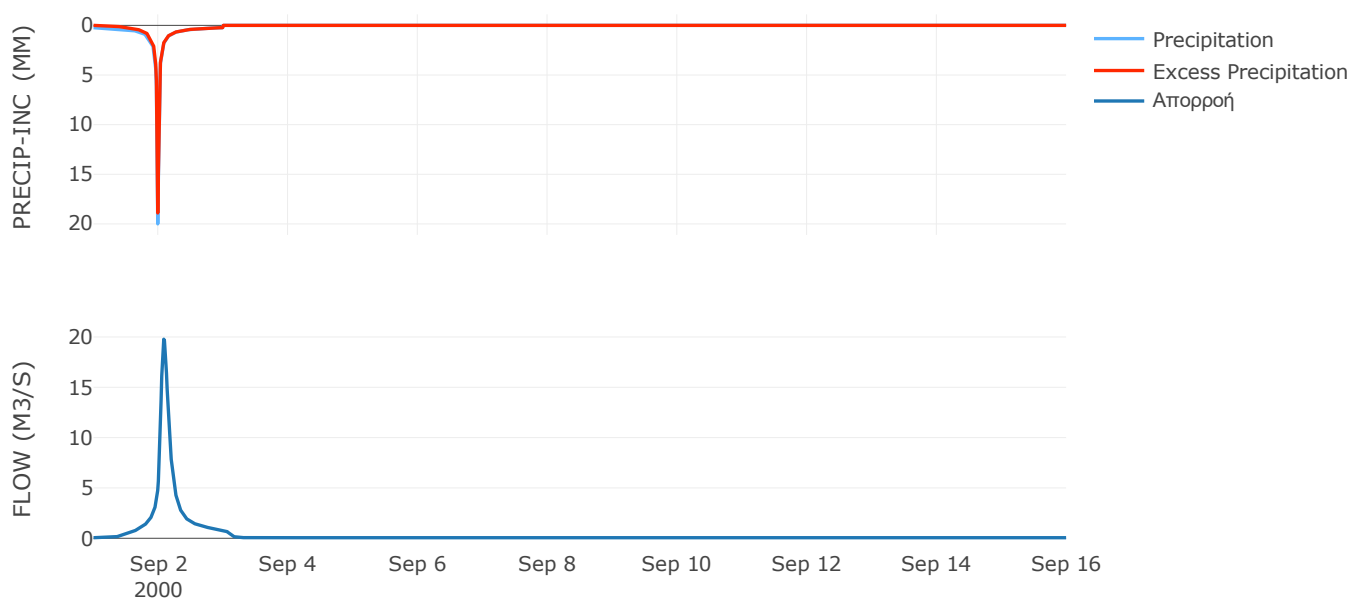
Μέθοδος  
Μετασχηματισμού: SCS

Χρόνος Υστέρησης	121.14
------------------	--------

Αποτελέσματα:  
EL0513FR5003

Παροχή αιχμής (M3/S)	19.78
Χρονική στιγμή αιχμής	02Sep2000, 02:00
Όγκος (MM)	183.51
Όγκος βροχόπτωσης (M3)	5.16E5
Όγκος απωλειών (M3)	75866.55
Ενεργός Όγκος (M3)	4.4E5
Όγκος άμεσης απορροής (M3)	4.4E5
Όγκος βασικής απορροής (M3)	72445.1

Βροχόπτωση και Απορροή



Υπολεκάνη: EL0513FR5004

Έκταση (KM2) : 17.16

Κατάντη : J3

Μέθοδος Απωλειών: SCS

Ποσοστό αδιαπέρατης επιφάνειας	0
Αριθμός Καμπύλης Απορροής-CN	85.53
Αρχικές Απώλειες	8.6

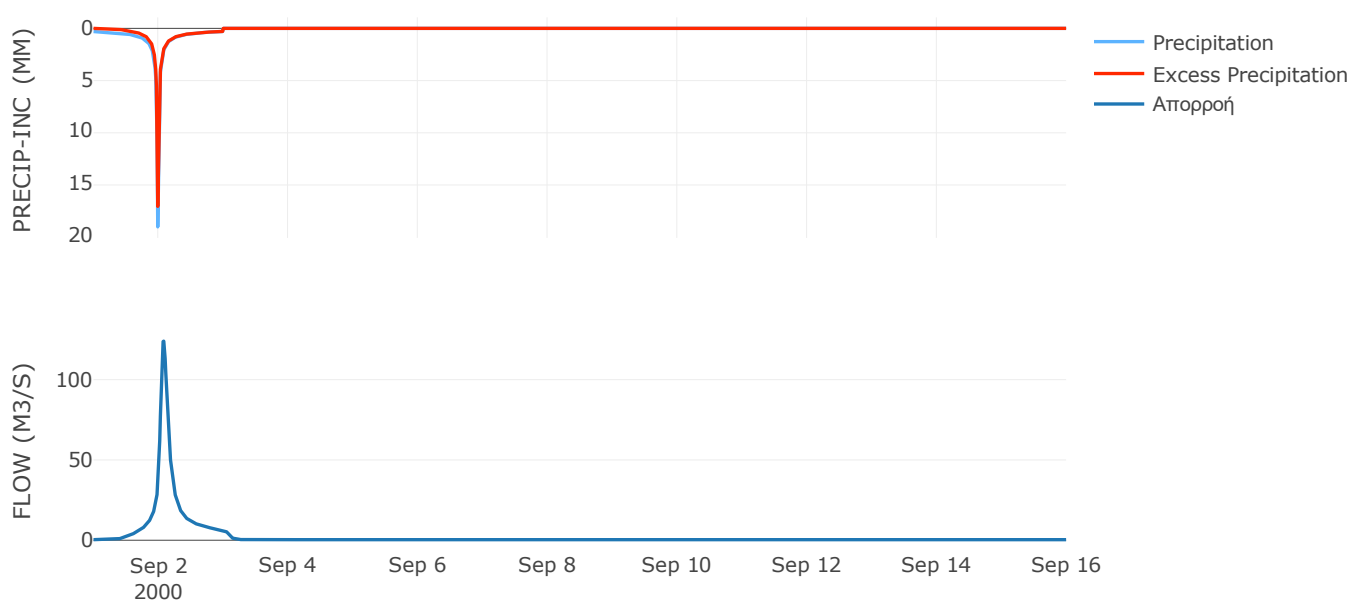
Μέθοδος  
Μετασχηματισμού: SCS

Χρόνος Υστέρησης	109.29
------------------	--------

Αποτελέσματα:  
EL0513FR5004

Παροχή αιχμής (M3/S)	123.95
Χρονική στιγμή αιχμής	02Sep2000, 02:00
Όγκος (MM)	190.55
Όγκος βροχόπτωσης (M3)	3.58E6
Όγκος απωλειών (M3)	7.55E5
Ενεργός Όγκος (M3)	2.83E6
Όγκος άμεσης απορροής (M3)	2.83E6
Όγκος βασικής απορροής (M3)	4.45E5

Βροχόπτωση και Απορροή



Υπολεκάνη: EL0513FR5005

Έκταση (KM2) : 3.13

Κατάντη : J4

Μέθοδος Απωλειών: SCS

Ποσοστό αδιαπέρατης επιφάνειας	0
Αριθμός Καμπύλης Απορροής-CN	90.3
Αρχικές Απώλειες	5.46

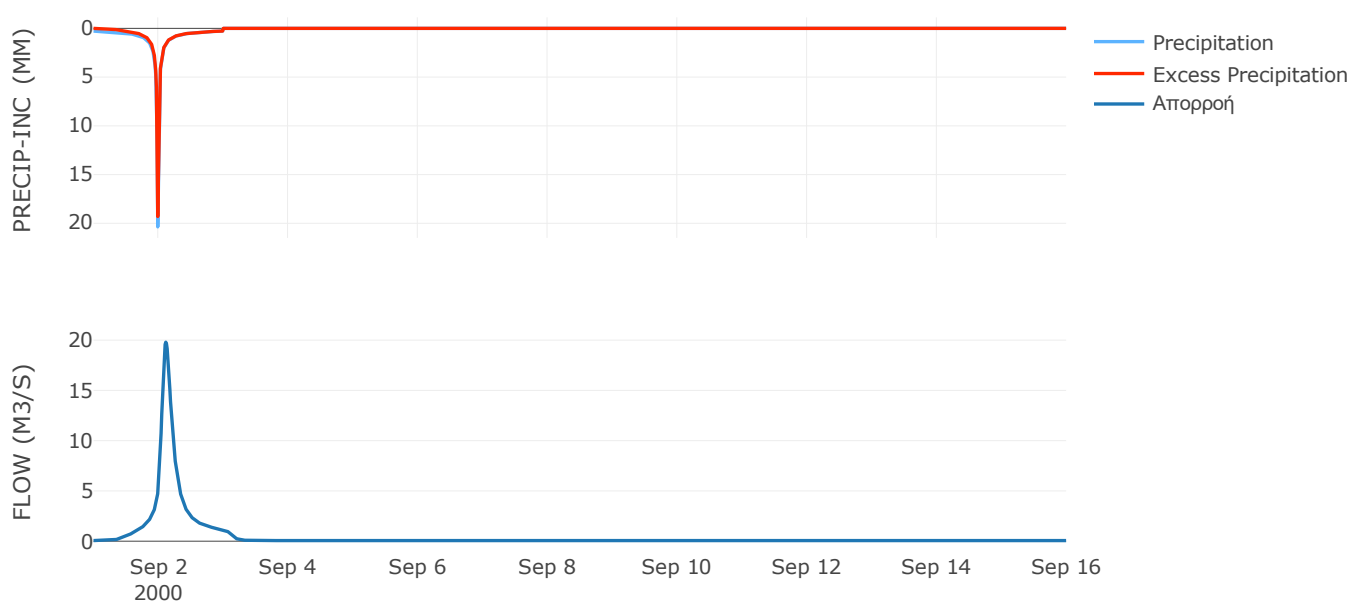
Μέθοδος  
Μετασχηματισμού: SCS

Χρόνος Υστέρησης	161.56
------------------	--------

Αποτελέσματα:  
EL0513FR5005

Παροχή αιχμής (M3/S)	19.8
Χρονική στιγμή αιχμής	02Sep2000, 02:45
Όγκος (MM)	202.16
Όγκος βροχόπτωσης (M3)	6.43E5
Όγκος απωλειών (M3)	92130.77
Ενεργός Όγκος (M3)	5.51E5
Όγκος άμεσης απορροής (M3)	5.51E5
Όγκος βασικής απορροής (M3)	81033.7

Βροχόπτωση και Απορροή



Υπολεκάνη: EL0513FR5006

Έκταση (KM2) : 19.6

Κατάντη : J5

Μέθοδος Απωλειών: SCS

Ποσοστό αδιαπέρατης επιφάνειας	0
Αριθμός Καμπύλης Απορροής-CN	83.16
Αρχικές Απώλειες	10.29

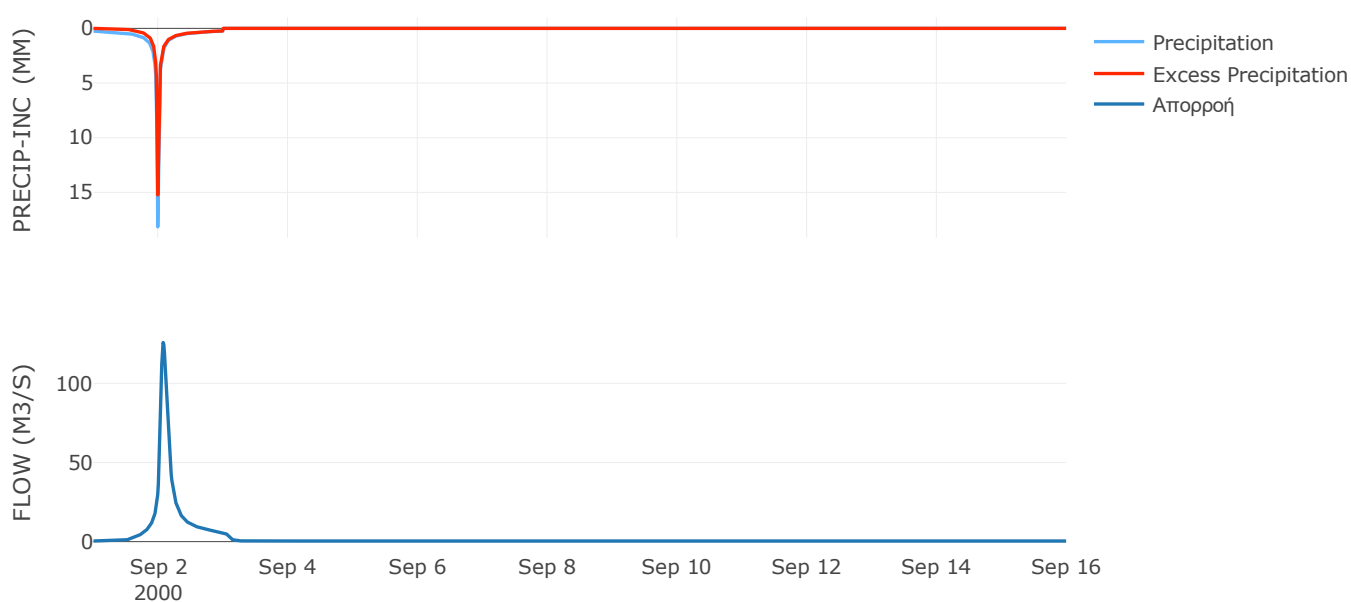
Μέθοδος  
Μετασχηματισμού: SCS

Χρόνος Υστέρησης	104.41
------------------	--------

Αποτελέσματα:  
EL0513FR5006

Παροχή αιχμής (M3/S)	125.78
Χρονική στιγμή αιχμής	02Sep2000, 01:45
Όγκος (MM)	159.5
Όγκος βροχόπτωσης (M3)	3.6E6
Όγκος απωλειών (M3)	9.79E5
Ενεργός Όγκος (M3)	2.62E6
Όγκος άμεσης απορροής (M3)	2.62E6
Όγκος βασικής απορροής (M3)	5.08E5

Βροχόπτωση και Απορροή





Υπολεκάνη: EL0513FR5007

Έκταση (KM2) : 4.2

Κατάντη : J6

Μέθοδος Απωλειών: SCS

Ποσοστό αδιαπέρατης επιφάνειας	0
Αριθμός Καμπύλης Απορροής-CN	89.68
Αρχικές Απώλειες	5.85

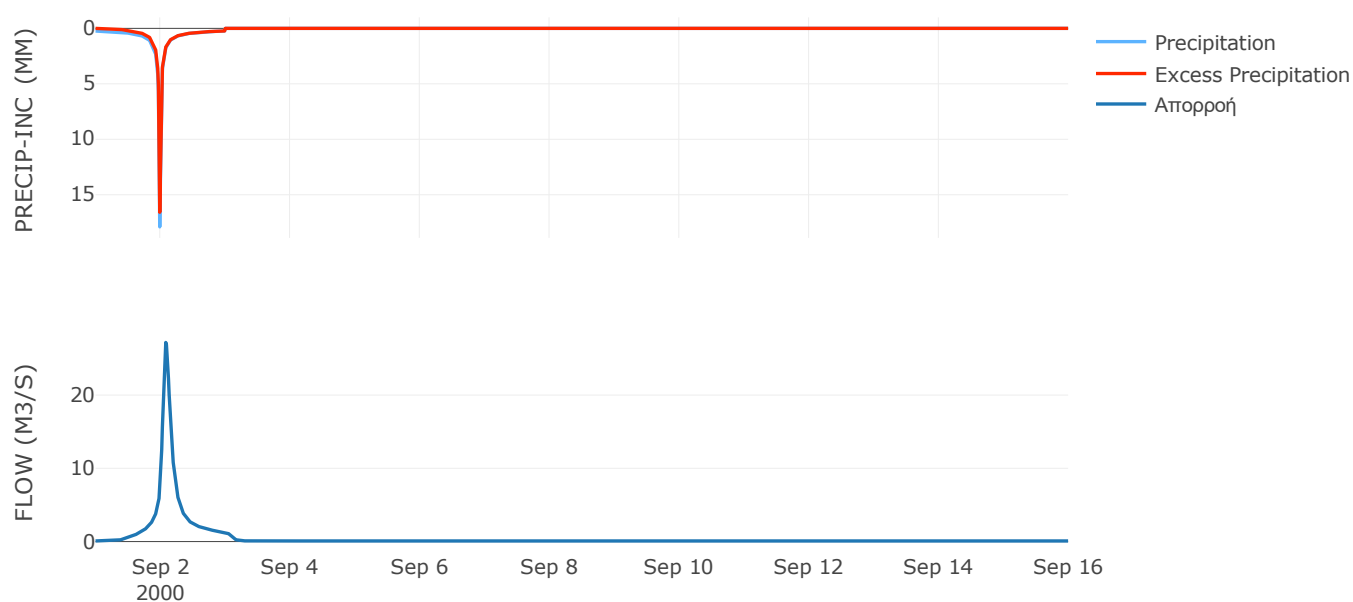
Μέθοδος  
Μετασχηματισμού: SCS

Χρόνος Υστέρησης	118.79
------------------	--------

Αποτελέσματα:  
EL0513FR5007

Παροχή αιχμής (M3/S)	27.18
Χρονική στιγμή αιχμής	02Sep2000, 02:00
Όγκος (MM)	173.07
Όγκος βροχόπτωσης (M3)	7.47E5
Όγκος απωλειών (M3)	1.29E5
Ενεργός Όγκος (M3)	6.18E5
Όγκος άμεσης απορροής (M3)	6.18E5
Όγκος βασικής απορροής (M3)	1.09E5

Βροχόπτωση και Απορροή



Υπολεκάνη: EL0513FR5008

Έκταση (KM2) : 11.23

Κατάντη : J7

Μέθοδος Απωλειών: SCS

Ποσοστό αδιαπέρατης επιφάνειας	0
Αριθμός Καμπύλης Απορροής-CN	89.19
Αρχικές Απώλειες	6.16

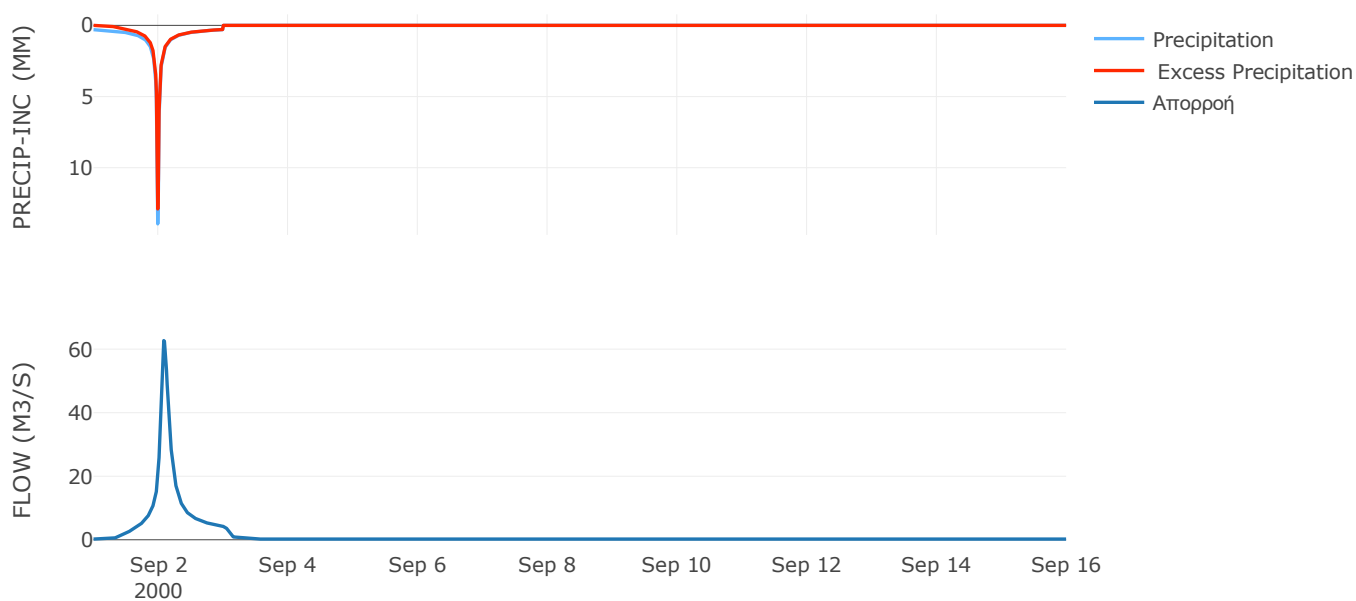
Μέθοδος  
Μετασχηματισμού: SCS

Χρόνος Υστέρησης	120.86
------------------	--------

Αποτελέσματα:  
EL0513FR5008

Παροχή αιχμής (M3/S)	62.71
Χρονική στιγμή αιχμής	02Sep2000, 02:00
Όγκος (MM)	176.14
Όγκος βροχόπτωσης (M3)	2.05E6
Όγκος απωλειών (M3)	3.63E5
Ενεργός Όγκος (M3)	1.69E6
Όγκος άμεσης απορροής (M3)	1.69E6
Όγκος βασικής απορροής (M3)	2.91E5

Βροχόπτωση και Απορροή



Υπολεκάνη: EL0513FR5009

Έκταση (KM2) : 19.12

Κατάντη : J8

Μέθοδος Απωλειών: SCS

Ποσοστό αδιαπέρατης επιφάνειας	0
Αριθμός Καμπύλης Απορροής-CN	79.41
Αρχικές Απώλειες	13.18

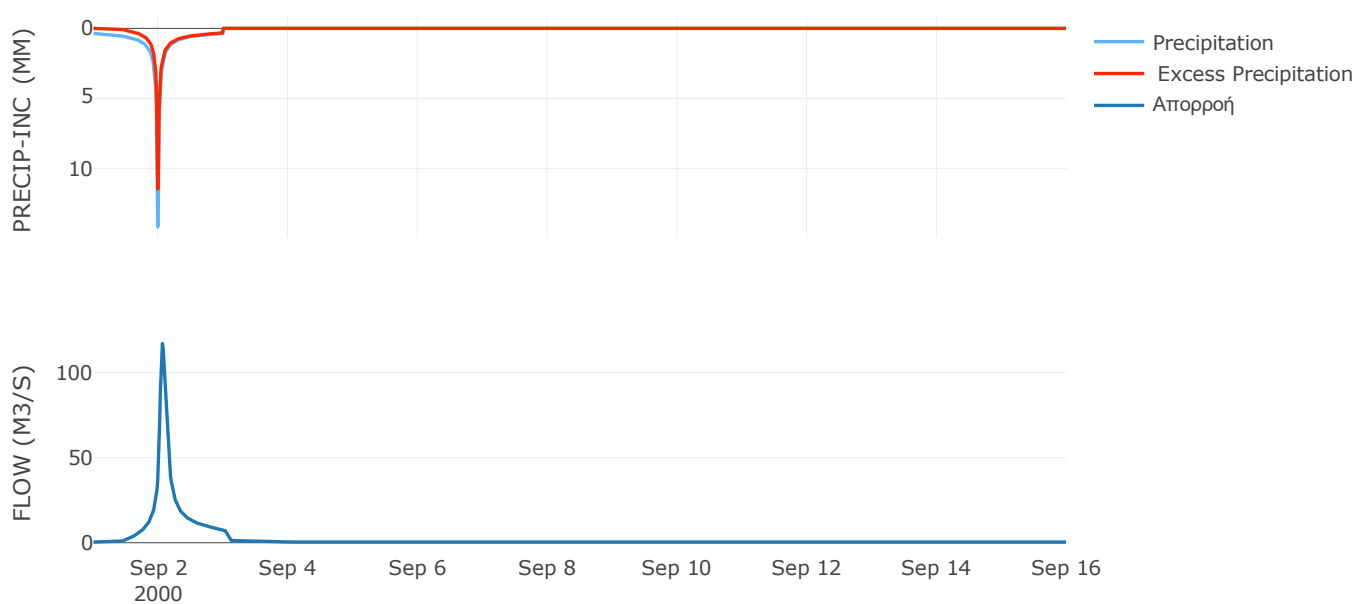
Μέθοδος  
Μετασχηματισμού: SCS

Χρόνος Υστέρησης	85.65
------------------	-------

Αποτελέσματα:  
EL0513FR5009

Παροχή αιχμής (M3/S)	117.01
Χρονική στιγμή αιχμής	02Sep2000, 01:30
Όγκος (MM)	167.73
Όγκος βροχόπτωσης (M3)	3.9E6
Όγκος απωλειών (M3)	1.19E6
Ενεργός Όγκος (M3)	2.71E6
Όγκος άμεσης απορροής (M3)	2.71E6
Όγκος βασικής απορροής (M3)	4.96E5

Βροχόπτωση και Απορροή



Υπολεκάνη: EL0513FR5010

Έκταση (KM2) : 36.47

Κατάντη : J9

Μέθοδος Απωλειών: SCS

Ποσοστό αδιαπέρατης επιφάνειας	0
Αριθμός Καμπύλης Απορροής-CN	80.16
Αρχικές Απώλειες	12.57

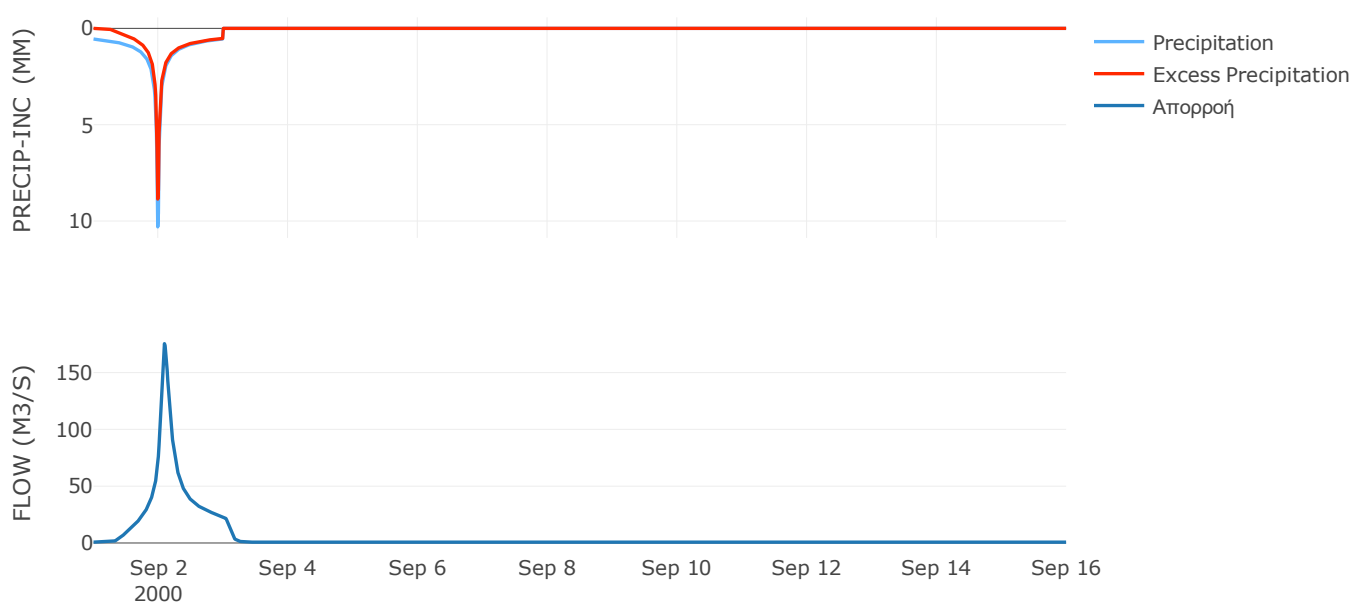
Μέθοδος  
Μετασχηματισμού: SCS

Χρόνος Υστέρησης	126.01
------------------	--------

Αποτελέσματα:  
EL0513FR5010

Παροχή αιχμής (M3/S)	175.48
Χρονική στιγμή αιχμής	02Sep2000, 02:15
Όγκος (MM)	205.3
Όγκος βροχόπτωσης (M3)	8.8E6
Όγκος απωλειών (M3)	2.26E6
Ενεργός Όγκος (M3)	6.54E6
Όγκος άμεσης απορροής (M3)	6.54E6
Όγκος βασικής απορροής (M3)	9.45E5

Βροχόπτωση και Απορροή



Υπολεκάνη: EL0513FR5011

Έκταση (KM2) : 4.02

Κατάντη : J10

Μέθοδος Απωλειών: SCS

Ποσοστό αδιαπέρατης επιφάνειας	0
Αριθμός Καμπύλης Απορροής-CN	70.02
Αρχικές Απώλειες	21.75

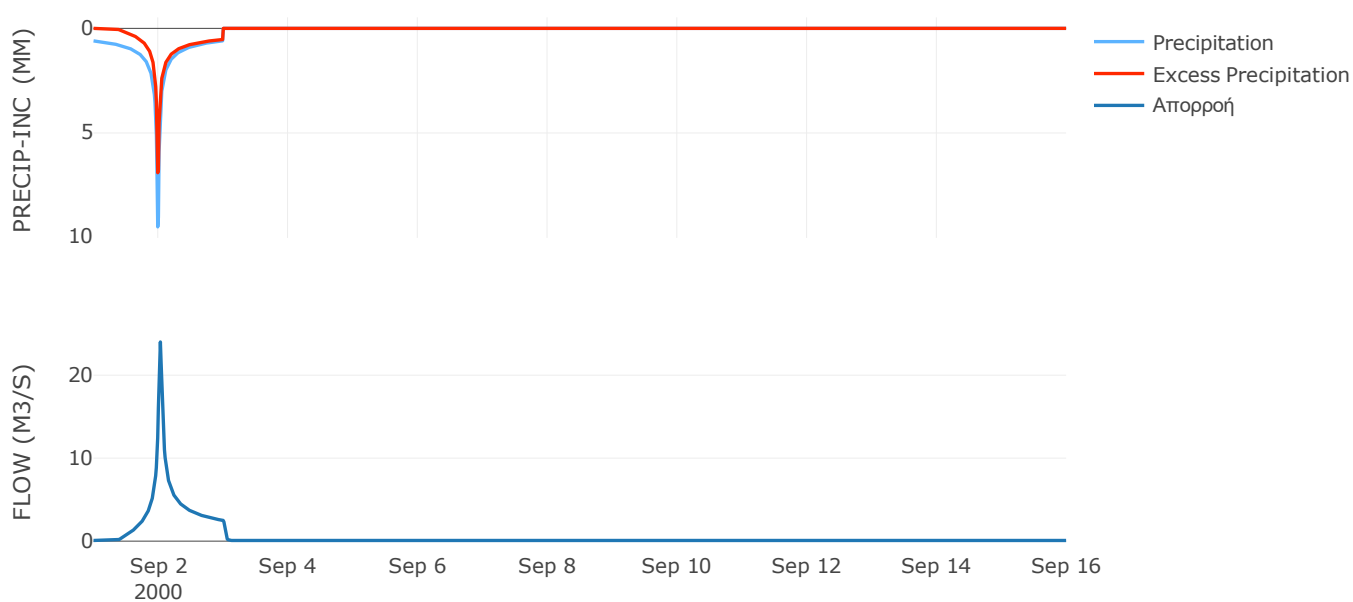
Μέθοδος  
Μετασχηματισμού: SCS

Χρόνος Υστέρησης	34.59
------------------	-------

Αποτελέσματα:  
EL0513FR5011

Παροχή αιχμής (M3/S)	24
Χρονική στιγμή αιχμής	02Sep2000, 00:45
Όγκος (MM)	178.68
Όγκος βροχόπτωσης (M3)	9.96E5
Όγκος απωλειών (M3)	3.82E5
Ενεργός Όγκος (M3)	6.13E5
Όγκος άμεσης απορροής (M3)	6.13E5
Όγκος βασικής απορροής (M3)	1.04E5

Βροχόπτωση και Απορροή



Υπολεκάνη: EL0513FR5012

Έκταση (KM2) : 74.49

Κατάνη : J11

Μέθοδος Απωλειών: SCS

Ποσοστό αδιαπέρατης επιφάνειας	0
Αριθμός Καμπύλης Απορροής-CN	72.02
Αρχικές Απώλειες	19.73

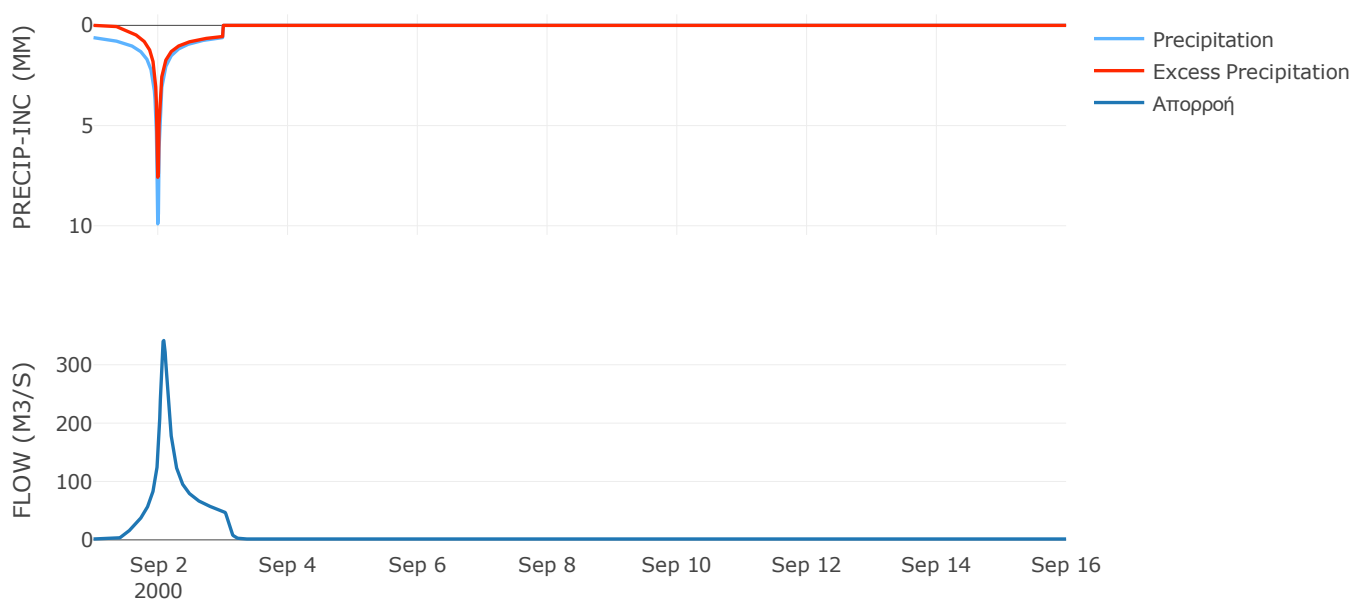
Μέθοδος  
Μετασχηματισμού: SCS

Χρόνος Υστέρησης	106.39
------------------	--------

Αποτελέσματα:  
EL0513FR5012

Παροχή αιχμής (M3/S)	341.53
Χρονική στιγμή αιχμής	02Sep2000, 02:00
Όγκος (MM)	191.86
Όγκος βροχόπτωσης (M3)	1.9E7
Όγκος απωλειών (M3)	6.65E6
Ενεργός Όγκος (M3)	1.24E7
Όγκος άμεσης απορροής (M3)	1.24E7
Όγκος βασικής απορροής (M3)	1.93E6

Βροχόπτωση και Απορροή



Υπολεκάνη: EL0513FR5013

Έκταση (KM2) : 8.72

Κατάντη : J12

Μέθοδος Απωλειών: SCS

Ποσοστό αδιαπέρατης επιφάνειας	0
Αριθμός Καμπύλης Απορροής-CN	77.74
Αρχικές Απώλειες	14.54

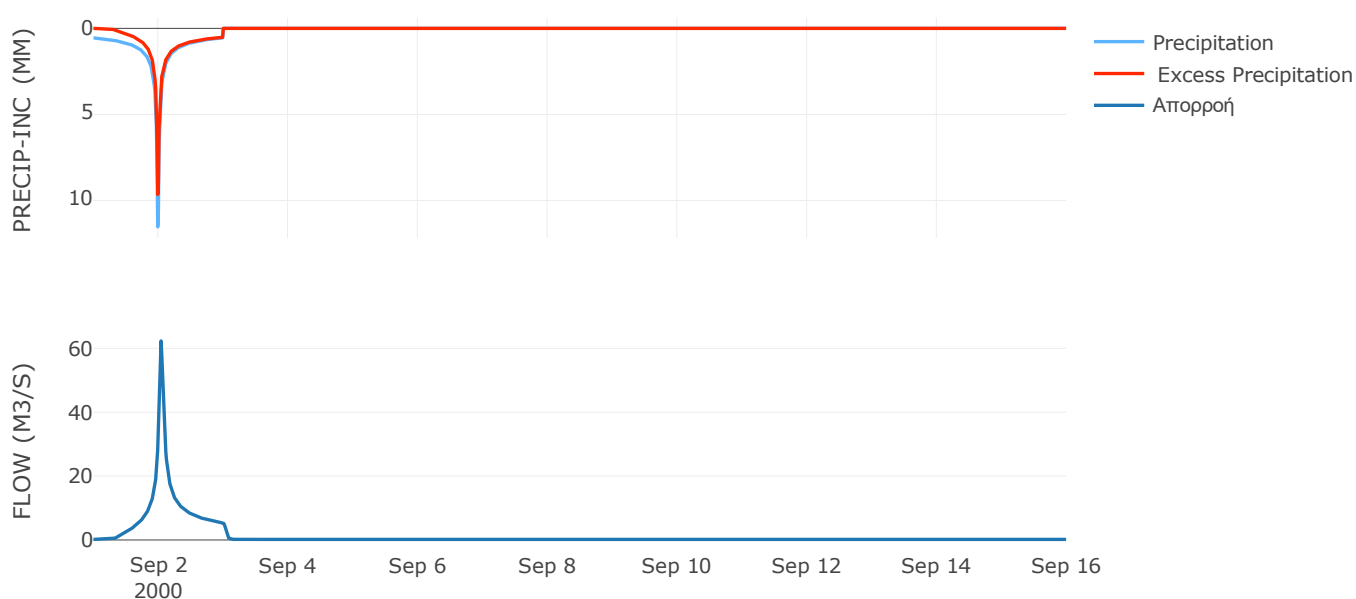
Μέθοδος  
Μετασχηματισμού: SCS

Χρόνος Υστέρησης	51.28
------------------	-------

Αποτελέσματα:  
EL0513FR5013

Παροχή αιχμής (M3/S)	62.33
Χρονική στιγμή αιχμής	02Sep2000, 01:00
Όγκος (MM)	205.74
Όγκος βροχόπτωσης (M3)	2.18E6
Όγκος απωλειών (M3)	6.11E5
Ενεργός Όγκος (M3)	1.57E6
Όγκος άμεσης απορροής (M3)	1.57E6
Όγκος βασικής απορροής (M3)	2.26E5

Βροχόπτωση και Απορροή



Υπολεκάνη: EL0513FR5014

Έκταση (KM2) : 17.21

Κατάνη : J13

Μέθοδος Απωλειών: SCS

Ποσοστό αδιαπέρατης επιφάνειας	0
Αριθμός Καμπύλης Απορροής-CN	73.53
Αρχικές Απώλειες	18.29

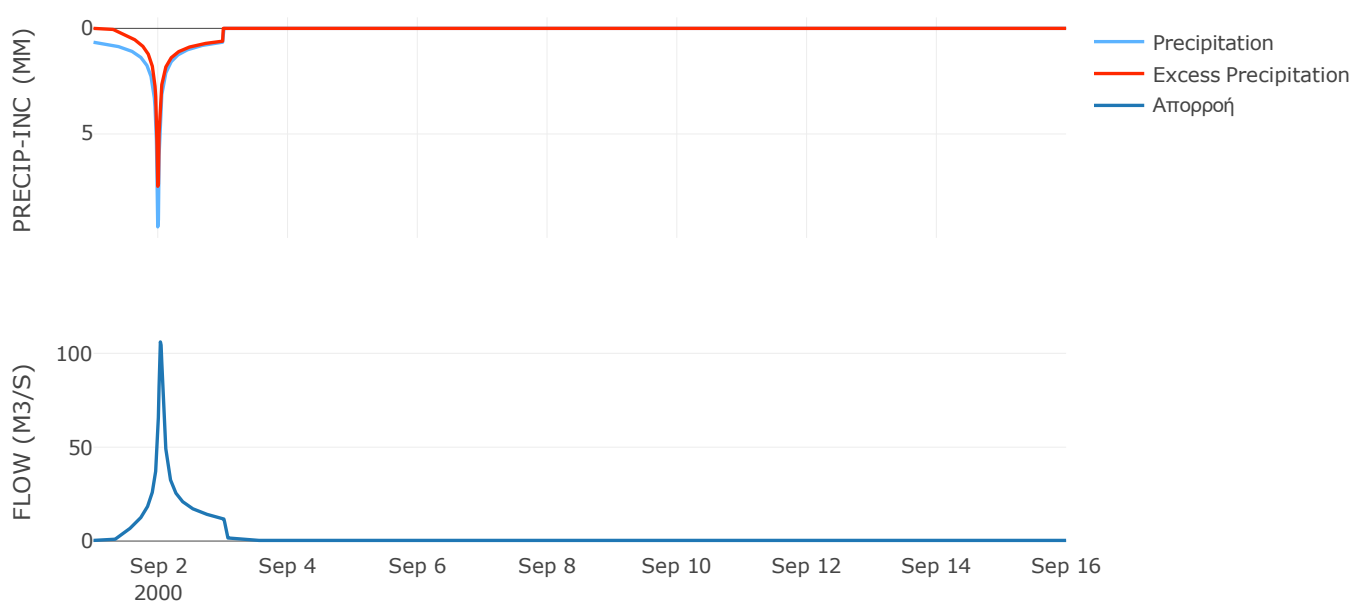
Μέθοδος  
Μετασχηματισμού: SCS

Χρόνος Υστέρησης	46.35
------------------	-------

Αποτελέσματα:  
EL0513FR5014

Παροχή αιχμής (M3/S)	106.08
Χρονική στιγμή αιχμής	02Sep2000, 00:45
Όγκος (MM)	204.82
Όγκος βροχόπτωσης (M3)	4.54E6
Όγκος απωλειών (M3)	1.46E6
Ενεργός Όγκος (M3)	3.08E6
Όγκος άμεσης απορροής (M3)	3.08E6
Όγκος βασικής απορροής (M3)	4.46E5

Βροχόπτωση και Απορροή





Υπολεκάνη: EL0513FR5015

Έκταση (KM2) : 56.91

Κατάντη : J13

Μέθοδος Απωλειών: SCS

Ποσοστό αδιαπέρατης επιφάνειας	0
Αριθμός Καμπύλης Απορροής-CN	74.88
Αρχικές Απώλειες	17.04

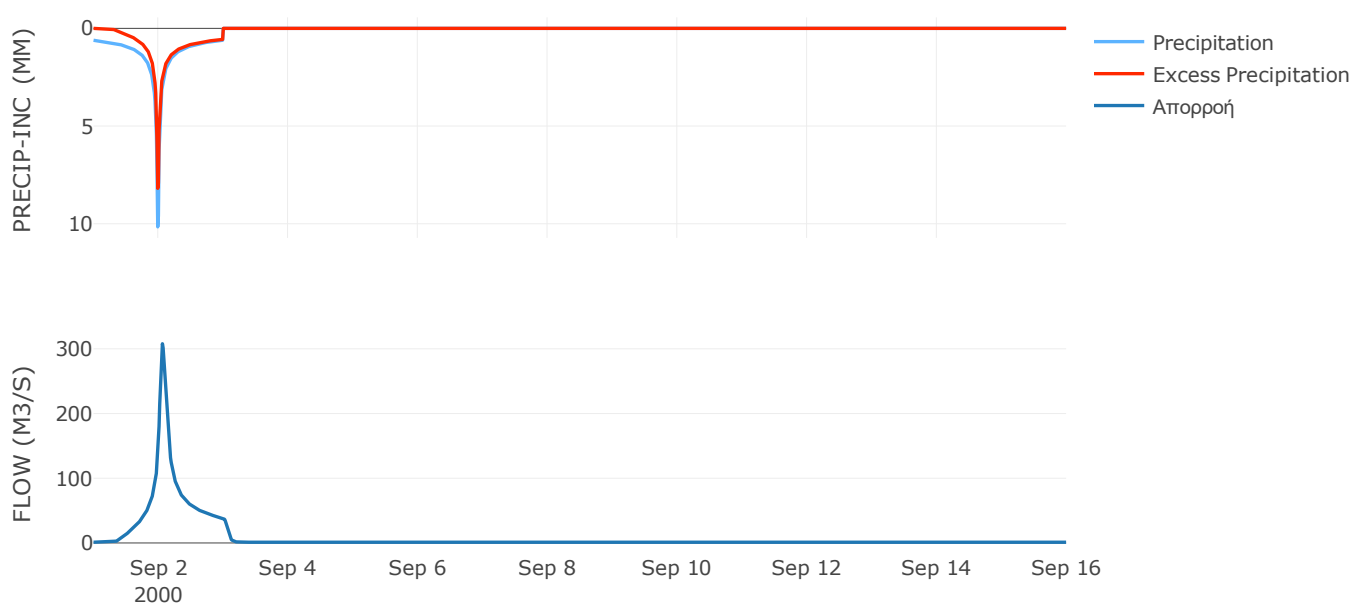
Μέθοδος  
Μετασχηματισμού: SCS

Χρόνος Υστέρησης	83.28
------------------	-------

Αποτελέσματα:  
EL0513FR5015

Παροχή αιχμής (M3/S)	307.9
Χρονική στιγμή αιχμής	02Sep2000, 01:30
Όγκος (MM)	202.55
Όγκος βροχόπτωσης (M3)	1.46E7
Όγκος απωλειών (M3)	4.55E6
Ενεργός Όγκος (M3)	1.01E7
Όγκος άμεσης απορροής (M3)	1.01E7
Όγκος βασικής απορροής (M3)	1.48E6

Βροχόπτωση και Απορροή



Υπολεκάνη: EL0513FR5016

Έκταση (KM2) : 70.55

Κατάνη : J12

Μέθοδος Απωλειών: SCS

Ποσοστό αδιαπέρατης επιφάνειας	0
Αριθμός Καμπύλης Απορροής-CN	72.83
Αρχικές Απώλειες	18.95

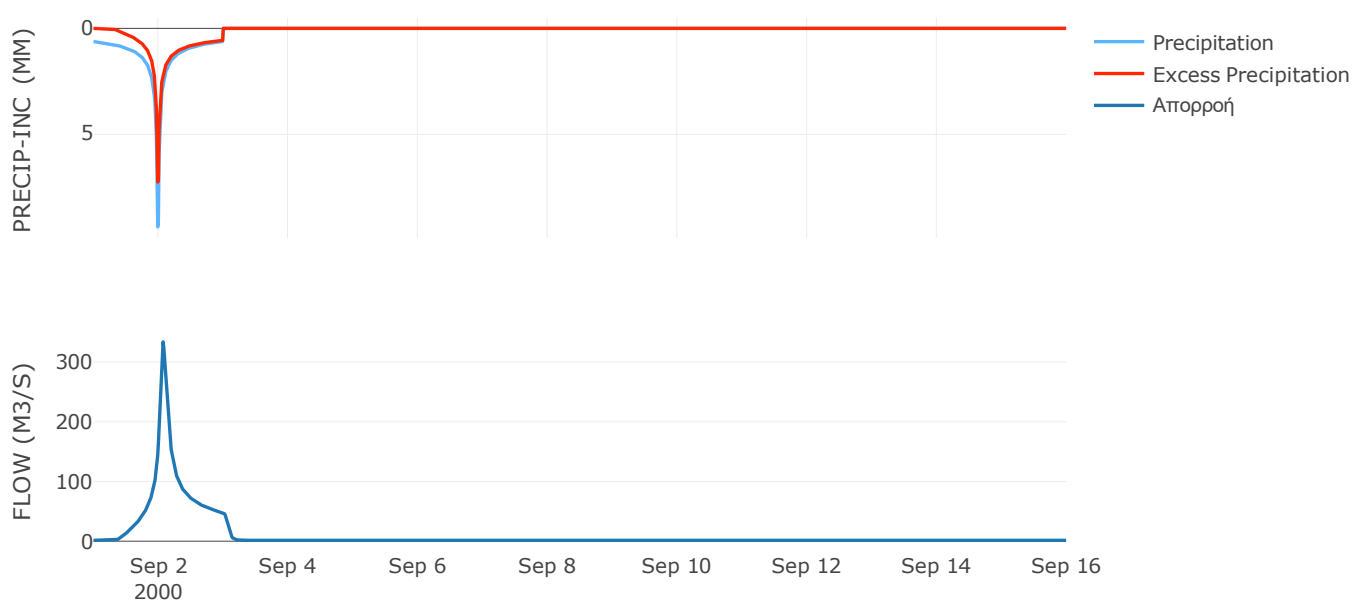
Μέθοδος  
Μετασχηματισμού: SCS

Χρόνος Υστέρησης	91.12
------------------	-------

Αποτελέσματα:  
EL0513FR5016

Παροχή αιχμής (M3/S)	333.83
Χρονική στιγμή αιχμής	02Sep2000, 01:45
Όγκος (MM)	192.28
Όγκος βροχόπτωσης (M3)	1.78E7
Όγκος απωλειών (M3)	6.1E6
Ενεργός Όγκος (M3)	1.17E7
Όγκος άμεσης απορροής (M3)	1.17E7
Όγκος βασικής απορροής (M3)	1.83E6

Βροχόπτωση και Απορροή



Υπολεκάνη: EL0513FR5017

Έκταση (KM2) : 33.26

Κατάνη : J11

Μέθοδος Απωλειών: SCS

Ποσοστό αδιαπέρατης επιφάνειας	0
Αριθμός Καμπύλης Απορροής-CN	70.3
Αρχικές Απώλειες	21.46

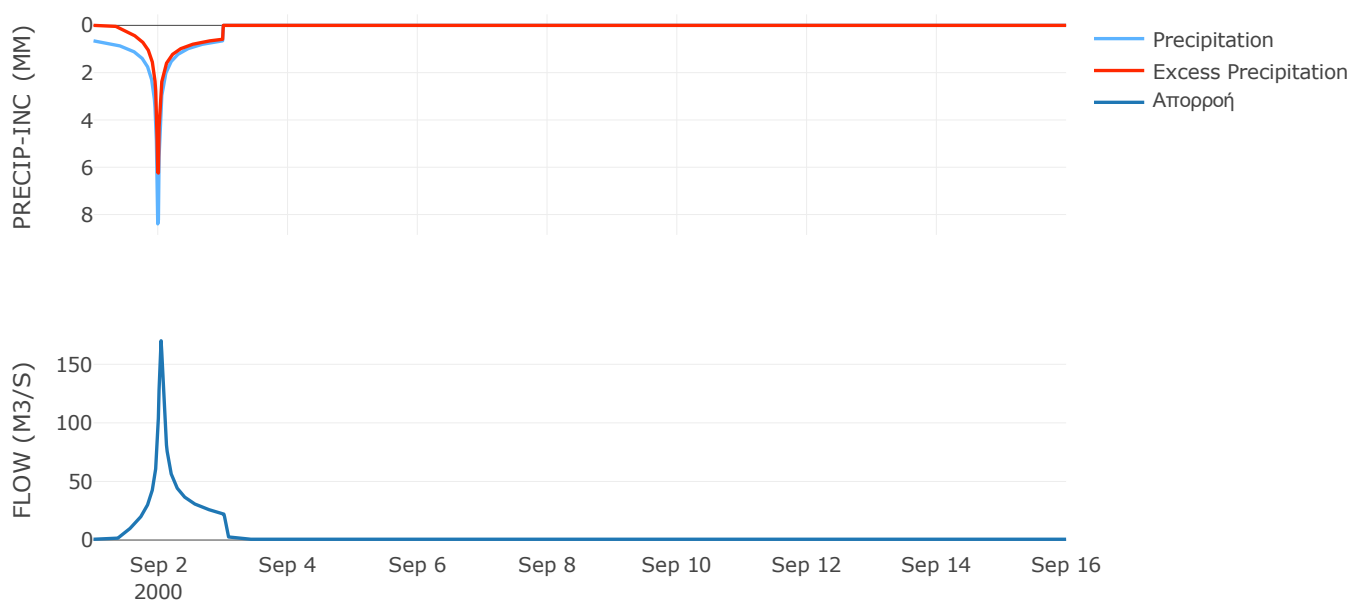
Μέθοδος  
Μετασχηματισμού: SCS

Χρόνος Υστέρησης	50.03
------------------	-------

Αποτελέσματα:  
EL0513FR5017

Παροχή αιχμής (M3/S)	170.08
Χρονική στιγμή αιχμής	02Sep2000, 01:00
Όγκος (MM)	185.35
Όγκος βροχόπτωσης (M3)	8.46E6
Όγκος απωλειών (M3)	3.16E6
Ενεργός Όγκος (M3)	5.3E6
Όγκος άμεσης απορροής (M3)	5.3E6
Όγκος βασικής απορροής (M3)	8.62E5

Βροχόπτωση και Απορροή



Υπολεκάνη: EL0513FR5018

Έκταση (KM2) : 14.02

Κατάνη : J11

Μέθοδος Απωλειών: SCS

Ποσοστό αδιαπέρατης επιφάνειας	0
Αριθμός Καμπύλης Απορροής-CN	74.6
Αρχικές Απώλειες	17.29

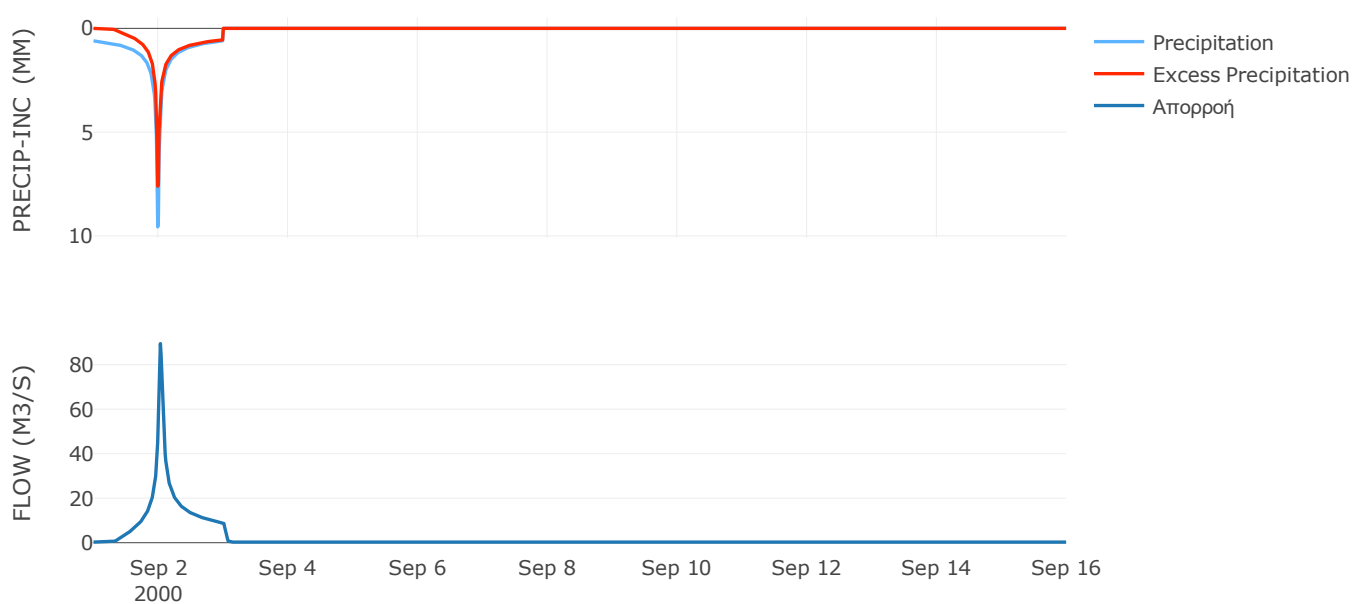
Μέθοδος  
Μετασχηματισμού: SCS

Χρόνος Υστέρησης	40.88
------------------	-------

Αποτελέσματα:  
EL0513FR5018

Παροχή αιχμής (M3/S)	89.47
Χρονική στιγμή αιχμής	02Sep2000, 00:45
Όγκος (MM)	195.01
Όγκος βροχόπτωσης (M3)	3.5E6
Όγκος απωλειών (M3)	1.13E6
Ενεργός Όγκος (M3)	2.37E6
Όγκος άμεσης απορροής (M3)	2.37E6
Όγκος βασικής απορροής (M3)	3.63E5

Βροχόπτωση και Απορροή



Υπολεκάνη: EL0513FR5019

Έκταση (KM2) : 105.27

Κατάνη : J15

Μέθοδος Απωλειών: SCS

Ποσοστό αδιαπέρατης επιφάνειας	0
Αριθμός Καμπύλης Απορροής-CN	77.85
Αρχικές Απώλειες	14.45

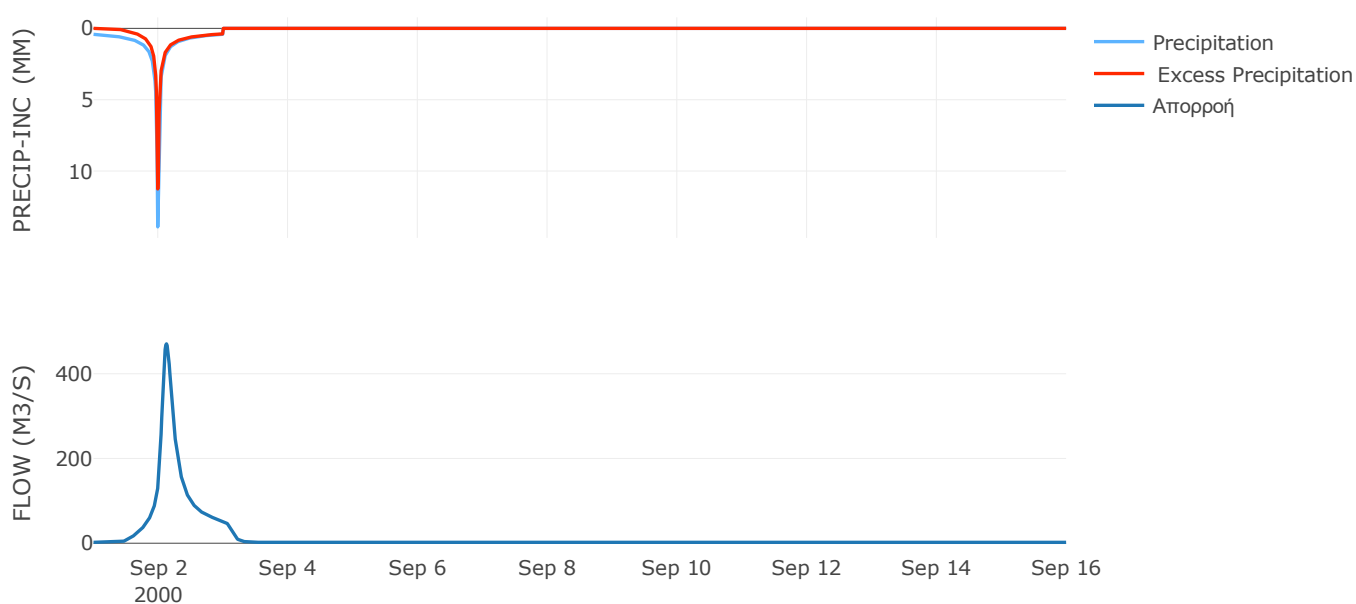
Μέθοδος  
Μετασχηματισμού: SCS

Χρόνος Υστέρησης	167.11
------------------	--------

Αποτελέσματα:  
EL0513FR5019

Παροχή αιχμής (M3/S)	470.59
Χρονική στιγμή αιχμής	02Sep2000, 03:00
Όγκος (MM)	180.37
Όγκος βροχόπτωσης (M3)	2.34E7
Όγκος απωλειών (M3)	7.17E6
Ενεργός Όγκος (M3)	1.63E7
Όγκος άμεσης απορροής (M3)	1.63E7
Όγκος βασικής απορροής (M3)	2.73E6

Βροχόπτωση και Απορροή



Υπολεκάνη: EL0513FR5020

Έκταση (KM2) : 49.32

Κατάντη : J14

Μέθοδος Απωλειών: SCS

Ποσοστό αδιαπέρατης επιφάνειας	0
Αριθμός Καμπύλης Απορροής-CN	73.39
Αρχικές Απώλειες	18.42

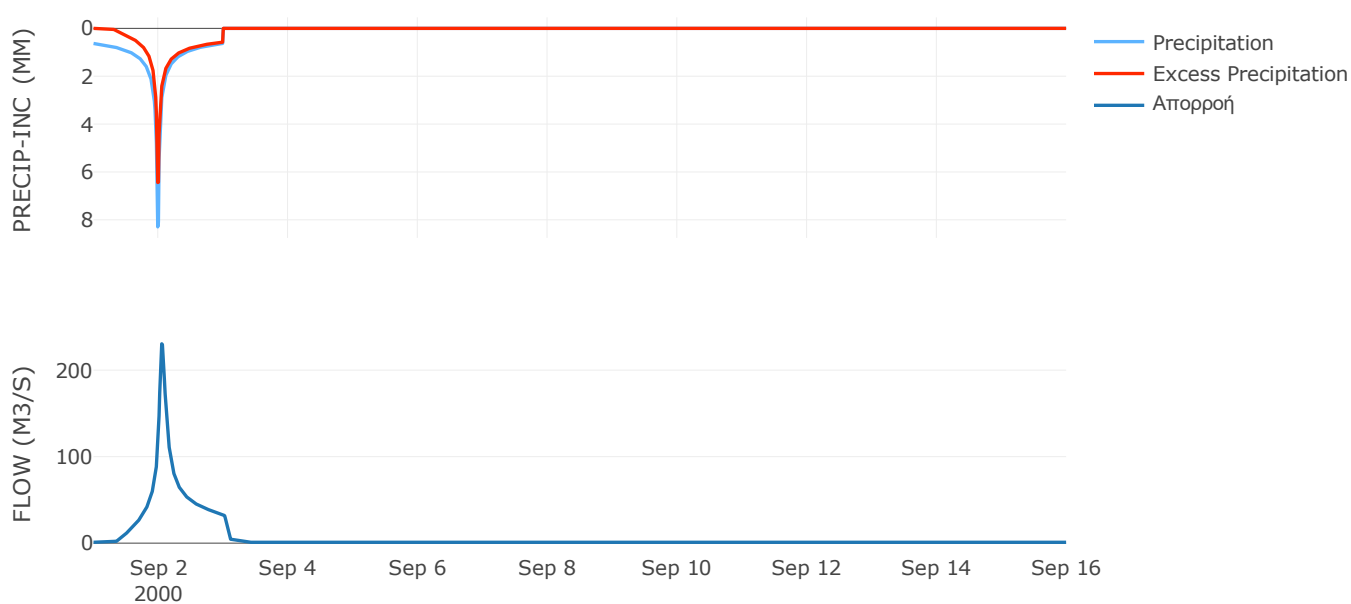
Μέθοδος  
Μετασχηματισμού: SCS

Χρόνος Υστέρησης	74.79
------------------	-------

Αποτελέσματα:  
EL0513FR5020

Παροχή αιχμής (M3/S)	230.48
Χρονική στιγμή αιχμής	02Sep2000, 01:15
Όγκος (MM)	188.88
Όγκος βροχόπτωσης (M3)	1.22E7
Όγκος απωλειών (M3)	4.15E6
Ενεργός Όγκος (M3)	8.04E6
Όγκος άμεσης απορροής (M3)	8.04E6
Όγκος βασικής απορροής (M3)	1.28E6

Βροχόπτωση και Απορροή



Υπολεκάνη: EL0513FR5021

Έκταση (KM2) : 21.13

Κατάντη : J19

Μέθοδος Απωλειών: SCS

Ποσοστό αδιαπέρατης επιφάνειας	0
Αριθμός Καμπύλης Απορροής-CN	84.79
Αρχικές Απώλειες	9.11

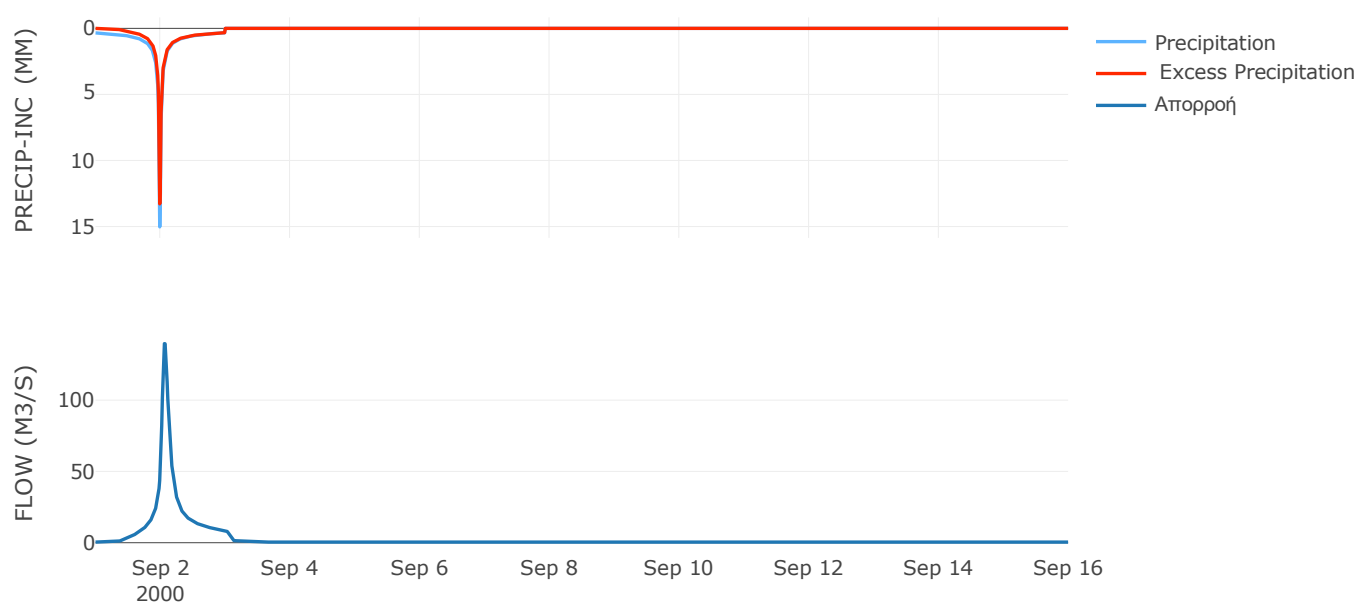
Μέθοδος  
Μετασχηματισμού: SCS

Χρόνος Υστέρησης	93.45
------------------	-------

Αποτελέσματα:  
EL0513FR5021

Παροχή αιχμής (M3/S)	139.63
Χρονική στιγμή αιχμής	02Sep2000, 01:30
Όγκος (MM)	182.74
Όγκος βροχόπτωσης (M3)	4.29E6
Όγκος απωλειών (M3)	9.72E5
Ενεργός Όγκος (M3)	3.31E6
Όγκος άμεσης απορροής (M3)	3.31E6
Όγκος βασικής απορροής (M3)	5.48E5

Βροχόπτωση και Απορροή



Υπολεκάνη: EL0513FR5022

Έκταση (KM2) : 8.23

Κατάντη : J20

Μέθοδος Απωλειών: SCS

Ποσοστό αδιαπέρατης επιφάνειας	0
Αριθμός Καμπύλης Απορροής-CN	90.74
Αρχικές Απώλειες	5.18

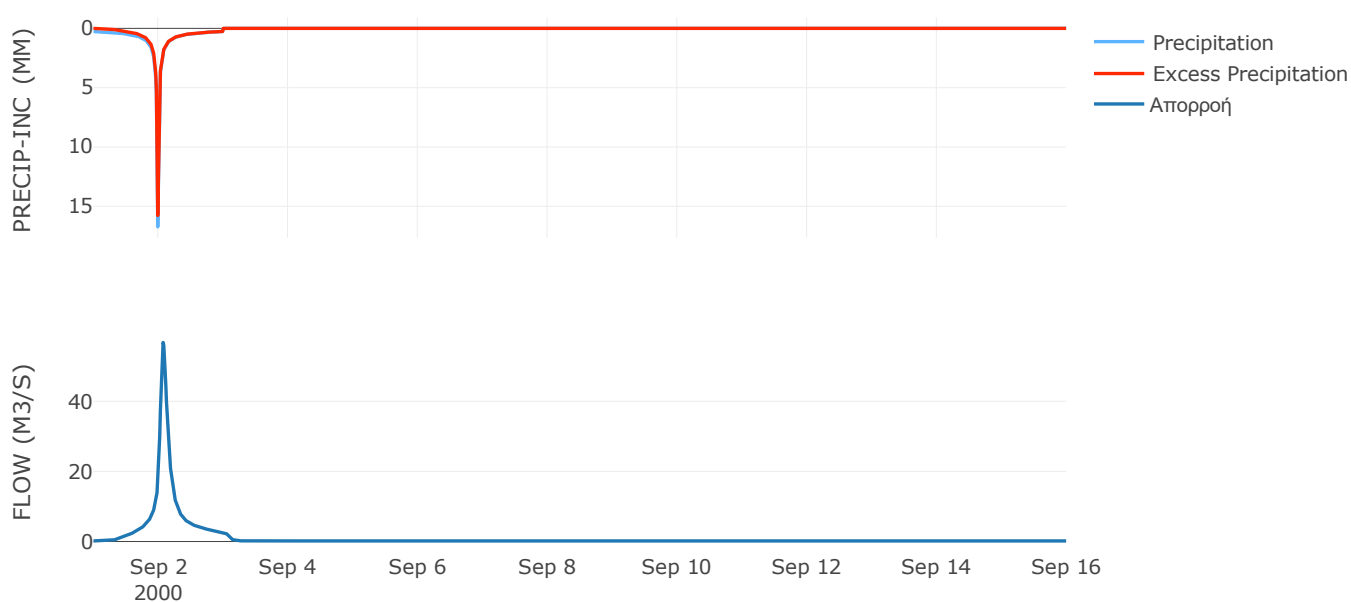
Μέθοδος  
Μετασχηματισμού: SCS

Χρόνος Υστέρησης	104.36
------------------	--------

Αποτελέσματα:  
EL0513FR5022

Παροχή αιχμής (M3/S)	56.79
Χρονική στιγμή αιχμής	02Sep2000, 01:45
Όγκος (MM)	182.11
Όγκος βροχόπτωσης (M3)	1.51E6
Όγκος απωλειών (M3)	2.29E5
Ενεργός Όγκος (M3)	1.28E6
Όγκος άμεσης απορροής (M3)	1.28E6
Όγκος βασικής απορροής (M3)	2.13E5

Βροχόπτωση και Απορροή





Υπολεκάνη: EL0513FR5023

Έκταση (KM2) : 11.05

Κατάντη : J19

Μέθοδος Απωλειών: SCS

Ποσοστό αδιαπέρατης επιφάνειας	0
Αριθμός Καμπύλης Απορροής-CN	90.44
Αρχικές Απώλειες	5.37

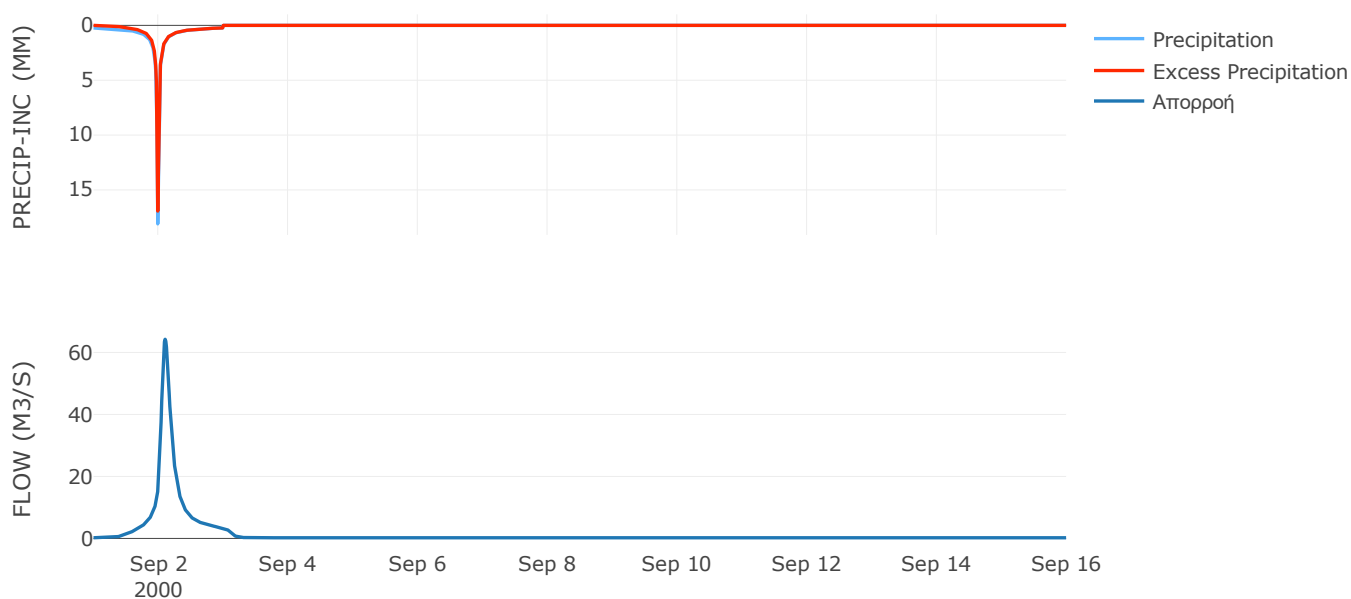
Μέθοδος  
Μετασχηματισμού: SCS

Χρόνος Υστέρησης	146.55
------------------	--------

Αποτελέσματα:  
EL0513FR5023

Παροχή αιχμής (M3/S)	64.26
Χρονική στιγμή αιχμής	02Sep2000, 02:30
Όγκος (MM)	175.13
Όγκος βροχόπτωσης (M3)	1.97E6
Όγκος απωλειών (M3)	3.16E5
Ενεργός Όγκος (M3)	1.65E6
Όγκος άμεσης απορροής (M3)	1.65E6
Όγκος βασικής απορροής (M3)	2.87E5

Βροχόπτωση και Απορροή



Υπολεκάνη: EL0513FR5024

Έκταση (KM2) : 5.88

Κατάντη : J4

Μέθοδος Απωλειών: SCS

Ποσοστό αδιαπέρατης επιφάνειας	0
Αριθμός Καμπύλης Απορροής-CN	86.95
Αρχικές Απώλειες	7.63

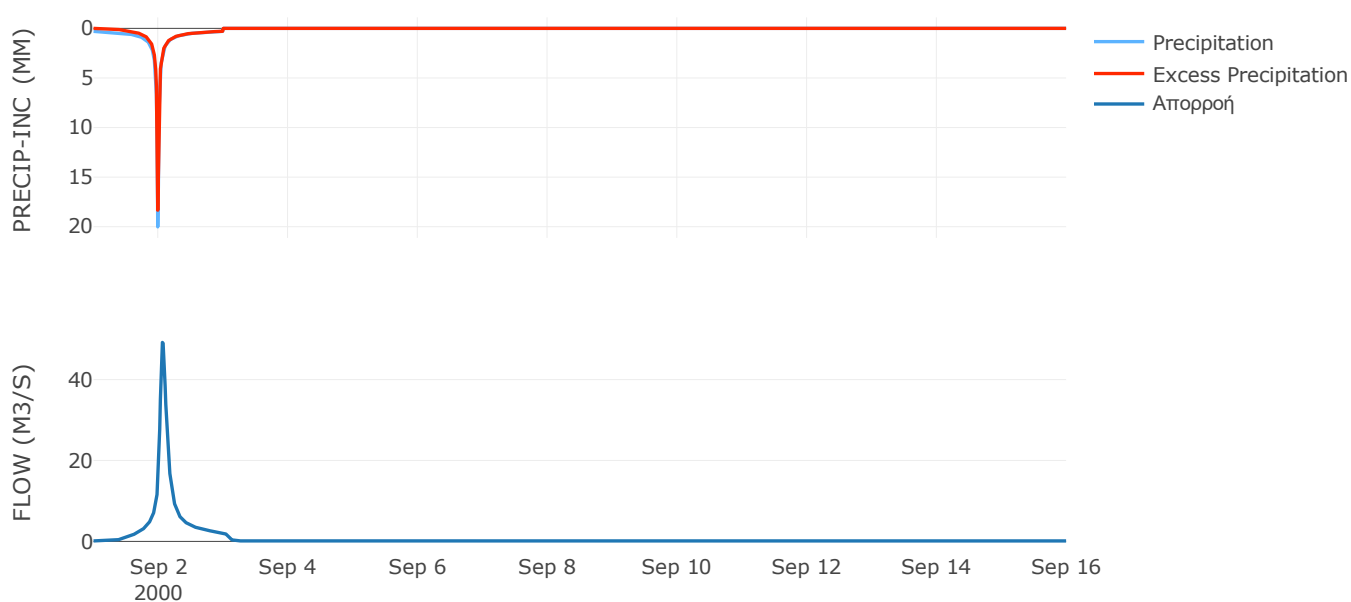
Μέθοδος  
Μετασχηματισμού: SCS

Χρόνος Υστέρησης	93.3
------------------	------

Αποτελέσματα:  
EL0513FR5024

Παροχή αιχμής (M3/S)	49.18
Χρονική στιγμή αιχμής	02Sep2000, 01:30
Όγκος (MM)	198.69
Όγκος βροχόπτωσης (M3)	1.25E6
Όγκος απωλειών (M3)	2.34E5
Ενεργός Όγκος (M3)	1.02E6
Όγκος άμεσης απορροής (M3)	1.02E6
Όγκος βασικής απορροής (M3)	1.52E5

Βροχόπτωση και Απορροή



Υπολεκάνη: EL0513FR5025

Έκταση (KM2) : 50.61

Κατάντη : J7

Μέθοδος Απωλειών: SCS

Ποσοστό αδιαπέρατης επιφάνειας	0
Αριθμός Καμπύλης Απορροής-CN	84.83
Αρχικές Απώλειες	9.09

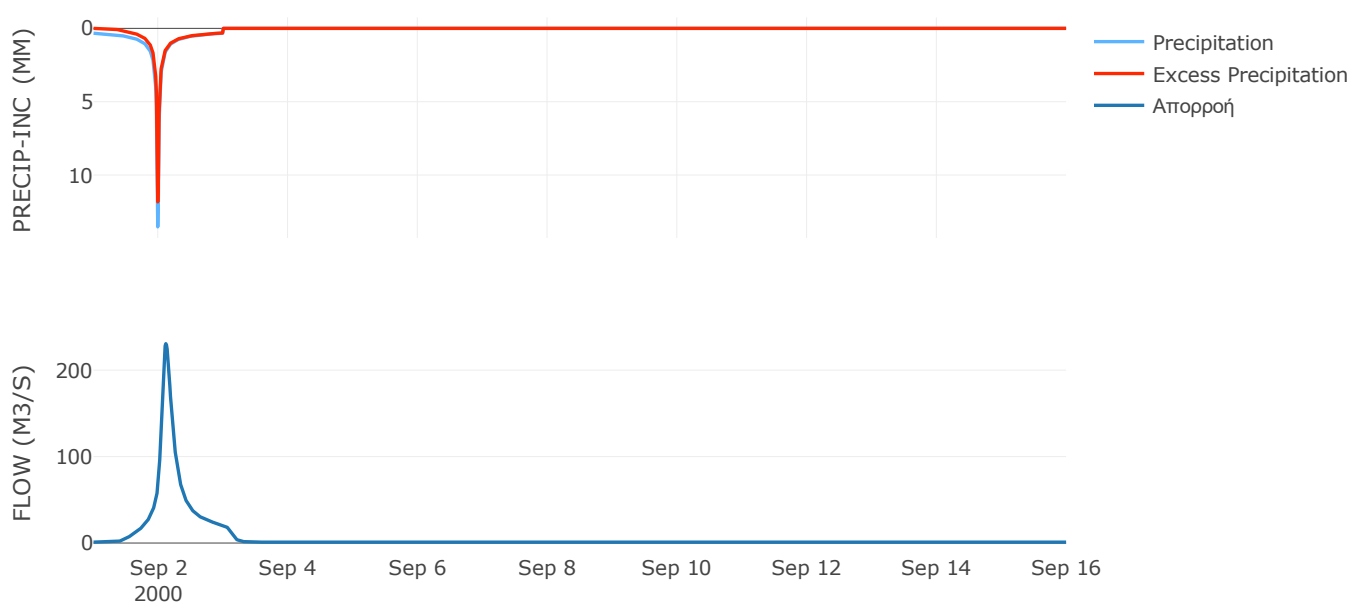
Μέθοδος  
Μετασχηματισμού: SCS

Χρόνος Υστέρησης	158.98
------------------	--------

Αποτελέσματα:  
EL0513FR5025

Παροχή αιχμής (M3/S)	230.65
Χρονική στιγμή αιχμής	02Sep2000, 02:45
Όγκος (MM)	171.11
Όγκος βροχόπτωσης (M3)	9.65E6
Όγκος απωλειών (M3)	2.3E6
Ενεργός Όγκος (M3)	7.35E6
Όγκος άμεσης απορροής (M3)	7.35E6
Όγκος βασικής απορροής (M3)	1.31E6

Βροχόπτωση και Απορροή



Υπολεκάνη: EL0513FR5026

Έκταση (KM2) : 20.26

Κατάντη : J18

Μέθοδος Απωλειών: SCS

Ποσοστό αδιαπέρατης επιφάνειας	0
Αριθμός Καμπύλης Απορροής-CN	88.58
Αρχικές Απώλειες	6.55

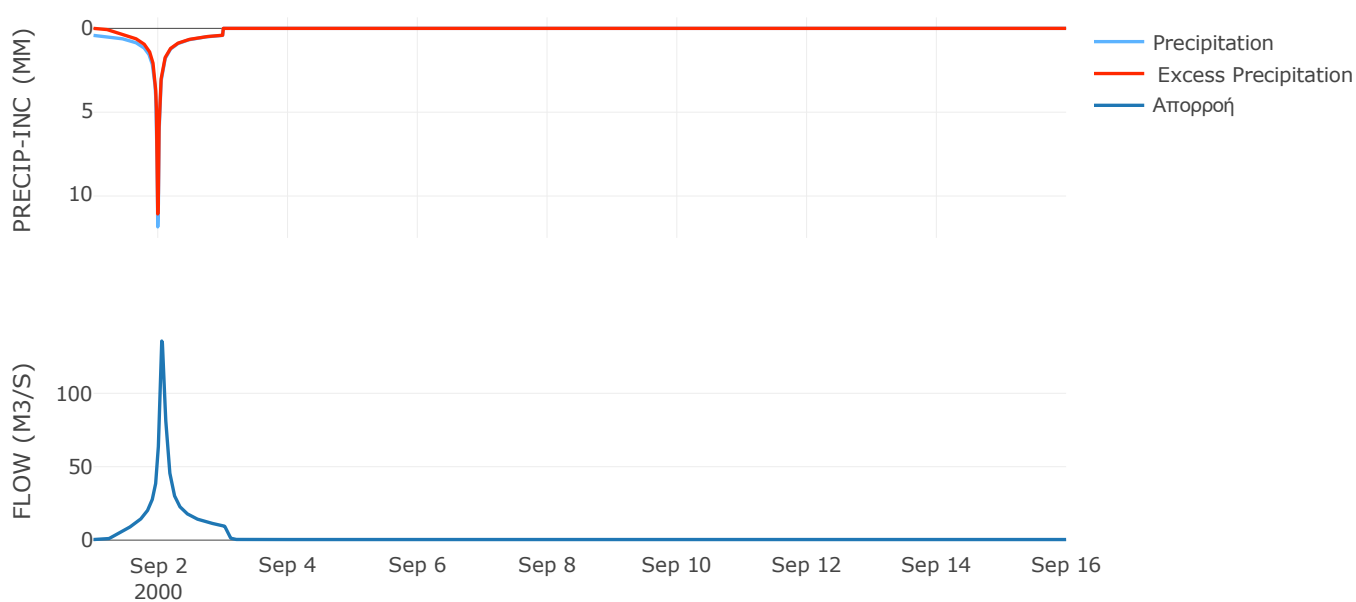
Μέθοδος  
Μετασχηματισμού: SCS

Χρόνος Υστέρησης	76.46
------------------	-------

Αποτελέσματα:  
EL0513FR5026

Παροχή αιχμής (M3/S)	135.57
Χρονική στιγμή αιχμής	02Sep2000, 01:15
Όγκος (MM)	201.78
Όγκος βροχόπτωσης (M3)	4.27E6
Όγκος απωλειών (M3)	7.05E5
Ενεργός Όγκος (M3)	3.56E6
Όγκος άμεσης απορροής (M3)	3.56E6
Όγκος βασικής απορροής (M3)	5.25E5

Βροχόπτωση και Απορροή



Υπολεκάνη: EL0513FR5027

Έκταση (KM2) : 40.56

Κατάντη : J18

Μέθοδος Απωλειών: SCS

Ποσοστό αδιαπέρατης επιφάνειας	0
Αριθμός Καμπύλης Απορροής-CN	82.92
Αρχικές Απώλειες	10.46

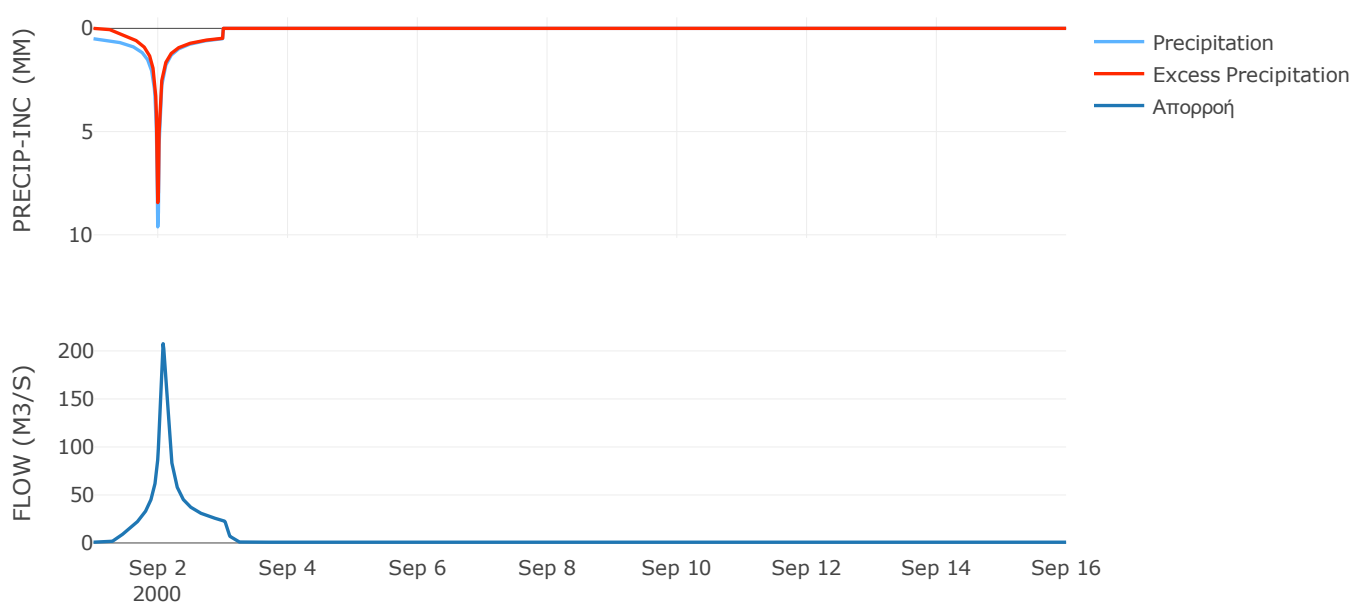
Μέθοδος  
Μετασχηματισμού: SCS

Χρόνος Υστέρησης	94.81
------------------	-------

Αποτελέσματα:  
EL0513FR5027

Παροχή αιχμής (M3/S)	207.55
Χρονική στιγμή αιχμής	02Sep2000, 01:45
Όγκος (MM)	194.61
Όγκος βροχόπτωσης (M3)	8.97E6
Όγκος απωλειών (M3)	2.12E6
Ενεργός Όγκος (M3)	6.84E6
Όγκος άμεσης απορροής (M3)	6.84E6
Όγκος βασικής απορροής (M3)	1.05E6

Βροχόπτωση και Απορροή



Υπολεκάνη: EL0513FR5028

Έκταση (KM2) : 26.17

Κατάνη : J17

Μέθοδος Απωλειών: SCS

Ποσοστό αδιαπέρατης επιφάνειας	0
Αριθμός Καμπύλης Απορροής-CN	82.86
Αρχικές Απώλειες	10.51

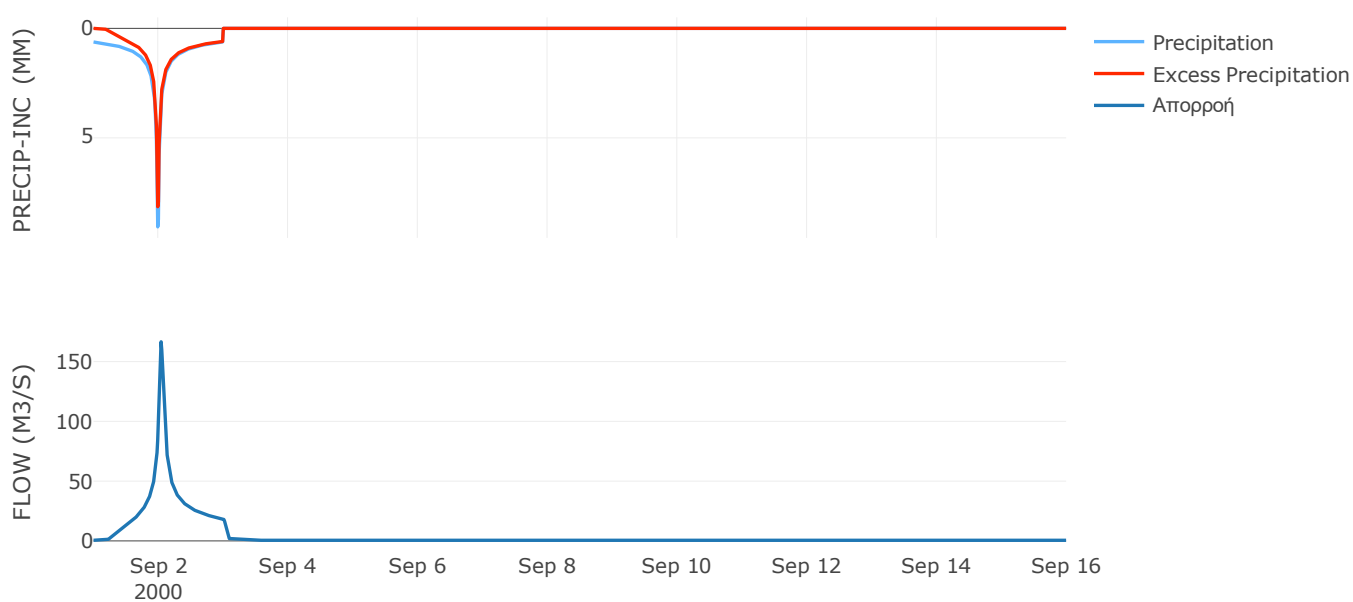
Μέθοδος  
Μετασχηματισμού: SCS

Χρόνος Υστέρησης	55.41
------------------	-------

Αποτελέσματα:  
EL0513FR5028

Παροχή αιχμής (M3/S)	166.58
Χρονική στιγμή αιχμής	02Sep2000, 01:00
Όγκος (MM)	223.27
Όγκος βροχόπτωσης (M3)	6.57E6
Όγκος απωλειών (M3)	1.4E6
Ενεργός Όγκος (M3)	5.17E6
Όγκος άμεσης απορροής (M3)	5.17E6
Όγκος βασικής απορροής (M3)	6.78E5

Βροχόπτωση και Απορροή



Υπολεκάνη: EL0513FR5029

Έκταση (KM2) : 21.97

Κατάντη : J9

Μέθοδος Απωλειών: SCS

Ποσοστό αδιαπέρατης επιφάνειας	0
Αριθμός Καμπύλης Απορροής-CN	63.5
Αρχικές Απώλειες	29.2

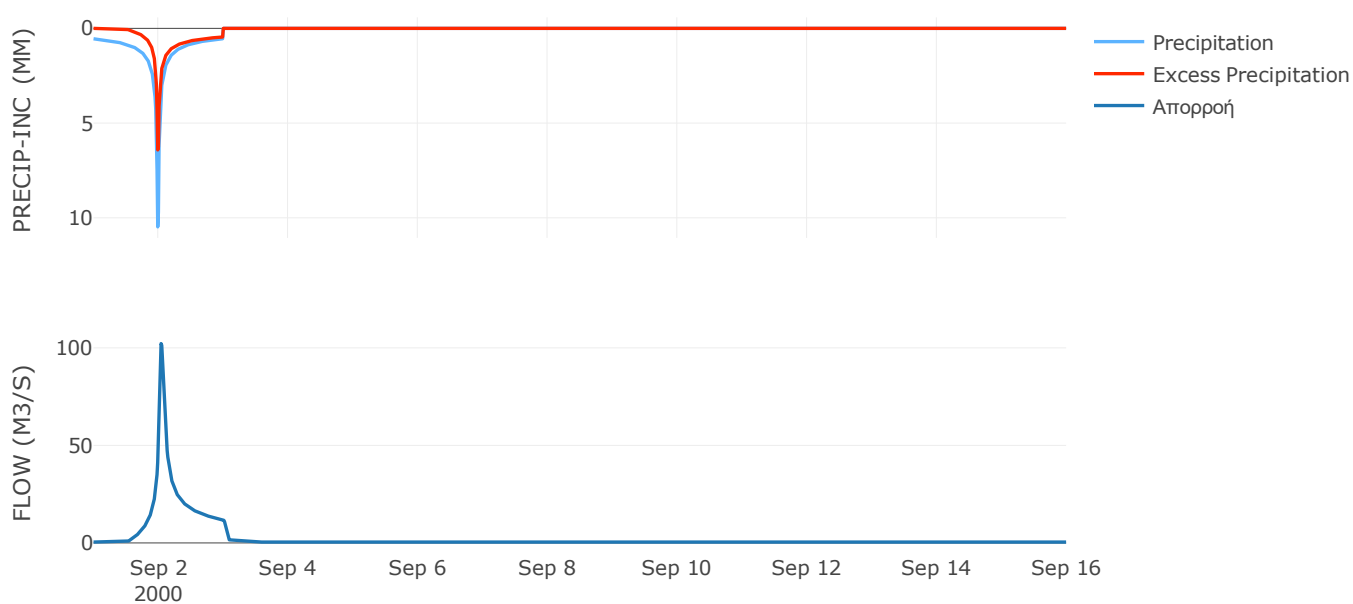
Μέθοδος  
Μετασχηματισμού: SCS

Χρόνος Υστέρησης	59.13
------------------	-------

Αποτελέσματα:  
EL0513FR5029

Παροχή αιχμής (M3/S)	102.2
Χρονική στιγμή αιχμής	02Sep2000, 01:00
Όγκος (MM)	151.63
Όγκος βροχόπτωσης (M3)	5.3E6
Όγκος απωλειών (M3)	2.54E6
Ενεργός Όγκος (M3)	2.76E6
Όγκος άμεσης απορροής (M3)	2.76E6
Όγκος βασικής απορροής (M3)	5.7E5

Βροχόπτωση και Απορροή



Υπολεκάνη: EL0513FR5030

Έκταση (KM2) : 13.43

Κατάνη : J5

Μέθοδος Απωλειών: SCS

Ποσοστό αδιαπέρατης επιφάνειας	0
Αριθμός Καμπύλης Απορροής-CN	80.68
Αρχικές Απώλειες	12.17

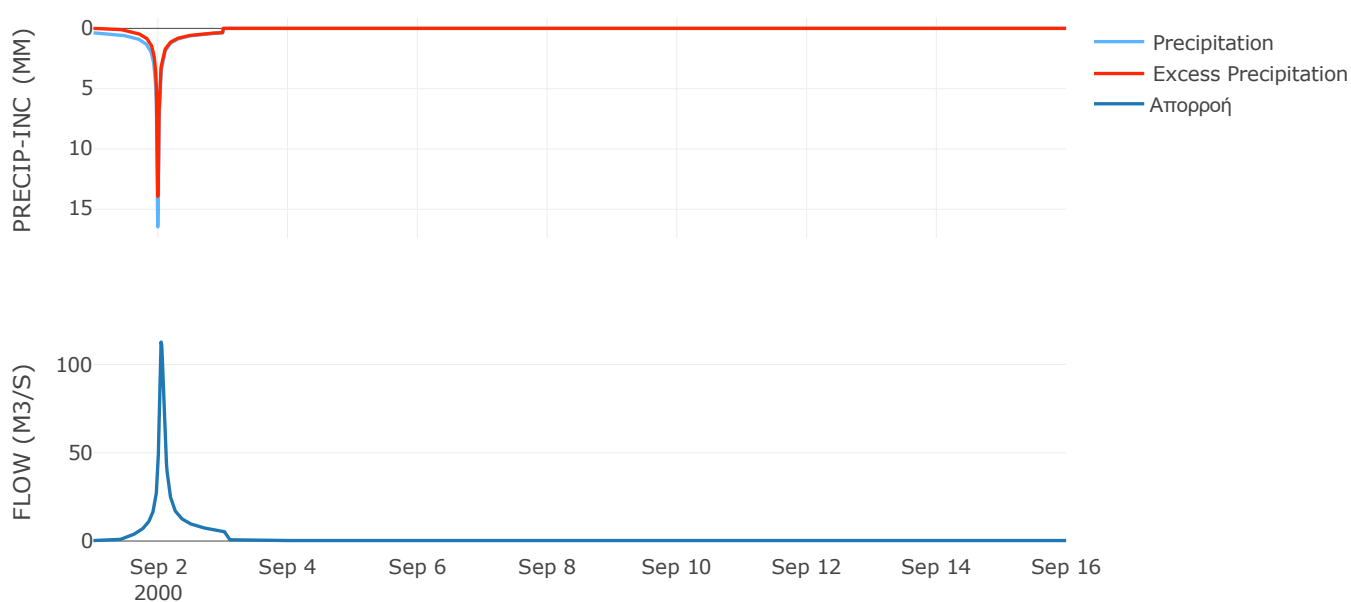
Μέθοδος  
Μετασχηματισμού: SCS

Χρόνος Υστέρησης	61.99
------------------	-------

Αποτελέσματα:  
EL0513FR5030

Παροχή αιχμής (M3/S)	112.7
Χρονική στιγμή αιχμής	02Sep2000, 01:00
Όγκος (MM)	188.19
Όγκος βροχόπτωσης (M3)	2.98E6
Όγκος απωλειών (M3)	7.97E5
Ενεργός Όγκος (M3)	2.18E6
Όγκος άμεσης απορροής (M3)	2.18E6
Όγκος βασικής απορροής (M3)	3.48E5

Βροχόπτωση και Απορροή





Υπολεκάνη: EL0513FR5031

Έκταση (KM2) : 13.12

Κατάνη : J15

Μέθοδος Απωλειών: SCS

Ποσοστό αδιαπέρατης επιφάνειας	0
Αριθμός Καμπύλης Απορροής-CN	80.52
Αρχικές Απώλειες	12.29

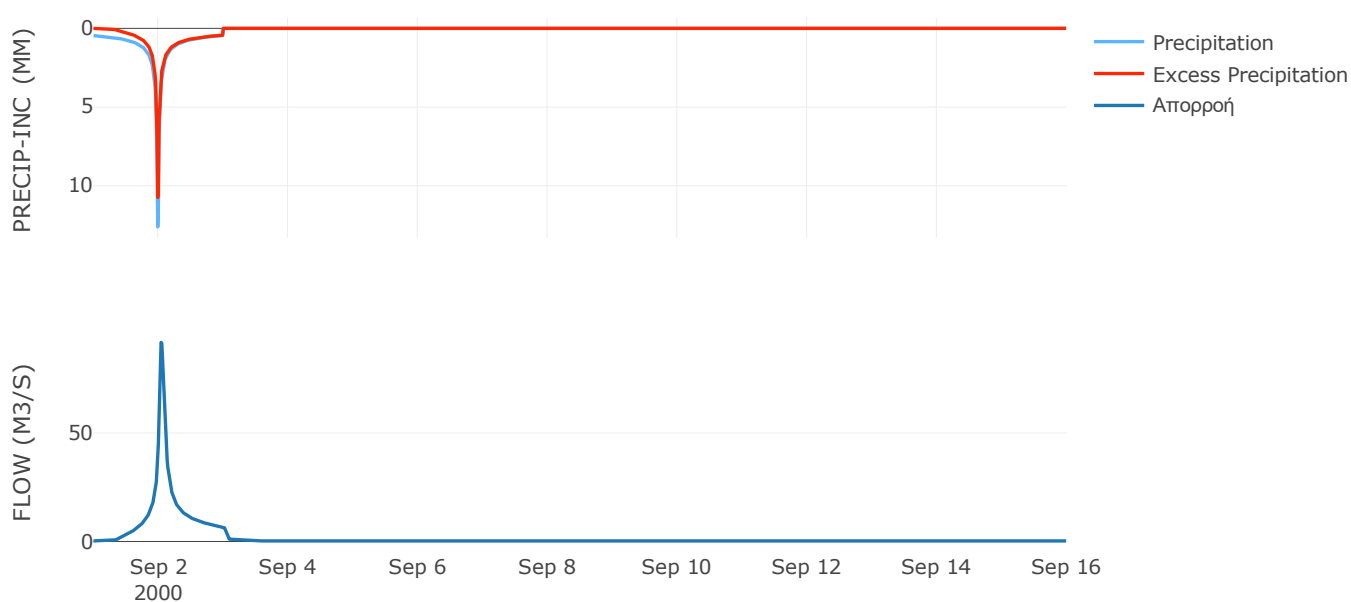
Μέθοδος  
Μετασχηματισμού: SCS

Χρόνος Υστέρησης	63.56
------------------	-------

Αποτελέσματα:  
EL0513FR5031

Παροχή αιχμής (M3/S)	91.73
Χρονική στιγμή αιχμής	02Sep2000, 01:00
Όγκος (MM)	193.95
Όγκος βροχόπτωσης (M3)	2.99E6
Όγκος απωλειών (M3)	7.89E5
Ενεργός Όγκος (M3)	2.2E6
Όγκος άμεσης απορροής (M3)	2.2E6
Όγκος βασικής απορροής (M3)	3.4E5

Βροχόπτωση και Απορροή



Υπολεκάνη: EL0513FR5032

Έκταση (KM2) : 17.35

Κατάντη : J16

Μέθοδος Απωλειών: SCS

Ποσοστό αδιαπέρατης επιφάνειας	0
Αριθμός Καμπύλης Απορροής-CN	70.21
Αρχικές Απώλειες	21.56

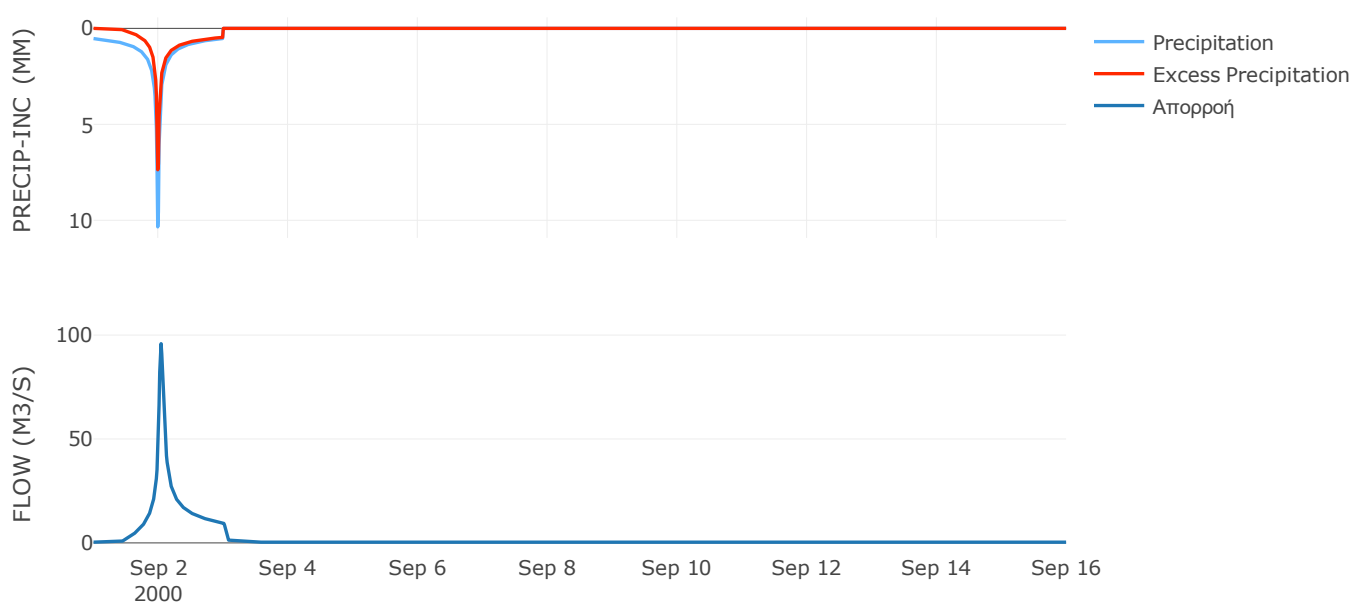
Μέθοδος  
Μετασχηματισμού: SCS

Χρόνος Υστέρησης	52.76
------------------	-------

Αποτελέσματα:  
EL0513FR5032

Παροχή αιχμής (M3/S)	95.85
Χρονική στιγμή αιχμής	02Sep2000, 01:00
Όγκος (MM)	168.02
Όγκος βροχόπτωσης (M3)	4.08E6
Όγκος απωλειών (M3)	1.62E6
Ενεργός Όγκος (M3)	2.47E6
Όγκος άμεσης απορροής (M3)	2.47E6
Όγκος βασικής απορροής (M3)	4.5E5

Βροχόπτωση και Απορροή



## Υπολεκάνη: EL0513FR5033

Έκταση (KM2) : 4.63

Κατάνη : J21 Res1

### Μέθοδος Απωλειών: SCS

Ποσοστό αδιαπέρατης επιφάνειας	0
Αριθμός Καμπύλης Απορροής-CN	68.7
Αρχικές Απώλειες	23.15

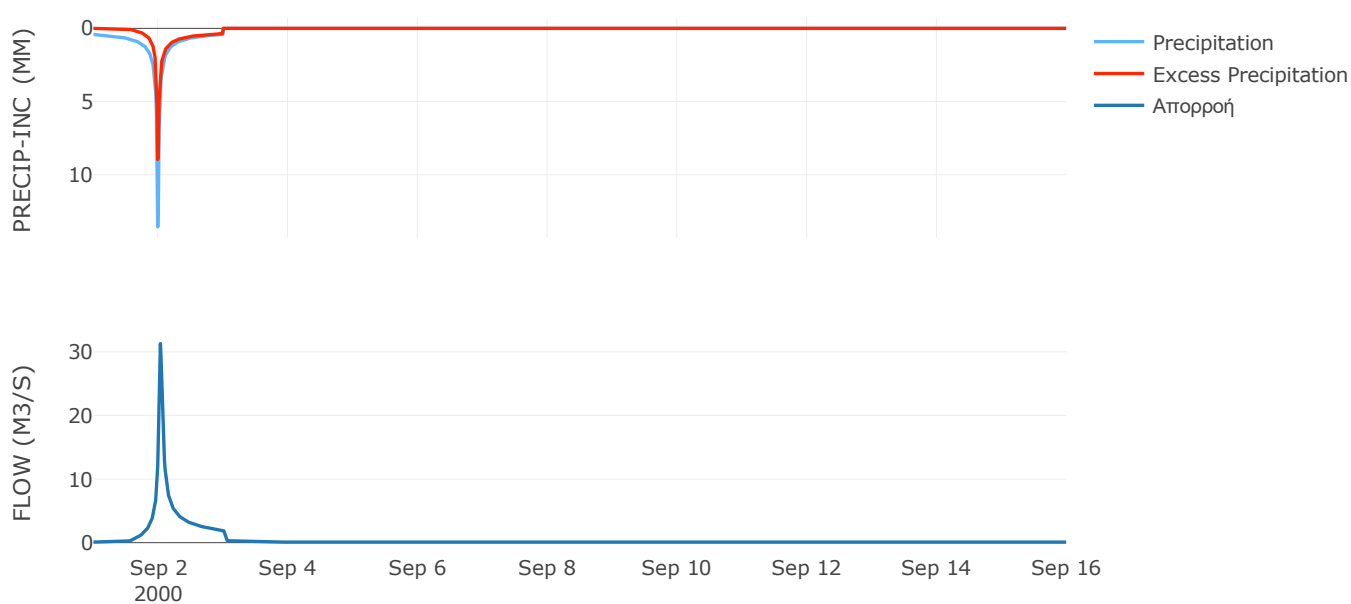
### Μέθοδος Μετασχηματισμού: SCS

Χρόνος Υστέρησης	39.78
------------------	-------

### Αποτελέσματα: EL0513FR5033

Παροχή αιχμής (M3/S)	31.3
Χρονική στιγμή αιχμής	02Sep2000, 00:45
Όγκος (MM)	149.25
Όγκος βροχόπτωσης (M3)	1.01E6
Όγκος απωλειών (M3)	4.44E5
Ενεργός Όγκος (M3)	5.7E5
Όγκος άμεσης απορροής (M3)	5.7E5
Όγκος βασικής απορροής (M3)	1.2E5

### Βροχόπτωση και Απορροή



## 4.2 Δεδομένα και υδρογραφήματα σχεδιασμού Κλάδων υδρογραφικού δικτύου

Κλάδος: R21

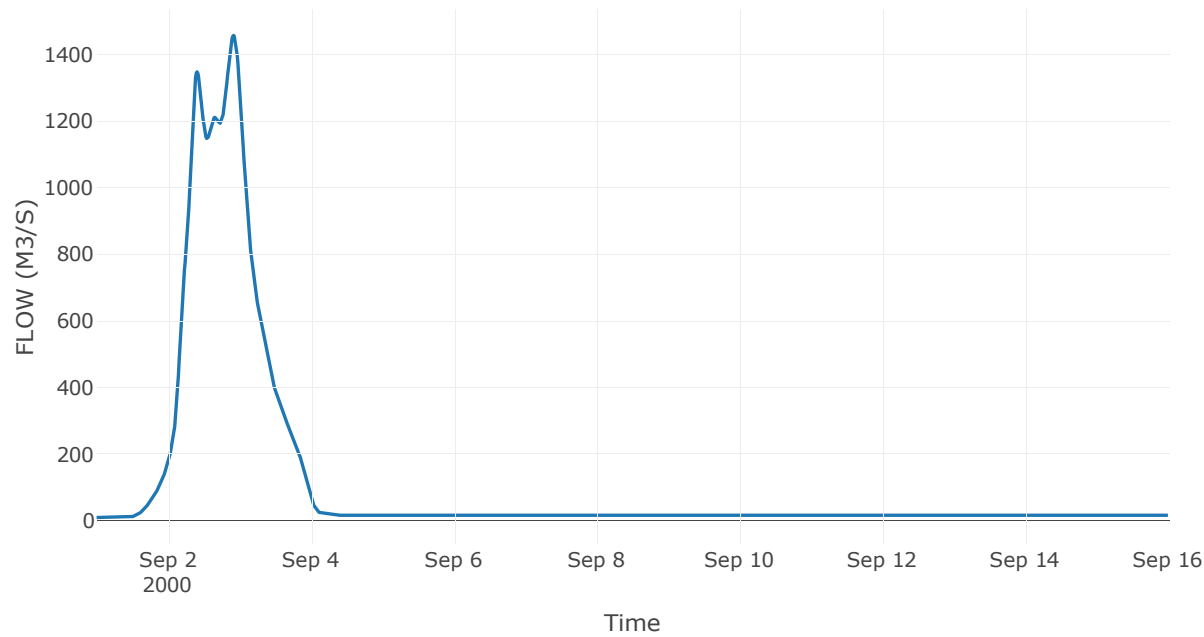
Κατάντη : J1

Μέθοδος Διόδευσης	Muskingum
Αρχική Μεταβλητή	Combined Inflow
Χρόνος Ροής K	1.21
Συντελεστής βάρους x	0.2
Πλήθος Υποκλάδων	5

Αποτελέσματα: R21

Παροχή Αιχμής(M3/S)	1456.78
Χρονική στιγμή αιχμής	02Sep2000, 22:00
Όγκος(MM)	187.15
Παροχή Αιχμής Εισόδου (M3/S)	1463.45
Όγκος Εισροής(M3)	1.51E8

Απορροή



Κλάδος: R32

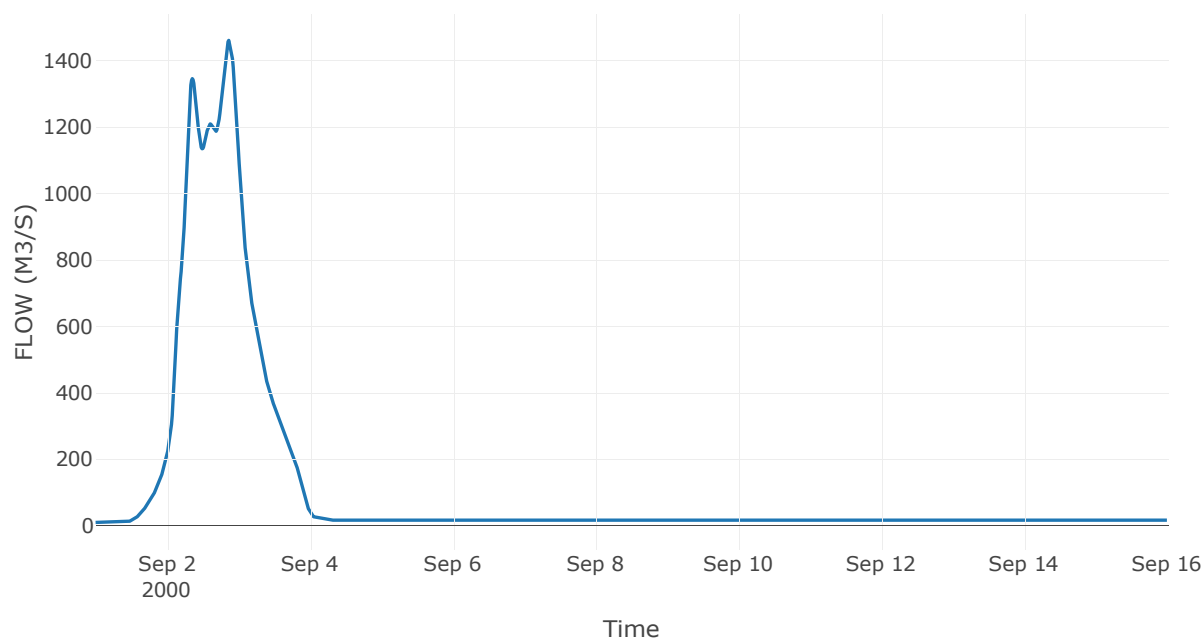
Κατάντη : J2

Μέθοδος Διόδευσης	Muskingum
Αρχική Μεταβλητή	Combined Inflow
Χρόνος Ροής K	1.87
Συντελεστής βάρους x	0.2
Πλήθος Υποκλάδων	7

Αποτελέσματα: R32

Παροχή Αιχμής(M3/S)	1460.68
Χρονική στιγμή αιχμής	02Sep2000, 20:45
Όγκος(MM)	187.23
Παροχή Αιχμής Εισόδου (M3/S)	1473.5
Όγκος Εισροής(M3)	1.5E8

Απορροή



Κλάδος: R43

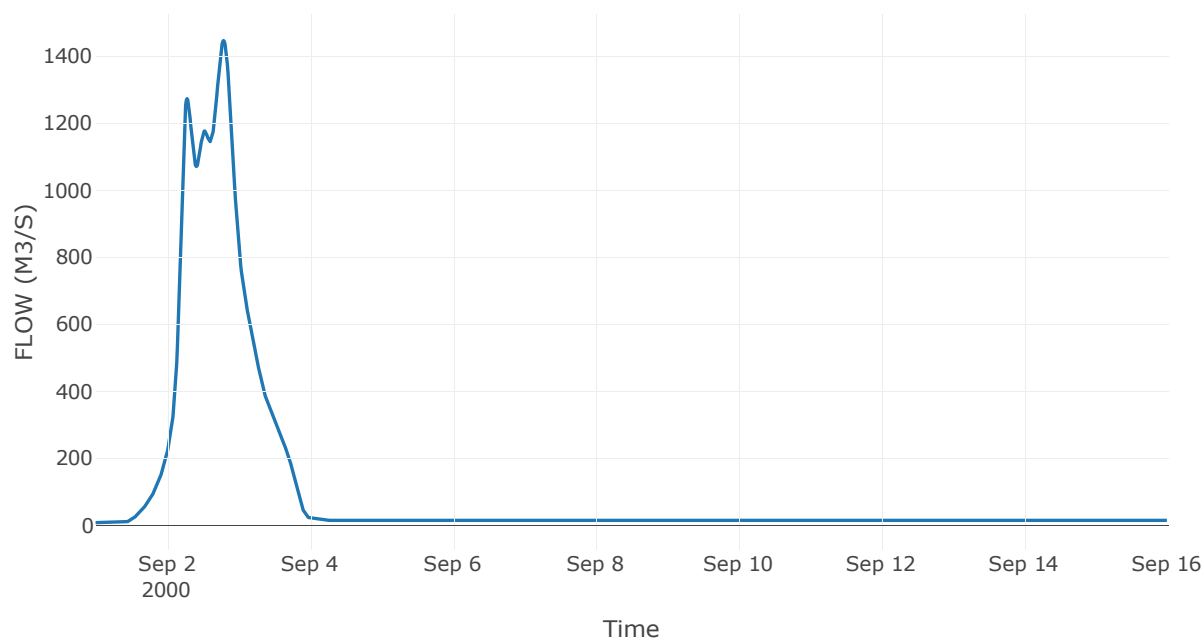
Κατάντη : J3

Μέθοδος Διόδευσης	Muskingum
Αρχική Μεταβλητή	Combined Inflow
Χρόνος Ροής K	3.58
Συντελεστής βάρους x	0.2
Πλήθος Υποκλάδων	14

Αποτελέσματα: R43

Παροχή Αιχμής(M3/S)	1446.49
Χρονική στιγμή αιχμής	02Sep2000, 19:00
Όγκος(MM)	187.59
Παροχή Αιχμής Εισόδου (M3/S)	1472.12
Όγκος Εισροής(M3)	1.39E8

Απορροή



Κλάδος: R54

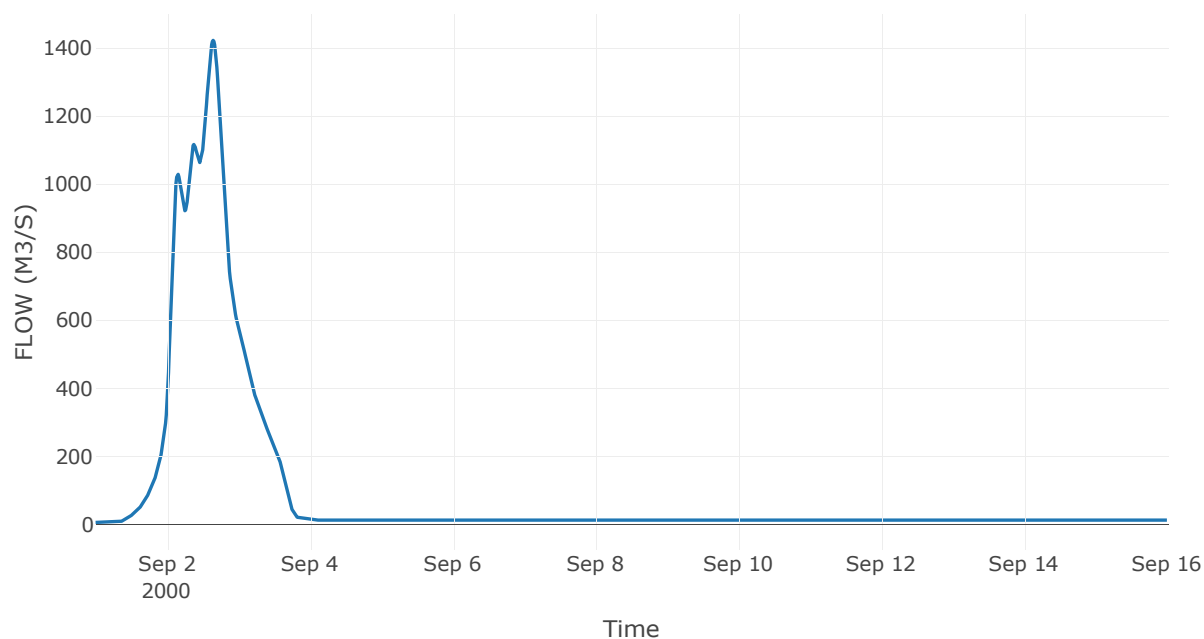
Κατάντη : J4

Μέθοδος Διόδευσης	Muskingum
Αρχική Μεταβλητή	Combined Inflow
Χρόνος Ροής K	0.16
Συντελεστής βάρους x	0.2
Πλήθος Υποκλάδων	1

Αποτελέσματα: R54

Παροχή Αιχμής(M3/S)	1421.24
Χρονική στιγμή αιχμής	02Sep2000, 15:30
Όγκος(MM)	186.71
Παροχή Αιχμής Εισόδου (M3/S)	1421.62
Όγκος Εισροής(M3)	1.25E8

Απορροή



Κλάδος: R65

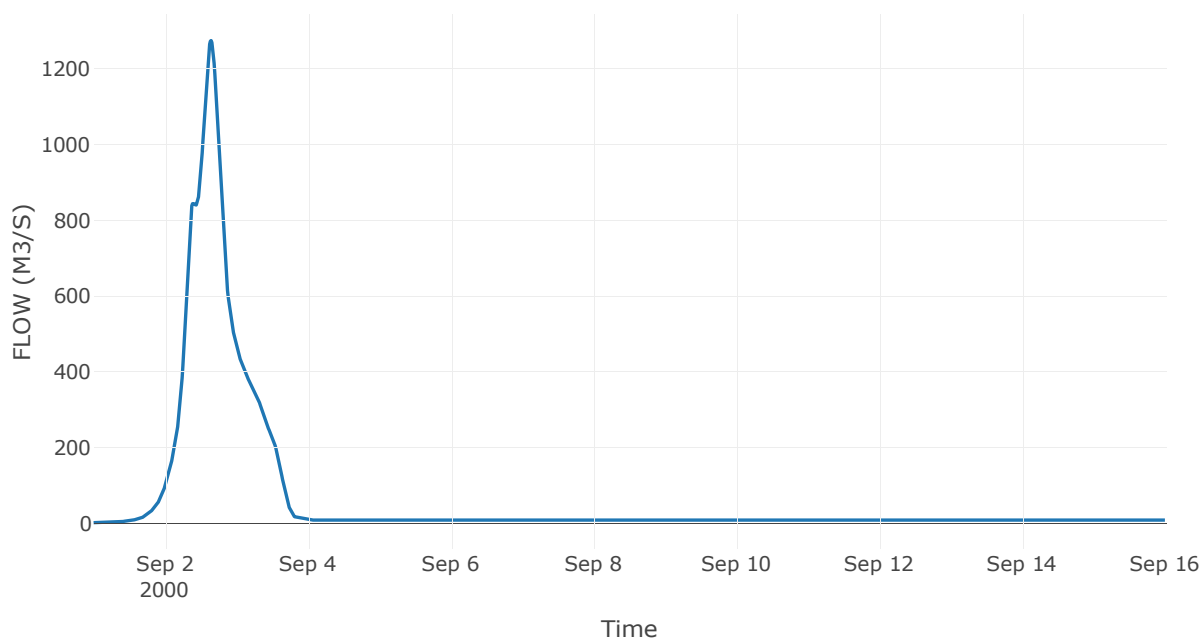
Κατάντη : J5

Μέθοδος Διόδευσης	Muskingum
Αρχική Μεταβλητή	Combined Inflow
Χρόνος Ροής K	4.31
Συντελεστής βάρους x	0.2
Πλήθος Υποκλάδων	17

Αποτελέσματα: R65

Παροχή Αιχμής(M3/S)	1273.9
Χρονική στιγμή αιχμής	02Sep2000, 15:30
Όγκος(MM)	187.67
Παροχή Αιχμής Εισόδου (M3/S)	1311.53
Όγκος Εισροής(M3)	8.96E7

Απορροή





Κλάδος: R76

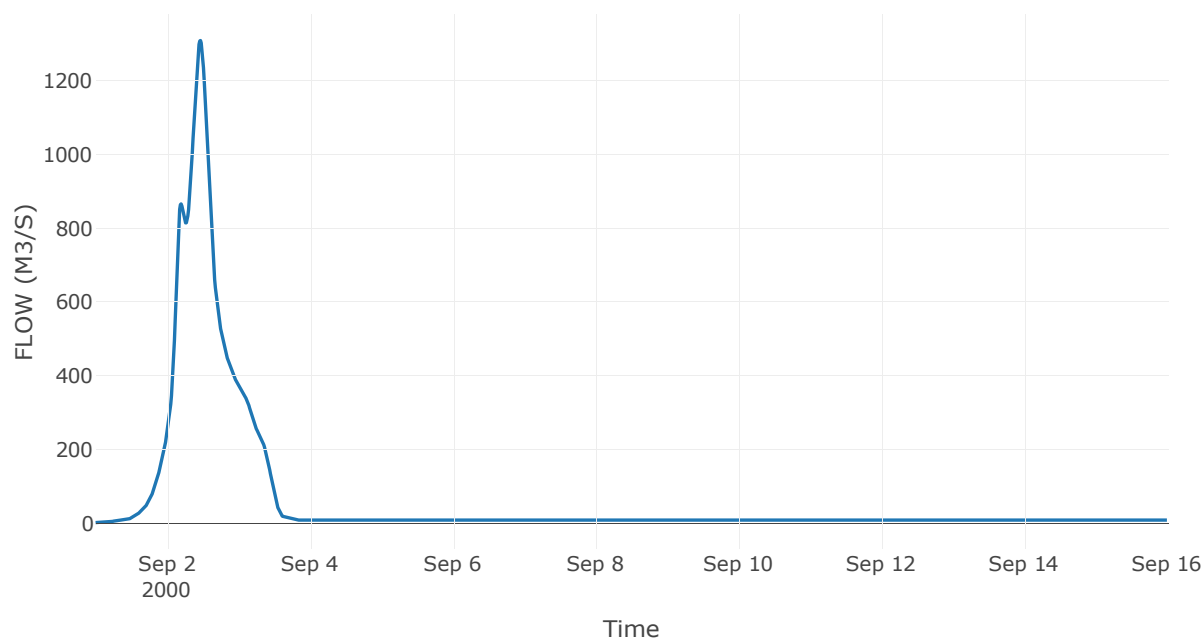
Κατάντη : J6

Μέθοδος Διόδευσης	Muskingum
Αρχική Μεταβλητή	Combined Inflow
Χρόνος Ροής K	1.79
Συντελεστής βάρους x	0.2
Πλήθος Υποκλάδων	7

Αποτελέσματα: R76

Παροχή Αιχμής(M3/S)	1308.91
Χρονική στιγμή αιχμής	02Sep2000, 11:15
Όγκος(MM)	188.02
Παροχή Αιχμής Εισόδου (M3/S)	1326.91
Όγκος Εισροής(M3)	8.89E7

Απορροή



Κλάδος: R87

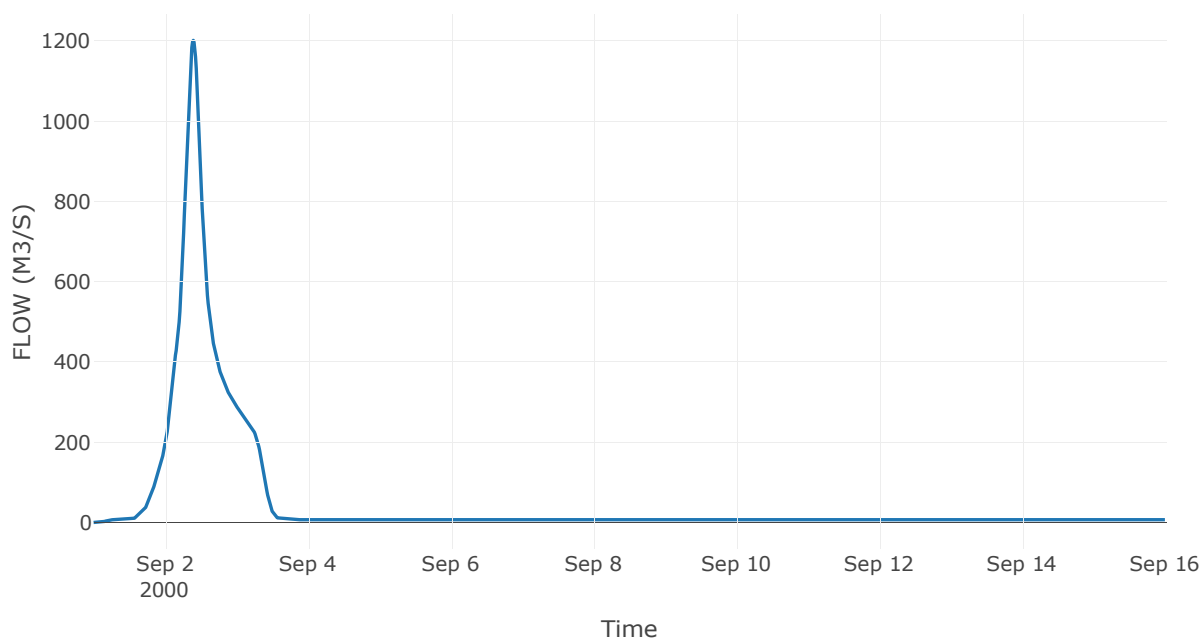
Κατάντη : J7

Μέθοδος Διόδευσης	Muskingum
Αρχική Μεταβλητή	Combined Inflow
Χρόνος Ροής K	1.13
Συντελεστής βάρους x	0.2
Πλήθος Υποκλάδων	5

Αποτελέσματα: R87

Παροχή Αιχμής(M3/S)	1201.43
Χρονική στιγμή αιχμής	02Sep2000, 09:30
Όγκος(MM)	190.76
Παροχή Αιχμής Εισόδου (M3/S)	1211.81
Όγκος Εισροής(M3)	6.9E7

Απορροή



Κλάδος: R218

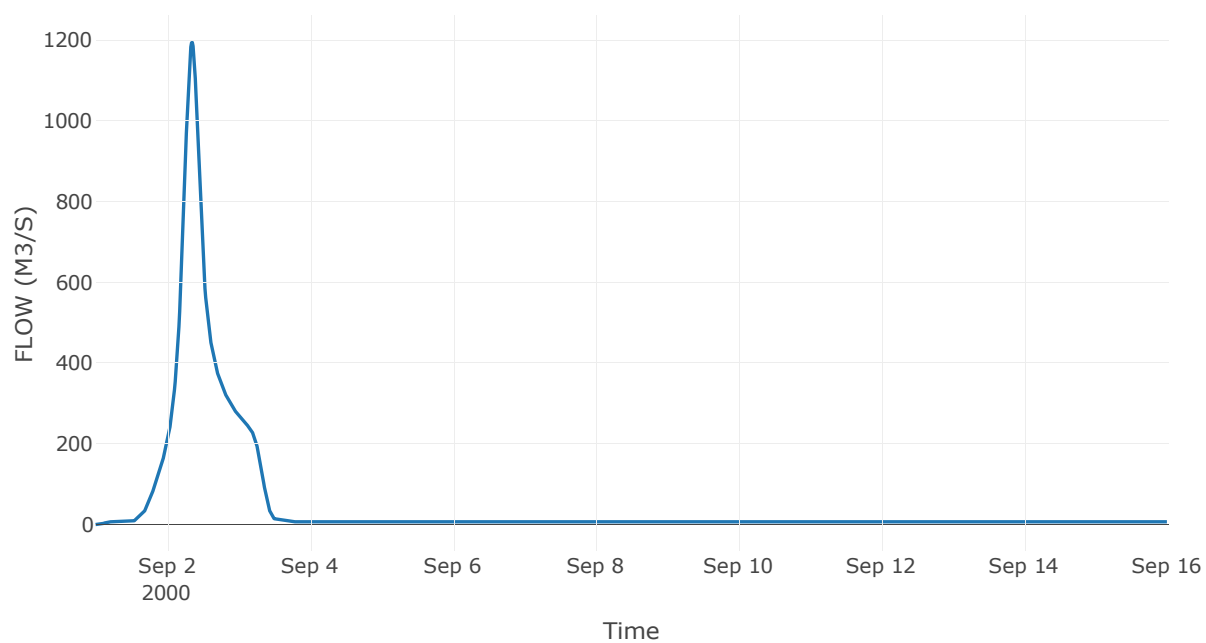
Κατάντη : J8

Μέθοδος Διόδευσης	Muskingum
Αρχική Μεταβλητή	Combined Inflow
Χρόνος Ροής K	2.22
Συντελεστής βάρους x	0.2
Πλήθος Υποκλάδων	9

Αποτελέσματα: R218

Παροχή Αιχμής(M3/S)	1193.86
Χρονική στιγμή αιχμής	02Sep2000, 08:30
Όγκος(MM)	192.13
Παροχή Αιχμής Εισόδου (M3/S)	1222.13
Όγκος Εισροής(M3)	6.58E7

Απορροή



Κλάδος: R921

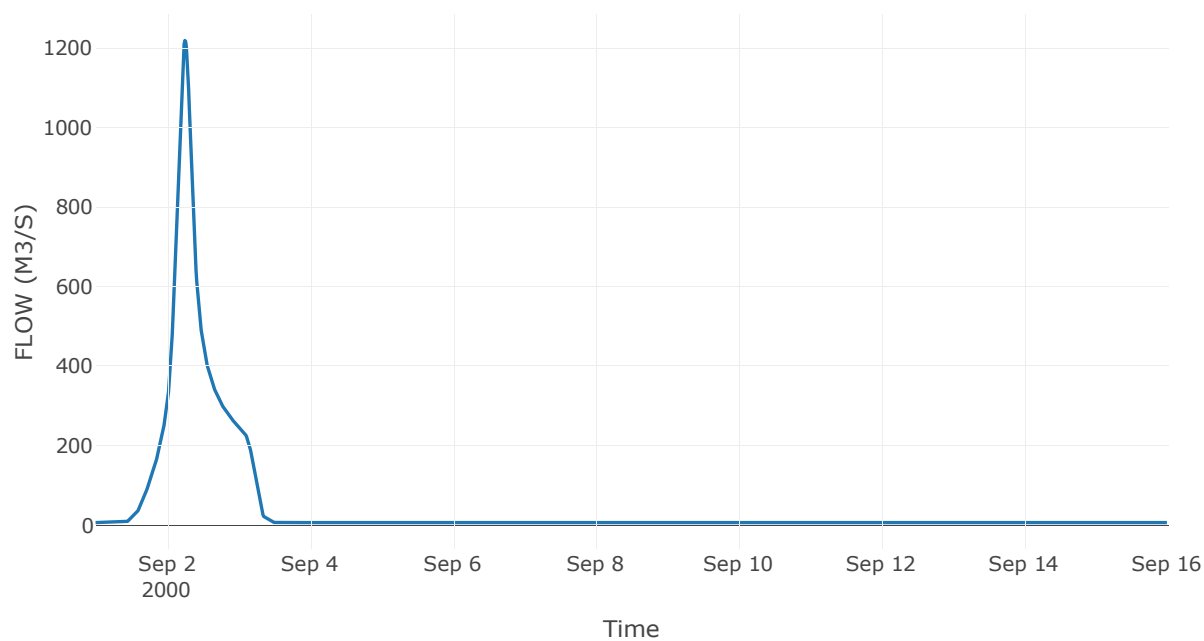
Κατάντη : J21 Res1

Μέθοδος Διόδευσης	Muskingum
Αρχική Μεταβλητή	Combined Inflow
Χρόνος Ροής Κ	1.57
Συντελεστής βάρους x	0.2
Πλήθος Υποκλάδων	6

Αποτελέσματα: R921

Παροχή Αιχμής(M3/S)	1218.36
Χρονική στιγμή αιχμής	02Sep2000, 06:00
Όγκος(MM)	192.94
Παροχή Αιχμής Εισόδου (M3/S)	1242.48
Όγκος Εισροής(M3)	6.51E7

Απορροή



Κλάδος: R109

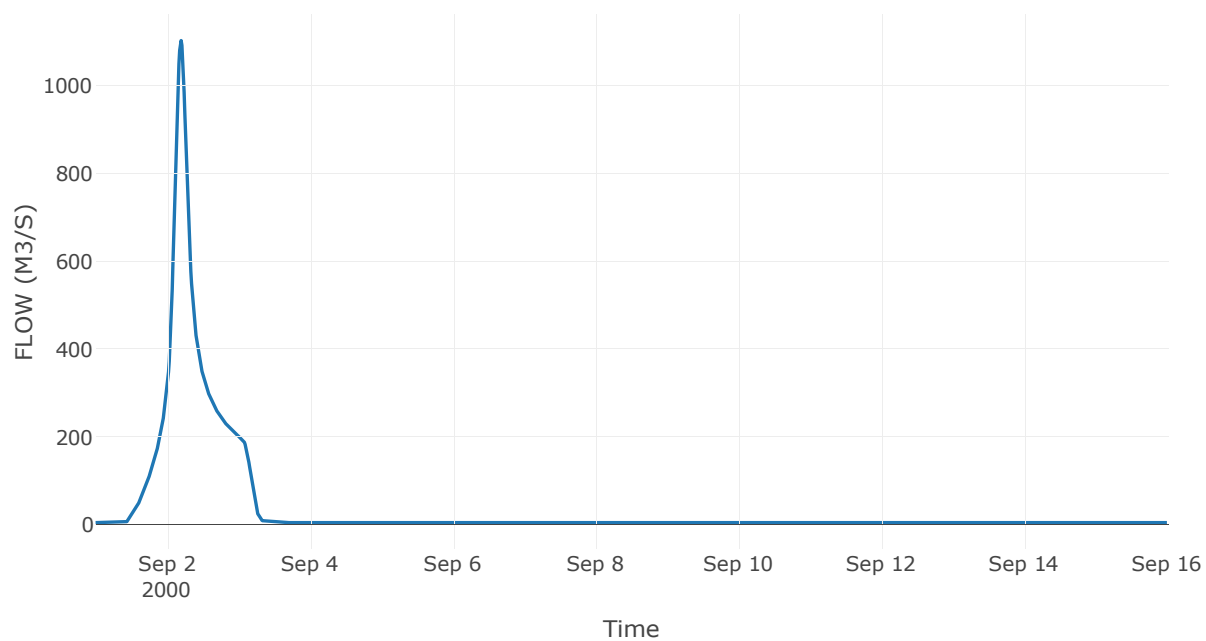
Κατάντη : J9

Μέθοδος Διόδευσης	Muskingum
Αρχική Μεταβλητή	Combined Inflow
Χρόνος Ροής K	1.83
Συντελεστής βάρους x	0.2
Πλήθος Υποκλάδων	7

Αποτελέσματα: R109

Παροχή Αιχμής(M3/S)	1102.73
Χρονική στιγμή αιχμής	02Sep2000, 04:45
Όγκος(MM)	194.57
Παροχή Αιχμής Εισόδου (M3/S)	1139.89
Όγκος Εισροής(M3)	5.43E7

Απορροή



Κλάδος: R1110

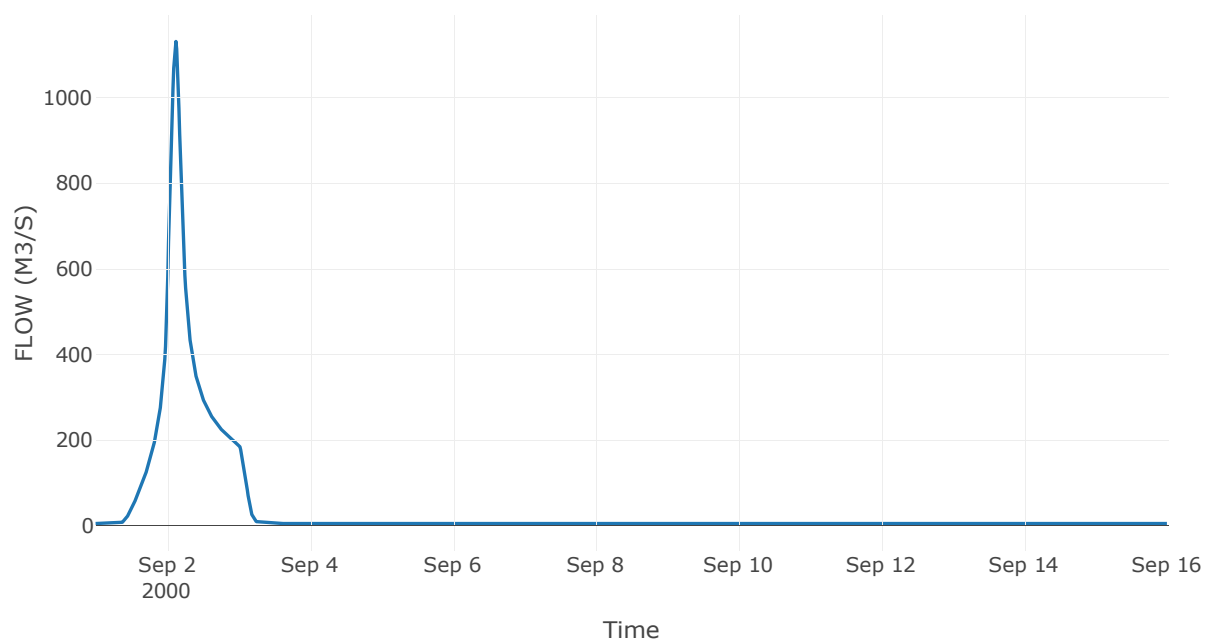
Κατάντη : J10

Μέθοδος Διόδευσης	Χρόνος Υστέρησης
Αρχική Μεταβλητή	Combined Inflow
Χρόνος Υστέρησης	7.05

Αποτελέσματα: R1110

Παροχή Αιχμής(M3/S)	1131.25
Χρονική στιγμή αιχμής	02Sep2000, 03:00
Όγκος(MM)	194.8
Παροχή Αιχμής Εισόδου (M3/S)	1135.38
Όγκος Εισροής(M3)	5.36E7

Απορροή



Κλάδος: R1211

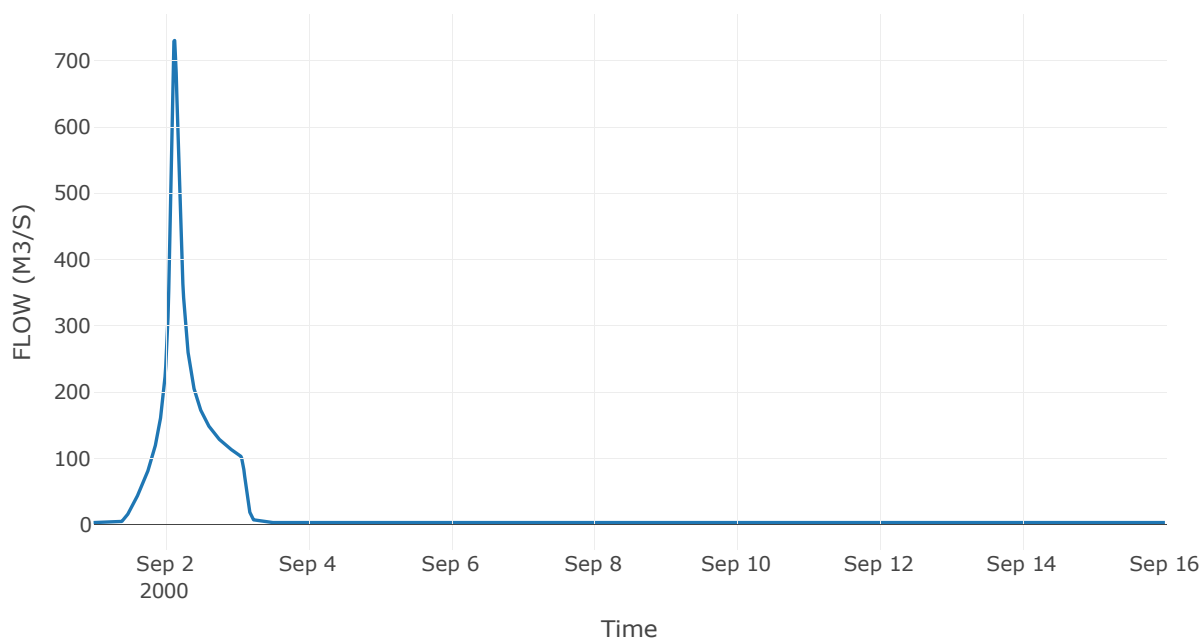
Κατάντη : J11

Μέθοδος Διόδευσης	Muskingum
Αρχική Μεταβλητή	Combined Inflow
Χρόνος Ροής K	1.59
Συντελεστής βάρους x	0.2
Πλήθος Υποκλάδων	6

Αποτελέσματα: R1211

Παροχή Αιχμής(M3/S)	730.17
Χρονική στιγμή αιχμής	02Sep2000, 03:15
Όγκος(MM)	198.26
Παροχή Αιχμής Εισόδου (M3/S)	780.87
Όγκος Εισροής(M3)	3.04E7

Απορροή



Κλάδος: R1312

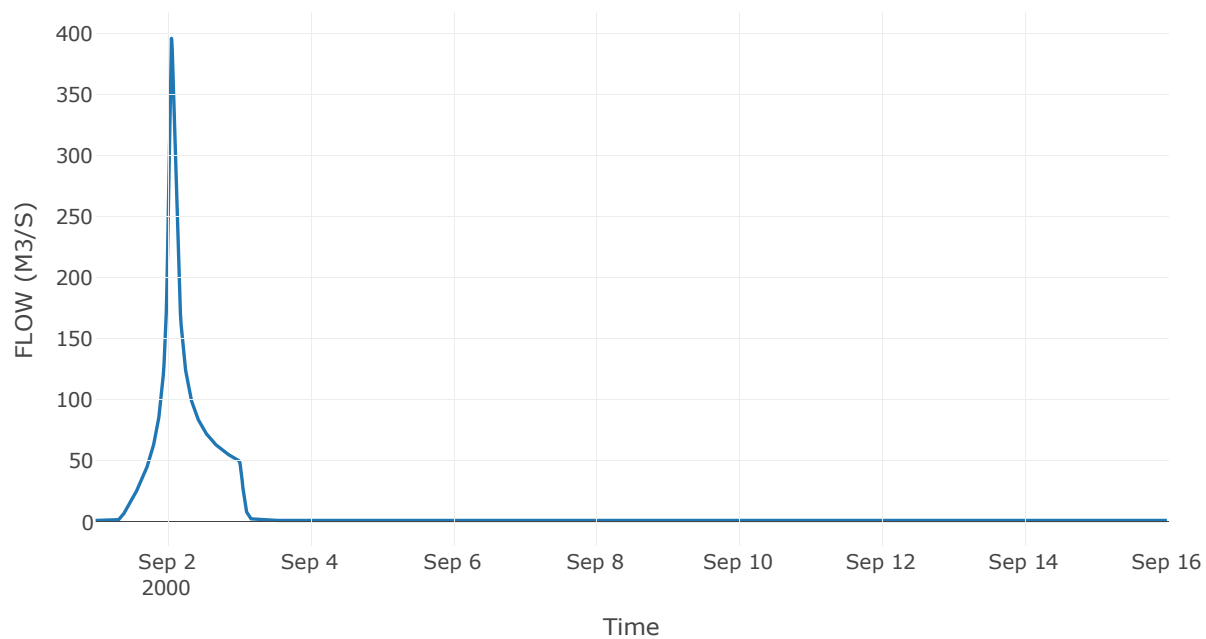
Κατάντη : J12

Μέθοδος Διόδευσης	Χρόνος Υστέρησης
Αρχική Μεταβλητή	Combined Inflow
Χρόνος Υστέρησης	10.06

Αποτελέσματα: R1312

Παροχή Αιχμής(M3/S)	396.12
Χρονική στιγμή αιχμής	02Sep2000, 01:30
Όγκος(MM)	203.08
Παροχή Αιχμής Εισόδου (M3/S)	397.87
Όγκος Εισροής(M3)	1.51E7

Απορροή





Κλάδος: R147

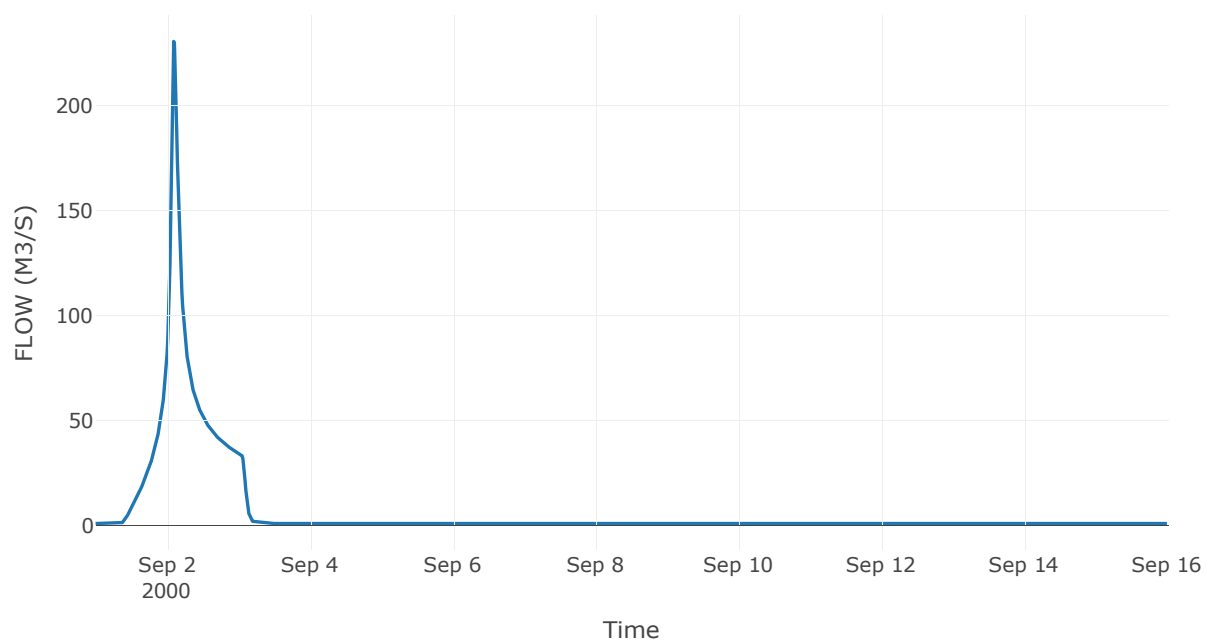
Κατάντη : J7

Μέθοδος Διόδευσης	Χρόνος Υστέρησης
Αρχική Μεταβλητή	Combined Inflow
Χρόνος Υστέρησης	60.19

Αποτελέσματα: R147

Παροχή Αιχμής(M3/S)	230.48
Χρονική στιγμή αιχμής	02Sep2000, 02:15
Όγκος(MM)	188.88
Παροχή Αιχμής Εισόδου (M3/S)	230.48
Όγκος Εισροής(M3)	9.32E6

Απορροή



Κλάδος: R155

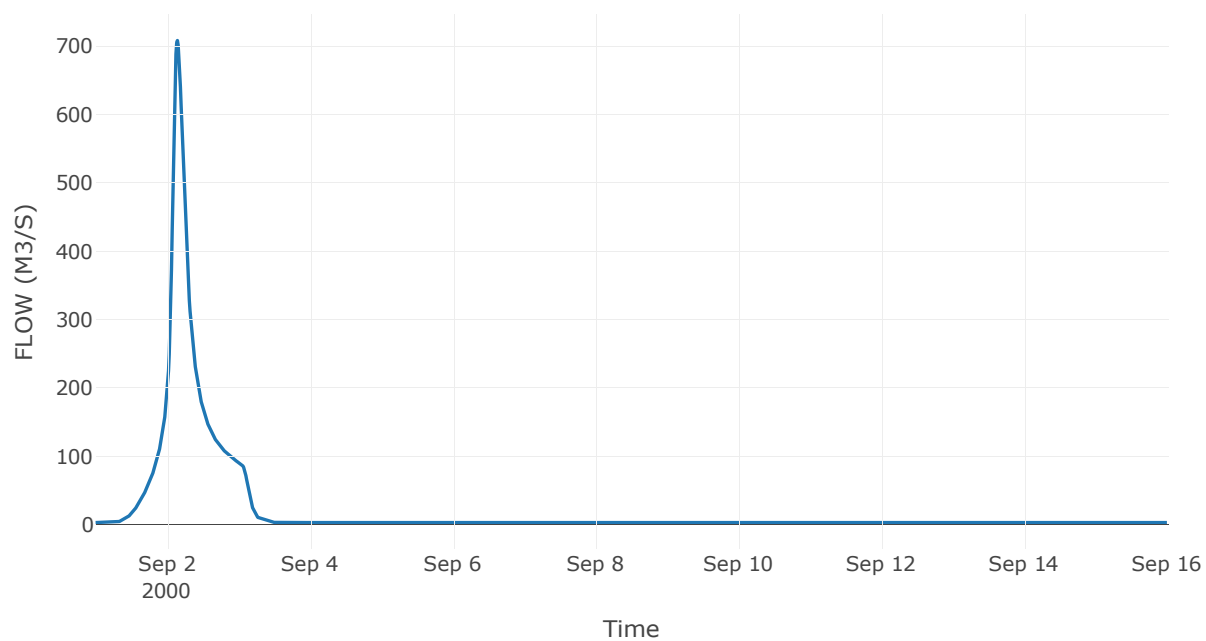
Κατάντη : J5

Μέθοδος Διόδευσης	Muskingum
Αρχική Μεταβλητή	Combined Inflow
Χρόνος Ροής K	1.13
Συντελεστής βάρους x	0.2
Πλήθος Υποκλάδων	5

Αποτελέσματα: R155

Παροχή Αιχμής(M3/S)	708.31
Χρονική στιγμή αιχμής	02Sep2000, 03:30
Όγκος(MM)	187.08
Παροχή Αιχμής Εισόδου (M3/S)	723.46
Όγκος Εισροής(M3)	3.03E7

Απορροή



Κλάδος: R1615

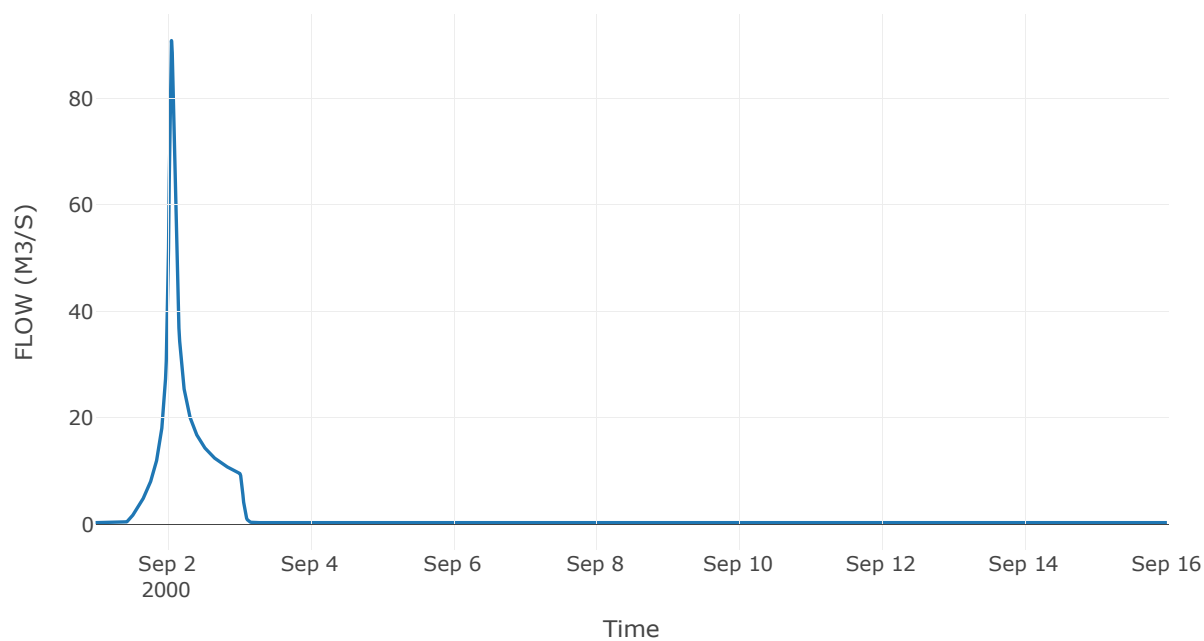
Κατάντη : J15

Μέθοδος Διόδευσης	Muskingum
Αρχική Μεταβλητή	Combined Inflow
Χρόνος Ροής K	0.55
Συντελεστής βάρους x	0.2
Πλήθος Υποκλάδων	2

Αποτελέσματα: R1615

Παροχή Αιχμής(M3/S)	90.89
Χρονική στιγμή αιχμής	02Sep2000, 01:30
Όγκος(MM)	168.02
Παροχή Αιχμής Εισόδου (M3/S)	95.85
Όγκος Εισροής(M3)	2.92E6

Απορροή



Κλάδος: R1715

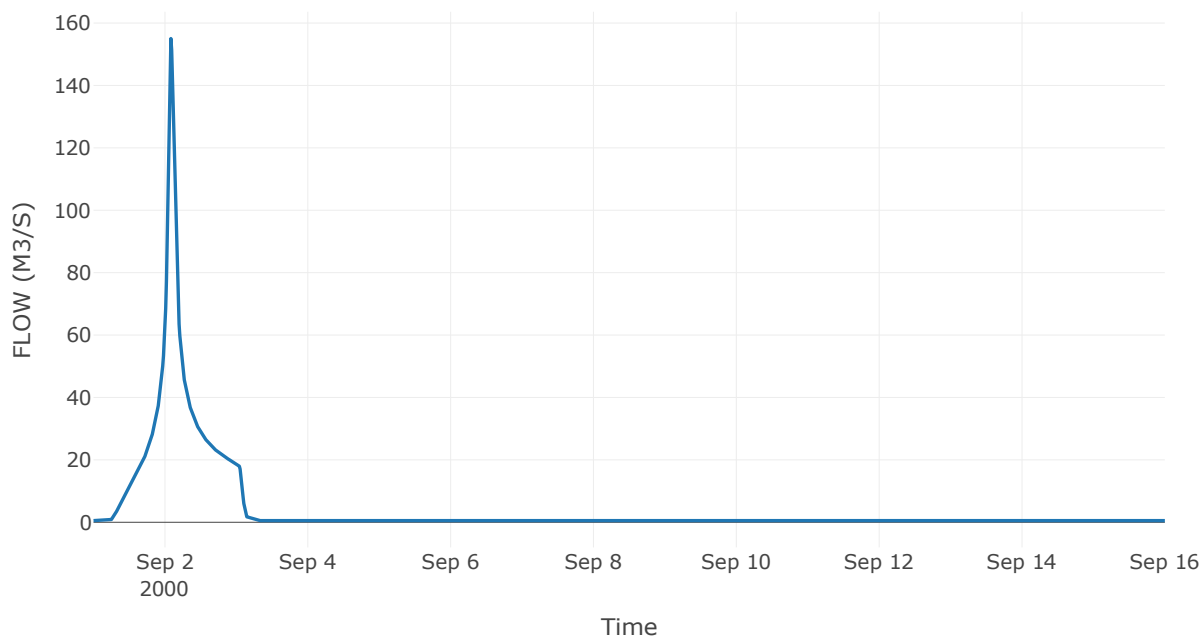
Κατάντη : J15

Μέθοδος Διόδευσης	Muskingum
Αρχική Μεταβλητή	Combined Inflow
Χρόνος Ροής K	1
Συντελεστής βάρους x	0.2
Πλήθος Υποκλάδων	4

Αποτελέσματα: R1715

Παροχή Αιχμής(M3/S)	155.04
Χρονική στιγμή αιχμής	02Sep2000, 02:00
Όγκος(MM)	223.27
Παροχή Αιχμής Εισόδου (M3/S)	166.58
Όγκος Εισροής(M3)	5.84E6

Απορροή



Κλάδος: R184

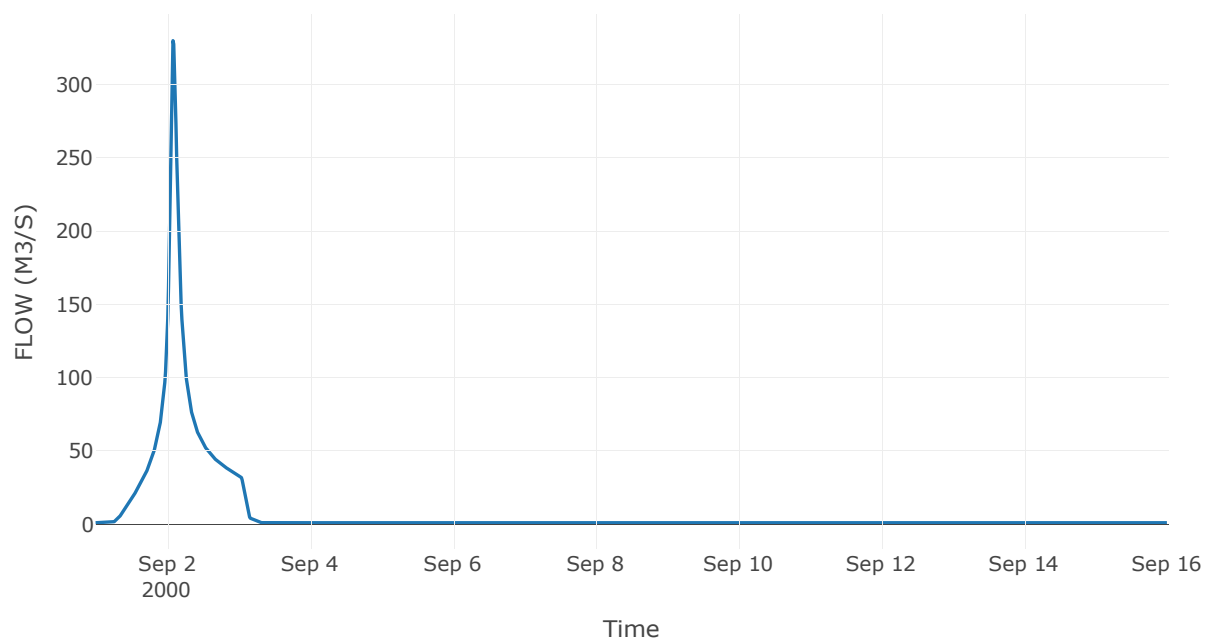
Κατάντη : J4

Μέθοδος Διόδευσης	Muskingum
Αρχική Μεταβλητή	Combined Inflow
Χρόνος Ροής K	0.55
Συντελεστής βάρους x	0.2
Πλήθος Υποκλάδων	2

Αποτελέσματα: R184

Παροχή Αιχμής(M3/S)	329.99
Χρονική στιγμή αιχμής	02Sep2000, 02:00
Όγκος(MM)	197
Παροχή Αιχμής Εισόδου (M3/S)	340.26
Όγκος Εισροής(M3)	1.2E7

Απορροή



Κλάδος: R193

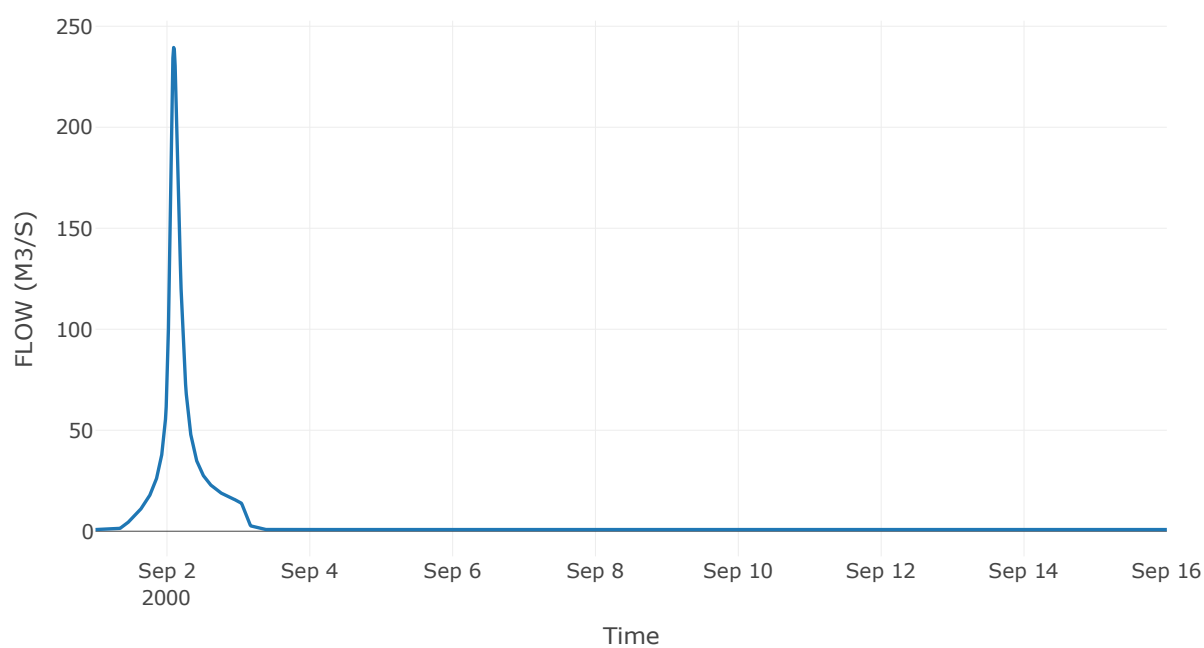
Κατάντη : J3

Μέθοδος Διόδευσης	Muskingum
Αρχική Μεταβλητή	Combined Inflow
Χρόνος Ροής K	0.27
Συντελεστής βάρους x	0.2
Πλήθος Υποκλάδων	1

Αποτελέσματα: R193

Παροχή Αιχμής(M3/S)	239.5
Χρονική στιγμή αιχμής	02Sep2000, 02:15
Όγκος(MM)	180.53
Παροχή Αιχμής Εισόδου (M3/S)	242.02
Όγκος Εισροής(M3)	7.3E6

Απορροή



Κλάδος: R2019

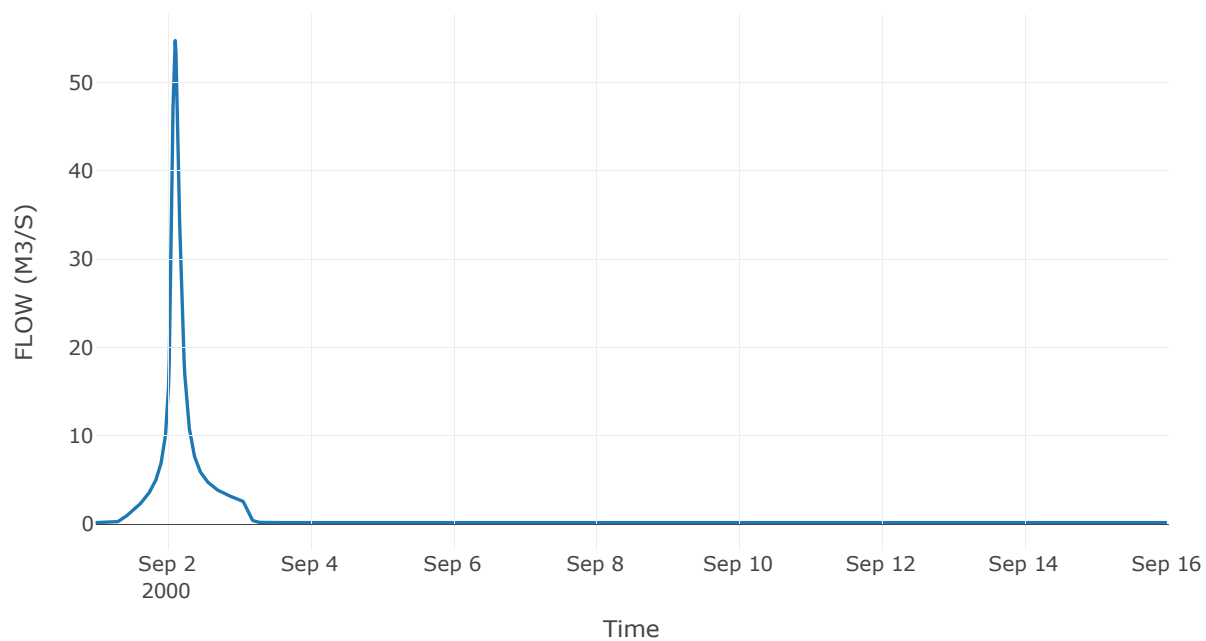
Κατάντη : J19

Μέθοδος Διόδευσης	Muskingum
Αρχική Μεταβλητή	Combined Inflow
Χρόνος Ροής K	0.88
Συντελεστής βάρους x	0.2
Πλήθος Υποκλάδων	4

Αποτελέσματα: R2019

Παροχή Αιχμής(M3/S)	54.76
Χρονική στιγμή αιχμής	02Sep2000, 02:45
Όγκος(MM)	182.11
Παροχή Αιχμής Εισόδου (M3/S)	56.79
Όγκος Εισροής(M3)	1.5E6

Απορροή



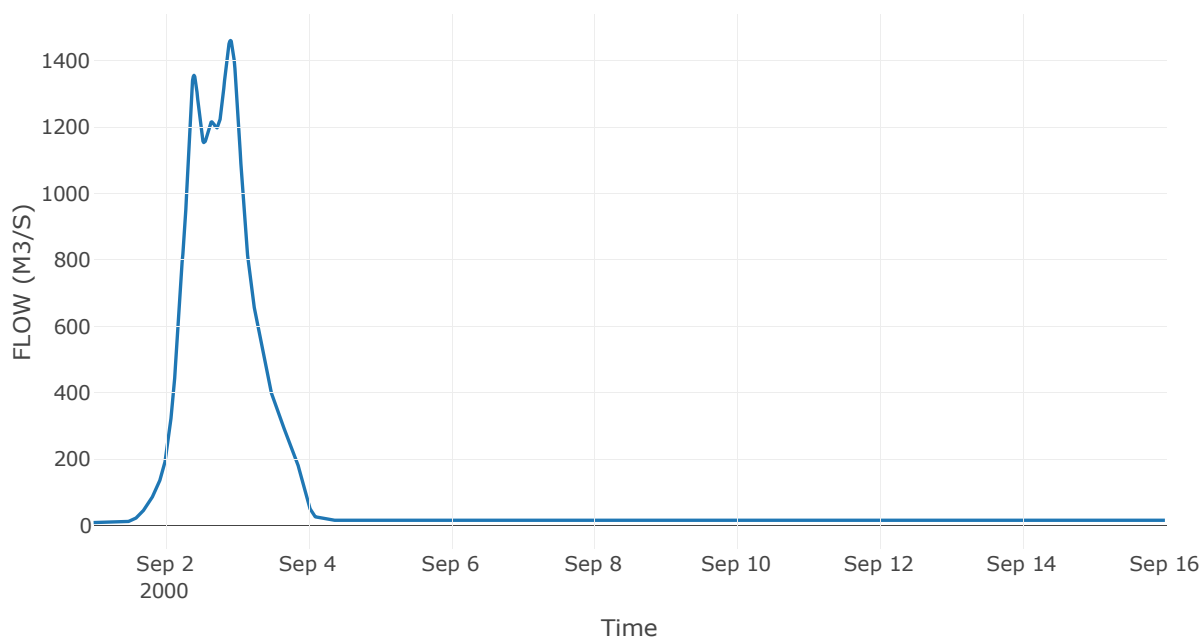
## 4.3 Δεδομένα και υδρογραφήματα σχεδιασμού Κόμβων υδρογραφικού δικτύου

Κόμβος εξόδου: J1

Αποτέλεσμα  
τα: J1

Παροχή αιχμής (M3/S)	1460.03
Χρονική στιγμή αιχμής	02Sep2000, 22:00
Όγκος (MM)	186.97

Απορροή





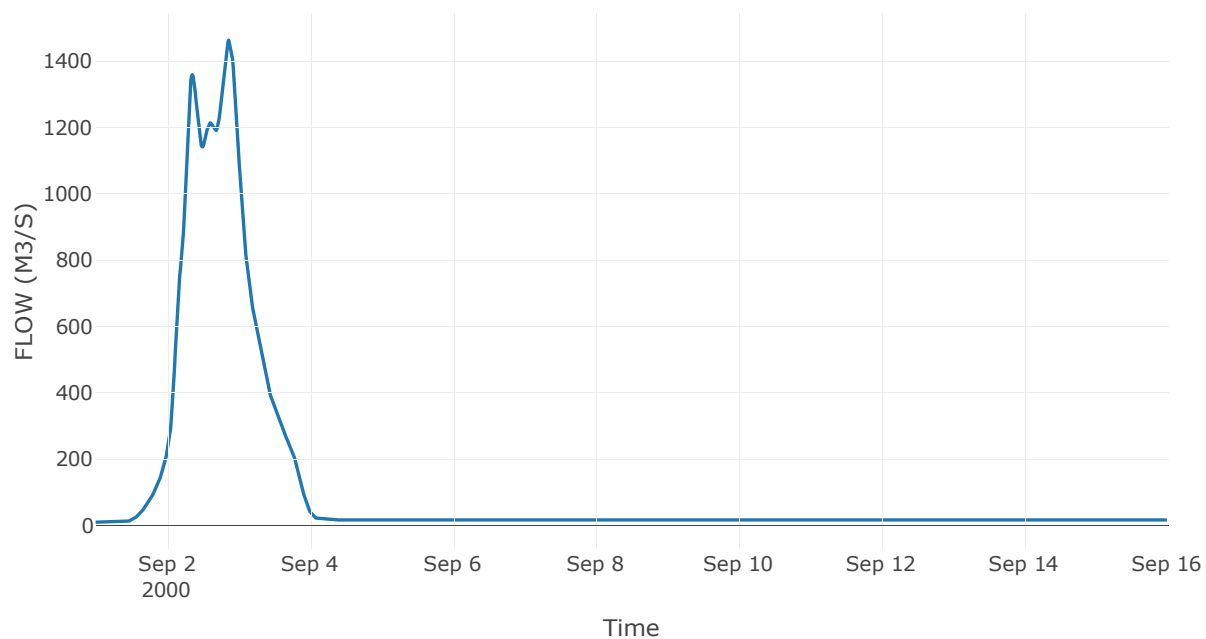
Κόμβος: J2

Κατάντη : R21

Αποτελέσματα: J2

Παροχή Αιχμής(M3/S)	1463.45
Χρονική στιγμή αιχμής	02Sep2000, 20:45
Όγκος(MM)	187.19

Απορροή



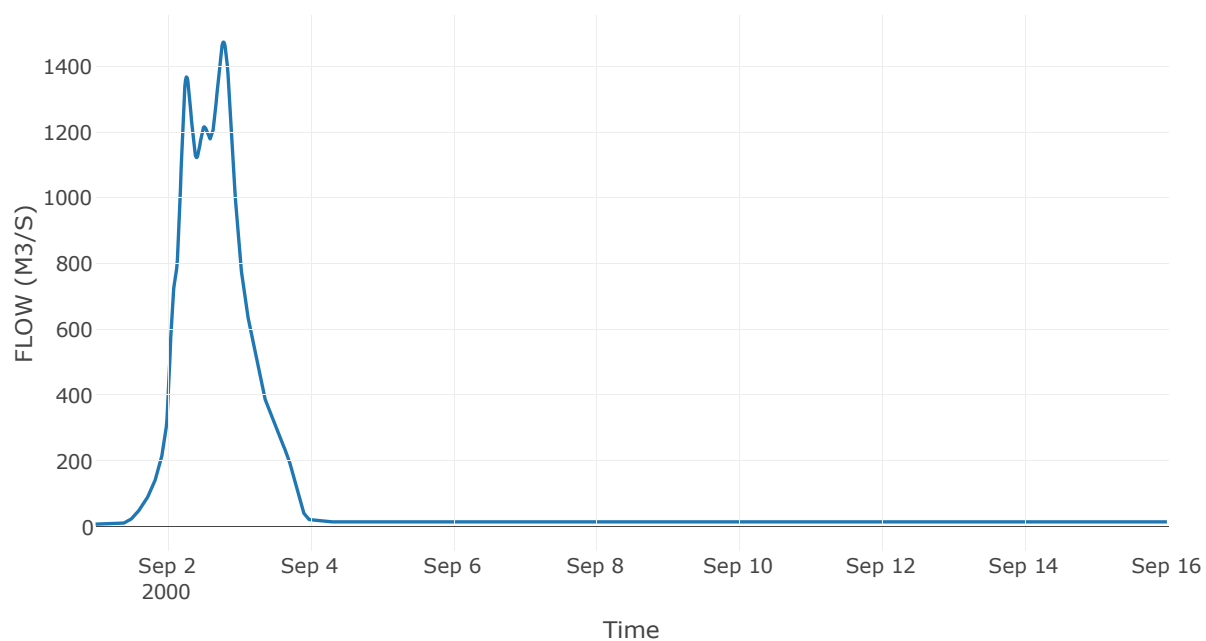
Κόμβος: J3

Κατάντη : R32

Αποτελέσματα: J3

Παροχή Αιχμής(M3/S)	1473.5
Χρονική στιγμή αιχμής	02Sep2000, 19:00
Όγκος(MM)	187.29

Απορροή



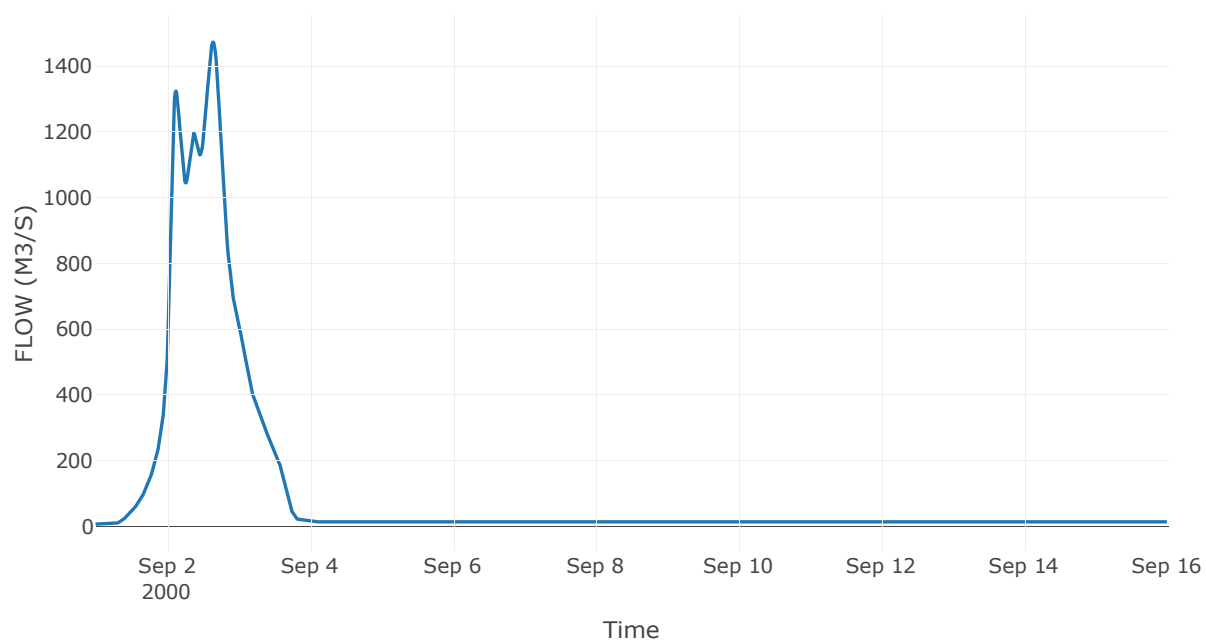
Κόμβος: J4

Κατάντη : R43

Αποτελέσματα: J4

Παροχή Αιχμής(M3/S)	1472.12
Χρονική στιγμή αιχμής	02Sep2000, 15:30
Όγκος(MM)	187.71

Απορροή



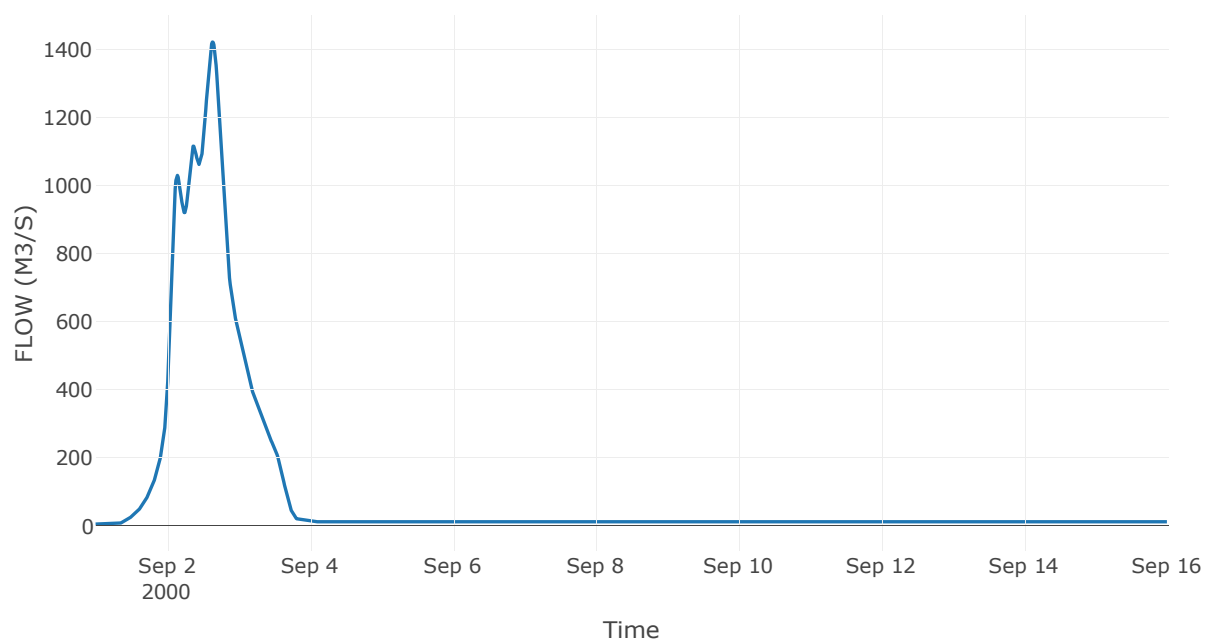
Κόμβος: J5

Κατάντη : R54

Αποτελέσματα: J5

Παροχή Αιχμής(M3/S)	1421.62
Χρονική στιγμή αιχμής	02Sep2000, 15:15
Όγκος(MM)	186.71

Απορροή



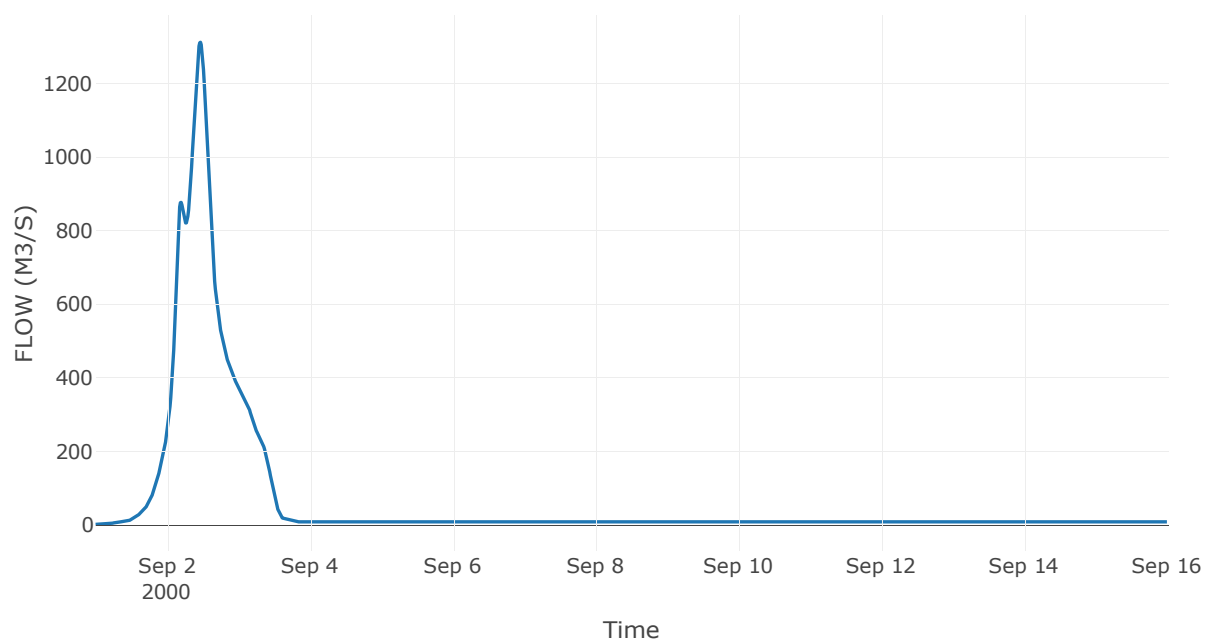
Κόμβος: J6

Κατάντη : R65

Αποτελέσματα: J6

Παροχή Αιχμής(M3/S)	1311.53
Χρονική στιγμή αιχμής	02Sep2000, 11:15
Όγκος(MM)	187.89

Απορροή



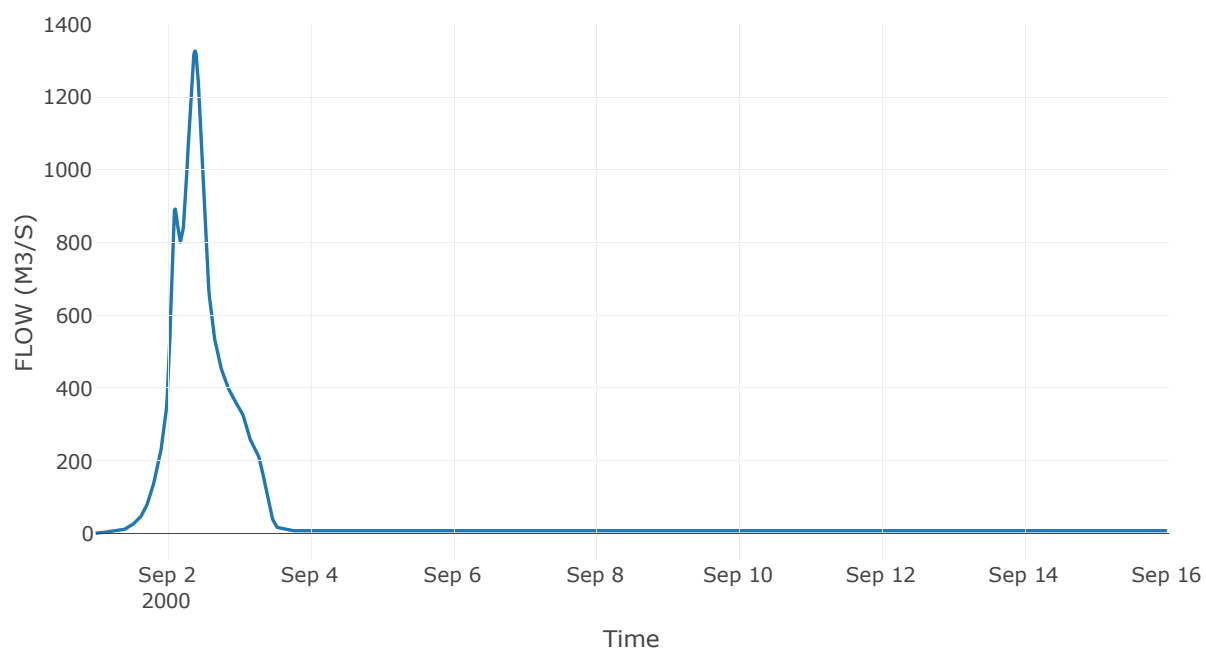
Κόμβος: J7

Κατάντη : R76

Αποτελέσματα: J7

Παροχή Αιχμής(M3/S)	1326.91
Χρονική στιγμή αιχμής	02Sep2000, 09:30
Όγκος(MM)	188.12

Απορροή



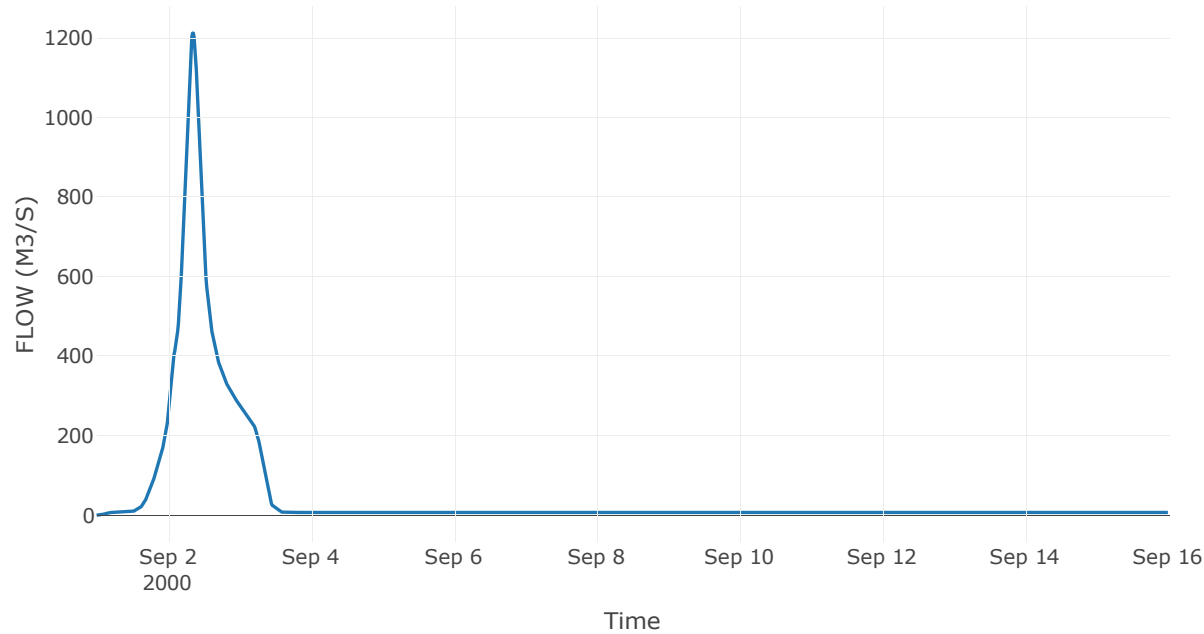
Κόμβος: J8

Κατάντη : R87

Αποτελέσματα: J8

Παροχή Αιχμής(M3/S)	1211.81
Χρονική στιγμή αιχμής	02Sep2000, 08:30
Όγκος(MM)	190.84

Απορροή



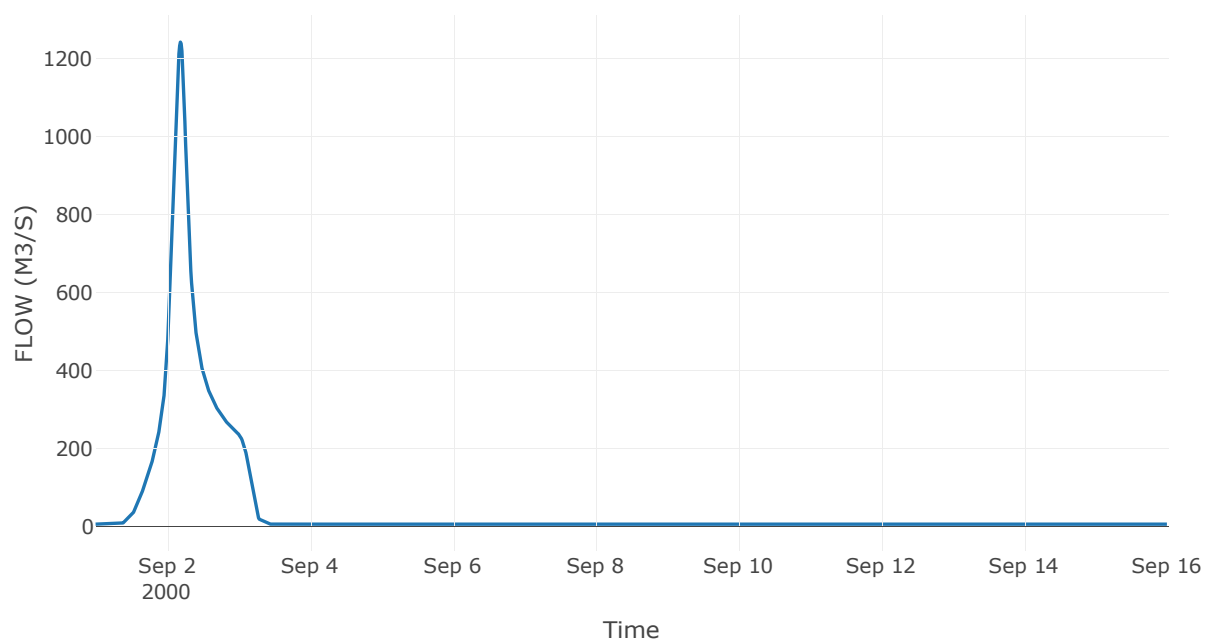
Κόμβος: J9

Κατάντη : R921

Αποτελέσματα: J9

Παροχή Αιχμής(M3/S)	1242.48
Χρονική στιγμή αιχμής	02Sep2000, 04:30
Όγκος(MM)	192.94

Απορροή





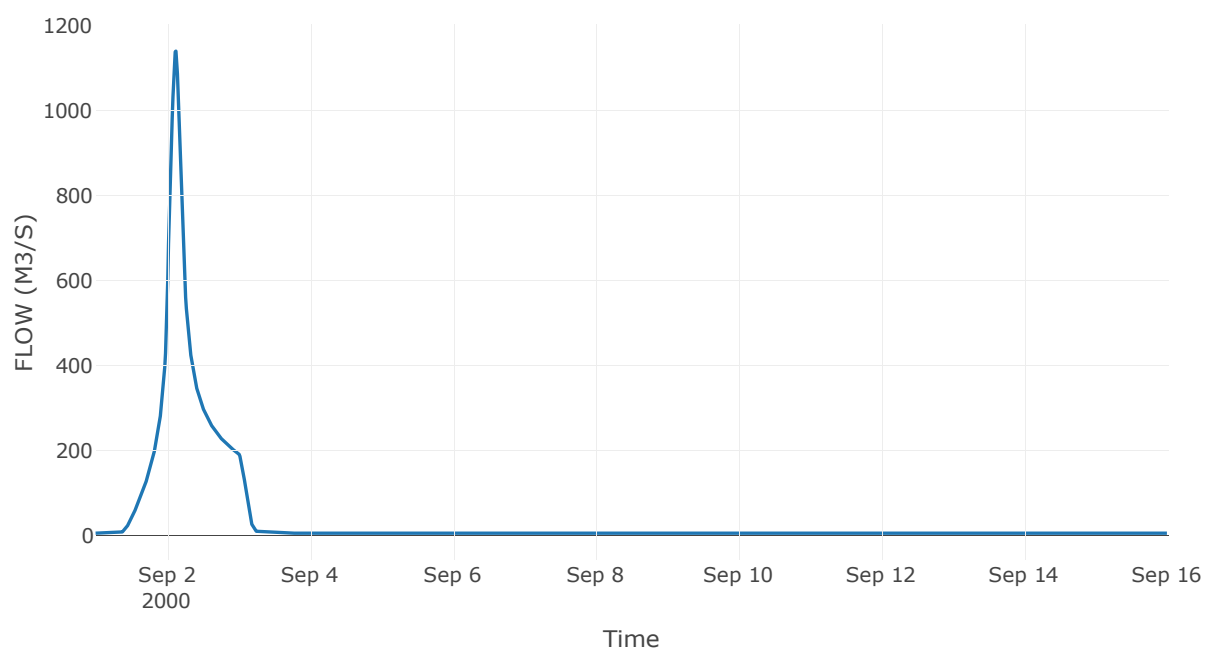
Κόμβος: J10

Κατάντη : R109

Αποτελέσματα: J10

Παροχή Αιχμής(M3/S)	1139.89
Χρονική στιγμή αιχμής	02Sep2000, 03:00
Όγκος(MM)	194.57

Απορροή



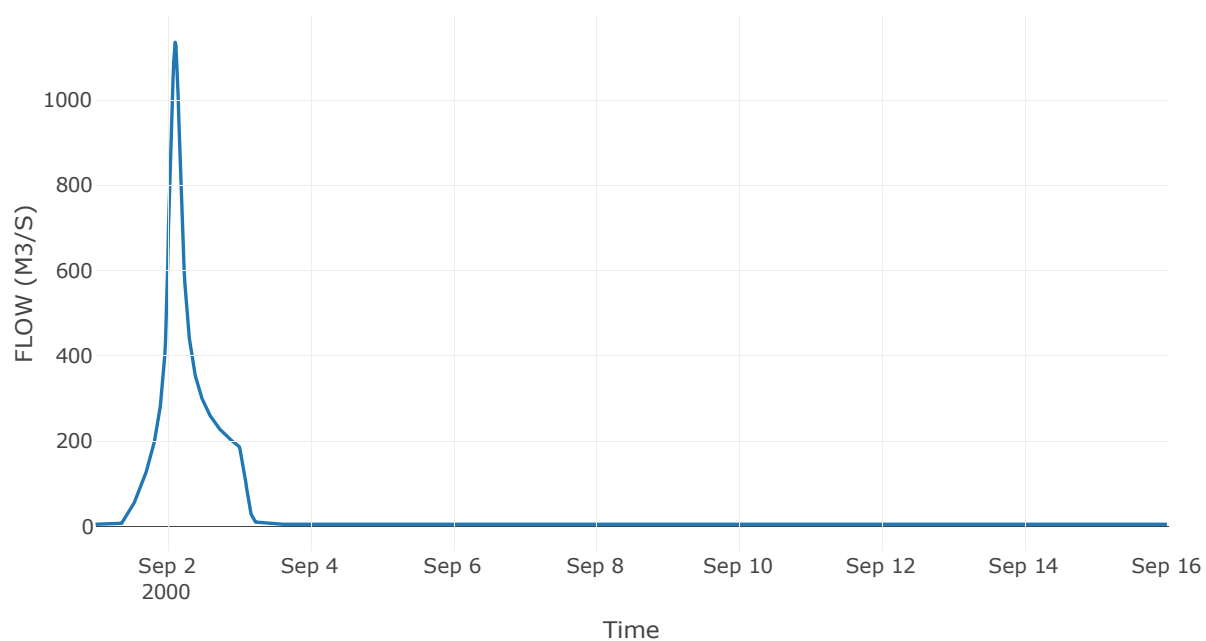
Κόμβος: J11

Κατάντη : R1110

Αποτελέσματα: J11

Παροχή Αιχμής(M3/S)	1135.38
Χρονική στιγμή αιχμής	02Sep2000, 02:45
Όγκος(MM)	194.8

Απορροή



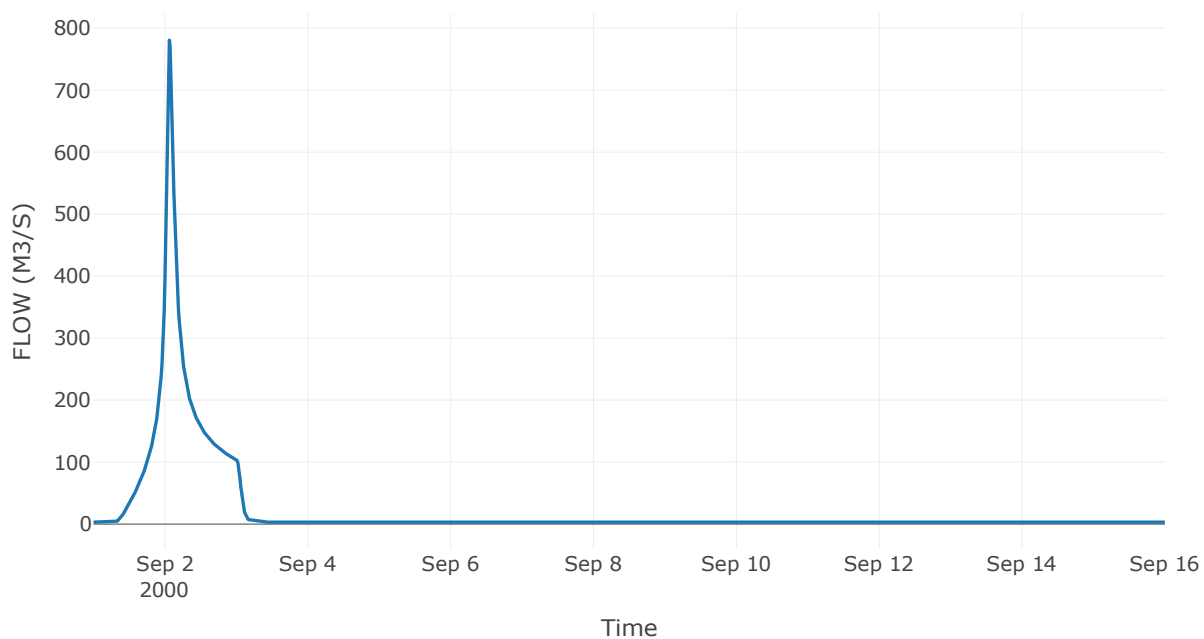
Κόμβος: J12

Κατάντη : R1211

Αποτελέσματα: J12

Παροχή Αιχμής(M3/S)	780.87
Χρονική στιγμή αιχμής	02Sep2000, 01:30
Όγκος(MM)	198.26

Απορροή



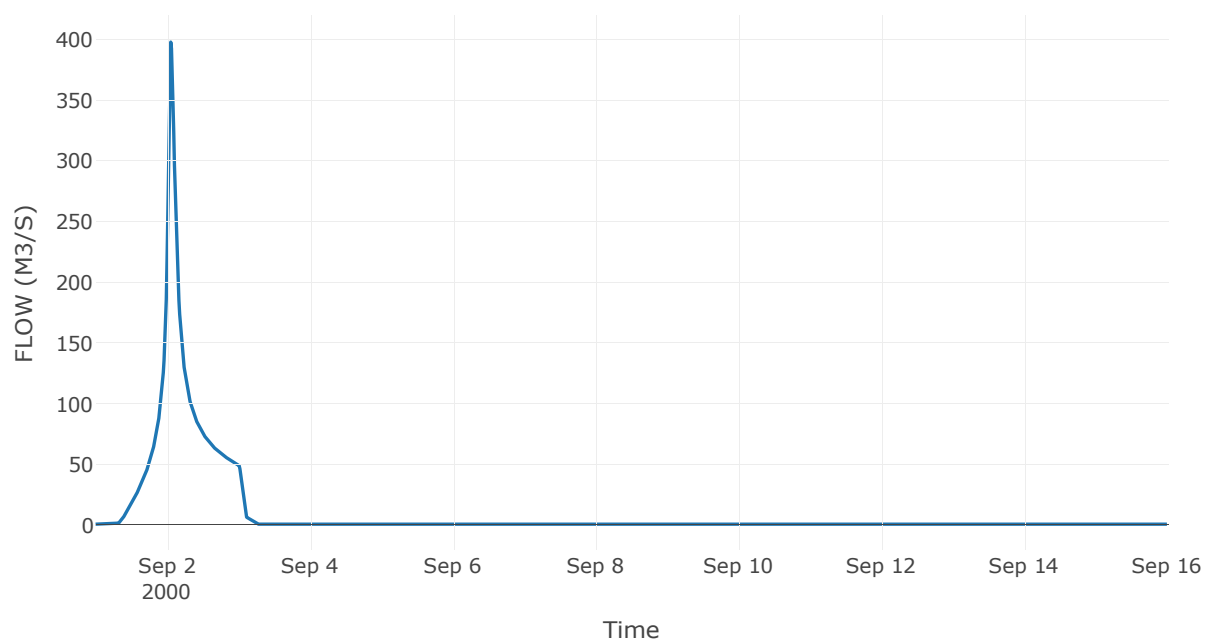
Κόμβος: J13

Κατάντη : R1312

Αποτελέσματα: J13

Παροχή Αιχμής(M3/S)	397.87
Χρονική στιγμή αιχμής	02Sep2000, 01:15
Όγκος(MM)	203.08

Απορροή



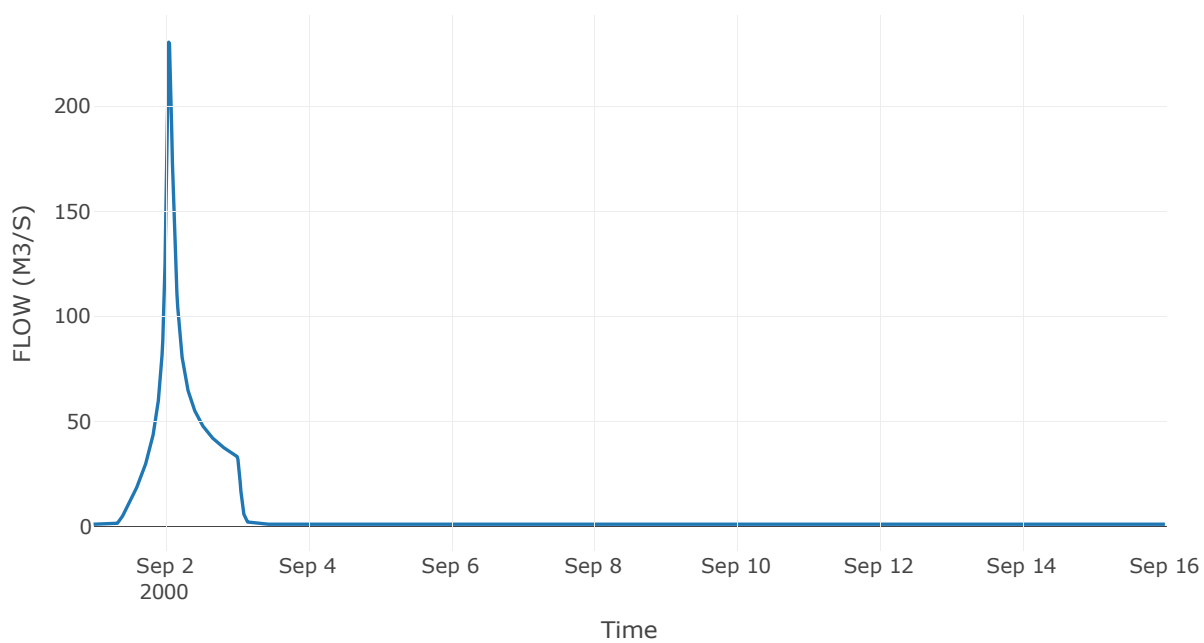
Κόμβος: J14

Κατάντη : R147

Αποτελέσματα: J14

Παροχή Αιχμής(M3/S)	230.48
Χρονική στιγμή αιχμής	02Sep2000, 01:15
Όγκος(MM)	188.88

Απορροή



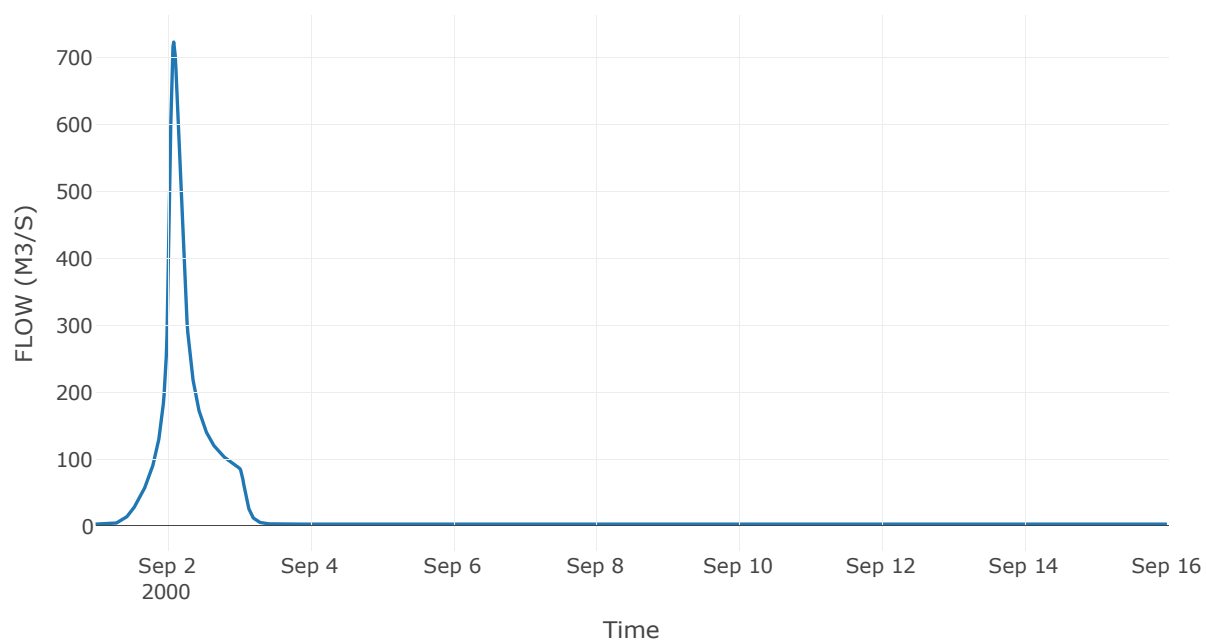
Κόμβος: J15

Κατάντη : R155

Αποτελέσματα: J15

Παροχή Αιχμής(M3/S)	723.46
Χρονική στιγμή αιχμής	02Sep2000, 02:15
Όγκος(MM)	187.08

Απορροή



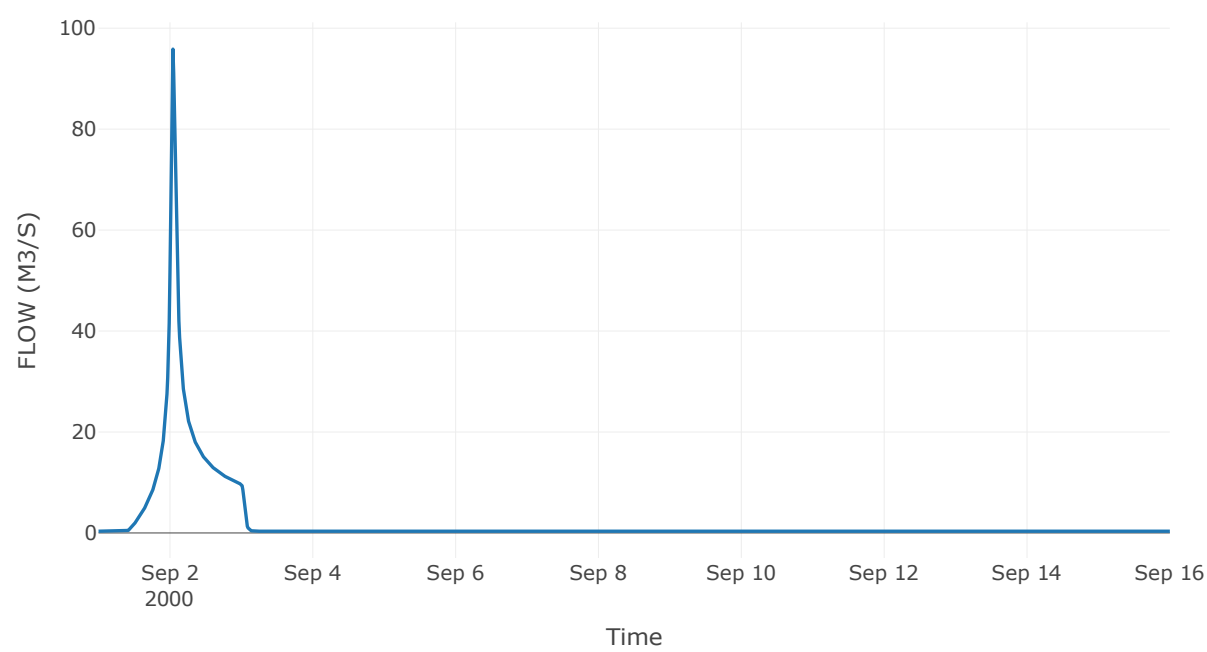
Κόμβος: J16

Κατάντη : R1615

Αποτελέσματα: J16

Παροχή Αιχμής(M3/S)	95.85
Χρονική στιγμή αιχμής	02Sep2000, 01:00
Όγκος(MM)	168.02

Απορροή



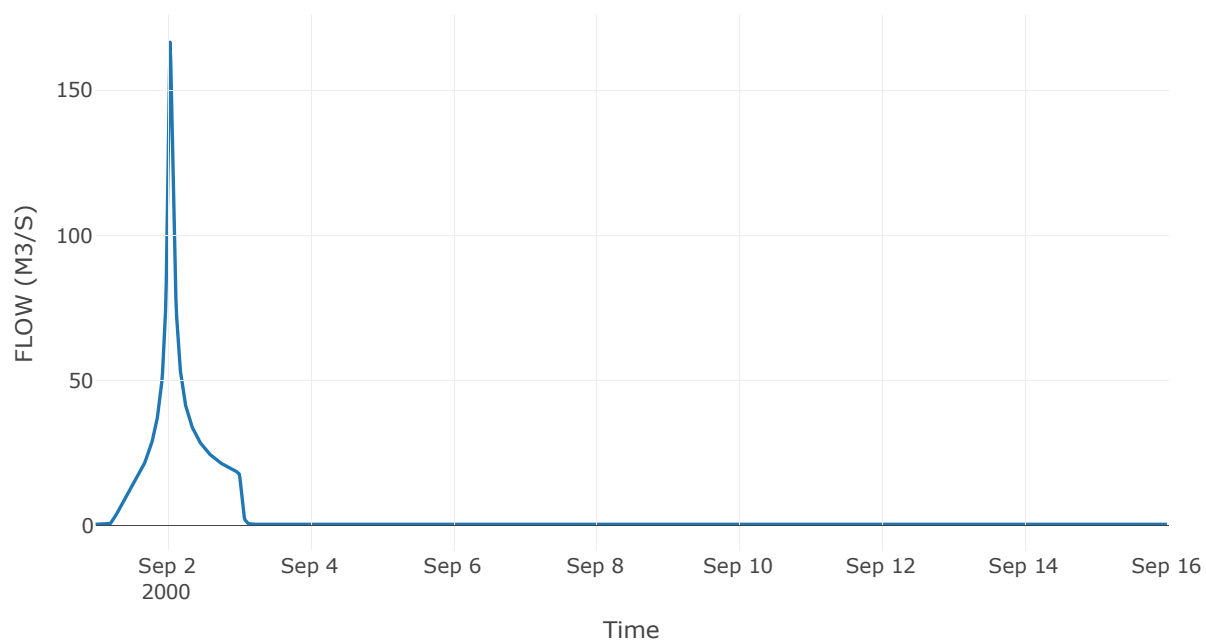
Κόμβος: J17

Κατάντη : R1715

Αποτελέσματα: J17

Παροχή Αιχμής(M3/S)	166.58
Χρονική στιγμή αιχμής	02Sep2000, 01:00
Όγκος(MM)	223.27

Απορροή





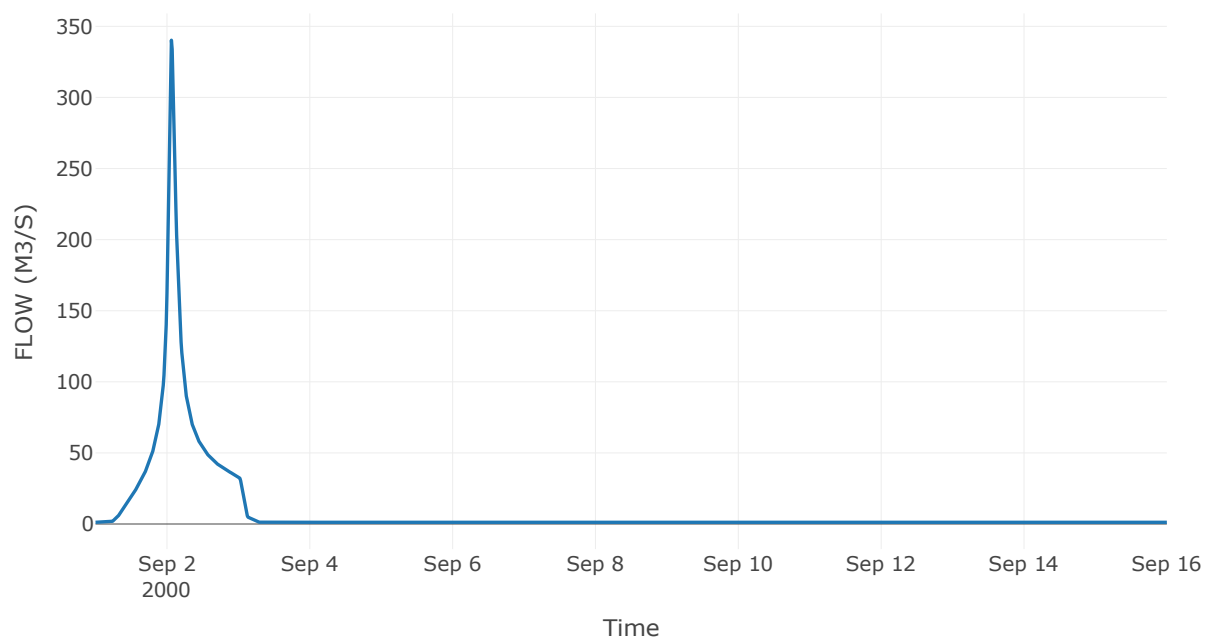
Κόμβος: J18

Κατάντη : R184

Αποτελέσματα: J18

Παροχή Αιχμής(M3/S)	340.26
Χρονική στιγμή αιχμής	02Sep2000, 01:30
Όγκος(MM)	197

Απορροή



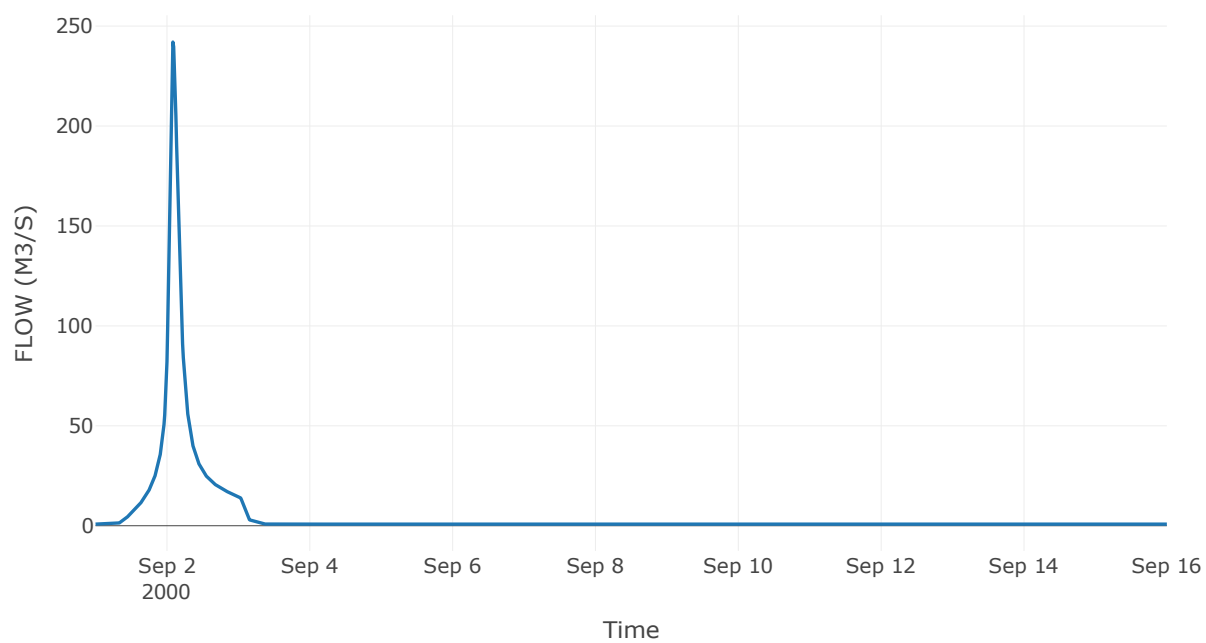
Κόμβος: J19

Κατάντη : R193

Αποτελέσματα: J19

Παροχή Αιχμής(M3/S)	242.02
Χρονική στιγμή αιχμής	02Sep2000, 02:00
Όγκος(MM)	180.53

Απορροή



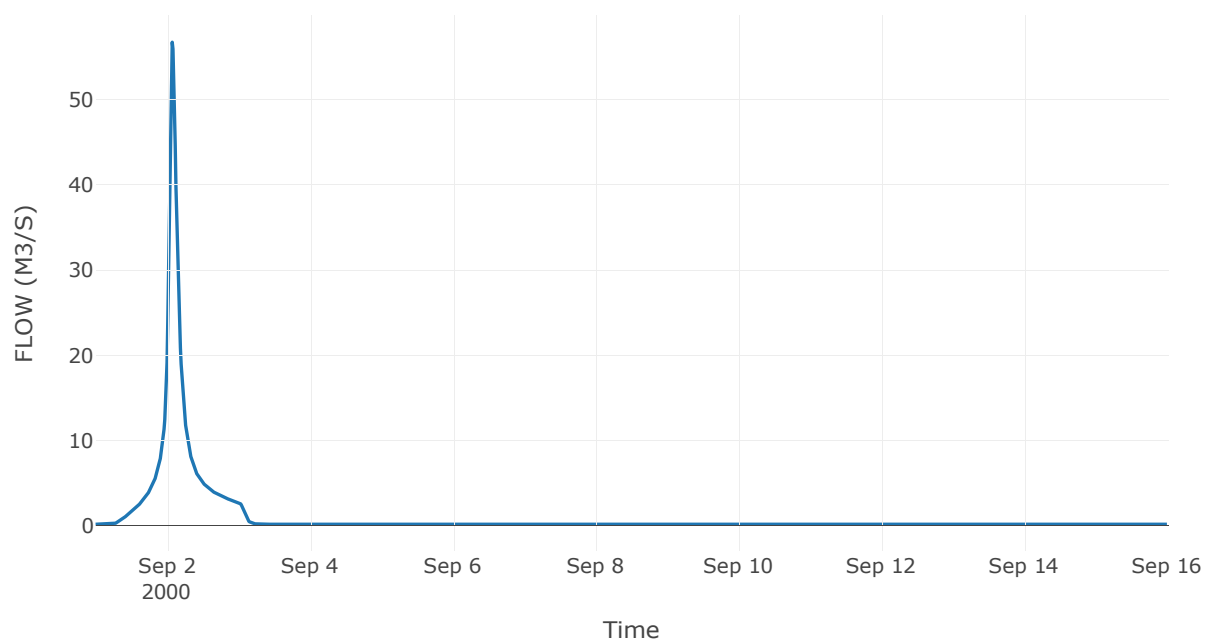
Κόμβος: J20

Κατάντη : R2019

Αποτελέσματα: J20

Παροχή Αιχμής(M3/S)	56.79
Χρονική στιγμή αιχμής	02Sep2000, 01:45
Όγκος(MM)	182.11

Απορροή



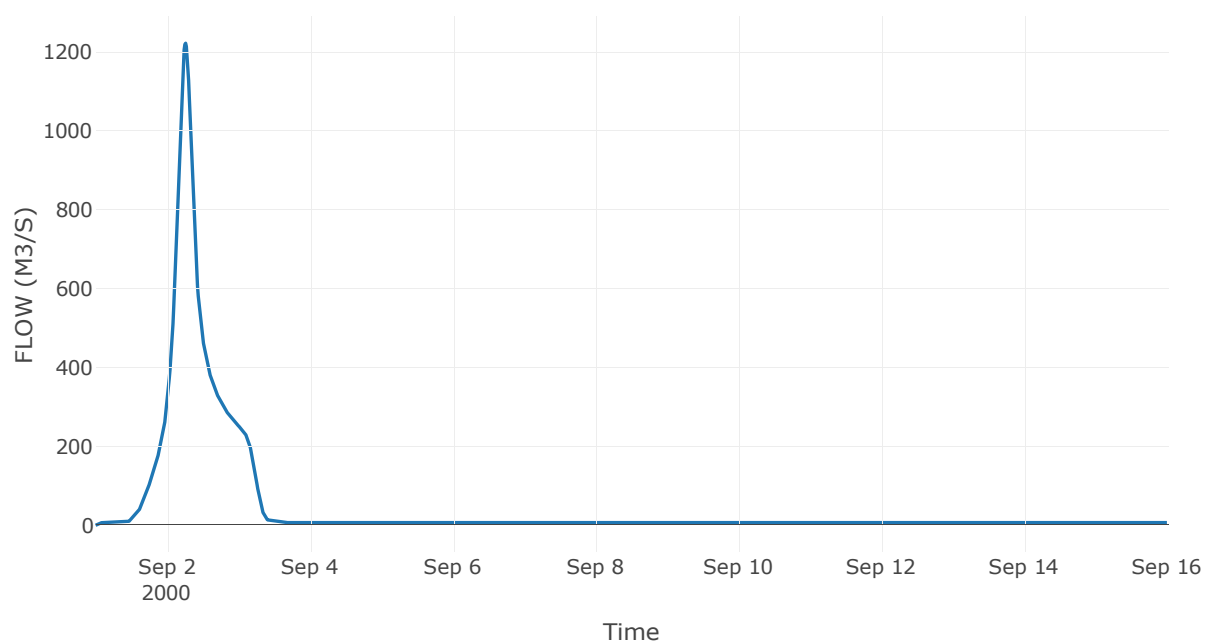
Ταμιευτήρας: J21\_RES1

Κατάντη : R218

Αποτελέσματα: J21\_RES1

Παροχή Αιχμής(M3/S)	1222.13
Χρονική στιγμή αιχμής	02Sep2000, 06:15
Όγκος(MM)	192.29
Παροχή Αιχμής Εισόδου (M3/S)	1223.39
Χρονική Στιγμή Αιχμής της Εισροής	02Sep2000, 06:00
Όγκος Εισροής (M3)	6.58E7
Μέγιστη Αποθηκευτικότητα(M3)	1.87E6
Μέγιστη Στάθμη (M)	100.1
Όγκος Απορροής(M3)	6.58E7

Απορροή



## 5 Δεδομένα εισόδου και αποτελέσματα υδρολογικού σεναρίου T=100

## 5.1 Αποτελέσματα, υετογραφήματα και υδρογραφήματα σχεδιασμού υπολεκανών

Υπολεκάνη: EL0513FR5001

Έκταση (KM2) : 9.83

Κατάνη : J1

Μέθοδος Απωλειών: SCS

Ποσοστό αδιαπέρατης επιφάνειας	0
Αριθμός Καμπύλης Απορροής-CN	82.1
Αρχικές Απώλειες	11.08

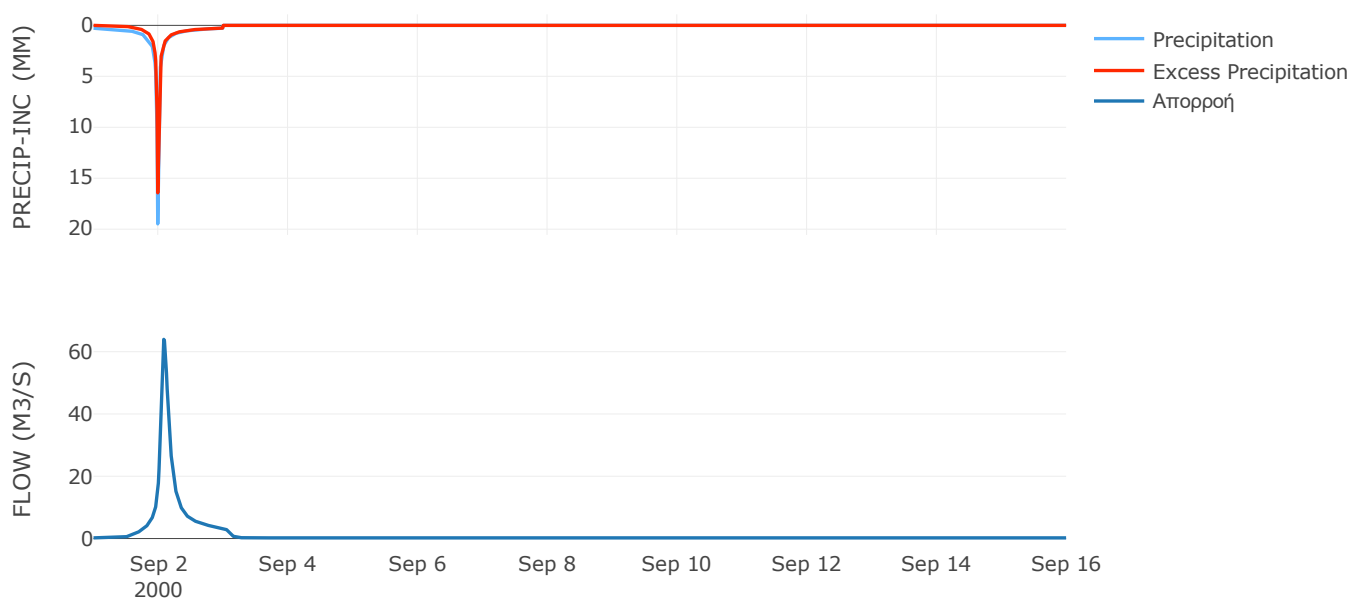
Μέθοδος  
Μετασχηματισμού: SCS

Χρόνος Υστέρησης	118.45
------------------	--------

Αποτελέσματα:  
EL0513FR5001

Παροχή αιχμής (M3/S)	63.96
Χρονική στιγμή αιχμής	02Sep2000, 02:00
Όγκος (MM)	176.02
Όγκος βροχόπτωσης (M3)	1.98E6
Όγκος απωλειών (M3)	5.31E5
Ενεργός Όγκος (M3)	1.45E6
Όγκος άμεσης απορροής (M3)	1.45E6
Όγκος βασικής απορροής (M3)	2.8E5

Βροχόπτωση και Απορροή



Υπολεκάνη: EL0513FR5002

Έκταση (KM2) : 6.79

Κατάντη : J2

Μέθοδος Απωλειών: SCS

Ποσοστό αδιαπέρατης επιφάνειας	0
Αριθμός Καμπύλης Απορροής-CN	84.05
Αρχικές Απώλειες	9.64

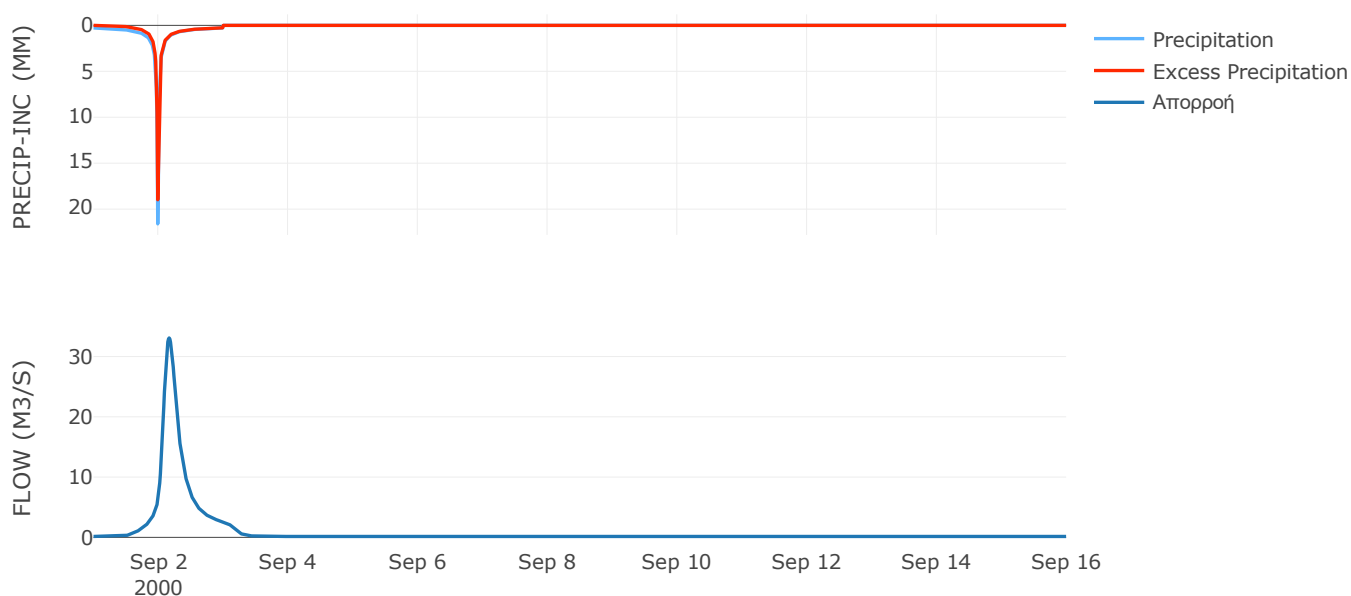
Μέθοδος  
Μετασχηματισμού: SCS

Χρόνος Υστέρησης	228.14
------------------	--------

Αποτελέσματα:  
EL0513FR5002

Παροχή αιχμής (M3/S)	33.08
Χρονική στιγμή αιχμής	02Sep2000, 04:00
Όγκος (MM)	190.39
Όγκος βροχόπτωσης (M3)	1.43E6
Όγκος απωλειών (M3)	3.29E5
Ενεργός Όγκος (M3)	1.1E6
Όγκος άμεσης απορροής (M3)	1.1E6
Όγκος βασικής απορροής (M3)	1.93E5

Βροχόπτωση και Απορροή





Υπολεκάνη: EL0513FR5003

Έκταση (KM2) : 2.79

Κατάνη : J3

Μέθοδος Απωλειών: SCS

Ποσοστό αδιαπέρατης επιφάνειας	0
Αριθμός Καμπύλης Απορροής-CN	81.42
Αρχικές Απώλειες	11.59

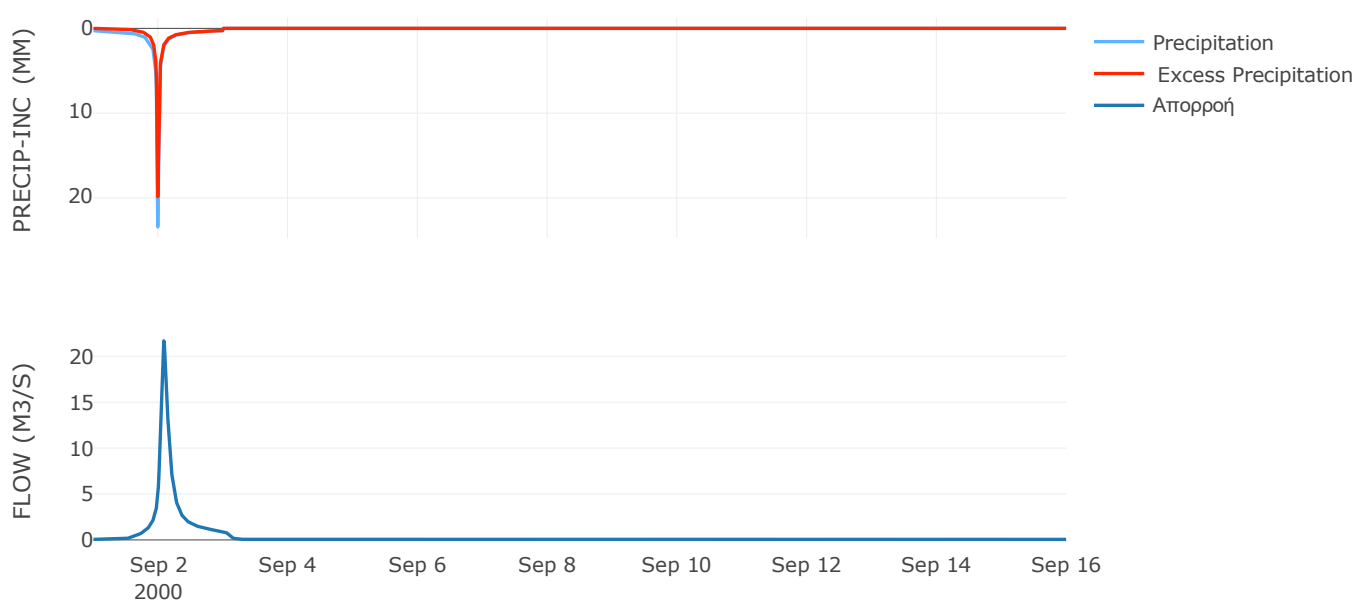
Μέθοδος  
Μετασχηματισμού: SCS

Χρόνος Υστέρησης	111.92
------------------	--------

Αποτελέσματα:  
EL0513FR5003

Παροχή αιχμής (M3/S)	21.68
Χρονική στιγμή αιχμής	02Sep2000, 02:00
Όγκος (MM)	188.15
Όγκος βροχόπτωσης (M3)	6.05E5
Όγκος απωλειών (M3)	1.59E5
Ενεργός Όγκος (M3)	4.46E5
Όγκος άμεσης απορροής (M3)	4.46E5
Όγκος βασικής απορροής (M3)	79688.45

Βροχόπτωση και Απορροή



Υπολεκάνη: EL0513FR5004

Έκταση (KM2) : 17.16

Κατάντη : J3

Μέθοδος Απωλειών: SCS

Ποσοστό αδιαπέρατης επιφάνειας	0
Αριθμός Καμπύλης Απορροής-CN	71.98
Αρχικές Απώλειες	19.77

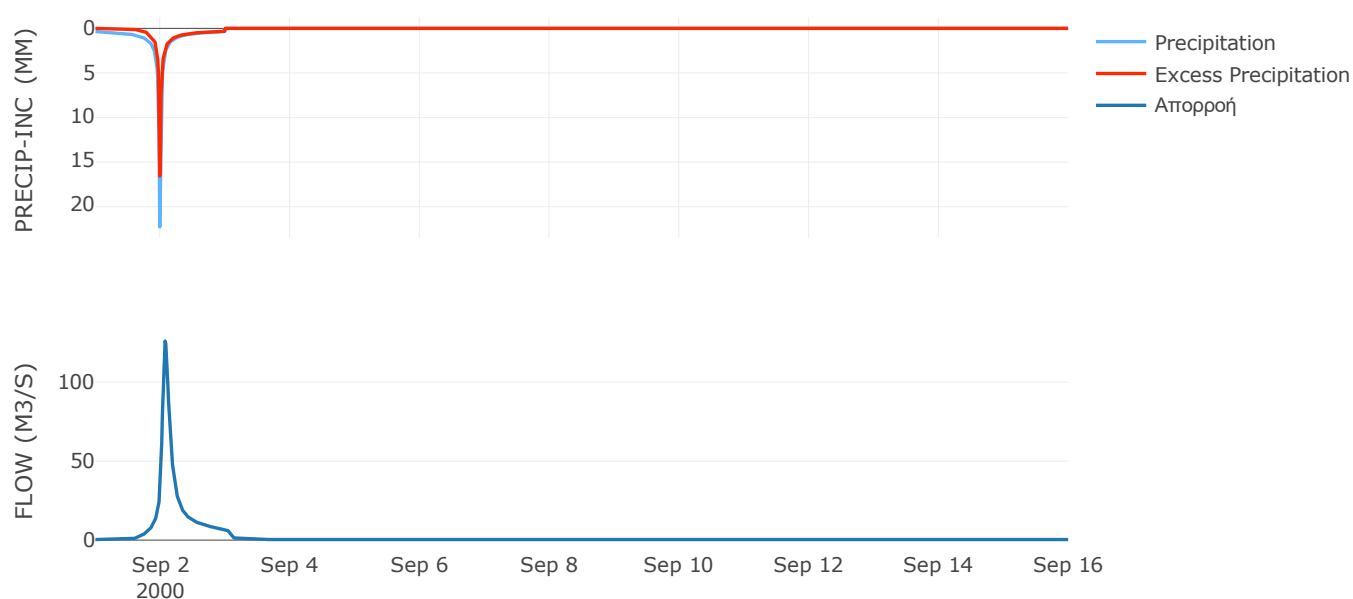
Μέθοδος  
Μετασχηματισμού: SCS

Χρόνος Υστέρησης	101
------------------	-----

Αποτελέσματα:  
EL0513FR5004

Παροχή αιχμής (M3/S)	125.98
Χρονική στιγμή αιχμής	02Sep2000, 01:45
Όγκος (MM)	184.35
Όγκος βροχόπτωσης (M3)	4.19E6
Όγκος απωλειών (M3)	1.52E6
Ενεργός Όγκος (M3)	2.67E6
Όγκος άμεσης απορροής (M3)	2.67E6
Όγκος βασικής απορροής (M3)	4.89E5

Βροχόπτωση και Απορροή



Υπολεκάνη: EL0513FR5005

Έκταση (KM2) : 3.13

Κατάντη : J4

Μέθοδος Απωλειών: SCS

Ποσοστό αδιαπέρατης επιφάνειας	0
Αριθμός Καμπύλης Απορροής-CN	80.19
Αρχικές Απώλειες	12.55

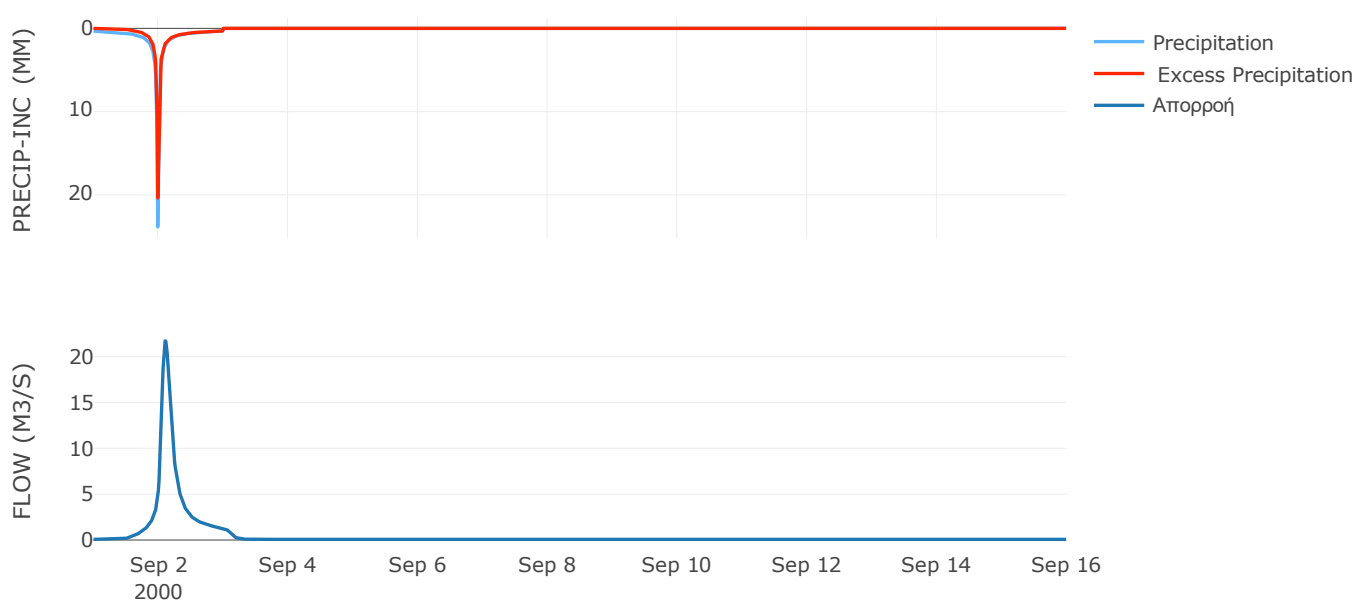
Μέθοδος  
Μετασχηματισμού: SCS

Χρόνος Υστέρησης	149.33
------------------	--------

Αποτελέσματα:  
EL0513FR5005

Παροχή αιχμής (M3/S)	21.71
Χρονική στιγμή αιχμής	02Sep2000, 02:30
Όγκος (MM)	207.53
Όγκος βροχόπτωσης (M3)	7.53E5
Όγκος απωλειών (M3)	1.93E5
Ενεργός Όγκος (M3)	5.6E5
Όγκος άμεσης απορροής (M3)	5.6E5
Όγκος βασικής απορροής (M3)	89137.58

Βροχόπτωση και Απορροή



Υπολεκάνη: EL0513FR5006

Έκταση (KM2) : 19.6

Κατάντη : J5

Μέθοδος Απωλειών: SCS

Ποσοστό αδιαπέρατης επιφάνειας	0
Αριθμός Καμπύλης Απορροής-CN	68.23
Αρχικές Απώλειες	23.66

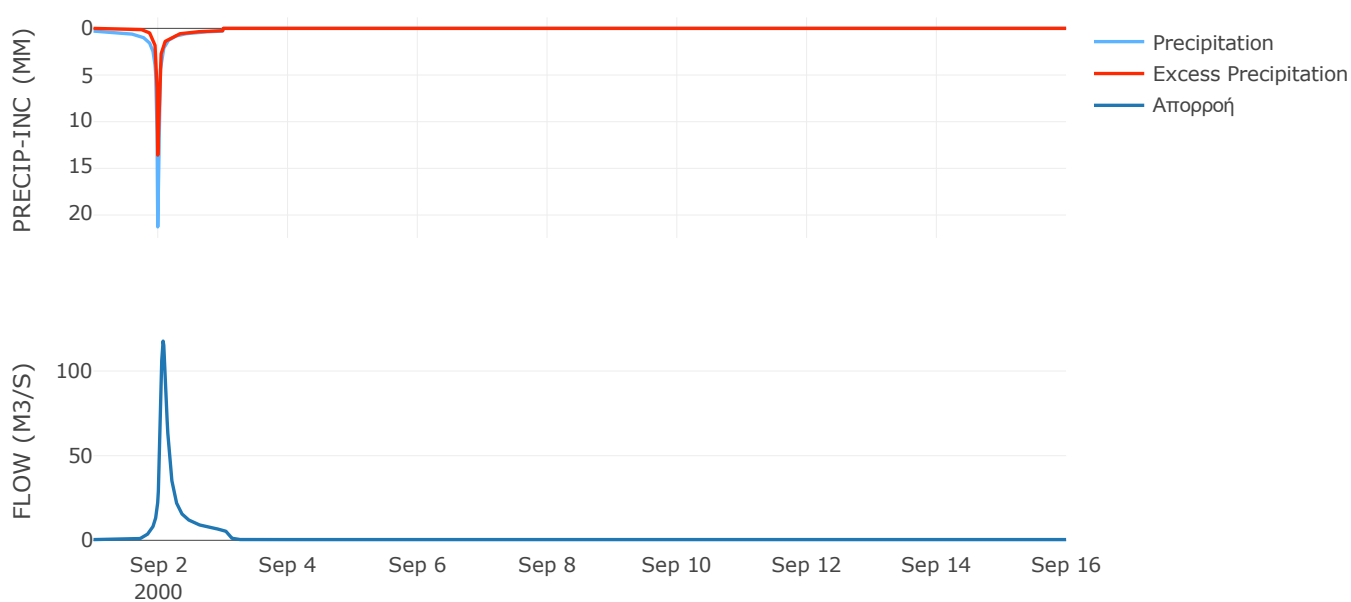
Μέθοδος  
Μετασχηματισμού: SCS

Χρόνος Υστέρησης	96.46
------------------	-------

Αποτελέσματα:  
EL0513FR5006

Παροχή αιχμής (M3/S)	117.68
Χρονική στιγμή αιχμής	02Sep2000, 01:45
Όγκος (MM)	146.78
Όγκος βροχόπτωσης (M3)	4.21E6
Όγκος απωλειών (M3)	1.9E6
Ενεργός Όγκος (M3)	2.32E6
Όγκος άμεσης απορροής (M3)	2.32E6
Όγκος βασικής απορροής (M3)	5.59E5

Βροχόπτωση και Απορροή



Υπολεκάνη: EL0513FR5007

Έκταση (KM2) : 4.2

Κατάντη : J6

Μέθοδος Απωλειών: SCS

Ποσοστό αδιαπέρατης επιφάνειας	0
Αριθμός Καμπύλης Απορροής-CN	79.07
Αρχικές Απώλειες	13.45

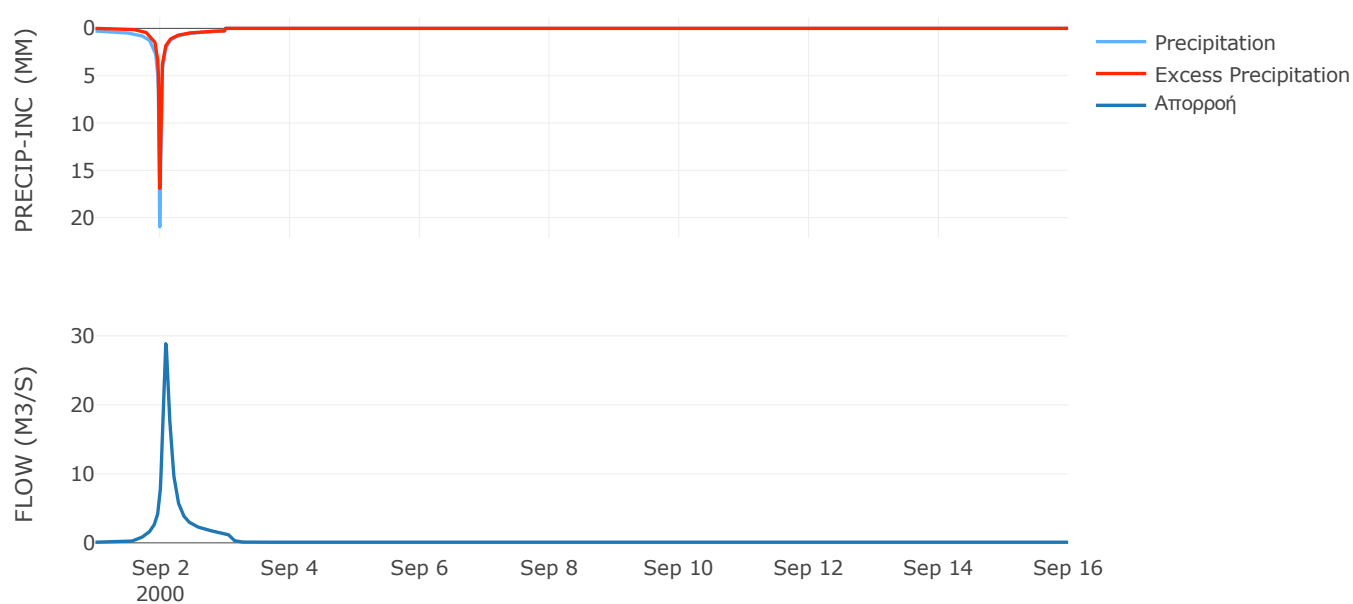
Μέθοδος  
Μετασχηματισμού: SCS

Χρόνος Υστέρησης	109.72
------------------	--------

Αποτελέσματα:  
EL0513FR5007

Παροχή αιχμής (M3/S)	28.86
Χρονική στιγμή αιχμής	02Sep2000, 02:00
Όγκος (MM)	173.66
Όγκος βροχόπτωσης (M3)	8.76E5
Όγκος απωλειών (M3)	2.66E5
Ενεργός Όγκος (M3)	6.09E5
Όγκος άμεσης απορροής (M3)	6.09E5
Όγκος βασικής απορροής (M3)	1.2E5

Βροχόπτωση και Απορροή



Υπολεκάνη: EL0513FR5008

Έκταση (KM2) : 11.23

Κατάντη : J7

Μέθοδος Απωλειών: SCS

Ποσοστό αδιαπέρατης επιφάνειας	0
Αριθμός Καμπύλης Απορροής-CN	78.2
Αρχικές Απώλειες	14.16

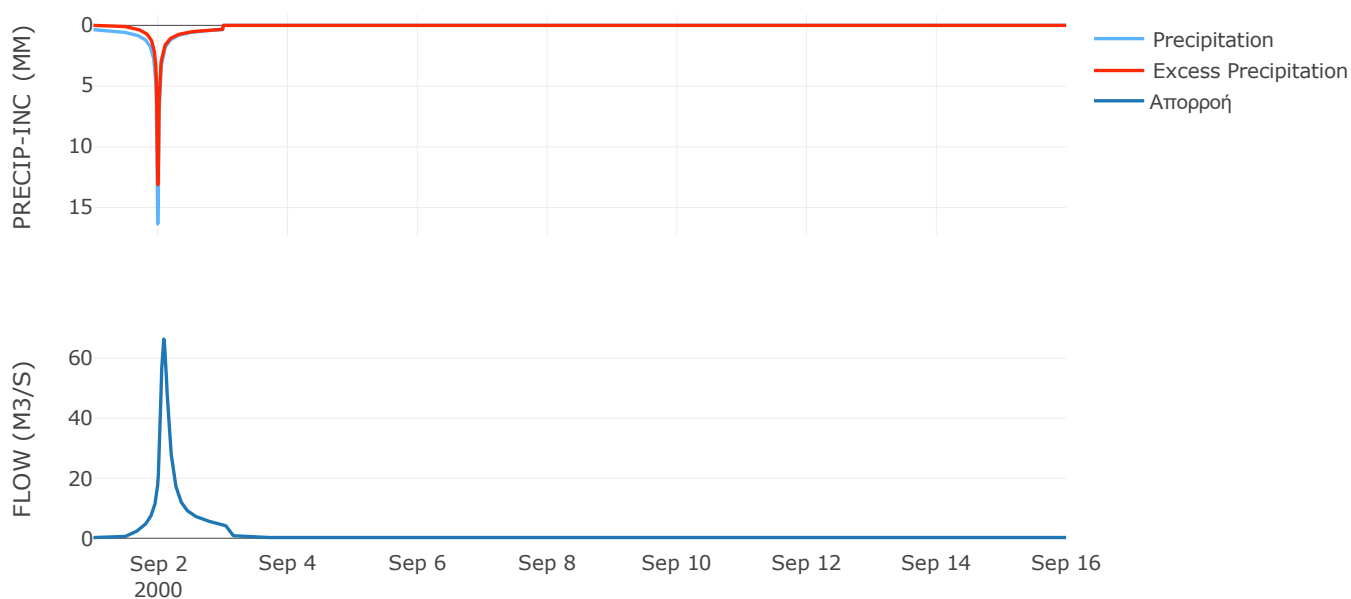
Μέθοδος  
Μετασχηματισμού: SCS

Χρόνος Υστέρησης	111.65
------------------	--------

Αποτελέσματα:  
EL0513FR5008

Παροχή αιχμής (M3/S)	66.34
Χρονική στιγμή αιχμής	02Sep2000, 02:00
Όγκος (MM)	176.02
Όγκος βροχόπτωσης (M3)	2.4E6
Όγκος απωλειών (M3)	7.46E5
Ενεργός Όγκος (M3)	1.66E6
Όγκος άμεσης απορροής (M3)	1.66E6
Όγκος βασικής απορροής (M3)	3.2E5

Βροχόπτωση και Απορροή



Υπολεκάνη: EL0513FR5009

Έκταση (KM2) : 19.12

Κατάντη : J8

Μέθοδος Απωλειών: SCS

Ποσοστό αδιαπέρατης επιφάνειας	0
Αριθμός Καμπύλης Απορροής-CN	62.63
Αρχικές Απώλειες	30.3

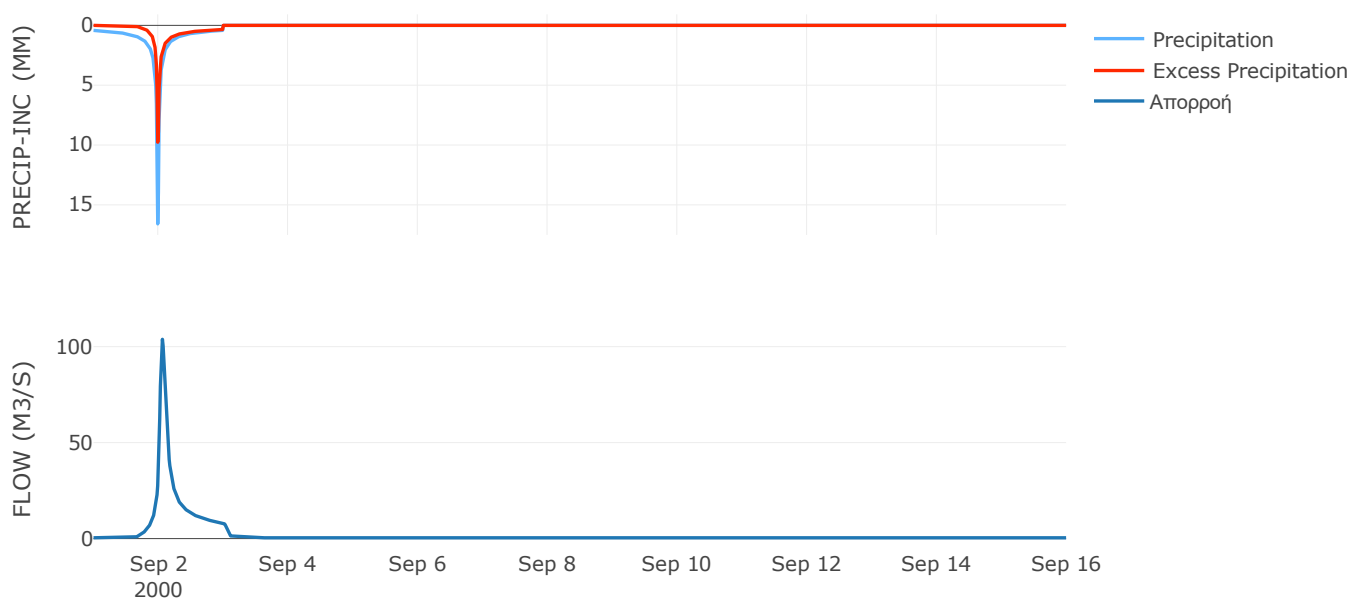
Μέθοδος  
Μετασχηματισμού: SCS

Χρόνος Υστέρησης	79.14
------------------	-------

Αποτελέσματα:  
EL0513FR5009

Παροχή αιχμής (M3/S)	103.82
Χρονική στιγμή αιχμής	02Sep2000, 01:30
Όγκος (MM)	149.34
Όγκος βροχόπτωσης (M3)	4.57E6
Όγκος απωλειών (M3)	2.26E6
Ενεργός Όγκος (M3)	2.31E6
Όγκος άμεσης απορροής (M3)	2.31E6
Όγκος βασικής απορροής (M3)	5.45E5

Βροχόπτωση και Απορροή



Υπολεκάνη: EL0513FR5010

Έκταση (KM2) : 36.47

Κατάντη : J9

Μέθοδος Απωλειών: SCS

Ποσοστό αδιαπέρατης επιφάνειας	0
Αριθμός Καμπύλης Απορροής-CN	63.73
Αρχικές Απώλειες	28.92

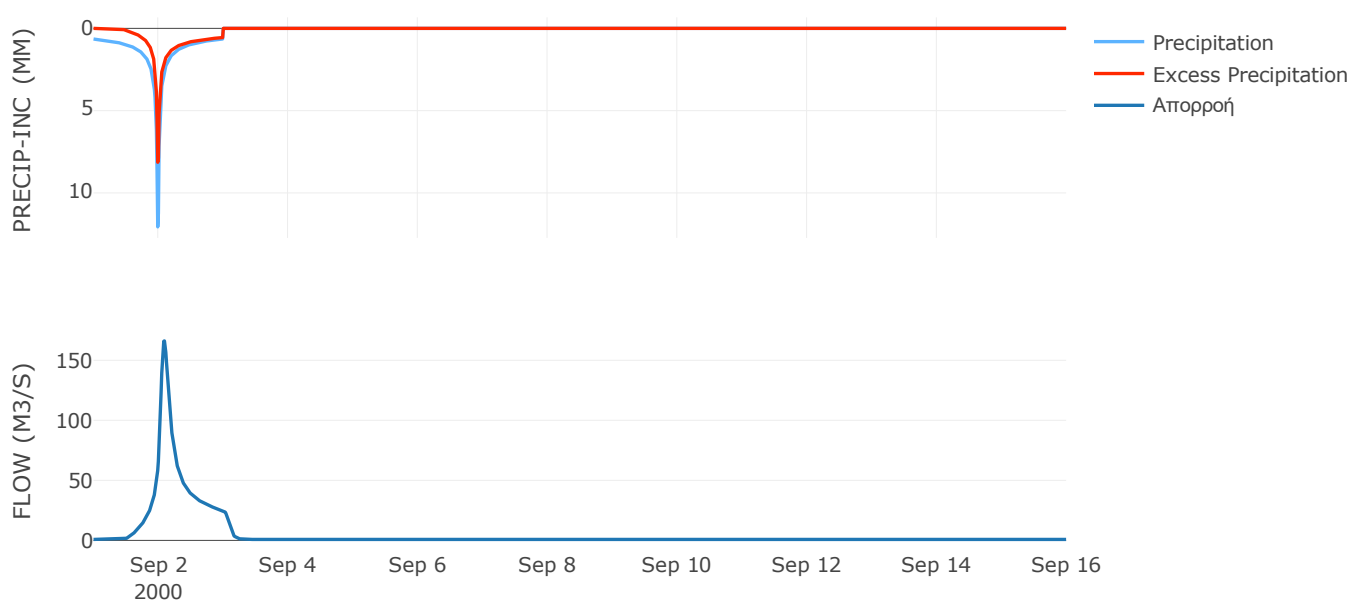
Μέθοδος  
Μετασχηματισμού: SCS

Χρόνος Υστέρησης	116.45
------------------	--------

Αποτελέσματα:  
EL0513FR5010

Παροχή αιχμής (M3/S)	166.13
Χρονική στιγμή αιχμής	02Sep2000, 02:15
Όγκος (MM)	189.99
Όγκος βροχόπτωσης (M3)	1.03E7
Όγκος απωλειών (M3)	4.41E6
Ενεργός Όγκος (M3)	5.89E6
Όγκος άμεσης απορροής (M3)	5.89E6
Όγκος βασικής απορροής (M3)	1.04E6

Βροχόπτωση και Απορροή





Υπολεκάνη: EL0513FR5011

Έκταση (KM2) : 4.02

Κατάντη : J10

Μέθοδος Απωλειών: SCS

Ποσοστό αδιαπέρατης επιφάνειας	0
Αριθμός Καμπύλης Απορροής-CN	50.39
Αρχικές Απώλειες	50.02

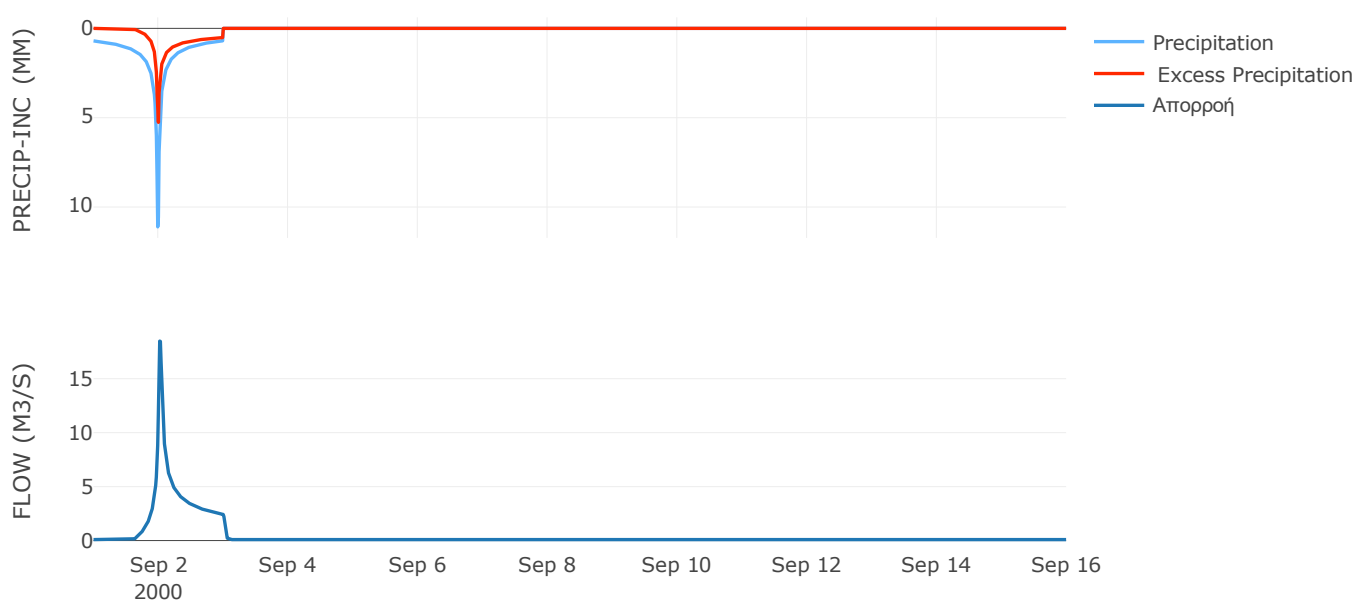
Μέθοδος  
Μετασχηματισμού: SCS

Χρόνος Υστέρησης	31.97
------------------	-------

Αποτελέσματα:  
EL0513FR5011

Παροχή αιχμής (M3/S)	18.49
Χρονική στιγμή αιχμής	02Sep2000, 00:30
Όγκος (MM)	146.22
Όγκος βροχόπτωσης (M3)	1.17E6
Όγκος απωλειών (M3)	6.93E5
Ενεργός Όγκος (M3)	4.73E5
Όγκος άμεσης απορροής (M3)	4.73E5
Όγκος βασικής απορροής (M3)	1.14E5

Βροχόπτωση και Απορροή



Υπολεκάνη: EL0513FR5012

Έκταση (KM2) : 74.49

Κατάνη : J11

Μέθοδος Απωλειών: SCS

Ποσοστό αδιαπέρατης επιφάνειας	0
Αριθμός Καμπύλης Απορροής-CN	52.82
Αρχικές Απώλειες	45.38

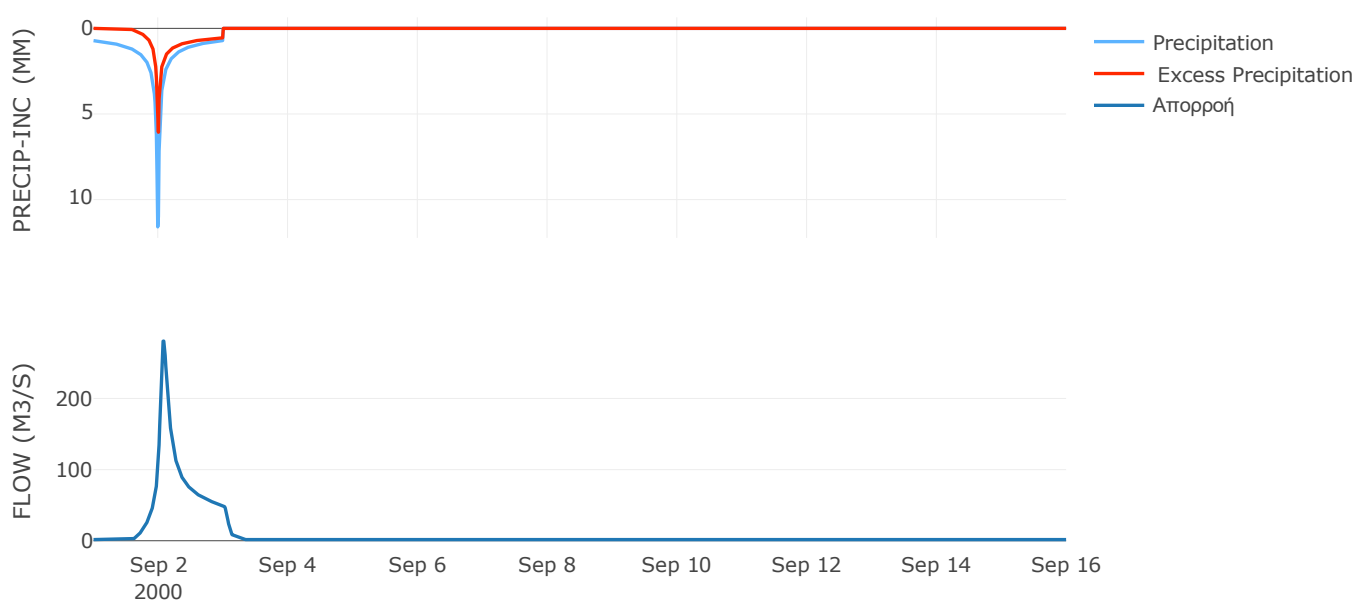
Μέθοδος  
Μετασχηματισμού: SCS

Χρόνος Υστέρησης	98.34
------------------	-------

Αποτελέσματα:  
EL0513FR5012

Παροχή αιχμής (M3/S)	280.7
Χρονική στιγμή αιχμής	02Sep2000, 02:00
Όγκος (MM)	162.12
Όγκος βροχόπτωσης (M3)	2.22E7
Όγκος απωλειών (M3)	1.23E7
Ενεργός Όγκος (M3)	9.95E6
Όγκος άμεσης απορροής (M3)	9.95E6
Όγκος βασικής απορροής (M3)	2.12E6

Βροχόπτωση και Απορροή



Υπολεκάνη: EL0513FR5013

Έκταση (KM2) : 8.72

Κατάντη : J12

Μέθοδος Απωλειών: SCS

Ποσοστό αδιαπέρατης επιφάνειας	0
Αριθμός Καμπύλης Απορροής-CN	60.29
Αρχικές Απώλειες	33.45

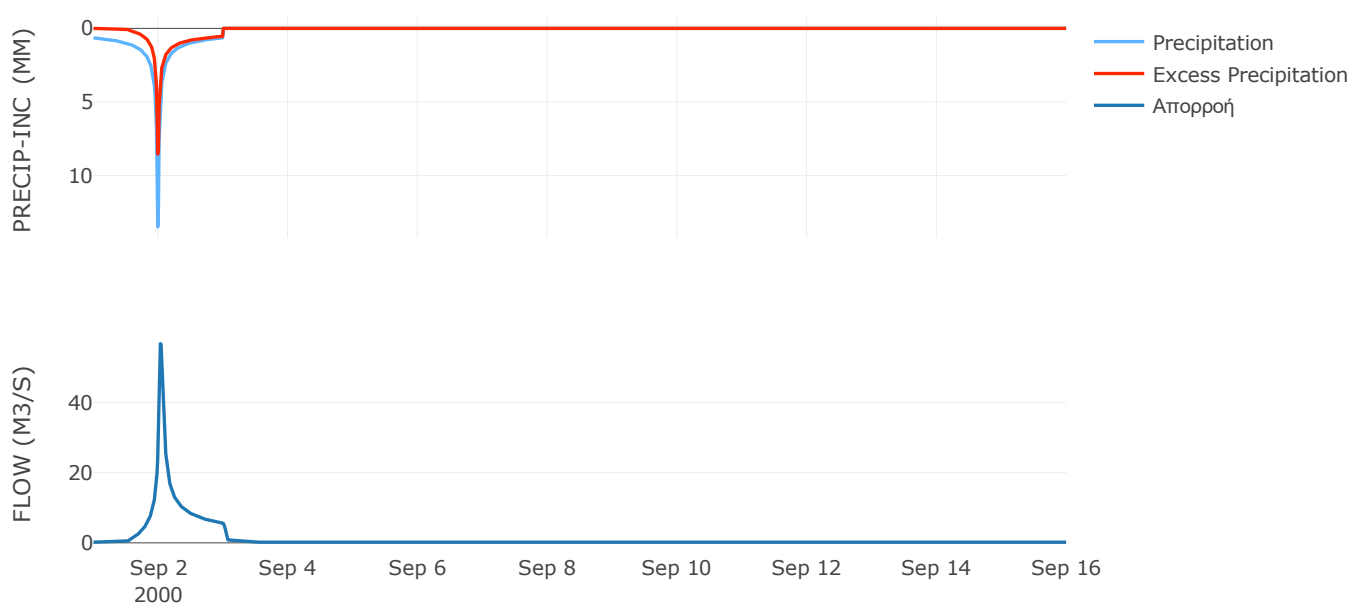
Μέθοδος  
Μετασχηματισμού: SCS

Χρόνος Υστέρησης	47.41
------------------	-------

Αποτελέσματα:  
EL0513FR5013

Παροχή αιχμής (M3/S)	56.74
Χρονική στιγμή αιχμής	02Sep2000, 00:45
Όγκος (MM)	185.9
Όγκος βροχόπτωσης (M3)	2.55E6
Όγκος απωλειών (M3)	1.18E6
Ενεργός Όγκος (M3)	1.37E6
Όγκος άμεσης απορροής (M3)	1.37E6
Όγκος βασικής απορροής (M3)	2.49E5

Βροχόπτωση και Απορροή



Υπολεκάνη: EL0513FR5014

Έκταση (KM2) : 17.21

Κατάντη : J13

Μέθοδος Απωλειών: SCS

Ποσοστό αδιαπέρατης επιφάνειας	0
Αριθμός Καμπύλης Απορροής-CN	54.7
Αρχικές Απώλειες	42.06

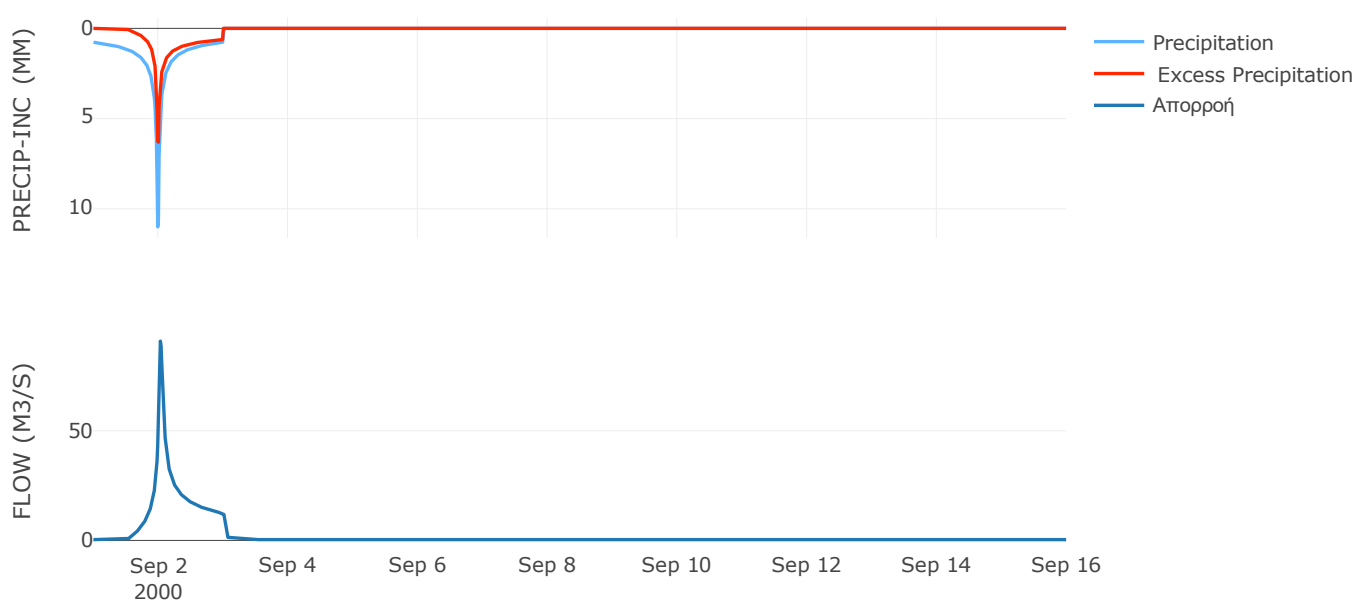
Μέθοδος  
Μετασχηματισμού: SCS

Χρόνος Υστέρησης	42.84
------------------	-------

Αποτελέσματα:  
EL0513FR5014

Παροχή αιχμής (M3/S)	90.89
Χρονική στιγμή αιχμής	02Sep2000, 00:45
Όγκος (MM)	177.64
Όγκος βροχόπτωσης (M3)	5.31E6
Όγκος απωλειών (M3)	2.75E6
Ενεργός Όγκος (M3)	2.57E6
Όγκος άμεσης απορροής (M3)	2.57E6
Όγκος βασικής απορροής (M3)	4.91E5

Βροχόπτωση και Απορροή



Υπολεκάνη: EL0513FR5015

Έκταση (KM2) : 56.91

Κατάντη : J13

Μέθοδος Απωλειών: SCS

Ποσοστό αδιαπέρατης επιφάνειας	0
Αριθμός Καμπύλης Απορροής-CN	56.45
Αρχικές Απώλειες	39.2

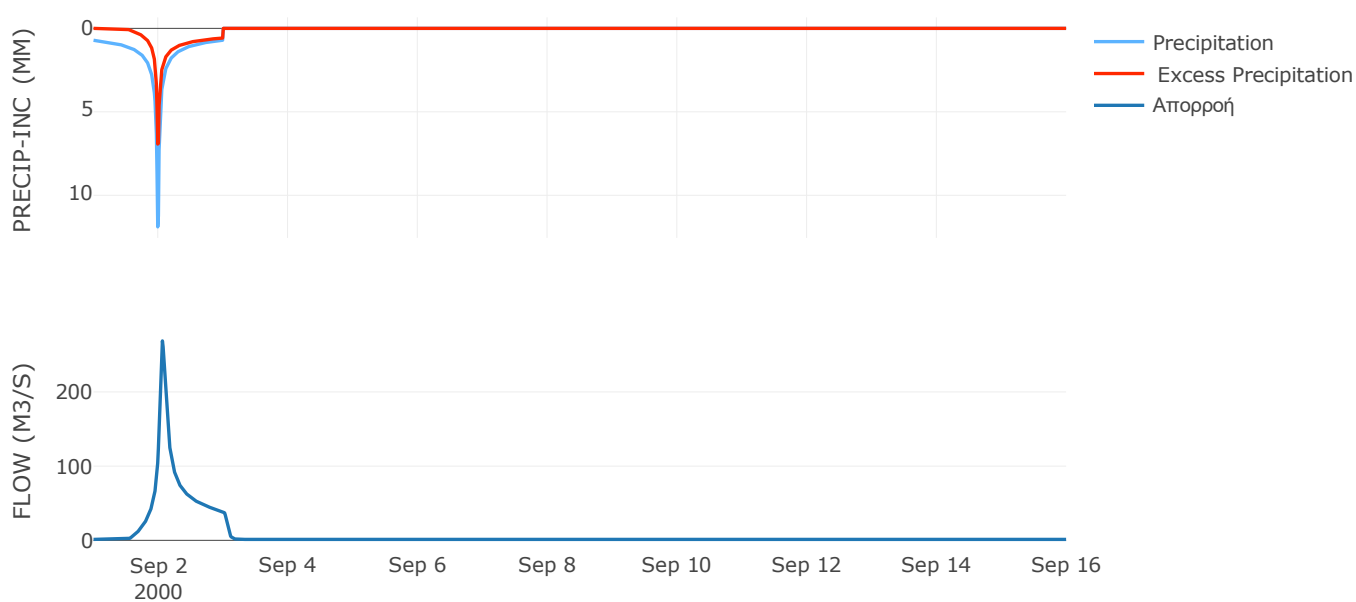
Μέθοδος  
Μετασχηματισμού: SCS

Χρόνος Υστέρησης	76.98
------------------	-------

Αποτελέσματα:  
EL0513FR5015

Παροχή αιχμής (M3/S)	268.76
Χρονική στιγμή αιχμής	02Sep2000, 01:30
Όγκος (MM)	177.61
Όγκος βροχόπτωσης (M3)	1.71E7
Όγκος απωλειών (M3)	8.6E6
Ενεργός Όγκος (M3)	8.49E6
Όγκος άμεσης απορροής (M3)	8.49E6
Όγκος βασικής απορροής (M3)	1.62E6

Βροχόπτωση και Απορροή



Υπολεκάνη: EL0513FR5016

Έκταση (KM2) : 70.55

Κατάντη : J12

Μέθοδος Απωλειών: SCS

Ποσοστό αδιαπέρατης επιφάνειας	0
Αριθμός Καμπύλης Απορροής-CN	53.81
Αρχικές Απώλειες	43.6

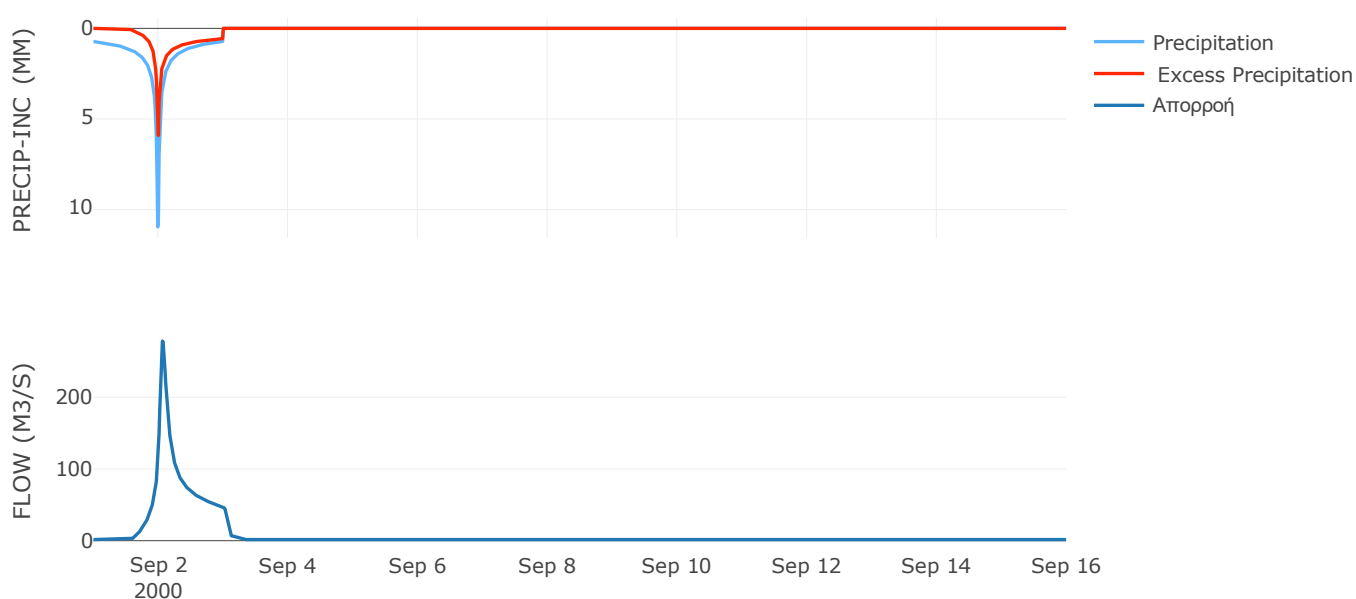
Μέθοδος  
Μετασχηματισμού: SCS

Χρόνος Υστέρησης	84.22
------------------	-------

Αποτελέσματα:  
EL0513FR5016

Παροχή αιχμής (M3/S)	278.34
Χρονική στιγμή αιχμής	02Sep2000, 01:30
Όγκος (MM)	163.86
Όγκος βροχόπτωσης (M3)	2.09E7
Όγκος απωλειών (M3)	1.13E7
Ενεργός Όγκος (M3)	9.55E6
Όγκος άμεσης απορροής (M3)	9.55E6
Όγκος βασικής απορροής (M3)	2.01E6

Βροχόπτωση και Απορροή



Υπολεκάνη: EL0513FR5017

Έκταση (KM2) : 33.26

Κατάνη : J11

Μέθοδος Απωλειών: SCS

Ποσοστό αδιαπέρατης επιφάνειας	0
Αριθμός Καμπύλης Απορροής-CN	50.72
Αρχικές Απώλειες	49.35

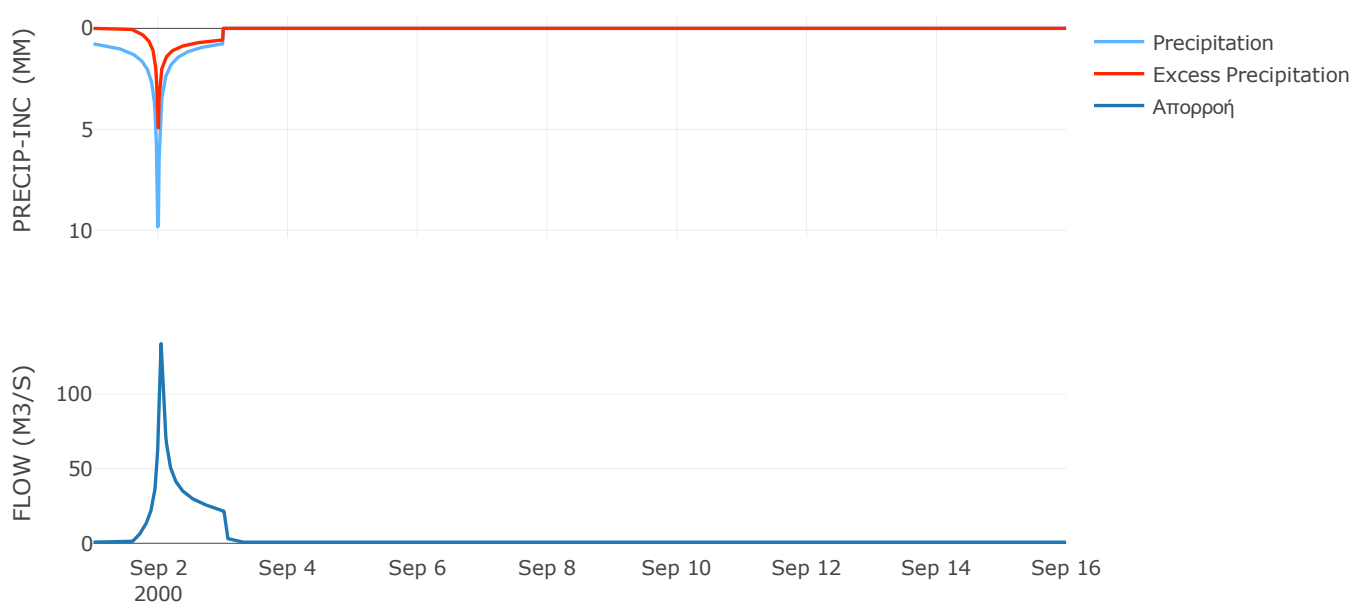
Μέθοδος  
Μετασχηματισμού: SCS

Χρόνος Υστέρησης	46.24
------------------	-------

Αποτελέσματα:  
EL0513FR5017

Παροχή αιχμής (M3/S)	133.7
Χρονική στιγμή αιχμής	02Sep2000, 01:00
Όγκος (MM)	153.15
Όγκος βροχόπτωσης (M3)	9.91E6
Όγκος απωλειών (M3)	5.76E6
Ενεργός Όγκος (M3)	4.15E6
Όγκος άμεσης απορροής (M3)	4.15E6
Όγκος βασικής απορροής (M3)	9.48E5

Βροχόπτωση και Απορροή



Υπολεκάνη: EL0513FR5018

Έκταση (KM2) : 14.02

Κατάνη : J11

Μέθοδος Απωλειών: SCS

Ποσοστό αδιαπέρατης επιφάνειας	0
Αριθμός Καμπύλης Απορροής-CN	56.09
Αρχικές Απώλειες	39.77

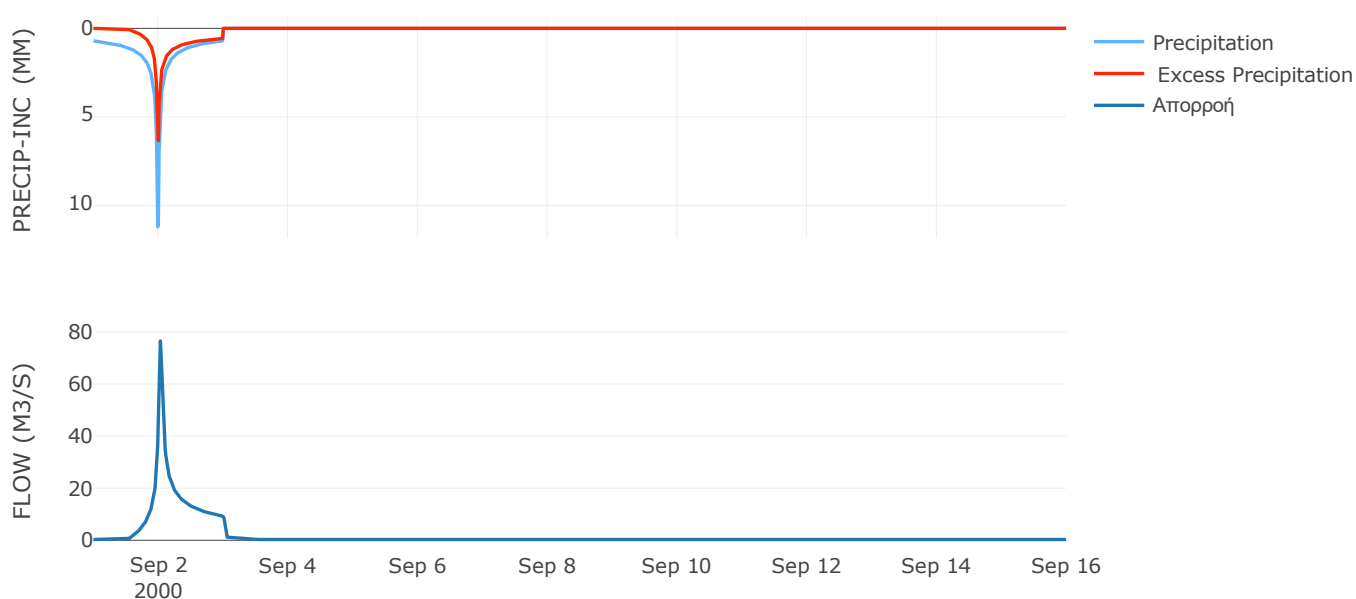
Μέθοδος  
Μετασχηματισμού: SCS

Χρόνος Υστέρησης	37.78
------------------	-------

Αποτελέσματα:  
EL0513FR5018

Παροχή αιχμής (M3/S)	76.52
Χρονική στιγμή αιχμής	02Sep2000, 00:45
Όγκος (MM)	169.48
Όγκος βροχόπτωσης (M3)	4.09E6
Όγκος απωλειών (M3)	2.12E6
Ενεργός Όγκος (M3)	1.98E6
Όγκος άμεσης απορροής (M3)	1.98E6
Όγκος βασικής απορροής (M3)	4E5

Βροχόπτωση και Απορροή





Υπολεκάνη: EL0513FR5019

Έκταση (KM2) : 105.27

Κατάνη : J15

Μέθοδος Απωλειών: SCS

Ποσοστό αδιαπέρατης επιφάνειας	0
Αριθμός Καμπύλης Απορροής-CN	60.45
Αρχικές Απώλειες	33.24

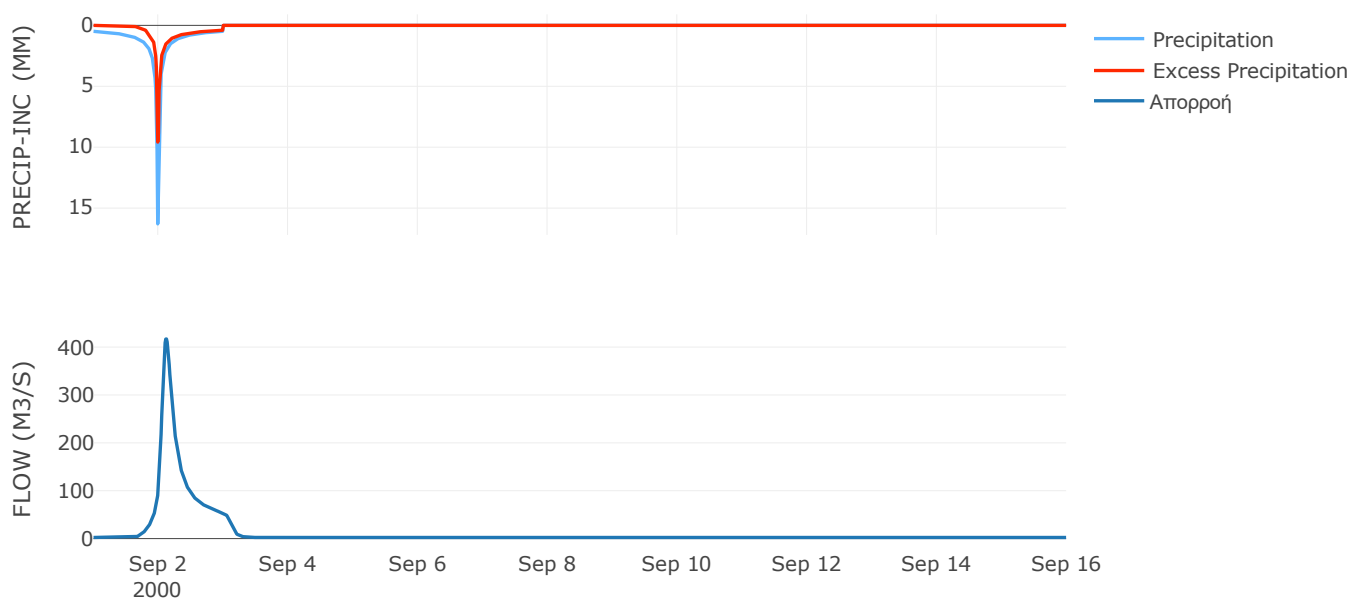
Μέθοδος  
Μετασχηματισμού: SCS

Χρόνος Υστέρησης	154.41
------------------	--------

Αποτελέσματα:  
EL0513FR5019

Παροχή αιχμής (M3/S)	417
Χρονική στιγμή αιχμής	02Sep2000, 03:00
Όγκος (MM)	159.89
Όγκος βροχόπτωσης (M3)	2.74E7
Όγκος απωλειών (M3)	1.36E7
Ενεργός Όγκος (M3)	1.38E7
Όγκος άμεσης απορροής (M3)	1.38E7
Όγκος βασικής απορροής (M3)	3E6

Βροχόπτωση και Απορροή



Υπολεκάνη: EL0513FR5020

Έκταση (KM2) : 49.32

Κατάντη : J14

Μέθοδος Απωλειών: SCS

Ποσοστό αδιαπέρατης επιφάνειας	0
Αριθμός Καμπύλης Απορροής-CN	54.53
Αρχικές Απώλειες	42.36

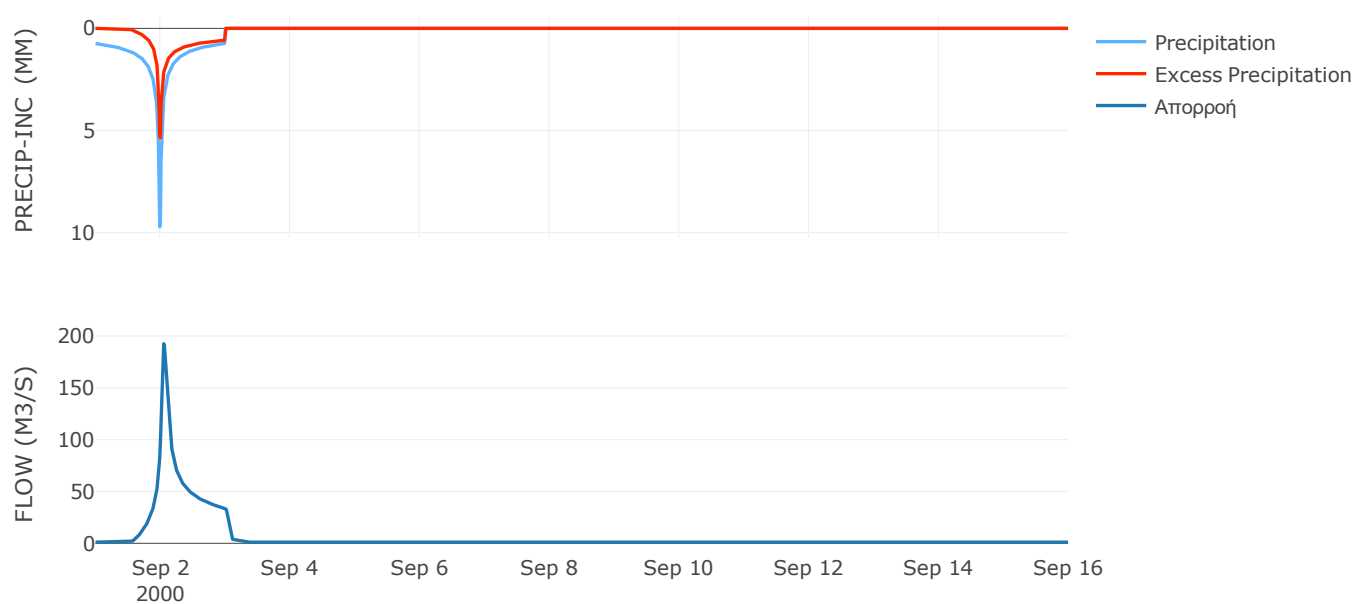
Μέθοδος  
Μετασχηματισμού: SCS

Χρόνος Υστέρησης	69.11
------------------	-------

Αποτελέσματα:  
EL0513FR5020

Παροχή αιχμής (M3/S)	192.57
Χρονική στιγμή αιχμής	02Sep2000, 01:15
Όγκος (MM)	161.43
Όγκος βροχόπτωσης (M3)	1.43E7
Όγκος απωλειών (M3)	7.71E6
Ενεργός Όγκος (M3)	6.56E6
Όγκος άμεσης απορροής (M3)	6.56E6
Όγκος βασικής απορροής (M3)	1.41E6

Βροχόπτωση και Απορροή



Υπολεκάνη: EL0513FR5021

Έκταση (KM2) : 21.13

Κατάνη : J19

Μέθοδος Απωλειών: SCS

Ποσοστό αδιαπέρατης επιφάνειας	0
Αριθμός Καμπύλης Απορροής-CN	70.79
Αρχικές Απώλειες	20.96

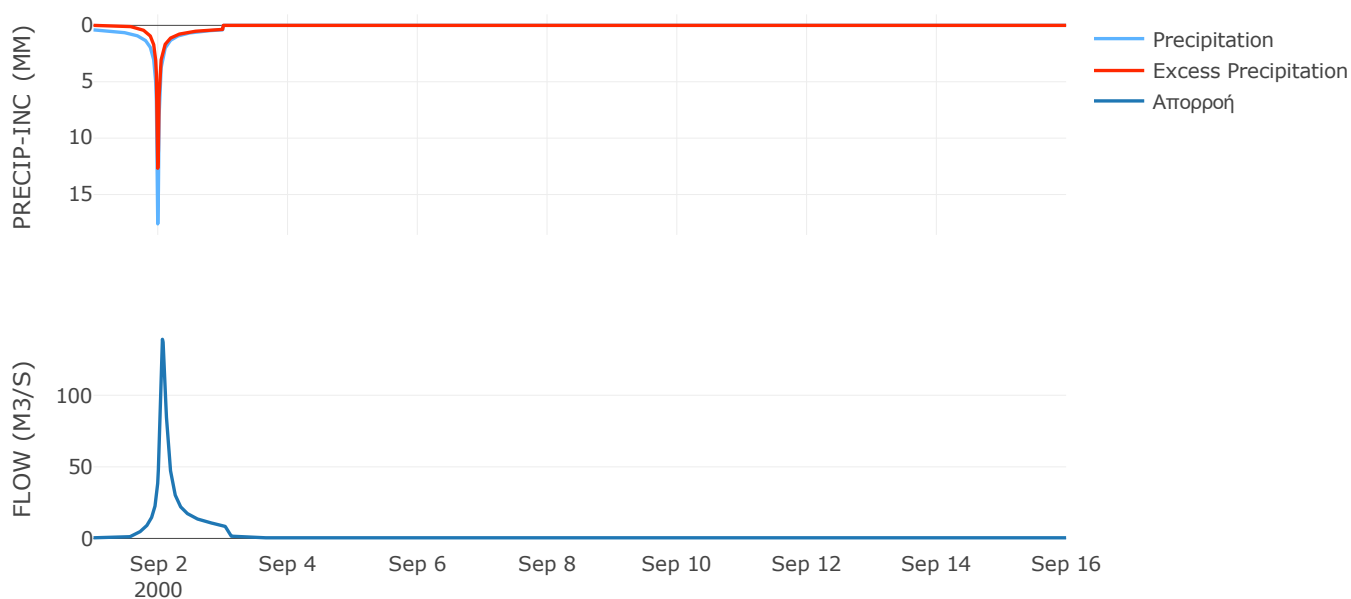
Μέθοδος  
Μετασχηματισμού: SCS

Χρόνος Υστέρησης	86.34
------------------	-------

Αποτελέσματα:  
EL0513FR5021

Παροχή αιχμής (M3/S)	139.08
Χρονική στιγμή αιχμής	02Sep2000, 01:30
Όγκος (MM)	174.51
Όγκος βροχόπτωσης (M3)	5.02E6
Όγκος απωλειών (M3)	1.94E6
Ενεργός Όγκος (M3)	3.08E6
Όγκος άμεσης απορροής (M3)	3.08E6
Όγκος βασικής απορροής (M3)	6.02E5

Βροχόπτωση και Απορροή



Υπολεκάνη: EL0513FR5022

Έκταση (KM2) : 8.23

Κατάντη : J20

Μέθοδος Απωλειών: SCS

Ποσοστό αδιαπέρατης επιφάνειας	0
Αριθμός Καμπύλης Απορροής-CN	80.99
Αρχικές Απώλειες	11.93

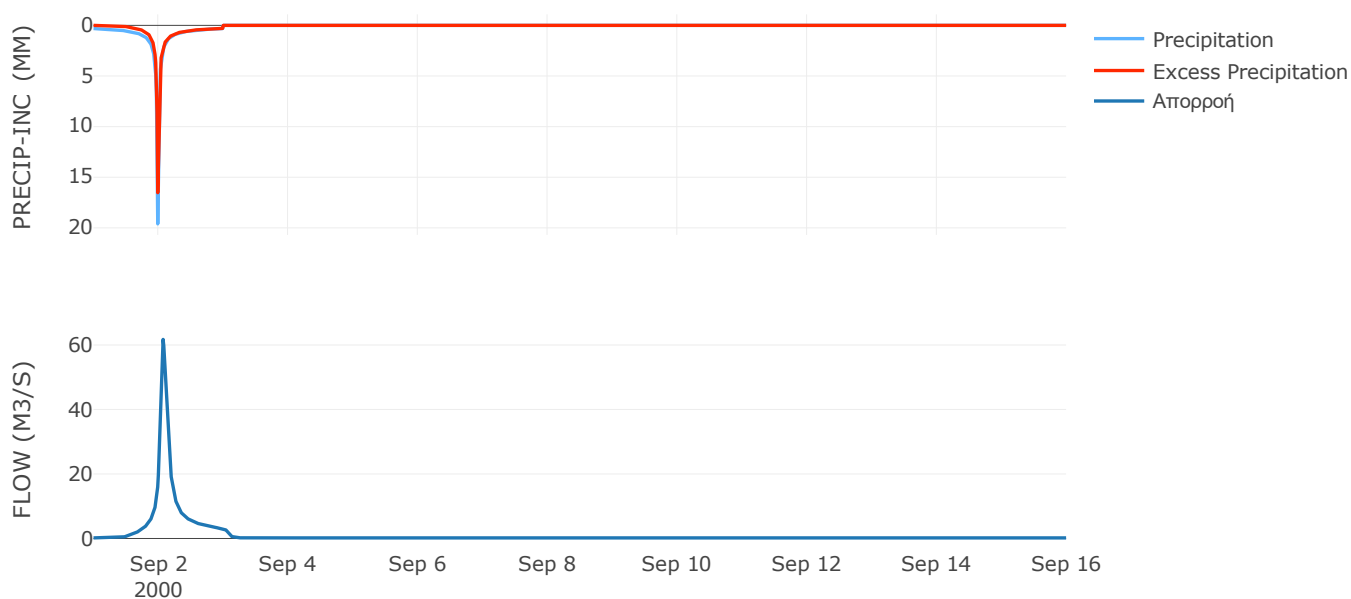
Μέθοδος  
Μετασχηματισμού: SCS

Χρόνος Υστέρησης	96.42
------------------	-------

Αποτελέσματα:  
EL0513FR5022

Παροχή αιχμής (M3/S)	61.75
Χρονική στιγμή αιχμής	02Sep2000, 01:45
Όγκος (MM)	186.06
Όγκος βροχόπτωσης (M3)	1.77E6
Όγκος απωλειών (M3)	4.77E5
Ενεργός Όγκος (M3)	1.3E6
Όγκος άμεσης απορροής (M3)	1.3E6
Όγκος βασικής απορροής (M3)	2.35E5

Βροχόπτωση και Απορροή



Υπολεκάνη: EL0513FR5023

Έκταση (KM2) : 11.05

Κατάντη : J19

Μέθοδος Απωλειών: SCS

Ποσοστό αδιαπέρατης επιφάνειας	0
Αριθμός Καμπύλης Απορροής-CN	80.45
Αρχικές Απώλειες	12.35

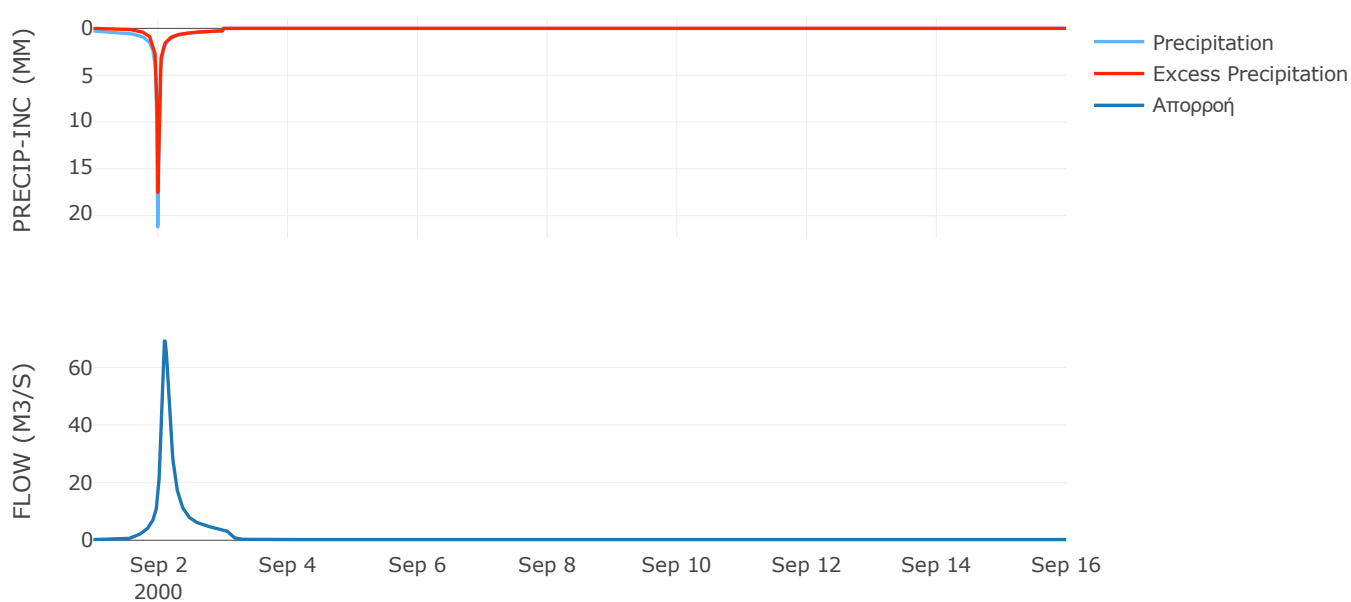
Μέθοδος  
Μετασχηματισμού: SCS

Χρόνος Υστέρησης	135.39
------------------	--------

Αποτελέσματα:  
EL0513FR5023

Παροχή αιχμής (M3/S)	69.11
Χρονική στιγμή αιχμής	02Sep2000, 02:15
Όγκος (MM)	177.55
Όγκος βροχόπτωσης (M3)	2.3E6
Όγκος απωλειών (M3)	6.55E5
Ενεργός Όγκος (M3)	1.65E6
Όγκος άμεσης απορροής (M3)	1.65E6
Όγκος βασικής απορροής (M3)	3.15E5

Βροχόπτωση και Απορροή



Υπολεκάνη: EL0513FR5024

Έκταση (KM2) : 5.88

Κατάντη : J4

Μέθοδος Απωλειών: SCS

Ποσοστό αδιαπέρατης επιφάνειας	0
Αριθμός Καμπύλης Απορροής-CN	74.34
Αρχικές Απώλειες	17.54

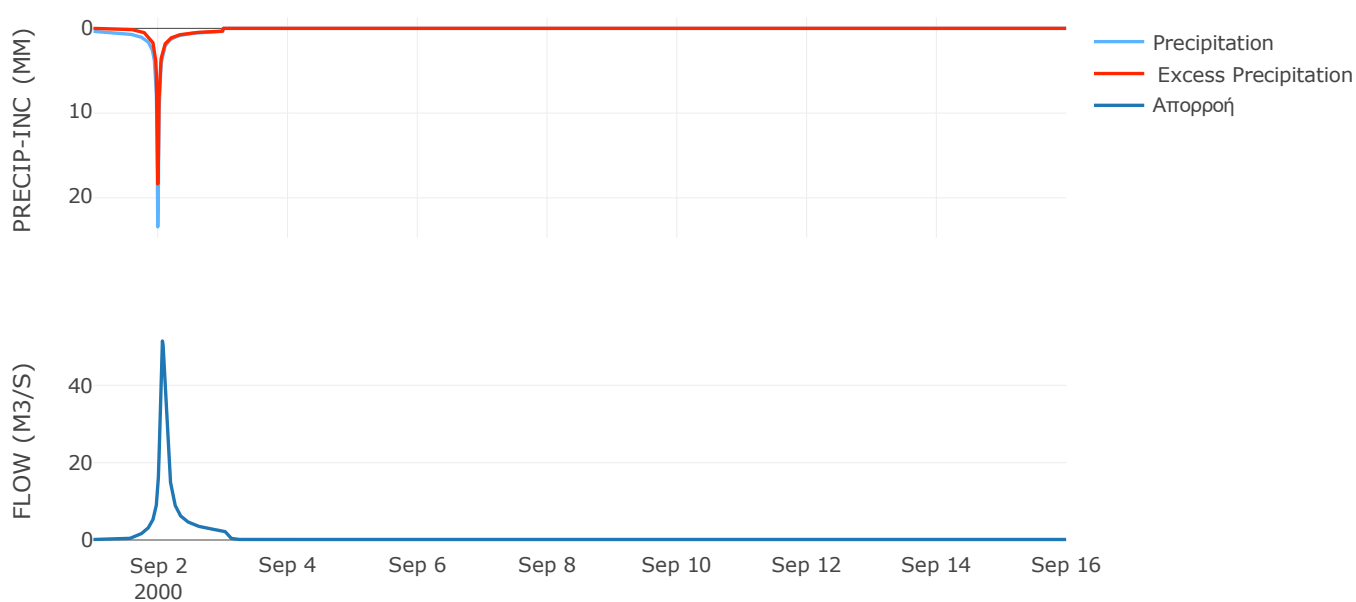
Μέθοδος  
Μετασχηματισμού: SCS

Χρόνος Υστέρησης	86.24
------------------	-------

Αποτελέσματα:  
EL0513FR5024

Παροχή αιχμής (M3/S)	51.47
Χρονική στιγμή αιχμής	02Sep2000, 01:30
Όγκος (MM)	196.16
Όγκος βροχόπτωσης (M3)	1.46E6
Όγκος απωλειών (M3)	4.77E5
Ενεργός Όγκος (M3)	9.86E5
Όγκος άμεσης απορροής (M3)	9.86E5
Όγκος βασικής απορροής (M3)	1.68E5

Βροχόπτωση και Απορροή



Υπολεκάνη: EL0513FR5025

Έκταση (KM2) : 50.61

Κατάντη : J7

Μέθοδος Απωλειών: SCS

Ποσοστό αδιαπέρατης επιφάνειας	0
Αριθμός Καμπύλης Απορροής-CN	70.86
Αρχικές Απώλειες	20.89

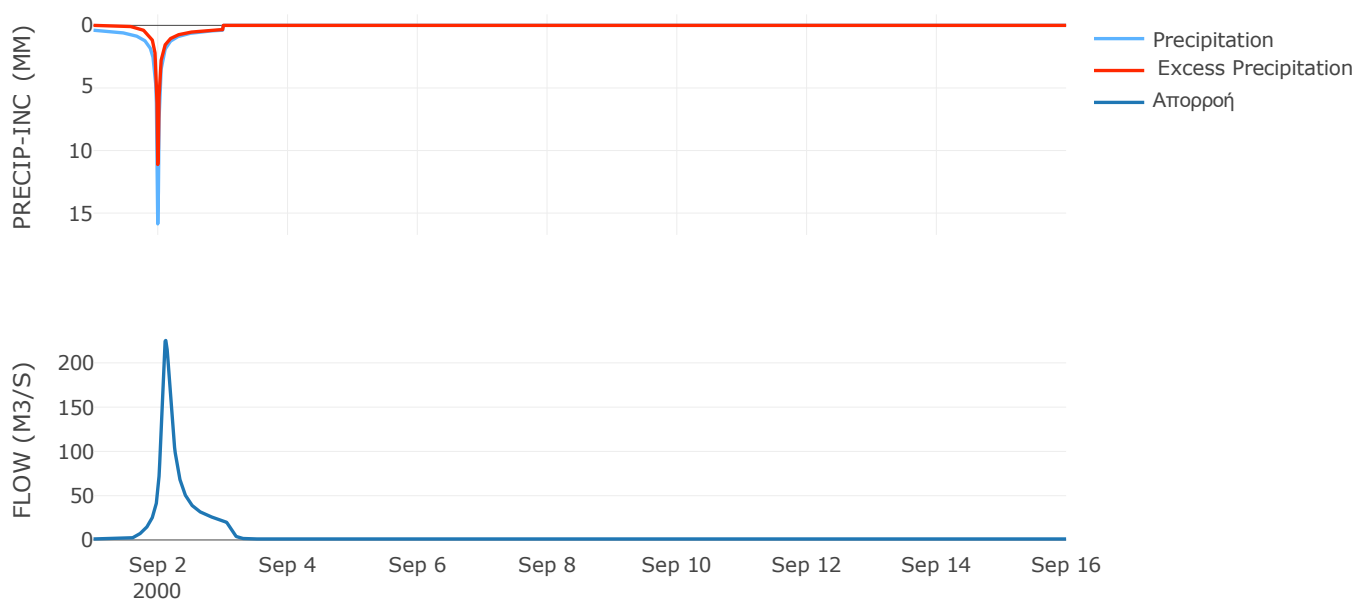
Μέθοδος  
Μετασχηματισμού: SCS

Χρόνος Υστέρησης	146.87
------------------	--------

Αποτελέσματα:  
EL0513FR5025

Παροχή αιχμής (M3/S)	225.3
Χρονική στιγμή αιχμής	02Sep2000, 02:45
Όγκος (MM)	162.03
Όγκος βροχόπτωσης (M3)	1.13E7
Όγκος απωλειών (M3)	4.54E6
Ενεργός Όγκος (M3)	6.76E6
Όγκος άμεσης απορροής (M3)	6.76E6
Όγκος βασικής απορροής (M3)	1.44E6

Βροχόπτωση και Απορροή



Υπολεκάνη: EL0513FR5026

Έκταση (KM2) : 20.26

Κατάντη : J18

Μέθοδος Απωλειών: SCS

Ποσοστό αδιαπέρατης επιφάνειας	0
Αριθμός Καμπύλης Απορροής-CN	77.13
Αρχικές Απώλειες	15.07

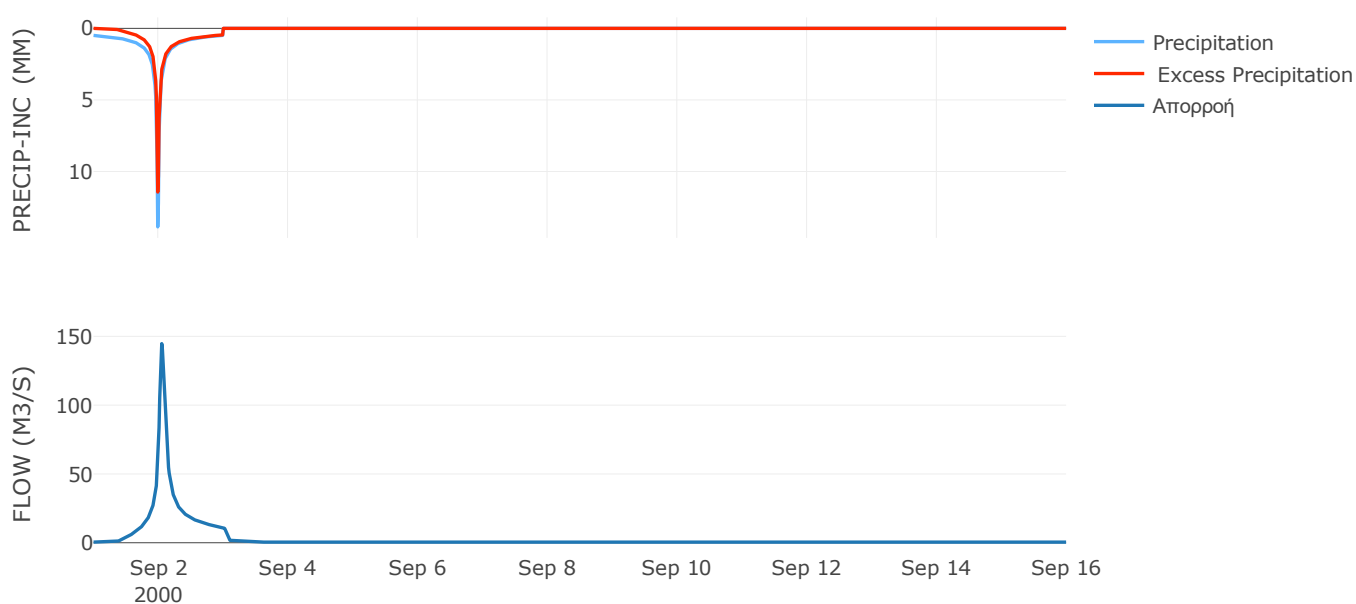
Μέθοδος  
Μετασχηματισμού: SCS

Χρόνος Υστέρησης	70.65
------------------	-------

Αποτελέσματα:  
EL0513FR5026

Παροχή αιχμής (M3/S)	144.73
Χρονική στιγμή αιχμής	02Sep2000, 01:15
Όγκος (MM)	203.31
Όγκος βροχόπτωσης (M3)	5E6
Όγκος απωλειών (M3)	1.46E6
Ενεργός Όγκος (M3)	3.54E6
Όγκος άμεσης απορροής (M3)	3.54E6
Όγκος βασικής απορροής (M3)	5.78E5

Βροχόπτωση και Απορροή





Υπολεκάνη: EL0513FR5027

Έκταση (KM2) : 40.56

Κατάντη : J18

Μέθοδος Απωλειών: SCS

Ποσοστό αδιαπέρατης επιφάνειας	0
Αριθμός Καμπύλης Απορροής-CN	67.85
Αρχικές Απώλειες	24.07

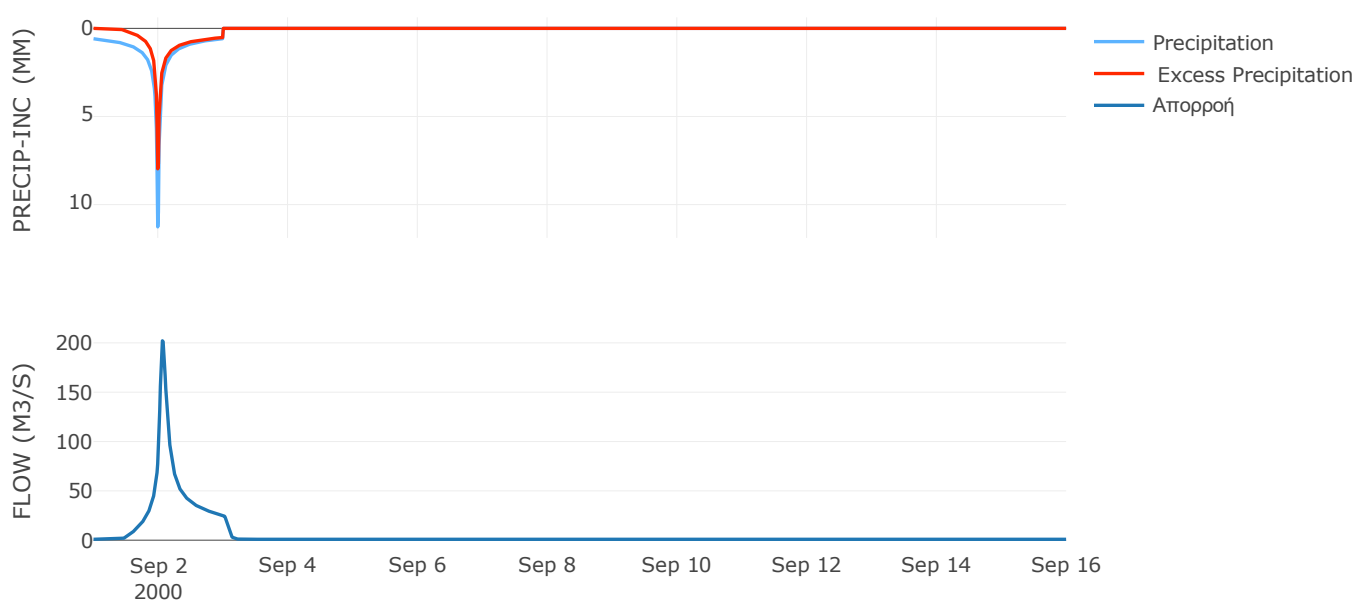
Μέθοδος  
Μετασχηματισμού: SCS

Χρόνος Υστέρησης	87.61
------------------	-------

Αποτελέσματα:  
EL0513FR5027

Παροχή αιχμής (M3/S)	202.1
Χρονική στιγμή αιχμής	02Sep2000, 01:30
Όγκος (MM)	183.78
Όγκος βροχόπτωσης (M3)	1.05E7
Όγκος απωλειών (M3)	4.2E6
Ενεργός Όγκος (M3)	6.3E6
Όγκος άμεσης απορροής (M3)	6.3E6
Όγκος βασικής απορροής (M3)	1.16E6

Βροχόπτωση και Απορροή



Υπολεκάνη: EL0513FR5028

Έκταση (KM2) : 26.17

Κατάνη : J17

Μέθοδος Απωλειών: SCS

Ποσοστό αδιαπέρατης επιφάνειας	0
Αριθμός Καμπύλης Απορροής-CN	67.76
Αρχικές Απώλειες	24.17

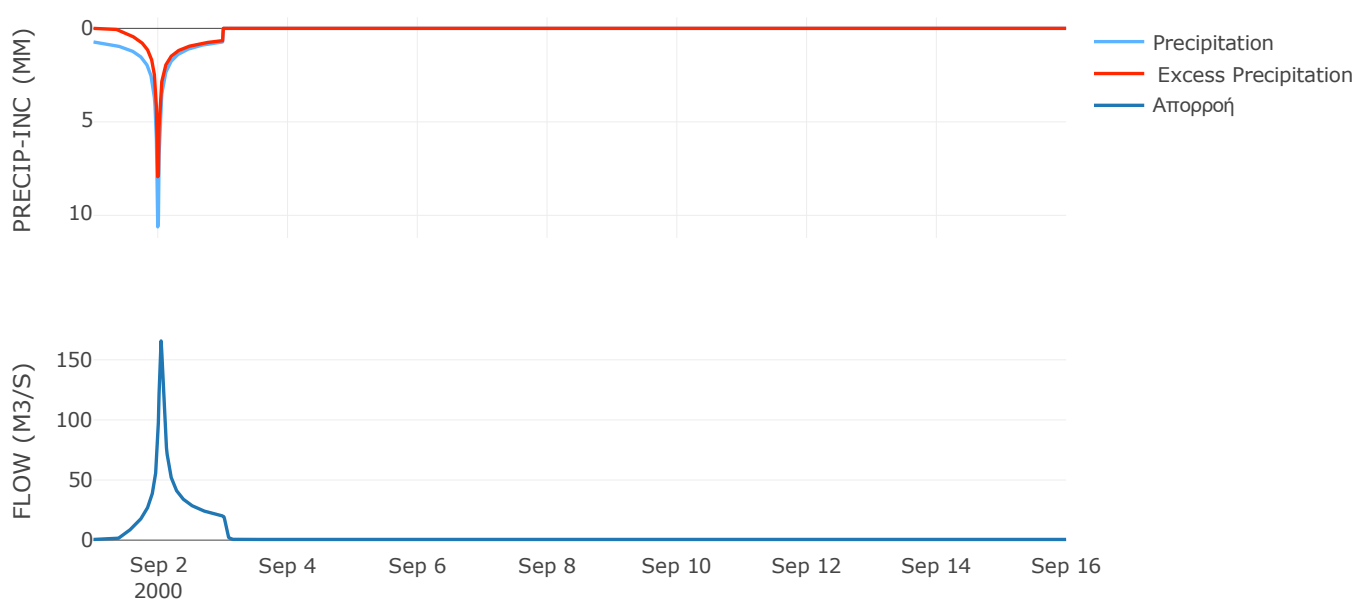
Μέθοδος  
Μετασχηματισμού: SCS

Χρόνος Υστέρησης	51.21
------------------	-------

Αποτελέσματα:  
EL0513FR5028

Παροχή αιχμής (M3/S)	165.68
Χρονική στιγμή αιχμής	02Sep2000, 01:00
Όγκος (MM)	214.74
Όγκος βροχόπτωσης (M3)	7.69E6
Όγκος απωλειών (M3)	2.82E6
Ενεργός Όγκος (M3)	4.87E6
Όγκος άμεσης απορροής (M3)	4.87E6
Όγκος βασικής απορροής (M3)	7.46E5

Βροχόπτωση και Απορροή



Υπολεκάνη: EL0513FR5029

Έκταση (KM2) : 21.97

Κατάντη : J9

Μέθοδος Απωλειών: SCS

Ποσοστό αδιαπέρατης επιφάνειας	0
Αριθμός Καμπύλης Απορροής-CN	43.07
Αρχικές Απώλειες	67.16

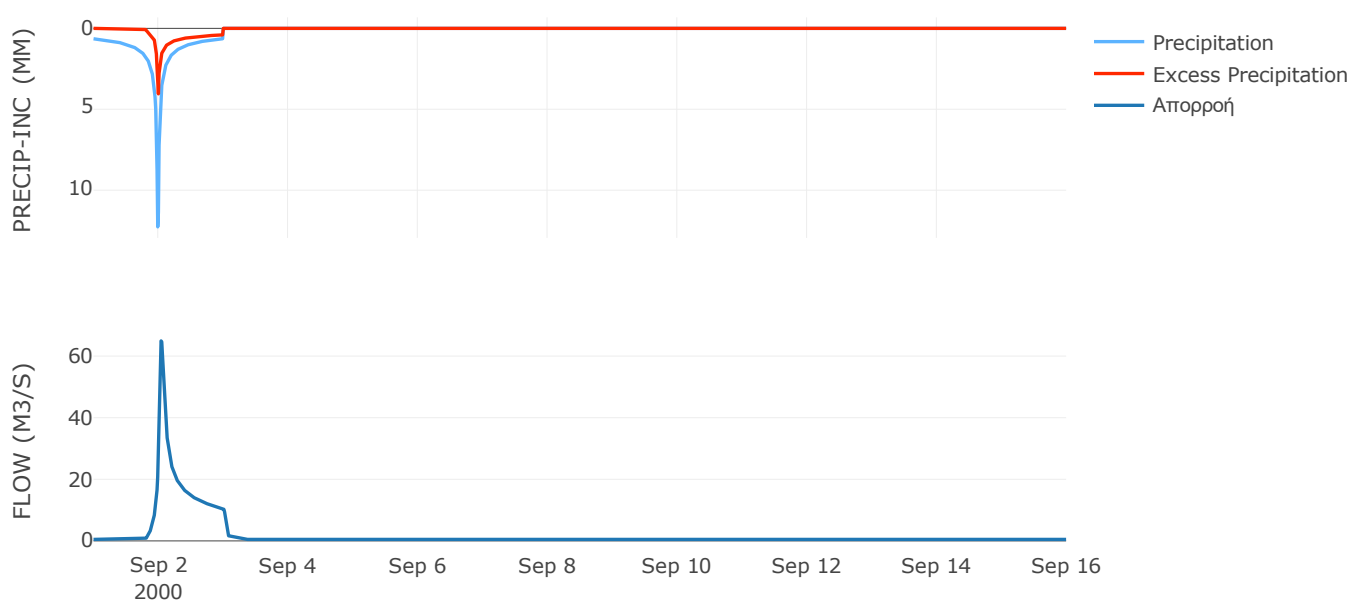
Μέθοδος  
Μετασχηματισμού: SCS

Χρόνος Υστέρησης	54.65
------------------	-------

Αποτελέσματα:  
EL0513FR5029

Παροχή αιχμής (M3/S)	64.93
Χρονική στιγμή αιχμής	02Sep2000, 01:00
Όγκος (MM)	112.74
Όγκος βροχόπτωσης (M3)	6.21E6
Όγκος απωλειών (M3)	4.36E6
Ενεργός Όγκος (M3)	1.85E6
Όγκος άμεσης απορροής (M3)	1.85E6
Όγκος βασικής απορροής (M3)	6.27E5

Βροχόπτωση και Απορροή



Υπολεκάνη: EL0513FR5030

Έκταση (KM2) : 13.43

Κατάντη : J5

Μέθοδος Απωλειών: SCS

Ποσοστό αδιαπέρατης επιφάνειας	0
Αριθμός Καμπύλης Απορροής-CN	64.48
Αρχικές Απώλειες	27.99

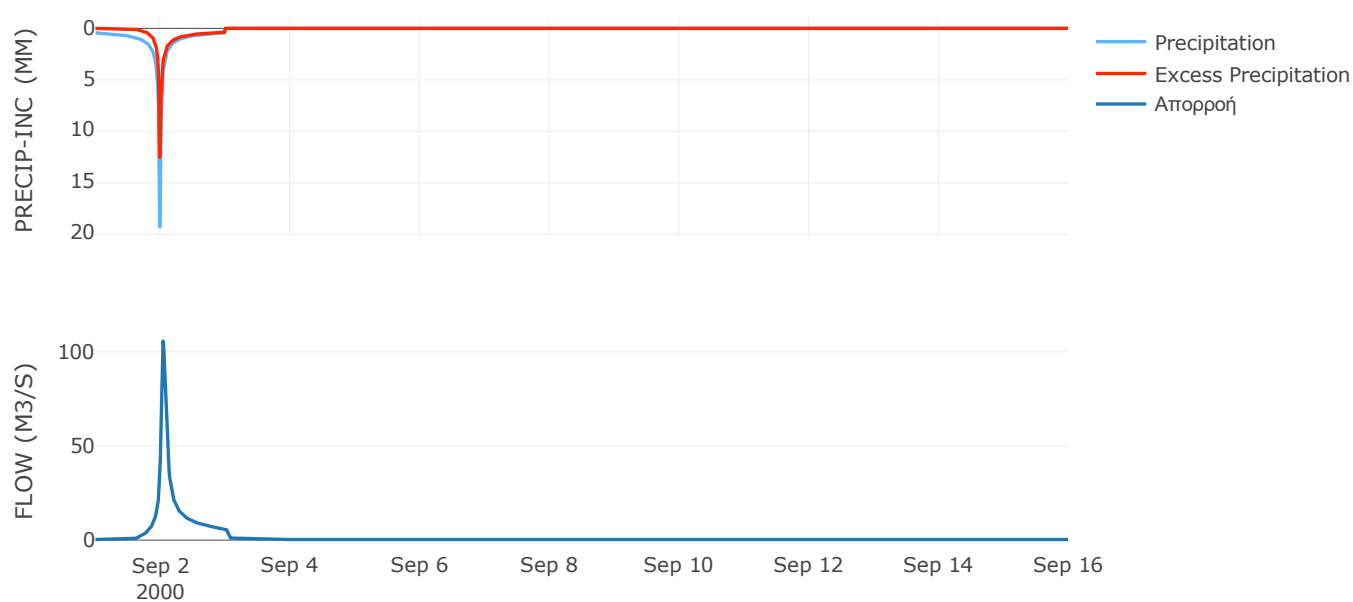
Μέθοδος  
Μετασχηματισμού: SCS

Χρόνος Υστέρησης	57.28
------------------	-------

Αποτελέσματα:  
EL0513FR5030

Παροχή αιχμής (M3/S)	105.69
Χρονική στιγμή αιχμής	02Sep2000, 01:00
Όγκος (MM)	172.79
Όγκος βροχόπτωσης (M3)	3.49E6
Όγκος απωλειών (M3)	1.55E6
Ενεργός Όγκος (M3)	1.94E6
Όγκος άμεσης απορροής (M3)	1.94E6
Όγκος βασικής απορροής (M3)	3.83E5

Βροχόπτωση και Απορροή



Υπολεκάνη: EL0513FR5031

Έκταση (KM2) : 13.12

Κατάνη : J15

Μέθοδος Απωλειών: SCS

Ποσοστό αδιαπέρατης επιφάνειας	0
Αριθμός Καμπύλης Απορροής-CN	64.25
Αρχικές Απώλειες	28.27

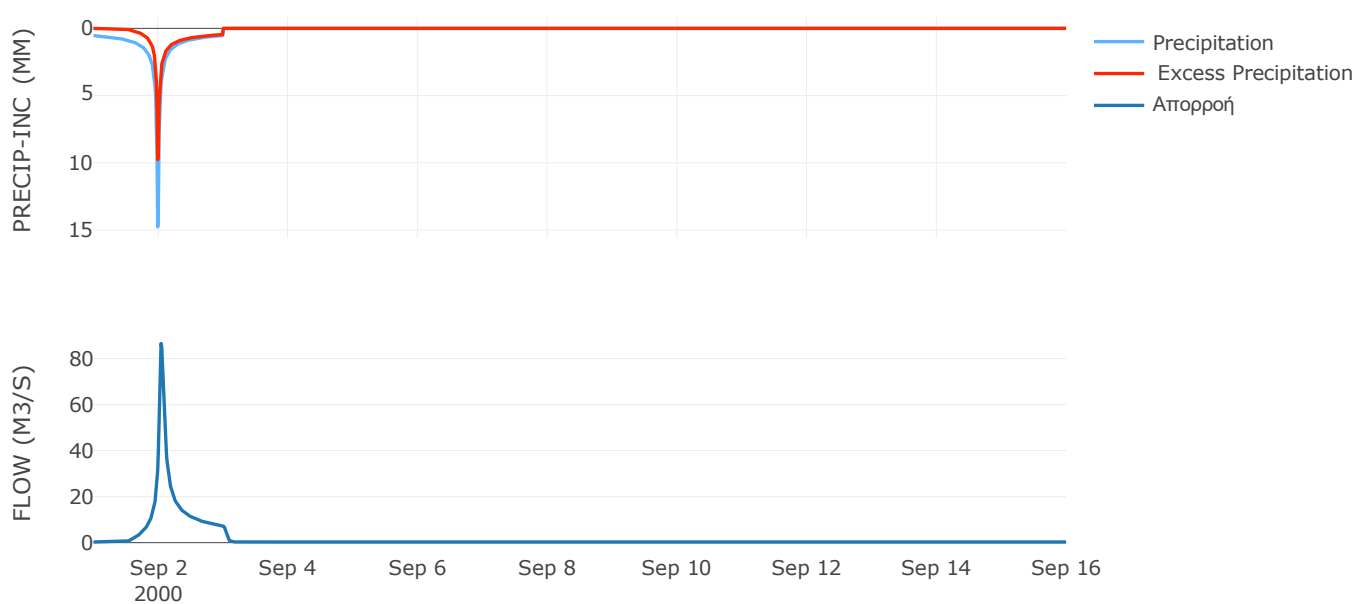
Μέθοδος  
Μετασχηματισμού: SCS

Χρόνος Υστέρησης	58.73
------------------	-------

Αποτελέσματα:  
EL0513FR5031

Παροχή αιχμής (M3/S)	86.58
Χρονική στιγμή αιχμής	02Sep2000, 01:00
Όγκος (MM)	178.67
Όγκος βροχόπτωσης (M3)	3.51E6
Όγκος απωλειών (M3)	1.54E6
Ενεργός Όγκος (M3)	1.97E6
Όγκος άμεσης απορροής (M3)	1.97E6
Όγκος βασικής απορροής (M3)	3.74E5

Βροχόπτωση και Απορροή



Υπολεκάνη: EL0513FR5032

Έκταση (KM2) : 17.35

Κατάντη : J16

Μέθοδος Απωλειών: SCS

Ποσοστό αδιαπέρατης επιφάνειας	0
Αριθμός Καμπύλης Απορροής-CN	50.6
Αρχικές Απώλειες	49.59

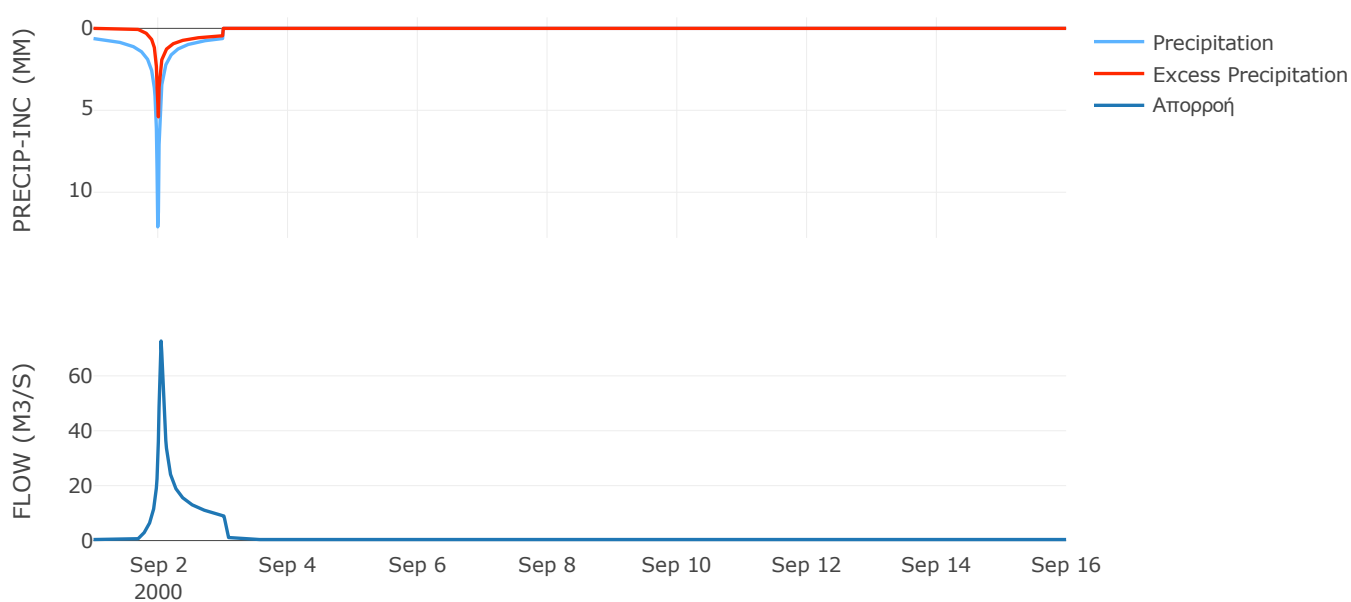
Μέθοδος  
Μετασχηματισμού: SCS

Χρόνος Υστέρησης	48.75
------------------	-------

Αποτελέσματα:  
EL0513FR5032

Παροχή αιχμής (M3/S)	72.69
Χρονική στιγμή αιχμής	02Sep2000, 01:00
Όγκος (MM)	136.31
Όγκος βροχόπτωσης (M3)	4.78E6
Όγκος απωλειών (M3)	2.91E6
Ενεργός Όγκος (M3)	1.87E6
Όγκος άμεσης απορροής (M3)	1.87E6
Όγκος βασικής απορροής (M3)	4.95E5

Βροχόπτωση και Απορροή



Υπολεκάνη: EL0513FR5033

Έκταση (KM2) : 4.63

Κατάνη : J21 Res1

Μέθοδος Απωλειών: SCS

Ποσοστό αδιαπέρατης επιφάνειας	0
Αριθμός Καμπύλης Απορροής-CN	48.83
Αρχικές Απώλειες	53.24

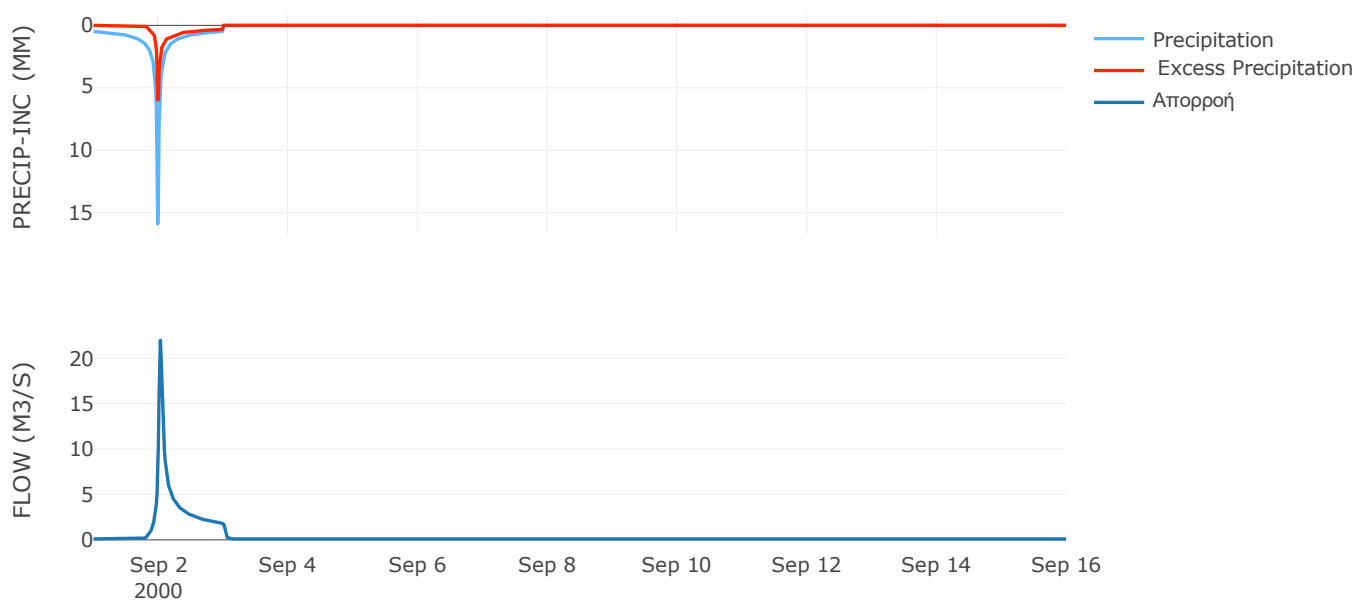
Μέθοδος  
Μετασχηματισμού: SCS

Χρόνος Υστέρησης	36.76
------------------	-------

Αποτελέσματα:  
EL0513FR5033

Παροχή αιχμής (M3/S)	21.97
Χρονική στιγμή αιχμής	02Sep2000, 00:45
Όγκος (MM)	116.72
Όγκος βροχόπτωσης (M3)	1.19E6
Όγκος απωλειών (M3)	7.8E5
Ενεργός Όγκος (M3)	4.08E5
Όγκος άμεσης απορροής (M3)	4.08E5
Όγκος βασικής απορροής (M3)	1.32E5

Βροχόπτωση και Απορροή



## 5.2 Δεδομένα και υδρογραφήματα σχεδιασμού Κλάδων υδρογραφικού δικτύου

Κλάδος: R21

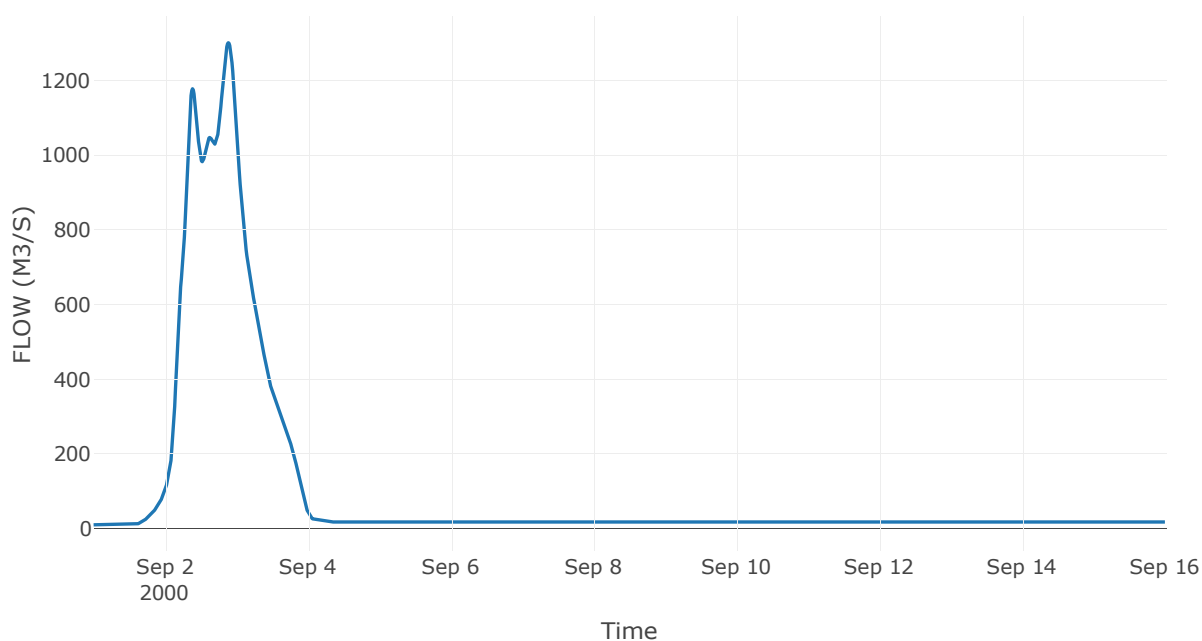
Κατάντη : J1

Μέθοδος Διόδευσης	Muskingum
Αρχική Μεταβλητή	Combined Inflow
Χρόνος Ροής Κ	1.16
Συντελεστής βάρους x	0.2
Πλήθος Υποκλάδων	5

Αποτελέσματα: R21

Παροχή Αιχμής(M3/S)	1301.51
Χρονική στιγμή αιχμής	02Sep2000, 21:15
Όγκος(MM)	167.69
Παροχή Αιχμής Εισόδου (M3/S)	1307.47
Όγκος Εισροής(M3)	1.36E8

Απορροή





Κλάδος: R32

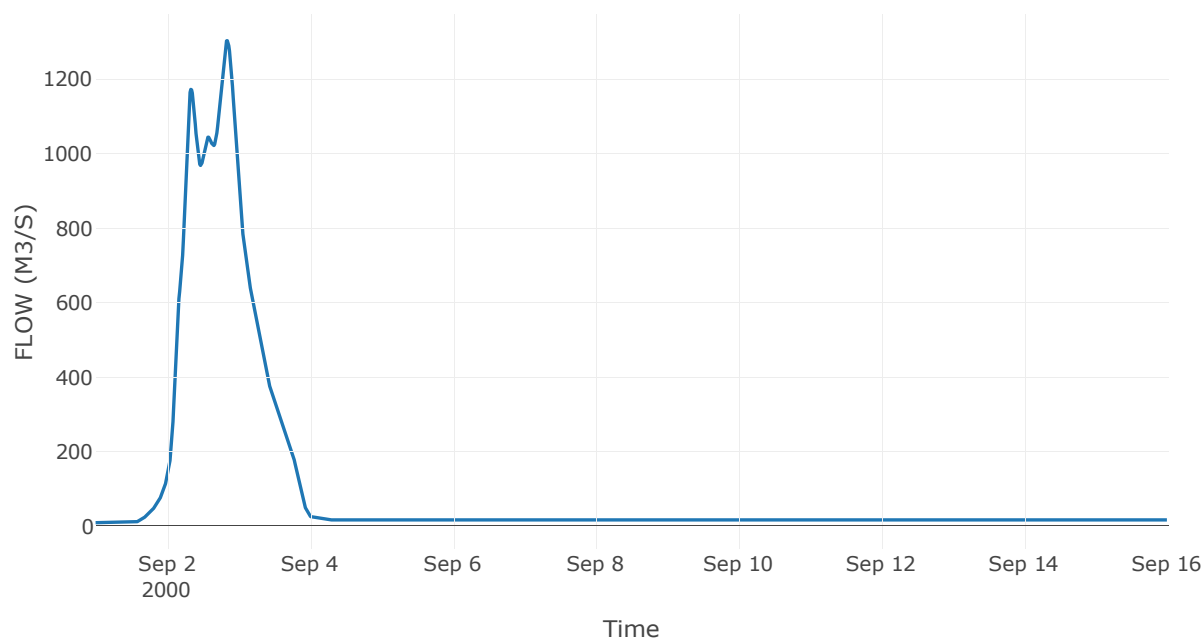
Κατάντη : J2

Μέθοδος Διόδευσης	Muskingum
Αρχική Μεταβλητή	Combined Inflow
Χρόνος Ροής K	1.79
Συντελεστής βάρους x	0.2
Πλήθος Υποκλάδων	7

Αποτελέσματα: R32

Παροχή Αιχμής(M3/S)	1304.35
Χρονική στιγμή αιχμής	02Sep2000, 20:15
Όγκος(MM)	167.54
Παροχή Αιχμής Εισόδου (M3/S)	1315.33
Όγκος Εισροής(M3)	1.34E8

Απορροή



Κλάδος: R43

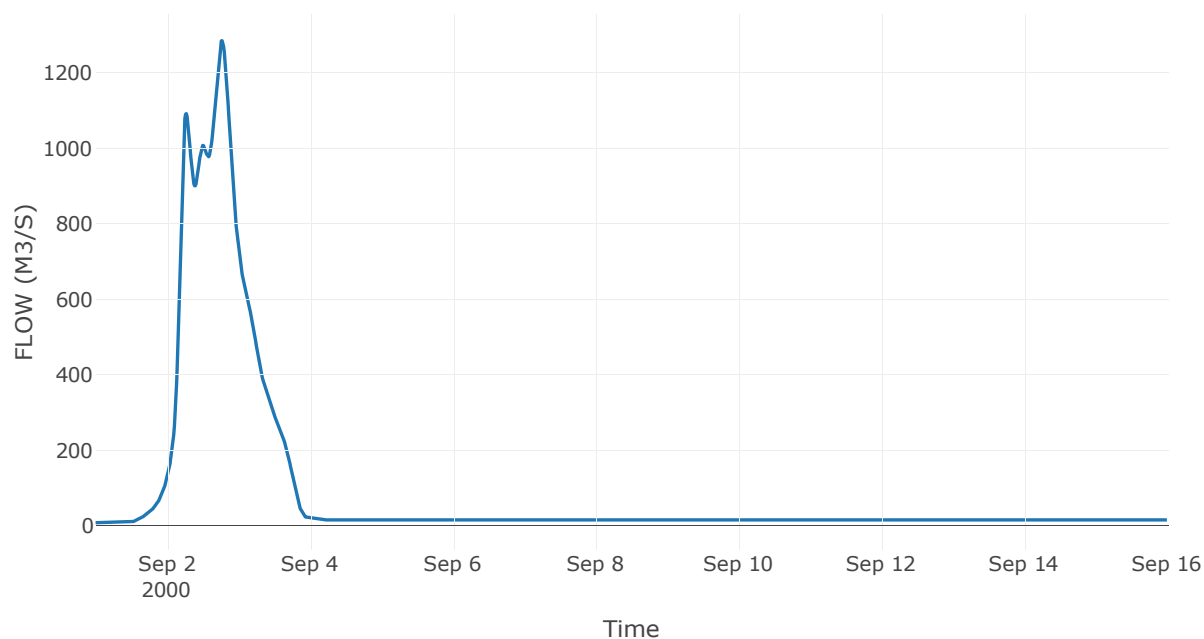
Κατάντη : J3

Μέθοδος Διόδευσης	Muskingum
Αρχική Μεταβλητή	Combined Inflow
Χρόνος Ροής K	3.42
Συντελεστής βάρους x	0.2
Πλήθος Υποκλάδων	14

Αποτελέσματα: R43

Παροχή Αιχμής(M3/S)	1285.32
Χρονική στιγμή αιχμής	02Sep2000, 18:30
Όγκος(MM)	166.59
Παροχή Αιχμής Εισόδου (M3/S)	1308.64
Όγκος Εισροής(M3)	1.24E8

Απορροή



Κλάδος: R54

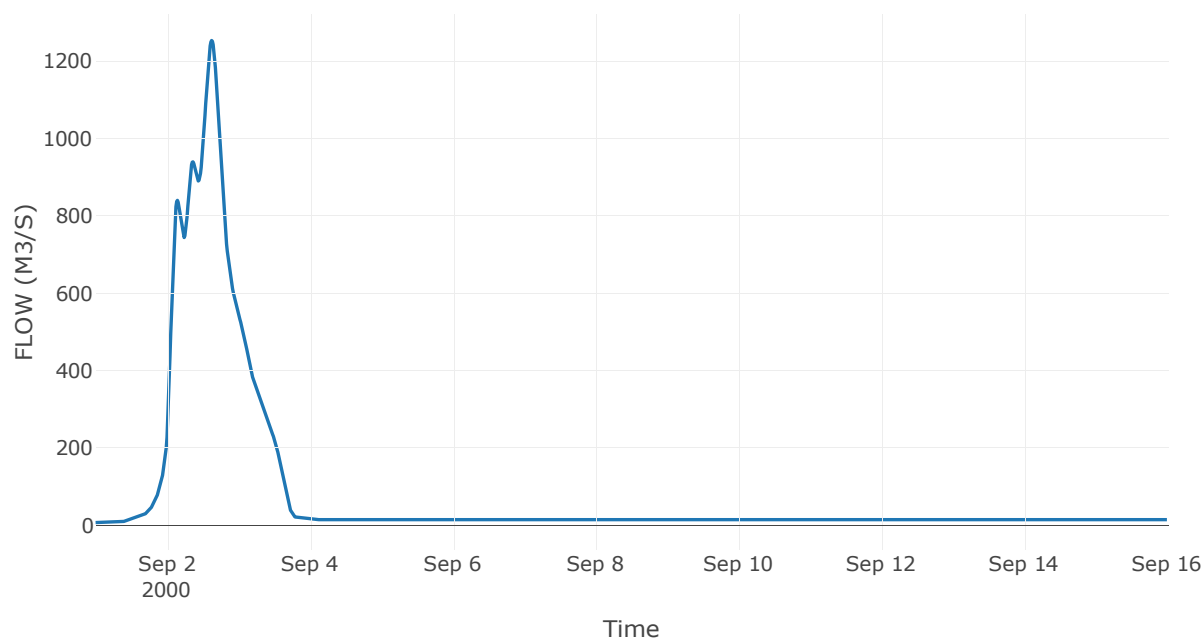
Κατάντη : J4

Μέθοδος Διόδευσης	Muskingum
Αρχική Μεταβλητή	Combined Inflow
Χρόνος Ροής K	0.15
Συντελεστής βάρους x	0.2
Πλήθος Υποκλάδων	1

Αποτελέσματα: R54

Παροχή Αιχμής(M3/S)	1252.85
Χρονική στιγμή αιχμής	02Sep2000, 15:00
Όγκος(MM)	164.13
Παροχή Αιχμής Εισόδου (M3/S)	1252.94
Όγκος Εισροής(M3)	1.1E8

Απορροή



Κλάδος: R65

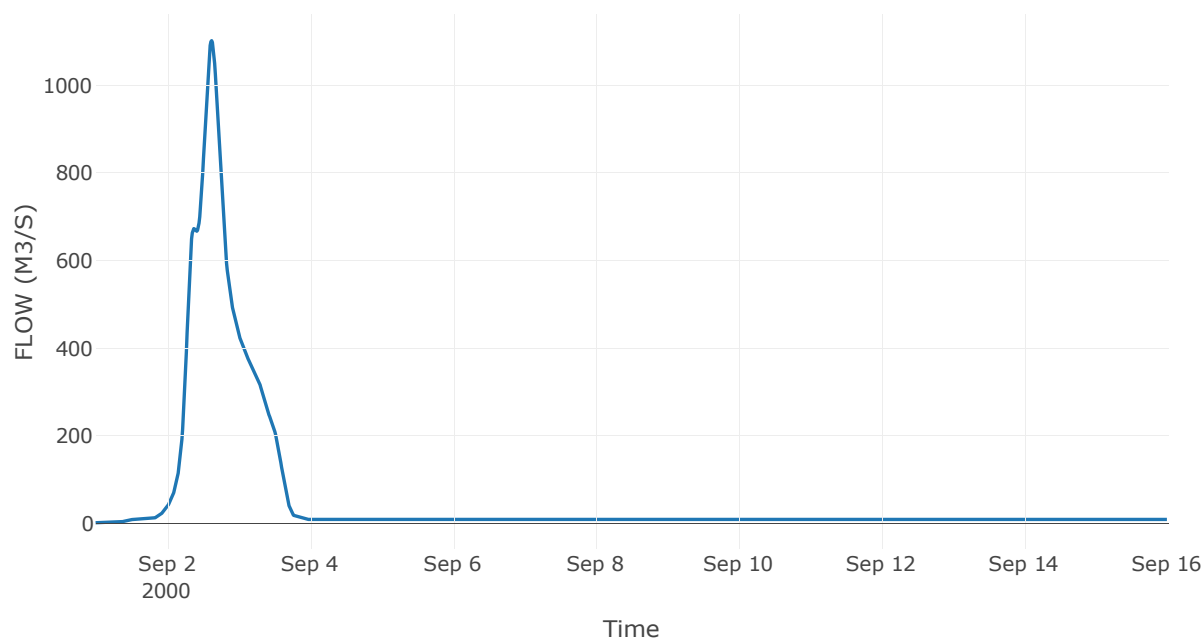
Κατάντη : J5

Μέθοδος Διόδευσης	Muskingum
Αρχική Μεταβλητή	Combined Inflow
Χρόνος Ροής K	4.12
Συντελεστής βάρους x	0.2
Πλήθος Υποκλάδων	17

Αποτελέσματα: R65

Παροχή Αιχμής(M3/S)	1102.04
Χρονική στιγμή αιχμής	02Sep2000, 15:00
Όγκος(MM)	163.38
Παροχή Αιχμής Εισόδου (M3/S)	1134.78
Όγκος Εισροής(M3)	7.8E7

Απορροή



Κλάδος: R76

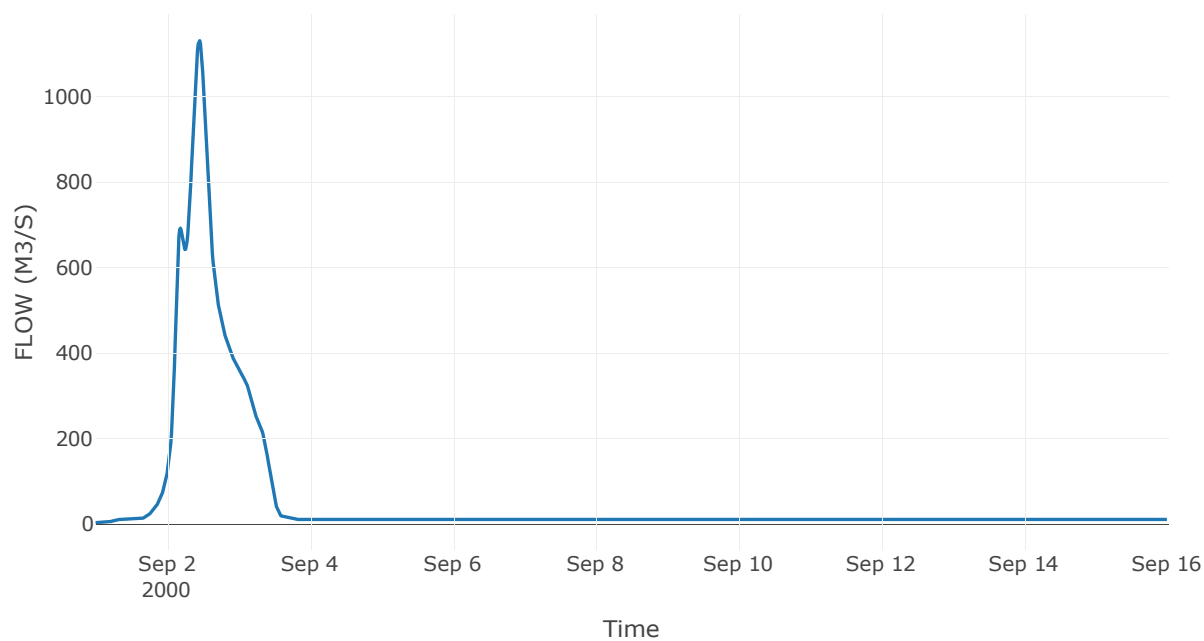
Κατάντη : J6

Μέθοδος Διόδευσης	Muskingum
Αρχική Μεταβλητή	Combined Inflow
Χρόνος Ροής K	1.71
Συντελεστής βάρους x	0.2
Πλήθος Υποκλάδων	7

Αποτελέσματα: R76

Παροχή Αιχμής(M3/S)	1131.81
Χρονική στιγμή αιχμής	02Sep2000, 10:45
Όγκος(MM)	163.52
Παροχή Αιχμής Εισόδου (M3/S)	1148.5
Όγκος Εισροής(M3)	7.73E7

Απορροή



Κλάδος: R87

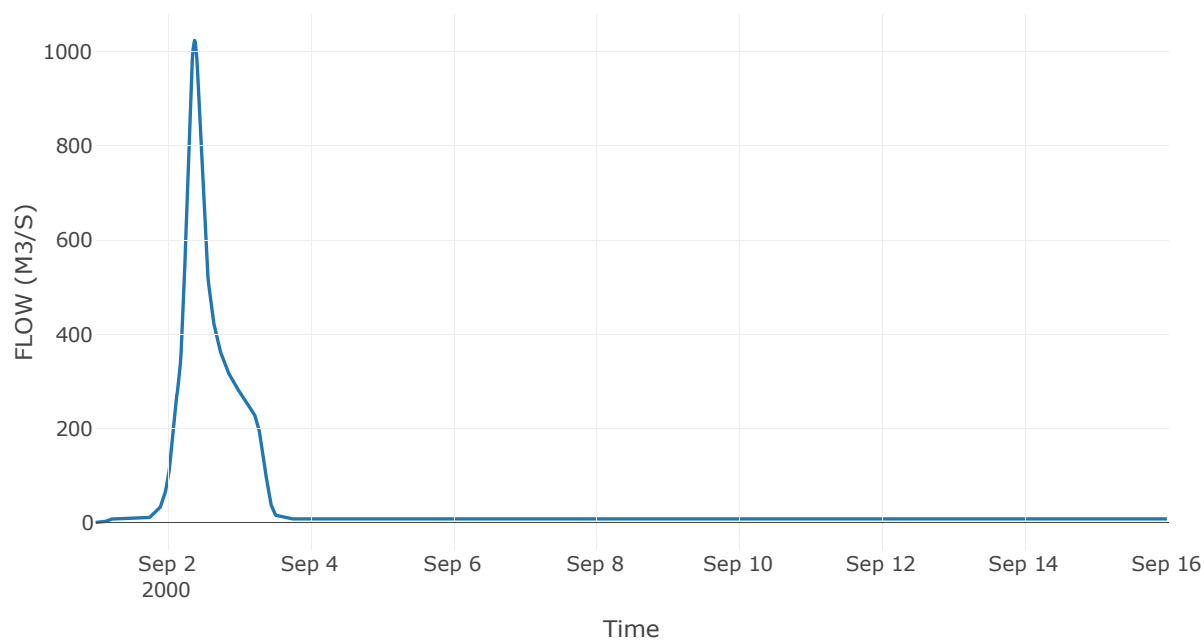
Κατάντη : J7

Μέθοδος Διόδευσης	Muskingum
Αρχική Μεταβλητή	Combined Inflow
Χρόνος Ροής K	1.08
Συντελεστής βάρους x	0.2
Πλήθος Υποκλάδων	5

Αποτελέσματα: R87

Παροχή Αιχμής(M3/S)	1024.18
Χρονική στιγμή αιχμής	02Sep2000, 09:15
Όγκος(MM)	163.75
Παροχή Αιχμής Εισόδου (M3/S)	1034.15
Όγκος Εισροής(M3)	5.92E7

Απορροή



Κλάδος: R218

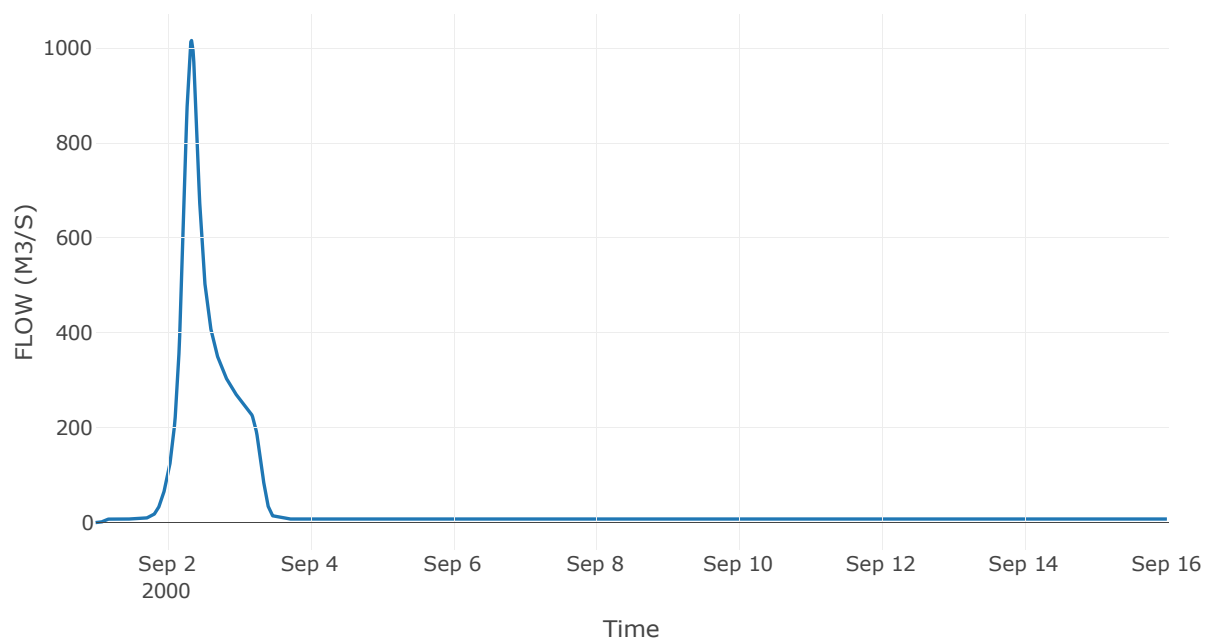
Κατάντη : J8

Μέθοδος Διόδευσης	Muskingum
Αρχική Μεταβλητή	Combined Inflow
Χρόνος Ροής K	2.12
Συντελεστής βάρους x	0.2
Πλήθος Υποκλάδων	9

Αποτελέσματα: R218

Παροχή Αιχμής(M3/S)	1016.16
Χρονική στιγμή αιχμής	02Sep2000, 08:15
Όγκος(MM)	164.64
Παροχή Αιχμής Εισόδου (M3/S)	1040.03
Όγκος Εισροής(M3)	5.64E7

Απορροή



Κλάδος: R921

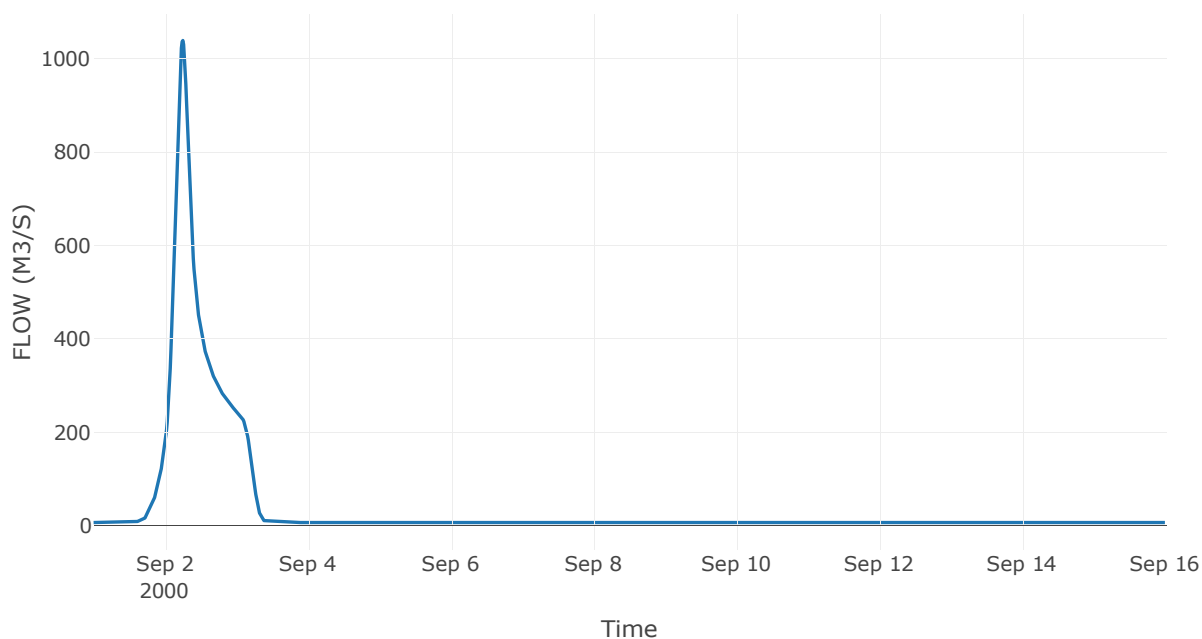
Κατάντη : J21 Res1

Μέθοδος Διόδευσης	Muskingum
Αρχική Μεταβλητή	Combined Inflow
Χρόνος Ροής K	1.51
Συντελεστής βάρους x	0.2
Πλήθος Υποκλάδων	6

Αποτελέσματα: R921

Παροχή Αιχμής(M3/S)	1038.63
Χρονική στιγμή αιχμής	02Sep2000, 06:00
Όγκος(MM)	165.53
Παροχή Αιχμής Εισόδου (M3/S)	1060.93
Όγκος Εισροής(M3)	5.59E7

Απορροή





Κλάδος: R109

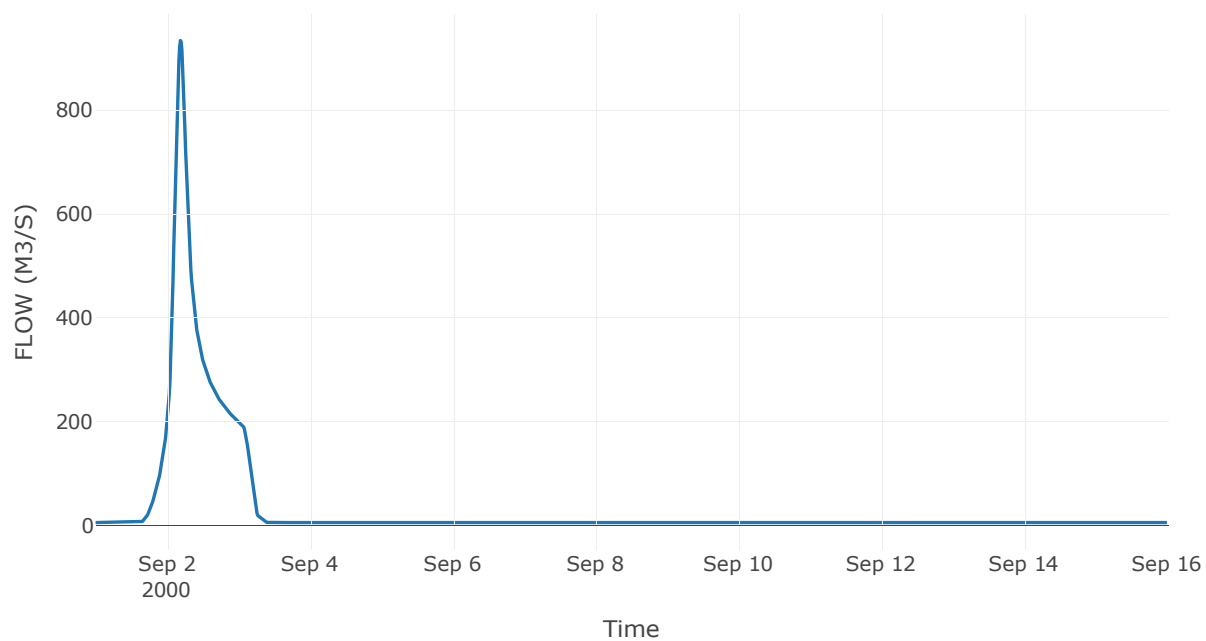
Κατάντη : J9

Μέθοδος Διόδευσης	Muskingum
Αρχική Μεταβλητή	Combined Inflow
Χρόνος Ροής K	1.75
Συντελεστής βάρους x	0.2
Πλήθος Υποκλάδων	7

Αποτελέσματα: R109

Παροχή Αιχμής(M3/S)	934.32
Χρονική στιγμή αιχμής	02Sep2000, 04:30
Όγκος(MM)	166.49
Παροχή Αιχμής Εισόδου (M3/S)	968.4
Όγκος Εισροής(M3)	4.65E7

Απορροή



Κλάδος: R1110

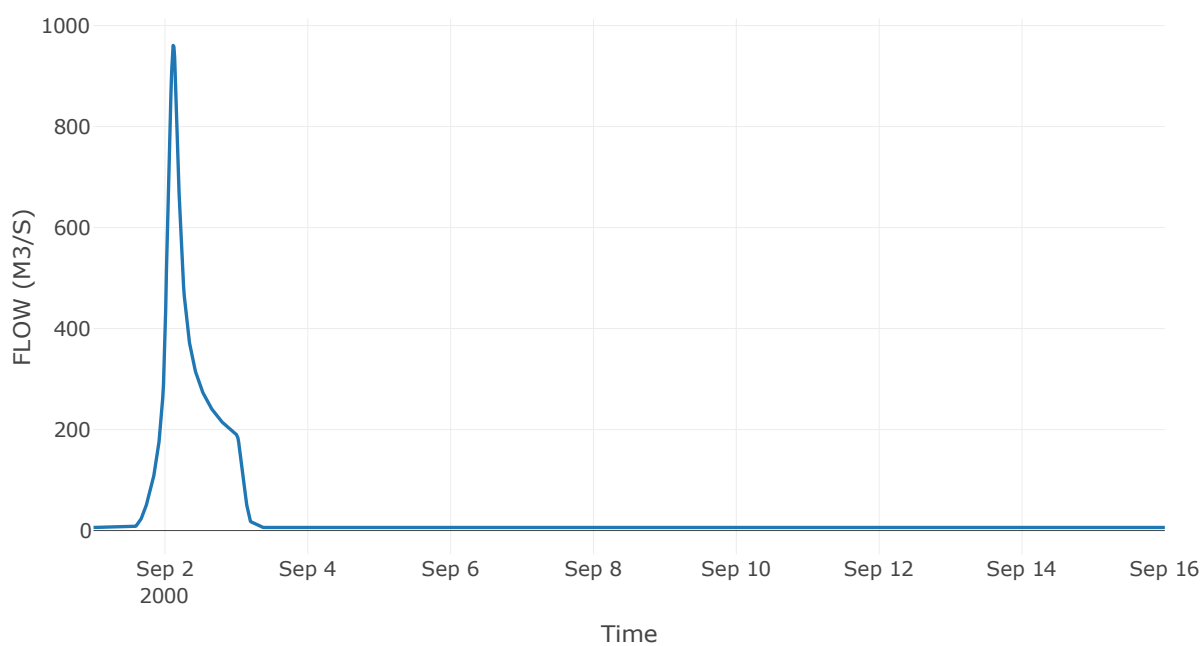
Κατάντη : J10

Μέθοδος Διόδευσης	Χρόνος Υστέρησης
Αρχική Μεταβλητή	Combined Inflow
Χρόνος Υστέρησης	6.74

Αποτελέσματα: R1110

Παροχή Αιχμής(M3/S)	960.7
Χρονική στιγμή αιχμής	02Sep2000, 02:45
Όγκος(MM)	166.78
Παροχή Αιχμής Εισόδου (M3/S)	964.24
Όγκος Εισροής(M3)	4.59E7

Απορροή



Κλάδος: R1211

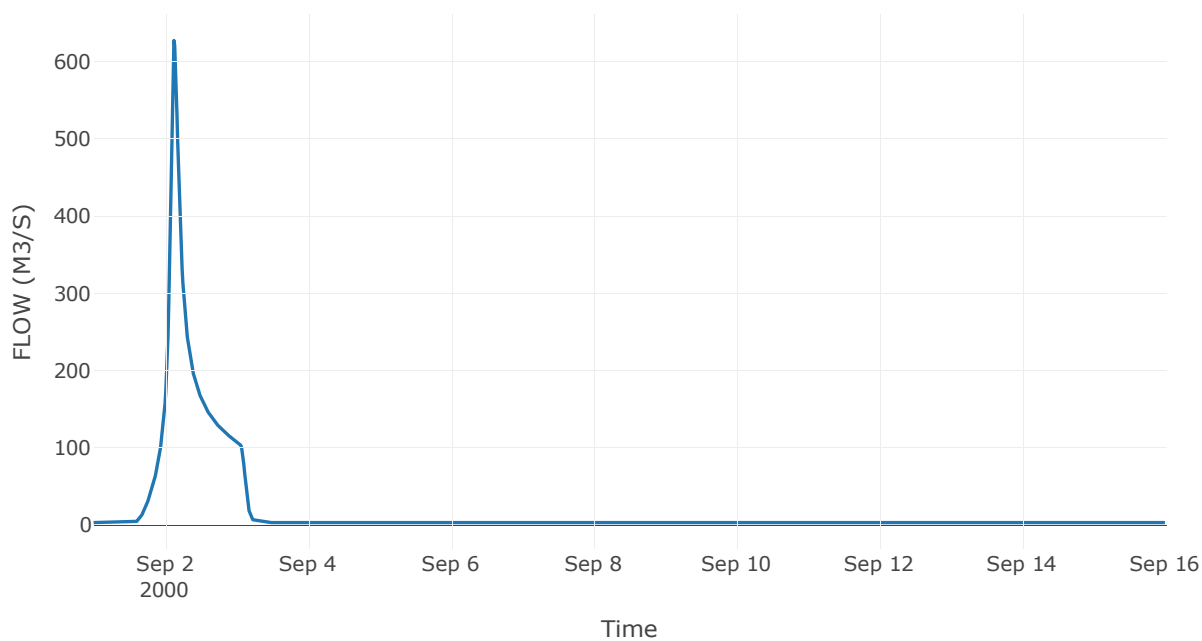
Κατάντη : J11

Μέθοδος Διόδευσης	Muskingum
Αρχική Μεταβλητή	Combined Inflow
Χρόνος Ροής K	1.52
Συντελεστής βάρους x	0.2
Πλήθος Υποκλάδων	6

Αποτελέσματα: R1211

Παροχή Αιχμής(M3/S)	627.08
Χρονική στιγμή αιχμής	02Sep2000, 03:00
Όγκος(MM)	171.76
Παροχή Αιχμής Εισόδου (M3/S)	668.11
Όγκος Εισροής(M3)	2.63E7

Απορροή



Κλάδος: R1312

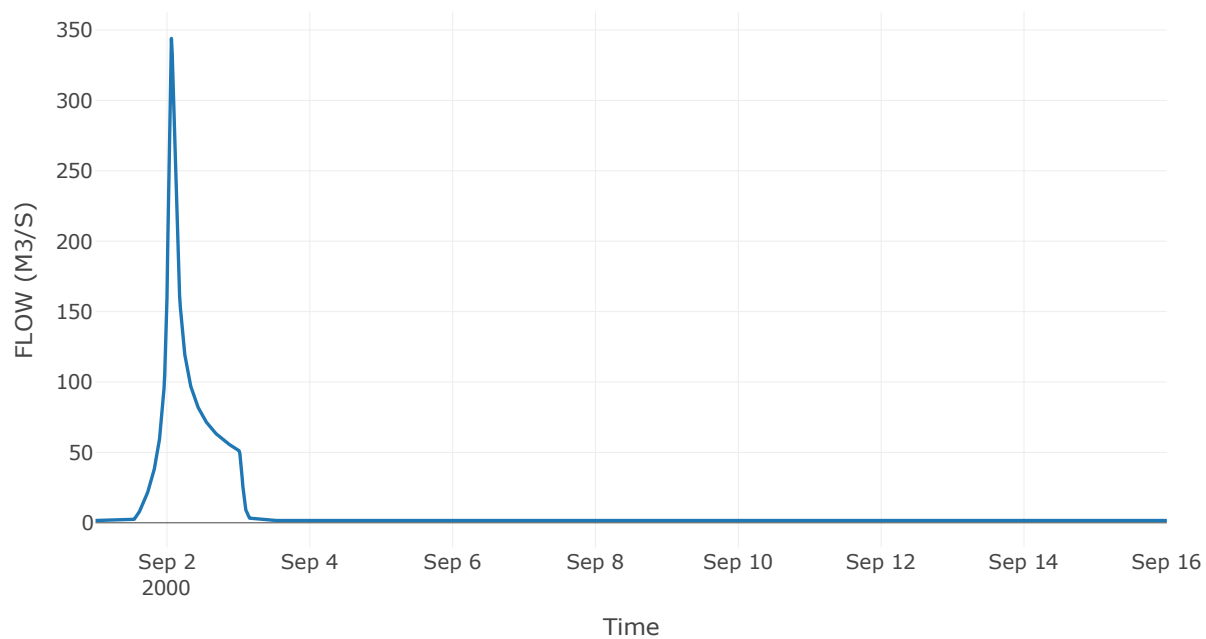
Κατάντη : J12

Μέθοδος Διόδευσης	Χρόνος Υστέρησης
Αρχική Μεταβλητή	Combined Inflow
Χρόνος Υστέρησης	9.62

Αποτελέσματα: R1312

Παροχή Αιχμής(M3/S)	344.01
Χρονική στιγμή αιχμής	02Sep2000, 01:30
Όγκος(MM)	177.61
Παροχή Αιχμής Εισόδου (M3/S)	346.49
Όγκος Εισροής(M3)	1.32E7

Απορροή



Κλάδος: R147

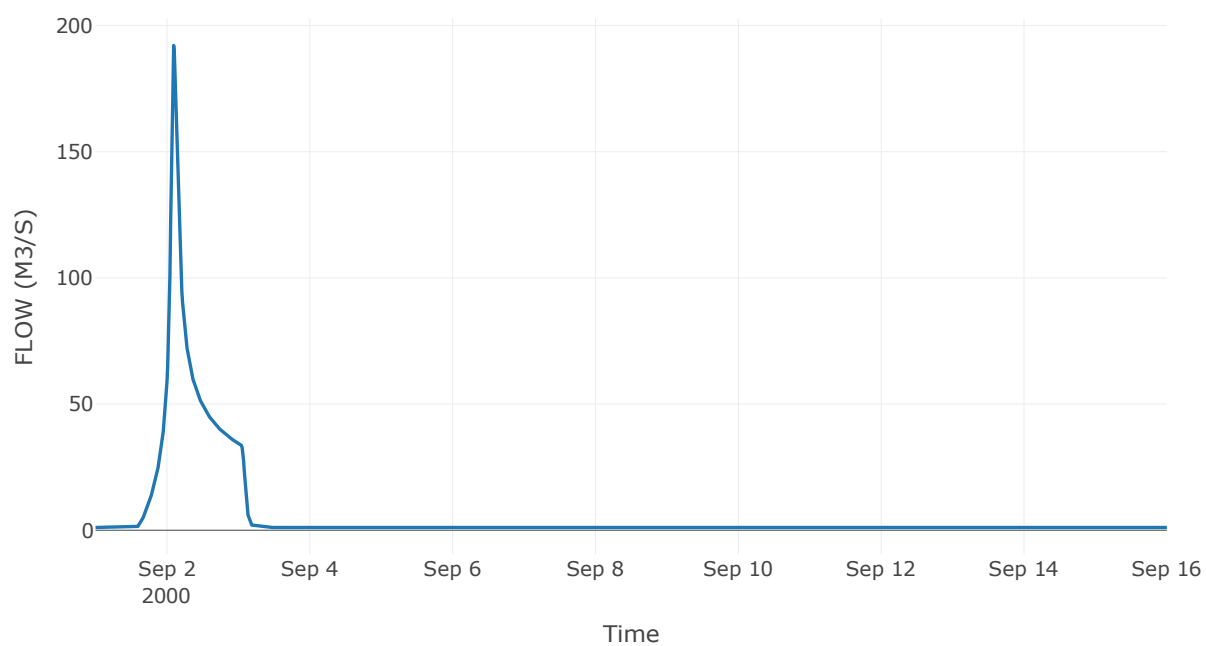
Κατάντη : J7

Μέθοδος Διόδευσης	Χρόνος Υστέρησης
Αρχική Μεταβλητή	Combined Inflow
Χρόνος Υστέρησης	57.57

Αποτελέσματα: R147

Παροχή Αιχμής(M3/S)	192.13
Χρονική στιγμή αιχμής	02Sep2000, 02:15
Όγκος(MM)	161.43
Παροχή Αιχμής Εισόδου (M3/S)	192.57
Όγκος Εισροής(M3)	7.96E6

Απορροή



Κλάδος: R155

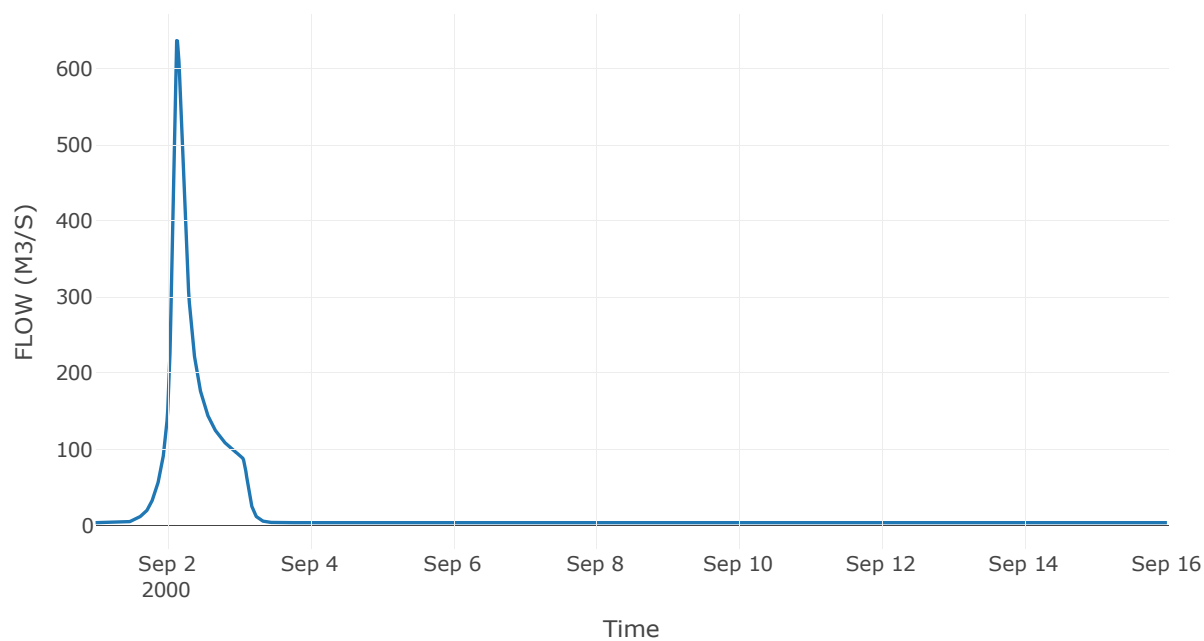
Κατάντη : J5

Μέθοδος Διόδευσης	Muskingum
Αρχική Μεταβλητή	Combined Inflow
Χρόνος Ροής K	1.08
Συντελεστής βάρους x	0.2
Πλήθος Υποκλάδων	5

Αποτελέσματα: R155

Παροχή Αιχμής(M3/S)	636.81
Χρονική στιγμή αιχμής	02Sep2000, 03:15
Όγκος(MM)	167.75
Παροχή Αιχμής Εισόδου (M3/S)	651.18
Όγκος Εισροής(M3)	2.72E7

Απορροή



Κλάδος: R1615

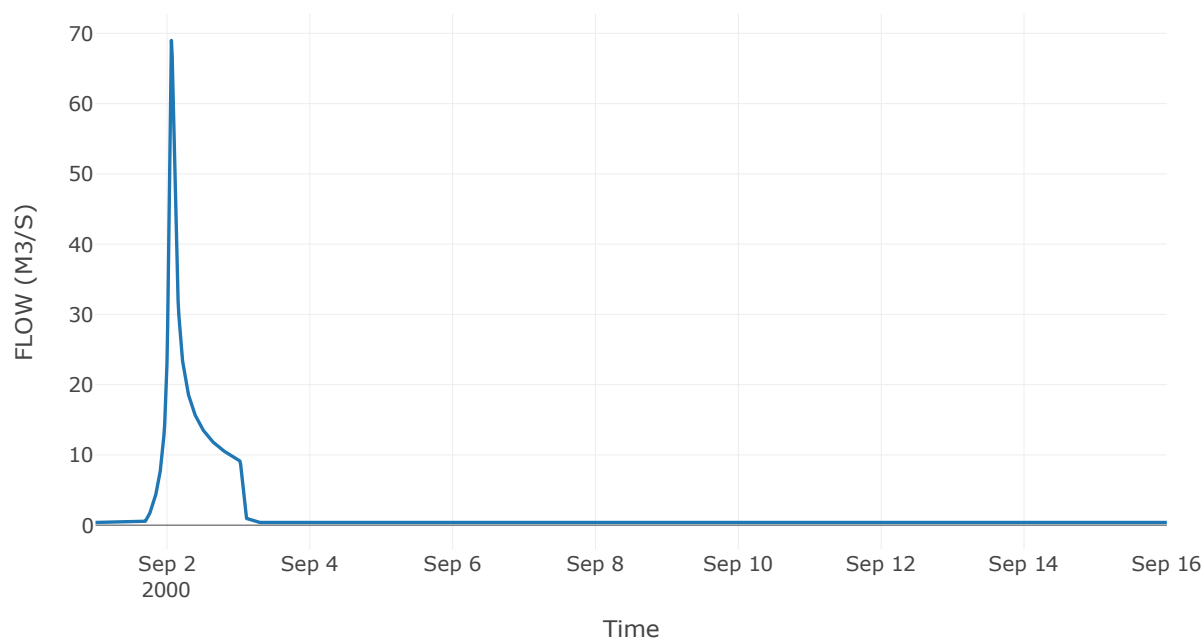
Κατάντη : J15

Μέθοδος Διόδευσης	Muskingum
Αρχική Μεταβλητή	Combined Inflow
Χρόνος Ροής K	0.53
Συντελεστής βάρους x	0.2
Πλήθος Υποκλάδων	2

Αποτελέσματα: R1615

Παροχή Αιχμής(M3/S)	69
Χρονική στιγμή αιχμής	02Sep2000, 01:30
Όγκος(MM)	136.31
Παροχή Αιχμής Εισόδου (M3/S)	72.69
Όγκος Εισροής(M3)	2.37E6

Απορροή



Κλάδος: R1715

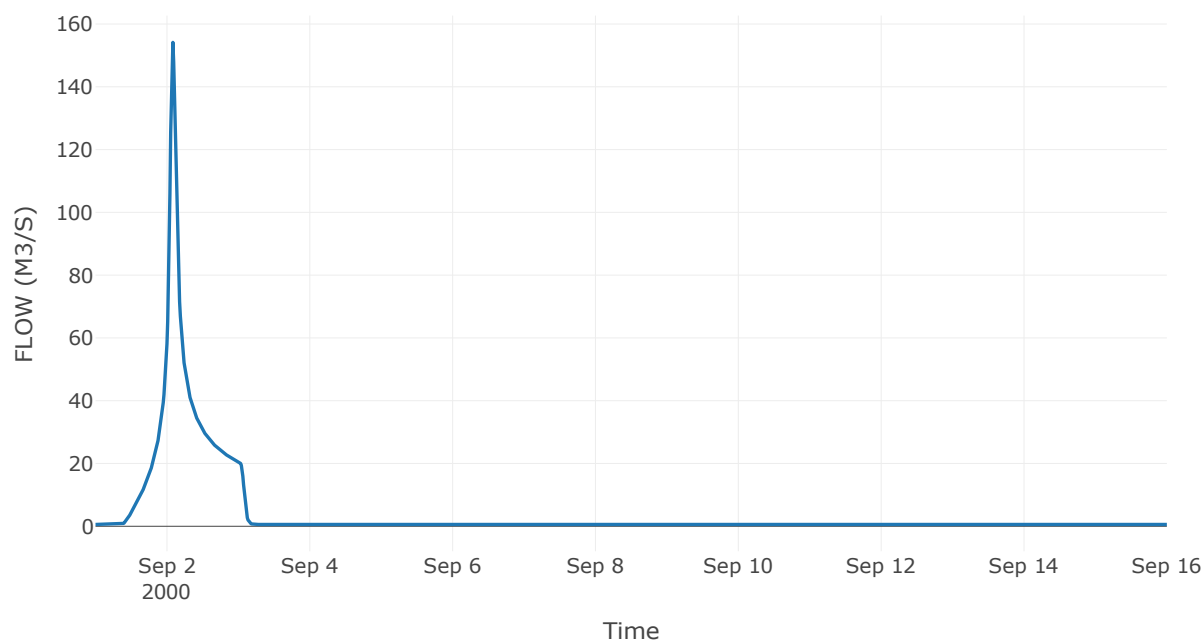
Κατάντη : J15

Μέθοδος Διόδευσης	Muskingum
Αρχική Μεταβλητή	Combined Inflow
Χρόνος Ροής K	0.96
Συντελεστής βάρους x	0.2
Πλήθος Υποκλάδων	4

Αποτελέσματα: R1715

Παροχή Αιχμής(M3/S)	154.15
Χρονική στιγμή αιχμής	02Sep2000, 02:00
Όγκος(MM)	214.74
Παροχή Αιχμής Εισόδου (M3/S)	165.68
Όγκος Εισροής(M3)	5.62E6

Απορροή





Κλάδος: R184

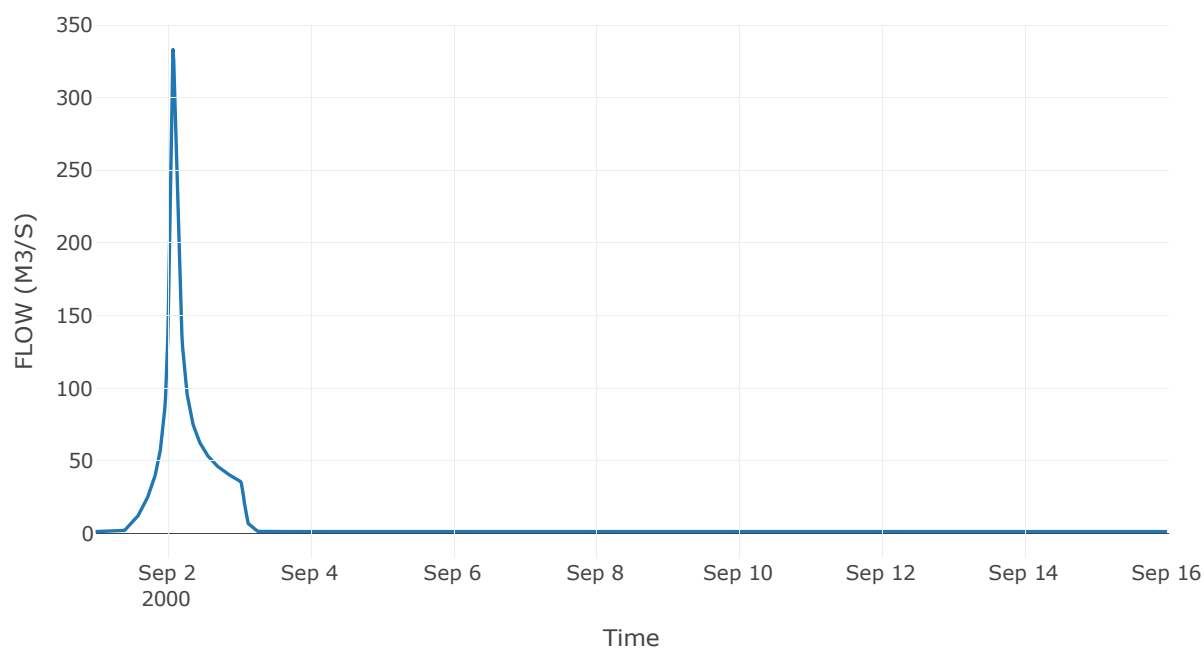
Κατάντη : J4

Μέθοδος Διόδευσης	Muskingum
Αρχική Μεταβλητή	Combined Inflow
Χρόνος Ροής K	0.53
Συντελεστής βάρους x	0.2
Πλήθος Υποκλάδων	2

Αποτελέσματα: R184

Παροχή Αιχμής(M3/S)	333.1
Χρονική στιγμή αιχμής	02Sep2000, 02:00
Όγκος(MM)	190.29
Παροχή Αιχμής Εισόδου (M3/S)	342.58
Όγκος Εισροής(M3)	1.16E7

Απορροή



Κλάδος: R193

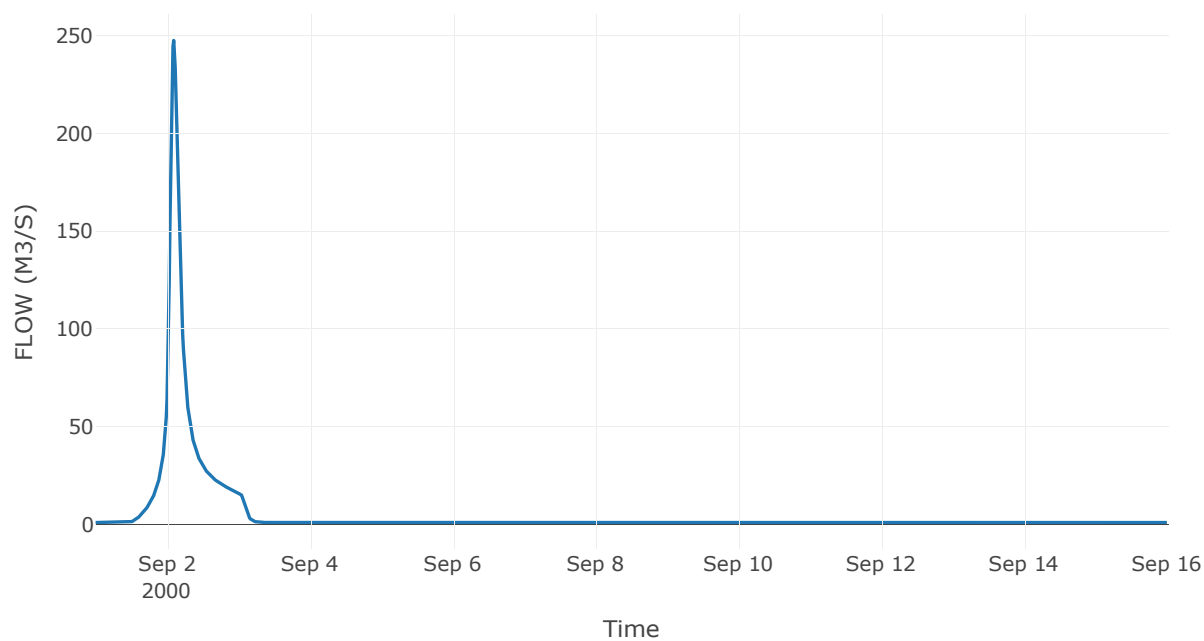
Κατάντη : J3

Μέθοδος Διόδευσης	Muskingum
Αρχική Μεταβλητή	Combined Inflow
Χρόνος Ροής K	0.25
Συντελεστής βάρους x	0.2
Πλήθος Υποκλάδων	1

Αποτελέσματα: R193

Παροχή Αιχμής(M3/S)	247.64
Χρονική στιγμή αιχμής	02Sep2000, 02:15
Όγκος(MM)	177.69
Παροχή Αιχμής Εισόδου (M3/S)	250.13
Όγκος Εισροής(M3)	7.18E6

Απορροή



Κλάδος: R2019

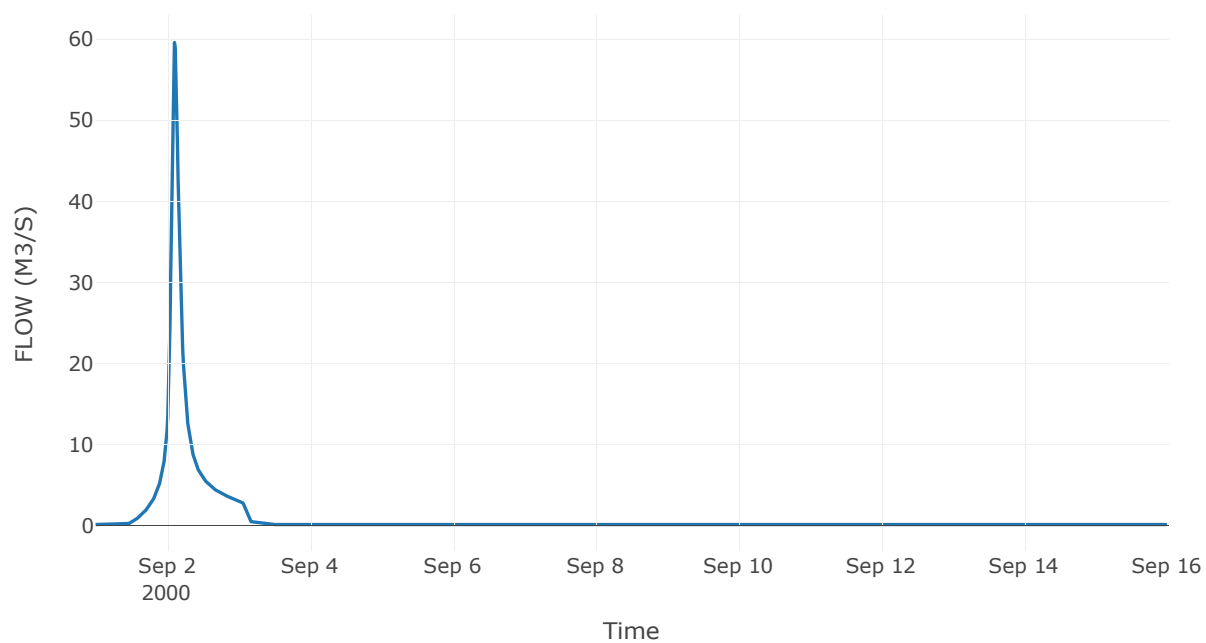
Κατάντη : J19

Μέθοδος Διόδευσης	Muskingum
Αρχική Μεταβλητή	Combined Inflow
Χρόνος Ροής K	0.84
Συντελεστής βάρους x	0.2
Πλήθος Υποκλάδων	4

Αποτελέσματα: R2019

Παροχή Αιχμής(M3/S)	59.57
Χρονική στιγμή αιχμής	02Sep2000, 02:30
Όγκος(MM)	186.06
Παροχή Αιχμής Εισόδου (M3/S)	61.75
Όγκος Εισροής(M3)	1.53E6

Απορροή



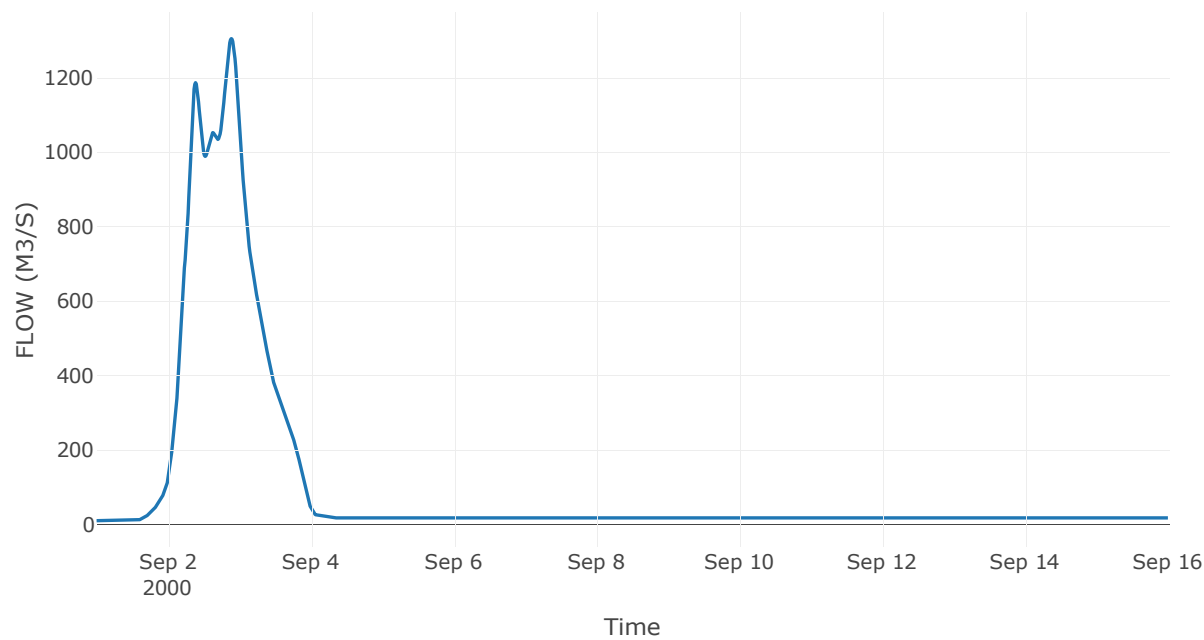
## 5.3 Δεδομένα και υδρογραφήματα σχεδιασμού Κόμβων υδρογραφικού δικτύου

Κόμβος εξόδου: J1

Αποτελέσματ  
α: J1

Παροχή αιχμής (M3/S)	1305.25
Χρονική στιγμή αιχμής	02Sep2000, 21:15
Όγκος (MM)	167.79

Απορροή



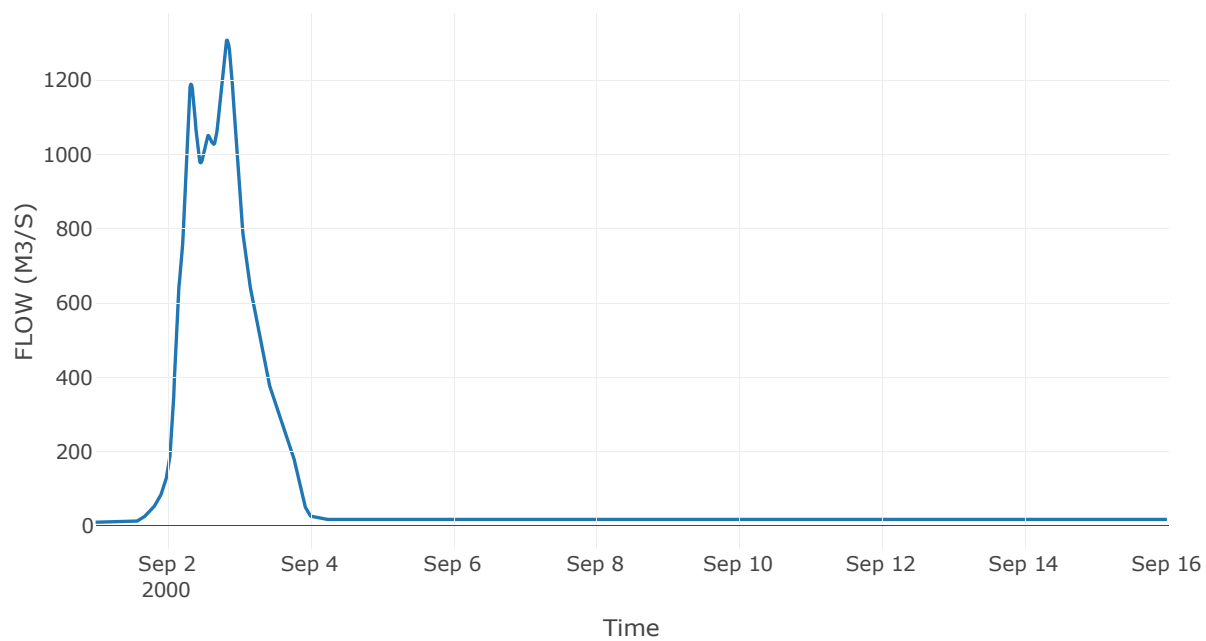
Κόμβος: J2

Κατάντη : R21

Αποτελέσματα: J2

Παροχή Αιχμής(M3/S)	1307.47
Χρονική στιγμή αιχμής	02Sep2000, 20:15
Όγκος(MM)	167.73

Απορροή



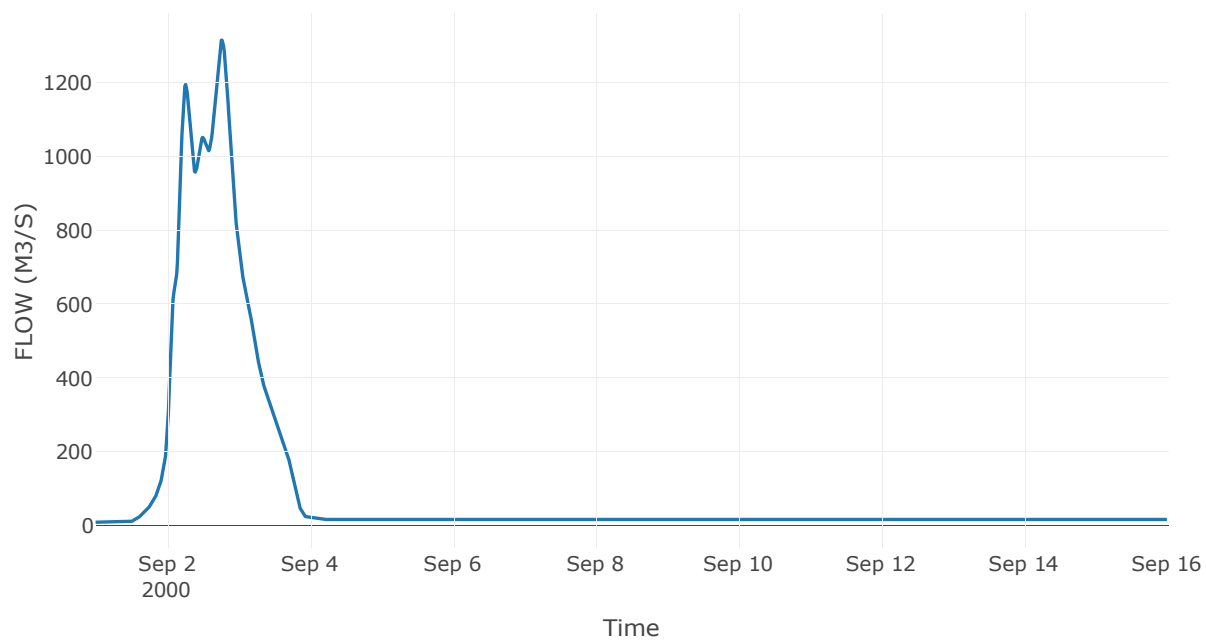
Κόμβος: J3

Κατάντη : R32

Αποτελέσματα: J3

Παροχή Αιχμής(M3/S)	1315.33
Χρονική στιγμή αιχμής	02Sep2000, 18:30
Όγκος(MM)	167.6

Απορροή



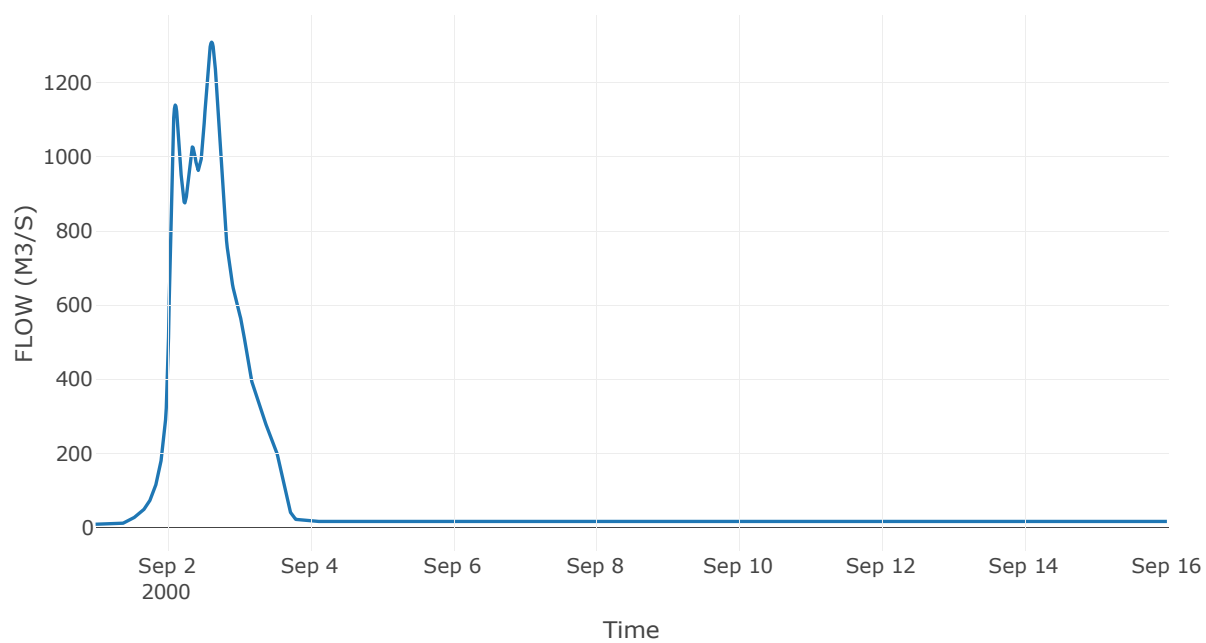
Κόμβος: J4

Κατάντη : R43

Αποτελέσματα: J4

Παροχή Αιχμής(M3/S)	1308.64
Χρονική στιγμή αιχμής	02Sep2000, 15:00
Όγκος(MM)	166.71

Απορροή



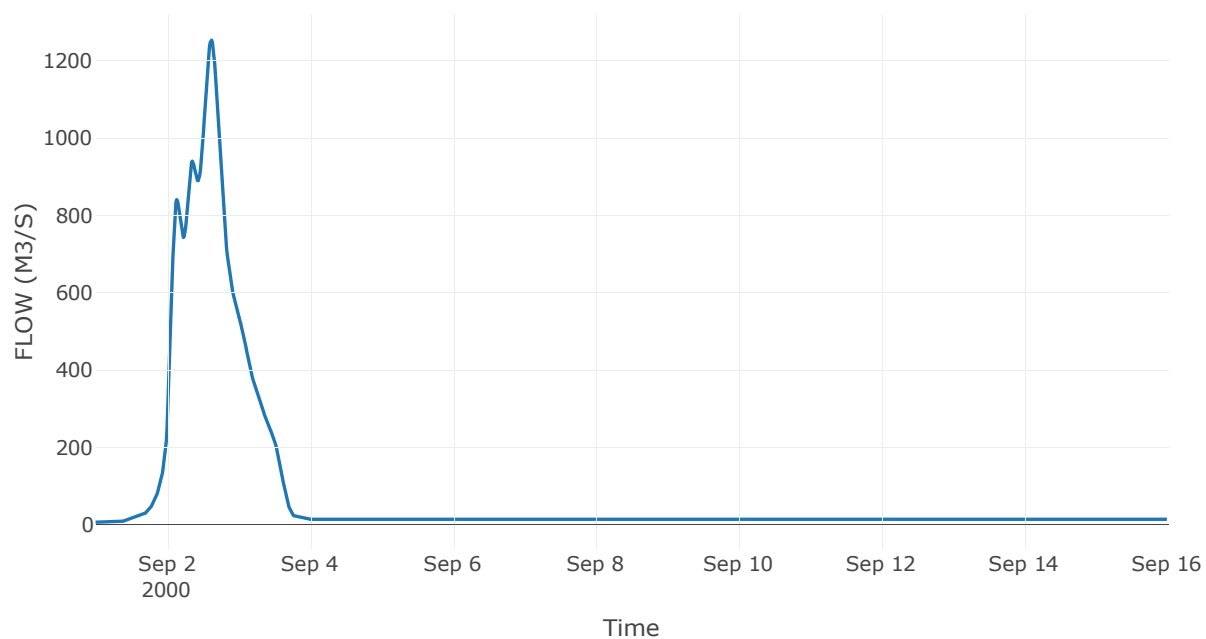
Κόμβος: J5

Κατάντη : R54

Αποτελέσματα: J5

Παροχή Αιχμής(M3/S)	1252.94
Χρονική στιγμή αιχμής	02Sep2000, 15:00
Όγκος(MM)	164.13

Απορροή





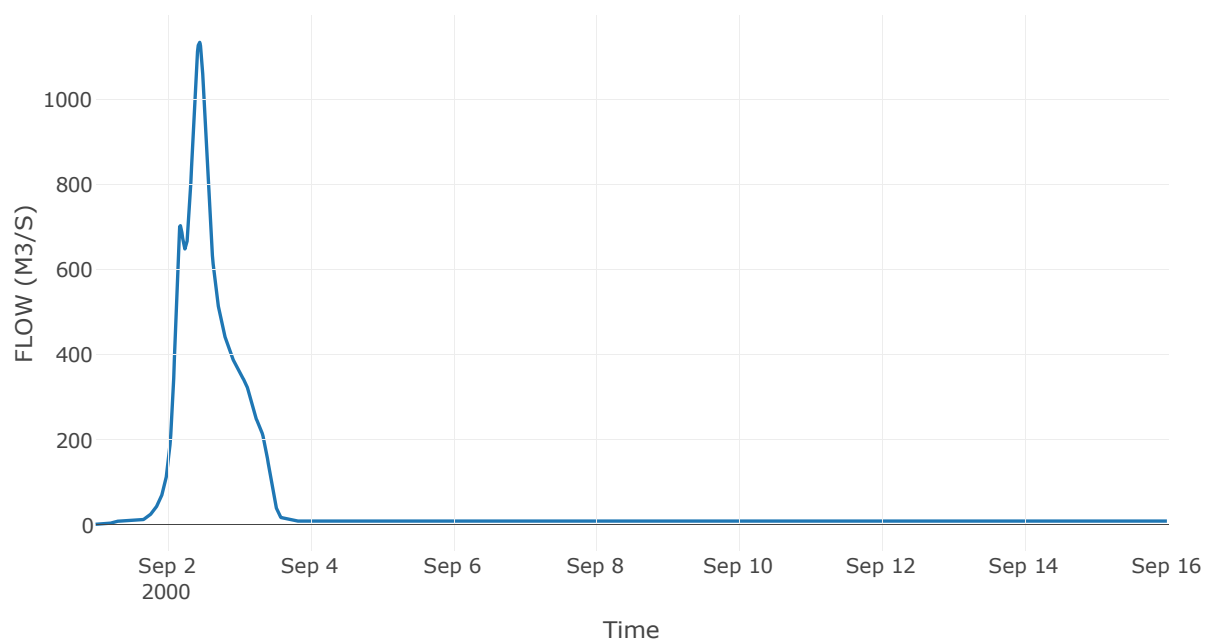
Κόμβος: J6

Κατάντη : R65

Αποτελέσματα: J6

Παροχή Αιχμής(M3/S)	1134.78
Χρονική στιγμή αιχμής	02Sep2000, 10:45
Όγκος(MM)	163.61

Απορροή



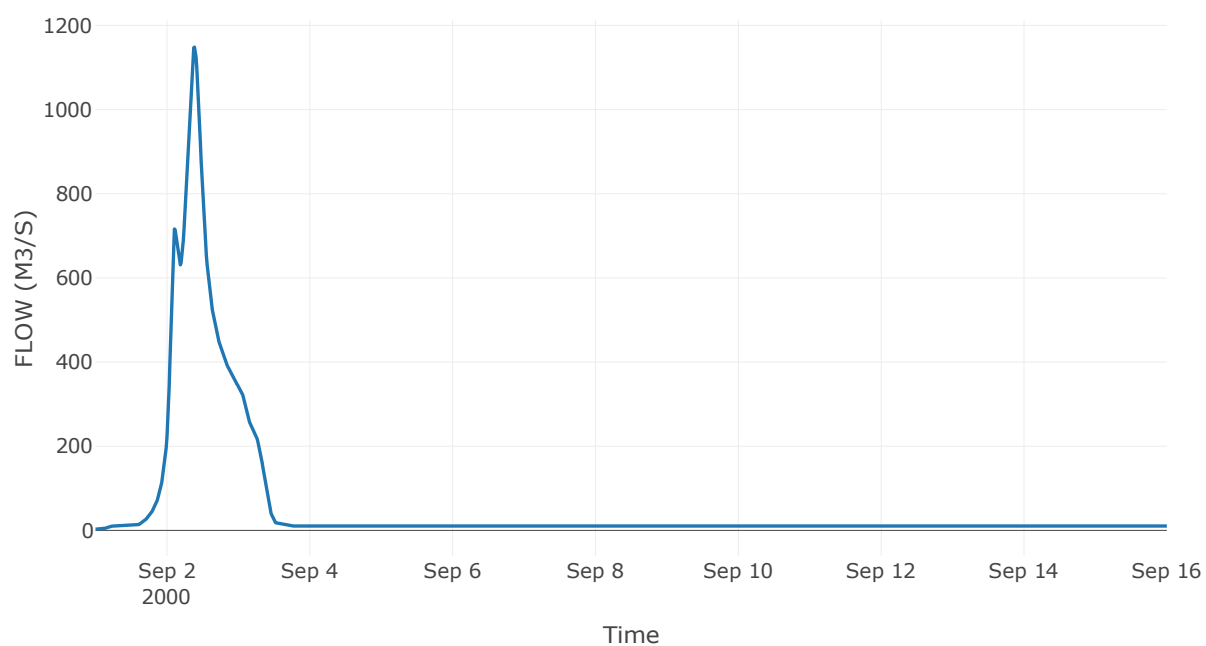
Κόμβος: J7

Κατάντη : R76

Αποτελέσματα: J7

Παροχή Αιχμής(M3/S)	1148.5
Χρονική στιγμή αιχμής	02Sep2000, 09:15
Όγκος(MM)	163.62

Απορροή



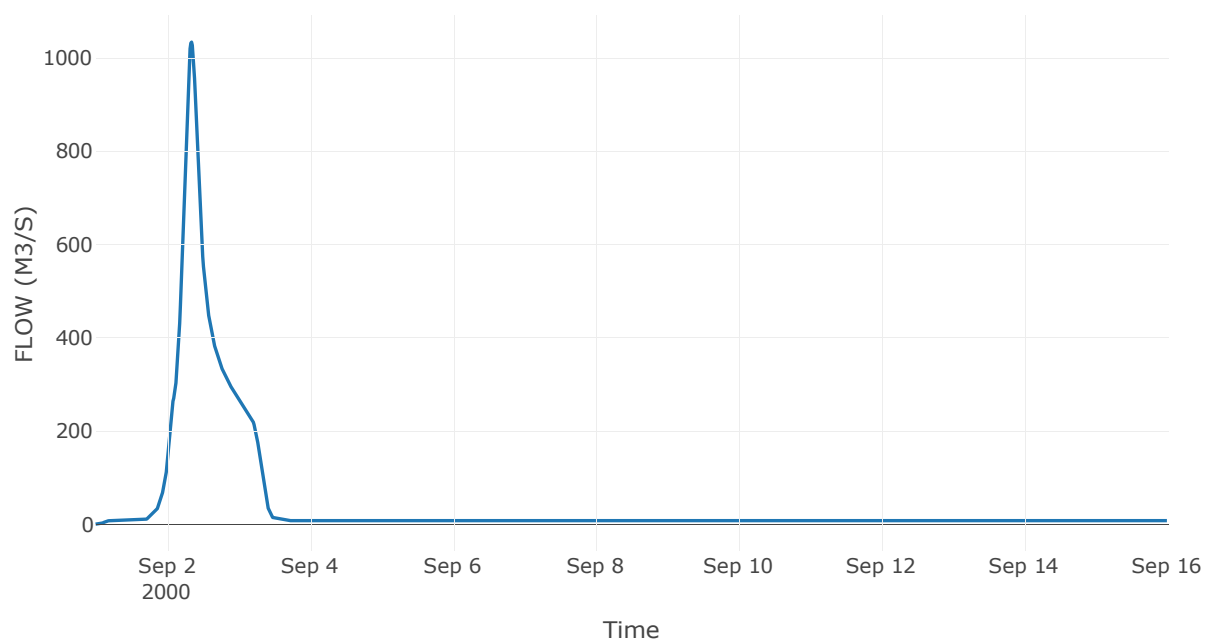
Κόμβος: J8

Κατάντη : R87

Αποτελέσματα: J8

Παροχή Αιχμής(M3/S)	1034.15
Χρονική στιγμή αιχμής	02Sep2000, 08:15
Όγκος(MM)	163.83

Απορροή



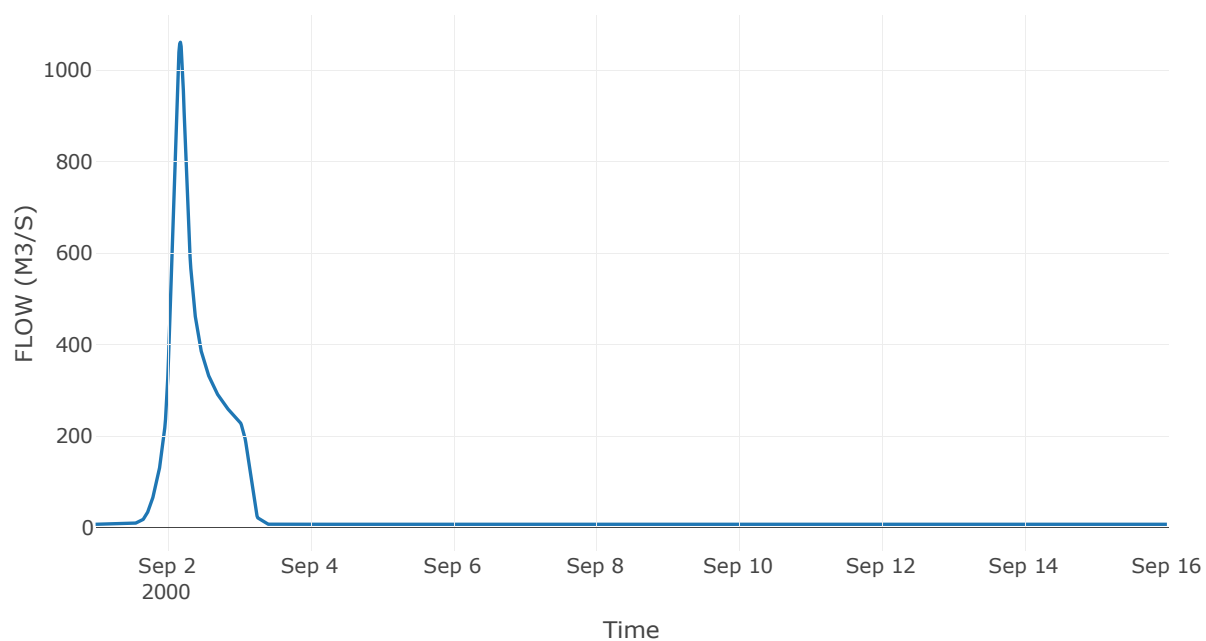
Κόμβος: J9

Κατάντη : R921

Αποτελέσματα: J9

Παροχή Αιχμής(M3/S)	1060.93
Χρονική στιγμή αιχμής	02Sep2000, 04:30
Όγκος(MM)	165.53

Απορροή



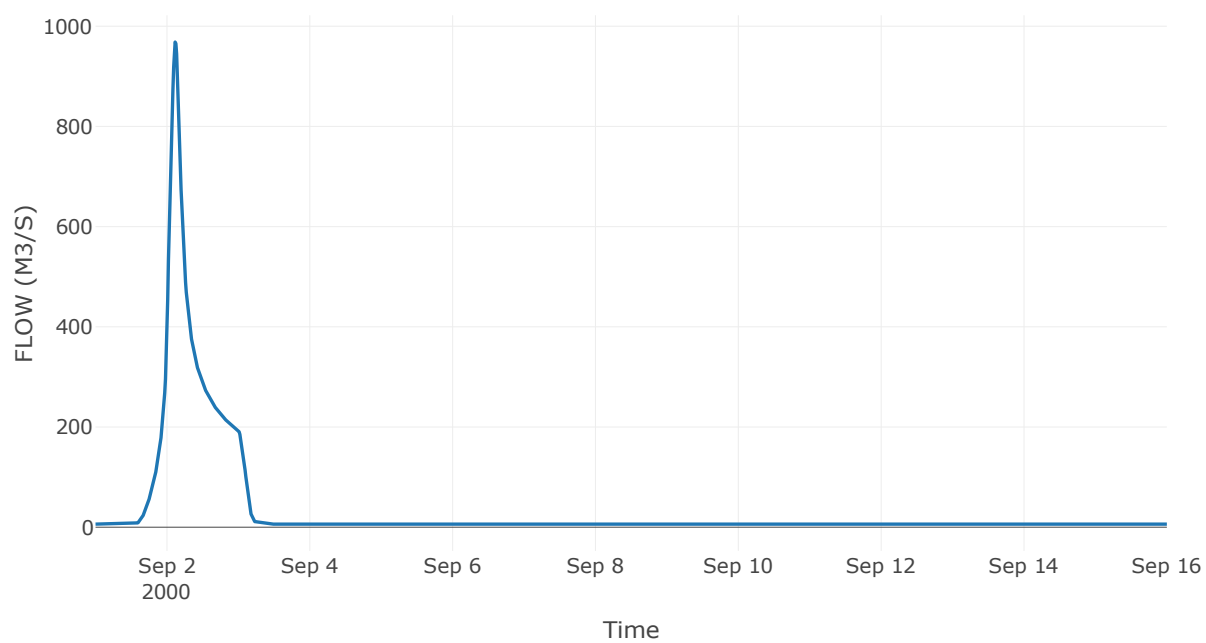
Κόμβος: J10

Κατάντη : R109

Αποτελέσματα: J10

Παροχή Αιχμής(M3/S)	968.4
Χρονική στιγμή αιχμής	02Sep2000, 02:45
Όγκος(MM)	166.49

Απορροή



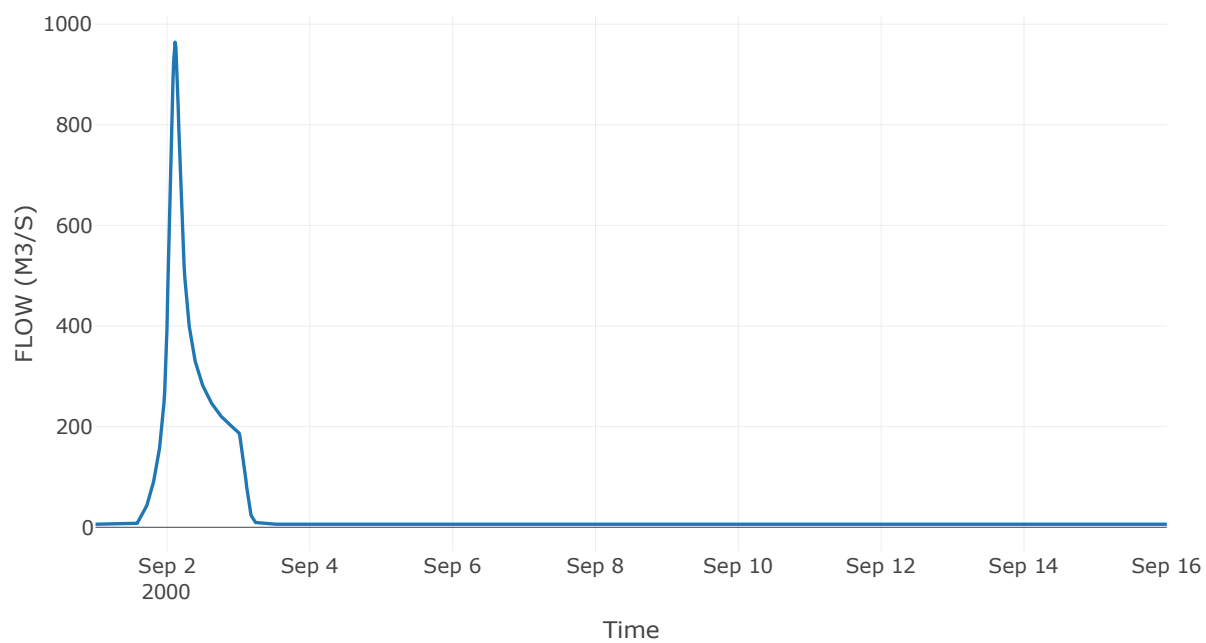
Κόμβος: J11

Κατάντη : R1110

Αποτελέσματα: J11

Παροχή Αιχμής(M3/S)	964.24
Χρονική στιγμή αιχμής	02Sep2000, 02:45
Όγκος(MM)	166.78

Απορροή



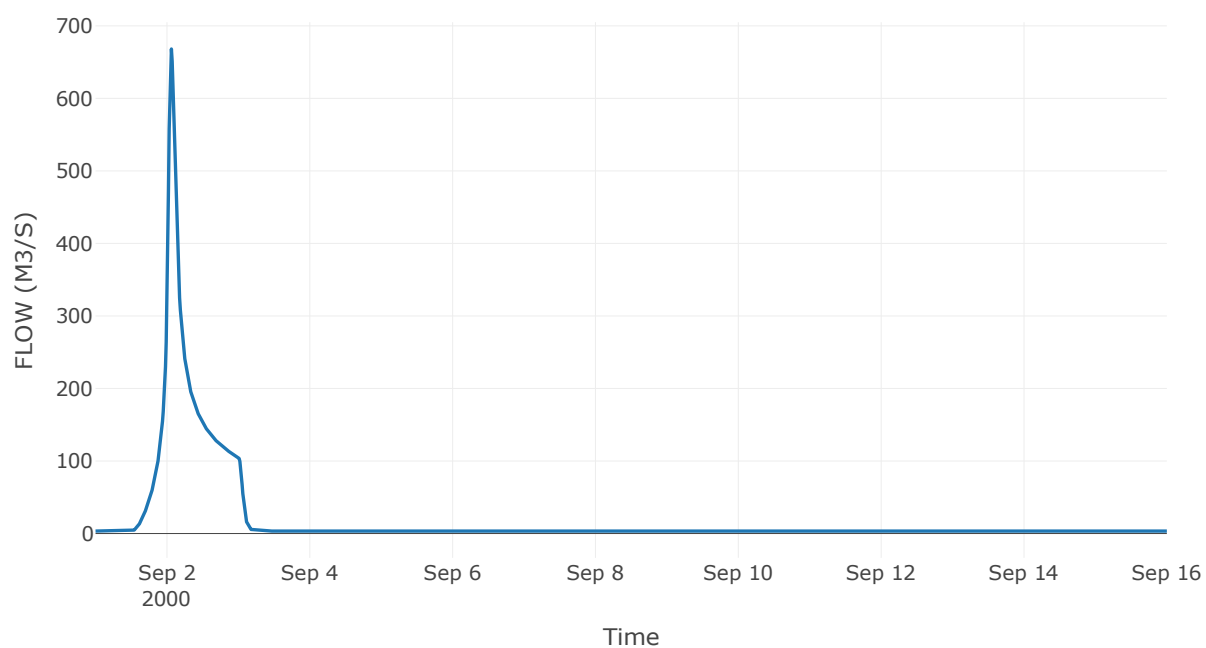
Κόμβος: J12

Κατάντη : R1211

Αποτελέσματα: J12

Παροχή Αιχμής(M3/S)	668.11
Χρονική στιγμή αιχμής	02Sep2000, 01:30
Όγκος(MM)	171.76

Απορροή



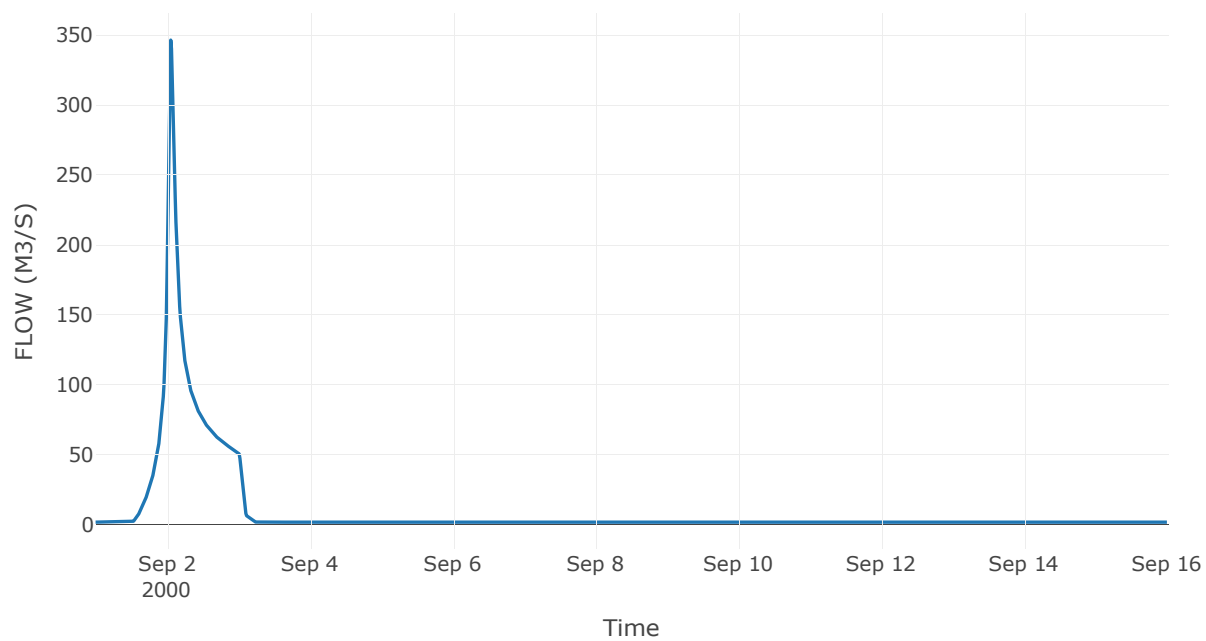
Κόμβος: J13

Κατάντη : R1312

Αποτελέσματα: J13

Παροχή Αιχμής(M3/S)	346.49
Χρονική στιγμή αιχμής	02Sep2000, 01:15
Όγκος(MM)	177.61

Απορροή





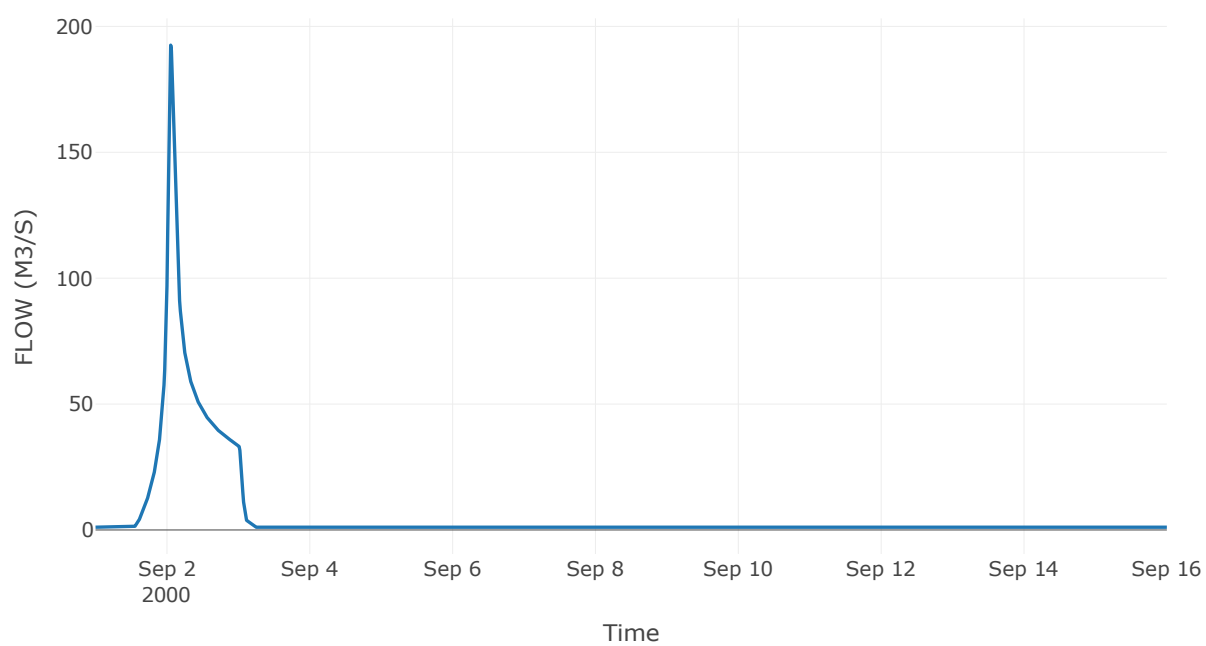
Κόμβος: J14

Κατάντη : R147

Αποτελέσματα: J14

Παροχή Αιχμής(M3/S)	192.57
Χρονική στιγμή αιχμής	02Sep2000, 01:15
Όγκος(MM)	161.43

Απορροή



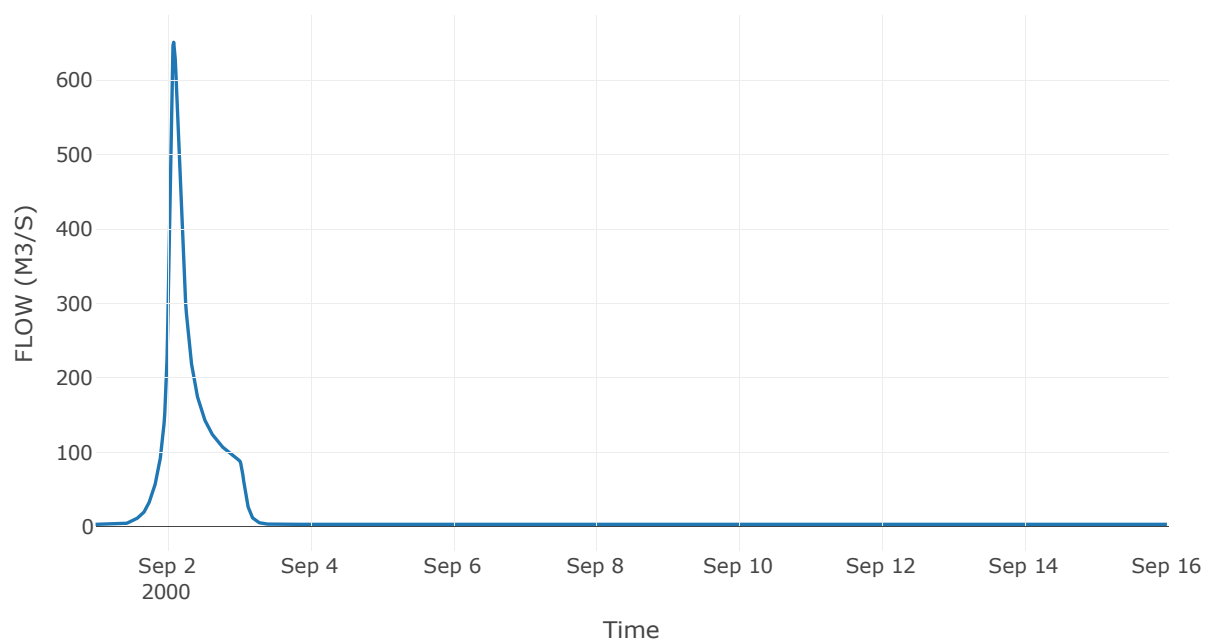
Κόμβος: J15

Κατάντη : R155

Αποτελέσματα: J15

Παροχή Αιχμής(M3/S)	651.18
Χρονική στιγμή αιχμής	02Sep2000, 02:15
Όγκος(MM)	167.75

Απορροή



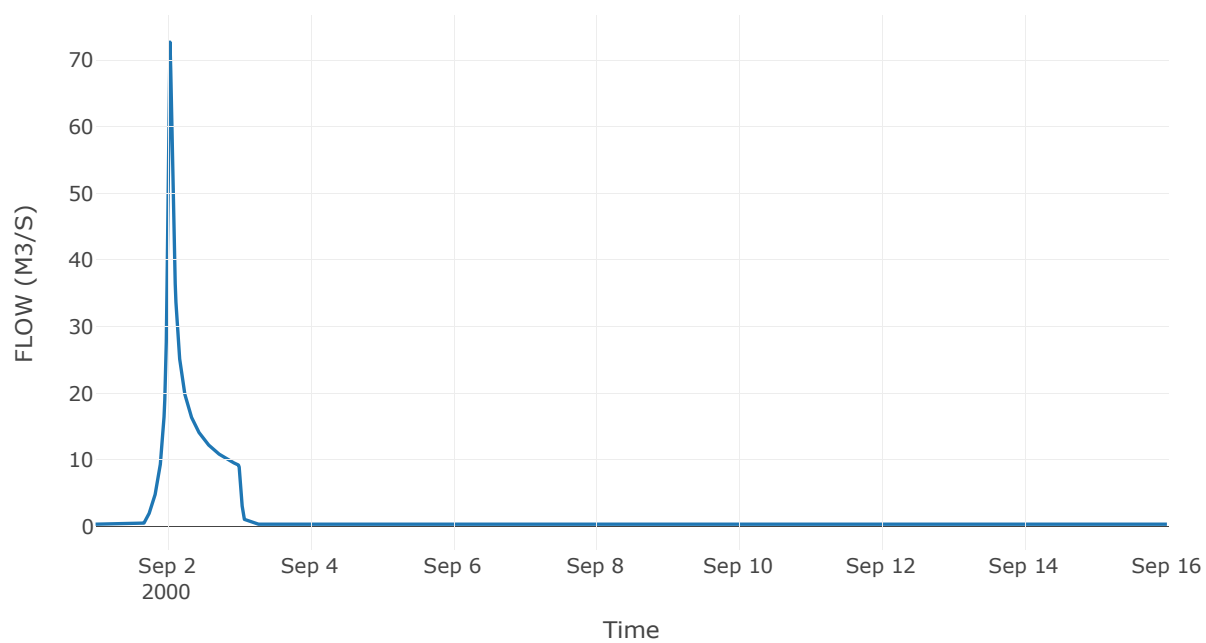
Κόμβος: J16

Κατάντη : R1615

Αποτελέσματα: J16

Παροχή Αιχμής(M3/S)	72.69
Χρονική στιγμή αιχμής	02Sep2000, 01:00
Όγκος(MM)	136.31

Απορροή



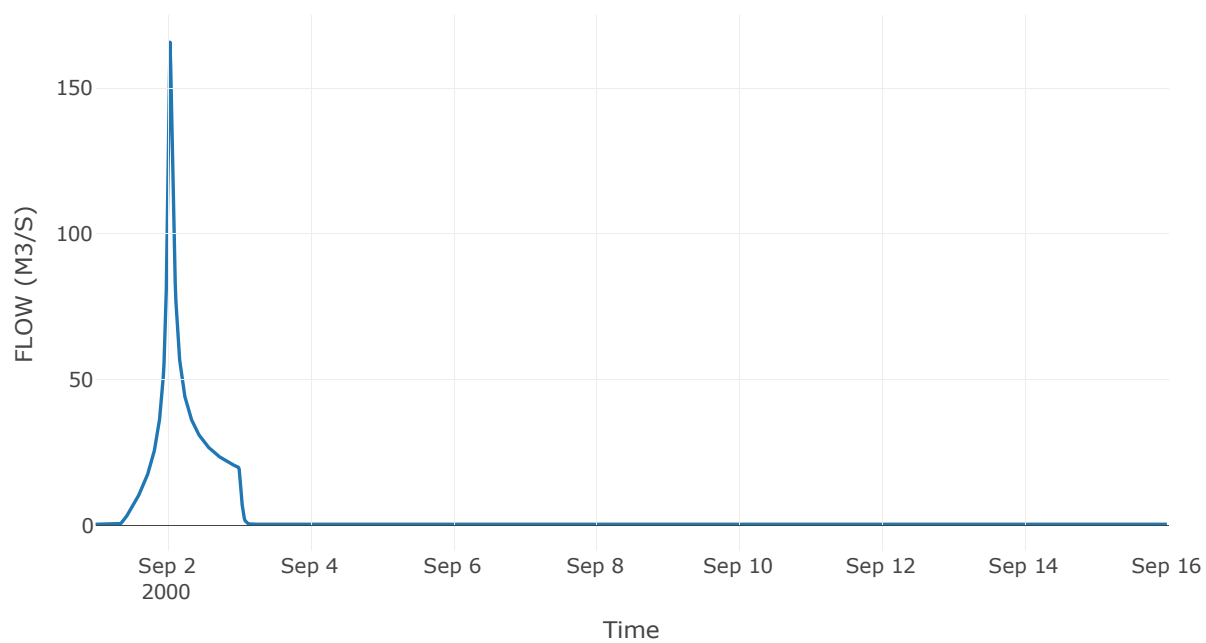
Κόμβος: J17

Κατάντη : R1715

Αποτελέσματα: J17

Παροχή Αιχμής(M3/S)	165.68
Χρονική στιγμή αιχμής	02Sep2000, 01:00
Όγκος(MM)	214.74

Απορροή



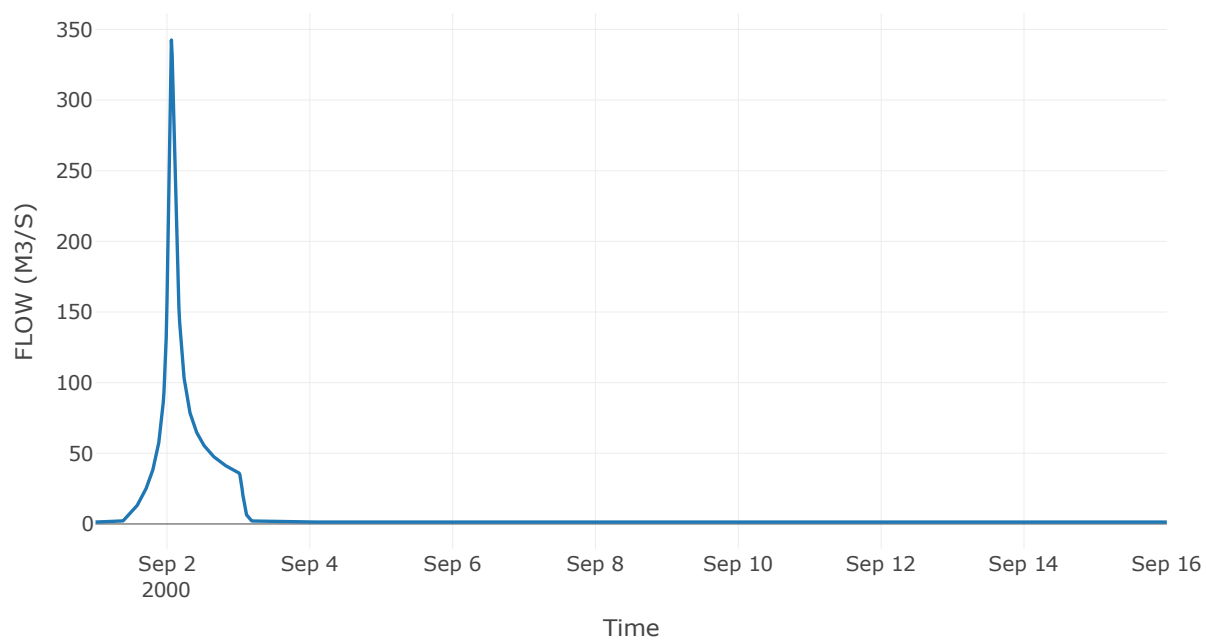
Κόμβος: J18

Κατάντη : R184

Αποτελέσματα: J18

Παροχή Αιχμής(M3/S)	342.58
Χρονική στιγμή αιχμής	02Sep2000, 01:30
Όγκος(MM)	190.29

Απορροή



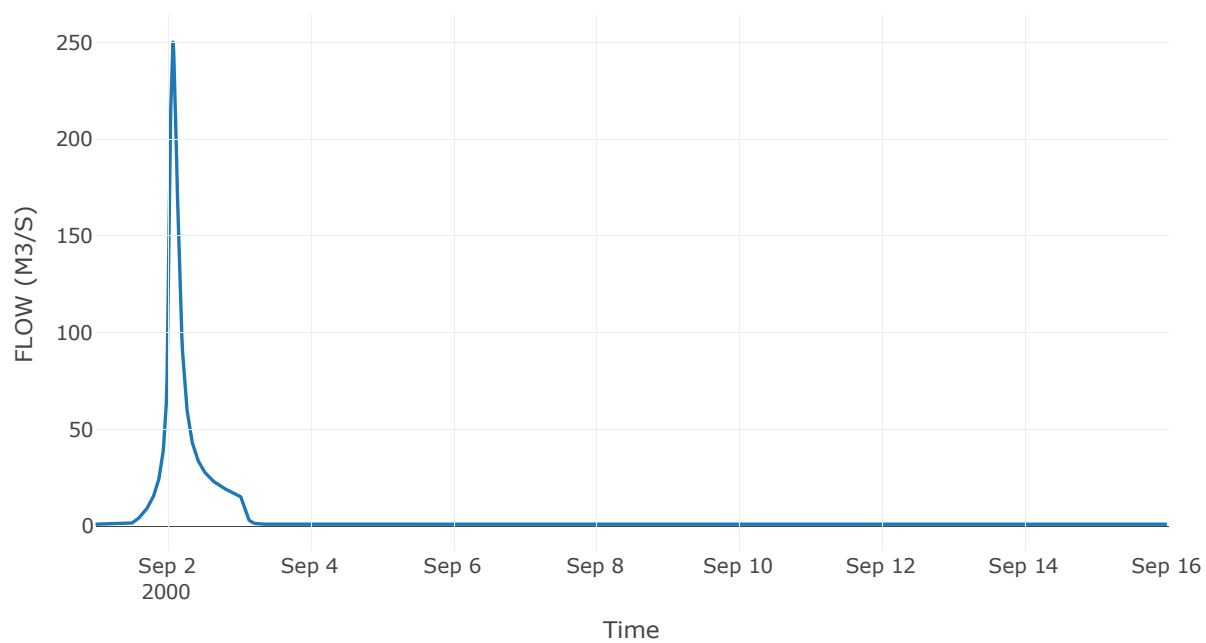
Κόμβος: J19

Κατάντη : R193

Αποτελέσματα: J19

Παροχή Αιχμής(M3/S)	250.13
Χρονική στιγμή αιχμής	02Sep2000, 02:00
Όγκος(MM)	177.69

Απορροή



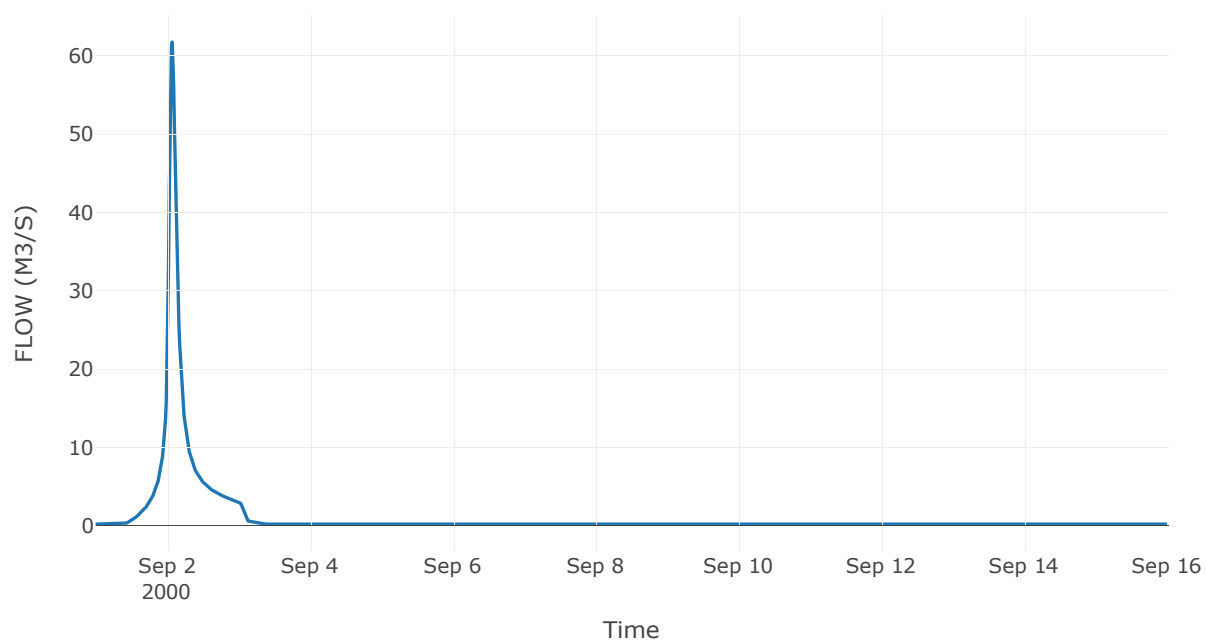
Κόμβος: J20

Κατάντη : R2019

Αποτελέσματα: J20

Παροχή Αιχμής(M3/S)	61.75
Χρονική στιγμή αιχμής	02Sep2000, 01:45
Όγκος(MM)	186.06

Απορροή



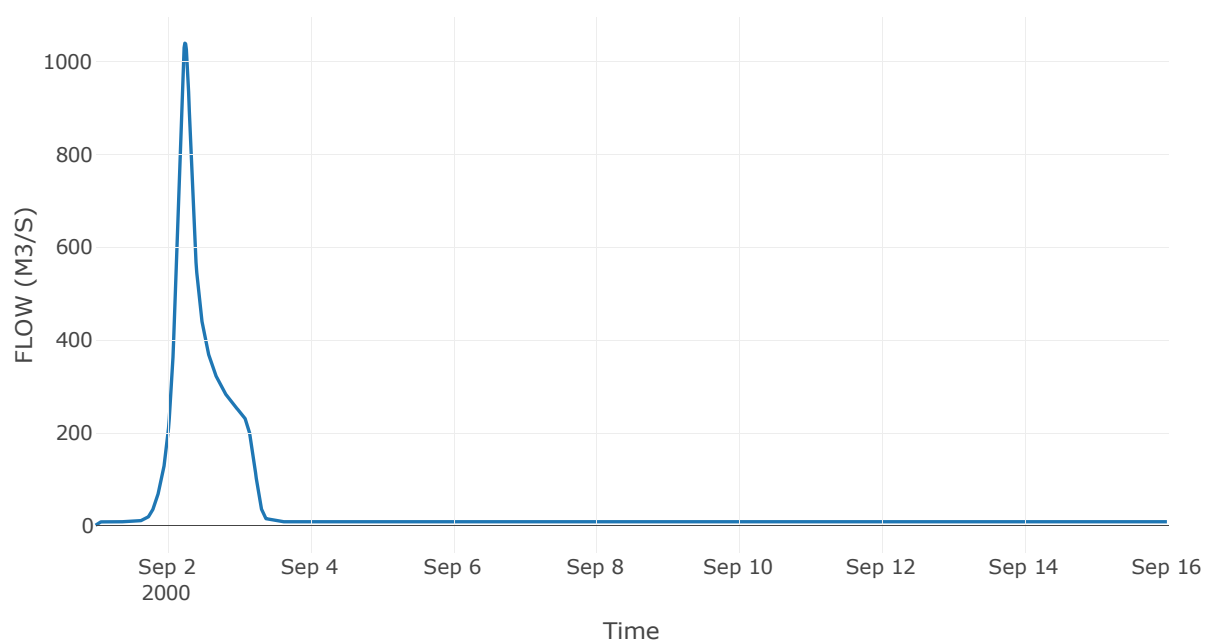
Ταμιευτήρας: J21\_RES1

Κατάντη : R218

Αποτελέσματα: J21\_RES1

Παροχή Αιχμής(M3/S)	1040.03
Χρονική στιγμή αιχμής	02Sep2000, 06:00
Όγκος(MM)	164.81
Παροχή Αιχμής Εισόδου (M3/S)	1042.89
Χρονική Στιγμή Αιχμής της Εισροής	02Sep2000, 06:00
Όγκος Εισροής (M3)	5.64E7
Μέγιστη Αποθηκευτικότητα(M3)	1.77E6
Μέγιστη Στάθμη (M)	99.69
Όγκος Απορροής(M3)	5.64E7

Απορροή





## 6    Δεδομένα εισόδου και αποτελέσματα υδρολογικού       σεναρίου T=100L

## 6.1 Αποτελέσματα, υετογραφήματα και υδρογραφήματα σχεδιασμού υπολεκανών

Υπολεκάνη: EL0513FR5001

Έκταση (KM2) : 9.83

Κατάνη : J1

Μέθοδος Απωλειών: SCS

Ποσοστό αδιαπέρατης επιφάνειας	0
Αριθμός Καμπύλης Απορροής-CN	65.83
Αρχικές Απώλειες	26.37

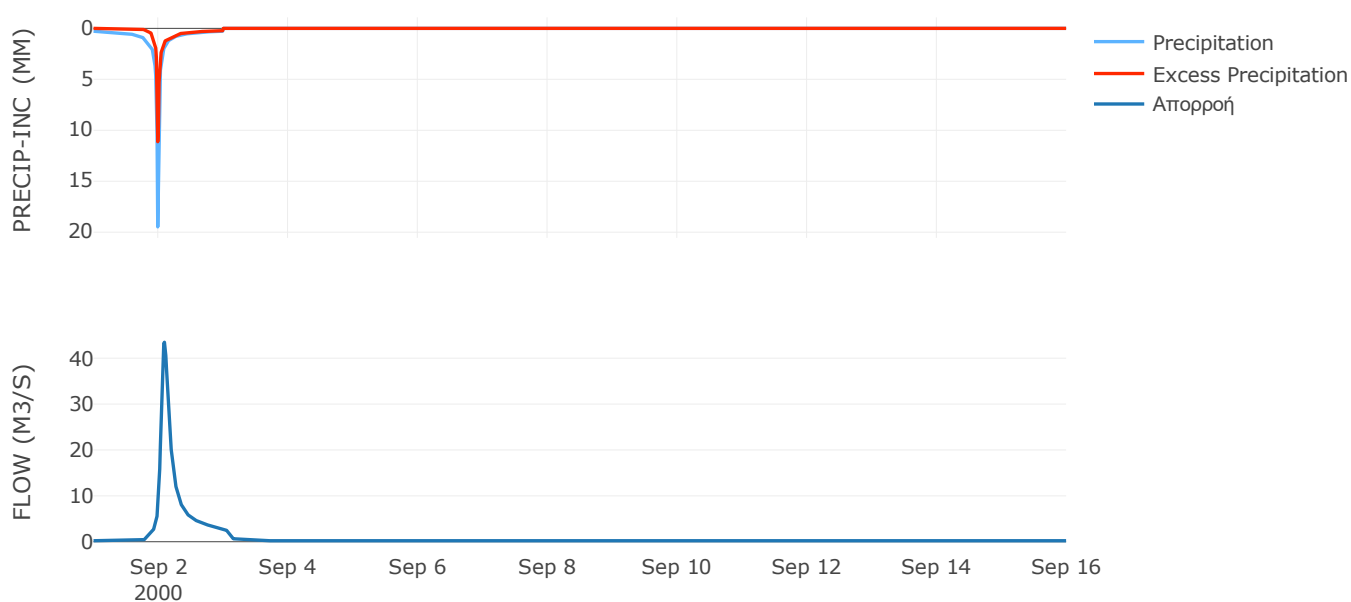
Μέθοδος  
Μετασχηματισμού: SCS

Χρόνος Υστέρησης	118.45
------------------	--------

Αποτελέσματα:  
EL0513FR5001

Παροχή αιχμής (M3/S)	43.48
Χρονική στιγμή αιχμής	02Sep2000, 02:15
Όγκος (MM)	128.41
Όγκος βροχόπτωσης (M3)	1.98E6
Όγκος απωλειών (M3)	9.99E5
Ενεργός Όγκος (M3)	9.82E5
Όγκος άμεσης απορροής (M3)	9.82E5
Όγκος βασικής απορροής (M3)	2.8E5

Βροχόπτωση και Απορροή



Υπολεκάνη: EL0513FR5002

Έκταση (KM2) : 6.79

Κατάντη : J2

Μέθοδος Απωλειών: SCS

Ποσοστό αδιαπέρατης επιφάνειας	0
Αριθμός Καμπύλης Απορροής-CN	68.88
Αρχικές Απώλειες	22.95

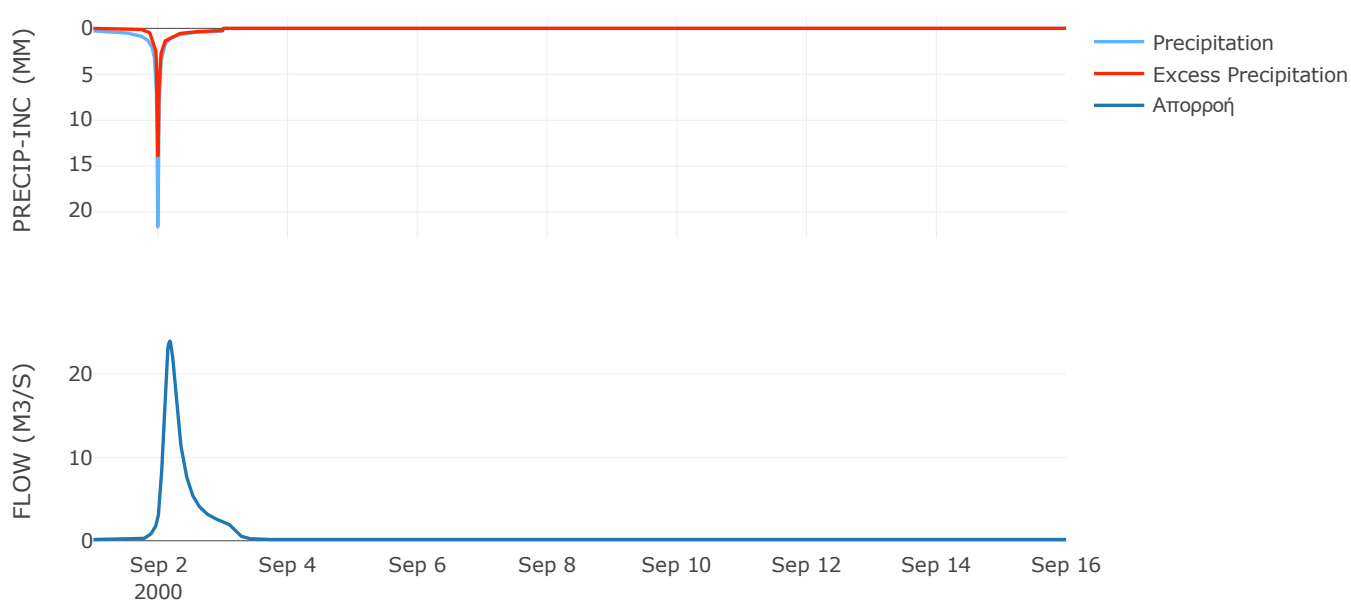
Μέθοδος  
Μετασχηματισμού: SCS

Χρόνος Υστέρησης	228.14
------------------	--------

Αποτελέσματα:  
EL0513FR5002

Παροχή αιχμής (M3/S)	23.95
Χρονική στιγμή αιχμής	02Sep2000, 04:15
Όγκος (MM)	144.77
Όγκος βροχόπτωσης (M3)	1.43E6
Όγκος απωλειών (M3)	6.39E5
Ενεργός Όγκος (M3)	7.89E5
Όγκος άμεσης απορροής (M3)	7.89E5
Όγκος βασικής απορροής (M3)	1.93E5

Βροχόπτωση και Απορροή



Υπολεκάνη: EL0513FR5003

Έκταση (KM2) : 2.79

Κατάντη : J3

Μέθοδος Απωλειών: SCS

Ποσοστό αδιαπέρατης επιφάνειας	0
Αριθμός Καμπύλης Απορροής-CN	64.79
Αρχικές Απώλειες	27.61

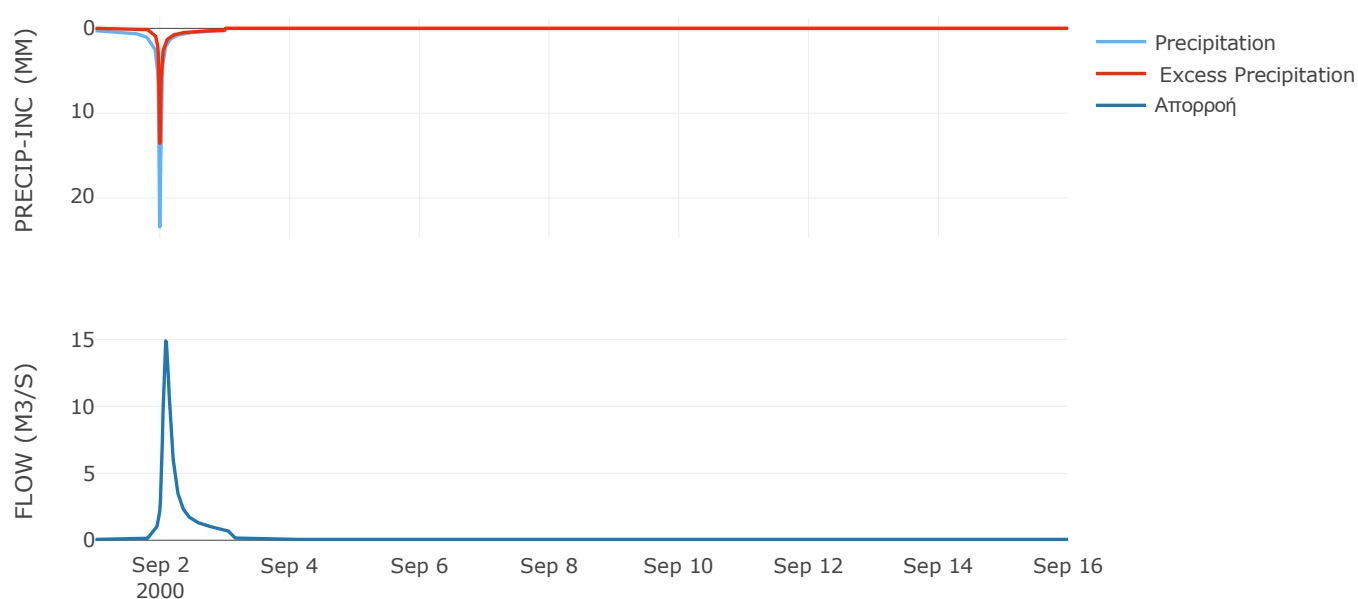
Μέθοδος  
Μετασχηματισμού: SCS

Χρόνος Υστέρησης	111.92
------------------	--------

Αποτελέσματα:  
EL0513FR5003

Παροχή αιχμής (M3/S)	14.89
Χρονική στιγμή αιχμής	02Sep2000, 02:00
Όγκος (MM)	137.59
Όγκος βροχόπτωσης (M3)	6.05E5
Όγκος απωλειών (M3)	3E5
Ενεργός Όγκος (M3)	3.05E5
Όγκος άμεσης απορροής (M3)	3.05E5
Όγκος βασικής απορροής (M3)	79688.45

Βροχόπτωση και Απορροή



Υπολεκάνη: EL0513FR5004

Έκταση (KM2) : 17.16

Κατάντη : J3

Μέθοδος Απωλειών: SCS

Ποσοστό αδιαπέρατης επιφάνειας	0
Αριθμός Καμπύλης Απορροής-CN	51.9
Αρχικές Απώλειες	47.08

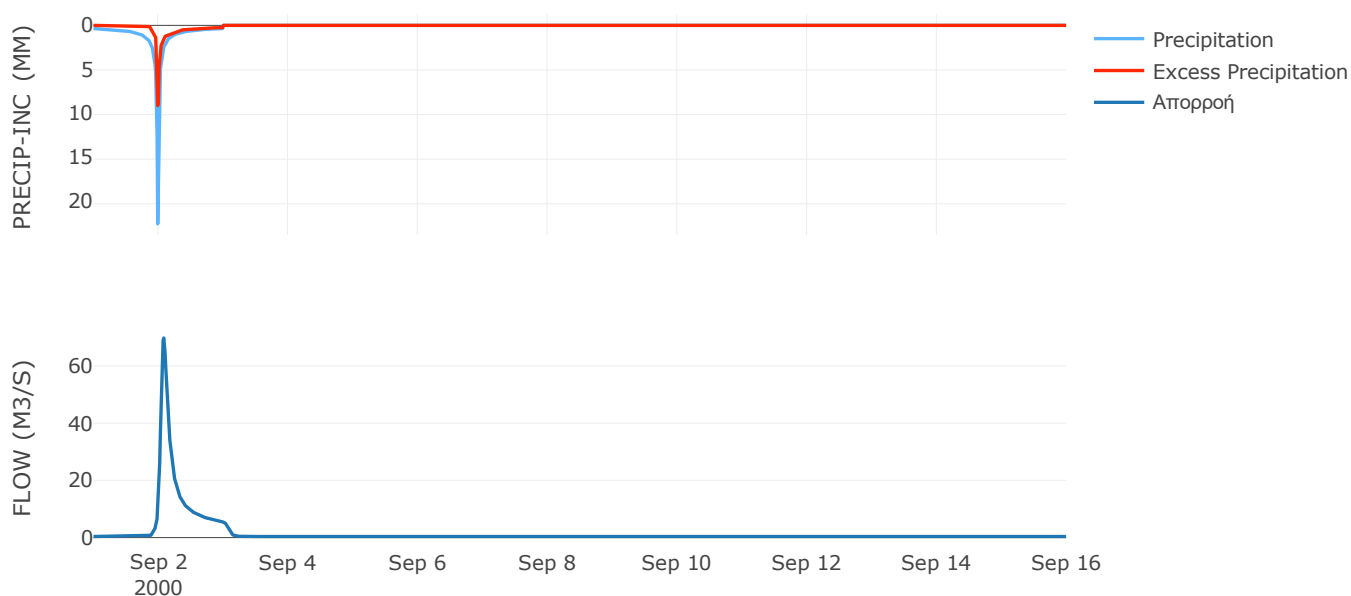
Μέθοδος  
Μετασχηματισμού: SCS

Χρόνος Υστέρησης	101
------------------	-----

Αποτελέσματα:  
EL0513FR5004

Παροχή αιχμής (M3/S)	69.75
Χρονική στιγμή αιχμής	02Sep2000, 02:00
Όγκος (MM)	118.39
Όγκος βροχόπτωσης (M3)	4.19E6
Όγκος απωλειών (M3)	2.65E6
Ενεργός Όγκος (M3)	1.54E6
Όγκος άμεσης απορροής (M3)	1.54E6
Όγκος βασικής απορροής (M3)	4.89E5

Βροχόπτωση και Απορροή



Υπολεκάνη: EL0513FR5005

Έκταση (KM2) : 3.13

Κατάντη : J4

Μέθοδος Απωλειών: SCS

Ποσοστό αδιαπέρατης επιφάνειας	0
Αριθμός Καμπύλης Απορροής-CN	62.96
Αρχικές Απώλειες	29.88

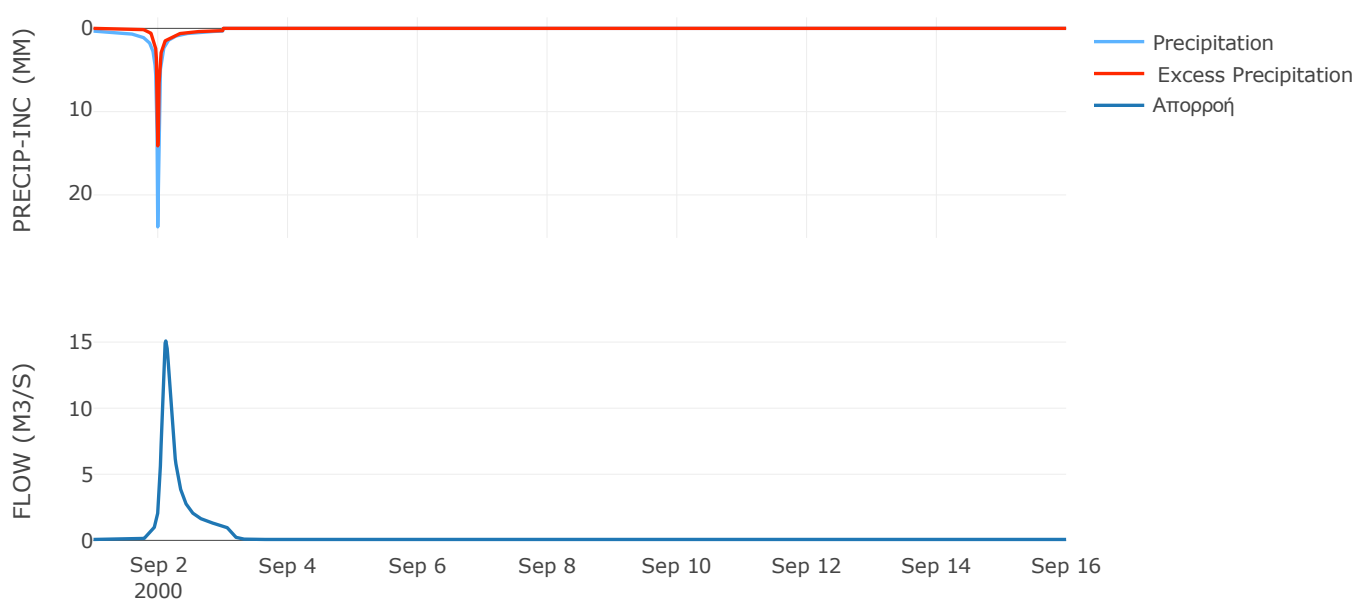
Μέθοδος  
Μετασχηματισμού: SCS

Χρόνος Υστέρησης	149.33
------------------	--------

Αποτελέσματα:  
EL0513FR5005

Παροχή αιχμής (M3/S)	15.08
Χρονική στιγμή αιχμής	02Sep2000, 02:45
Όγκος (MM)	151.96
Όγκος βροχόπτωσης (M3)	7.53E5
Όγκος απωλειών (M3)	3.67E5
Ενεργός Όγκος (M3)	3.86E5
Όγκος άμεσης απορροής (M3)	3.86E5
Όγκος βασικής απορροής (M3)	89137.58

Βροχόπτωση και Απορροή



Υπολεκάνη: EL0513FR5006

Έκταση (KM2) : 19.6

Κατάνη : J5

Μέθοδος Απωλειών: SCS

Ποσοστό αδιαπέρατης επιφάνειας	0
Αριθμός Καμπύλης Απορροής-CN	47.42
Αρχικές Απώλειες	56.32

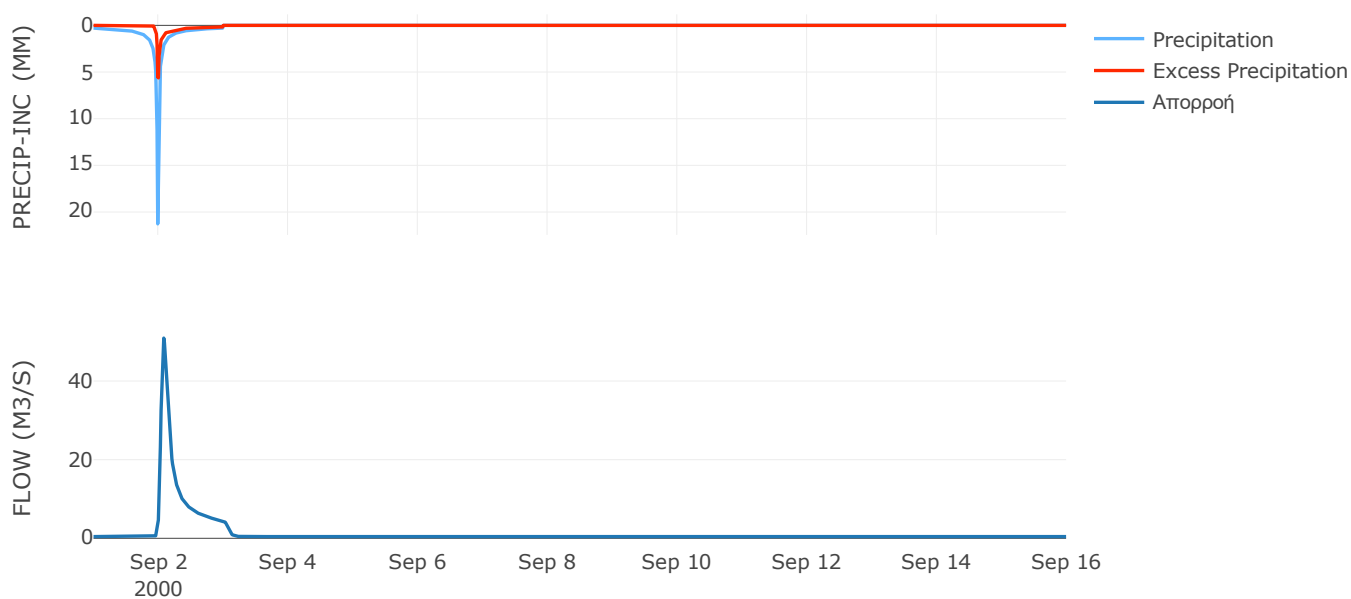
Μέθοδος  
Μετασχηματισμού: SCS

Χρόνος Υστέρησης	96.46
------------------	-------

Αποτελέσματα:  
EL0513FR5006

Παροχή αιχμής (M3/S)	50.93
Χρονική στιγμή αιχμής	02Sep2000, 02:00
Όγκος (MM)	85.71
Όγκος βροχόπτωσης (M3)	4.21E6
Όγκος απωλειών (M3)	3.09E6
Ενεργός Όγκος (M3)	1.12E6
Όγκος άμεσης απορροής (M3)	1.12E6
Όγκος βασικής απορροής (M3)	5.59E5

Βροχόπτωση και Απορροή





Υπολεκάνη: EL0513FR5007

Έκταση (KM2) : 4.2

Κατάντη : J6

Μέθοδος Απωλειών: SCS

Ποσοστό αδιαπέρατης επιφάνειας	0
Αριθμός Καμπύλης Απορροής-CN	61.34
Αρχικές Απώλειες	32.01

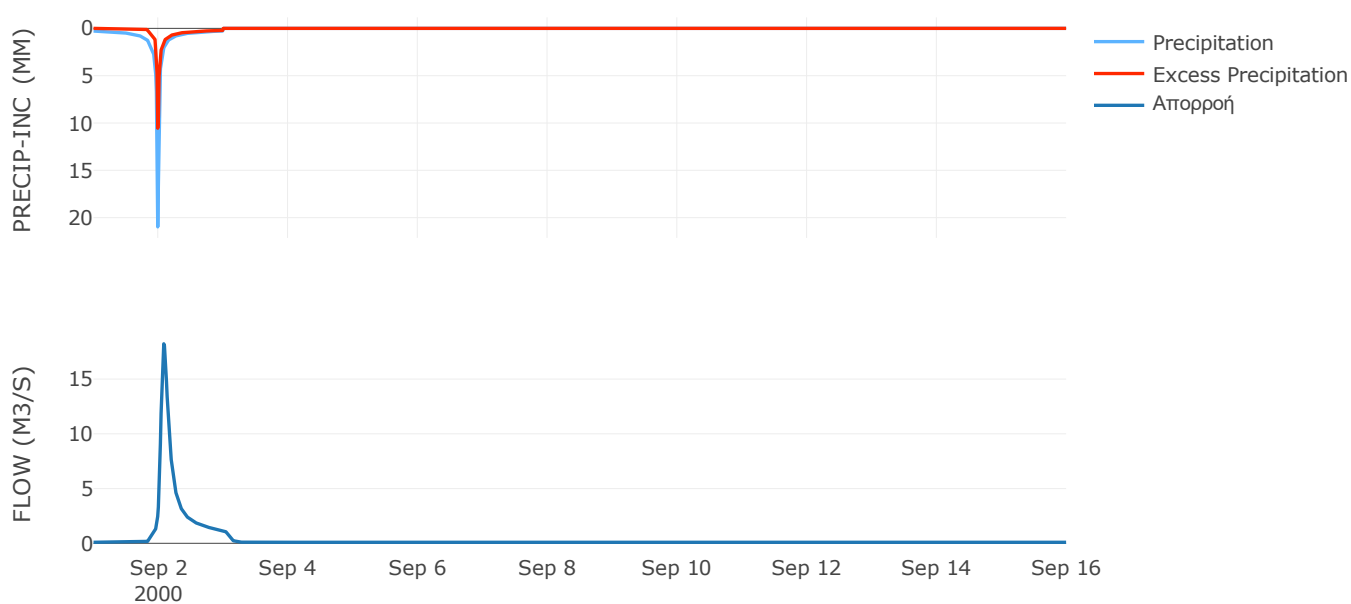
Μέθοδος  
Μετασχηματισμού: SCS

Χρόνος Υστέρησης	109.72
------------------	--------

Αποτελέσματα:  
EL0513FR5007

Παροχή αιχμής (M3/S)	18.22
Χρονική στιγμή αιχμής	02Sep2000, 02:00
Όγκος (MM)	121.14
Όγκος βροχόπτωσης (M3)	8.76E5
Όγκος απωλειών (M3)	4.87E5
Ενεργός Όγκος (M3)	3.89E5
Όγκος άμεσης απορροής (M3)	3.89E5
Όγκος βασικής απορροής (M3)	1.2E5

Βροχόπτωση και Απορροή



Υπολεκάνη: EL0513FR5008

Έκταση (KM2) : 11.23

Κατάνη : J7

Μέθοδος Απωλειών: SCS

Ποσοστό αδιαπέρατης επιφάνειας	0
Αριθμός Καμπύλης Απορροής-CN	60.11
Αρχικές Απώλειες	33.71

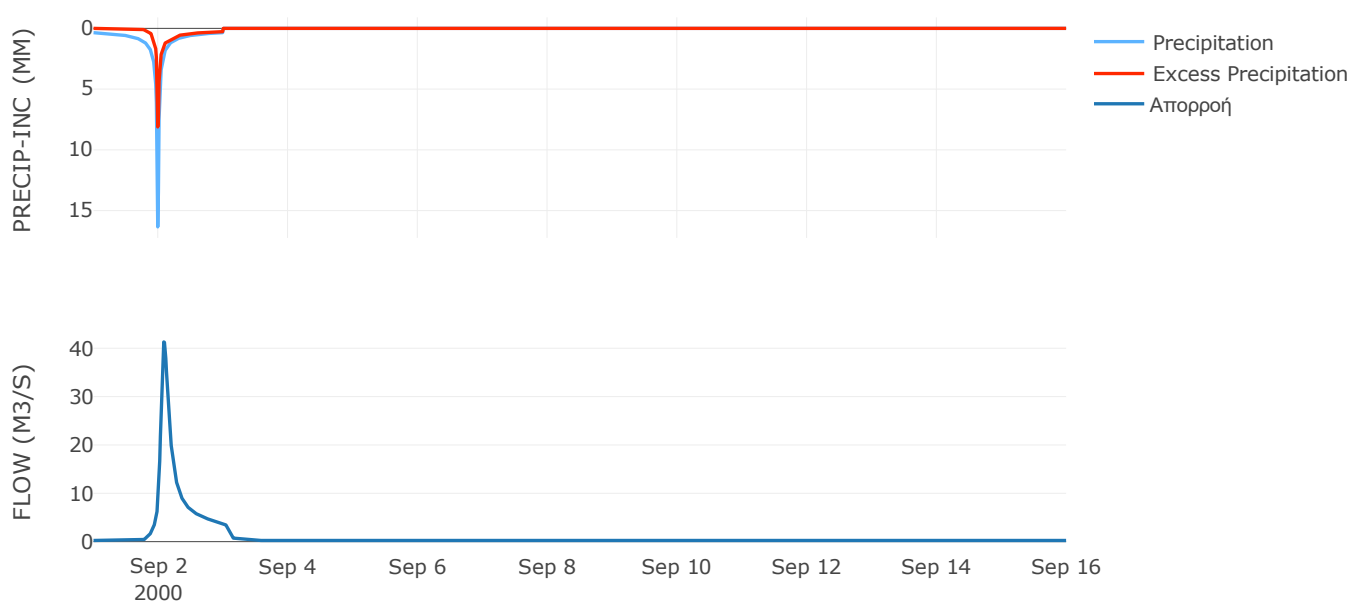
Μέθοδος  
Μετασχηματισμού: SCS

Χρόνος Υστέρησης	111.65
------------------	--------

Αποτελέσματα:  
EL0513FR5008

Παροχή αιχμής (M3/S)	41.3
Χρονική στιγμή αιχμής	02Sep2000, 02:00
Όγκος (MM)	121.64
Όγκος βροχόπτωσης (M3)	2.4E6
Όγκος απωλειών (M3)	1.36E6
Ενεργός Όγκος (M3)	1.05E6
Όγκος άμεσης απορροής (M3)	1.05E6
Όγκος βασικής απορροής (M3)	3.2E5

Βροχόπτωση και Απορροή



Υπολεκάνη: EL0513FR5009

Έκταση (KM2) : 19.12

Κατάντη : J8

Μέθοδος Απωλειών: SCS

Ποσοστό αδιαπέρατης επιφάνειας	0
Αριθμός Καμπύλης Απορροής-CN	41.32
Αρχικές Απώλειες	72.16

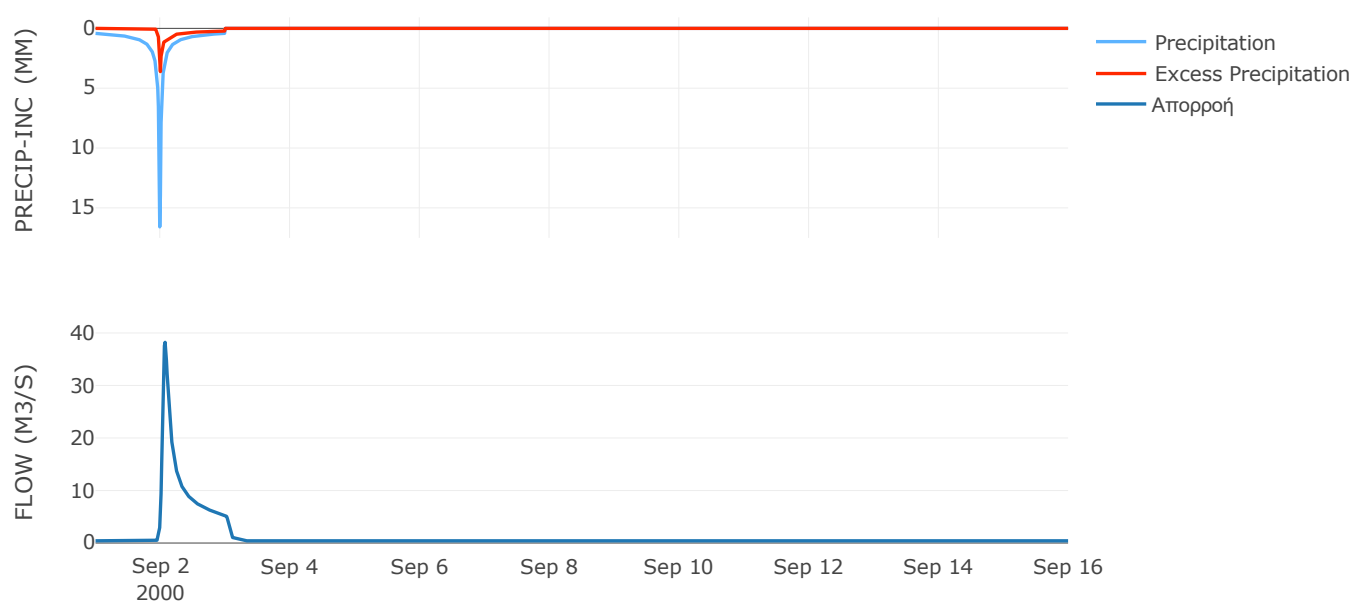
Μέθοδος  
Μετασχηματισμού: SCS

Χρόνος Υστέρησης	79.14
------------------	-------

Αποτελέσματα:  
EL0513FR5009

Παροχή αιχμής (M3/S)	38.22
Χρονική στιγμή αιχμής	02Sep2000, 01:45
Όγκος (MM)	81.22
Όγκος βροχόπτωσης (M3)	4.57E6
Όγκος απωλειών (M3)	3.56E6
Ενεργός Όγκος (M3)	1.01E6
Όγκος άμεσης απορροής (M3)	1.01E6
Όγκος βασικής απορροής (M3)	5.45E5

Βροχόπτωση και Απορροή



Υπολεκάνη: EL0513FR5010

Έκταση (KM2) : 36.47

Κατάντη : J9

Μέθοδος Απωλειών: SCS

Ποσοστό αδιαπέρατης επιφάνειας	0
Αριθμός Καμπύλης Απορροής-CN	42.46
Αρχικές Απώλειες	68.85

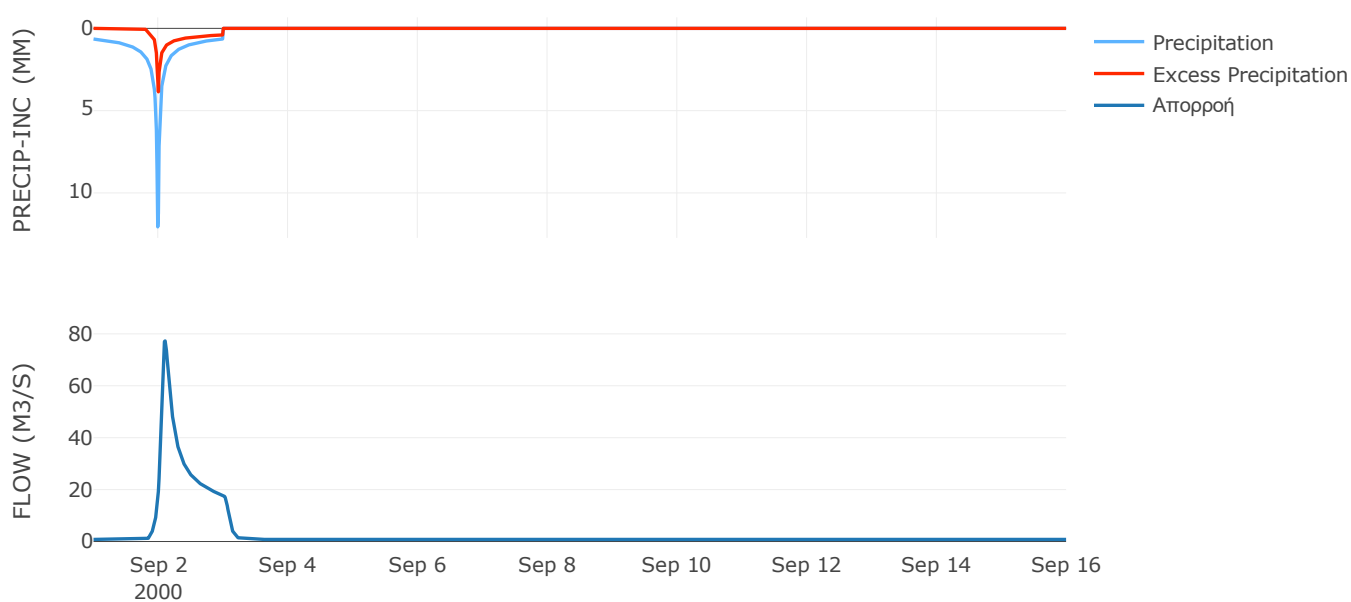
Μέθοδος  
Μετασχηματισμού: SCS

Χρόνος Υστέρησης	116.45
------------------	--------

Αποτελέσματα:  
EL0513FR5010

Παροχή αιχμής (M3/S)	77.27
Χρονική στιγμή αιχμής	02Sep2000, 02:30
Όγκος (MM)	110.32
Όγκος βροχόπτωσης (M3)	1.03E7
Όγκος απωλειών (M3)	7.32E6
Ενεργός Όγκος (M3)	2.98E6
Όγκος άμεσης απορροής (M3)	2.98E6
Όγκος βασικής απορροής (M3)	1.04E6

Βροχόπτωση και Απορροή



Υπολεκάνη: EL0513FR5011

Έκταση (KM2) : 4.02

Κατάντη : J10

Μέθοδος Απωλειών: SCS

Ποσοστό αδιαπέρατης επιφάνειας	0
Αριθμός Καμπύλης Απορροής-CN	30
Αρχικές Απώλειες	118.53

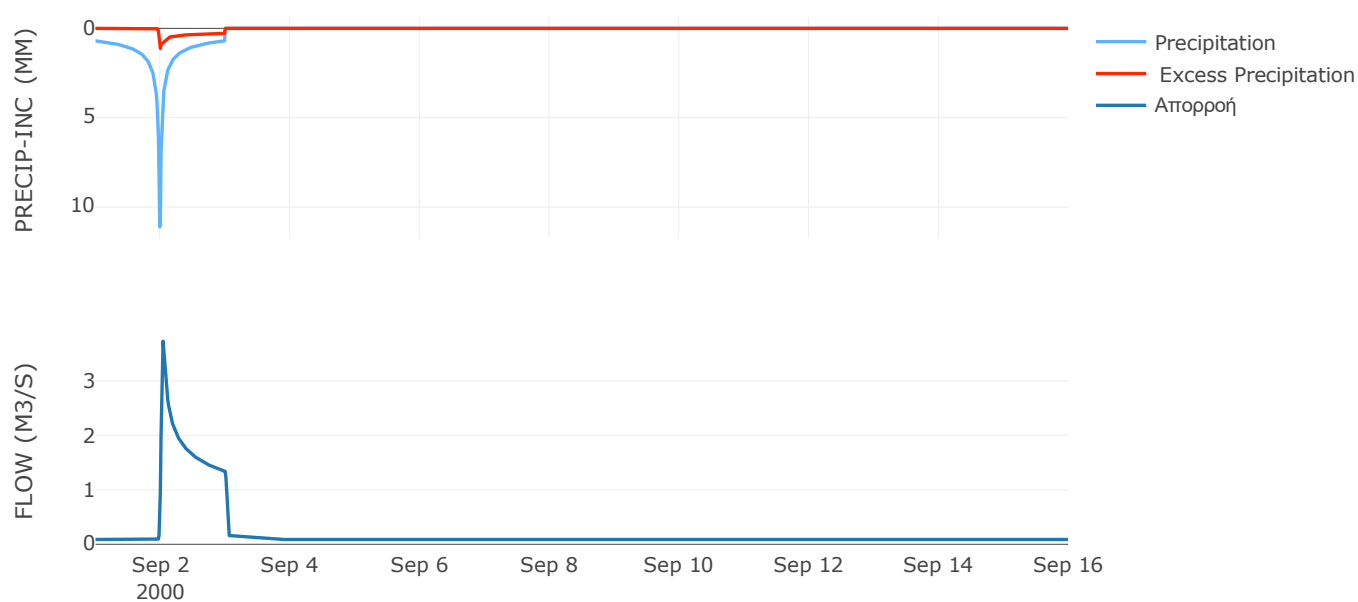
Μέθοδος  
Μετασχηματισμού: SCS

Χρόνος Υστέρησης	31.97
------------------	-------

Αποτελέσματα:  
EL0513FR5011

Παροχή αιχμής (M3/S)	3.73
Χρονική στιγμή αιχμής	02Sep2000, 01:00
Όγκος (MM)	67.09
Όγκος βροχόπτωσης (M3)	1.17E6
Όγκος απωλειών (M3)	1.01E6
Ενεργός Όγκος (M3)	1.55E5
Όγκος άμεσης απορροής (M3)	1.55E5
Όγκος βασικής απορροής (M3)	1.14E5

Βροχόπτωση και Απορροή



Υπολεκάνη: EL0513FR5012

Έκταση (KM2) : 74.49

Κατάνη : J11

Μέθοδος Απωλειών: SCS

Ποσοστό αδιαπέρατης επιφάνειας	0
Αριθμός Καμπύλης Απορροής-CN	31.98
Αρχικές Απώλειες	108.06

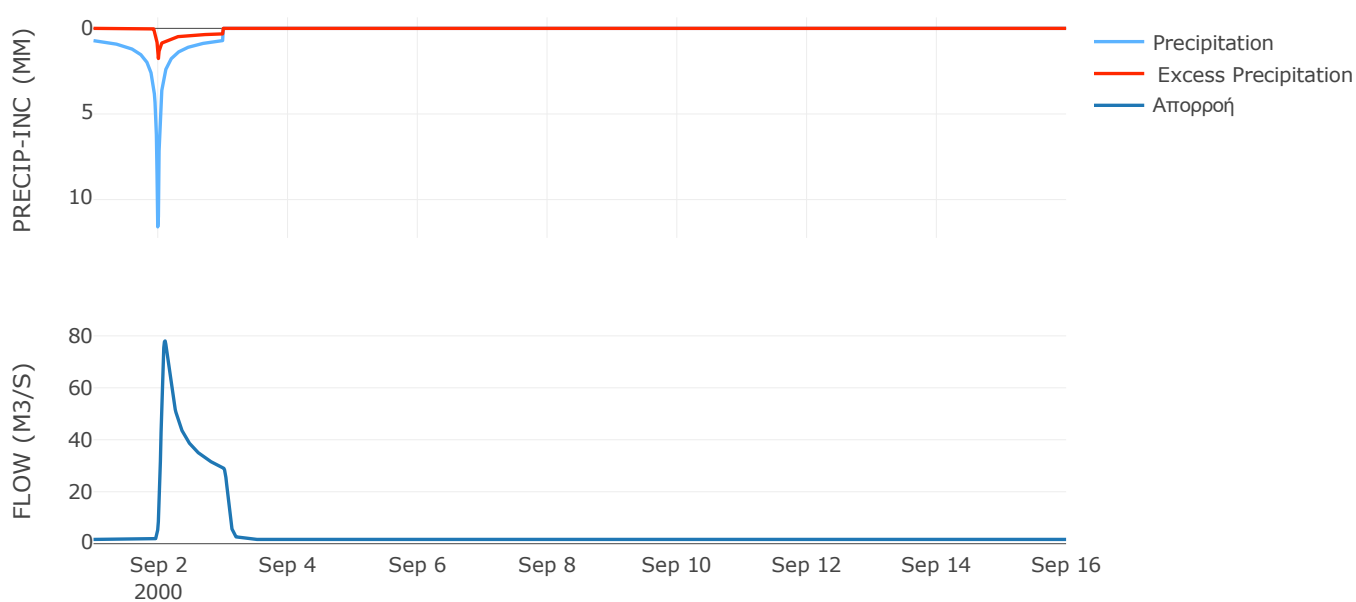
Μέθοδος  
Μετασχηματισμού: SCS

Χρόνος Υστέρησης	98.34
------------------	-------

Αποτελέσματα:  
EL0513FR5012

Παροχή αιχμής (M3/S)	78.04
Χρονική στιγμή αιχμής	02Sep2000, 02:30
Όγκος (MM)	78.23
Όγκος βροχόπτωσης (M3)	2.22E7
Όγκος απωλειών (M3)	1.85E7
Ενεργός Όγκος (M3)	3.7E6
Όγκος άμεσης απορροής (M3)	3.7E6
Όγκος βασικής απορροής (M3)	2.12E6

Βροχόπτωση και Απορροή



Υπολεκάνη: EL0513FR5013

Έκταση (KM2) : 8.72

Κατάντη : J12

Μέθοδος Απωλειών: SCS

Ποσοστό αδιαπέρατης επιφάνειας	0
Αριθμός Καμπύλης Απορροής-CN	38.94
Αρχικές Απώλειες	79.65

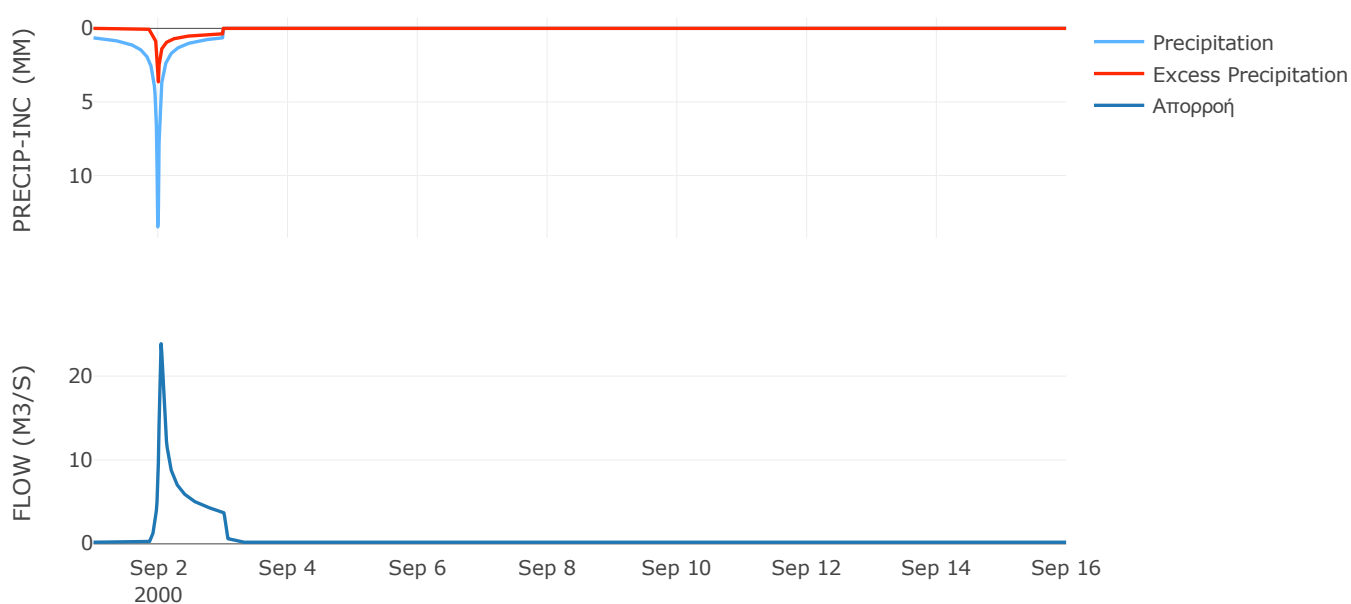
Μέθοδος  
Μετασχηματισμού: SCS

Χρόνος Υστέρησης	47.41
------------------	-------

Αποτελέσματα:  
EL0513FR5013

Παροχή αιχμής (M3/S)	23.87
Χρονική στιγμή αιχμής	02Sep2000, 01:00
Όγκος (MM)	102.63
Όγκος βροχόπτωσης (M3)	2.55E6
Όγκος απωλειών (M3)	1.9E6
Ενεργός Όγκος (M3)	6.46E5
Όγκος άμεσης απορροής (M3)	6.46E5
Όγκος βασικής απορροής (M3)	2.49E5

Βροχόπτωση και Απορροή



Υπολεκάνη: EL0513FR5014

Έκταση (KM2) : 17.21

Κατάντη : J13

Μέθοδος Απωλειών: SCS

Ποσοστό αδιαπέρατης επιφάνειας	0
Αριθμός Καμπύλης Απορροής-CN	33.65
Αρχικές Απώλειες	100.15

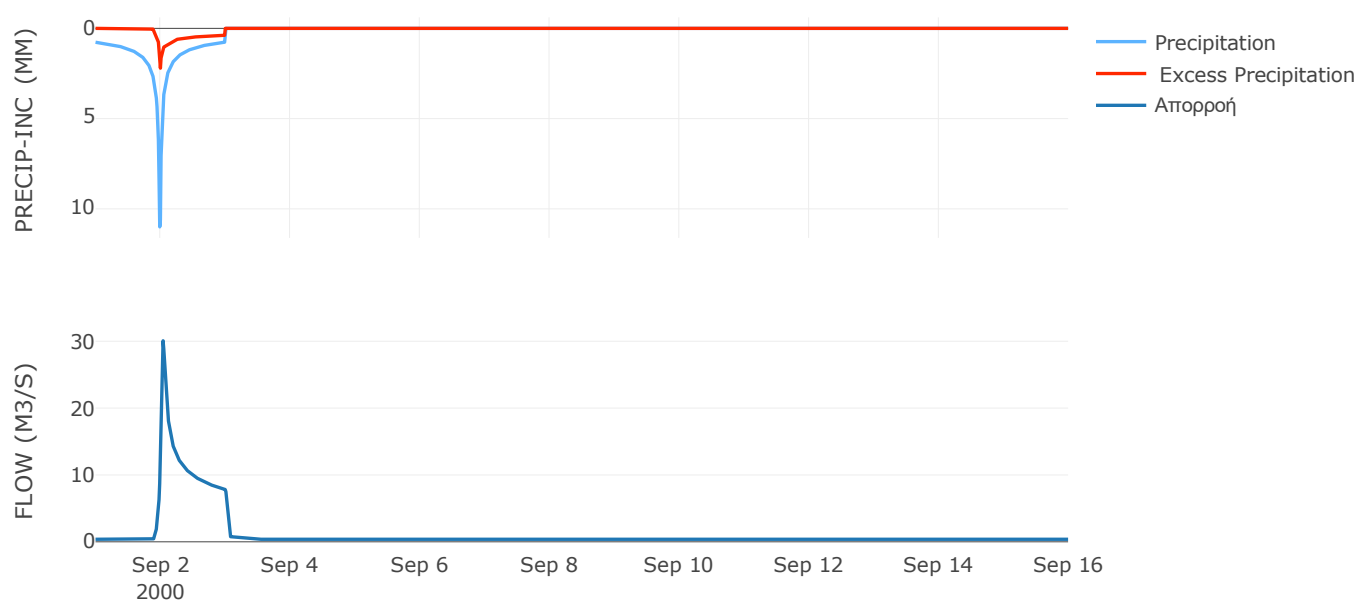
Μέθοδος  
Μετασχηματισμού: SCS

Χρόνος Υστέρησης	42.84
------------------	-------

Αποτελέσματα:  
EL0513FR5014

Παροχή αιχμής (M3/S)	30.07
Χρονική στιγμή αιχμής	02Sep2000, 01:00
Όγκος (MM)	89.87
Όγκος βροχόπτωσης (M3)	5.31E6
Όγκος απωλειών (M3)	4.26E6
Ενεργός Όγκος (M3)	1.06E6
Όγκος άμεσης απορροής (M3)	1.06E6
Όγκος βασικής απορροής (M3)	4.91E5

Βροχόπτωση και Απορροή





Υπολεκάνη: EL0513FR5015

Έκταση (KM2) : 56.91

Κατάντη : J13

Μέθοδος Απωλειών: SCS

Ποσοστό αδιαπέρατης επιφάνειας	0
Αριθμός Καμπύλης Απορροής-CN	35.24
Αρχικές Απώλειες	93.33

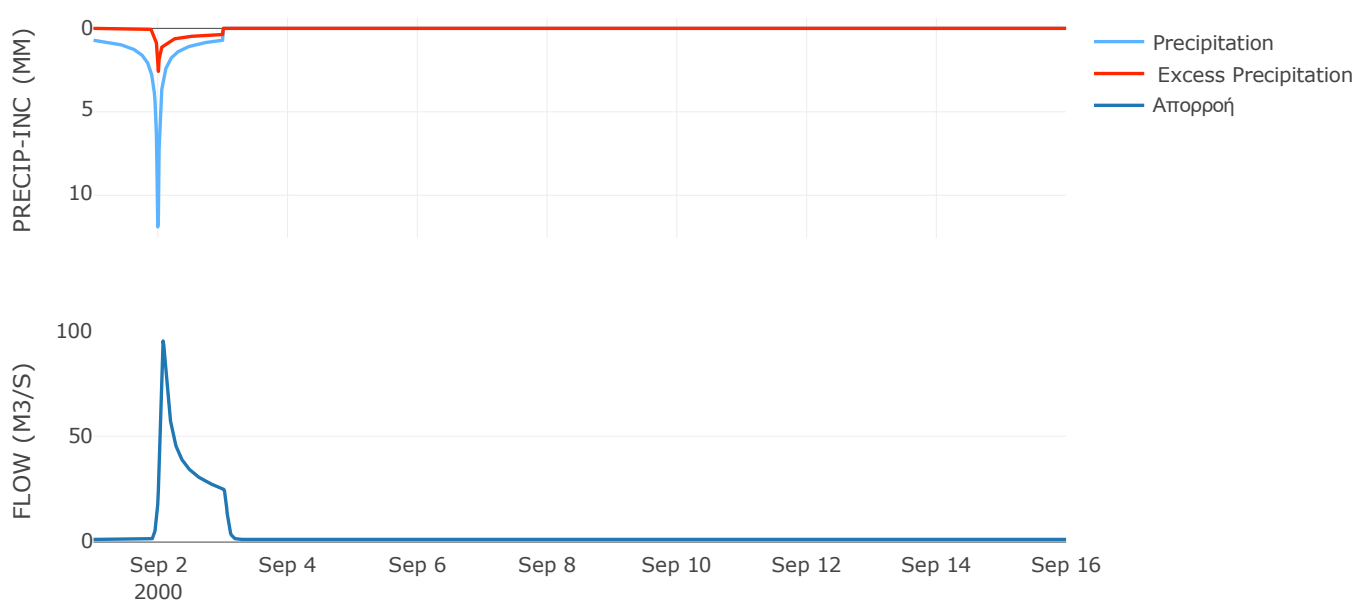
Μέθοδος  
Μετασχηματισμού: SCS

Χρόνος Υστέρησης	76.98
------------------	-------

Αποτελέσματα:  
EL0513FR5015

Παροχή αιχμής (M3/S)	94.99
Χρονική στιγμή αιχμής	02Sep2000, 01:45
Όγκος (MM)	92.07
Όγκος βροχόπτωσης (M3)	1.71E7
Όγκος απωλειών (M3)	1.35E7
Ενεργός Όγκος (M3)	3.62E6
Όγκος άμεσης απορροής (M3)	3.62E6
Όγκος βασικής απορροής (M3)	1.62E6

Βροχόπτωση και Απορροή



Υπολεκάνη: EL0513FR5016

Έκταση (KM2) : 70.55

Κατάντη : J12

Μέθοδος Απωλειών: SCS

Ποσοστό αδιαπέρατης επιφάνειας	0
Αριθμός Καμπύλης Απορροής-CN	32.86
Αρχικές Απώλειες	103.8

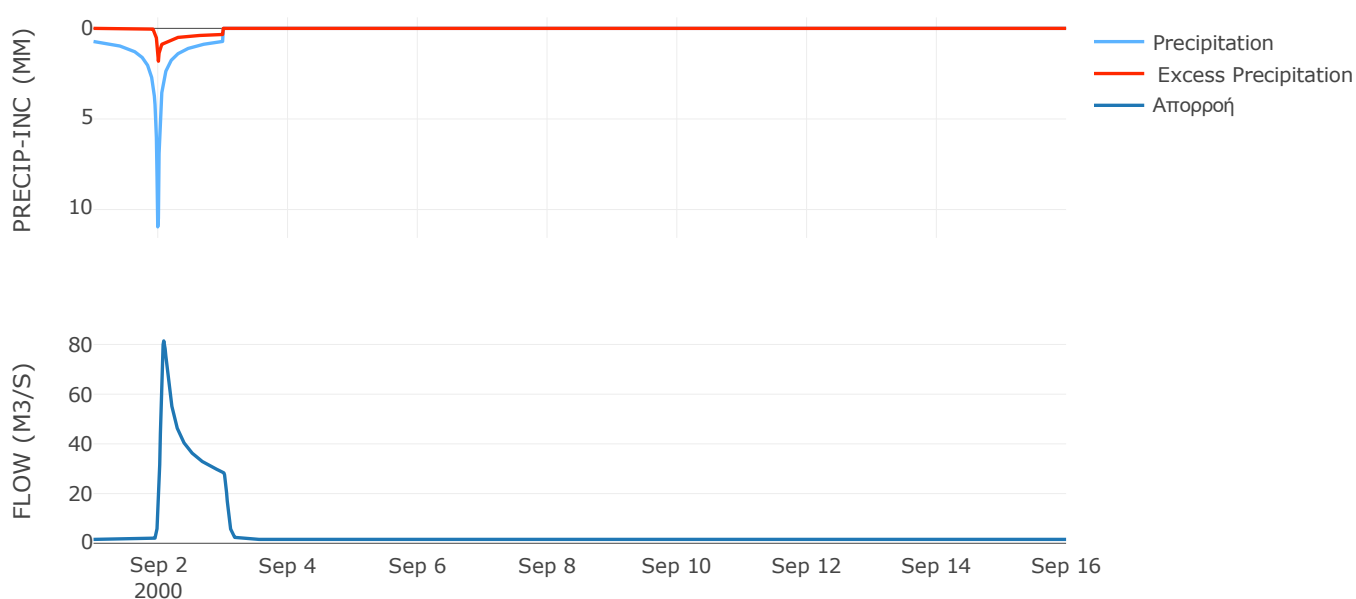
Μέθοδος  
Μετασχηματισμού: SCS

Χρόνος Υστέρησης	84.22
------------------	-------

Αποτελέσματα:  
EL0513FR5016

Παροχή αιχμής (M3/S)	81.43
Χρονική στιγμή αιχμής	02Sep2000, 02:00
Όγκος (MM)	80.4
Όγκος βροχόπτωσης (M3)	2.09E7
Όγκος απωλειών (M3)	1.72E7
Ενεργός Όγκος (M3)	3.66E6
Όγκος άμεσης απορροής (M3)	3.66E6
Όγκος βασικής απορροής (M3)	2.01E6

Βροχόπτωση και Απορροή



Υπολεκάνη: EL0513FR5017

Έκταση (KM2) : 33.26

Κατάντη : J11

Μέθοδος Απωλειών: SCS

Ποσοστό αδιαπέρατης επιφάνειας	0
Αριθμός Καμπύλης Απορροής-CN	30.18
Αρχικές Απώλειες	117.51

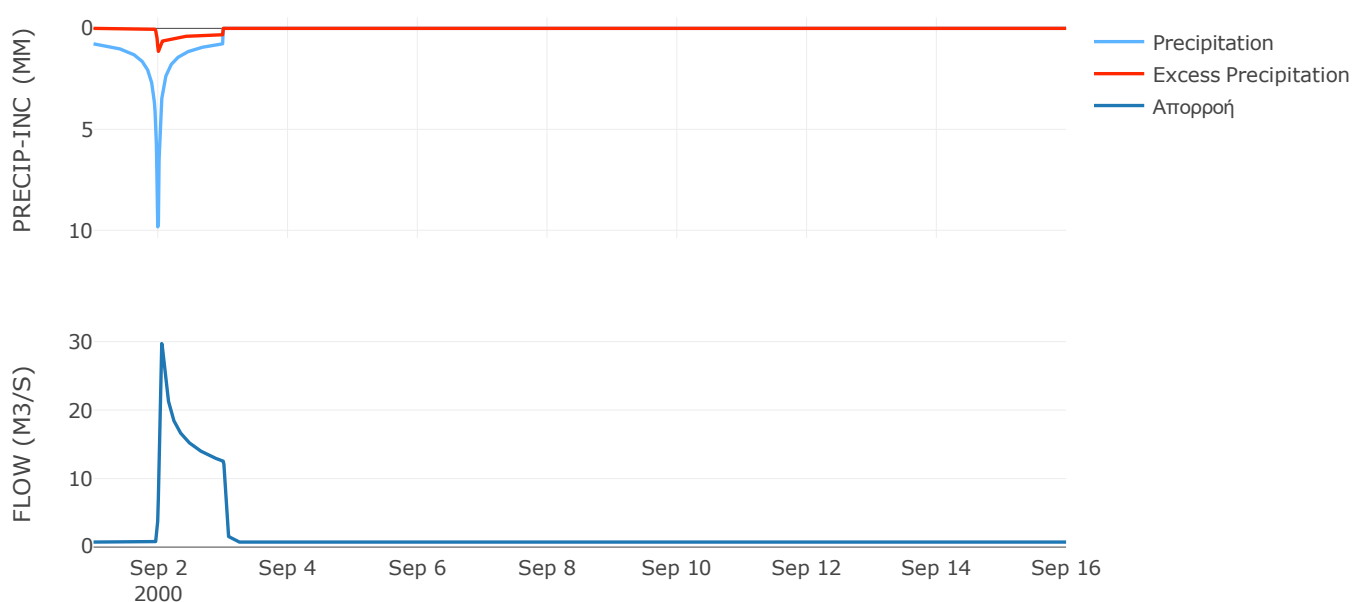
Μέθοδος  
Μετασχηματισμού: SCS

Χρόνος Υστέρησης	46.24
------------------	-------

Αποτελέσματα:  
EL0513FR5017

Παροχή αιχμής (M3/S)	29.71
Χρονική στιγμή αιχμής	02Sep2000, 01:15
Όγκος (MM)	70.84
Όγκος βροχόπτωσης (M3)	9.91E6
Όγκος απωλειών (M3)	8.5E6
Ενεργός Όγκος (M3)	1.41E6
Όγκος άμεσης απορροής (M3)	1.41E6
Όγκος βασικής απορροής (M3)	9.48E5

Βροχόπτωση και Απορροή



Υπολεκάνη: EL0513FR5018

Έκταση (KM2) : 14.02

Κατάνη : J11

Μέθοδος Απωλειών: SCS

Ποσοστό αδιαπέρατης επιφάνειας	0
Αριθμός Καμπύλης Απορροής-CN	34.91
Αρχικές Απώλειες	94.7

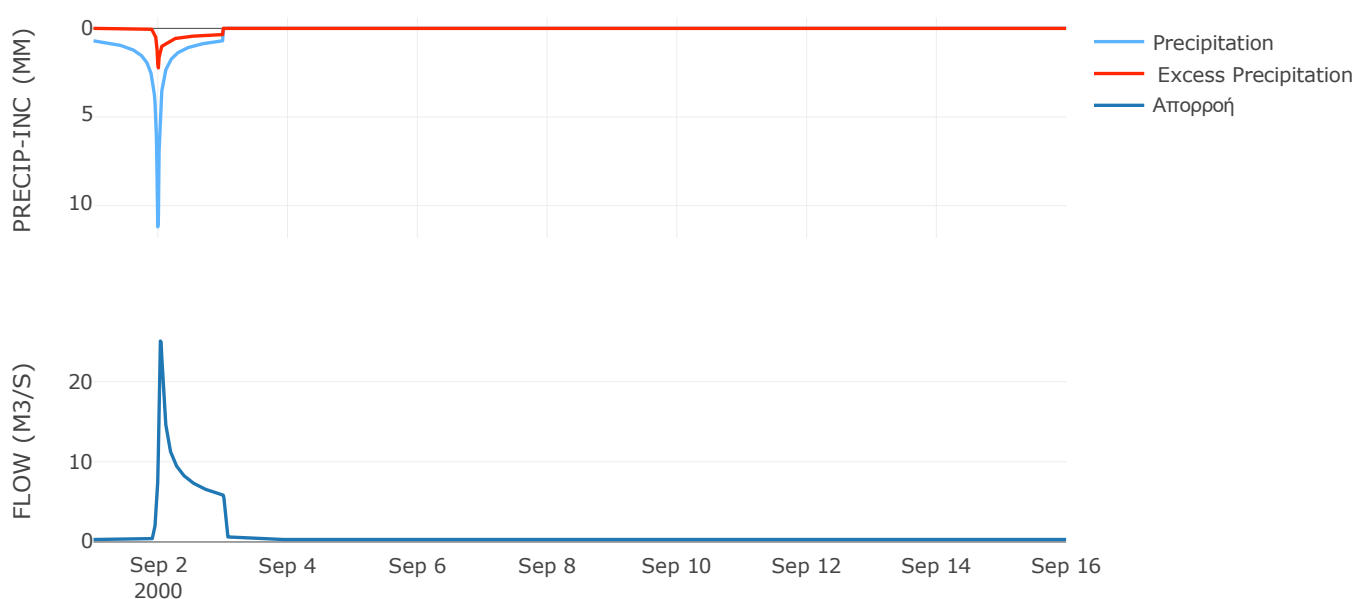
Μέθοδος  
Μετασχηματισμού: SCS

Χρόνος Υστέρησης	37.78
------------------	-------

Αποτελέσματα:  
EL0513FR5018

Παροχή αιχμής (M3/S)	25.07
Χρονική στιγμή αιχμής	02Sep2000, 00:45
Όγκος (MM)	86.51
Όγκος βροχόπτωσης (M3)	4.09E6
Όγκος απωλειών (M3)	3.28E6
Ενεργός Όγκος (M3)	8.13E5
Όγκος άμεσης απορροής (M3)	8.13E5
Όγκος βασικής απορροής (M3)	4E5

Βροχόπτωση και Απορροή



Υπολεκάνη: EL0513FR5019

Έκταση (KM2) : 105.27

Κατάνη : J15

Μέθοδος Απωλειών: SCS

Ποσοστό αδιαπέρατης επιφάνειας	0
Αριθμός Καμπύλης Απορροής-CN	39.1
Αρχικές Απώλειες	79.14

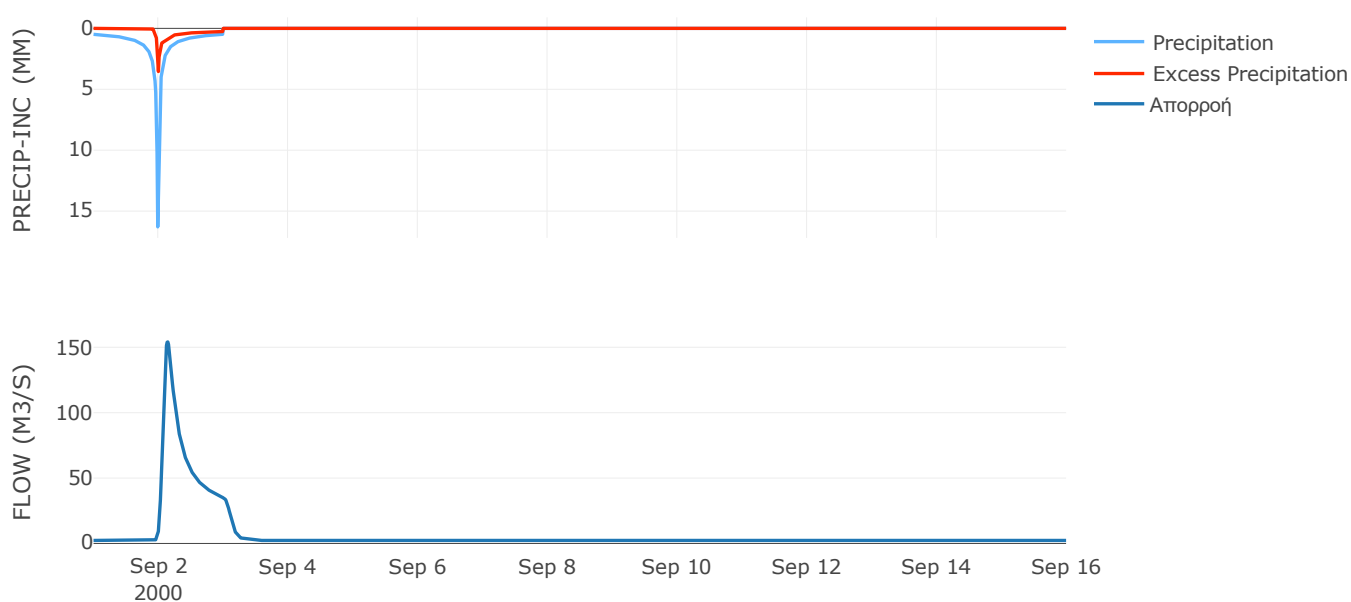
Μέθοδος  
Μετασχηματισμού: SCS

Χρόνος Υστέρησης	154.41
------------------	--------

Αποτελέσματα:  
EL0513FR5019

Παροχή αιχμής (M3/S)	154.09
Χρονική στιγμή αιχμής	02Sep2000, 03:30
Όγκος (MM)	85.58
Όγκος βροχόπτωσης (M3)	2.74E7
Όγκος απωλειών (M3)	2.14E7
Ενεργός Όγκος (M3)	6.01E6
Όγκος άμεσης απορροής (M3)	6.01E6
Όγκος βασικής απορροής (M3)	3E6

Βροχόπτωση και Απορροή



Υπολεκάνη: EL0513FR5020

Έκταση (KM2) : 49.32

Κατάντη : J14

Μέθοδος Απωλειών: SCS

Ποσοστό αδιαπέρατης επιφάνειας	0
Αριθμός Καμπύλης Απορροής-CN	33.5
Αρχικές Απώλειες	100.86

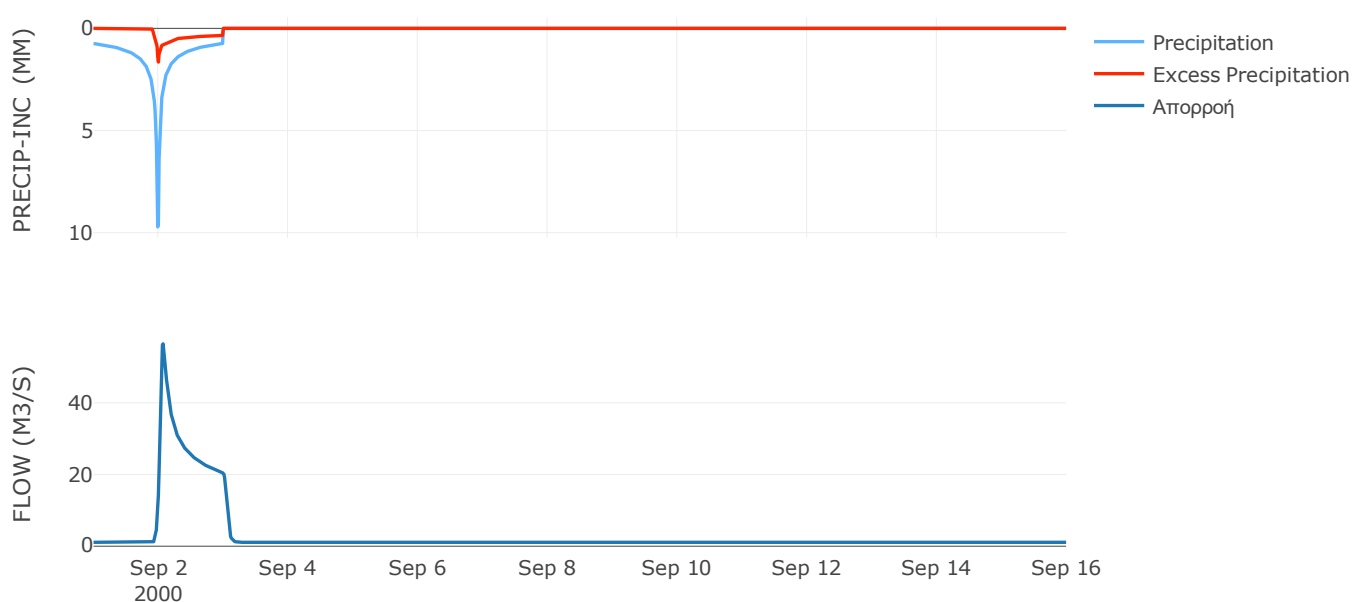
Μέθοδος  
Μετασχηματισμού: SCS

Χρόνος Υστέρησης	69.11
------------------	-------

Αποτελέσματα:  
EL0513FR5020

Παροχή αιχμής (M3/S)	56.46
Χρονική στιγμή αιχμής	02Sep2000, 01:45
Όγκος (MM)	79.77
Όγκος βροχόπτωσης (M3)	1.43E7
Όγκος απωλειών (M3)	1.17E7
Ενεργός Όγκος (M3)	2.53E6
Όγκος άμεσης απορροής (M3)	2.53E6
Όγκος βασικής απορροής (M3)	1.41E6

Βροχόπτωση και Απορροή



Υπολεκάνη: EL0513FR5021

Έκταση (KM2) : 21.13

Κατάντη : J19

Μέθοδος Απωλειών: SCS

Ποσοστό αδιαπέρατης επιφάνειας	0
Αριθμός Καμπύλης Απορροής-CN	50.44
Αρχικές Απώλειες	49.91

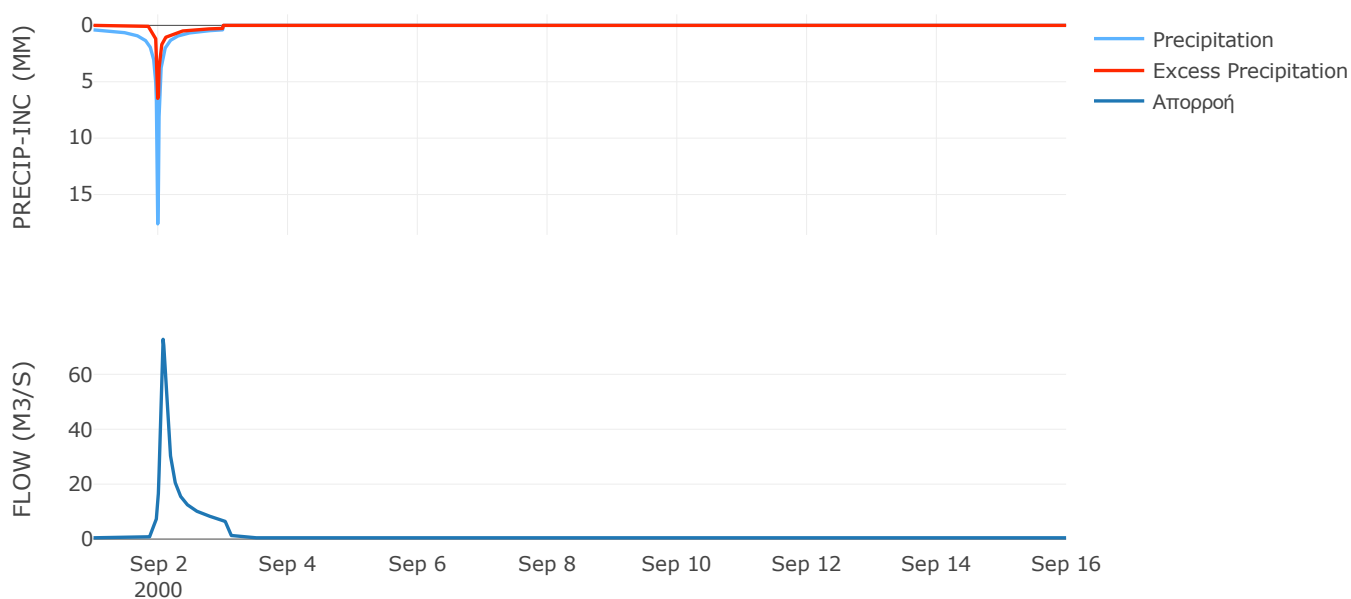
Μέθοδος  
Μετασχηματισμού: SCS

Χρόνος Υστέρησης	86.34
------------------	-------

Αποτελέσματα:  
EL0513FR5021

Παροχή αιχμής (M3/S)	72.75
Χρονική στιγμή αιχμής	02Sep2000, 01:45
Όγκος (MM)	109.08
Όγκος βροχόπτωσης (M3)	5.02E6
Όγκος απωλειών (M3)	3.32E6
Ενεργός Όγκος (M3)	1.7E6
Όγκος άμεσης απορροής (M3)	1.7E6
Όγκος βασικής απορροής (M3)	6.02E5

Βροχόπτωση και Απορροή



Υπολεκάνη: EL0513FR5022

Έκταση (KM2) : 8.23

Κατάντη : J20

Μέθοδος Απωλειών: SCS

Ποσοστό αδιαπέρατης επιφάνειας	0
Αριθμός Καμπύλης Απορροής-CN	64.15
Αρχικές Απώλειες	28.39

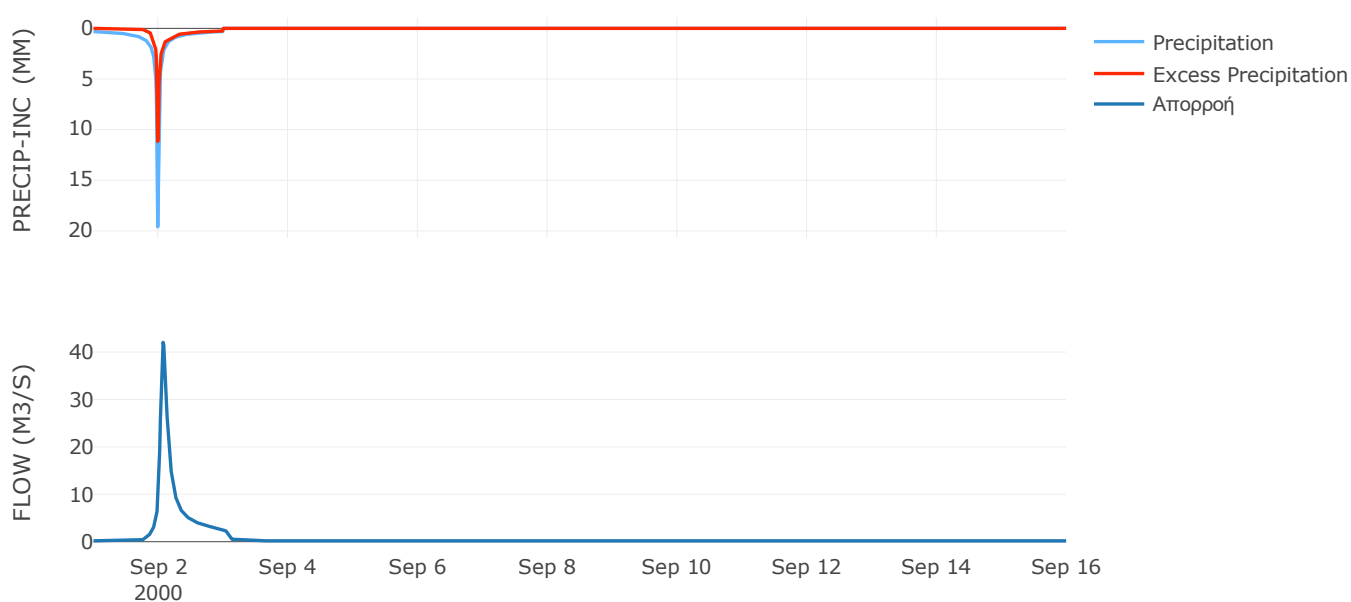
Μέθοδος  
Μετασχηματισμού: SCS

Χρόνος Υστέρησης	96.42
------------------	-------

Αποτελέσματα:  
EL0513FR5022

Παροχή αιχμής (M3/S)	42.04
Χρονική στιγμή αιχμής	02Sep2000, 01:45
Όγκος (MM)	134.98
Όγκος βροχόπτωσης (M3)	1.77E6
Όγκος απωλειών (M3)	8.98E5
Ενεργός Όγκος (M3)	8.76E5
Όγκος άμεσης απορροής (M3)	8.76E5
Όγκος βασικής απορροής (M3)	2.35E5

Βροχόπτωση και Απορροή





Υπολεκάνη: EL0513FR5023

Έκταση (KM2) : 11.05

Κατάνη : J19

Μέθοδος Απωλειών: SCS

Ποσοστό αδιαπέρατης επιφάνειας	0
Αριθμός Καμπύλης Απορροής-CN	63.35
Αρχικές Απώλειες	29.39

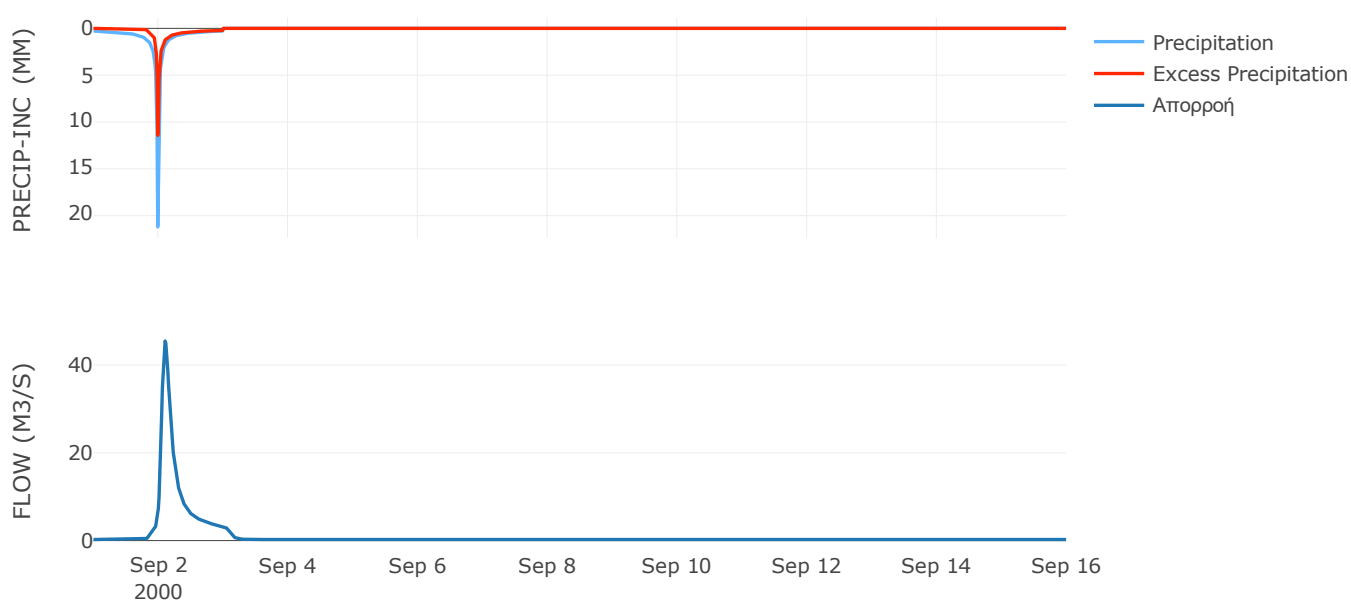
Μέθοδος  
Μετασχηματισμού: SCS

Χρόνος Υστέρησης	135.39
------------------	--------

Αποτελέσματα:  
EL0513FR5023

Παροχή αιχμής (M3/S)	45.47
Χρονική στιγμή αιχμής	02Sep2000, 02:30
Όγκος (MM)	126.75
Όγκος βροχόπτωσης (M3)	2.3E6
Όγκος απωλειών (M3)	1.22E6
Ενεργός Όγκος (M3)	1.09E6
Όγκος άμεσης απορροής (M3)	1.09E6
Όγκος βασικής απορροής (M3)	3.15E5

Βροχόπτωση και Απορροή



Υπολεκάνη: EL0513FR5024

Έκταση (KM2) : 5.88

Κατάντη : J4

Μέθοδος Απωλειών: SCS

Ποσοστό αδιαπέρατης επιφάνειας	0
Αριθμός Καμπύλης Απορροής-CN	54.88
Αρχικές Απώλειες	41.76

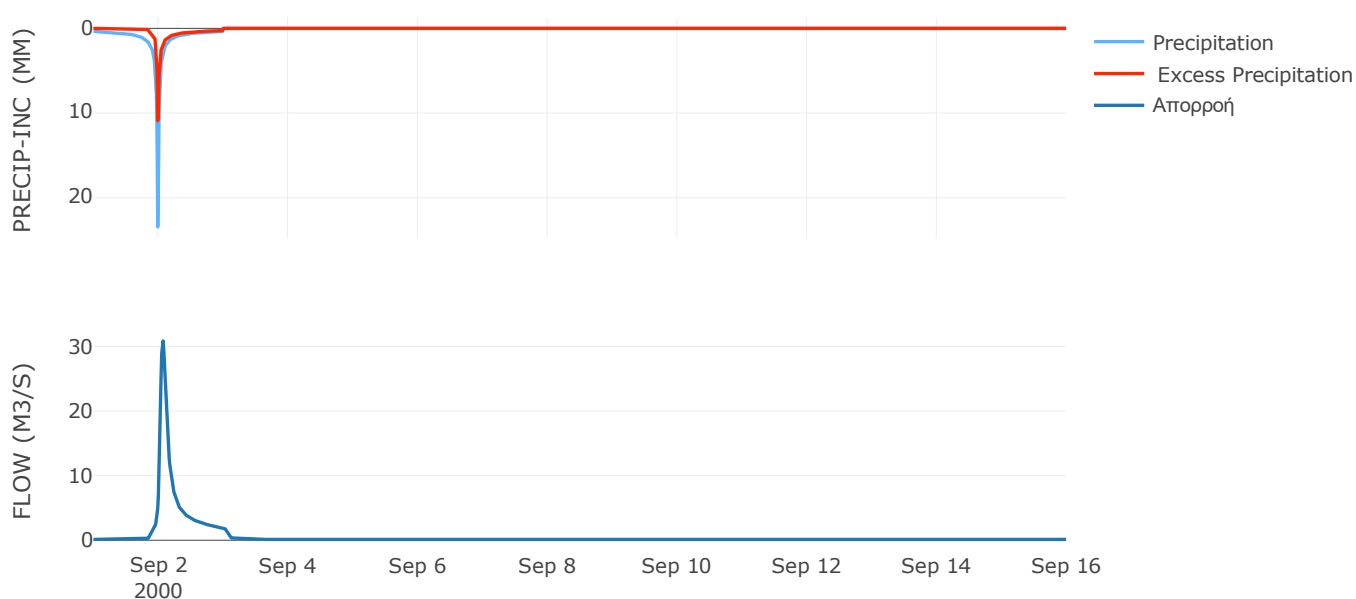
Μέθοδος  
Μετασχηματισμού: SCS

Χρόνος Υστέρησης	86.24
------------------	-------

Αποτελέσματα:  
EL0513FR5024

Παροχή αιχμής (M3/S)	30.86
Χρονική στιγμή αιχμής	02Sep2000, 01:45
Όγκος (MM)	131.57
Όγκος βροχόπτωσης (M3)	1.46E6
Όγκος απωλειών (M3)	8.57E5
Ενεργός Όγκος (M3)	6.06E5
Όγκος άμεσης απορροής (M3)	6.06E5
Όγκος βασικής απορροής (M3)	1.68E5

Βροχόπτωση και Απορροή



Υπολεκάνη: EL0513FR5025

Έκταση (KM2) : 50.61

Κατάντη : J7

Μέθοδος Απωλειών: SCS

Ποσοστό αδιαπέρατης επιφάνειας	0
Αριθμός Καμπύλης Απορροής-CN	50.52
Αρχικές Απώλειες	49.75

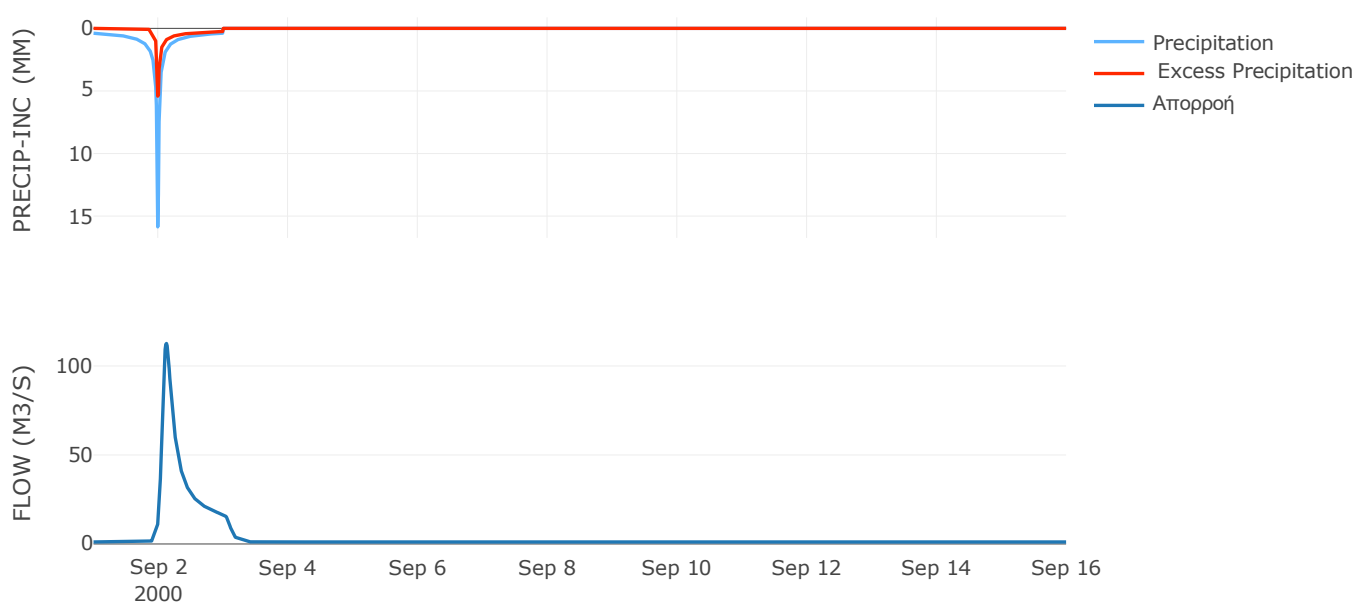
Μέθοδος  
Μετασχηματισμού: SCS

Χρόνος Υστέρησης	146.87
------------------	--------

Αποτελέσματα:  
EL0513FR5025

Παροχή αιχμής (M3/S)	112.63
Χρονική στιγμή αιχμής	02Sep2000, 03:00
Όγκος (MM)	99.85
Όγκος βροχόπτωσης (M3)	1.13E7
Όγκος απωλειών (M3)	7.69E6
Ενεργός Όγκος (M3)	3.61E6
Όγκος άμεσης απορροής (M3)	3.61E6
Όγκος βασικής απορροής (M3)	1.44E6

Βροχόπτωση και Απορροή



Υπολεκάνη: EL0513FR5026

Έκταση (KM2) : 20.26

Κατάντη : J18

Μέθοδος Απωλειών: SCS

Ποσοστό αδιαπέρατης επιφάνειας	0
Αριθμός Καμπύλης Απορροής-CN	58.61
Αρχικές Απώλειες	35.87

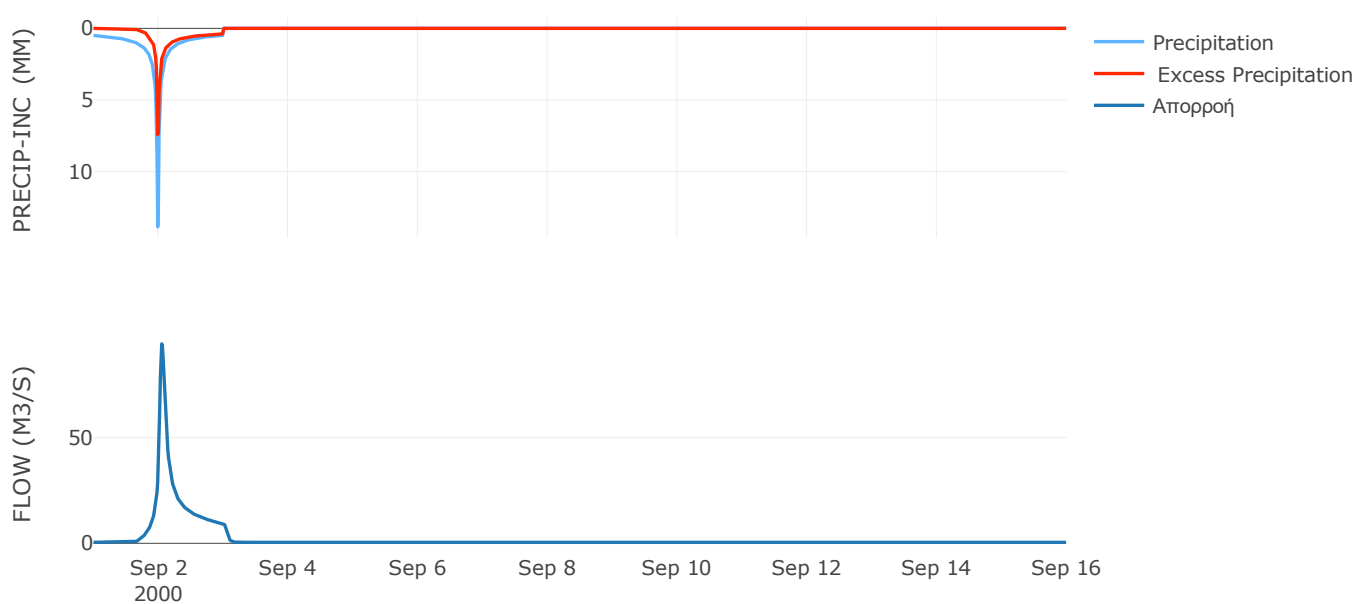
Μέθοδος  
Μετασχηματισμού: SCS

Χρόνος Υστέρησης	70.65
------------------	-------

Αποτελέσματα:  
EL0513FR5026

Παροχή αιχμής (M3/S)	94.4
Χρονική στιγμή αιχμής	02Sep2000, 01:15
Όγκος (MM)	142.43
Όγκος βροχόπτωσης (M3)	5E6
Όγκος απωλειών (M3)	2.69E6
Ενεργός Όγκος (M3)	2.31E6
Όγκος άμεσης απορροής (M3)	2.31E6
Όγκος βασικής απορροής (M3)	5.78E5

Βροχόπτωση και Απορροή



Υπολεκάνη: EL0513FR5027

Έκταση (KM2) : 40.56

Κατάντη : J18

Μέθοδος Απωλειών: SCS

Ποσοστό αδιαπέρατης επιφάνειας	0
Αριθμός Καμπύλης Απορροής-CN	46.99
Αρχικές Απώλειες	57.3

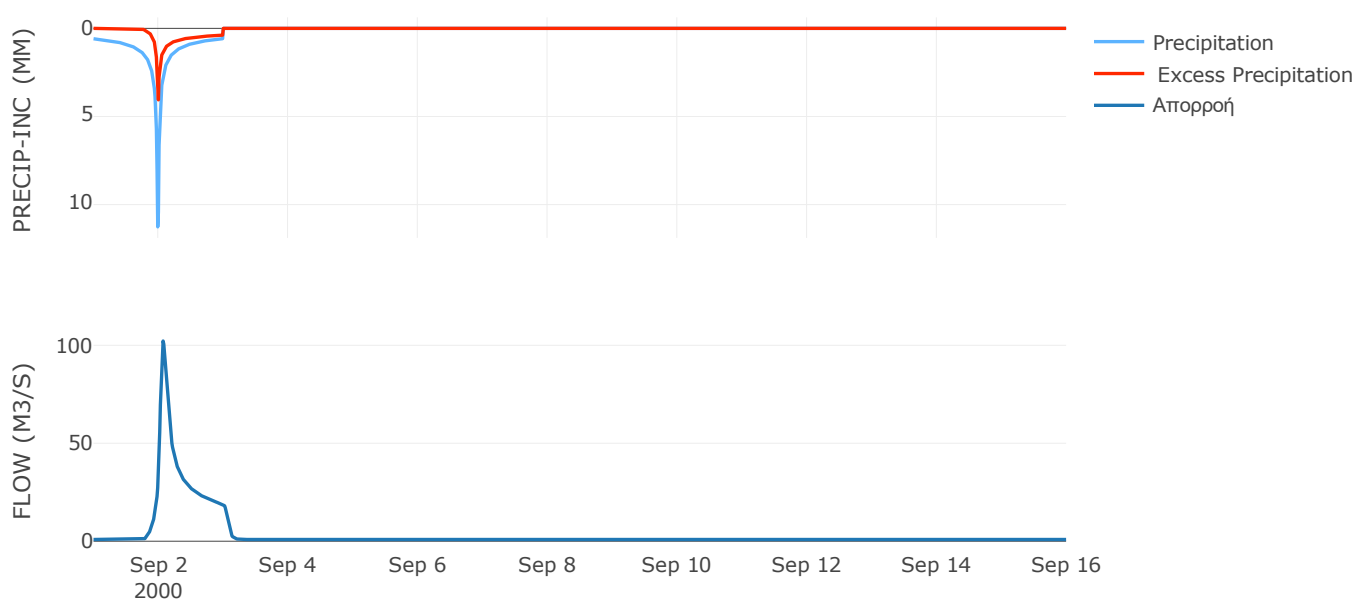
Μέθοδος  
Μετασχηματισμού: SCS

Χρόνος Υστέρησης	87.61
------------------	-------

Αποτελέσματα:  
EL0513FR5027

Παροχή αιχμής (M3/S)	102.2
Χρονική στιγμή αιχμής	02Sep2000, 01:45
Όγκος (MM)	111.78
Όγκος βροχόπτωσης (M3)	1.05E7
Όγκος απωλειών (M3)	7.12E6
Ενεργός Όγκος (M3)	3.38E6
Όγκος άμεσης απορροής (M3)	3.38E6
Όγκος βασικής απορροής (M3)	1.16E6

Βροχόπτωση και Απορροή



Υπολεκάνη: EL0513FR5028

Έκταση (KM2) : 26.17

Κατάνη : J17

Μέθοδος Απωλειών: SCS

Ποσοστό αδιαπέρατης επιφάνειας	0
Αριθμός Καμπύλης Απορροής-CN	46.89
Αρχικές Απώλειες	57.55

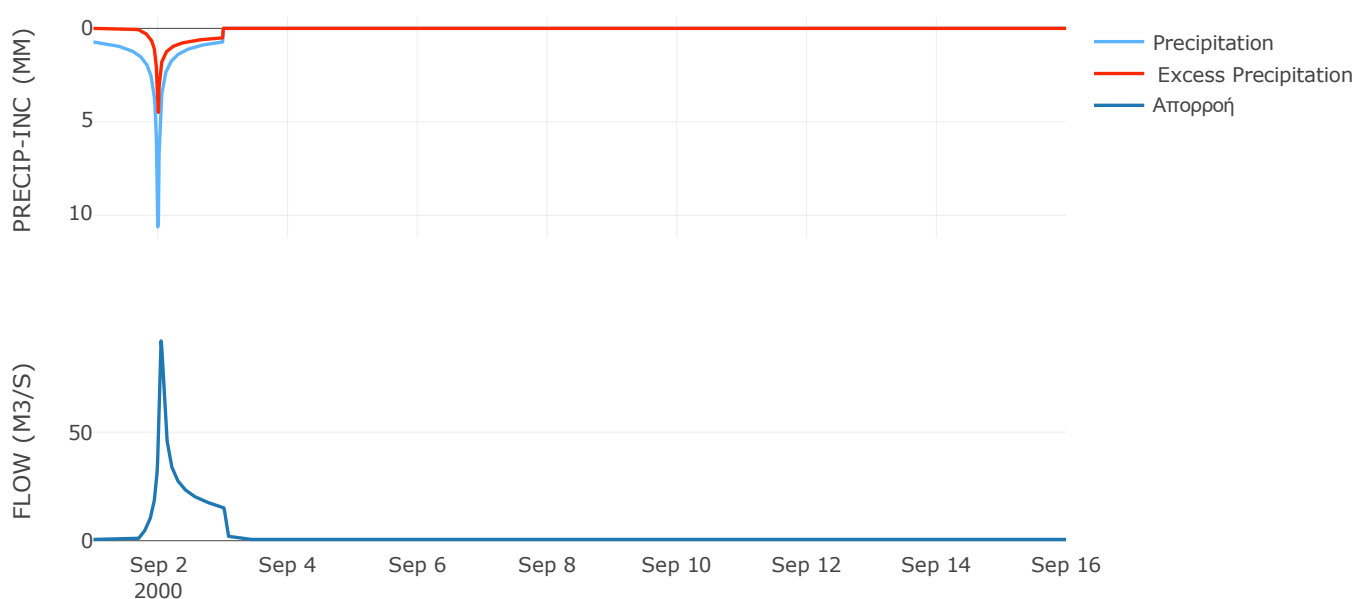
Μέθοδος  
Μετασχηματισμού: SCS

Χρόνος Υστέρησης	51.21
------------------	-------

Αποτελέσματα:  
EL0513FR5028

Παροχή αιχμής (M3/S)	91.97
Χρονική στιγμή αιχμής	02Sep2000, 01:00
Όγκος (MM)	135.06
Όγκος βροχόπτωσης (M3)	7.69E6
Όγκος απωλειών (M3)	4.9E6
Ενεργός Όγκος (M3)	2.79E6
Όγκος άμεσης απορροής (M3)	2.79E6
Όγκος βασικής απορροής (M3)	7.46E5

Βροχόπτωση και Απορροή



Υπολεκάνη: EL0513FR5029

Έκταση (KM2) : 21.97

Κατάντη : J9

Μέθοδος Απωλειών: SCS

Ποσοστό αδιαπέρατης επιφάνειας	0
Αριθμός Καμπύλης Απορροής-CN	24.11
Αρχικές Απώλειες	159.9

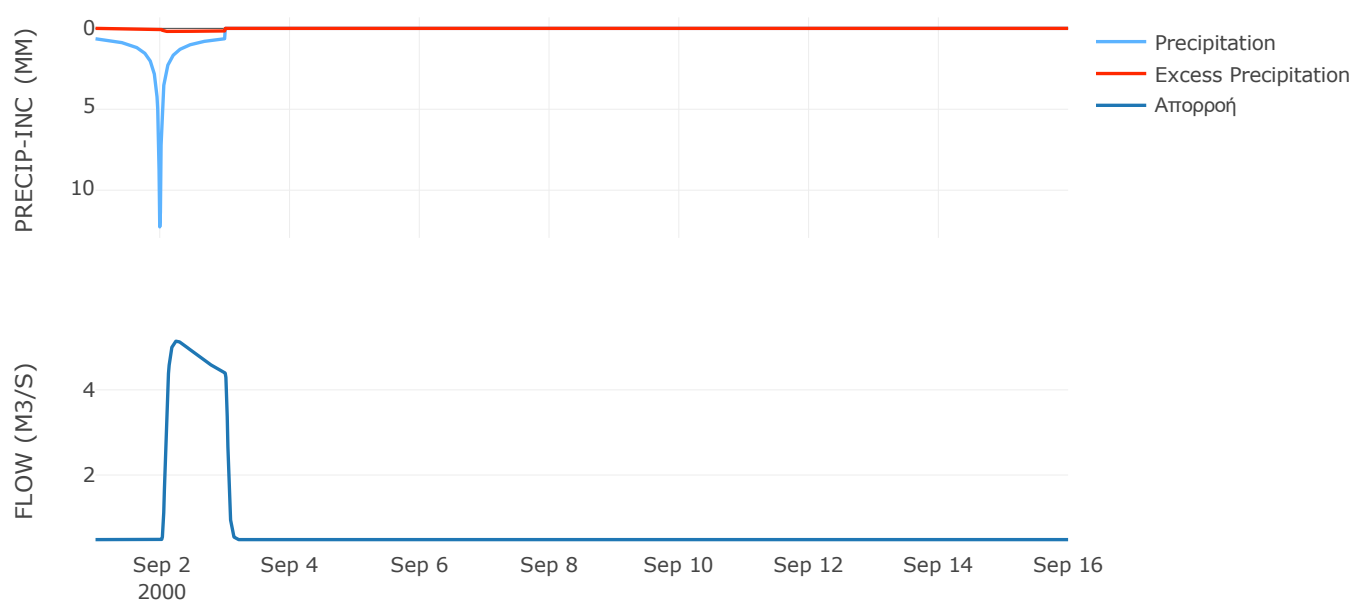
Μέθοδος  
Μετασχηματισμού: SCS

Χρόνος Υστέρησης	54.65
------------------	-------

Αποτελέσματα:  
EL0513FR5029

Παροχή αιχμής (M3/S)	5.15
Χρονική στιγμή αιχμής	02Sep2000, 06:00
Όγκος (MM)	44.85
Όγκος βροχόπτωσης (M3)	6.21E6
Όγκος απωλειών (M3)	5.85E6
Ενεργός Όγκος (M3)	3.59E5
Όγκος άμεσης απορροής (M3)	3.59E5
Όγκος βασικής απορροής (M3)	6.27E5

Βροχόπτωση και Απορροή



Υπολεκάνη: EL0513FR5030

Έκταση (KM2) : 13.43

Κατάνη : J5

Μέθοδος Απωλειών: SCS

Ποσοστό αδιαπέρατης επιφάνειας	0
Αριθμός Καμπύλης Απορροής-CN	43.26
Αρχικές Απώλειες	66.63

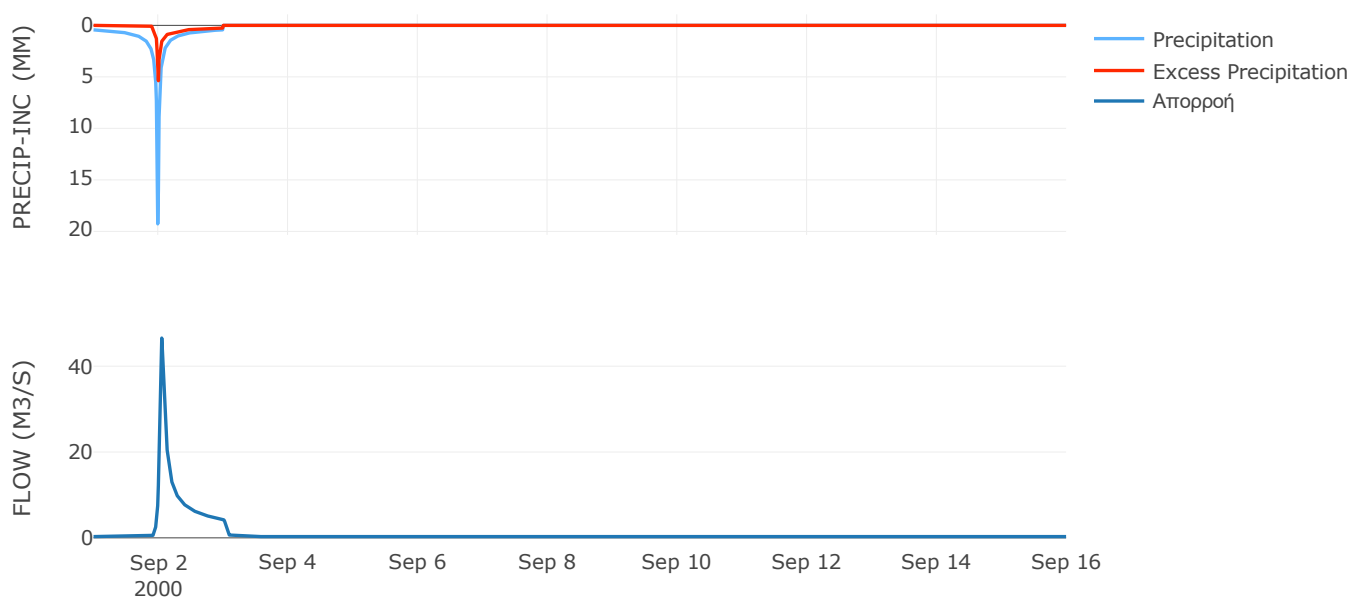
Μέθοδος  
Μετασχηματισμού: SCS

Χρόνος Υστέρησης	57.28
------------------	-------

Αποτελέσματα:  
EL0513FR5030

Παροχή αιχμής (M3/S)	46.55
Χρονική στιγμή αιχμής	02Sep2000, 01:15
Όγκος (MM)	99.21
Όγκος βροχόπτωσης (M3)	3.49E6
Όγκος απωλειών (M3)	2.54E6
Ενεργός Όγκος (M3)	9.5E5
Όγκος άμεσης απορροής (M3)	9.5E5
Όγκος βασικής απορροής (M3)	3.83E5

Βροχόπτωση και Απορροή





Υπολεκάνη: EL0513FR5031

Έκταση (KM2) : 13.12

Κατάνη : J15

Μέθοδος Απωλειών: SCS

Ποσοστό αδιαπέρατης επιφάνειας	0
Αριθμός Καμπύλης Απορροής-CN	43.01
Αρχικές Απώλειες	67.3

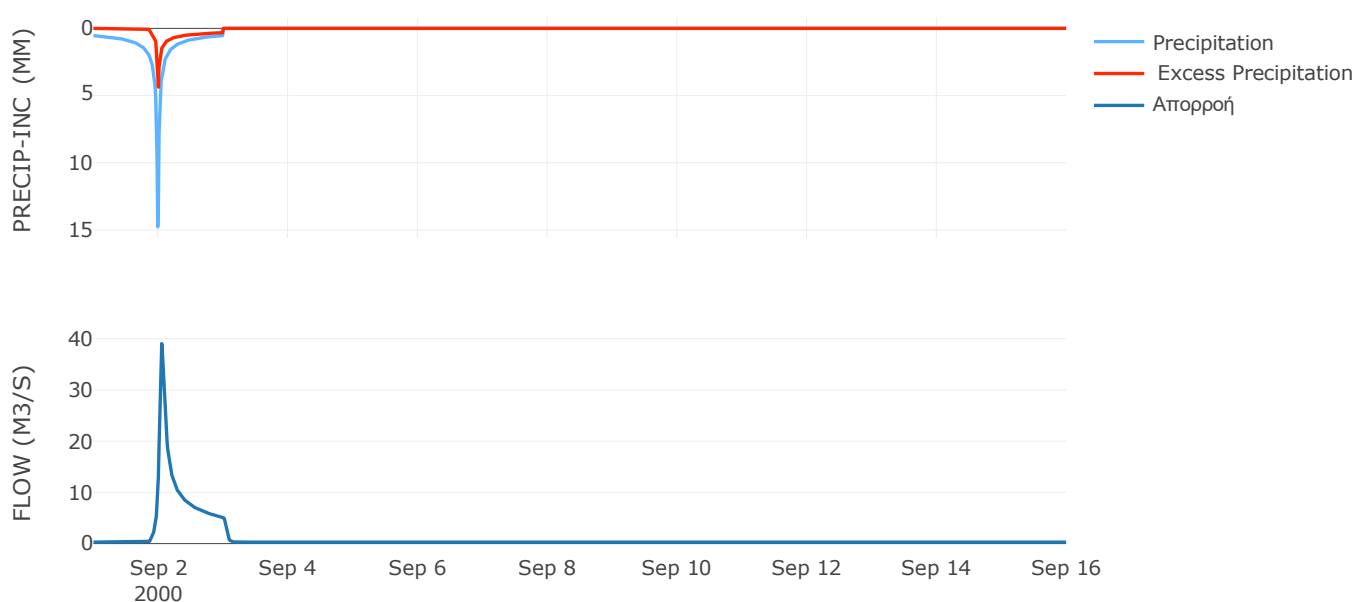
Μέθοδος  
Μετασχηματισμού: SCS

Χρόνος Υστέρησης	58.73
------------------	-------

Αποτελέσματα:  
EL0513FR5031

Παροχή αιχμής (M3/S)	39.05
Χρονική στιγμή αιχμής	02Sep2000, 01:15
Όγκος (MM)	103.03
Όγκος βροχόπτωσης (M3)	3.51E6
Όγκος απωλειών (M3)	2.53E6
Ενεργός Όγκος (M3)	9.78E5
Όγκος άμεσης απορροής (M3)	9.78E5
Όγκος βασικής απορροής (M3)	3.74E5

Βροχόπτωση και Απορροή



Υπολεκάνη: EL0513FR5032

Έκταση (KM2) : 17.35

Κατάντη : J16

Μέθοδος Απωλειών: SCS

Ποσοστό αδιαπέρατης επιφάνειας	0
Αριθμός Καμπύλης Απορροής-CN	30.08
Αρχικές Απώλειες	118.06

Μέθοδος  
Μετασχηματισμού: SCS

Χρόνος Υστέρησης	48.75
------------------	-------

Αποτελέσματα:  
EL0513FR5032

Παροχή αιχμής (M3/S)	12.84
Χρονική στιγμή αιχμής	02Sep2000, 01:30
Όγκος (MM)	61.71
Όγκος βροχόπτωσης (M3)	4.78E6
Όγκος απωλειών (M3)	4.21E6
Ενεργός Όγκος (M3)	5.76E5
Όγκος άμεσης απορροής (M3)	5.76E5
Όγκος βασικής απορροής (M3)	4.95E5

Βροχόπτωση και Απορροή



Υπολεκάνη: EL0513FR5033

Έκταση (KM2) : 4.63

Κατάνη : J21 Res1

Μέθοδος Απωλειών: SCS

Ποσοστό αδιαπέρατης επιφάνειας	0
Αριθμός Καμπύλης Απορροής-CN	30
Αρχικές Απώλειες	118.53

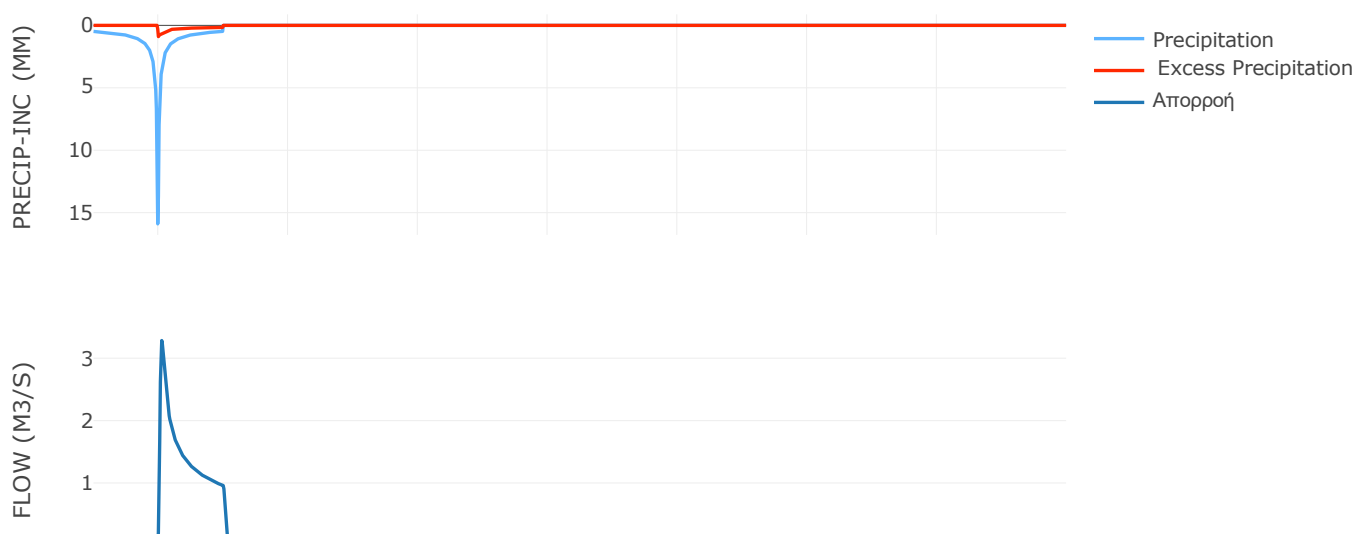
Μέθοδος  
Μετασχηματισμού: SCS

Χρόνος Υστέρησης	36.76
------------------	-------

Αποτελέσματα:  
EL0513FR5033

Παροχή αιχμής (M3/S)	3.28
Χρονική στιγμή αιχμής	02Sep2000, 01:15
Όγκος (MM)	54.66
Όγκος βροχόπτωσης (M3)	1.19E6
Όγκος απωλειών (M3)	1.07E6
Ενεργός Όγκος (M3)	1.21E5
Όγκος άμεσης απορροής (M3)	1.21E5
Όγκος βασικής απορροής (M3)	1.32E5

Βροχόπτωση και Απορροή



## 6.2 Δεδομένα και υδρογραφήματα σχεδιασμού Κλάδων υδρογραφικού δικτύου

Κλάδος: R21

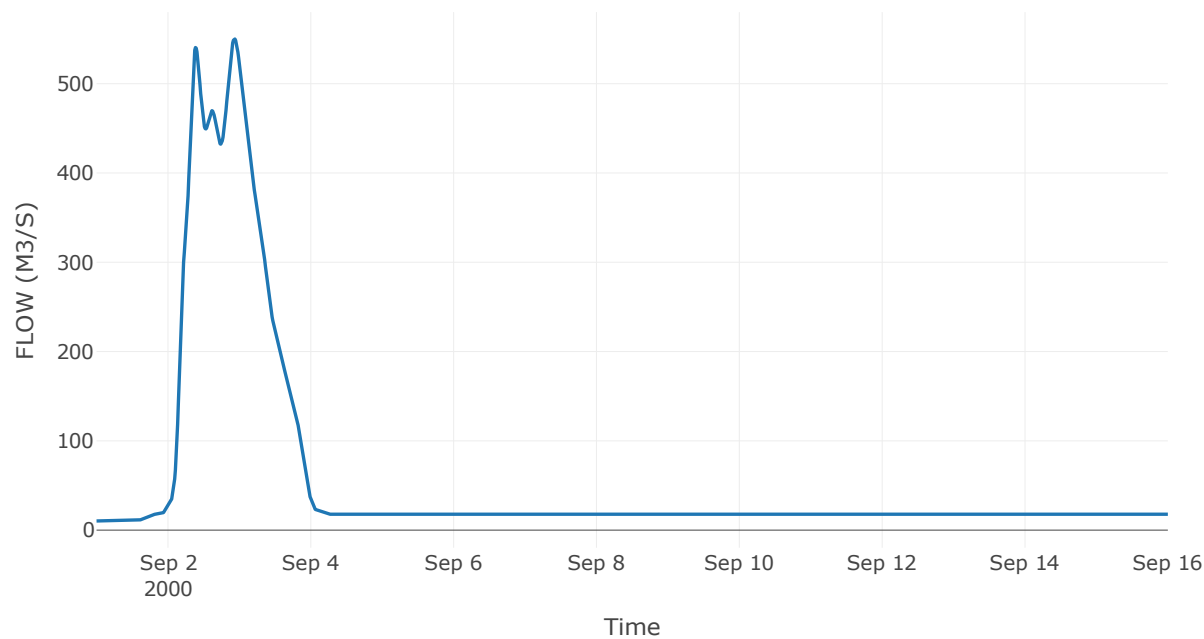
Κατάντη : J1

Μέθοδος Διόδευσης	Muskingum
Αρχική Μεταβλητή	Combined Inflow
Χρόνος Ροής Κ	1.16
Συντελεστής βάρους x	0.2
Πλήθος Υποκλάδων	5

Αποτελέσματα: R21

Παροχή Αιχμής(M3/S)	550.17
Χρονική στιγμή αιχμής	02Sep2000, 22:15
Όγκος(MM)	92.89
Παροχή Αιχμής Εισόδου (M3/S)	552.35
Όγκος Εισροής(M3)	7.52E7

Απορροή



Κλάδος: R32

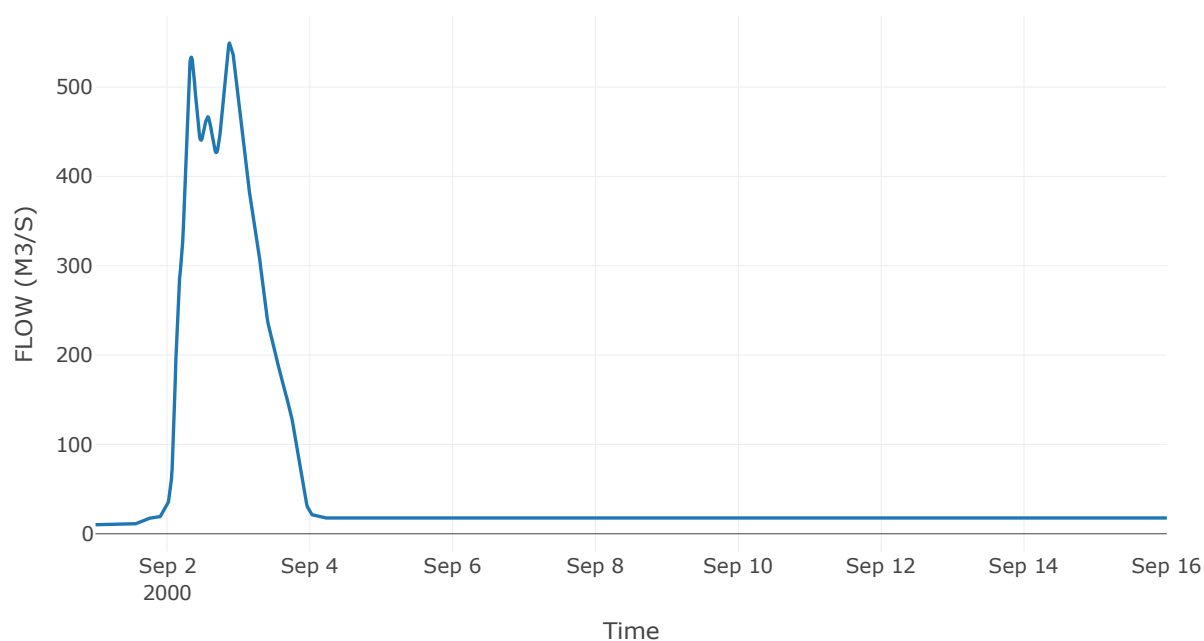
Κατάντη : J2

Μέθοδος Διόδευσης	Muskingum
Αρχική Μεταβλητή	Combined Inflow
Χρόνος Ροής K	1.79
Συντελεστής βάρους x	0.2
Πλήθος Υποκλάδων	7

Αποτελέσματα: R32

Παροχή Αιχμής(M3/S)	549.73
Χρονική στιγμή αιχμής	02Sep2000, 21:15
Όγκος(MM)	92.49
Παροχή Αιχμής Εισόδου (M3/S)	553.39
Όγκος Εισροής(M3)	7.42E7

Απορροή



Κλάδος: R43

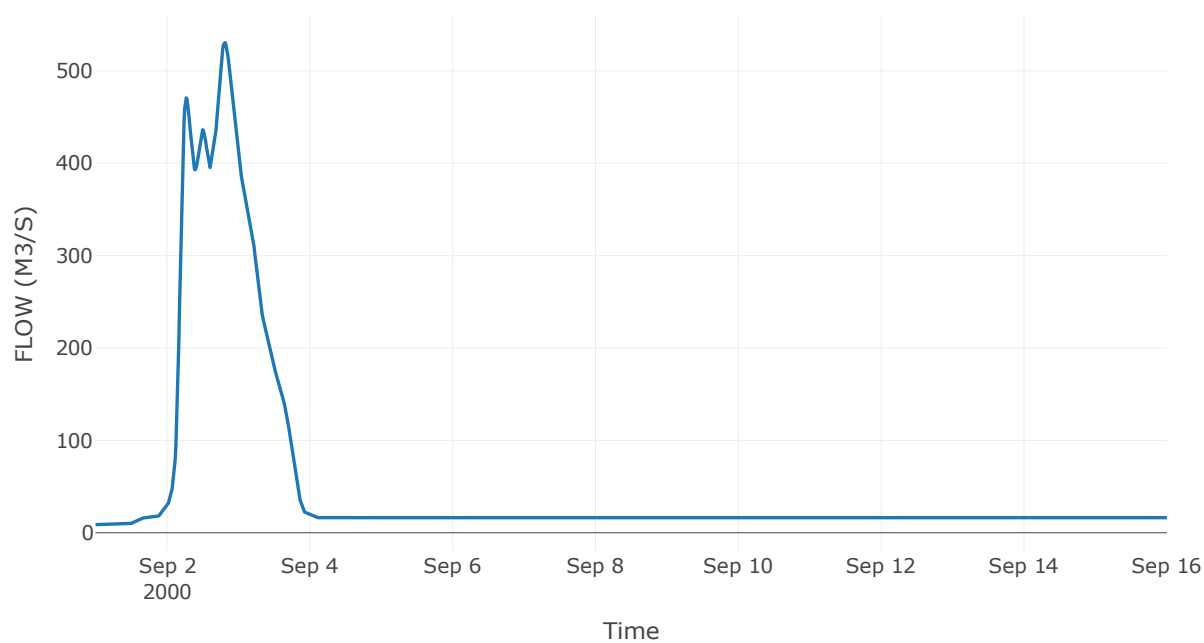
Κατάντη : J3

Μέθοδος Διόδευσης	Muskingum
Αρχική Μεταβλητή	Combined Inflow
Χρόνος Ροής K	3.42
Συντελεστής βάρους x	0.2
Πλήθος Υποκλάδων	14

Αποτελέσματα: R43

Παροχή Αιχμής(M3/S)	530.66
Χρονική στιγμή αιχμής	02Sep2000, 19:30
Όγκος(MM)	90.33
Παροχή Αιχμής Εισόδου (M3/S)	538.52
Όγκος Εισροής(M3)	6.71E7

Απορροή



Κλάδος: R54

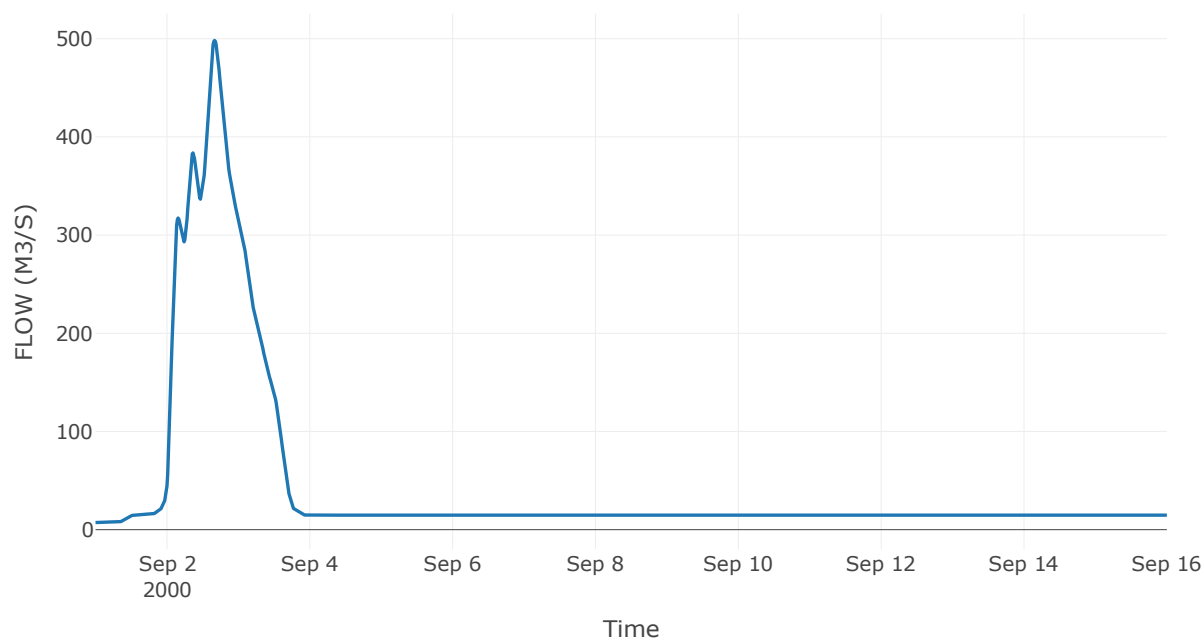
Κατάντη : J4

Μέθοδος Διόδευσης	Muskingum
Αρχική Μεταβλητή	Combined Inflow
Χρόνος Ροής K	0.15
Συντελεστής βάρους x	0.2
Πλήθος Υποκλάδων	1

Αποτελέσματα: R54

Παροχή Αιχμής(M3/S)	498.2
Χρονική στιγμή αιχμής	02Sep2000, 16:00
Όγκος(MM)	86.96
Παροχή Αιχμής Εισόδου (M3/S)	498.27
Όγκος Εισροής(M3)	5.84E7

Απορροή



Κλάδος: R65

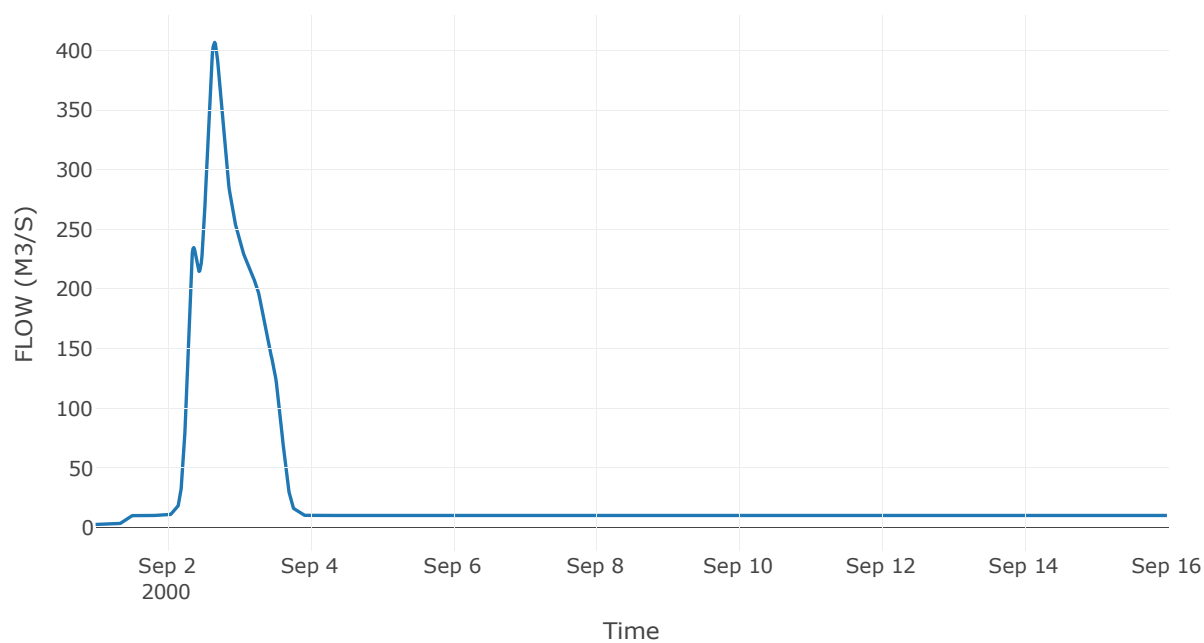
Κατάντη : J5

Μέθοδος Διόδευσης	Muskingum
Αρχική Μεταβλητή	Combined Inflow
Χρόνος Ροής K	4.12
Συντελεστής βάρους x	0.2
Πλήθος Υποκλάδων	17

Αποτελέσματα: R65

Παροχή Αιχμής(M3/S)	406.61
Χρονική στιγμή αιχμής	02Sep2000, 16:00
Όγκος(MM)	84.81
Παροχή Αιχμής Εισόδου (M3/S)	417.84
Όγκος Εισροής(M3)	4.05E7

Απορροή





Κλάδος: R76

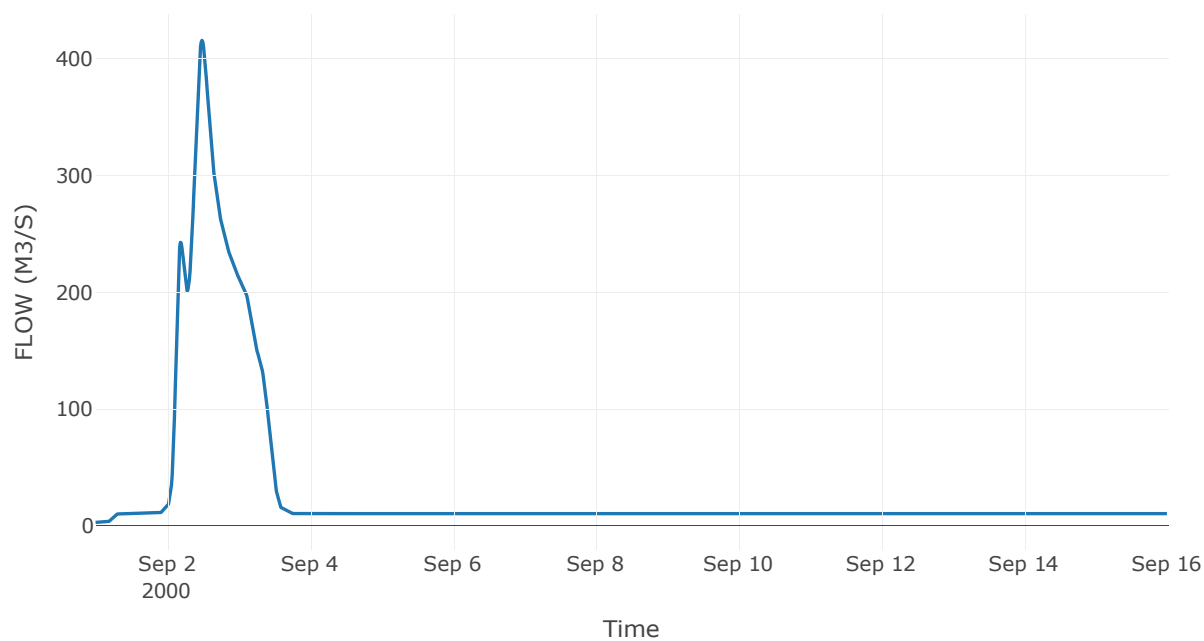
Κατάντη : J6

Μέθοδος Διόδευσης	Muskingum
Αρχική Μεταβλητή	Combined Inflow
Χρόνος Ροής K	1.71
Συντελεστής βάρους x	0.2
Πλήθος Υποκλάδων	7

Αποτελέσματα: R76

Παροχή Αιχμής(M3/S)	415.66
Χρονική στιγμή αιχμής	02Sep2000, 11:45
Όγκος(MM)	84.73
Παροχή Αιχμής Εισόδου (M3/S)	421.25
Όγκος Εισροής(M3)	4.01E7

Απορροή



Κλάδος: R87

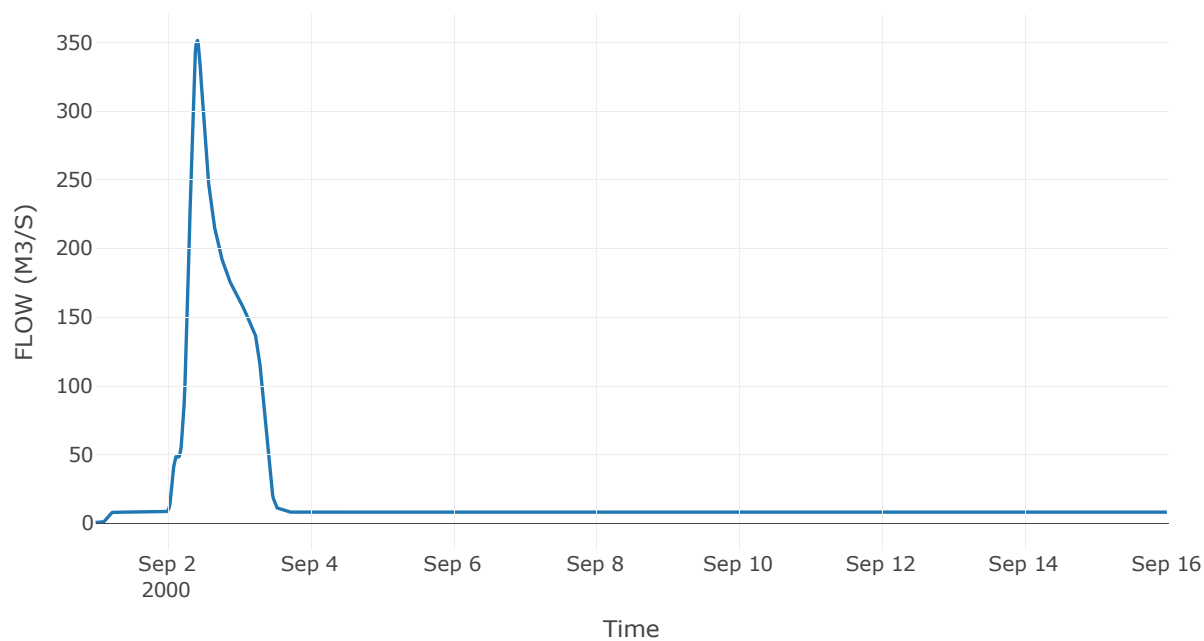
Κατάντη : J7

Μέθοδος Διόδευσης	Muskingum
Αρχική Μεταβλητή	Combined Inflow
Χρόνος Ροής K	1.08
Συντελεστής βάρους x	0.2
Πλήθος Υποκλάδων	5

Αποτελέσματα: R87

Παροχή Αιχμής(M3/S)	351.26
Χρονική στιγμή αιχμής	02Sep2000, 10:15
Όγκος(MM)	82.26
Παροχή Αιχμής Εισόδου (M3/S)	354.95
Όγκος Εισροής(M3)	2.98E7

Απορροή



Κλάδος: R218

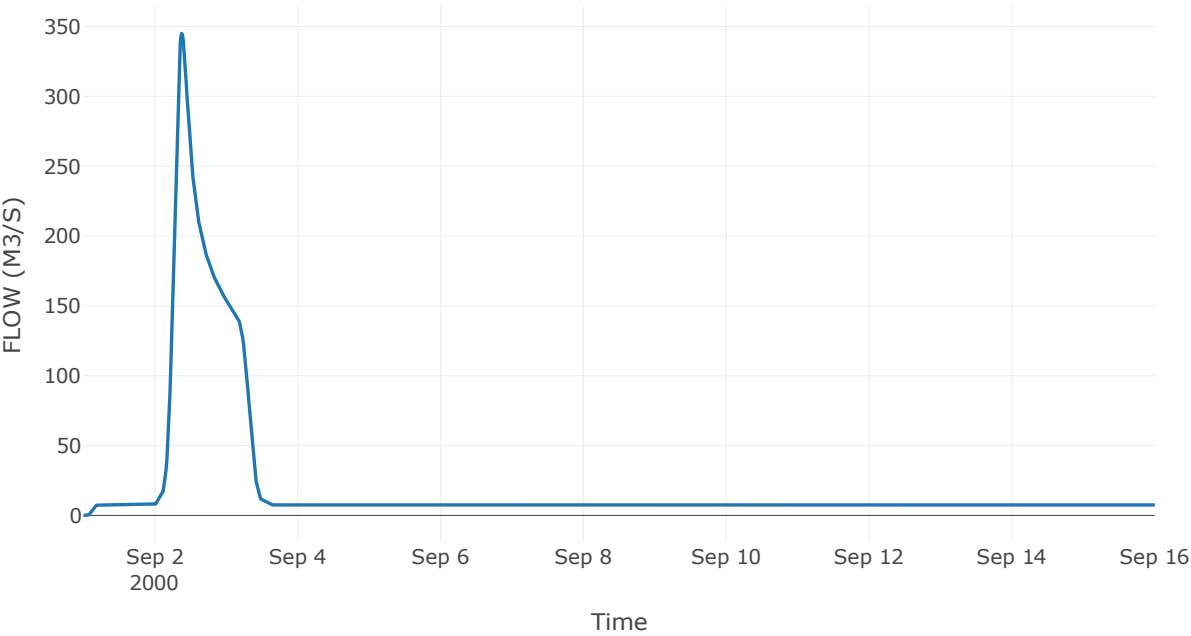
Κατάντη : J8

Μέθοδος Διόδευσης	Muskingum
Αρχική Μεταβλητή	Combined Inflow
Χρόνος Ροής K	2.12
Συντελεστής βάρους x	0.2
Πλήθος Υποκλάδων	9

Αποτελέσματα: R218

Παροχή Αιχμής(M3/S)	345.08
Χρονική στιγμή αιχμής	02Sep2000, 09:00
Όγκος(MM)	82.41
Παροχή Αιχμής Εισόδου (M3/S)	353.12
Όγκος Εισροής(M3)	2.83E7

Απορροή



Κλάδος: R921

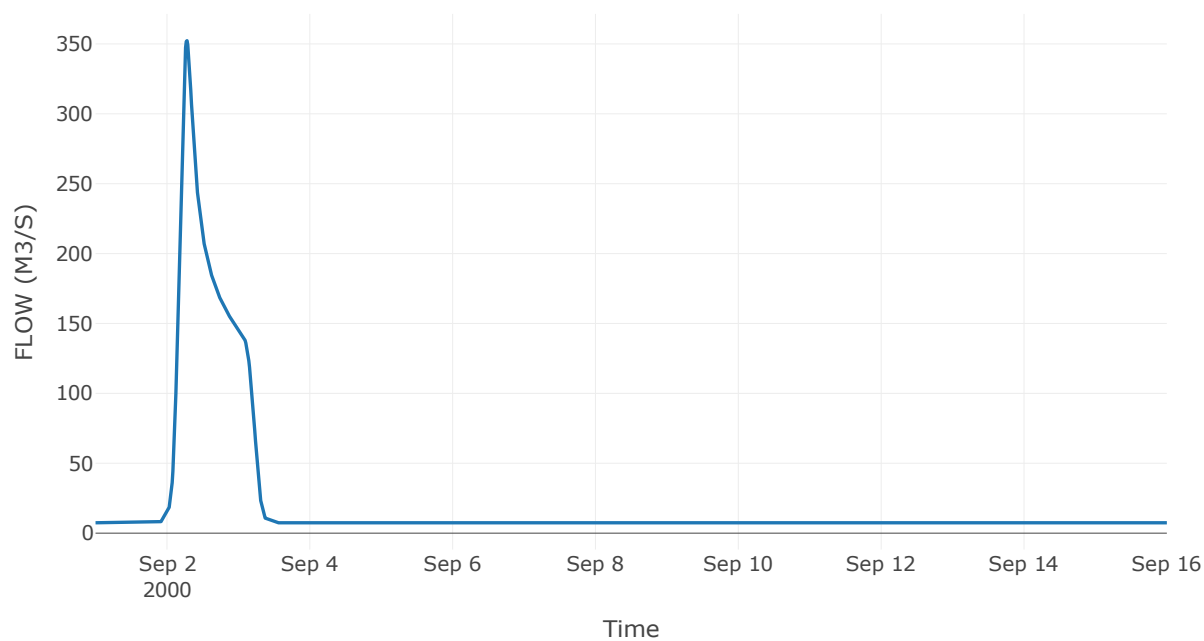
Κατάντη : J21 Res1

Μέθοδος Διόδευσης	Muskingum
Αρχική Μεταβλητή	Combined Inflow
Χρόνος Ροής K	1.51
Συντελεστής βάρους x	0.2
Πλήθος Υποκλάδων	6

Αποτελέσματα: R921

Παροχή Αιχμής(M3/S)	352.31
Χρονική στιγμή αιχμής	02Sep2000, 06:45
Όγκος(MM)	83.02
Παροχή Αιχμής Εισόδου (M3/S)	359.82
Όγκος Εισροής(M3)	2.8E7

Απορροή



Κλάδος: R109

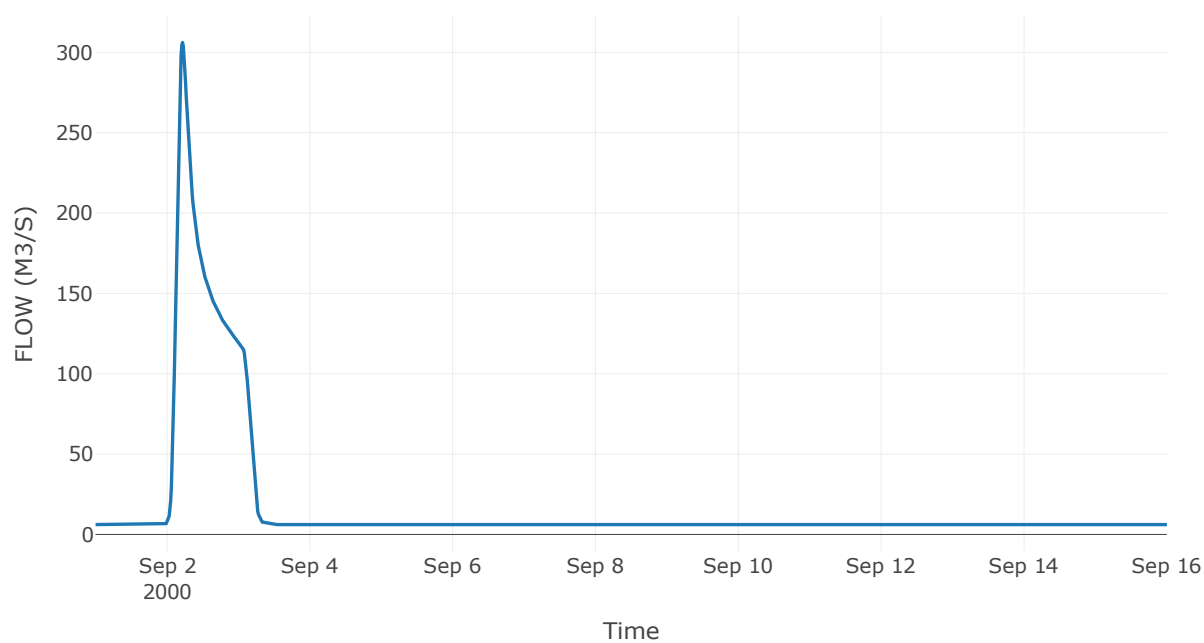
Κατάντη : J9

Μέθοδος Διόδευσης	Muskingum
Αρχική Μεταβλητή	Combined Inflow
Χρόνος Ροής K	1.75
Συντελεστής βάρους x	0.2
Πλήθος Υποκλάδων	7

Αποτελέσματα: R109

Παροχή Αιχμής(M3/S)	306.11
Χρονική στιγμή αιχμής	02Sep2000, 05:15
Όγκος(MM)	82.45
Παροχή Αιχμής Εισόδου (M3/S)	316.1
Όγκος Εισροής(M3)	2.3E7

Απορροή



Κλάδος: R1110

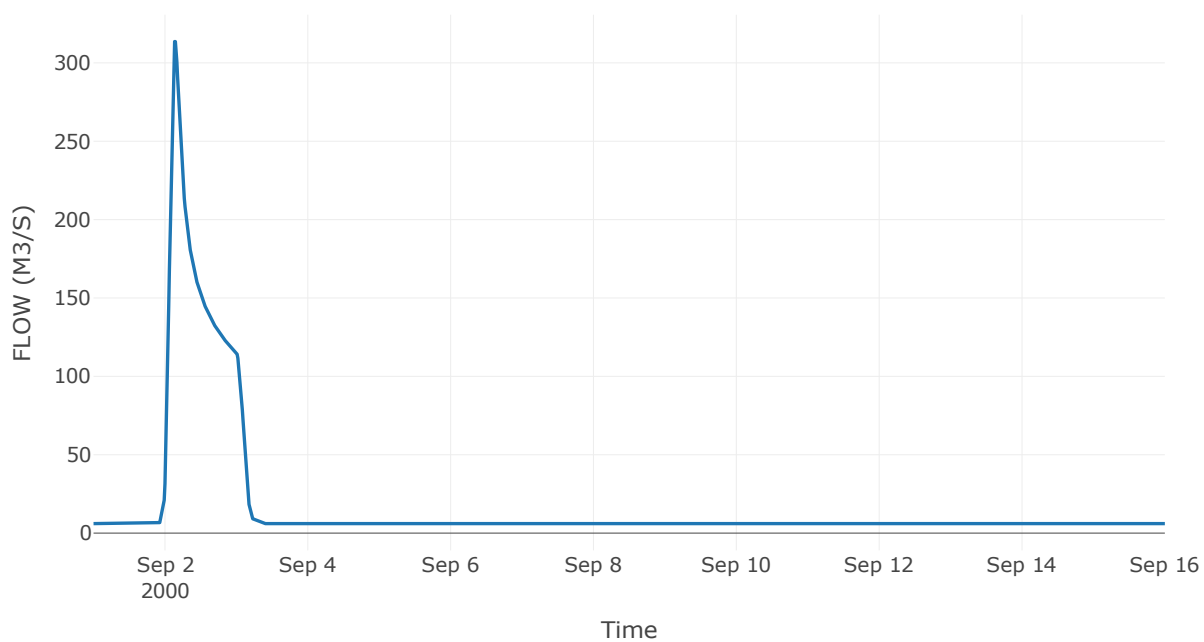
Κατάντη : J10

Μέθοδος Διόδευσης	Χρόνος Υστέρησης
Αρχική Μεταβλητή	Combined Inflow
Χρόνος Υστέρησης	6.74

Αποτελέσματα: R1110

Παροχή Αιχμής(M3/S)	313.61
Χρονική στιγμή αιχμής	02Sep2000, 03:15
Όγκος(MM)	82.68
Παροχή Αιχμής Εισόδου (M3/S)	314.93
Όγκος Εισροής(M3)	2.28E7

Απορροή



Κλάδος: R1211

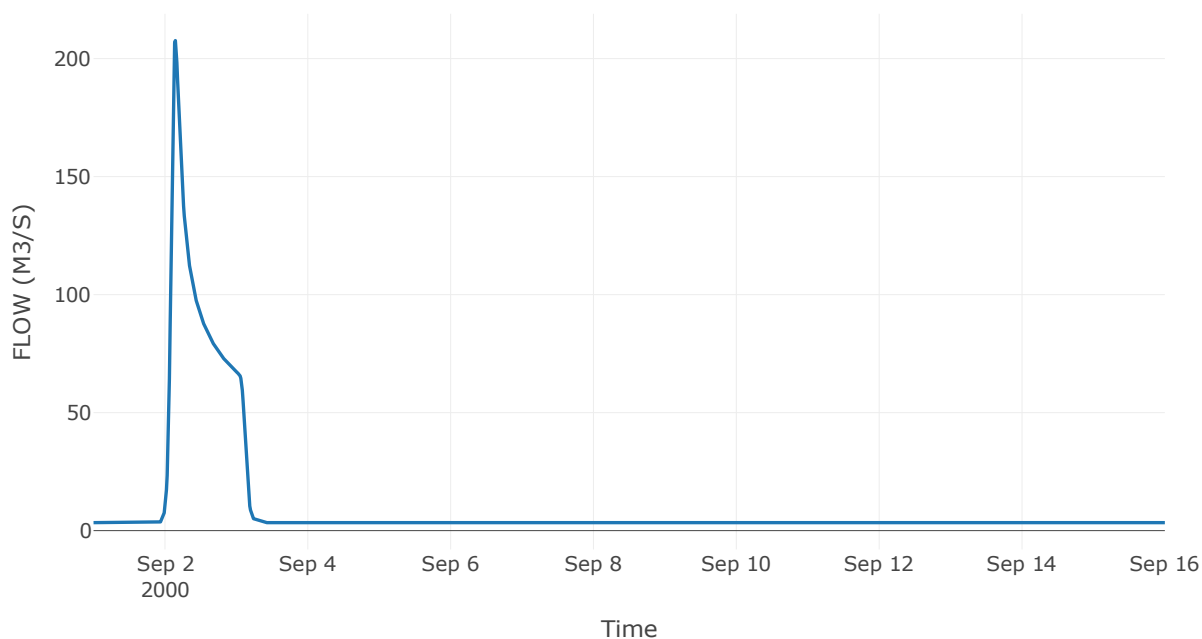
Κατάντη : J11

Μέθοδος Διόδευσης	Muskingum
Αρχική Μεταβλητή	Combined Inflow
Χρόνος Ροής K	1.52
Συντελεστής βάρους x	0.2
Πλήθος Υποκλάδων	6

Αποτελέσματα: R1211

Παροχή Αιχμής(M3/S)	207.63
Χρονική στιγμή αιχμής	02Sep2000, 03:30
Όγκος(MM)	87.05
Παροχή Αιχμής Εισόδου (M3/S)	218.98
Όγκος Εισροής(M3)	1.34E7

Απορροή



Κλάδος: R1312

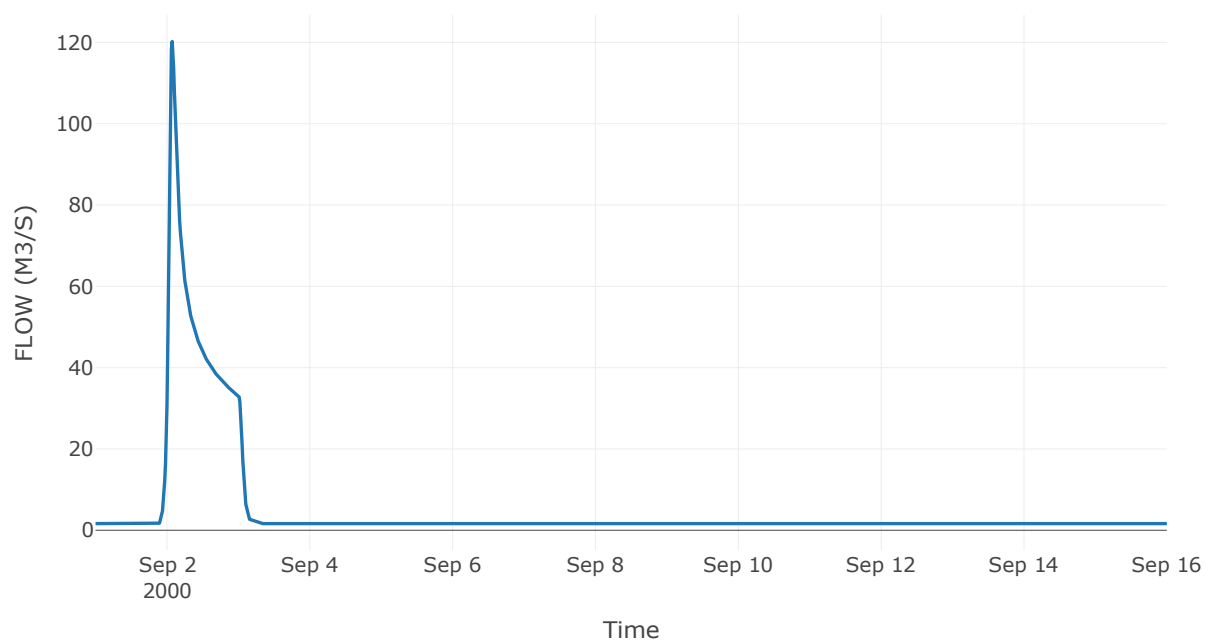
Κατάντη : J12

Μέθοδος Διόδευσης	Χρόνος Υστέρησης
Αρχική Μεταβλητή	Combined Inflow
Χρόνος Υστέρησης	9.62

Αποτελέσματα: R1312

Παροχή Αιχμής(M3/S)	120.21
Χρονική στιγμή αιχμής	02Sep2000, 01:45
Όγκος(MM)	91.56
Παροχή Αιχμής Εισόδου (M3/S)	120.5
Όγκος Εισροής(M3)	6.79E6

Απορροή





Κλάδος: R147

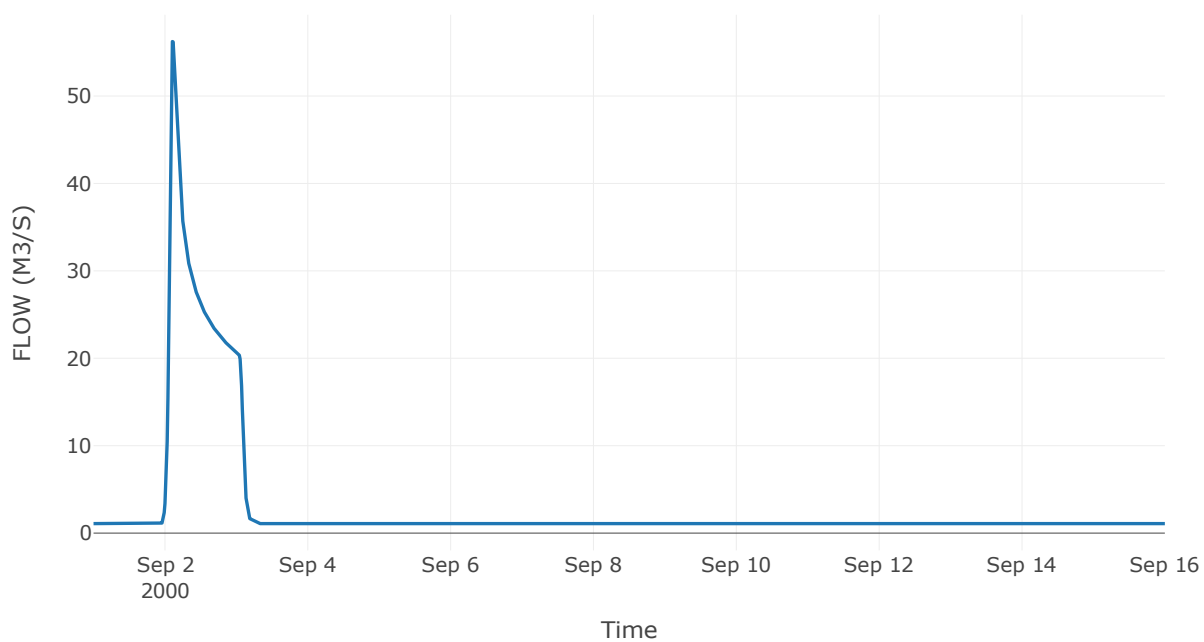
Κατάντη : J7

Μέθοδος Διόδευσης	Χρόνος Υστέρησης
Αρχική Μεταβλητή	Combined Inflow
Χρόνος Υστέρησης	57.57

Αποτελέσματα: R147

Παροχή Αιχμής(M3/S)	56.23
Χρονική στιγμή αιχμής	02Sep2000, 02:30
Όγκος(MM)	79.77
Παροχή Αιχμής Εισόδου (M3/S)	56.46
Όγκος Εισροής(M3)	3.93E6

Απορροή



Κλάδος: R155

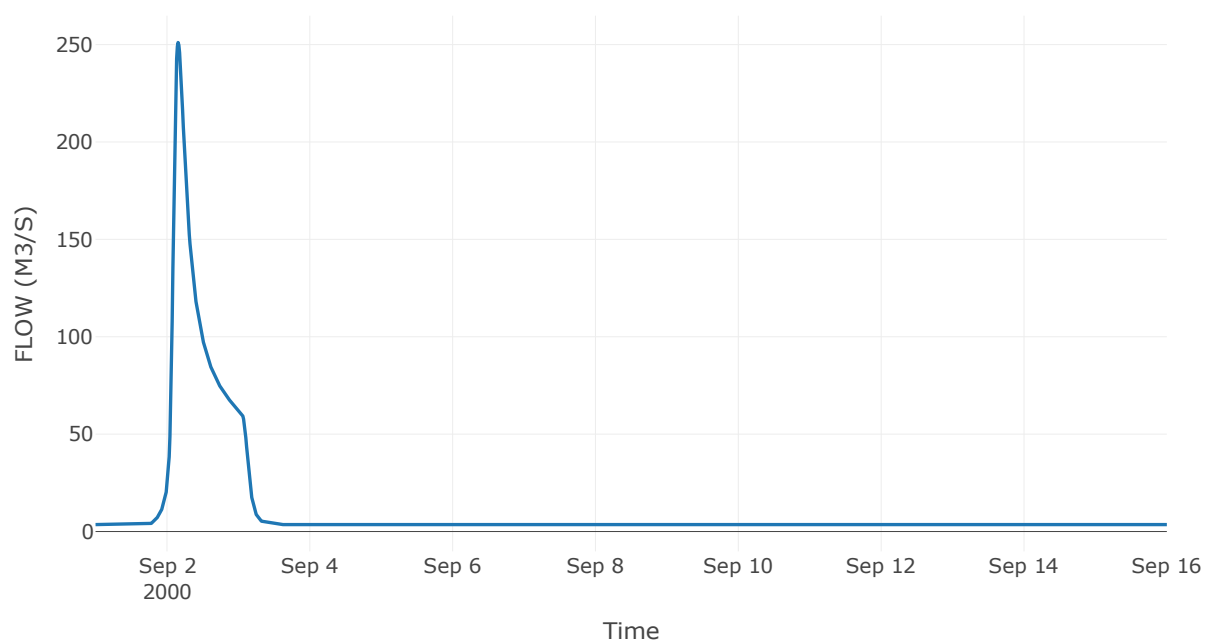
Κατάντη : J5

Μέθοδος Διόδευσης	Muskingum
Αρχική Μεταβλητή	Combined Inflow
Χρόνος Ροής K	1.08
Συντελεστής βάρους x	0.2
Πλήθος Υποκλάδων	5

Αποτελέσματα: R155

Παροχή Αιχμής(M3/S)	251.06
Χρονική στιγμή αιχμής	02Sep2000, 03:45
Όγκος(MM)	92.44
Παροχή Αιχμής Εισόδου (M3/S)	254.81
Όγκος Εισροής(M3)	1.5E7

Απορροή



Κλάδος: R1615

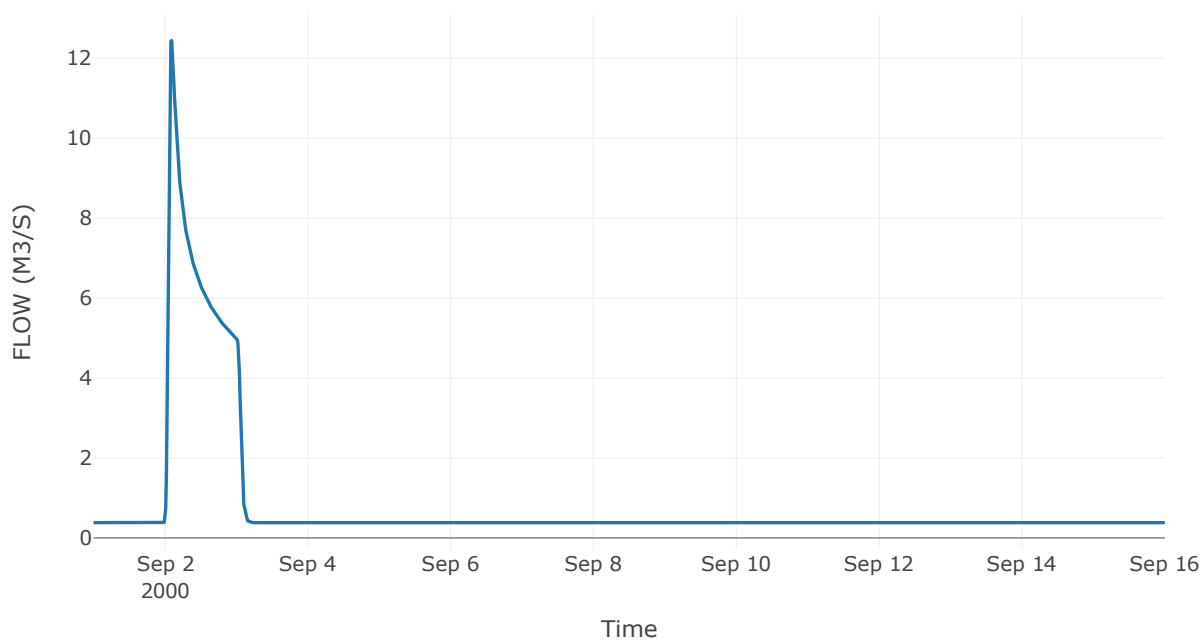
Κατάντη : J15

Μέθοδος Διόδευσης	Muskingum
Αρχική Μεταβλητή	Combined Inflow
Χρόνος Ροής K	0.53
Συντελεστής βάρους x	0.2
Πλήθος Υποκλάδων	2

Αποτελέσματα: R1615

Παροχή Αιχμής(M3/S)	12.44
Χρονική στιγμή αιχμής	02Sep2000, 02:15
Όγκος(MM)	61.71
Παροχή Αιχμής Εισόδου (M3/S)	12.84
Όγκος Εισροής(M3)	1.07E6

Απορροή



Κλάδος: R1715

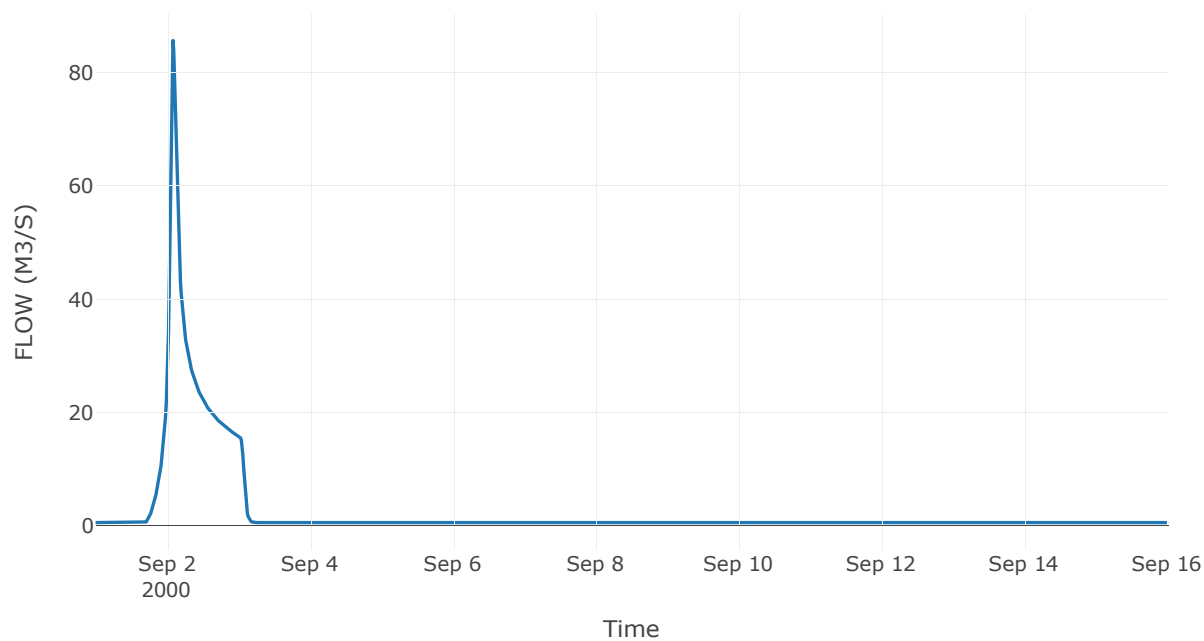
Κατάντη : J15

Μέθοδος Διόδευσης	Muskingum
Αρχική Μεταβλητή	Combined Inflow
Χρόνος Ροής K	0.96
Συντελεστής βάρους x	0.2
Πλήθος Υποκλάδων	4

Αποτελέσματα: R1715

Παροχή Αιχμής(M3/S)	85.71
Χρονική στιγμή αιχμής	02Sep2000, 02:00
Όγκος(MM)	135.06
Παροχή Αιχμής Εισόδου (M3/S)	91.97
Όγκος Εισροής(M3)	3.54E6

Απορροή



Κλάδος: R184

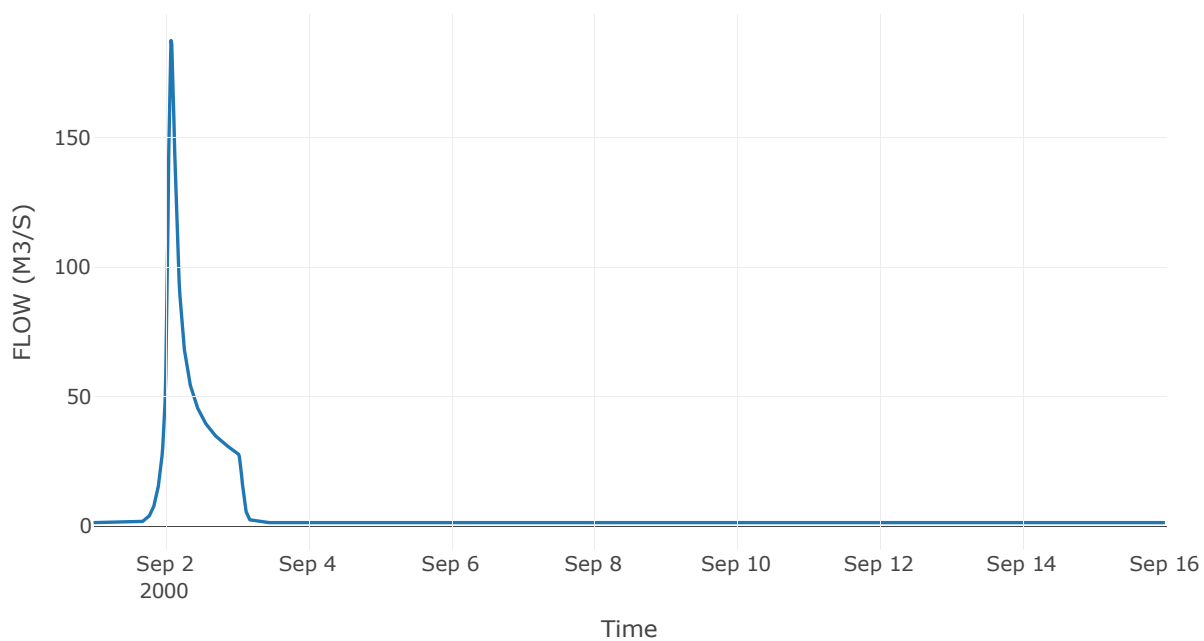
Κατάντη : J4

Μέθοδος Διόδευσης	Muskingum
Αρχική Μεταβλητή	Combined Inflow
Χρόνος Ροής K	0.53
Συντελεστής βάρους x	0.2
Πλήθος Υποκλάδων	2

Αποτελέσματα: R184

Παροχή Αιχμής(M3/S)	187.44
Χρονική στιγμή αιχμής	02Sep2000, 02:00
Όγκος(MM)	121.99
Παροχή Αιχμής Εισόδου (M3/S)	193.46
Όγκος Εισροής(M3)	7.42E6

Απορροή



Κλάδος: R193

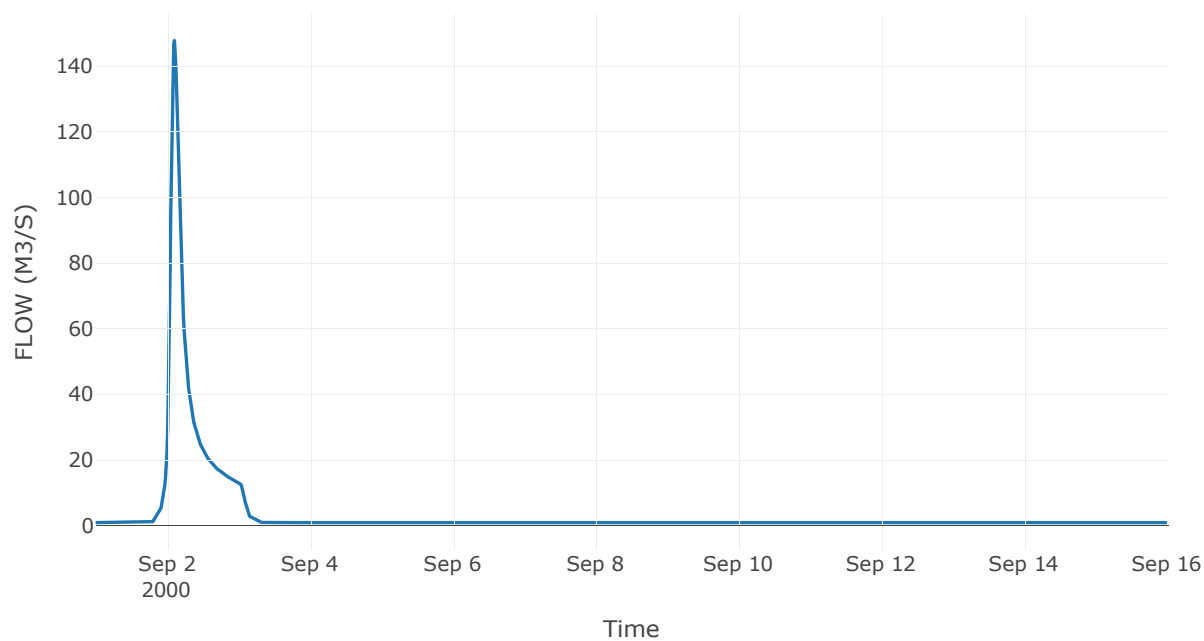
Κατάντη : J3

Μέθοδος Διόδευσης	Muskingum
Αρχική Μεταβλητή	Combined Inflow
Χρόνος Ροής K	0.25
Συντελεστής βάρους x	0.2
Πλήθος Υποκλάδων	1

Αποτελέσματα: R193

Παροχή Αιχμής(M3/S)	147.72
Χρονική στιγμή αιχμής	02Sep2000, 02:30
Όγκος(MM)	119.19
Παροχή Αιχμής Εισόδου (M3/S)	149.05
Όγκος Εισροής(M3)	4.82E6

Απορροή



Κλάδος: R2019

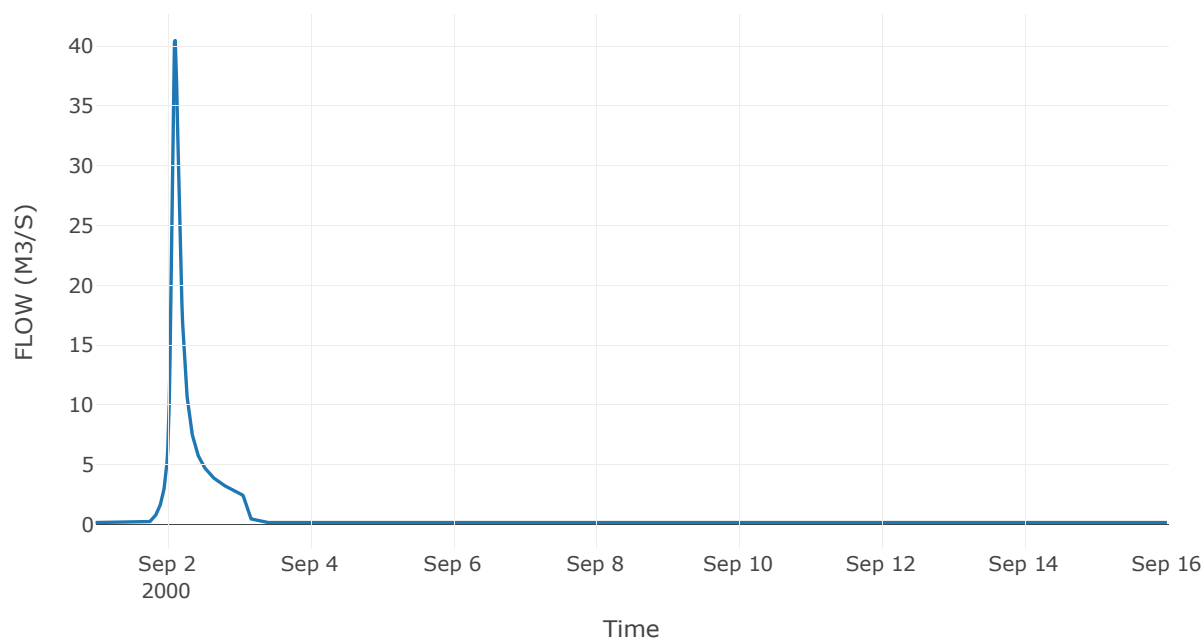
Κατάντη : J19

Μέθοδος Διόδευσης	Muskingum
Αρχική Μεταβλητή	Combined Inflow
Χρόνος Ροής K	0.84
Συντελεστής βάρους x	0.2
Πλήθος Υποκλάδων	4

Αποτελέσματα: R2019

Παροχή Αιχμής(M3/S)	40.45
Χρονική στιγμή αιχμής	02Sep2000, 02:45
Όγκος(MM)	134.98
Παροχή Αιχμής Εισόδου (M3/S)	42.04
Όγκος Εισροής(M3)	1.11E6

Απορροή



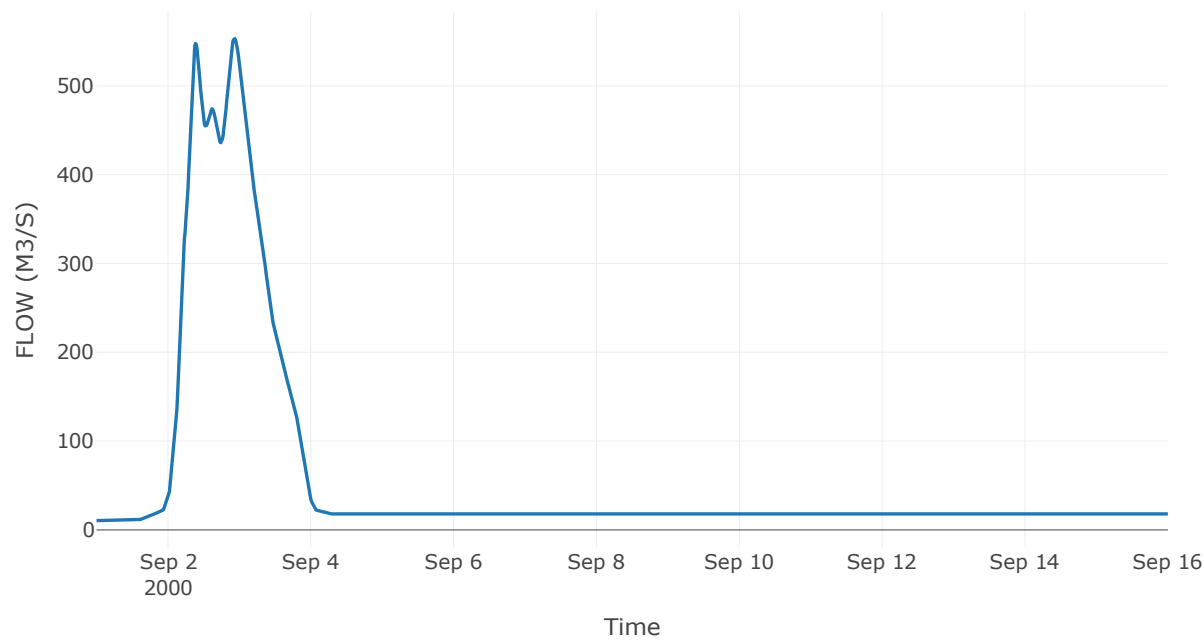
## 6.3 Δεδομένα και υδρογραφήματα σχεδιασμού Κόμβων υδρογραφικού δικτύου

Κόμβος εξόδου: J1

Αποτελέσματ  
α: J1

Παροχή αιχμής (M3/S)	553.27
Χρονική στιγμή αιχμής	02Sep2000, 22:15
Όγκος (MM)	93.32

Απορροή





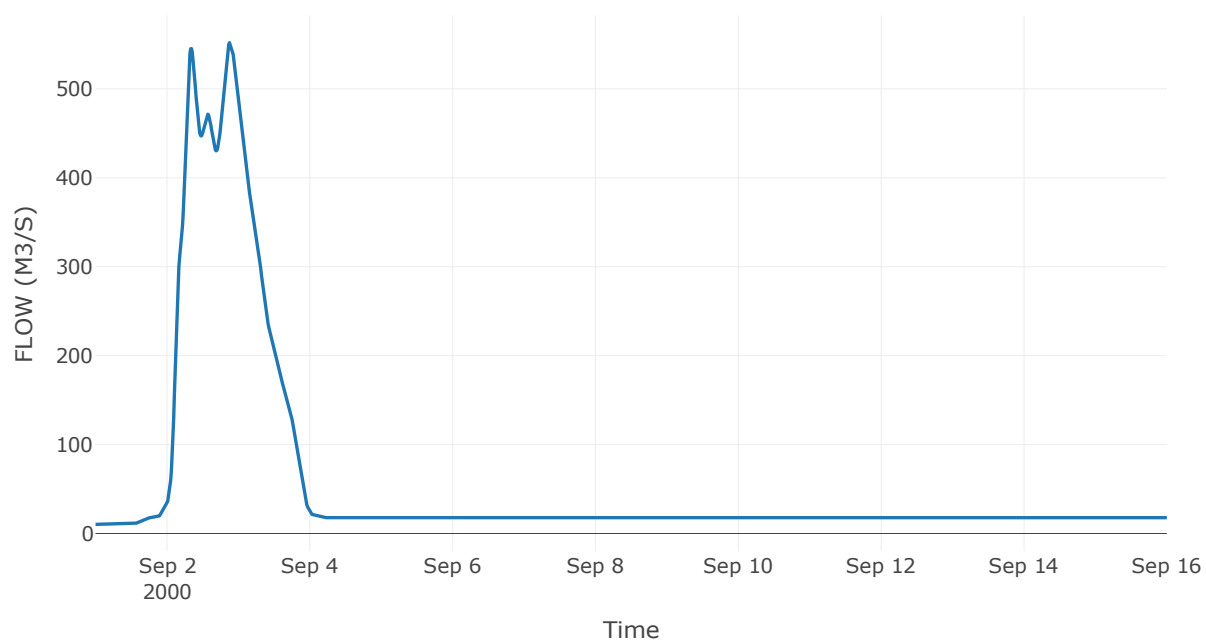
Κόμβος: J2

Κατάντη : R21

Αποτελέσματα: J2

Παροχή Αιχμής(M3/S)	552.35
Χρονική στιγμή αιχμής	02Sep2000, 21:15
Όγκος(MM)	92.93

Απορροή



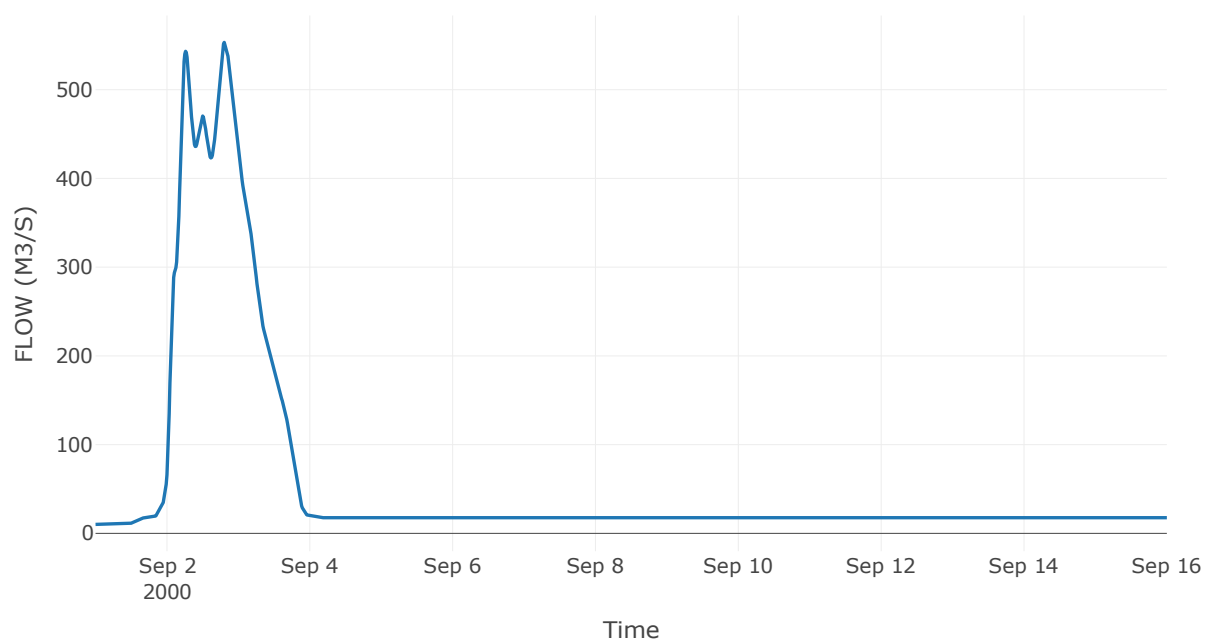
Κόμβος: J3

Κατάντη : R32

Αποτελέσματα: J3

Παροχή Αιχμής(M3/S)	553.39
Χρονική στιγμή αιχμής	02Sep2000, 19:30
Όγκος(MM)	92.55

Απορροή



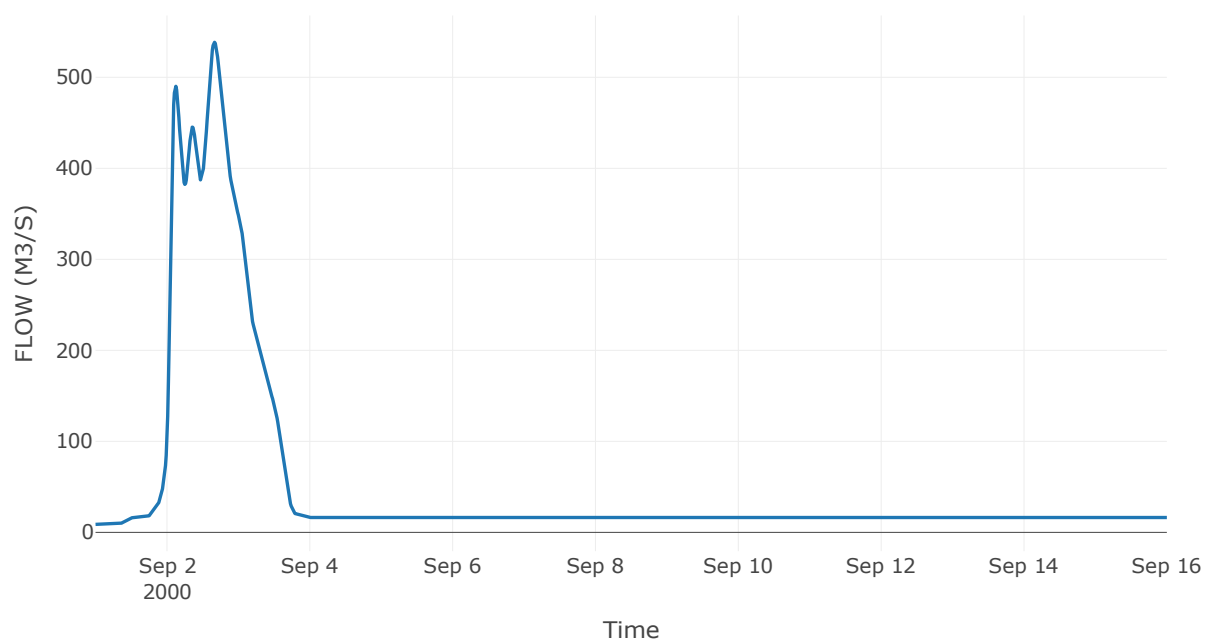
Κόμβος: J4

Κατάντη : R43

Αποτελέσματα: J4

Παροχή Αιχμής(M3/S)	538.52
Χρονική στιγμή αιχμής	02Sep2000, 16:00
Όγκος(MM)	90.46

Απορροή



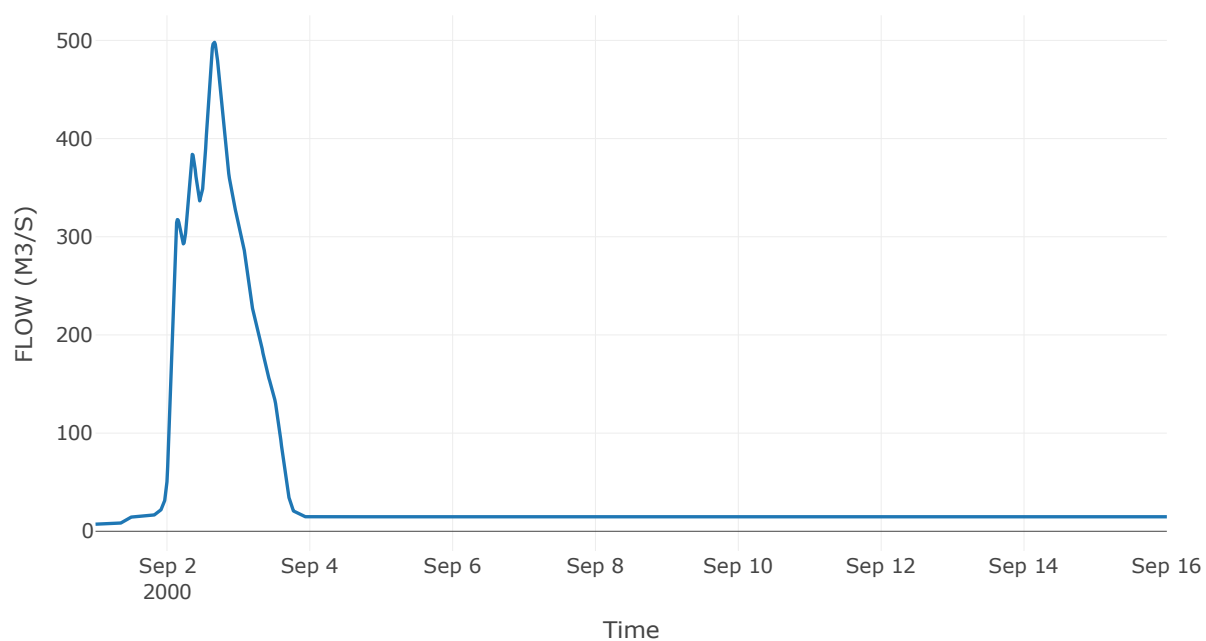
Κόμβος: J5

Κατάντη : R54

Αποτελέσματα: J5

Παροχή Αιχμής(M3/S)	498.27
Χρονική στιγμή αιχμής	02Sep2000, 15:45
Όγκος(MM)	86.96

Απορροή



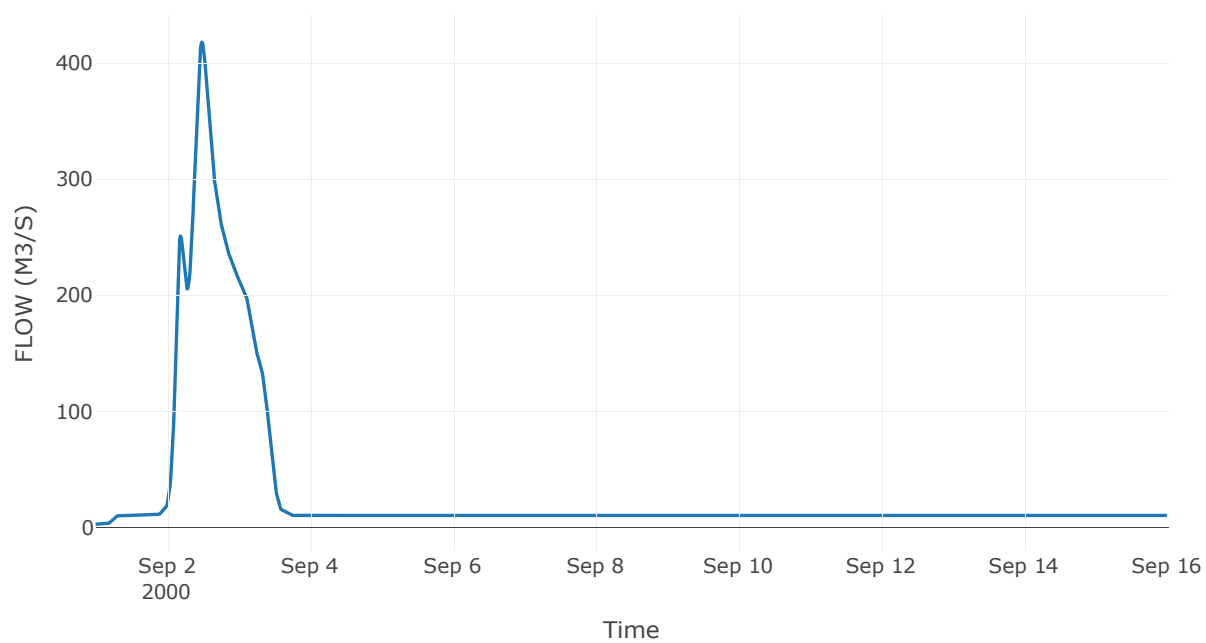
Κόμβος: J6

Κατάντη : R65

Αποτελέσματα: J6

Παροχή Αιχμής(M3/S)	417.84
Χρονική στιγμή αιχμής	02Sep2000, 11:45
Όγκος(MM)	85.05

Απορροή



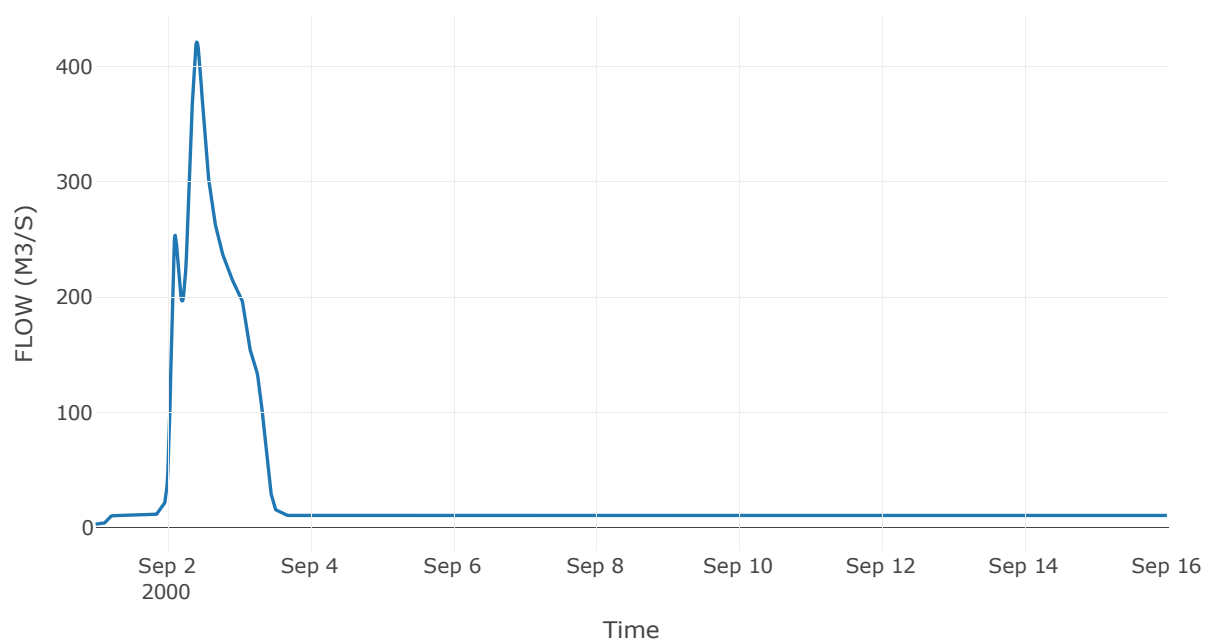
Κόμβος: J7

Κατάντη : R76

Αποτελέσματα: J7

Παροχή Αιχμής(M3/S)	421.25
Χρονική στιγμή αιχμής	02Sep2000, 10:00
Όγκος(MM)	84.82

Απορροή



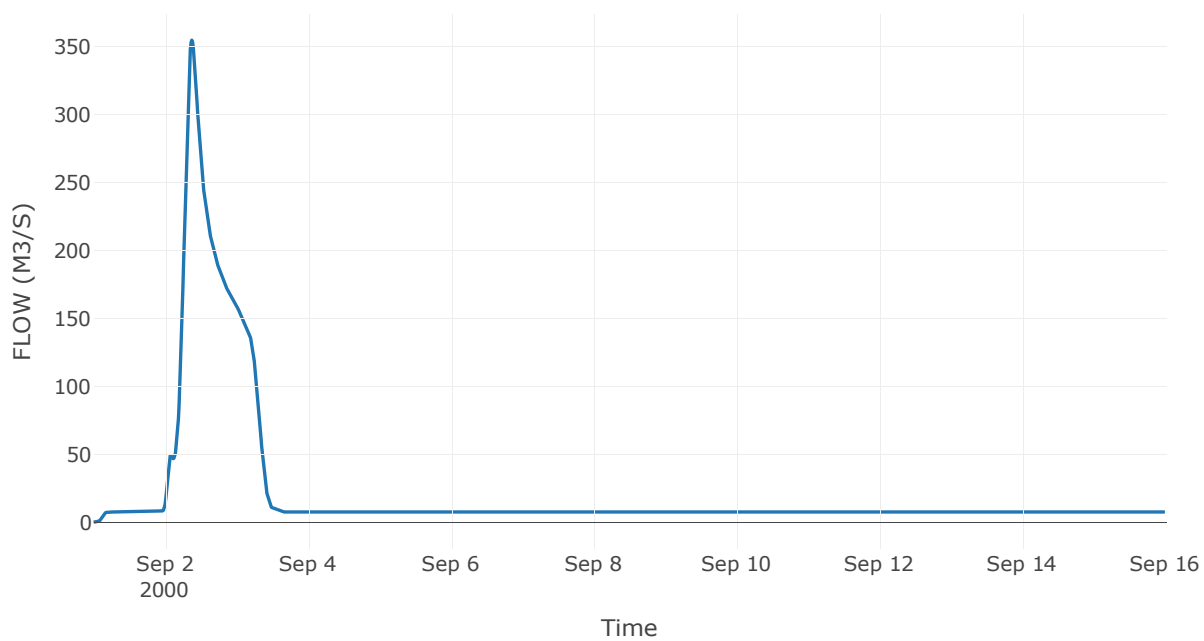
Κόμβος: J8

Κατάντη : R87

Αποτελέσματα: J8

Παροχή Αιχμής(M3/S)	354.95
Χρονική στιγμή αιχμής	02Sep2000, 09:00
Όγκος(MM)	82.35

Απορροή



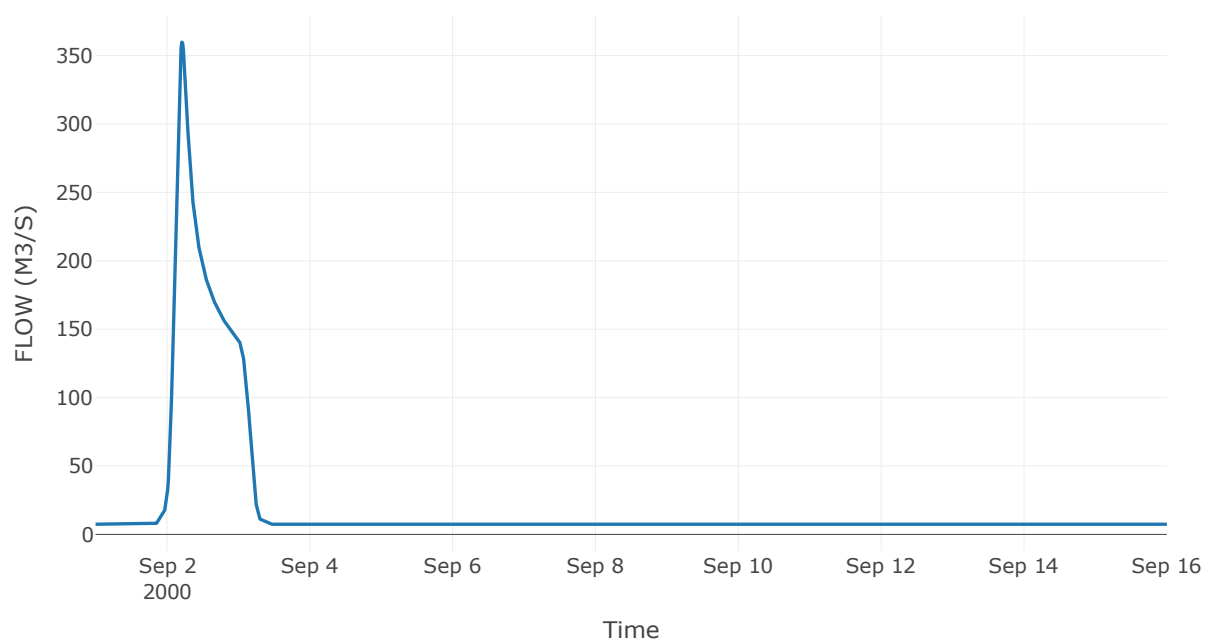
Κόμβος: J9

Κατάντη : R921

Αποτελέσματα: J9

Παροχή Αιχμής(M3/S)	359.82
Χρονική στιγμή αιχμής	02Sep2000, 05:00
Όγκος(MM)	83.02

Απορροή





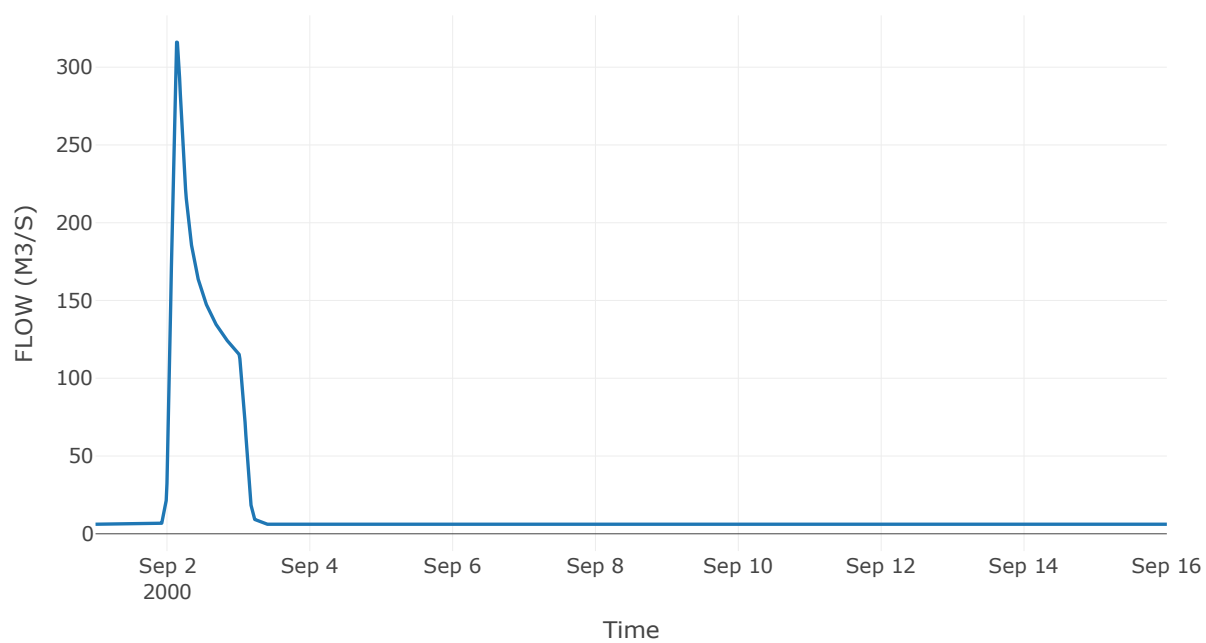
Κόμβος: J10

Κατάντη : R109

Αποτελέσματα: J10

Παροχή Αιχμής(M3/S)	316.1
Χρονική στιγμή αιχμής	02Sep2000, 03:15
Όγκος(MM)	82.45

Απορροή



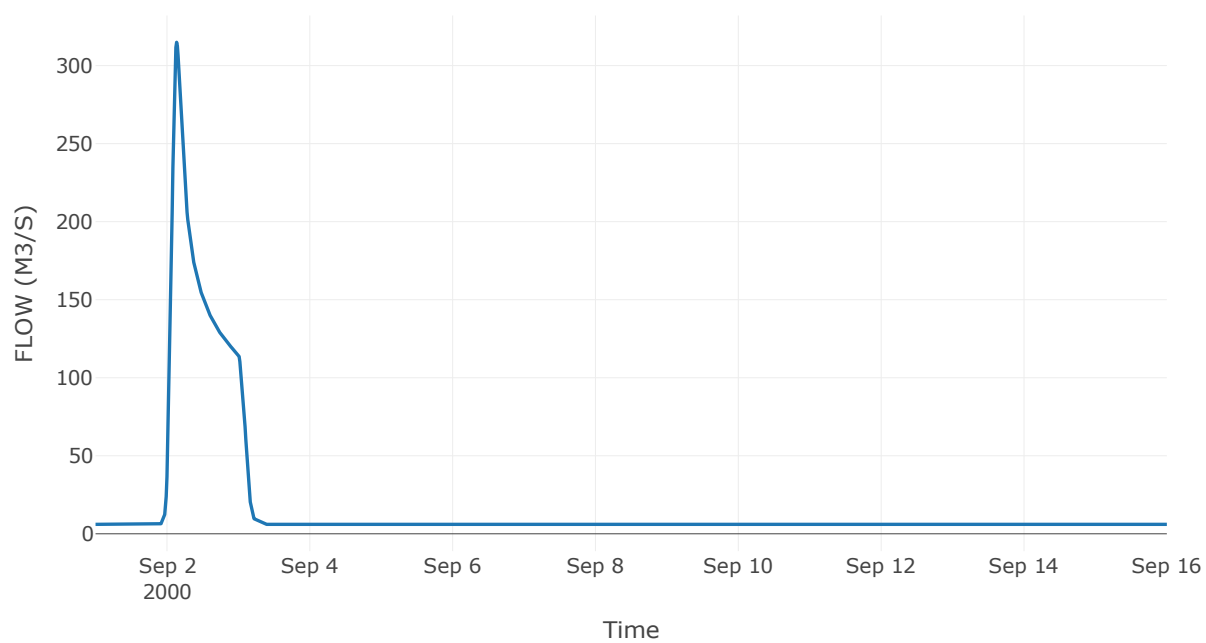
Κόμβος: J11

Κατάντη : R1110

Αποτελέσματα: J11

Παροχή Αιχμής(M3/S)	314.93
Χρονική στιγμή αιχμής	02Sep2000, 03:15
Όγκος(MM)	82.68

Απορροή



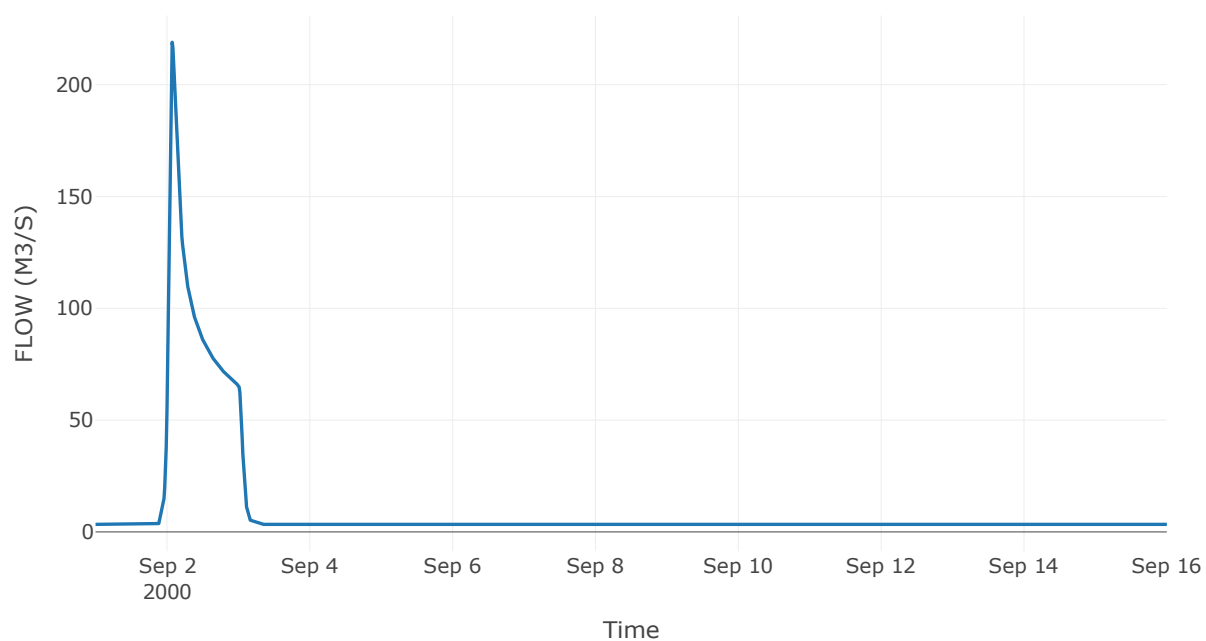
Κόμβος: J12

Κατάντη : R1211

Αποτελέσματα: J12

Παροχή Αιχμής(M3/S)	218.98
Χρονική στιγμή αιχμής	02Sep2000, 01:45
Όγκος(MM)	87.05

Απορροή



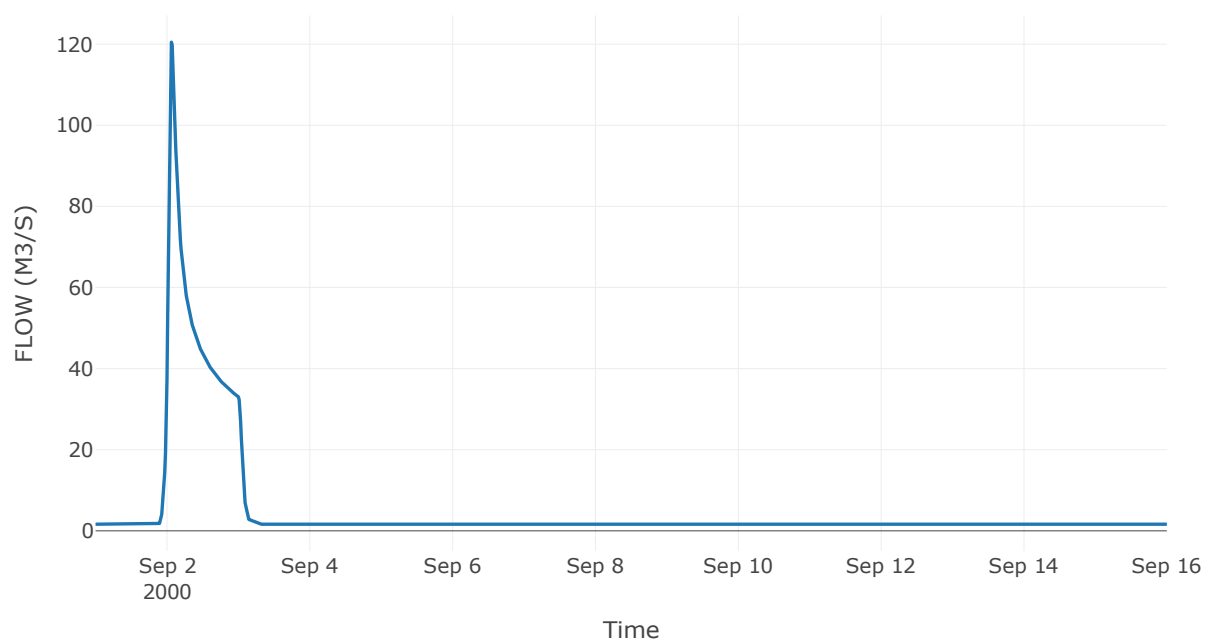
Κόμβος: J13

Κατάντη : R1312

Αποτελέσματα: J13

Παροχή Αιχμής(M3/S)	120.5
Χρονική στιγμή αιχμής	02Sep2000, 01:30
Όγκος(MM)	91.56

Απορροή



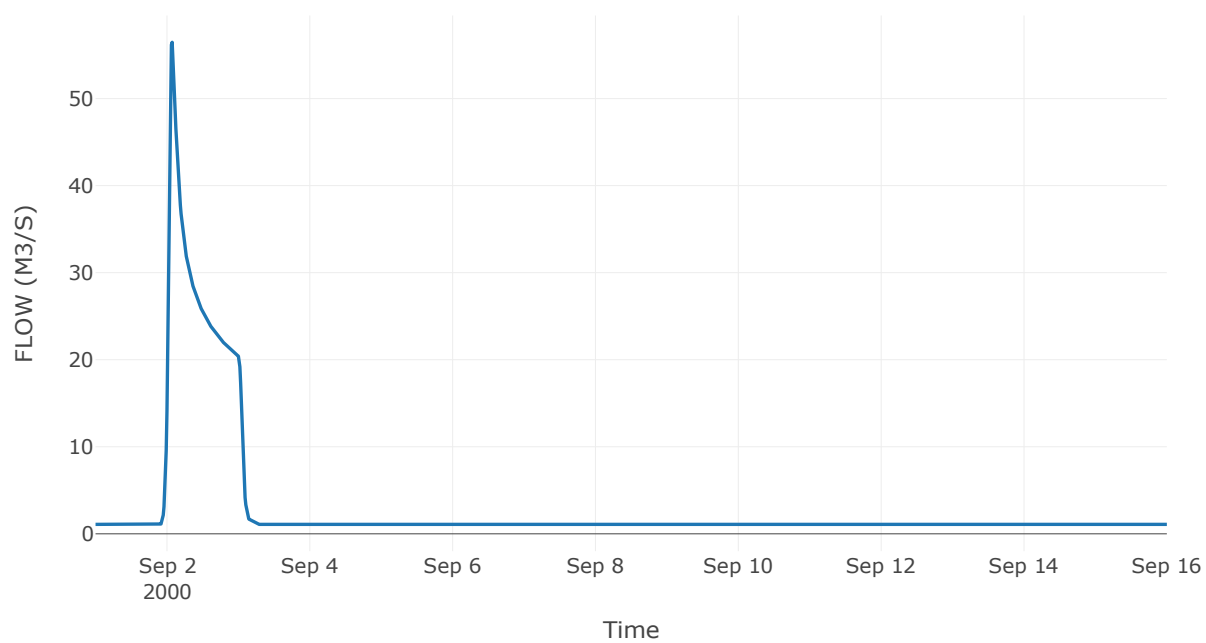
Κόμβος: J14

Κατάντη : R147

Αποτελέσματα: J14

Παροχή Αιχμής(M3/S)	56.46
Χρονική στιγμή αιχμής	02Sep2000, 01:45
Όγκος(MM)	79.77

Απορροή



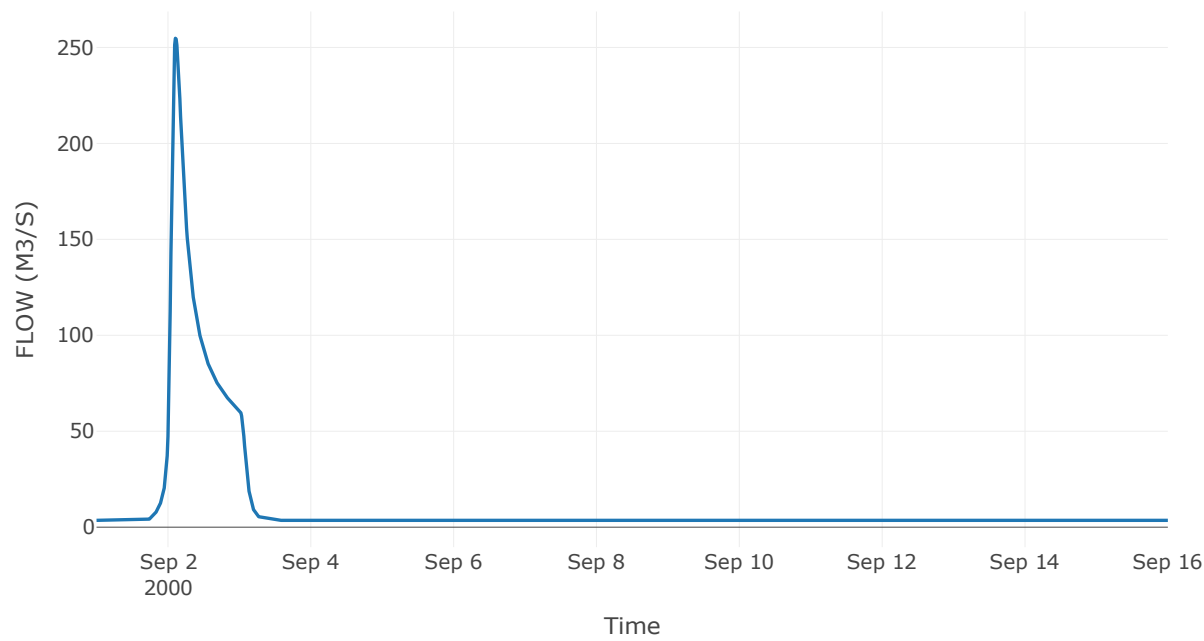
Κόμβος: J15

Κατάντη : R155

Αποτελέσματα: J15

Παροχή Αιχμής(M3/S)	254.81
Χρονική στιγμή αιχμής	02Sep2000, 02:30
Όγκος(MM)	92.44

Απορροή



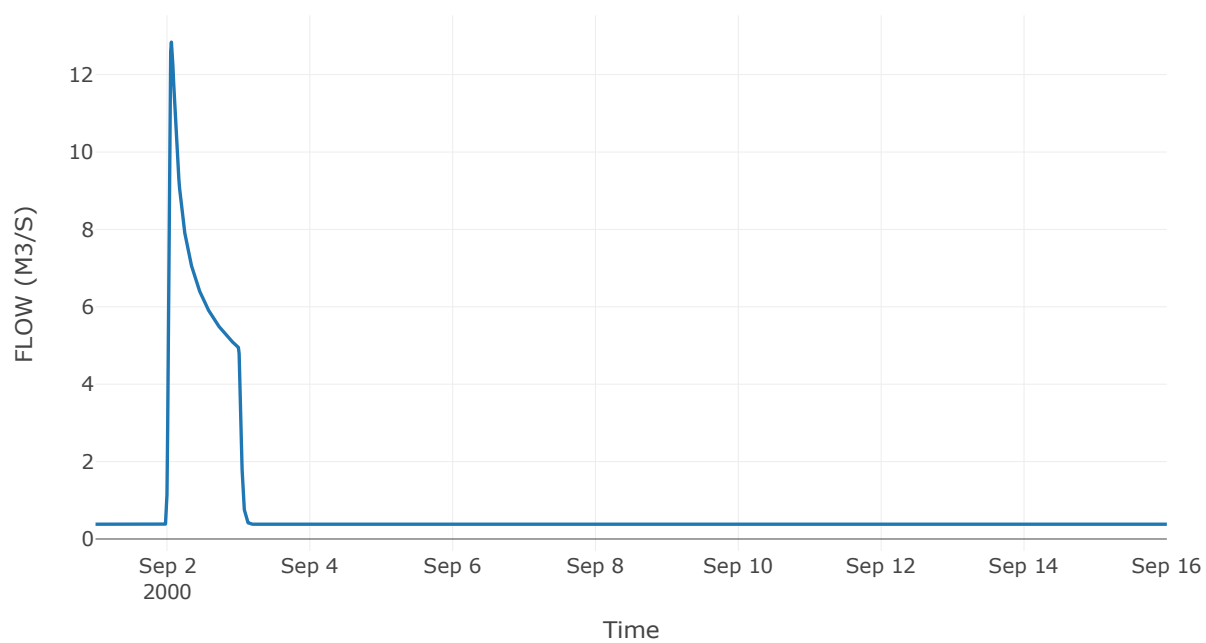
Κόμβος: J16

Κατάντη : R1615

Αποτελέσματα: J16

Παροχή Αιχμής(M3/S)	12.84
Χρονική στιγμή αιχμής	02Sep2000, 01:30
Όγκος(MM)	61.71

Απορροή



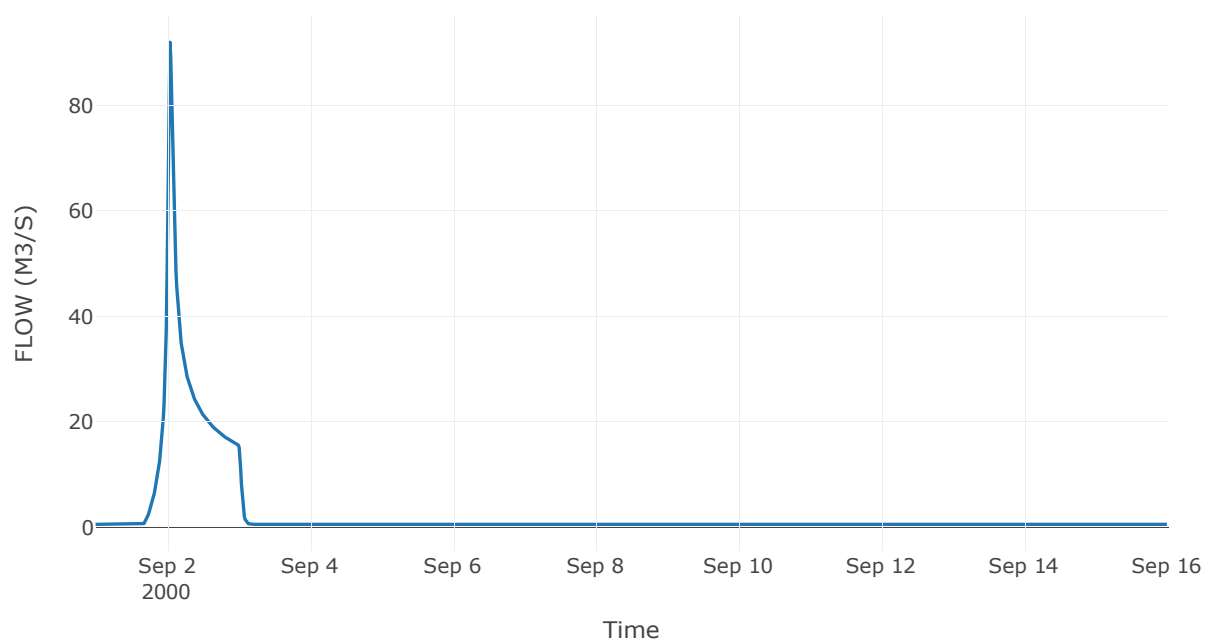
Κόμβος: J17

Κατάντη : R1715

Αποτελέσματα: J17

Παροχή Αιχμής(M3/S)	91.97
Χρονική στιγμή αιχμής	02Sep2000, 01:00
Όγκος(MM)	135.06

Απορροή





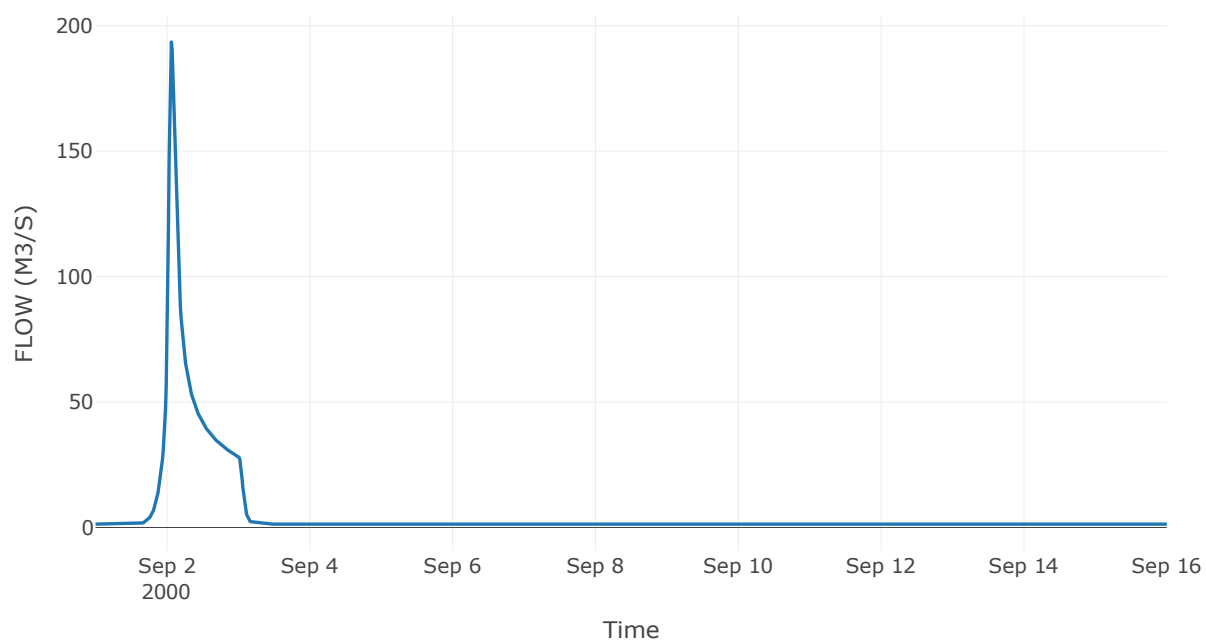
Κόμβος: J18

Κατάντη : R184

Αποτελέσματα: J18

Παροχή Αιχμής(M3/S)	193.46
Χρονική στιγμή αιχμής	02Sep2000, 01:30
Όγκος(MM)	121.99

Απορροή



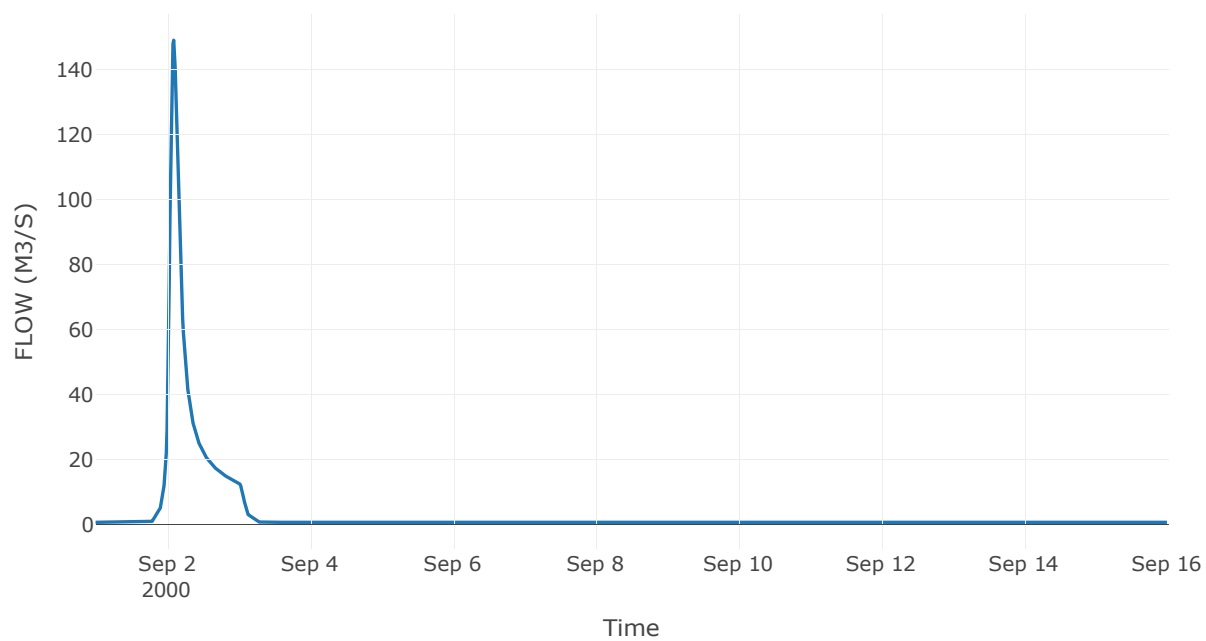
Κόμβος: J19

Κατάντη : R193

Αποτελέσματα: J19

Παροχή Αιχμής(M3/S)	149.05
Χρονική στιγμή αιχμής	02Sep2000, 02:15
Όγκος(MM)	119.19

Απορροή



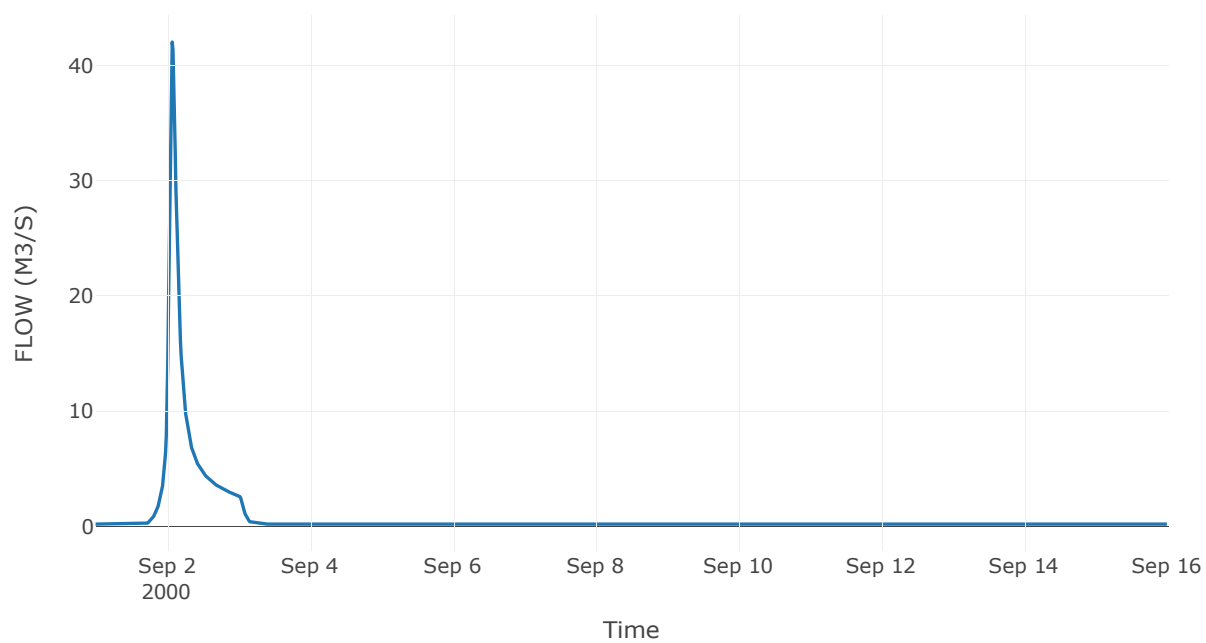
Κόμβος: J20

Κατάντη : R2019

Αποτελέσματα: J20

Παροχή Αιχμής(M3/S)	42.04
Χρονική στιγμή αιχμής	02Sep2000, 01:45
Όγκος(MM)	134.98

Απορροή



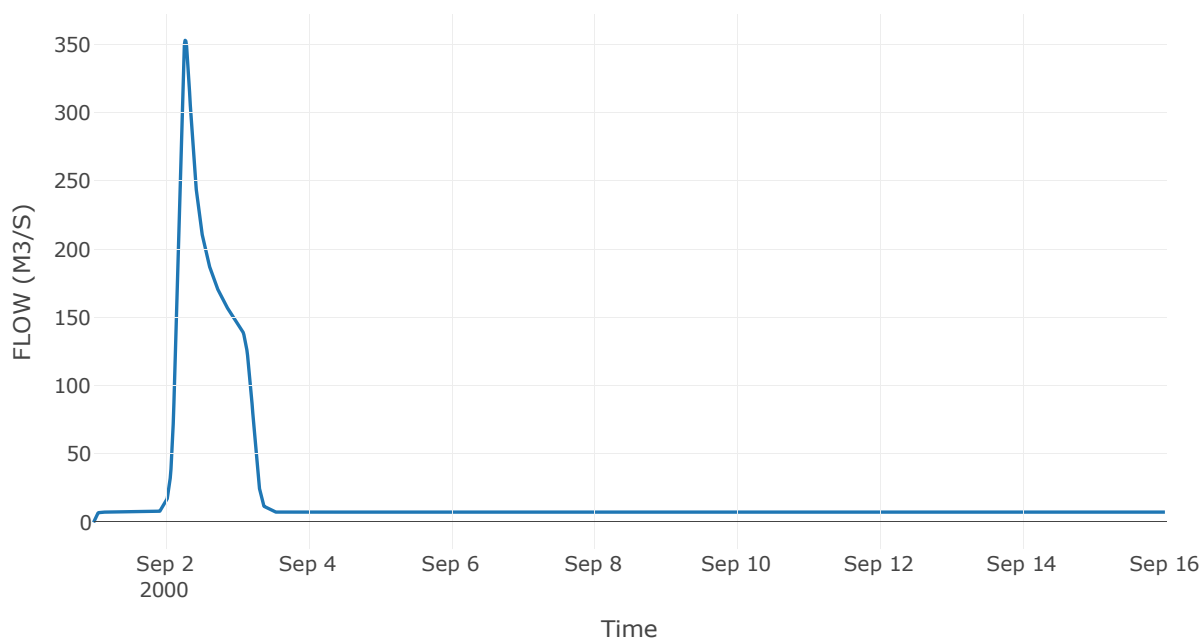
Ταμιευτήρας: J21\_RES1

Κατάντη : R218

Αποτελέσματα: J21\_RES1

Παροχή Αιχμής(M3/S)	353.12
Χρονική στιγμή αιχμής	02Sep2000, 06:45
Όγκος(MM)	82.58
Παροχή Αιχμής Εισόδου (M3/S)	353.94
Χρονική Στιγμή Αιχμής της Εισροής	02Sep2000, 06:45
Όγκος Εισροής (M3)	2.83E7
Μέγιστη Αποθηκευτικότητα(M3)	1.36E6
Μέγιστη Στάθμη (M)	97.79
Όγκος Απορροής(M3)	2.83E7

Απορροή



## **7    Δεδομένα εισόδου και αποτελέσματα υδρολογικού σεναρίου T=100U**

## 7.1 Αποτελέσματα, υετογραφήματα και υδρογραφήματα σχεδιασμού υπολεκανών

Υπολεκάνη: EL0513FR5001

Έκταση (KM2) : 9.83

Κατάνη : J1

Μέθοδος Απωλειών: SCS

Ποσοστό αδιαπέρατης επιφάνειας	0
Αριθμός Καμπύλης Απορροής-CN	91.34
Αρχικές Απώλειες	4.82

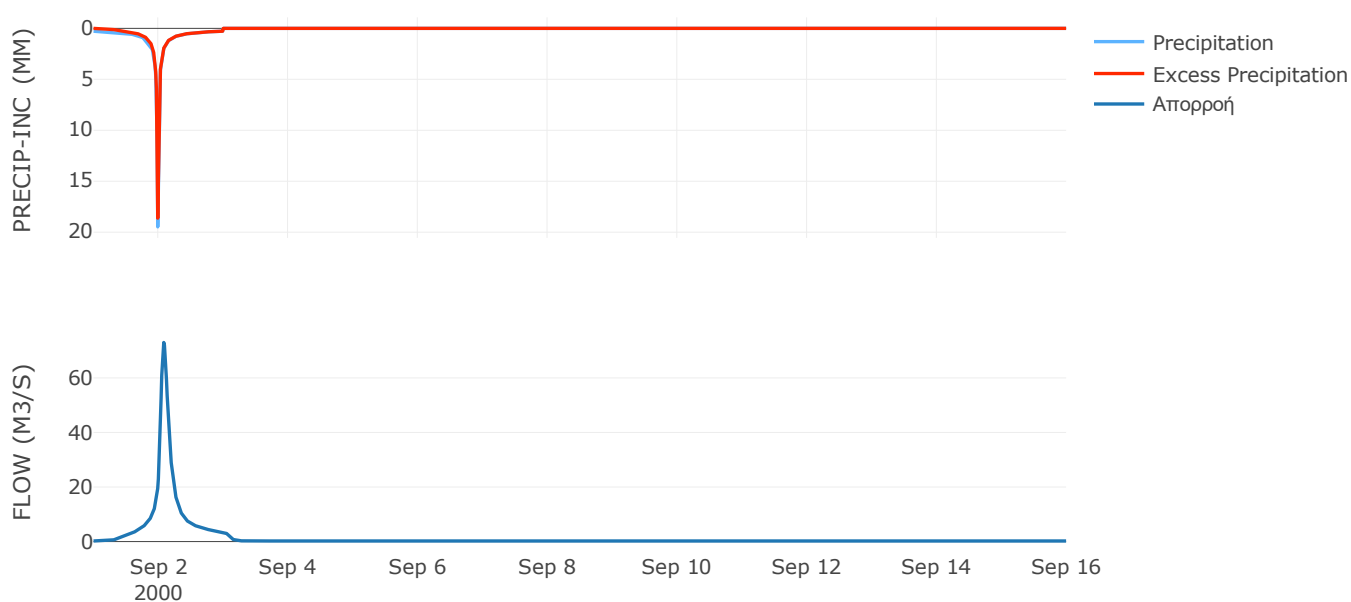
Μέθοδος  
Μετασχηματισμού: SCS

Χρόνος Υστέρησης	118.45
------------------	--------

Αποτελέσματα:  
EL0513FR5001

Παροχή αιχμής (M3/S)	72.98
Χρονική στιγμή αιχμής	02Sep2000, 02:00
Όγκος (MM)	203.73
Όγκος βροχόπτωσης (M3)	1.98E6
Όγκος απωλειών (M3)	2.58E5
Ενεργός Όγκος (M3)	1.72E6
Όγκος άμεσης απορροής (M3)	1.72E6
Όγκος βασικής απορροής (M3)	2.8E5

Βροχόπτωση και Απορροή



Υπολεκάνη: EL0513FR5002

Έκταση (KM2) : 6.79

Κατάνη : J2

Μέθοδος Απωλειών: SCS

Ποσοστό αδιαπέρατης επιφάνειας	0
Αριθμός Καμπύλης Απορροής-CN	92.38
Αρχικές Απώλειες	4.19

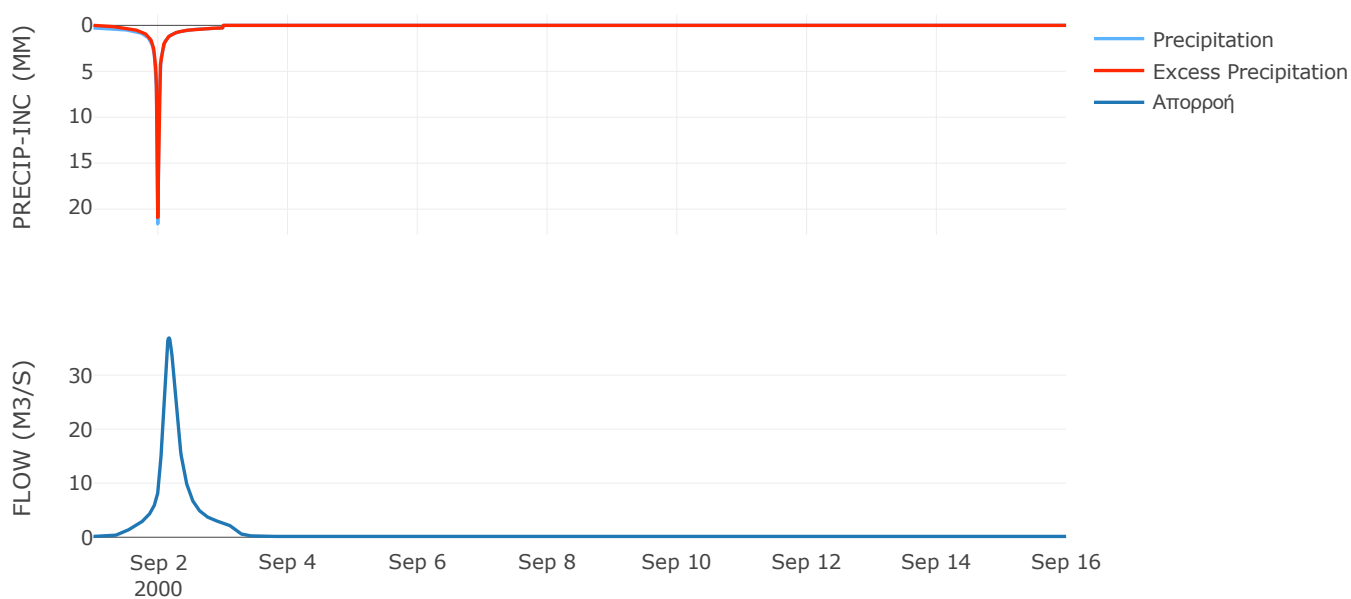
Μέθοδος  
Μετασχηματισμού: SCS

Χρόνος Υστέρησης	228.14
------------------	--------

Αποτελέσματα:  
EL0513FR5002

Παροχή αιχμής (M3/S)	36.87
Χρονική στιγμή αιχμής	02Sep2000, 04:00
Όγκος (MM)	215.68
Όγκος βροχόπτωσης (M3)	1.43E6
Όγκος απωλειών (M3)	1.58E5
Ενεργός Όγκος (M3)	1.27E6
Όγκος άμεσης απορροής (M3)	1.27E6
Όγκος βασικής απορροής (M3)	1.93E5

Βροχόπτωση και Απορροή





Υπολεκάνη: EL0513FR5003

Έκταση (KM2) : 2.79

Κατάντη : J3

Μέθοδος Απωλειών: SCS

Ποσοστό αδιαπέρατης επιφάνειας	0
Αριθμός Καμπύλης Απορροής-CN	90.97
Αρχικές Απώλειες	5.04

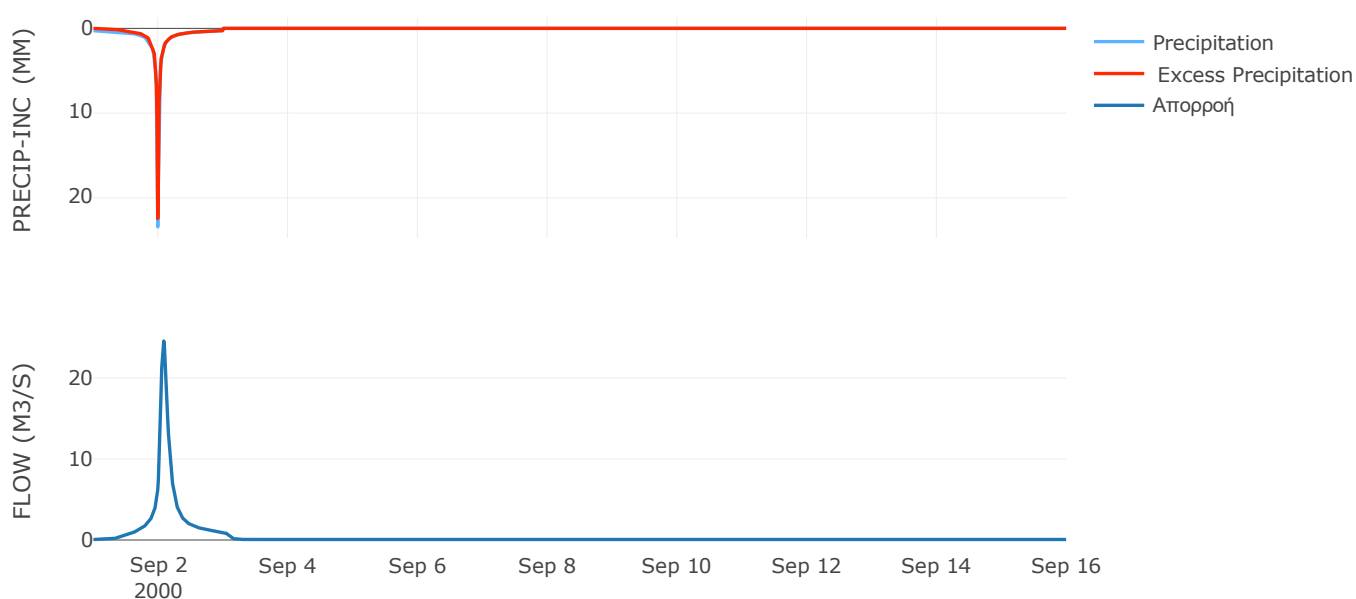
Μέθοδος  
Μετασχηματισμού: SCS

Χρόνος Υστέρησης	111.92
------------------	--------

Αποτελέσματα:  
EL0513FR5003

Παροχή αιχμής (M3/S)	24.58
Χρονική στιγμή αιχμής	02Sep2000, 02:00
Όγκος (MM)	217.36
Όγκος βροχόπτωσης (M3)	6.05E5
Όγκος απωλειών (M3)	77026.97
Ενεργός Όγκος (M3)	5.28E5
Όγκος άμεσης απορροής (M3)	5.28E5
Όγκος βασικής απορροής (M3)	79688.45

Βροχόπτωση και Απορροή



Υπολεκάνη: EL0513FR5004

Έκταση (KM2) : 17.16

Κατάνη : J3

Μέθοδος Απωλειών: SCS

Ποσοστό αδιαπέρατης επιφάνειας	0
Αριθμός Καμπύλης Απορροής-CN	85.53
Αρχικές Απώλειες	8.6

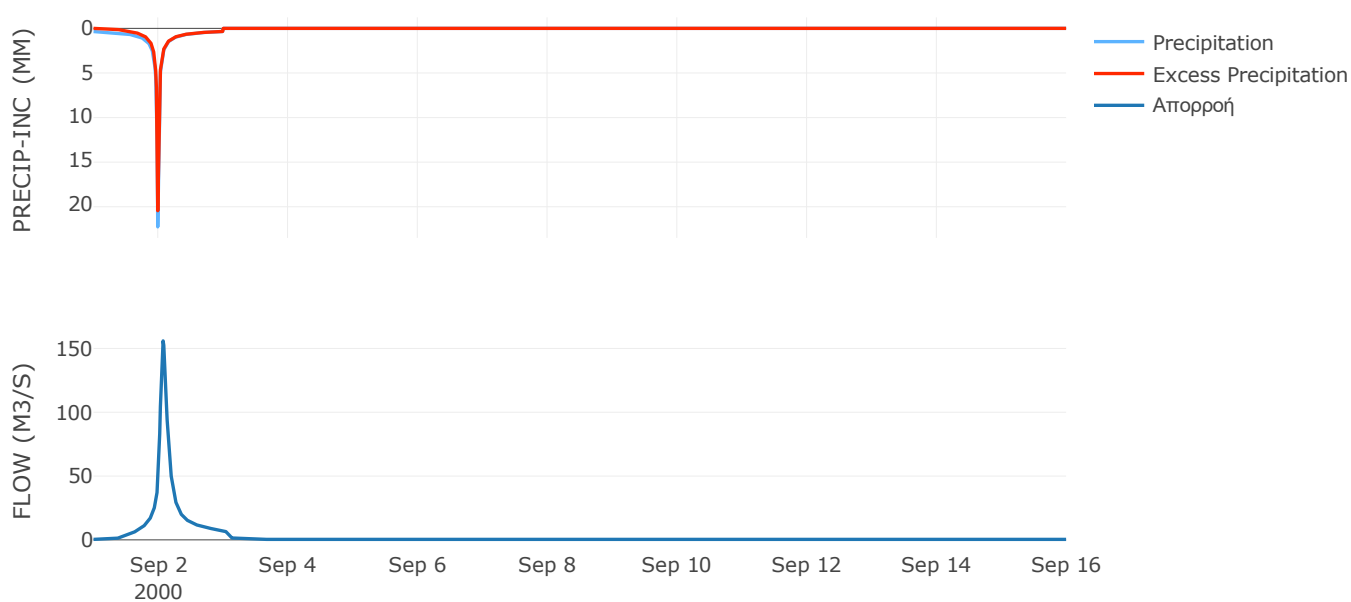
Μέθοδος  
Μετασχηματισμού: SCS

Χρόνος Υστέρησης	101
------------------	-----

Αποτελέσματα:  
EL0513FR5004

Παροχή αιχμής (M3/S)	155.94
Χρονική στιγμή αιχμής	02Sep2000, 01:45
Όγκος (MM)	227.81
Όγκος βροχόπτωσης (M3)	4.19E6
Όγκος απωλειών (M3)	7.71E5
Ενεργός Όγκος (M3)	3.42E6
Όγκος άμεσης απορροής (M3)	3.42E6
Όγκος βασικής απορροής (M3)	4.89E5

Βροχόπτωση και Απορροή



Υπολεκάνη: EL0513FR5005

Έκταση (KM2) : 3.13

Κατάντη : J4

Μέθοδος Απωλειών: SCS

Ποσοστό αδιαπέρατης επιφάνειας	0
Αριθμός Καμπύλης Απορροής-CN	90.3
Αρχικές Απώλειες	5.46

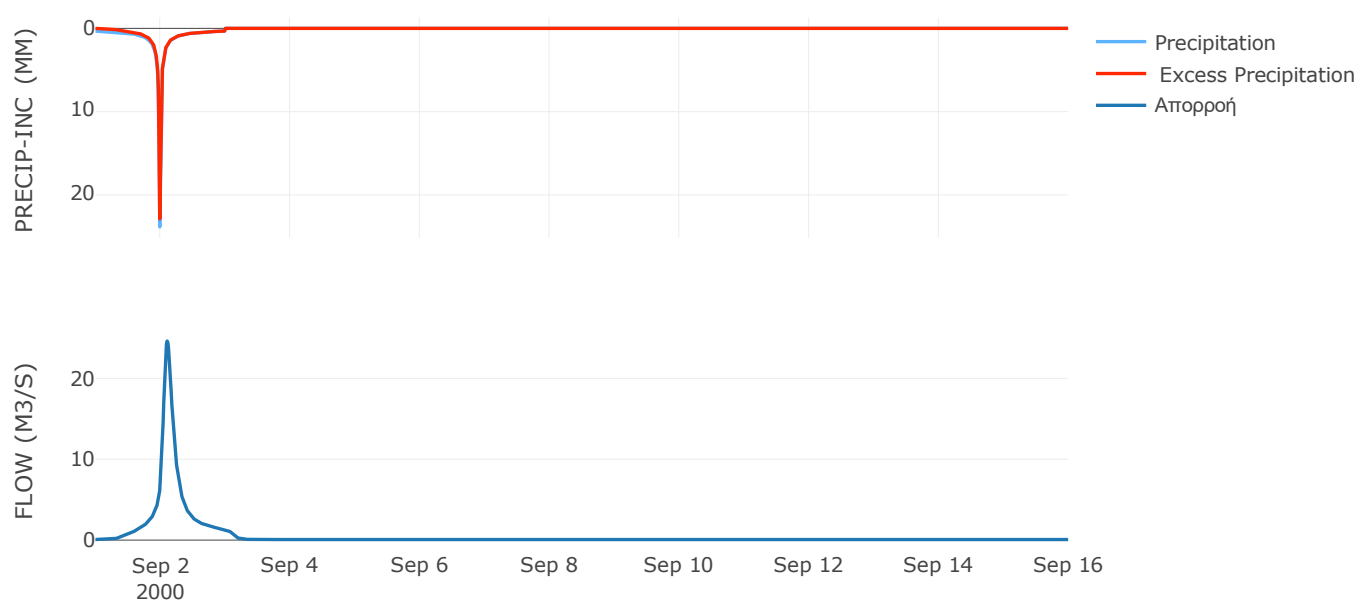
Μέθοδος  
Μετασχηματισμού: SCS

Χρόνος Υστέρησης	149.33
------------------	--------

Αποτελέσματα:  
EL0513FR5005

Παροχή αιχμής (M3/S)	24.63
Χρονική στιγμή αιχμής	02Sep2000, 02:30
Όγκος (MM)	239.39
Όγκος βροχόπτωσης (M3)	7.53E5
Όγκος απωλειών (M3)	93496.84
Ενεργός Όγκος (M3)	6.59E5
Όγκος άμεσης απορροής (M3)	6.59E5
Όγκος βασικής απορροής (M3)	89137.58

Βροχόπτωση και Απορροή



Υπολεκάνη: EL0513FR5006

Έκταση (KM2) : 19.6

Κατάντη : J5

Μέθοδος Απωλειών: SCS

Ποσοστό αδιαπέρατης επιφάνειας	0
Αριθμός Καμπύλης Απορροής-CN	83.16
Αρχικές Απώλειες	10.29

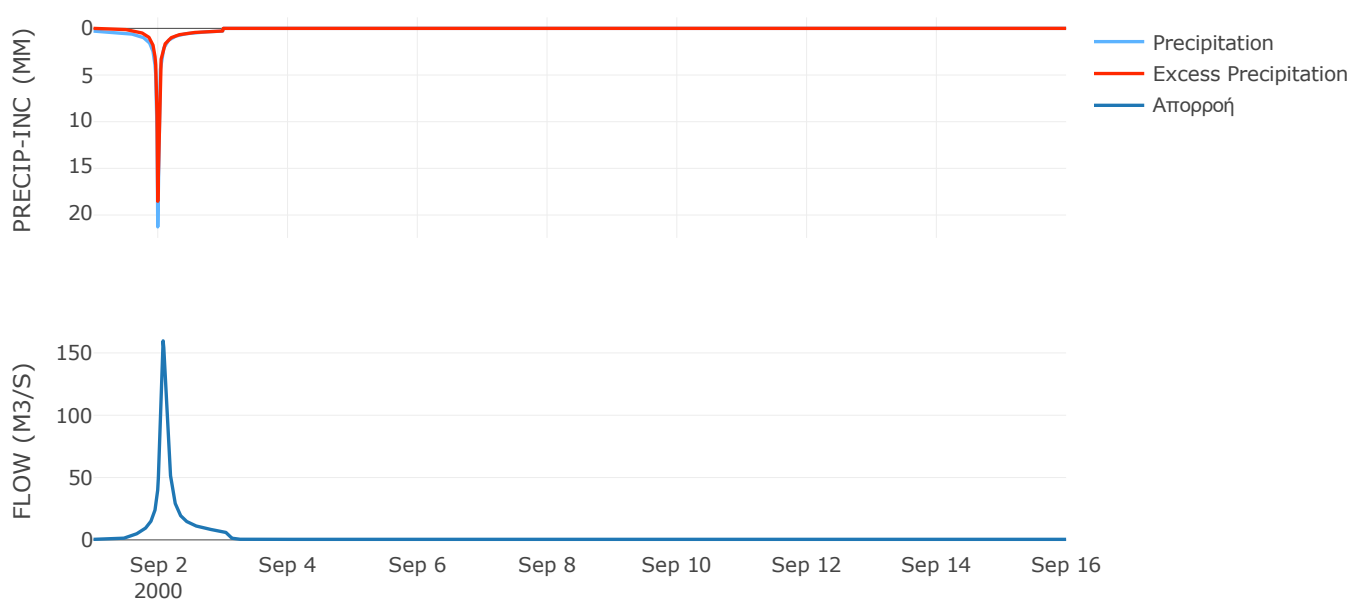
Μέθοδος  
Μετασχηματισμού: SCS

Χρόνος Υστέρησης	96.46
------------------	-------

Αποτελέσματα:  
EL0513FR5006

Παροχή αιχμής (M3/S)	159.7
Χρονική στιγμή αιχμής	02Sep2000, 01:45
Όγκος (MM)	192.14
Όγκος βροχόπτωσης (M3)	4.21E6
Όγκος απωλειών (M3)	1.01E6
Ενεργός Όγκος (M3)	3.21E6
Όγκος άμεσης απορροής (M3)	3.21E6
Όγκος βασικής απορροής (M3)	5.59E5

Βροχόπτωση και Απορροή



Υπολεκάνη: EL0513FR5007

Έκταση (KM2) : 4.2

Κατάντη : J6

Μέθοδος Απωλειών: SCS

Ποσοστό αδιαπέρατης επιφάνειας	0
Αριθμός Καμπύλης Απορροής-CN	89.68
Αρχικές Απώλειες	5.85

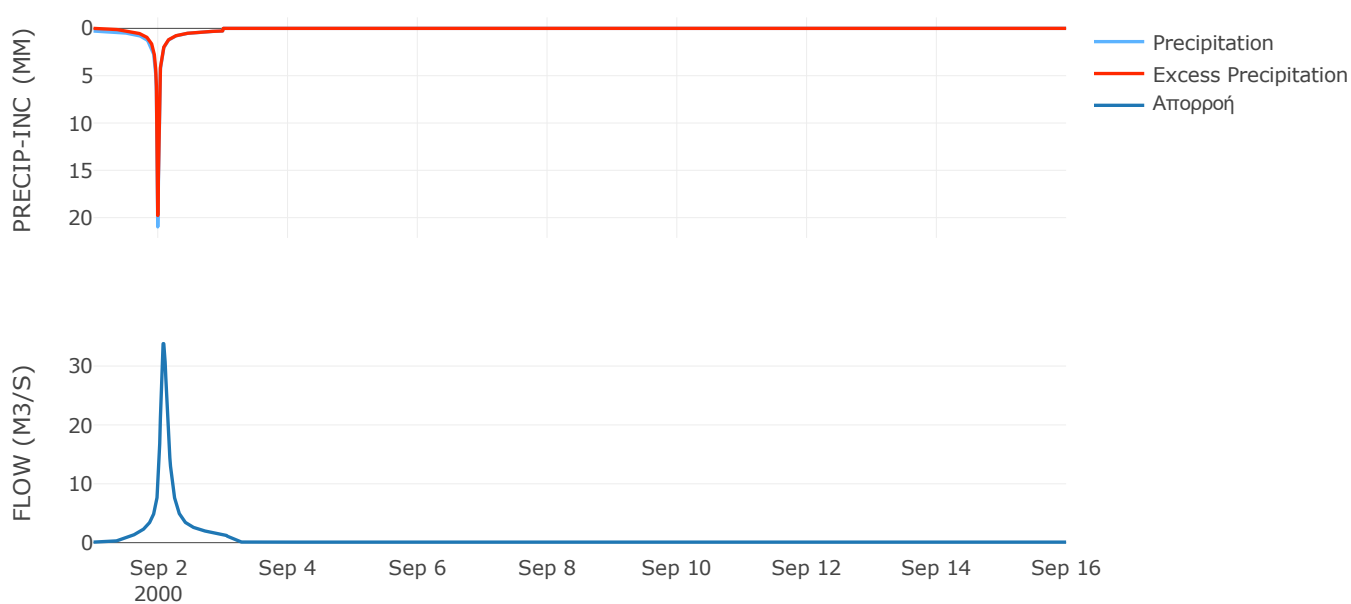
Μέθοδος  
Μετασχηματισμού: SCS

Χρόνος Υστέρησης	109.72
------------------	--------

Αποτελέσματα:  
EL0513FR5007

Παροχή αιχμής (M3/S)	33.81
Χρονική στιγμή αιχμής	02Sep2000, 01:45
Όγκος (MM)	205.72
Όγκος βροχόπτωσης (M3)	8.76E5
Όγκος απωλειών (M3)	1.32E5
Ενεργός Όγκος (M3)	7.44E5
Όγκος άμεσης απορροής (M3)	7.44E5
Όγκος βασικής απορροής (M3)	1.2E5

Βροχόπτωση και Απορροή



Υπολεκάνη: EL0513FR5008

Έκταση (KM2) : 11.23

Κατάντη : J7

Μέθοδος Απωλειών: SCS

Ποσοστό αδιαπέρατης επιφάνειας	0
Αριθμός Καμπύλης Απορροής-CN	89.19
Αρχικές Απώλειες	6.16

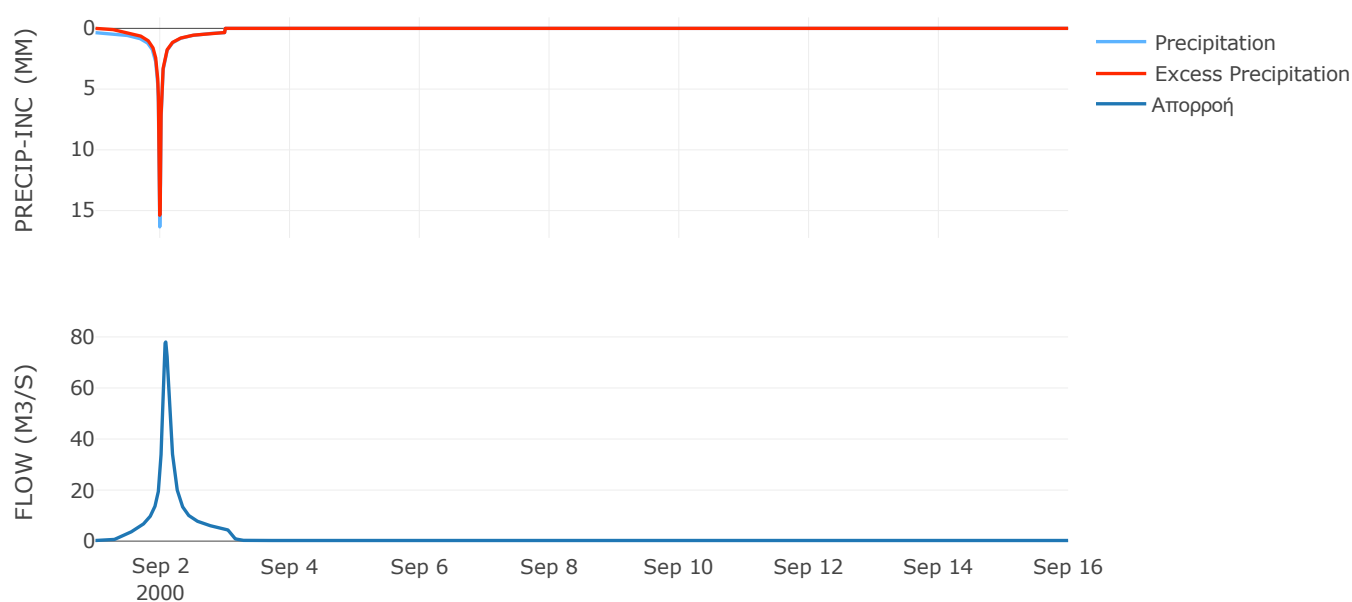
Μέθοδος  
Μετασχηματισμού: SCS

Χρόνος Υστέρησης	111.65
------------------	--------

Αποτελέσματα:  
EL0513FR5008

Παροχή αιχμής (M3/S)	78.02
Χρονική στιγμή αιχμής	02Sep2000, 02:00
Όγκος (MM)	209.49
Όγκος βροχόπτωσης (M3)	2.4E6
Όγκος απωλειών (M3)	3.7E5
Ενεργός Όγκος (M3)	2.03E6
Όγκος άμεσης απορροής (M3)	2.03E6
Όγκος βασικής απορροής (M3)	3.2E5

Βροχόπτωση και Απορροή



Υπολεκάνη: EL0513FR5009

Έκταση (KM2) : 19.12

Κατάντη : J8

Μέθοδος Απωλειών: SCS

Ποσοστό αδιαπέρατης επιφάνειας	0
Αριθμός Καμπύλης Απορροής-CN	79.41
Αρχικές Απώλειες	13.18

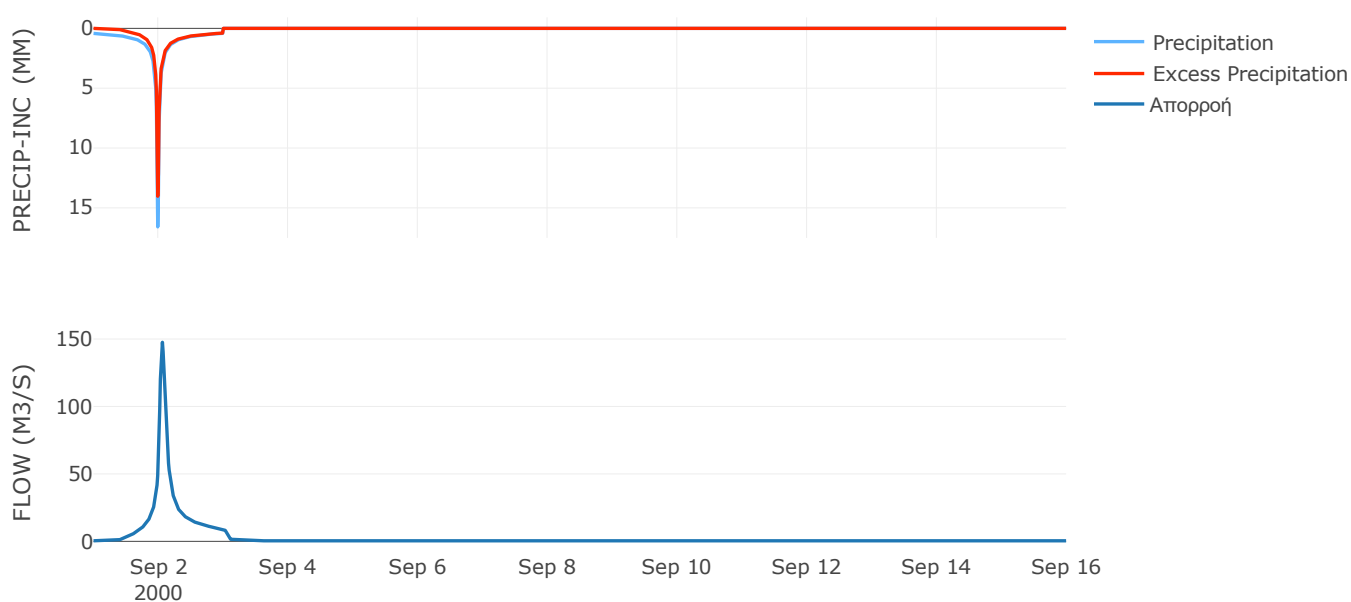
Μέθοδος  
Μετασχηματισμού: SCS

Χρόνος Υστέρησης	79.14
------------------	-------

Αποτελέσματα:  
EL0513FR5009

Παροχή αιχμής (M3/S)	147.58
Χρονική στιγμή αιχμής	02Sep2000, 01:30
Όγκος (MM)	203.24
Όγκος βροχόπτωσης (M3)	4.57E6
Όγκος απωλειών (M3)	1.23E6
Ενεργός Όγκος (M3)	3.34E6
Όγκος άμεσης απορροής (M3)	3.34E6
Όγκος βασικής απορροής (M3)	5.45E5

Βροχόπτωση και Απορροή



Υπολεκάνη: EL0513FR5010

Έκταση (KM2) : 36.47

Κατάντη : J9

Μέθοδος Απωλειών: SCS

Ποσοστό αδιαπέρατης επιφάνειας	0
Αριθμός Καμπύλης Απορροής-CN	80.16
Αρχικές Απώλειες	12.57

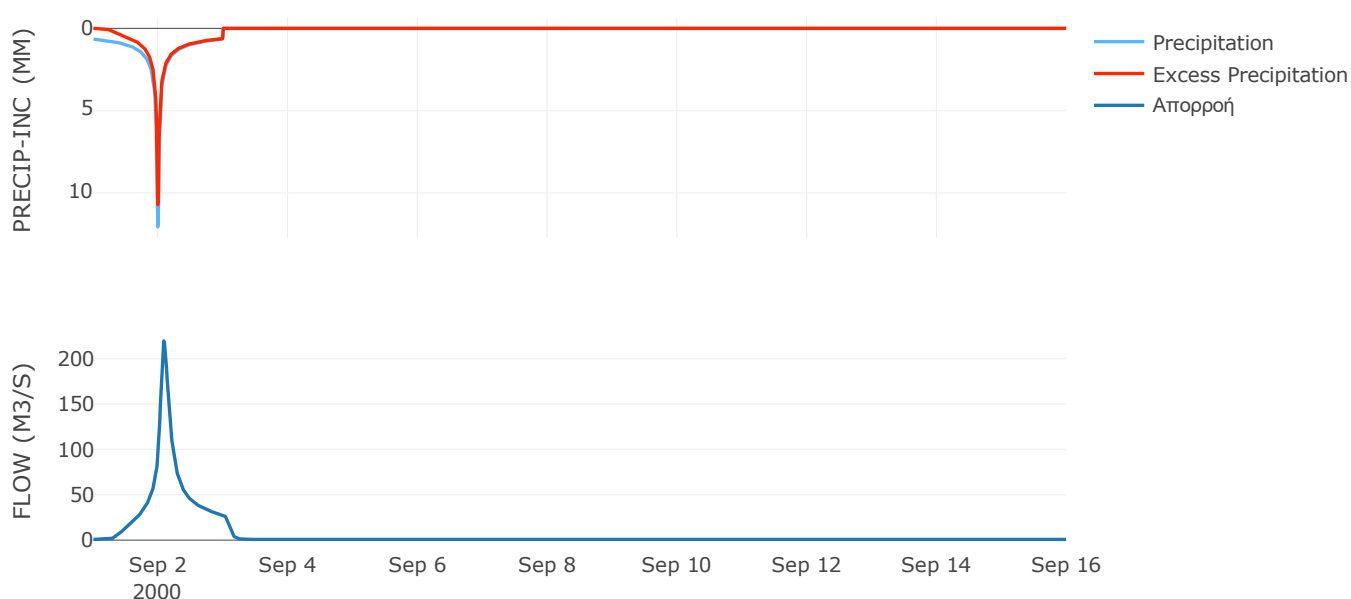
Μέθοδος  
Μετασχηματισμού: SCS

Χρόνος Υστέρησης	116.45
------------------	--------

Αποτελέσματα:  
EL0513FR5010

Παροχή αιχμής (M3/S)	219.57
Χρονική στιγμή αιχμής	02Sep2000, 02:00
Όγκος (MM)	247.43
Όγκος βροχόπτωσης (M3)	1.03E7
Όγκος απωλειών (M3)	2.32E6
Ενεργός Όγκος (M3)	7.98E6
Όγκος άμεσης απορροής (M3)	7.98E6
Όγκος βασικής απορροής (M3)	1.04E6

Βροχόπτωση και Απορροή





Υπολεκάνη: EL0513FR5011

Έκταση (KM2) : 4.02

Κατάνη : J10

Μέθοδος Απωλειών: SCS

Ποσοστό αδιαπέρατης επιφάνειας	0
Αριθμός Καμπύλης Απορροής-CN	70.02
Αρχικές Απώλειες	21.75

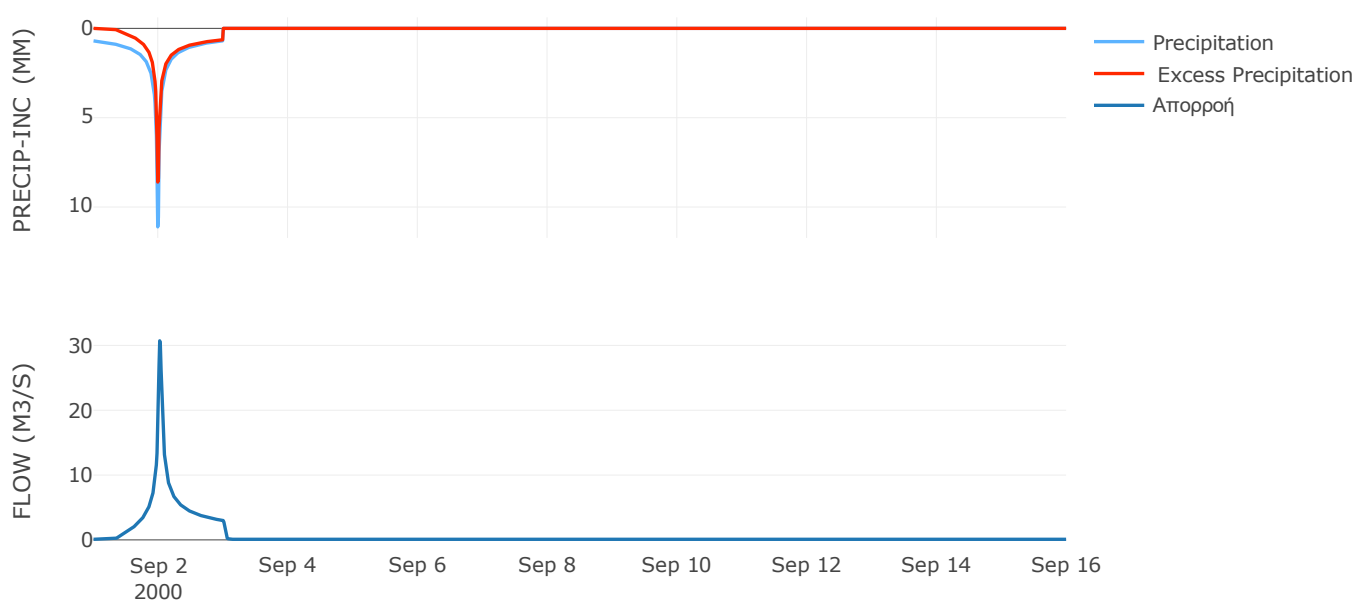
Μέθοδος  
Μετασχηματισμού: SCS

Χρόνος Υστέρησης	31.97
------------------	-------

Αποτελέσματα:  
EL0513FR5011

Παροχή αιχμής (M3/S)	30.71
Χρονική στιγμή αιχμής	02Sep2000, 00:30
Όγκος (MM)	219.63
Όγκος βροχόπτωσης (M3)	1.17E6
Όγκος απωλειών (M3)	3.98E5
Ενεργός Όγκος (M3)	7.67E5
Όγκος άμεσης απορροής (M3)	7.67E5
Όγκος βασικής απορροής (M3)	1.14E5

Βροχόπτωση και Απορροή



Υπολεκάνη: EL0513FR5012

Έκταση (KM2) : 74.49

Κατάνη : J11

Μέθοδος Απωλειών: SCS

Ποσοστό αδιαπέρατης επιφάνειας	0
Αριθμός Καμπύλης Απορροής-CN	72.02
Αρχικές Απώλειες	19.73

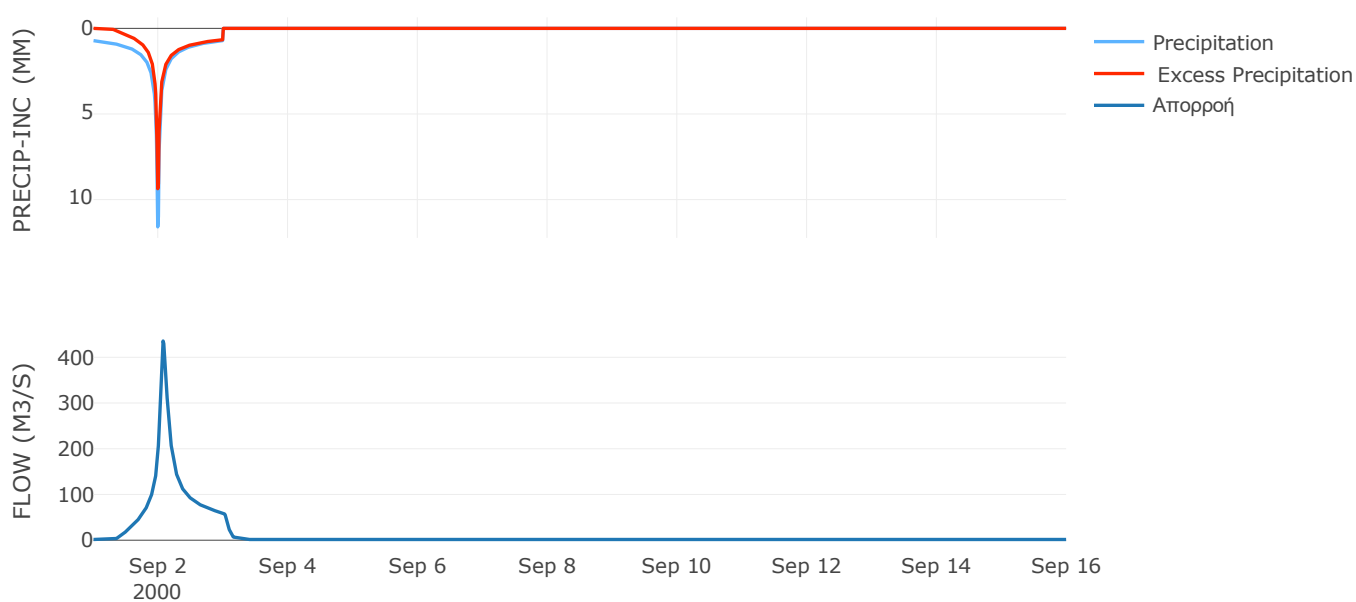
Μέθοδος  
Μετασχηματισμού: SCS

Χρόνος Υστέρησης	98.34
------------------	-------

Αποτελέσματα:  
EL0513FR5012

Παροχή αιχμής (M3/S)	435.65
Χρονική στιγμή αιχμής	02Sep2000, 01:45
Όγκος (MM)	234.58
Όγκος βροχόπτωσης (M3)	2.22E7
Όγκος απωλειών (M3)	6.9E6
Ενεργός Όγκος (M3)	1.54E7
Όγκος άμεσης απορροής (M3)	1.54E7
Όγκος βασικής απορροής (M3)	2.12E6

Βροχόπτωση και Απορροή



Υπολεκάνη: EL0513FR5013

Έκταση (KM2) : 8.72

Κατάνη : J12

Μέθοδος Απωλειών: SCS

Ποσοστό αδιαπέρατης επιφάνειας	0
Αριθμός Καμπύλης Απορροής-CN	77.74
Αρχικές Απώλειες	14.54

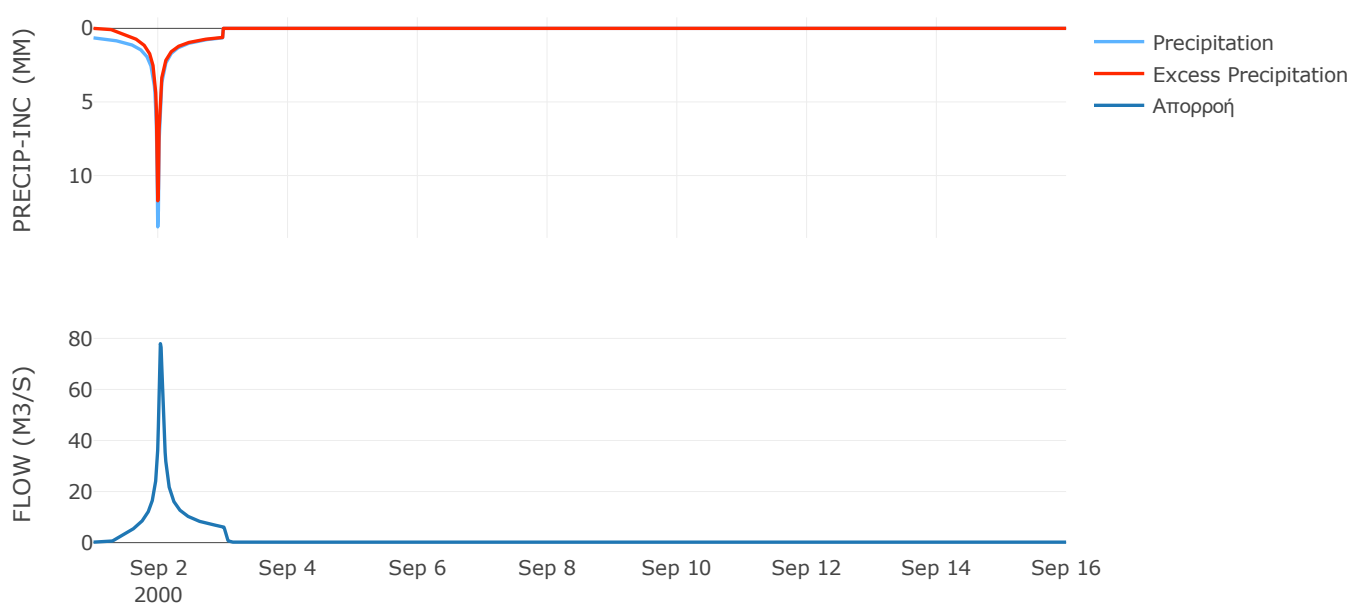
Μέθοδος  
Μετασχηματισμού: SCS

Χρόνος Υστέρησης	47.41
------------------	-------

Αποτελέσματα:  
EL0513FR5013

Παροχή αιχμής (M3/S)	77.94
Χρονική στιγμή αιχμής	02Sep2000, 00:45
Όγκος (MM)	248.8
Όγκος βροχόπτωσης (M3)	2.55E6
Όγκος απωλειών (M3)	6.29E5
Ενεργός Όγκος (M3)	1.92E6
Όγκος άμεσης απορροής (M3)	1.92E6
Όγκος βασικής απορροής (M3)	2.49E5

Βροχόπτωση και Απορροή



Υπολεκάνη: EL0513FR5014

Έκταση (KM2) : 17.21

Κατάντη : J13

Μέθοδος Απωλειών: SCS

Ποσοστό αδιαπέρατης επιφάνειας	0
Αριθμός Καμπύλης Απορροής-CN	73.53
Αρχικές Απώλειες	18.29

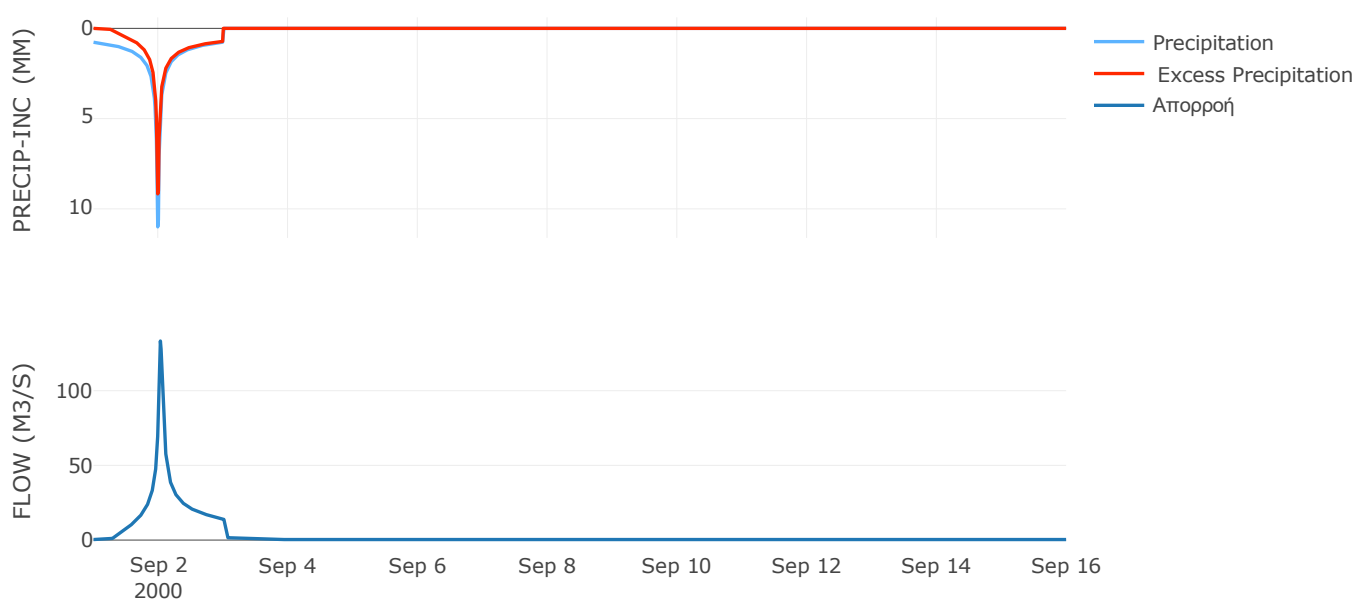
Μέθοδος  
Μετασχηματισμού: SCS

Χρόνος Υστέρησης	42.84
------------------	-------

Αποτελέσματα:  
EL0513FR5014

Παροχή αιχμής (M3/S)	133.26
Χρονική στιγμή αιχμής	02Sep2000, 00:45
Όγκος (MM)	249.45
Όγκος βροχόπτωσης (M3)	5.31E6
Όγκος απωλειών (M3)	1.51E6
Ενεργός Όγκος (M3)	3.8E6
Όγκος άμεσης απορροής (M3)	3.8E6
Όγκος βασικής απορροής (M3)	4.91E5

Βροχόπτωση και Απορροή



Υπολεκάνη: EL0513FR5015

Έκταση (KM2) : 56.91

Κατάντη : J13

Μέθοδος Απωλειών: SCS

Ποσοστό αδιαπέρατης επιφάνειας	0
Αριθμός Καμπύλης Απορροής-CN	74.88
Αρχικές Απώλειες	17.04

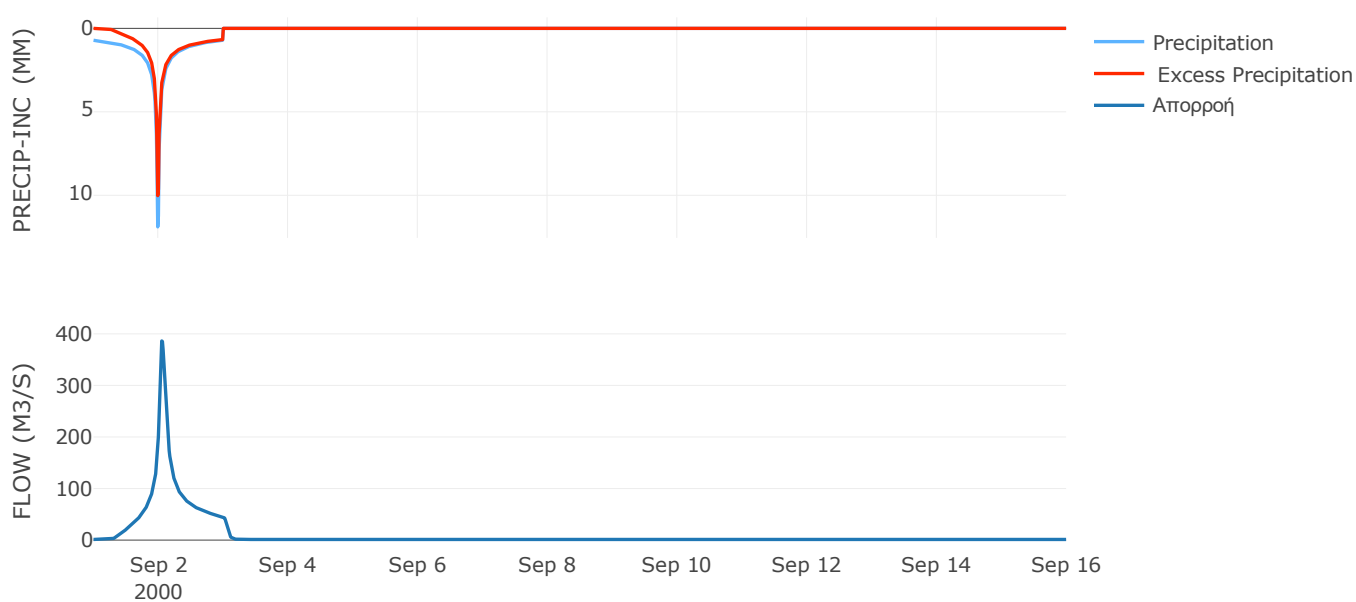
Μέθοδος  
Μετασχηματισμού: SCS

Χρόνος Υστέρησης	76.98
------------------	-------

Αποτελέσματα:  
EL0513FR5015

Παροχή αιχμής (M3/S)	386.22
Χρονική στιγμή αιχμής	02Sep2000, 01:15
Όγκος (MM)	246.2
Όγκος βροχόπτωσης (M3)	1.71E7
Όγκος απωλειών (M3)	4.7E6
Ενεργός Όγκος (M3)	1.24E7
Όγκος άμεσης απορροής (M3)	1.24E7
Όγκος βασικής απορροής (M3)	1.62E6

Βροχόπτωση και Απορροή



Υπολεκάνη: EL0513FR5016

Έκταση (KM2) : 70.55

Κατάντη : J12

Μέθοδος Απωλειών: SCS

Ποσοστό αδιαπέρατης επιφάνειας	0
Αριθμός Καμπύλης Απορροής-CN	72.83
Αρχικές Απώλειες	18.95

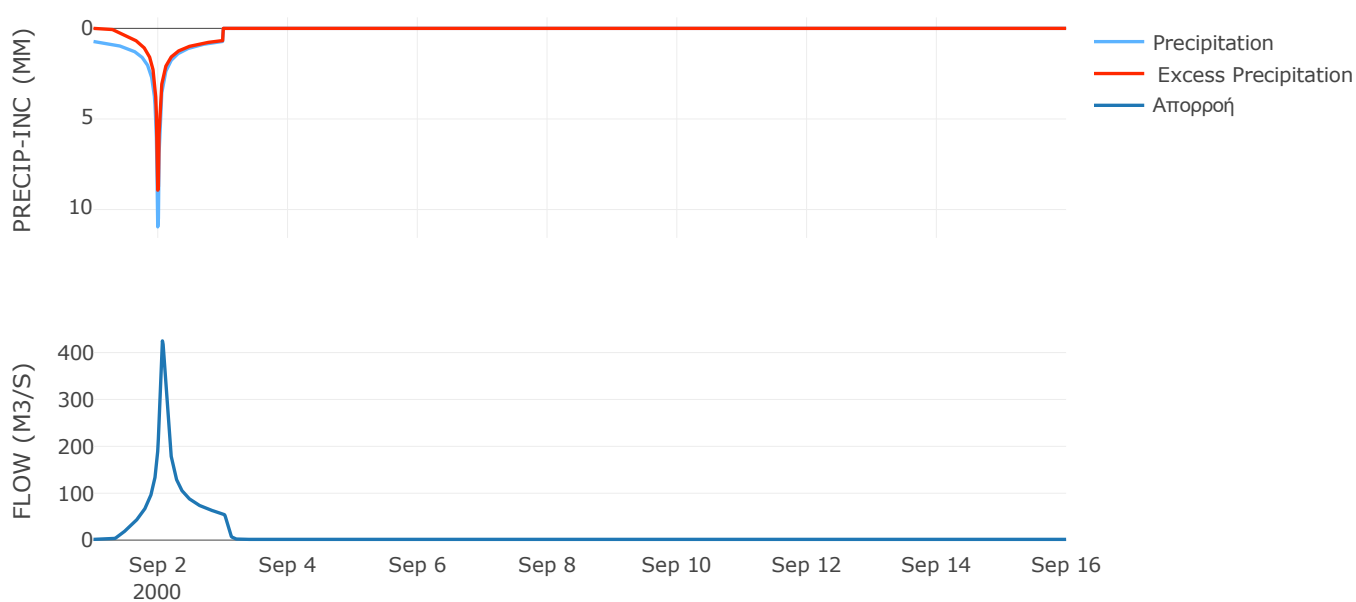
Μέθοδος  
Μετασχηματισμού: SCS

Χρόνος Υστέρησης	84.22
------------------	-------

Αποτελέσματα:  
EL0513FR5016

Παροχή αιχμής (M3/S)	424.92
Χρονική στιγμή αιχμής	02Sep2000, 01:30
Όγκος (MM)	234.83
Όγκος βροχόπτωσης (M3)	2.09E7
Όγκος απωλειών (M3)	6.32E6
Ενεργός Όγκος (M3)	1.46E7
Όγκος άμεσης απορροής (M3)	1.46E7
Όγκος βασικής απορροής (M3)	2.01E6

Βροχόπτωση και Απορροή



Υπολεκάνη: EL0513FR5017

Έκταση (KM2) : 33.26

Κατάληξη : J11

Μέθοδος Απωλειών: SCS

Ποσοστό αδιαπέρατης επιφάνειας	0
Αριθμός Καμπύλης Απορροής-CN	70.3
Αρχικές Απώλειες	21.46

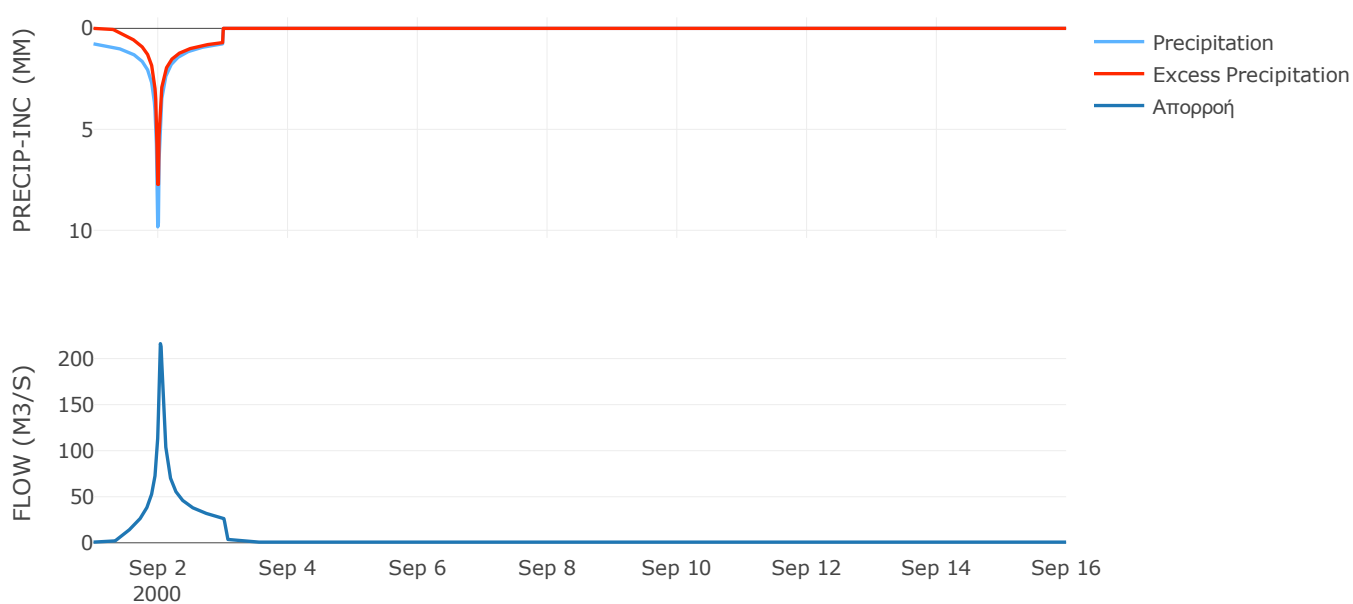
Μέθοδος  
Μετασχηματισμού: SCS

Χρόνος Υστέρησης	46.24
------------------	-------

Αποτελέσματα:  
EL0513FR5017

Παροχή αιχμής (M3/S)	216.25
Χρονική στιγμή αιχμής	02Sep2000, 00:45
Όγκος (MM)	227.57
Όγκος βροχόπτωσης (M3)	9.91E6
Όγκος απωλειών (M3)	3.28E6
Ενεργός Όγκος (M3)	6.62E6
Όγκος άμεσης απορροής (M3)	6.62E6
Όγκος βασικής απορροής (M3)	9.48E5

Βροχόπτωση και Απορροή



Υπολεκάνη: EL0513FR5018

Έκταση (KM2) : 14.02

Κατάνη : J11

Μέθοδος Απωλειών: SCS

Ποσοστό αδιαπέρατης επιφάνειας	0
Αριθμός Καμπύλης Απορροής-CN	74.6
Αρχικές Απώλειες	17.29

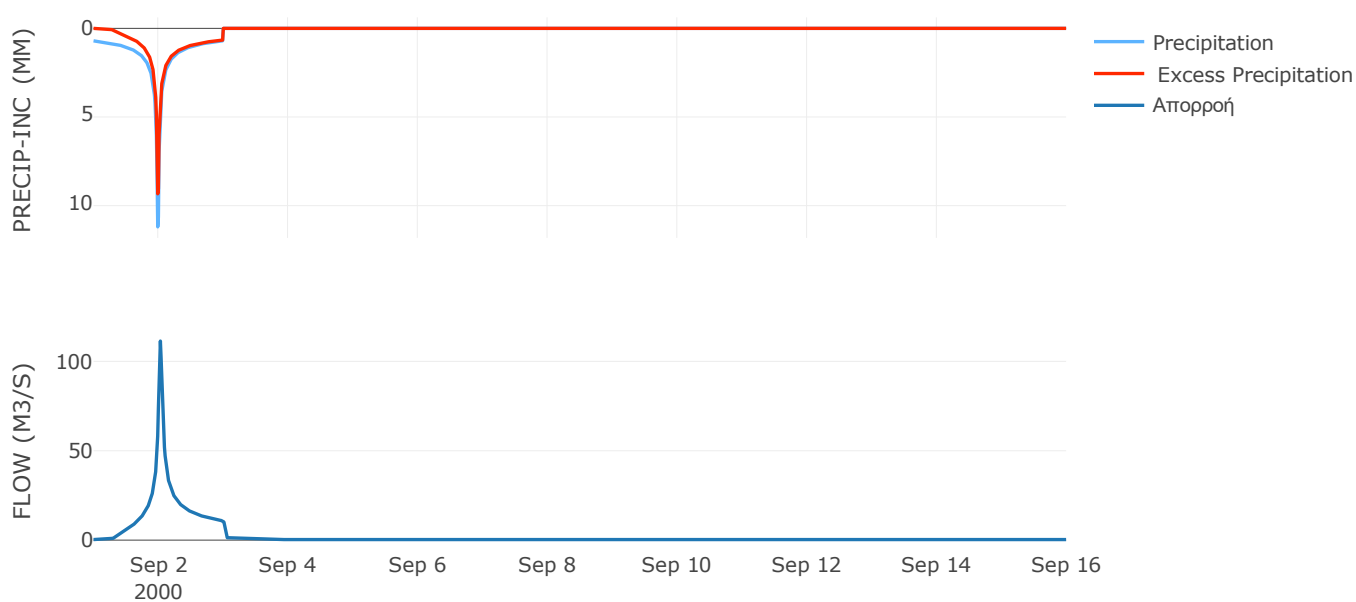
Μέθοδος  
Μετασχηματισμού: SCS

Χρόνος Υστέρησης	37.78
------------------	-------

Αποτελέσματα:  
EL0513FR5018

Παροχή αιχμής (M3/S)	111.38
Χρονική στιγμή αιχμής	02Sep2000, 00:45
Όγκος (MM)	237.38
Όγκος βροχόπτωσης (M3)	4.09E6
Όγκος απωλειών (M3)	1.16E6
Ενεργός Όγκος (M3)	2.93E6
Όγκος άμεσης απορροής (M3)	2.93E6
Όγκος βασικής απορροής (M3)	4E5

Βροχόπτωση και Απορροή





Υπολεκάνη: EL0513FR5019

Έκταση (KM2) : 105.27

Κατάνη : J15

Μέθοδος Απωλειών: SCS

Ποσοστό αδιαπέρατης επιφάνειας	0
Αριθμός Καμπύλης Απορροής-CN	77.85
Αρχικές Απώλειες	14.45

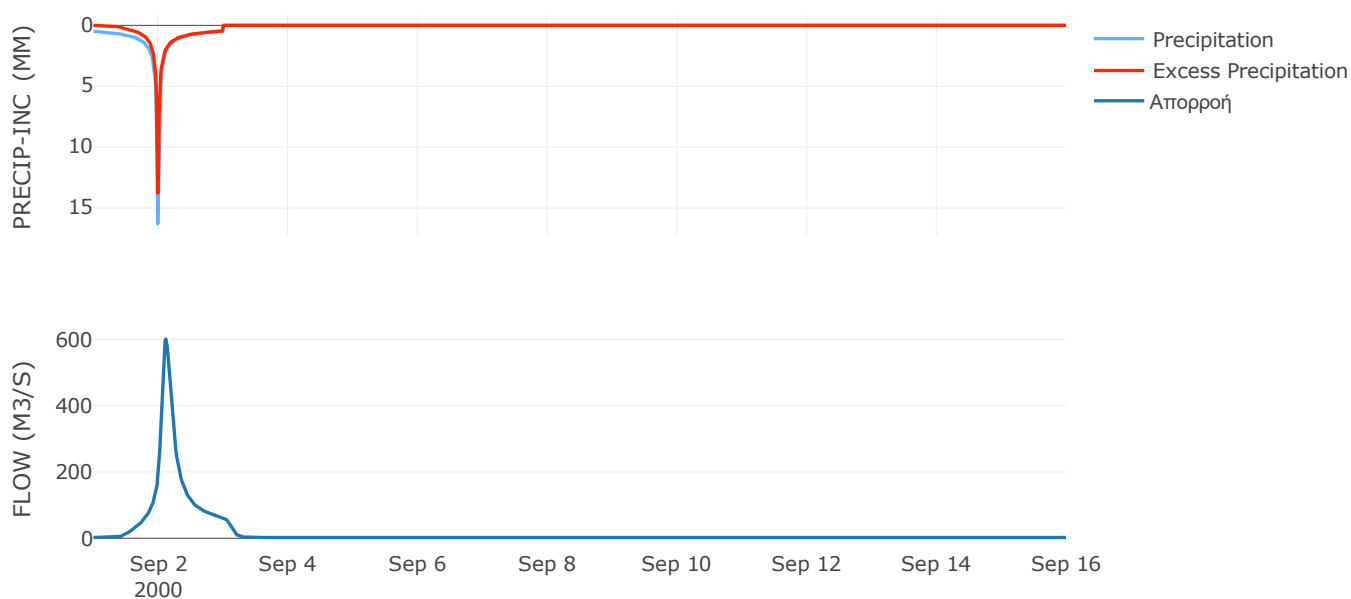
Μέθοδος  
Μετασχηματισμού: SCS

Χρόνος Υστέρησης	154.41
------------------	--------

Αποτελέσματα:  
EL0513FR5019

Παροχή αιχμής (M3/S)	601.19
Χρονική στιγμή αιχμής	02Sep2000, 02:45
Όγκος (MM)	218.83
Όγκος βροχόπτωσης (M3)	2.74E7
Όγκος απωλειών (M3)	7.4E6
Ενεργός Όγκος (M3)	2E7
Όγκος άμεσης απορροής (M3)	2E7
Όγκος βασικής απορροής (M3)	3E6

Βροχόπτωση και Απορροή



Υπολεκάνη: EL0513FR5020

Έκταση (KM2) : 49.32

Κατάντη : J14

Μέθοδος Απωλειών: SCS

Ποσοστό αδιαπέρατης επιφάνειας	0
Αριθμός Καμπύλης Απορροής-CN	73.39
Αρχικές Απώλειες	18.42

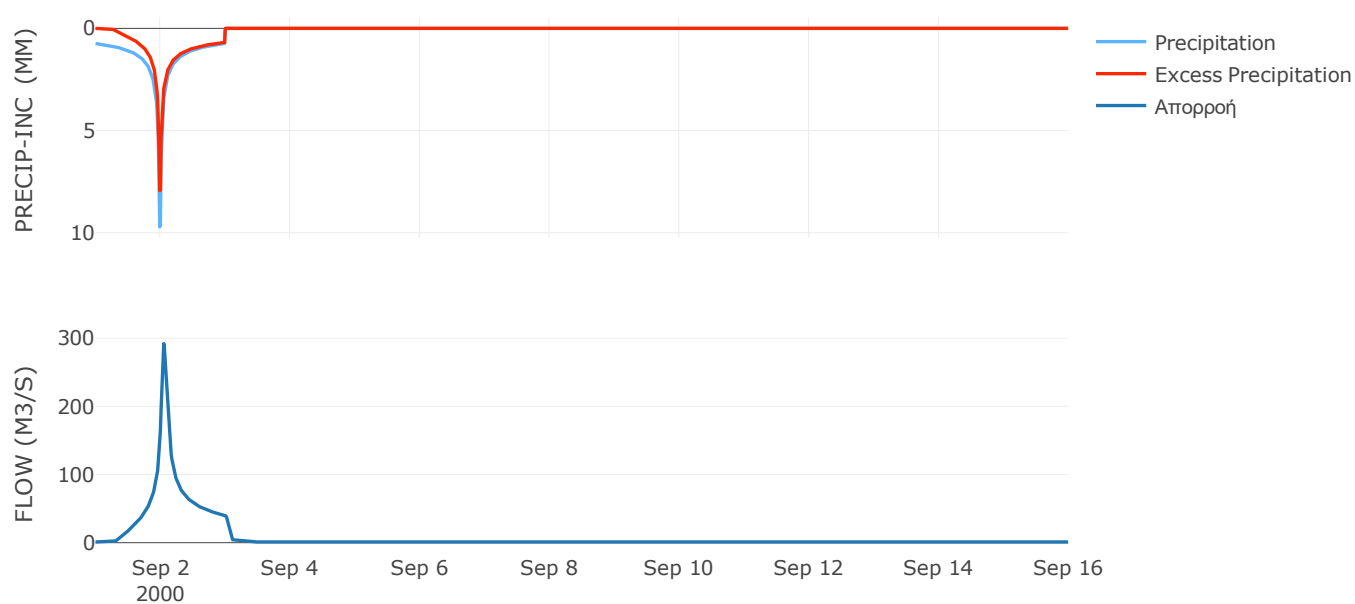
Μέθοδος  
Μετασχηματισμού: SCS

Χρόνος Υστέρησης	69.11
------------------	-------

Αποτελέσματα:  
EL0513FR5020

Παροχή αιχμής (M3/S)	292.18
Χρονική στιγμή αιχμής	02Sep2000, 01:15
Όγκος (MM)	230.66
Όγκος βροχόπτωσης (M3)	1.43E7
Όγκος απωλειών (M3)	4.3E6
Ενεργός Όγκος (M3)	9.97E6
Όγκος άμεσης απορροής (M3)	9.97E6
Όγκος βασικής απορροής (M3)	1.41E6

Βροχόπτωση και Απορροή



Υπολεκάνη: EL0513FR5021

Έκταση (KM2) : 21.13

Κατάντη : J19

Μέθοδος Απωλειών: SCS

Ποσοστό αδιαπέρατης επιφάνειας	0
Αριθμός Καμπύλης Απορροής-CN	84.79
Αρχικές Απώλειες	9.11

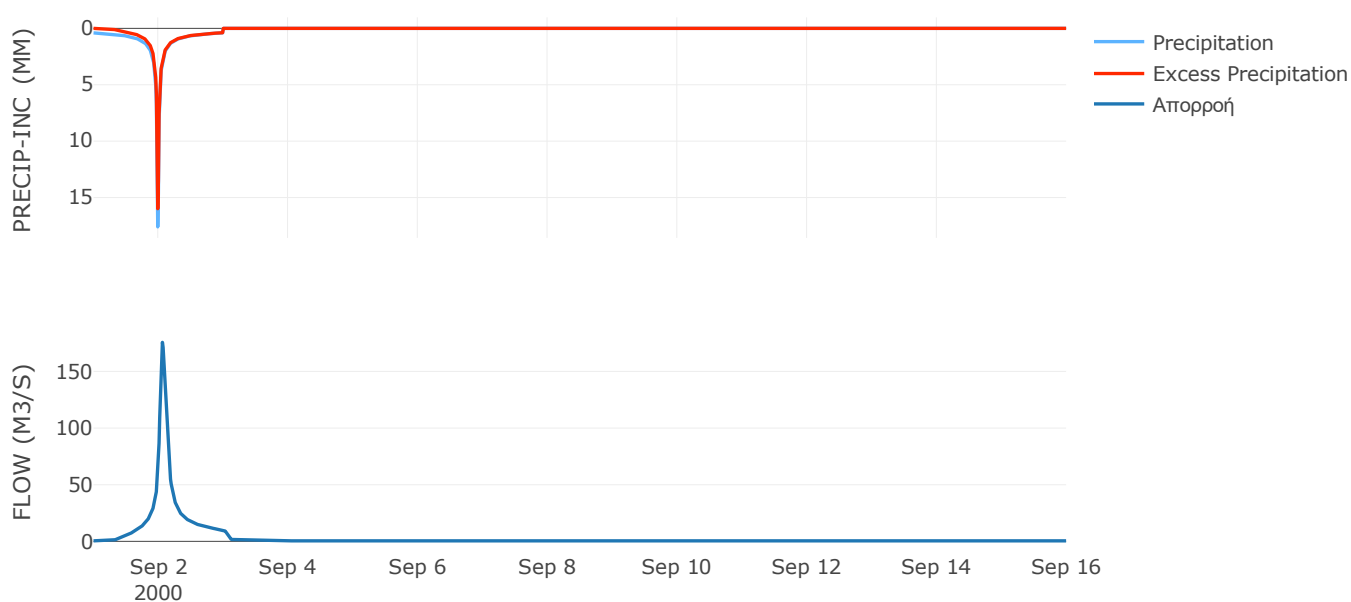
Μέθοδος  
Μετασχηματισμού: SCS

Χρόνος Υστέρησης	86.34
------------------	-------

Αποτελέσματα:  
EL0513FR5021

Παροχή αιχμής (M3/S)	175.69
Χρονική στιγμή αιχμής	02Sep2000, 01:30
Όγκος (MM)	219.01
Όγκος βροχόπτωσης (M3)	5.02E6
Όγκος απωλειών (M3)	9.95E5
Ενεργός Όγκος (M3)	4.02E6
Όγκος άμεσης απορροής (M3)	4.02E6
Όγκος βασικής απορροής (M3)	6.02E5

Βροχόπτωση και Απορροή



Υπολεκάνη: EL0513FR5022

Έκταση (KM2) : 8.23

Κατάντη : J20

Μέθοδος Απωλειών: SCS

Ποσοστό αδιαπέρατης επιφάνειας	0
Αριθμός Καμπύλης Απορροής-CN	90.74
Αρχικές Απώλειες	5.18

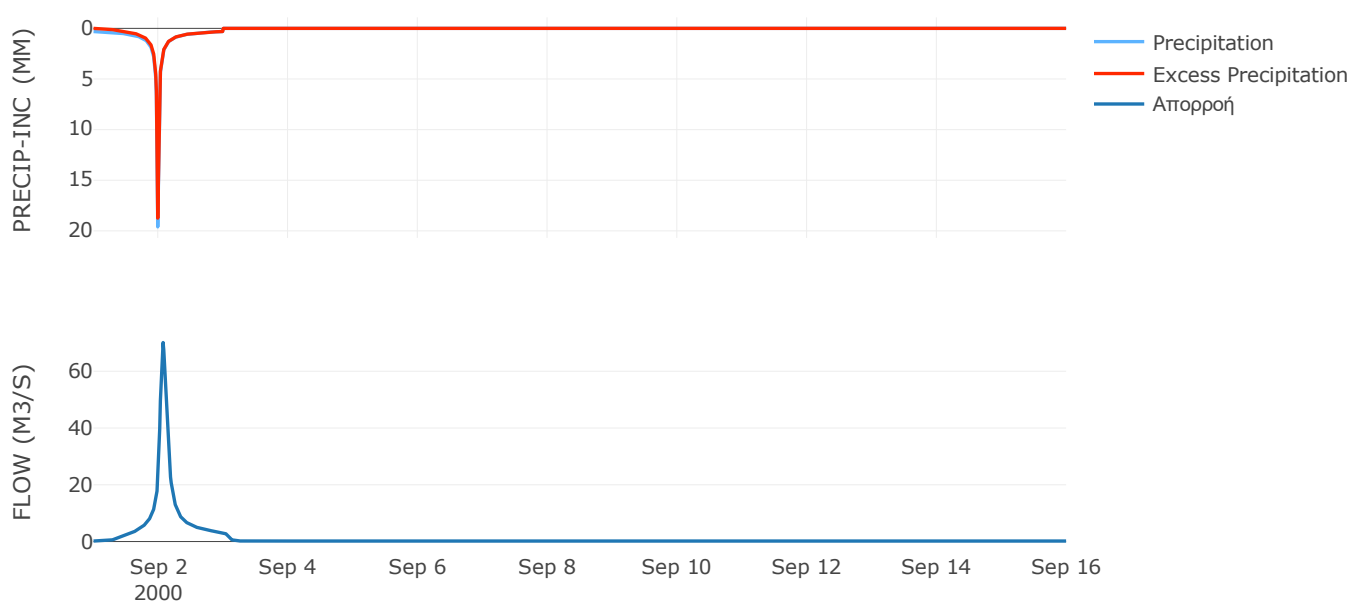
Μέθοδος  
Μετασχηματισμού: SCS

Χρόνος Υστέρησης	96.42
------------------	-------

Αποτελέσματα:  
EL0513FR5022

Παροχή αιχμής (M3/S)	70.11
Χρονική στιγμή αιχμής	02Sep2000, 01:45
Όγκος (MM)	215.84
Όγκος βροχόπτωσης (M3)	1.77E6
Όγκος απωλειών (M3)	2.32E5
Ενεργός Όγκος (M3)	1.54E6
Όγκος άμεσης απορροής (M3)	1.54E6
Όγκος βασικής απορροής (M3)	2.35E5

Βροχόπτωση και Απορροή



Υπολεκάνη: EL0513FR5023

Έκταση (KM2) : 11.05

Κατάντη : J19

Μέθοδος Απωλειών: SCS

Ποσοστό αδιαπέρατης επιφάνειας	0
Αριθμός Καμπύλης Απορροής-CN	90.44
Αρχικές Απώλειες	5.37

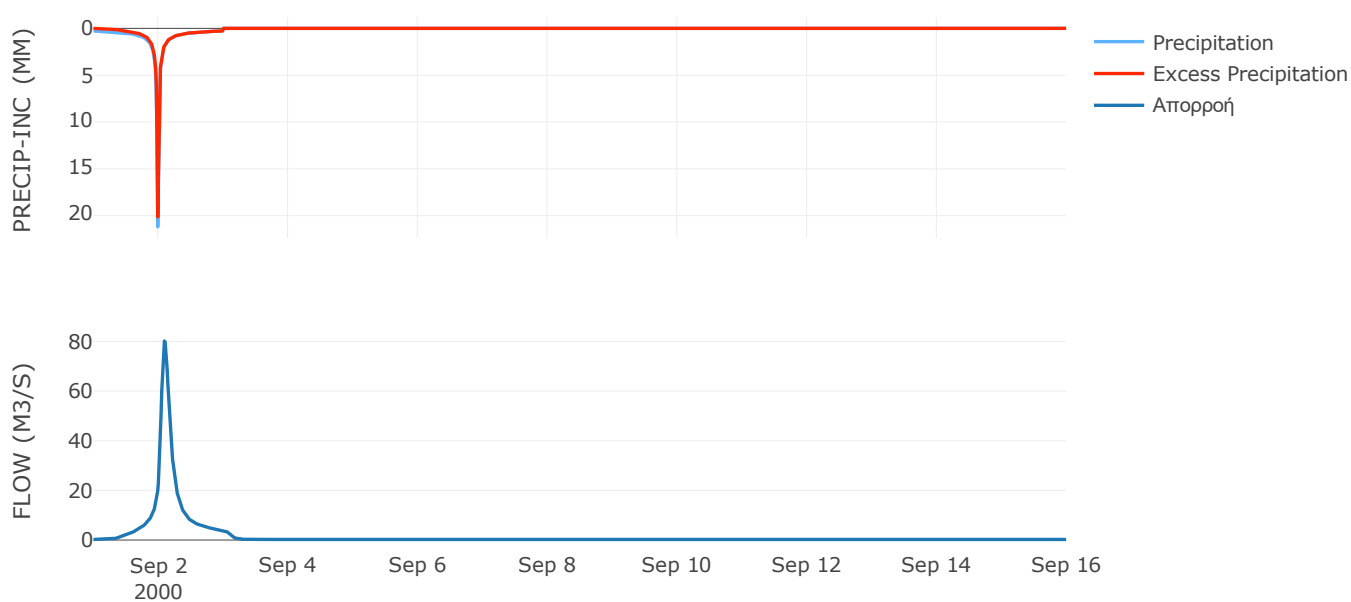
Μέθοδος  
Μετασχηματισμού: SCS

Χρόνος Υστέρησης	135.39
------------------	--------

Αποτελέσματα:  
EL0513FR5023

Παροχή αιχμής (M3/S)	80.21
Χρονική στιγμή αιχμής	02Sep2000, 02:15
Όγκος (MM)	207.76
Όγκος βροχόπτωσης (M3)	2.3E6
Όγκος απωλειών (M3)	3.21E5
Ενεργός Όγκος (M3)	1.98E6
Όγκος άμεσης απορροής (M3)	1.98E6
Όγκος βασικής απορροής (M3)	3.15E5

Βροχόπτωση και Απορροή



Υπολεκάνη: EL0513FR5024

Έκταση (KM2) : 5.88

Κατάντη : J4

Μέθοδος Απωλειών: SCS

Ποσοστό αδιαπέρατης επιφάνειας	0
Αριθμός Καμπύλης Απορροής-CN	86.95
Αρχικές Απώλειες	7.63

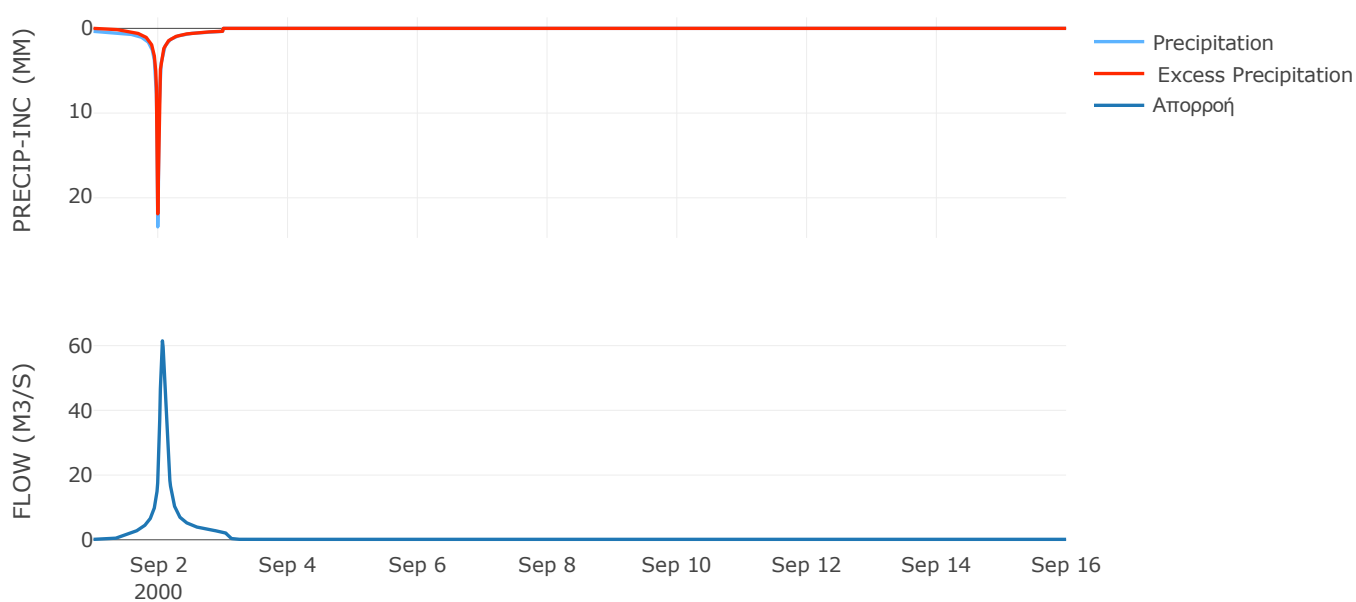
Μέθοδος  
Μετασχηματισμού: SCS

Χρόνος Υστέρησης	86.24
------------------	-------

Αποτελέσματα:  
EL0513FR5024

Παροχή αιχμής (M3/S)	61.48
Χρονική στιγμή αιχμής	02Sep2000, 01:30
Όγκος (MM)	236.73
Όγκος βροχόπτωσης (M3)	1.46E6
Όγκος απωλειών (M3)	2.38E5
Ενεργός Όγκος (M3)	1.22E6
Όγκος άμεσης απορροής (M3)	1.22E6
Όγκος βασικής απορροής (M3)	1.68E5

Βροχόπτωση και Απορροή



Υπολεκάνη: EL0513FR5025

Έκταση (KM2) : 50.61

Κατάντη : J7

Μέθοδος Απωλειών: SCS

Ποσοστό αδιαπέρατης επιφάνειας	0
Αριθμός Καμπύλης Απορροής-CN	84.83
Αρχικές Απώλειες	9.09

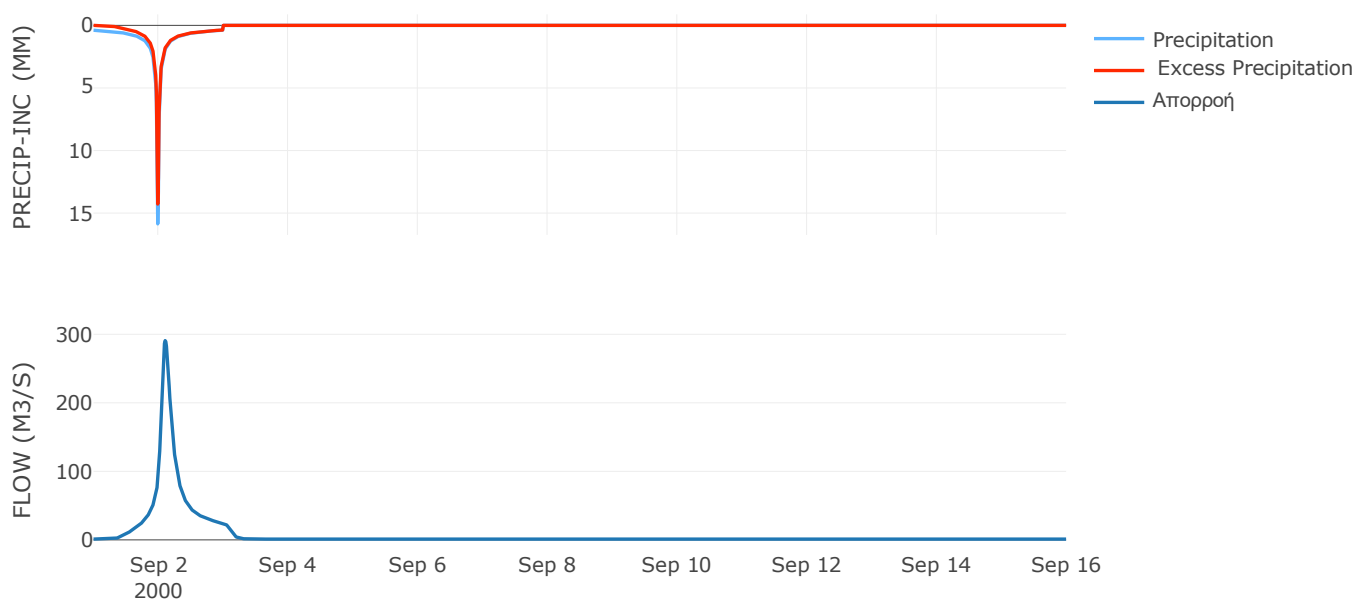
Μέθοδος  
Μετασχηματισμού: SCS

Χρόνος Υστέρησης	146.87
------------------	--------

Αποτελέσματα:  
EL0513FR5025

Παροχή αιχμής (M3/S)	290.83
Χρονική στιγμή αιχμής	02Sep2000, 02:30
Όγκος (MM)	205.28
Όγκος βροχόπτωσης (M3)	1.13E7
Όγκος απωλειών (M3)	2.36E6
Ενεργός Όγκος (M3)	8.95E6
Όγκος άμεσης απορροής (M3)	8.95E6
Όγκος βασικής απορροής (M3)	1.44E6

Βροχόπτωση και Απορροή



Υπολεκάνη: EL0513FR5026

Έκταση (KM2) : 20.26

Κατάντη : J18

Μέθοδος Απωλειών: SCS

Ποσοστό αδιαπέρατης επιφάνειας	0
Αριθμός Καμπύλης Απορροής-CN	88.58
Αρχικές Απώλειες	6.55

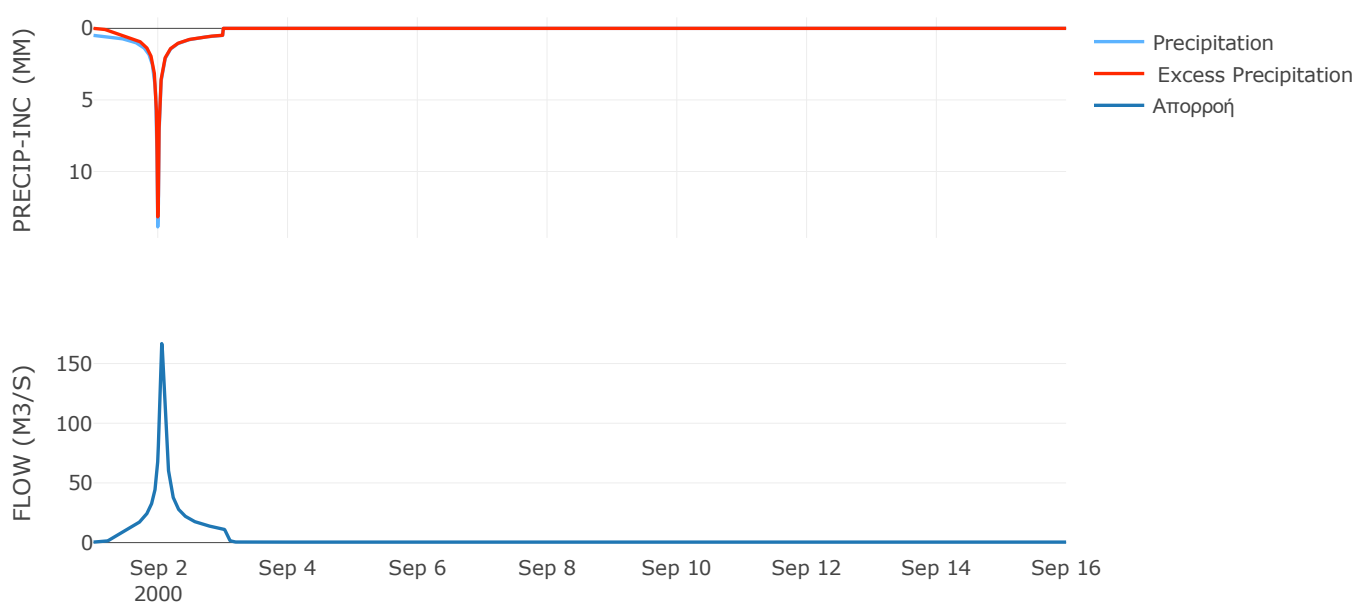
Μέθοδος  
Μετασχηματισμού: SCS

Χρόνος Υστέρησης	70.65
------------------	-------

Αποτελέσματα:  
EL0513FR5026

Παροχή αιχμής (M3/S)	166.71
Χρονική στιγμή αιχμής	02Sep2000, 01:15
Όγκος (MM)	239.85
Όγκος βροχόπτωσης (M3)	5E6
Όγκος απωλειών (M3)	7.17E5
Ενεργός Όγκος (M3)	4.28E6
Όγκος άμεσης απορροής (M3)	4.28E6
Όγκος βασικής απορροής (M3)	5.78E5

Βροχόπτωση και Απορροή





Υπολεκάνη: EL0513FR5027

Έκταση (KM2) : 40.56

Κατάντη : J18

Μέθοδος Απωλειών: SCS

Ποσοστό αδιαπέρατης επιφάνειας	0
Αριθμός Καμπύλης Απορροής-CN	82.92
Αρχικές Απώλειες	10.46

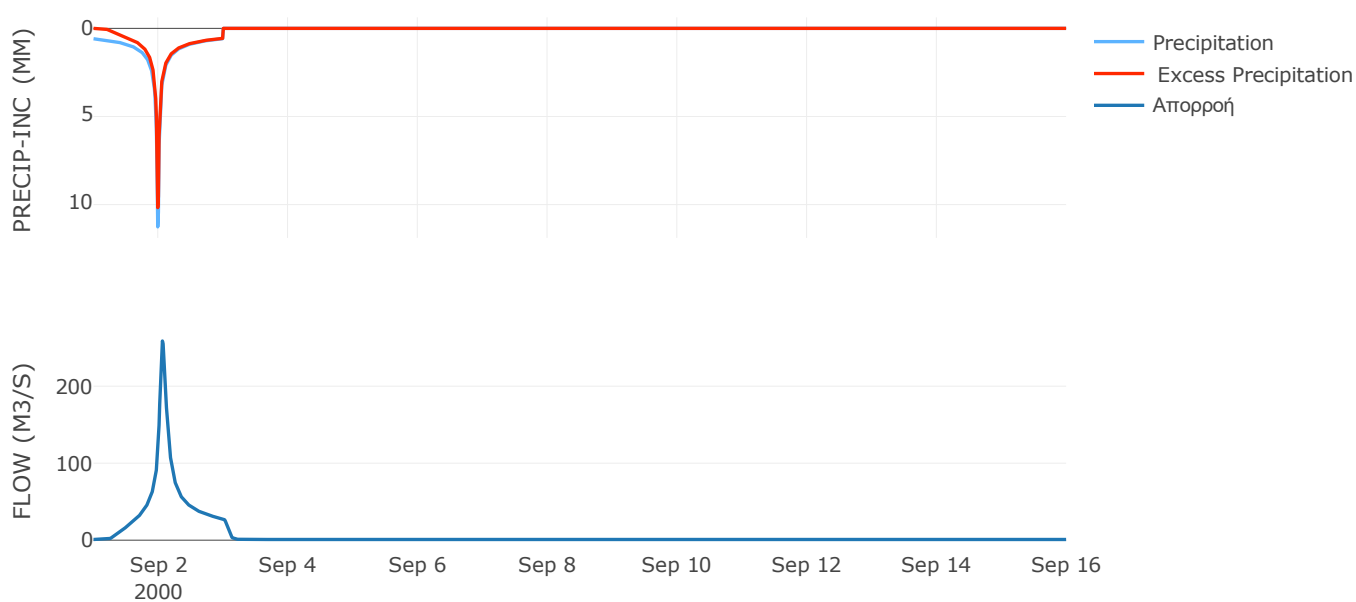
Μέθοδος  
Μετασχηματισμού: SCS

Χρόνος Υστέρησης	87.61
------------------	-------

Αποτελέσματα:  
EL0513FR5027

Παροχή αιχμής (M3/S)	258.7
Χρονική στιγμή αιχμής	02Sep2000, 01:30
Όγκος (MM)	233.73
Όγκος βροχόπτωσης (M3)	1.05E7
Όγκος απωλειών (M3)	2.18E6
Ενεργός Όγκος (M3)	8.32E6
Όγκος άμεσης απορροής (M3)	8.32E6
Όγκος βασικής απορροής (M3)	1.16E6

Βροχόπτωση και Απορροή



Υπολεκάνη: EL0513FR5028

Έκταση (KM2) : 26.17

Κατάνη : J17

Μέθοδος Απωλειών: SCS

Ποσοστό αδιαπέρατης επιφάνειας	0
Αριθμός Καμπύλης Απορροής-CN	82.86
Αρχικές Απώλειες	10.51

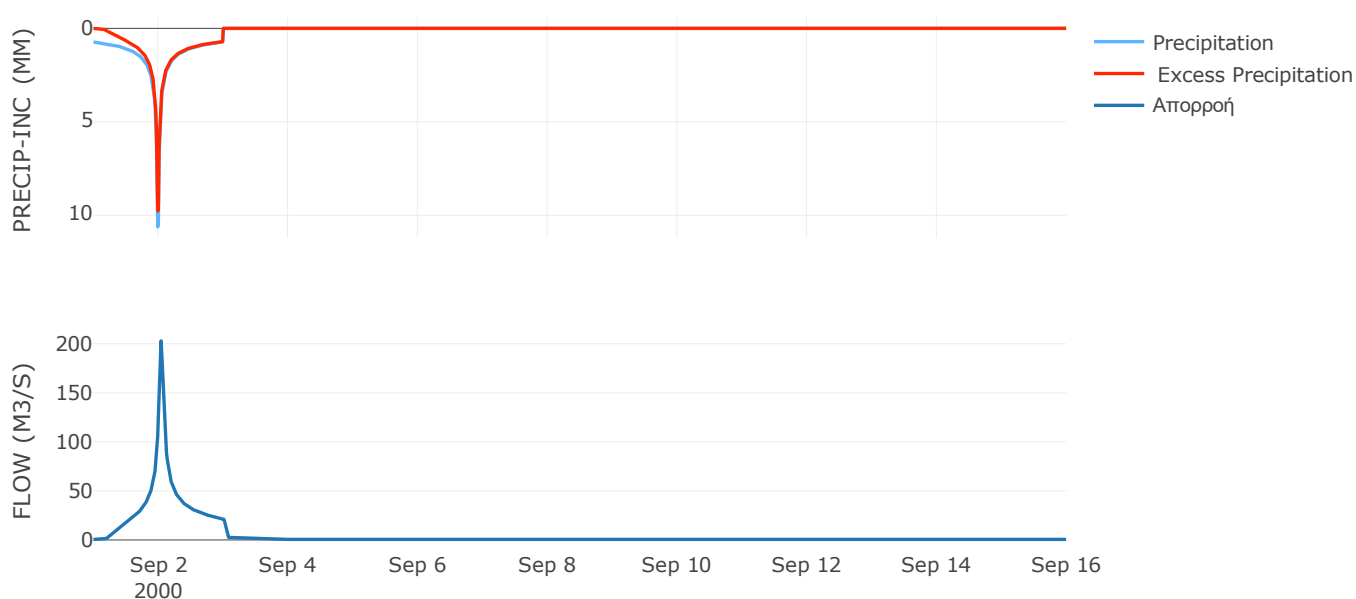
Μέθοδος  
Μετασχηματισμού: SCS

Χρόνος Υστέρησης	51.21
------------------	-------

Αποτελέσματα:  
EL0513FR5028

Παροχή αιχμής (M3/S)	202.95
Χρονική στιγμή αιχμής	02Sep2000, 01:00
Όγκος (MM)	267.53
Όγκος βροχόπτωσης (M3)	7.69E6
Όγκος απωλειών (M3)	1.44E6
Ενεργός Όγκος (M3)	6.26E6
Όγκος άμεσης απορροής (M3)	6.26E6
Όγκος βασικής απορροής (M3)	7.46E5

Βροχόπτωση και Απορροή



Υπολεκάνη: EL0513FR5029

Έκταση (KM2) : 21.97

Κατάντη : J9

Μέθοδος Απωλειών: SCS

Ποσοστό αδιαπέρατης επιφάνειας	0
Αριθμός Καμπύλης Απορροής-CN	63.5
Αρχικές Απώλειες	29.2

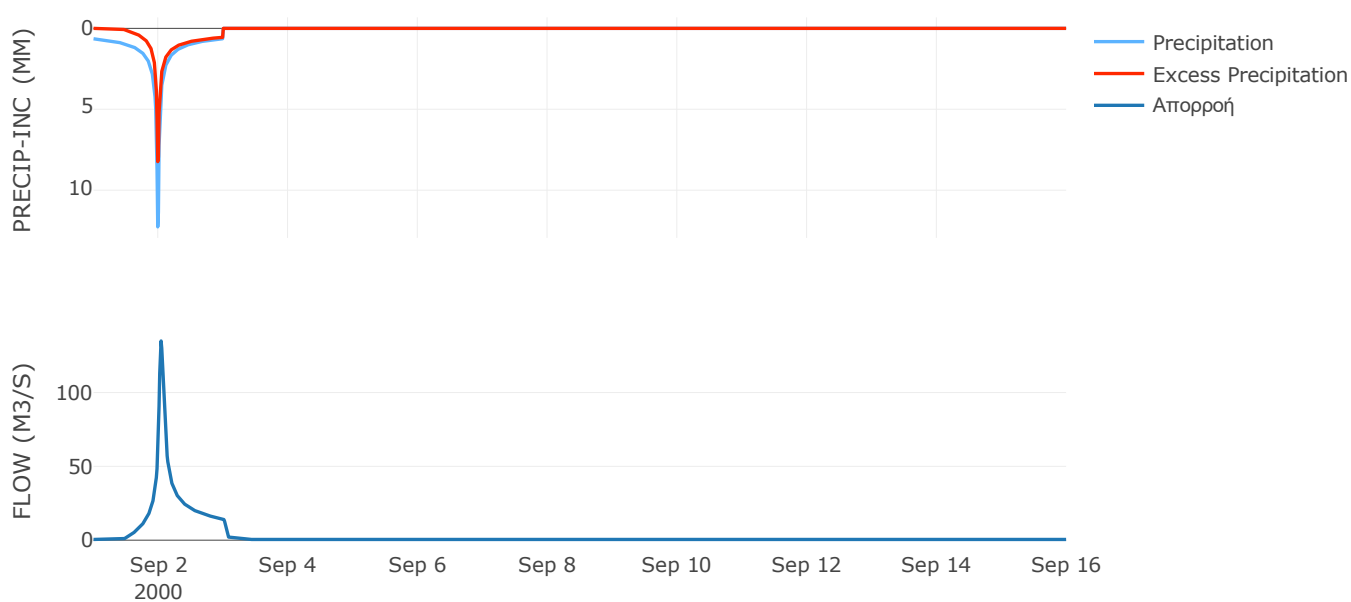
Μέθοδος  
Μετασχηματισμού: SCS

Χρόνος Υστέρησης	54.65
------------------	-------

Αποτελέσματα:  
EL0513FR5029

Παροχή αιχμής (M3/S)	134.95
Χρονική στιγμή αιχμής	02Sep2000, 01:00
Όγκος (MM)	189.32
Όγκος βροχόπτωσης (M3)	6.21E6
Όγκος απωλειών (M3)	2.68E6
Ενεργός Όγκος (M3)	3.53E6
Όγκος άμεσης απορροής (M3)	3.53E6
Όγκος βασικής απορροής (M3)	6.27E5

Βροχόπτωση και Απορροή



Υπολεκάνη: EL0513FR5030

Έκταση (KM2) : 13.43

Κατάντη : J5

Μέθοδος Απωλειών: SCS

Ποσοστό αδιαπέρατης επιφάνειας	0
Αριθμός Καμπύλης Απορροής-CN	80.68
Αρχικές Απώλειες	12.17

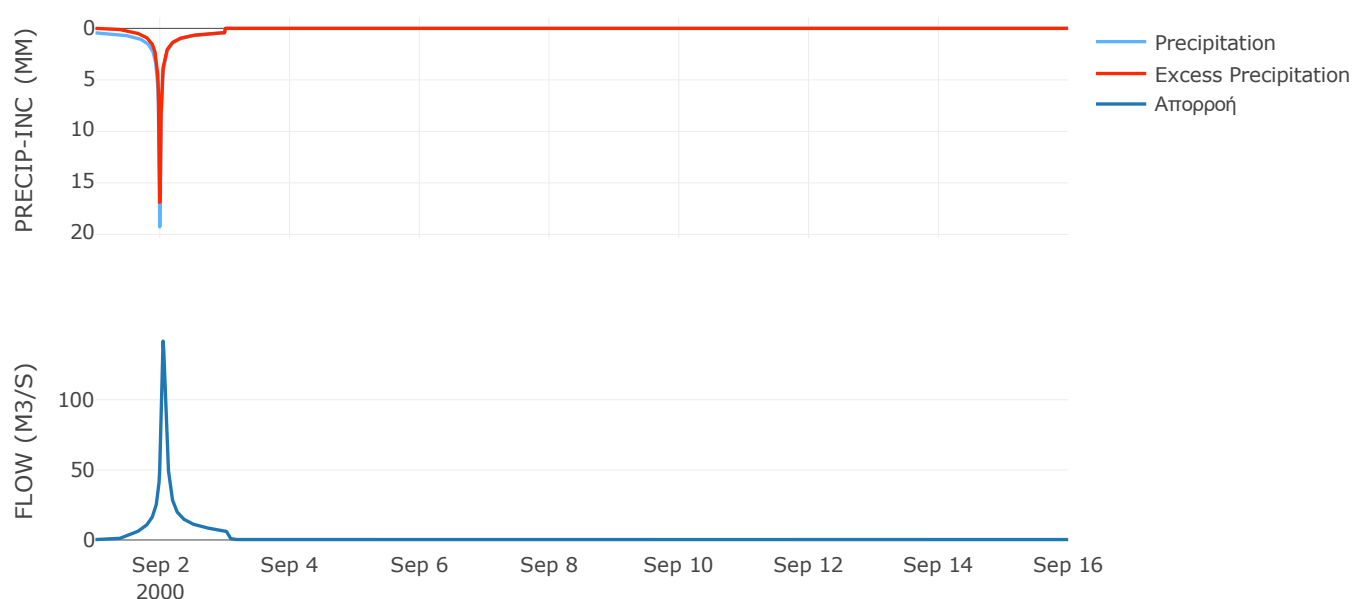
Μέθοδος  
Μετασχηματισμού: SCS

Χρόνος Υστέρησης	57.28
------------------	-------

Αποτελέσματα:  
EL0513FR5030

Παροχή αιχμής (M3/S)	141.89
Χρονική στιγμή αιχμής	02Sep2000, 01:00
Όγκος (MM)	226.99
Όγκος βροχόπτωσης (M3)	3.49E6
Όγκος απωλειών (M3)	8.19E5
Ενεργός Όγκος (M3)	2.67E6
Όγκος άμεσης απορροής (M3)	2.67E6
Όγκος βασικής απορροής (M3)	3.83E5

Βροχόπτωση και Απορροή



Υπολεκάνη: EL0513FR5031

Έκταση (KM2) : 13.12

Κατάνη : J15

Μέθοδος Απωλειών: SCS

Ποσοστό αδιαπέρατης επιφάνειας	0
Αριθμός Καμπύλης Απορροής-CN	80.52
Αρχικές Απώλειες	12.29

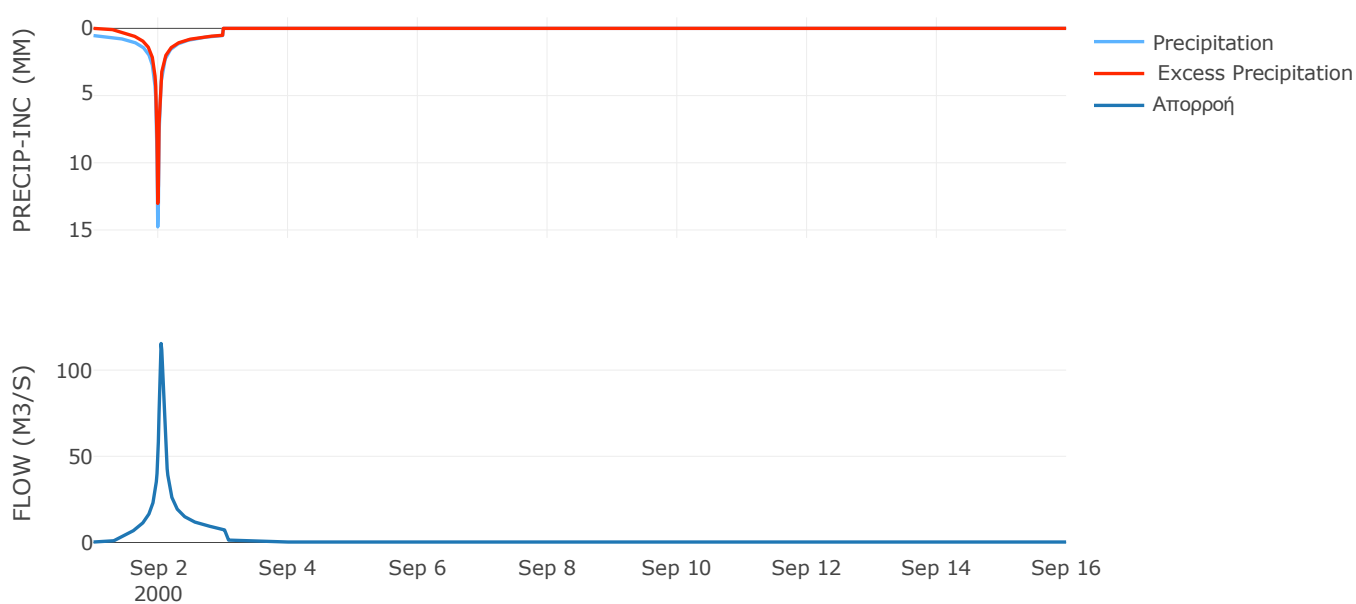
Μέθοδος  
Μετασχηματισμού: SCS

Χρόνος Υστέρησης	58.73
------------------	-------

Αποτελέσματα:  
EL0513FR5031

Παροχή αιχμής (M3/S)	115.44
Χρονική στιγμή αιχμής	02Sep2000, 01:00
Όγκος (MM)	233.95
Όγκος βροχόπτωσης (M3)	3.51E6
Όγκος απωλειών (M3)	8.11E5
Ενεργός Όγκος (M3)	2.7E6
Όγκος άμεσης απορροής (M3)	2.7E6
Όγκος βασικής απορροής (M3)	3.74E5

Βροχόπτωση και Απορροή



Υπολεκάνη: EL0513FR5032

Έκταση (KM2) : 17.35

Κατάντη : J16

Μέθοδος Απωλειών: SCS

Ποσοστό αδιαπέρατης επιφάνειας	0
Αριθμός Καμπύλης Απορροής-CN	70.21
Αρχικές Απώλειες	21.56

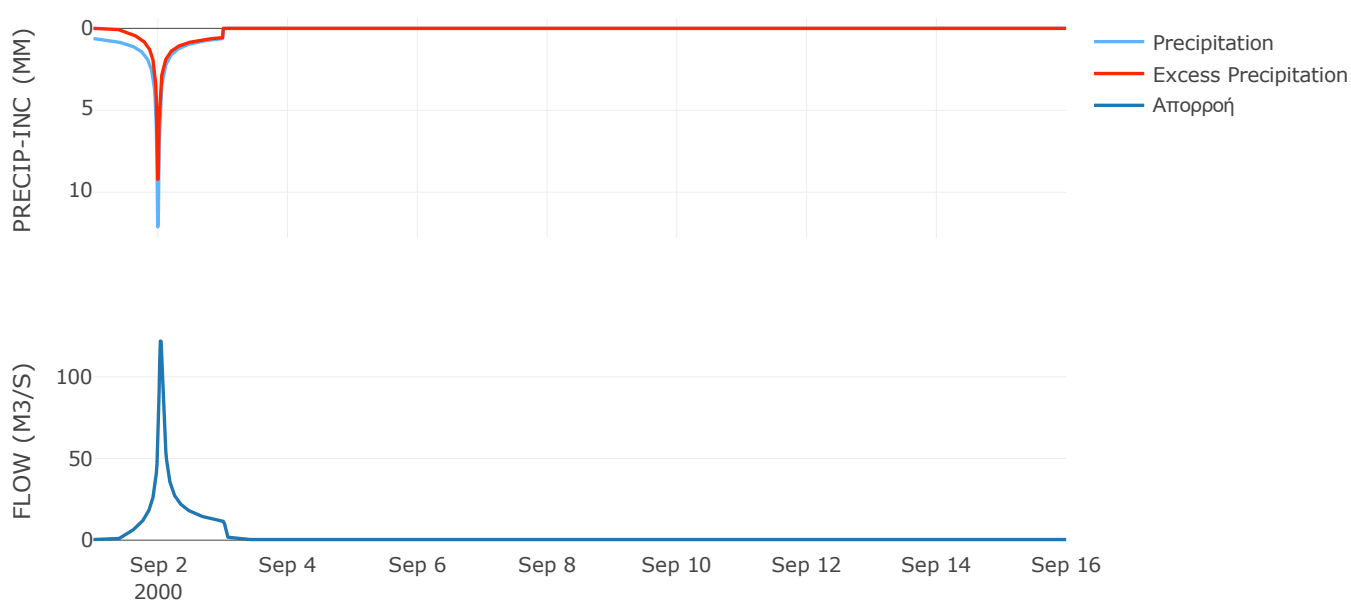
Μέθοδος  
Μετασχηματισμού: SCS

Χρόνος Υστέρησης	48.75
------------------	-------

Αποτελέσματα:  
EL0513FR5032

Παροχή αιχμής (M3/S)	121.91
Χρονική στιγμή αιχμής	02Sep2000, 00:45
Όγκος (MM)	206.89
Όγκος βροχόπτωσης (M3)	4.78E6
Όγκος απωλειών (M3)	1.69E6
Ενεργός Όγκος (M3)	3.1E6
Όγκος άμεσης απορροής (M3)	3.1E6
Όγκος βασικής απορροής (M3)	4.95E5

Βροχόπτωση και Απορροή



## Υπολεκάνη: EL0513FR5033

Έκταση (KM2) : 4.63

Κατάνη : J21 Res1

### Μέθοδος Απωλειών: Scs

Ποσοστό αδιαπέρατης επιφάνειας	0
Αριθμός Καμπύλης Απορροής-CN	68.7
Αρχικές Απώλειες	23.15

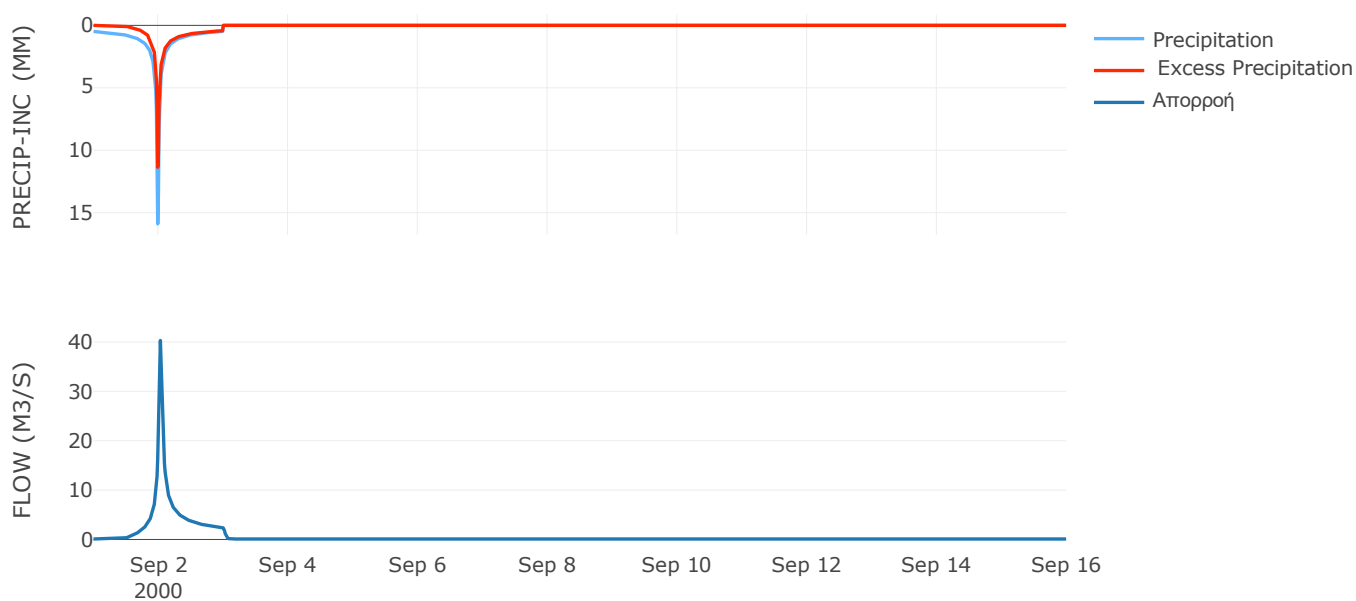
### Μέθοδος Μετασχηματισμού: Scs

Χρόνος Υστέρησης	36.76
------------------	-------

### Αποτελέσματα: EL0513FR5033

Παροχή αιχμής (M3/S)	40.3
Χρονική στιγμή αιχμής	02Sep2000, 00:45
Όγκος (MM)	184.77
Όγκος βροχόπτωσης (M3)	1.19E6
Όγκος απωλειών (M3)	4.65E5
Ενεργός Όγκος (M3)	7.23E5
Όγκος άμεσης απορροής (M3)	7.23E5
Όγκος βασικής απορροής (M3)	1.32E5

### Βροχόπτωση και Απορροή



## 7.2 Δεδομένα και υδρογραφήματα σχεδιασμού Κλάδων υδρογραφικού δικτύου

Κλάδος: R21

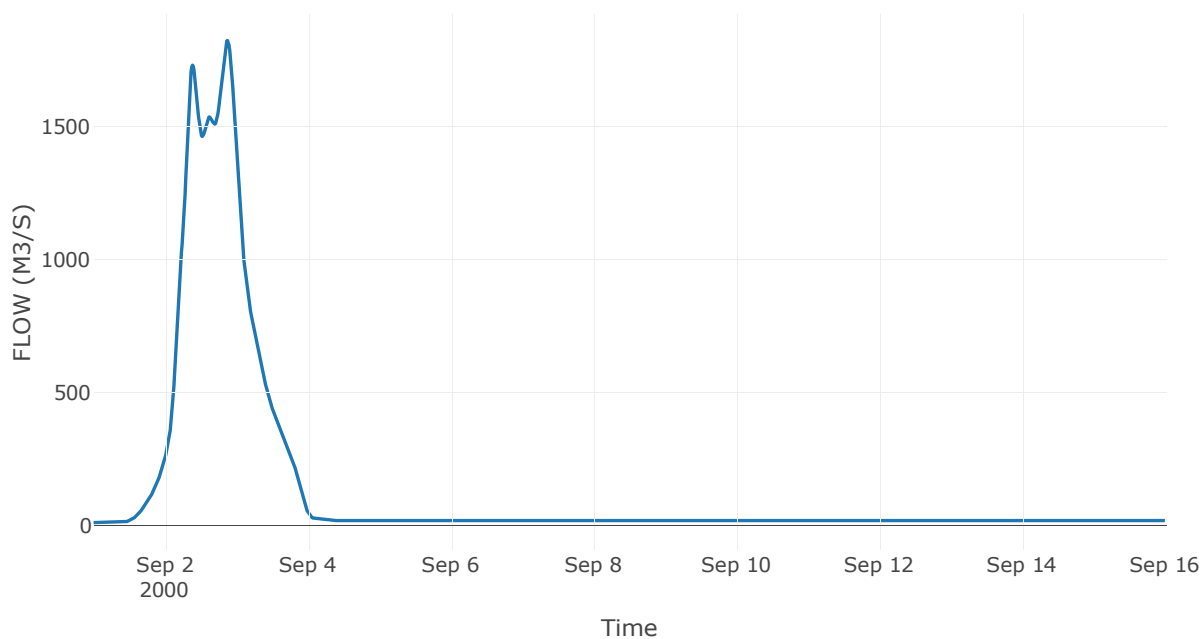
Κατάντη : J1

Μέθοδος Διόδευσης	Muskingum
Αρχική Μεταβλητή	Combined Inflow
Χρόνος Ροής Κ	1.16
Συντελεστής βάρους $\alpha$	0.2
Πλήθος Υποκλάδων	5

Αποτελέσματα: R21

Παροχή Αιχμής(M3/S)	1823.04
Χρονική στιγμή αιχμής	02Sep2000, 21:00
Όγκος(MM)	226.84
Παροχή Αιχμής Εισόδου (M3/S)	1831.91
Όγκος Εισροής(M3)	1.83E8

Απορροή





Κλάδος: R32

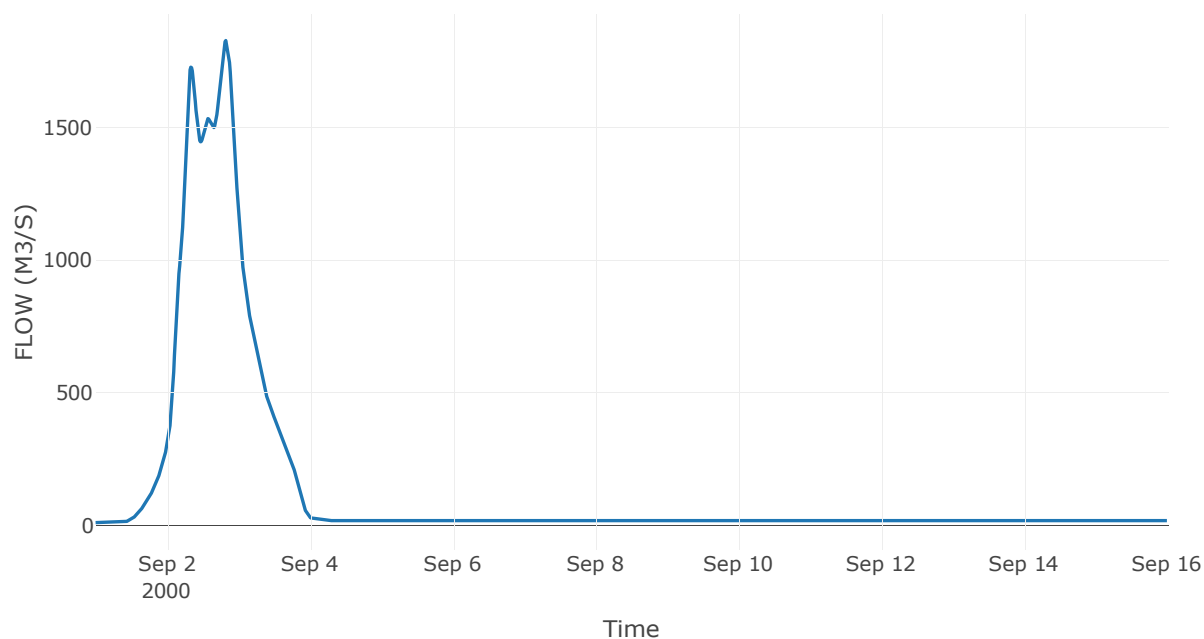
Κατάντη : J2

Μέθοδος Διόδευσης	Muskingum
Αρχική Μεταβλητή	Combined Inflow
Χρόνος Ροής K	1.79
Συντελεστής βάρους x	0.2
Πλήθος Υποκλάδων	7

Αποτελέσματα: R32

Παροχή Αιχμής(M3/S)	1828.59
Χρονική στιγμή αιχμής	02Sep2000, 19:45
Όγκος(MM)	226.97
Παροχή Αιχμής Εισόδου (M3/S)	1844.4
Όγκος Εισροής(M3)	1.82E8

Απορροή



Κλάδος: R43

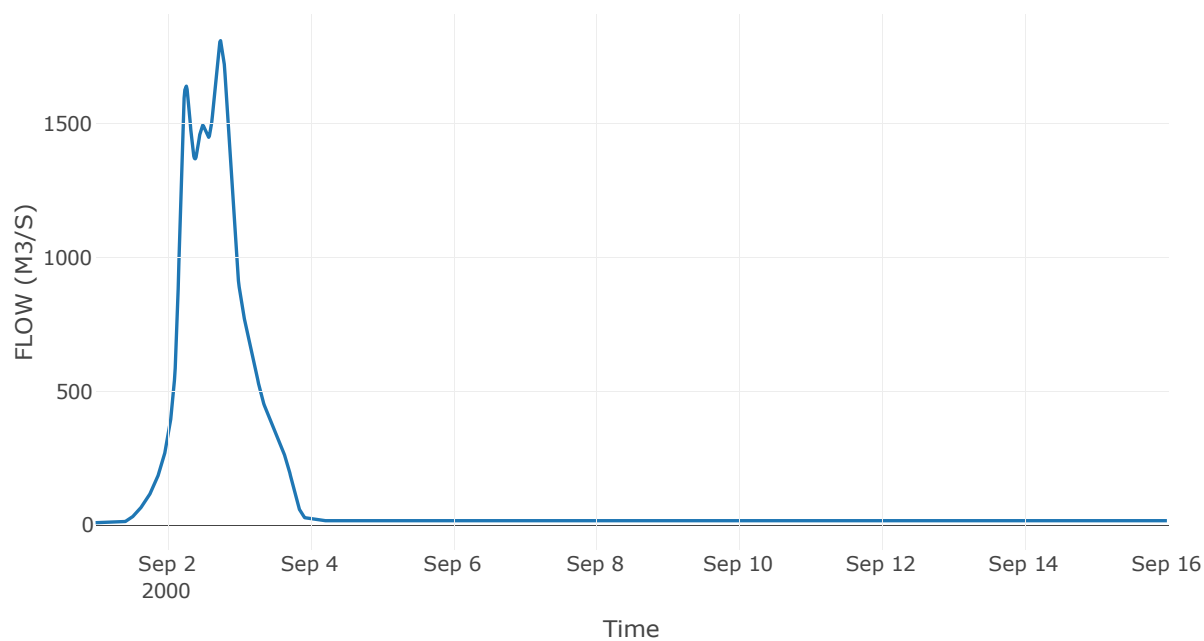
Κατάντη : J3

Μέθοδος Διόδευσης	Muskingum
Αρχική Μεταβλητή	Combined Inflow
Χρόνος Ροής K	3.42
Συντελεστής βάρους x	0.2
Πλήθος Υποκλάδων	14

Αποτελέσματα: R43

Παροχή Αιχμής(M3/S)	1811.42
Χρονική στιγμή αιχμής	02Sep2000, 18:00
Όγκος(MM)	227.69
Παροχή Αιχμής Εισόδου (M3/S)	1843.39
Όγκος Εισροής(M3)	1.69E8

Απορροή



Κλάδος: R54

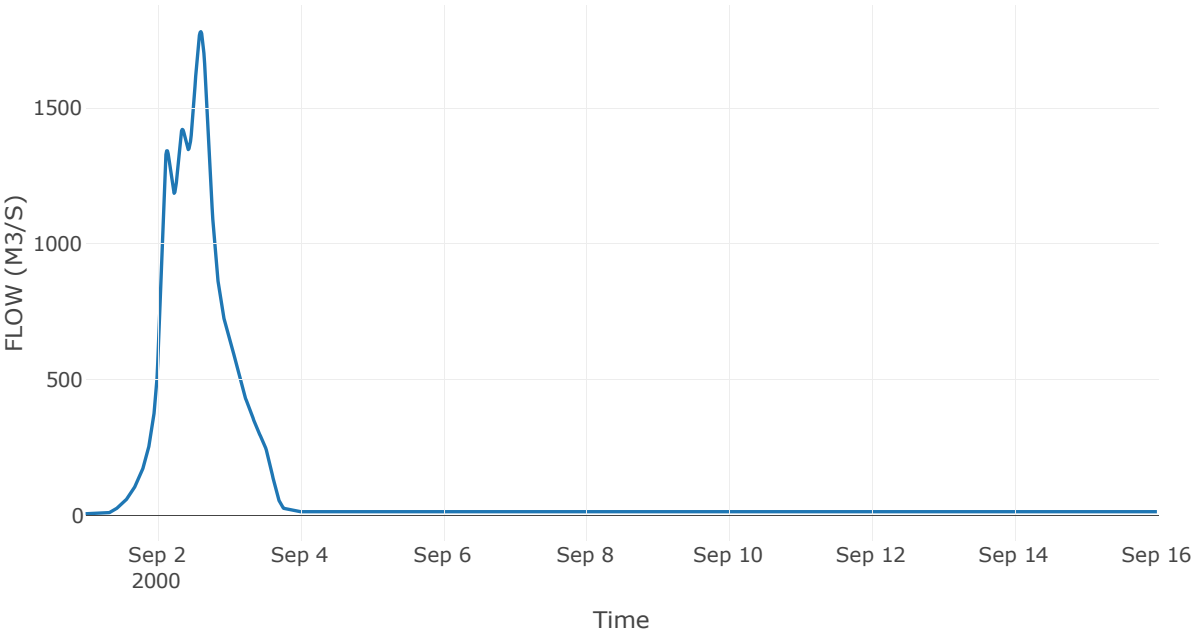
Κατάντη : J4

Μέθοδος Διόδευσης	Muskingum
Αρχική Μεταβλητή	Combined Inflow
Χρόνος Ροής K	0.15
Συντελεστής βάρους x	0.2
Πλήθος Υποκλάδων	1

Αποτελέσματα: R54

Παροχή Αιχμής(M3/S)	1781.68
Χρονική στιγμή αιχμής	02Sep2000, 14:45
Όγκος(MM)	226.96
Παροχή Αιχμής Εισόδου (M3/S)	1782.83
Όγκος Εισροής(M3)	1.52E8

Απορροή



Κλάδος: R65

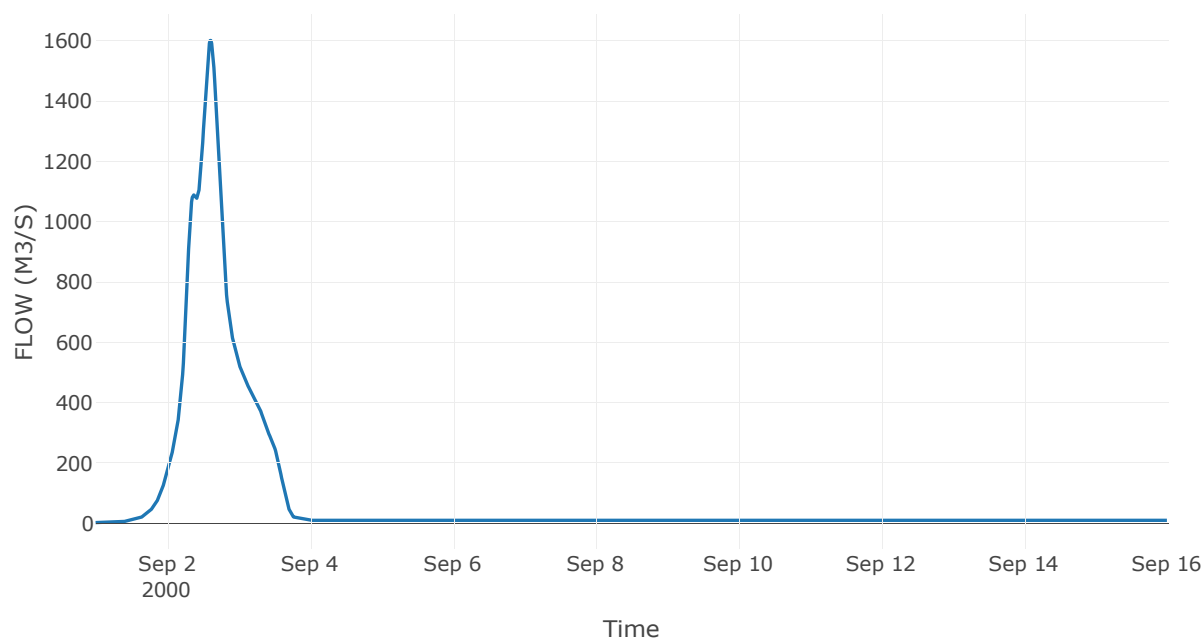
Κατάντη : J5

Μέθοδος Διόδευσης	Muskingum
Αρχική Μεταβλητή	Combined Inflow
Χρόνος Ροής K	4.12
Συντελεστής βάρους x	0.2
Πλήθος Υποκλάδων	17

Αποτελέσματα: R65

Παροχή Αιχμής(M3/S)	1600.7
Χρονική στιγμή αιχμής	02Sep2000, 14:30
Όγκος(MM)	228.51
Παροχή Αιχμής Εισόδου (M3/S)	1649.22
Όγκος Εισροής(M3)	1.09E8

Απορροή



Κλάδος: R76

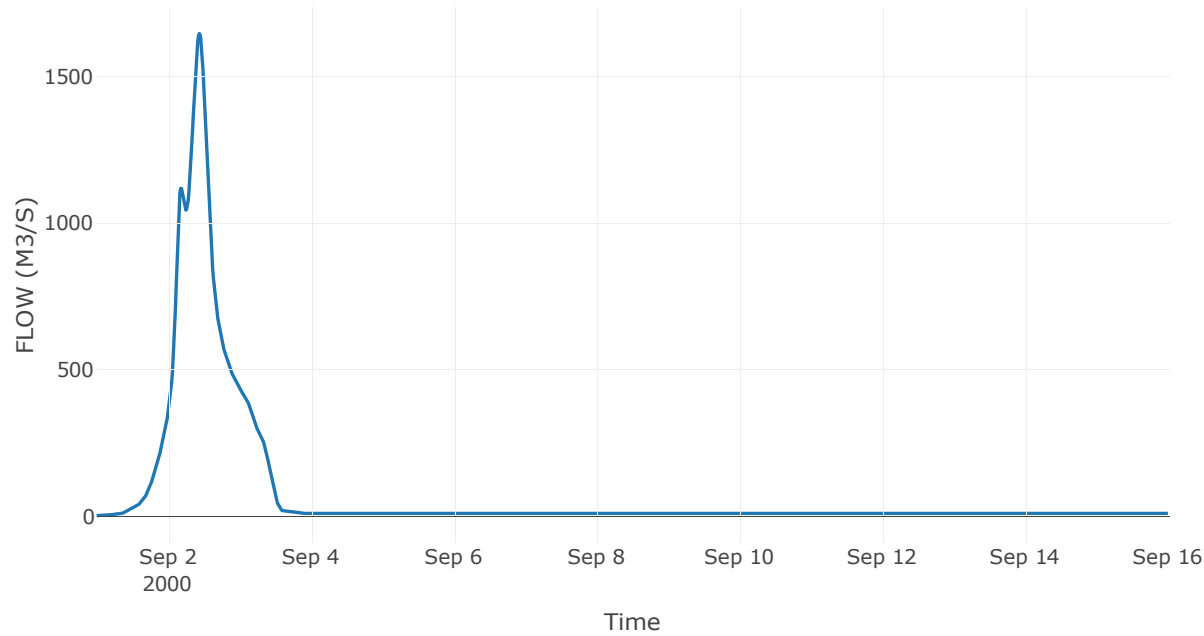
Κατάντη : J6

Μέθοδος Διόδευσης	Muskingum
Αρχική Μεταβλητή	Combined Inflow
Χρόνος Ροής K	1.71
Συντελεστής βάρους x	0.2
Πλήθος Υποκλάδων	7

Αποτελέσματα: R76

Παροχή Αιχμής(M3/S)	1645.97
Χρονική στιγμή αιχμής	02Sep2000, 10:30
Όγκος(MM)	228.95
Παροχή Αιχμής Εισόδου (M3/S)	1667.77
Όγκος Εισροής(M3)	1.08E8

Απορροή



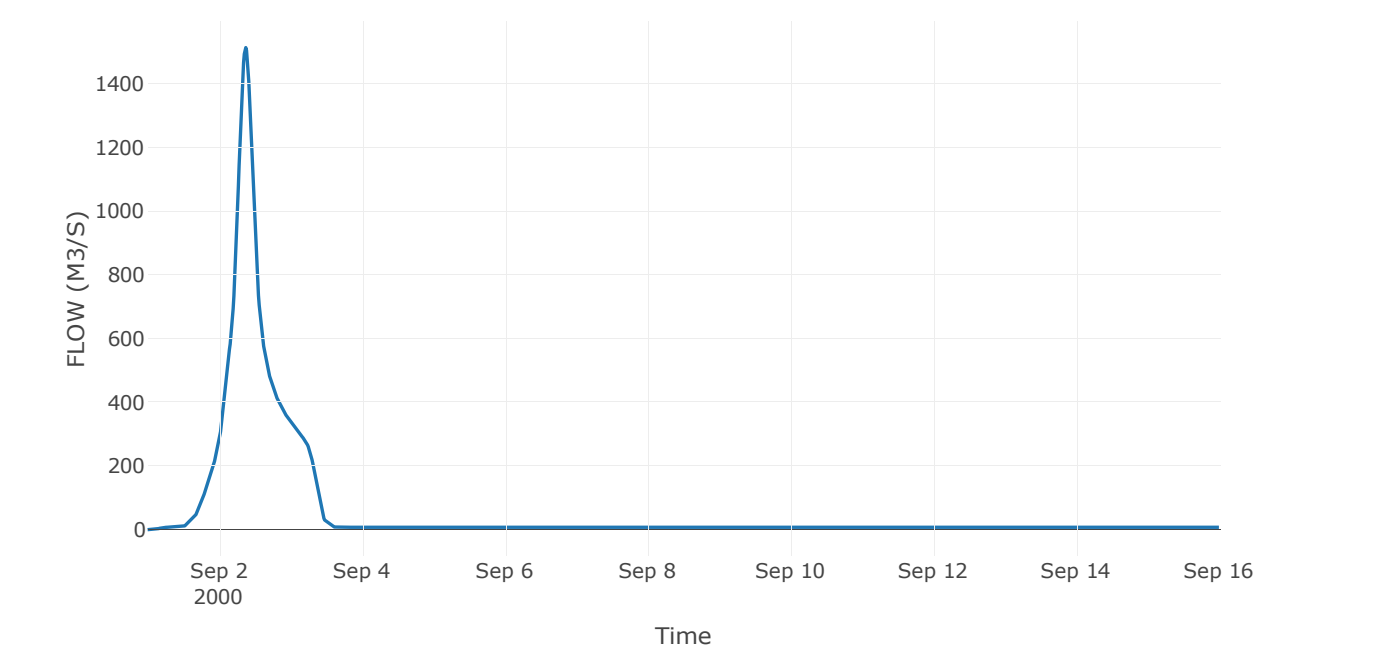
Κλάδος: R87

Κατάντη : J7

Μέθοδος Διόδευσης	Muskingum
Αρχική Μεταβλητή	Combined Inflow
Χρόνος Ροής K	1.08
Συντελεστής βάρους x	0.2
Πλήθος Υποκλάδων	5

Αποτελέσματα: R87	
Παροχή Αιχμής(M3/S)	1513.66
Χρονική στιγμή αιχμής	02Sep2000, 09:00
Όγκος(MM)	232.76
Παροχή Αιχμής Εισόδου (M3/S)	1526.82
Όγκος Εισροής(M3)	8.41E7

Απορροή



Κλάδος: R218

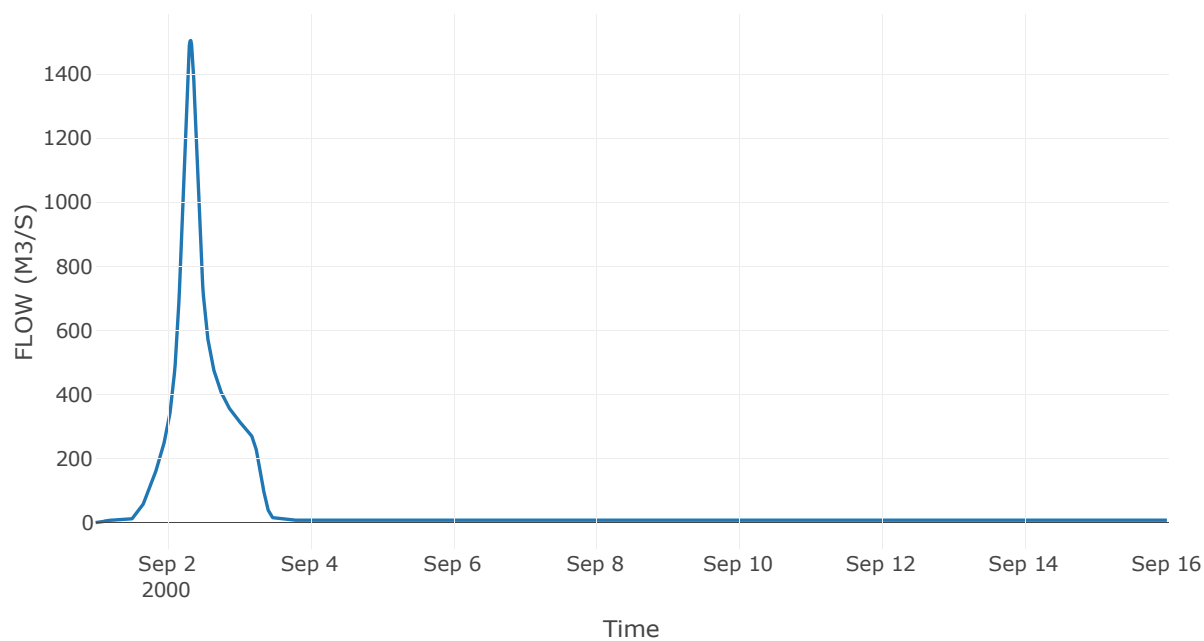
Κατάντη : J8

Μέθοδος Διόδευσης	Muskingum
Αρχική Μεταβλητή	Combined Inflow
Χρόνος Ροής K	2.12
Συντελεστής βάρους x	0.2
Πλήθος Υποκλάδων	9

Αποτελέσματα: R218

Παροχή Αιχμής(M3/S)	1504.55
Χρονική στιγμή αιχμής	02Sep2000, 08:00
Όγκος(MM)	234.5
Παροχή Αιχμής Εισόδου (M3/S)	1538.78
Όγκος Εισροής(M3)	8.03E7

Απορροή



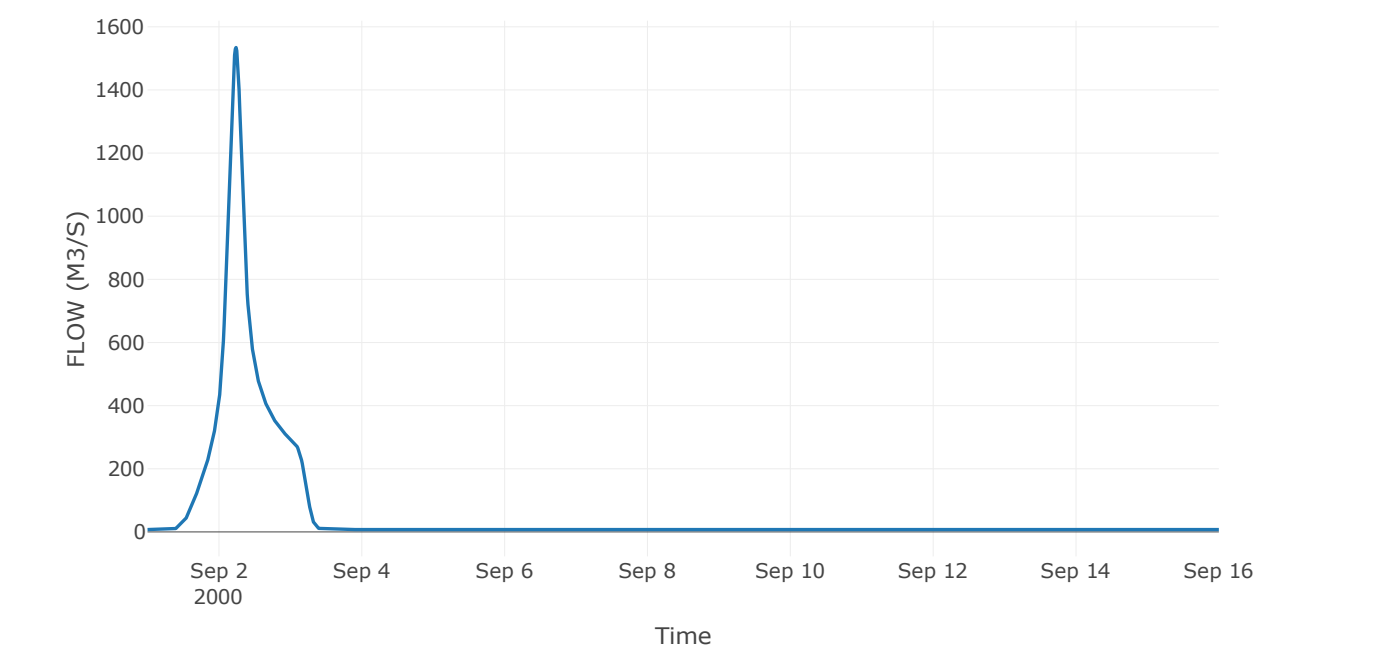
Κλάδος: R921

Κατάντη : J21 Res1

Μέθοδος Διόδευσης	Muskingum
Αρχική Μεταβλητή	Combined Inflow
Χρόνος Ροής K	1.51
Συντελεστής βάρους x	0.2
Πλήθος Υποκλάδων	6

Αποτελέσματα: R921	
Παροχή Αιχμής(M3/S)	1534.45
Χρονική στιγμή αιχμής	02Sep2000, 05:45
Όγκος(MM)	235.41
Παροχή Αιχμής Εισόδου (M3/S)	1564.08
Όγκος Εισροής(M3)	7.95E7

Απορροή





Κλάδος: R109

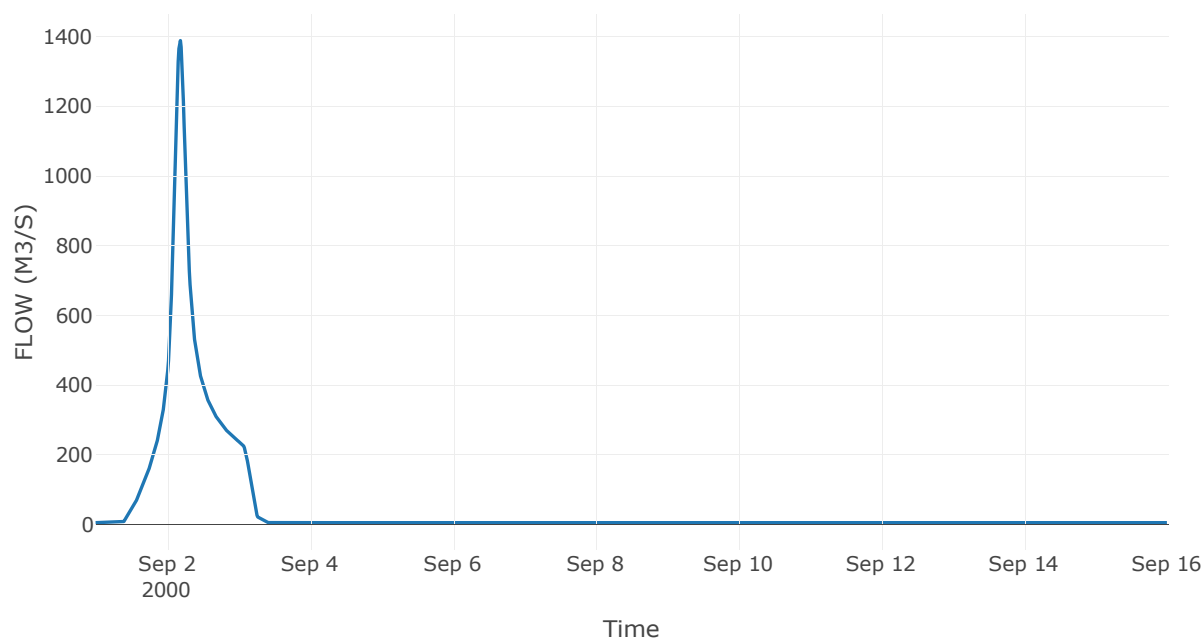
Κατάντη : J9

Μέθοδος Διόδευσης	Muskingum
Αρχική Μεταβλητή	Combined Inflow
Χρόνος Ροής K	1.75
Συντελεστής βάρους x	0.2
Πλήθος Υποκλάδων	7

Αποτελέσματα: R109

Παροχή Αιχμής(M3/S)	1388.54
Χρονική στιγμή αιχμής	02Sep2000, 04:30
Όγκος(MM)	237.46
Παροχή Αιχμής Εισόδου (M3/S)	1437.45
Όγκος Εισροής(M3)	6.63E7

Απορροή



Κλάδος: R1110

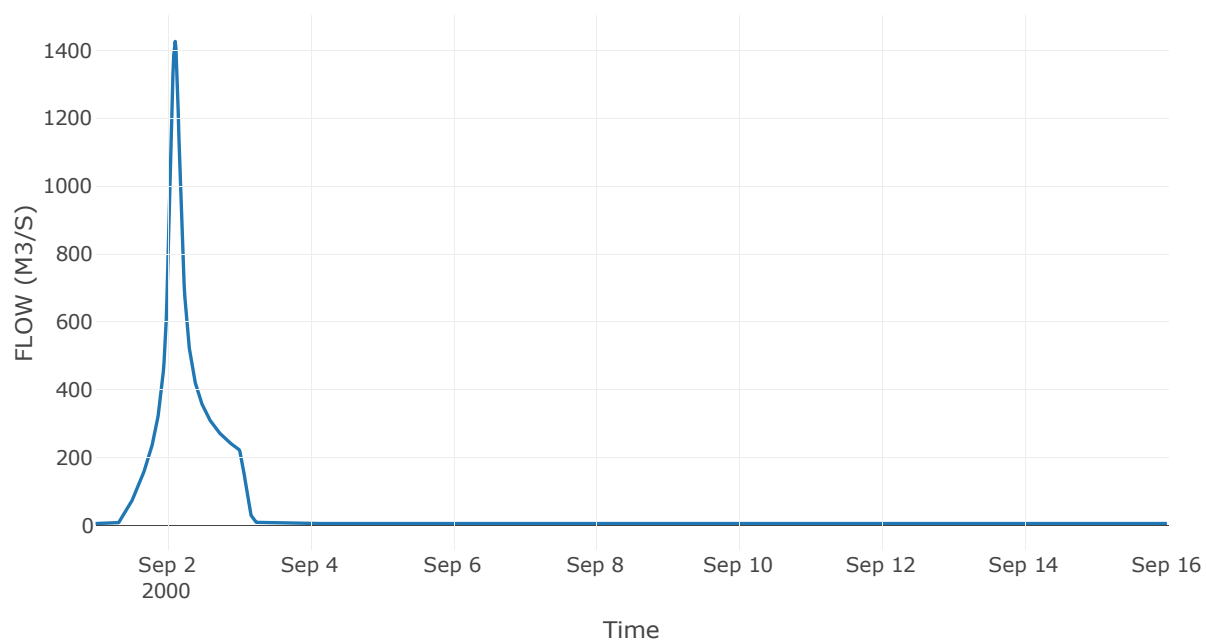
Κατάντη : J10

Μέθοδος Διόδευσης	Χρόνος Υστέρησης
Αρχική Μεταβλητή	Combined Inflow
Χρόνος Υστέρησης	6.74

Αποτελέσματα: R1110

Παροχή Αιχμής(M3/S)	1426.35
Χρονική στιγμή αιχμής	02Sep2000, 02:45
Όγκος(MM)	237.72
Παροχή Αιχμής Εισόδου (M3/S)	1428.7
Όγκος Εισροής(M3)	6.54E7

Απορροή



Κλάδος: R1211

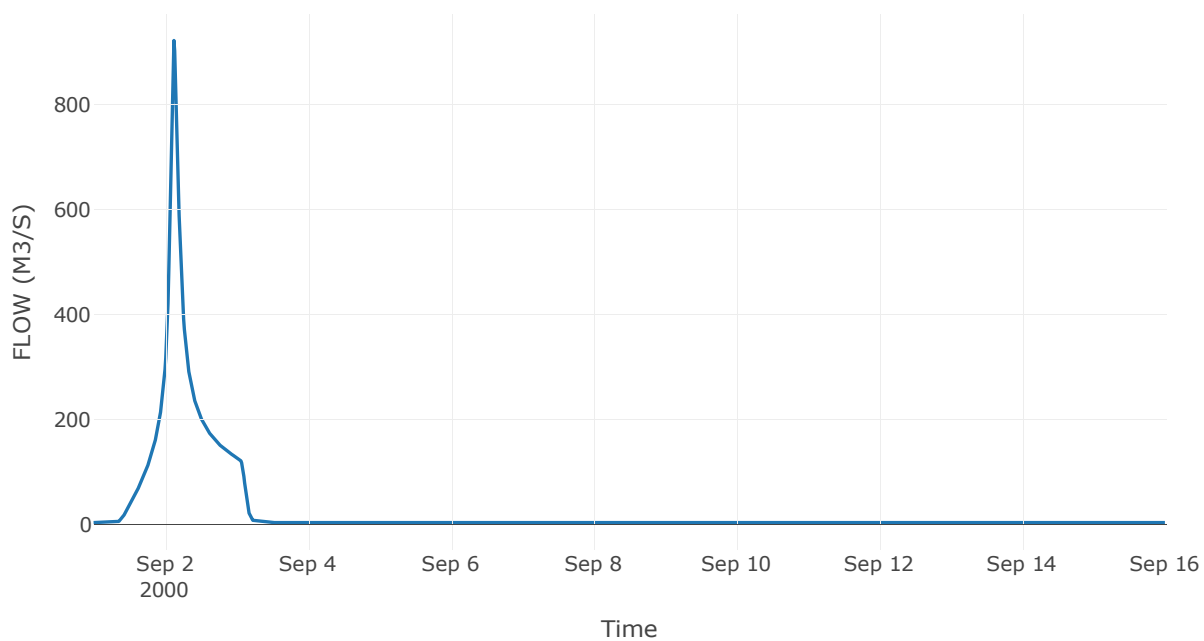
Κατάντη : J11

Μέθοδος Διόδευσης	Muskingum
Αρχική Μεταβλητή	Combined Inflow
Χρόνος Ροής K	1.52
Συντελεστής βάρους x	0.2
Πλήθος Υποκλάδων	6

Αποτελέσματα: R1211

Παροχή Αιχμής(M3/S)	922.28
Χρονική στιγμή αιχμής	02Sep2000, 03:00
Όγκος(MM)	241.48
Παροχή Αιχμής Εισόδου (M3/S)	983.58
Όγκος Εισροής(M3)	3.7E7

Απορροή



Κλάδος: R1312

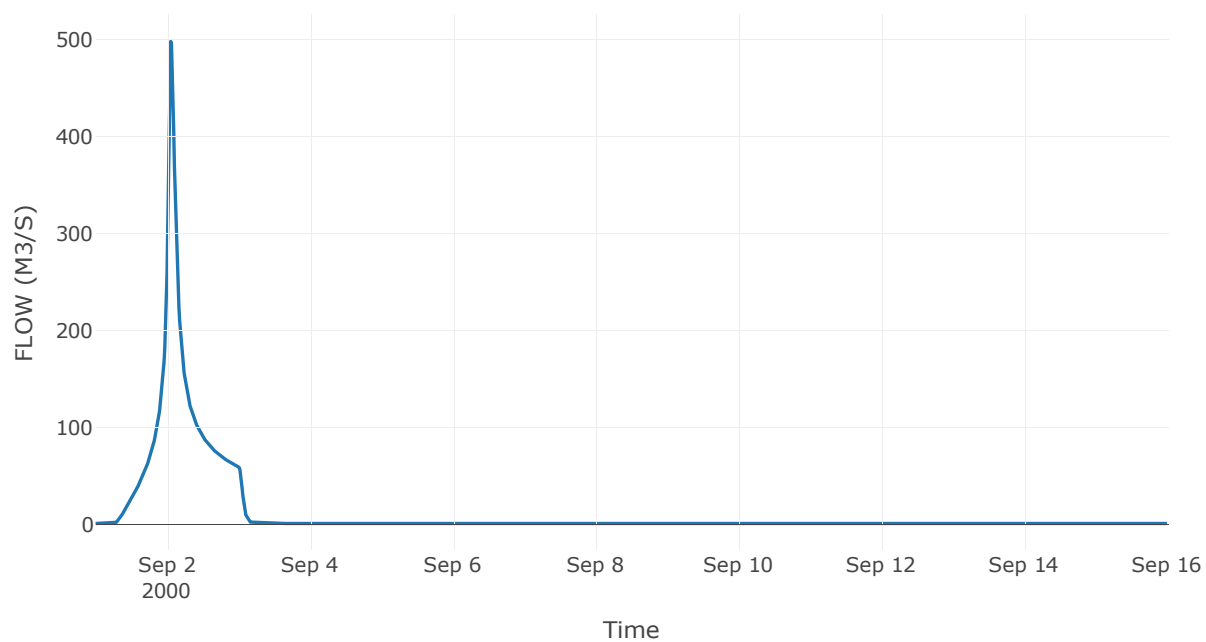
Κατάντη : J12

Μέθοδος Διόδευσης	Χρόνος Υστέρησης
Αρχική Μεταβλητή	Combined Inflow
Χρόνος Υστέρησης	9.62

Αποτελέσματα: R1312

Παροχή Αιχμής(M3/S)	498.02
Χρονική στιγμή αιχμής	02Sep2000, 01:15
Όγκος(MM)	246.96
Παροχή Αιχμής Εισόδου (M3/S)	500.96
Όγκος Εισροής(M3)	1.83E7

Απορροή



Κλάδος: R147

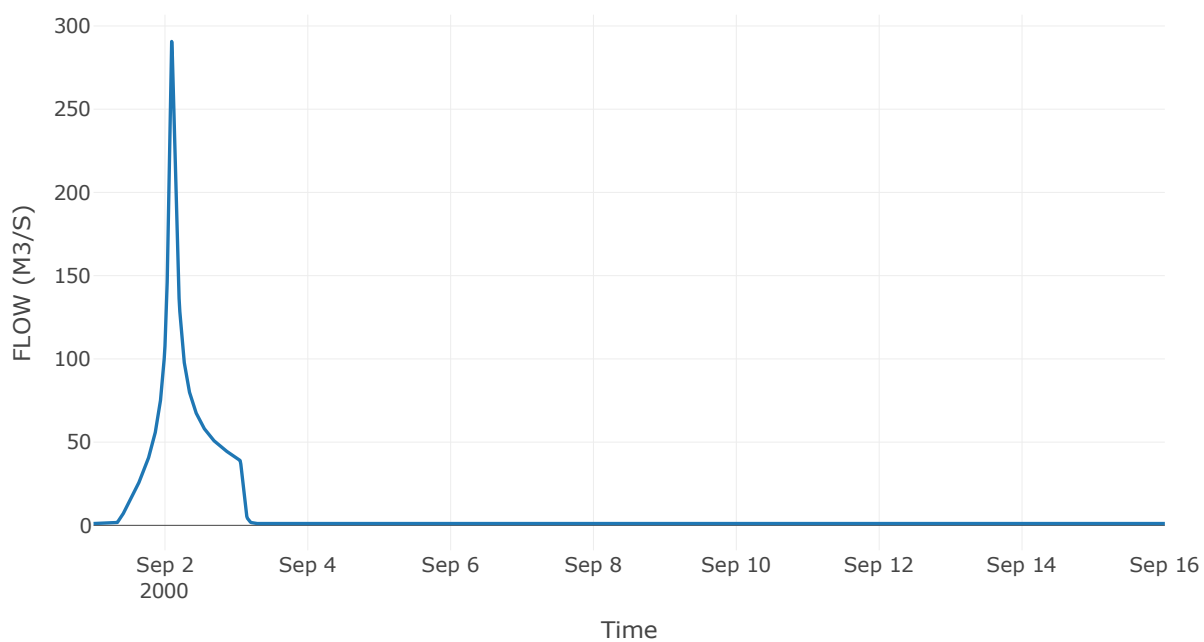
Κατάντη : J7

Μέθοδος Διόδευσης	Χρόνος Υστέρησης
Αρχική Μεταβλητή	Combined Inflow
Χρόνος Υστέρησης	57.57

Αποτελέσματα: R147

Παροχή Αιχμής(M3/S)	290.7
Χρονική στιγμή αιχμής	02Sep2000, 02:15
Όγκος(MM)	230.66
Παροχή Αιχμής Εισόδου (M3/S)	292.18
Όγκος Εισροής(M3)	1.14E7

Απορροή



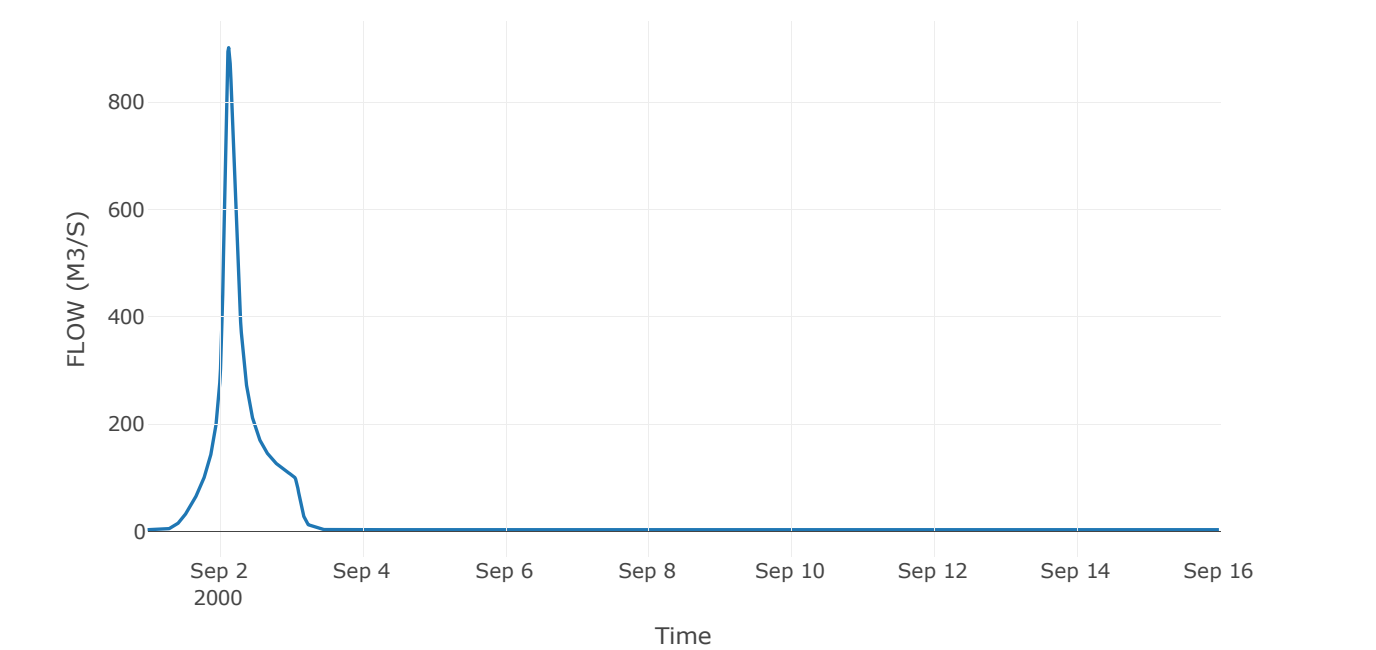
Κλάδος: R155

Κατάντη : J5

Μέθοδος Διόδευσης	Muskingum
Αρχική Μεταβλητή	Combined Inflow
Χρόνος Ροής K	1.08
Συντελεστής βάρους x	0.2
Πλήθος Υποκλάδων	5

Αποτελέσματα: R155	
Παροχή Αιχμής(M3/S)	901.23
Χρονική στιγμή αιχμής	02Sep2000, 03:15
Όγκος(MM)	226.65
Παροχή Αιχμής Εισόδου (M3/S)	920.08
Όγκος Εισροής(M3)	3.67E7

Απορροή



Κλάδος: R1615

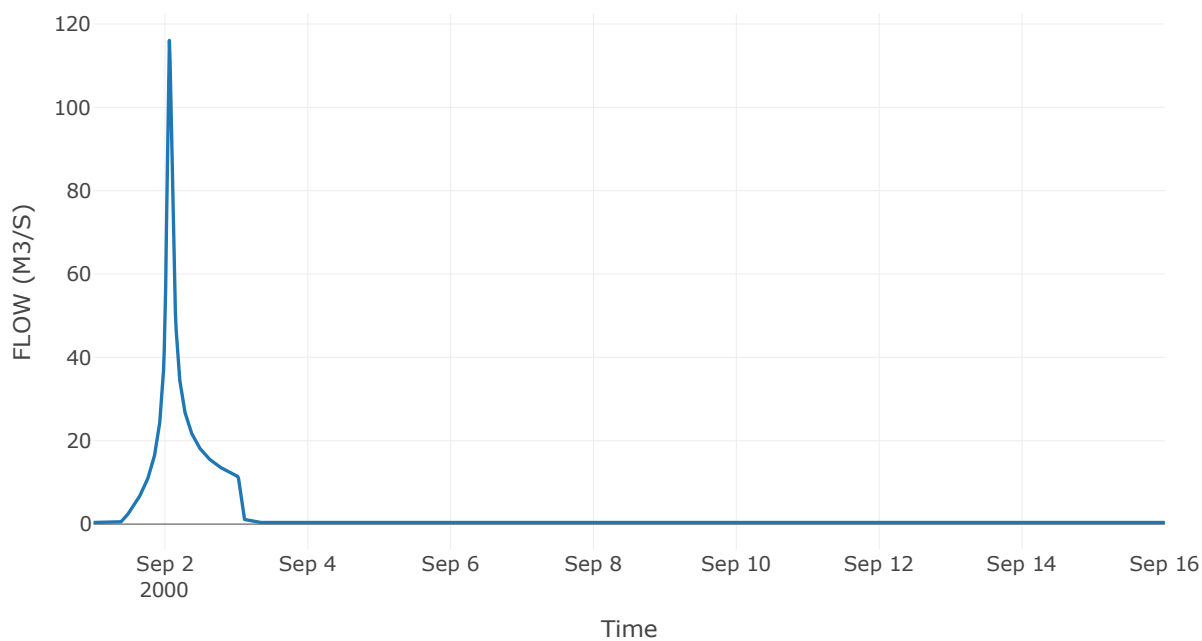
Κατάντη : J15

Μέθοδος Διόδευσης	Muskingum
Αρχική Μεταβλητή	Combined Inflow
Χρόνος Ροής K	0.53
Συντελεστής βάρους x	0.2
Πλήθος Υποκλάδων	2

Αποτελέσματα: R1615

Παροχή Αιχμής(M3/S)	116.06
Χρονική στιγμή αιχμής	02Sep2000, 01:30
Όγκος(MM)	206.89
Παροχή Αιχμής Εισόδου (M3/S)	121.91
Όγκος Εισροής(M3)	3.59E6

Απορροή



Κλάδος: R1715

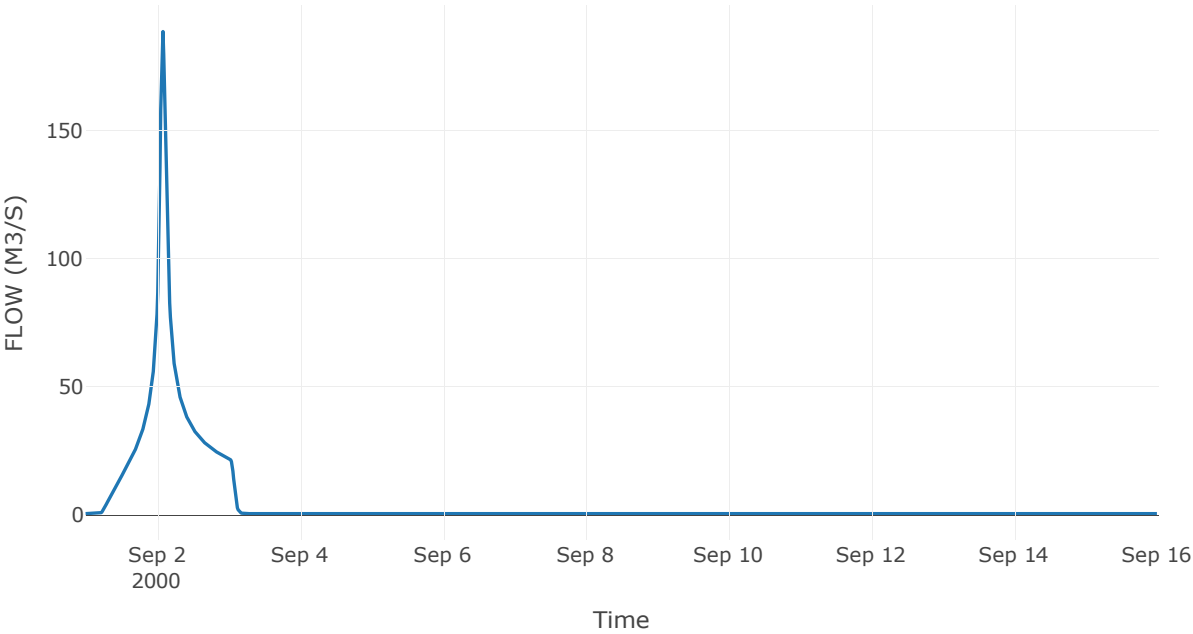
Κατάντη : J15

Μέθοδος Διόδευσης	Muskingum
Αρχική Μεταβλητή	Combined Inflow
Χρόνος Ροής K	0.96
Συντελεστής βάρους x	0.2
Πλήθος Υποκλάδων	4

Αποτελέσματα: R1715

Παροχή Αιχμής(M3/S)	188.77
Χρονική στιγμή αιχμής	02Sep2000, 02:00
Όγκος(MM)	267.53
Παροχή Αιχμής Εισόδου (M3/S)	202.95
Όγκος Εισροής(M3)	7E6

Απορροή





Κλάδος: R184

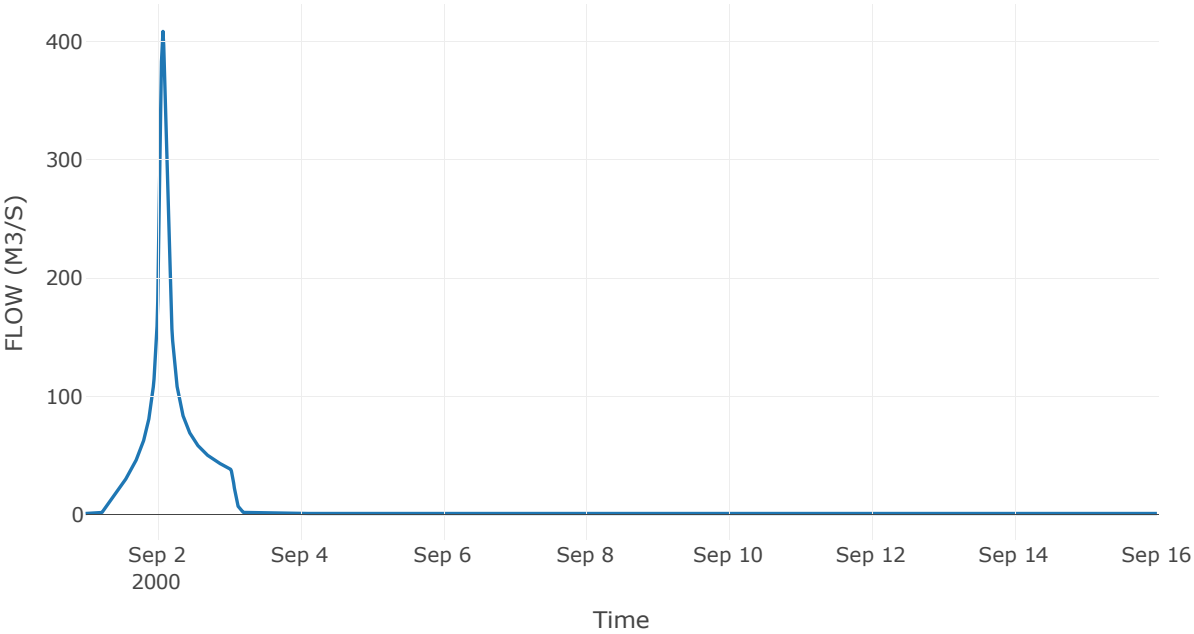
Κατάντη : J4

Μέθοδος Διόδευσης	Muskingum
Αρχική Μεταβλητή	Combined Inflow
Χρόνος Ροής K	0.53
Συντελεστής βάρους x	0.2
Πλήθος Υποκλάδων	2

Αποτελέσματα: R184

Παροχή Αιχμής(M3/S)	408.39
Χρονική στιγμή αιχμής	02Sep2000, 02:00
Όγκος(MM)	235.77
Παροχή Αιχμής Εισόδου (M3/S)	419.38
Όγκος Εισροής(M3)	1.43E7

Απορροή



Κλάδος: R193

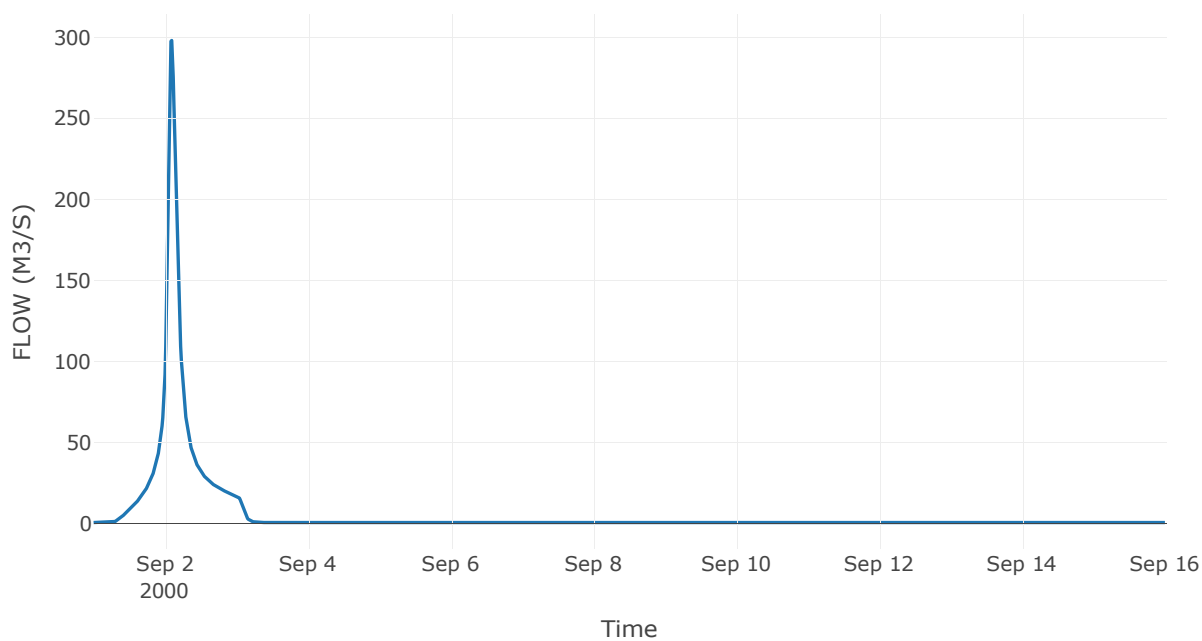
Κατάντη : J3

Μέθοδος Διόδευσης	Muskingum
Αρχική Μεταβλητή	Combined Inflow
Χρόνος Ροής K	0.25
Συντελεστής βάρους x	0.2
Πλήθος Υποκλάδων	1

Αποτελέσματα: R193

Παροχή Αιχμής(M3/S)	297.88
Χρονική στιγμή αιχμής	02Sep2000, 02:15
Όγκος(MM)	215.29
Παροχή Αιχμής Εισόδου (M3/S)	300.71
Όγκος Εισροής(M3)	8.7E6

Απορροή



Κλάδος: R2019

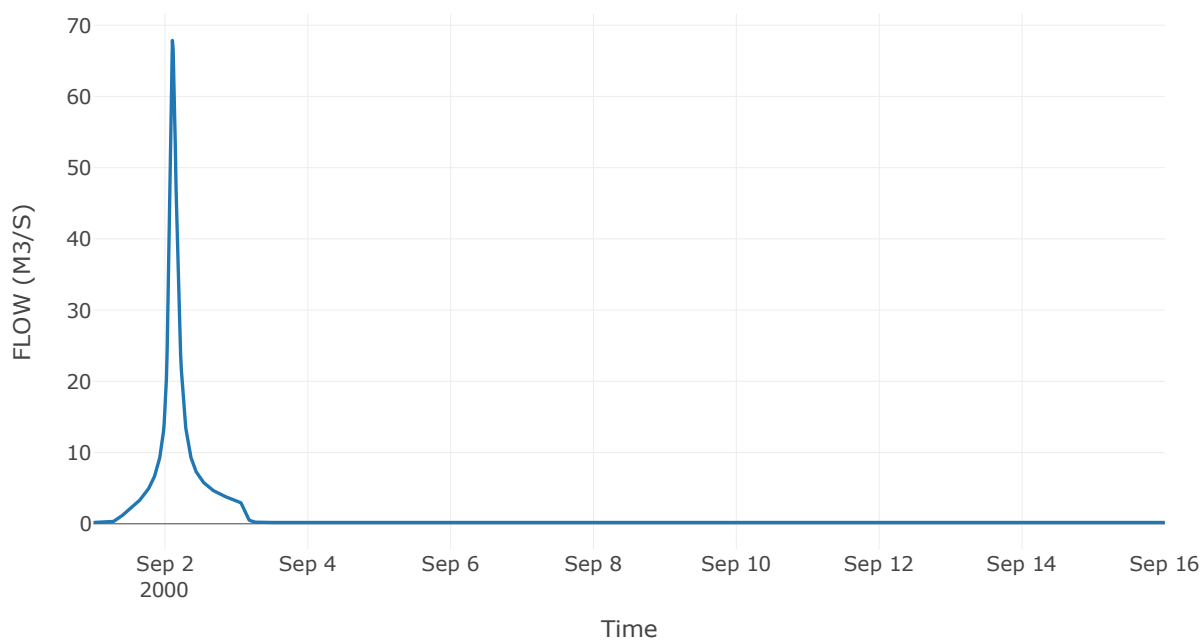
Κατάντη : J19

Μέθοδος Διόδευσης	Muskingum
Αρχική Μεταβλητή	Combined Inflow
Χρόνος Ροής K	0.84
Συντελεστής βάρους x	0.2
Πλήθος Υποκλάδων	4

Αποτελέσματα: R2019

Παροχή Αιχμής(M3/S)	67.86
Χρονική στιγμή αιχμής	02Sep2000, 02:30
Όγκος(MM)	215.84
Παροχή Αιχμής Εισόδου (M3/S)	70.11
Όγκος Εισροής(M3)	1.78E6

Απορροή



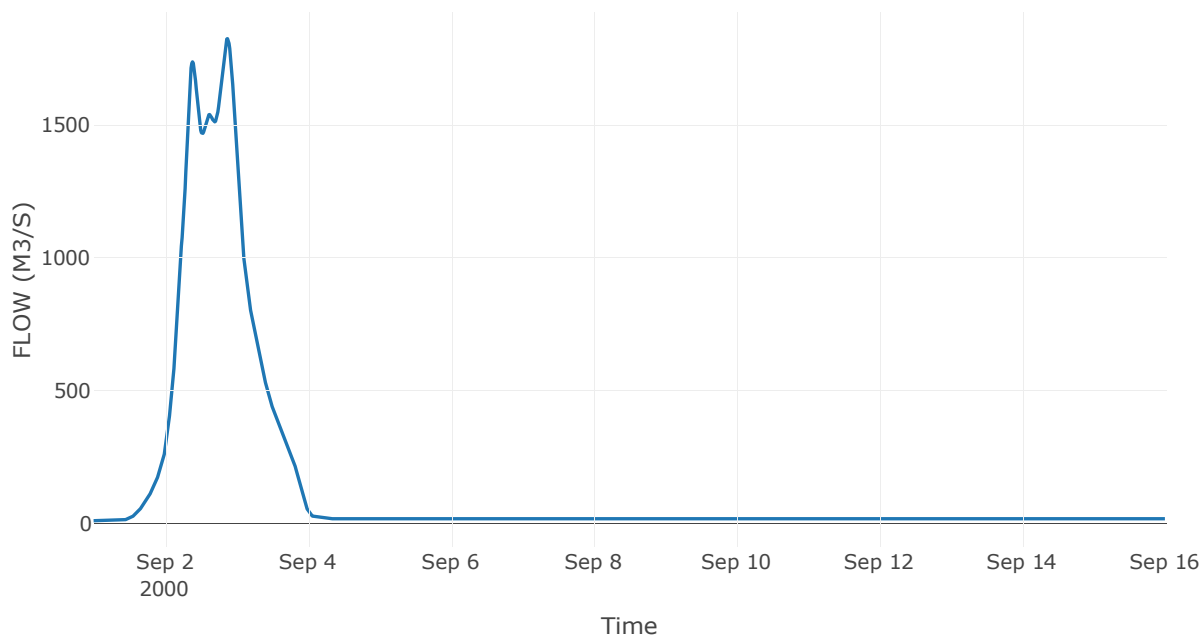
## 7.3 Δεδομένα και υδρογραφήματα σχεδιασμού Κόμβων υδρογραφικού δικτύου

Κόμβος εξόδου: J1

Αποτέλεσμα  
τα: J1

Παροχή αιχμής (M3/S)	1826.97
Χρονική στιγμή αιχμής	02Sep2000, 21:00
Όγκος (MM)	226.56

Απορροή



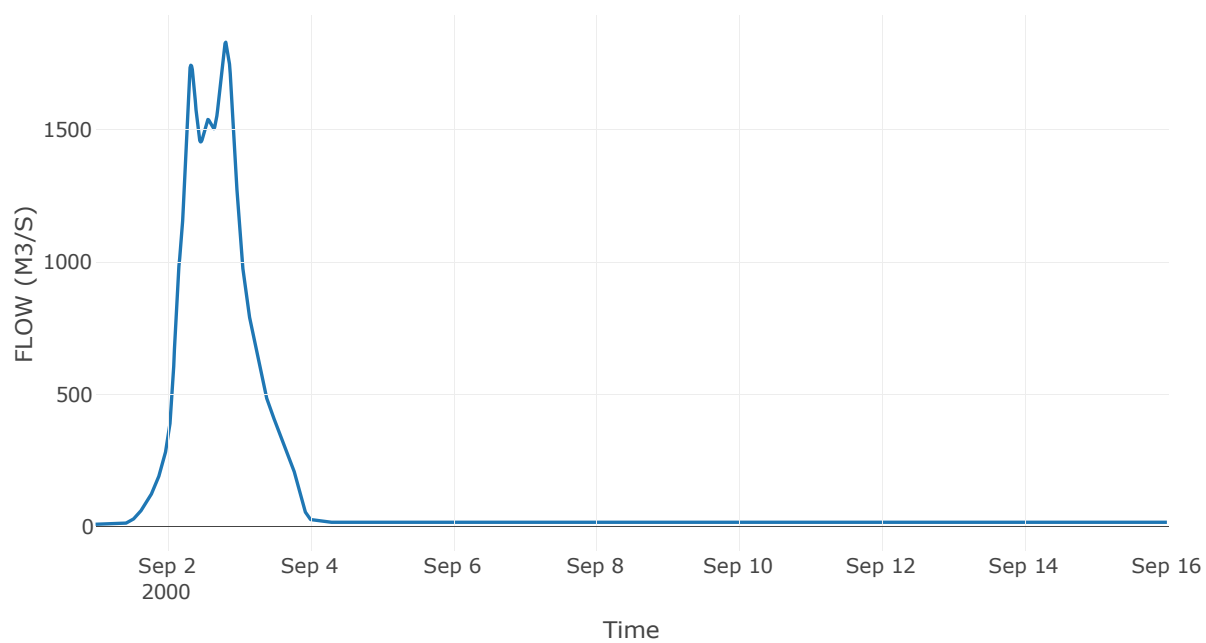
Κόμβος: J2

Κατάντη : R21

Αποτελέσματα: J2

Παροχή Αιχμής(M3/S)	1831.91
Χρονική στιγμή αιχμής	02Sep2000, 19:45
Όγκος(MM)	226.88

Απορροή



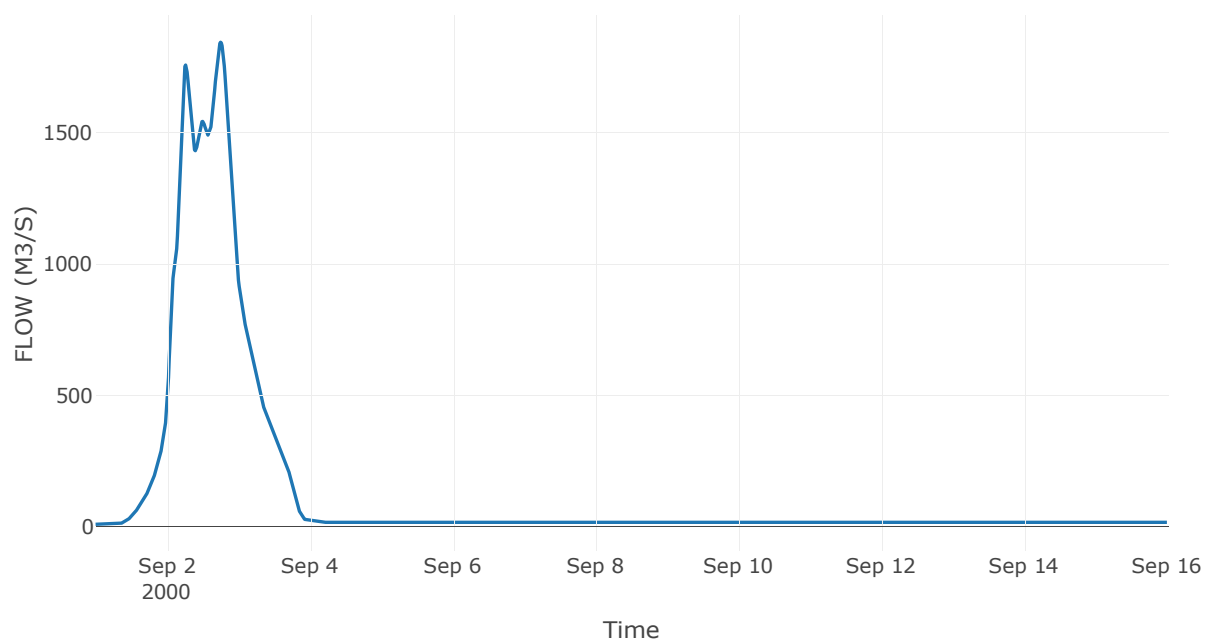
Κόμβος: J3

Κατάντη : R32

Αποτελέσματα: J3

Παροχή Αιχμής(M3/S)	1844.4
Χρονική στιγμή αιχμής	02Sep2000, 18:00
Όγκος(MM)	227.03

Απορροή



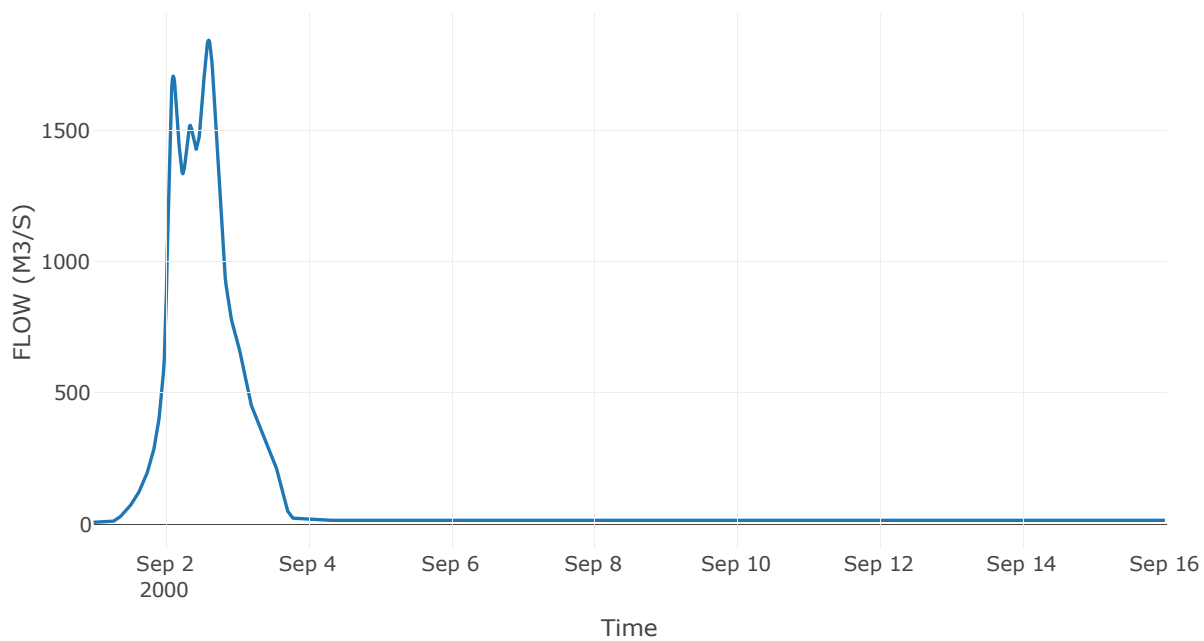
Κόμβος: J4

Κατάντη : R43

Αποτελέσματα: J4

Παροχή Αιχμής(M3/S)	1843.39
Χρονική στιγμή αιχμής	02Sep2000, 14:45
Όγκος(MM)	227.82

Απορροή



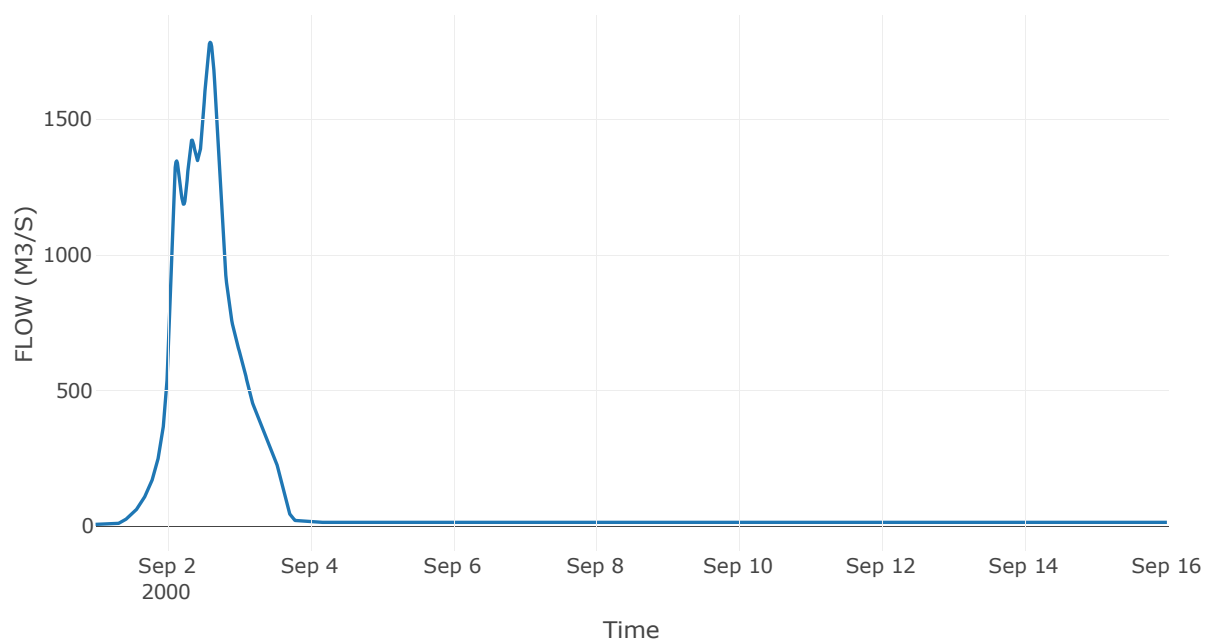
Κόμβος: J5

Κατάντη : R54

Αποτελέσματα: J5

Παροχή Αιχμής(M3/S)	1782.83
Χρονική στιγμή αιχμής	02Sep2000, 14:30
Όγκος(MM)	226.97

Απορροή





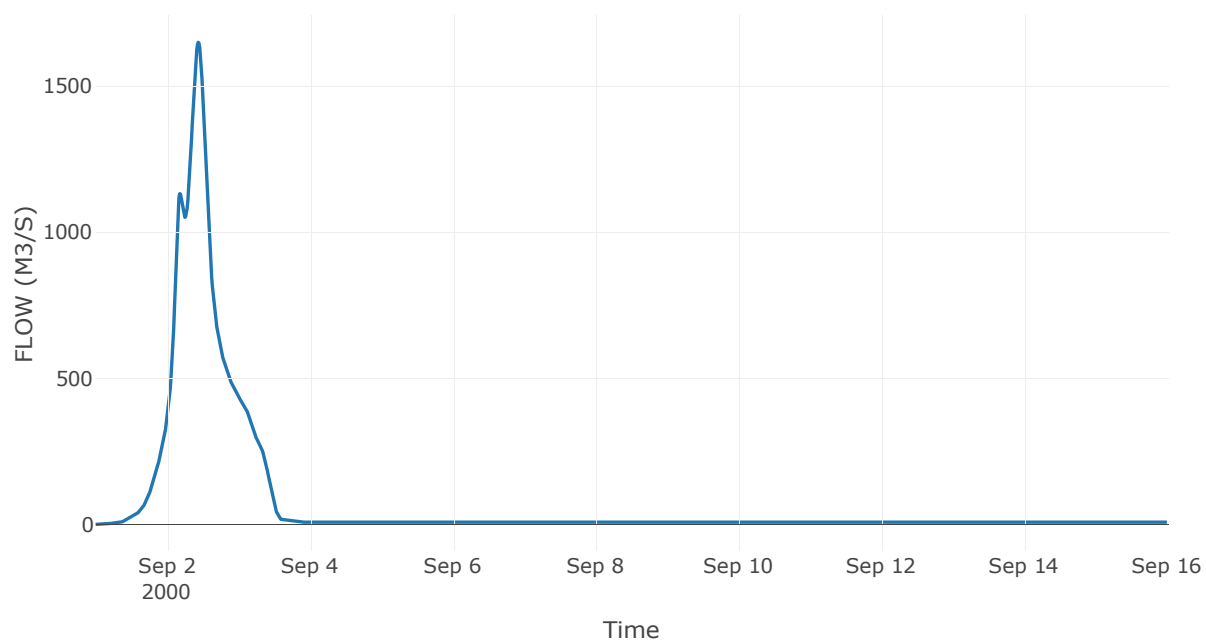
Κόμβος: J6

Κατάντη : R65

Αποτελέσματα: J6

Παροχή Αιχμής(M3/S)	1649.22
Χρονική στιγμή αιχμής	02Sep2000, 10:30
Όγκος(MM)	228.74

Απορροή



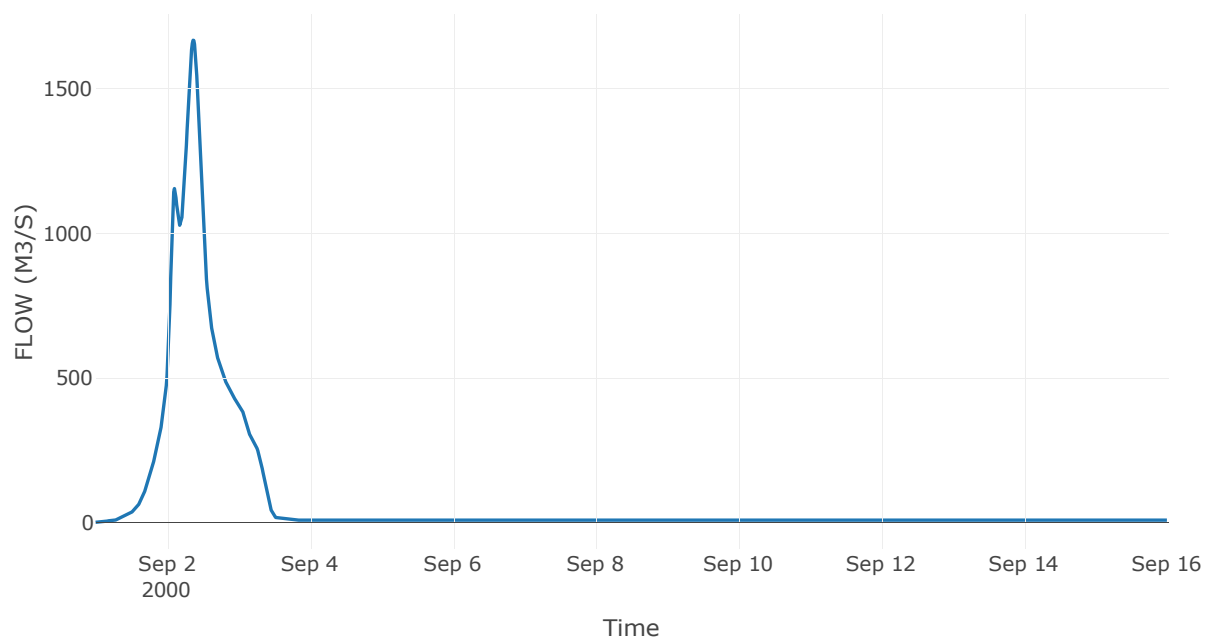
Κόμβος: J7

Κατάντη : R76

Αποτελέσματα: J7

Παροχή Αιχμής(M3/S)	1667.77
Χρονική στιγμή αιχμής	02Sep2000, 08:45
Όγκος(MM)	229.05

Απορροή



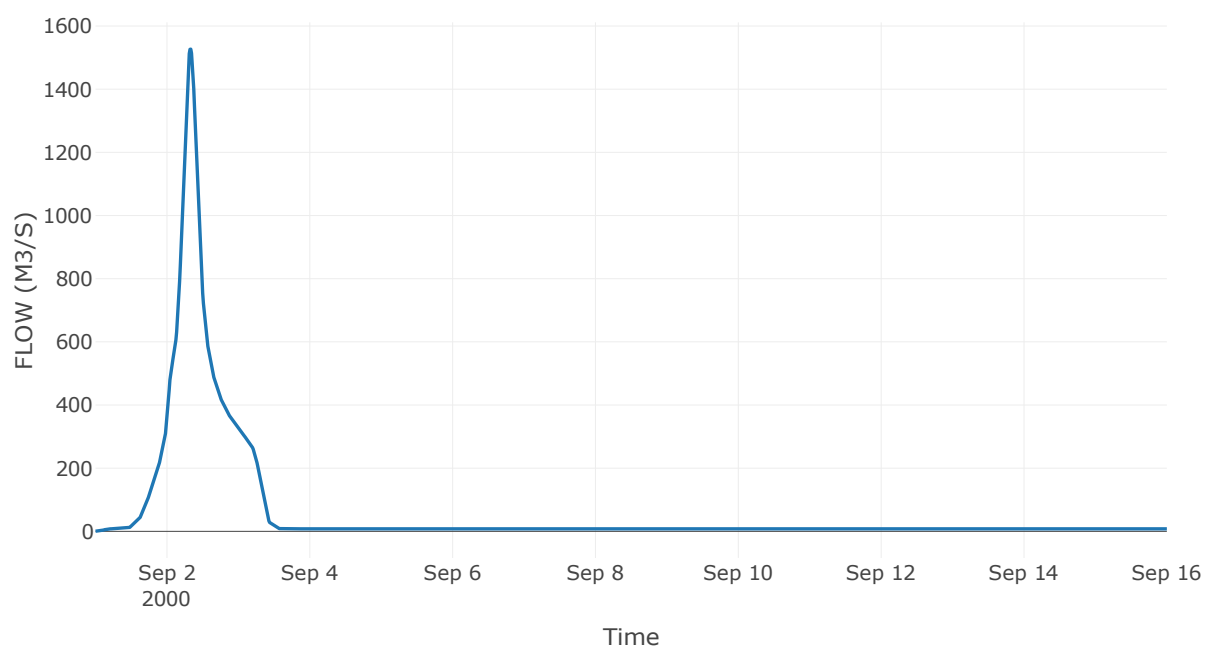
Κόμβος: J8

Κατάντη : R87

Αποτελέσματα: J8

Παροχή Αιχμής(M3/S)	1526.82
Χρονική στιγμή αιχμής	02Sep2000, 08:00
Όγκος(MM)	232.84

Απορροή



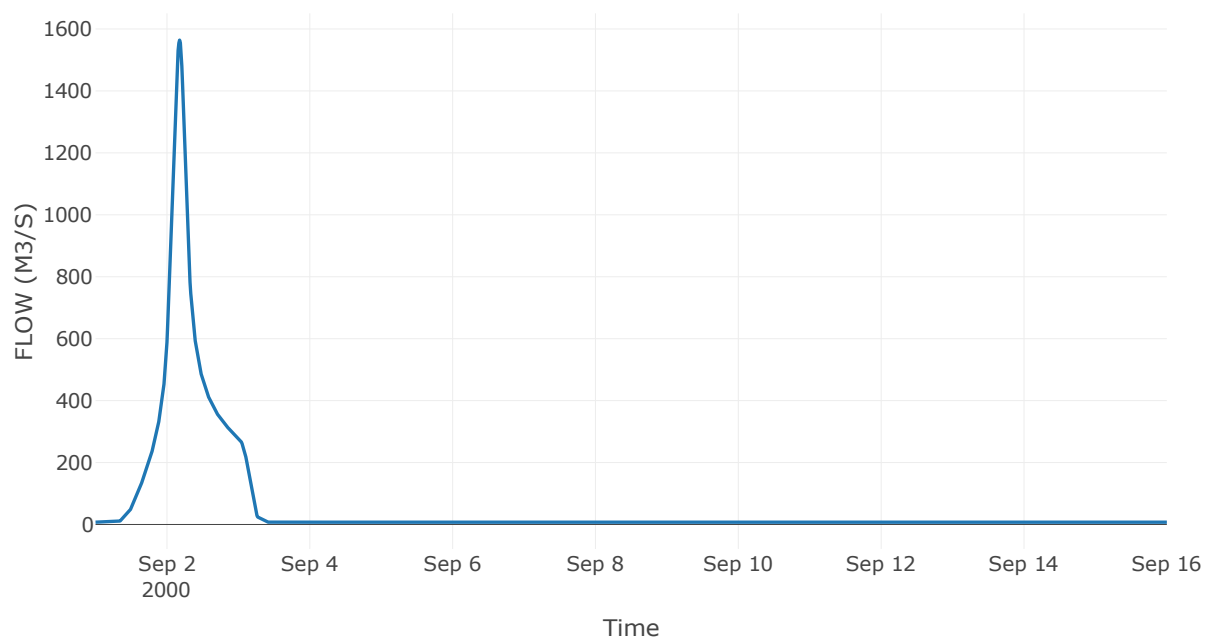
Κόμβος: J9

Κατάντη : R921

Αποτελέσματα: J9

Παροχή Αιχμής(M3/S)	1564.08
Χρονική στιγμή αιχμής	02Sep2000, 04:15
Όγκος(MM)	235.41

Απορροή



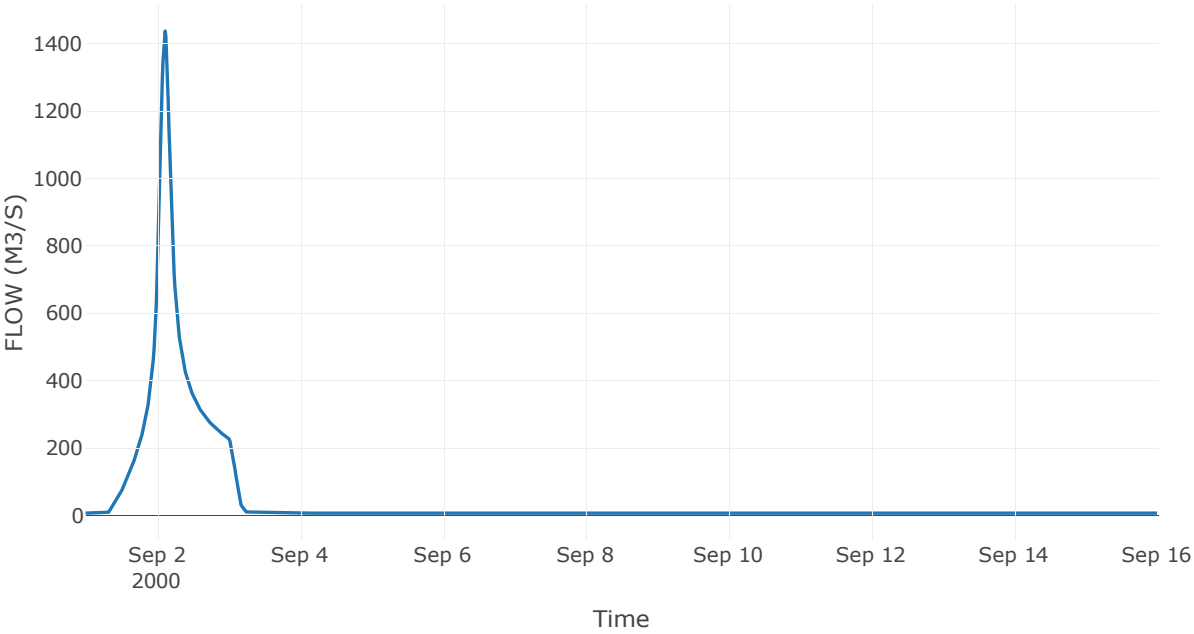
Κόμβος: J10

Κατάντη : R109

Αποτελέσματα: J10

Παροχή Αιχμής(M3/S)	1437.45
Χρονική στιγμή αιχμής	02Sep2000, 02:45
Όγκος(MM)	237.46

Απορροή



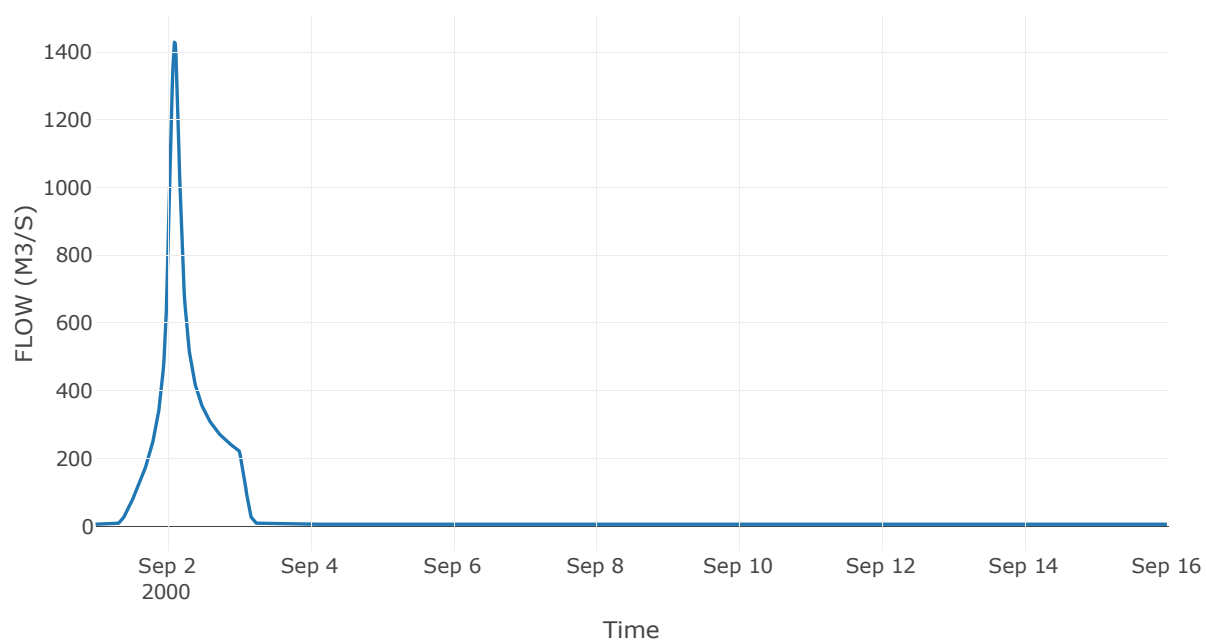
Κόμβος: J11

Κατάντη : R1110

Αποτελέσματα: J11

Παροχή Αιχμής(M3/S)	1428.7
Χρονική στιγμή αιχμής	02Sep2000, 02:30
Όγκος(MM)	237.72

Απορροή



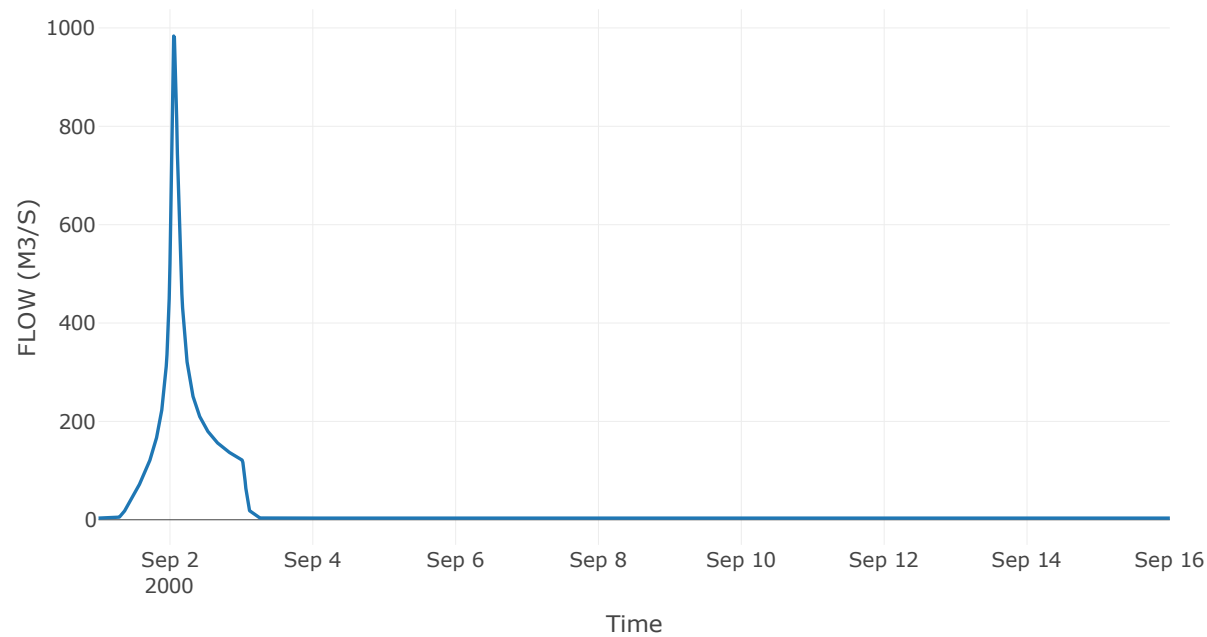
Κόμβος: J12

Κατάντη : R1211

Αποτελέσματα: J12

Παροχή Αιχμής(M3/S)	983.58
Χρονική στιγμή αιχμής	02Sep2000, 01:15
Όγκος(MM)	241.48

Απορροή



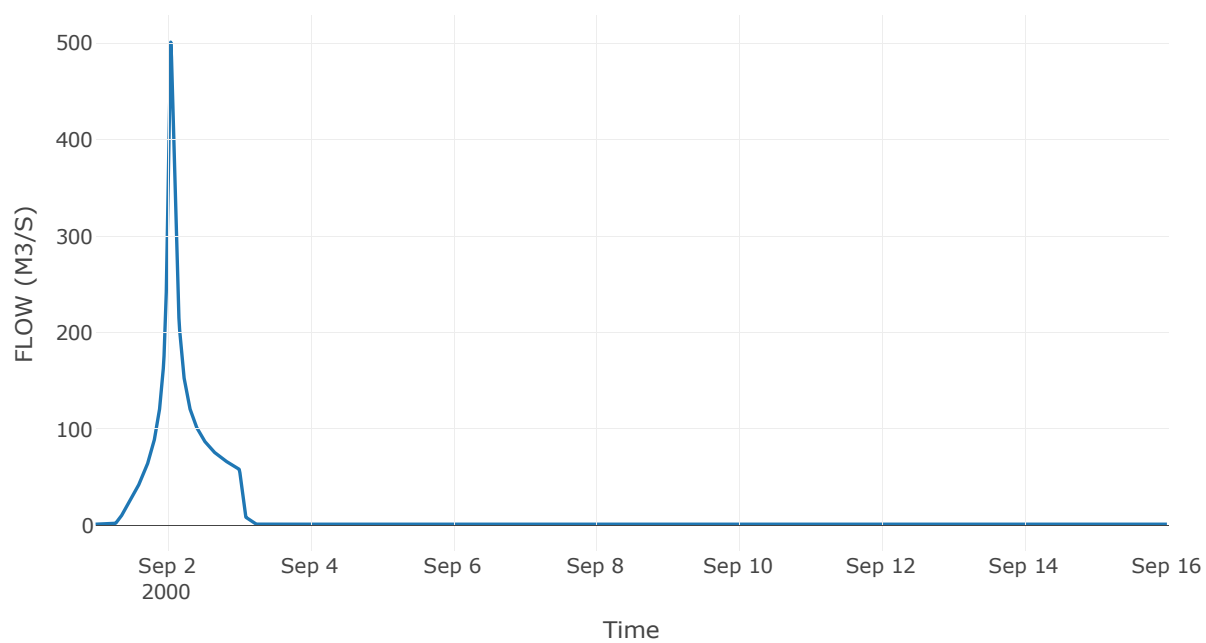
Κόμβος: J13

Κατάντη : R1312

Αποτελέσματα: J13

Παροχή Αιχμής(M3/S)	500.96
Χρονική στιγμή αιχμής	02Sep2000, 01:15
Όγκος(MM)	246.96

Απορροή





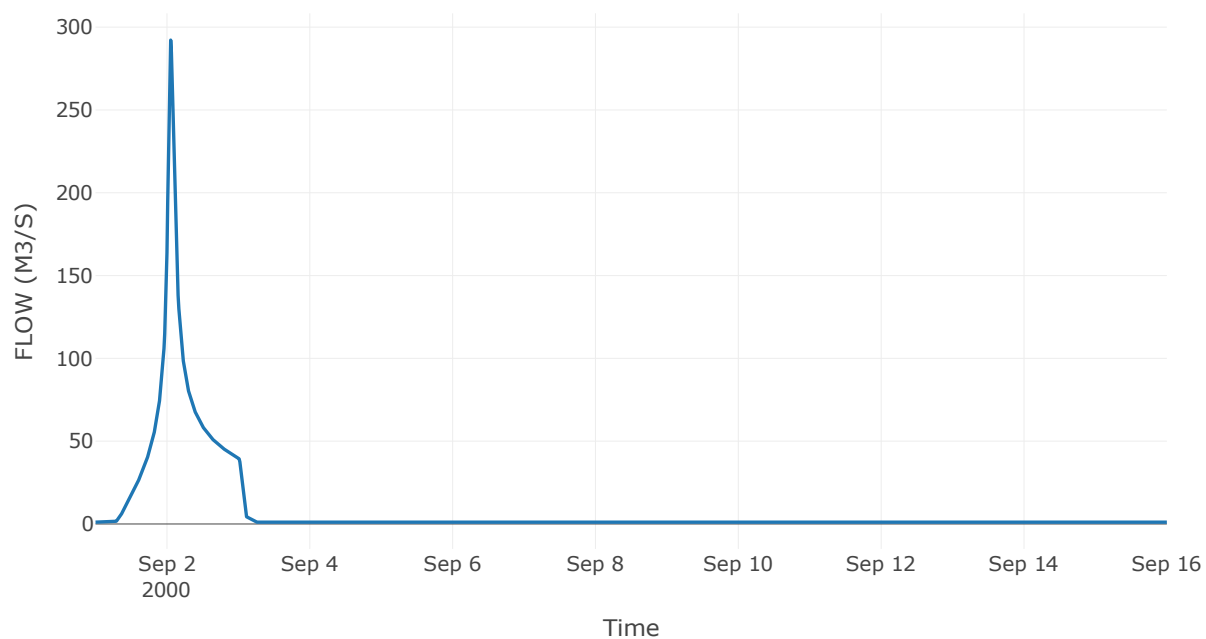
Κόμβος: J14

Κατάντη : R147

Αποτελέσματα: J14

Παροχή Αιχμής(M3/S)	292.18
Χρονική στιγμή αιχμής	02Sep2000, 01:15
Όγκος(MM)	230.66

Απορροή



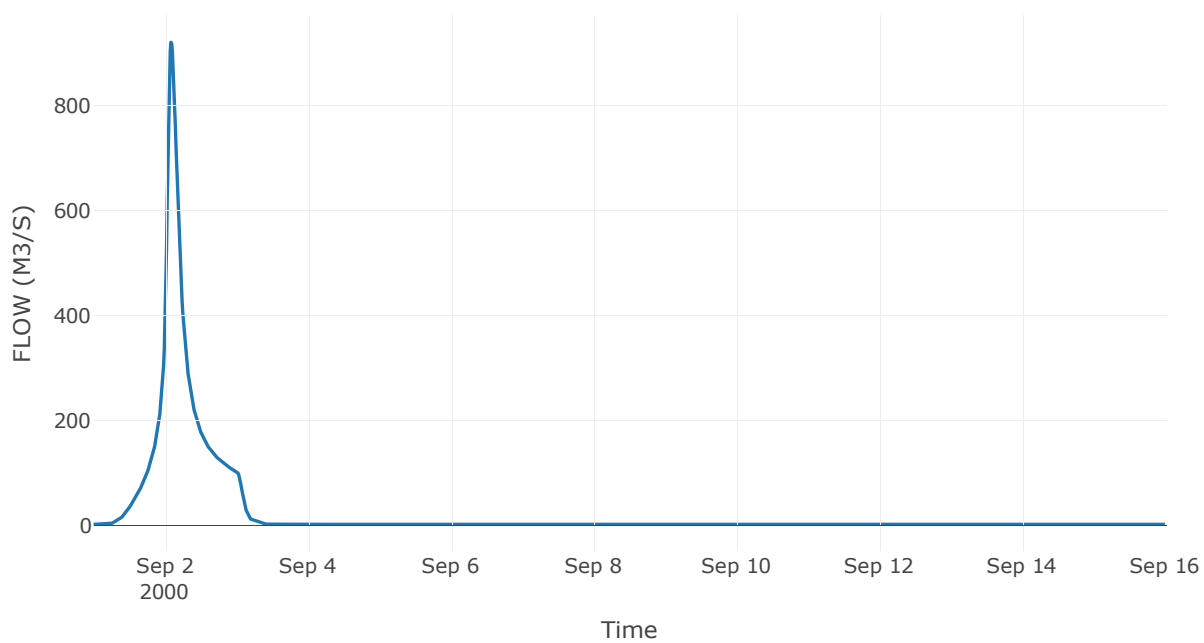
Κόμβος: J15

Κατάντη : R155

Αποτελέσματα: J15

Παροχή Αιχμής(M3/S)	920.08
Χρονική στιγμή αιχμής	02Sep2000, 02:00
Όγκος(MM)	226.65

Απορροή



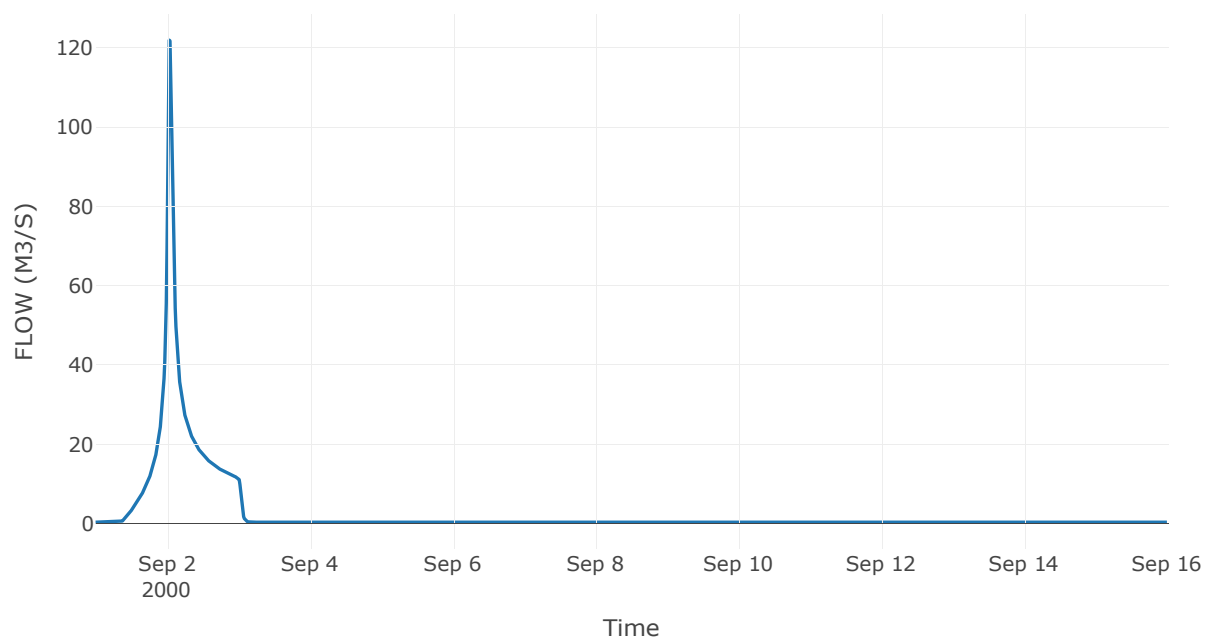
Κόμβος: J16

Κατάντη : R1615

Αποτελέσματα: J16

Παροχή Αιχμής(M3/S)	121.91
Χρονική στιγμή αιχμής	02Sep2000, 00:45
Όγκος(MM)	206.89

Απορροή



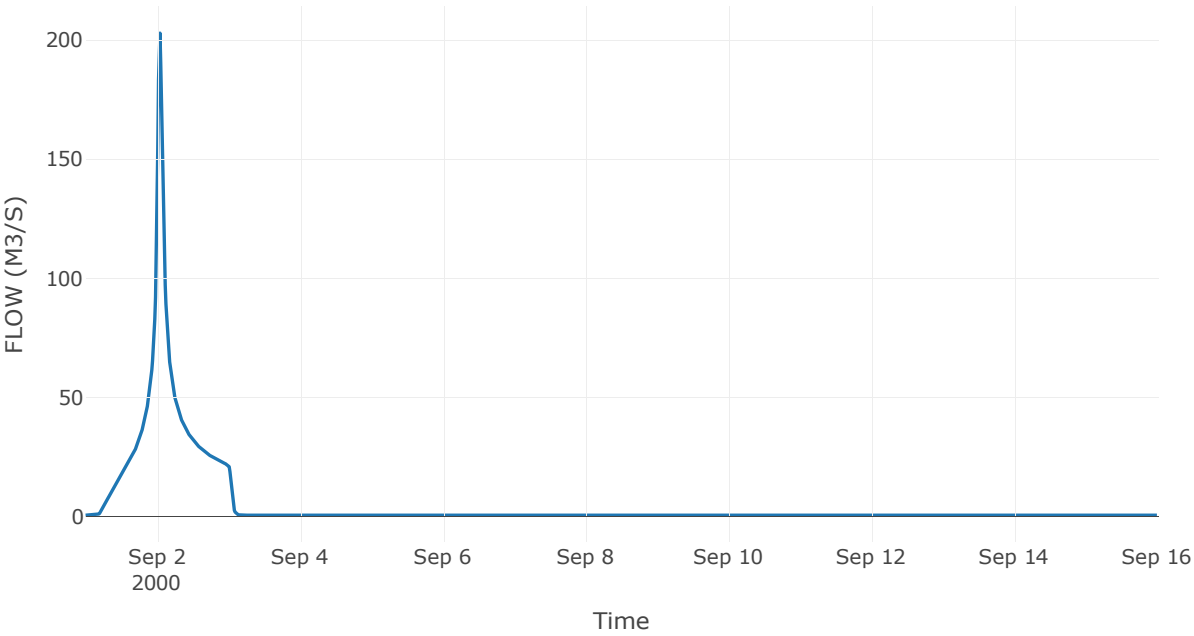
Κόμβος: J17

Κατάντη : R1715

Αποτελέσματα: J17

Παροχή Αιχμής(M3/S)	202.95
Χρονική στιγμή αιχμής	02Sep2000, 01:00
Όγκος(MM)	267.53

Απορροή



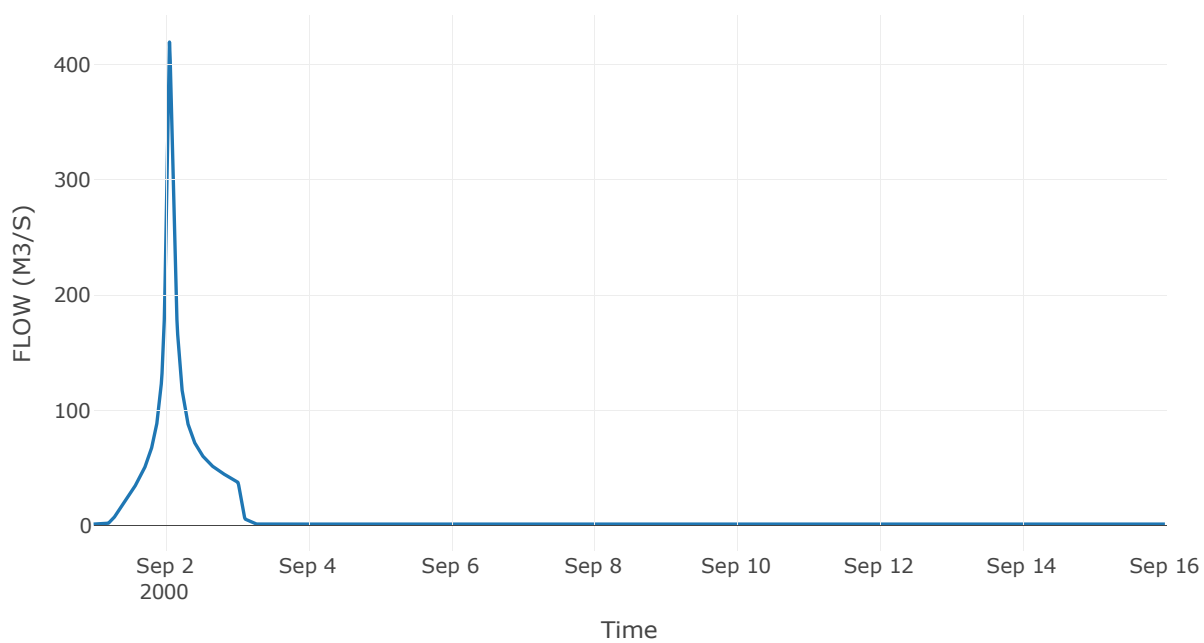
Κόμβος: J18

Κατάντη : R184

Αποτελέσματα: J18

Παροχή Αιχμής(M3/S)	419.38
Χρονική στιγμή αιχμής	02Sep2000, 01:30
Όγκος(MM)	235.77

Απορροή



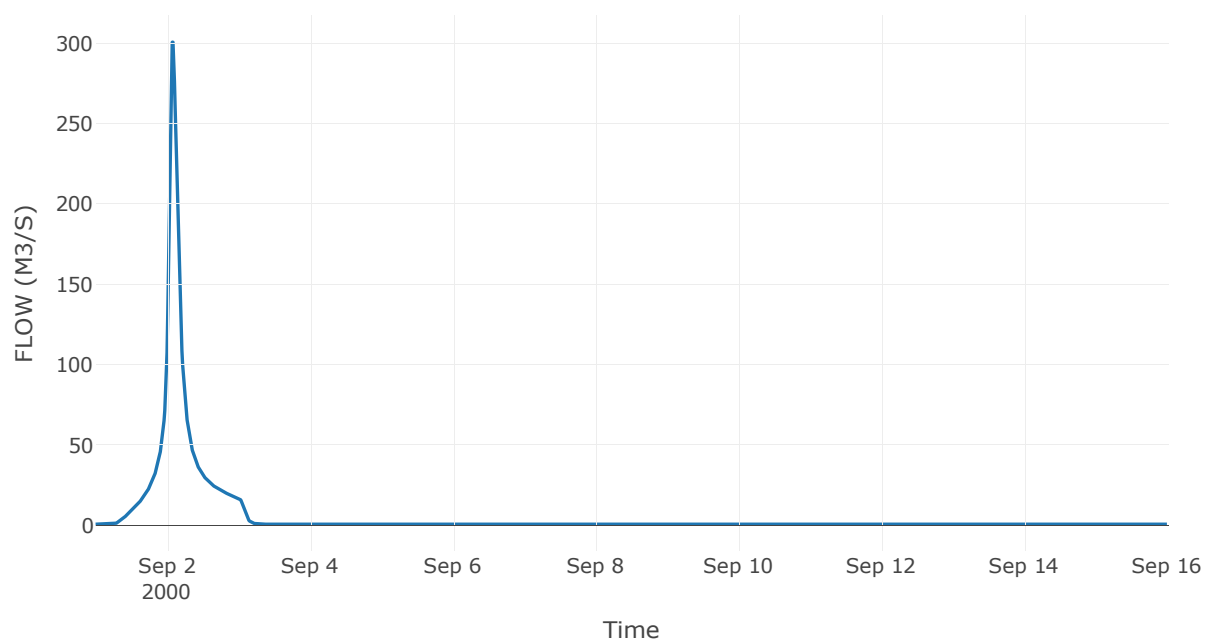
Κόμβος: J19

Κατάντη : R193

Αποτελέσματα: J19

Παροχή Αιχμής(M3/S)	300.71
Χρονική στιγμή αιχμής	02Sep2000, 02:00
Όγκος(MM)	215.29

Απορροή



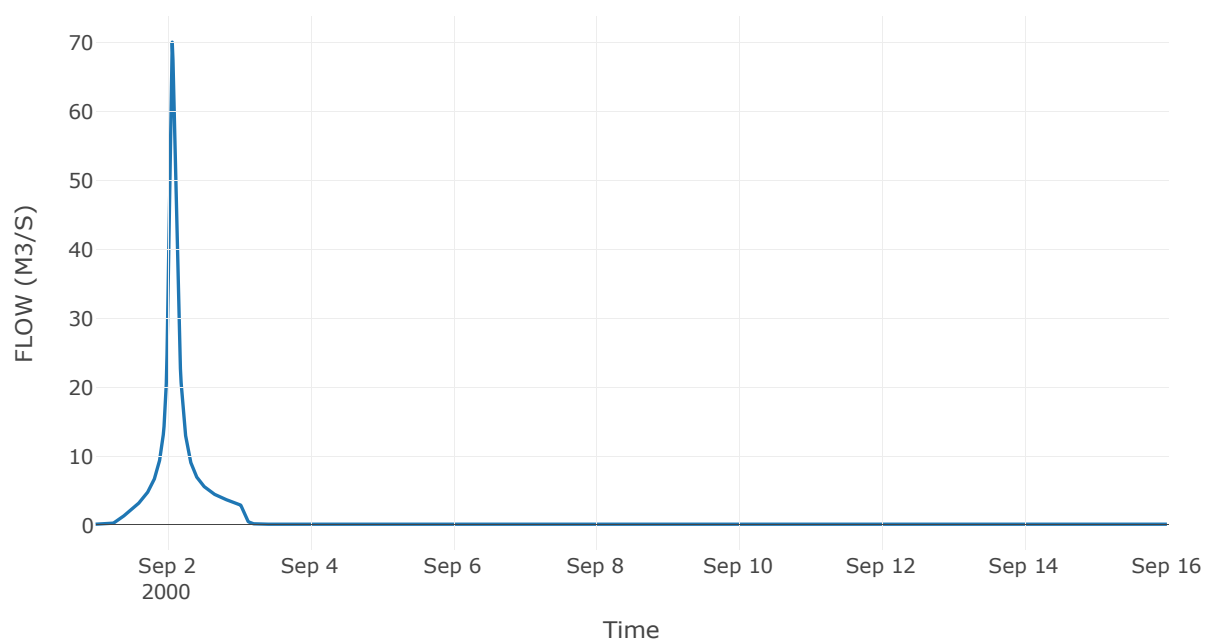
Κόμβος: J20

Κατάντη : R2019

Αποτελέσματα: J20

Παροχή Αιχμής(M3/S)	70.11
Χρονική στιγμή αιχμής	02Sep2000, 01:45
Όγκος(MM)	215.84

Απορροή



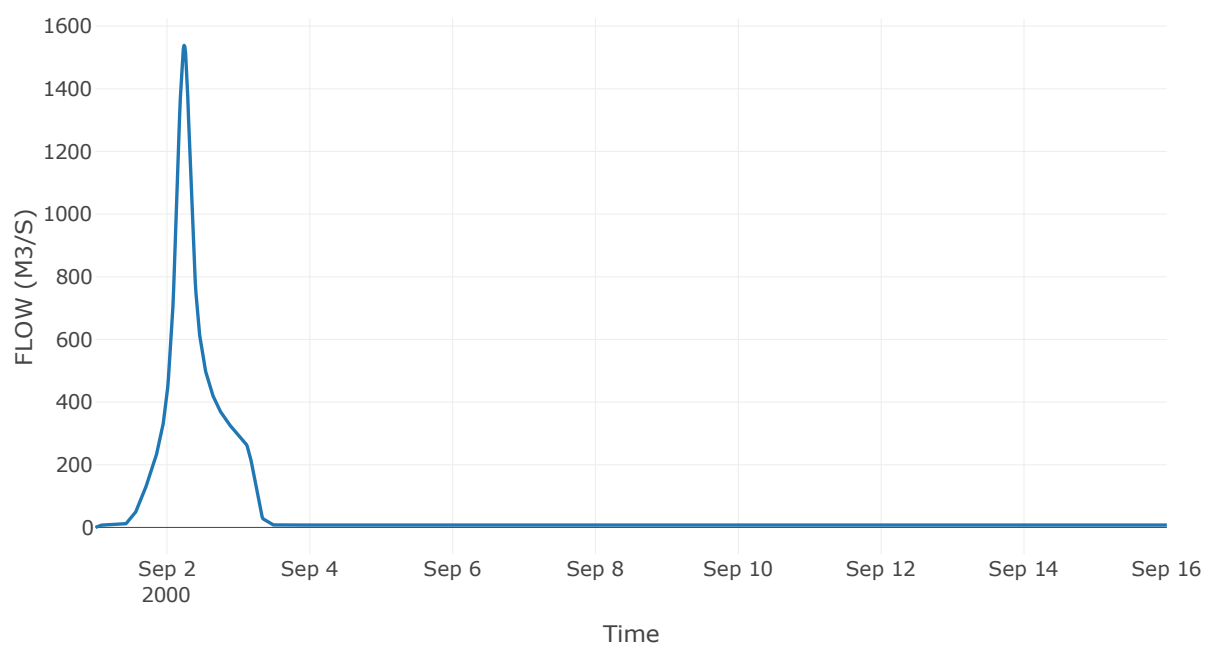
Ταμιευτήρας: J21\_RES1

Κατάντη : R218

Αποτελέσματα: J21\_RES1

Παροχή Αιχμής(M3/S)	1538.78
Χρονική στιγμή αιχμής	02Sep2000, 05:45
Όγκος(MM)	234.67
Παροχή Αιχμής Εισόδου (M3/S)	1540.74
Χρονική Στιγμή Αιχμής της Εισροής	02Sep2000, 05:45
Όγκος Εισροής (M3)	8.03E7
Μέγιστη Αποθηκευτικότητα(M3)	2.01E6
Μέγιστη Στάθμη (M)	100.79
Όγκος Απορροής(M3)	8.03E7

Απορροή





## 8 Δεδομένα εισόδου και αποτελέσματα υδρολογικού σεναρίου T=1000

## 8.1 Αποτελέσματα, υετογραφήματα και υδρογραφήματα σχεδιασμού υπολεκανών

Υπολεκάνη: EL0513FR5001

Έκταση (KM2) : 9.83

Κατάληξη : J1

Μέθοδος Απωλειών: SCS

Ποσοστό αδιαπέρατης επιφάνειας	0
Αριθμός Καμπύλης Απορροής-CN	82.1
Αρχικές Απώλειες	11.08

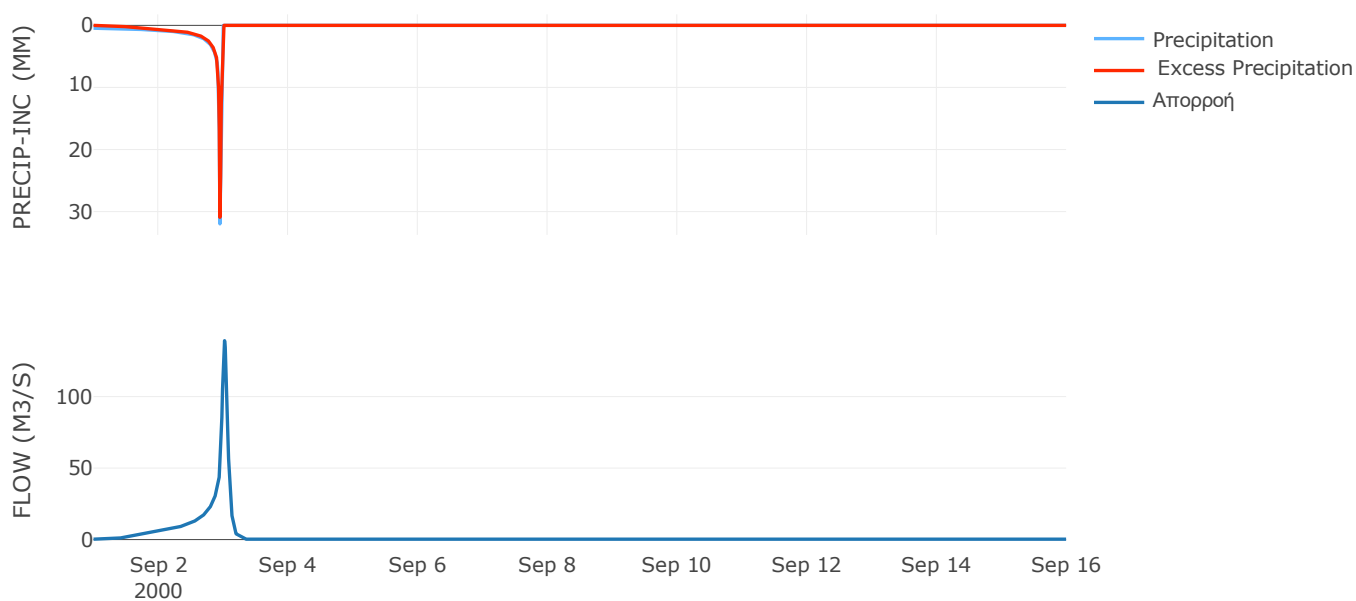
Μέθοδος  
Μετασχηματισμού: SCS

Χρόνος Υστέρησης	92.45
------------------	-------

Αποτελέσματα:  
EL0513FR5001

Παροχή αιχμής (M3/S)	139.09
Χρονική στιγμή αιχμής	03Sep2000, 00:30
Όγκος (MM)	311.36
Όγκος βροχόπτωσης (M3)	3.25E6
Όγκος απωλειών (M3)	5.73E5
Ενεργός Όγκος (M3)	2.68E6
Όγκος άμεσης απορροής (M3)	2.68E6
Όγκος βασικής απορροής (M3)	3.82E5

Βροχόπτωση και Απορροή



Υπολεκάνη: EL0513FR5002

Έκταση (KM2) : 6.79

Κατάντη : J2

Μέθοδος Απωλειών: SCS

Ποσοστό αδιαπέρατης επιφάνειας	0
Αριθμός Καμπύλης Απορροής-CN	84.05
Αρχικές Απώλειες	9.64

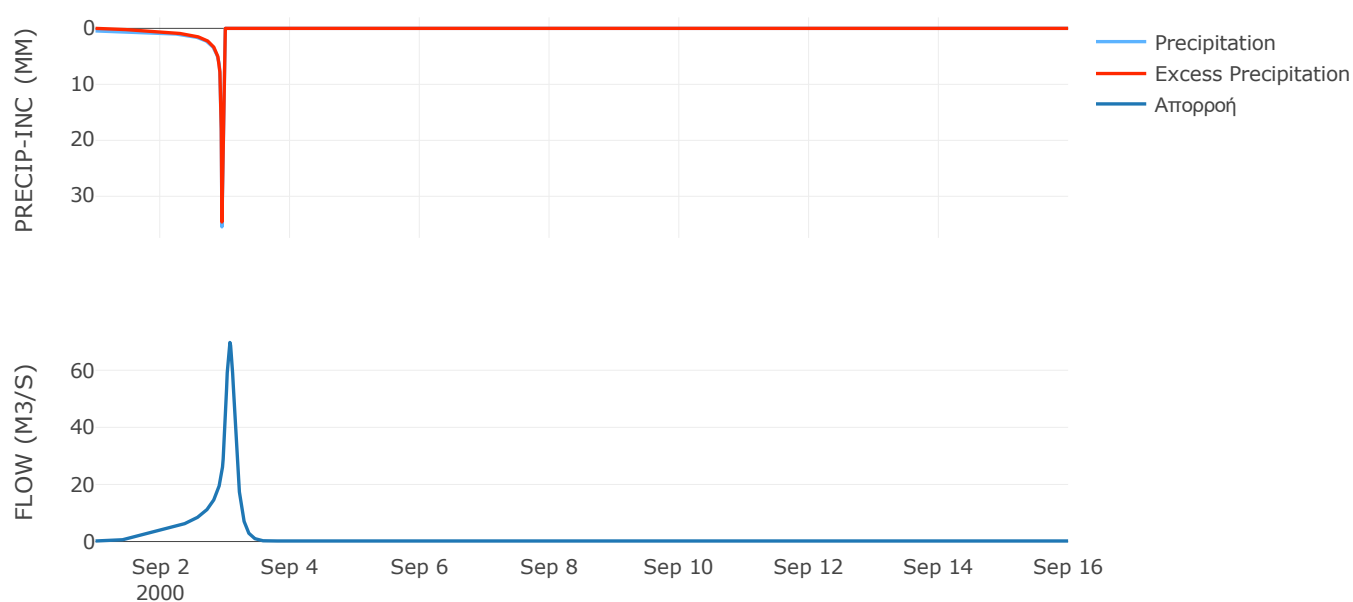
Μέθοδος  
Μετασχηματισμού: SCS

Χρόνος Υστέρησης	178.08
------------------	--------

Αποτελέσματα:  
EL0513FR5002

Παροχή αιχμής (M3/S)	69.74
Χρονική στιγμή αιχμής	03Sep2000, 01:45
Όγκος (MM)	332.38
Όγκος βροχόπτωσης (M3)	2.34E6
Όγκος απωλειών (M3)	3.51E5
Ενεργός Όγκος (M3)	1.99E6
Όγκος άμεσης απορροής (M3)	1.99E6
Όγκος βασικής απορροής (M3)	2.64E5

Βροχόπτωση και Απορροή



Υπολεκάνη: EL0513FR5003

Έκταση (KM2) : 2.79

Κατάνη : J3

Μέθοδος Απωλειών: SCS

Ποσοστό αδιαπέρατης επιφάνειας	0
Αριθμός Καμπύλης Απορροής-CN	81.42
Αρχικές Απώλειες	11.59

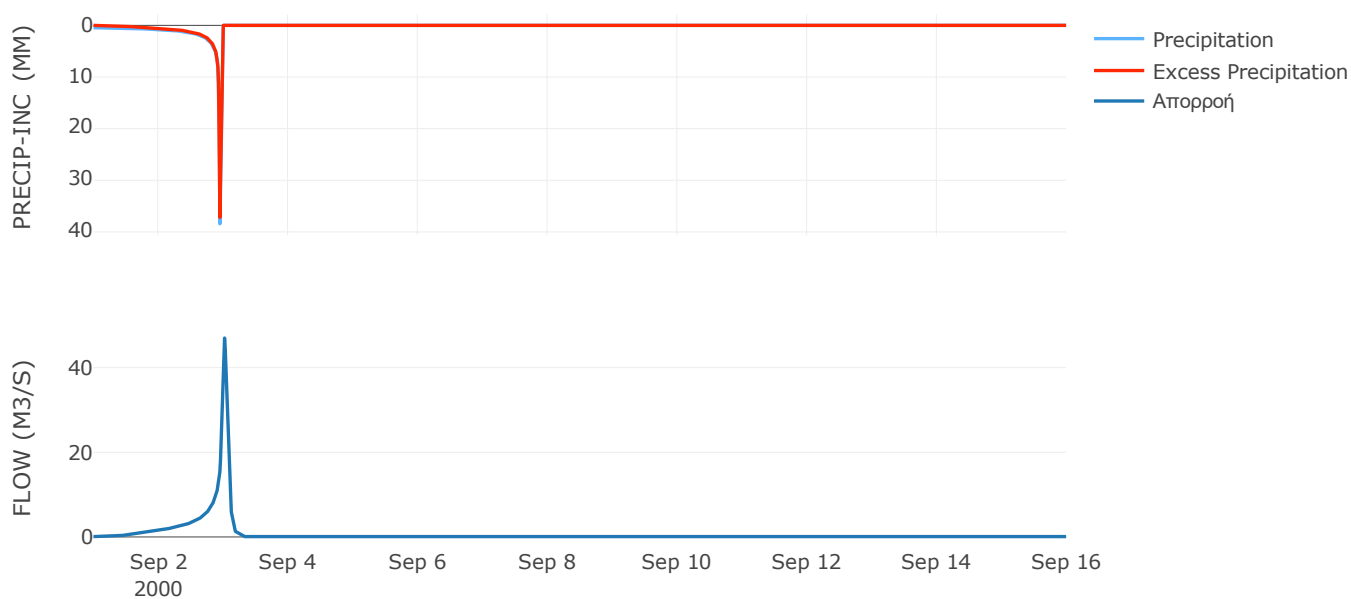
Μέθοδος  
Μετασχηματισμού: SCS

Χρόνος Υστέρησης	87.37
------------------	-------

Αποτελέσματα:  
EL0513FR5003

Παροχή αιχμής (M3/S)	46.97
Χρονική στιγμή αιχμής	03Sep2000, 00:30
Όγκος (MM)	332.81
Όγκος βροχόπτωσης (M3)	9.93E5
Όγκος απωλειών (M3)	1.71E5
Ενεργός Όγκος (M3)	8.22E5
Όγκος άμεσης απορροής (M3)	8.22E5
Όγκος βασικής απορροής (M3)	1.09E5

Βροχόπτωση και Απορροή



Υπολεκάνη: EL0513FR5004

Έκταση (KM2) : 17.16

Κατάντη : J3

Μέθοδος Απωλειών: SCS

Ποσοστό αδιαπέρατης επιφάνειας	0
Αριθμός Καμπύλης Απορροής-CN	71.98
Αρχικές Απώλειες	19.77

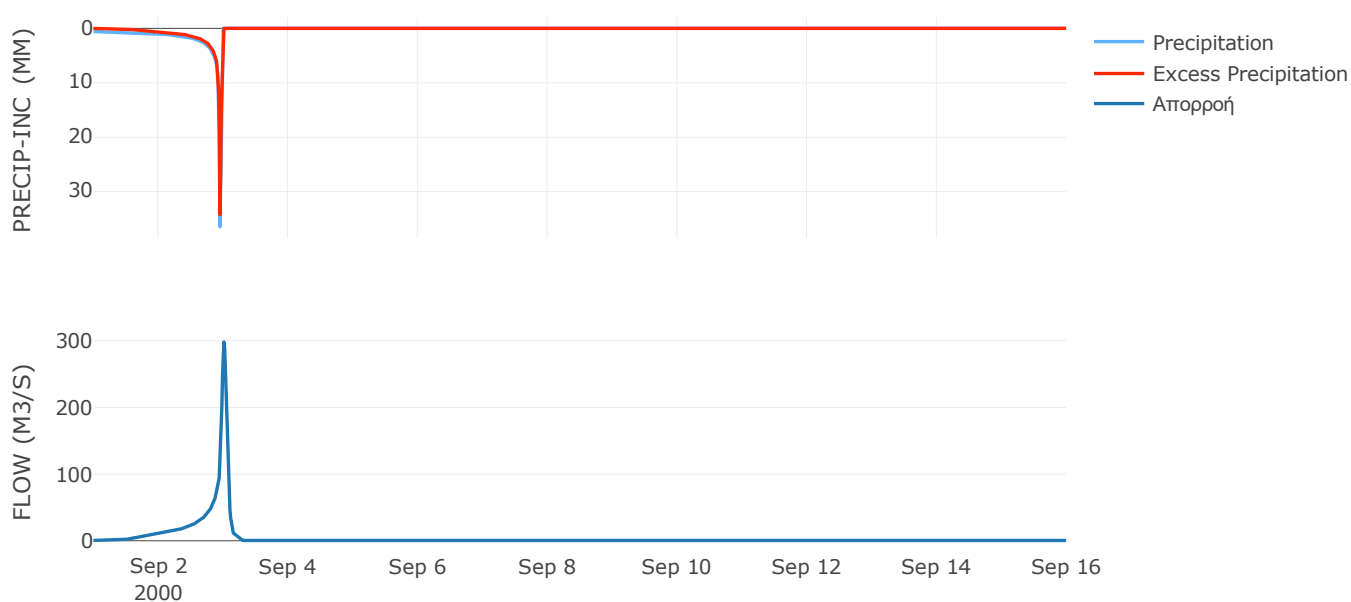
Μέθοδος  
Μετασχηματισμού: SCS

Χρόνος Υστέρησης	78.89
------------------	-------

Αποτελέσματα:  
EL0513FR5004

Παροχή αιχμής (M3/S)	298.2
Χρονική στιγμή αιχμής	03Sep2000, 00:15
Όγκος (MM)	340.93
Όγκος βροχόπτωσης (M3)	6.87E6
Όγκος απωλειών (M3)	1.69E6
Ενεργός Όγκος (M3)	5.18E6
Όγκος άμεσης απορροής (M3)	5.18E6
Όγκος βασικής απορροής (M3)	6.67E5

Βροχόπτωση και Απορροή



Υπολεκάνη: EL0513FR5005

Έκταση (KM2) : 3.13

Κατάνη : J4

Μέθοδος Απωλειών: SCS

Ποσοστό αδιαπέρατης επιφάνειας	0
Αριθμός Καμπύλης Απορροής-CN	80.19
Αρχικές Απώλειες	12.55

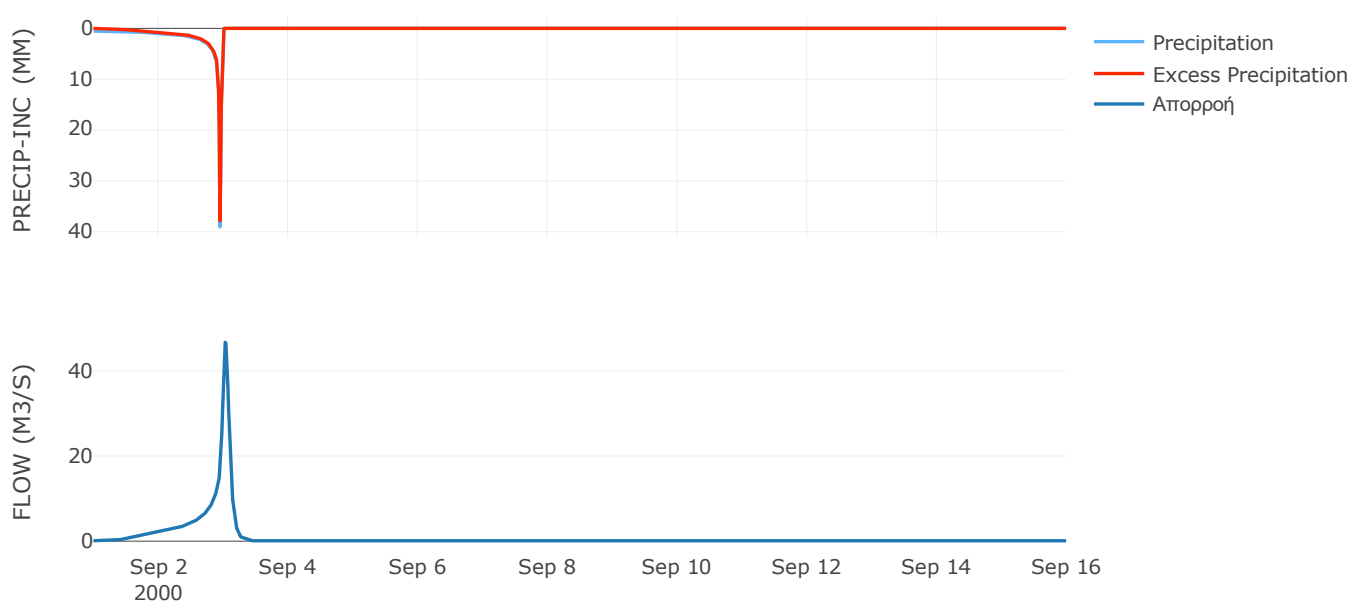
Μέθοδος  
Μετασχηματισμού: SCS

Χρόνος Υστέρησης	116.69
------------------	--------

Αποτελέσματα:  
EL0513FR5005

Παροχή αιχμής (M3/S)	46.69
Χρονική στιγμή αιχμής	03Sep2000, 00:45
Όγκος (MM)	366.79
Όγκος βροχόπτωσης (M3)	1.23E6
Όγκος απωλειών (M3)	2.08E5
Ενεργός Όγκος (M3)	1.03E6
Όγκος άμεσης απορροής (M3)	1.03E6
Όγκος βασικής απορροής (M3)	1.22E5

Βροχόπτωση και Απορροή



Υπολεκάνη: EL0513FR5006

Έκταση (KM2) : 19.6

Κατάντη : J5

Μέθοδος Απωλειών: SCS

Ποσοστό αδιαπέρατης επιφάνειας	0
Αριθμός Καμπύλης Απορροής-CN	68.23
Αρχικές Απώλειες	23.66

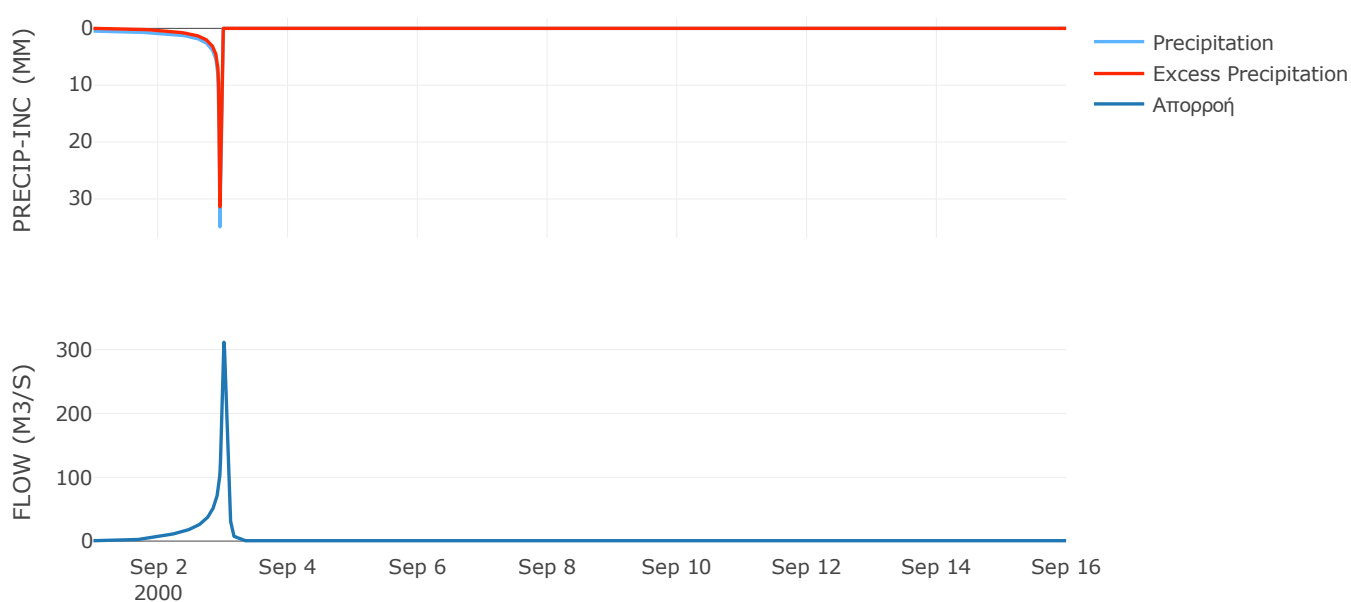
Μέθοδος  
Μετασχηματισμού: SCS

Χρόνος Υστέρησης	75.29
------------------	-------

Αποτελέσματα:  
EL0513FR5006

Παροχή αιχμής (M3/S)	311.68
Χρονική στιγμή αιχμής	03Sep2000, 00:15
Όγκος (MM)	281.15
Όγκος βροχόπτωσης (M3)	6.92E6
Όγκος απωλειών (M3)	2.17E6
Ενεργός Όγκος (M3)	4.75E6
Όγκος άμεσης απορροής (M3)	4.75E6
Όγκος βασικής απορροής (M3)	7.62E5

Βροχόπτωση και Απορροή





Υπολεκάνη: EL0513FR5007

Έκταση (KM2) : 4.2

Κατάντη : J6

Μέθοδος Απωλειών: SCS

Ποσοστό αδιαπέρατης επιφάνειας	0
Αριθμός Καμπύλης Απορροής-CN	79.07
Αρχικές Απώλειες	13.45

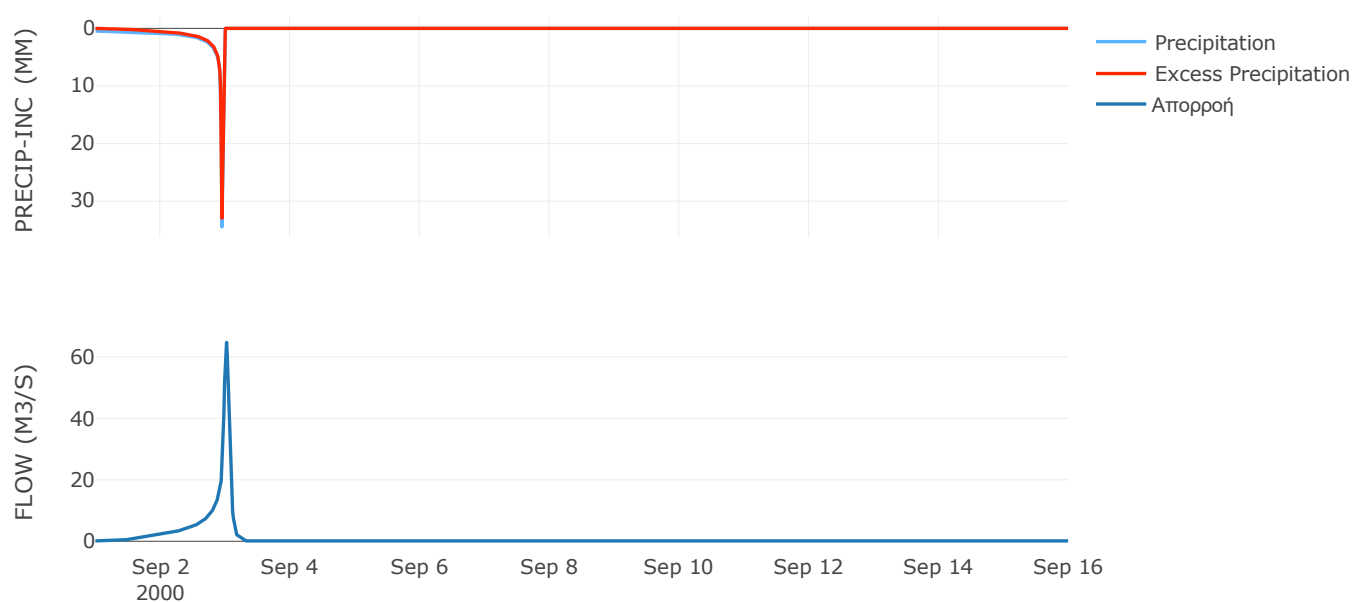
Μέθοδος  
Μετασχηματισμού: SCS

Χρόνος Υστέρησης	85.61
------------------	-------

Αποτελέσματα:  
EL0513FR5007

Παροχή αιχμής (M3/S)	64.71
Χρονική στιγμή αιχμής	03Sep2000, 00:30
Όγκος (MM)	312.27
Όγκος βροχόπτωσης (M3)	1.44E6
Όγκος απωλειών (M3)	2.91E5
Ενεργός Όγκος (M3)	1.15E6
Όγκος άμεσης απορροής (M3)	1.15E6
Όγκος βασικής απορροής (M3)	1.63E5

Βροχόπτωση και Απορροή



Υπολεκάνη: EL0513FR5008

Έκταση (KM2) : 11.23

Κατάντη : J7

Μέθοδος Απωλειών: SCS

Ποσοστό αδιαπέρατης επιφάνειας	0
Αριθμός Καμπύλης Απορροής-CN	78.2
Αρχικές Απώλειες	14.16

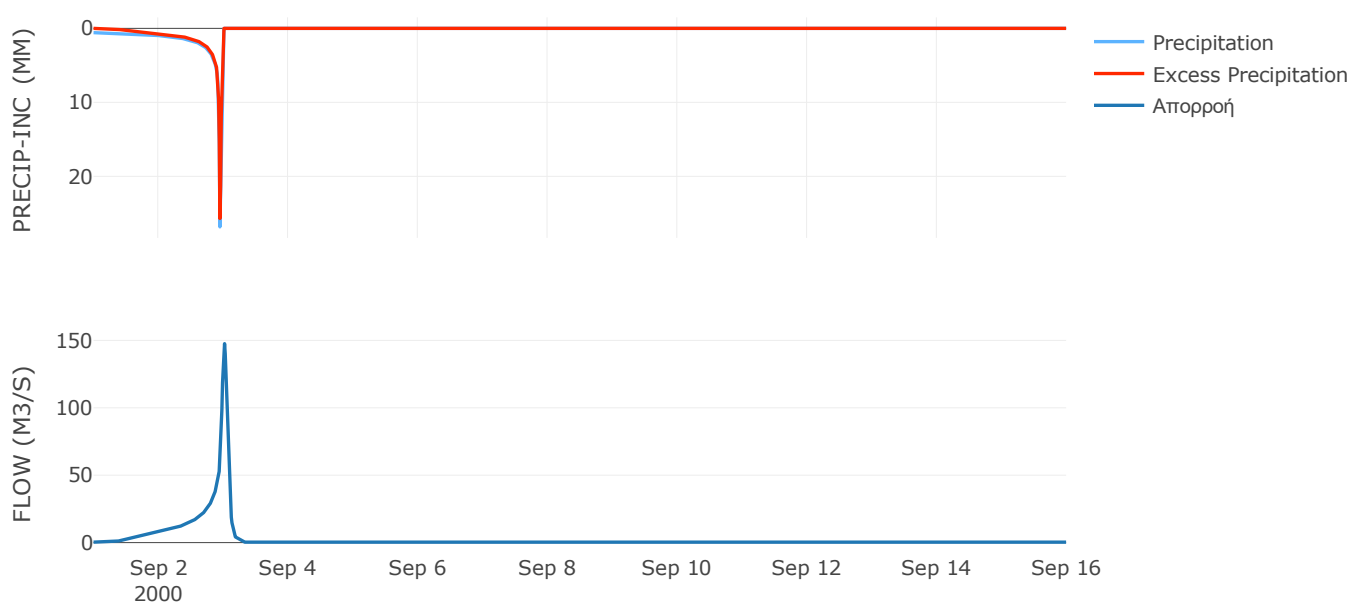
Μέθοδος  
Μετασχηματισμού: SCS

Χρόνος Υστέρησης	87.14
------------------	-------

Αποτελέσματα:  
EL0513FR5008

Παροχή αιχμής (M3/S)	147.6
Χρονική στιγμή αιχμής	03Sep2000, 00:30
Όγκος (MM)	317.45
Όγκος βροχόπτωσης (M3)	3.94E6
Όγκος απωλειών (M3)	8.16E5
Ενεργός Όγκος (M3)	3.13E6
Όγκος άμεσης απορροής (M3)	3.13E6
Όγκος βασικής απορροής (M3)	4.37E5

Βροχόπτωση και Απορροή



Υπολεκάνη: EL0513FR5009

Έκταση (KM2) : 19.12

Κατάντη : J8

Μέθοδος Απωλειών: SCS

Ποσοστό αδιαπέρατης επιφάνειας	0
Αριθμός Καμπύλης Απορροής-CN	62.63
Αρχικές Απώλειες	30.3

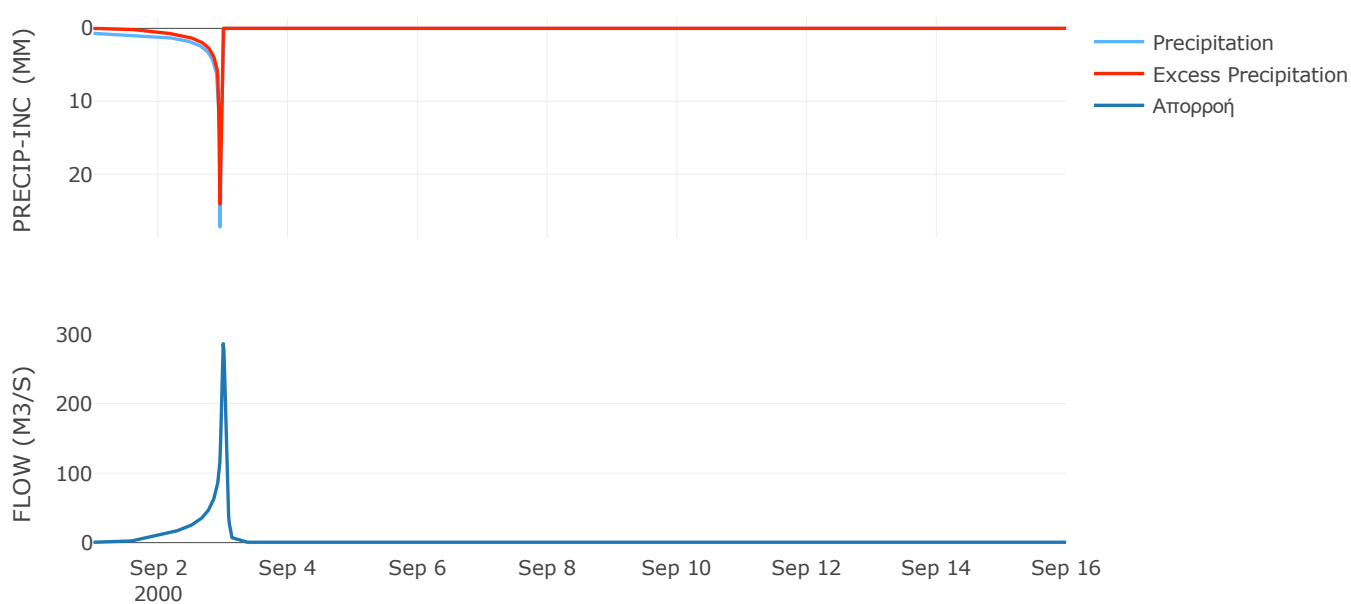
Μέθοδος  
Μετασχηματισμού: SCS

Χρόνος Υστέρησης	61.79
------------------	-------

Αποτελέσματα:  
EL0513FR5009

Παροχή αιχμής (M3/S)	286.26
Χρονική στιγμή αιχμής	02Sep2000, 24:00
Όγκος (MM)	293.72
Όγκος βροχόπτωσης (M3)	7.49E6
Όγκος απωλειών (M3)	2.62E6
Ενεργός Όγκος (M3)	4.87E6
Όγκος άμεσης απορροής (M3)	4.87E6
Όγκος βασικής απορροής (M3)	7.44E5

Βροχόπτωση και Απορροή



Υπολεκάνη: EL0513FR5010

Έκταση (KM2) : 36.47

Κατάντη : J9

Μέθοδος Απωλειών: SCS

Ποσοστό αδιαπέρατης επιφάνειας	0
Αριθμός Καμπύλης Απορροής-CN	63.73
Αρχικές Απώλειες	28.92

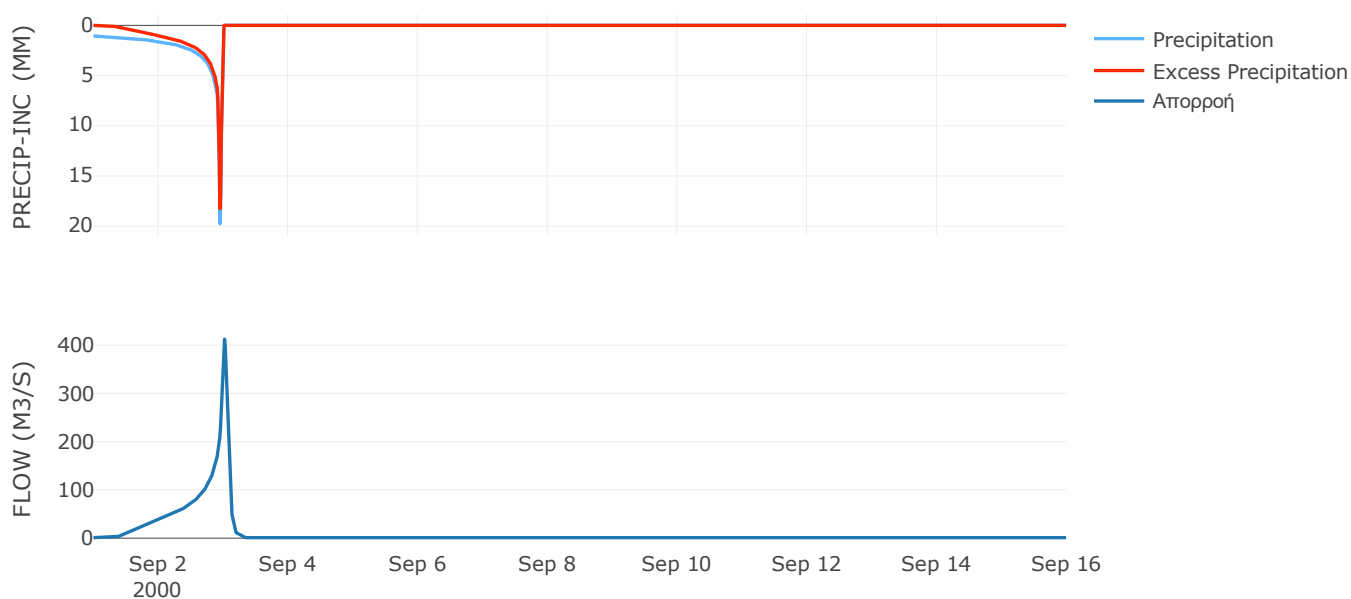
Μέθοδος  
Μετασχηματισμού: SCS

Χρόνος Υστέρησης	90.96
------------------	-------

Αποτελέσματα:  
EL0513FR5010

Παροχή αιχμής (M3/S)	412.53
Χρονική στιγμή αιχμής	03Sep2000, 00:30
Όγκος (MM)	364.45
Όγκος βροχόπτωσης (M3)	1.69E7
Όγκος απωλειών (M3)	5.01E6
Ενεργός Όγκος (M3)	1.19E7
Όγκος άμεσης απορροής (M3)	1.19E7
Όγκος βασικής απορροής (M3)	1.42E6

Βροχόπτωση και Απορροή



Υπολεκάνη: EL0513FR5011

Έκταση (KM2) : 4.02

Κατάνη : J10

Μέθοδος Απωλειών: SCS

Ποσοστό αδιαπέρατης επιφάνειας	0
Αριθμός Καμπύλης Απορροής-CN	50.39
Αρχικές Απώλειες	50.02

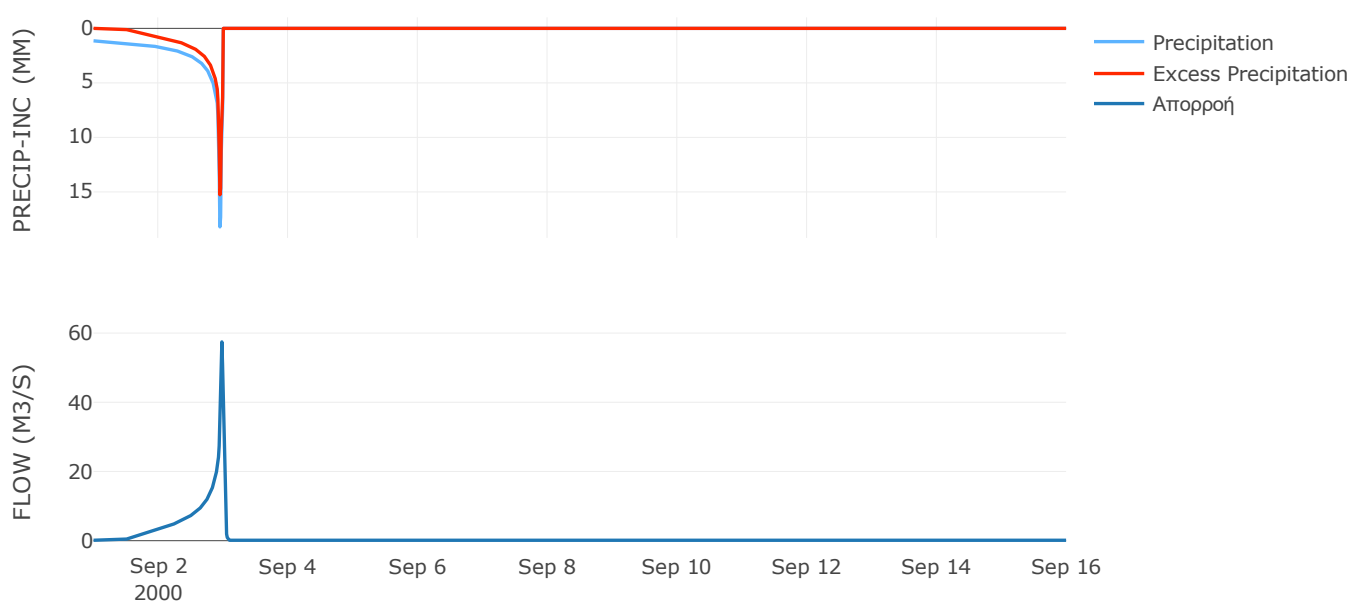
Μέθοδος  
Μετασχηματισμού: SCS

Χρόνος Υστέρησης	24.98
------------------	-------

Αποτελέσματα:  
EL0513FR5011

Παροχή αιχμής (M3/S)	57.46
Χρονική στιγμή αιχμής	02Sep2000, 23:30
Όγκος (MM)	306.9
Όγκος βροχόπτωσης (M3)	1.91E6
Όγκος απωλειών (M3)	8.33E5
Ενεργός Όγκος (M3)	1.08E6
Όγκος άμεσης απορροής (M3)	1.08E6
Όγκος βασικής απορροής (M3)	1.56E5

Βροχόπτωση και Απορροή



Υπολεκάνη: EL0513FR5012

Έκταση (KM2) : 74.49

Κατάνη : J11

Μέθοδος Απωλειών: SCS

Ποσοστό αδιαπέρατης επιφάνειας	0
Αριθμός Καμπύλης Απορροής-CN	52.82
Αρχικές Απώλειες	45.38

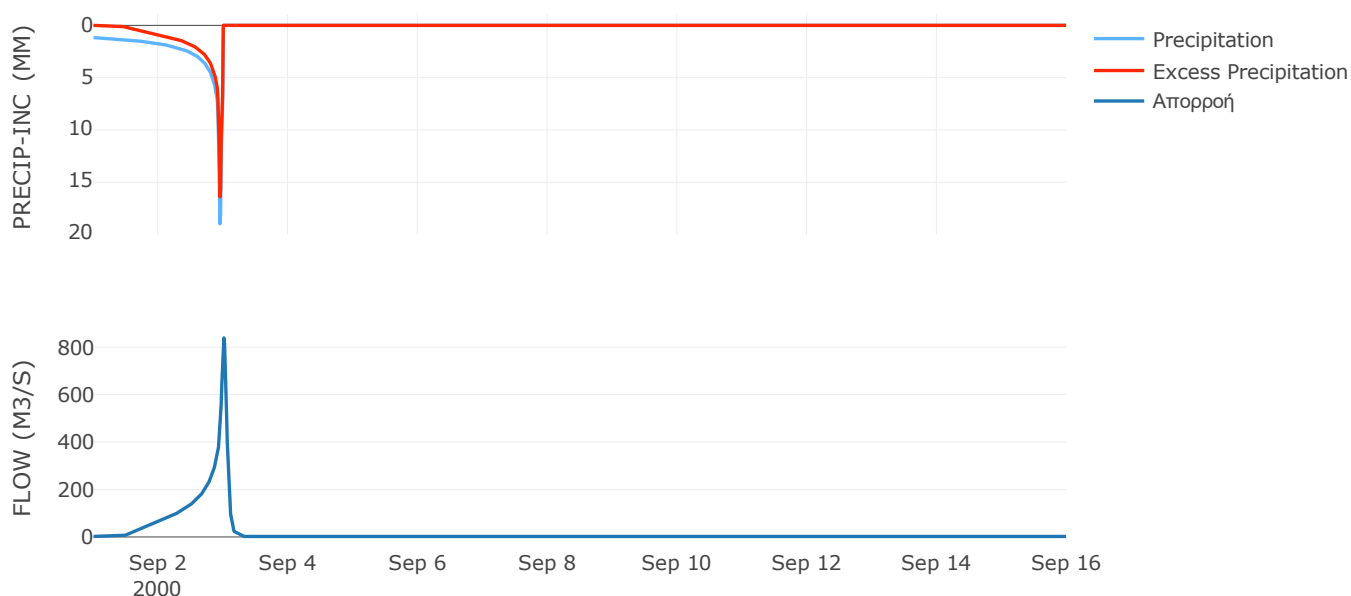
Μέθοδος  
Μετασχηματισμού: SCS

Χρόνος Υστέρησης	76.85
------------------	-------

Αποτελέσματα:  
EL0513FR5012

Παροχή αιχμής (M3/S)	838.78
Χρονική στιγμή αιχμής	03Sep2000, 00:15
Όγκος (MM)	332.43
Όγκος βροχόπτωσης (M3)	3.64E7
Όγκος απωλειών (M3)	1.46E7
Ενεργός Όγκος (M3)	2.19E7
Όγκος άμεσης απορροής (M3)	2.19E7
Όγκος βασικής απορροής (M3)	2.9E6

Βροχόπτωση και Απορροή



Υπολεκάνη: EL0513FR5013

Έκταση (KM2) : 8.72

Κατάντη : J12

Μέθοδος Απωλειών: SCS

Ποσοστό αδιαπέρατης επιφάνειας	0
Αριθμός Καμπύλης Απορροής-CN	60.29
Αρχικές Απώλειες	33.45

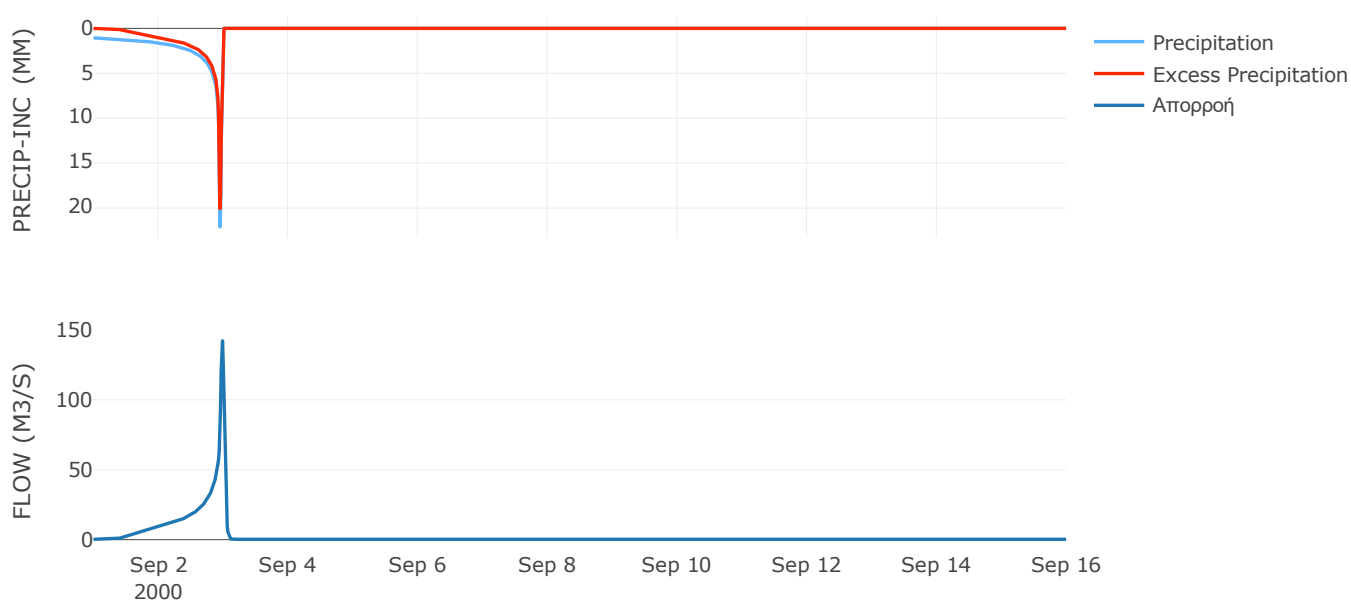
Μέθοδος  
Μετασχηματισμού: SCS

Χρόνος Υστέρησης	37.05
------------------	-------

Αποτελέσματα:  
EL0513FR5013

Παροχή αιχμής (M3/S)	142.15
Χρονική στιγμή αιχμής	02Sep2000, 23:45
Όγκος (MM)	362.61
Όγκος βροχόπτωσης (M3)	4.17E6
Όγκος απωλειών (M3)	1.35E6
Ενεργός Όγκος (M3)	2.82E6
Όγκος άμεσης απορροής (M3)	2.82E6
Όγκος βασικής απορροής (M3)	3.39E5

Βροχόπτωση και Απορροή



Υπολεκάνη: EL0513FR5014

Έκταση (KM2) : 17.21

Κατάντη : J13

Μέθοδος Απωλειών: SCS

Ποσοστό αδιαπέρατης επιφάνειας	0
Αριθμός Καμπύλης Απορροής-CN	54.7
Αρχικές Απώλειες	42.06

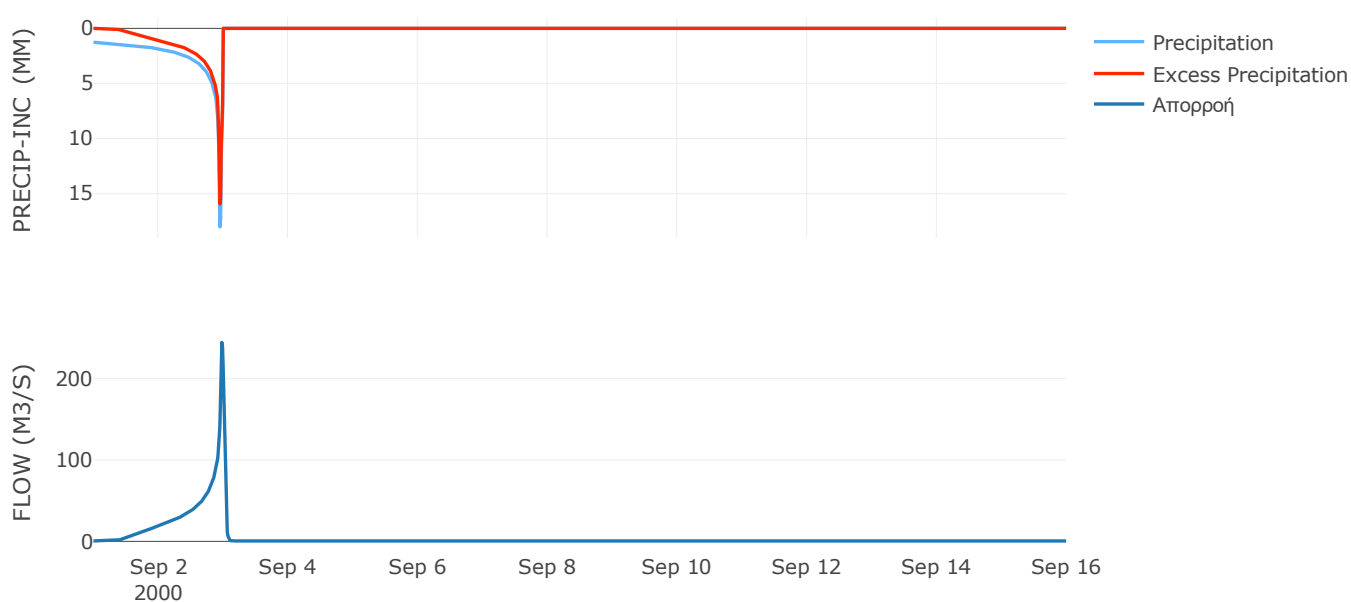
Μέθοδος  
Μετασχηματισμού: SCS

Χρόνος Υστέρησης	33.48
------------------	-------

Αποτελέσματα:  
EL0513FR5014

Παροχή αιχμής (M3/S)	244.49
Χρονική στιγμή αιχμής	02Sep2000, 23:30
Όγκος (MM)	357.77
Όγκος βροχόπτωσης (M3)	8.7E6
Όγκος απωλειών (M3)	3.21E6
Ενεργός Όγκος (M3)	5.49E6
Όγκος άμεσης απορροής (M3)	5.49E6
Όγκος βασικής απορροής (M3)	6.69E5

Βροχόπτωση και Απορροή





Υπολεκάνη: EL0513FR5015

Έκταση (KM2) : 56.91

Κατάντη : J13

Μέθοδος Απωλειών: SCS

Ποσοστό αδιαπέρατης επιφάνειας	0
Αριθμός Καμπύλης Απορροής-CN	56.45
Αρχικές Απώλειες	39.2

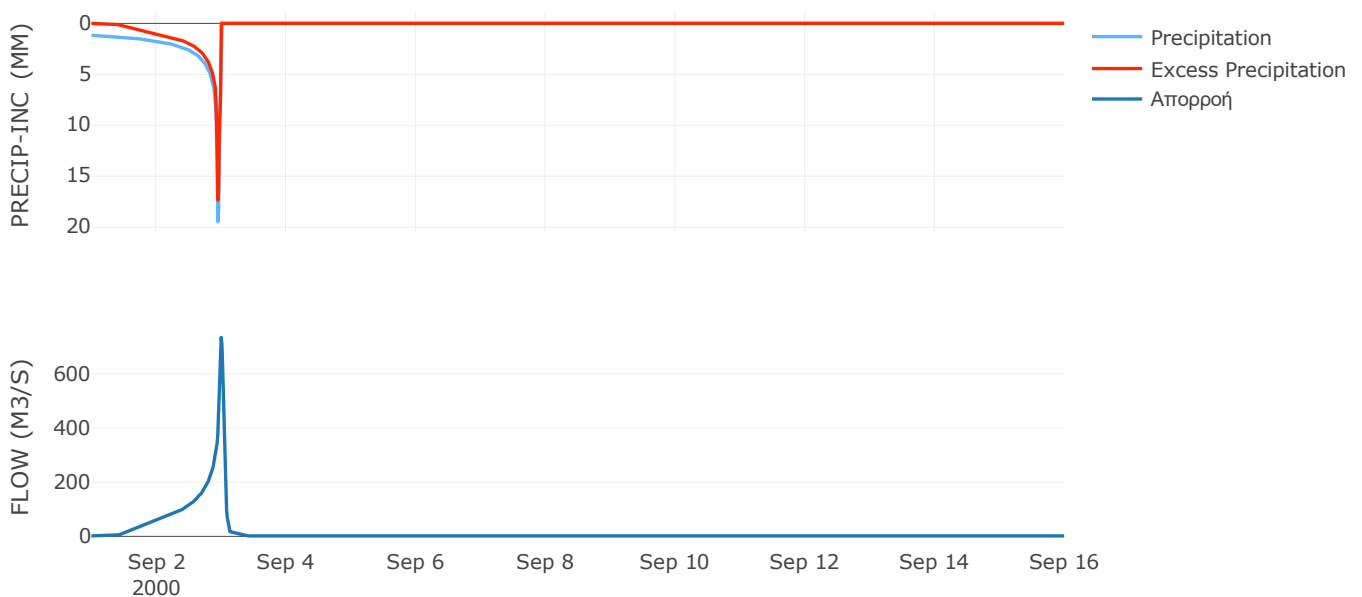
Μέθοδος  
Μετασχηματισμού: SCS

Χρόνος Υστέρησης	60.16
------------------	-------

Αποτελέσματα:  
EL0513FR5015

Παροχή αιχμής (M3/S)	735.03
Χρονική στιγμή αιχμής	02Sep2000, 24:00
Όγκος (MM)	354.55
Όγκος βροχόπτωσης (M3)	2.8E7
Όγκος απωλειών (M3)	1E7
Ενεργός Όγκος (M3)	1.8E7
Όγκος άμεσης απορροής (M3)	1.8E7
Όγκος βασικής απορροής (M3)	2.21E6

Βροχόπτωση και Απορροή



Υπολεκάνη: EL0513FR5016

Έκταση (KM2) : 70.55

Κατάντη : J12

Μέθοδος Απωλειών: SCS

Ποσοστό αδιαπέρατης επιφάνειας	0
Αριθμός Καμπύλης Απορροής-CN	53.81
Αρχικές Απώλειες	43.6

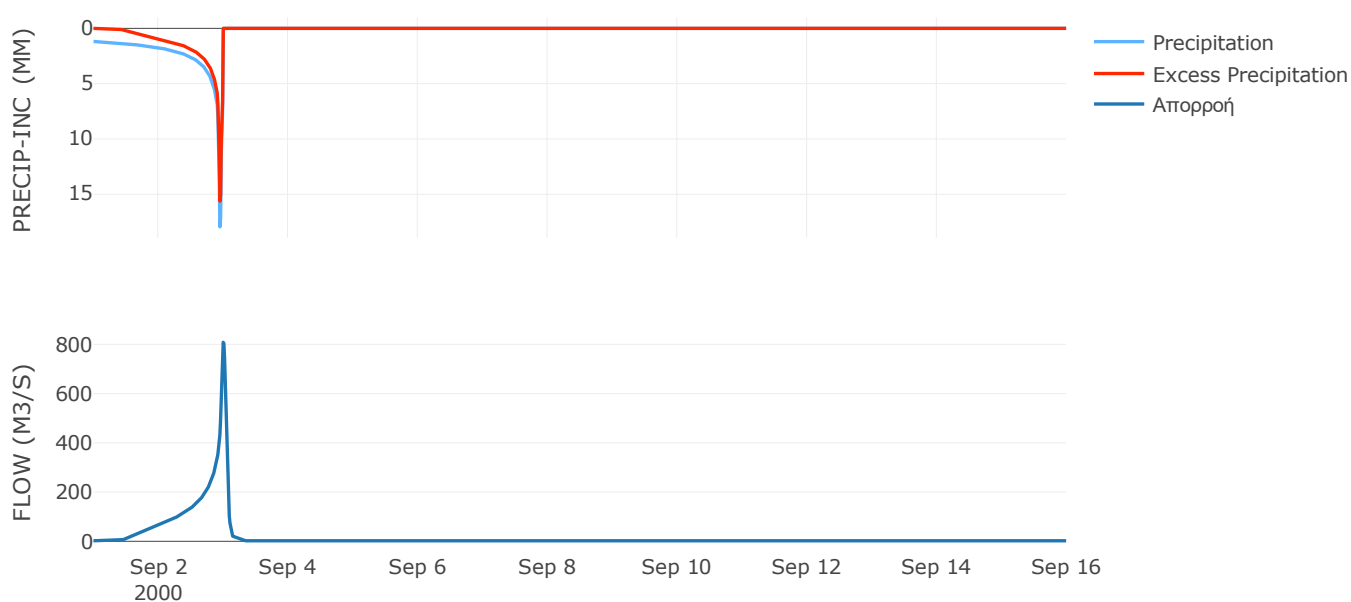
Μέθοδος  
Μετασχηματισμού: SCS

Χρόνος Υστέρησης	65.8
------------------	------

Αποτελέσματα:  
EL0513FR5016

Παροχή αιχμής (M3/S)	808.51
Χρονική στιγμή αιχμής	02Sep2000, 24:00
Όγκος (MM)	334.1
Όγκος βροχόπτωσης (M3)	3.42E7
Όγκος απωλειών (M3)	1.34E7
Ενεργός Όγκος (M3)	2.08E7
Όγκος άμεσης απορροής (M3)	2.08E7
Όγκος βασικής απορροής (M3)	2.74E6

Βροχόπτωση και Απορροή



Υπολεκάνη: EL0513FR5017

Έκταση (KM2) : 33.26

Κατάνη : J11

Μέθοδος Απωλειών: SCS

Ποσοστό αδιαπέρατης επιφάνειας	0
Αριθμός Καμπύλης Απορροής-CN	50.72
Αρχικές Απώλειες	49.35

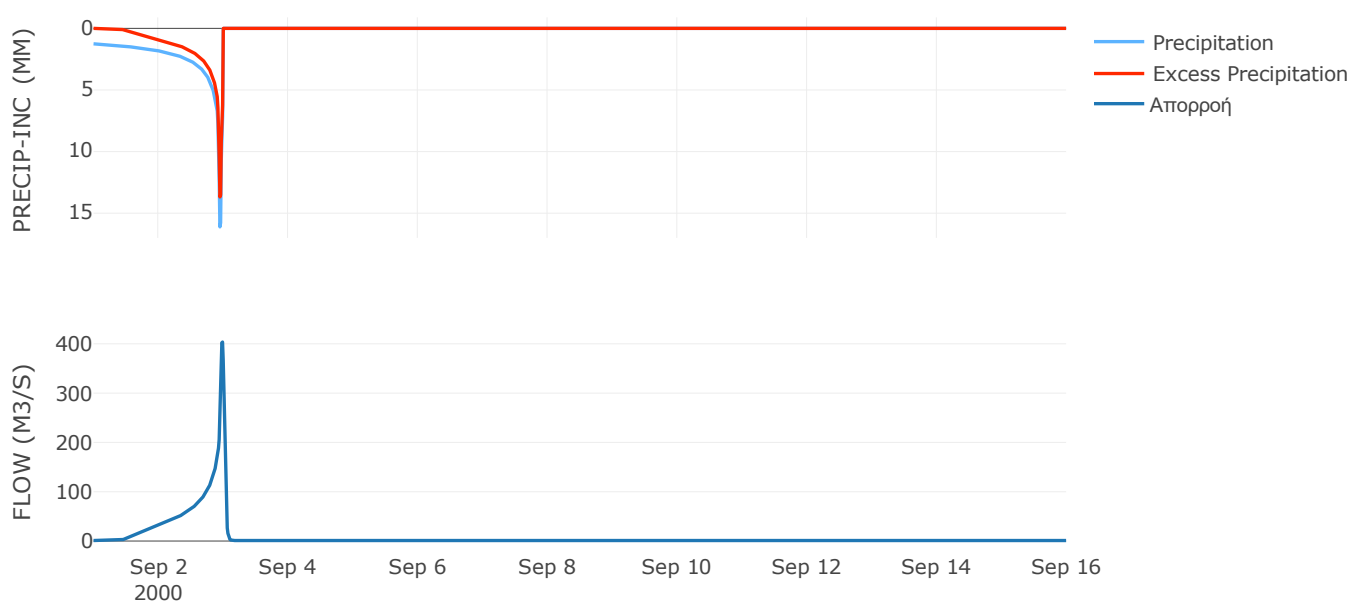
Μέθοδος  
Μετασχηματισμού: SCS

Χρόνος Υστέρησης	36.12
------------------	-------

Αποτελέσματα:  
EL0513FR5017

Παροχή αιχμής (M3/S)	403.61
Χρονική στιγμή αιχμής	02Sep2000, 23:45
Όγκος (MM)	319.66
Όγκος βροχόπτωσης (M3)	1.62E7
Όγκος απωλειών (M3)	6.89E6
Ενεργός Όγκος (M3)	9.34E6
Όγκος άμεσης απορροής (M3)	9.34E6
Όγκος βασικής απορροής (M3)	1.29E6

Βροχόπτωση και Απορροή



Υπολεκάνη: EL0513FR5018

Έκταση (KM2) : 14.02

Κατάληξη : J11

Μέθοδος Απωλειών: SCS

Ποσοστό αδιαπέρατης επιφάνειας	0
Αριθμός Καμπύλης Απορροής-CN	56.09
Αρχικές Απώλειες	39.77

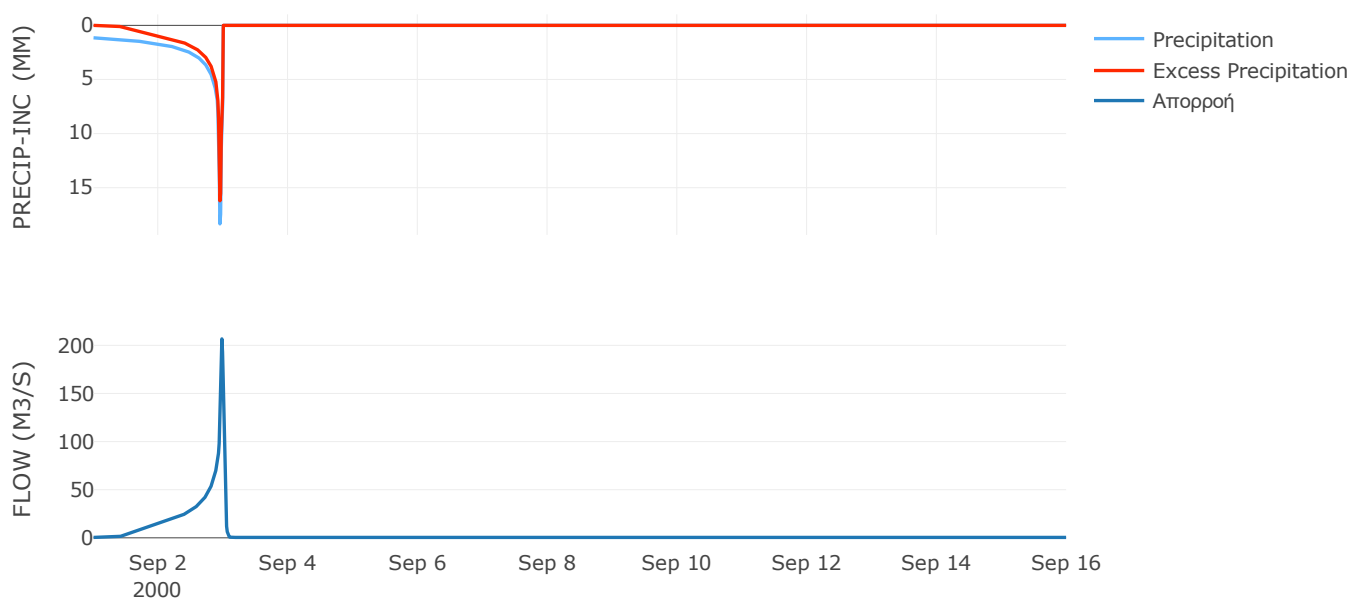
Μέθοδος  
Μετασχηματισμού: SCS

Χρόνος Υστέρησης	29.52
------------------	-------

Αποτελέσματα:  
EL0513FR5018

Παροχή αιχμής (M3/S)	206.69
Χρονική στιγμή αιχμής	02Sep2000, 23:30
Όγκος (MM)	340.49
Όγκος βροχόπτωσης (M3)	6.7E6
Όγκος απωλειών (M3)	2.48E6
Ενεργός Όγκος (M3)	4.23E6
Όγκος άμεσης απορροής (M3)	4.23E6
Όγκος βασικής απορροής (M3)	5.45E5

Βροχόπτωση και Απορροή



Υπολεκάνη: EL0513FR5019

Έκταση (KM2) : 105.27

Κατάνη : J15

Μέθοδος Απωλειών: SCS

Ποσοστό αδιαπέρατης επιφάνειας	0
Αριθμός Καμπύλης Απορροής-CN	60.45
Αρχικές Απώλειες	33.24

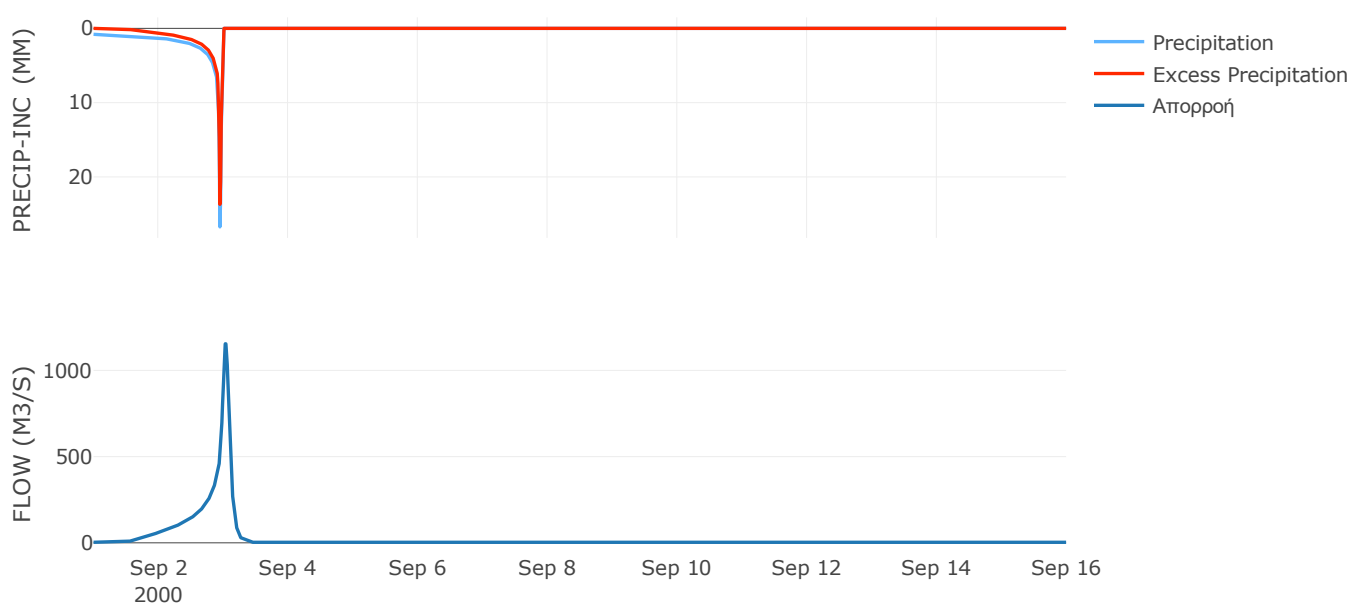
Μέθοδος  
Μετασχηματισμού: SCS

Χρόνος Υστέρησης	120.58
------------------	--------

Αποτελέσματα:  
EL0513FR5019

Παροχή αιχμής (M3/S)	1154.56
Χρονική στιγμή αιχμής	03Sep2000, 00:45
Όγκος (MM)	316.17
Όγκος βροχόπτωσης (M3)	4.5E7
Όγκος απωλειών (M3)	1.58E7
Ενεργός Όγκος (M3)	2.92E7
Όγκος άμεσης απορροής (M3)	2.92E7
Όγκος βασικής απορροής (M3)	4.09E6

Βροχόπτωση και Απορροή



Υπολεκάνη: EL0513FR5020

Έκταση (KM2) : 49.32

Κατάντη : J14

Μέθοδος Απωλειών: SCS

Ποσοστό αδιαπέρατης επιφάνειας	0
Αριθμός Καμπύλης Απορροής-CN	54.53
Αρχικές Απώλειες	42.36

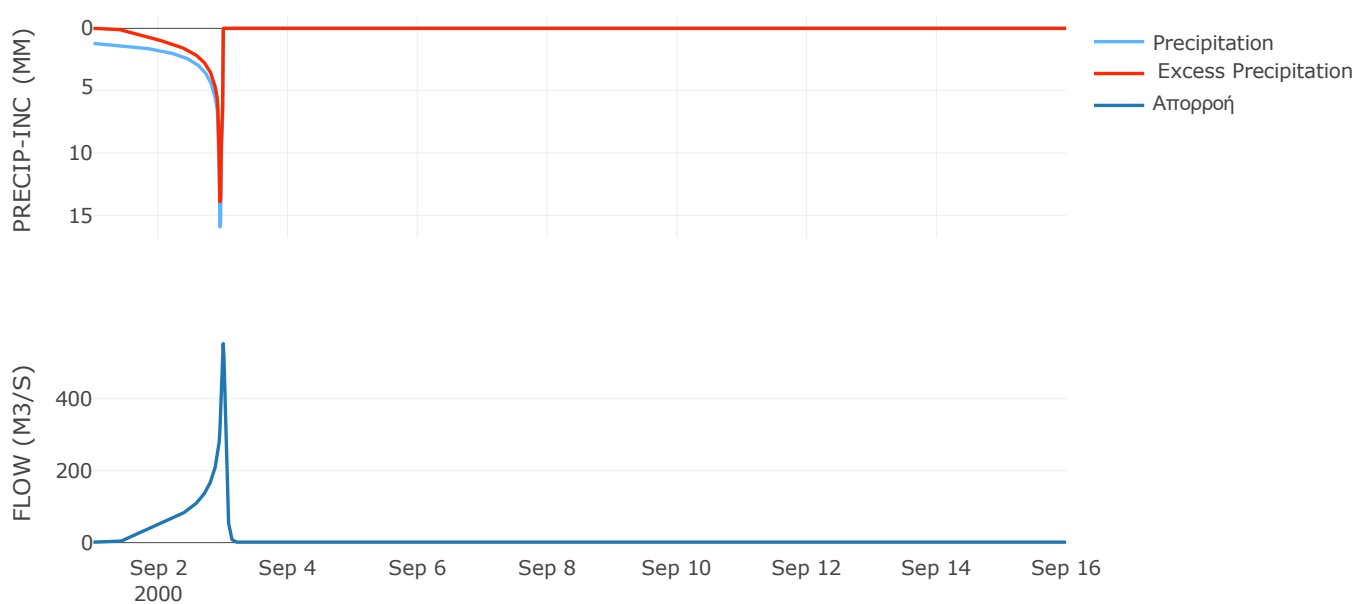
Μέθοδος  
Μετασχηματισμού: SCS

Χρόνος Υστέρησης	53.97
------------------	-------

Αποτελέσματα:  
EL0513FR5020

Παροχή αιχμής (M3/S)	553.03
Χρονική στιγμή αιχμής	02Sep2000, 24:00
Όγκος (MM)	328.75
Όγκος βροχόπτωσης (M3)	2.34E7
Όγκος απωλειών (M3)	9.1E6
Ενεργός Όγκος (M3)	1.43E7
Όγκος άμεσης απορροής (M3)	1.43E7
Όγκος βασικής απορροής (M3)	1.92E6

Βροχόπτωση και Απορροή



Υπολεκάνη: EL0513FR5021

Έκταση (KM2) : 21.13

Κατάνη : J19

Μέθοδος Απωλειών: SCS

Ποσοστό αδιαπέρατης επιφάνειας	0
Αριθμός Καμπύλης Απορροής-CN	70.79
Αρχικές Απώλειες	20.96

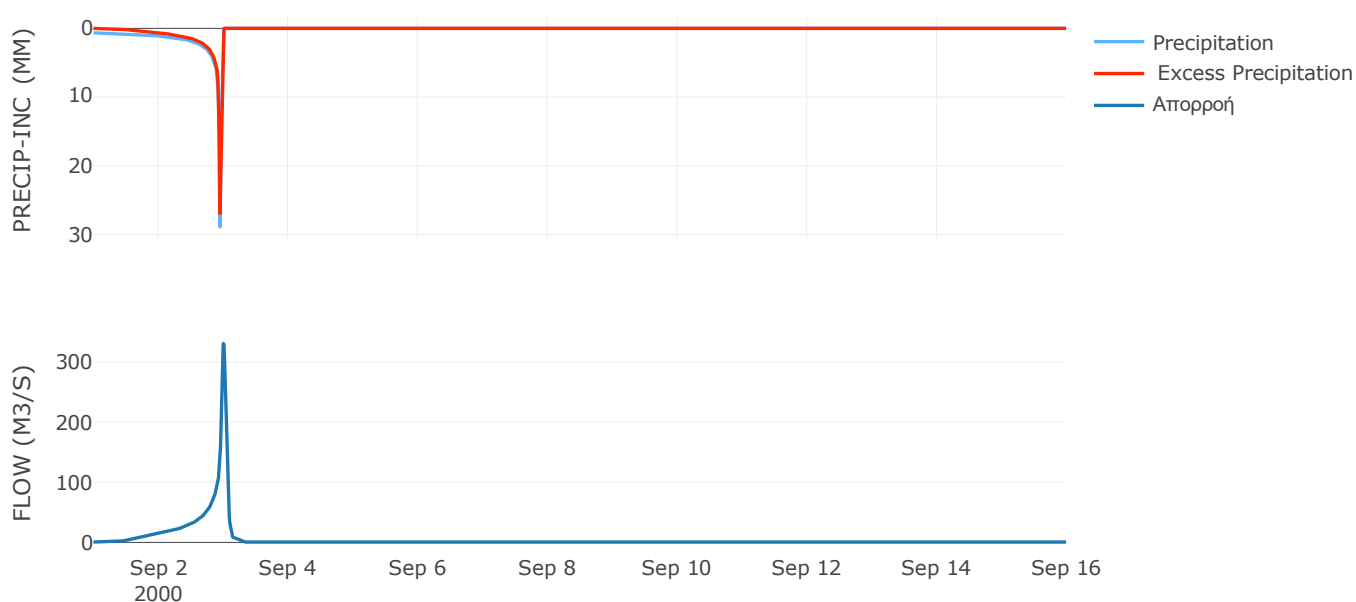
Μέθοδος  
Μετασχηματισμού: SCS

Χρόνος Υστέρησης	67.4
------------------	------

Αποτελέσματα:  
EL0513FR5021

Παροχή αιχμής (M3/S)	330.65
Χρονική στιγμή αιχμής	02Sep2000, 24:00
Όγκος (MM)	326.14
Όγκος βροχόπτωσης (M3)	8.24E6
Όγκος απωλειών (M3)	2.17E6
Ενεργός Όγκος (M3)	6.07E6
Όγκος άμεσης απορροής (M3)	6.07E6
Όγκος βασικής απορροής (M3)	8.21E5

Βροχόπτωση και Απορροή



Υπολεκάνη: EL0513FR5022

Έκταση (KM2) : 8.23

Κατάντη : J20

Μέθοδος Απωλειών: SCS

Ποσοστό αδιαπέρατης επιφάνειας	0
Αριθμός Καμπύλης Απορροής-CN	80.99
Αρχικές Απώλειες	11.93

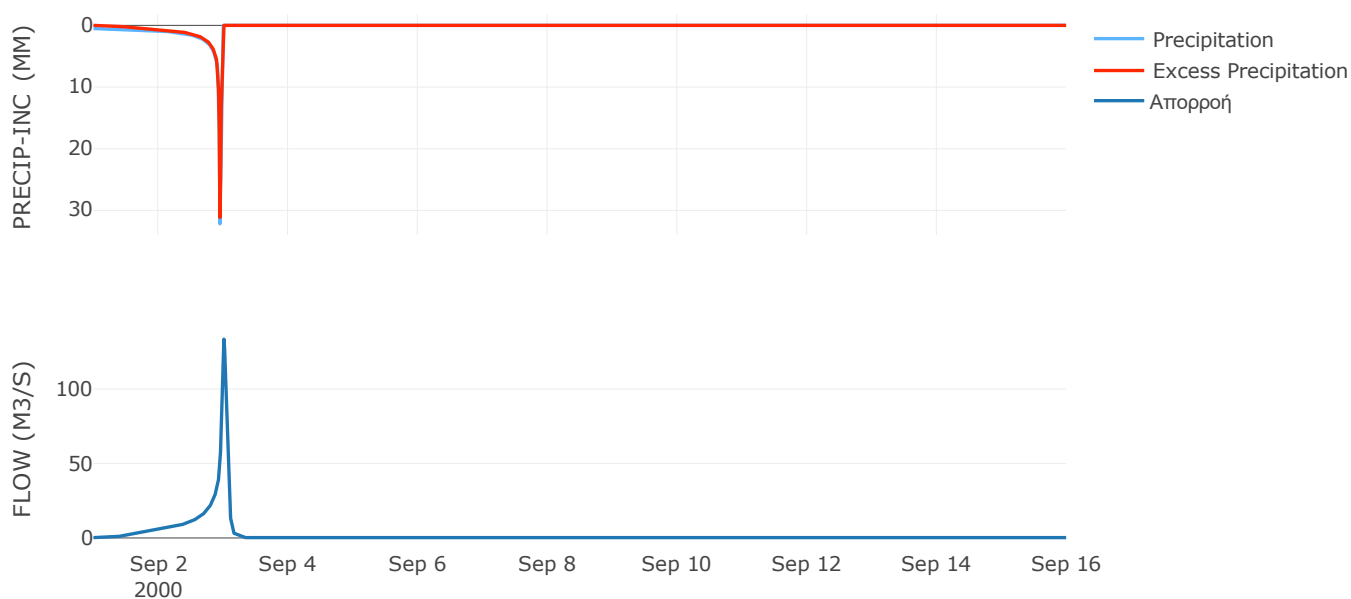
Μέθοδος  
Μετασχηματισμού: SCS

Χρόνος Υστέρησης	75.26
------------------	-------

Αποτελέσματα:  
EL0513FR5022

Παροχή αιχμής (M3/S)	133.51
Χρονική στιγμή αιχμής	03Sep2000, 00:15
Όγκος (MM)	330.04
Όγκος βροχόπτωσης (M3)	2.91E6
Όγκος απωλειών (M3)	5.16E5
Ενεργός Όγκος (M3)	2.39E6
Όγκος άμεσης απορροής (M3)	2.39E6
Όγκος βασικής απορροής (M3)	3.2E5

Βροχόπτωση και Απορροή





Υπολεκάνη: EL0513FR5023

Έκταση (KM2) : 11.05

Κατάνη : J19

Μέθοδος Απωλειών: SCS

Ποσοστό αδιαπέρατης επιφάνειας	0
Αριθμός Καμπύλης Απορροής-CN	80.45
Αρχικές Απώλειες	12.35

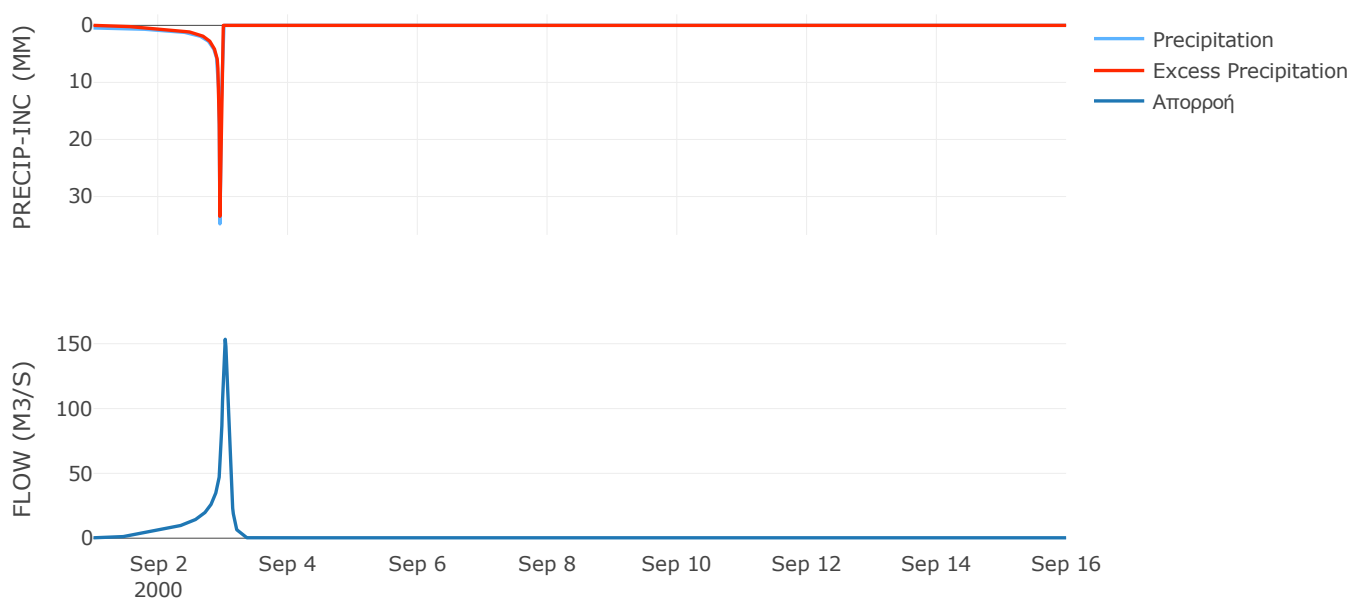
Μέθοδος  
Μετασχηματισμού: SCS

Χρόνος Υστέρησης	105.68
------------------	--------

Αποτελέσματα:  
EL0513FR5023

Παροχή αιχμής (M3/S)	153.44
Χρονική στιγμή αιχμής	03Sep2000, 00:45
Όγκος (MM)	316.47
Όγκος βροχόπτωσης (M3)	3.78E6
Όγκος απωλειών (M3)	7.11E5
Ενεργός Όγκος (M3)	3.07E6
Όγκος άμεσης απορροής (M3)	3.07E6
Όγκος βασικής απορροής (M3)	4.3E5

Βροχόπτωση και Απορροή



Υπολεκάνη: EL0513FR5024

Έκταση (KM2) : 5.88

Κατάντη : J4

Μέθοδος Απωλειών: SCS

Ποσοστό αδιαπέρατης επιφάνειας	0
Αριθμός Καμπύλης Απορροής-CN	74.34
Αρχικές Απώλειες	17.54

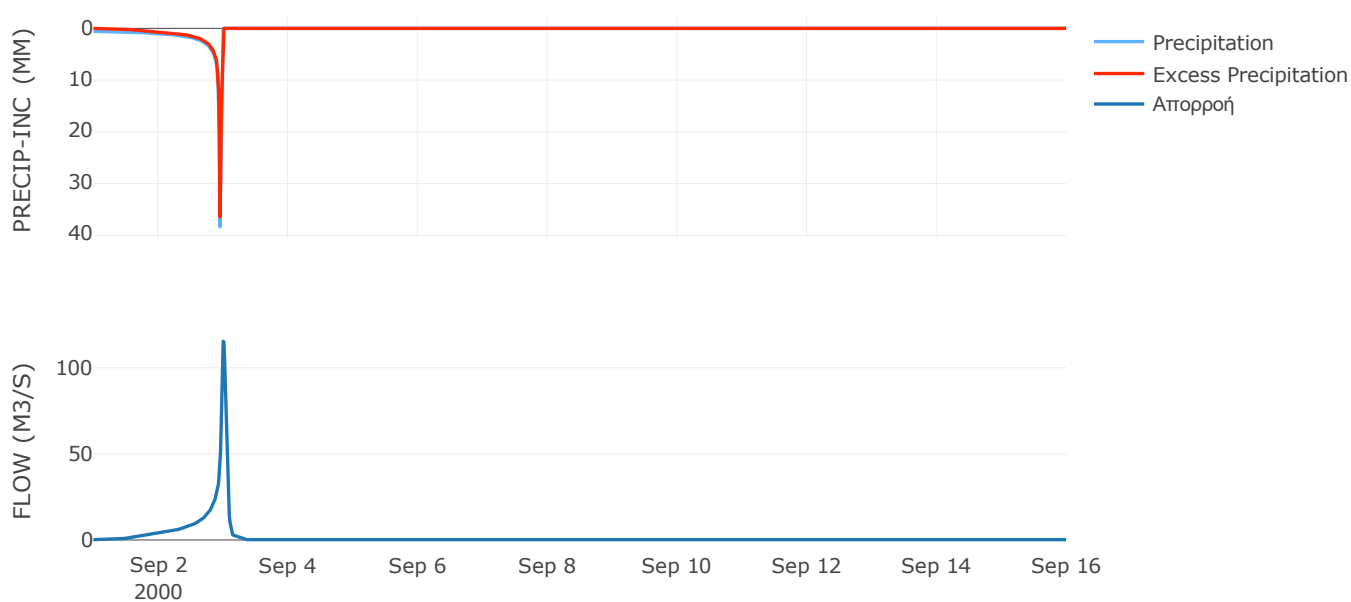
Μέθοδος  
Μετασχηματισμού: SCS

Χρόνος Υστέρησης	67.39
------------------	-------

Αποτελέσματα:  
EL0513FR5024

Παροχή αιχμής (M3/S)	115.43
Χρονική στιγμή αιχμής	02Sep2000, 24:00
Όγκος (MM)	357.13
Όγκος βροχόπτωσης (M3)	2.4E6
Όγκος απωλειών (M3)	5.24E5
Ενεργός Όγκος (M3)	1.87E6
Όγκος άμεσης απορροής (M3)	1.87E6
Όγκος βασικής απορροής (M3)	2.29E5

Βροχόπτωση και Απορροή



Υπολεκάνη: EL0513FR5025

Έκταση (KM2) : 50.61

Κατάντη : J7

Μέθοδος Απωλειών: SCS

Ποσοστό αδιαπέρατης επιφάνειας	0
Αριθμός Καμπύλης Απορροής-CN	70.86
Αρχικές Απώλειες	20.89

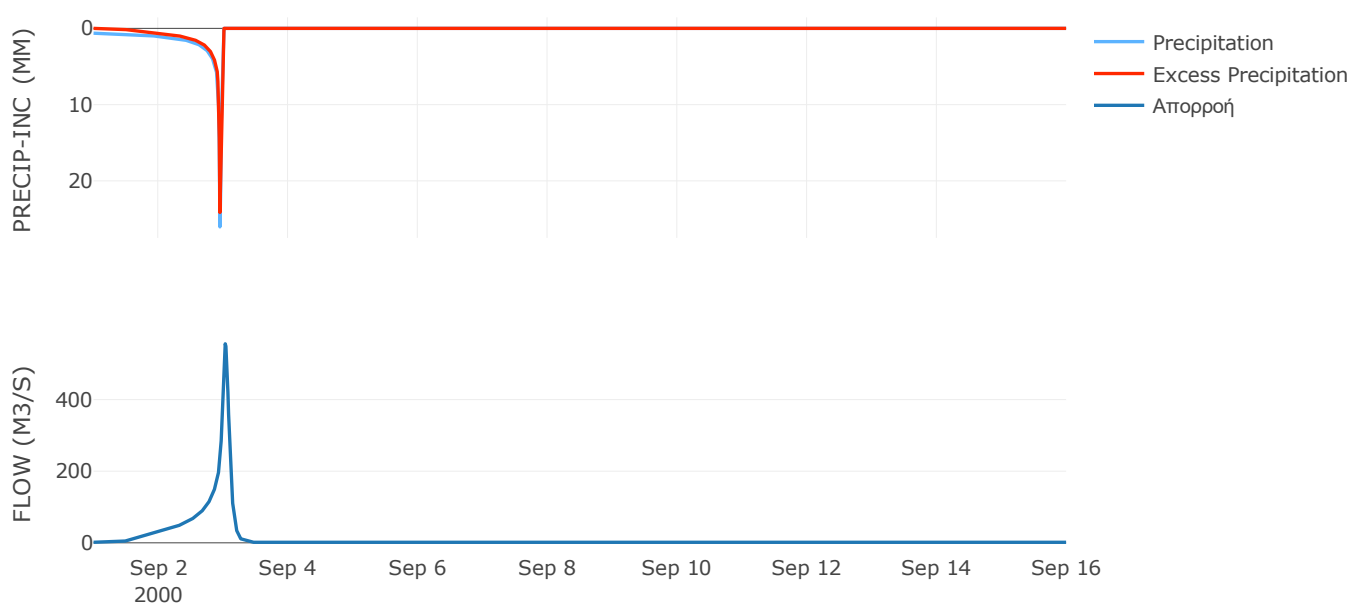
Μέθοδος  
Μετασχηματισμού: SCS

Χρόνος Υστέρησης	114.63
------------------	--------

Αποτελέσματα:  
EL0513FR5025

Παροχή αιχμής (M3/S)	555.79
Χρονική στιγμή αιχμής	03Sep2000, 00:45
Όγκος (MM)	304.35
Όγκος βροχόπτωσης (M3)	1.86E7
Όγκος απωλειών (M3)	5.12E6
Ενεργός Όγκος (M3)	1.34E7
Όγκος άμεσης απορροής (M3)	1.34E7
Όγκος βασικής απορροής (M3)	1.97E6

Βροχόπτωση και Απορροή



Υπολεκάνη: EL0513FR5026

Έκταση (KM2) : 20.26

Κατάντη : J18

Μέθοδος Απωλειών: SCS

Ποσοστό αδιαπέρατης επιφάνειας	0
Αριθμός Καμπύλης Απορροής-CN	77.13
Αρχικές Απώλειες	15.07

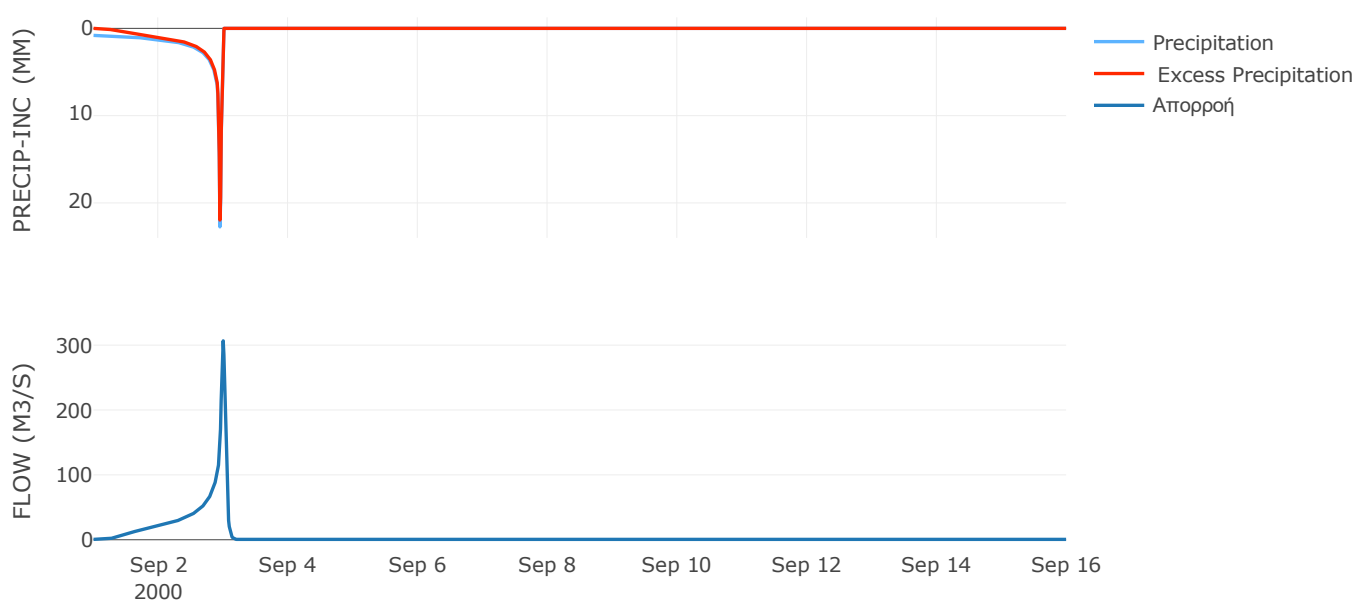
Μέθοδος  
Μετασχηματισμού: SCS

Χρόνος Υστέρησης	55.16
------------------	-------

Αποτελέσματα:  
EL0513FR5026

Παροχή αιχμής (M3/S)	306.57
Χρονική στιγμή αιχμής	02Sep2000, 24:00
Όγκος (MM)	365.33
Όγκος βροχόπτωσης (M3)	8.2E6
Όγκος απωλειών (M3)	1.58E6
Ενεργός Όγκος (M3)	6.61E6
Όγκος άμεσης απορροής (M3)	6.61E6
Όγκος βασικής απορροής (M3)	7.88E5

Βροχόπτωση και Απορροή



Υπολεκάνη: EL0513FR5027

Έκταση (KM2) : 40.56

Κατάντη : J18

Μέθοδος Απωλειών: SCS

Ποσοστό αδιαπέρατης επιφάνειας	0
Αριθμός Καμπύλης Απορροής-CN	67.85
Αρχικές Απώλειες	24.07

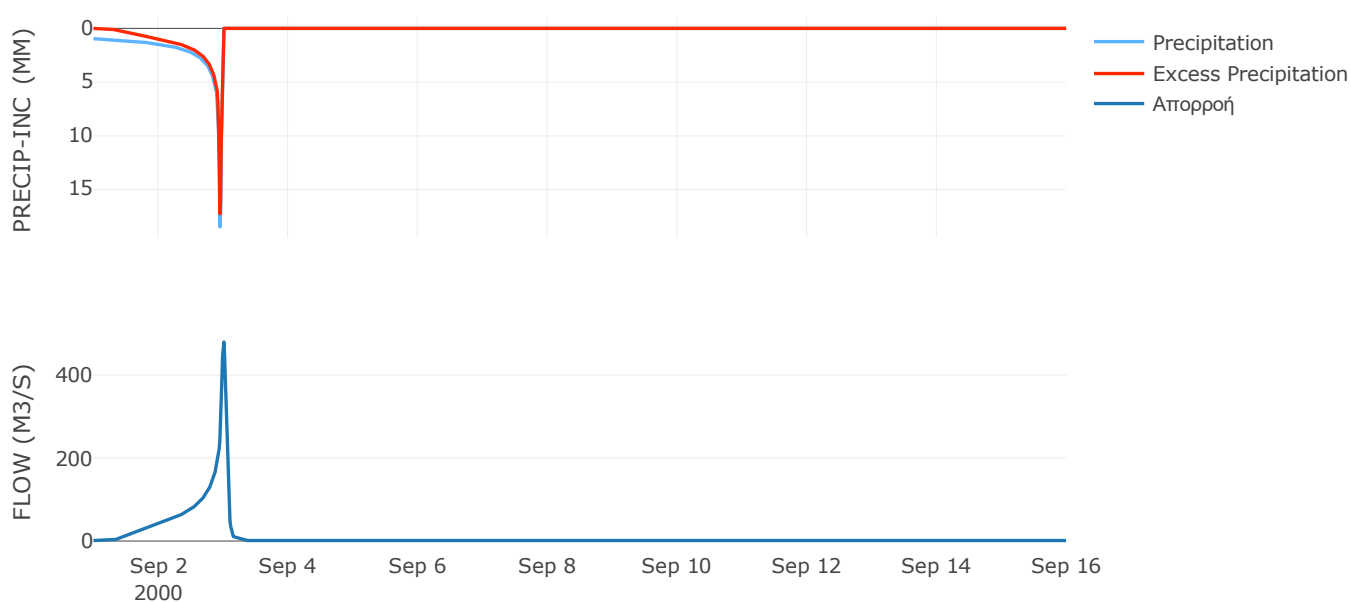
Μέθοδος  
Μετασχηματισμού: SCS

Χρόνος Υστέρησης	68.41
------------------	-------

Αποτελέσματα:  
EL0513FR5027

Παροχή αιχμής (M3/S)	479.85
Χρονική στιγμή αιχμής	03Sep2000, 00:15
Όγκος (MM)	346.85
Όγκος βροχόπτωσης (M3)	1.72E7
Όγκος απωλειών (M3)	4.73E6
Ενεργός Όγκος (M3)	1.25E7
Όγκος άμεσης απορροής (M3)	1.25E7
Όγκος βασικής απορροής (M3)	1.58E6

Βροχόπτωση και Απορροή



Υπολεκάνη: EL0513FR5028

Έκταση (KM2) : 26.17

Κατάντη : J17

Μέθοδος Απωλειών: SCS

Ποσοστό αδιαπέρατης επιφάνειας	0
Αριθμός Καμπύλης Απορροής-CN	67.76
Αρχικές Απώλειες	24.17

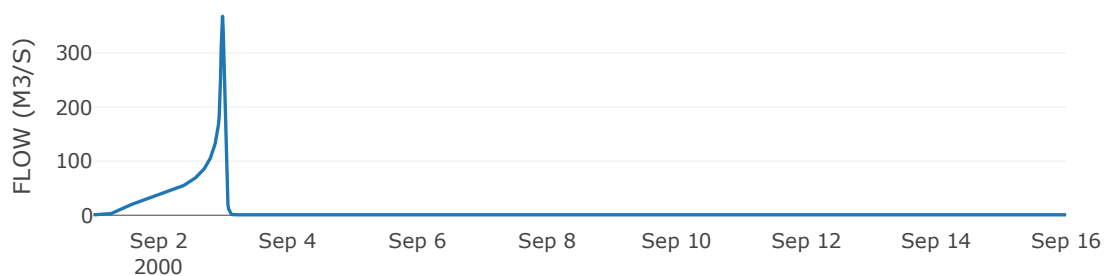
Μέθοδος  
Μετασχηματισμού: SCS

Χρόνος Υστέρησης	40
------------------	----

Αποτελέσματα:  
EL0513FR5028

Παροχή αιχμής (M3/S)	368.1
Χρονική στιγμή αιχμής	02Sep2000, 23:45
Όγκος (MM)	400.66
Όγκος βροχόπτωσης (M3)	1.26E7
Όγκος απωλειών (M3)	3.13E6
Ενεργός Όγκος (M3)	9.47E6
Όγκος άμεσης απορροής (M3)	9.47E6
Όγκος βασικής απορροής (M3)	1.02E6

Βροχόπτωση και Απορροή



Υπολεκάνη: EL0513FR5029

Έκταση (KM2) : 21.97

Κατάντη : J9

Μέθοδος Απωλειών: SCS

Ποσοστό αδιαπέρατης επιφάνειας	0
Αριθμός Καμπύλης Απορροής-CN	43.07
Αρχικές Απώλειες	67.16

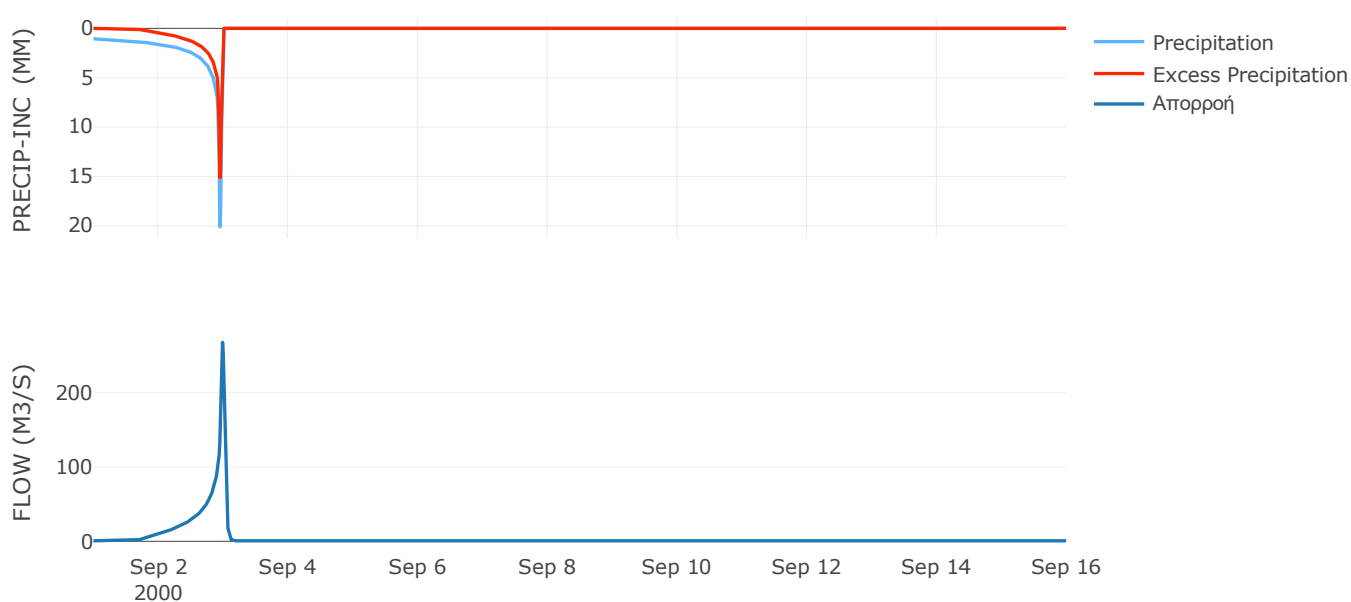
Μέθοδος  
Μετασχηματισμού: SCS

Χρόνος Υστέρησης	42.69
------------------	-------

Αποτελέσματα:  
EL0513FR5029

Παροχή αιχμής (M3/S)	267.85
Χρονική στιγμή αιχμής	02Sep2000, 23:45
Όγκος (MM)	253.21
Όγκος βροχόπτωσης (M3)	1.02E7
Όγκος απωλειών (M3)	5.47E6
Ενεργός Όγκος (M3)	4.71E6
Όγκος άμεσης απορροής (M3)	4.71E6
Όγκος βασικής απορροής (M3)	8.54E5

Βροχόπτωση και Απορροή



Υπολεκάνη: EL0513FR5030

Έκταση (KM2) : 13.43

Κατάντη : J5

Μέθοδος Απωλειών: SCS

Ποσοστό αδιαπέρατης επιφάνειας	0
Αριθμός Καμπύλης Απορροής-CN	64.48
Αρχικές Απώλειες	27.99

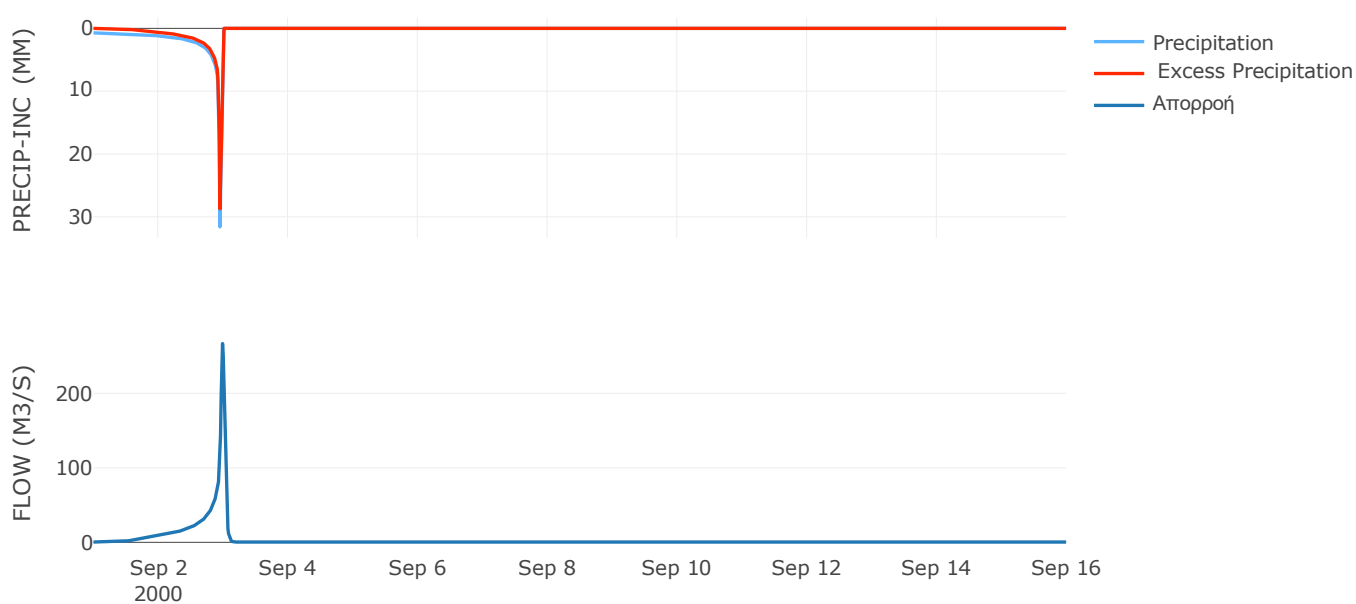
Μέθοδος  
Μετασχηματισμού: SCS

Χρόνος Υστέρησης	44.74
------------------	-------

Αποτελέσματα:  
EL0513FR5030

Παροχή αιχμής (M3/S)	266.89
Χρονική στιγμή αιχμής	02Sep2000, 23:45
Όγκος (MM)	332.8
Όγκος βροχόπτωσης (M3)	5.71E6
Όγκος απωλειών (M3)	1.77E6
Ενεργός Όγκος (M3)	3.95E6
Όγκος άμεσης απορροής (M3)	3.95E6
Όγκος βασικής απορροής (M3)	5.22E5

Βροχόπτωση και Απορροή





Υπολεκάνη: EL0513FR5031

Έκταση (KM2) : 13.12

Κατάνη : J15

Μέθοδος Απωλειών: SCS

Ποσοστό αδιαπέρατης επιφάνειας	0
Αριθμός Καμπύλης Απορροής-CN	64.25
Αρχικές Απώλειες	28.27

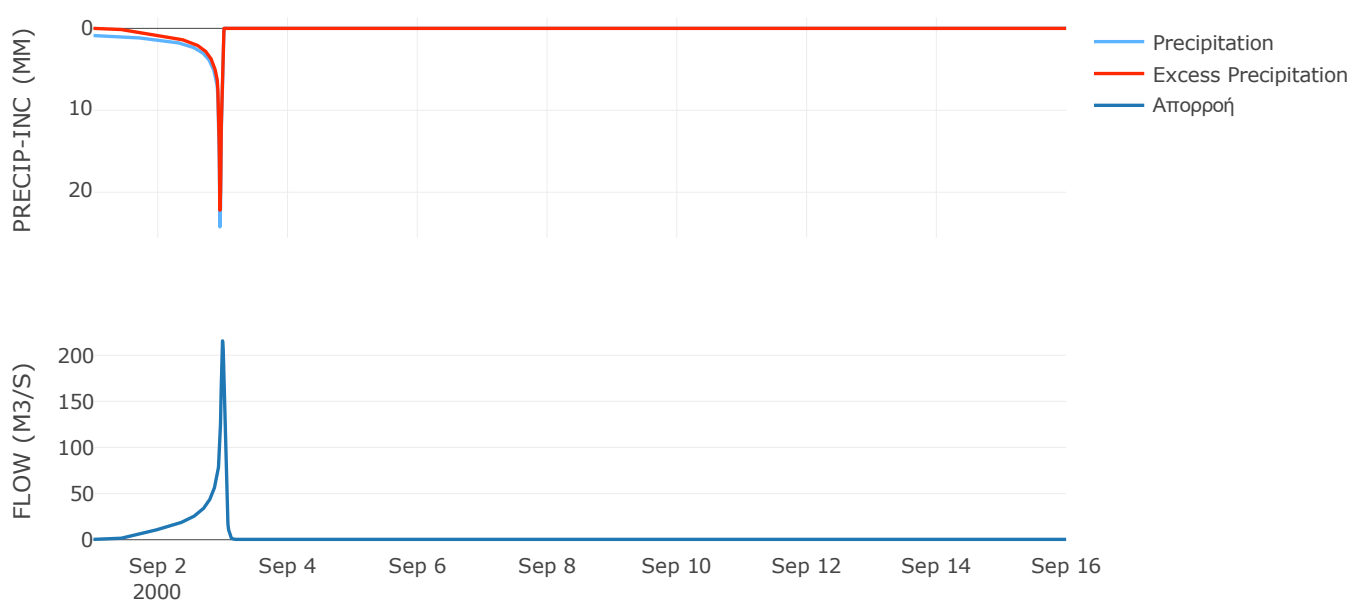
Μέθοδος  
Μετασχηματισμού: SCS

Χρόνος Υστέρησης	45.85
------------------	-------

Αποτελέσματα:  
EL0513FR5031

Παροχή αιχμής (M3/S)	215.56
Χρονική στιγμή αιχμής	02Sep2000, 23:45
Όγκος (MM)	343.86
Όγκος βροχόπτωσης (M3)	5.75E6
Όγκος απωλειών (M3)	1.75E6
Ενεργός Όγκος (M3)	4E6
Όγκος άμεσης απορροής (M3)	4E6
Όγκος βασικής απορροής (M3)	5.1E5

Βροχόπτωση και Απορροή



Υπολεκάνη: EL0513FR5032

Έκταση (KM2) : 17.35

Κατάντη : J16

Μέθοδος Απωλειών: SCS

Ποσοστό αδιαπέρατης επιφάνειας	0
Αριθμός Καμπύλης Απορροής-CN	50.6
Αρχικές Απώλειες	49.59

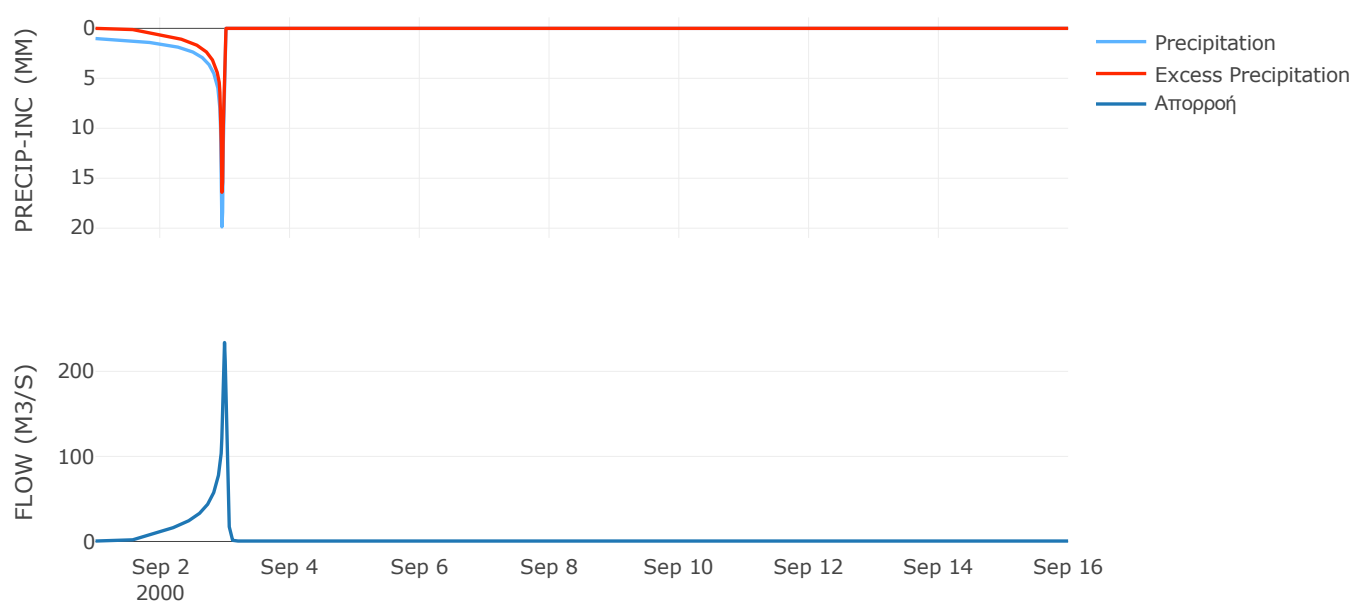
Μέθοδος  
Μετασχηματισμού: SCS

Χρόνος Υστέρησης	38.07
------------------	-------

Αποτελέσματα:  
EL0513FR5032

Παροχή αιχμής (M3/S)	233.89
Χρονική στιγμή αιχμής	02Sep2000, 23:45
Όγκος (MM)	287.93
Όγκος βροχόπτωσης (M3)	7.84E6
Όγκος απωλειών (M3)	3.52E6
Ενεργός Όγκος (M3)	4.32E6
Όγκος άμεσης απορροής (M3)	4.32E6
Όγκος βασικής απορροής (M3)	6.75E5

Βροχόπτωση και Απορροή



Υπολεκάνη: EL0513FR5033

Έκταση (KM2) : 4.63

Κατάνη : J21 Res1

Μέθοδος Απωλειών: SCS

Ποσοστό αδιαπέρατης επιφάνειας	0
Αριθμός Καμπύλης Απορροής-CN	48.83
Αρχικές Απώλειες	53.24

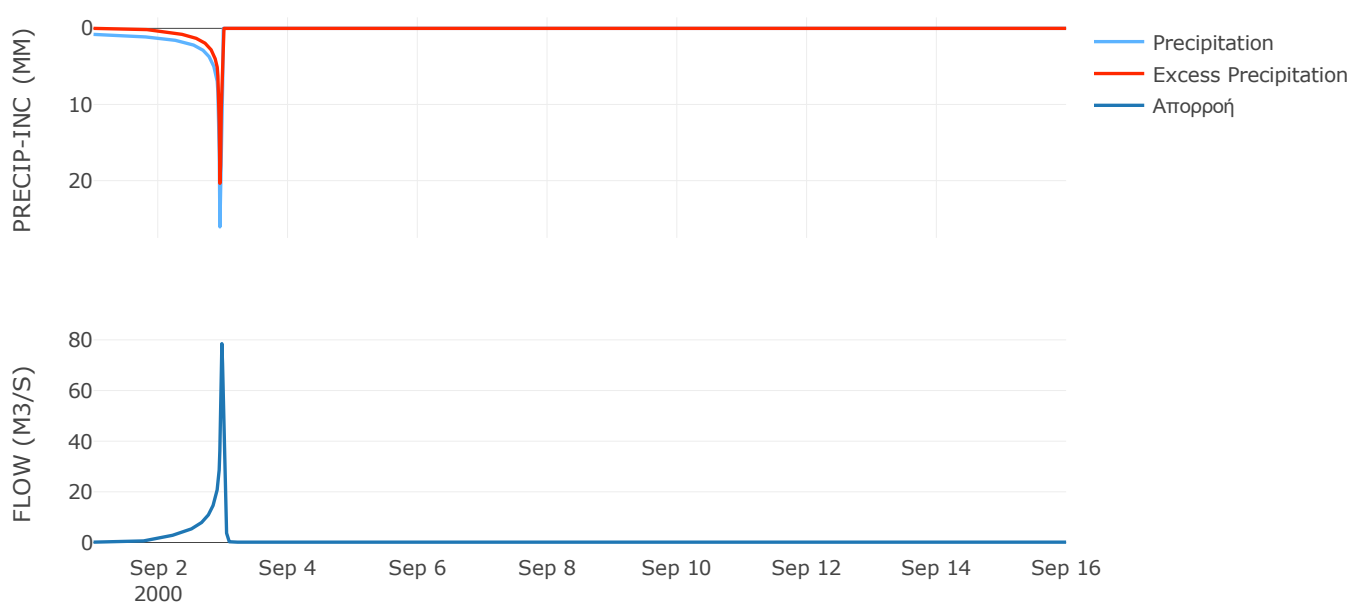
Μέθοδος  
Μετασχηματισμού: SCS

Χρόνος Υστέρησης	28.7
------------------	------

Αποτελέσματα:  
EL0513FR5033

Παροχή αιχμής (M3/S)	78.51
Χρονική στιγμή αιχμής	02Sep2000, 23:30
Όγκος (MM)	252.36
Όγκος βροχόπτωσης (M3)	1.95E6
Όγκος απωλειών (M3)	9.61E5
Ενεργός Όγκος (M3)	9.87E5
Όγκος άμεσης απορροής (M3)	9.87E5
Όγκος βασικής απορροής (M3)	1.8E5

Βροχόπτωση και Απορροή



## 8.2 Δεδομένα και υδρογραφήματα σχεδιασμού Κλάδων υδρογραφικού δικτύου

Κλάδος: R21

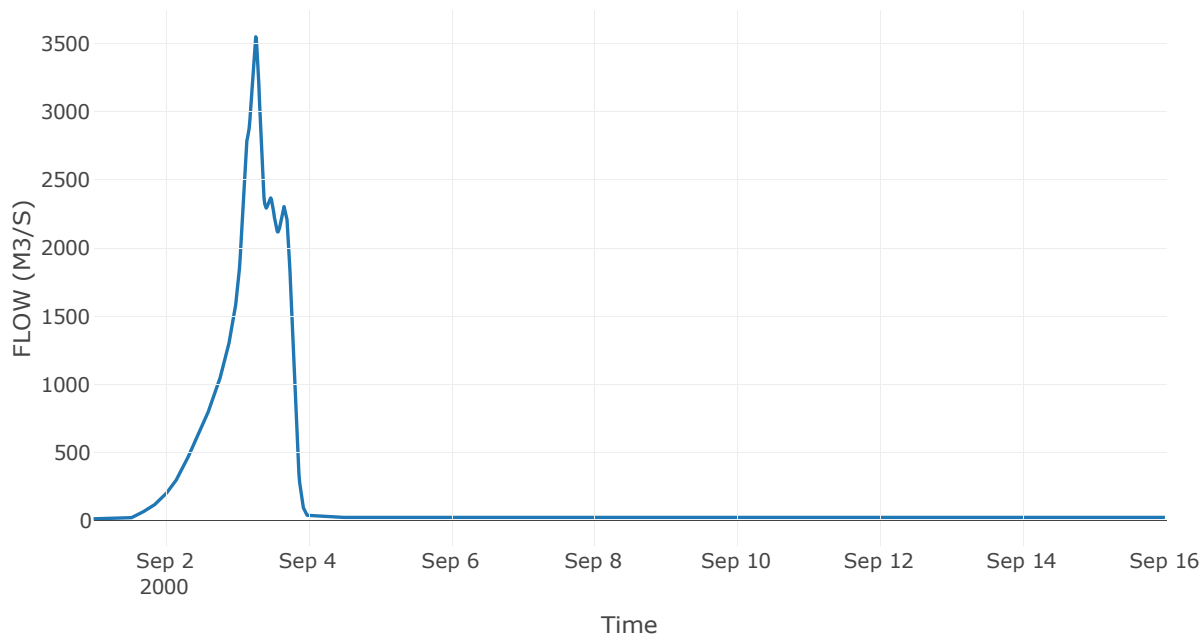
Κατάντη : J1

Μέθοδος Διόδευσης	Muskingum
Αρχική Μεταβλητή	Combined Inflow
Χρόνος Ροής Κ	1.01
Συντελεστής βάρους x	0.2
Πλήθος Υποκλάδων	5

Αποτελέσματα: R21

Παροχή Αιχμής(M3/S)	3548.26
Χρονική στιγμή αιχμής	03Sep2000, 06:30
Όγκος(MM)	329.18
Παροχή Αιχμής Εισόδου (M3/S)	3587.59
Όγκος Εισροής(M3)	2.66E8

Απορροή



Κλάδος: R32

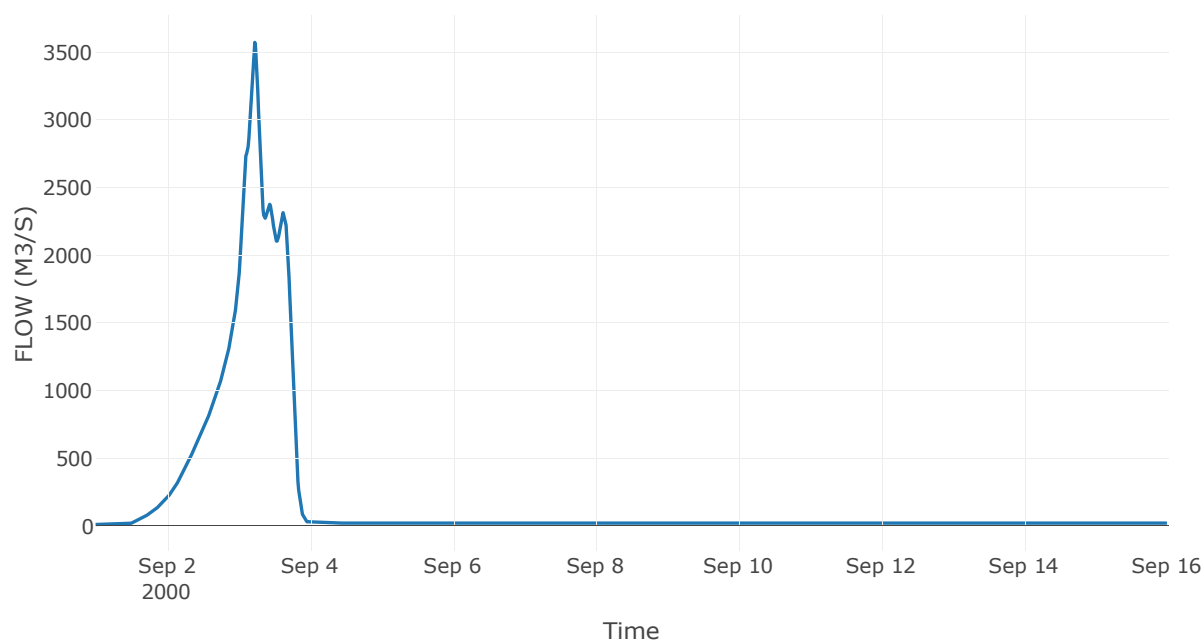
Κατάντη : J2

Μέθοδος Διόδευσης	Muskingum
Αρχική Μεταβλητή	Combined Inflow
Χρόνος Ροής K	1.56
Συντελεστής βάρους x	0.2
Πλήθος Υποκλάδων	7

Αποτελέσματα: R32

Παροχή Αιχμής(M3/S)	3572.29
Χρονική στιγμή αιχμής	03Sep2000, 05:30
Όγκος(MM)	329.2
Παροχή Αιχμής Εισόδου (M3/S)	3649.17
Όγκος Εισροής(M3)	2.64E8

Απορροή



Κλάδος: R43

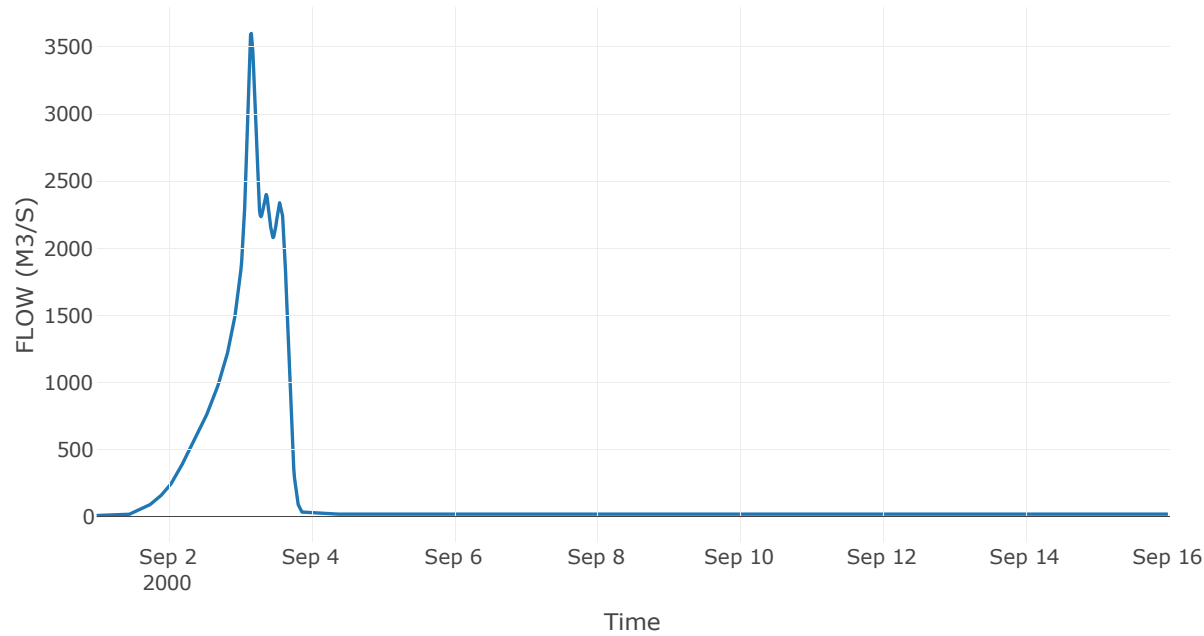
Κατάντη : J3

Μέθοδος Διόδευσης	Muskingum
Αρχική Μεταβλητή	Combined Inflow
Χρόνος Ροής K	2.97
Συντελεστής βάρους x	0.2
Πλήθος Υποκλάδων	14

Αποτελέσματα: R43

Παροχή Αιχμής(M3/S)	3598.57
Χρονική στιγμή αιχμής	03Sep2000, 04:00
Όγκος(MM)	329.26
Παροχή Αιχμής Εισόδου (M3/S)	3784.8
Όγκος Εισροής(M3)	2.44E8

Απορροή



Κλάδος: R54

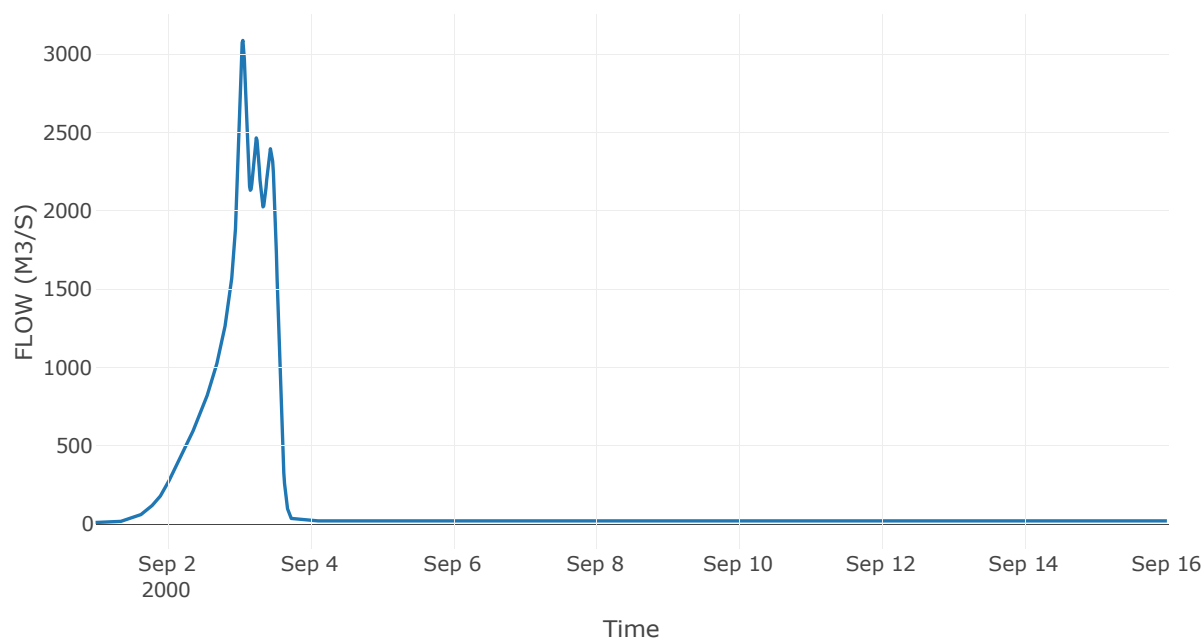
Κατάντη : J4

Μέθοδος Διόδευσης	Muskingum
Αρχική Μεταβλητή	Combined Inflow
Χρόνος Ροής K	0.13
Συντελεστής βάρους x	0.2
Πλήθος Υποκλάδων	1

Αποτελέσματα: R54

Παροχή Αιχμής(M3/S)	3086.38
Χρονική στιγμή αιχμής	03Sep2000, 01:30
Όγκος(MM)	326.86
Παροχή Αιχμής Εισόδου (M3/S)	3090.35
Όγκος Εισροής(M3)	2.2E8

Απορροή



Κλάδος: R65

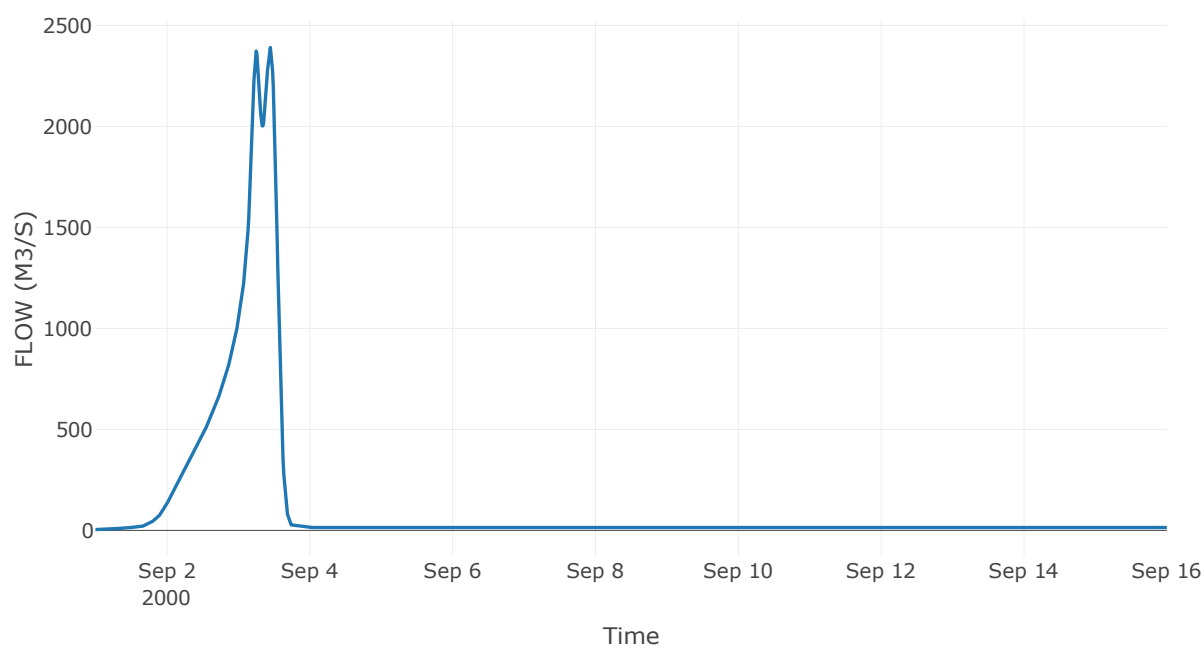
Κατάντη : J5

Μέθοδος Διόδευσης	Muskingum
Αρχική Μεταβλητή	Combined Inflow
Χρόνος Ροής K	3.58
Συντελεστής βάρους x	0.2
Πλήθος Υποκλάδων	17

Αποτελέσματα: R65

Παροχή Αιχμής(M3/S)	2390.74
Χρονική στιγμή αιχμής	03Sep2000, 10:45
Όγκος(MM)	327.83
Παροχή Αιχμής Εισόδου (M3/S)	2525.48
Όγκος Εισροής(M3)	1.56E8

Απορροή





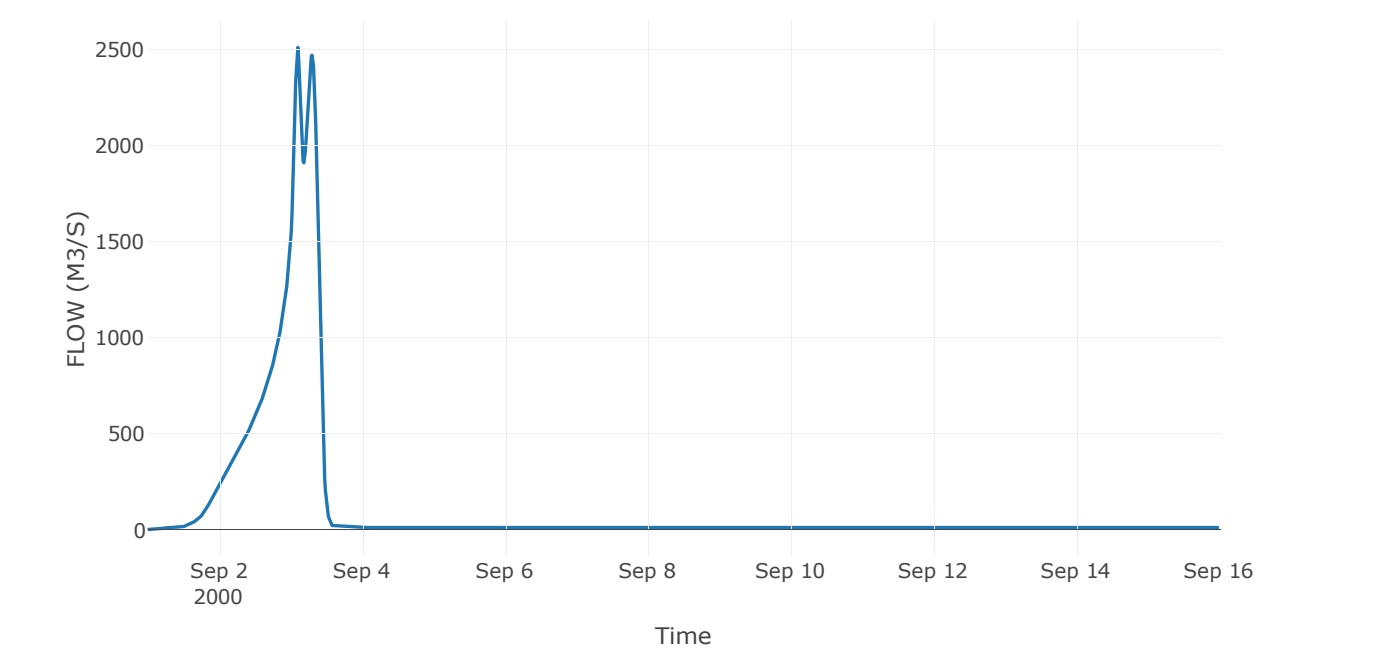
Κλάδος: R76

Κατάντη : J6

Μέθοδος Διόδευσης	Muskingum
Αρχική Μεταβλητή	Combined Inflow
Χρόνος Ροής K	1.49
Συντελεστής βάρους x	0.2
Πλήθος Υποκλάδων	7

Αποτελέσματα: R76	
Παροχή Αιχμής(M3/S)	2511.41
Χρονική στιγμή αιχμής	03Sep2000, 02:30
Όγκος(MM)	328.25
Παροχή Αιχμής Εισόδου (M3/S)	2620.58
Όγκος Εισροής(M3)	1.55E8

Απορροή



Κλάδος: R87

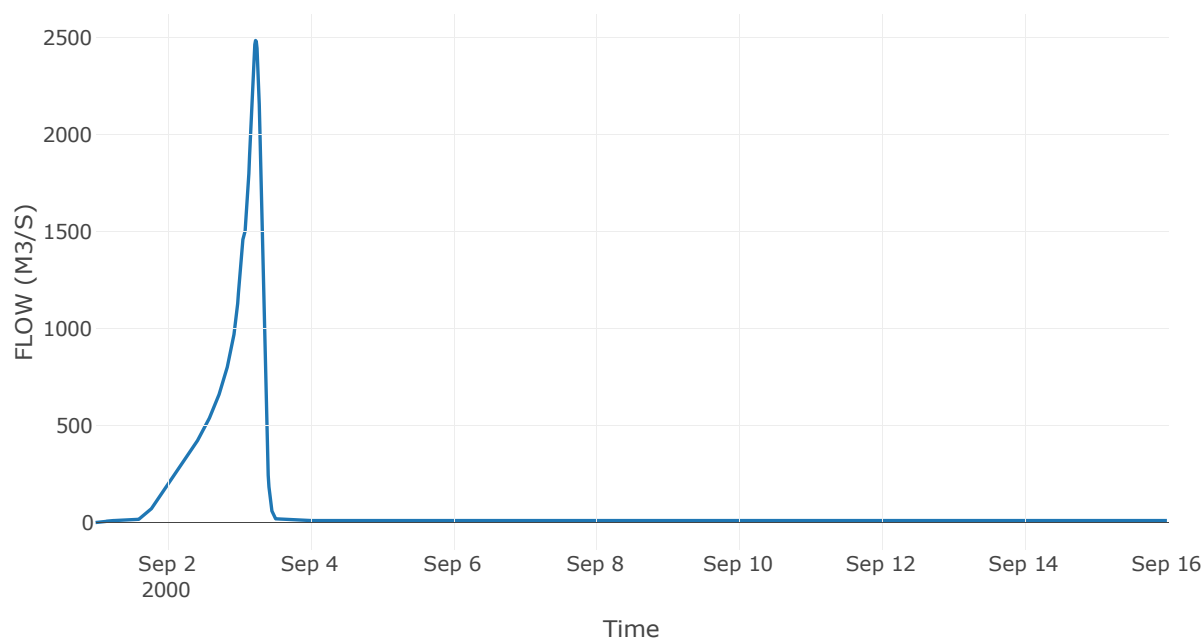
Κατάντη : J7

Μέθοδος Διόδευσης	Muskingum
Αρχική Μεταβλητή	Combined Inflow
Χρόνος Ροής K	0.94
Συντελεστής βάρους x	0.2
Πλήθος Υποκλάδων	5

Αποτελέσματα: R87

Παροχή Αιχμής(M3/S)	2485.76
Χρονική στιγμή αιχμής	03Sep2000, 05:45
Όγκος(MM)	332.02
Παροχή Αιχμής Εισόδου (M3/S)	2508.41
Όγκος Εισροής(M3)	1.2E8

Απορροή



Κλάδος: R218

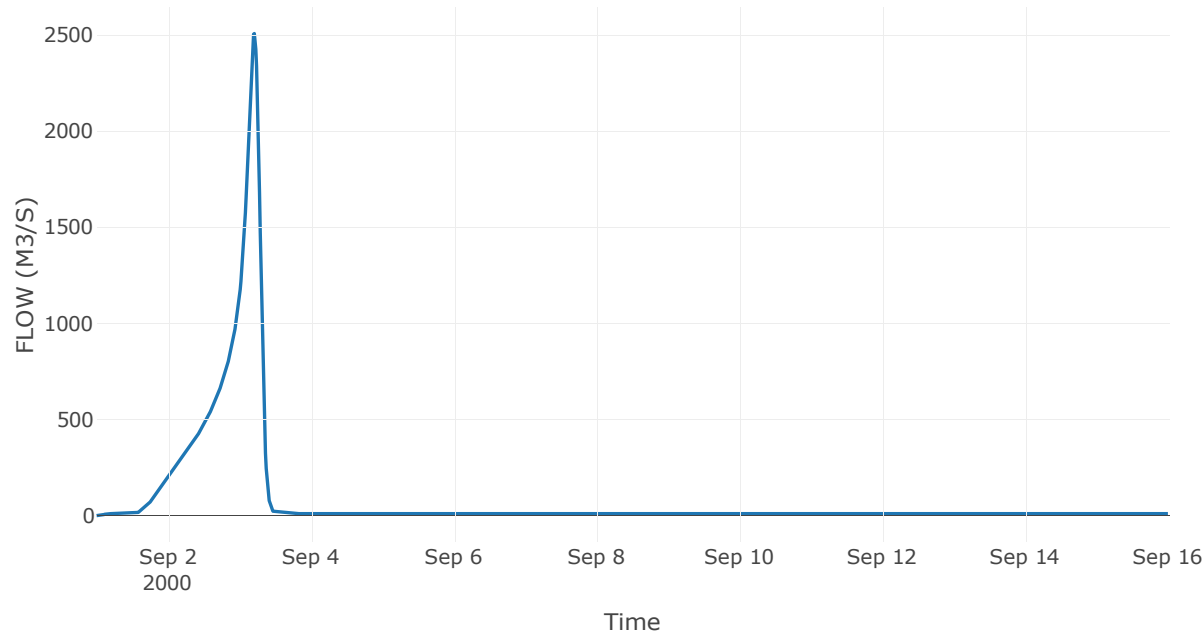
Κατάντη : J8

Μέθοδος Διόδευσης	Muskingum
Αρχική Μεταβλητή	Combined Inflow
Χρόνος Ροής K	1.85
Συντελεστής βάρους x	0.2
Πλήθος Υποκλάδων	9

Αποτελέσματα: R218

Παροχή Αιχμής(M3/S)	2507.66
Χρονική στιγμή αιχμής	03Sep2000, 05:00
Όγκος(MM)	334.26
Παροχή Αιχμής Εισόδου (M3/S)	2558.15
Όγκος Εισροής(M3)	1.14E8

Απορροή



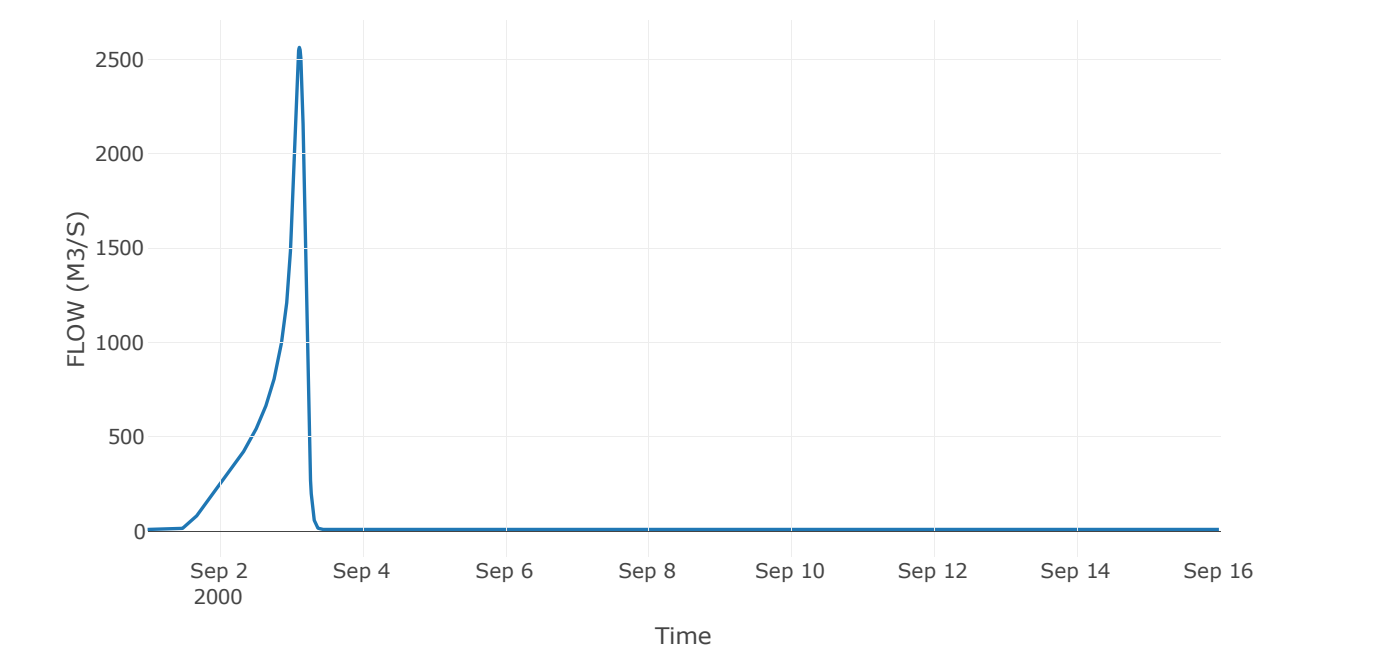
Κλάδος: R921

Κατάντη : J21 Res1

Μέθοδος Διόδευσης	Muskingum
Αρχική Μεταβλητή	Combined Inflow
Χρόνος Ροής K	1.31
Συντελεστής βάρους x	0.2
Πλήθος Υποκλάδων	6

Αποτελέσματα: R921	
Παροχή Αιχμής(M3/S)	2563.04
Χρονική στιγμή αιχμής	03Sep2000, 03:00
Όγκος(MM)	335.66
Παροχή Αιχμής Εισόδου (M3/S)	2603.39
Όγκος Εισροής(M3)	1.13E8

Απορροή



Κλάδος: R109

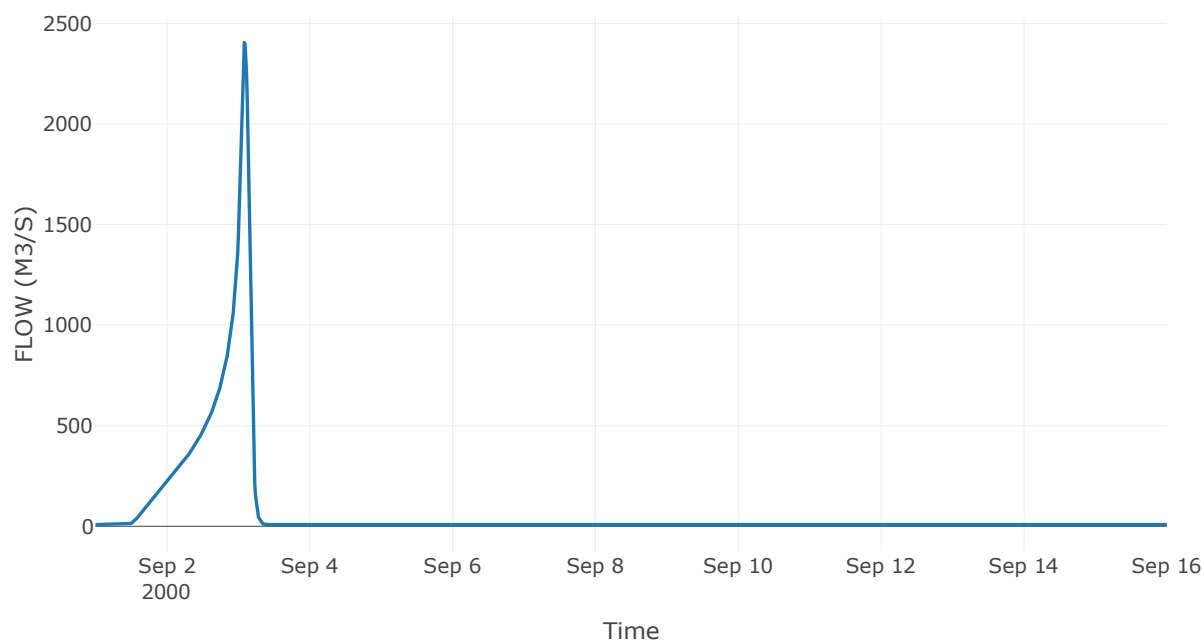
Κατάντη : J9

Μέθοδος Διόδευσης	Muskingum
Αρχική Μεταβλητή	Combined Inflow
Χρόνος Ροής K	1.52
Συντελεστής βάρους x	0.2
Πλήθος Υποκλάδων	7

Αποτελέσματα: R109

Παροχή Αιχμής(M3/S)	2405.04
Χρονική στιγμή αιχμής	03Sep2000, 02:00
Όγκος(MM)	338.38
Παροχή Αιχμής Εισόδου (M3/S)	2467.14
Όγκος Εισροής(M3)	9.45E7

Απορροή



Κλάδος: R1110

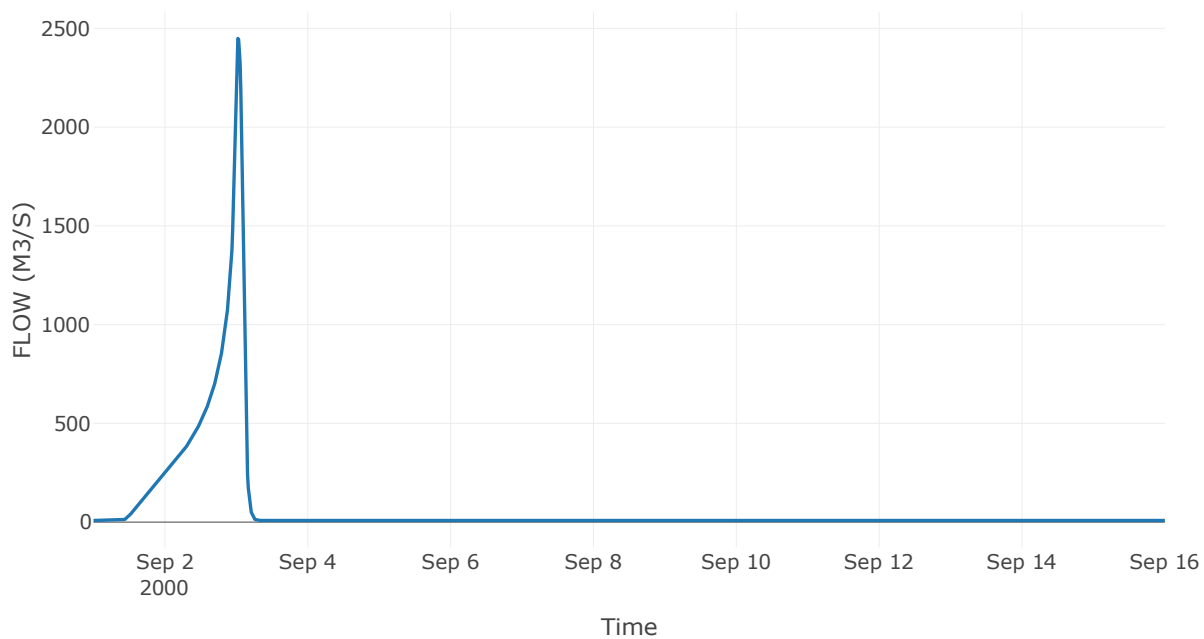
Κατάντη : J10

Μέθοδος Διόδευσης	Χρόνος Υστέρησης
Αρχική Μεταβλητή	Combined Inflow
Χρόνος Υστέρησης	5.86

Αποτελέσματα: R1110

Παροχή Αιχμής(M3/S)	2449.22
Χρονική στιγμή αιχμής	03Sep2000, 00:30
Όγκος(MM)	338.84
Παροχή Αιχμής Εισόδου (M3/S)	2454.7
Όγκος Εισροής(M3)	9.32E7

Απορροή



Κλάδος: R1211

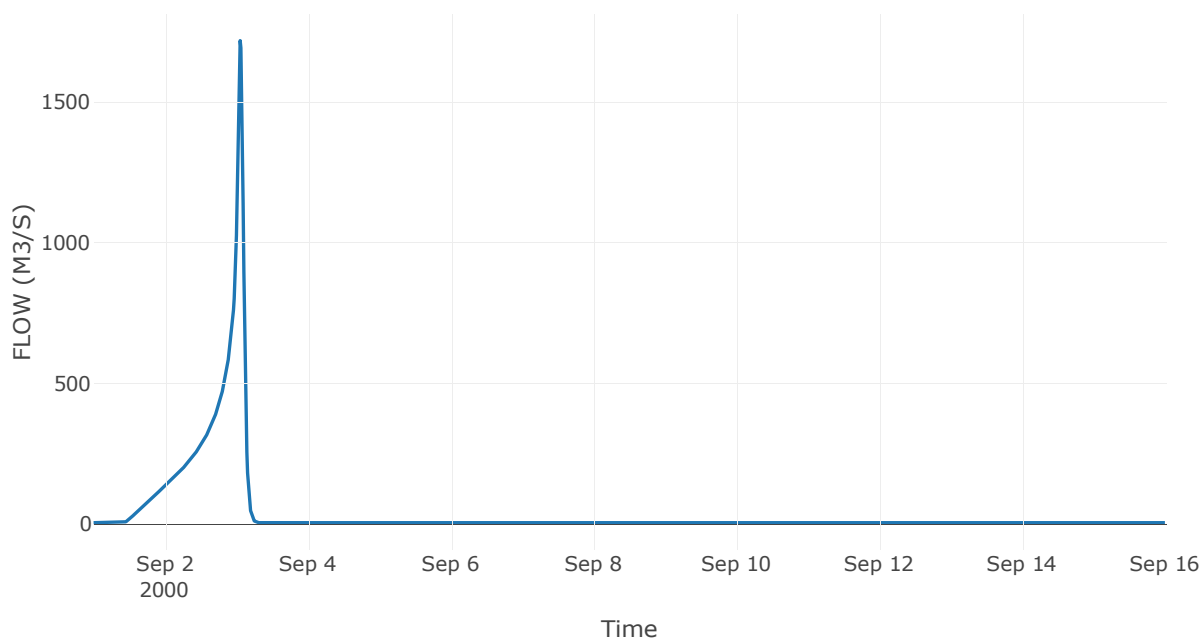
Κατάντη : J11

Μέθοδος Διόδευσης	Muskingum
Αρχική Μεταβλητή	Combined Inflow
Χρόνος Ροής K	1.32
Συντελεστής βάρους x	0.2
Πλήθος Υποκλάδων	6

Αποτελέσματα: R1211

Παροχή Αιχμής(M3/S)	1719.06
Χρονική στιγμή αιχμής	03Sep2000, 01:15
Όγκος(MM)	345.97
Παροχή Αιχμής Εισόδου (M3/S)	1879.69
Όγκος Εισροής(M3)	5.31E7

Απορροή



Κλάδος: R1312

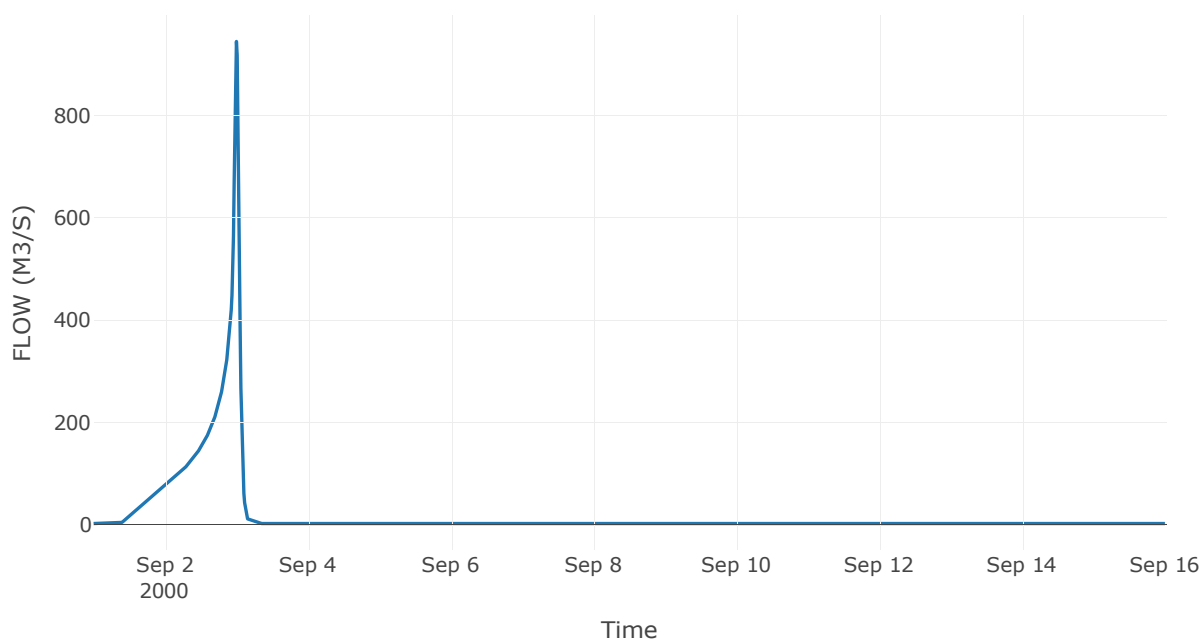
Κατάντη : J12

Μέθοδος Διόδευσης	Χρόνος Υστέρησης
Αρχική Μεταβλητή	Combined Inflow
Χρόνος Υστέρησης	8.37

Αποτελέσματα: R1312

Παροχή Αιχμής(M3/S)	944.14
Χρονική στιγμή αιχμής	02Sep2000, 24:00
Όγκος(MM)	355.3
Παροχή Αιχμής Εισόδου (M3/S)	946.99
Όγκος Εισροής(M3)	2.63E7

Απορροή





Κλάδος: R147

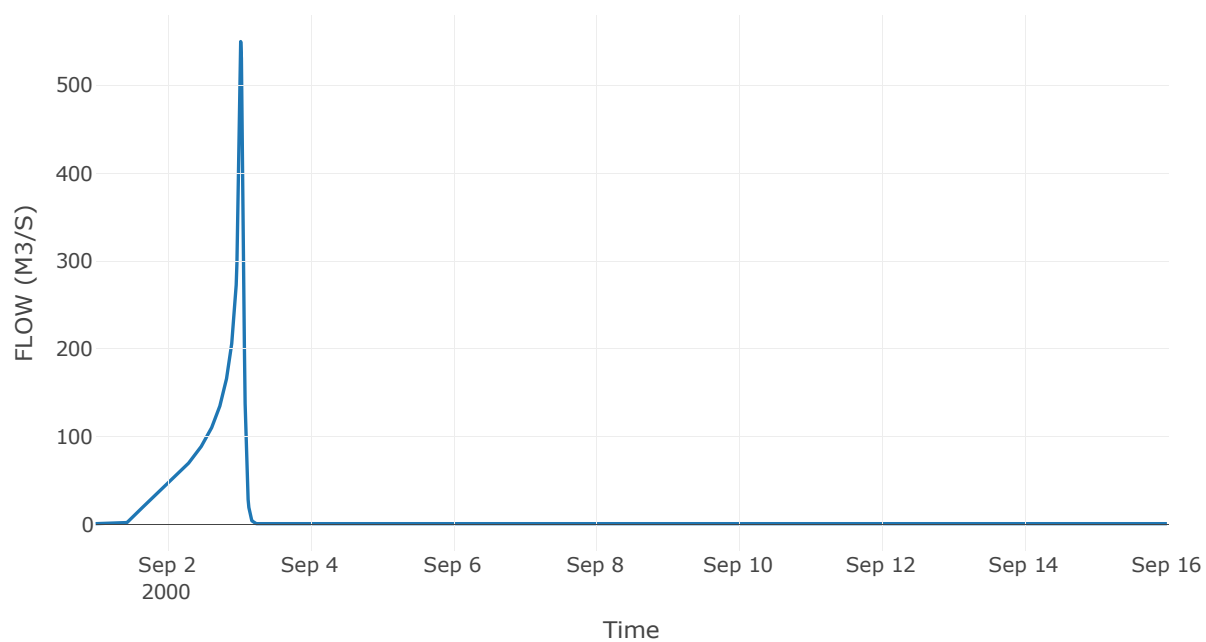
Κατάντη : J7

Μέθοδος Διόδευσης	Χρόνος Υστέρησης
Αρχική Μεταβλητή	Combined Inflow
Χρόνος Υστέρησης	50.06

Αποτελέσματα: R147

Παροχή Αιχμής(M3/S)	549.75
Χρονική στιγμή αιχμής	03Sep2000, 00:45
Όγκος(MM)	328.75
Παροχή Αιχμής Εισόδου (M3/S)	553.03
Όγκος Εισροής(M3)	1.62E7

Απορροή



Κλάδος: R155

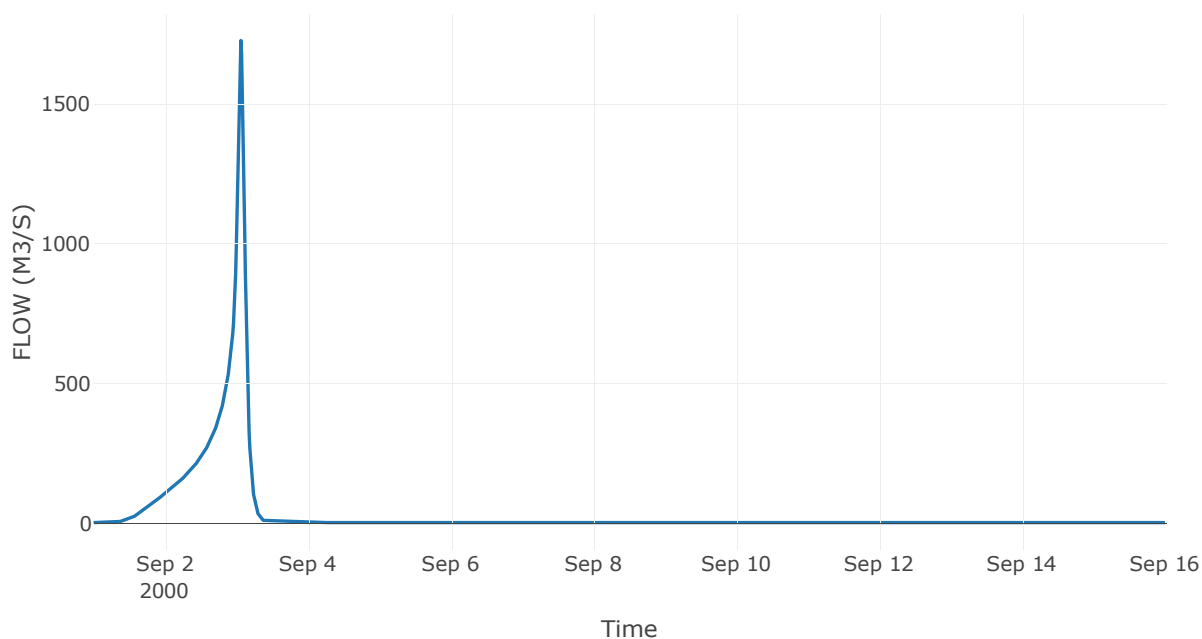
Κατάντη : J5

Μέθοδος Διόδευσης	Muskingum
Αρχική Μεταβλητή	Combined Inflow
Χρόνος Ροής K	0.94
Συντελεστής βάρους x	0.2
Πλήθος Υποκλάδων	5

Αποτελέσματα: R155

Παροχή Αιχμής(M3/S)	1726.3
Χρονική στιγμή αιχμής	03Sep2000, 01:30
Όγκος(MM)	329.05
Παροχή Αιχμής Εισόδου (M3/S)	1794.09
Όγκος Εισροής(M3)	5.33E7

Απορροή



Κλάδος: R1615

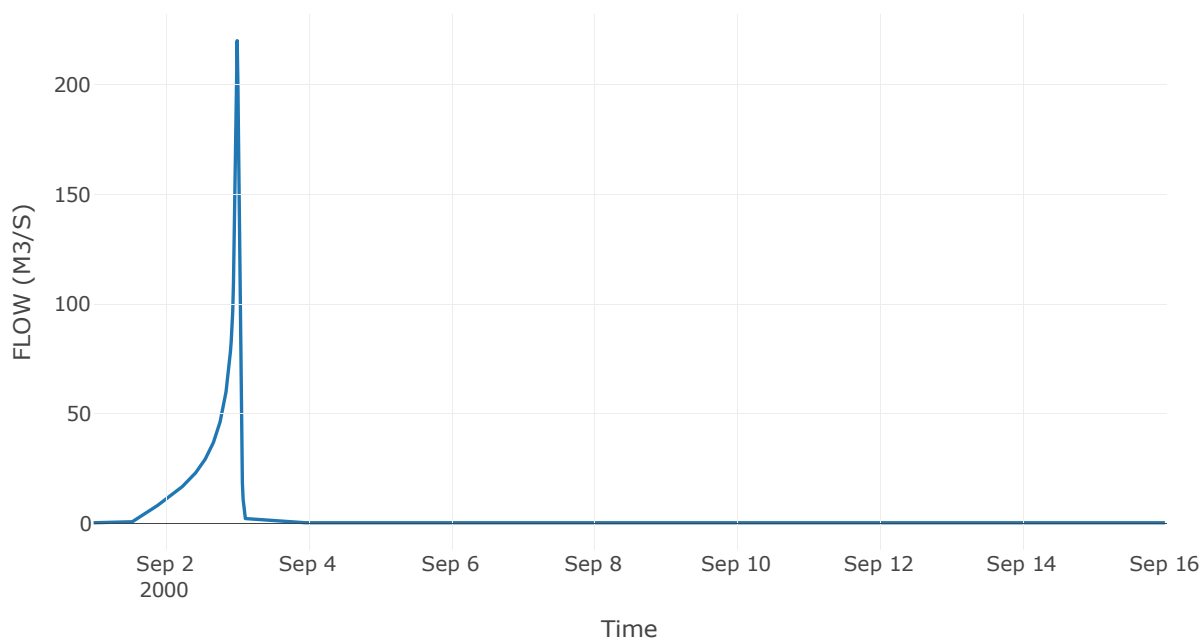
Κατάντη : J15

Μέθοδος Διόδευσης	Muskingum
Αρχική Μεταβλητή	Combined Inflow
Χρόνος Ροής K	0.46
Συντελεστής βάρους x	0.2
Πλήθος Υποκλάδων	2

Αποτελέσματα: R1615

Παροχή Αιχμής(M3/S)	220.03
Χρονική στιγμή αιχμής	03Sep2000, 00:15
Όγκος(MM)	287.93
Παροχή Αιχμής Εισόδου (M3/S)	233.89
Όγκος Εισροής(M3)	5E6

Απορροή



Κλάδος: R1715

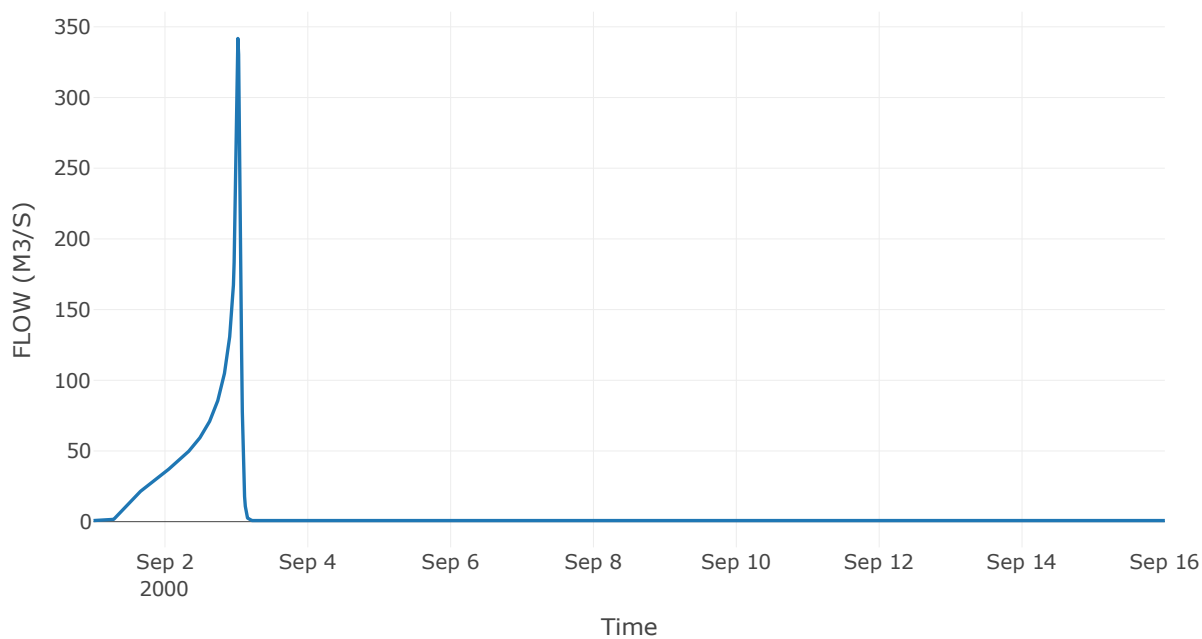
Κατάντη : J15

Μέθοδος Διόδευσης	Muskingum
Αρχική Μεταβλητή	Combined Inflow
Χρόνος Ροής K	0.83
Συντελεστής βάρους x	0.2
Πλήθος Υποκλάδων	4

Αποτελέσματα: R1715

Παροχή Αιχμής(M3/S)	341.76
Χρονική στιγμή αιχμής	03Sep2000, 00:30
Όγκος(MM)	400.66
Παροχή Αιχμής Εισόδου (M3/S)	368.1
Όγκος Εισροής(M3)	1.05E7

Απορροή



Κλάδος: R184

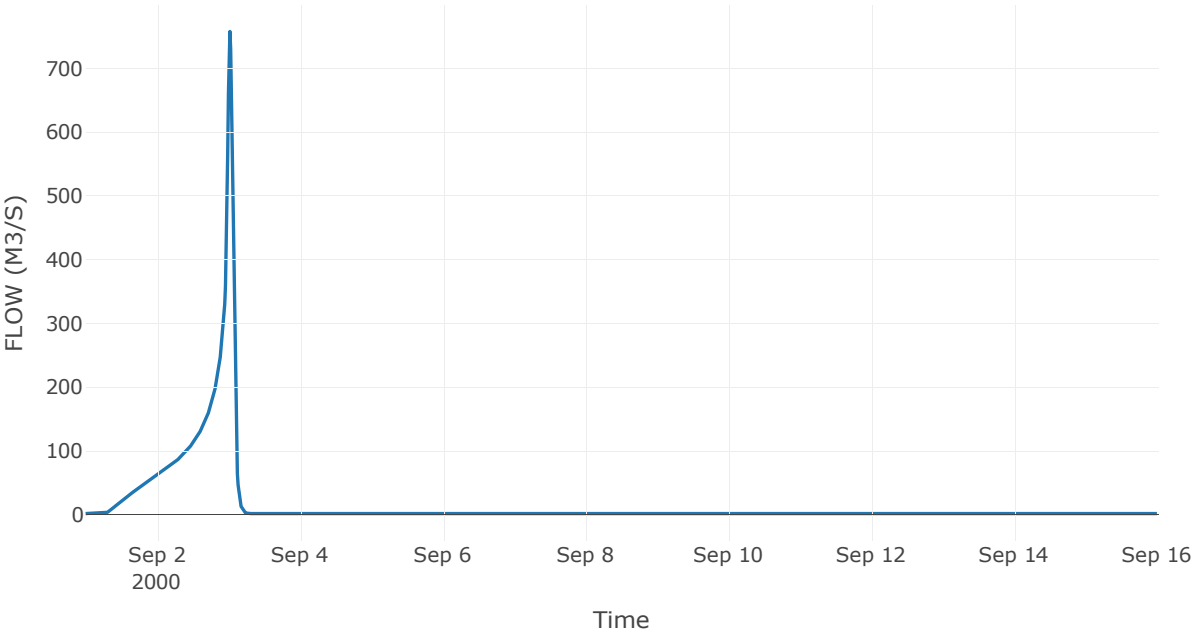
Κατάντη : J4

Μέθοδος Διόδευσης	Muskingum
Αρχική Μεταβλητή	Combined Inflow
Χρόνος Ροής K	0.46
Συντελεστής βάρους x	0.2
Πλήθος Υποκλάδων	2

Αποτελέσματα: R184

Παροχή Αιχμής(M3/S)	757.5
Χρονική στιγμή αιχμής	03Sep2000, 00:30
Όγκος(MM)	353.01
Παροχή Αιχμής Εισόδου (M3/S)	785.34
Όγκος Εισροής(M3)	2.15E7

Απορροή



Κλάδος: R193

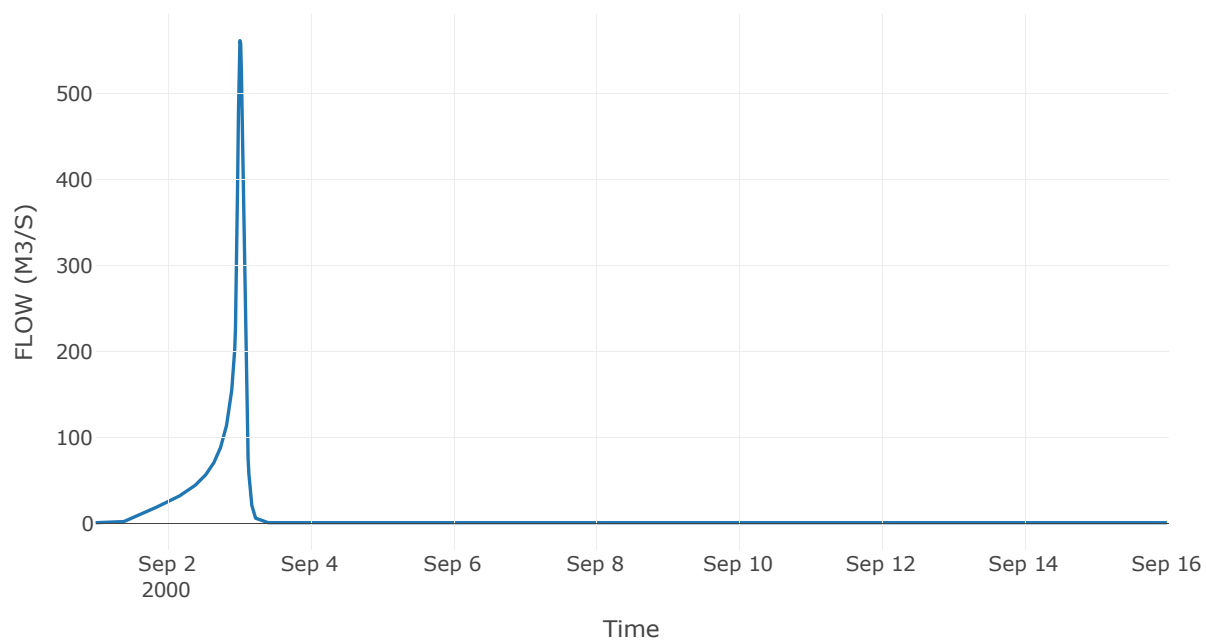
Κατάντη : J3

Μέθοδος Διόδευσης	Muskingum
Αρχική Μεταβλητή	Combined Inflow
Χρόνος Ροής K	0.22
Συντελεστής βάρους x	0.2
Πλήθος Υποκλάδων	1

Αποτελέσματα: R193

Παροχή Αιχμής(M3/S)	561.25
Χρονική στιγμή αιχμής	03Sep2000, 00:30
Όγκος(MM)	324.29
Παροχή Αιχμής Εισόδου (M3/S)	567.5
Όγκος Εισροής(M3)	1.31E7

Απορροή



Κλάδος: R2019

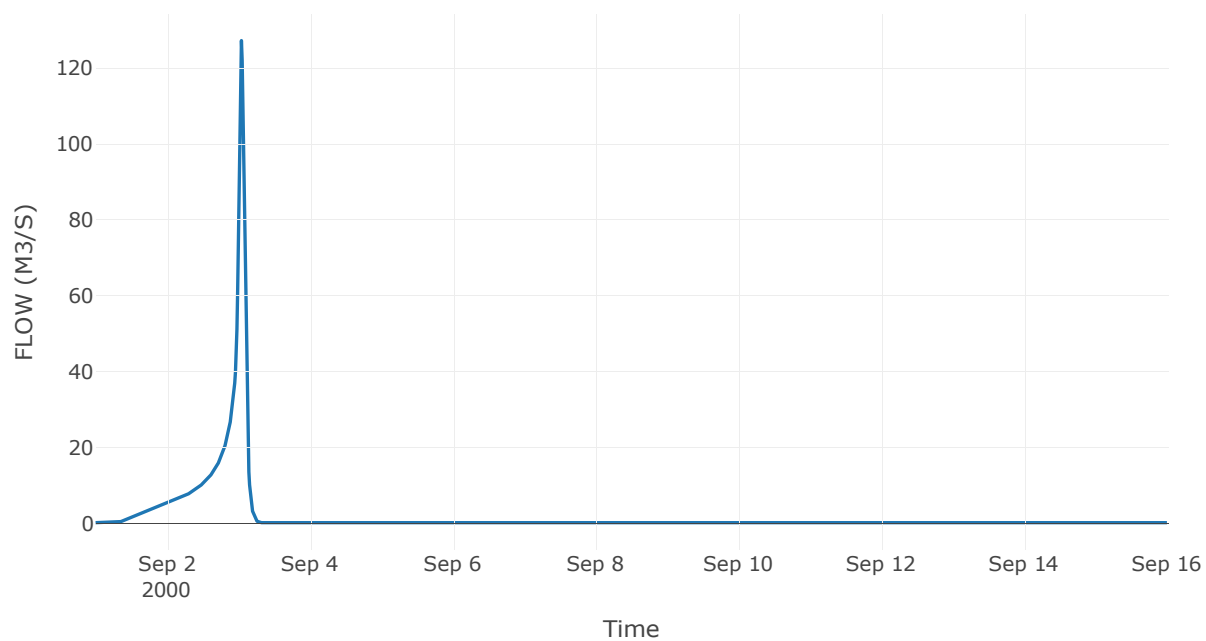
Κατάντη : J19

Μέθοδος Διόδευσης	Muskingum
Αρχική Μεταβλητή	Combined Inflow
Χρόνος Ροής K	0.73
Συντελεστής βάρους x	0.2
Πλήθος Υποκλάδων	4

Αποτελέσματα: R2019

Παροχή Αιχμής(M3/S)	127.26
Χρονική στιγμή αιχμής	03Sep2000, 01:00
Όγκος(MM)	330.04
Παροχή Αιχμής Εισόδου (M3/S)	133.51
Όγκος Εισροής(M3)	2.71E6

Απορροή



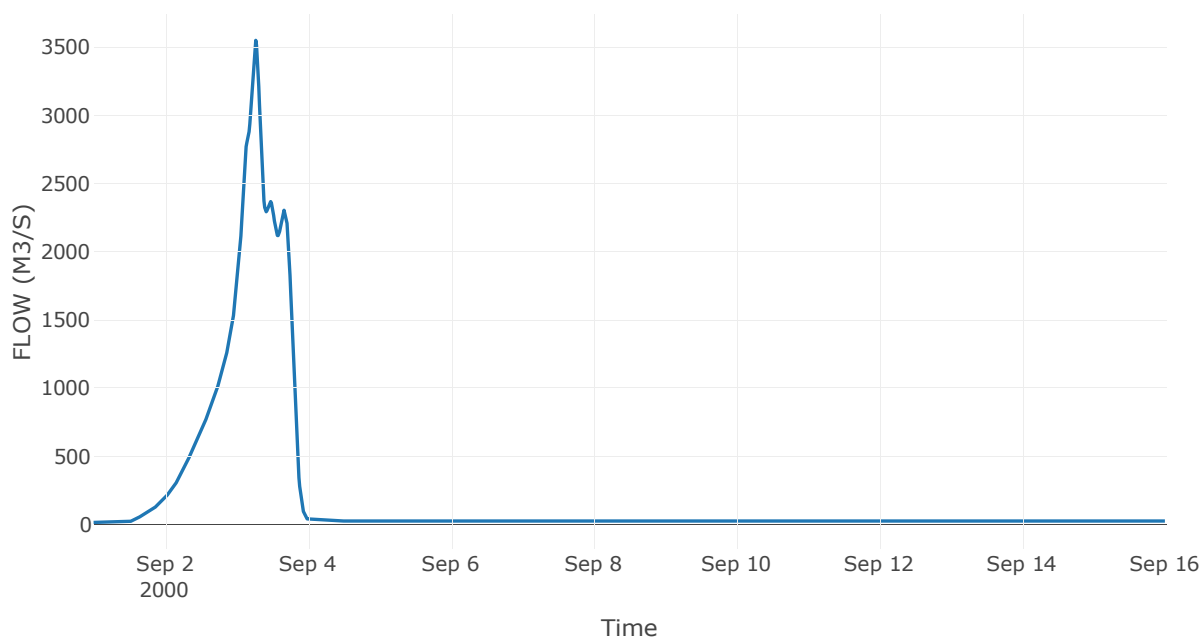
## 8.3 Δεδομένα και υδρογραφήματα σχεδιασμού Κόμβων υδρογραφικού δικτύου

Κόμβος εξόδου: J1

Αποτέλεσμα  
τα: J1

Παροχή αιχμής (M3/S)	3549.15
Χρονική στιγμή αιχμής	03Sep2000, 06:30
Όγκος (MM)	328.97

Απορροή





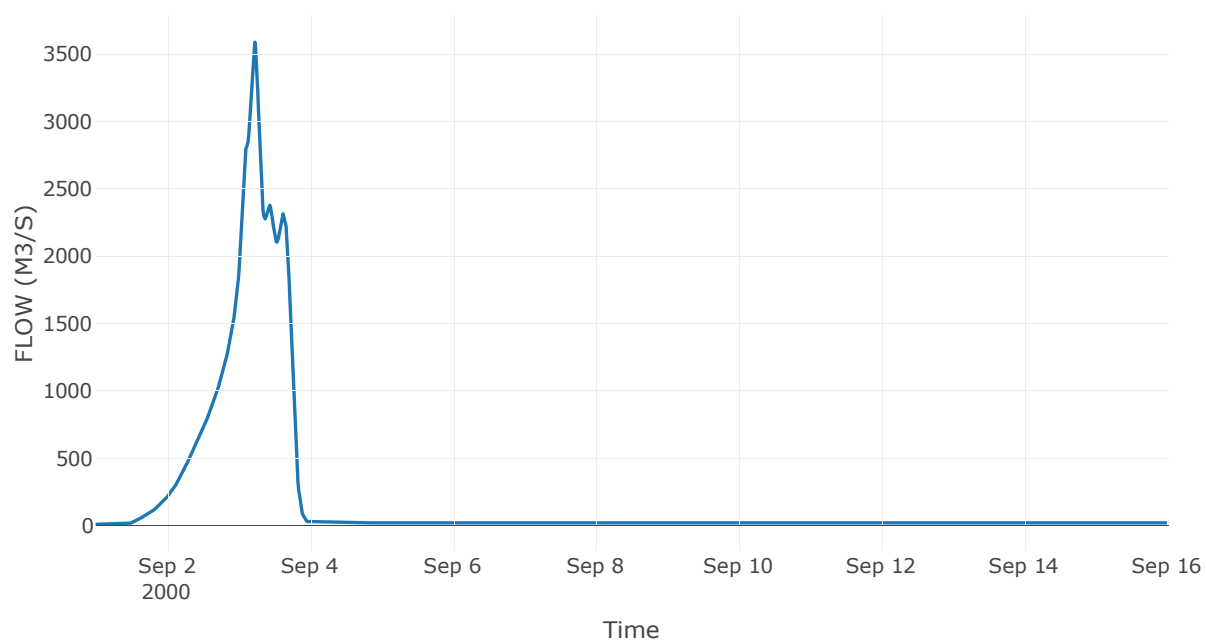
Κόμβος: J2

Κατάντη : R21

Αποτελέσματα: J2

Παροχή Αιχμής(M3/S)	3587.59
Χρονική στιγμή αιχμής	03Sep2000, 05:30
Όγκος(MM)	329.23

Απορροή



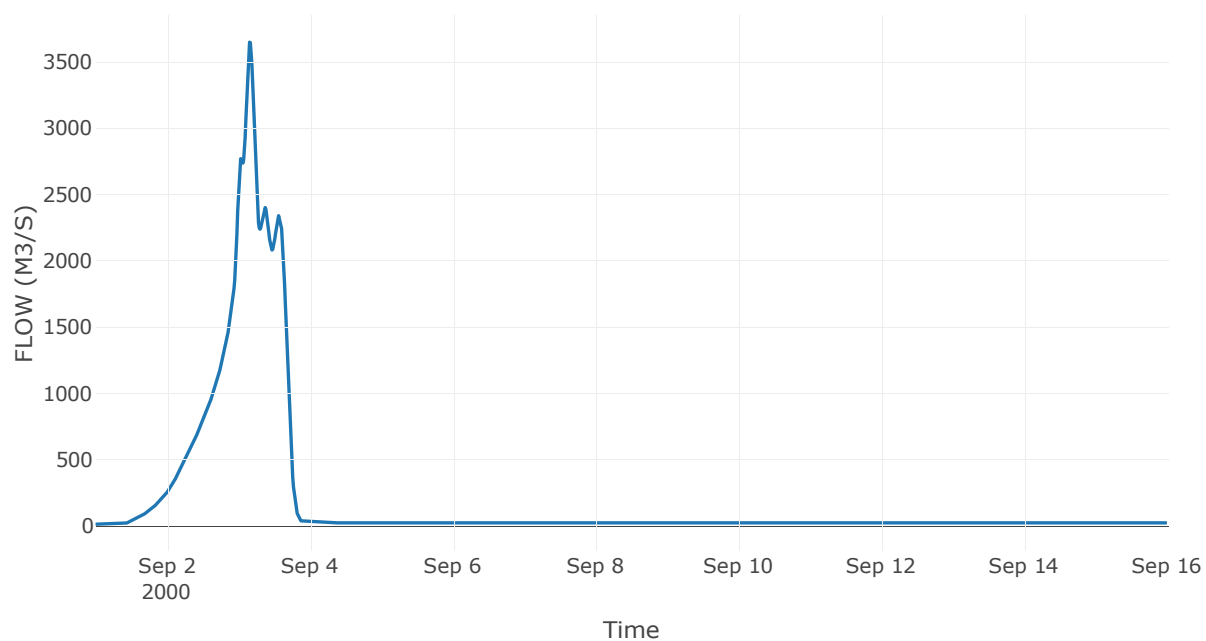
Κόμβος: J3

Κατάντη : R32

Αποτελέσματα: J3

Παροχή Αιχμής(M3/S)	3649.17
Χρονική στιγμή αιχμής	03Sep2000, 03:45
Όγκος(MM)	329.27

Απορροή



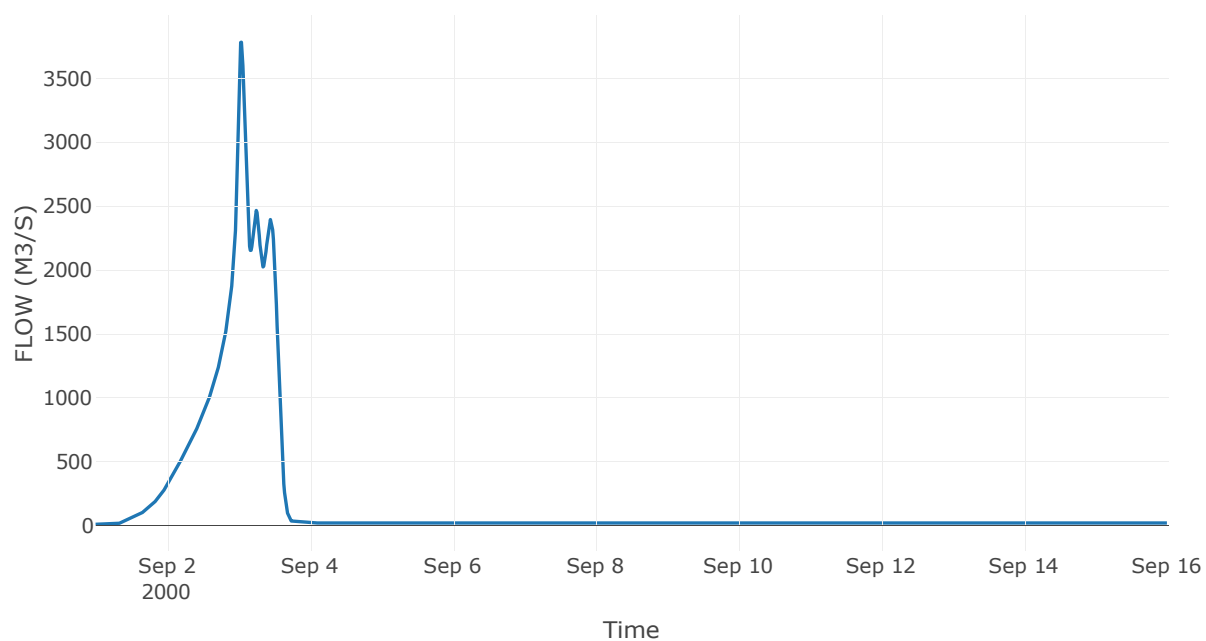
Κόμβος: J4

Κατάντη : R43

Αποτελέσματα: J4

Παροχή Αιχμής(M3/S)	3784.8
Χρονική στιγμή αιχμής	03Sep2000, 01:00
Όγκος(MM)	329.41

Απορροή



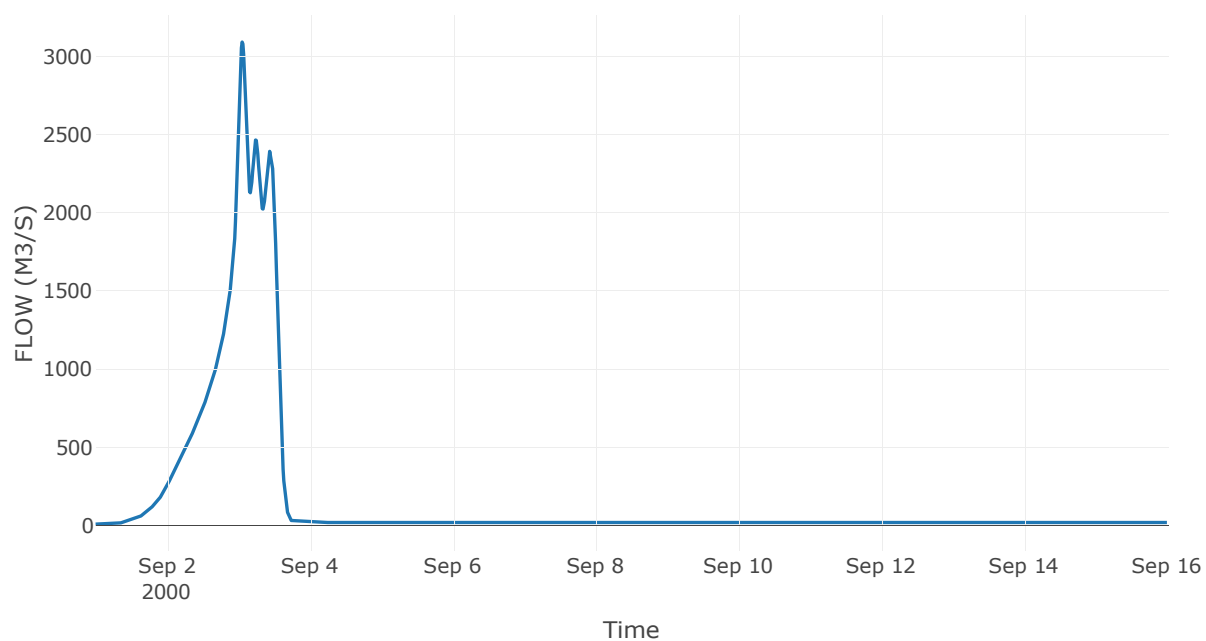
Κόμβος: J5

Κατάντη : R54

Αποτελέσματα: J5

Παροχή Αιχμής(M3/S)	3090.35
Χρονική στιγμή αιχμής	03Sep2000, 01:15
Όγκος(MM)	326.86

Απορροή



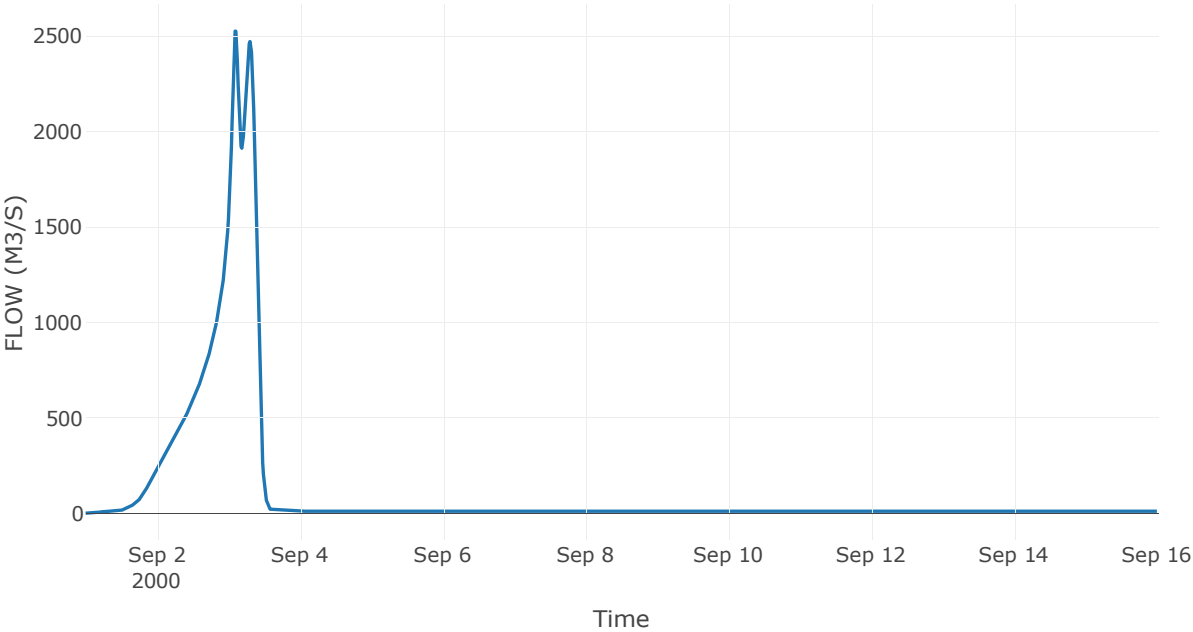
Κόμβος: J6

Κατάντη : R65

Αποτελέσματα: J6

Παροχή Αιχμής(M3/S)	2525.48
Χρονική στιγμή αιχμής	03Sep2000, 02:15
Όγκος(MM)	328.11

Απορροή



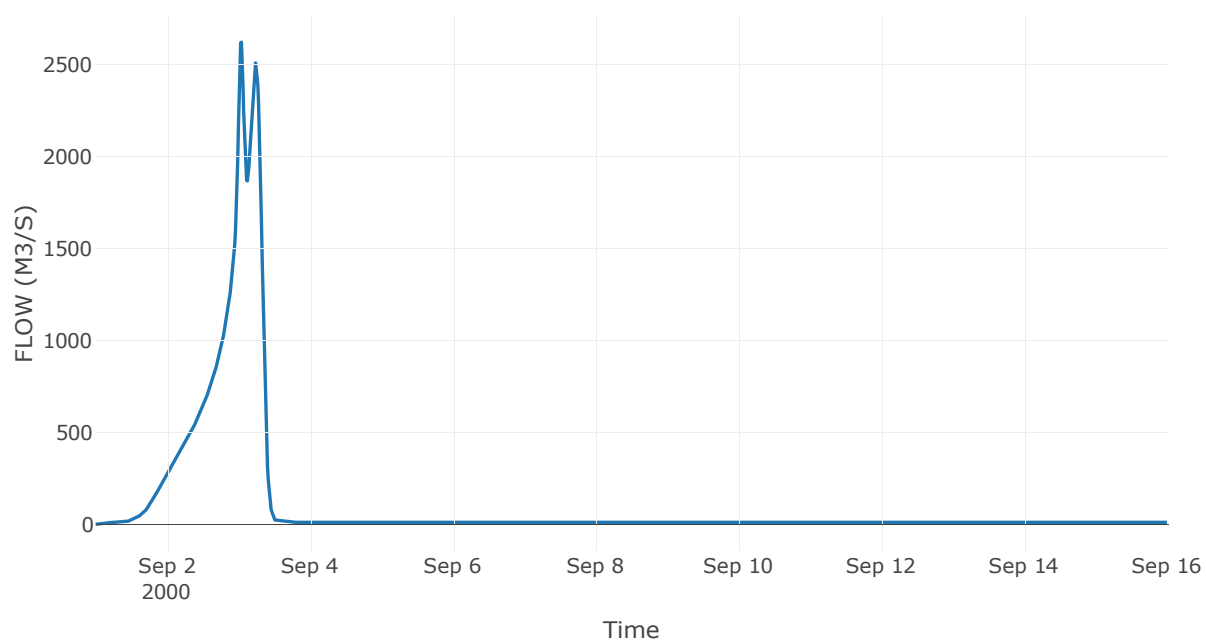
Κόμβος: J7

Κατάντη : R76

Αποτελέσματα: J7

Παροχή Αιχμής(M3/S)	2620.58
Χρονική στιγμή αιχμής	03Sep2000, 01:00
Όγκος(MM)	328.37

Απορροή



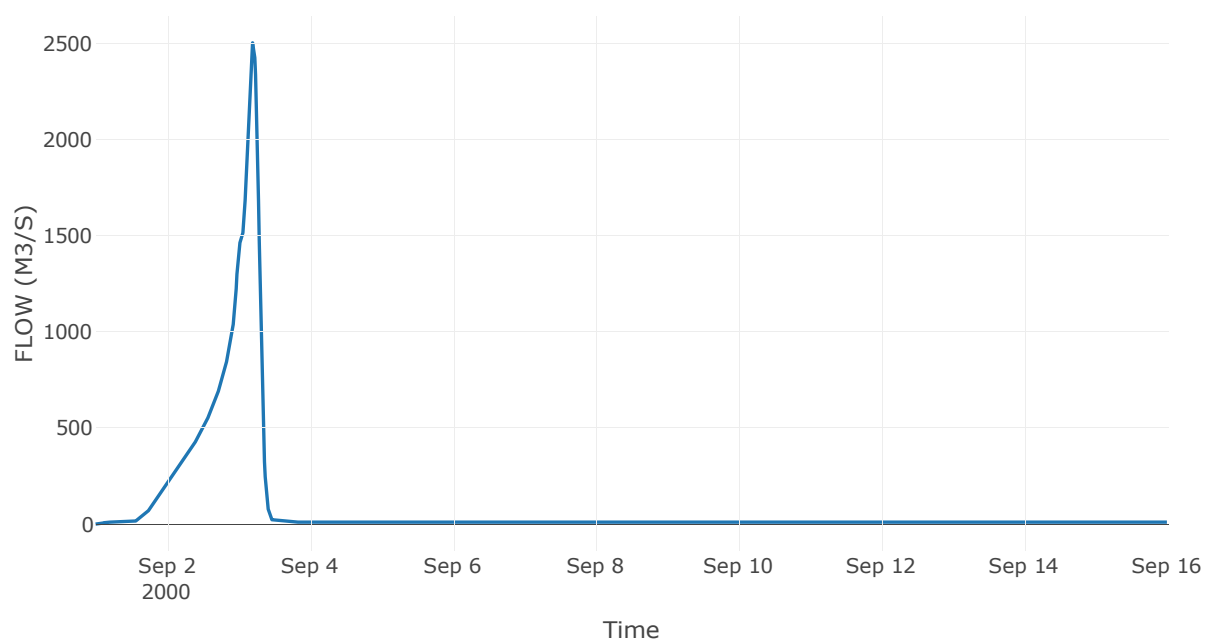
Κόμβος: J8

Κατάντη : R87

Αποτελέσματα: J8

Παροχή Αιχμής(M3/S)	2508.41
Χρονική στιγμή αιχμής	03Sep2000, 05:00
Όγκος(MM)	332.12

Απορροή



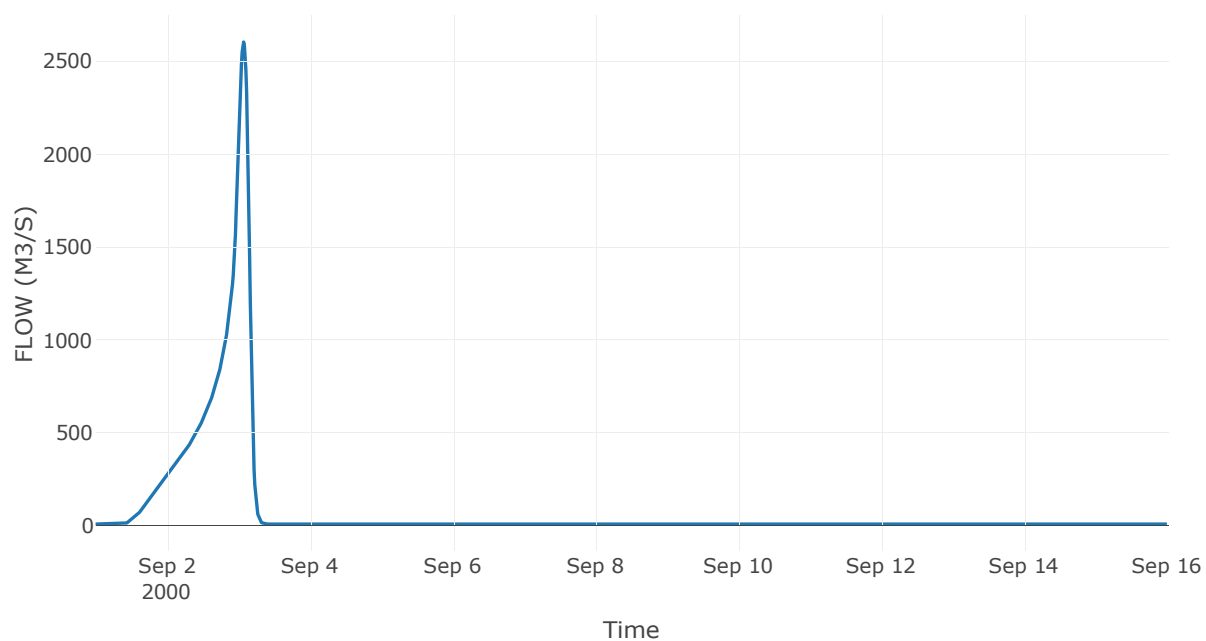
Κόμβος: J9

Κατάντη : R921

Αποτελέσματα: J9

Παροχή Αιχμής(M3/S)	2603.39
Χρονική στιγμή αιχμής	03Sep2000, 01:45
Όγκος(MM)	335.66

Απορροή





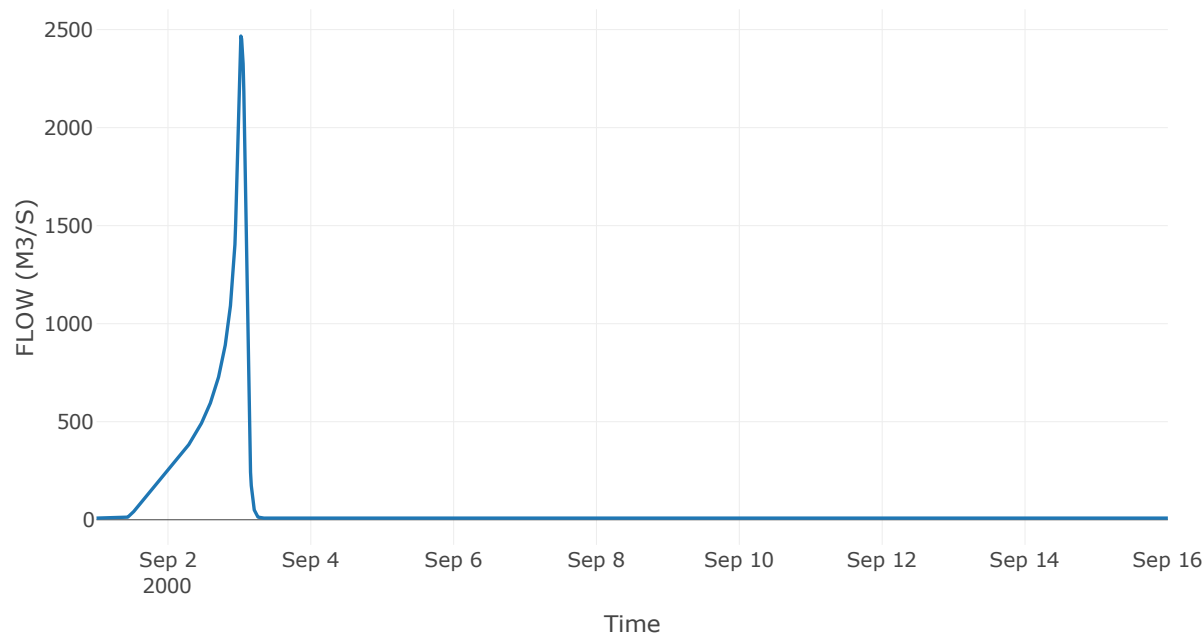
Κόμβος: J10

Κατάντη : R109

Αποτελέσματα: J10

Παροχή Αιχμής(M3/S)	2467.14
Χρονική στιγμή αιχμής	03Sep2000, 00:30
Όγκος(MM)	338.38

Απορροή



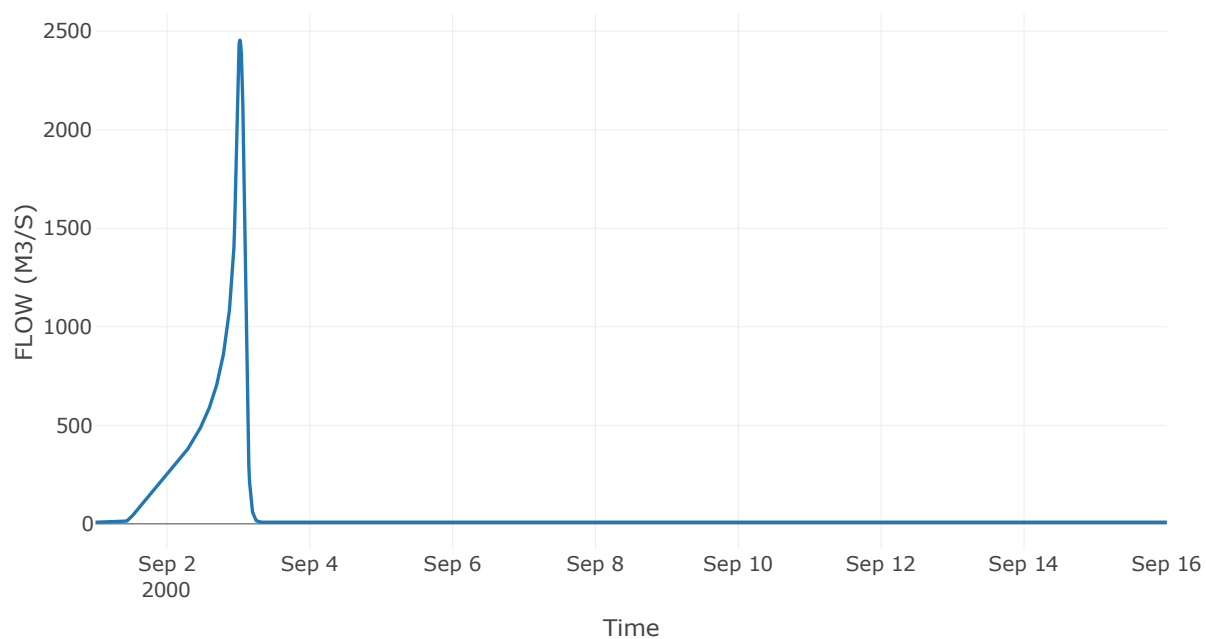
Κόμβος: J11

Κατάντη : R1110

Αποτελέσματα: J11

Παροχή Αιχμής(M3/S)	2454.7
Χρονική στιγμή αιχμής	03Sep2000, 00:30
Όγκος(MM)	338.84

Απορροή



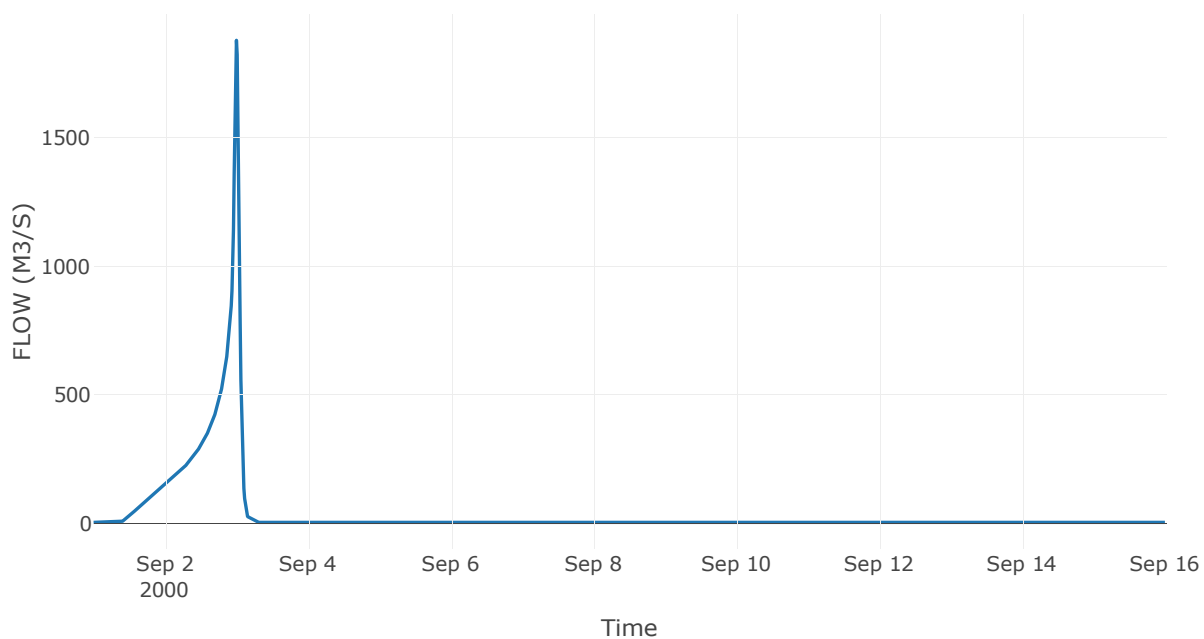
Κόμβος: J12

Κατάντη : R1211

Αποτελέσματα: J12

Παροχή Αιχμής(M3/S)	1879.69
Χρονική στιγμή αιχμής	02Sep2000, 24:00
Όγκος(MM)	345.97

Απορροή



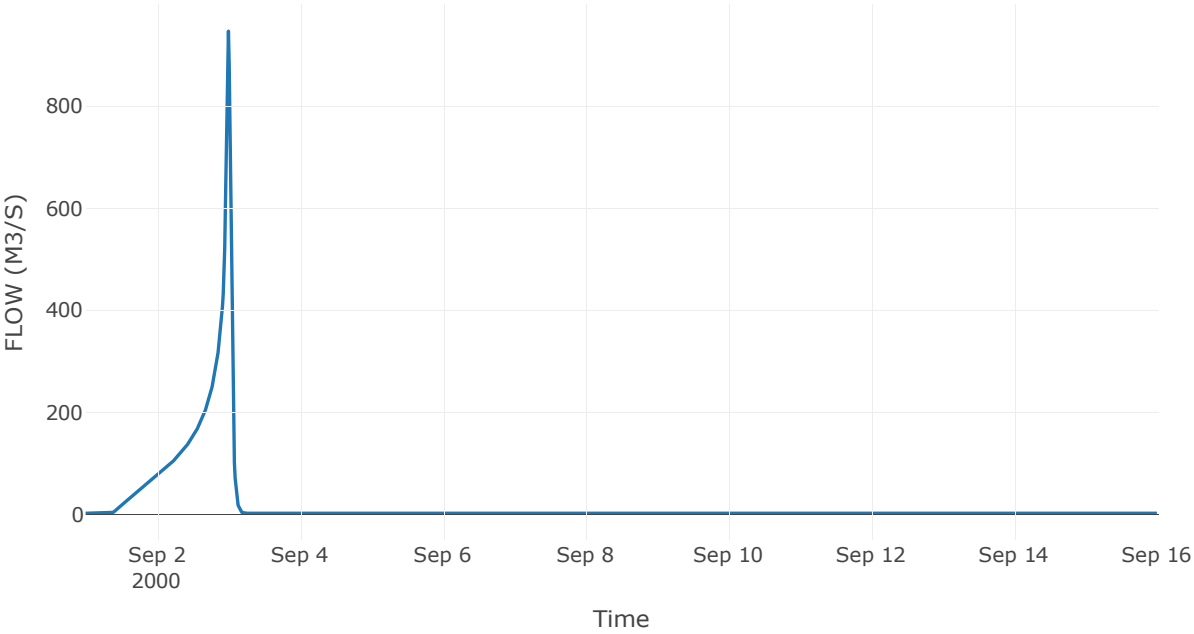
Κόμβος: J13

Κατάντη : R1312

Αποτελέσματα: J13

Παροχή Αιχμής(M3/S)	946.99
Χρονική στιγμή αιχμής	02Sep2000, 24:00
Όγκος(MM)	355.3

Απορροή



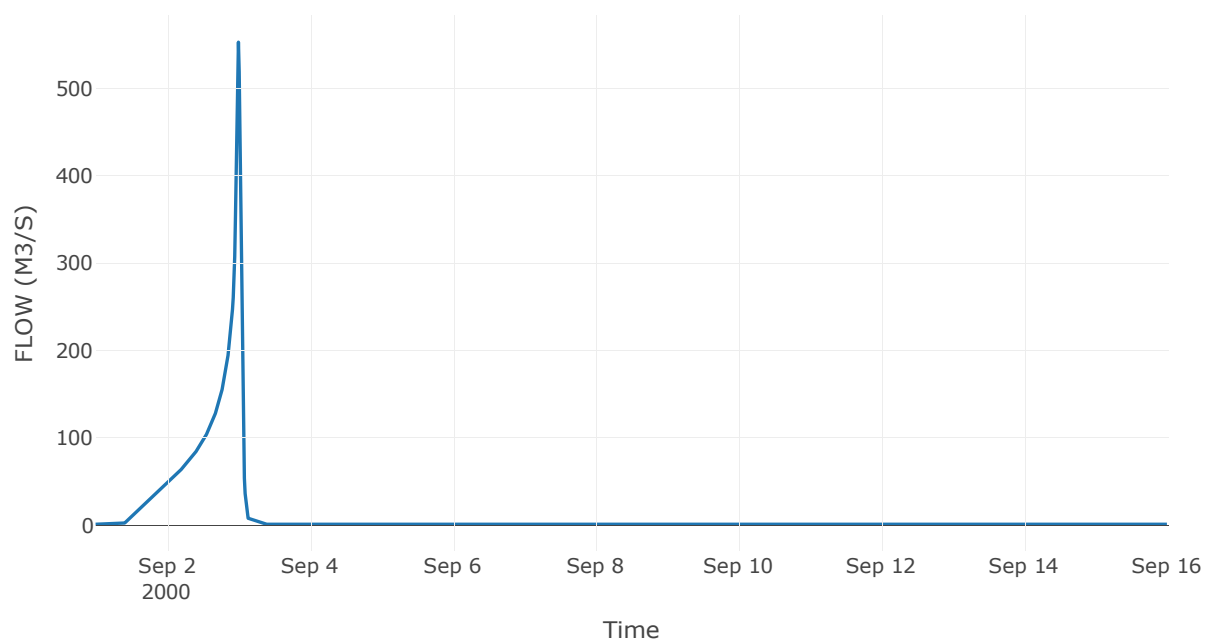
Κόμβος: J14

Κατάντη : R147

Αποτελέσματα: J14

Παροχή Αιχμής(M3/S)	553.03
Χρονική στιγμή αιχμής	02Sep2000, 24:00
Όγκος(MM)	328.75

Απορροή



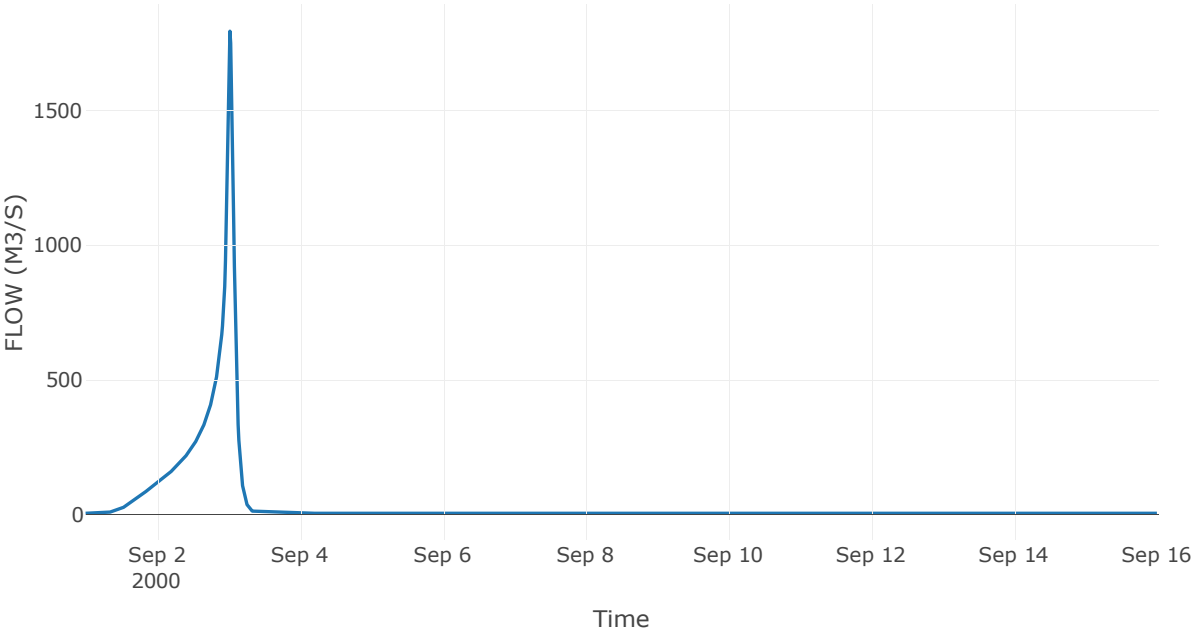
Κόμβος: J15

Κατάντη : R155

Αποτελέσματα: J15

Παροχή Αιχμής(M3/S)	1794.09
Χρονική στιγμή αιχμής	03Sep2000, 00:30
Όγκος(MM)	329.05

Απορροή



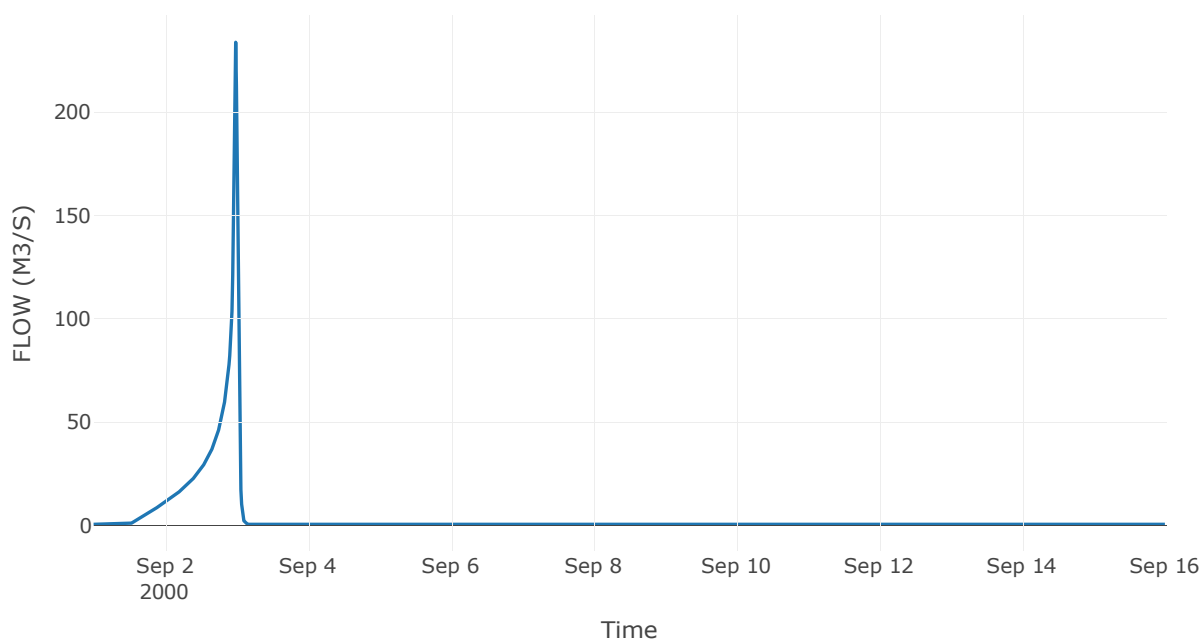
Κόμβος: J16

Κατάντη : R1615

Αποτελέσματα: J16

Παροχή Αιχμής(M3/S)	233.89
Χρονική στιγμή αιχμής	02Sep2000, 23:45
Όγκος(MM)	287.93

Απορροή



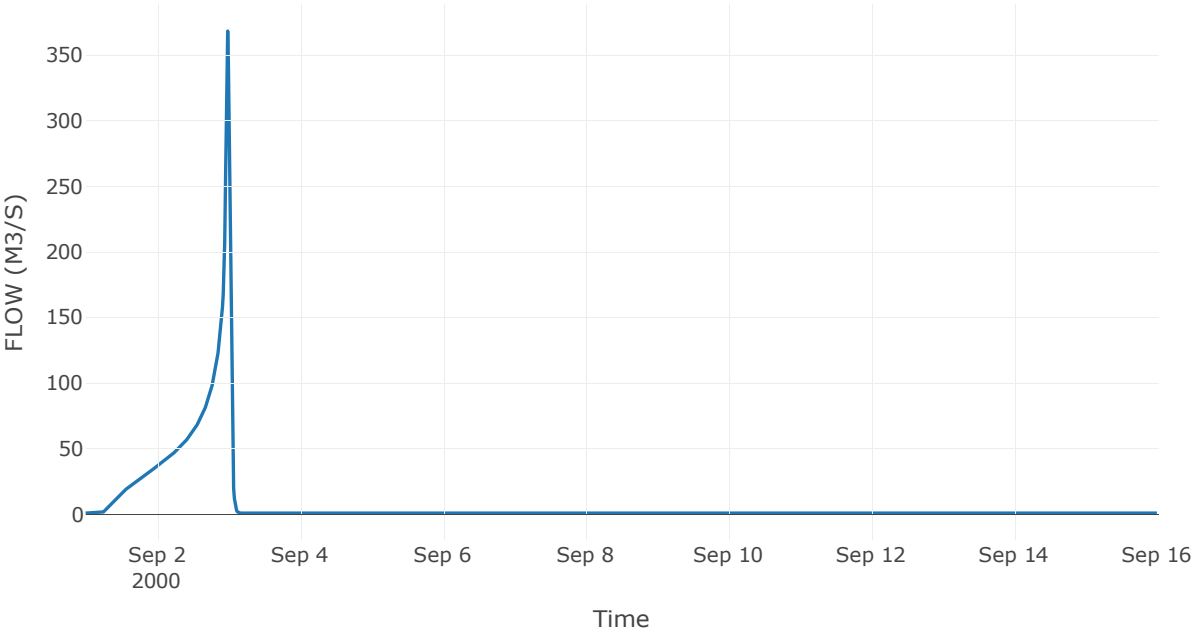
Κόμβος: J17

Κατάντη : R1715

Αποτελέσματα: J17

Παροχή Αιχμής(M3/S)	368.1
Χρονική στιγμή αιχμής	02Sep2000, 23:45
Όγκος(MM)	400.66

Απορροή





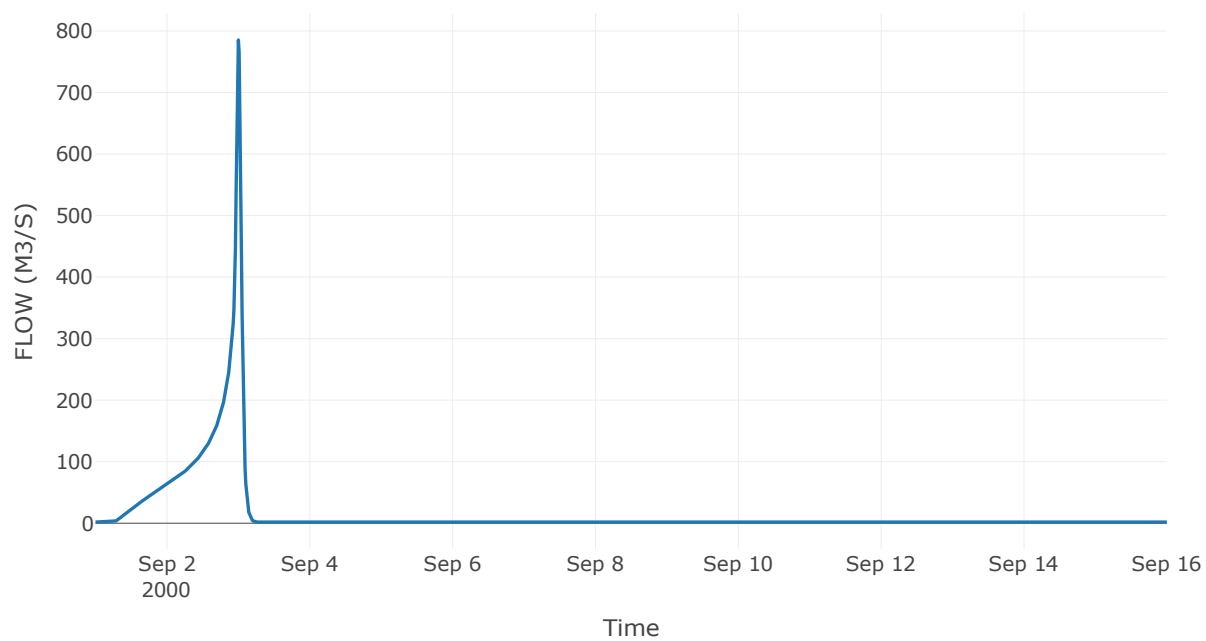
Κόμβος: J18

Κατάντη : R184

Αποτελέσματα: J18

Παροχή Αιχμής(M3/S)	785.34
Χρονική στιγμή αιχμής	02Sep2000, 24:00
Όγκος(MM)	353.01

Απορροή



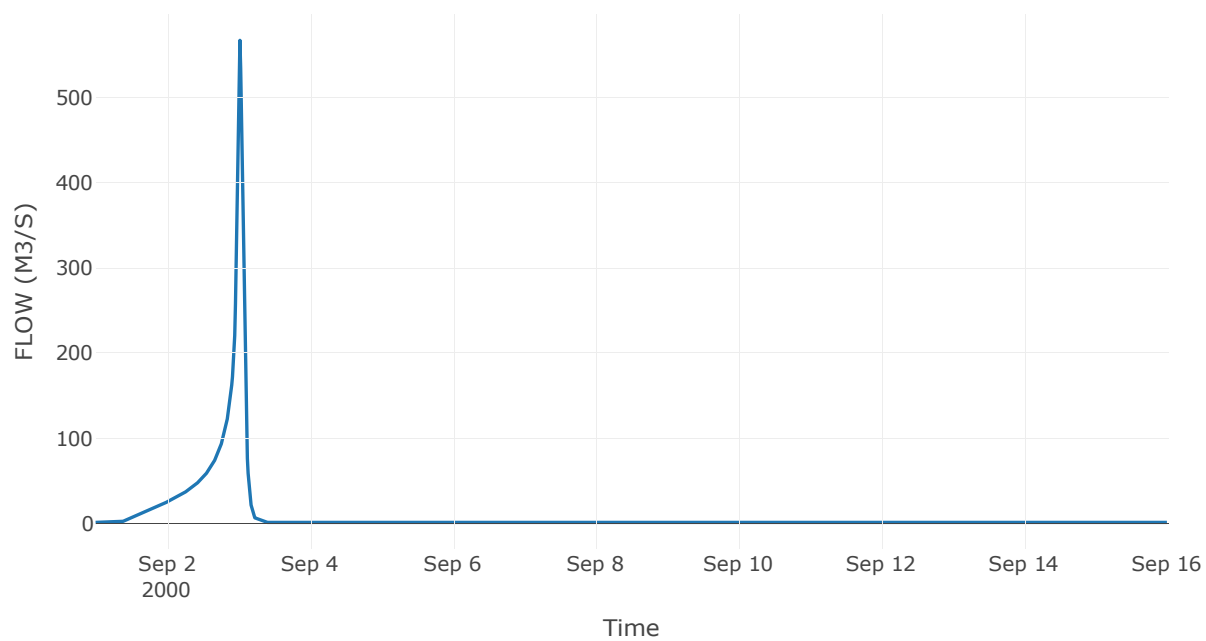
Κόμβος: J19

Κατάντη : R193

Αποτελέσματα: J19

Παροχή Αιχμής(M3/S)	567.5
Χρονική στιγμή αιχμής	03Sep2000, 00:30
Όγκος(MM)	324.29

Απορροή



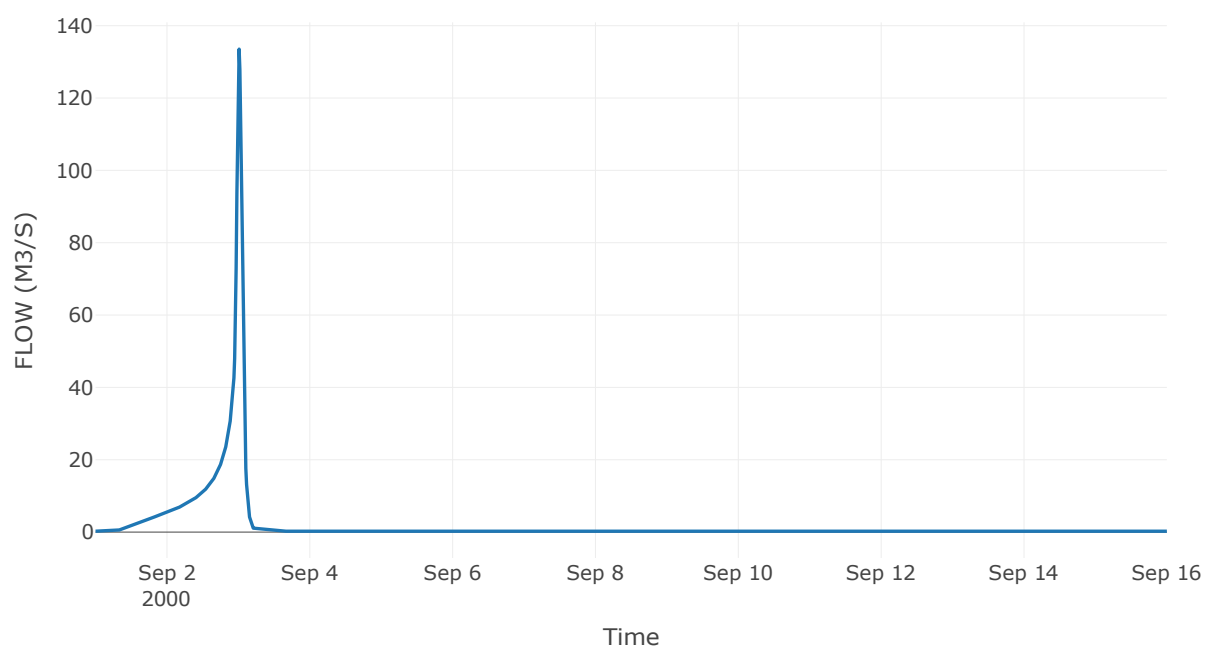
Κόμβος: J20

Κατάντη : R2019

Αποτελέσματα: J20

Παροχή Αιχμής(M3/S)	133.51
Χρονική στιγμή αιχμής	03Sep2000, 00:15
Όγκος(MM)	330.04

Απορροή



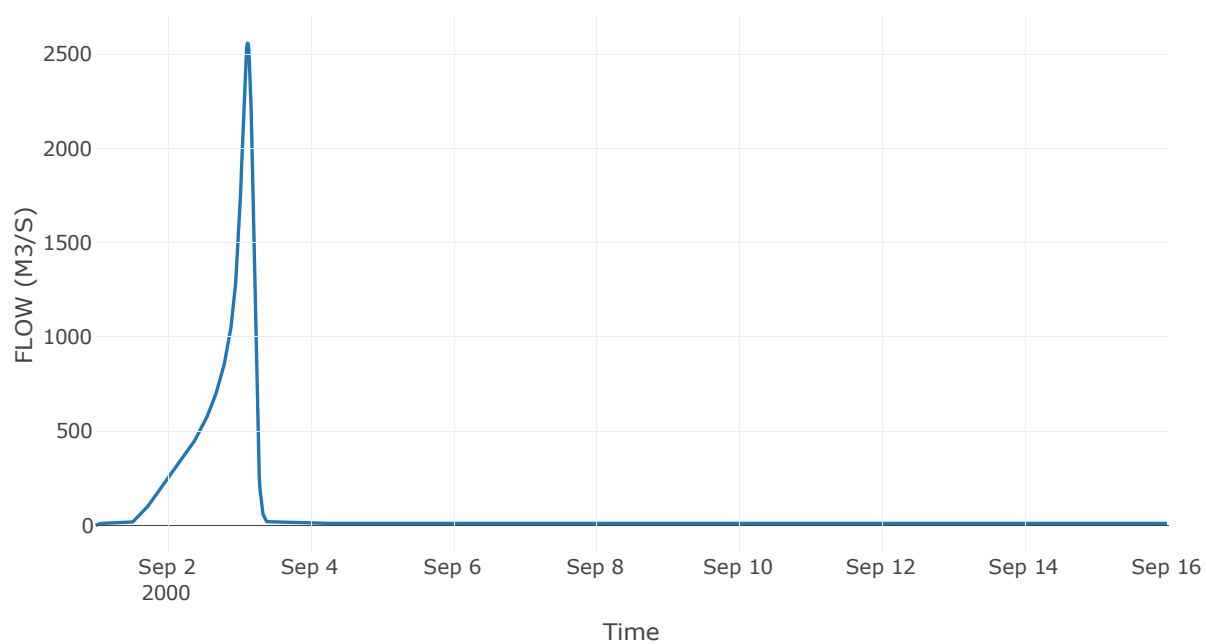
Ταμιευτήρας: J21\_RES1

Κατάντη : R218

Αποτελέσματα: J21\_RES1

Παροχή Αιχμής(M3/S)	2558.15
Χρονική στιγμή αιχμής	03Sep2000, 03:00
Όγκος(MM)	334.46
Παροχή Αιχμής Εισόδου (M3/S)	2563.18
Χρονική Στιγμή Αιχμής της Εισροής	03Sep2000, 03:00
Όγκος Εισροής (M3)	1.14E8
Μέγιστη Αποθηκευτικότητα(M3)	2.39E6
Μέγιστη Στάθμη (M)	102.72
Όγκος Απορροής(M3)	1.14E8

Απορροή



## 9    Δεδομένα εισόδου και αποτελέσματα υδρολογικού σεναρίου T=1000L

## 9.1 Αποτελέσματα, υετογραφήματα και υδρογραφήματα σχεδιασμού υπολεκανών

Υπολεκάνη: EL0513FR5001

Έκταση (KM2) : 9.83

Κατάληξη : J1

Μέθοδος Απωλειών: SCS

Ποσοστό αδιαπέρατης επιφάνειας	0
Αριθμός Καμπύλης Απορροής-CN	65.83
Αρχικές Απώλειες	26.37

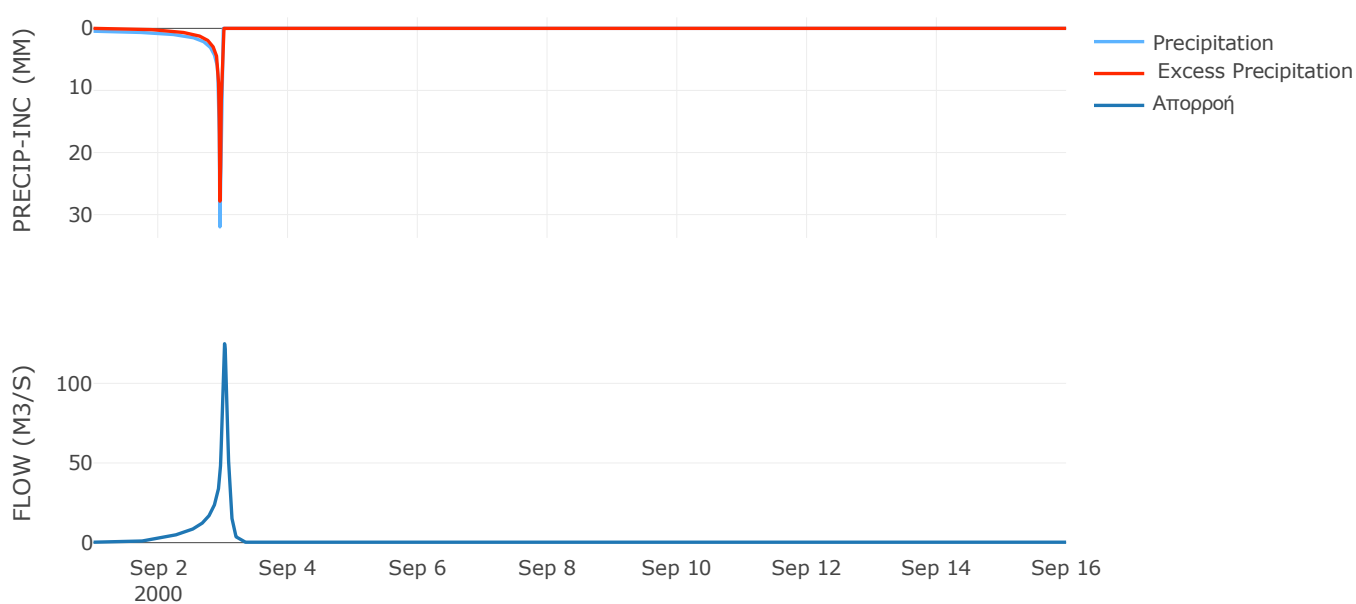
Μέθοδος  
Μετασχηματισμού: SCS

Χρόνος Υστέρησης	92.45
------------------	-------

Αποτελέσματα:  
EL0513FR5001

Παροχή αιχμής (M3/S)	124.88
Χρονική στιγμή αιχμής	03Sep2000, 00:30
Όγκος (MM)	251.27
Όγκος βροχόπτωσης (M3)	3.25E6
Όγκος απωλειών (M3)	1.16E6
Ενεργός Όγκος (M3)	2.09E6
Όγκος άμεσης απορροής (M3)	2.09E6
Όγκος βασικής απορροής (M3)	3.82E5

Βροχόπτωση και Απορροή



Υπολεκάνη: EL0513FR5002

Έκταση (KM2) : 6.79

Κατάντη : J2

Μέθοδος Απωλειών: SCS

Ποσοστό αδιαπέρατης επιφάνειας	0
Αριθμός Καμπύλης Απορροής-CN	68.88
Αρχικές Απώλειες	22.95

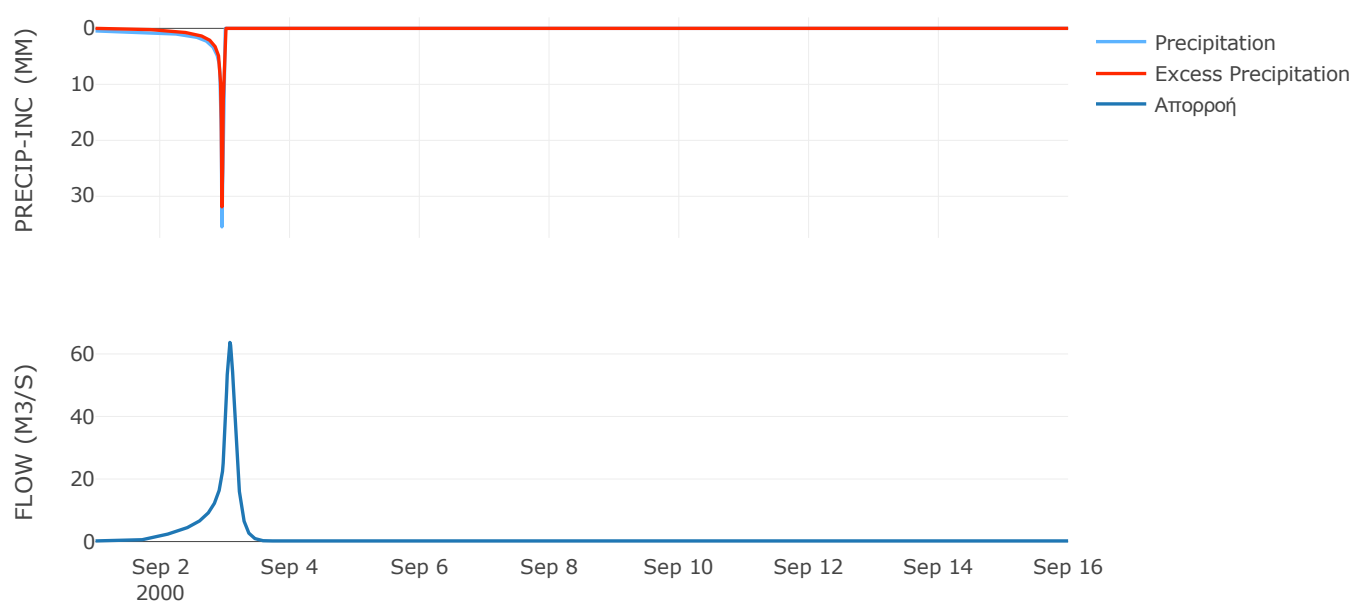
Μέθοδος  
Μετασχηματισμού: SCS

Χρόνος Υστέρησης	178.08
------------------	--------

Αποτελέσματα:  
EL0513FR5002

Παροχή αιχμής (M3/S)	63.69
Χρονική στιγμή αιχμής	03Sep2000, 01:45
Όγκος (MM)	276.59
Όγκος βροχόπτωσης (M3)	2.34E6
Όγκος απωλειών (M3)	7.3E5
Ενεργός Όγκος (M3)	1.61E6
Όγκος άμεσης απορροής (M3)	1.61E6
Όγκος βασικής απορροής (M3)	2.64E5

Βροχόπτωση και Απορροή





Υπολεκάνη: EL0513FR5003

Έκταση (KM2) : 2.79

Κατάνη : J3

Μέθοδος Απωλειών: SCS

Ποσοστό αδιαπέρατης επιφάνειας	0
Αριθμός Καμπύλης Απορροής-CN	64.79
Αρχικές Απώλειες	27.61

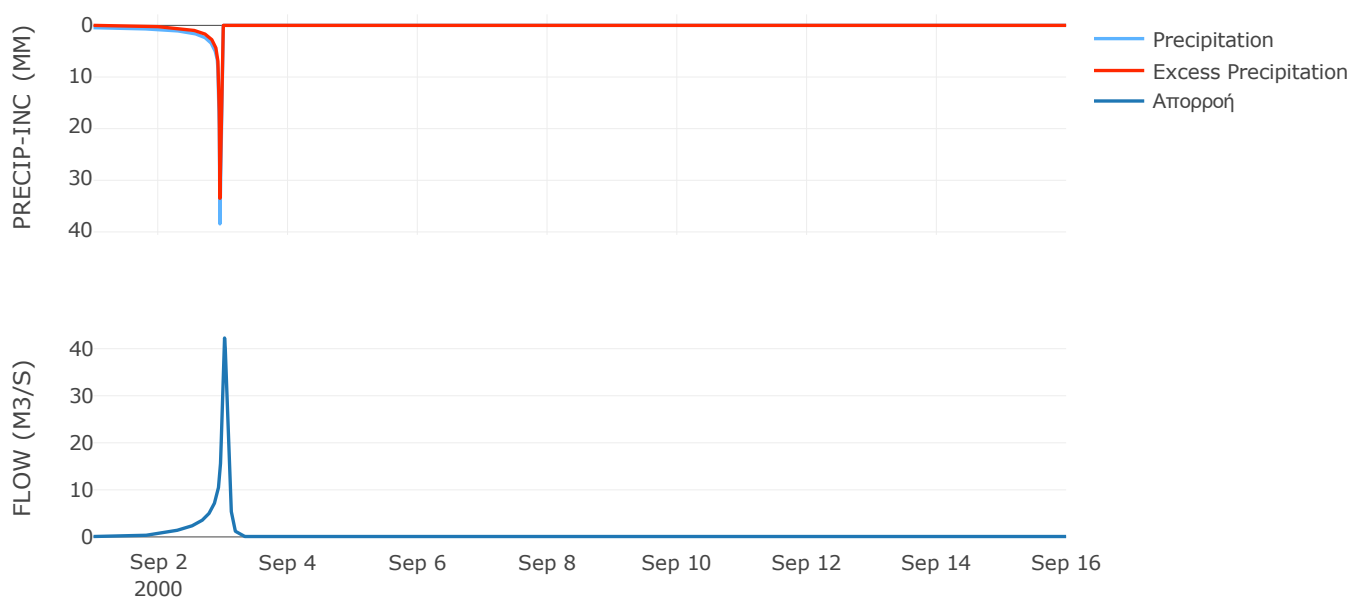
Μέθοδος  
Μετασχηματισμού: SCS

Χρόνος Υστέρησης	87.37
------------------	-------

Αποτελέσματα:  
EL0513FR5003

Παροχή αιχμής (M3/S)	42.27
Χρονική στιγμή αιχμής	03Sep2000, 00:30
Όγκος (MM)	269.3
Όγκος βροχόπτωσης (M3)	9.93E5
Όγκος απωλειών (M3)	3.49E5
Ενεργός Όγκος (M3)	6.44E5
Όγκος άμεσης απορροής (M3)	6.44E5
Όγκος βασικής απορροής (M3)	1.09E5

Βροχόπτωση και Απορροή



Υπολεκάνη: EL0513FR5004

Έκταση (KM2) : 17.16

Κατάντη : J3

Μέθοδος Απωλειών: SCS

Ποσοστό αδιαπέρατης επιφάνειας	0
Αριθμός Καμπύλης Απορροής-CN	51.9
Αρχικές Απώλειες	47.08

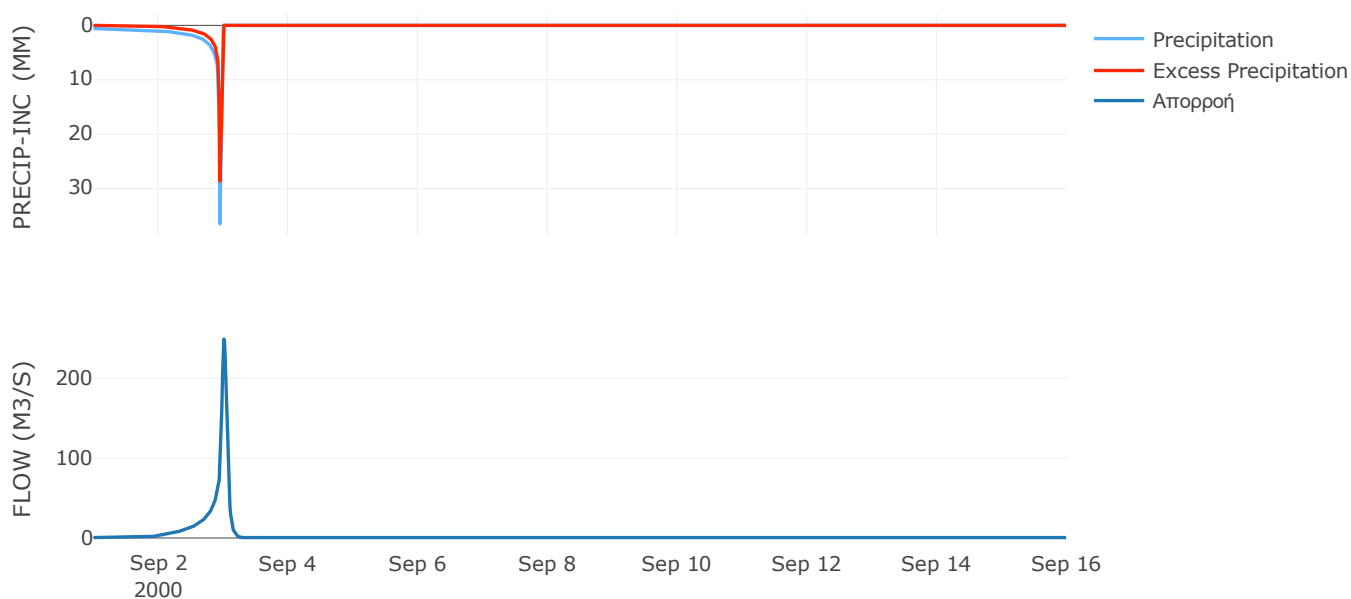
Μέθοδος  
Μετασχηματισμού: SCS

Χρόνος Υστέρησης	78.89
------------------	-------

Αποτελέσματα:  
EL0513FR5004

Παροχή αιχμής (M3/S)	248.78
Χρονική στιγμή αιχμής	03Sep2000, 00:15
Όγκος (MM)	250.84
Όγκος βροχόπτωσης (M3)	6.87E6
Όγκος απωλειών (M3)	3.23E6
Ενεργός Όγκος (M3)	3.64E6
Όγκος άμεσης απορροής (M3)	3.64E6
Όγκος βασικής απορροής (M3)	6.67E5

Βροχόπτωση και Απορροή



Υπολεκάνη: EL0513FR5005

Έκταση (KM2) : 3.13

Κατάντη : J4

Μέθοδος Απωλειών: SCS

Ποσοστό αδιαπέρατης επιφάνειας	0
Αριθμός Καμπύλης Απορροής-CN	62.96
Αρχικές Απώλειες	29.88

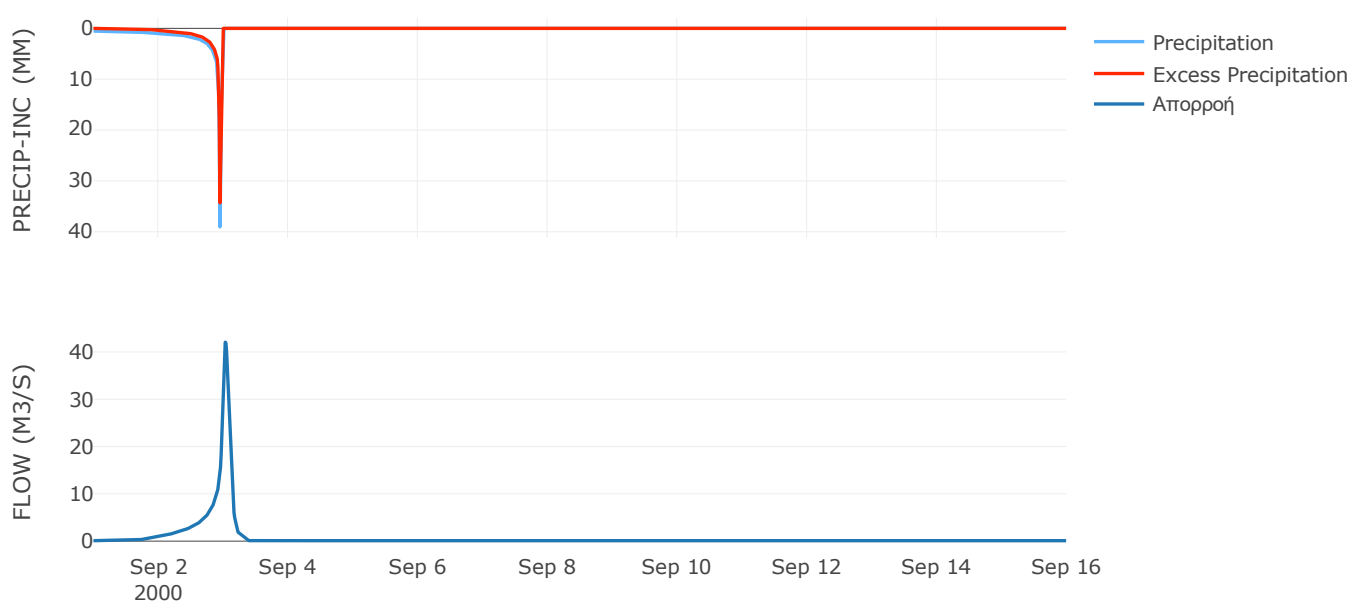
Μέθοδος  
Μετασχηματισμού: SCS

Χρόνος Υστέρησης	116.69
------------------	--------

Αποτελέσματα:  
EL0513FR5005

Παροχή αιχμής (M3/S)	42.06
Χρονική στιγμή αιχμής	03Sep2000, 00:45
Όγκος (MM)	297.38
Όγκος βροχόπτωσης (M3)	1.23E6
Όγκος απωλειών (M3)	4.25E5
Ενεργός Όγκος (M3)	8.08E5
Όγκος άμεσης απορροής (M3)	8.08E5
Όγκος βασικής απορροής (M3)	1.22E5

Βροχόπτωση και Απορροή



Υπολεκάνη: EL0513FR5006

Έκταση (KM2) : 19.6

Κατάντη : J5

Μέθοδος Απωλειών: SCS

Ποσοστό αδιαπέρατης επιφάνειας	0
Αριθμός Καμπύλης Απορροής-CN	47.42
Αρχικές Απώλειες	56.32

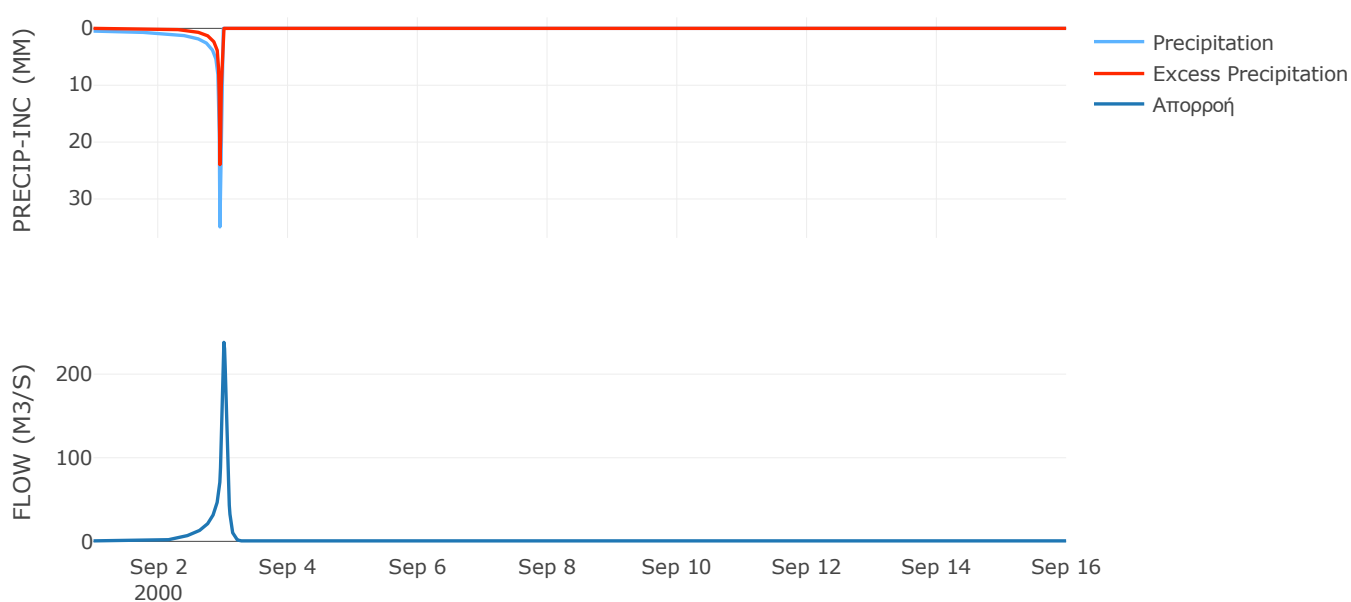
Μέθοδος  
Μετασχηματισμού: SCS

Χρόνος Υστέρησης	75.29
------------------	-------

Αποτελέσματα:  
EL0513FR5006

Παροχή αιχμής (M3/S)	238
Χρονική στιγμή αιχμής	03Sep2000, 00:15
Όγκος (MM)	191.04
Όγκος βροχόπτωσης (M3)	6.92E6
Όγκος απωλειών (M3)	3.94E6
Ενεργός Όγκος (M3)	2.98E6
Όγκος άμεσης απορροής (M3)	2.98E6
Όγκος βασικής απορροής (M3)	7.62E5

Βροχόπτωση και Απορροή



Υπολεκάνη: EL0513FR5007

Έκταση (KM2) : 4.2

Κατάντη : J6

Μέθοδος Απωλειών: SCS

Ποσοστό αδιαπέρατης επιφάνειας	0
Αριθμός Καμπύλης Απορροής-CN	61.34
Αρχικές Απώλειες	32.01

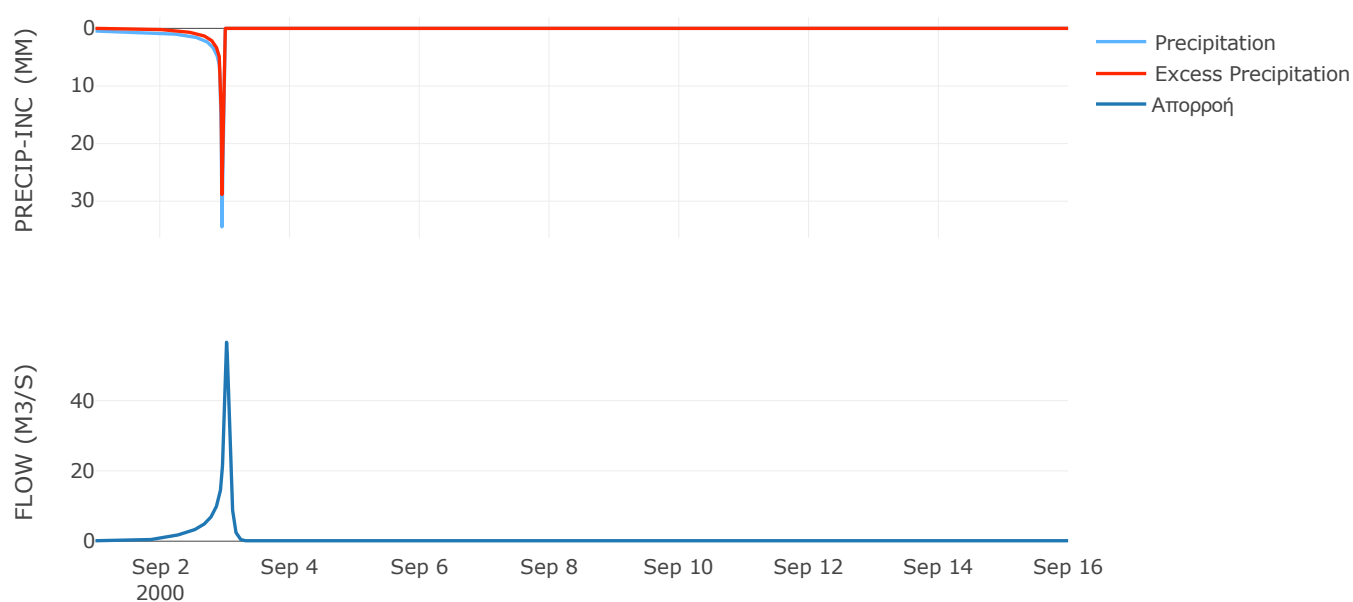
Μέθοδος  
Μετασχηματισμού: SCS

Χρόνος Υστέρησης	85.61
------------------	-------

Αποτελέσματα:  
EL0513FR5007

Παροχή αιχμής (M3/S)	56.62
Χρονική στιγμή αιχμής	03Sep2000, 00:30
Όγκος (MM)	243.89
Όγκος βροχόπτωσης (M3)	1.44E6
Όγκος απωλειών (M3)	5.78E5
Ενεργός Όγκος (M3)	8.61E5
Όγκος άμεσης απορροής (M3)	8.61E5
Όγκος βασικής απορροής (M3)	1.63E5

Βροχόπτωση και Απορροή



Υπολεκάνη: EL0513FR5008

Έκταση (KM2) : 11.23

Κατάνη : J7

Μέθοδος Απωλειών: SCS

Ποσοστό αδιαπέρατης επιφάνειας	0
Αριθμός Καμπύλης Απορροής-CN	60.11
Αρχικές Απώλειες	33.71

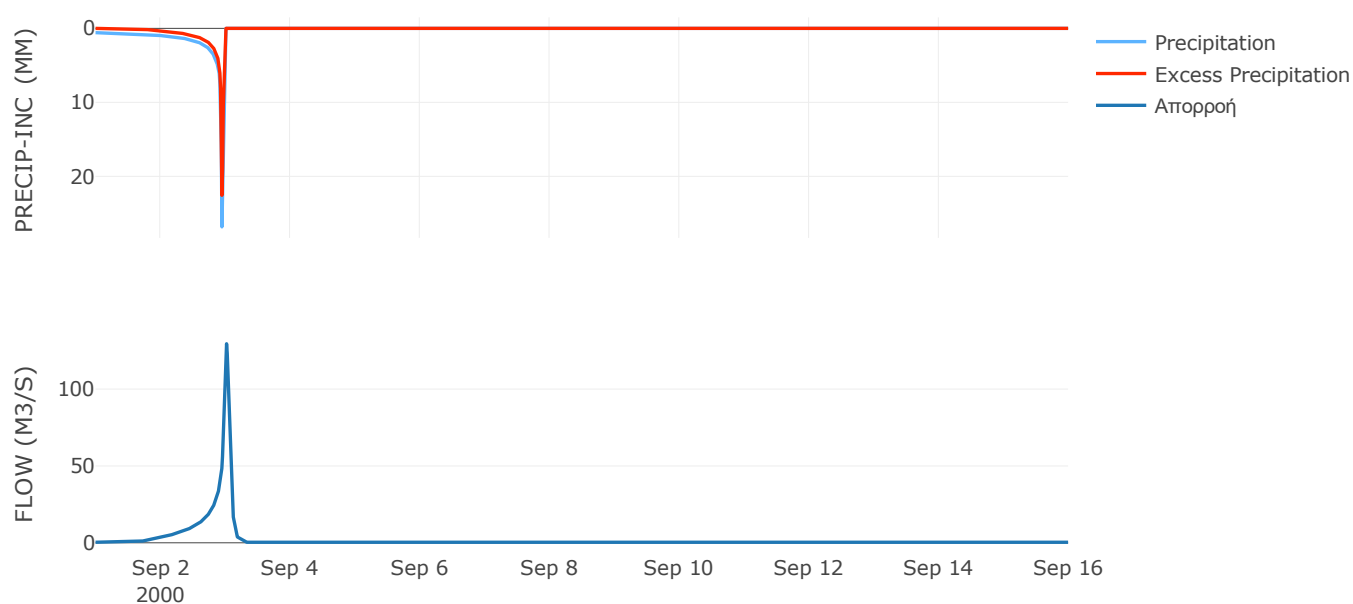
Μέθοδος  
Μετασχηματισμού: SCS

Χρόνος Υστέρησης	87.14
------------------	-------

Αποτελέσματα:  
EL0513FR5008

Παροχή αιχμής (M3/S)	129.49
Χρονική στιγμή αιχμής	03Sep2000, 00:30
Όγκος (MM)	246.29
Όγκος βροχόπτωσης (M3)	3.94E6
Όγκος απωλειών (M3)	1.61E6
Ενεργός Όγκος (M3)	2.33E6
Όγκος άμεσης απορροής (M3)	2.33E6
Όγκος βασικής απορροής (M3)	4.37E5

Βροχόπτωση και Απορροή



Υπολεκάνη: EL0513FR5009

Έκταση (KM2) : 19.12

Κατάντη : J8

Μέθοδος Απωλειών: SCS

Ποσοστό αδιαπέρατης επιφάνειας	0
Αριθμός Καμπύλης Απορροής-CN	41.32
Αρχικές Απώλειες	72.16

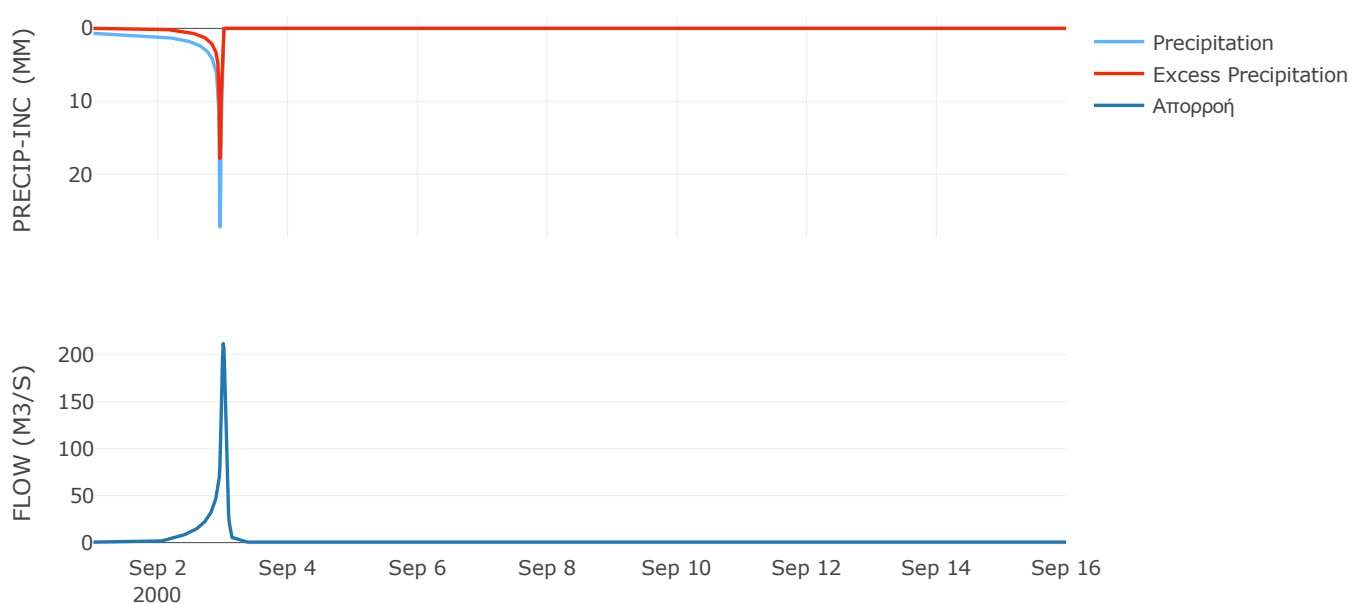
Μέθοδος  
Μετασχηματισμού: SCS

Χρόνος Υστέρησης	61.79
------------------	-------

Αποτελέσματα:  
EL0513FR5009

Παροχή αιχμής (M3/S)	211.9
Χρονική στιγμή αιχμής	02Sep2000, 24:00
Όγκος (MM)	189.13
Όγκος βροχόπτωσης (M3)	7.49E6
Όγκος απωλειών (M3)	4.62E6
Ενεργός Όγκος (M3)	2.87E6
Όγκος άμεσης απορροής (M3)	2.87E6
Όγκος βασικής απορροής (M3)	7.44E5

Βροχόπτωση και Απορροή



Υπολεκάνη: EL0513FR5010

Έκταση (KM2) : 36.47

Κατάντη : J9

Μέθοδος Απωλειών: SCS

Ποσοστό αδιαπέρατης επιφάνειας	0
Αριθμός Καμπύλης Απορροής-CN	42.46
Αρχικές Απώλειες	68.85

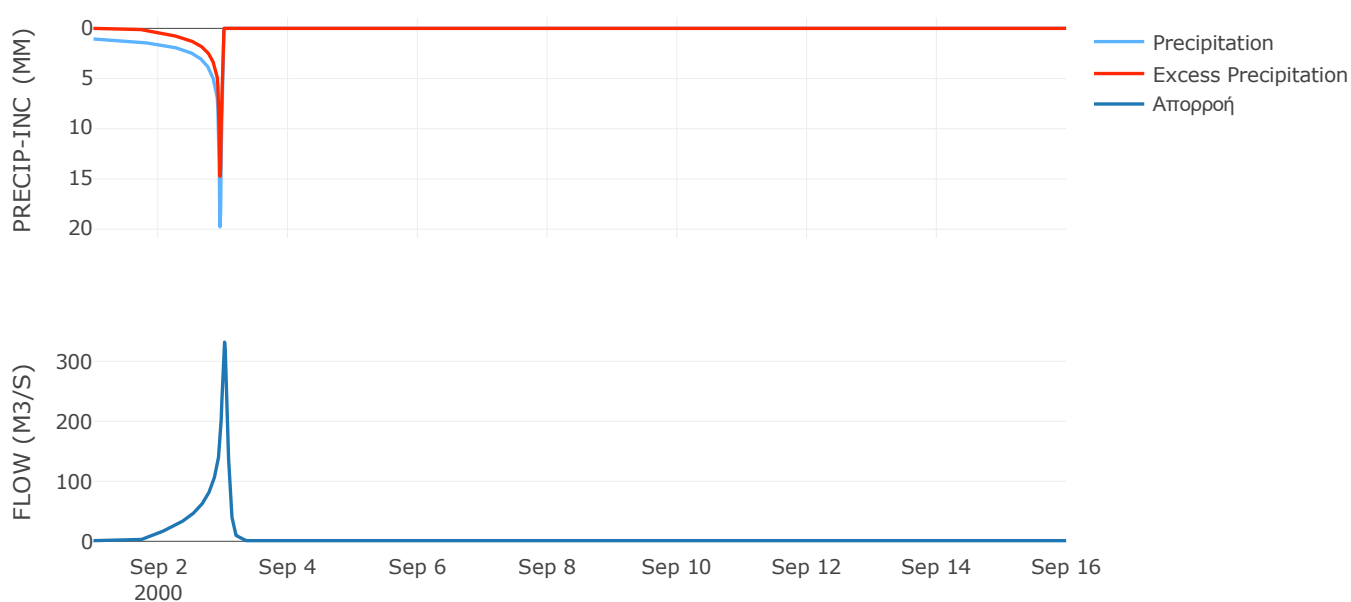
Μέθοδος  
Μετασχηματισμού: SCS

Χρόνος Υστέρησης	90.96
------------------	-------

Αποτελέσματα:  
EL0513FR5010

Παροχή αιχμής (M3/S)	331.86
Χρονική στιγμή αιχμής	03Sep2000, 00:30
Όγκος (MM)	249.23
Όγκος βροχόπτωσης (M3)	1.69E7
Όγκος απωλειών (M3)	9.21E6
Ενεργός Όγκος (M3)	7.67E6
Όγκος άμεσης απορροής (M3)	7.67E6
Όγκος βασικής απορροής (M3)	1.42E6

Βροχόπτωση και Απορροή





Υπολεκάνη: EL0513FR5011

Έκταση (KM2) : 4.02

Κατάνη : J10

Μέθοδος Απωλειών: SCS

Ποσοστό αδιαπέρατης επιφάνειας	0
Αριθμός Καμπύλης Απορροής-CN	30
Αρχικές Απώλειες	118.53

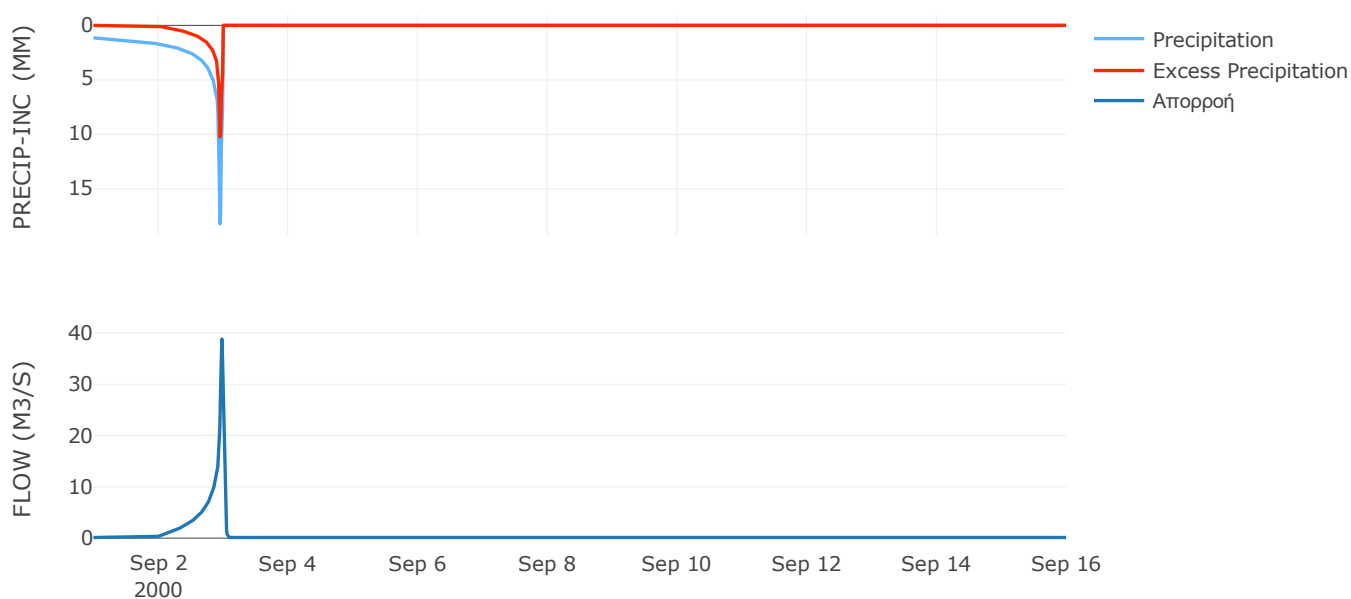
Μέθοδος  
Μετασχηματισμού: SCS

Χρόνος Υστέρησης	24.98
------------------	-------

Αποτελέσματα:  
EL0513FR5011

Παροχή αιχμής (M3/S)	38.84
Χρονική στιγμή αιχμής	02Sep2000, 23:30
Όγκος (MM)	173.09
Όγκος βροχόπτωσης (M3)	1.91E6
Όγκος απωλειών (M3)	1.37E6
Ενεργός Όγκος (M3)	5.39E5
Όγκος άμεσης απορροής (M3)	5.39E5
Όγκος βασικής απορροής (M3)	1.56E5

Βροχόπτωση και Απορροή



Υπολεκάνη: EL0513FR5012

Έκταση (KM2) : 74.49

Κατάνη : J11

Μέθοδος Απωλειών: SCS

Ποσοστό αδιαπέρατης επιφάνειας	0
Αριθμός Καμπύλης Απορροής-CN	31.98
Αρχικές Απώλειες	108.06

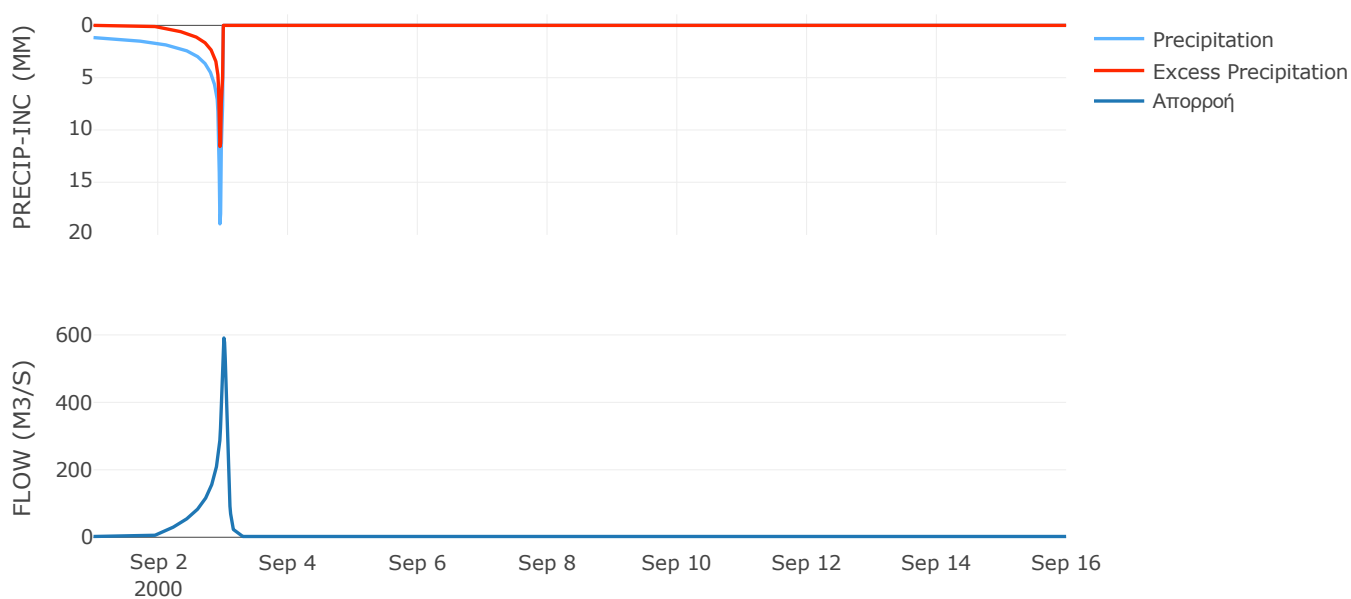
Μέθοδος  
Μετασχηματισμού: SCS

Χρόνος Υστέρησης	76.85
------------------	-------

Αποτελέσματα:  
EL0513FR5012

Παροχή αιχμής (M3/S)	590.94
Χρονική στιγμή αιχμής	03Sep2000, 00:15
Όγκος (MM)	196.45
Όγκος βροχόπτωσης (M3)	3.64E7
Όγκος απωλειών (M3)	2.47E7
Ενεργός Όγκος (M3)	1.17E7
Όγκος άμεσης απορροής (M3)	1.17E7
Όγκος βασικής απορροής (M3)	2.9E6

Βροχόπτωση και Απορροή



Υπολεκάνη: EL0513FR5013

Έκταση (KM2) : 8.72

Κατάντη : J12

Μέθοδος Απωλειών: SCS

Ποσοστό αδιαπέρατης επιφάνειας	0
Αριθμός Καμπύλης Απορροής-CN	38.94
Αρχικές Απώλειες	79.65

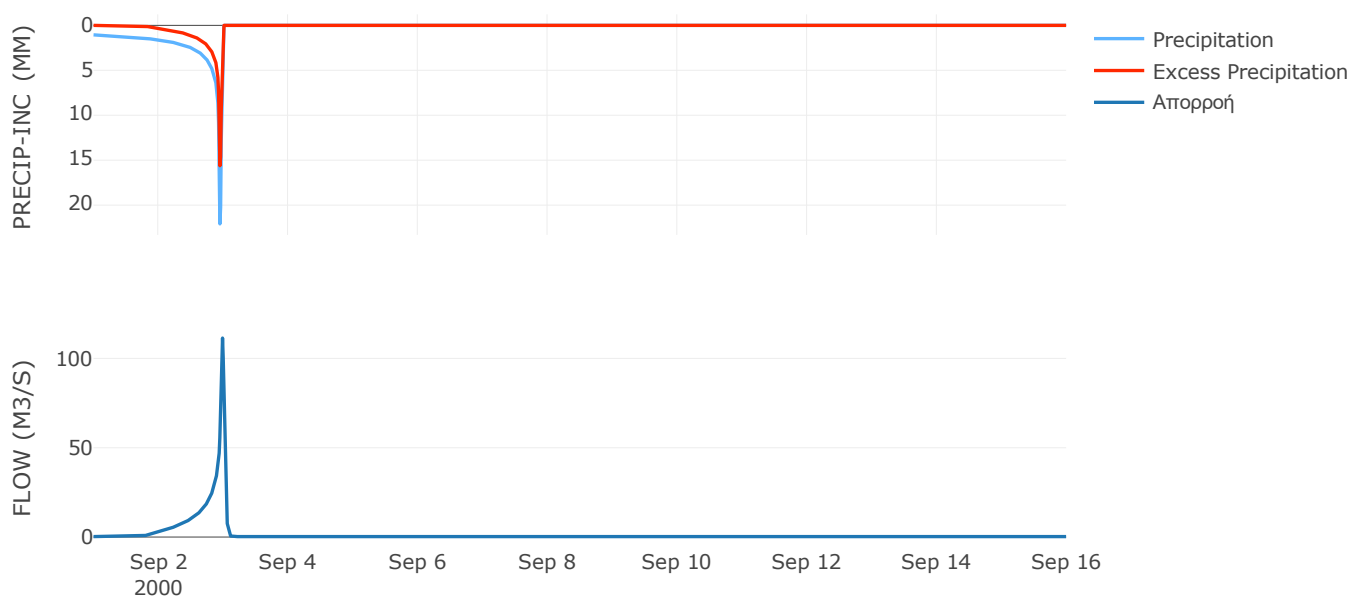
Μέθοδος  
Μετασχηματισμού: SCS

Χρόνος Υστέρησης	37.05
------------------	-------

Αποτελέσματα:  
EL0513FR5013

Παροχή αιχμής (M3/S)	111.39
Χρονική στιγμή αιχμής	02Sep2000, 23:45
Όγκος (MM)	238.66
Όγκος βροχόπτωσης (M3)	4.17E6
Όγκος απωλειών (M3)	2.43E6
Ενεργός Όγκος (M3)	1.74E6
Όγκος άμεσης απορροής (M3)	1.74E6
Όγκος βασικής απορροής (M3)	3.39E5

Βροχόπτωση και Απορροή



Υπολεκάνη: EL0513FR5014

Έκταση (KM2) : 17.21

Κατάντη : J13

Μέθοδος Απωλειών: SCS

Ποσοστό αδιαπέρατης επιφάνειας	0
Αριθμός Καμπύλης Απορροής-CN	33.65
Αρχικές Απώλειες	100.15

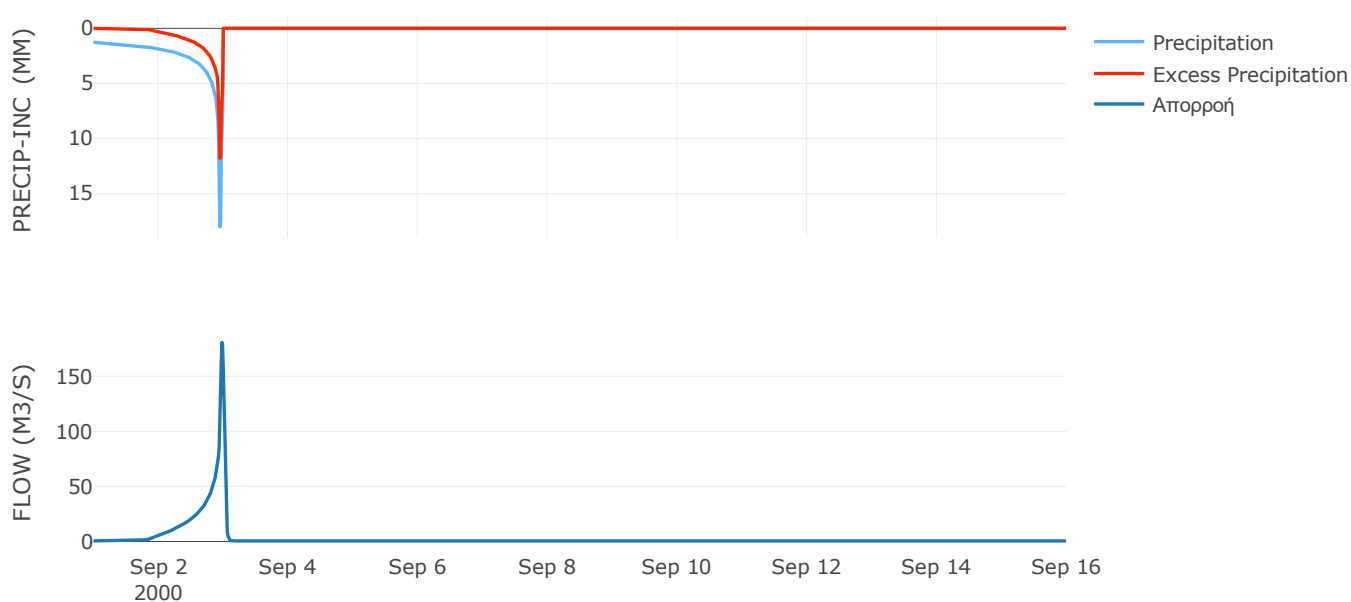
Μέθοδος  
Μετασχηματισμού: SCS

Χρόνος Υστέρησης	33.48
------------------	-------

Αποτελέσματα:  
EL0513FR5014

Παροχή αιχμής (M3/S)	180.74
Χρονική στιγμή αιχμής	02Sep2000, 23:30
Όγκος (MM)	220.31
Όγκος βροχόπτωσης (M3)	8.7E6
Όγκος απωλειών (M3)	5.58E6
Ενεργός Όγκος (M3)	3.12E6
Όγκος άμεσης απορροής (M3)	3.12E6
Όγκος βασικής απορροής (M3)	6.69E5

Βροχόπτωση και Απορροή



Υπολεκάνη: EL0513FR5015

Έκταση (KM2) : 56.91

Κατάντη : J13

Μέθοδος Απωλειών: SCS

Ποσοστό αδιαπέρατης επιφάνειας	0
Αριθμός Καμπύλης Απορροής-CN	35.24
Αρχικές Απώλειες	93.33

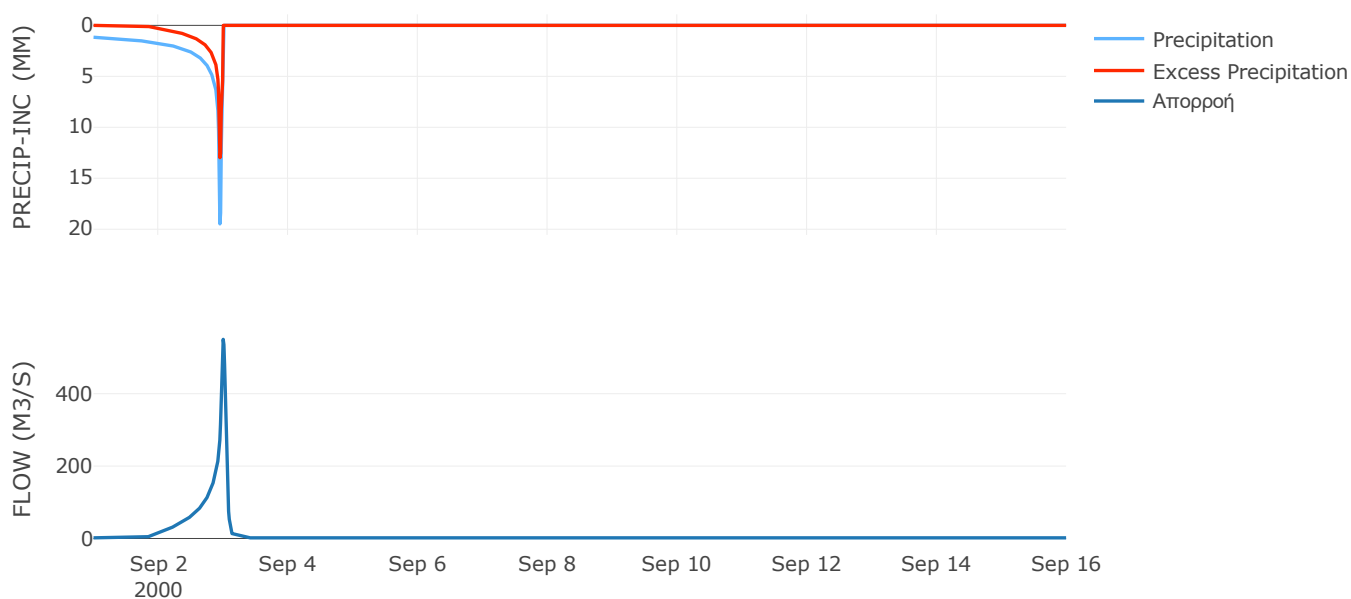
Μέθοδος  
Μετασχηματισμού: SCS

Χρόνος Υστέρησης	60.16
------------------	-------

Αποτελέσματα:  
EL0513FR5015

Παροχή αιχμής (M3/S)	550.08
Χρονική στιγμή αιχμής	02Sep2000, 24:00
Όγκος (MM)	222.28
Όγκος βροχόπτωσης (M3)	2.8E7
Όγκος απωλειών (M3)	1.75E7
Ενεργός Όγκος (M3)	1.04E7
Όγκος άμεσης απορροής (M3)	1.04E7
Όγκος βασικής απορροής (M3)	2.21E6

Βροχόπτωση και Απορροή



Υπολεκάνη: EL0513FR5016

Έκταση (KM2) : 70.55

Κατάντη : J12

Μέθοδος Απωλειών: SCS

Ποσοστό αδιαπέρατης επιφάνειας	0
Αριθμός Καμπύλης Απορροής-CN	32.86
Αρχικές Απώλειες	103.8

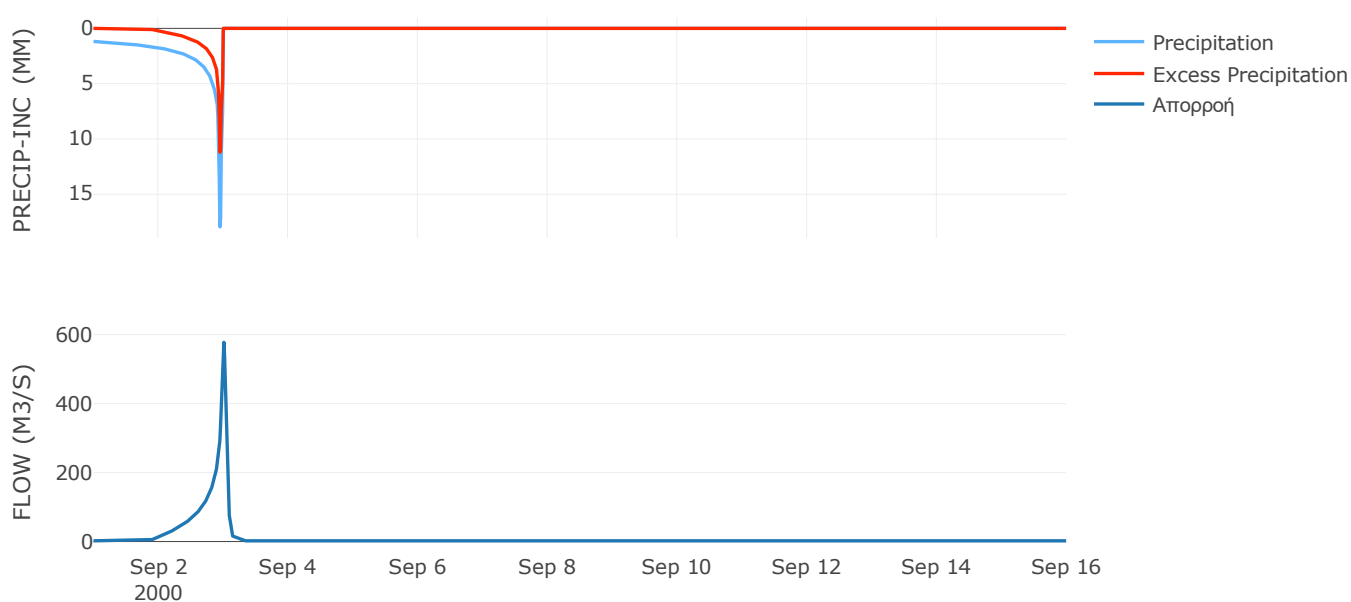
Μέθοδος  
Μετασχηματισμού: SCS

Χρόνος Υστέρησης	65.8
------------------	------

Αποτελέσματα:  
EL0513FR5016

Παροχή αιχμής (M3/S)	577.6
Χρονική στιγμή αιχμής	03Sep2000, 00:15
Όγκος (MM)	200.11
Όγκος βροχόπτωσης (M3)	3.42E7
Όγκος απωλειών (M3)	2.28E7
Ενεργός Όγκος (M3)	1.14E7
Όγκος άμεσης απορροής (M3)	1.14E7
Όγκος βασικής απορροής (M3)	2.74E6

Βροχόπτωση και Απορροή



Υπολεκάνη: EL0513FR5017

Έκταση (KM2) : 33.26

Κατάνη : J11

Μέθοδος Απωλειών: SCS

Ποσοστό αδιαπέρατης επιφάνειας	0
Αριθμός Καμπύλης Απορροής-CN	30.18
Αρχικές Απώλειες	117.51

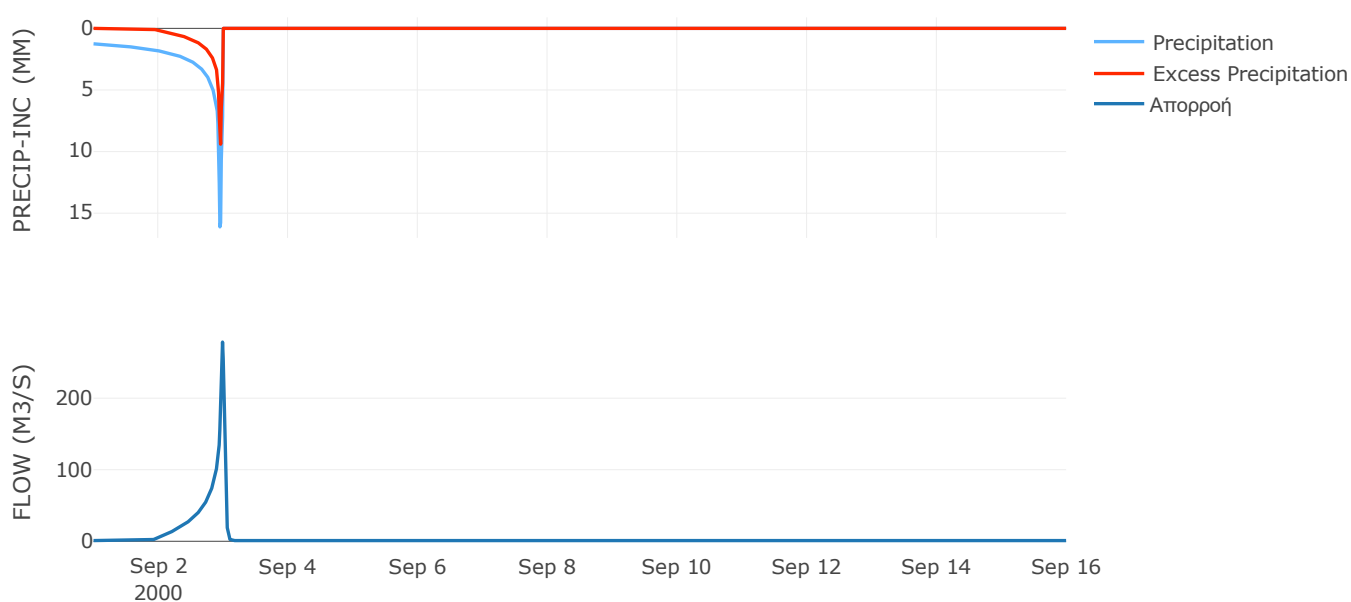
Μέθοδος  
Μετασχηματισμού: SCS

Χρόνος Υστέρησης	36.12
------------------	-------

Αποτελέσματα:  
EL0513FR5017

Παροχή αιχμής (M3/S)	278.41
Χρονική στιγμή αιχμής	02Sep2000, 23:45
Όγκος (MM)	182.2
Όγκος βροχόπτωσης (M3)	1.62E7
Όγκος απωλειών (M3)	1.15E7
Ενεργός Όγκος (M3)	4.77E6
Όγκος άμεσης απορροής (M3)	4.77E6
Όγκος βασικής απορροής (M3)	1.29E6

Βροχόπτωση και Απορροή



Υπολεκάνη: EL0513FR5018

Έκταση (KM2) : 14.02

Κατάνη : J11

Μέθοδος Απωλειών: SCS

Ποσοστό αδιαπέρατης επιφάνειας	0
Αριθμός Καμπύλης Απορροής-CN	34.91
Αρχικές Απώλειες	94.7

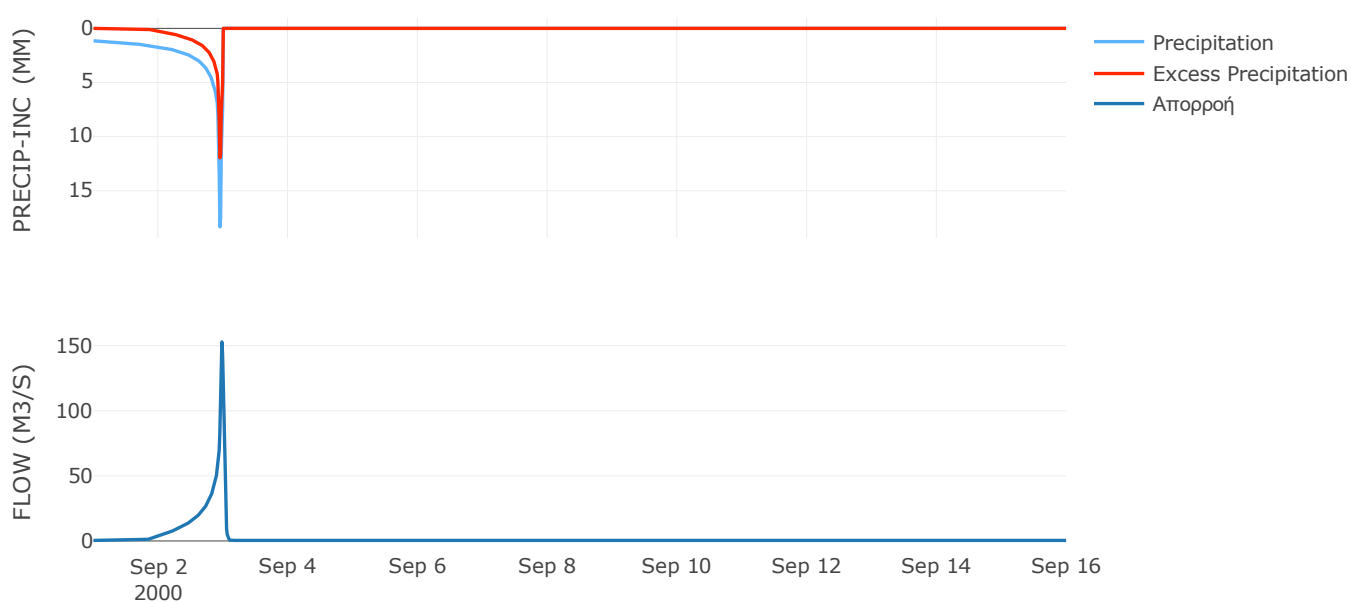
Μέθοδος  
Μετασχηματισμού: SCS

Χρόνος Υστέρησης	29.52
------------------	-------

Αποτελέσματα:  
EL0513FR5018

Παροχή αιχμής (M3/S)	152.92
Χρονική στιγμή αιχμής	02Sep2000, 23:30
Όγκος (MM)	210.49
Όγκος βροχόπτωσης (M3)	6.7E6
Όγκος απωλειών (M3)	4.3E6
Ενεργός Όγκος (M3)	2.41E6
Όγκος άμεσης απορροής (M3)	2.41E6
Όγκος βασικής απορροής (M3)	5.45E5

Βροχόπτωση και Απορροή





Υπολεκάνη: EL0513FR5019

Έκταση (KM2) : 105.27

Κατάνη : J15

Μέθοδος Απωλειών: SCS

Ποσοστό αδιαπέρατης επιφάνειας	0
Αριθμός Καμπύλης Απορροής-CN	39.1
Αρχικές Απώλειες	79.14

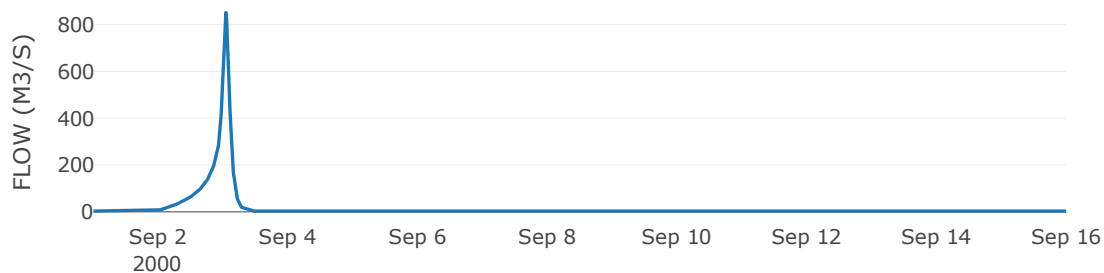
Μέθοδος  
Μετασχηματισμού: SCS

Χρόνος Υστέρησης	120.58
------------------	--------

Αποτελέσματα:  
EL0513FR5019

Παροχή αιχμής (M3/S)	850.78
Χρονική στιγμή αιχμής	03Sep2000, 01:00
Όγκος (MM)	201.93
Όγκος βροχόπτωσης (M3)	4.5E7
Όγκος απωλειών (M3)	2.78E7
Ενεργός Όγκος (M3)	1.72E7
Όγκος άμεσης απορροής (M3)	1.72E7
Όγκος βασικής απορροής (M3)	4.09E6

Βροχόπτωση και Απορροή



Υπολεκάνη: EL0513FR5020

Έκταση (KM2) : 49.32

Κατάντη : J14

Μέθοδος Απωλειών: SCS

Ποσοστό αδιαπέρατης επιφάνειας	0
Αριθμός Καμπύλης Απορροής-CN	33.5
Αρχικές Απώλειες	100.86

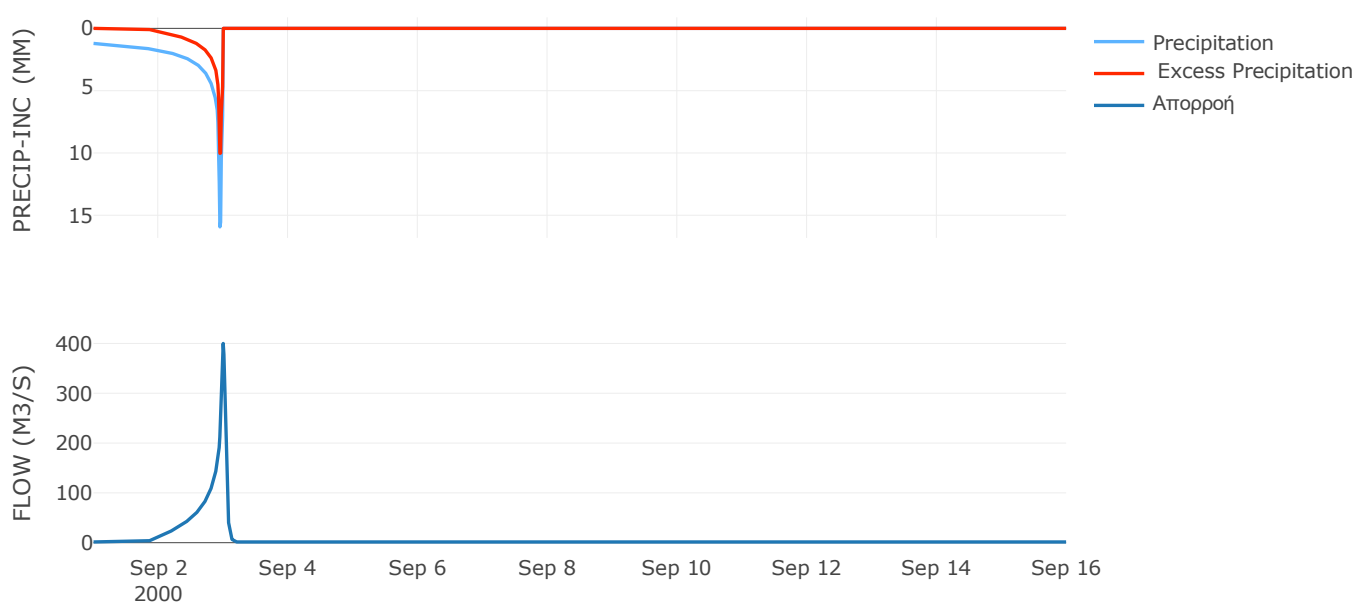
Μέθοδος  
Μετασχηματισμού: SCS

Χρόνος Υστέρησης	53.97
------------------	-------

Αποτελέσματα:  
EL0513FR5020

Παροχή αιχμής (M3/S)	400.02
Χρονική στιγμή αιχμής	02Sep2000, 24:00
Όγκος (MM)	197.8
Όγκος βροχόπτωσης (M3)	2.34E7
Όγκος απωλειών (M3)	1.56E7
Ενεργός Όγκος (M3)	7.84E6
Όγκος άμεσης απορροής (M3)	7.84E6
Όγκος βασικής απορροής (M3)	1.92E6

Βροχόπτωση και Απορροή



Υπολεκάνη: EL0513FR5021

Έκταση (KM2) : 21.13

Κατάντη : J19

Μέθοδος Απωλειών: SCS

Ποσοστό αδιαπέρατης επιφάνειας	0
Αριθμός Καμπύλης Απορροής-CN	50.44
Αρχικές Απώλειες	49.91

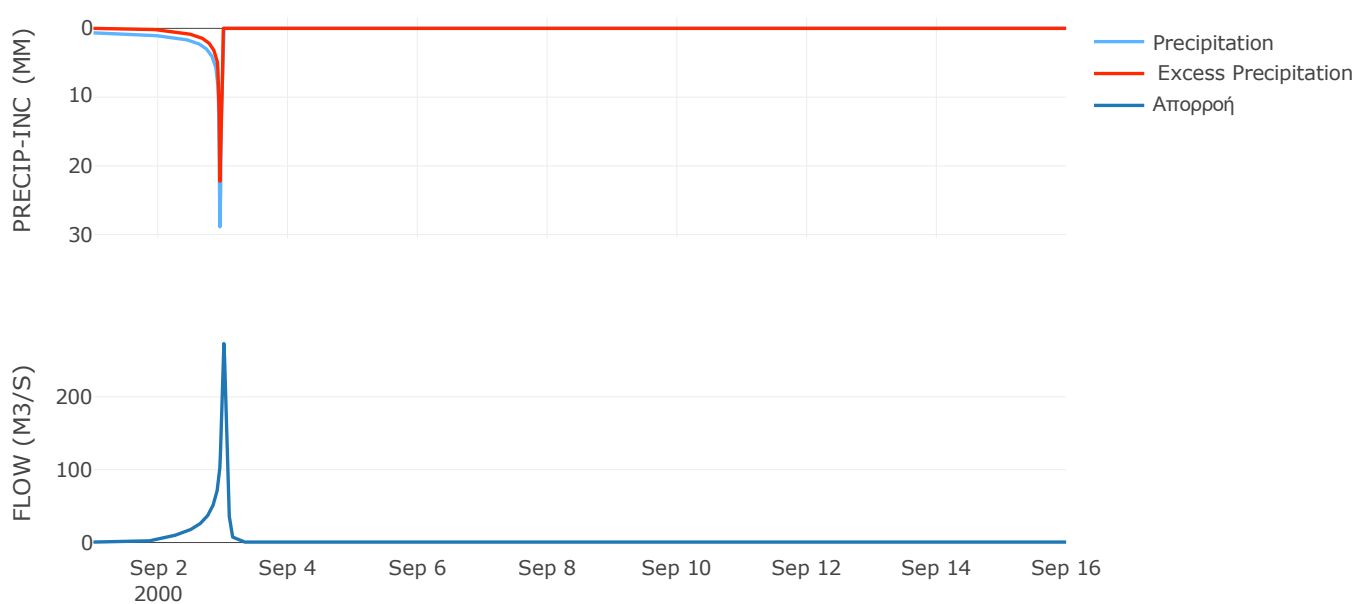
Μέθοδος  
Μετασχηματισμού: SCS

Χρόνος Υστέρησης	67.4
------------------	------

Αποτελέσματα:  
EL0513FR5021

Παροχή αιχμής (M3/S)	273.19
Χρονική στιγμή αιχμής	03Sep2000, 00:15
Όγκος (MM)	234.91
Όγκος βροχόπτωσης (M3)	8.24E6
Όγκος απωλειών (M3)	4.1E6
Ενεργός Όγκος (M3)	4.14E6
Όγκος άμεσης απορροής (M3)	4.14E6
Όγκος βασικής απορροής (M3)	8.21E5

Βροχόπτωση και Απορροή



Υπολεκάνη: EL0513FR5022

Έκταση (KM2) : 8.23

Κατάντη : J20

Μέθοδος Απωλειών: SCS

Ποσοστό αδιαπέρατης επιφάνειας	0
Αριθμός Καμπύλης Απορροής-CN	64.15
Αρχικές Απώλειες	28.39

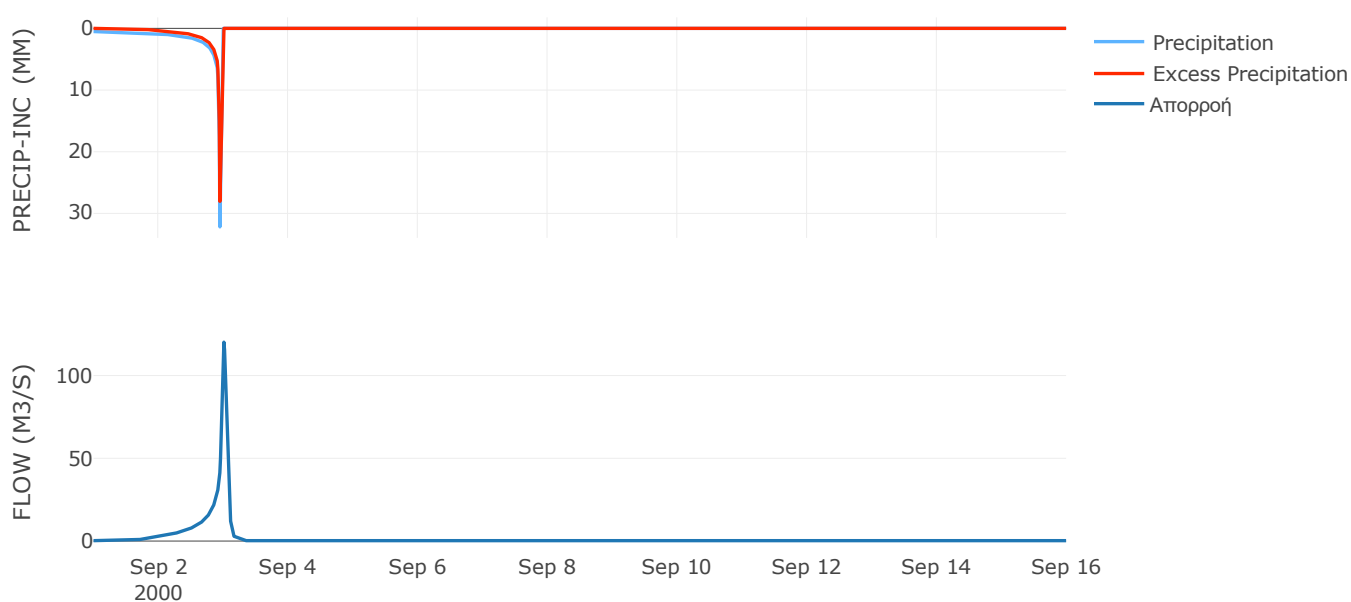
Μέθοδος  
Μετασχηματισμού: SCS

Χρόνος Υστέρησης	75.26
------------------	-------

Αποτελέσματα:  
EL0513FR5022

Παροχή αιχμής (M3/S)	120.16
Χρονική στιγμή αιχμής	03Sep2000, 00:15
Όγκος (MM)	265.5
Όγκος βροχόπτωσης (M3)	2.91E6
Όγκος απωλειών (M3)	1.05E6
Ενεργός Όγκος (M3)	1.86E6
Όγκος άμεσης απορροής (M3)	1.86E6
Όγκος βασικής απορροής (M3)	3.2E5

Βροχόπτωση και Απορροή



Υπολεκάνη: EL0513FR5023

Έκταση (KM2) : 11.05

Κατάντη : J19

Μέθοδος Απωλειών: SCS

Ποσοστό αδιαπέρατης επιφάνειας	0
Αριθμός Καμπύλης Απορροής-CN	63.35
Αρχικές Απώλειες	29.39

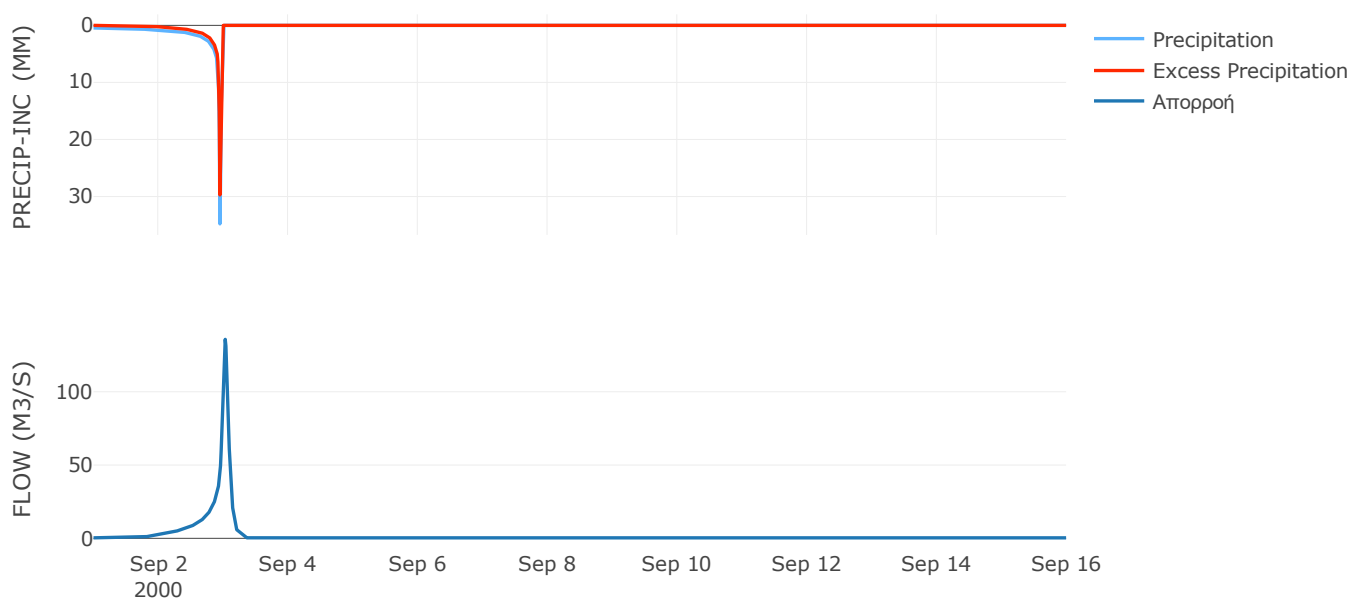
Μέθοδος  
Μετασχηματισμού: SCS

Χρόνος Υστέρησης	105.68
------------------	--------

Αποτελέσματα:  
EL0513FR5023

Παροχή αιχμής (M3/S)	135.78
Χρονική στιγμή αιχμής	03Sep2000, 00:45
Όγκος (MM)	251.46
Όγκος βροχόπτωσης (M3)	3.78E6
Όγκος απωλειών (M3)	1.43E6
Ενεργός Όγκος (M3)	2.35E6
Όγκος άμεσης απορροής (M3)	2.35E6
Όγκος βασικής απορροής (M3)	4.3E5

Βροχόπτωση και Απορροή



Υπολεκάνη: EL0513FR5024

Έκταση (KM2) : 5.88

Κατάντη : J4

Μέθοδος Απωλειών: SCS

Ποσοστό αδιαπέρατης επιφάνειας	0
Αριθμός Καμπύλης Απορροής-CN	54.88
Αρχικές Απώλειες	41.76

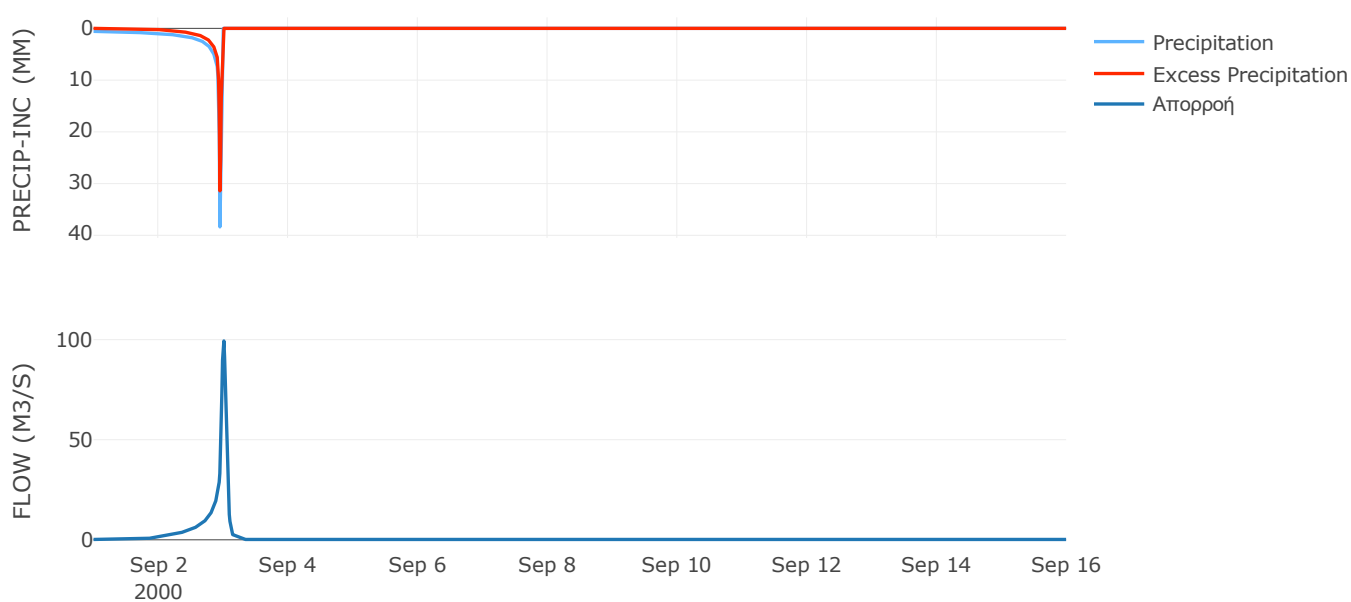
Μέθοδος  
Μετασχηματισμού: SCS

Χρόνος Υστέρησης	67.39
------------------	-------

Αποτελέσματα:  
EL0513FR5024

Παροχή αιχμής (M3/S)	99.33
Χρονική στιγμή αιχμής	03Sep2000, 00:15
Όγκος (MM)	271.6
Όγκος βροχόπτωσης (M3)	2.4E6
Όγκος απωλειών (M3)	1.03E6
Ενεργός Όγκος (M3)	1.37E6
Όγκος άμεσης απορροής (M3)	1.37E6
Όγκος βασικής απορροής (M3)	2.29E5

Βροχόπτωση και Απορροή



Υπολεκάνη: EL0513FR5025

Έκταση (KM2) : 50.61

Κατάντη : J7

Μέθοδος Απωλειών: SCS

Ποσοστό αδιαπέρατης επιφάνειας	0
Αριθμός Καμπύλης Απορροής-CN	50.52
Αρχικές Απώλειες	49.75

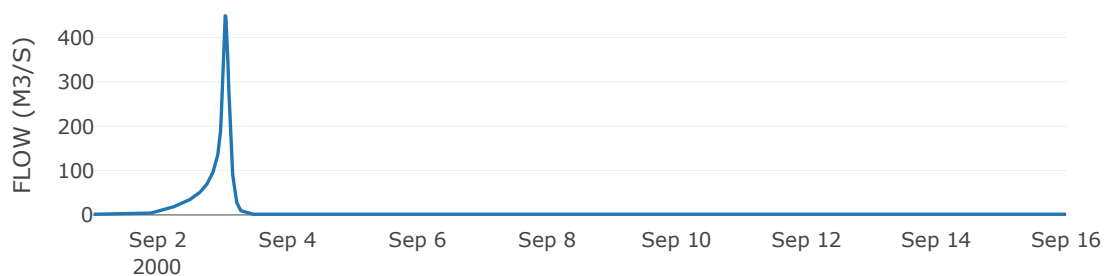
Μέθοδος  
Μετασχηματισμού: SCS

Χρόνος Υστέρησης	114.63
------------------	--------

Αποτελέσματα:  
EL0513FR5025

Παροχή αιχμής (M3/S)	449.04
Χρονική στιγμή αιχμής	03Sep2000, 00:45
Όγκος (MM)	216.38
Όγκος βροχόπτωσης (M3)	1.86E7
Όγκος απωλειών (M3)	9.57E6
Ενεργός Όγκος (M3)	8.98E6
Όγκος άμεσης απορροής (M3)	8.98E6
Όγκος βασικής απορροής (M3)	1.97E6

Βροχόπτωση και Απορροή



Υπολεκάνη: EL0513FR5026

Έκταση (KM2) : 20.26

Κατάντη : J18

Μέθοδος Απωλειών: SCS

Ποσοστό αδιαπέρατης επιφάνειας	0
Αριθμός Καμπύλης Απορροής-CN	58.61
Αρχικές Απώλειες	35.87

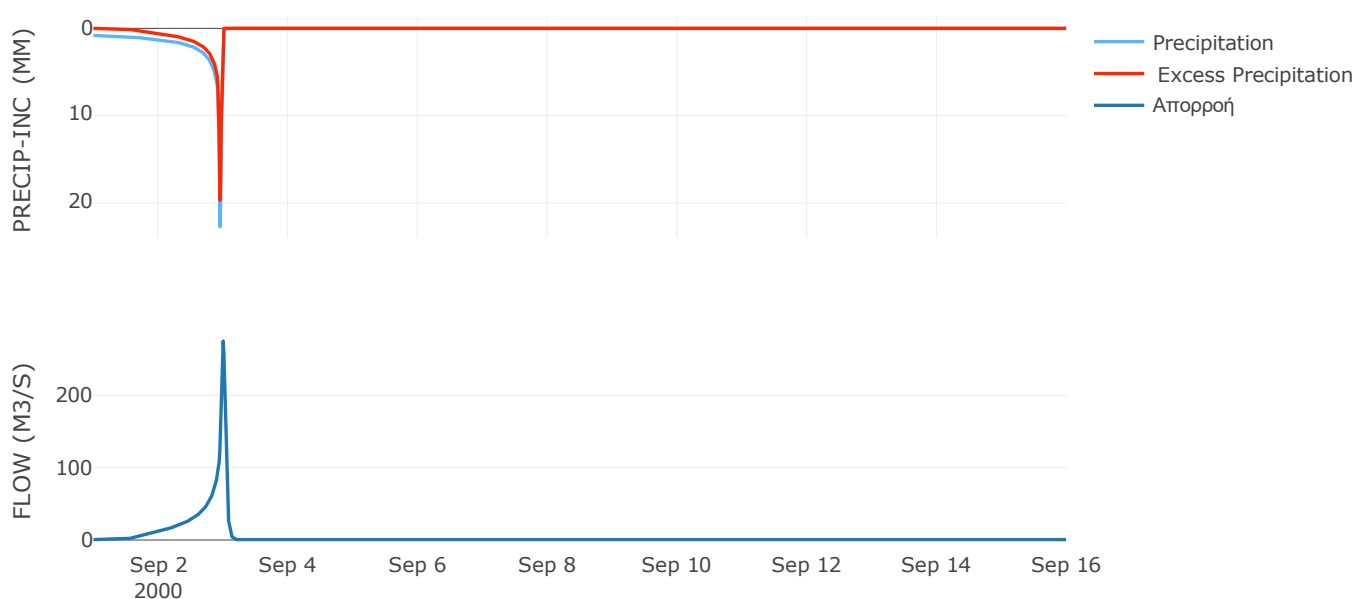
Μέθοδος  
Μετασχηματισμού: SCS

Χρόνος Υστέρησης	55.16
------------------	-------

Αποτελέσματα:  
EL0513FR5026

Παροχή αιχμής (M3/S)	275.13
Χρονική στιγμή αιχμής	02Sep2000, 24:00
Όγκος (MM)	286.98
Όγκος βροχόπτωσης (M3)	8.2E6
Όγκος απωλειών (M3)	3.17E6
Ενεργός Όγκος (M3)	5.03E6
Όγκος άμεσης απορροής (M3)	5.03E6
Όγκος βασικής απορροής (M3)	7.88E5

Βροχόπτωση και Απορροή





Υπολεκάνη: EL0513FR5027

Έκταση (KM2) : 40.56

Κατάντη : J18

Μέθοδος Απωλειών: SCS

Ποσοστό αδιαπέρατης επιφάνειας	0
Αριθμός Καμπύλης Απορροής-CN	46.99
Αρχικές Απώλειες	57.3

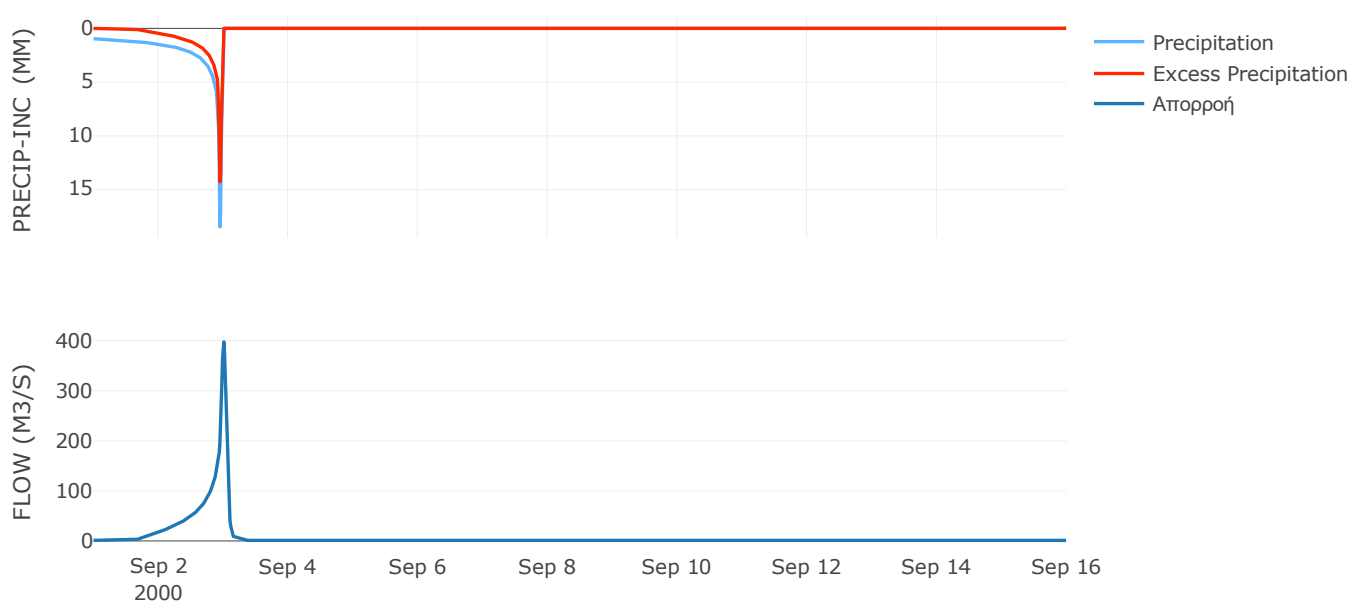
Μέθοδος  
Μετασχηματισμού: SCS

Χρόνος Υστέρησης	68.41
------------------	-------

Αποτελέσματα:  
EL0513FR5027

Παροχή αιχμής (M3/S)	397.61
Χρονική στιγμή αιχμής	03Sep2000, 00:15
Όγκος (MM)	245.2
Όγκος βροχόπτωσης (M3)	1.72E7
Όγκος απωλειών (M3)	8.85E6
Ενεργός Όγκος (M3)	8.37E6
Όγκος άμεσης απορροής (M3)	8.37E6
Όγκος βασικής απορροής (M3)	1.58E6

Βροχόπτωση και Απορροή



Υπολεκάνη: EL0513FR5028

Έκταση (KM2) : 26.17

Κατάληξη : J17

Μέθοδος Απωλειών: SCS

Ποσοστό αδιαπέρατης επιφάνειας	0
Αριθμός Καμπύλης Απορροής-CN	46.89
Αρχικές Απώλειες	57.55

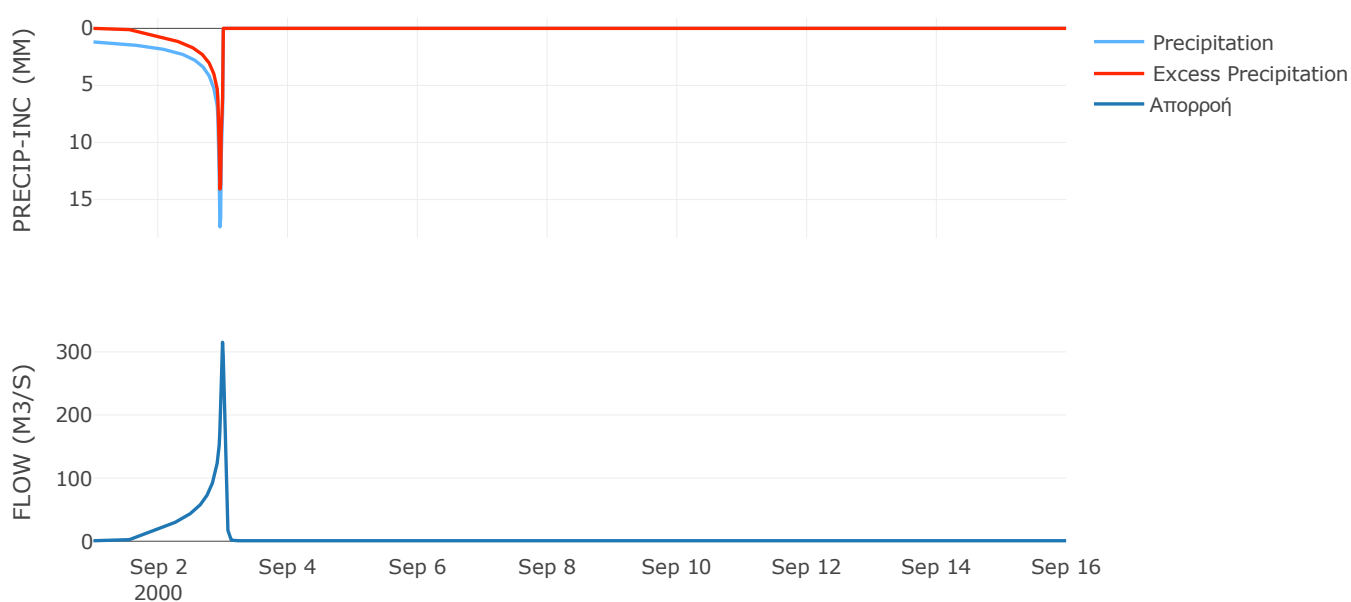
Μέθοδος  
Μετασχηματισμού: SCS

Χρόνος Υστέρησης	40
------------------	----

Αποτελέσματα:  
EL0513FR5028

Παροχή αιχμής (M3/S)	315.25
Χρονική στιγμή αιχμής	02Sep2000, 23:45
Όγκος (MM)	291.46
Όγκος βροχόπτωσης (M3)	1.26E7
Όγκος απωλειών (M3)	5.99E6
Ενεργός Όγκος (M3)	6.61E6
Όγκος άμεσης απορροής (M3)	6.61E6
Όγκος βασικής απορροής (M3)	1.02E6

Βροχόπτωση και Απορροή



Υπολεκάνη: EL0513FR5029

Έκταση (KM2) : 21.97

Κατάντη : J9

Μέθοδος Απωλειών: SCS

Ποσοστό αδιαπέρατης επιφάνειας	0
Αριθμός Καμπύλης Απορροής-CN	24.11
Αρχικές Απώλειες	159.9

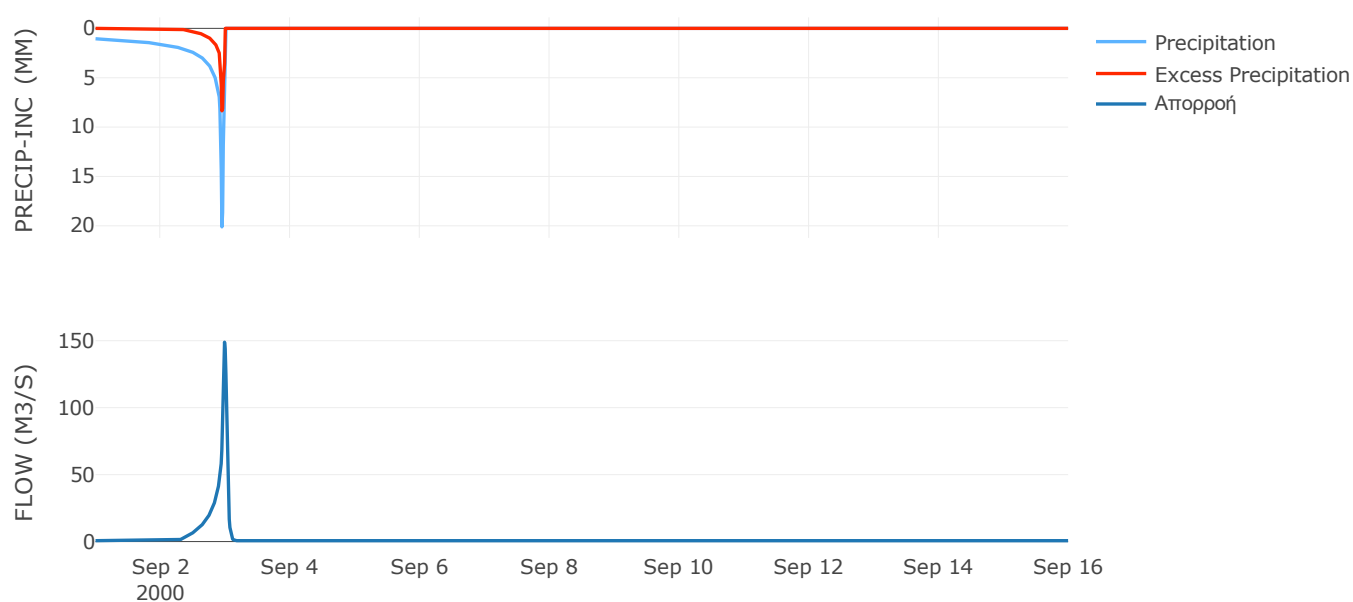
Μέθοδος  
Μετασχηματισμού: SCS

Χρόνος Υστέρησης	42.69
------------------	-------

Αποτελέσματα:  
EL0513FR5029

Παροχή αιχμής (M3/S)	148.87
Χρονική στιγμή αιχμής	02Sep2000, 23:45
Όγκος (MM)	122.3
Όγκος βροχόπτωσης (M3)	1.02E7
Όγκος απωλειών (M3)	8.35E6
Ενεργός Όγκος (M3)	1.83E6
Όγκος άμεσης απορροής (M3)	1.83E6
Όγκος βασικής απορροής (M3)	8.54E5

Βροχόπτωση και Απορροή



Υπολεκάνη: EL0513FR5030

Έκταση (KM2) : 13.43

Κατάντη : J5

Μέθοδος Απωλειών: SCS

Ποσοστό αδιαπέρατης επιφάνειας	0
Αριθμός Καμπύλης Απορροής-CN	43.26
Αρχικές Απώλειες	66.63

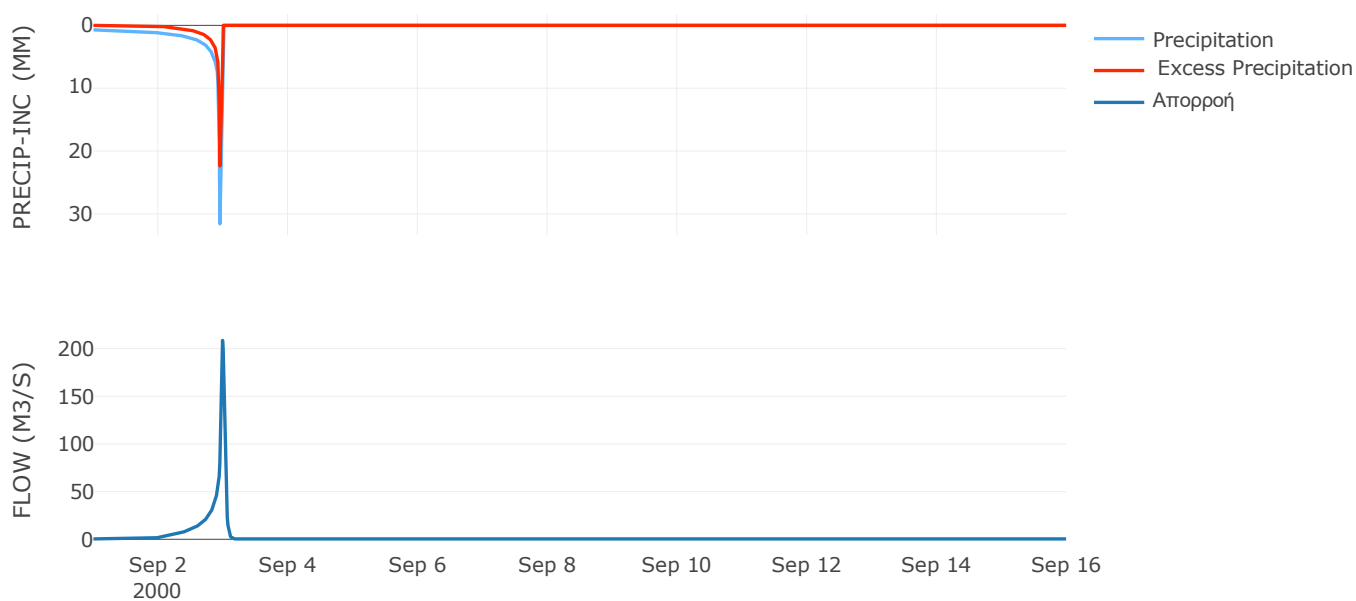
Μέθοδος  
Μετασχηματισμού: SCS

Χρόνος Υστέρησης	44.74
------------------	-------

Αποτελέσματα:  
EL0513FR5030

Παροχή αιχμής (M3/S)	208.64
Χρονική στιγμή αιχμής	02Sep2000, 23:45
Όγκος (MM)	224.9
Όγκος βροχόπτωσης (M3)	5.71E6
Όγκος απωλειών (M3)	3.22E6
Ενεργός Όγκος (M3)	2.5E6
Όγκος άμεσης απορροής (M3)	2.5E6
Όγκος βασικής απορροής (M3)	5.22E5

Βροχόπτωση και Απορροή



Υπολεκάνη: EL0513FR5031

Έκταση (KM2) : 13.12

Κατάνη : J15

Μέθοδος Απωλειών: SCS

Ποσοστό αδιαπέρατης επιφάνειας	0
Αριθμός Καμπύλης Απορροής-CN	43.01
Αρχικές Απώλειες	67.3

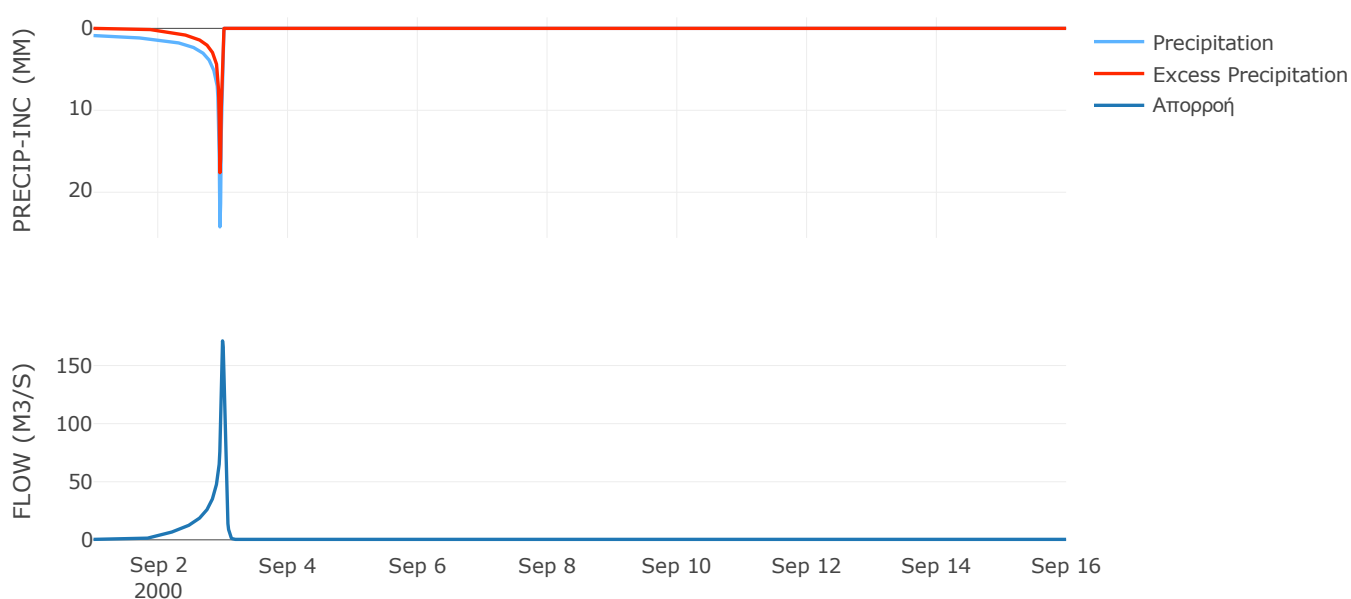
Μέθοδος  
Μετασχηματισμού: SCS

Χρόνος Υστέρησης	45.85
------------------	-------

Αποτελέσματα:  
EL0513FR5031

Παροχή αιχμής (M3/S)	171.21
Χρονική στιγμή αιχμής	02Sep2000, 23:45
Όγκος (MM)	233.46
Όγκος βροχόπτωσης (M3)	5.75E6
Όγκος απωλειών (M3)	3.2E6
Ενεργός Όγκος (M3)	2.55E6
Όγκος άμεσης απορροής (M3)	2.55E6
Όγκος βασικής απορροής (M3)	5.1E5

Βροχόπτωση και Απορροή



Υπολεκάνη: EL0513FR5032

Έκταση (KM2) : 17.35

Κατάντη : J16

Μέθοδος Απωλειών: SCS

Ποσοστό αδιαπέρατης επιφάνειας	0
Αριθμός Καμπύλης Απορροής-CN	30.08
Αρχικές Απώλειες	118.06

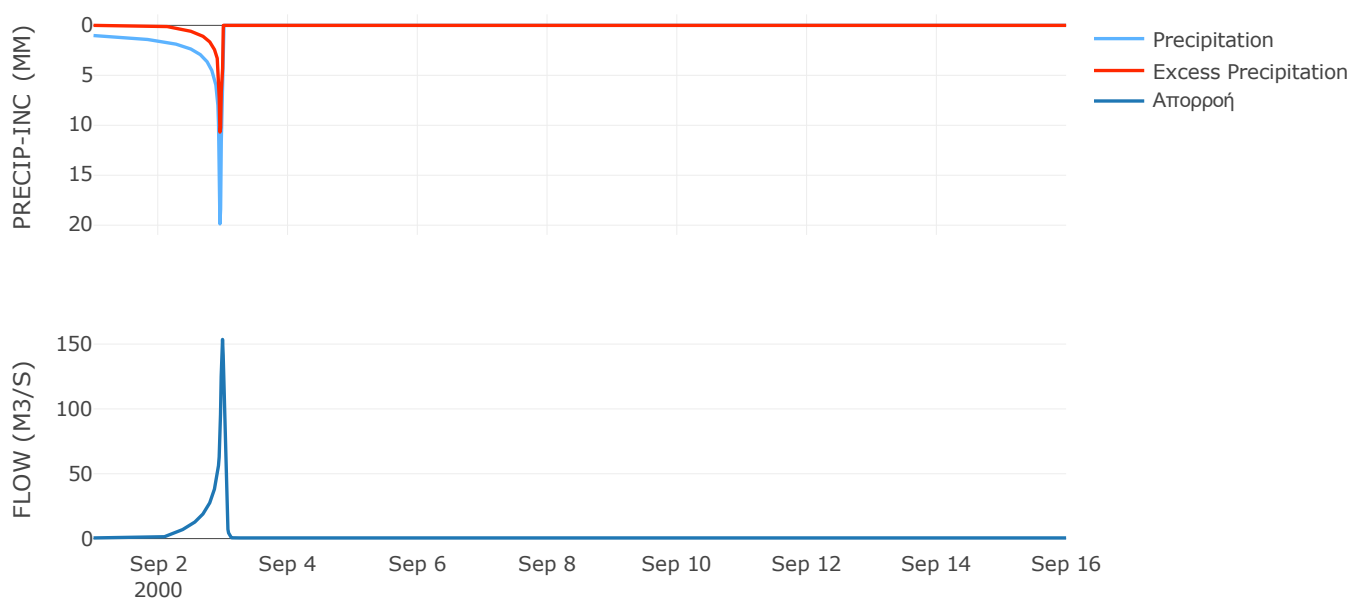
Μέθοδος  
Μετασχηματισμού: SCS

Χρόνος Υστέρησης	38.07
------------------	-------

Αποτελέσματα:  
EL0513FR5032

Παροχή αιχμής (M3/S)	153.61
Χρονική στιγμή αιχμής	02Sep2000, 23:45
Όγκος (MM)	159.57
Όγκος βροχόπτωσης (M3)	7.84E6
Όγκος απωλειών (M3)	5.75E6
Ενεργός Όγκος (M3)	2.09E6
Όγκος άμεσης απορροής (M3)	2.09E6
Όγκος βασικής απορροής (M3)	6.75E5

Βροχόπτωση και Απορροή



Υπολεκάνη: EL0513FR5033

Έκταση (KM2) : 4.63

Κατάνη : J21 Res1

Μέθοδος Απωλειών: SCS

Ποσοστό αδιαπέρατης επιφάνειας	0
Αριθμός Καμπύλης Απορροής-CN	30
Αρχικές Απώλειες	118.53

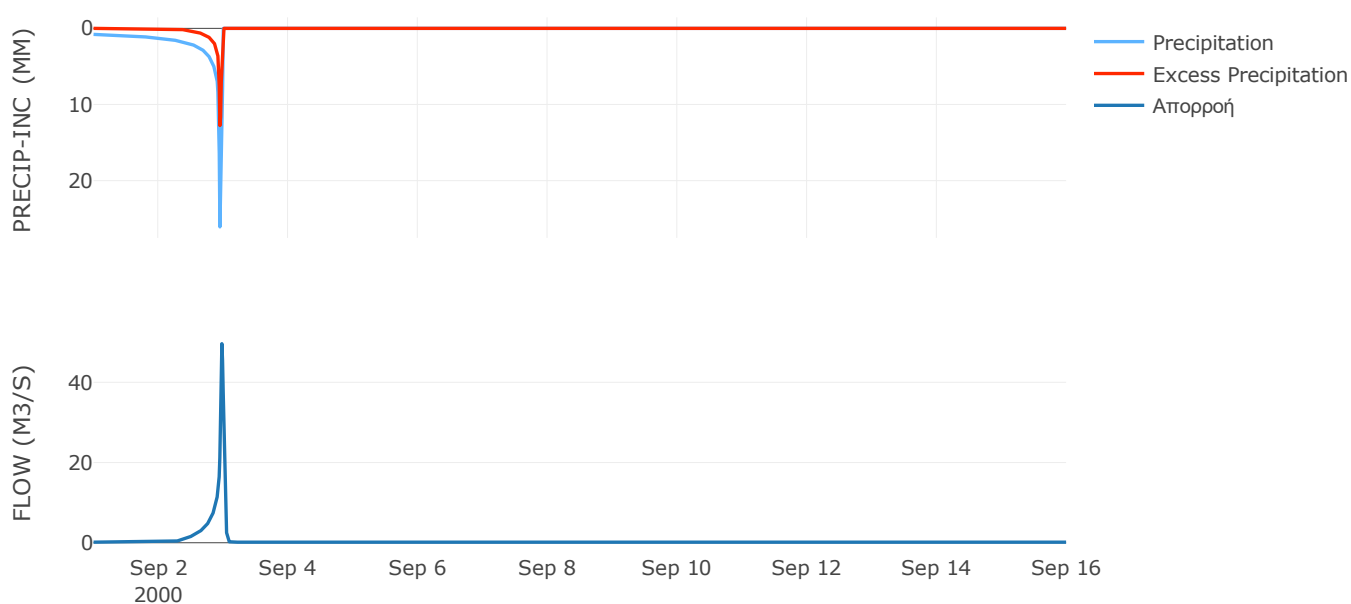
Μέθοδος  
Μετασχηματισμού: SCS

Χρόνος Υστέρησης	28.7
------------------	------

Αποτελέσματα:  
EL0513FR5033

Παροχή αιχμής (M3/S)	49.64
Χρονική στιγμή αιχμής	02Sep2000, 23:30
Όγκος (MM)	141.17
Όγκος βροχόπτωσης (M3)	1.95E6
Όγκος απωλειών (M3)	1.47E6
Ενεργός Όγκος (M3)	4.73E5
Όγκος άμεσης απορροής (M3)	4.73E5
Όγκος βασικής απορροής (M3)	1.8E5

Βροχόπτωση και Απορροή



## 9.2 Δεδομένα και υδρογραφήματα σχεδιασμού Κλάδων υδρογραφικού δικτύου

Κλάδος: R21

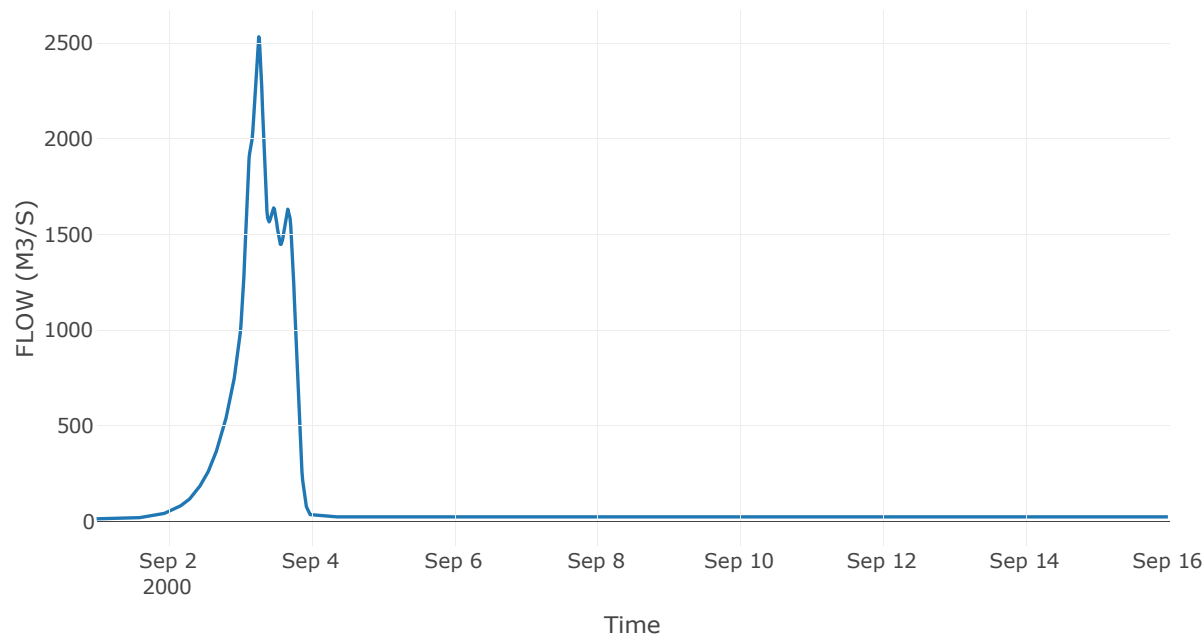
Κατάντη : J1

Μέθοδος Διόδευσης	Muskingum
Αρχική Μεταβλητή	Combined Inflow
Χρόνος Ροής K	1.01
Συντελεστής βάρους x	0.2
Πλήθος Υποκλάδων	5

Αποτελέσματα: R21

Παροχή Αιχμής(M3/S)	2531.99
Χρονική στιγμή αιχμής	03Sep2000, 06:30
Όγκος(MM)	214.71
Παροχή Αιχμής Εισόδου (M3/S)	2563.47
Όγκος Εισροής(M3)	1.74E8

Απορροή





Κλάδος: R32

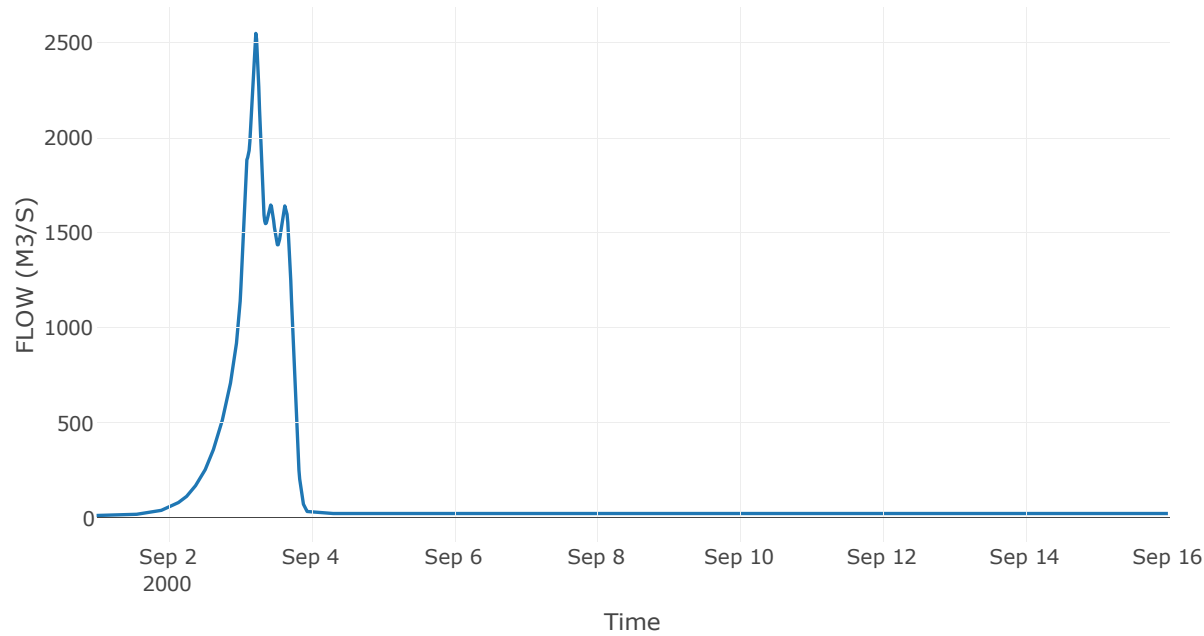
Κατάντη : J2

Μέθοδος Διόδευσης	Muskingum
Αρχική Μεταβλητή	Combined Inflow
Χρόνος Ροής K	1.56
Συντελεστής βάρους x	0.2
Πλήθος Υποκλάδων	7

Αποτελέσματα: R32

Παροχή Αιχμής(M3/S)	2549.38
Χρονική στιγμή αιχμής	03Sep2000, 05:30
Όγκος(MM)	214.24
Παροχή Αιχμής Εισόδου (M3/S)	2611.27
Όγκος Εισροής(M3)	1.72E8

Απορροή



Κλάδος: R43

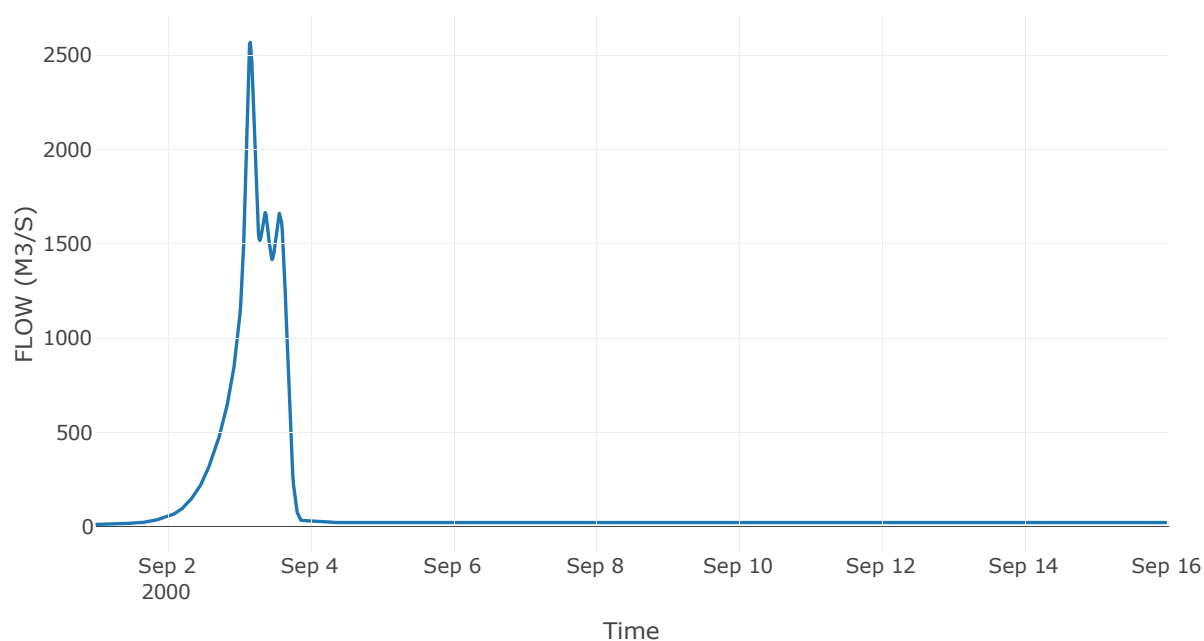
Κατάντη : J3

Μέθοδος Διόδευσης	Muskingum
Αρχική Μεταβλητή	Combined Inflow
Χρόνος Ροής K	2.97
Συντελεστής βάρους x	0.2
Πλήθος Υποκλάδων	14

Αποτελέσματα: R43

Παροχή Αιχμής(M3/S)	2566.66
Χρονική στιγμή αιχμής	03Sep2000, 04:00
Όγκος(MM)	211.55
Παροχή Αιχμής Εισόδου (M3/S)	2718.39
Όγκος Εισροής(M3)	1.57E8

Απορροή



Κλάδος: R54

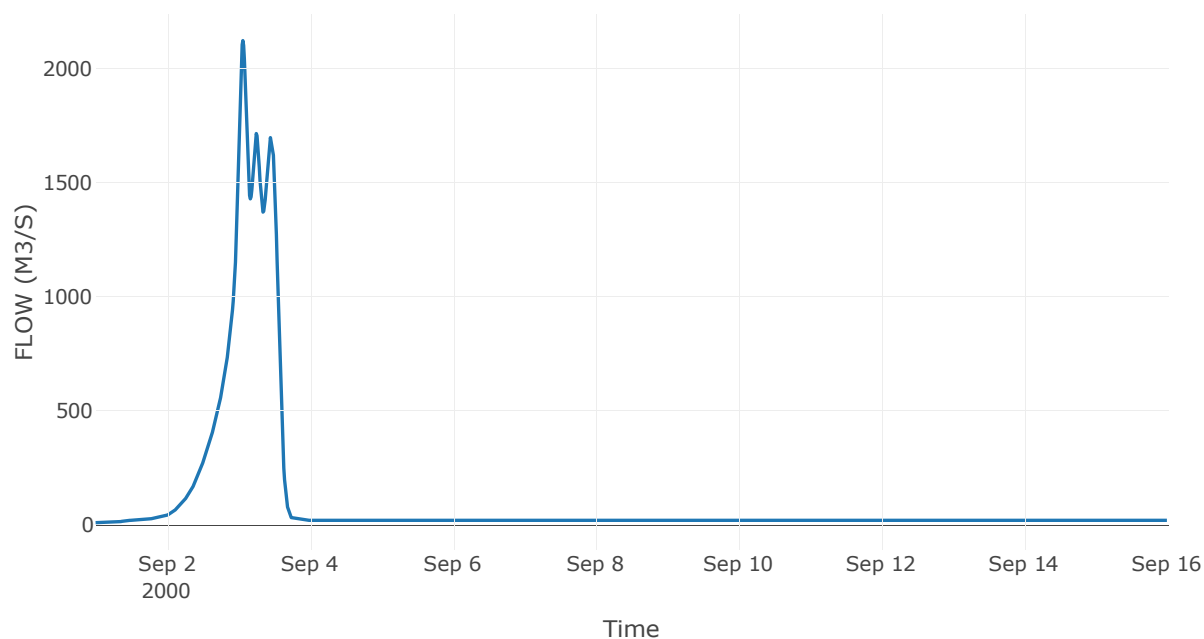
Κατάντη : J4

Μέθοδος Διόδευσης	Muskingum
Αρχική Μεταβλητή	Combined Inflow
Χρόνος Ροής K	0.13
Συντελεστής βάρους x	0.2
Πλήθος Υποκλάδων	1

Αποτελέσματα: R54

Παροχή Αιχμής(M3/S)	2122.69
Χρονική στιγμή αιχμής	03Sep2000, 01:30
Όγκος(MM)	206.48
Παροχή Αιχμής Εισόδου (M3/S)	2122.38
Όγκος Εισροής(M3)	1.39E8

Απορροή



Κλάδος: R65

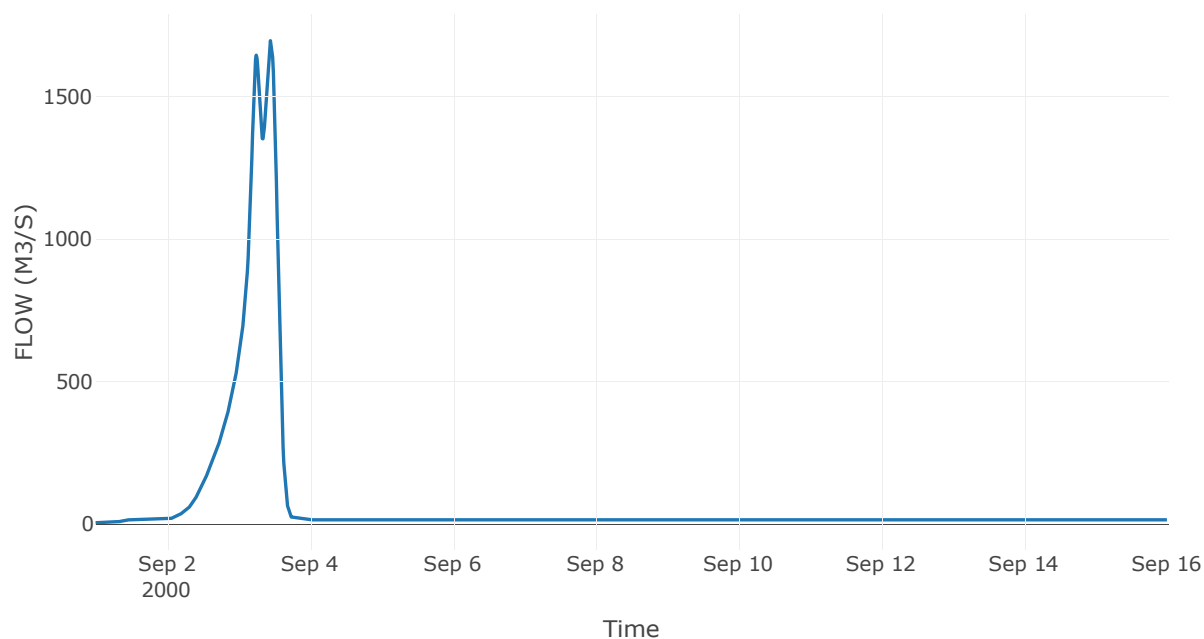
Κατάντη : J5

Μέθοδος Διόδευσης	Muskingum
Αρχική Μεταβλητή	Combined Inflow
Χρόνος Ροής K	3.58
Συντελεστής βάρους x	0.2
Πλήθος Υποκλάδων	17

Αποτελέσματα: R65

Παροχή Αιχμής(M3/S)	1697.59
Χρονική στιγμή αιχμής	03Sep2000, 10:45
Όγκος(MM)	203.91
Παροχή Αιχμής Εισόδου (M3/S)	1767.04
Όγκος Εισροής(M3)	9.73E7

Απορροή



Κλάδος: R76

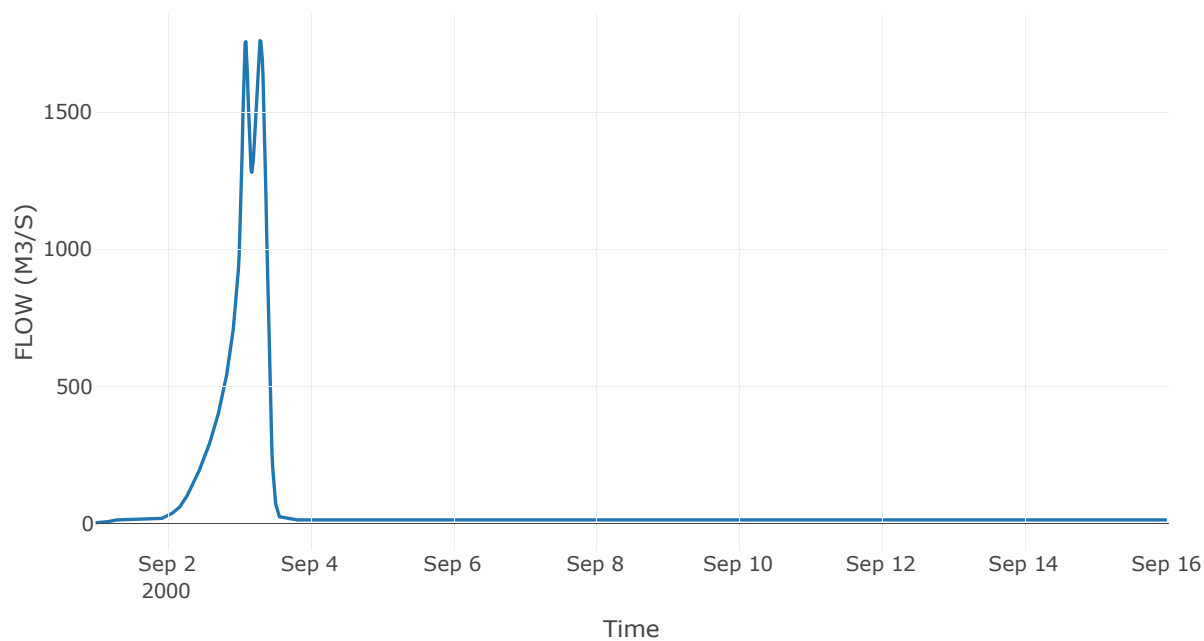
Κατάντη : J6

Μέθοδος Διόδευσης	Muskingum
Αρχική Μεταβλητή	Combined Inflow
Χρόνος Ροής K	1.49
Συντελεστής βάρους x	0.2
Πλήθος Υποκλάδων	7

Αποτελέσματα: R76

Παροχή Αιχμής(M3/S)	1759.37
Χρονική στιγμή αιχμής	03Sep2000, 07:15
Όγκος(MM)	203.83
Παροχή Αιχμής Εισόδου (M3/S)	1841.54
Όγκος Εισροής(M3)	9.64E7

Απορροή



Κλάδος: R87

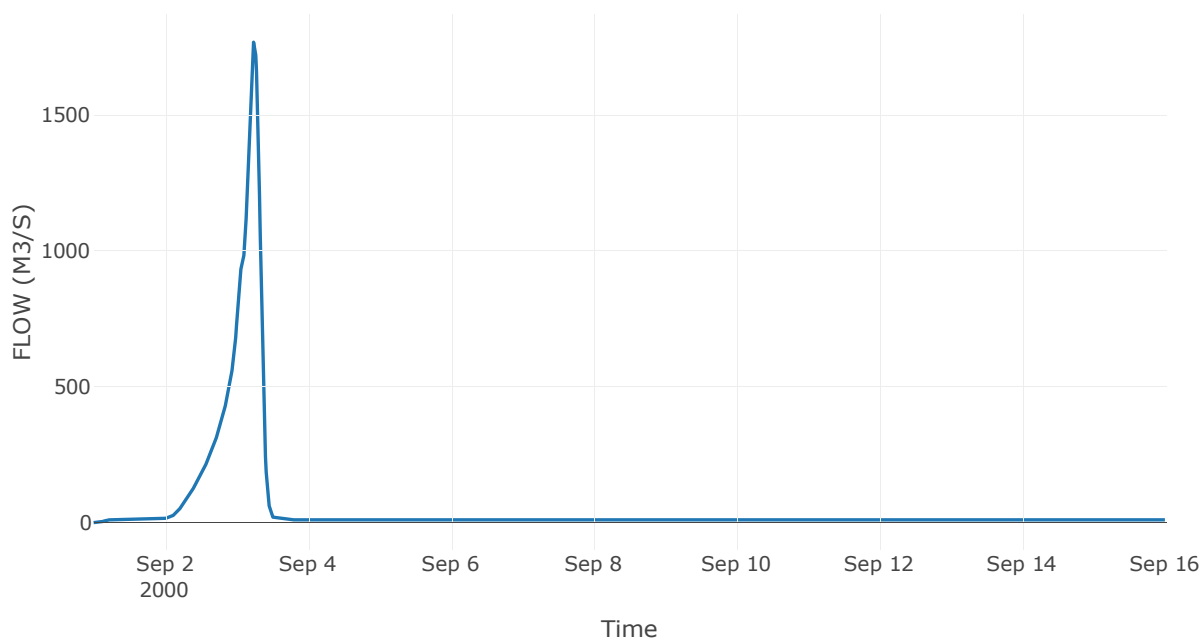
Κατάντη : J7

Μέθοδος Διόδευσης	Muskingum
Αρχική Μεταβλητή	Combined Inflow
Χρόνος Ροής K	0.94
Συντελεστής βάρους x	0.2
Πλήθος Υποκλάδων	5

Αποτελέσματα: R87

Παροχή Αιχμής(M3/S)	1773.21
Χρονική στιγμή αιχμής	03Sep2000, 06:00
Όγκος(MM)	201.73
Παροχή Αιχμής Εισόδου (M3/S)	1791.35
Όγκος Εισροής(M3)	7.29E7

Απορροή



Κλάδος: R218

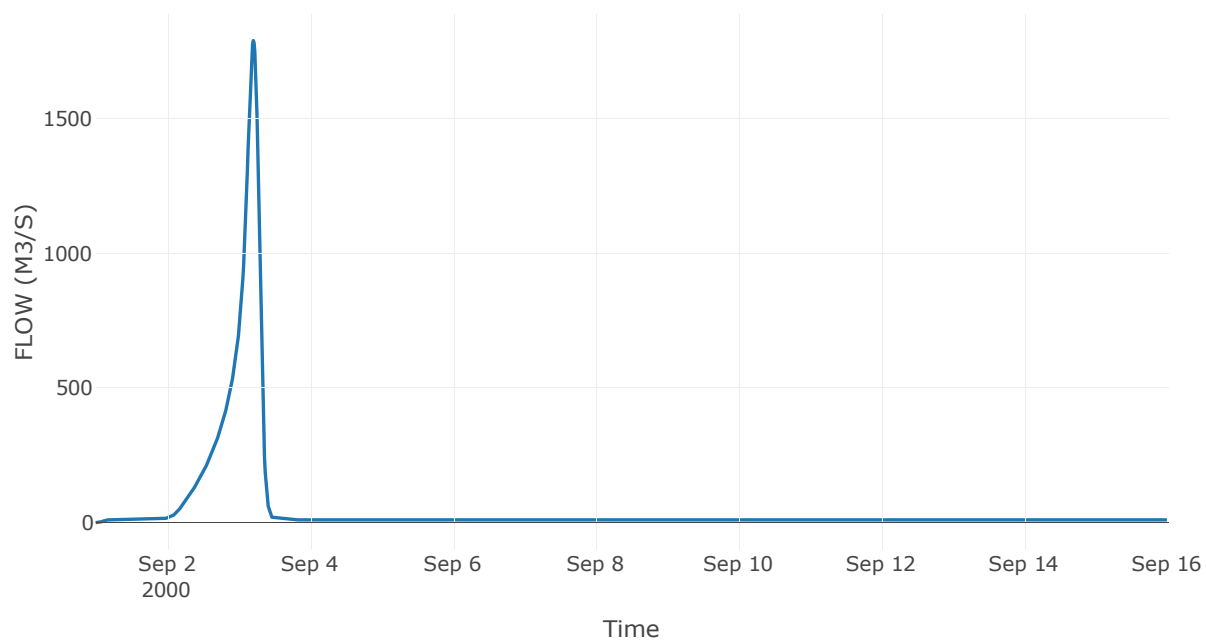
Κατάντη : J8

Μέθοδος Διόδευσης	Muskingum
Αρχική Μεταβλητή	Combined Inflow
Χρόνος Ροής K	1.85
Συντελεστής βάρους x	0.2
Πλήθος Υποκλάδων	9

Αποτελέσματα: R218

Παροχή Αιχμής(M3/S)	1790.64
Χρονική στιγμή αιχμής	03Sep2000, 05:00
Όγκος(MM)	202.54
Παροχή Αιχμής Εισόδου (M3/S)	1829.82
Όγκος Εισροής(M3)	6.94E7

Απορροή



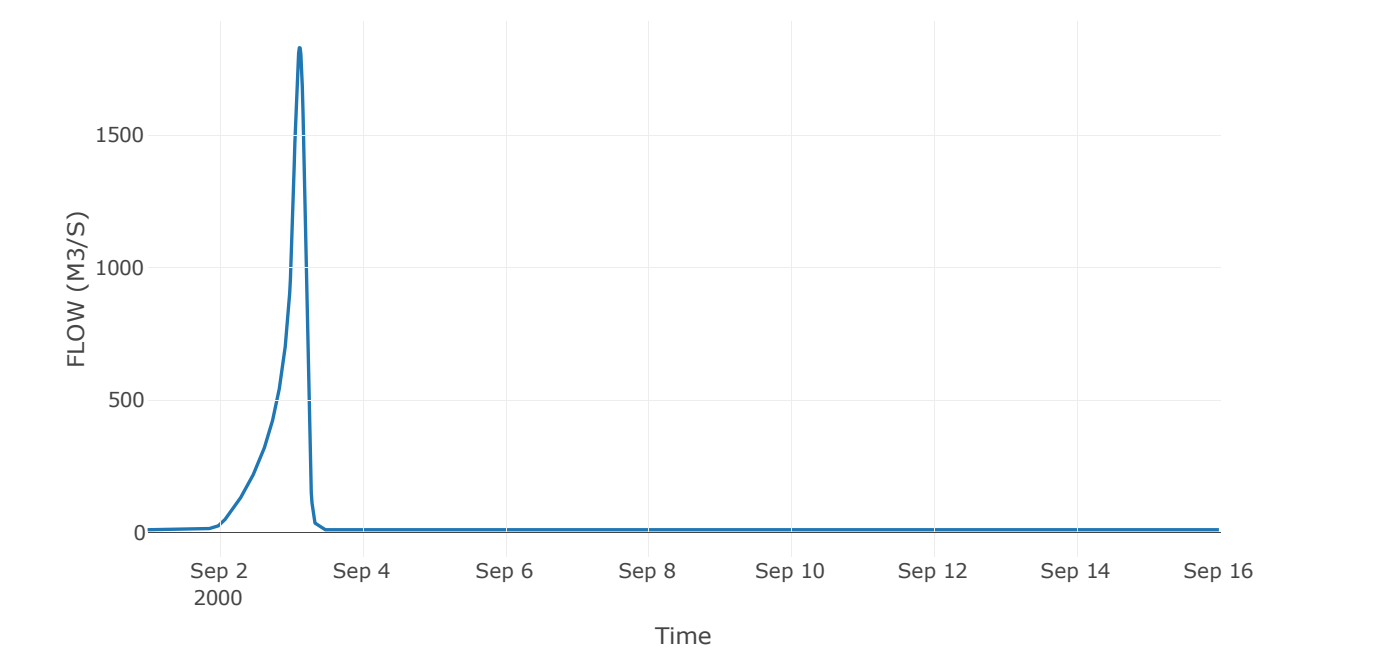
Κλάδος: R921

Κατάντη : J21 Res1

Μέθοδος Διόδευσης	Muskingum
Αρχική Μεταβλητή	Combined Inflow
Χρόνος Ροής K	1.31
Συντελεστής βάρους x	0.2
Πλήθος Υποκλάδων	6

Αποτελέσματα: R921	
Παροχή Αιχμής(M3/S)	1829.55
Χρονική στιγμή αιχμής	03Sep2000, 03:00
Όγκος(MM)	203.65
Παροχή Αιχμής Εισόδου (M3/S)	1860.42
Όγκος Εισροής(M3)	6.88E7

Απορροή





Κλάδος: R109

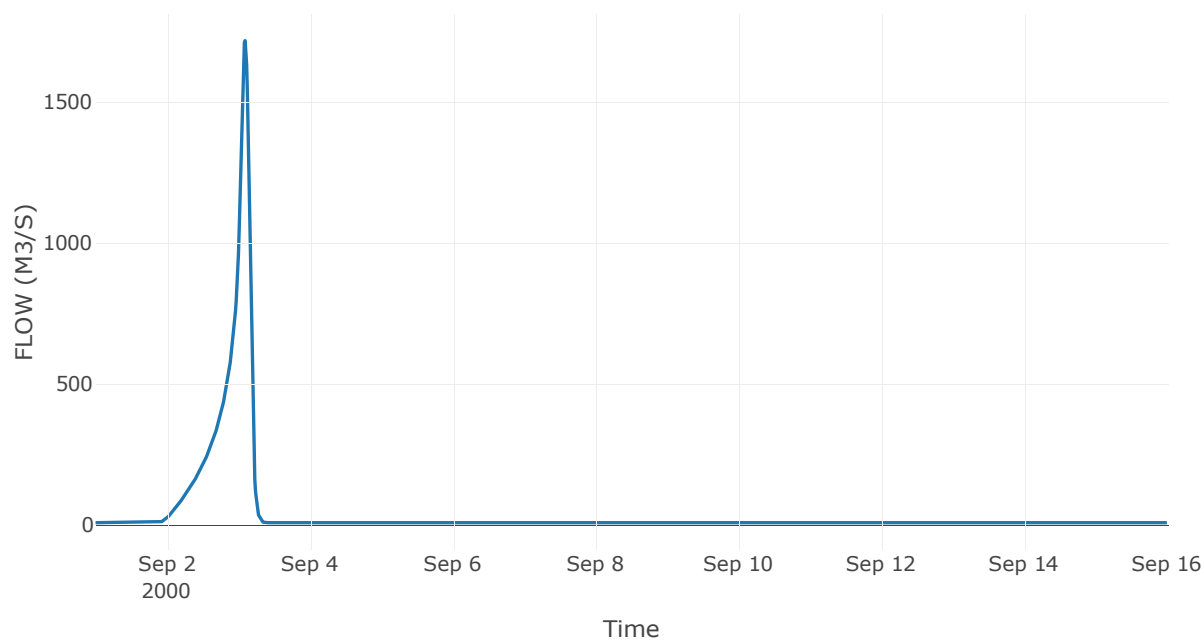
Κατάντη : J9

Μέθοδος Διόδευσης	Muskingum
Αρχική Μεταβλητή	Combined Inflow
Χρόνος Ροής K	1.52
Συντελεστής βάρους x	0.2
Πλήθος Υποκλάδων	7

Αποτελέσματα: R109

Παροχή Αιχμής(M3/S)	1717.92
Χρονική στιγμή αιχμής	03Sep2000, 02:15
Όγκος(MM)	204.1
Παροχή Αιχμής Εισόδου (M3/S)	1759.35
Όγκος Εισροής(M3)	5.7E7

Απορροή



Κλάδος: R1110

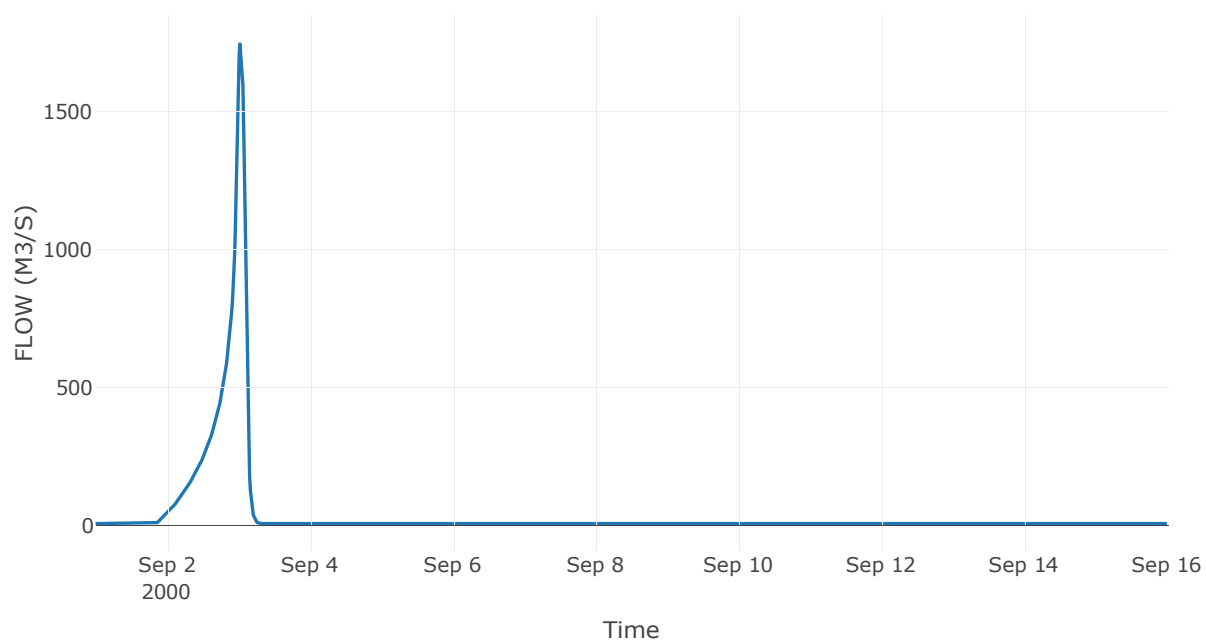
Κατάντη : J10

Μέθοδος Διόδευσης	Χρόνος Υστέρησης
Αρχική Μεταβλητή	Combined Inflow
Χρόνος Υστέρησης	5.86

Αποτελέσματα: R1110

Παροχή Αιχμής(M3/S)	1753.46
Χρονική στιγμή αιχμής	03Sep2000, 00:45
Όγκος(MM)	204.55
Παροχή Αιχμής Εισόδου (M3/S)	1753.72
Όγκος Εισροής(M3)	5.63E7

Απορροή



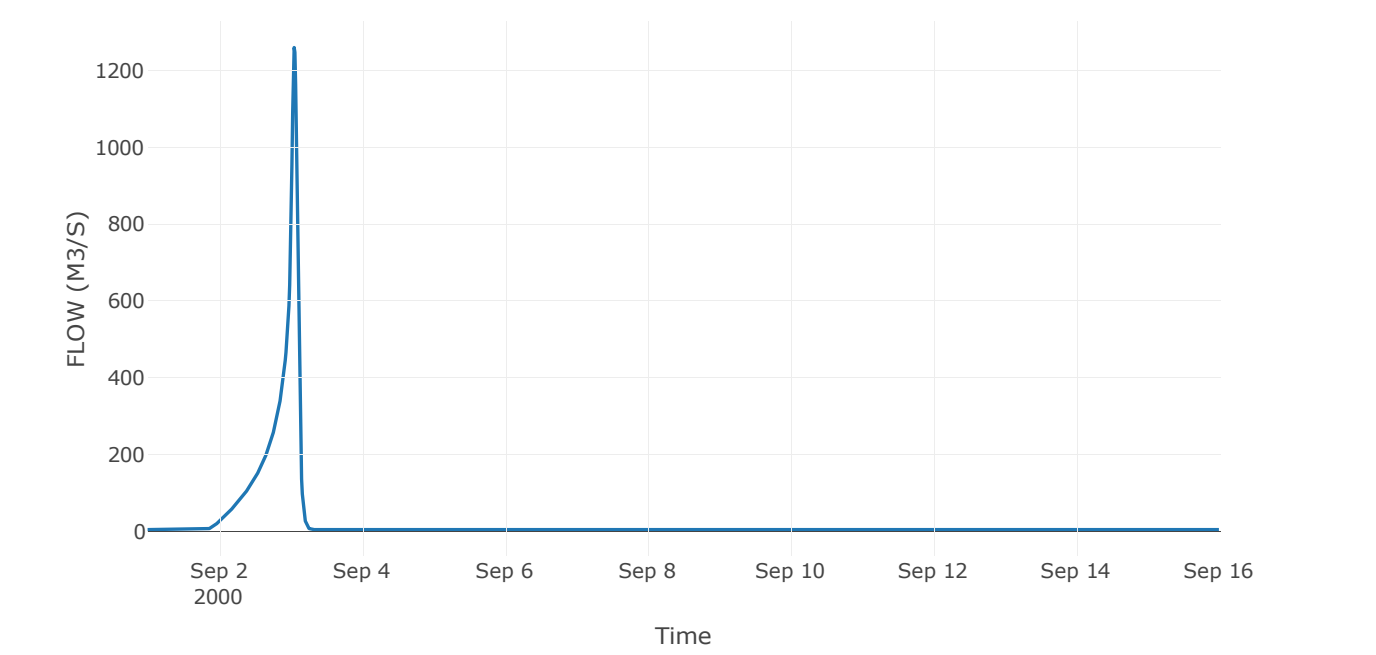
Κλάδος: R1211

Κατάντη : J11

Μέθοδος Διόδευσης	Muskingum
Αρχική Μεταβλητή	Combined Inflow
Χρόνος Ροής K	1.32
Συντελεστής βάρους x	0.2
Πλήθος Υποκλάδων	6

Αποτελέσματα: R1211	
Παροχή Αιχμής(M3/S)	1260.09
Χρονική στιγμή αιχμής	03Sep2000, 01:15
Όγκος(MM)	212.79
Παροχή Αιχμής Εισόδου (M3/S)	1381.98
Όγκος Εισροής(M3)	3.26E7

Απορροή



Κλάδος: R1312

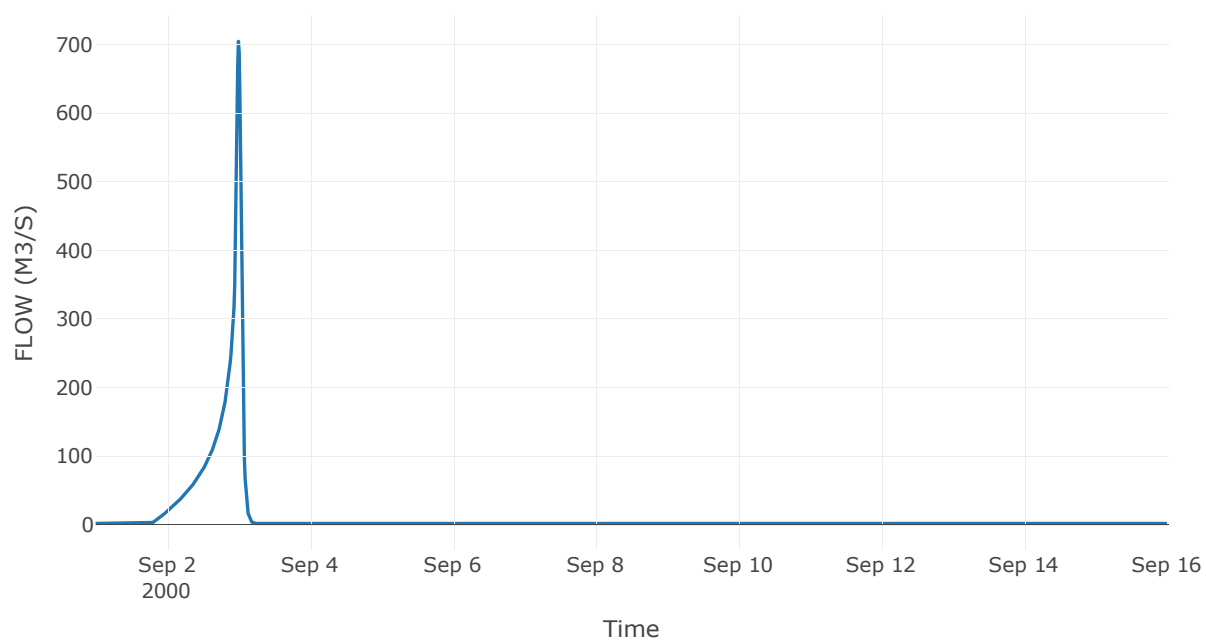
Κατάντη : J12

Μέθοδος Διόδευσης	Χρόνος Υστέρησης
Αρχική Μεταβλητή	Combined Inflow
Χρόνος Υστέρησης	8.37

Αποτελέσματα: R1312

Παροχή Αιχμής(M3/S)	704.31
Χρονική στιγμή αιχμής	02Sep2000, 24:00
Όγκος(MM)	221.82
Παροχή Αιχμής Εισόδου (M3/S)	709.34
Όγκος Εισροής(M3)	1.64E7

Απορροή



Κλάδος: R147

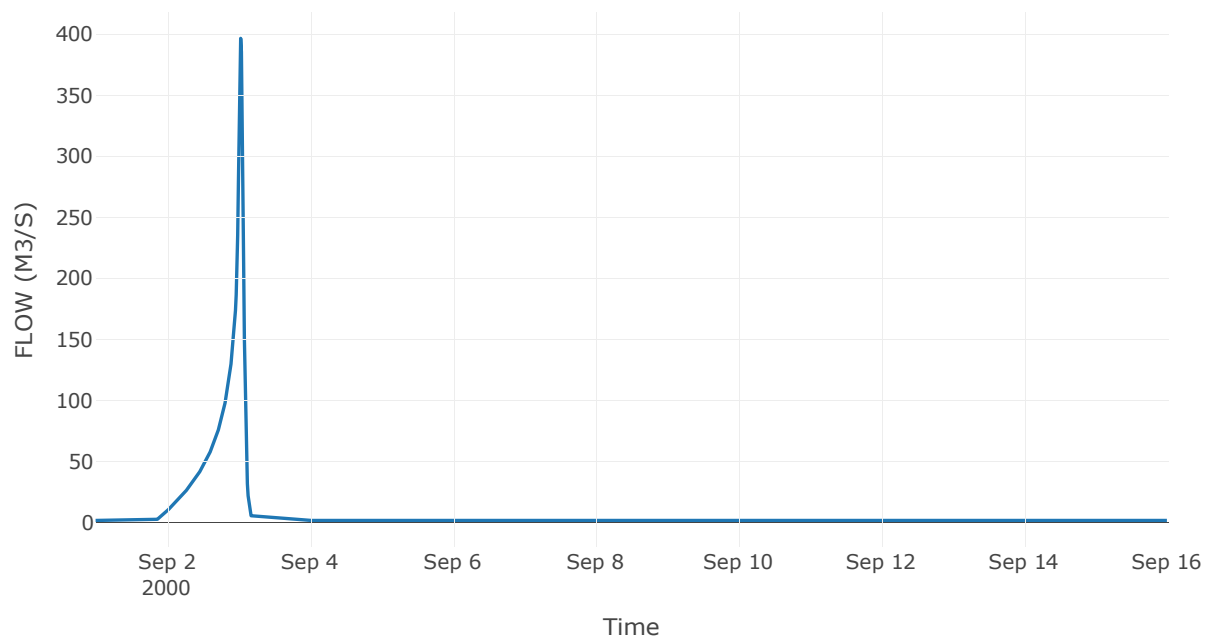
Κατάντη : J7

Μέθοδος Διόδευσης	Χρόνος Υστέρησης
Αρχική Μεταβλητή	Combined Inflow
Χρόνος Υστέρησης	50.06

Αποτελέσματα: R147

Παροχή Αιχμής(M3/S)	396.63
Χρονική στιγμή αιχμής	03Sep2000, 00:45
Όγκος(MM)	197.8
Παροχή Αιχμής Εισόδου (M3/S)	400.02
Όγκος Εισροής(M3)	9.76E6

Απορροή



Κλάδος: R155

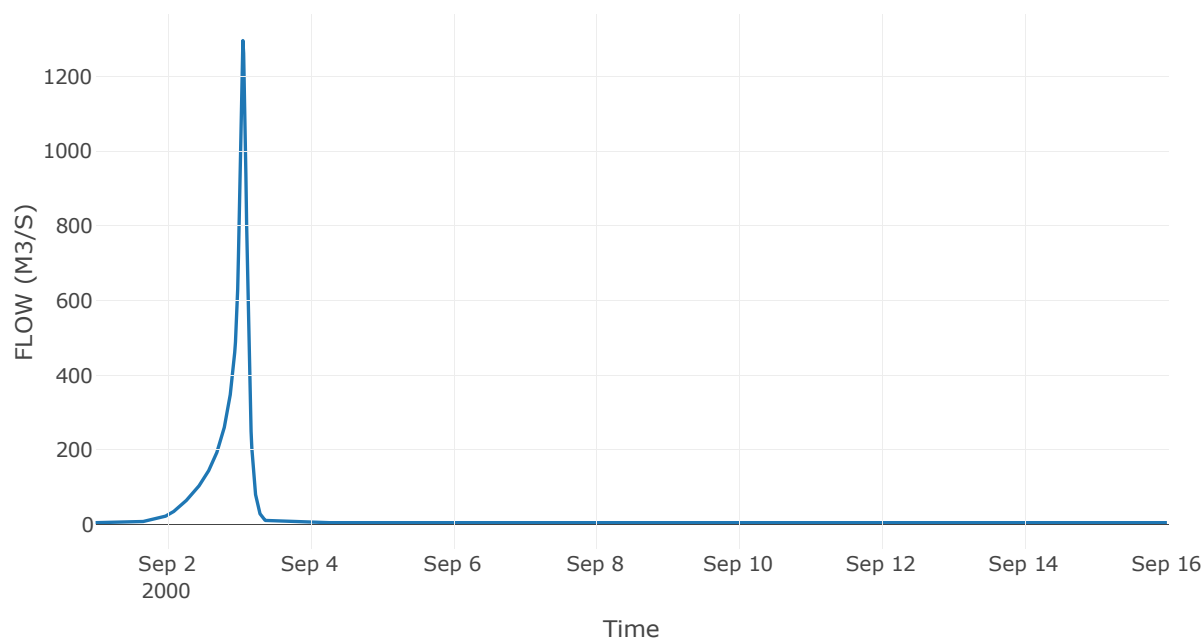
Κατάντη : J5

Μέθοδος Διόδευσης	Muskingum
Αρχική Μεταβλητή	Combined Inflow
Χρόνος Ροής K	0.94
Συντελεστής βάρους x	0.2
Πλήθος Υποκλάδων	5

Αποτελέσματα: R155

Παροχή Αιχμής(M3/S)	1296.58
Χρονική στιγμή αιχμής	03Sep2000, 01:30
Όγκος(MM)	214.42
Παροχή Αιχμής Εισόδου (M3/S)	1347.43
Όγκος Εισροής(M3)	3.47E7

Απορροή



Κλάδος: R1615

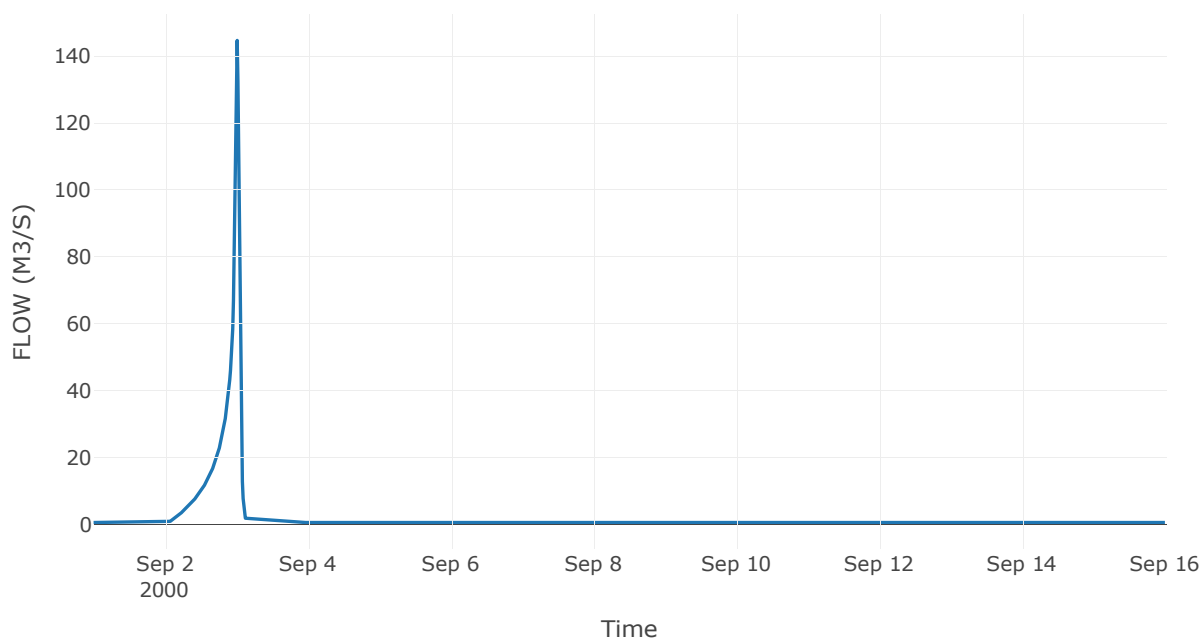
Κατάντη : J15

Μέθοδος Διόδευσης	Muskingum
Αρχική Μεταβλητή	Combined Inflow
Χρόνος Ροής K	0.46
Συντελεστής βάρους x	0.2
Πλήθος Υποκλάδων	2

Αποτελέσματα: R1615

Παροχή Αιχμής(M3/S)	144.66
Χρονική στιγμή αιχμής	03Sep2000, 00:15
Όγκος(MM)	159.57
Παροχή Αιχμής Εισόδου (M3/S)	153.61
Όγκος Εισροής(M3)	2.77E6

Απορροή



Κλάδος: R1715

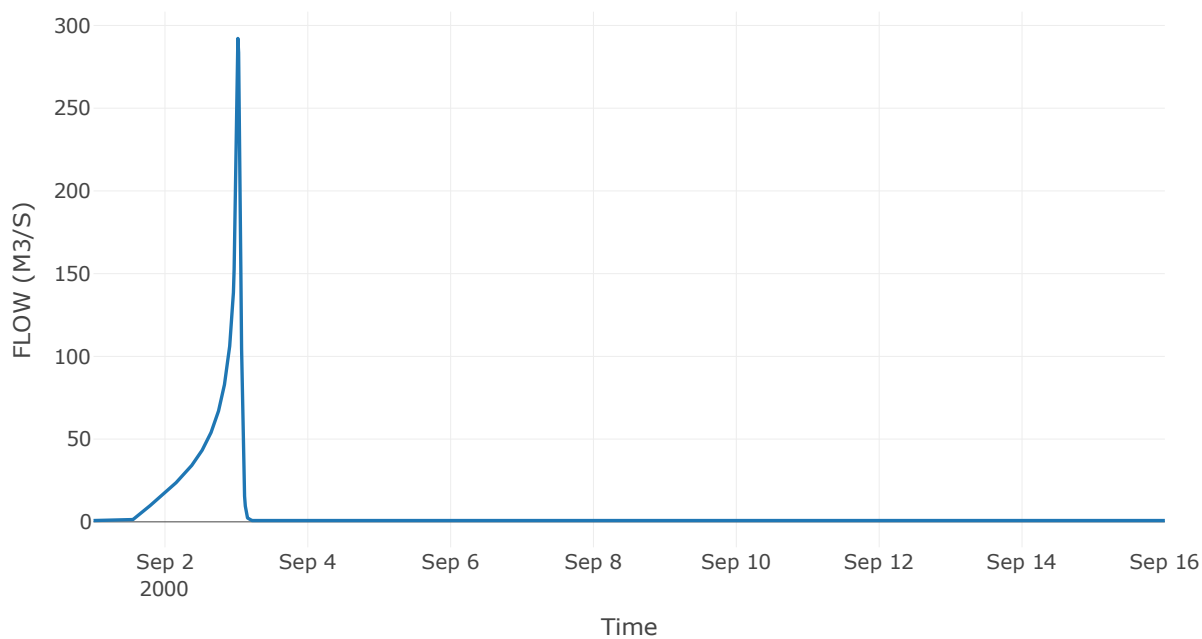
Κατάντη : J15

Μέθοδος Διόδευσης	Muskingum
Αρχική Μεταβλητή	Combined Inflow
Χρόνος Ροής K	0.83
Συντελεστής βάρους x	0.2
Πλήθος Υποκλάδων	4

Αποτελέσματα: R1715

Παροχή Αιχμής(M3/S)	292.15
Χρονική στιγμή αιχμής	03Sep2000, 00:30
Όγκος(MM)	291.46
Παροχή Αιχμής Εισόδου (M3/S)	315.25
Όγκος Εισροής(M3)	7.63E6

Απορροή





Κλάδος: R184

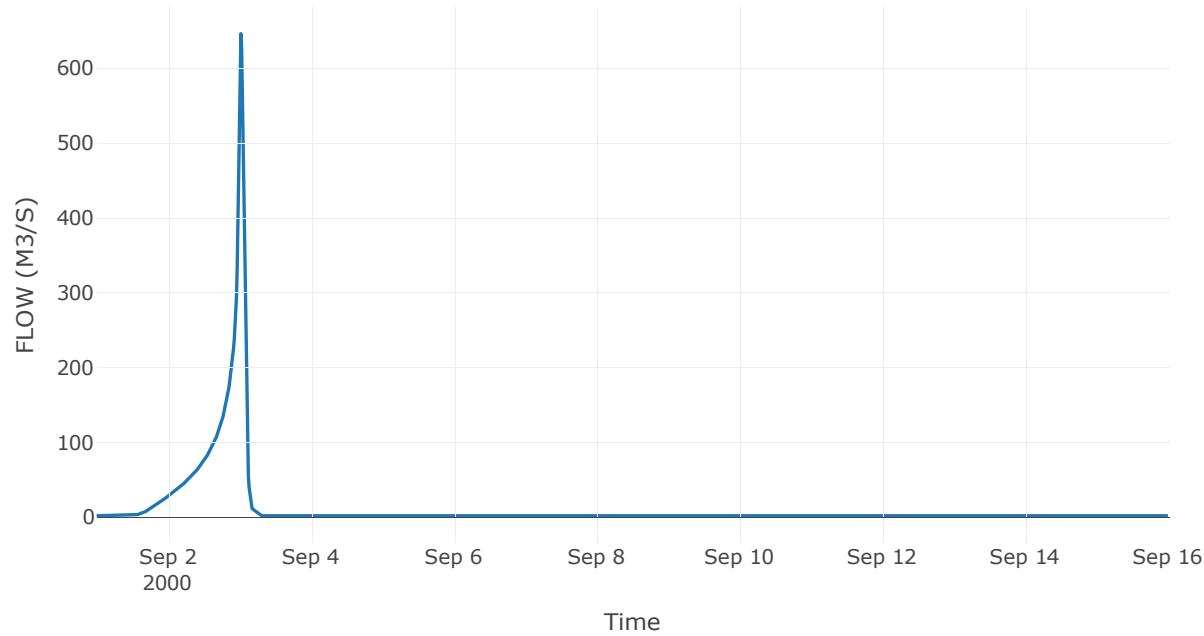
Κατάντη : J4

Μέθοδος Διόδευσης	Muskingum
Αρχική Μεταβλητή	Combined Inflow
Χρόνος Ροής K	0.46
Συντελεστής βάρους x	0.2
Πλήθος Υποκλάδων	2

Αποτελέσματα: R184

Παροχή Αιχμής(M3/S)	646.15
Χρονική στιγμή αιχμής	03Sep2000, 00:30
Όγκος(MM)	259.12
Παροχή Αιχμής Εισόδου (M3/S)	669.9
Όγκος Εισροής(M3)	1.58E7

Απορροή



Κλάδος: R193

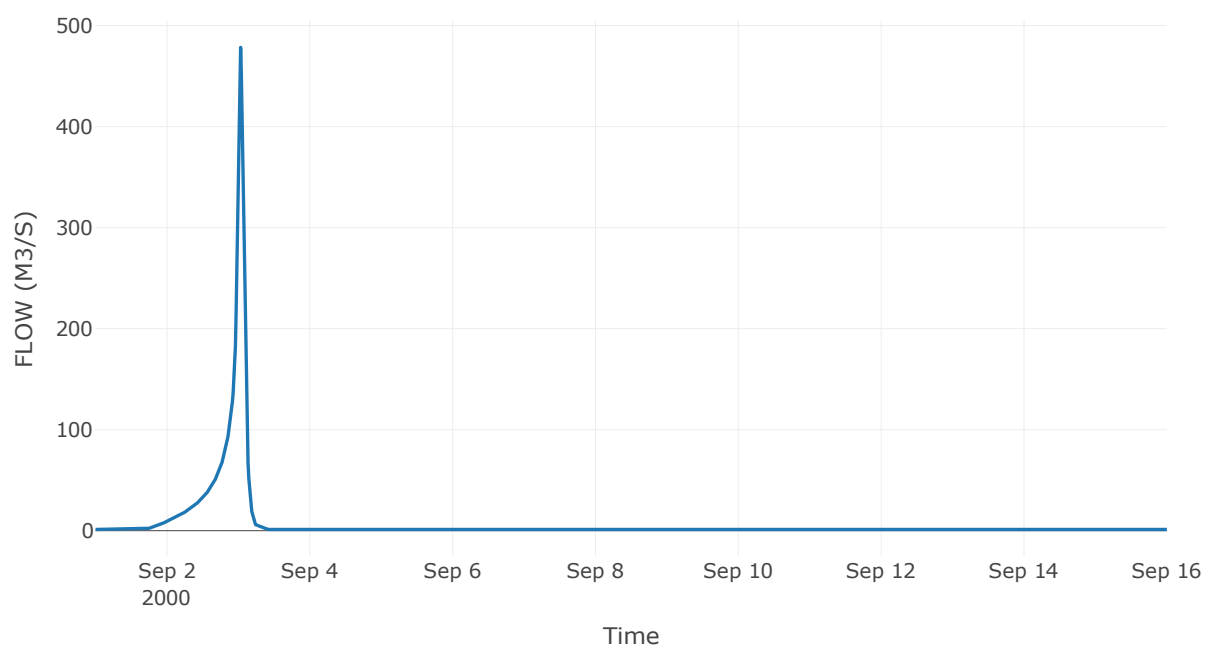
Κατάντη : J3

Μέθοδος Διόδευσης	Muskingum
Αρχική Μεταβλητή	Combined Inflow
Χρόνος Ροής K	0.22
Συντελεστής βάρους x	0.2
Πλήθος Υποκλάδων	1

Αποτελέσματα: R193

Παροχή Αιχμής(M3/S)	478.4
Χρονική στιγμή αιχμής	03Sep2000, 00:45
Όγκος(MM)	245.66
Παροχή Αιχμής Εισόδου (M3/S)	486.47
Όγκος Εισροής(M3)	9.93E6

Απορροή



Κλάδος: R2019

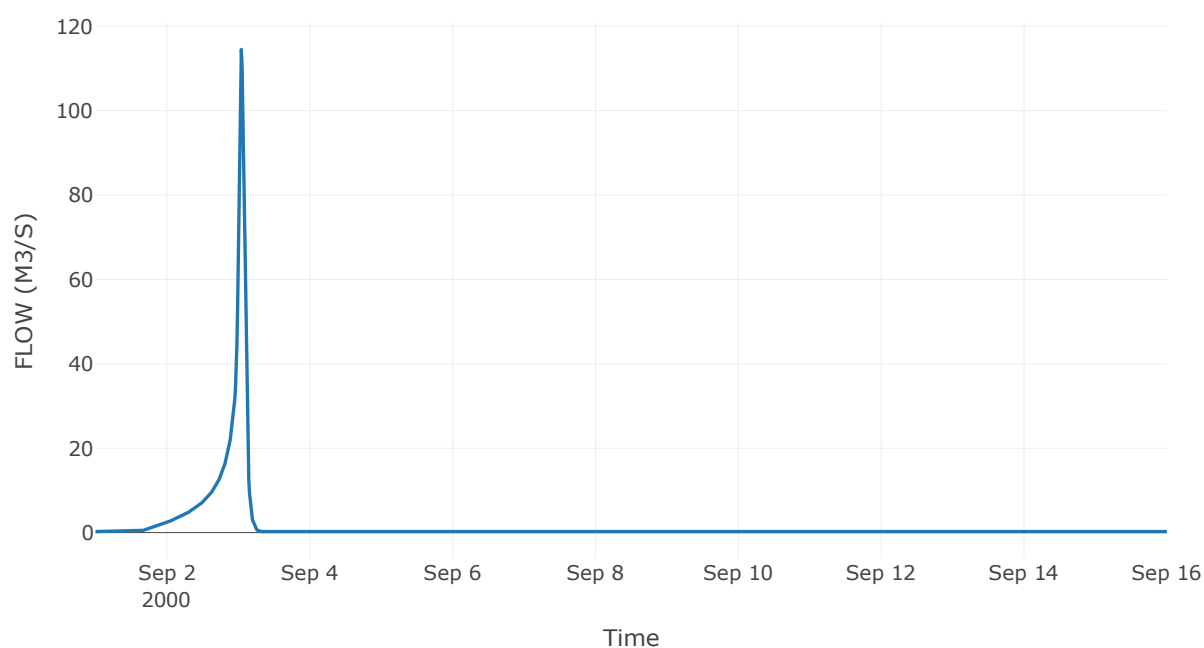
Κατάντη : J19

Μέθοδος Διόδευσης	Muskingum
Αρχική Μεταβλητή	Combined Inflow
Χρόνος Ροής K	0.73
Συντελεστής βάρους x	0.2
Πλήθος Υποκλάδων	4

Αποτελέσματα: R2019

Παροχή Αιχμής(M3/S)	114.5
Χρονική στιγμή αιχμής	03Sep2000, 01:00
Όγκος(MM)	265.5
Παροχή Αιχμής Εισόδου (M3/S)	120.16
Όγκος Εισροής(M3)	2.18E6

Απορροή



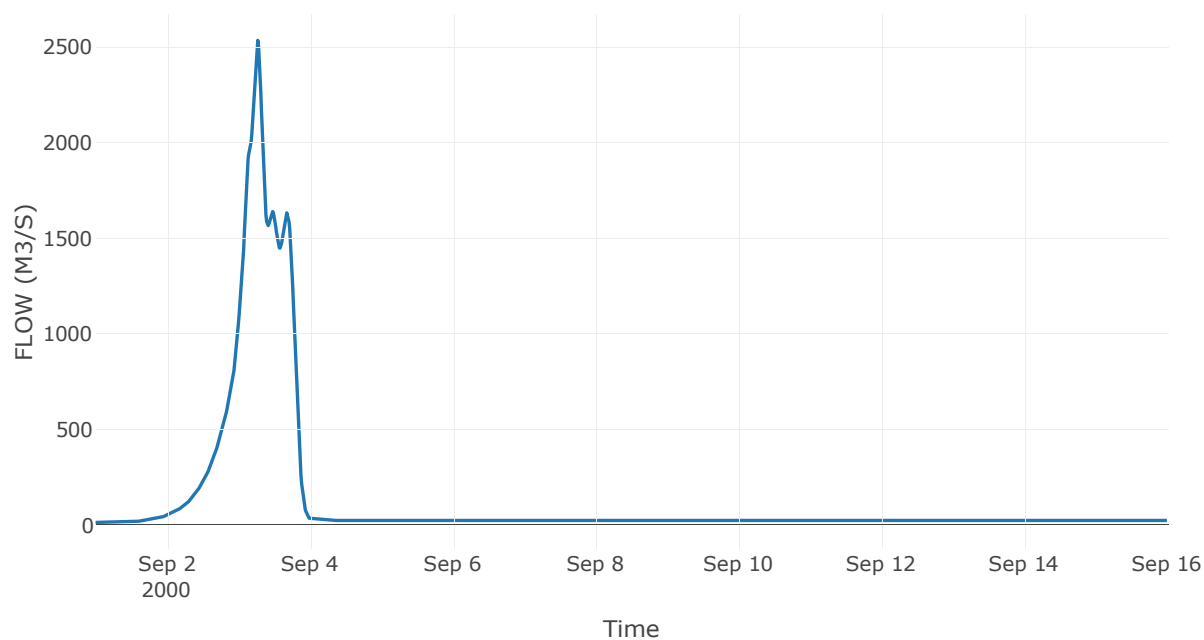
## 9.3 Δεδομένα και υδρογραφήματα σχεδιασμού Κόμβων υδρογραφικού δικτύου

Κόμβος εξόδου: J1

Αποτελέσμα  
τα: J1

Παροχή αιχμής (M3/S)	2532.83
Χρονική στιγμή αιχμής	03Sep2000, 06:30
Όγκος (MM)	215.15

Απορροή



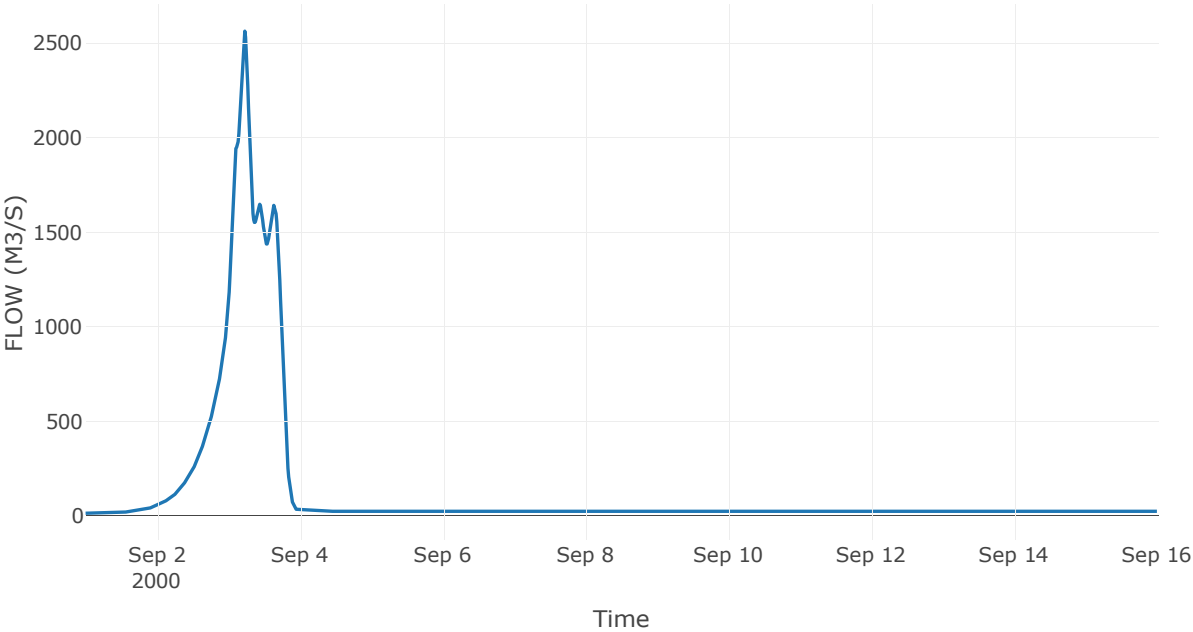
Κόμβος: J2

Κατάντη : R21

Αποτελέσματα: J2

Παροχή Αιχμής(M3/S)	2563.47
Χρονική στιγμή αιχμής	03Sep2000, 05:30
Όγκος(MM)	214.76

Απορροή



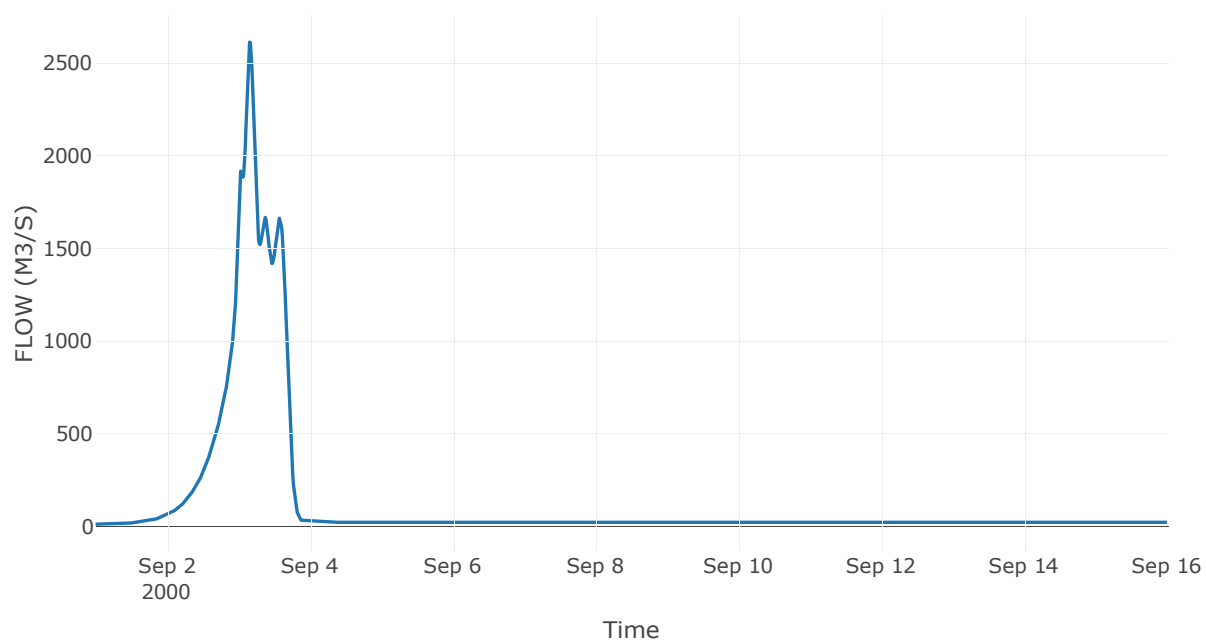
Κόμβος: J3

Κατάντη : R32

Αποτελέσματα: J3

Παροχή Αιχμής(M3/S)	2611.27
Χρονική στιγμή αιχμής	03Sep2000, 03:45
Όγκος(MM)	214.31

Απορροή



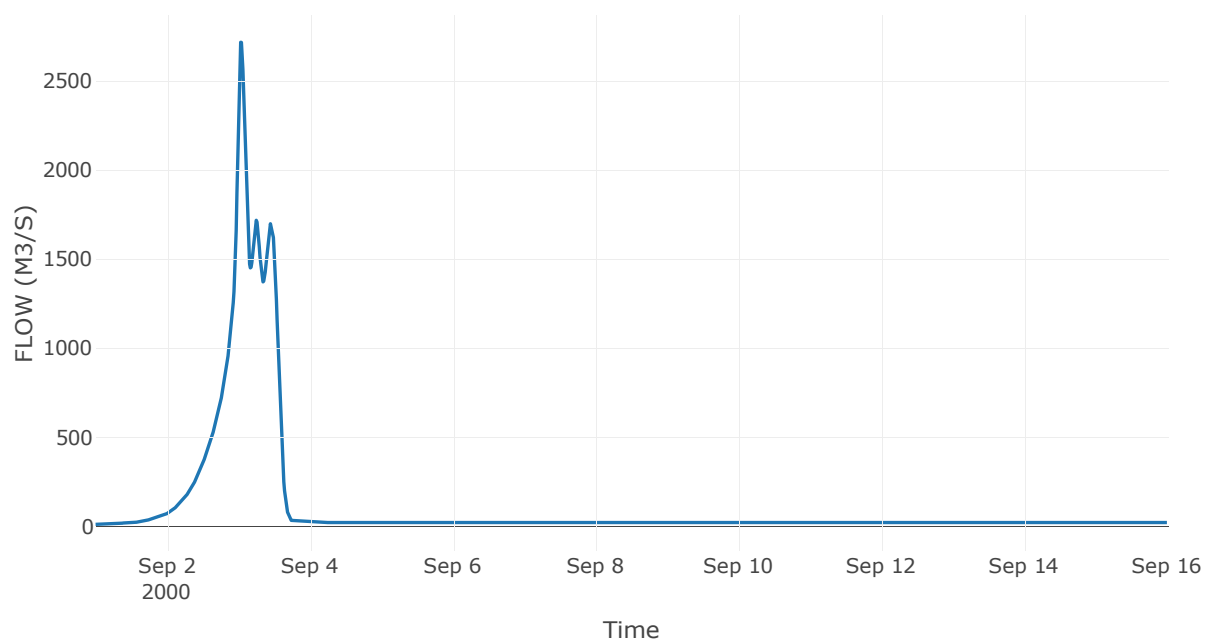
Κόμβος: J4

Κατάντη : R43

Αποτελέσματα: J4

Παροχή Αιχμής(M3/S)	2718.39
Χρονική στιγμή αιχμής	03Sep2000, 00:45
Όγκος(MM)	211.7

Απορροή



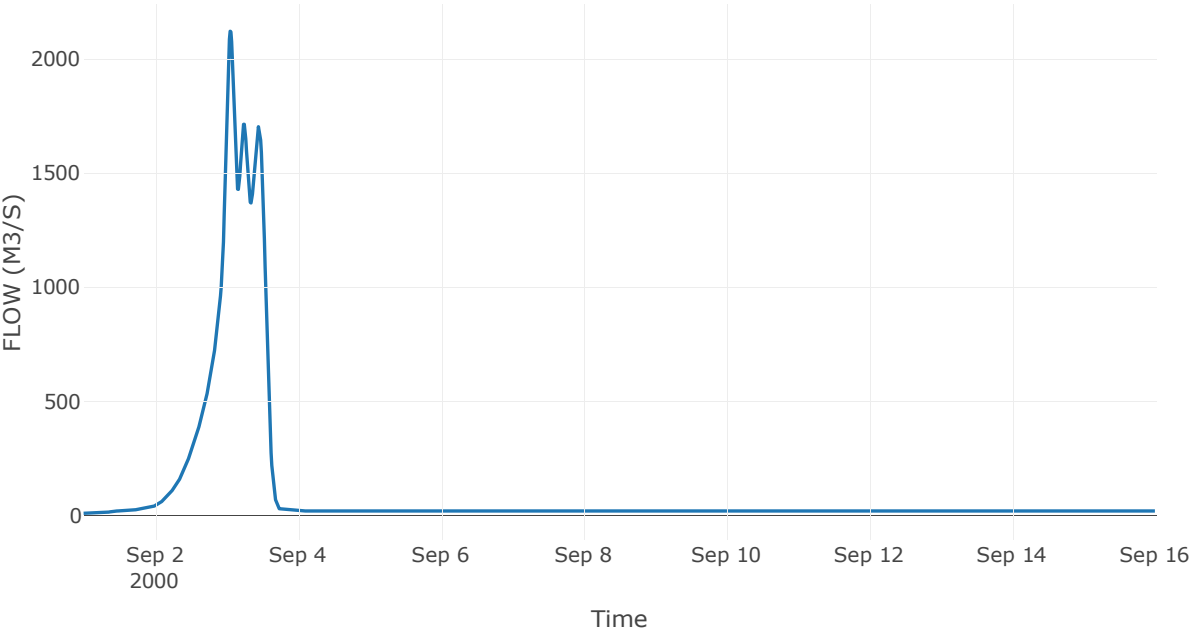
Κόμβος: J5

Κατάντη : R54

Αποτελέσματα: J5

Παροχή Αιχμής(M3/S)	2122.38
Χρονική στιγμή αιχμής	03Sep2000, 01:15
Όγκος(MM)	206.49

Απορροή





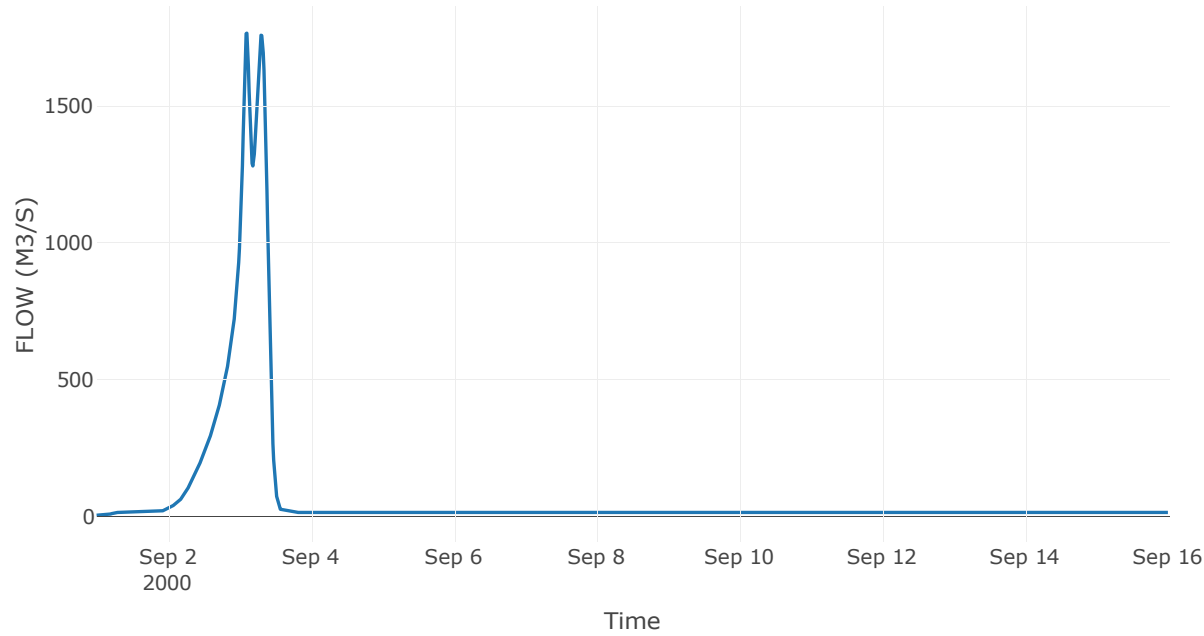
Κόμβος: J6

Κατάντη : R65

Αποτελέσματα: J6

Παροχή Αιχμής(M3/S)	1767.04
Χρονική στιγμή αιχμής	03Sep2000, 02:30
Όγκος(MM)	204.19

Απορροή



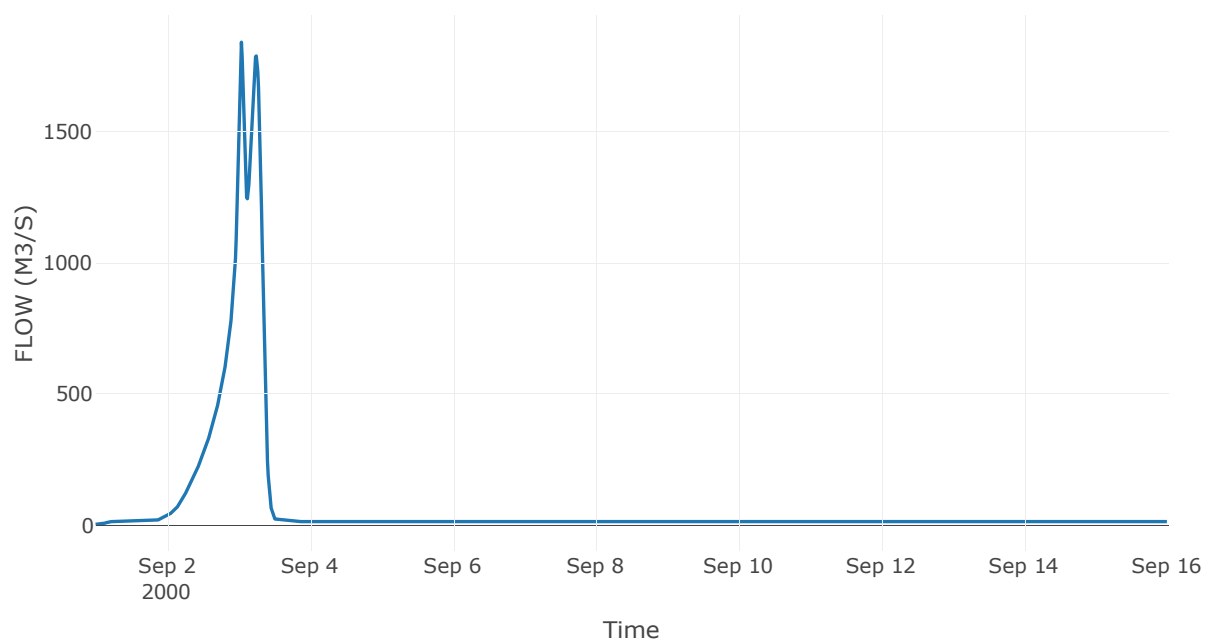
Κόμβος: J7

Κατάντη : R76

Αποτελέσματα: J7

Παροχή Αιχμής(M3/S)	1841.54
Χρονική στιγμή αιχμής	03Sep2000, 01:00
Όγκος(MM)	203.95

Απορροή



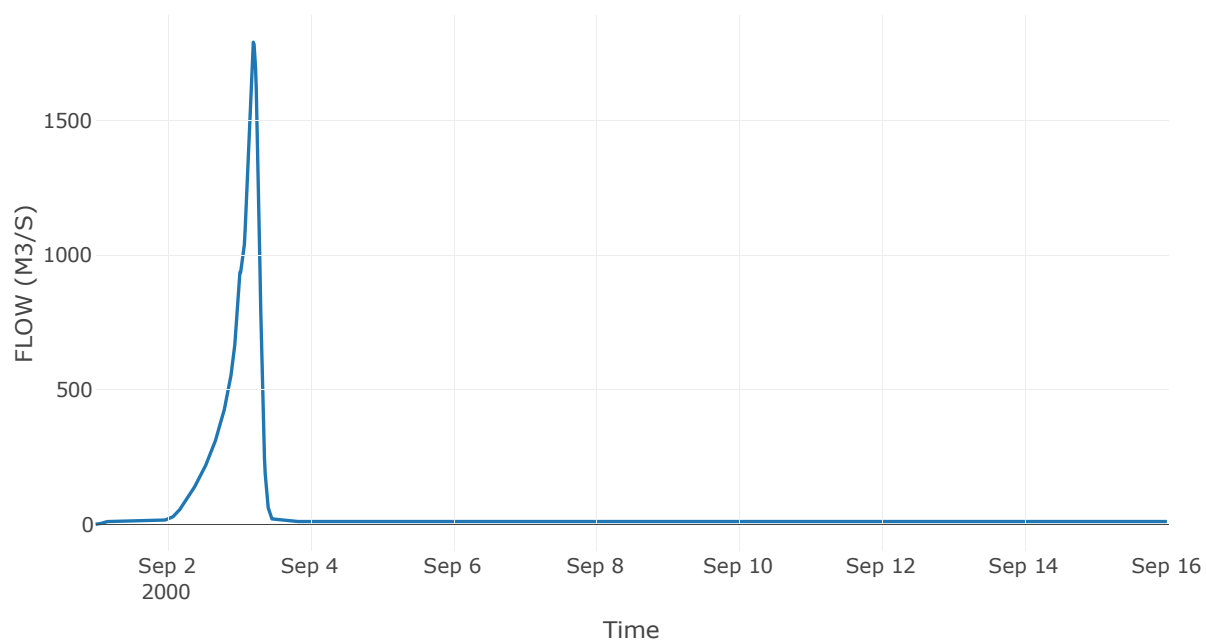
Κόμβος: J8

Κατάντη : R87

Αποτελέσματα: J8

Παροχή Αιχμής(M3/S)	1791.35
Χρονική στιγμή αιχμής	03Sep2000, 05:00
Όγκος(MM)	201.83

Απορροή



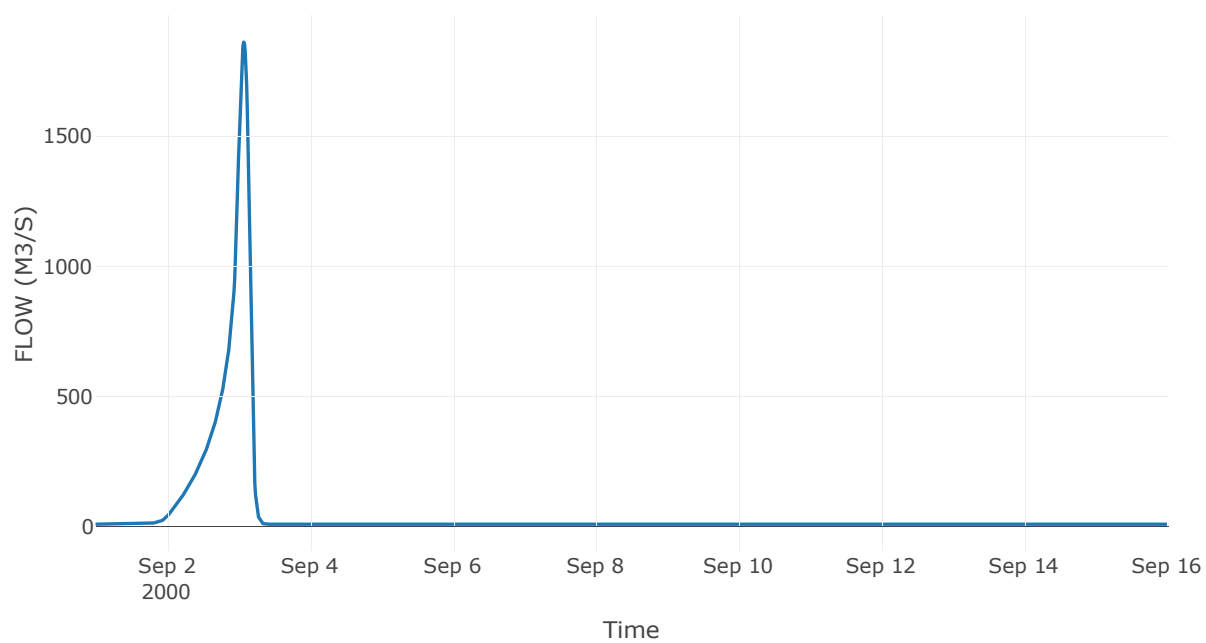
Κόμβος: J9

Κατάντη : R921

Αποτελέσματα: J9

Παροχή Αιχμής(M3/S)	1860.42
Χρονική στιγμή αιχμής	03Sep2000, 01:45
Όγκος(MM)	203.65

Απορροή



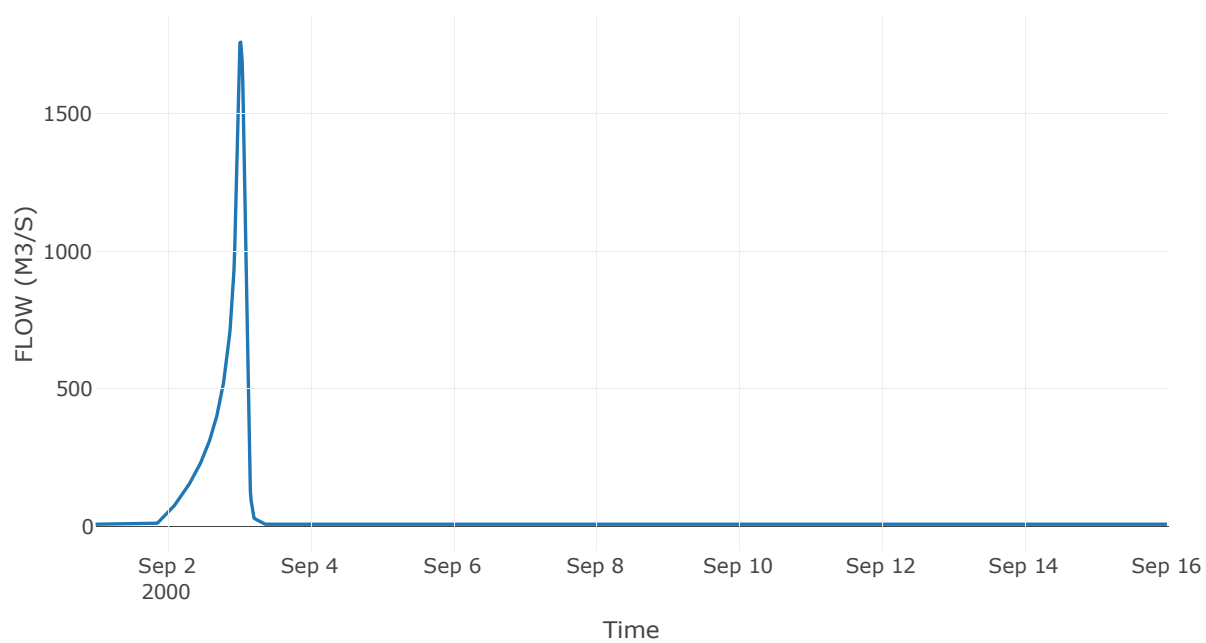
Κόμβος: J10

Κατάντη : R109

Αποτελέσματα: J10

Παροχή Αιχμής(M3/S)	1759.35
Χρονική στιγμή αιχμής	03Sep2000, 00:45
Όγκος(MM)	204.1

Απορροή



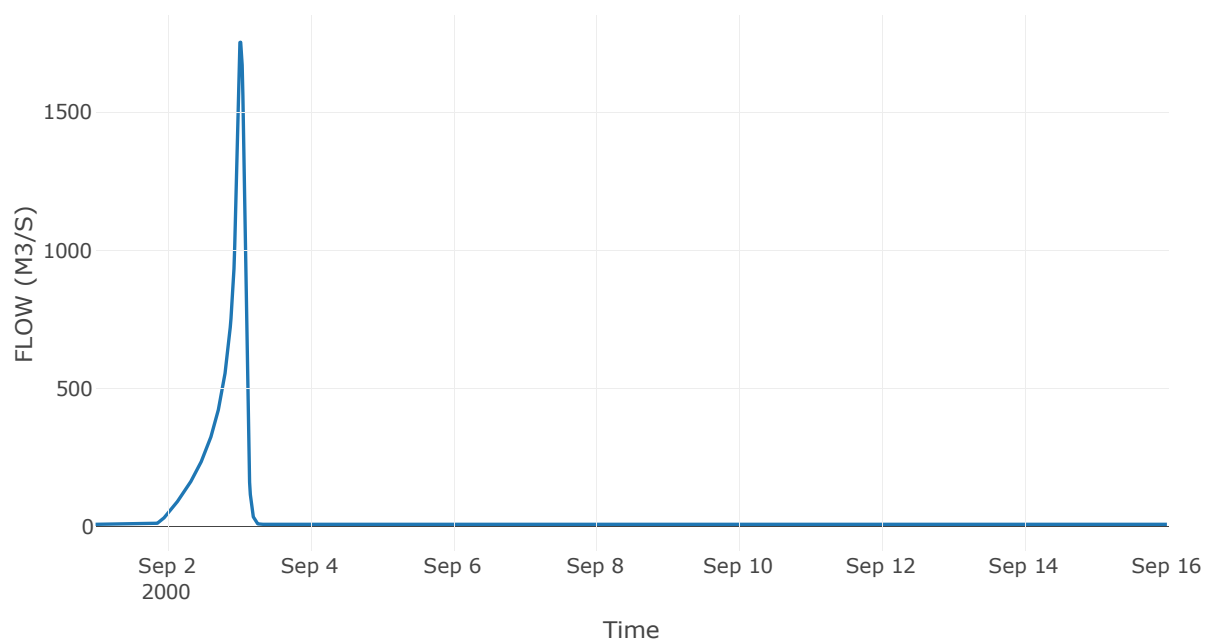
Κόμβος: J11

Κατάντη : R1110

Αποτελέσματα: J11

Παροχή Αιχμής(M3/S)	1753.72
Χρονική στιγμή αιχμής	03Sep2000, 00:45
Όγκος(MM)	204.55

Απορροή



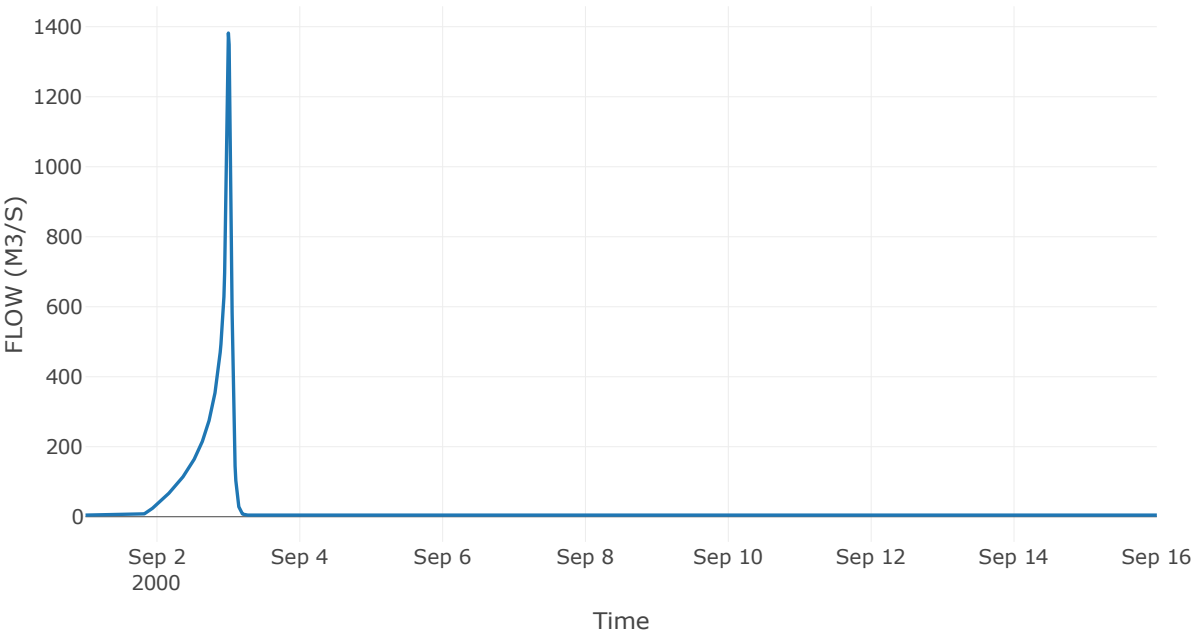
Κόμβος: J12

Κατάντη : R1211

Αποτελέσματα: J12

Παροχή Αιχμής(M3/S)	1381.98
Χρονική στιγμή αιχμής	02Sep2000, 24:00
Όγκος(MM)	212.79

Απορροή



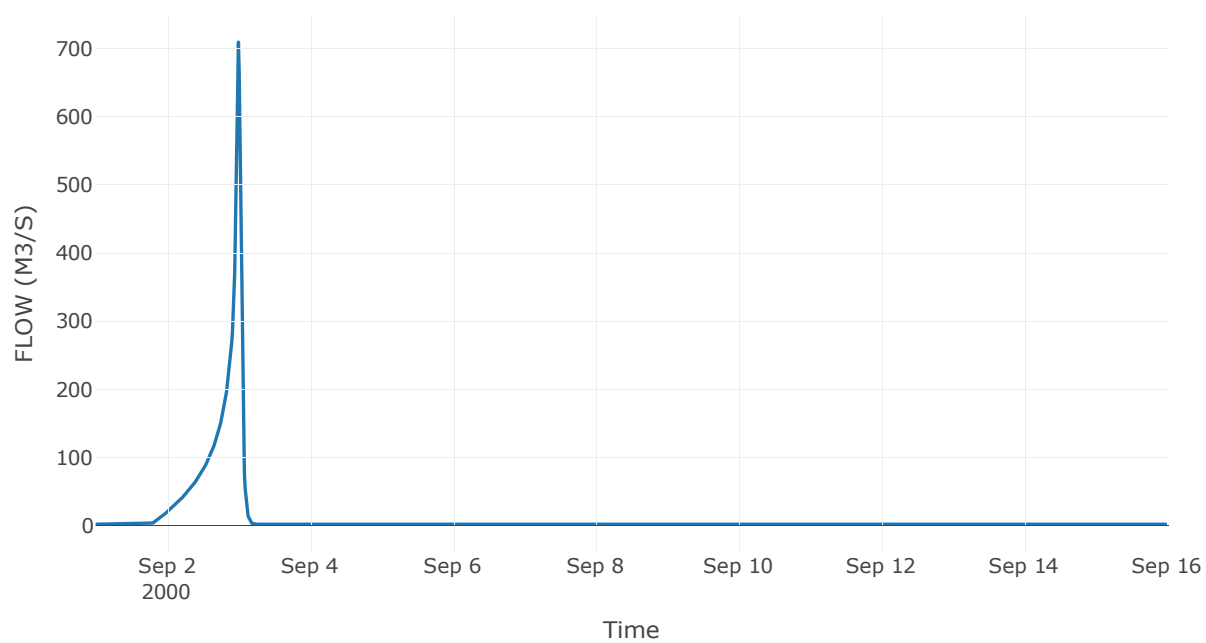
Κόμβος: J13

Κατάντη : R1312

Αποτελέσματα: J13

Παροχή Αιχμής(M3/S)	709.34
Χρονική στιγμή αιχμής	02Sep2000, 24:00
Όγκος(MM)	221.82

Απορροή





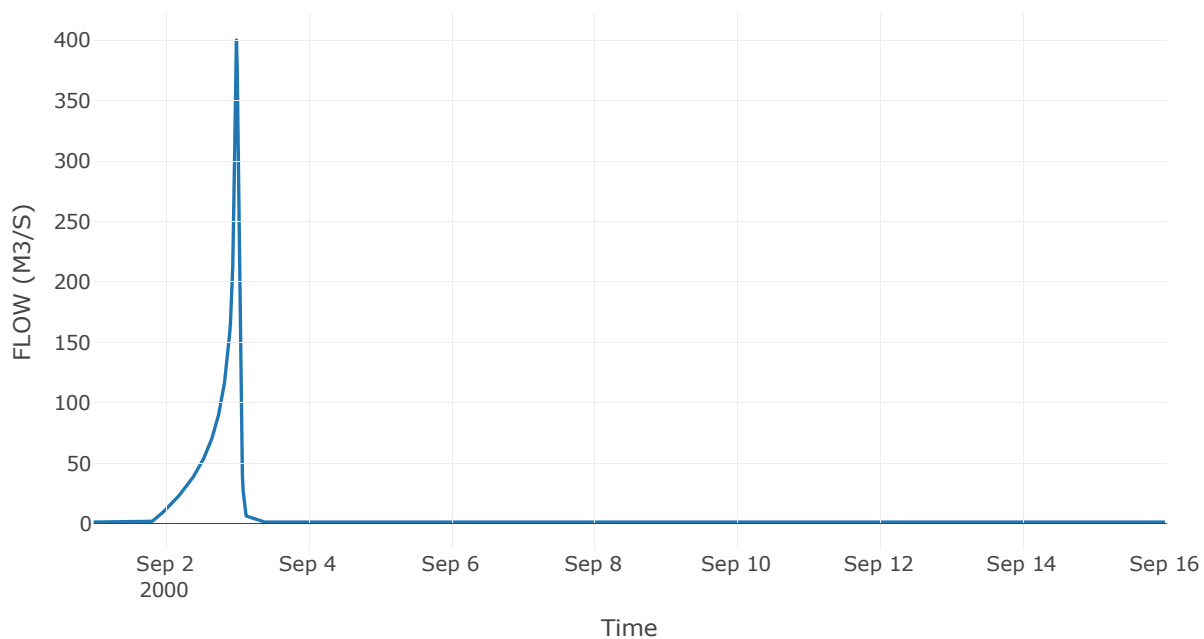
Κόμβος: J14

Κατάντη : R147

Αποτελέσματα: J14

Παροχή Αιχμής(M3/S)	400.02
Χρονική στιγμή αιχμής	02Sep2000, 24:00
Όγκος(MM)	197.8

Απορροή



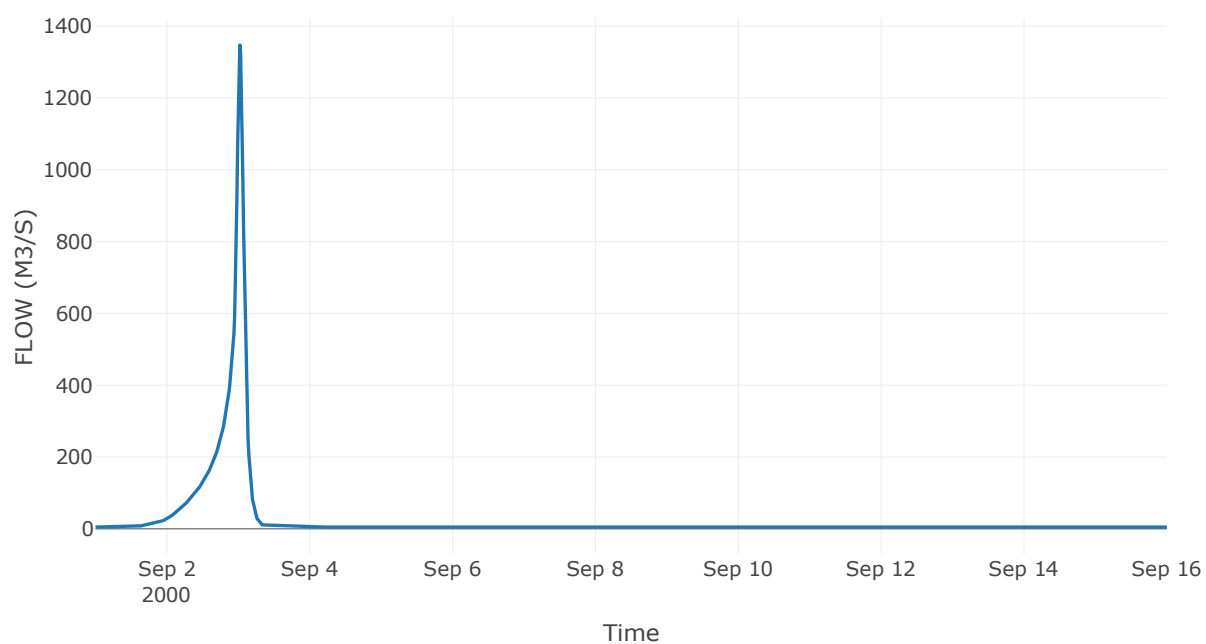
Κόμβος: J15

Κατάντη : R155

Αποτελέσματα: J15

Παροχή Αιχμής(M3/S)	1347.43
Χρονική στιγμή αιχμής	03Sep2000, 00:30
Όγκος(MM)	214.42

Απορροή



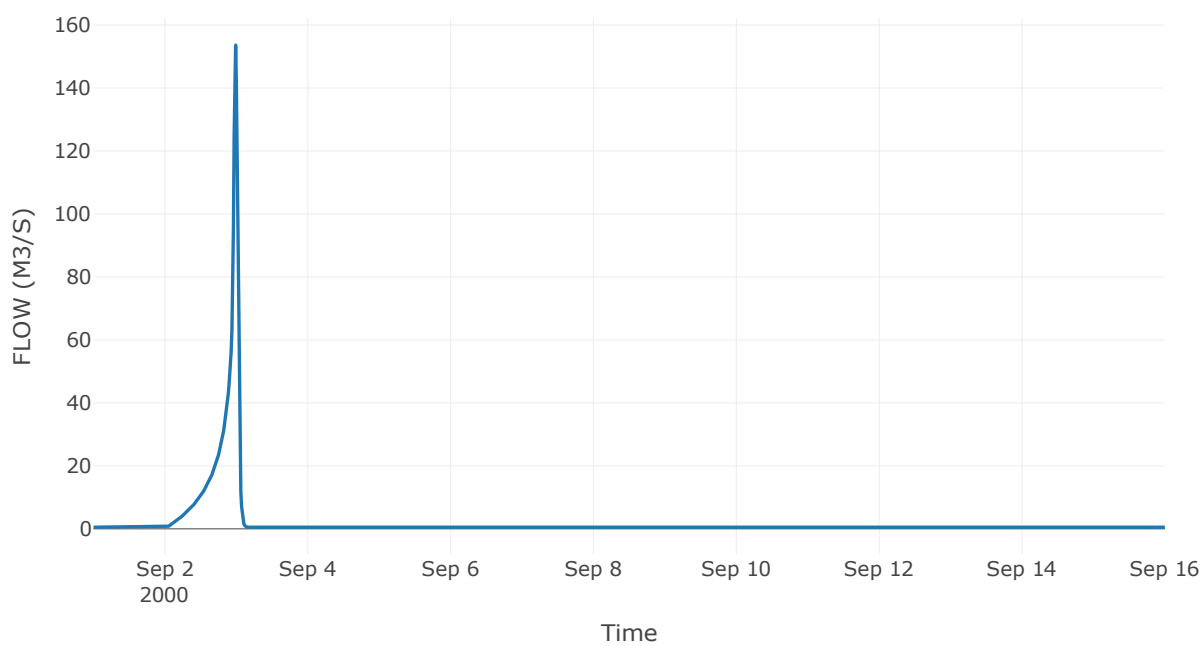
Κόμβος: J16

Κατάντη : R1615

Αποτελέσματα: J16

Παροχή Αιχμής(M3/S)	153.61
Χρονική στιγμή αιχμής	02Sep2000, 23:45
Όγκος(MM)	159.57

Απορροή



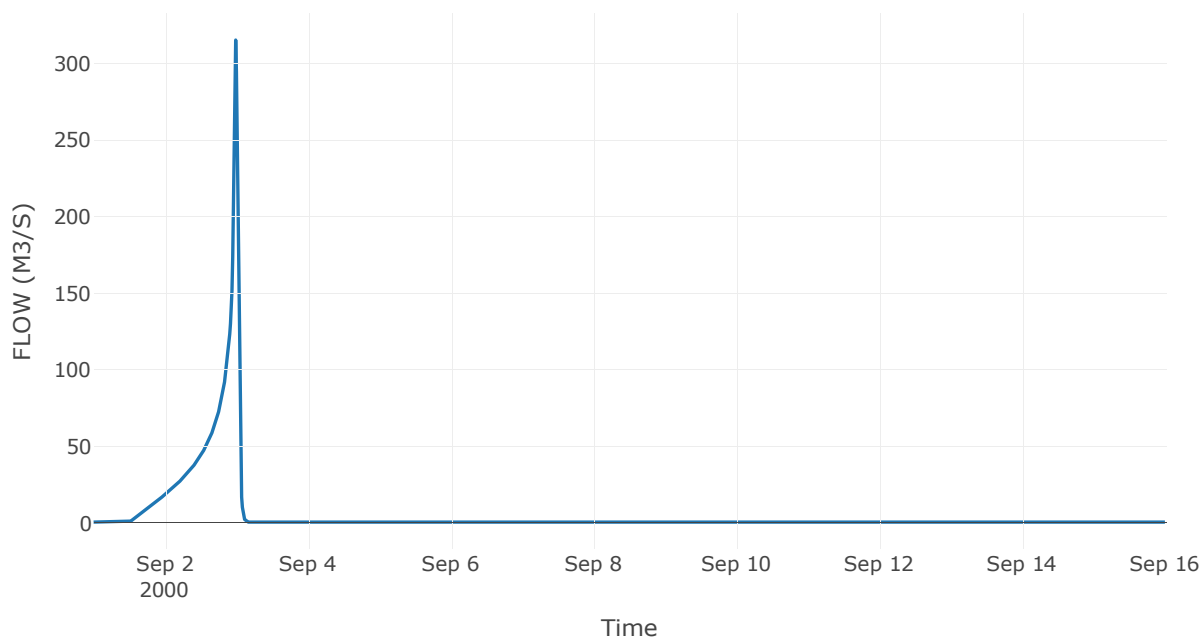
Κόμβος: J17

Κατάντη : R1715

Αποτελέσματα: J17

Παροχή Αιχμής(M3/S)	315.25
Χρονική στιγμή αιχμής	02Sep2000, 23:45
Όγκος(MM)	291.46

Απορροή



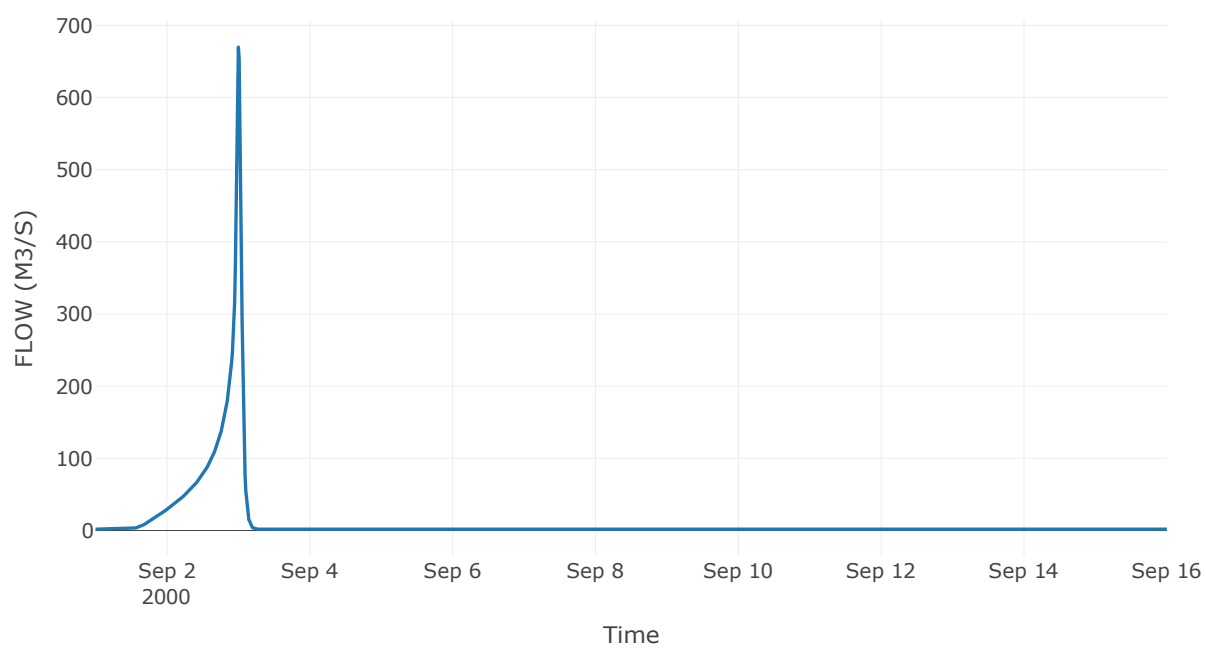
Κόμβος: J18

Κατάντη : R184

Αποτελέσματα: J18

Παροχή Αιχμής(M3/S)	669.9
Χρονική στιγμή αιχμής	02Sep2000, 24:00
Όγκος(MM)	259.12

Απορροή



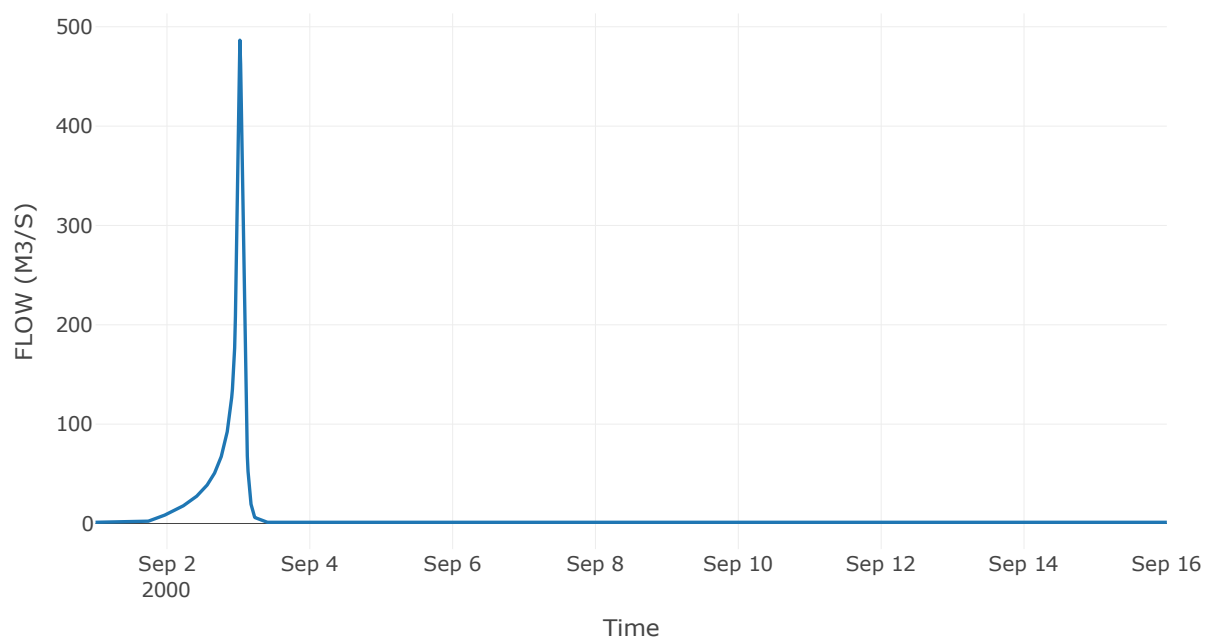
Κόμβος: J19

Κατάντη : R193

Αποτελέσματα: J19

Παροχή Αιχμής(M3/S)	486.47
Χρονική στιγμή αιχμής	03Sep2000, 00:30
Όγκος(MM)	245.66

Απορροή



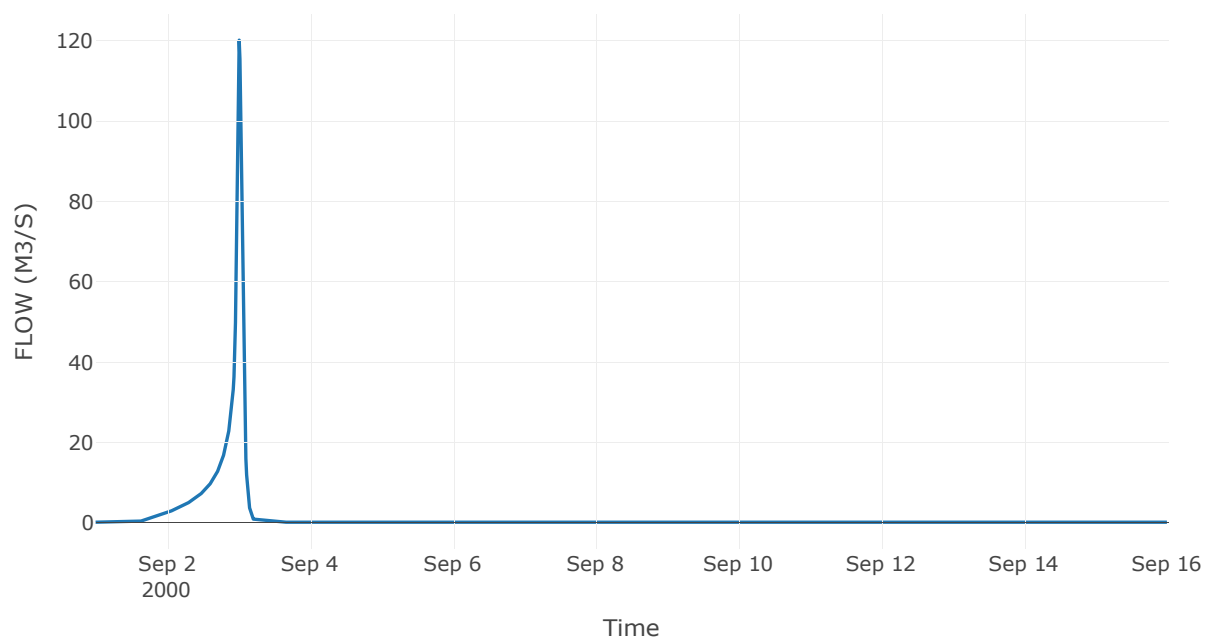
Κόμβος: J20

Κατάντη : R2019

Αποτελέσματα: J20

Παροχή Αιχμής(M3/S)	120.16
Χρονική στιγμή αιχμής	03Sep2000, 00:15
Όγκος(MM)	265.5

Απορροή



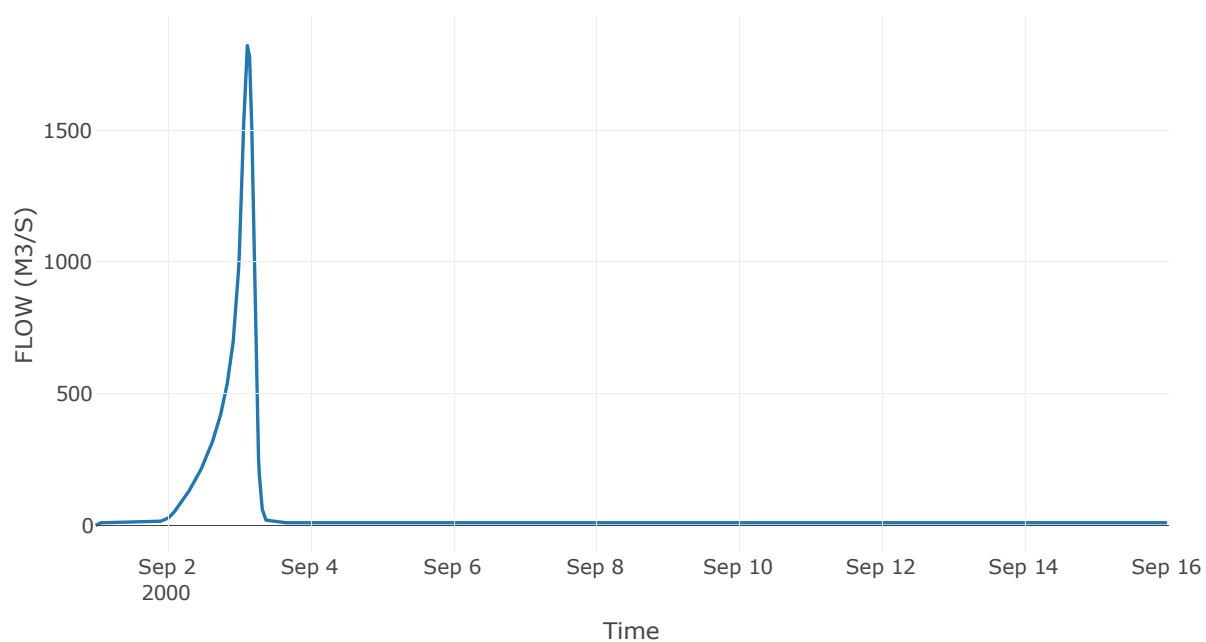
Ταμιευτήρας: J21\_RES1

Κατάντη : R218

Αποτελέσματα: J21\_RES1

Παροχή Αιχμής(M3/S)	1829.82
Χρονική στιγμή αιχμής	03Sep2000, 03:15
Όγκος(MM)	202.74
Παροχή Αιχμής Εισόδου (M3/S)	1829.69
Χρονική Στιγμή Αιχμής της Εισροής	03Sep2000, 03:00
Όγκος Εισροής (M3)	6.94E7
Μέγιστη Αποθηκευτικότητα(M3)	2.12E6
Μέγιστη Στάθμη (M)	101.37
Όγκος Απορροής(M3)	6.94E7

Απορροή





## 10 Δεδομένα εισόδου και αποτελέσματα υδρολογικού σεναρίου T=1000U

## 10.1 Αποτελέσματα, υετογραφήματα και υδρογραφήματα σχεδιασμού υπολεκανών

Υπολεκάνη: EL0513FR5001

Έκταση (KM2) : 9.83

Κατάνη : J1

Μέθοδος Απωλειών: SCS

Ποσοστό αδιαπέρατης επιφάνειας	0
Αριθμός Καμπύλης Απορροής-CN	91.34
Αρχικές Απώλειες	4.82

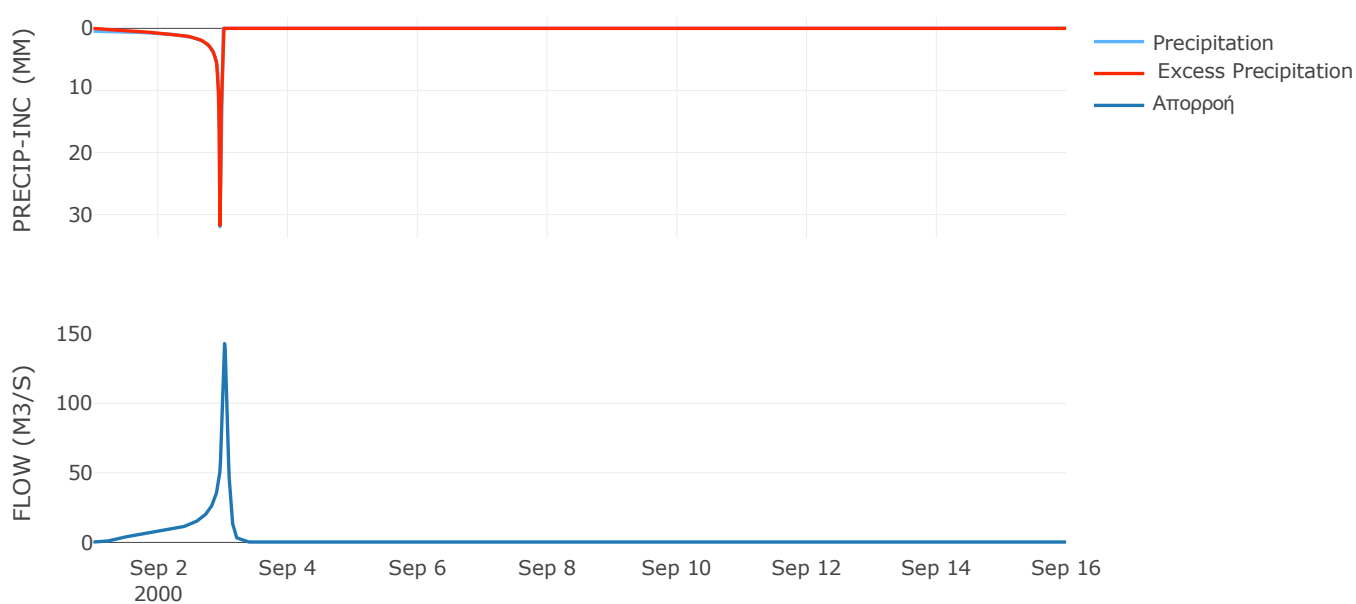
Μέθοδος  
Μετασχηματισμού: SCS

Χρόνος Υστέρησης	92.45
------------------	-------

Αποτελέσματα:  
EL0513FR5001

Παροχή αιχμής (M3/S)	142.91
Χρονική στιγμή αιχμής	03Sep2000, 00:30
Όγκος (MM)	342.4
Όγκος βροχόπτωσης (M3)	3.25E6
Όγκος απωλειών (M3)	2.68E5
Ενεργός Όγκος (M3)	2.98E6
Όγκος άμεσης απορροής (M3)	2.98E6
Όγκος βασικής απορροής (M3)	3.82E5

Βροχόπτωση και Απορροή



Υπολεκάνη: EL0513FR5002

Έκταση (KM2) : 6.79

Κατάντη : J2

Μέθοδος Απωλειών: SCS

Ποσοστό αδιαπέρατης επιφάνειας	0
Αριθμός Καμπύλης Απορροής-CN	92.38
Αρχικές Απώλειες	4.19

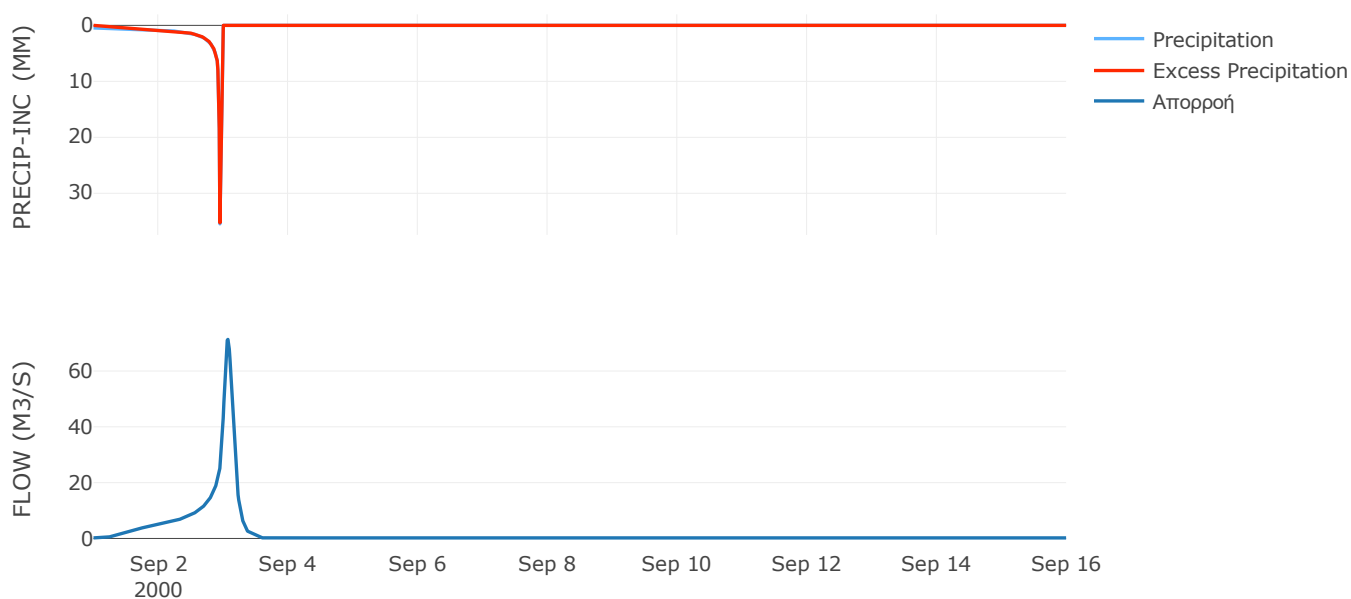
Μέθοδος  
Μετασχηματισμού: SCS

Χρόνος Υστέρησης	178.08
------------------	--------

Αποτελέσματα:  
EL0513FR5002

Παροχή αιχμής (M3/S)	71.32
Χρονική στιγμή αιχμής	03Sep2000, 01:45
Όγκος (MM)	360.23
Όγκος βροχόπτωσης (M3)	2.34E6
Όγκος απωλειών (M3)	1.62E5
Ενεργός Όγκος (M3)	2.18E6
Όγκος άμεσης απορροής (M3)	2.18E6
Όγκος βασικής απορροής (M3)	2.64E5

Βροχόπτωση και Απορροή



Υπολεκάνη: EL0513FR5003

Έκταση (KM2) : 2.79

Κατάντη : J3

Μέθοδος Απωλειών: SCS

Ποσοστό αδιαπέρατης επιφάνειας	0
Αριθμός Καμπύλης Απορροής-CN	90.97
Αρχικές Απώλειες	5.04

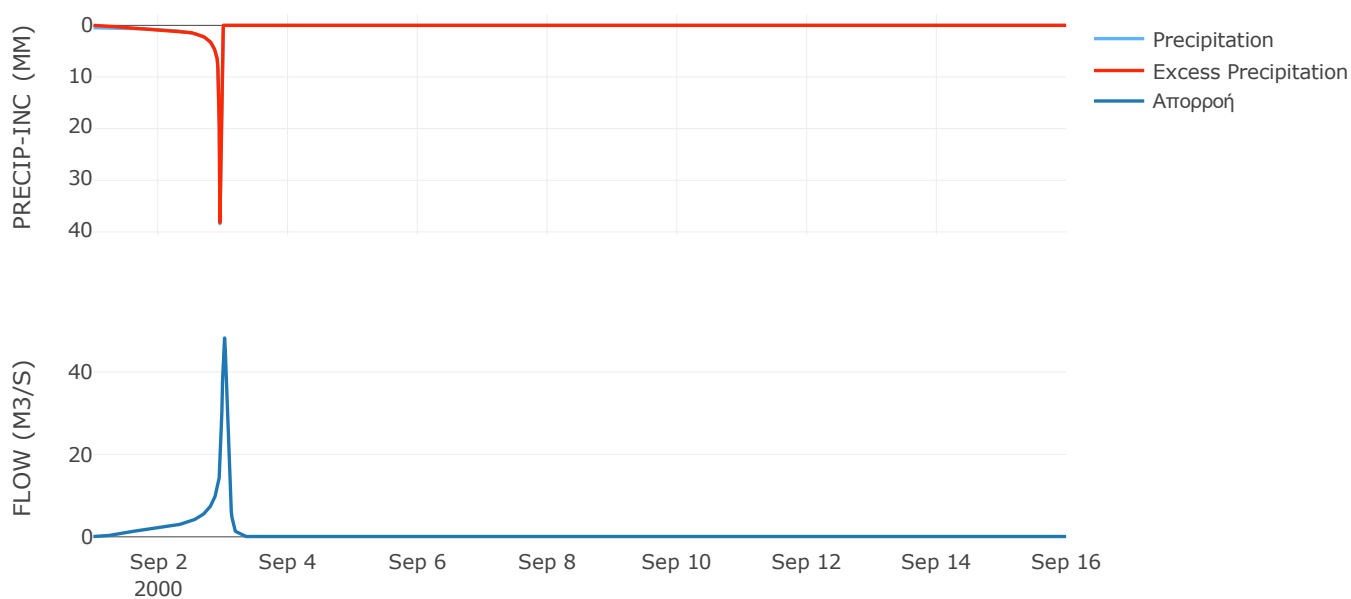
Μέθοδος  
Μετασχηματισμού: SCS

Χρόνος Υστέρησης	87.37
------------------	-------

Αποτελέσματα:  
EL0513FR5003

Παροχή αιχμής (M3/S)	48.23
Χρονική στιγμή αιχμής	03Sep2000, 00:30
Όγκος (MM)	365.45
Όγκος βροχόπτωσης (M3)	9.93E5
Όγκος απωλειών (M3)	79800.85
Ενεργός Όγκος (M3)	9.13E5
Όγκος άμεσης απορροής (M3)	9.13E5
Όγκος βασικής απορροής (M3)	1.09E5

Βροχόπτωση και Απορροή



Υπολεκάνη: EL0513FR5004

Έκταση (KM2) : 17.16

Κατάνη : J3

Μέθοδος Απωλειών: SCS

Ποσοστό αδιαπέρατης επιφάνειας	0
Αριθμός Καμπύλης Απορροής-CN	85.53
Αρχικές Απώλειες	8.6

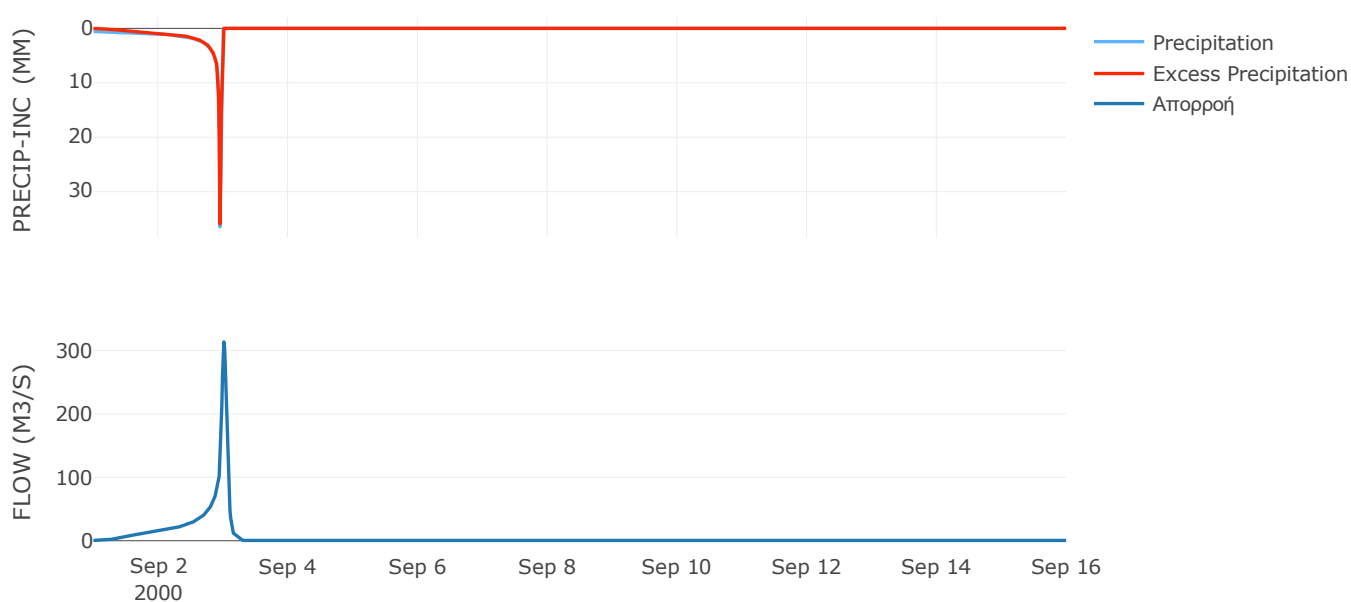
Μέθοδος  
Μετασχηματισμού: SCS

Χρόνος Υστέρησης	78.89
------------------	-------

Αποτελέσματα:  
EL0513FR5004

Παροχή αιχμής (M3/S)	313.5
Χρονική στιγμή αιχμής	03Sep2000, 00:15
Όγκος (MM)	391.84
Όγκος βροχόπτωσης (M3)	6.87E6
Όγκος απωλειών (M3)	8.12E5
Ενεργός Όγκος (M3)	6.06E6
Όγκος άμεσης απορροής (M3)	6.06E6
Όγκος βασικής απορροής (M3)	6.67E5

Βροχόπτωση και Απορροή



Υπολεκάνη: EL0513FR5005

Έκταση (KM2) : 3.13

Κατάνη : J4

Μέθοδος Απωλειών: SCS

Ποσοστό αδιαπέρατης επιφάνειας	0
Αριθμός Καμπύλης Απορροής-CN	90.3
Αρχικές Απώλειες	5.46

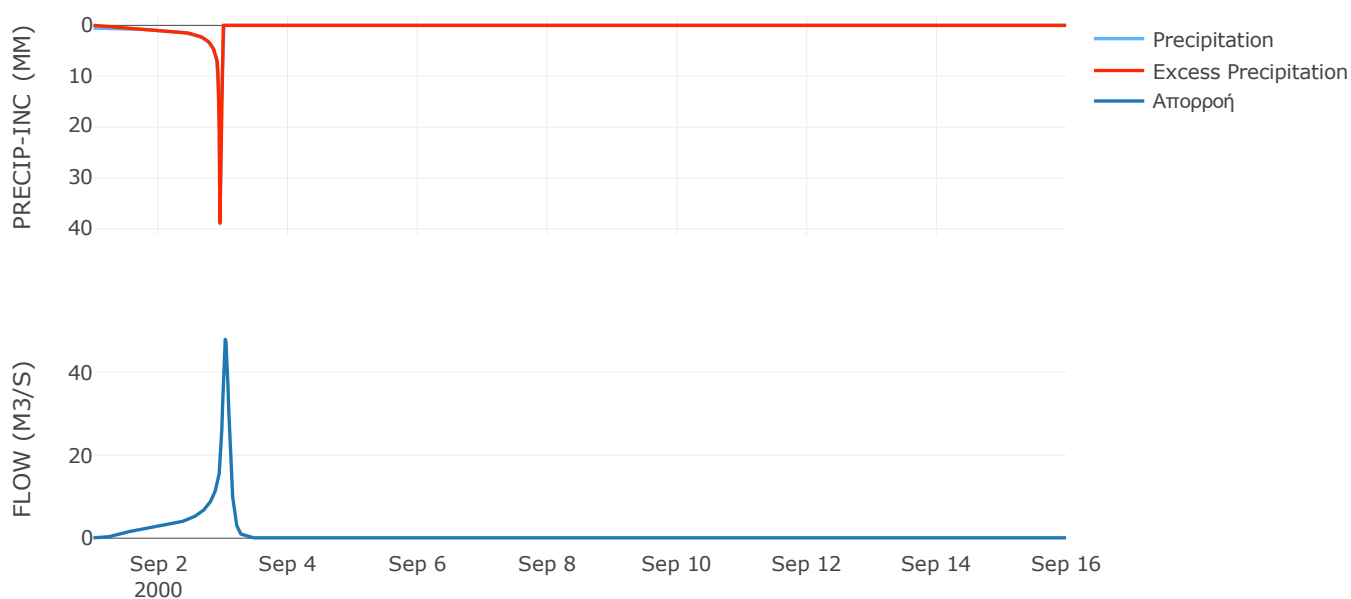
Μέθοδος  
Μετασχηματισμού: SCS

Χρόνος Υστέρησης	116.69
------------------	--------

Αποτελέσματα:  
EL0513FR5005

Παροχή αιχμής (M3/S)	47.93
Χρονική στιγμή αιχμής	03Sep2000, 00:45
Όγκος (MM)	402.28
Όγκος βροχόπτωσης (M3)	1.23E6
Όγκος απωλειών (M3)	96766.88
Ενεργός Όγκος (M3)	1.14E6
Όγκος άμεσης απορροής (M3)	1.14E6
Όγκος βασικής απορροής (M3)	1.22E5

Βροχόπτωση και Απορροή



Υπολεκάνη: EL0513FR5006

Έκταση (KM2) : 19.6

Κατάνη : J5

Μέθοδος Απωλειών: SCS

Ποσοστό αδιαπέρατης επιφάνειας	0
Αριθμός Καμπύλης Απορροής-CN	83.16
Αρχικές Απώλειες	10.29

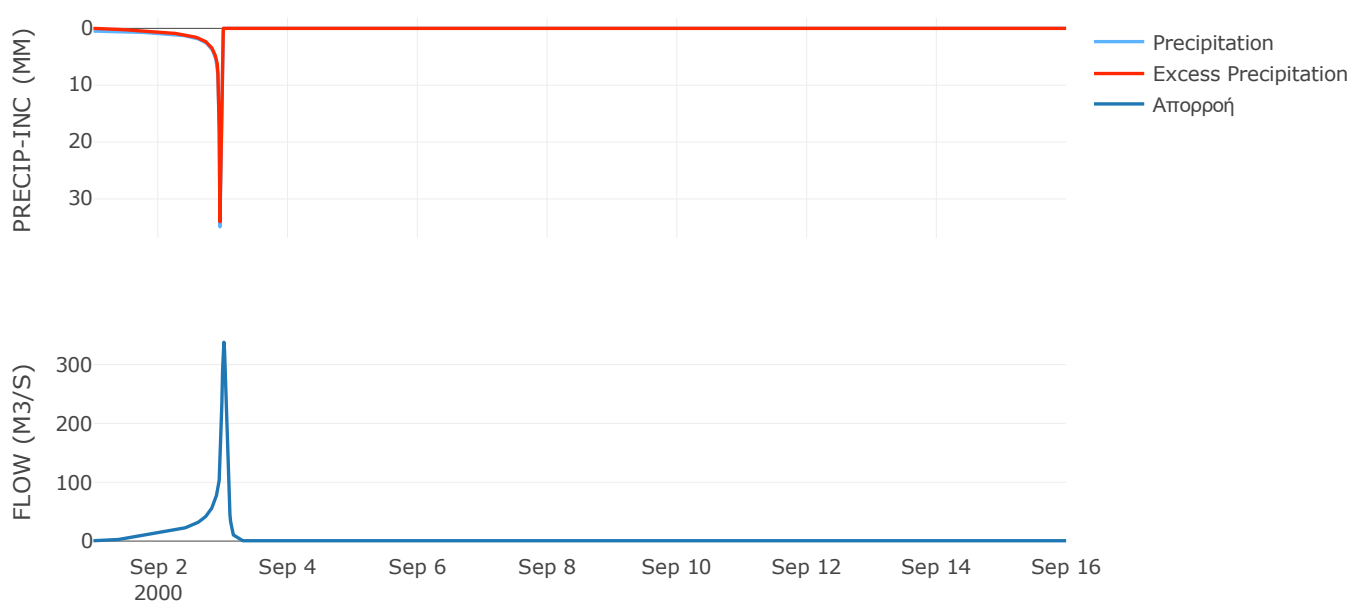
Μέθοδος  
Μετασχηματισμού: SCS

Χρόνος Υστέρησης	75.29
------------------	-------

Αποτελέσματα:  
EL0513FR5006

Παροχή αιχμής (M3/S)	337.97
Χρονική στιγμή αιχμής	03Sep2000, 00:15
Όγκος (MM)	336.82
Όγκος βροχόπτωσης (M3)	6.92E6
Όγκος απωλειών (M3)	1.08E6
Ενεργός Όγκος (M3)	5.84E6
Όγκος άμεσης απορροής (M3)	5.84E6
Όγκος βασικής απορροής (M3)	7.62E5

Βροχόπτωση και Απορροή





Υπολεκάνη: EL0513FR5007

Έκταση (KM2) : 4.2

Κατάνη : J6

Μέθοδος Απωλειών: SCS

Ποσοστό αδιαπέρατης επιφάνειας	0
Αριθμός Καμπύλης Απορροής-CN	89.68
Αρχικές Απώλειες	5.85

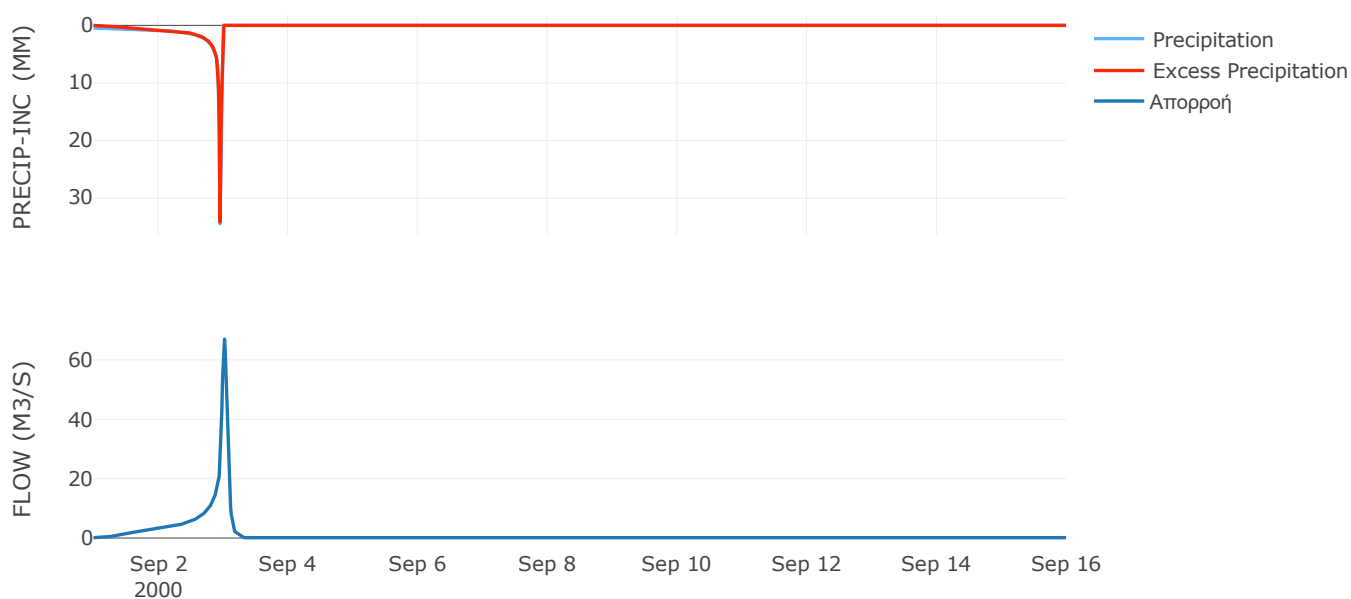
Μέθοδος  
Μετασχηματισμού: SCS

Χρόνος Υστέρησης	85.61
------------------	-------

Αποτελέσματα:  
EL0513FR5007

Παροχή αιχμής (M3/S)	67
Χρονική στιγμή αιχμής	03Sep2000, 00:30
Όγκος (MM)	348.8
Όγκος βροχόπτωσης (M3)	1.44E6
Όγκος απωλειών (M3)	1.37E5
Ενεργός Όγκος (M3)	1.3E6
Όγκος άμεσης απορροής (M3)	1.3E6
Όγκος βασικής απορροής (M3)	1.63E5

Βροχόπτωση και Απορροή



Υπολεκάνη: EL0513FR5008

Έκταση (KM2) : 11.23

Κατάνη : J7

Μέθοδος Απωλειών: SCS

Ποσοστό αδιαπέρατης επιφάνειας	0
Αριθμός Καμπύλης Απορροής-CN	89.19
Αρχικές Απώλειες	6.16

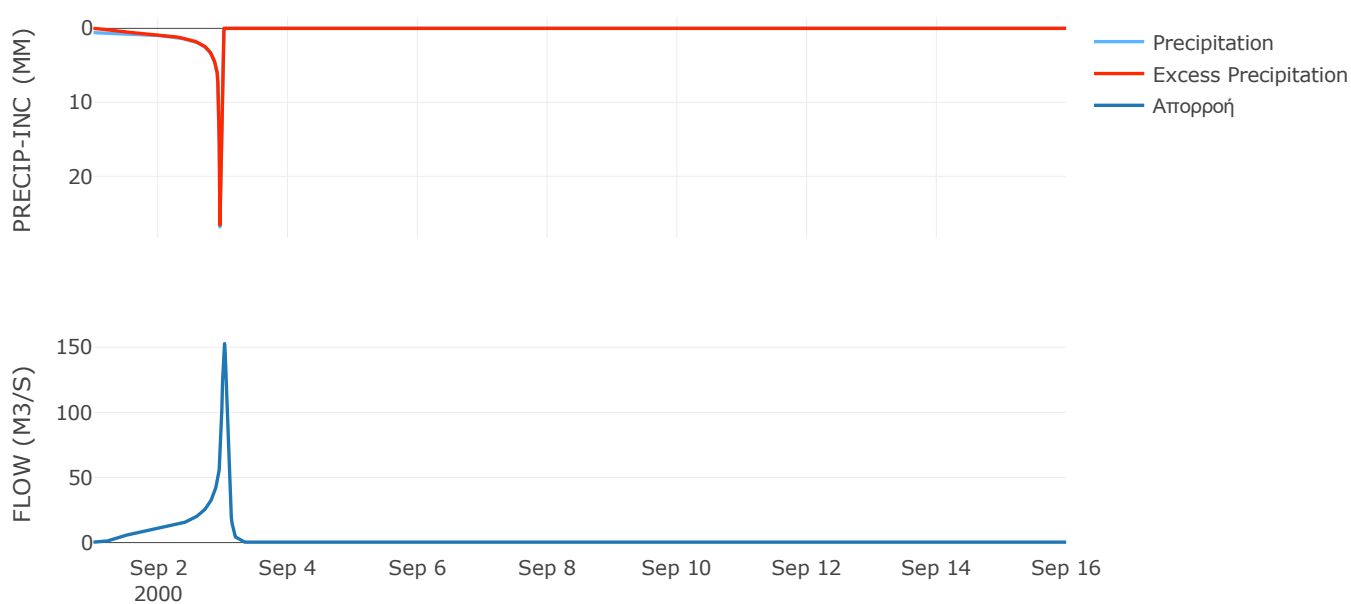
Μέθοδος  
Μετασχηματισμού: SCS

Χρόνος Υστέρησης	87.14
------------------	-------

Αποτελέσματα:  
EL0513FR5008

Παροχή αιχμής (M3/S)	152.7
Χρονική στιγμή αιχμής	03Sep2000, 00:30
Όγκος (MM)	355.7
Όγκος βροχόπτωσης (M3)	3.94E6
Όγκος απωλειών (M3)	3.86E5
Ενεργός Όγκος (M3)	3.56E6
Όγκος άμεσης απορροής (M3)	3.56E6
Όγκος βασικής απορροής (M3)	4.37E5

Βροχόπτωση και Απορροή



Υπολεκάνη: EL0513FR5009

Έκταση (KM2) : 19.12

Κατάντη : J8

Μέθοδος Απωλειών: SCS

Ποσοστό αδιαπέρατης επιφάνειας	0
Αριθμός Καμπύλης Απορροής-CN	79.41
Αρχικές Απώλειες	13.18

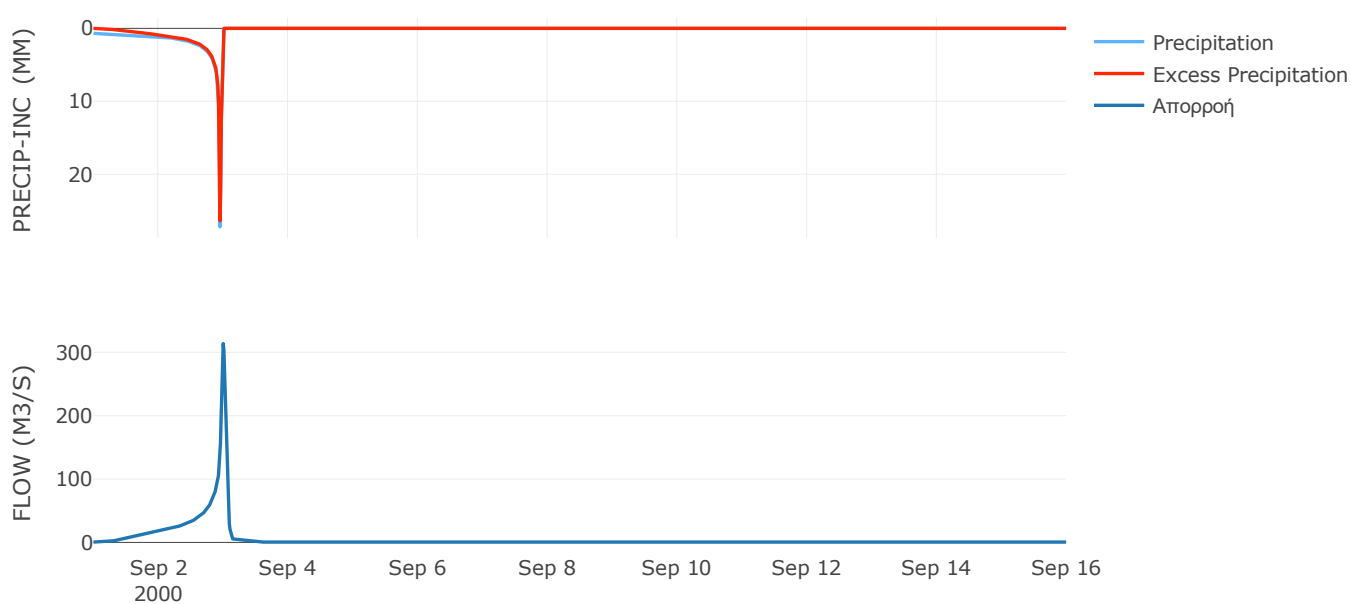
Μέθοδος  
Μετασχηματισμού: SCS

Χρόνος Υστέρησης	61.79
------------------	-------

Αποτελέσματα:  
EL0513FR5009

Παροχή αιχμής (M3/S)	313.82
Χρονική στιγμή αιχμής	02Sep2000, 24:00
Όγκος (MM)	361.51
Όγκος βροχόπτωσης (M3)	7.49E6
Όγκος απωλειών (M3)	1.33E6
Ενεργός Όγκος (M3)	6.17E6
Όγκος άμεσης απορροής (M3)	6.17E6
Όγκος βασικής απορροής (M3)	7.44E5

Βροχόπτωση και Απορροή



Υπολεκάνη: EL0513FR5010

Έκταση (KM2) : 36.47

Κατάντη : J9

Μέθοδος Απωλειών: SCS

Ποσοστό αδιαπέρατης επιφάνειας	0
Αριθμός Καμπύλης Απορροής-CN	80.16
Αρχικές Απώλειες	12.57

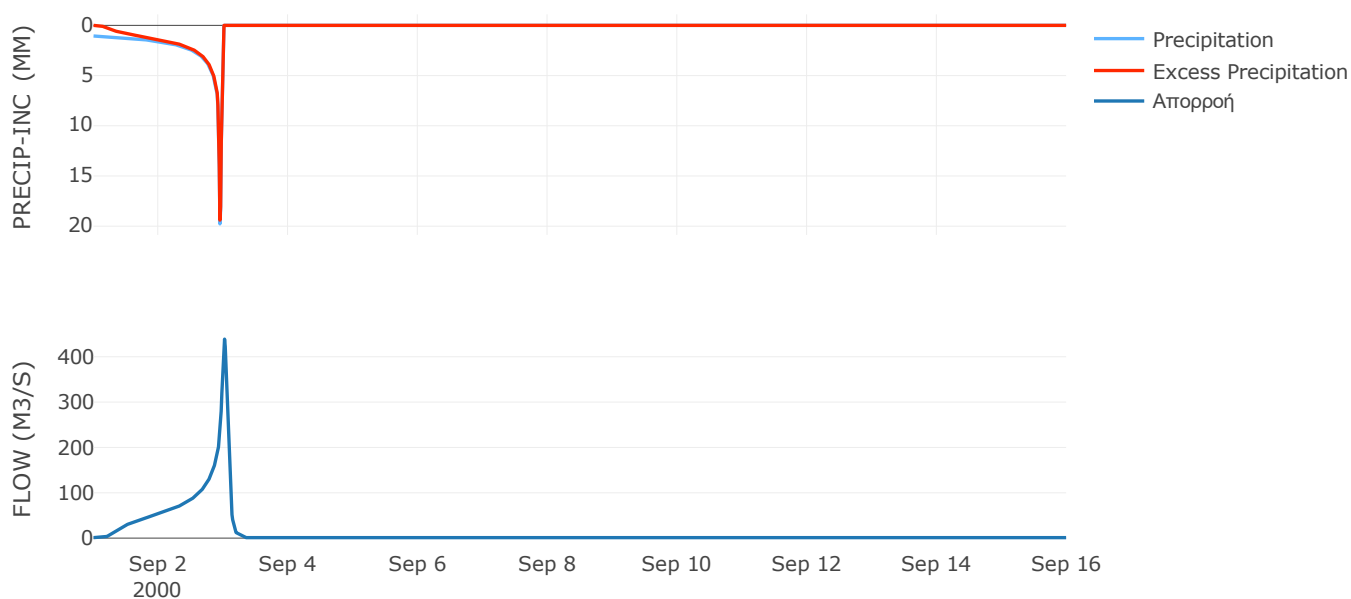
Μέθοδος  
Μετασχηματισμού: SCS

Χρόνος Υστέρησης	90.96
------------------	-------

Αποτελέσματα:  
EL0513FR5010

Παροχή αιχμής (M3/S)	438.94
Χρονική στιγμή αιχμής	03Sep2000, 00:30
Όγκος (MM)	434.09
Όγκος βροχόπτωσης (M3)	1.69E7
Όγκος απωλειών (M3)	2.47E6
Ενεργός Όγκος (M3)	1.44E7
Όγκος άμεσης απορροής (M3)	1.44E7
Όγκος βασικής απορροής (M3)	1.42E6

Βροχόπτωση και Απορροή



Υπολεκάνη: EL0513FR5011

Έκταση (KM2) : 4.02

Κατάνη : J10

Μέθοδος Απωλειών: SCS

Ποσοστό αδιαπέρατης επιφάνειας	0
Αριθμός Καμπύλης Απορροής-CN	70.02
Αρχικές Απώλειες	21.75

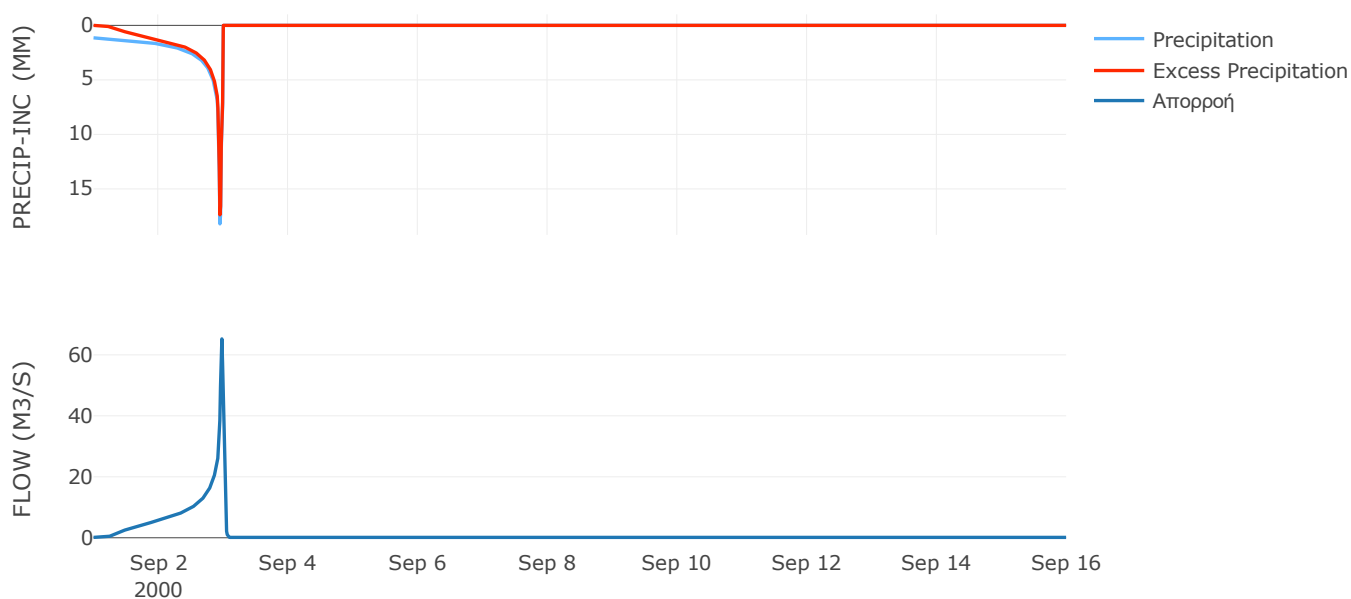
Μέθοδος  
Μετασχηματισμού: SCS

Χρόνος Υστέρησης	24.98
------------------	-------

Αποτελέσματα:  
EL0513FR5011

Παροχή αιχμής (M3/S)	65.24
Χρονική στιγμή αιχμής	02Sep2000, 23:30
Όγκος (MM)	404.96
Όγκος βροχόπτωσης (M3)	1.91E6
Όγκος απωλειών (M3)	4.4E5
Ενεργός Όγκος (M3)	1.47E6
Όγκος άμεσης απορροής (M3)	1.47E6
Όγκος βασικής απορροής (M3)	1.56E5

Βροχόπτωση και Απορροή



Υπολεκάνη: EL0513FR5012

Έκταση (KM2) : 74.49

Κατάνη : J11

Μέθοδος Απωλειών: SCS

Ποσοστό αδιαπέρατης επιφάνειας	0
Αριθμός Καμπύλης Απορροής-CN	72.02
Αρχικές Απώλειες	19.73

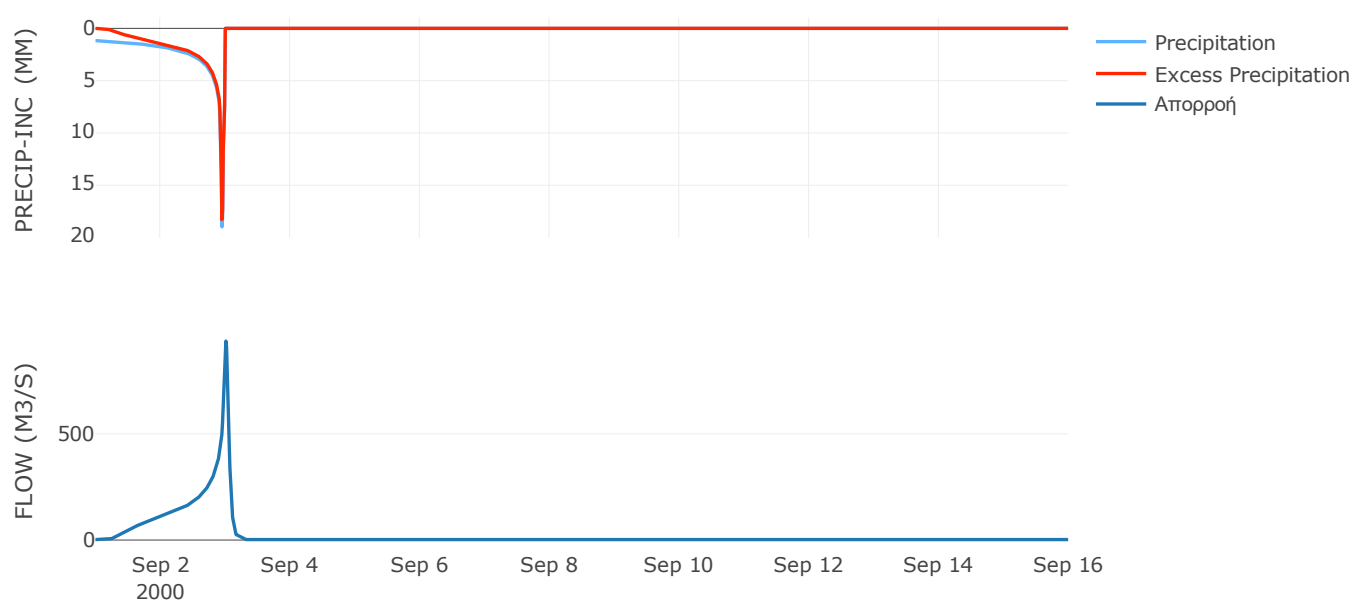
Μέθοδος  
Μετασχηματισμού: SCS

Χρόνος Υστέρησης	76.85
------------------	-------

Αποτελέσματα:  
EL0513FR5012

Παροχή αιχμής (M3/S)	936.52
Χρονική στιγμή αιχμής	03Sep2000, 00:15
Όγκος (MM)	426.69
Όγκος βροχόπτωσης (M3)	3.64E7
Όγκος απωλειών (M3)	7.54E6
Ενεργός Όγκος (M3)	2.89E7
Όγκος άμεσης απορροής (M3)	2.89E7
Όγκος βασικής απορροής (M3)	2.9E6

Βροχόπτωση και Απορροή



Υπολεκάνη: EL0513FR5013

Έκταση (KM2) : 8.72

Κατάντη : J12

Μέθοδος Απωλειών: SCS

Ποσοστό αδιαπέρατης επιφάνειας	0
Αριθμός Καμπύλης Απορροής-CN	77.74
Αρχικές Απώλειες	14.54

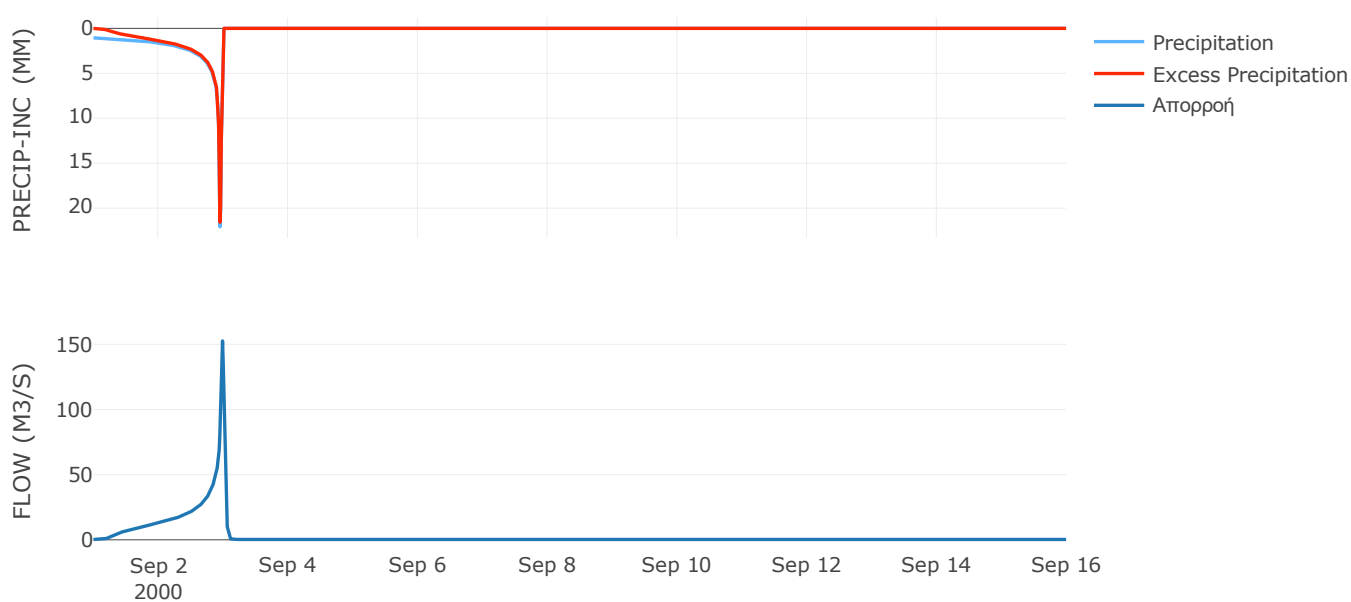
Μέθοδος  
Μετασχηματισμού: SCS

Χρόνος Υστέρησης	37.05
------------------	-------

Αποτελέσματα:  
EL0513FR5013

Παροχή αιχμής (M3/S)	152.61
Χρονική στιγμή αιχμής	02Sep2000, 23:45
Όγκος (MM)	440.23
Όγκος βροχόπτωσης (M3)	4.17E6
Όγκος απωλειών (M3)	6.75E5
Ενεργός Όγκος (M3)	3.5E6
Όγκος άμεσης απορροής (M3)	3.5E6
Όγκος βασικής απορροής (M3)	3.39E5

Βροχόπτωση και Απορροή



Υπολεκάνη: EL0513FR5014

Έκταση (KM2) : 17.21

Κατάντη : J13

Μέθοδος Απωλειών: SCS

Ποσοστό αδιαπέρατης επιφάνειας	0
Αριθμός Καμπύλης Απορροής-CN	73.53
Αρχικές Απώλειες	18.29

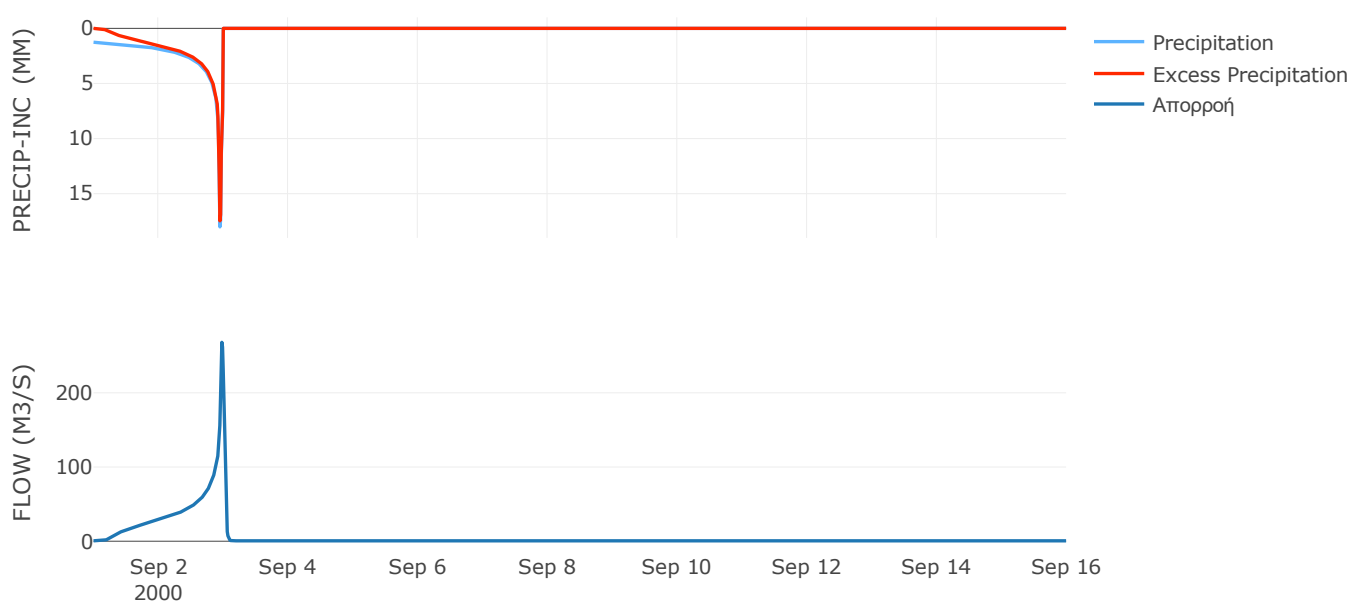
Μέθοδος  
Μετασχηματισμού: SCS

Χρόνος Υστέρησης	33.48
------------------	-------

Αποτελέσματα:  
EL0513FR5014

Παροχή αιχμής (M3/S)	268.05
Χρονική στιγμή αιχμής	02Sep2000, 23:30
Όγκος (MM)	449.23
Όγκος βροχόπτωσης (M3)	8.7E6
Όγκος απωλειών (M3)	1.64E6
Ενεργός Όγκος (M3)	7.06E6
Όγκος άμεσης απορροής (M3)	7.06E6
Όγκος βασικής απορροής (M3)	6.69E5

Βροχόπτωση και Απορροή





Υπολεκάνη: EL0513FR5015

Έκταση (KM2) : 56.91

Κατάντη : J13

Μέθοδος Απωλειών: SCS

Ποσοστό αδιαπέρατης επιφάνειας	0
Αριθμός Καμπύλης Απορροής-CN	74.88
Αρχικές Απώλειες	17.04

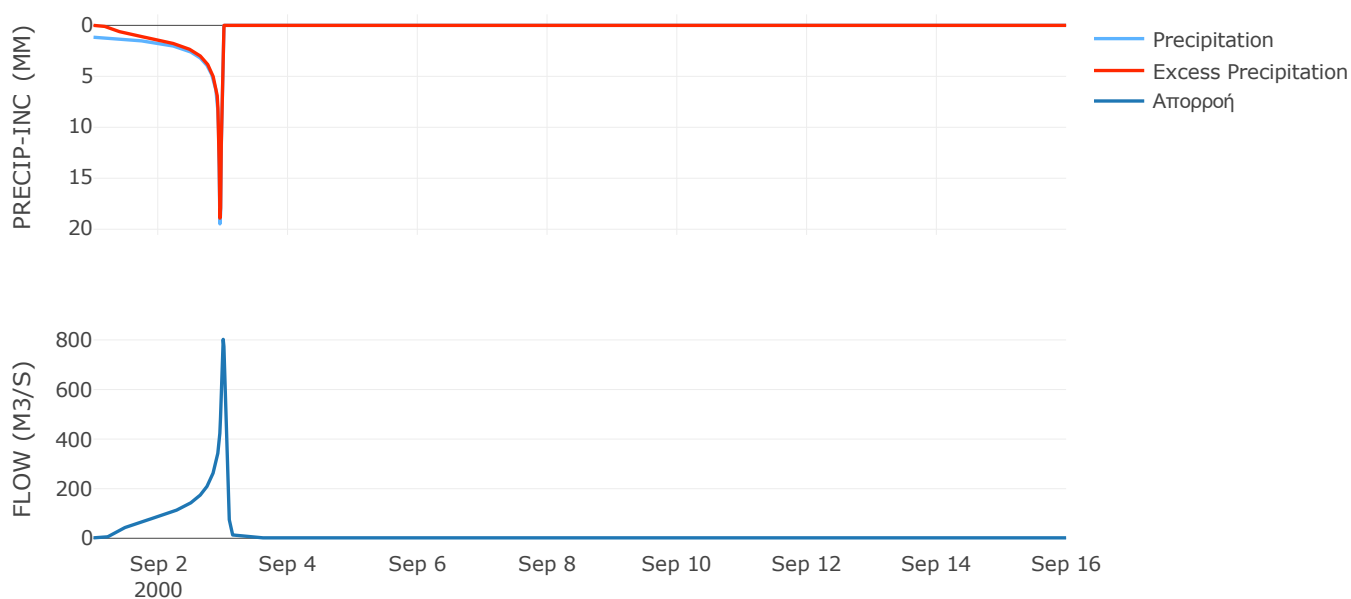
Μέθοδος  
Μετασχηματισμού: SCS

Χρόνος Υστέρησης	60.16
------------------	-------

Αποτελέσματα:  
EL0513FR5015

Παροχή αιχμής (M3/S)	802.34
Χρονική στιγμή αιχμής	02Sep2000, 24:00
Όγκος (MM)	441.22
Όγκος βροχόπτωσης (M3)	2.8E7
Όγκος απωλειών (M3)	5.08E6
Ενεργός Όγκος (M3)	2.29E7
Όγκος άμεσης απορροής (M3)	2.29E7
Όγκος βασικής απορροής (M3)	2.21E6

Βροχόπτωση και Απορροή



Υπολεκάνη: EL0513FR5016

Έκταση (KM2) : 70.55

Κατάντη : J12

Μέθοδος Απωλειών: SCS

Ποσοστό αδιαπέρατης επιφάνειας	0
Αριθμός Καμπύλης Απορροής-CN	72.83
Αρχικές Απώλειες	18.95

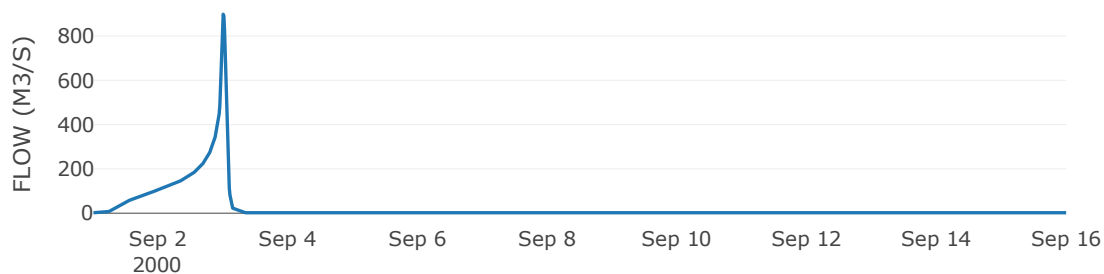
Μέθοδος  
Μετασχηματισμού: SCS

Χρόνος Υστέρησης	65.8
------------------	------

Αποτελέσματα:  
EL0513FR5016

Παροχή αιχμής (M3/S)	898.07
Χρονική στιγμή αιχμής	02Sep2000, 24:00
Όγκος (MM)	425.89
Όγκος βροχόπτωσης (M3)	3.42E7
Όγκος απωλειών (M3)	6.89E6
Ενεργός Όγκος (M3)	2.73E7
Όγκος άμεσης απορροής (M3)	2.73E7
Όγκος βασικής απορροής (M3)	2.74E6

Βροχόπτωση και Απορροή



Υπολεκάνη: EL0513FR5017

Έκταση (KM2) : 33.26

Κατάνη : J11

Μέθοδος Απωλειών: SCS

Ποσοστό αδιαπέρατης επιφάνειας	0
Αριθμός Καμπύλης Απορροής-CN	70.3
Αρχικές Απώλειες	21.46

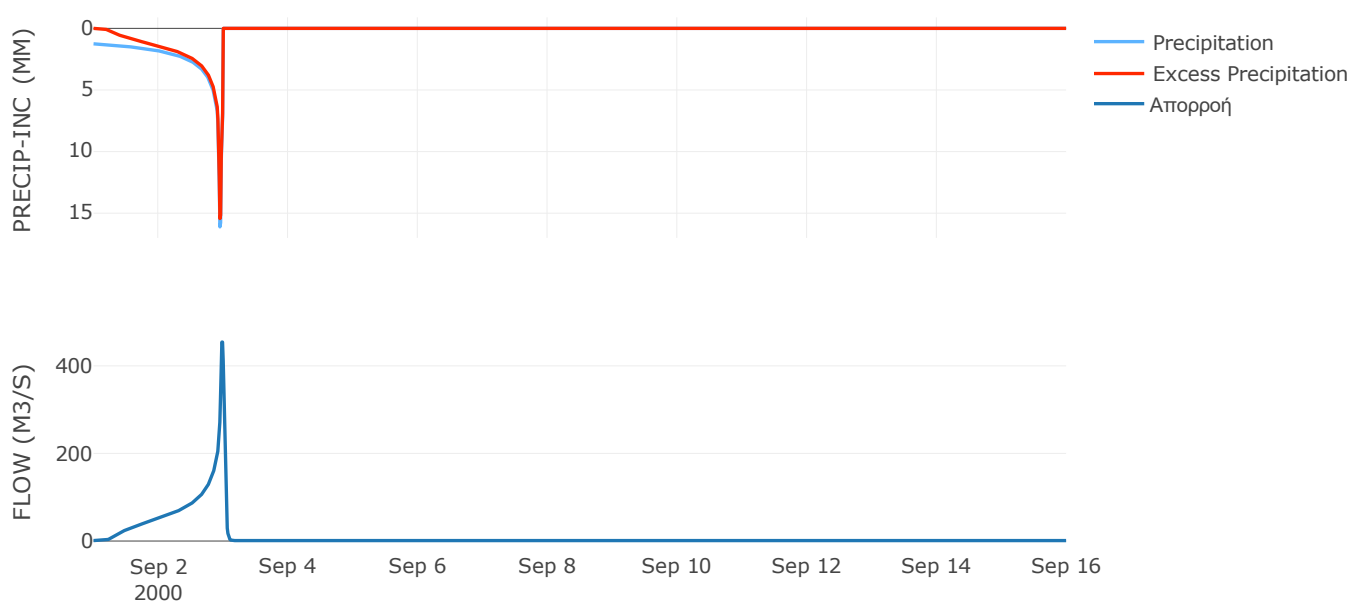
Μέθοδος  
Μετασχηματισμού: SCS

Χρόνος Υστέρησης	36.12
------------------	-------

Αποτελέσματα:  
EL0513FR5017

Παροχή αιχμής (M3/S)	454.23
Χρονική στιγμή αιχμής	02Sep2000, 23:30
Όγκος (MM)	418.25
Όγκος βροχόπτωσης (M3)	1.62E7
Όγκος απωλειών (M3)	3.62E6
Ενεργός Όγκος (M3)	1.26E7
Όγκος άμεσης απορροής (M3)	1.26E7
Όγκος βασικής απορροής (M3)	1.29E6

Βροχόπτωση και Απορροή



Υπολεκάνη: EL0513FR5018

Έκταση (KM2) : 14.02

Κατάληξη : J11

Μέθοδος Απωλειών: SCS

Ποσοστό αδιαπέρατης επιφάνειας	0
Αριθμός Καμπύλης Απορροής-CN	74.6
Αρχικές Απώλειες	17.29

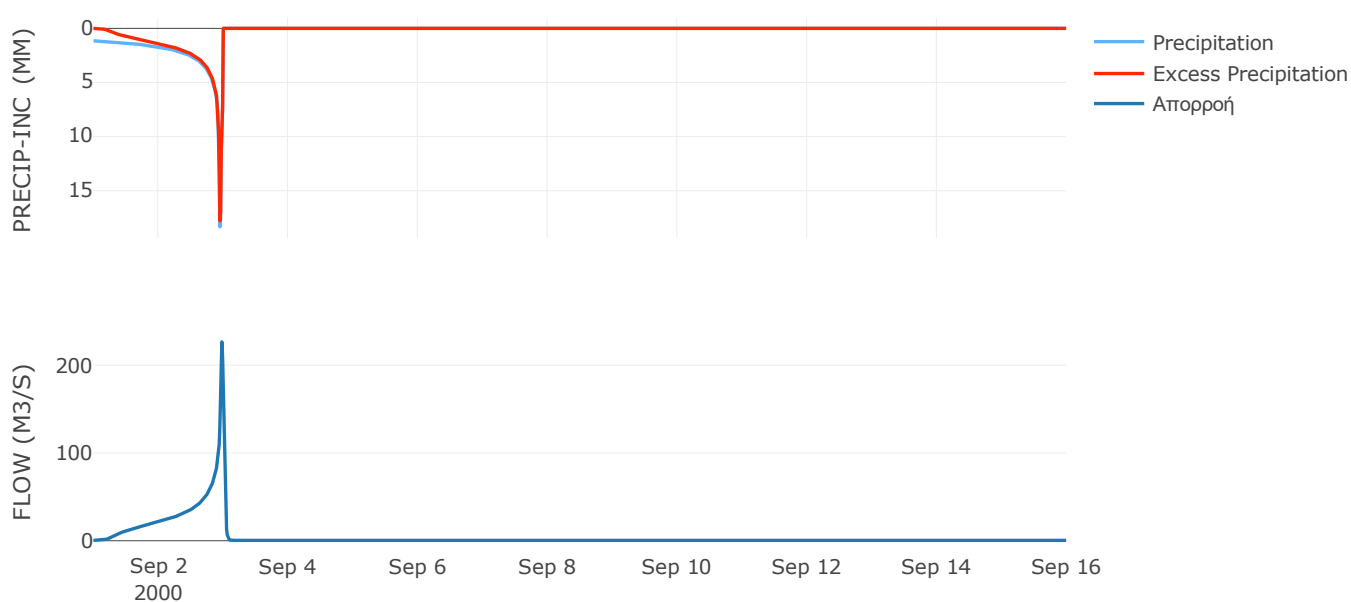
Μέθοδος  
Μετασχηματισμού: SCS

Χρόνος Υστέρησης	29.52
------------------	-------

Αποτελέσματα:  
EL0513FR5018

Παροχή αιχμής (M3/S)	226.54
Χρονική στιγμή αιχμής	02Sep2000, 23:30
Όγκος (MM)	426.97
Όγκος βροχόπτωσης (M3)	6.7E6
Όγκος απωλειών (M3)	1.26E6
Ενεργός Όγκος (M3)	5.44E6
Όγκος άμεσης απορροής (M3)	5.44E6
Όγκος βασικής απορροής (M3)	5.45E5

Βροχόπτωση και Απορροή



Υπολεκάνη: EL0513FR5019

Έκταση (KM2) : 105.27

Κατάνη : J15

Μέθοδος Απωλειών: SCS

Ποσοστό αδιαπέρατης επιφάνειας	0
Αριθμός Καμπύλης Απορροής-CN	77.85
Αρχικές Απώλειες	14.45

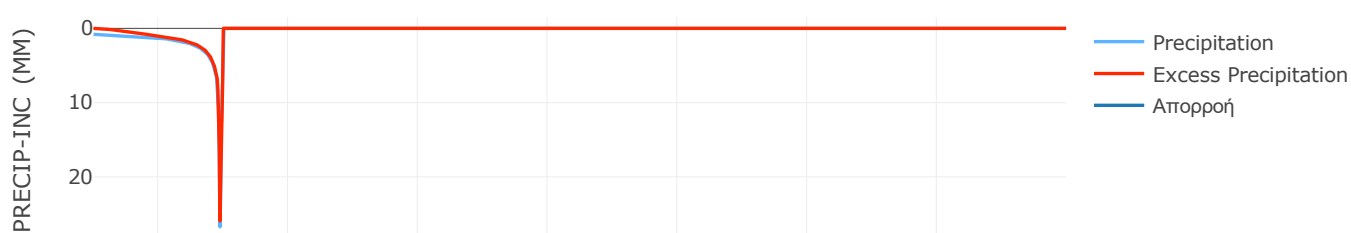
Μέθοδος  
Μετασχηματισμού: SCS

Χρόνος Υστέρησης	120.58
------------------	--------

Αποτελέσματα:  
EL0513FR5019

Παροχή αιχμής (M3/S)	1270.96
Χρονική στιγμή αιχμής	03Sep2000, 00:45
Όγκος (MM)	390.36
Όγκος βροχόπτωσης (M3)	4.5E7
Όγκος απωλειών (M3)	7.99E6
Ενεργός Όγκος (M3)	3.7E7
Όγκος άμεσης απορροής (M3)	3.7E7
Όγκος βασικής απορροής (M3)	4.09E6

Βροχόπτωση και Απορροή



Υπολεκάνη: EL0513FR5020

Έκταση (KM2) : 49.32

Κατάντη : J14

Μέθοδος Απωλειών: SCS

Ποσοστό αδιαπέρατης επιφάνειας	0
Αριθμός Καμπύλης Απορροής-CN	73.39
Αρχικές Απώλειες	18.42

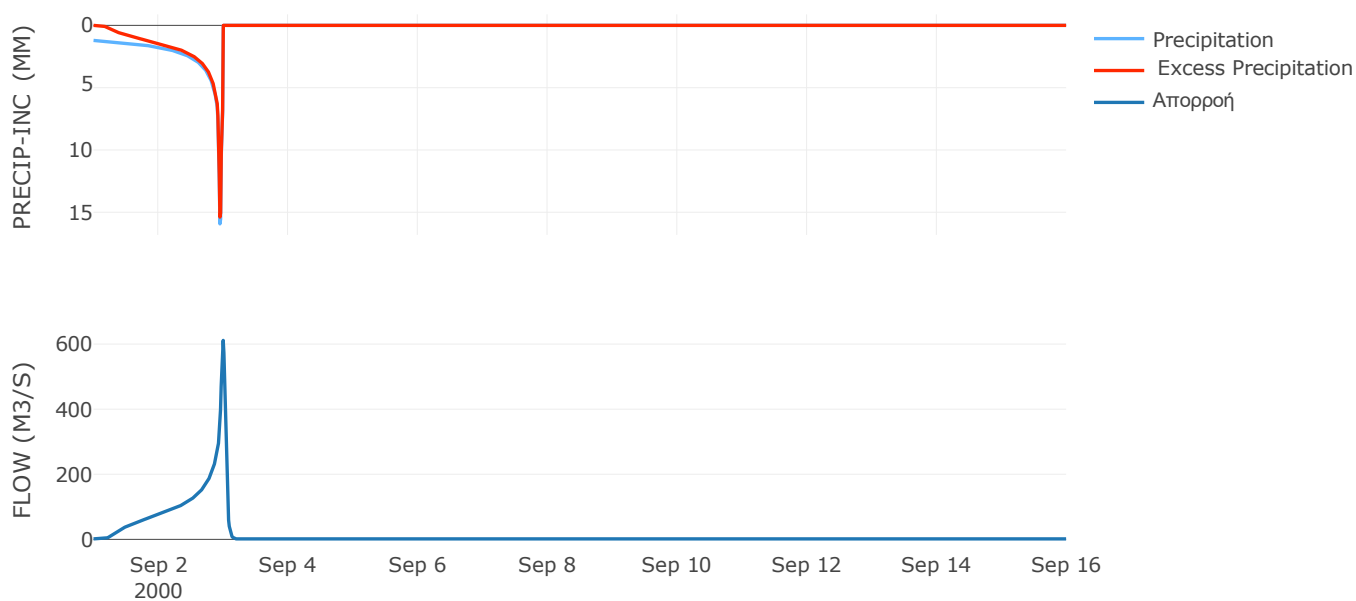
Μέθοδος  
Μετασχηματισμού: SCS

Χρόνος Υστέρησης	53.97
------------------	-------

Αποτελέσματα:  
EL0513FR5020

Παροχή αιχμής (M3/S)	611.3
Χρονική στιγμή αιχμής	02Sep2000, 24:00
Όγκος (MM)	418.2
Όγκος βροχόπτωσης (M3)	2.34E7
Όγκος απωλειών (M3)	4.69E6
Ενεργός Όγκος (M3)	1.87E7
Όγκος άμεσης απορροής (M3)	1.87E7
Όγκος βασικής απορροής (M3)	1.92E6

Βροχόπτωση και Απορροή



Υπολεκάνη: EL0513FR5021

Έκταση (KM2) : 21.13

Κατάντη : J19

Μέθοδος Απωλειών: SCS

Ποσοστό αδιαπέρατης επιφάνειας	0
Αριθμός Καμπύλης Απορροής-CN	84.79
Αρχικές Απώλειες	9.11

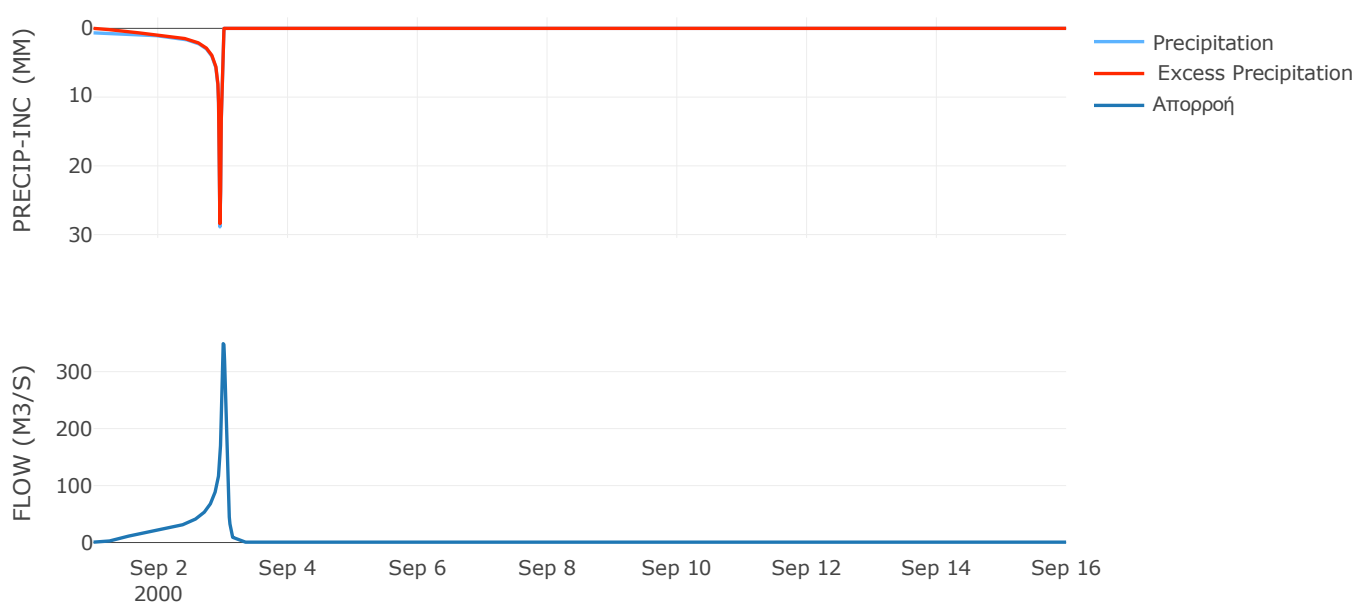
Μέθοδος  
Μετασχηματισμού: SCS

Χρόνος Υστέρησης	67.4
------------------	------

Αποτελέσματα:  
EL0513FR5021

Παροχή αιχμής (M3/S)	349.18
Χρονική στιγμή αιχμής	02Sep2000, 24:00
Όγκος (MM)	378.91
Όγκος βροχόπτωσης (M3)	8.24E6
Όγκος απωλειών (M3)	1.05E6
Ενεργός Όγκος (M3)	7.18E6
Όγκος άμεσης απορροής (M3)	7.18E6
Όγκος βασικής απορροής (M3)	8.21E5

Βροχόπτωση και Απορροή



Υπολεκάνη: EL0513FR5022

Έκταση (KM2) : 8.23

Κατάντη : J20

Μέθοδος Απωλειών: SCS

Ποσοστό αδιαπέρατης επιφάνειας	0
Αριθμός Καμπύλης Απορροής-CN	90.74
Αρχικές Απώλειες	5.18

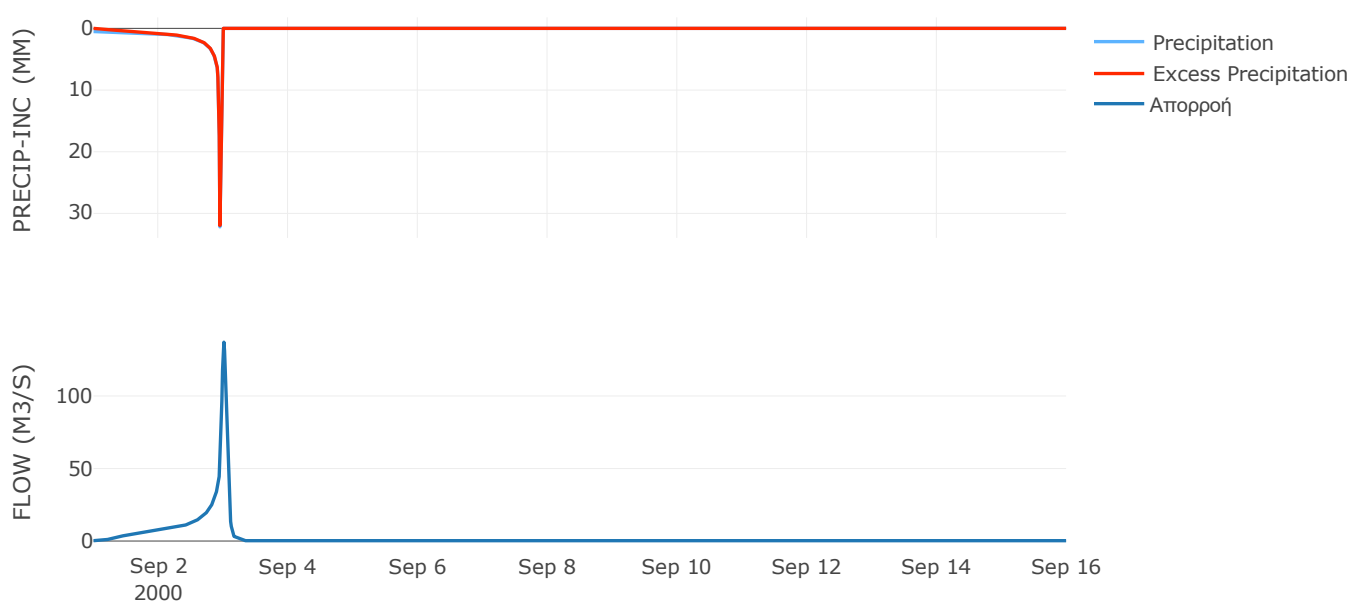
Μέθοδος  
Μετασχηματισμού: SCS

Χρόνος Υστέρησης	75.26
------------------	-------

Αποτελέσματα:  
EL0513FR5022

Παροχή αιχμής (M3/S)	137.07
Χρονική στιγμή αιχμής	03Sep2000, 00:15
Όγκος (MM)	363.42
Όγκος βροχόπτωσης (M3)	2.91E6
Όγκος απωλειών (M3)	2.41E5
Ενεργός Όγκος (M3)	2.67E6
Όγκος άμεσης απορροής (M3)	2.67E6
Όγκος βασικής απορροής (M3)	3.2E5

Βροχόπτωση και Απορροή





Υπολεκάνη: EL0513FR5023

Έκταση (KM2) : 11.05

Κατάντη : J19

Μέθοδος Απωλειών: SCS

Ποσοστό αδιαπέρατης επιφάνειας	0
Αριθμός Καμπύλης Απορροής-CN	90.44
Αρχικές Απώλειες	5.37

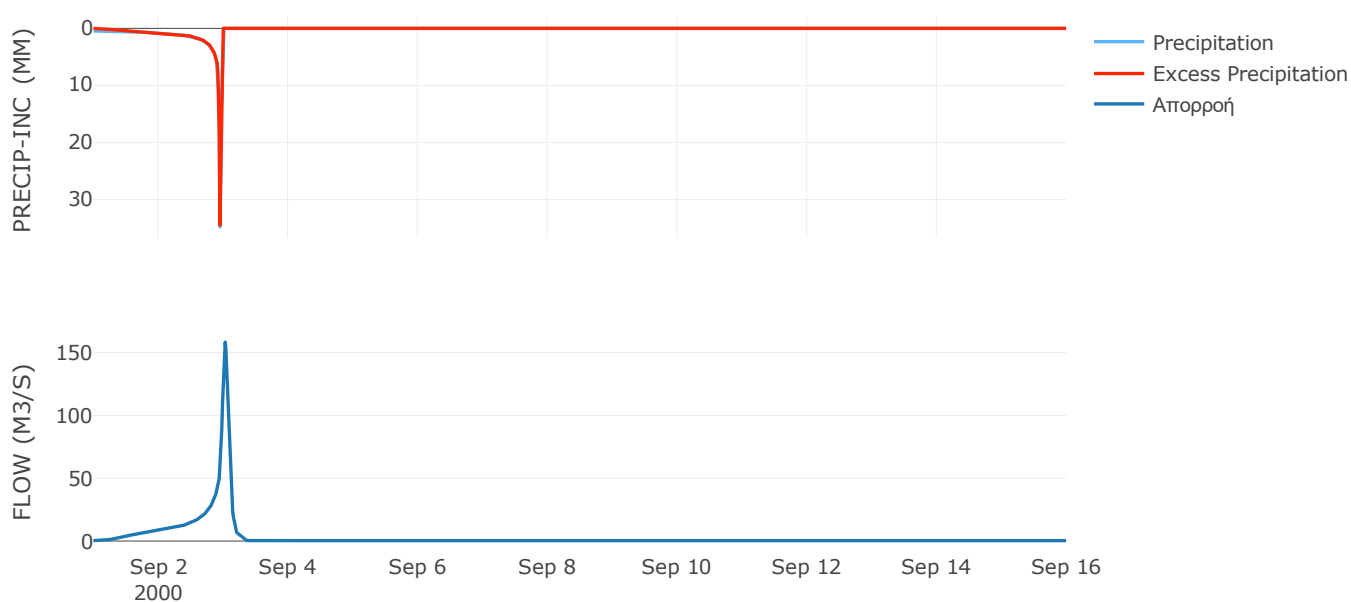
Μέθοδος  
Μετασχηματισμού: SCS

Χρόνος Υστέρησης	105.68
------------------	--------

Αποτελέσματα:  
EL0513FR5023

Παροχή αιχμής (M3/S)	158.35
Χρονική στιγμή αιχμής	03Sep2000, 00:45
Όγκος (MM)	350.58
Όγκος βροχόπτωσης (M3)	3.78E6
Όγκος απωλειών (M3)	3.34E5
Ενεργός Όγκος (M3)	3.45E6
Όγκος άμεσης απορροής (M3)	3.45E6
Όγκος βασικής απορροής (M3)	4.3E5

Βροχόπτωση και Απορροή



Υπολεκάνη: EL0513FR5024

Έκταση (KM2) : 5.88

Κατάντη : J4

Μέθοδος Απωλειών: SCS

Ποσοστό αδιαπέρατης επιφάνειας	0
Αριθμός Καμπύλης Απορροής-CN	86.95
Αρχικές Απώλειες	7.63

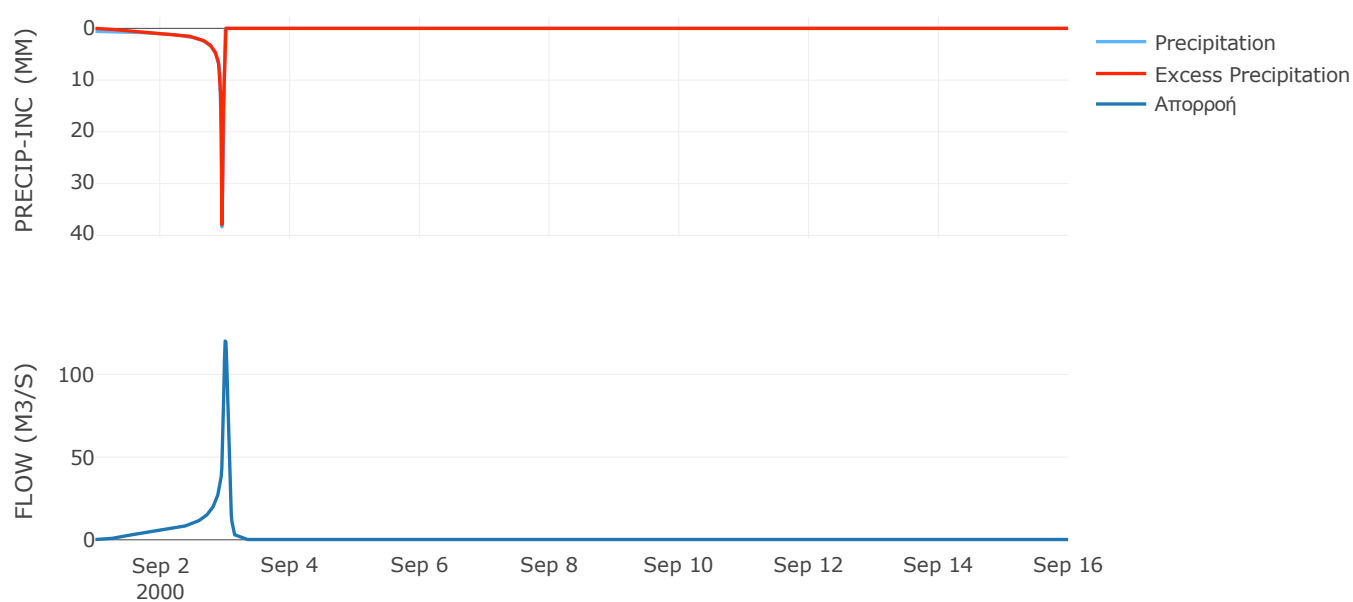
Μέθοδος  
Μετασχηματισμού: SCS

Χρόνος Υστέρησης	67.39
------------------	-------

Αποτελέσματα:  
EL0513FR5024

Παροχή αιχμής (M3/S)	120.23
Χρονική στιγμή αιχμής	02Sep2000, 24:00
Όγκος (MM)	403.82
Όγκος βροχόπτωσης (M3)	2.4E6
Όγκος απωλειών (M3)	2.5E5
Ενεργός Όγκος (M3)	2.15E6
Όγκος άμεσης απορροής (M3)	2.15E6
Όγκος βασικής απορροής (M3)	2.29E5

Βροχόπτωση και Απορροή



Υπολεκάνη: EL0513FR5025

Έκταση (KM2) : 50.61

Κατάντη : J7

Μέθοδος Απωλειών: SCS

Ποσοστό αδιαπέρατης επιφάνειας	0
Αριθμός Καμπύλης Απορροής-CN	84.83
Αρχικές Απώλειες	9.09

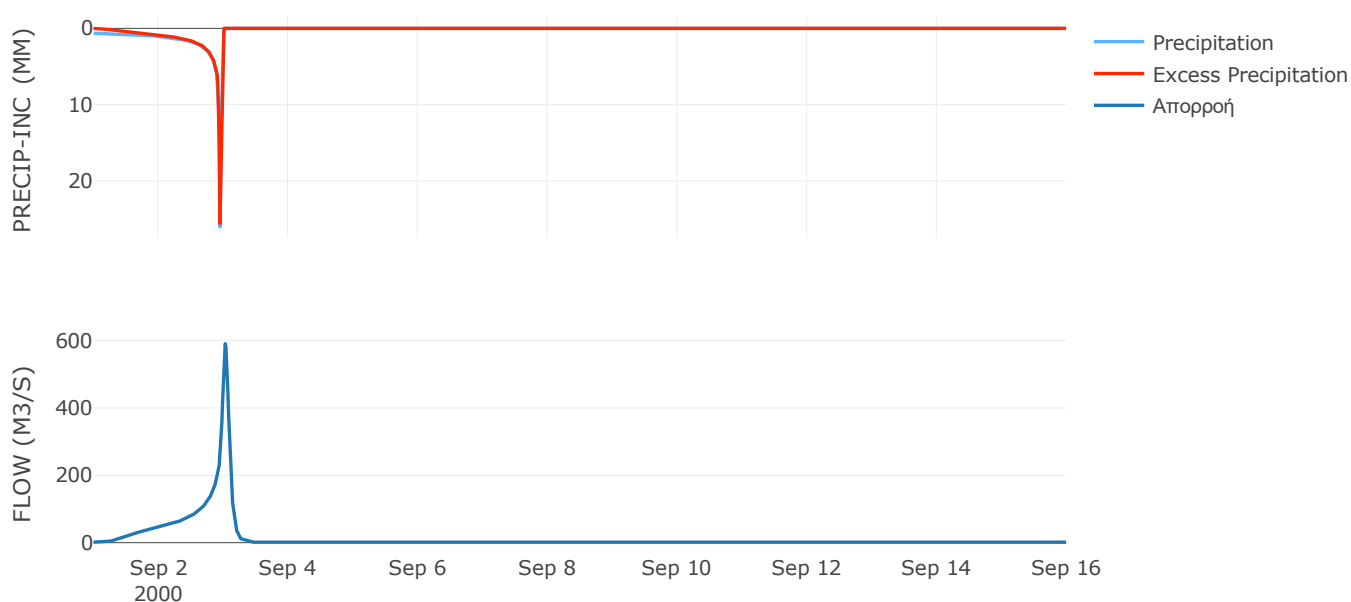
Μέθοδος  
Μετασχηματισμού: SCS

Χρόνος Υστέρησης	114.63
------------------	--------

Αποτελέσματα:  
EL0513FR5025

Παροχή αιχμής (M3/S)	590.7
Χρονική στιγμή αιχμής	03Sep2000, 00:45
Όγκος (MM)	356.09
Όγκος βροχόπτωσης (M3)	1.86E7
Όγκος απωλειών (M3)	2.5E6
Ενεργός Όγκος (M3)	1.61E7
Όγκος άμεσης απορροής (M3)	1.61E7
Όγκος βασικής απορροής (M3)	1.97E6

Βροχόπτωση και Απορροή



Υπολεκάνη: EL0513FR5026

Έκταση (KM2) : 20.26

Κατάντη : J18

Μέθοδος Απωλειών: SCS

Ποσοστό αδιαπέρατης επιφάνειας	0
Αριθμός Καμπύλης Απορροής-CN	88.58
Αρχικές Απώλειες	6.55

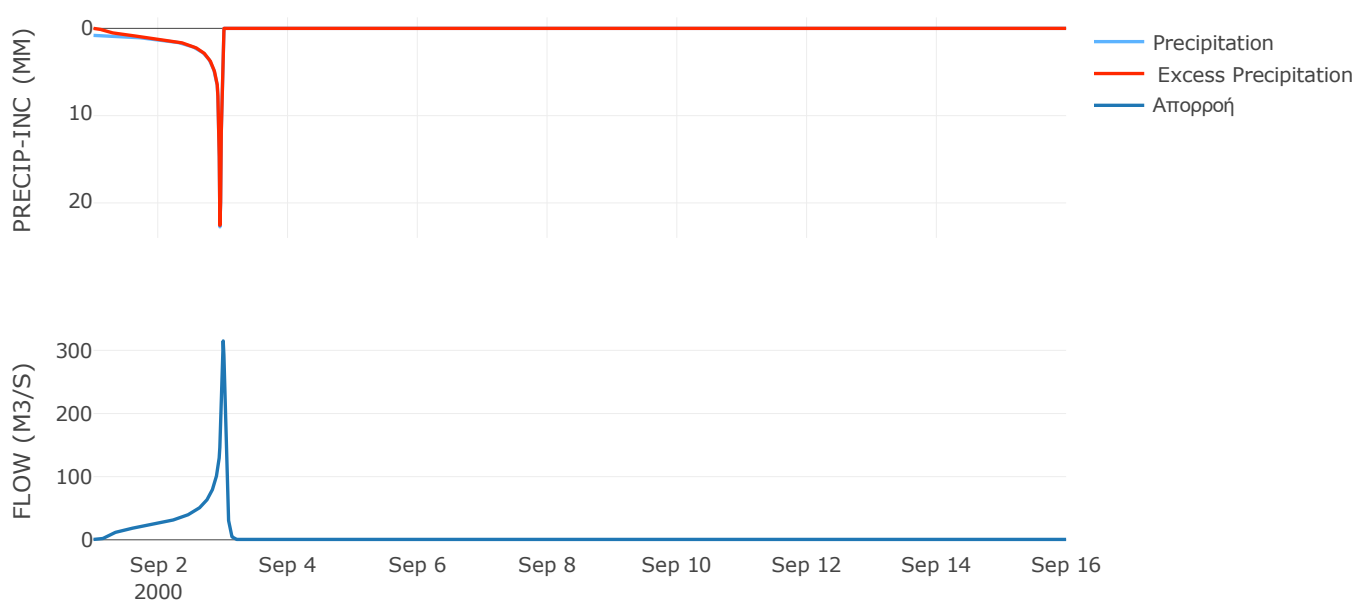
Μέθοδος  
Μετασχηματισμού: SCS

Χρόνος Υστέρησης	55.16
------------------	-------

Αποτελέσματα:  
EL0513FR5026

Παροχή αιχμής (M3/S)	314.96
Χρονική στιγμή αιχμής	02Sep2000, 24:00
Όγκος (MM)	406.71
Όγκος βροχόπτωσης (M3)	8.2E6
Όγκος απωλειών (M3)	7.46E5
Ενεργός Όγκος (M3)	7.45E6
Όγκος άμεσης απορροής (M3)	7.45E6
Όγκος βασικής απορροής (M3)	7.88E5

Βροχόπτωση και Απορροή



Υπολεκάνη: EL0513FR5027

Έκταση (KM2) : 40.56

Κατάντη : J18

Μέθοδος Απωλειών: SCS

Ποσοστό αδιαπέρατης επιφάνειας	0
Αριθμός Καμπύλης Απορροής-CN	82.92
Αρχικές Απώλειες	10.46

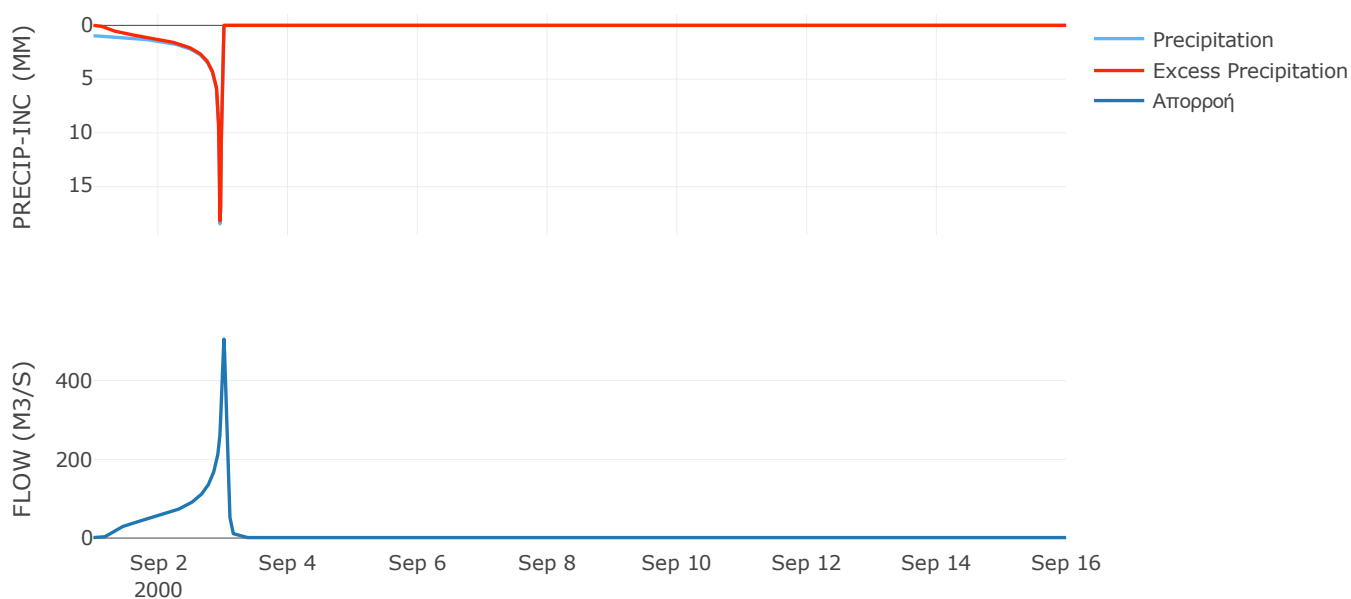
Μέθοδος  
Μετασχηματισμού: SCS

Χρόνος Υστέρησης	68.41
------------------	-------

Αποτελέσματα:  
EL0513FR5027

Παροχή αιχμής (M3/S)	505.45
Χρονική στιγμή αιχμής	03Sep2000, 00:15
Όγκος (MM)	406.54
Όγκος βροχόπτωσης (M3)	1.72E7
Όγκος απωλειών (M3)	2.31E6
Ενεργός Όγκος (M3)	1.49E7
Όγκος άμεσης απορροής (M3)	1.49E7
Όγκος βασικής απορροής (M3)	1.58E6

Βροχόπτωση και Απορροή



Υπολεκάνη: EL0513FR5028

Έκταση (KM2) : 26.17

Κατάνη : J17

Μέθοδος Απωλειών: SCS

Ποσοστό αδιαπέρατης επιφάνειας	0
Αριθμός Καμπύλης Απορροής-CN	82.86
Αρχικές Απώλειες	10.51

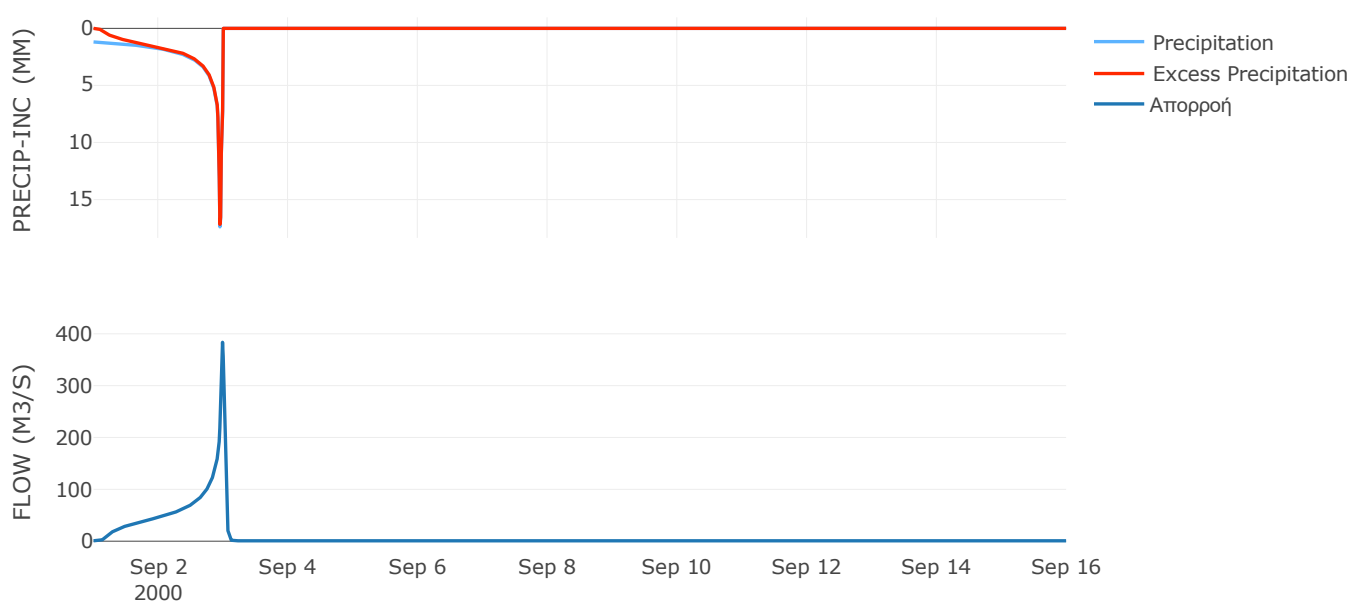
Μέθοδος  
Μετασχηματισμού: SCS

Χρόνος Υστέρησης	40
------------------	----

Αποτελέσματα:  
EL0513FR5028

Παροχή αιχμής (M3/S)	383.58
Χρονική στιγμή αιχμής	02Sep2000, 23:45
Όγκος (MM)	462.64
Όγκος βροχόπτωσης (M3)	1.26E7
Όγκος απωλειών (M3)	1.51E6
Ενεργός Όγκος (M3)	1.11E7
Όγκος άμεσης απορροής (M3)	1.11E7
Όγκος βασικής απορροής (M3)	1.02E6

Βροχόπτωση και Απορροή



Υπολεκάνη: EL0513FR5029

Έκταση (KM2) : 21.97

Κατάντη : J9

Μέθοδος Απωλειών: SCS

Ποσοστό αδιαπέρατης επιφάνειας	0
Αριθμός Καμπύλης Απορροής-CN	63.5
Αρχικές Απώλειες	29.2

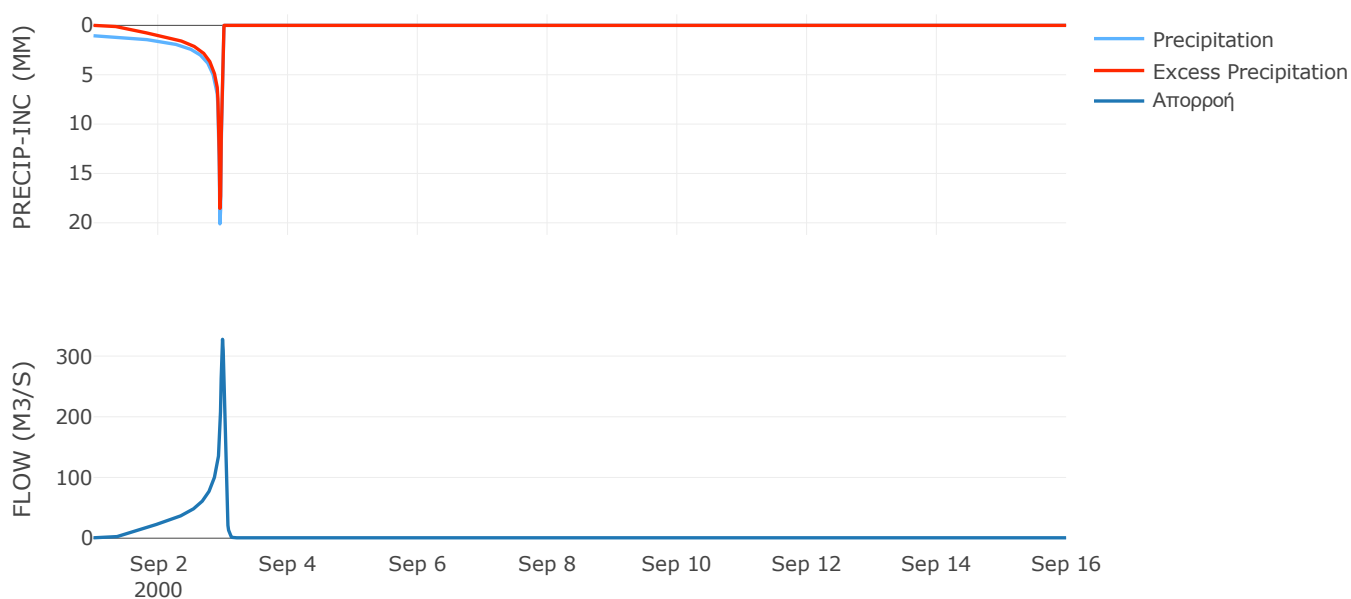
Μέθοδος  
Μετασχηματισμού: SCS

Χρόνος Υστέρησης	42.69
------------------	-------

Αποτελέσματα:  
EL0513FR5029

Παροχή αιχμής (M3/S)	327.67
Χρονική στιγμή αιχμής	02Sep2000, 23:45
Όγκος (MM)	363.64
Όγκος βροχόπτωσης (M3)	1.02E7
Όγκος απωλειών (M3)	3.04E6
Ενεργός Όγκος (M3)	7.14E6
Όγκος άμεσης απορροής (M3)	7.14E6
Όγκος βασικής απορροής (M3)	8.54E5

Βροχόπτωση και Απορροή



Υπολεκάνη: EL0513FR5030

Έκταση (KM2) : 13.43

Κατάντη : J5

Μέθοδος Απωλειών: SCS

Ποσοστό αδιαπέρατης επιφάνειας	0
Αριθμός Καμπύλης Απορροής-CN	80.68
Αρχικές Απώλειες	12.17

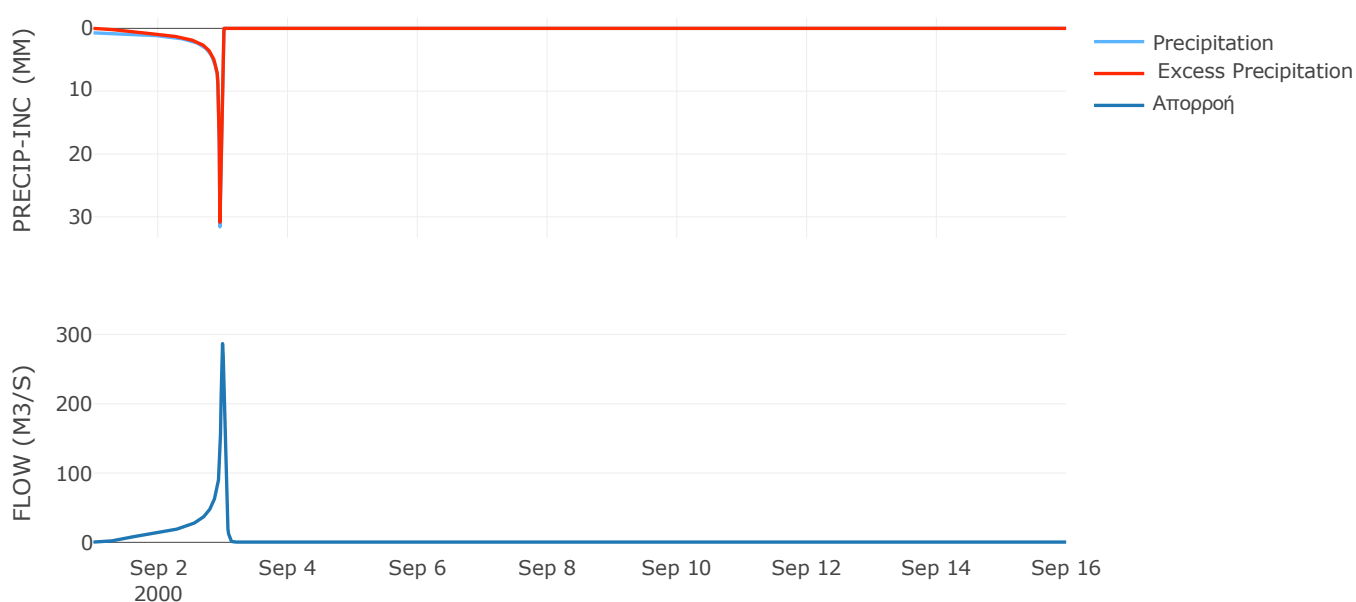
Μέθοδος  
Μετασχηματισμού: SCS

Χρόνος Υστέρησης	44.74
------------------	-------

Αποτελέσματα:  
EL0513FR5030

Παροχή αιχμής (M3/S)	286.83
Χρονική στιγμή αιχμής	02Sep2000, 23:45
Όγκος (MM)	399.08
Όγκος βροχόπτωσης (M3)	5.71E6
Όγκος απωλειών (M3)	8.76E5
Ενεργός Όγκος (M3)	4.84E6
Όγκος άμεσης απορροής (M3)	4.84E6
Όγκος βασικής απορροής (M3)	5.22E5

Βροχόπτωση και Απορροή





Υπολεκάνη: EL0513FR5031

Έκταση (KM2) : 13.12

Κατάνη : J15

Μέθοδος Απωλειών: SCS

Ποσοστό αδιαπέρατης επιφάνειας	0
Αριθμός Καμπύλης Απορροής-CN	80.52
Αρχικές Απώλειες	12.29

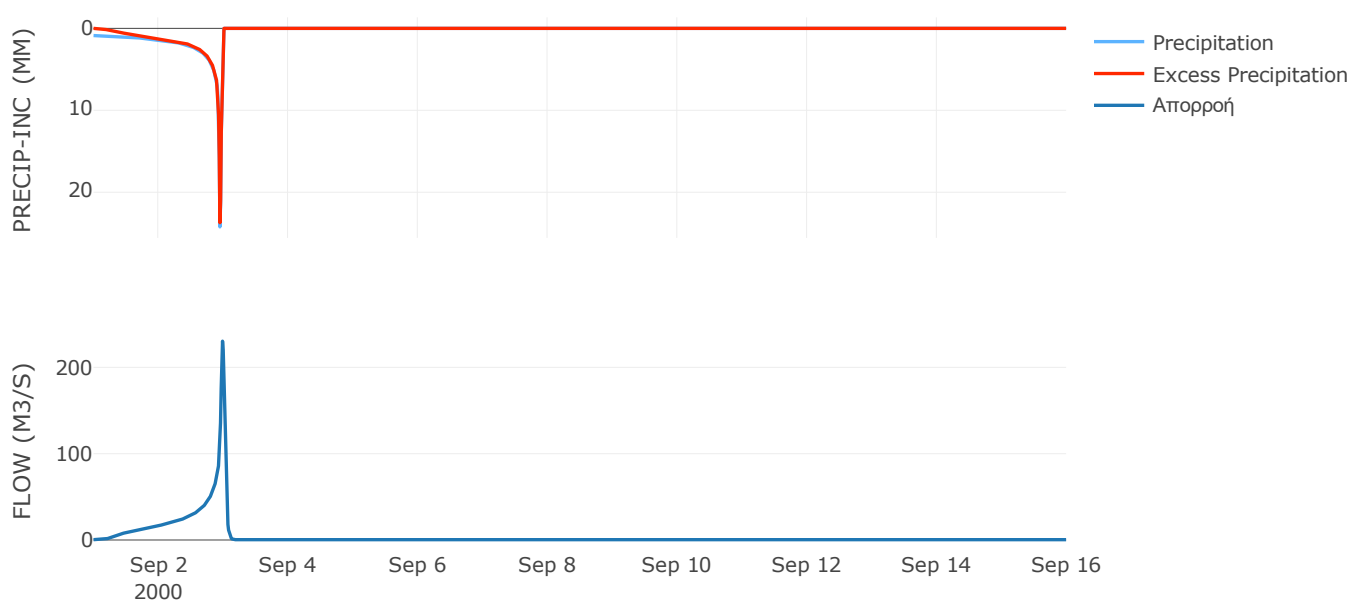
Μέθοδος  
Μετασχηματισμού: SCS

Χρόνος Υστέρησης	45.85
------------------	-------

Αποτελέσματα:  
EL0513FR5031

Παροχή αιχμής (M3/S)	230.36
Χρονική στιγμή αιχμής	02Sep2000, 23:45
Όγκος (MM)	411.24
Όγκος βροχόπτωσης (M3)	5.75E6
Όγκος απωλειών (M3)	8.66E5
Ενεργός Όγκος (M3)	4.89E6
Όγκος άμεσης απορροής (M3)	4.89E6
Όγκος βασικής απορροής (M3)	5.1E5

Βροχόπτωση και Απορροή



Υπολεκάνη: EL0513FR5032

Έκταση (KM2) : 17.35

Κατάνη : J16

Μέθοδος Απωλειών: SCS

Ποσοστό αδιαπέρατης επιφάνειας	0
Αριθμός Καμπύλης Απορροής-CN	70.21
Αρχικές Απώλειες	21.56

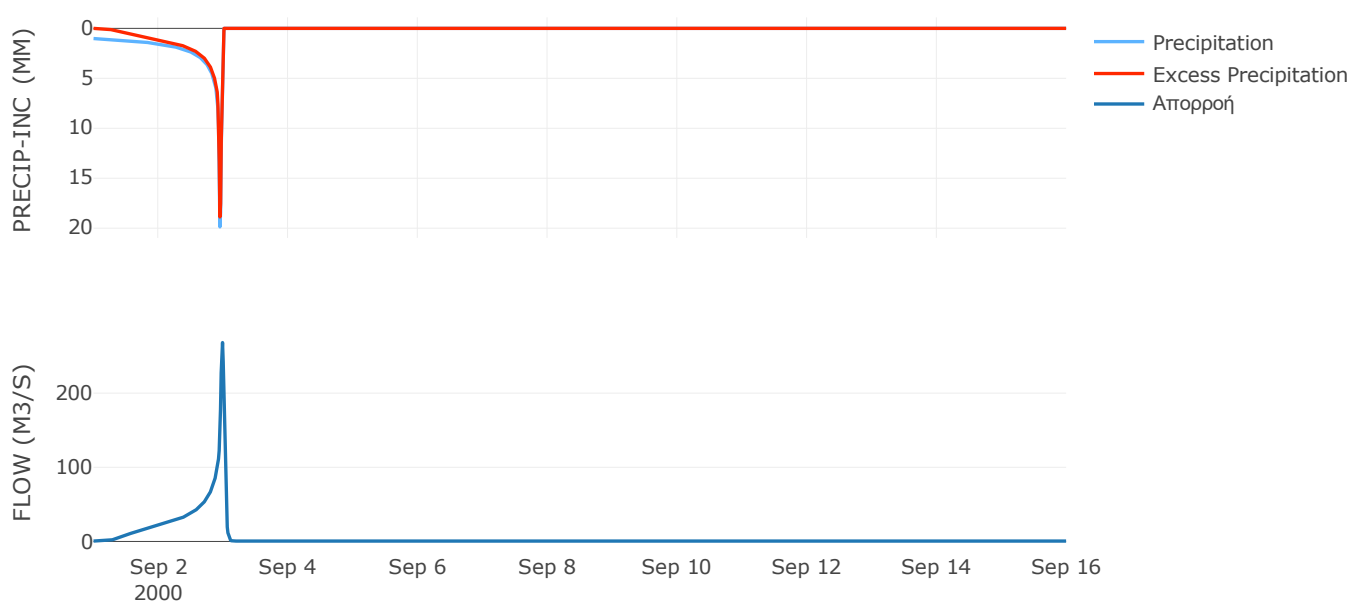
Μέθοδος  
Μετασχηματισμού: SCS

Χρόνος Υστέρησης	38.07
------------------	-------

Αποτελέσματα:  
EL0513FR5032

Παροχή αιχμής (M3/S)	268.22
Χρονική στιγμή αιχμής	02Sep2000, 23:45
Όγκος (MM)	383.17
Όγκος βροχόπτωσης (M3)	7.84E6
Όγκος απωλειών (M3)	1.87E6
Ενεργός Όγκος (M3)	5.97E6
Όγκος άμεσης απορροής (M3)	5.97E6
Όγκος βασικής απορροής (M3)	6.75E5

Βροχόπτωση και Απορροή



Υπολεκάνη: EL0513FR5033

Έκταση (KM2) : 4.63

Κατάνη : J21 Res1

Μέθοδος Απωλειών: SCS

Ποσοστό αδιαπέρατης επιφάνειας	0
Αριθμός Καμπύλης Απορροής-CN	68.7
Αρχικές Απώλειες	23.15

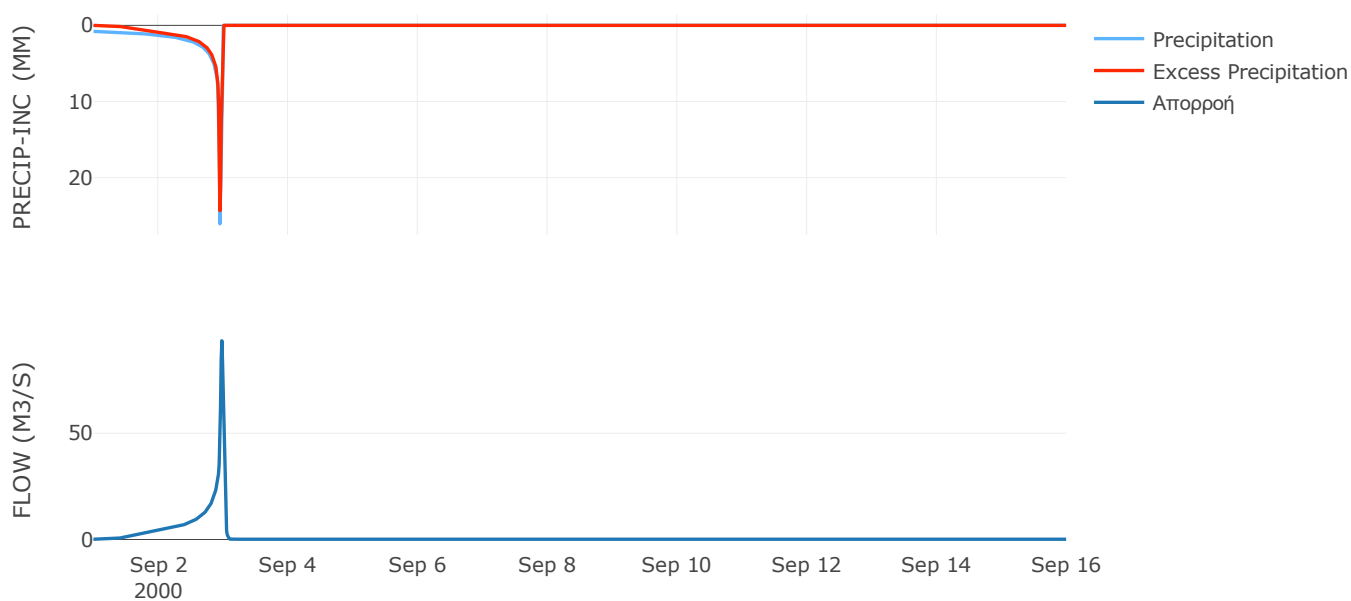
Μέθοδος  
Μετασχηματισμού: SCS

Χρόνος Υστέρησης	28.7
------------------	------

Αποτελέσματα:  
EL0513FR5033

Παροχή αιχμής (M3/S)	93.57
Χρονική στιγμή αιχμής	02Sep2000, 23:30
Όγκος (MM)	347.23
Όγκος βροχόπτωσης (M3)	1.95E6
Όγκος απωλειών (M3)	5.22E5
Ενεργός Όγκος (M3)	1.43E6
Όγκος άμεσης απορροής (M3)	1.43E6
Όγκος βασικής απορροής (M3)	1.8E5

Βροχόπτωση και Απορροή



## 10.2 Δεδομένα και υδρογραφήματα σχεδιασμού Κλάδων υδρογραφικού δικτύου

Κλάδος: R21

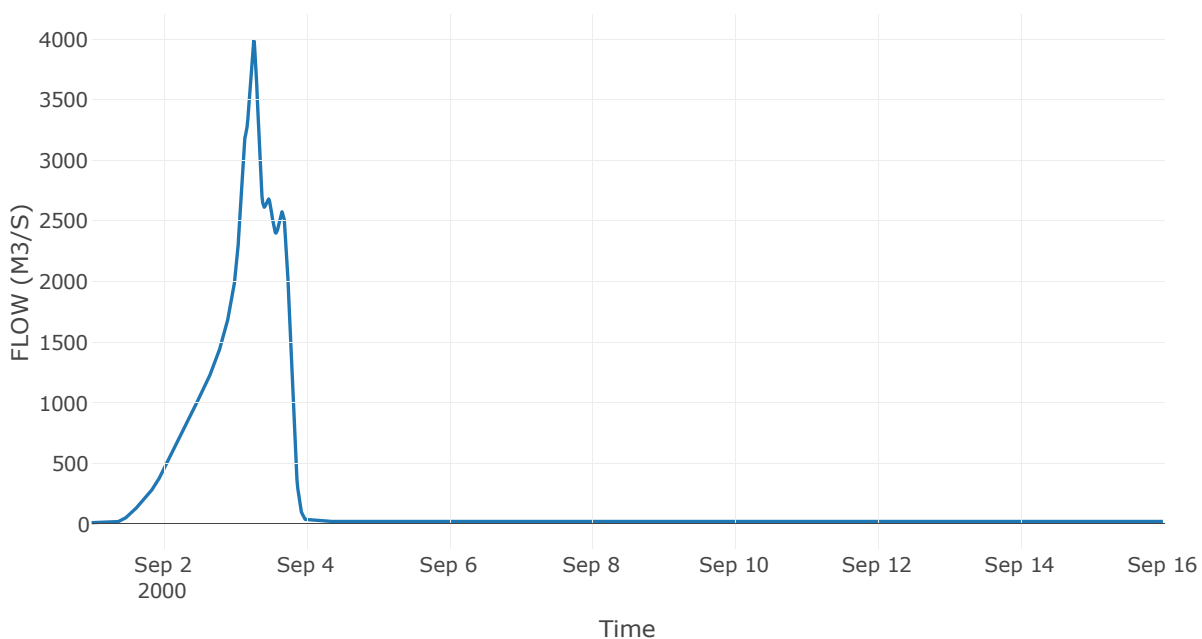
Κατάντη : J1

Μέθοδος Διόδευσης	Muskingum
Αρχική Μεταβλητή	Combined Inflow
Χρόνος Ροής Κ	1.01
Συντελεστής βάρους x	0.2
Πλήθος Υποκλάδων	5

Αποτελέσματα: R21

Παροχή Αιχμής(M3/S)	3987.96
Χρονική στιγμή αιχμής	03Sep2000, 06:30
Όγκος(MM)	403.87
Παροχή Αιχμής Εισόδου (M3/S)	4029.95
Όγκος Εισροής(M3)	3.27E8

Απορροή



Κλάδος: R32

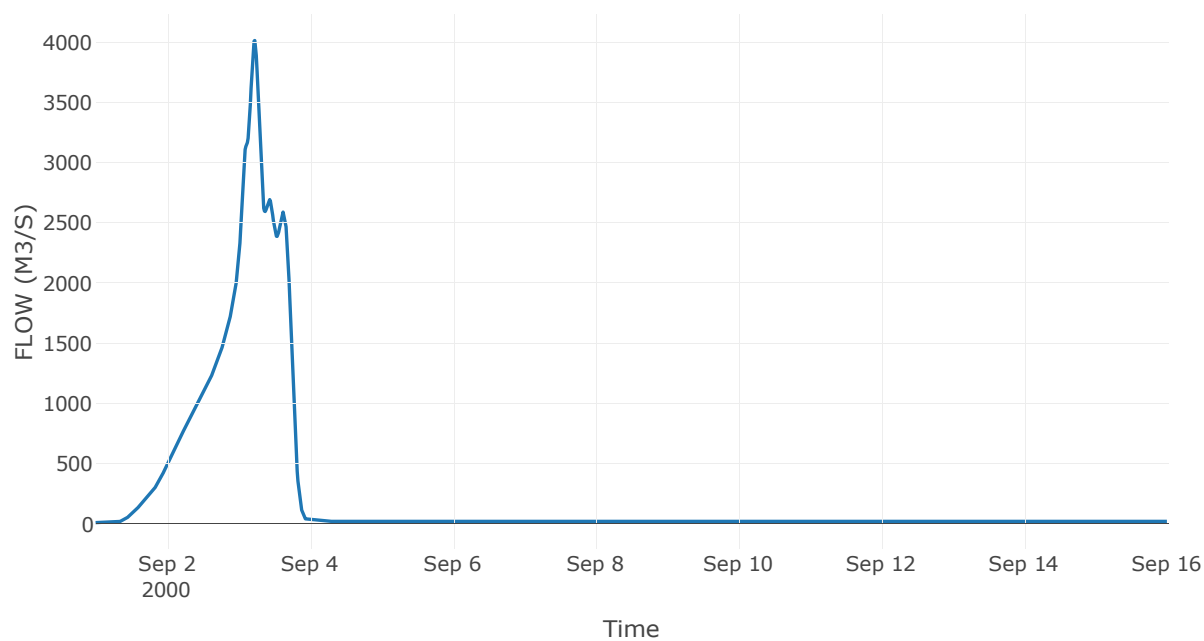
Κατάντη : J2

Μέθοδος Διόδευσης	Muskingum
Αρχική Μεταβλητή	Combined Inflow
Χρόνος Ροής K	1.56
Συντελεστής βάρους x	0.2
Πλήθος Υποκλάδων	7

Αποτελέσματα: R32

Παροχή Αιχμής(M3/S)	4014.34
Χρονική στιγμή αιχμής	03Sep2000, 05:30
Όγκος(MM)	404.28
Παροχή Αιχμής Εισόδου (M3/S)	4097.32
Όγκος Εισροής(M3)	3.24E8

Απορροή



Κλάδος: R43

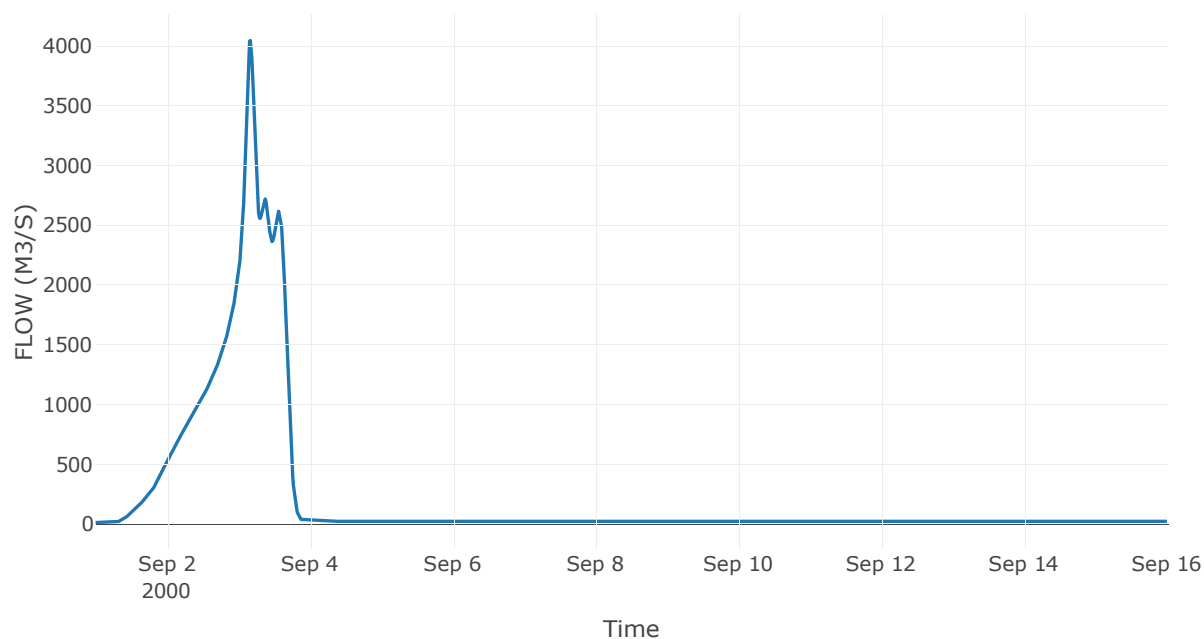
Κατάντη : J3

Μέθοδος Διόδευσης	Muskingum
Αρχική Μεταβλητή	Combined Inflow
Χρόνος Ροής K	2.97
Συντελεστής βάρους x	0.2
Πλήθος Υποκλάδων	14

Αποτελέσματα: R43

Παροχή Αιχμής(M3/S)	4043.71
Χρονική στιγμή αιχμής	03Sep2000, 04:00
Όγκος(MM)	406.77
Παροχή Αιχμής Εισόδου (M3/S)	4242.3
Όγκος Εισροής(M3)	3.02E8

Απορροή



Κλάδος: R54

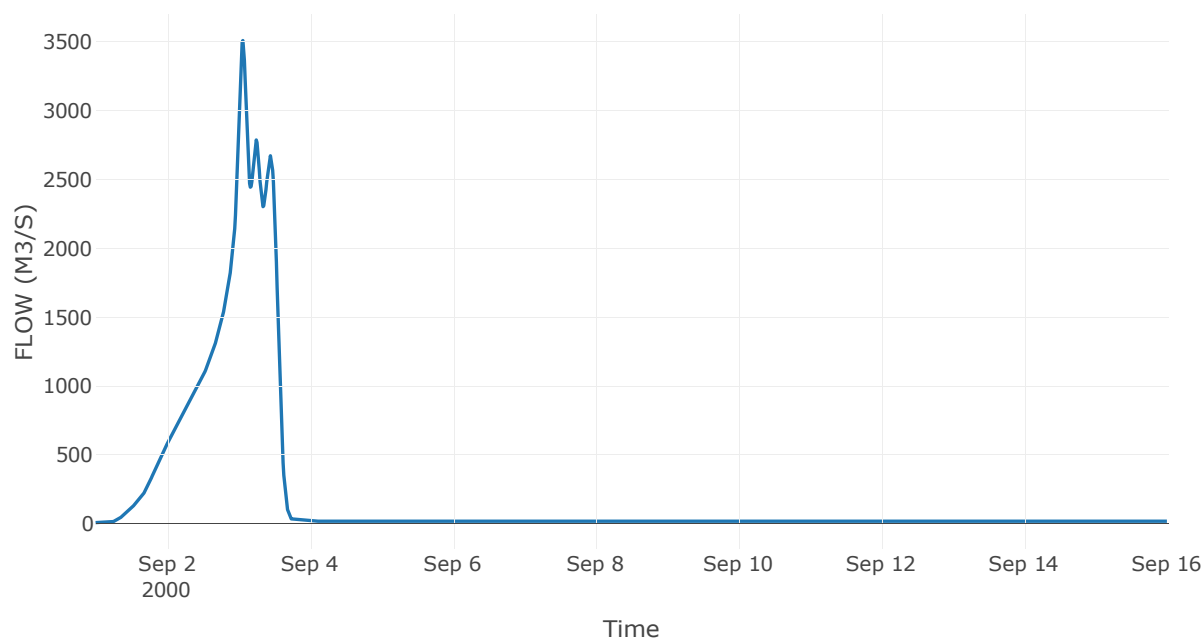
Κατάντη : J4

Μέθοδος Διόδευσης	Muskingum
Αρχική Μεταβλητή	Combined Inflow
Χρόνος Ροής K	0.13
Συντελεστής βάρους x	0.2
Πλήθος Υποκλάδων	1

Αποτελέσματα: R54

Παροχή Αιχμής(M3/S)	3509.39
Χρονική στιγμή αιχμής	03Sep2000, 01:30
Όγκος(MM)	407
Παροχή Αιχμής Εισόδου (M3/S)	3515.88
Όγκος Εισροής(M3)	2.73E8

Απορροή



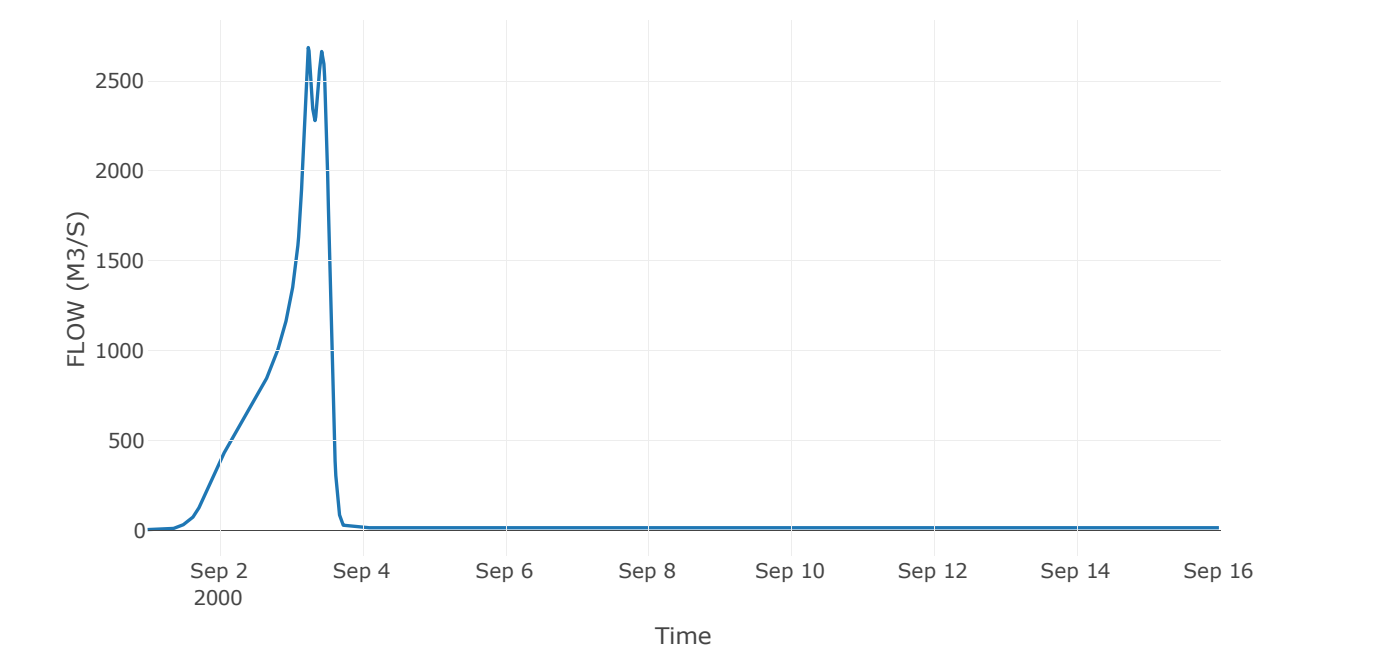
Κλάδος: R65

Κατάντη : J5

Μέθοδος Διόδευσης	Muskingum
Αρχική Μεταβλητή	Combined Inflow
Χρόνος Ροής K	3.58
Συντελεστής βάρους x	0.2
Πλήθος Υποκλάδων	17

Αποτελέσματα: R65	
Παροχή Αιχμής(M3/S)	2687.33
Χρονική στιγμή αιχμής	03Sep2000, 06:00
Όγκος(MM)	411.49
Παροχή Αιχμής Εισόδου (M3/S)	2853.42
Όγκος Εισροής(M3)	1.96E8

Απορροή





Κλάδος: R76

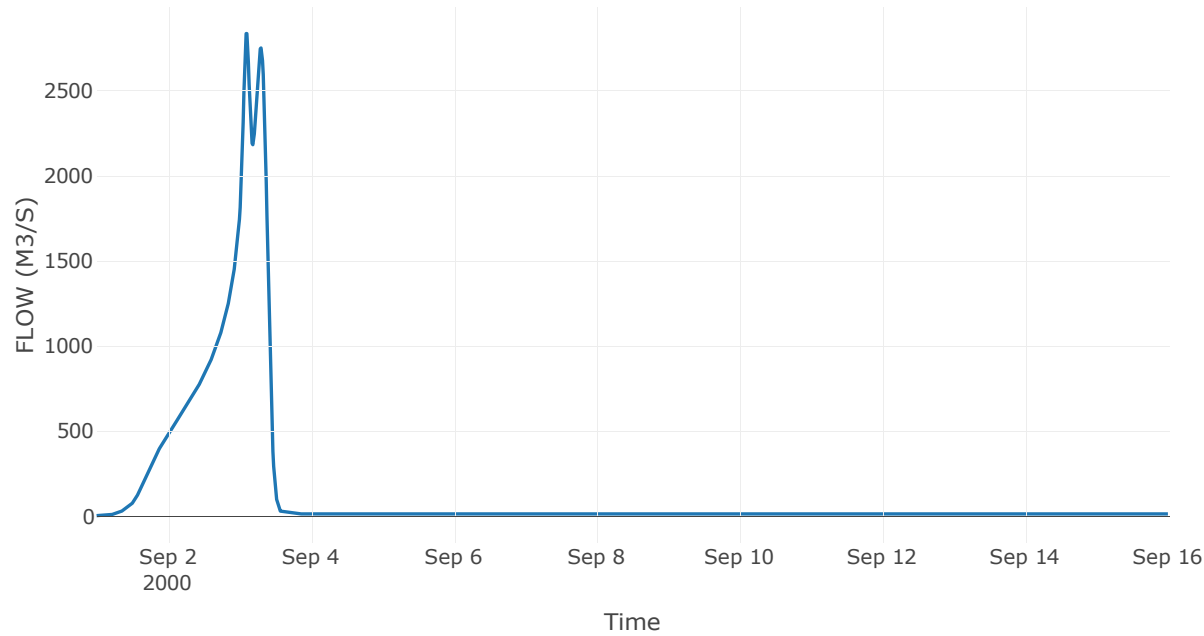
Κατάντη : J6

Μέθοδος Διόδευσης	Muskingum
Αρχική Μεταβλητή	Combined Inflow
Χρόνος Ροής K	1.49
Συντελεστής βάρους x	0.2
Πλήθος Υποκλάδων	7

Αποτελέσματα: R76

Παροχή Αιχμής(M3/S)	2836.26
Χρονική στιγμή αιχμής	03Sep2000, 02:30
Όγκος(MM)	412.33
Παροχή Αιχμής Εισόδου (M3/S)	2953.99
Όγκος Εισροής(M3)	1.95E8

Απορροή



Κλάδος: R87

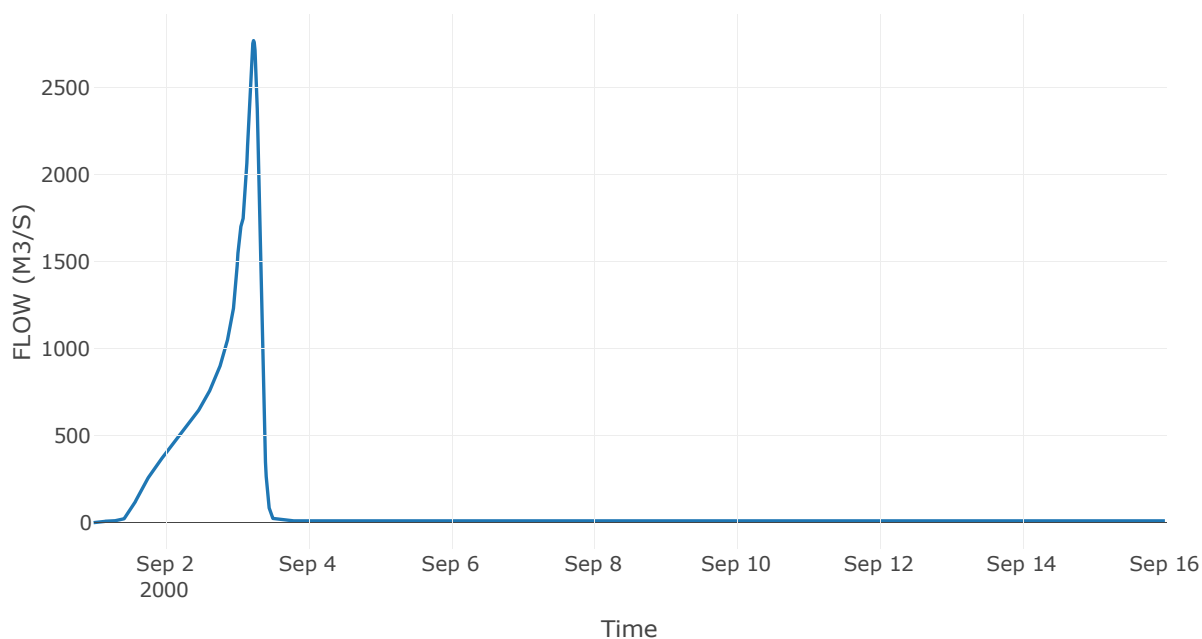
Κατάντη : J7

Μέθοδος Διόδευσης	Muskingum
Αρχική Μεταβλητή	Combined Inflow
Χρόνος Ροής K	0.94
Συντελεστής βάρους x	0.2
Πλήθος Υποκλάδων	5

Αποτελέσματα: R87

Παροχή Αιχμής(M3/S)	2769.35
Χρονική στιγμή αιχμής	03Sep2000, 05:45
Όγκος(MM)	421.31
Παροχή Αιχμής Εισόδου (M3/S)	2791.43
Όγκος Εισροής(M3)	1.52E8

Απορροή



Κλάδος: R218

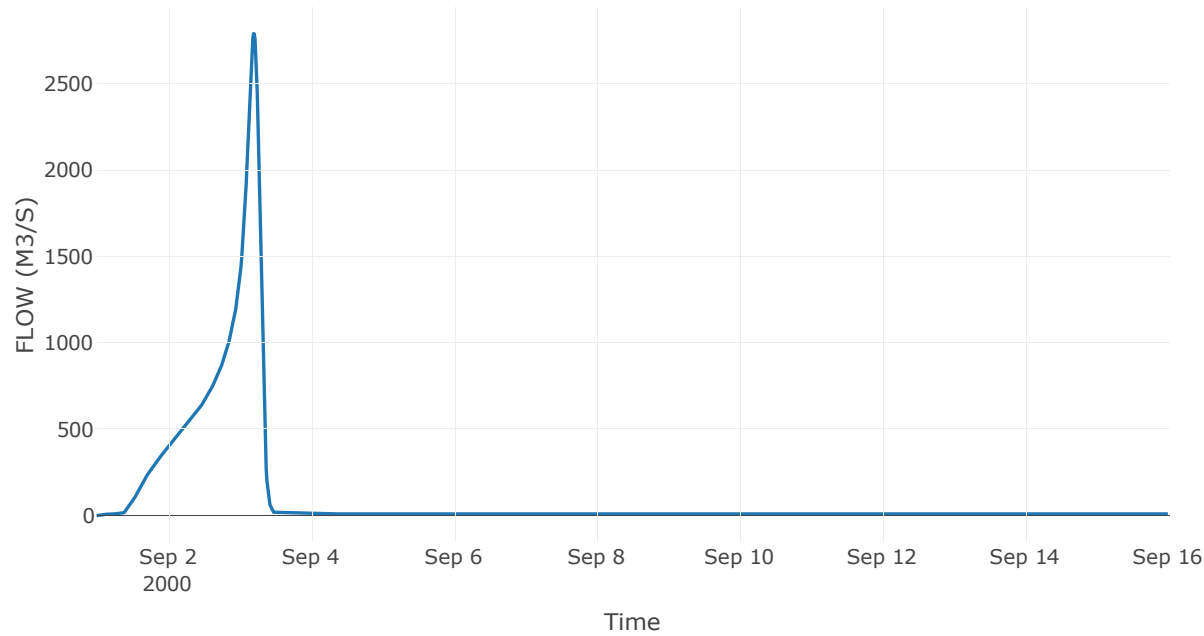
Κατάντη : J8

Μέθοδος Διόδευσης	Muskingum
Αρχική Μεταβλητή	Combined Inflow
Χρόνος Ροής K	1.85
Συντελεστής βάρους x	0.2
Πλήθος Υποκλάδων	9

Αποτελέσματα: R218

Παροχή Αιχμής(M3/S)	2790.43
Χρονική στιγμή αιχμής	03Sep2000, 04:45
Όγκος(MM)	424.75
Παροχή Αιχμής Εισόδου (M3/S)	2847.86
Όγκος Εισροής(M3)	1.45E8

Απορροή



Κλάδος: R921

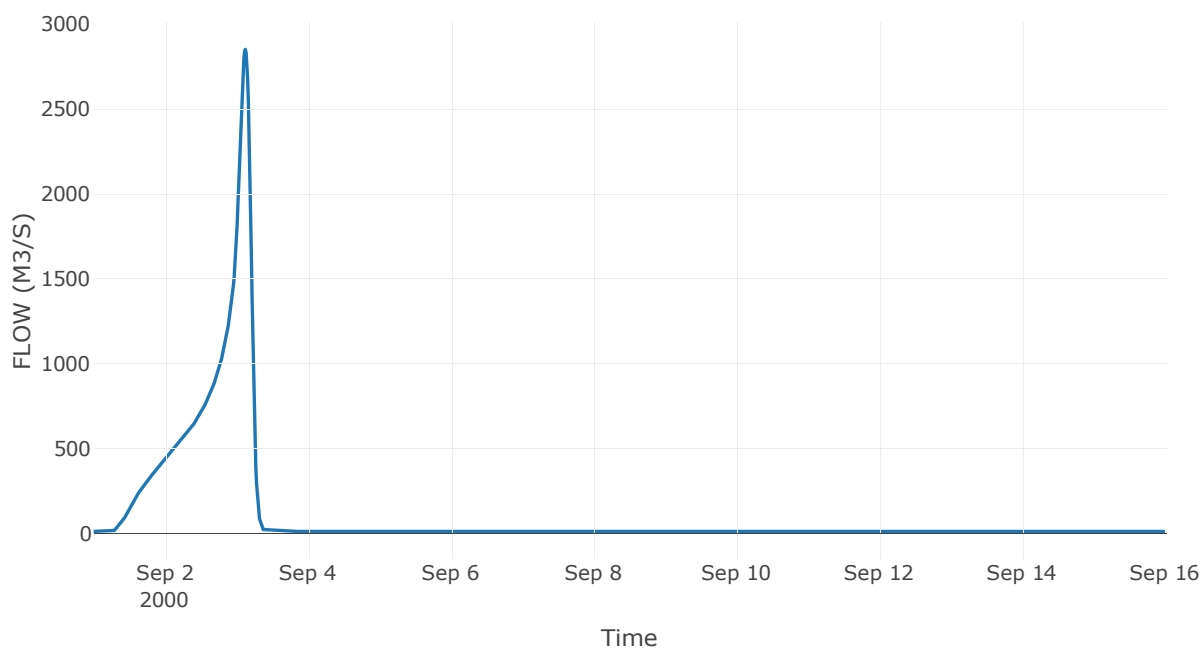
Κατάντη : J21 Res1

Μέθοδος Διόδευσης	Muskingum
Αρχική Μεταβλητή	Combined Inflow
Χρόνος Ροής K	1.31
Συντελεστής βάρους x	0.2
Πλήθος Υποκλάδων	6

Αποτελέσματα: R921

Παροχή Αιχμής(M3/S)	2850.74
Χρονική στιγμή αιχμής	03Sep2000, 03:00
Όγκος(MM)	426.09
Παροχή Αιχμής Εισόδου (M3/S)	2893.97
Όγκος Εισροής(M3)	1.44E8

Απορροή



Κλάδος: R109

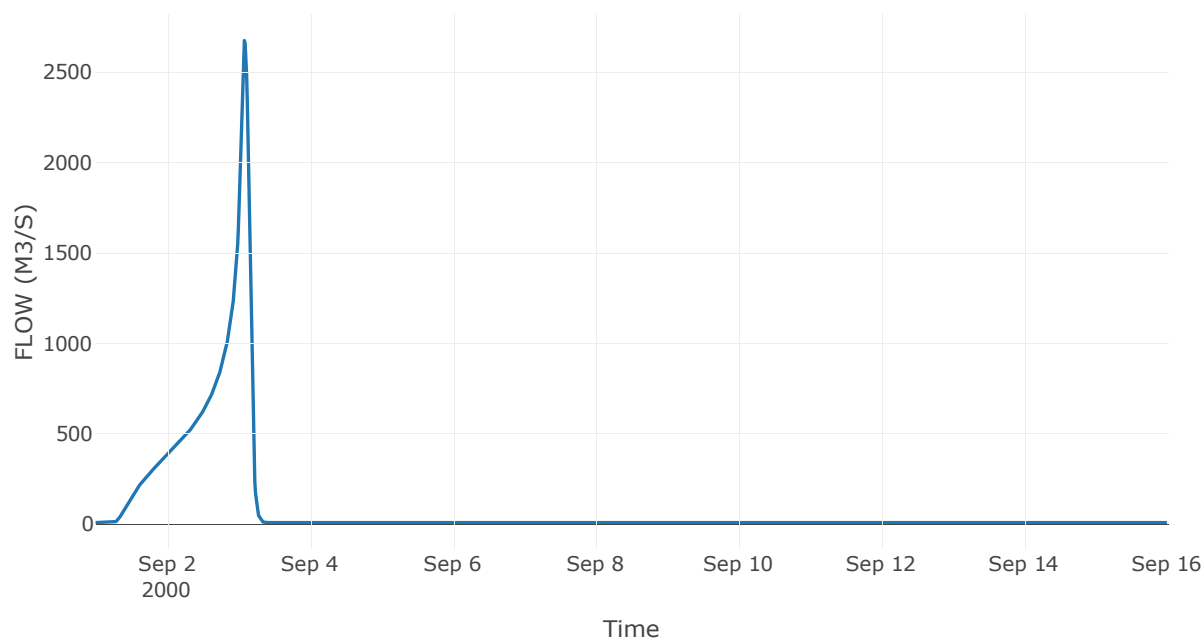
Κατάντη : J9

Μέθοδος Διόδευσης	Muskingum
Αρχική Μεταβλητή	Combined Inflow
Χρόνος Ροής K	1.52
Συντελεστής βάρους x	0.2
Πλήθος Υποκλάδων	7

Αποτελέσματα: R109

Παροχή Αιχμής(M3/S)	2675.74
Χρονική στιγμή αιχμής	03Sep2000, 02:00
Όγκος(MM)	429.96
Παροχή Αιχμής Εισόδου (M3/S)	2743.89
Όγκος Εισροής(M3)	1.2E8

Απορροή



Κλάδος: R1110

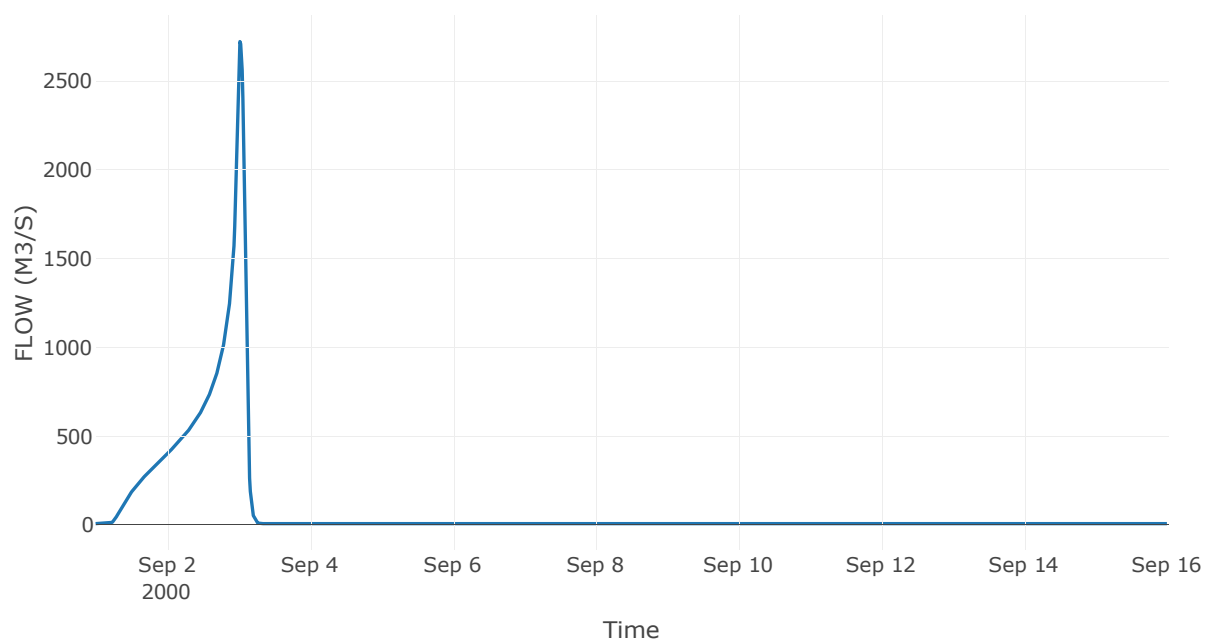
Κατάντη : J10

Μέθοδος Διόδευσης	Χρόνος Υστέρησης
Αρχική Μεταβλητή	Combined Inflow
Χρόνος Υστέρησης	5.86

Αποτελέσματα: R1110

Παροχή Αιχμής(M3/S)	2723.8
Χρονική στιγμή αιχμής	03Sep2000, 00:30
Όγκος(MM)	430.32
Παροχή Αιχμής Εισόδου (M3/S)	2727.39
Όγκος Εισροής(M3)	1.18E8

Απορροή



Κλάδος: R1211

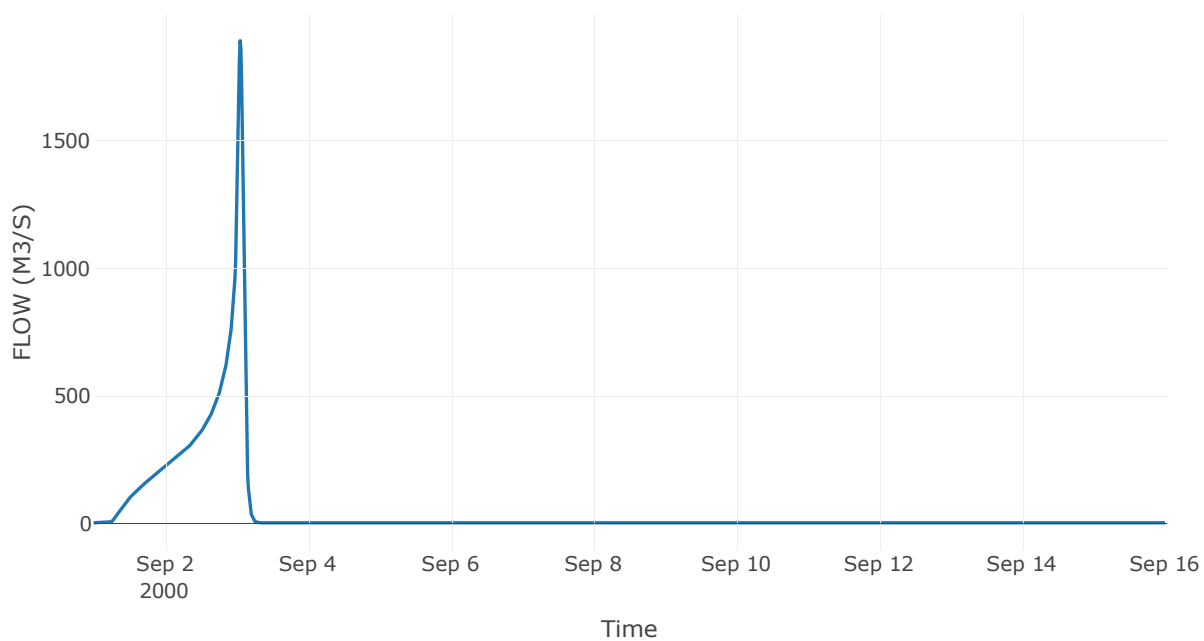
Κατάντη : J11

Μέθοδος Διόδευσης	Muskingum
Αρχική Μεταβλητή	Combined Inflow
Χρόνος Ροής K	1.32
Συντελεστής βάρους x	0.2
Πλήθος Υποκλάδων	6

Αποτελέσματα: R1211

Παροχή Αιχμής(M3/S)	1891.53
Χρονική στιγμή αιχμής	03Sep2000, 01:15
Όγκος(MM)	435.01
Παροχή Αιχμής Εισόδου (M3/S)	2065.88
Όγκος Εισροής(M3)	6.67E7

Απορροή



Κλάδος: R1312

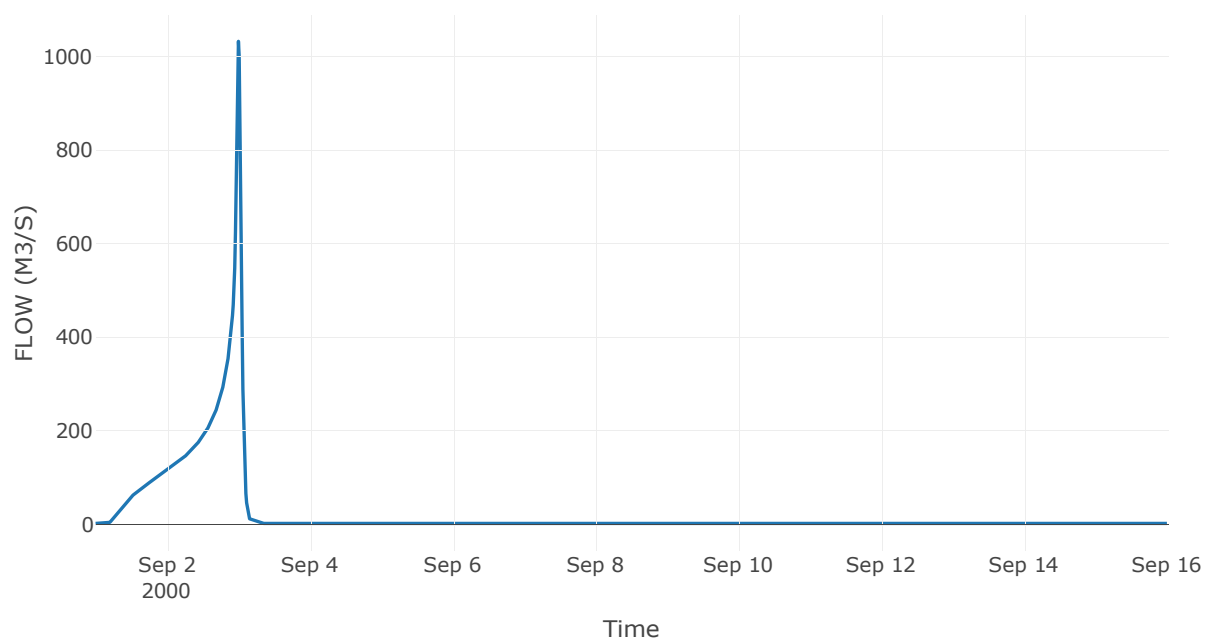
Κατάντη : J12

Μέθοδος Διόδευσης	Χρόνος Υστέρησης
Αρχική Μεταβλητή	Combined Inflow
Χρόνος Υστέρησης	8.37

Αποτελέσματα: R1312

Παροχή Αιχμής(M3/S)	1031.78
Χρονική στιγμή αιχμής	02Sep2000, 24:00
Όγκος(MM)	443.08
Παροχή Αιχμής Εισόδου (M3/S)	1033.35
Όγκος Εισροής(M3)	3.28E7

Απορροή





Κλάδος: R147

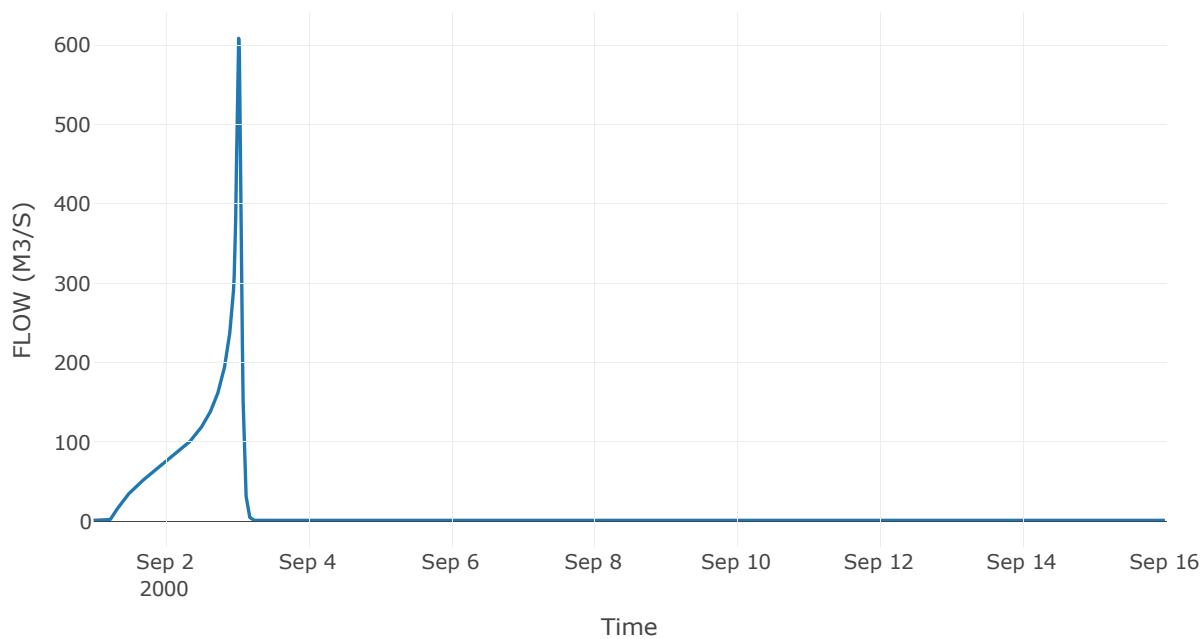
Κατάντη : J7

Μέθοδος Διόδευσης	Χρόνος Υστέρησης
Αρχική Μεταβλητή	Combined Inflow
Χρόνος Υστέρησης	50.06

Αποτελέσματα: R147

Παροχή Αιχμής(M3/S)	608.26
Χρονική στιγμή αιχμής	03Sep2000, 00:45
Όγκος(MM)	418.2
Παροχή Αιχμής Εισόδου (M3/S)	611.3
Όγκος Εισροής(M3)	2.06E7

Απορροή



Κλάδος: R155

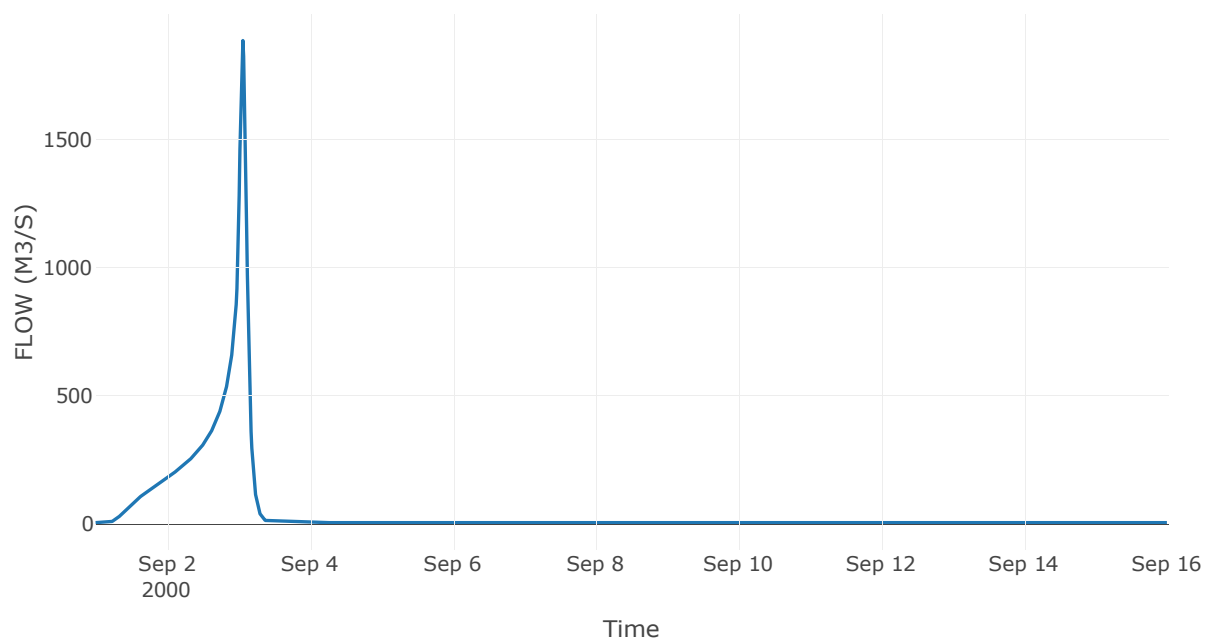
Κατάντη : J5

Μέθοδος Διόδευσης	Muskingum
Αρχική Μεταβλητή	Combined Inflow
Χρόνος Ροής K	0.94
Συντελεστής βάρους x	0.2
Πλήθος Υποκλάδων	5

Αποτελέσματα: R155

Παροχή Αιχμής(M3/S)	1886.99
Χρονική στιγμή αιχμής	03Sep2000, 01:30
Όγκος(MM)	402.97
Παροχή Αιχμής Εισόδου (M3/S)	1961.21
Όγκος Εισροής(M3)	6.52E7

Απορροή



Κλάδος: R1615

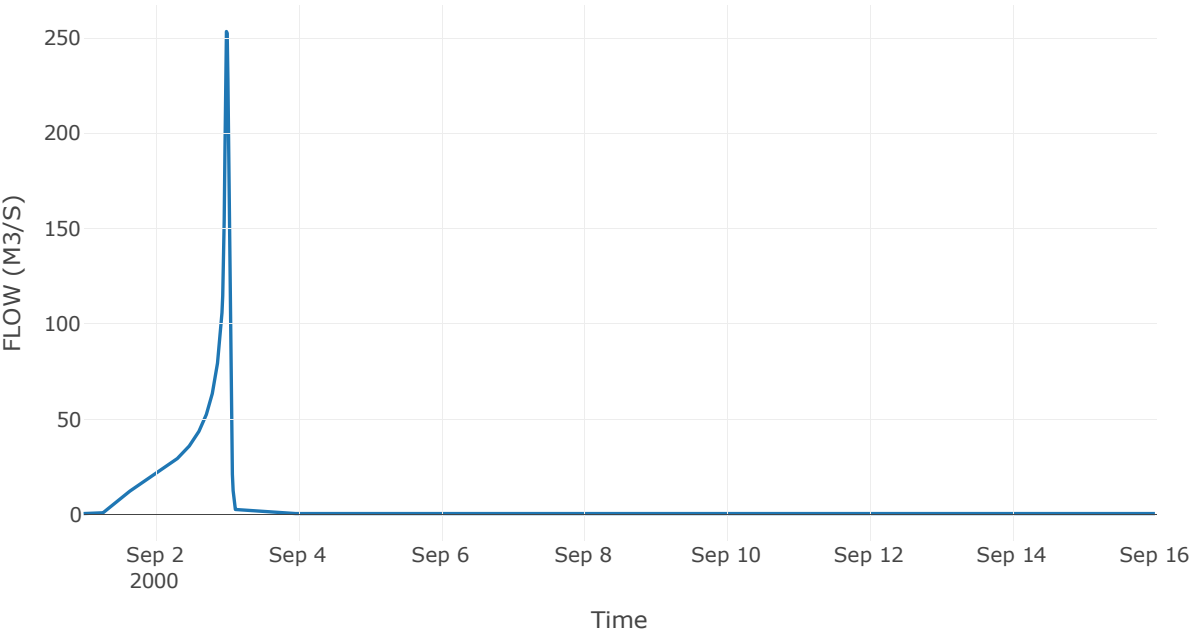
Κατάντη : J15

Μέθοδος Διόδευσης	Muskingum
Αρχική Μεταβλητή	Combined Inflow
Χρόνος Ροής K	0.46
Συντελεστής βάρους x	0.2
Πλήθος Υποκλάδων	2

Αποτελέσματα: R1615

Παροχή Αιχμής(M3/S)	253.27
Χρονική στιγμή αιχμής	02Sep2000, 24:00
Όγκος(MM)	383.17
Παροχή Αιχμής Εισόδου (M3/S)	268.22
Όγκος Εισροής(M3)	6.65E6

Απορροή



Κλάδος: R1715

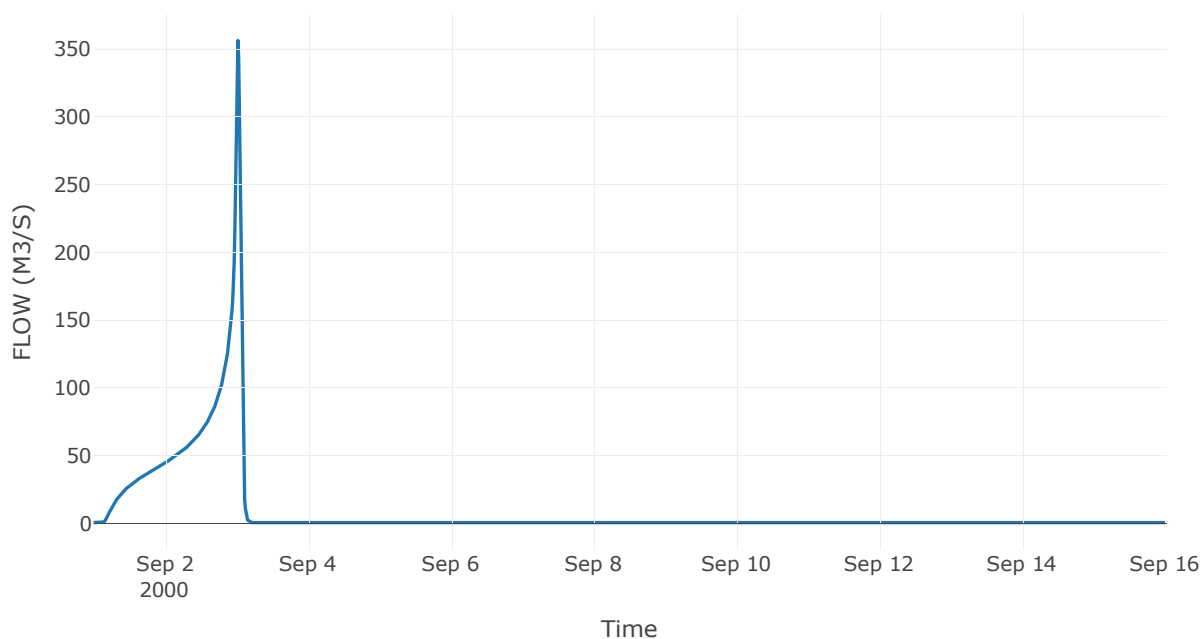
Κατάντη : J15

Μέθοδος Διόδευσης	Muskingum
Αρχική Μεταβλητή	Combined Inflow
Χρόνος Ροής K	0.83
Συντελεστής βάρους x	0.2
Πλήθος Υποκλάδων	4

Αποτελέσματα: R1715

Παροχή Αιχμής(M3/S)	356.35
Χρονική στιγμή αιχμής	03Sep2000, 00:30
Όγκος(MM)	462.64
Παροχή Αιχμής Εισόδου (M3/S)	383.58
Όγκος Εισροής(M3)	1.21E7

Απορροή



Κλάδος: R184

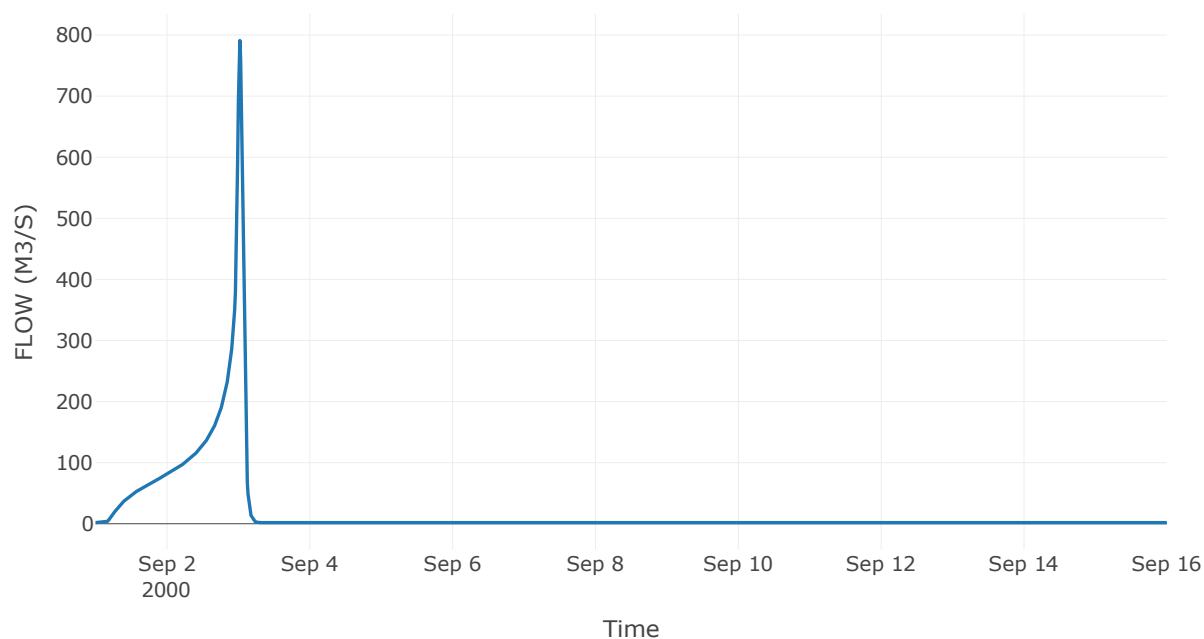
Κατάντη : J4

Μέθοδος Διόδευσης	Muskingum
Αρχική Μεταβλητή	Combined Inflow
Χρόνος Ροής K	0.46
Συντελεστής βάρους x	0.2
Πλήθος Υποκλάδων	2

Αποτελέσματα: R184

Παροχή Αιχμής(M3/S)	791.05
Χρονική στιγμή αιχμής	03Sep2000, 00:30
Όγκος(MM)	406.59
Παροχή Αιχμής Εισόδου (M3/S)	820.11
Όγκος Εισροής(M3)	2.47E7

Απορροή



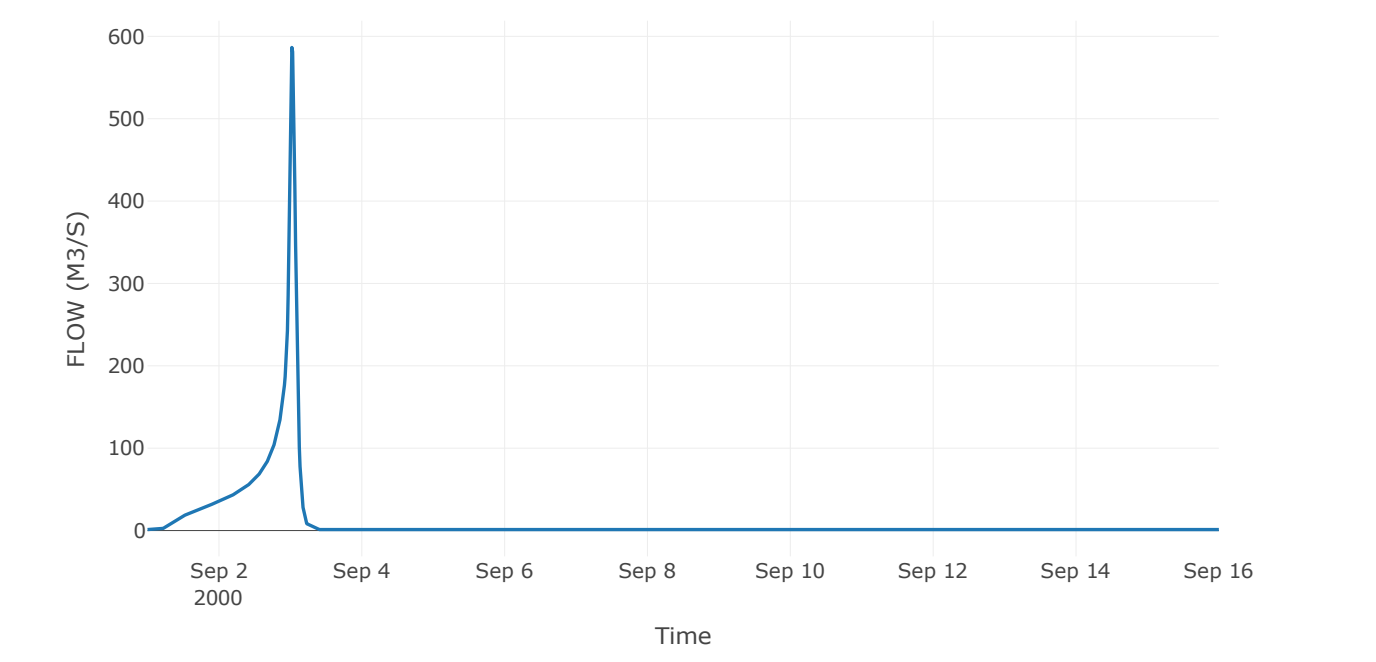
Κλάδος: R193

Κατάντη : J3

Μέθοδος Διόδευσης	Muskingum
Αρχική Μεταβλητή	Combined Inflow
Χρόνος Ροής K	0.22
Συντελεστής βάρους x	0.2
Πλήθος Υποκλάδων	1

Αποτελέσματα: R193	
Παροχή Αιχμής(M3/S)	586.5
Χρονική στιγμή αιχμής	03Sep2000, 00:30
Όγκος(MM)	368.01
Παροχή Αιχμής Εισόδου (M3/S)	592.75
Όγκος Εισροής(M3)	1.49E7

Απορροή



Κλάδος: R2019

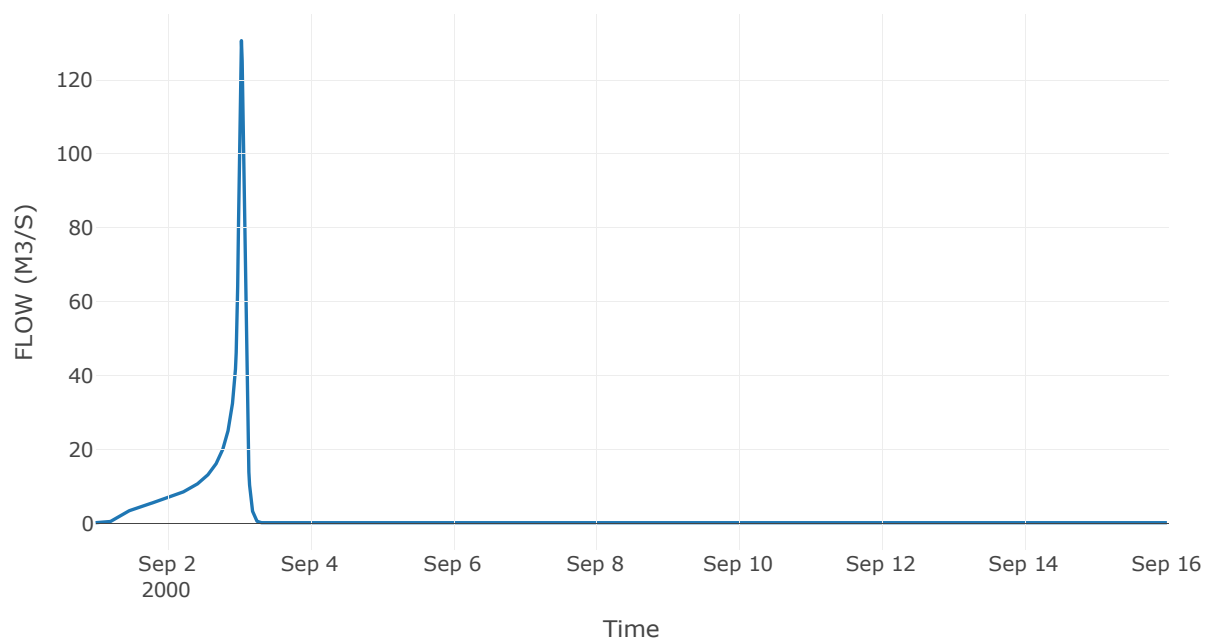
Κατάντη : J19

Μέθοδος Διόδευσης	Muskingum
Αρχική Μεταβλητή	Combined Inflow
Χρόνος Ροής K	0.73
Συντελεστής βάρους x	0.2
Πλήθος Υποκλάδων	4

Αποτελέσματα: R2019

Παροχή Αιχμής(M3/S)	130.67
Χρονική στιγμή αιχμής	03Sep2000, 01:00
Όγκος(MM)	363.42
Παροχή Αιχμής Εισόδου (M3/S)	137.07
Όγκος Εισροής(M3)	2.99E6

Απορροή



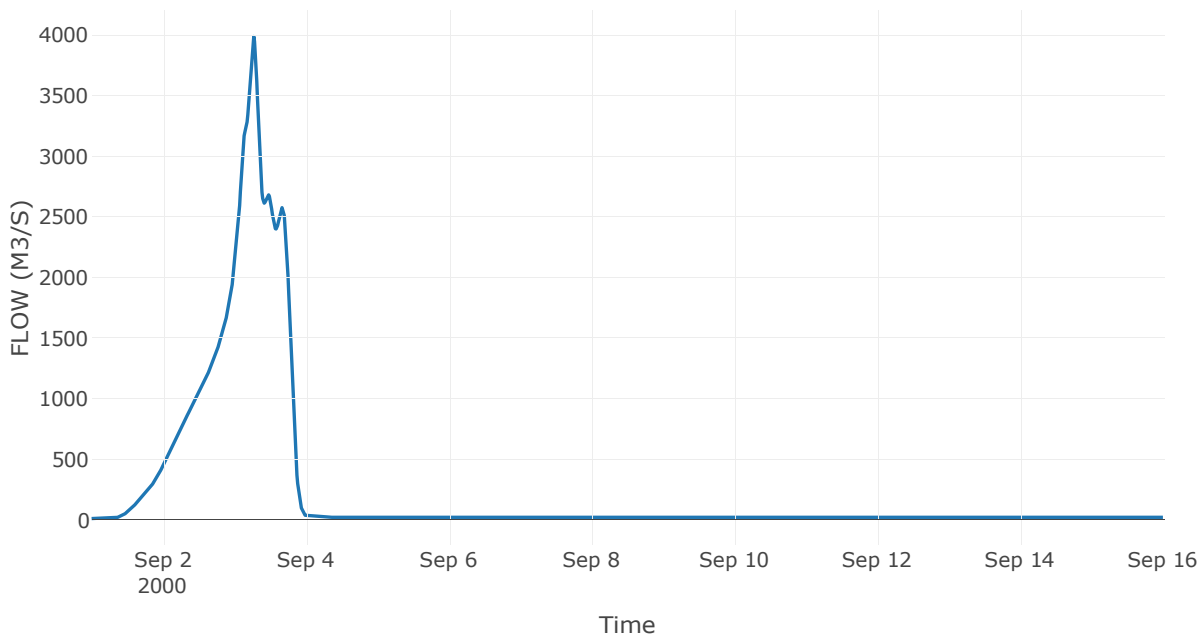
## 10.3 Δεδομένα και υδρογραφήματα σχεδιασμού Κόμβων υδρογραφικού δικτύου

Κόμβος εξόδου: J1

Αποτελέσμα  
τα: J1

Παροχή αιχμής (M3/S)	3988.86
Χρονική στιγμή αιχμής	03Sep2000, 06:30
Όγκος (MM)	403.13

Απορροή





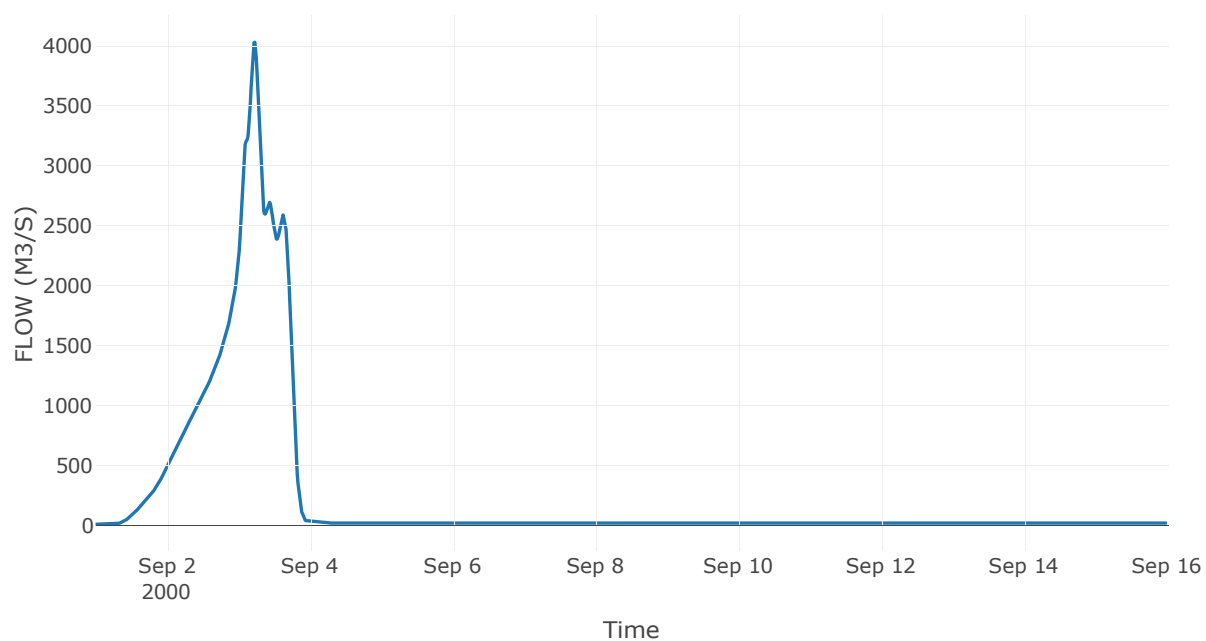
Κόμβος: J2

Κατάντη : R21

Αποτελέσματα: J2

Παροχή Αιχμής(M3/S)	4029.95
Χρονική στιγμή αιχμής	03Sep2000, 05:30
Όγκος(MM)	403.91

Απορροή



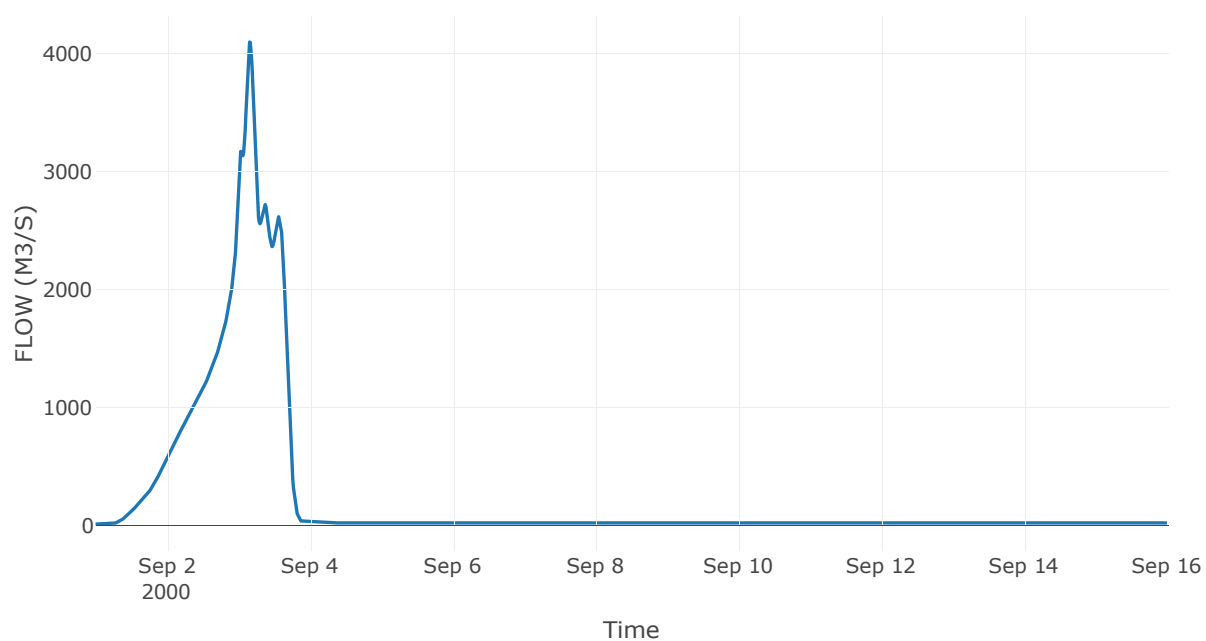
Κόμβος: J3

Κατάντη : R32

Αποτελέσματα: J3

Παροχή Αιχμής(M3/S)	4097.32
Χρονική στιγμή αιχμής	03Sep2000, 03:45
Όγκος(MM)	404.36

Απορροή



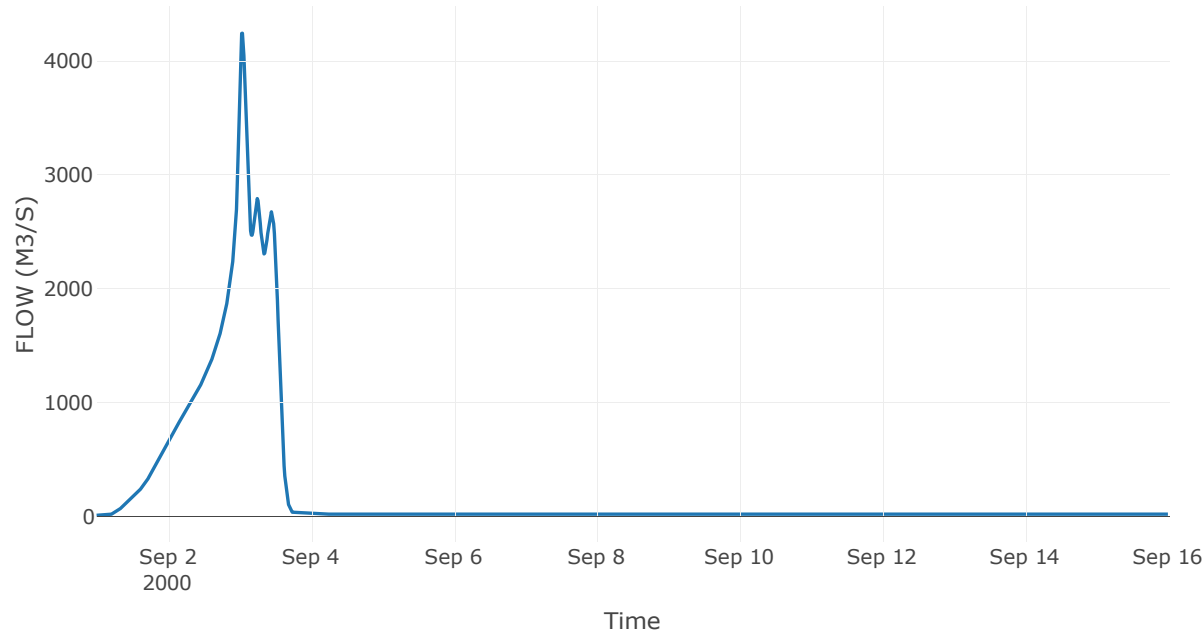
Κόμβος: J4

Κατάντη : R43

Αποτελέσματα: J4

Παροχή Αιχμής(M3/S)	4242.3
Χρονική στιγμή αιχμής	03Sep2000, 01:00
Όγκος(MM)	406.92

Απορροή



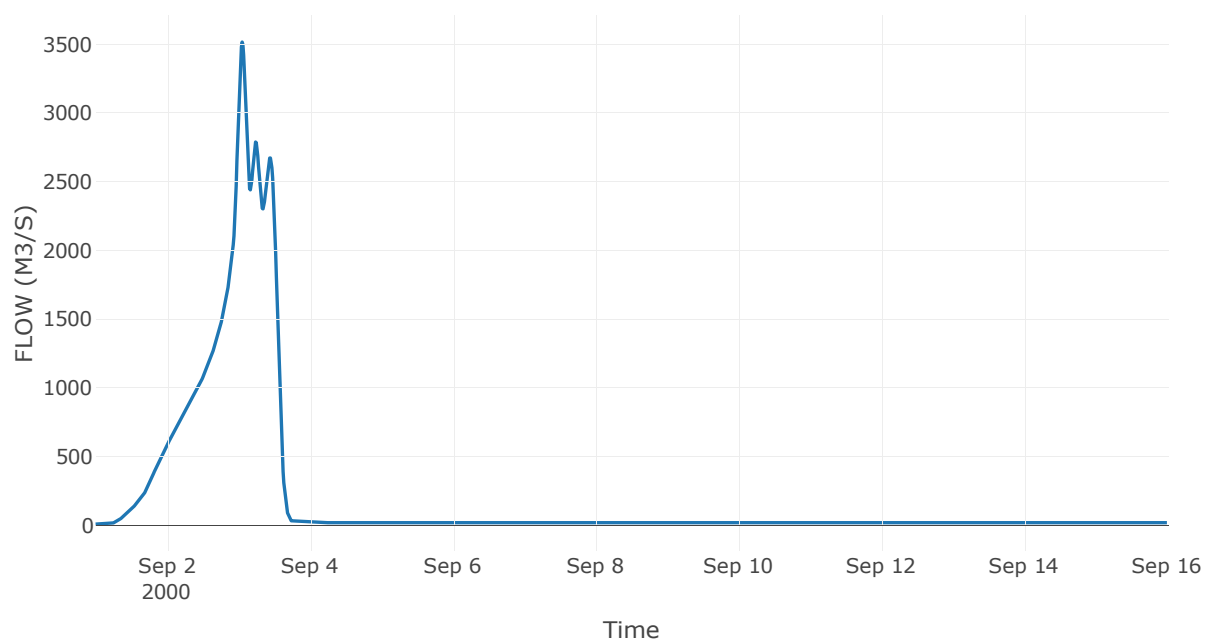
Κόμβος: J5

Κατάντη : R54

Αποτελέσματα: J5

Παροχή Αιχμής(M3/S)	3515.88
Χρονική στιγμή αιχμής	03Sep2000, 01:15
Όγκος(MM)	407.01

Απορροή



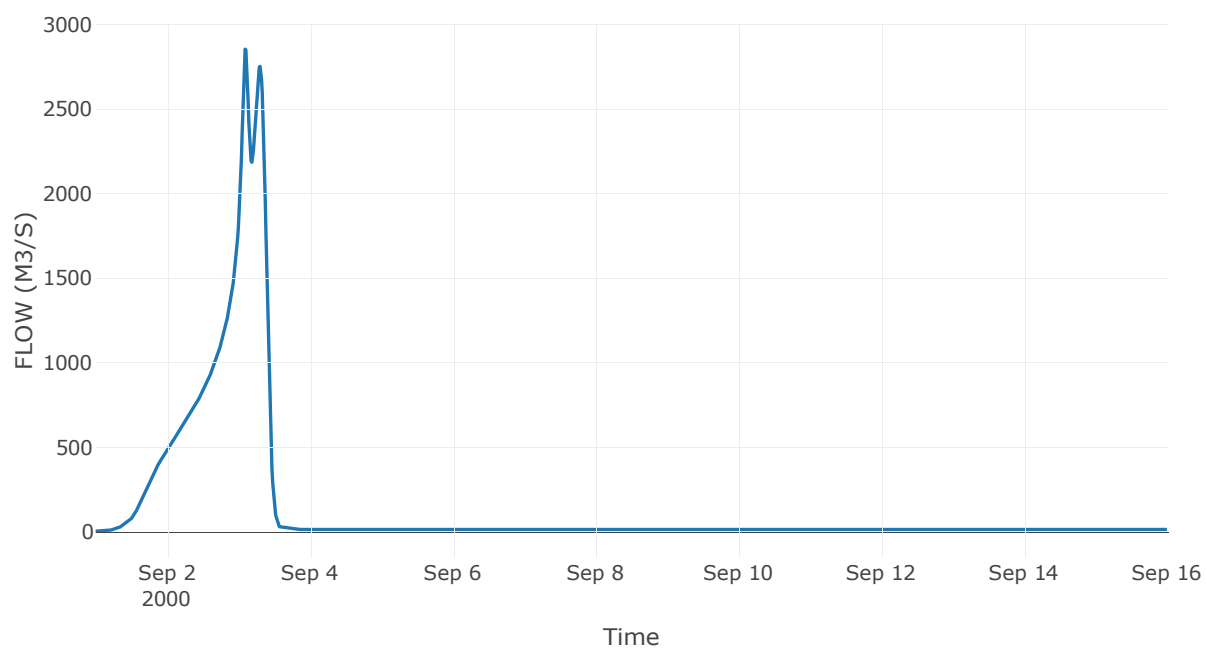
Κόμβος: J6

Κατάντη : R65

Αποτελέσματα: J6

Παροχή Αιχμής(M3/S)	2853.42
Χρονική στιγμή αιχμής	03Sep2000, 02:15
Όγκος(MM)	411.77

Απορροή



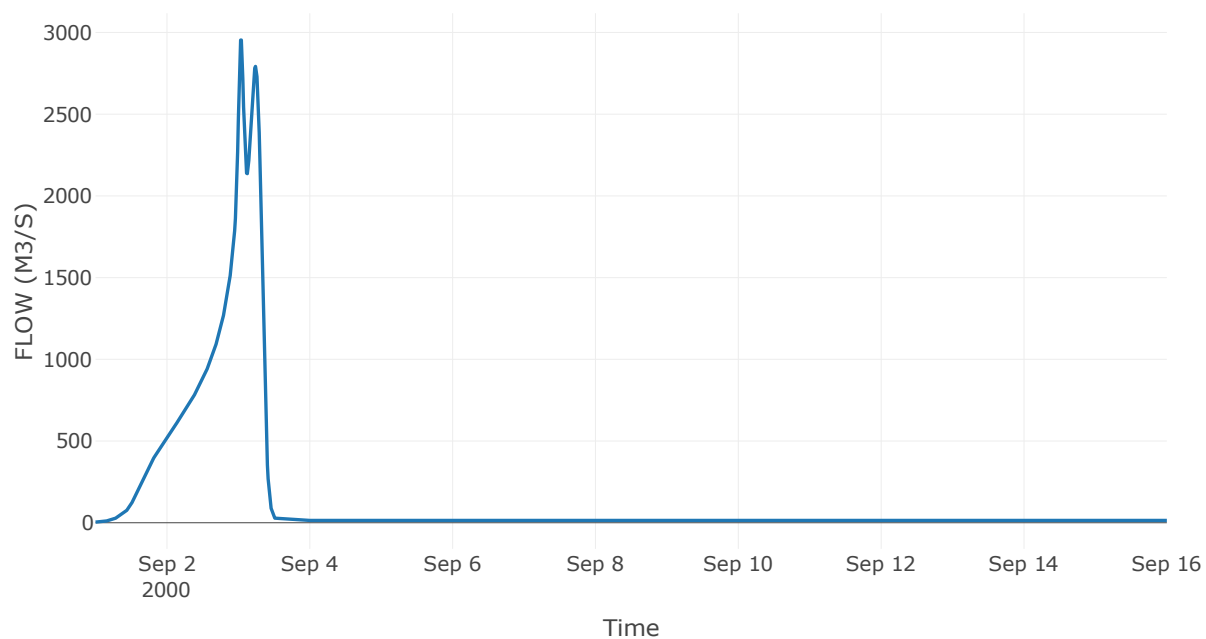
Κόμβος: J7

Κατάντη : R76

Αποτελέσματα: J7

Παροχή Αιχμής(M3/S)	2953.99
Χρονική στιγμή αιχμής	03Sep2000, 01:00
Όγκος(MM)	412.44

Απορροή



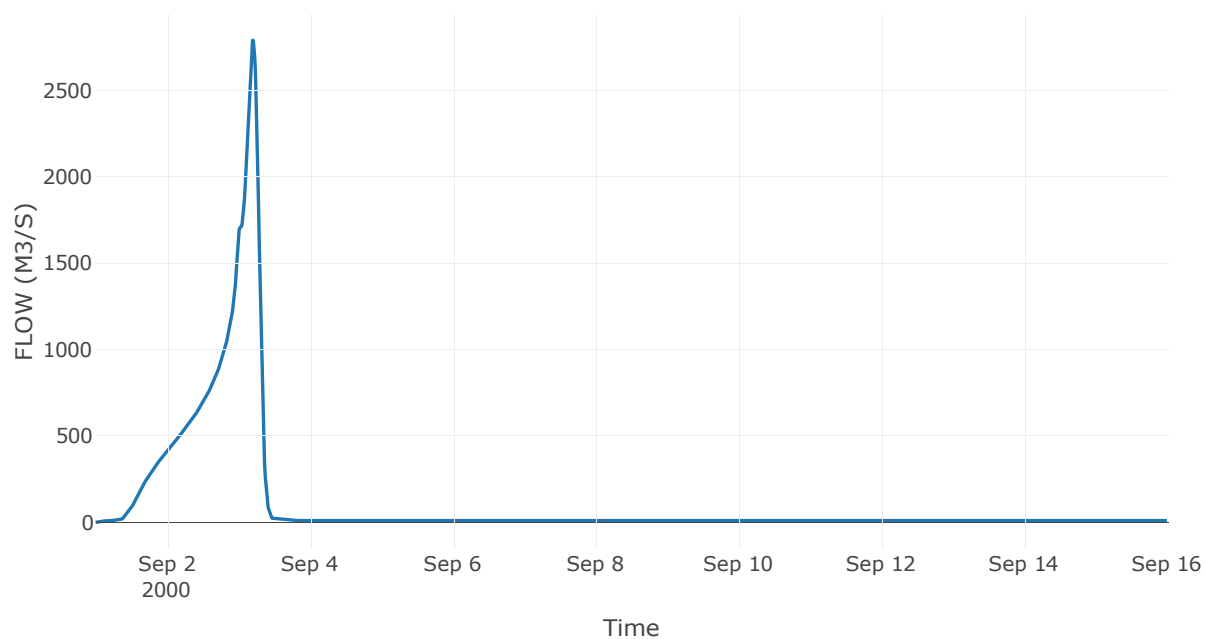
Κόμβος: J8

Κατάντη : R87

Αποτελέσματα: J8

Παροχή Αιχμής(M3/S)	2791.43
Χρονική στιγμή αιχμής	03Sep2000, 04:45
Όγκος(MM)	421.41

Απορροή



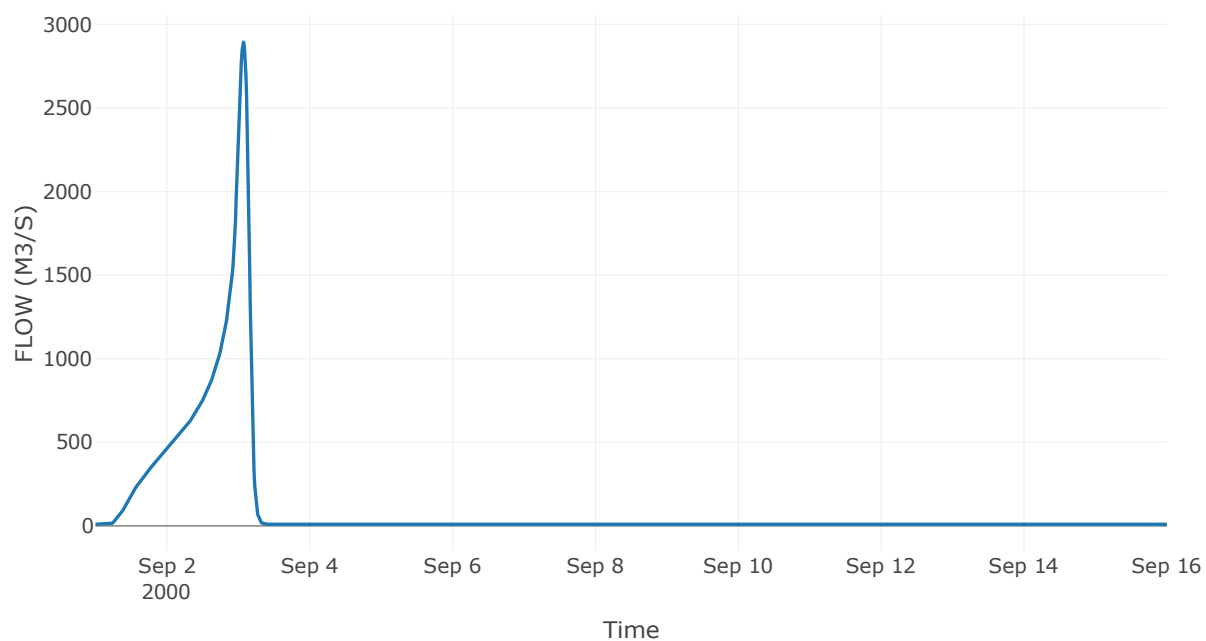
Κόμβος: J9

Κατάντη : R921

Αποτελέσματα: J9

Παροχή Αιχμής(M3/S)	2893.97
Χρονική στιγμή αιχμής	03Sep2000, 01:45
Όγκος(MM)	426.09

Απορροή





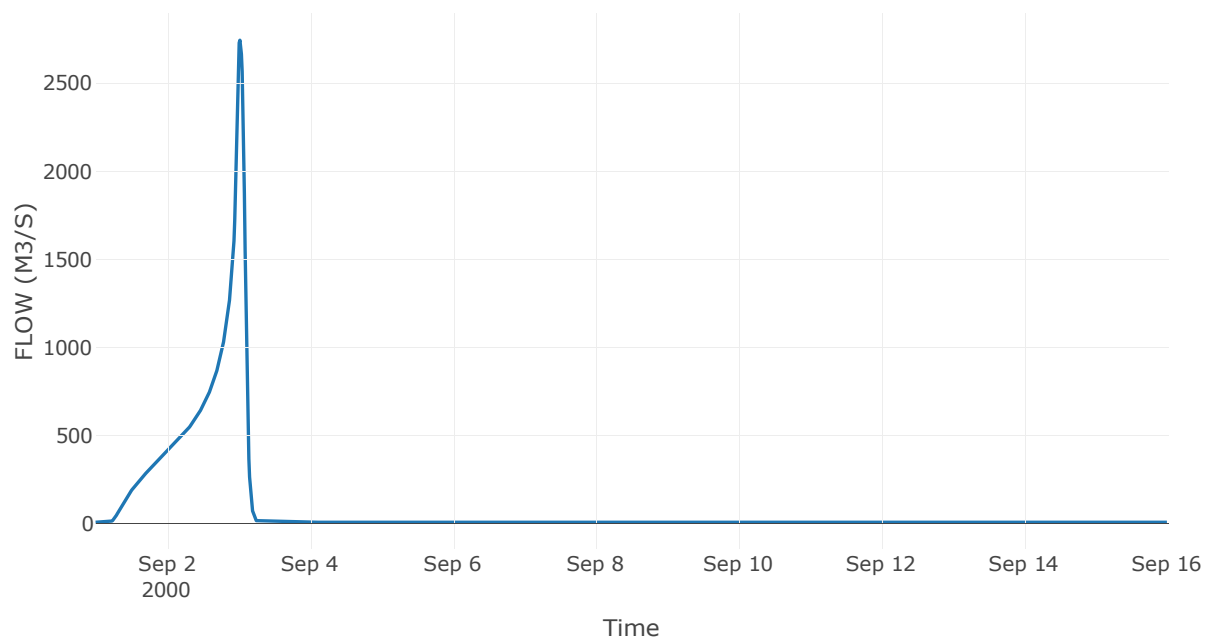
Κόμβος: J10

Κατάντη : R109

Αποτελέσματα: J10

Παροχή Αιχμής(M3/S)	2743.89
Χρονική στιγμή αιχμής	03Sep2000, 00:30
Όγκος(MM)	429.96

Απορροή



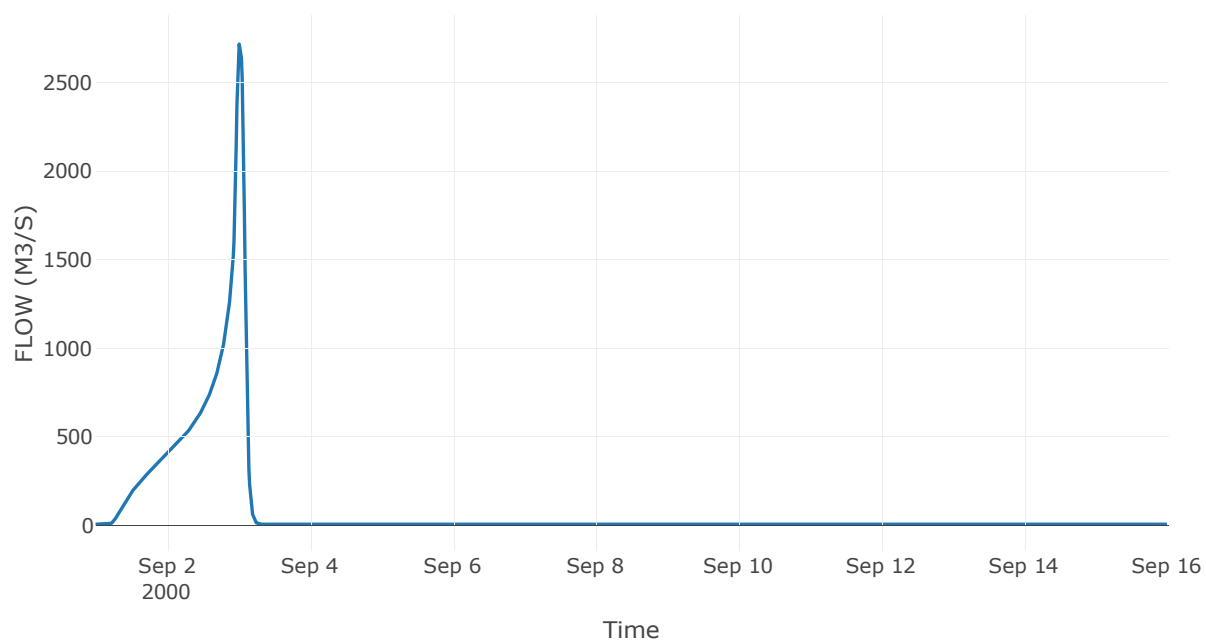
Κόμβος: J11

Κατάντη : R1110

Αποτελέσματα: J11

Παροχή Αιχμής(M3/S)	2727.39
Χρονική στιγμή αιχμής	03Sep2000, 00:30
Όγκος(MM)	430.32

Απορροή



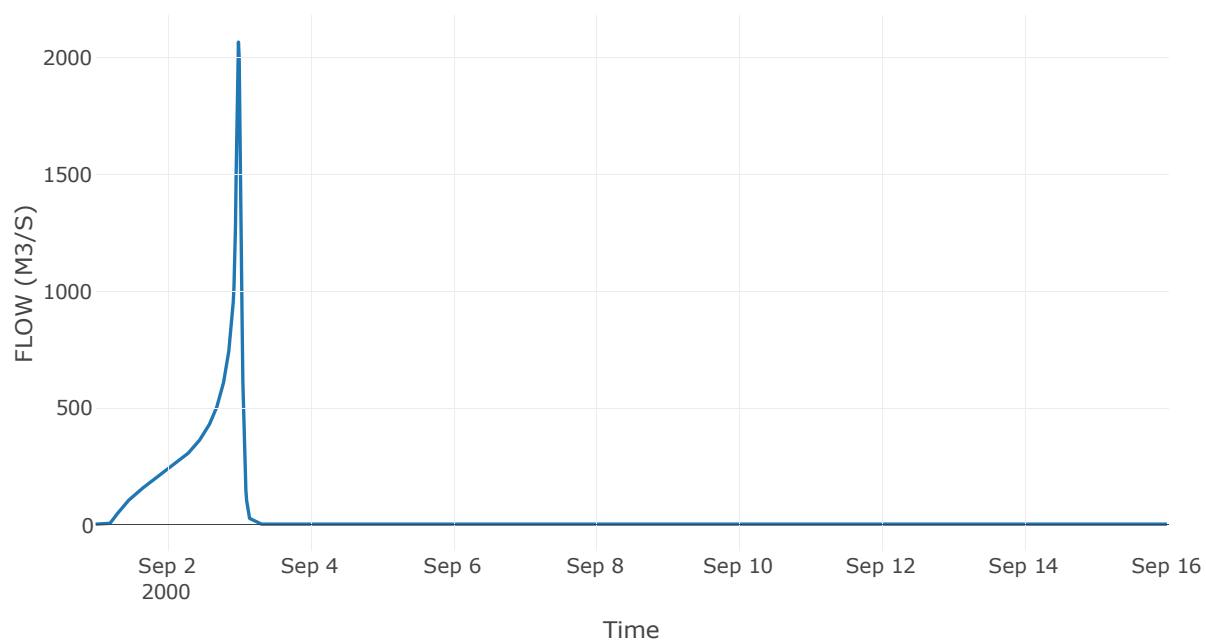
Κόμβος: J12

Κατάντη : R1211

Αποτελέσματα: J12

Παροχή Αιχμής(M3/S)	2065.88
Χρονική στιγμή αιχμής	02Sep2000, 24:00
Όγκος(MM)	435.01

Απορροή



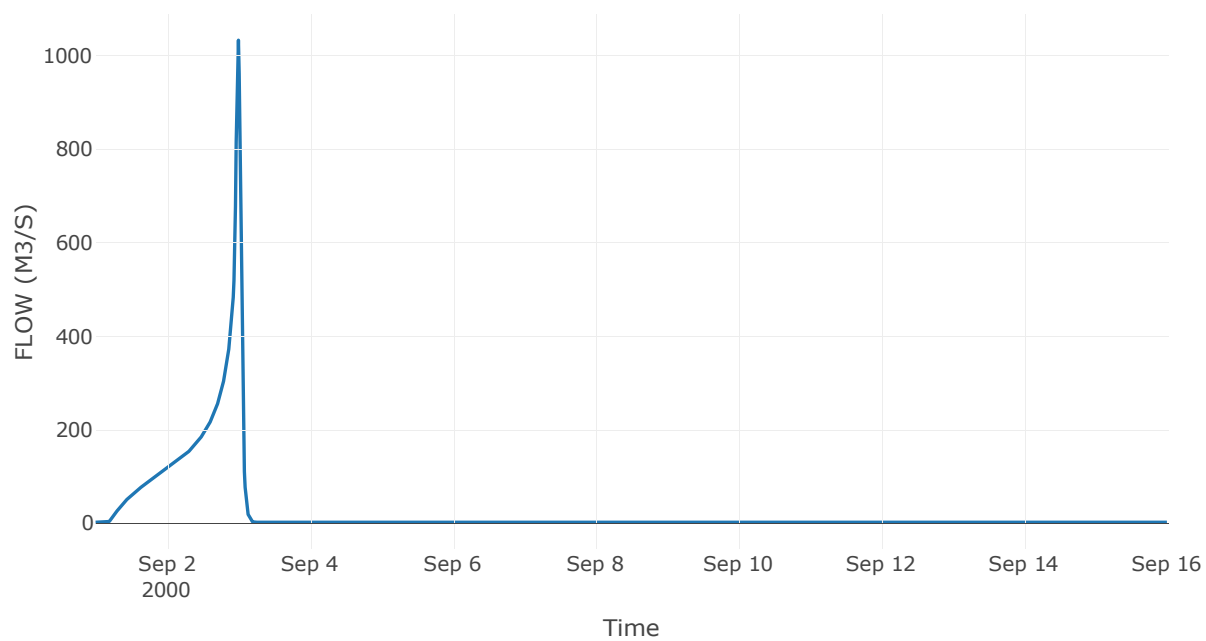
Κόμβος: J13

Κατάντη : R1312

Αποτελέσματα: J13

Παροχή Αιχμής(M3/S)	1033.35
Χρονική στιγμή αιχμής	02Sep2000, 24:00
Όγκος(MM)	443.08

Απορροή



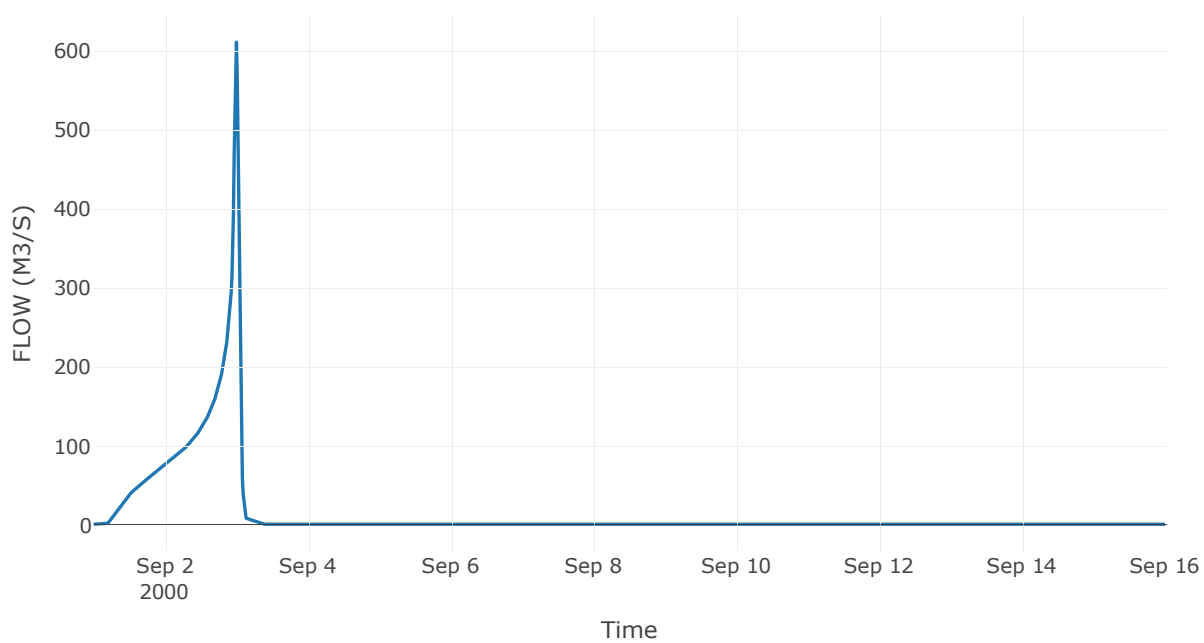
Κόμβος: J14

Κατάντη : R147

Αποτελέσματα: J14

Παροχή Αιχμής(M3/S)	611.3
Χρονική στιγμή αιχμής	02Sep2000, 24:00
Όγκος(MM)	418.2

Απορροή



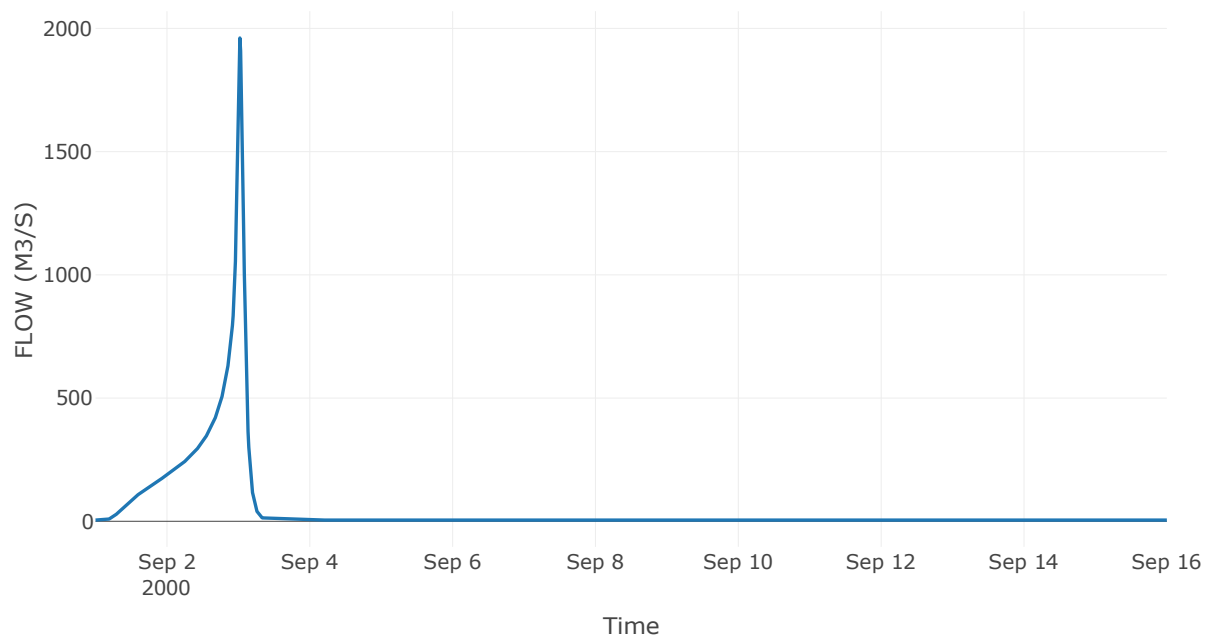
Κόμβος: J15

Κατάντη : R155

Αποτελέσματα: J15

Παροχή Αιχμής(M3/S)	1961.21
Χρονική στιγμή αιχμής	03Sep2000, 00:30
Όγκος(MM)	402.97

Απορροή



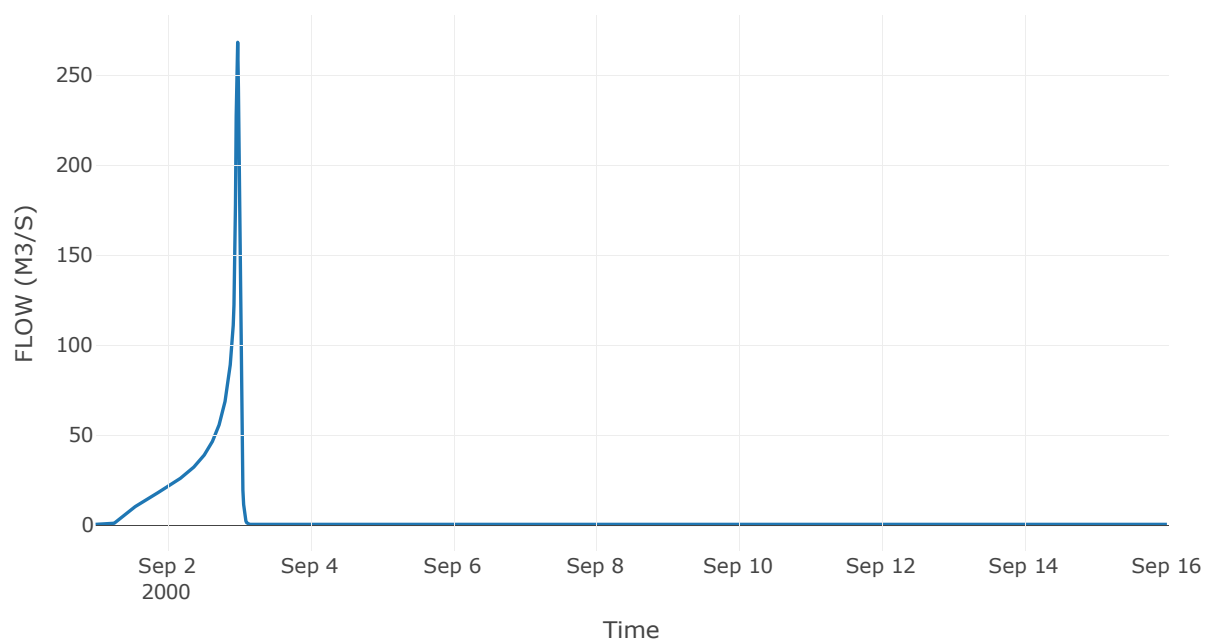
Κόμβος: J16

Κατάντη : R1615

Αποτελέσματα: J16

Παροχή Αιχμής(M3/S)	268.22
Χρονική στιγμή αιχμής	02Sep2000, 23:45
Όγκος(MM)	383.17

Απορροή



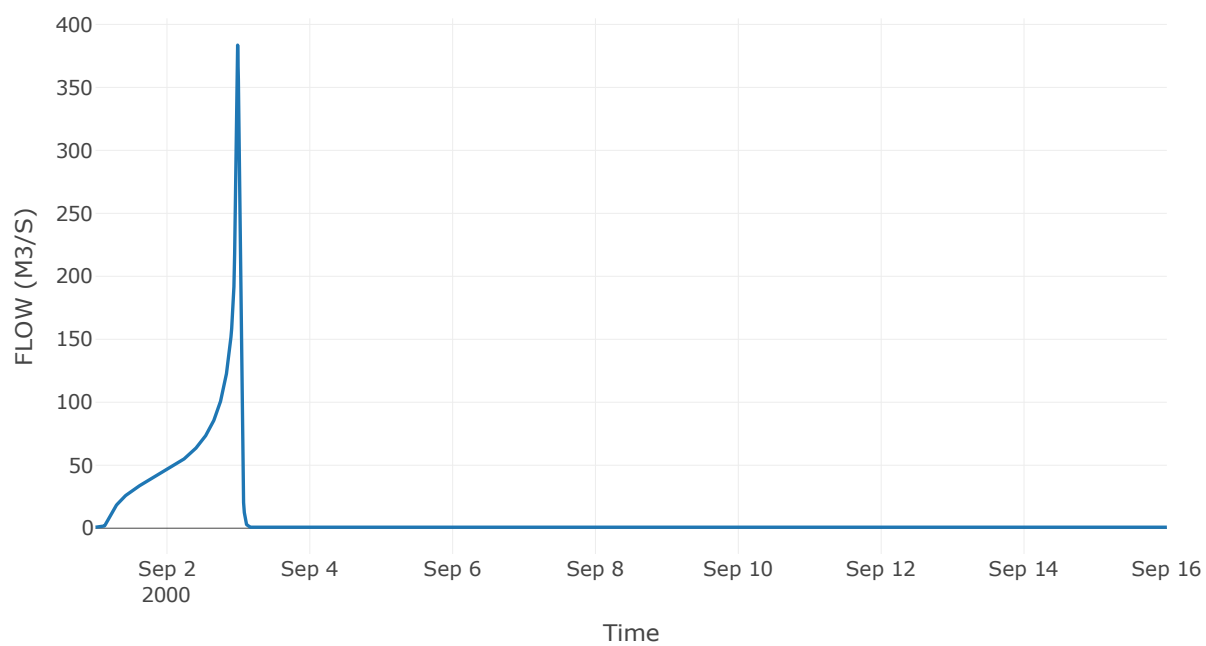
Κόμβος: J17

Κατάντη : R1715

Αποτελέσματα: J17

Παροχή Αιχμής(M3/S)	383.58
Χρονική στιγμή αιχμής	02Sep2000, 23:45
Όγκος(MM)	462.64

Απορροή





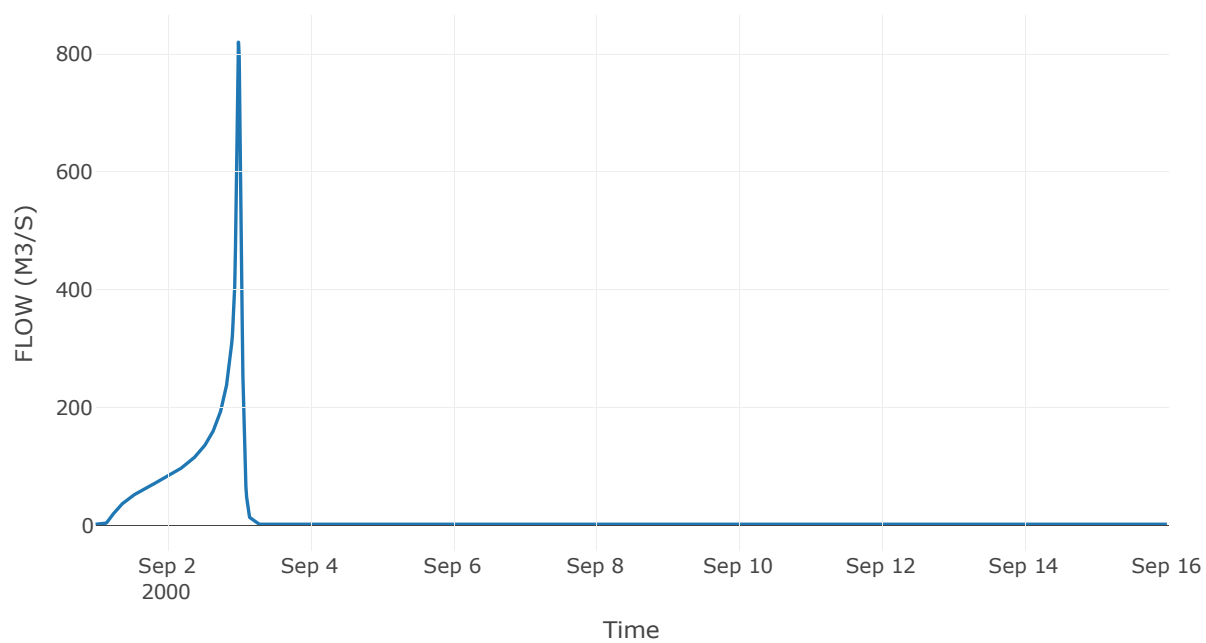
Κόμβος: J18

Κατάντη : R184

Αποτελέσματα: J18

Παροχή Αιχμής(M3/S)	820.11
Χρονική στιγμή αιχμής	02Sep2000, 24:00
Όγκος(MM)	406.59

Απορροή



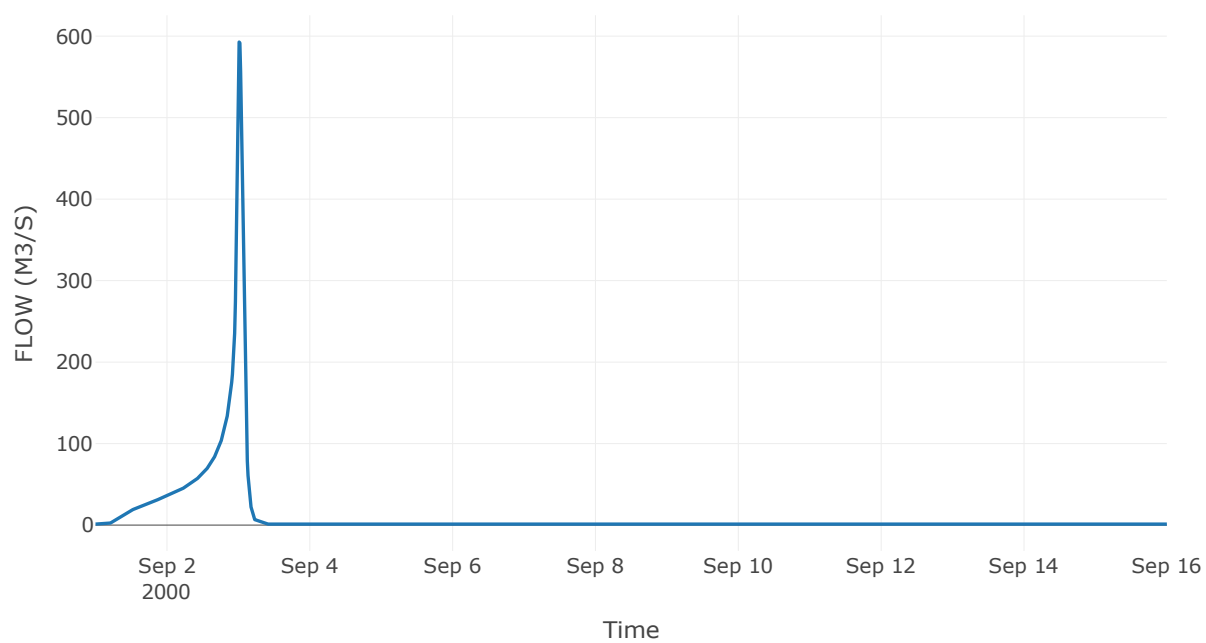
Κόμβος: J19

Κατάντη : R193

Αποτελέσματα: J19

Παροχή Αιχμής(M3/S)	592.75
Χρονική στιγμή αιχμής	03Sep2000, 00:15
Όγκος(MM)	368.01

Απορροή



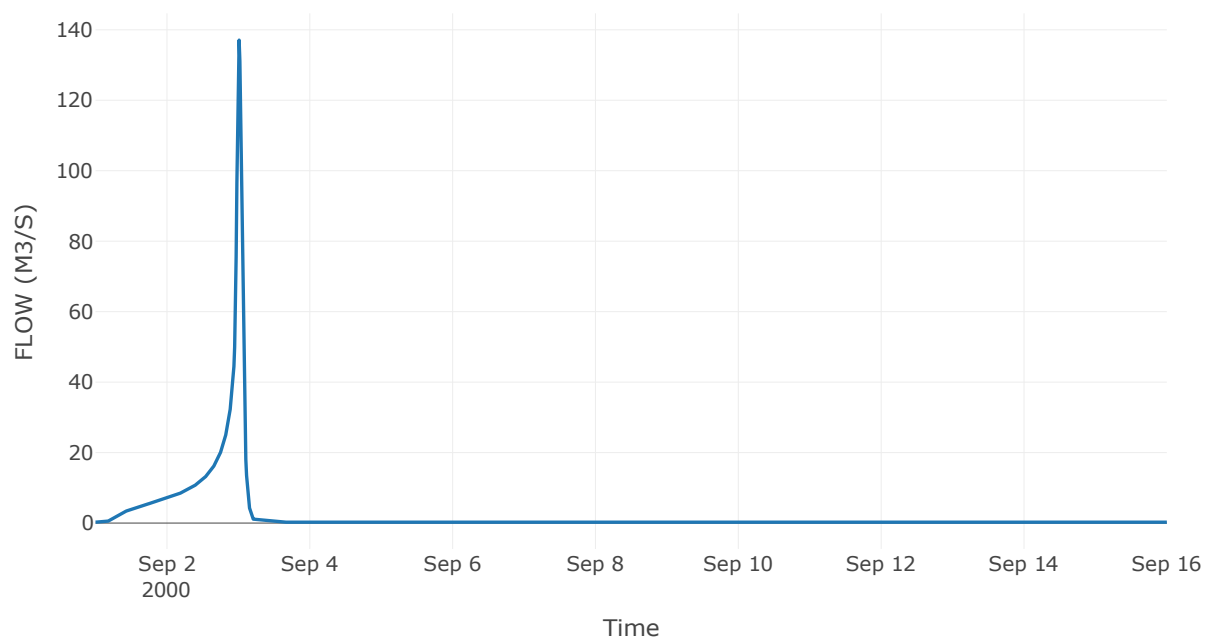
Κόμβος: J20

Κατάντη : R2019

Αποτελέσματα: J20

Παροχή Αιχμής(M3/S)	137.07
Χρονική στιγμή αιχμής	03Sep2000, 00:15
Όγκος(MM)	363.42

Απορροή



Ταμιευτήρας: J21\_RES1

Κατάντη : R218

Αποτελέσματα: J21\_RES1

Παροχή Αιχμής(M3/S)	2847.86
Χρονική στιγμή αιχμής	03Sep2000, 03:00
Όγκος(MM)	424.95
Παροχή Αιχμής Εισόδου (M3/S)	2850.88
Χρονική Στιγμή	03Sep2000, 03:00
Όγκος Εισροής (M3)	1.45E8
Μέγιστη	2.49E6
Μέγιστη Στάθμη (M)	103.21
Όγκος Απορροής(M3)	1.45E8

Απορροή

